

COMMITTENTE:



DIREZIONE INVESTIMENTI
DIREZIONE PROGRAMMI INVESTIMENTI
DIRETTRICE SUD - PROGETTO ADRIATICA

DIREZIONE LAVORI:



APPALTATORE:



PROGETTAZIONE:



PROGETTO ESECUTIVO

RIASSETTO NODO DI BARI

TRATTA A SUD DI BARI: VARIANTE DI TRACCIATO TRA BARI CENTRALE E BARI TORRE A MARE

FV02 – STAZIONE EXECUTIVE

RELAZIONE DI CALCOLO PENSILINA DI INGRESSO

APPALTATORE	PROGETTAZIONE	SCALA:
DIRETTORE TECNICO Ing. A. DI PALMA D'Agostino Angelo Antonio Costruzioni Generali s.r.l. (data e firma)	DIRETTORE DELLA PROGETTAZIONE Ing. M. RASIMELLI (data e firma)	---

COMMESSA	LOTTO	FASE	ENTE	TIPO DOC.	OPERA / DISCIPLINA	PROGR.	REV.
IA3S	01	E	ZZ	CL	FV020C	001	C

Rev.	Descrizione	Redatto	Data	Verificato	Data	Approvato	Data	Autorizzato/Data
A	EMISSIONE ESECUTIVA	D. SALZILLO	17/04/2021	G. MENNILLO	19/04/2021	M. RASIMELLI	21/04/2021	 R. FABRIZIO 05/01/2022
B	Revisione per RdV IA3S-RV-0000000079	D. SALZILLO	29/09/2021	G. MENNILLO	01/10/2021	M. RASIMELLI	05/10/2021	
C	Revisione per RdV IA3S-RV-00000000251	D. SALZILLO	28/12/2021	G. MENNILLO	30/12/2021	M. RASIMELLI	03/01/2022	

APPALTATORE: D'AGOSTINO ANGELO ANTONIO COSTRUZIONI GENERALI s.r.l.	RIASSETTO NODO DI BARI					
PROGETTISTA: Mandataria: Mandante: RPA srl Technital SpA HUB Engineering Scarl	TRATTA A SUD DI BARI – VARIANTE DI TRACCIATO TRA BARI CENTRALE E BARI TORRE A MARE					
PROGETTO ESECUTIVO: Relazione di calcolo pensilina di ingresso	PROGETTO	LOTTO	CODIFICA	DOCUMENTO	REV.	FOGLIO
	IA3S	01	E ZZ CL	FV020C 001	C	2 DI 107

INDICE

1. PREMESSA	4
2. NORME DI RIFERIMENTO	7
3. VITA NOMINALE, CLASSI D'USO E PERIODO DI RIFERIMENTO.....	8
4. MATERIALI.....	9
4.1 Calcestruzzo strutture di base C25/30.....	9
4.2 Acciaio B450C per calcestruzzo armato	10
4.3 Copriferro minimo per opere in c.a.	11
4.4 Acciaio per carpenteria metallica.....	12
4.5 Bulloni di collegamento classe 8.8.....	12
4.6 Saldature.....	12
5. TERRENO DI FONDAZIONE.....	13
6. ANALISI DEI CARICHI	14
6.1 Pesi propri.....	14
6.2 Carichi permanenti non strutturali.....	14
6.3 Sovraccarichi accidentali.....	14
6.4 Azione termica	14
6.5 Carico da neve	14
6.6 Carico da vento	15
6.7 Azione sismica	17
6.7.1 Combinazioni del Sisma in X e Y e Verticale	24
6.8 Combinazioni	24
7. INDICAZIONI SUL SOFTWARE UTILIZZATO.....	31
8. SCHEMA DI CALCOLO E CALCOLO DELLE SOLLECITAZIONI.....	32
8.1 Modellazione FEM.....	32
8.2 Modi di vibrare, masse modali e coefficienti di partecipazione modale	36
8.3 Criteri di verifica	39
8.3.1 Verifiche agli stati limite di esercizio	39
8.3.2 Verifiche agli stati limite ultimi.....	40
8.3.3 Parametri di verifica.....	40
8.4 Armature, deformate ed inviluppo diagrammi delle sollecitazioni.....	46
8.5 Verifiche elementi principali.....	54
8.5.1 Pilastro HE260B.....	57
8.5.2 Trave HE260B.....	59
8.5.3 Travi HE220B.....	70
8.5.4 Arcareccio IPE100.....	74

APPALTATORE: D'AGOSTINO ANGELO ANTONIO COSTRUZIONI GENERALI s.r.l.	RIASSETTO NODO DI BARI					
PROGETTISTA: <u>Mandatario:</u> <u>Mandante:</u> RPA srl Technital SpA HUB Engineering Scarl	TRATTA A SUD DI BARI – VARIANTE DI TRACCIATO TRA BARI CENTRALE E BARI TORRE A MARE					
PROGETTO ESECUTIVO: Relazione di calcolo pensilina di ingresso	PROGETTO IA3S	LOTTO 01	CODIFICA E ZZ CL	DOCUMENTO FV020C 001	REV. C	FOGLIO 3 DI 107

8.5.5	Tirante controvento	75
8.6	Verifica Spostamento SLD	75
8.7	Verifica spostamento SLO	75
8.8	Verifica spostamenti laterali delle colonne in acciaio secondo NTC.....	76
8.9	Verifica Plinti	76
8.10	Verifica Nodo di base	84
8.10.1	Geometria	86
8.10.2	Proprietà materiali	86
8.10.3	Risultati dell'analisi	86
9.	COEFFICIENTI DI SICUREZZA RAGGIUNTI.....	92
10.	ALLEGATO FASCICOLO DEI CALCOLI	107

APPALTATORE: D'AGOSTINO ANGELO ANTONIO COSTRUZIONI GENERALI s.r.l.	RIASSETTO NODO DI BARI					
PROGETTISTA: Mandataria: Mandante: RPA srl Technital SpA HUB Engineering Scarl	TRATTA A SUD DI BARI – VARIANTE DI TRACCIATO TRA BARI CENTRALE E BARI TORRE A MARE					
PROGETTO ESECUTIVO: Relazione di calcolo pensilina di ingresso	PROGETTO	LOTTO	CODIFICA	DOCUMENTO	REV.	FOGLIO
	IA3S	01	E ZZ CL	FV020C 001	C	4 DI 107

1. PREMESSA

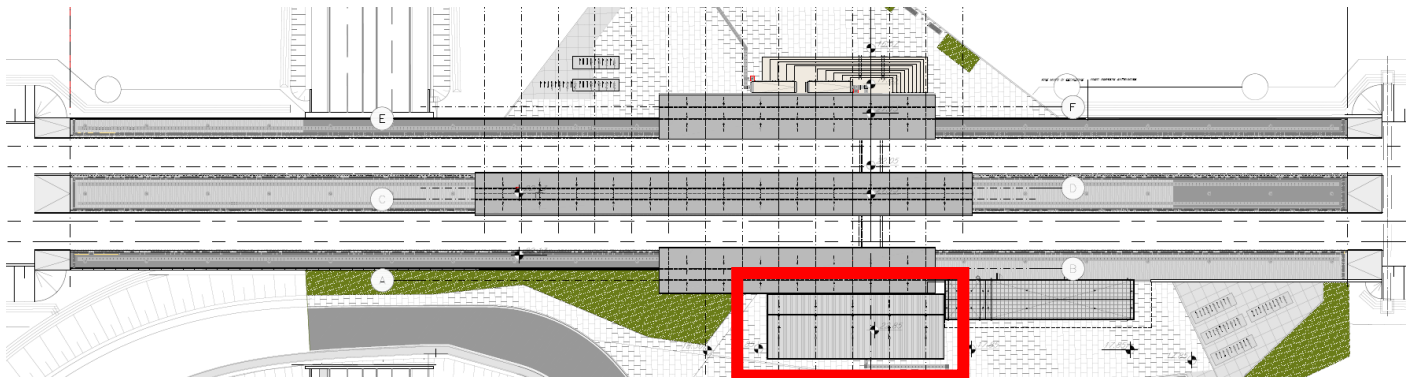
Nell'ambito della progettazione della variante di tracciato tra Bari Centrale e Bari Torre a Mare è prevista la realizzazione di una nuova stazione denominata Executive. Questa consta di diverse strutture tra loro strutturalmente non connesse.

La presente relazione definisce i dati di calcolo e le risultanze dell'analisi della pensilina in acciaio di accesso alla stazione. La stessa struttura ospita, nella zona nord, un locale commerciale.

La struttura oggetto di analisi ha una fondazione in plinti in calcestruzzo collegati con travi di sezione 30x40cm e 30x120cm. Sempre in fondazione è presente una trave 30x120cm che si estende oltre i plinti e servirà da appoggio per le pareti perimetrali del locale commerciale (si rimanda ai grafici per maggiore chiarezza). Complessivamente la fondazione avrà una estensione planimetrica di 31.05x9.68m. I plinti hanno dimensione in pianta 225x225cm e spessore 40cm; il collegamento tra i plinti ed i pilastri in elevazione è realizzato con dado in calcestruzzo 80x80x80cm nel quale sono annegati dei tirafondi Ø20 di lunghezza 0.60 e contropiastra in acciaio 36x45x3cm.

In elevazione la struttura risulta realizzata completamente in acciaio con pilastri HE260B, travi HE260B ed HE220B, travetti secondari IPE100 travi perimetrali UPN260 e controventi Ø20.

Per maggiore chiarezza si riportano alcuni stralci dei grafici mentre, al capitolo "Schema di calcolo e calcolo delle sollecitazioni", sono state riportate delle viste di rappresentazione del modello di calcolo.



APPALTATORE:
D'AGOSTINO ANGELO ANTONIO COSTRUZIONI
GENERALI s.r.l.

RIASSETTO NODO DI BARI

PROGETTISTA:

TRATTA A SUD DI BARI – VARIANTE DI TRACCIATO TRA
BARI CENTRALE E BARI TORRE A MARE

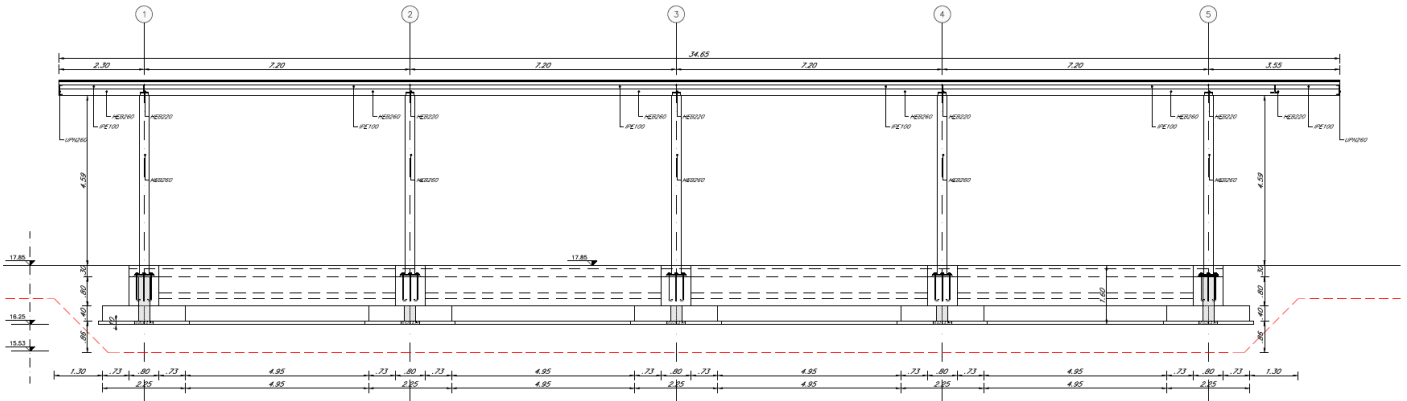
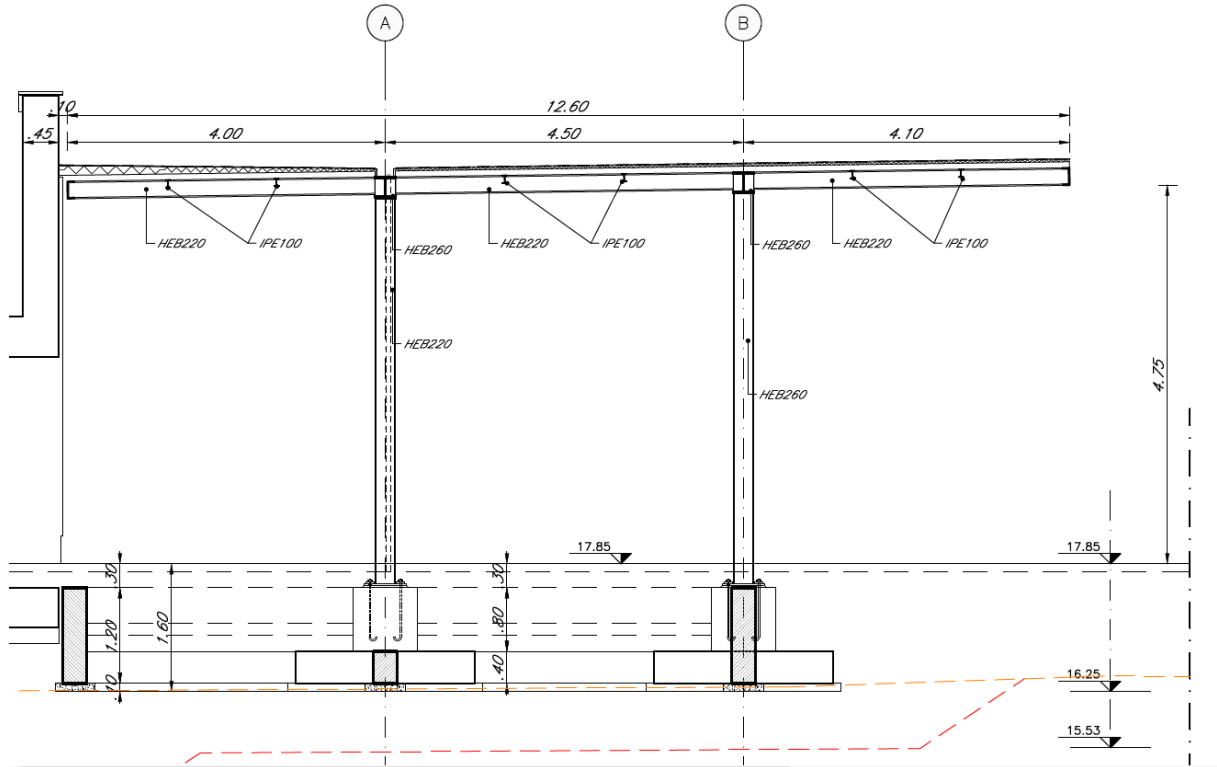
Mandataria: Mandante:

RPA srl Technital SpA HUB Engineering Scarl

PROGETTO ESECUTIVO:

PROGETTO	LOTTO	CODIFICA	DOCUMENTO	REV.	FOGLIO
IA3S	01	E ZZ CL	FV020C 001	C	5 DI 107

Relazione di calcolo pensilina di ingresso



APPALTATORE: D'AGOSTINO ANGELO ANTONIO COSTRUZIONI GENERALI s.r.l.	RIASSETTO NODO DI BARI					
PROGETTISTA: Mandataria: Mandante: RPA srl Technital SpA HUB Engineering Scarl	TRATTA A SUD DI BARI – VARIANTE DI TRACCIATO TRA BARI CENTRALE E BARI TORRE A MARE					
PROGETTO ESECUTIVO: Relazione di calcolo pensilina di ingresso	PROGETTO	LOTTO	CODIFICA	DOCUMENTO	REV.	FOGLIO
	IA3S	01	E ZZ CL	FV020C 001	C	7 DI 107

2. NORME DI RIFERIMENTO

Nel seguente elenco sono riportate le norme di riferimento secondo le quali sono state condotte le fasi di calcolo e verifica degli elementi strutturali:

Legge 5 novembre 1971 n. 1086 (G. U. 21 dicembre 1971 n. 321)

“Norme per la disciplina delle opere di conglomerato cementizio armato, normale e precompresso ed a struttura metallica”

Legge 2 febbraio 1974 n. 64 (G. U. 21 marzo 1974 n. 76)

“Provvedimenti per le costruzioni con particolari prescrizioni per le zone sismiche”

D.M. 14.01.2008 ("Nuove norme tecniche per le costruzioni")

Nel seguito denominate NT (norme tecniche)

Circolare 2 febbraio 2009 n°617

Istruzioni per l'applicazione delle “Nuove norme tecniche per le costruzioni” di cui al decreto ministeriale

UNI EN 1992-1-1

Progettazione delle strutture di calcestruzzo

UNI EN 206-1-2016

Calcestruzzo: specificazione, prestazione, produzione e conformità

Norme tecniche, circolari e istruzioni Rete Ferroviaria Italiana

RFI DTC INC CS LG IFS 001 A

Linee guida per il collaudo statico delle opere in terra

RFI DTC INC CS SP IFS 001 A

Specifica per la progettazione geotecnica delle opere civili ferroviarie

RFI DTC INC PO SP IFS 001 A

Specifica per la progettazione e l'esecuzione dei ponti ferroviari e di altre opere minori sotto binario

RFI DTC INC PO SP IFS 002 A

Specifica per la progettazione e l'esecuzione di cavalcavia e passerelle pedonali sulla sede ferroviaria

RFI DTC INC PO SP IFS 003 A

Specifica per la verifica a fatica dei ponti ferroviari

RFI DTC INC PO SP IFS 004 A

Specifica per la progettazione e l'esecuzione di impalcati ferroviari a travi in ferro a doppio T incorporate nel calcestruzzo

RFI DTC INC PO SP IFS 005 A

Specifica per il progetto, la produzione, il controllo della produzione e la posa in opera dei dispositivi di vincolo e dei coprigiunti degli impalcati ferroviari e dei cavalcavia.

APPALTATORE: D'AGOSTINO ANGELO ANTONIO COSTRUZIONI GENERALI s.r.l.	RIASSETTO NODO DI BARI					
PROGETTISTA: Mandataria: Mandante: RPA srl Technital SpA HUB Engineering Scarl						
PROGETTO ESECUTIVO: Relazione di calcolo pensilina di ingresso	PROGETTO	LOTTO	CODIFICA	DOCUMENTO	REV.	FOGLIO
	IA3S	01	E ZZ CL	FV020C 001	C	8 DI 107

3. VITA NOMINALE, CLASSI D'USO E PERIODO DI RIFERIMENTO

La costruzione in oggetto è definita dalla seguente tipologia (p.to 2.4 delle NT):

Vita della struttura	
Tipo	Opere ordinarie (50-100)
Vita nominale VN [anni]	75.0
Classe d'uso	III
Coefficiente d'uso CU	1.500
Periodo di riferimento VR [anni]	112.500
Probabilità di superamento PVR allo Stato limite di esercizio - SLD	81.0%
Probabilità di superamento PVR allo Stato limite di esercizio - SLD	63.0%
Probabilità di superamento PVR allo Stato limite ultimo - SLV	10.0%
Periodo di ritorno TR SLO [anni]	67.7
Periodo di ritorno TR SLD [anni]	75.4
Periodo di ritorno TR SLV [anni]	1067.8

Per maggiori dettagli riguardo l'azione sismica si veda la definizione degli spettri di risposta

APPALTATORE: D'AGOSTINO ANGELO ANTONIO COSTRUZIONI GENERALI s.r.l.	RIASSETTO NODO DI BARI					
PROGETTISTA: Mandataria: Mandante: RPA srl Technital SpA HUB Engineering Scarl	TRATTA A SUD DI BARI – VARIANTE DI TRACCIATO TRA BARI CENTRALE E BARI TORRE A MARE					
PROGETTO ESECUTIVO: Relazione di calcolo pensilina di ingresso	PROGETTO IA3S	LOTTO 01	CODIFICA E ZZ CL	DOCUMENTO FV020C 001	REV. C	FOGLIO 9 DI 107

4. MATERIALI

Per la realizzazione dell'opera in oggetto saranno impiegati i seguenti materiali, di cui si riportano nell'ordine le proprietà meccaniche adottate nel calcolo elastico e le resistenze di calcolo per le verifiche di sicurezza. Tutti i materiali impiegati dovranno essere comunque verificati con opportune prove di laboratorio secondo le prescrizioni della vigente Normativa.

4.1 Calcestruzzo strutture di base C25/30

Ai fini della valutazione del comportamento e della resistenza delle strutture in calcestruzzo, questo viene identificato mediante la classe di resistenza contraddistinta dai valori caratteristici delle resistenze cilindrica e cubica a compressione uniassiale, misurate rispettivamente su provini cilindrici e cubici, espressa in MPa. Alla tabella 4.1.I delle NTC sono riportate le classi di resistenza. Per l'opera di fondazione della strutturale in esame si utilizza calcestruzzo **C25/30**. Con riferimento alla normativa vigente si riportano le caratteristiche del materiale utilizzo.

[NTC – 4.1.2.1.1.1] La resistenza di calcolo a compressione del calcestruzzo f_{cd} è calcolata:

$$f_{cd} = \frac{f_{ck} \cdot \alpha_{cc}}{1.5} = 14.17 MPa$$

dove:

- α_{cc} è il coefficiente che tiene conto degli effetti di lunga durata sulla resistenza a compressione, pari a 0.85;
- γ_c è il coefficiente parziale di sicurezza relativo al calcestruzzo, pari a 1.5;
- f_{ck} è la resistenza caratteristica cilindrica a compressione del calcestruzzo a 28 giorni.

[NTC – 11.2.10.3] Per modulo elastico del calcestruzzo, in sede di progettazione, si può assumere:

$$E_{cm} = 22.000 \cdot \left(\frac{f_{cm}}{10}\right)^{0.3} = 22.000 \cdot \left(\frac{33}{10}\right)^{0.3} = 31476 MPa$$

dove f_{cm} è il valore medio della resistenza cilindrica, calcolato come segue:

$$f_{cm} = f_{ck} + 8 = 25 + 8 = 33 MPa$$

[NTC – 4.1.2.1.1.2] La resistenza di calcolo a trazione f_{ctd} è definita come:

$$f_{ctd} = \frac{f_{ctk}}{\gamma_c} = \frac{0.7 \cdot f_{ctm}}{\gamma_c} = \frac{0.7 \cdot 0.30 \cdot f_{ck}^{2/3}}{\gamma_c} = 1.20 MPa$$

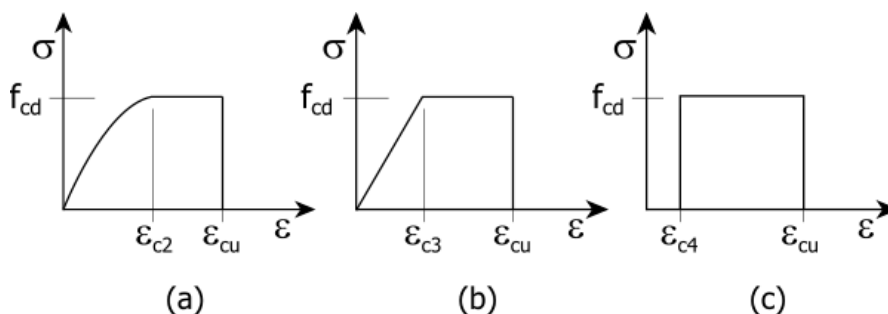
dove [NTC – 11.2.10.2]:

- f_{ctk} è la resistenza caratteristica a trazione del calcestruzzo
- f_{ctm} è la resistenza media a trazione semplice (assiale) per classi inferiori o uguali a C50/60.

$$f_{ctm} = 0.30 \cdot f_{ck}^{2/3} = 2.56 MPa$$

I diagrammi costitutivi del calcestruzzo e dell'acciaio per calcestruzzo sono stati adottati in conformità alle indicazioni riportate al punto 4.1.2.1.2 delle NT; in particolare per le verifiche delle sezioni in calcestruzzo armato è stato adottato il modello di calcestruzzo riportato in (a) della figura seguente:

APPALTATORE: D'AGOSTINO ANGELO ANTONIO COSTRUZIONI GENERALI s.r.l.	RIASSETTO NODO DI BARI					
PROGETTISTA: Mandataria: Mandante: RPA srl Technital SpA HUB Engineering Scarl	TRATTA A SUD DI BARI – VARIANTE DI TRACCIATO TRA BARI CENTRALE E BARI TORRE A MARE					
PROGETTO ESECUTIVO: Relazione di calcolo pensilina di ingresso	PROGETTO	LOTTO	CODIFICA	DOCUMENTO	REV.	FOGLIO
	IA3S	01	E ZZ CL	FV020C 001	C	10 DI 107



Diagrammi di calcolo tensione/deformazione del calcestruzzo - a) parabola-rettangolo; b) triangolo-rettangolo; c) rettangolo (stress-block)

Nelle verifiche allo stato limite di esercizio, la massima tensione di compressione del calcestruzzo σ_c deve rispettare le seguenti limitazione [NTC – 4.1.2.2.5.1]:

$$\sigma_c < 0.60 \cdot f_{ck} = 15.00 \text{ MPa (Condizione caratteristica rara)}$$

$$\sigma_c < 0.45 \cdot f_{ck} = 11.25 \text{ MPa (Condizione caratteristica quasi permanente)}$$

Le strutture di progetto saranno soggette alle intemperie e/o interrate. La classe di esposizione del calcestruzzo utilizzata è **XC2** (calcestruzzo armato ordinario prevalentemente immerso in terreno non aggressivo), in accordo con la tabella 4.1.III delle NTC.

4.2 Acciaio B450C per calcestruzzo armato

Le norme prescrivono, per il calcestruzzo armato, l'utilizzo di armature di classe B450C. Tali armature hanno una resistenza f_{yd} , riferita alla tensione di snervamento [NTC – 4.1.6]:

$$f_{yd} = \frac{f_{yk}}{1.15} = 391.3 \text{ MPa}$$

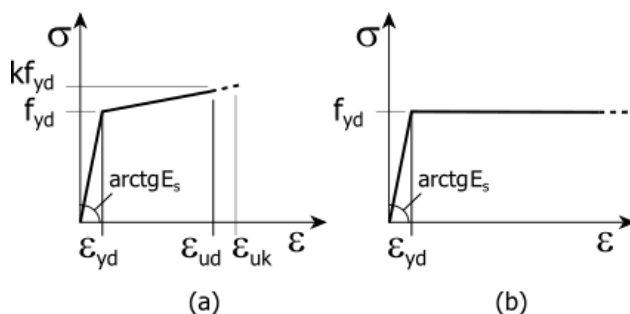
Dove

- γ_s è il coefficiente parziale di sicurezza relativo all'acciaio, pari ad 1,15 per tutti i tipi di acciaio;
- f_{yk} per armatura ordinaria è la tensione caratteristica di snervamento dell'acciaio [NTC – 11.3.2].

[NTC – 11.3.4.1] In sede di progettazione si può assumere convenzionalmente il valore nominale del modulo elastico, pari a:

$$E_s = 210000 \text{ MPa}$$

I diagrammi costitutivi dell'acciaio per calcestruzzo sono stati adottati in conformità alle indicazioni riportate al punto 4.1.2.1.2 delle NT



Diagrammi di calcolo tensione/deformazione dell'acciaio per calcestruzzo.

APPALTATORE: D'AGOSTINO ANGELO ANTONIO COSTRUZIONI GENERALI s.r.l.	RIASSETTO NODO DI BARI					
PROGETTISTA: Mandataria: Mandante: RPA srl Technital SpA HUB Engineering Scarl	TRATTA A SUD DI BARI – VARIANTE DI TRACCIATO TRA BARI CENTRALE E BARI TORRE A MARE					
PROGETTO ESECUTIVO: Relazione di calcolo pensilina di ingresso	PROGETTO IA3S	LOTTO 01	CODIFICA E ZZ CL	DOCUMENTO FV020C 001	REV. C	FOGLIO 11 DI 107

4.3 Copriferro minimo per opere in c.a.

Per garantire la durabilità delle strutture in calcestruzzo armato ordinario o precompresso, esposte all'azione dell'ambiente, si devono adottare i provvedimenti atti a limitare gli effetti di degrado indotti dall'attacco chimico, fisico e derivante dalla corrosione delle armature e dai cicli di gelo e disgelo.

A tal fine in fase di progetto la prescrizione, valutate opportunamente le condizioni ambientali del sito ove sorgerà la costruzione o quelle di impiego, deve fissare le caratteristiche del calcestruzzo da impiegare (composizione e resistenza meccanica), i valori del copriferro e le regole di maturazione.

Per copriferro delle armature si intende la distanza tra la superficie esterna dell'armatura, inclusi collegamenti e staffe, e la superficie di calcestruzzo più vicina. La protezione dell'armatura contro la corrosione si basa sulla presenza continua di un ambiente alcalino ottenuto con un adeguato spessore di calcestruzzo di buona qualità, correttamente maturato. Lo spessore di copriferro dipende sia dalle condizioni ambientali che dalla qualità del calcestruzzo.

Pertanto, il progetto dovrà contenere tutte le indicazioni costruttive per realizzare e controllare il copriferro.

Il copriferro nominale, in accordo all'EC2, si può calcolare come segue:

$$C_{nom} = C_{min} + \Delta C_{dev}$$

dove:

- C_{nom} è il valore nominale di progetto;
- C_{min} è il valore minimo del copriferro;
- ΔC_{dev} è la tolleranza di esecuzione relativa al copriferro.

Il valore della tolleranza di esecuzione ΔC_{dev} , è assunto di norma pari a 10 mm, ma se in cantiere si prevedono controlli di qualità che comportano la misura dei copriferri, può assumersi $\Delta C_{dev}=5$ mm. Nel caso specifico si considera pari a 10mm.

Il valore minimo del copriferro è dato da:

$$C_{min} = \text{MAX} (C_{min,b} ; C_{min,dur} ; 10 \text{ mm})$$

dove:

- $C_{min,b}$ è il copriferro minimo necessario per l'aderenza delle armature;
- $C_{min,dur}$ è il copriferro minimo correlato alle condizioni ambientali (durabilità).

Il valore di $C_{min,b}$ è da assumersi pari al diametro della barra. Se la dimensione dell'inerte è più grande di 32 mm, il valore di $C_{min,b}$ deve essere maggiorato di 5 mm.

Le dimensioni minima da assumere per il copriferro in relazione alle condizioni ambientali ($C_{min,dur}$), sono funzione della classe strutturale e della classe ambientale e si ricavano dalla tabella 4.4N dell'Eurocodice 2 che qui si riporta.

Tab. 4.4 N - Copriferro minimo richiesto (mm)							
Classe Strutturale	Classi di esposizione ambientale in accordo con il prospetto 4.1						
	X0	XC1	XC2 /XC3	XC4	XD1 / XS1	XD2 / XS2	XD3 / XS3
S1	10	10	10	15	20	25	30
S2	10	10	15	20	25	30	35
S3	10	10	20	25	30	35	40
S4	10	15	25	30	35	40	45
S5	15	20	30	35	40	45	50
S6	20	25	35	40	45	50	55

La classe strutturale da prendere normalmente a riferimento per gli edifici è la S4 (vita media di progetto della struttura 50 anni).

APPALTATORE: D'AGOSTINO ANGELO ANTONIO COSTRUZIONI GENERALI s.r.l.	RIASSETTO NODO DI BARI					
PROGETTISTA: Mandataria: Mandante: RPA srl Technital SpA HUB Engineering Scarl	TRATTA A SUD DI BARI – VARIANTE DI TRACCIATO TRA BARI CENTRALE E BARI TORRE A MARE					
PROGETTO ESECUTIVO: Relazione di calcolo pensilina di ingresso	PROGETTO IA3S	LOTTO 01	CODIFICA E ZZ CL	DOCUMENTO FV020C 001	REV. C	FOGLIO 12 DI 107

A partire dalla classe strutturale di progetto della struttura, per il dimensionamento del copriferro minimo può farsi riferimento ad altre classi strutturali qualora sussistano le condizioni riportate nella tabella 4.3N a cui si rimanda.

Per le fondazioni, per classe di esposizione XC2 si considera un copriferro minimo pari a 25mm. A questi è stata aggiunta la tolleranza di 10mm ed un ulteriore incremento di 5mm per elementi interrati. In conclusione, si considera un copriferro di **40mm**.

4.4 Acciaio per carpenteria metallica

I requisiti per l'esecuzione di strutture di acciaio, al fine di assicurare un adeguato livello di resistenza meccanica e stabilità, di efficienza e di durata, devono essere conformi alle UNI EN 1090-2:2011, "Esecuzione di strutture di acciaio e di alluminio – Parte 2: Requisiti tecnici per strutture di acciaio", per quanto non in contrasto con le Norme tecniche.

Per la realizzazione di strutture metalliche e di strutture composte si dovranno utilizzare acciai conformi alle norme armonizzate UNI EN 10025-1, UNI EN 10210-1 e UNI EN 10219-1, recanti la Marcatura CE, cui si applica il sistema di valutazione e verifica della costanza della prestazione 2+, e per i quali si rimanda a quanto specificato al punto A del § 11.1 della norma tecnica.

Per le pensiline, oggetto principale di analisi della presente relazione, si è scelto di utilizzare acciaio S275J0 classificato secondo la UNI EN 10025-2 per profili a sezione aperta.

In sede di progettazione si possono assumere nei calcoli i valori nominali delle tensioni caratteristiche di snervamento f_{yk} e di rottura f_{tk} riportati di seguito:

$$f_{yk} = 275MPa$$

$$f_{tk} = 430MPa$$

Il modulo elastico dell'acciaio è:

$$E_s = 210000MPa$$

Il modulo di elasticità trasversale è pari a:

$$G = 80769.23MPa$$

Le stesse caratteristiche saranno considerate per le piastre di collegamento.

4.5 Bulloni di collegamento classe 8.8

Caratteristiche dimensionali conformi alle norme UNI EN ISO 4016:2011

Viti conformi alle norme UNI EN ISO 898-1:2009

Dadi conformi alla norma UNI EN 898-2:2012

Rosette in acciaio C 50 UNI EN 10083-2-2006 temperato e rinvenuto HCR 32-40

Piastrine in acciaio C 50 UNI EN 10083-2-2006 temperato e rinvenuto HCR 32-40

Classe bulloni	Classe dado	f_{yb}	f_{tb}	α_v	γ_{M2}	γ_{M3}	$\gamma_{M6,ser}$	γ_{M7}
		[MPa]	[MPa]					
8.8	8	640.00	800.00	0.6	1.25	1.25	1.00	1.10

4.6 Saldature

Le saldature dovranno essere eseguite secondo i procedimenti omologati e qualificati previsti dalle Norme tecniche NTC2008.

APPALTATORE: D'AGOSTINO ANGELO ANTONIO COSTRUZIONI GENERALI s.r.l.	RIASSETTO NODO DI BARI					
PROGETTISTA: Mandataria: Mandante: RPA srl Technital SpA HUB Engineering Scarl	TRATTA A SUD DI BARI – VARIANTE DI TRACCIATO TRA BARI CENTRALE E BARI TORRE A MARE					
PROGETTO ESECUTIVO: Relazione di calcolo pensilina di ingresso	PROGETTO IA3S	LOTTO 01	CODIFICA E ZZ CL	DOCUMENTO FV020C 001	REV. C	FOGLIO 13 DI 107

5. TERRENO DI FONDAZIONE

Il piano di posa della fondazione della struttura in oggetto avrà una quota, rispetto al piano campagna esistente, pari a circa -1.14m. Alla detta quota è previsto un getto di calcestruzzo magro (magrone) di spessore 0.10m.

Dalla documentazione geologica risulta che il terreno presenta n°4 strati di cui il primo, costituito da terreno vegetale, sarà completamente rimosso per raggiungere la quota di fondazione.

Dalle risultanze delle prove MASW lo stesso rientra nella **categoria A** (Tab. 3.2.II della NT) in quanto presenta velocità di onde di taglio superiori a 800m/s; i parametri geotecnici adottati, in maniera cautelativa nell'analisi sono i seguenti:

N°	s	γ	ϕ	c	E'	ν_u	k_0	Note
	[cm]	[t/m ³]	[°]	[t/m ²]	[t/m ²]		MPa	
1	300	2.0	32	1.00	2000	0.3		Calcareniti di Gravina (GRAalt)
2	200	2.3	36	2.00	4000	0.3		Calcere di Bari (CBA)
3	2500	2.4	38	4.0	4000	0.3		Calcere di Bari (CBA)

N° = Numero strato, s = spessore, γ = peso specifico, c = coesione, E_{ed} = modulo edometrico, ν_u = coefficiente di Poisson

Nel caso non si dovesse riscontrare, per tutta l'estensione della fondazione, la presenza di terreno con caratteristiche assimilabili a calcarenite di Gravina, si dovrà eseguire l'asporto dello stesso e la sostituzione, fino a quota fondazione, con misto cementato adeguatamente compattato fino ad ottenere quanto segue:

N°	s	γ	ϕ	c	E'	ν_u	k_0	Note
	[cm]	[t/m ³]	[°]	[t/m ²]	[t/m ²]		MPa	
1	200	2.0	35	0.00	1000	0.3		Misto cementato

Per la determinazione del carico limite del complesso terreno-fondazione, pertanto, si sono assunti i parametri fisico-meccanici precedentemente indicati. Per maggiori dettagli riguardo i parametri che caratterizzano il terreno si rimanda alla relazione geologica e a quella geotecnica.

APPALTATORE: D'AGOSTINO ANGELO ANTONIO COSTRUZIONI GENERALI s.r.l.	RIASSETTO NODO DI BARI					
PROGETTISTA: Mandataria: Mandante: RPA srl Technital SpA HUB Engineering Scarl	TRATTA A SUD DI BARI – VARIANTE DI TRACCIATO TRA BARI CENTRALE E BARI TORRE A MARE					
PROGETTO ESECUTIVO: Relazione di calcolo pensilina di ingresso	PROGETTO	LOTTO	CODIFICA	DOCUMENTO	REV.	FOGLIO
	IA3S	01	E ZZ CL	FV020C 001	C	14 DI 107

6. ANALISI DEI CARICHI

La valutazione dei carichi e dei sovraccarichi è stata effettuata in accordo con le disposizioni contenute nel D.M. 14.01.2008 ("Nuove norme tecniche per le costruzioni").

Il peso proprio degli elementi strutturali viene determinato automaticamente dal software in uso dopo aver impostato il peso specifico del materiale da costruzione utilizzato. Di seguito si riportano tutti i valori utilizzati.

6.1 Pesì propri

La struttura in elevazione è composta da elementi in acciaio il cui peso specifico è pari a:

$$\gamma_s = 7850 \text{ Kg/m}^3$$

Le strutture di fondazione sono in calcestruzzo armato il cui peso per unità di volume è pari a:

$$\gamma_{cls} = 2500 \text{ Kg/m}^3$$

6.2 Carichi permanenti non strutturali

I carichi permanenti non strutturali sono rappresentati dalla lamiera grecata di copertura e dal controsoffitto. In assenza di una scheda tecnica specifica della lamiera di copertura, della controsoffittatura ed altri rivestimenti, si è scelto di adottare un carico medio ricavato da diverse schede tecniche ed opportunamente incrementato. Per tale motivo si considera:

$$g_2 = QP \text{ Solai} = 50 \text{ Kg/m}^2$$

6.3 Sovraccarichi accidentali

I sovraccarichi accidentali (o carichi variabili) appartengono alla categoria H "Coperture accessibili per sola manutenzione e riparazione" (tab. 3.1.II della NT):

$$q = QV \text{ Solai} = 50 \text{ Kg/m}^2$$

Nelle combinazioni di carico riportate nei capitoli seguenti sono presenti i carichi "QV SolaiPsi0", "QV SolaiPsi1", e "QV SolaiPsi2" che rappresentano il sovraccarico accidentale ridotto secondo i coefficienti riportati alla tab. 2.5.I della NT ed impostati per ogni solaio presente nel modello.

6.4 Azione termica

Si considera una variazione termica uniforme pari a $DT = \pm 15^\circ\text{C}$.

6.5 Carico da neve

Per il carico da neve si considera quanto segue:

Provincia:	BARI
Zona:	2
Altitudine as:	30 m s.l.m.
Esposizione:	Normale
Periodo di ritorno:	50 anni

Il carico neve sulle coperture viene valutato con la seguente espressione [3.4.1. NT]:

$$q_s = q_{sk} \cdot \mu_i \cdot C_E \cdot C_t = 1.00 \cdot 0.8 \cdot 1.0 \cdot 1.0 = 0.8 \text{ kN/m}^2$$

dove:

- q_{sk} è il valore di riferimento del carico della neve al suolo, di cui al § 3.4.2 NT;

APPALTATORE: D'AGOSTINO ANGELO ANTONIO COSTRUZIONI GENERALI s.r.l.	RIASSETTO NODO DI BARI					
PROGETTISTA: Mandataria: Mandante: RPA srl Technital SpA HUB Engineering Scarl	TRATTA A SUD DI BARI – VARIANTE DI TRACCIATO TRA BARI CENTRALE E BARI TORRE A MARE					
PROGETTO ESECUTIVO: Relazione di calcolo pensilina di ingresso	PROGETTO	LOTTO	CODIFICA	DOCUMENTO	REV.	FOGLIO
	IA3S	01	E ZZ CL	FV020C 001	C	15 DI 107

- μ_i è il coefficiente di forma della copertura, di cui al § 3.4.3 NT;
- C_E è il coefficiente di esposizione di cui al § 3.4.4 NT;
- C_t è il coefficiente termico di cui al § 3.4.5 NT.

Nel caso in esame (copertura ad una falda), con angolo di inclinazione pari a 0.8° , è possibile considerare un coefficiente di forma:

$$\mu_1 = 0.8 \text{ per } 0^\circ \leq \alpha \leq 30^\circ \text{ [Tab. 3.4.II NT]}$$

Inoltre, essendo la struttura in zona 2 (Fig. 3.4.1 NT – Zone di carico della neve), si può considerare:

$$q_{sk} = 1.00 \frac{kN}{m^2} \text{ per } a_s \leq 200 \text{ m [eq. 3.4.3 NT]}$$

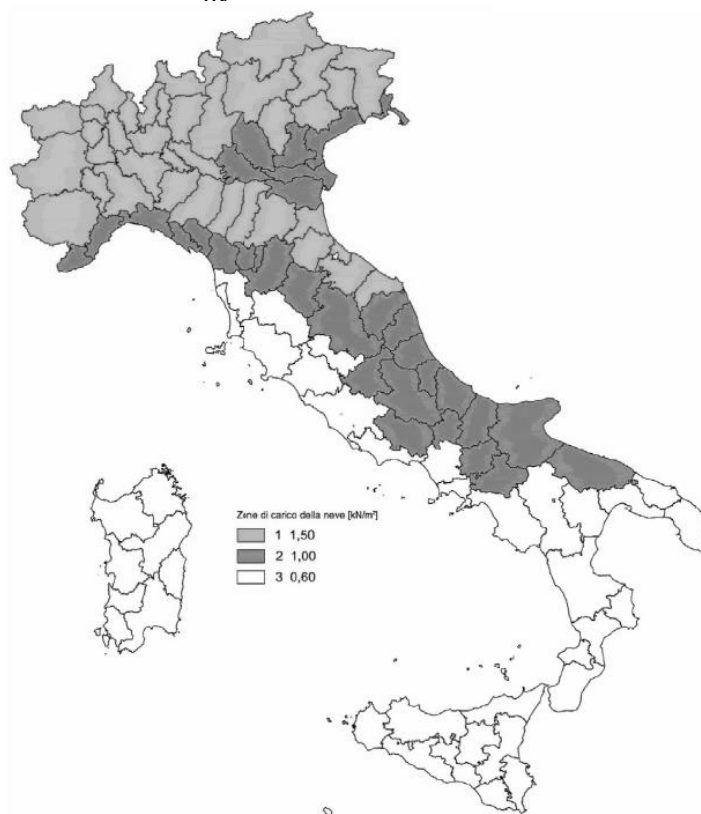


Fig. 3.4.1. NT – Zone di carico della neve

Si può considerare una esposizione topografica Normale - “Aree in cui non è presente una significativa rimozione di neve sulla costruzione prodotta dal vento, a causa del terreno, altre costruzioni o alberi” [Tab. 3.4.I NT] per cui il coefficiente di esposizione C_E è pari a 1.0.

Il coefficiente termico, in assenza di uno specifico e documentato studio, deve essere posto C_t pari a 1.0.

6.6 Carico da vento

Per il carico da vento si è fatto riferimento a quanto riportato dalla circolare 2 febbraio 2009, n.617 (Istruzioni per l’applicazione delle “Nuove norme tecniche per le costruzioni” di cui al decreto ministeriale 14 gennaio 2008).

APPALTATORE: D'AGOSTINO ANGELO ANTONIO COSTRUZIONI GENERALI s.r.l.	RIASSETTO NODO DI BARI					
PROGETTISTA: Mandataria: Mandante: RPA srl Technital SpA HUB Engineering Scarl	TRATTA A SUD DI BARI – VARIANTE DI TRACCIATO TRA BARI CENTRALE E BARI TORRE A MARE					
PROGETTO ESECUTIVO: Relazione di calcolo pensilina di ingresso	PROGETTO	LOTTO	CODIFICA	DOCUMENTO	REV.	FOGLIO
	IA3S	01	E ZZ CL	FV020C 001	C	16 DI 107

L'azione del vento viene calcolata come segue [3.3.4 NT]:

$$p = q_r \cdot c_e \cdot c_p \cdot c_d$$

dove

- q_r è la pressione cinetica di riferimento di cui al § 3.3.6 NT;
- c_e è il coefficiente di esposizione di cui al § 3.3.7 NT;
- c_p è il coefficiente di pressione di cui al § 3.3.8 NT;
- c_d è il coefficiente dinamico di cui al § 3.3.9 NT.

La pressione cinetica di riferimento q_r è data dall'espressione [3.3.6 NT]:

$$q_r = \frac{1}{2} \cdot \rho \cdot v_r^2$$

dove

- v_r è la velocità di riferimento del vento di cui al § 3.3.2 NT;
- ρ è la densità dell'aria assunta convenzionalmente costante e pari a 1,25 kg/m³.

La struttura ricade in zona 3: "Toscana, Marche, Umbria, Lazio, Abruzzo, Molise, Puglia, Campania, Basilicata, Calabria (esclusa la provincia di Reggio Calabria) per cui si ha:

Zona	$V_{b,0}$ (m/s)	a_0 (m)	K_s
3	27	500	0.37

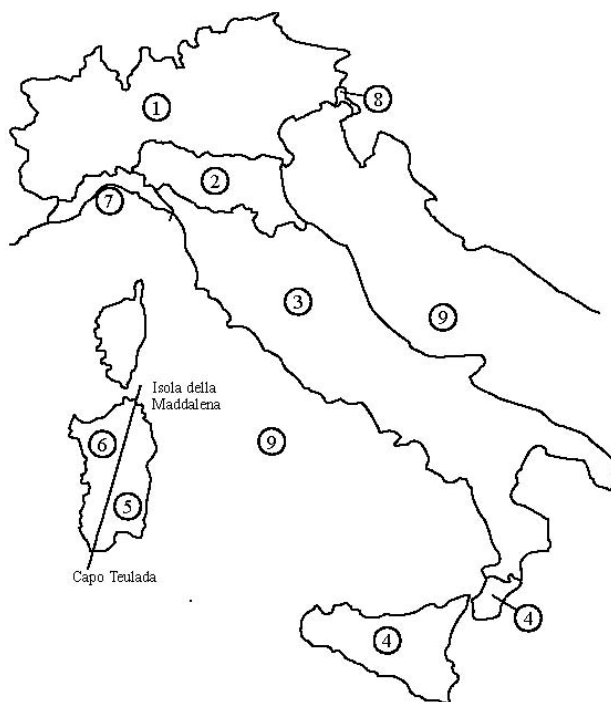
Inoltre, si può considerare una classe di rugosità del terreno tipo D non essendoci ostacoli diffusi. Quindi si ha:

Categoria di esposizione	K_r	z_0 (m)	z_{min} (m)
II	0.19	0.05	4

ZONE 1,2,3,4,5						
	costa			500 m	750 m	
	mare	2 km	10 km			
A	-	IV	IV	V	V	V
B	-	III	III	IV	IV	IV
C	-	*	III	III	IV	IV
D	I	II	II	II	III	**

* Categoria II in zona 1,2,3,4
Categoria III in zona 5

** Categoria III in zona 2,3,4,5
Categoria IV in zona 1



Per cui si ha:

Velocità base di riferimento del vento

$$v_b = v_{b,0} \cdot c_a = 27 \cdot 1 = 27 \text{ m/s}$$

$$c_a = 1 \quad \text{per} \quad a_s = 30 \leq a_0 = 500$$

Velocità di riferimento del vento

$$v_r = v_b \cdot c_t = 27 \cdot 1 = 27 \text{ m/s}$$

$$c_t = 1 \quad \text{per} \quad T_R = 50 \text{ anni}$$

Coefficiente dinamico

APPALTATORE: D'AGOSTINO ANGELO ANTONIO COSTRUZIONI GENERALI s.r.l.	RIASSETTO NODO DI BARI					
PROGETTISTA: Mandataria: Mandante: RPA srl Technital SpA HUB Engineering Scarl	TRATTA A SUD DI BARI – VARIANTE DI TRACCIATO TRA BARI CENTRALE E BARI TORRE A MARE					
PROGETTO ESECUTIVO: Relazione di calcolo pensilina di ingresso	PROGETTO IA3S	LOTTO 01	CODIFICA E ZZ CL	DOCUMENTO FV020C 001	REV. C	FOGLIO 17 DI 107

$$c_d = 1$$

Coefficiente di esposizione

$$c_e(z) = k_r^2 \cdot c_t \cdot \ln \frac{z}{z_0} \cdot \left(7 + c_t \cdot \ln \frac{z}{z_0} \right) = 1.93 \quad \text{per } z = 5m \geq z_{min} = 4m$$

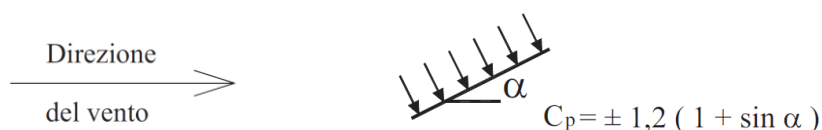
Coefficiente di pressione

Il coefficiente richiede un maggiore approfondimento secondo la circolare esplicativa 617 del 02/02/2009. Nello specifico si è fatto riferimento al capitolo C3.3.10.3 "Tettoie e pensiline isolate".

La struttura in oggetto può essere assimilata ad una tettoia a due spioventi. Per semplicità di calcolo si è considerata la pendenza maggiore delle falde, pari a 5.5°.

In accordo alla circolare prima riportata è possibile considerare quanto segue:

Uno spiovente piano



$$C_p = \pm 1.30$$

Si ottiene quindi:

$$p = q_b \cdot c_p \cdot c_e \cdot c_d = 1148.48 Pa$$

6.7 Azione sismica

L'azione sismica è stata valutata secondo le specifiche delle NTC2008.

Le azioni sismiche di progetto sono calcolate partendo dalla pericolosità sismica di base definita da uno studio condotto dall'INGV (Istituto nazionale di Geofisica e Vulcanologia) i cui risultati sono disponibili e consultabili mediante mappe interattive. Dalla pericolosità sismica di base si ricava la risposta sismica locale tenendo conto delle condizioni morfologiche e stratigrafiche del sito di costruzione. In questa sede, per la valutazione dell'azione sismica sulla struttura si procede con la definizione di uno spettro di risposta elastico in accelerazione, calcolato sulla base della pericolosità sismica di base definita dall'INGV. Il calcolo degli spettri di risposta si basa su tre parametri fondamentali che definiscono la pericolosità sismica di base:

- a_g accelerazione orizzontale massima al sito;
- F_0 valore massimo del fattore di amplificazione dello spettro in accelerazione orizzontale;
- T_C^* valore di riferimento per la determinazione del periodo di inizio del tratto a velocità costante dello spettro in accelerazione orizzontale.

L'espressione analitica dello spettro di risposta elastico in termini di accelerazione orizzontale è la seguente:

$$S_e(T) = a_g \cdot S \cdot \eta \cdot F_0 \cdot \left[\frac{T}{T_B} + \frac{1}{\eta \cdot F_0} \cdot \left(1 - \frac{T}{T_B} \right) \right] \quad 0 \leq T < T_B$$

$$S_e(T) = a_g \cdot S \cdot \eta \cdot F_0 \quad T_B \leq T < T_C$$

APPALTATORE: D'AGOSTINO ANGELO ANTONIO COSTRUZIONI GENERALI s.r.l.	RIASSETTO NODO DI BARI					
PROGETTISTA: Mandataria: Mandante: RPA srl Technital SpA HUB Engineering Scarl	TRATTA A SUD DI BARI – VARIANTE DI TRACCIATO TRA BARI CENTRALE E BARI TORRE A MARE					
PROGETTO ESECUTIVO: Relazione di calcolo pensilina di ingresso	PROGETTO IA3S	LOTTO 01	CODIFICA E ZZ CL	DOCUMENTO FV020C 001	REV. C	FOGLIO 18 DI 107

$$S_e(T) = a_g \cdot S \cdot \eta \cdot F_0 \cdot \frac{T T_C}{T} \quad T_C \leq T < T_D$$

$$S_e(T) = a_g \cdot S \cdot \eta \cdot F_0 \cdot \frac{T_B \cdot T_C}{T} \quad T_D \leq T$$

In cui

- $S = S_e \cdot S_T$
- S_s : coefficiente di amplificazione stratigrafica;
- S_T : coefficiente di amplificazione topografica.
- η : fattore che tiene conto di un coefficiente di smorzamento viscoso equivalente ξ , espresso in punti percentuali diverso da 5 ($\eta=1$ per $\xi=5$):

$$\eta = \sqrt{\frac{10}{5 + \xi}} \geq 0.55$$

T_B , T_C , e T_D rappresentano i periodi che separano i diversi rami dello spettro e che sono pari a:

$$T_C = T_C \cdot T_C^*$$

$$T_B = \frac{T_C}{3}$$

$$T_D = 4.0 + \frac{a_g}{g} + 1.6$$

In cui:

- C_C : coefficiente che tiene conto della categoria del terreno;
- T_C^* : periodo di inizio del tratto a velocità costante dello spettro in accelerazione orizzontale.

Di seguito, in tabella, si riportano tutti i dati ed i parametri utilizzati per la definizione degli spettri di risposta.

Vita della struttura	
Tipo	Opere ordinarie (50-100)
Vita nominale VN [anni]	75.0
Classe d'uso	III
Coefficiente d'uso CU	1.500
Periodo di riferimento VR [anni]	112.500
Probabilità di superamento PVR allo Stato limite di esercizio - SLO	81.0%
Probabilità di superamento PVR allo Stato limite di esercizio - SLD	63.0%
Probabilità di superamento PVR allo Stato limite ultimo - SLV	10.0%
Periodo di ritorno TR SLO [anni]	67.7
Periodo di ritorno TR SLD [anni]	113.2
Periodo di ritorno TR SLV [anni]	1067.8
Parametri del sito	
Comune	Bari
Longitudine	16.8926
Latitudine	41.1041
Id reticolo del sito	31686-31908-31909-31687
Valori di riferimento del sito	

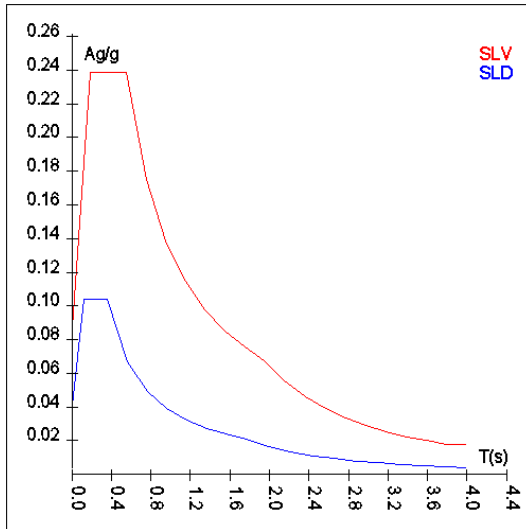
APPALTATORE: D'AGOSTINO ANGELO ANTONIO COSTRUZIONI GENERALI s.r.l.	RIASSETTO NODO DI BARI					
PROGETTISTA: Mandataria: Mandante: RPA srl Technital SpA HUB Engineering Scarl						
PROGETTO ESECUTIVO: Relazione di calcolo pensilina di ingresso	PROGETTO	LOTTO	CODIFICA	DOCUMENTO	REV.	FOGLIO
	IA3S	01	E ZZ CL	FV020C 001	C	19 DI 107

Accelerazione orizzontale massima del sito Ag/g - SLD (TR=113.2)	0.0410
Fattore di amplificazione dello spettro Fo - SLD (TR=113.2)	2.5338
Periodo di riferimento di inizio del tratto a velocità costante T ^c [s] - SLD (TR=113.2)	0.359
Accelerazione orizzontale massima del sito Ag/g - SLV (TR=1067.8)	0.0873
Fattore di amplificazione dello spettro Fo - SLV (TR=1067.8)	2.7364
Periodo di riferimento di inizio del tratto a velocità costante T ^c [s] - SLV (TR=1067.8)	0.552
Coefficiente Amplificazione Topografica St	1.000
Categoria terreno	A
Stato limite SLV	
Coefficiente di amplificazione stratigrafica Ss	1.00
Periodo di inizio del tratto ad accelerazione costante dello spettro TB [s]	0.18
Periodo di inizio del tratto a velocità costante dello spettro TC [s]	0.55
Periodo di inizio del tratto a spostamento costante dello spettro TD [s]	1.95
Stato limite SLD	
Coefficiente di amplificazione stratigrafica Ss	1.00
Periodo di inizio del tratto ad accelerazione costante dello spettro TB [s]	0.12
Periodo di inizio del tratto a velocità costante dello spettro TC [s]	0.36
Periodo di inizio del tratto a spostamento costante dello spettro TD [s]	1.76
Stato limite SLO	
Coefficiente di amplificazione stratigrafica Ss	1.00
Periodo di inizio del tratto ad accelerazione costante dello spettro TB [s]	0.10
Periodo di inizio del tratto a velocità costante dello spettro TC [s]	0.31
Periodo di inizio del tratto a spostamento costante dello spettro TD [s]	1.74
Fattore di comportamento (SLV)	
Classe duttilità	B
Tipo struttura	Acciaio
Fattore per spettro elastico	1.000
Fattore per spettro elastico sisma verticale	1.500
Fattore di comportamento (SLD)	
q	1.500
Fattore di comportamento (SLO) spettro elastico	
q	1.000

Spettro SLV ed SLD – Componente orizzontale

T SLV [s]	Sd SLV[a/g]	T SLD [s]	Sd SLD[a/g]
0.00000	0.08726	0.00000	0.04100
0.18409	0.23879	0.11975	0.10389
0.55228	0.23879	0.35925	0.10389
0.75182	0.17541	0.55993	0.06666
0.95136	0.13862	0.76061	0.04907
1.15090	0.11459	0.96129	0.03883
1.35044	0.09766	1.16197	0.03212
1.54998	0.08509	1.36265	0.02739
1.74952	0.07538	1.56333	0.02387
1.94906	0.06766	1.76401	0.02116
2.15415	0.05539	1.98761	0.01667
2.35925	0.04618	2.21121	0.01347
2.56434	0.03909	2.43481	0.01111
2.76944	0.03351	2.65841	0.00932
2.97453	0.02905	2.88201	0.00793
3.17962	0.02542	3.10560	0.00683
3.38472	0.02244	3.32920	0.00594
3.58981	0.01995	3.55280	0.00522
3.79491	0.01785	3.77640	0.00462
4.00000	0.01745	4.00000	0.00411

APPALTATORE: D'AGOSTINO ANGELO ANTONIO COSTRUZIONI GENERALI s.r.l.	RIASSETTO NODO DI BARI					
PROGETTISTA: Mandataria: Mandante: RPA srl Technital SpA HUB Engineering Scarl	TRATTA A SUD DI BARI – VARIANTE DI TRACCIATO TRA BARI CENTRALE E BARI TORRE A MARE					
PROGETTO ESECUTIVO: Relazione di calcolo pensilina di ingresso	PROGETTO	LOTTO	CODIFICA	DOCUMENTO	REV.	FOGLIO
	IA3S	01	E ZZ CL	FV020C 001	C	20 DI 107

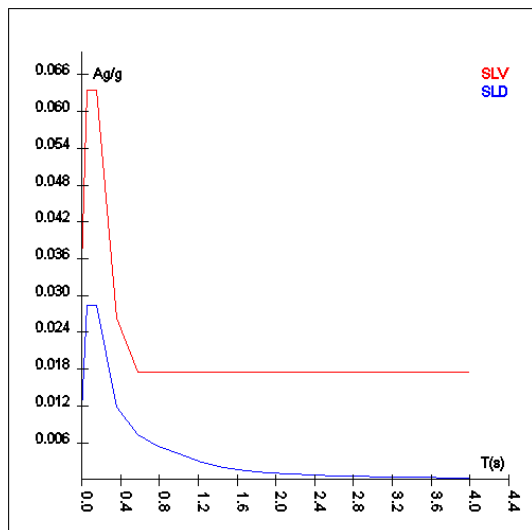


Spettro SLV – SLD sisma orizzontale

Spettro SLV ed SLD – Componente verticale

T SLV [s]	Sd SLV[a/g]	T SLD [s]	Sd SLD[a/g]
0.00000	0.03480	0.00000	0.01121
0.05000	0.06349	0.05000	0.02840
0.15000	0.06349	0.15000	0.02840
0.36250	0.02627	0.36250	0.01175
0.57500	0.01745	0.57500	0.00741
0.78750	0.01745	0.78750	0.00541
1.00000	0.01745	1.00000	0.00426
1.23077	0.01745	1.23077	0.00281
1.46154	0.01745	1.46154	0.00199
1.69231	0.01745	1.69231	0.00149
1.92308	0.01745	1.92308	0.00115
2.15385	0.01745	2.15385	0.00092
2.38462	0.01745	2.38462	0.00075
2.61538	0.01745	2.61538	0.00062
2.84615	0.01745	2.84615	0.00053
3.07692	0.01745	3.07692	0.00045
3.30769	0.01745	3.30769	0.00039
3.53846	0.01745	3.53846	0.00034
3.76923	0.01745	3.76923	0.00030
4.00000	0.01745	4.00000	0.00027

APPALTATORE: D'AGOSTINO ANGELO ANTONIO COSTRUZIONI GENERALI s.r.l.	RIASSETTO NODO DI BARI					
PROGETTISTA: Mandataria: Mandante: RPA srl Technital SpA HUB Engineering Scarl	TRATTA A SUD DI BARI – VARIANTE DI TRACCIATO TRA BARI CENTRALE E BARI TORRE A MARE					
PROGETTO ESECUTIVO: Relazione di calcolo pensilina di ingresso	PROGETTO	LOTTO	CODIFICA	DOCUMENTO	REV.	FOGLIO
	IA3S	01	E ZZ CL	FV020C 001	C	21 DI 107



Spettro SLV – SLD sisma verticale

Spettro SLV ed SLO – Componente orizzontale

T SLV [s]	Sd SLV[a/g]	T SLO [s]	Sd SLO[a/g]
0.00000	0.08726	0.00000	0.03452
0.18409	0.23879	0.10420	0.08427
0.55228	0.23879	0.31259	0.08427
0.75182	0.17541	0.51623	0.05103
0.95136	0.13862	0.71987	0.03659
1.15090	0.11459	0.92352	0.02852
1.35044	0.09766	1.12716	0.02337
1.54998	0.08509	1.33080	0.01979
1.74952	0.07538	1.53444	0.01717
1.94906	0.06766	1.73808	0.01516
2.15415	0.05539	1.96427	0.01187
2.35925	0.04618	2.19047	0.00954
2.56434	0.03909	2.41666	0.00784
2.76944	0.03351	2.64285	0.00655
2.97453	0.02905	2.86904	0.00556
3.17962	0.02542	3.09523	0.00478
3.38472	0.02244	3.32142	0.00415
3.58981	0.01995	3.54762	0.00364
3.79491	0.01785	3.77381	0.00321
4.00000	0.01745	4.00000	0.00286

APPALTATORE:
**D'AGOSTINO ANGELO ANTONIO COSTRUZIONI
 GENERALI s.r.l.**

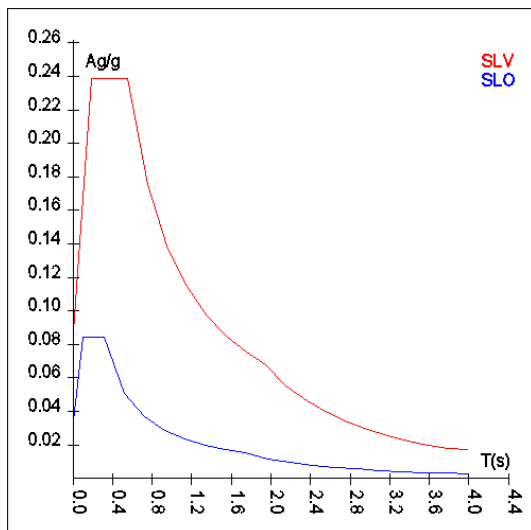
RIASSETTO NODO DI BARI

PROGETTISTA:
 Mandataria: Mandante:
RPA srl Technital SpA HUB Engineering Scarl

**TRATTA A SUD DI BARI – VARIANTE DI TRACCIATO TRA
 BARI CENTRALE E BARI TORRE A MARE**

PROGETTO ESECUTIVO:
Relazione di calcolo pensilina di ingresso

PROGETTO	LOTTO	CODIFICA	DOCUMENTO	REV.	FOGLIO
IA3S	01	E ZZ CL	FV020C 001	C	22 DI 107

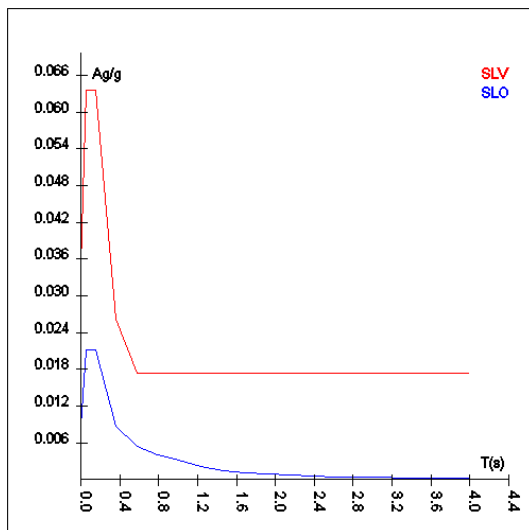


Spettro SLV – SLO sisma orizzontale

Spettro SLV ed SLO – Componente verticale

T SLV [s]	Sd SLV[a/g]	T SLO [s]	Sd SLO[a/g]
0.00000	0.03480	0.00000	0.00866
0.05000	0.06349	0.05000	0.02114
0.15000	0.06349	0.15000	0.02114
0.36250	0.02627	0.36250	0.00875
0.57500	0.01745	0.57500	0.00551
0.78750	0.01745	0.78750	0.00403
1.00000	0.01745	1.00000	0.00317
1.23077	0.01745	1.23077	0.00209
1.46154	0.01745	1.46154	0.00148
1.69231	0.01745	1.69231	0.00111
1.92308	0.01745	1.92308	0.00086
2.15385	0.01745	2.15385	0.00068
2.38462	0.01745	2.38462	0.00056
2.61538	0.01745	2.61538	0.00046
2.84615	0.01745	2.84615	0.00039
3.07692	0.01745	3.07692	0.00033
3.30769	0.01745	3.30769	0.00029
3.53846	0.01745	3.53846	0.00025
3.76923	0.01745	3.76923	0.00022
4.00000	0.01745	4.00000	0.00020

APPALTATORE: D'AGOSTINO ANGELO ANTONIO COSTRUZIONI GENERALI s.r.l.	RIASSETTO NODO DI BARI					
PROGETTISTA: Mandataria: Mandante: RPA srl Technital SpA HUB Engineering Scarl	TRATTA A SUD DI BARI – VARIANTE DI TRACCIATO TRA BARI CENTRALE E BARI TORRE A MARE					
PROGETTO ESECUTIVO: Relazione di calcolo pensilina di ingresso	PROGETTO	LOTTO	CODIFICA	DOCUMENTO	REV.	FOGLIO
	IA3S	01	E ZZ CL	FV020C 001	C	23 DI 107



Spettro SLV – SLO sisma verticale

Per tener conto della variabilità spaziale del moto sismico, nonché di eventuali incertezze nella localizzazione delle masse, al centro di massa deve essere attribuita un'eccentricità accidentale rispetto alla sua posizione quale deriva dal calcolo.

In assenza di più accurate determinazioni l'eccentricità accidentale in ogni direzione non può essere considerata inferiore a 0.05 volte la dimensione dell'edificio misurata perpendicolarmente alla direzione di applicazione dell'azione sismica.

Il calcolo delle azioni sismiche è stato eseguito in analisi dinamica modale, considerando il comportamento della struttura in regime elastico lineare. Le masse sono applicate nei nodi del modello. Tali masse sono ottenute considerando le reazioni vincolari di incastro perfetto che si ottengono per effetto dei carichi agenti sulle membrature che collegano i nodi. La risposta massima di una generica caratteristica E, conseguente alla sovrapposizione dei modi, è valutata con la tecnica della combinazione probabilistica definita CQC (Complete Quadratic Combination - Combinazione Quadratica Completa):

$$E = \sqrt{\sum_{i,j=1,n} \rho_{ij} \cdot E_i \cdot E_j}$$

con:

$$\rho_{ij} = \frac{8\xi^2 \cdot (1 + \beta_{ij}) \cdot \beta_{ij}^{\frac{3}{2}}}{(1 - \beta_{ij}^2)^2 + 4\xi^2 \cdot \beta_{ij} \cdot (1 + \beta_{ij}^2)} \quad \beta_{ij} = \frac{\omega_i}{\omega_j}$$

dove:

- n è il numero di modi di vibrazione considerati;
- x è il coefficiente di smorzamento viscoso equivalente espresso in percentuale;
- β_{ij} è il rapporto tra le frequenze di ciascuna coppia i-j di modi di vibrazione.

Le sollecitazioni derivanti da tali azioni sono state calcolate considerando varie posizioni del baricentro come specificato in precedenza e riportato di seguito.

Posizione	% Spostamento direzione X	% Spostamento direzione Y
1	0	-5
2	5	0

APPALTATORE: D'AGOSTINO ANGELO ANTONIO COSTRUZIONI GENERALI s.r.l.	RIASSETTO NODO DI BARI					
PROGETTISTA: Mandataria: Mandante: RPA srl Technital SpA HUB Engineering Scarl	TRATTA A SUD DI BARI – VARIANTE DI TRACCIATO TRA BARI CENTRALE E BARI TORRE A MARE					
PROGETTO ESECUTIVO: Relazione di calcolo pensilina di ingresso	PROGETTO IA3S	LOTTO 01	CODIFICA E ZZ CL	DOCUMENTO FV020C 001	REV. C	FOGLIO 24 DI 107

Posizione	% Spostamento direzione X	% Spostamento direzione Y
3	0	5
4	-5	0

6.7.1 Combinazioni del Sisma in X e Y e Verticale

Gli effetti delle forze equivalenti dovute all'eccentricità accidentale, vengono portati in conto nella combinazione sismica, sommandoli al contributo delle sollecitazioni che si ottengono a valle dell'analisi dinamica lineare con spettro di risposta.

Come metodo di analisi per determinare gli effetti dell'azione sismica si è scelto di utilizzare l'analisi dinamica lineare o analisi modale.

Come prescritto dalle NT al paragrafo 7.3.3.1, devono essere considerati tutti i modi di vibrare con massa partecipante significativa. È opportuno a tal riguardo considerare tutti i modi con massa partecipante superiore al 5% e comunque un numero di modi la cui massa partecipante totale sia superiore all'85%. Per la combinazione degli effetti relativi ai singoli modi, deve essere utilizzata una combinazione quadratica completa degli effetti relativi a ciascun modo.

La risposta della struttura viene calcolata separatamente per ciascuna delle tre componenti dell'azione sismica; gli effetti sulla struttura, in termini di sollecitazioni e spostamenti, sono poi combinati applicando le seguenti espressioni:

$$1.00 \cdot E_x + 0.30 \cdot E_y + 0.30 \cdot E_z$$

$$1.00 \cdot E_y + 0.30 \cdot E_x + 0.30 \cdot E_z$$

$$1.00 \cdot E_z + 0.30 \cdot E_x + 0.30 \cdot E_y$$

Si ottiene così:

Combinazione	Pos. Sisma X	Pos. Sisma Y	Fattore partecipazione Sisma X	Fattore partecipazione Sisma Y	Fattore partecipazione Sisma Z
1	1	2	1	0.3	0.3
2	1	2	0.3	1	0.3
3	1	4	1	0.3	0.3
4	1	4	0.3	1	0.3
5	3	2	1	0.3	0.3
6	3	2	0.3	1	0.3
7	3	4	1	0.3	0.3
8	3	4	0.3	1	0.3
9	1	2	0.3	0.3	1
10	1	4	0.3	0.3	1
11	3	2	0.3	0.3	1
12	3	4	0.3	0.3	1

Ogni combinazione genera al massimo otto (8) sotto-combinazioni in base a tutte le combinazioni possibili dei segni di Fattori di partecipazione.

6.8 Combinazioni

Ai fini delle verifiche degli stati limite, si definiscono le seguenti combinazioni delle azioni

- Combinazione fondamentale, generalmente impiegata per gli stati limite ultimi (SLU):

$$\gamma_{G1} \cdot G_1 + \gamma_{G2} \cdot G_2 + \gamma_{Q1} \cdot Q_{k1} + \psi_{02} \cdot \gamma_{Q2} \cdot Q_{k2} + \psi_{03} \cdot \gamma_{Q3} \cdot Q_{k3} \dots$$

APPALTATORE: D'AGOSTINO ANGELO ANTONIO COSTRUZIONI GENERALI s.r.l.	RIASSETTO NODO DI BARI					
PROGETTISTA: Mandatario: Mandante: RPA srl Technital SpA HUB Engineering Scarl						
PROGETTO ESECUTIVO: Relazione di calcolo pensilina di ingresso	PROGETTO	LOTTO	CODIFICA	DOCUMENTO	REV.	FOGLIO
	IA3S	01	E ZZ CL	FV020C 001	C	25 DI 107

- Combinazione caratteristica, cosiddetta rara, generalmente impiegata per gli stati limite di esercizio (SLE) irreversibili:

$$G_1 + G_2 + Q_{k1} + \psi_{02} \cdot Q_{k2} + \psi_{03} \cdot Q_{k3} \dots$$

- Combinazione frequente, generalmente impiegata per gli stati limite di esercizio (SLE) reversibili:

$$G_1 + G_2 + \psi_{11} \cdot Q_{k1} + \psi_{22} \cdot Q_{k2} + \psi_{23} \cdot Q_{k3} \dots$$

- Combinazione quasi permanente (SLE), generalmente impiegata per gli effetti a lungo termine:

$$G_1 + G_2 + \psi_{21} \cdot Q_{k1} + \psi_{22} \cdot Q_{k2} + \psi_{23} \cdot Q_{k3} \dots$$

- Combinazione sismica, impiegata per gli stati limite ultimi e di esercizio connessi all'azione sismica E:

$$E + G_1 + G_2 + \psi_{21} \cdot Q_{k1} + \psi_{22} \cdot Q_{k2} \dots$$

dove:

	Ψ_0	Ψ_1	Ψ_2
Copertura accessibile per sola manutenzione	0.00	0.00	0.00
Neve	0.50	0.20	0.00
Vento	0.60	0.20	0.00
Termica	0.60	0.50	0.00

Mentre per i coefficienti di amplificazione si considera la tabella 2.6.I delle NT Colonna A1:

		Coefficiente	EQU	A1	A2
		γ_F			
Carichi permanenti G_1	Favorevoli	γ_{G1}	0,9	1,0	1,0
	Sfavorevoli		1,1	1,3	1,0
Carichi permanenti non strutturali $G_2^{(1)}$	Favorevoli	γ_{G2}	0,8	0,8	0,8
	Sfavorevoli		1,5	1,5	1,3
Azioni variabili Q	Favorevoli	γ_{Qi}	0,0	0,0	0,0
	Sfavorevoli		1,5	1,5	1,3

⁽¹⁾ Nel caso in cui l'intensità dei carichi permanenti non strutturali o di una parte di essi (ad es. carichi permanenti portati) sia ben definita in fase di progetto, per detti carichi o per la parte di essi nota si potranno adottare gli stessi coefficienti parziali validi per le azioni permanenti.

Combinazione n° 1: Comb. Fond. 1 (catH)

Tipo: STR+GEO

Condizione di carico	Fattore di combinazione
Peso Proprio	1.3
QP Solai	1.3
QFissi Solai	1.5
QV Solai	1.5
Tamponamento	1.5
Neve	0.75
Vento +Y	0.9
Carichi termici	0.9

Combinazione n° 2: Comb. Fond. 2 (catH)

Tipo: STR+GEO

Condizione di carico	Fattore di combinazione
Peso Proprio	1.3

APPALTATORE: D'AGOSTINO ANGELO ANTONIO COSTRUZIONI GENERALI s.r.l.	RIASSETTO NODO DI BARI					
PROGETTISTA: Mandataria: Mandante: RPA srl Technital SpA HUB Engineering Scarl						
PROGETTO ESECUTIVO: Relazione di calcolo pensilina di ingresso	PROGETTO	LOTTO	CODIFICA	DOCUMENTO	REV.	FOGLIO
	IA3S	01	E ZZ CL	FV020C 001	C	26 DI 107

Condizione di carico	Fattore di combinazione
QP Solai	1.3
QFissi Solai	1.5
QV Solai	1.5
Tamponamento	1.5
Neve	0.75
Vento -Y	0.9
Carichi termici	0.9

Combinazione n° 3: Comb. Fond. 3 (Neve)

Tipo: STR+GEO

Condizione di carico	Fattore di combinazione
Peso Proprio	1.3
QP Solai	1.3
QFissi Solai	1.5
Tamponamento	1.5
Neve	1.5
Vento +Y	0.9
Carichi termici	0.9

Combinazione n° 4: Comb. Fond. 4 (Neve)

Tipo: STR+GEO

Condizione di carico	Fattore di combinazione
Peso Proprio	1.3
QP Solai	1.3
QFissi Solai	1.5
Tamponamento	1.5
Neve	1.5
Vento -Y	0.9
Carichi termici	0.9

Combinazione n° 5: Comb. Fond. 5 (Vento)

Tipo: STR+GEO

Condizione di carico	Fattore di combinazione
Peso Proprio	1.3
QP Solai	1.3
QFissi Solai	1.5
Tamponamento	1.5
Neve	0.75
Vento +Y	1.5
Carichi termici	0.9

Combinazione n° 6: Comb. Fond. 6 (Vento)

Tipo: STR+GEO

Condizione di carico	Fattore di combinazione
Peso Proprio	1.3
QP Solai	1.3
QFissi Solai	1.5
Tamponamento	1.5
Neve	0.75
Vento -Y	1.5
Carichi termici	0.9

Combinazione n° 7: Comb. Fond. 7 (Carico Termico)

Tipo: STR+GEO

Condizione di carico	Fattore di combinazione
Peso Proprio	1.3
QP Solai	1.3
QFissi Solai	1.5

APPALTATORE: D'AGOSTINO ANGELO ANTONIO COSTRUZIONI GENERALI s.r.l.	RIASSETTO NODO DI BARI					
PROGETTISTA: Mandataria: Mandante: RPA srl Technital SpA HUB Engineering Scarl						
PROGETTO ESECUTIVO: Relazione di calcolo pensilina di ingresso	PROGETTO	LOTTO	CODIFICA	DOCUMENTO	REV.	FOGLIO
	IA3S	01	E ZZ CL	FV020C 001	C	27 DI 107

Condizione di carico	Fattore di combinazione
Tamponamento	1.5
Neve	0.75
Vento +Y	0.9
Carichi termici	1.5

Combinazione n° 8: Comb. Fond. 8 (Carico Termico)

Tipo: STR+GEO

Condizione di carico	Fattore di combinazione
Peso Proprio	1.3
QP Solai	1.3
QFissi Solai	1.5
Tamponamento	1.5
Neve	0.75
Vento -Y	0.9
Carichi termici	1.5

Combinazione n° 9: SISMAX_SLV

Tipo: Modale STR+GEO

Spettro: Spettro SLV-SLD

Fattore sisma: 1.00

Angolo ingresso sisma [°]: 0

Kmod: 1.00

Condizione di carico	Fattore di combinazione	Massa	Fattore massa
Peso Proprio	1	Si	1
QP Solai	1	Si	1
QFissi Solai	1	Si	1
Tamponamento	1	Si	1

Combinazione n° 10: SISMAX_SLV

Tipo: Modale STR+GEO

Spettro: Spettro SLV-SLD

Fattore sisma: 1.00

Angolo ingresso sisma [°]: 90

Kmod: 1.00

Condizione di carico	Fattore di combinazione	Massa	Fattore massa
Peso Proprio	1	Si	1
QP Solai	1	Si	1
QFissi Solai	1	Si	1
Tamponamento	1	Si	1

Combinazione n° 11: Comb. Rara 1 (catH)

Tipo: SLE Rara

Condizione di carico	Fattore di combinazione
Peso Proprio	1
QP Solai	1
QFissi Solai	1
QV Solai	1
Tamponamento	1
Neve	0.5
Vento +Y	0.6
Carichi termici	0.6

Combinazione n° 12: Comb. Rara 2 (catH)

Tipo: SLE Rara

APPALTATORE: D'AGOSTINO ANGELO ANTONIO COSTRUZIONI GENERALI s.r.l.	RIASSETTO NODO DI BARI					
PROGETTISTA: Mandataria: Mandante: RPA srl Technital SpA HUB Engineering Scarl						
PROGETTO ESECUTIVO: Relazione di calcolo pensilina di ingresso	PROGETTO	LOTTO	CODIFICA	DOCUMENTO	REV.	FOGLIO
	IA3S	01	E ZZ CL	FV020C 001	C	28 DI 107

Condizione di carico	Fattore di combinazione
Peso Proprio	1
QP Solai	1
QFissi Solai	1
QV Solai	1
Tamponamento	1
Neve	0.5
Vento -Y	0.6
Carichi termici	0.6

Combinazione n° 13: Comb. Rara 3 (Neve)

Tipo: SLE Rara
 Spettro: n.a.
 Fattore sisma: n.a.
 Angolo ingresso sisma [°]: n.a.
 Kmod: 1.00

Condizione di carico	Fattore di combinazione
Peso Proprio	1
QP Solai	1
QFissi Solai	1
QV Solai	1
Tamponamento	1
Neve	1
Vento +Y	0.6
Carichi termici	0.6

Combinazione n° 14: Comb .Rara 4 (Neve)

Tipo: SLE Rara

Condizione di carico	Fattore di combinazione
Peso Proprio	1
QP Solai	1
QFissi Solai	1
QV Solai	1
Tamponamento	1
Neve	1
Vento -Y	0.6
Carichi termici	0.6

Combinazione n° 15: Comb. Rara 5 (Vento)

Tipo: SLE Rara

Condizione di carico	Fattore di combinazione
Peso Proprio	1
QP Solai	1
QFissi Solai	1
Tamponamento	1
Neve	0.5
Vento +Y	1
Carichi termici	0.6

Combinazione n° 16: Comb. Rara 6 (Vento)

Tipo: SLE Rara

Condizione di carico	Fattore di combinazione
Peso Proprio	1
QP Solai	1
QFissi Solai	1
Tamponamento	1
Neve	0.5
Vento -Y	1

APPALTATORE: D'AGOSTINO ANGELO ANTONIO COSTRUZIONI GENERALI s.r.l.	RIASSETTO NODO DI BARI					
PROGETTISTA: Mandataria: Mandante: RPA srl Technital SpA HUB Engineering Scarl						
PROGETTO ESECUTIVO: Relazione di calcolo pensilina di ingresso	PROGETTO	LOTTO	CODIFICA	DOCUMENTO	REV.	FOGLIO
	IA3S	01	E ZZ CL	FV020C 001	C	29 DI 107

Condizione di carico	Fattore di combinazione
Carichi termici	0.6

Combinazione n° 17: Comb. Rara 7 (Termico)

Tipo: SLE Rara

Condizione di carico	Fattore di combinazione
Peso Proprio	1
QP Solai	1
QFissi Solai	1
Tamponamento	1
Neve	0.5
Vento +Y	0.6
Carichi termici	1

Combinazione n° 18: Comb. Rara 8 (Termico)

Tipo: SLE Rara

Condizione di carico	Fattore di combinazione
Peso Proprio	1
QP Solai	1
QFissi Solai	1
Tamponamento	1
Neve	0.5
Vento -Y	0.6
Carichi termici	1

Combinazione n° 19: Comb. Freq 1 (Neve)

Tipo: SLE Freq.

Condizione di carico	Fattore di combinazione
Peso Proprio	1
QP Solai	1
QFissi Solai	1
Tamponamento	1
Neve	0.2

Combinazione n° 20: Comb. Freq 2 (Vento +Y)

Tipo: SLE Freq.

Condizione di carico	Fattore di combinazione
Peso Proprio	1
QP Solai	1
QFissi Solai	1
Tamponamento	1
Vento +Y	0.2

Combinazione n° 21: Comb. Freq 3 (Vento +Y)

Tipo: SLE Freq.

Condizione di carico	Fattore di combinazione
Peso Proprio	1
QP Solai	1
QFissi Solai	1
Tamponamento	1
Vento -Y	0.2

Combinazione n° 22: Comb. Freq 4 (Termici)

Tipo: SLE Freq.

Condizione di carico	Fattore di combinazione
Peso Proprio	1
QP Solai	1
QFissi Solai	1

APPALTATORE: D'AGOSTINO ANGELO ANTONIO COSTRUZIONI GENERALI s.r.l.	RIASSETTO NODO DI BARI					
PROGETTISTA: Mandataria: Mandante: RPA srl Technital SpA HUB Engineering Scarl						
PROGETTO ESECUTIVO: Relazione di calcolo pensilina di ingresso	PROGETTO	LOTTO	CODIFICA	DOCUMENTO	REV.	FOGLIO
	IA3S	01	E ZZ CL	FV020C 001	C	30 DI 107

Condizione di carico	Fattore di combinazione
Tamponamento	1
Carichi termici	0.5

Combinazione n° 23: Comb. QP
 Tipo: SLE Q.Perm.

Condizione di carico	Fattore di combinazione
Peso Proprio	1
QP Solai	1
QFissi Solai	1
Tamponamento	1

Combinazione n° 24: SISMAX_SLD
 Tipo: Modale SLE
 Spettro: Spettro SLV-SLD
 Fattore sisma: 1.00
 Angolo ingresso sisma [°]: 0

Condizione di carico	Fattore di combinazione	Massa	Fattore massa
Peso Proprio	1	Si	1
QP Solai	1	Si	1
QFissi Solai	1	Si	1
Tamponamento	1	Si	1

Combinazione n° 25: SISMAY_SLD
 Tipo: Modale SLE
 Spettro: Spettro SLV-SLD
 Fattore sisma: 1.00
 Angolo ingresso sisma [°]: 90

Condizione di carico	Fattore di combinazione	Massa	Fattore massa
Peso Proprio	1	Si	1
QP Solai	1	Si	1
QFissi Solai	1	Si	1
Tamponamento	1	Si	1

Sisma Verticale:

Il sisma verticale è associato ad ognuna delle combinazioni sismiche orizzontali precedenti, ad una combinazione sismica orizzontale di tipo SLV è associata la prima combinazione SLV del sisma verticale, analogamente per per lo stato limite SLD

Tipo	Spettro	F.Sisma	Cond.Carico	Massa	Fattore m.
Mod.+Vert GEO	Spettro SLV-SLD-Verticale	1	Peso Proprio	Si	1
			QP Solai	Si	1
			QFissi Solai	Si	1
			QV Solai	No	1
			Tamponamento	Si	1
			Neve	No	1
			Vento +Y	No	1
			Vento -Y	No	1
			Carichi termici	No	1

APPALTATORE: D'AGOSTINO ANGELO ANTONIO COSTRUZIONI GENERALI s.r.l.	RIASSETTO NODO DI BARI					
PROGETTISTA: Mandataria: Mandante: RPA srl Technital SpA HUB Engineering Scarl	TRATTA A SUD DI BARI – VARIANTE DI TRACCIATO TRA BARI CENTRALE E BARI TORRE A MARE					
PROGETTO ESECUTIVO: Relazione di calcolo pensilina di ingresso	PROGETTO	LOTTO	CODIFICA	DOCUMENTO	REV.	FOGLIO
	IA3S	01	E ZZ CL	FV020C 001	C	31 DI 107

7. INDICAZIONI SUL SOFTWARE UTILIZZATO

Autori:	dott. ing. Dario PICA prof. ing. Paolo BISEGNA dott. ing. Donato Sista
Produzione e distribuzione	SOFT.LAB srl via Borgo II - 82030 PONTE (BN) tel. ++39 (824) 874392 fax ++39 (824) 874431 internet: http://www.soft.lab.it e.mail: info@soft.lab.it
Sigla:	IperSpaceBIM 4.0.1
Licenza n.	Concesso in licenza a GROMA SRLS GROMA SRLS codice utente C0093905

Il modello di calcolo assunto è di tipo spaziale e l'analisi condotta è una Analisi Elastica Lineare.

Il modello di calcolo è definito dalla posizione dei nodi collegati da elementi di tipo Beam o elementi di tipo shell, a comportamento sia flessionale che membranale; l'elemento finito shell utilizzato è anche in grado di esprimere una rigidità rotazionale in direzione ortogonale al suo piano.

L'analisi sismica utilizzata è l'analisi modale con Combinazione Quadratica Completa degli effetti del sisma. Il modello è stato analizzato sia per le combinazioni dei carichi verticali sia per le combinazioni di carico verticale e sisma. Un particolare chiarimento richiede la definizione delle masse nell'analisi sismica.

Pur avendo considerato il modello con impalcati rigidi non si rende necessario calcolare il modello con la metodologia del MASTER-SLAVE, in quanto gli impalcati rigidi sono stati modellati con elementi di tipo shell a comportamento membranale in corrispondenza dei campi di solaio. Per ottenere tale modellazione il programma inserisce in automatico elementi di tipo shell a comportamento membranale in corrispondenza del campo di solaio intercluso tra una maglia di travi; la loro rigidità membranale è sufficientemente alta da rendere il campo di solaio rigido nel proprio piano, ma tale da non condizionare in modo errato la matrice di rigidità della struttura.

Qualora una maglia di travi non sia collegata da solai, lo shell non viene inserito rendendo tale campo libero di deformarsi con il solo vincolo dato dalle travi; la rigidità flessionale delle travi è trascurabile rispetto a quella degli elementi che contornano il campo, per cui lo shell impone un vincolo orizzontale solo nel piano dell'impalcato tra i nodi collegati; pertanto, non è necessario definire preventivamente il centro di massa e momento d'inerzia delle masse poiché le masse sono trasferite direttamente nei nodi del modello (modello Lumped Mass) dal codice di calcolo.

Il metodo per calcolare le masse nei nodi può essere quello per aree di influenza, ma questo richiederebbe l'intervento diretto dell'operatore; il codice di calcolo utilizza una metodologia leggermente più raffinata per tener conto del fatto che su un elemento il carico portato non è uniforme. Il codice di calcolo, infatti, considera i carichi presenti sull'asta, che sono stati indicati come quelli che contribuiscono alla formazione della massa (tipicamente $G + y2Q$) e calcola le reazioni di incastro perfetto verticali; tali reazioni divise per l'accelerazione di gravità g forniscono il contributo dell'elemento alla determinazione della massa del nodo e, sommando i contributi di tutti gli elementi che convergono nel nodo, si ottiene la massa complessiva.

Per gli elementi shell invece si utilizza il metodo delle aree di influenza: in ognuno dei 3 oppure 4 nodi che definiscono lo shell si assegna $1/3$ oppure $1/4$ del peso dell'elemento shell e $1/3$ oppure $1/4$ dell'eventuale carico variabile ridotto; sommando i contributi di tutti gli shell che convergono nel nodo si ottiene la massa da assegnare a quest'ultimo.

APPALTATORE: D'AGOSTINO ANGELO ANTONIO COSTRUZIONI GENERALI s.r.l.	RIASSETTO NODO DI BARI					
PROGETTISTA: <u>Mandatario:</u> <u>Mandante:</u> RPA srl Technital SpA HUB Engineering Scarl	TRATTA A SUD DI BARI – VARIANTE DI TRACCIATO TRA BARI CENTRALE E BARI TORRE A MARE					
PROGETTO ESECUTIVO: Relazione di calcolo pensilina di ingresso	PROGETTO	LOTTO	CODIFICA	DOCUMENTO	REV.	FOGLIO
	IA3S	01	E ZZ CL	FV020C 001	C	32 DI 107

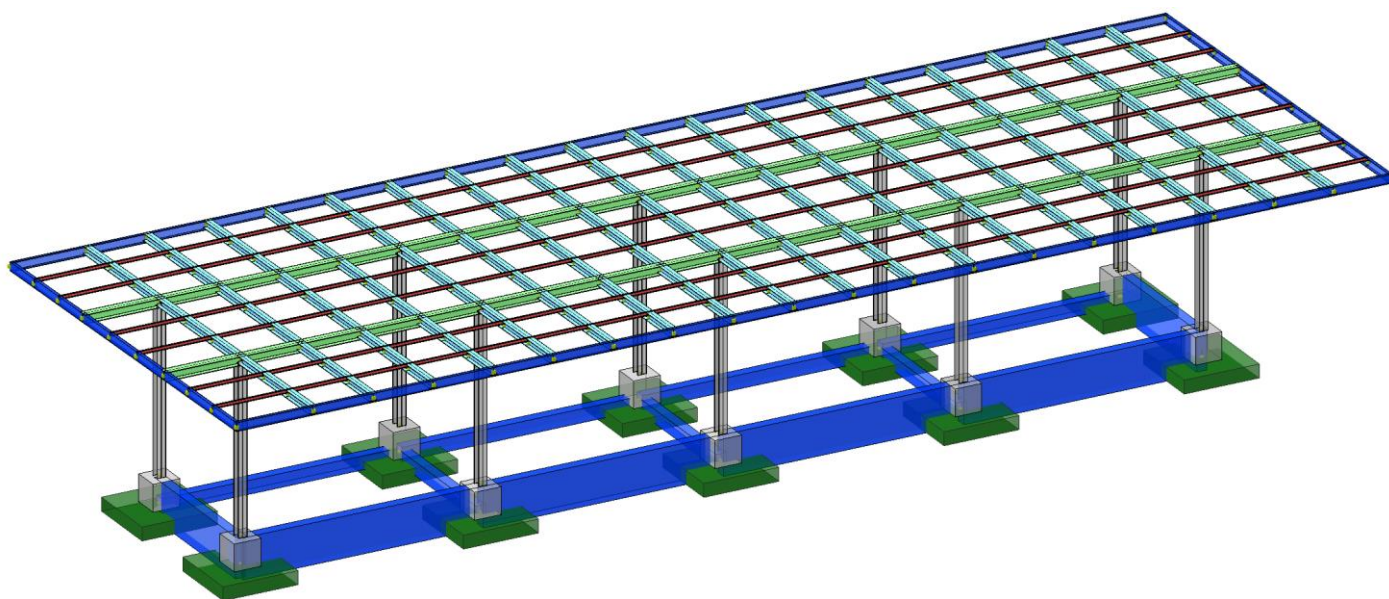
8. SCHEMA DI CALCOLO E CALCOLO DELLE SOLLECITAZIONI

8.1 Modellazione FEM

La modellazione dell'organismo strutturale è stata eseguita con il programma di calcolo agli elementi finiti Iperspace BIM 4. È stato realizzato un modello di calcolo tridimensionale: tutte le aste sono state modellate come elementi frame, monodimensionali, a ciascuno dei quali si è assegnata la sezione in acciaio corrispondente ed il criterio di verifica da adottare. Nel tabulato di calcolo si riportano i vincoli imposti alle varie aste; nello specifico, per i pilastri si considera un vincolo di incastro agli elementi di fondazione.

Di seguito si riportano alcune viste estratte dall'analisi della struttura; in queste vengono riportate le numerazioni degli elementi così da semplificare la lettura dei risultati del tabulato di calcolo allegato.

Figura 8-1 Vista d'insieme della struttura



APPALTATORE:
D'AGOSTINO ANGELO ANTONIO COSTRUZIONI
GENERALI s.r.l.

RIASSETTO NODO DI BARI

PROGETTISTA:

TRATTA A SUD DI BARI – VARIANTE DI TRACCIATO TRA
BARI CENTRALE E BARI TORRE A MARE

Mandataria: Mandante:

RPA srl Technital SpA HUB Engineering Scarl

PROGETTO ESECUTIVO:

PROGETTO	LOTTO	CODIFICA	DOCUMENTO	REV.	FOGLIO
IA3S	01	E ZZ CL	FV020C 001	C	33 DI 107

Relazione di calcolo pensilina di ingresso

Figura 8-2 Numerazione dei nodi

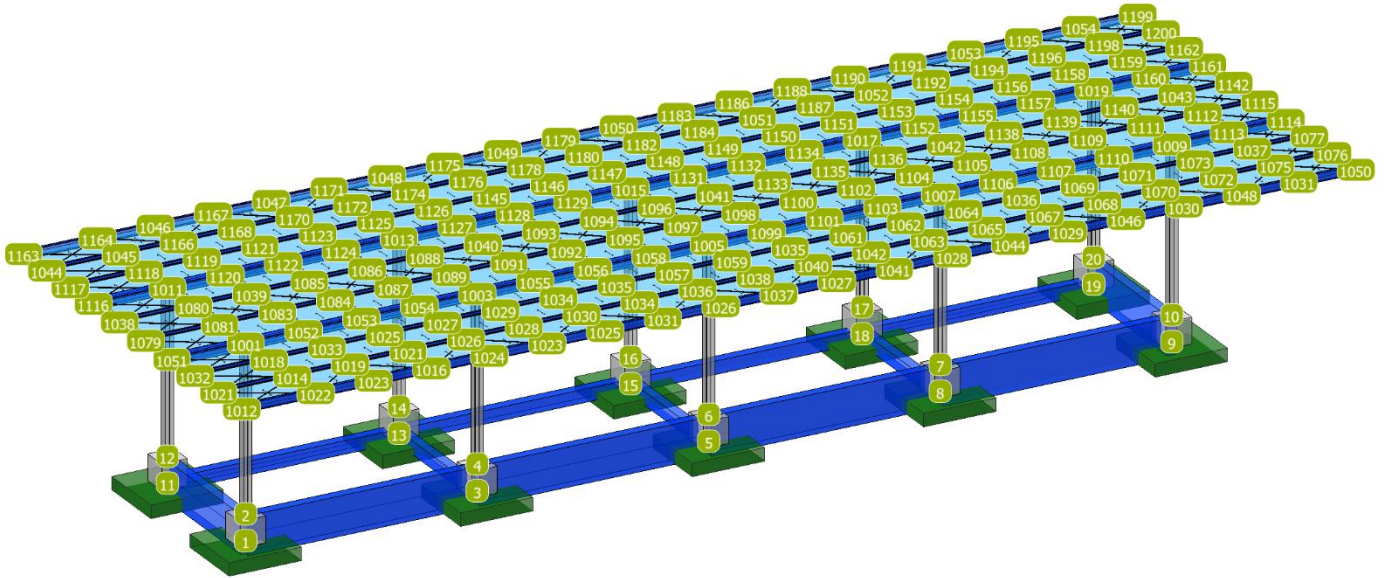
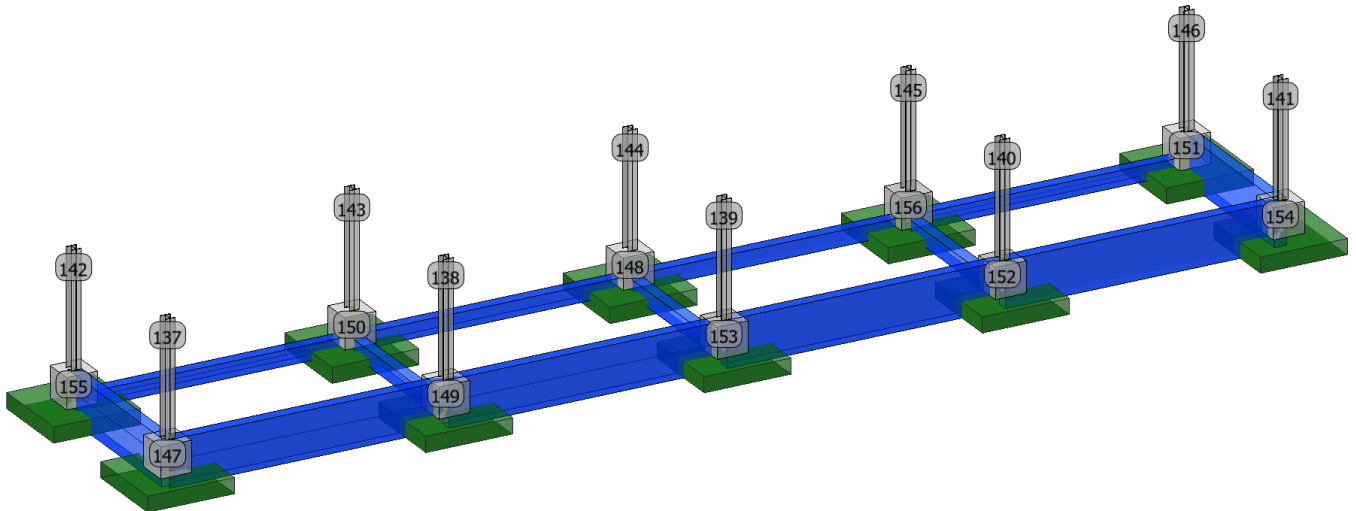


Figura 8-3 Numerazione plinti, dadi e pilastri



APPALTATORE:
D'AGOSTINO ANGELO ANTONIO COSTRUZIONI
GENERALI s.r.l.

RIASSETTO NODO DI BARI

PROGETTISTA:

TRATTA A SUD DI BARI – VARIANTE DI TRACCIATO TRA
BARI CENTRALE E BARI TORRE A MARE

Mandataria: Mandante:

RPA srl Technital SpA HUB Engineering Scarl

PROGETTO ESECUTIVO:

PROGETTO	LOTTO	CODIFICA	DOCUMENTO	REV.	FOGLIO
IA3S	01	E ZZ CL	FV020C 001	C	34 DI 107

Relazione di calcolo pensilina di ingresso

Figura 8-4 Numerazione travi di fondazione

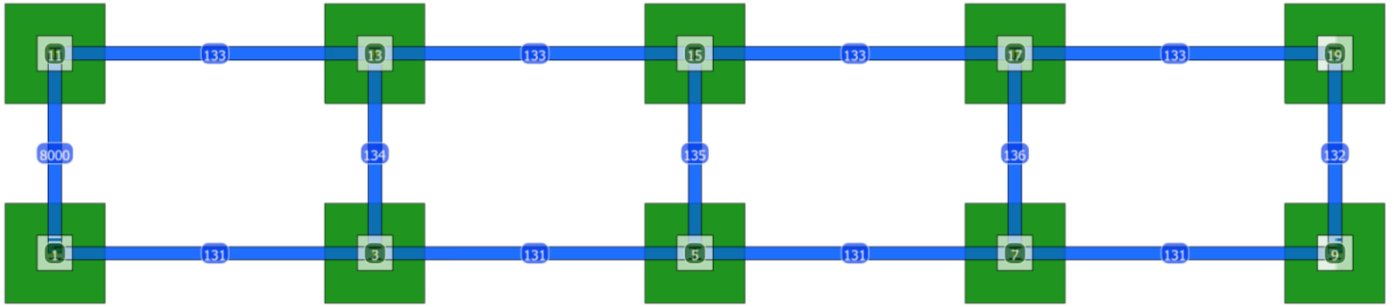
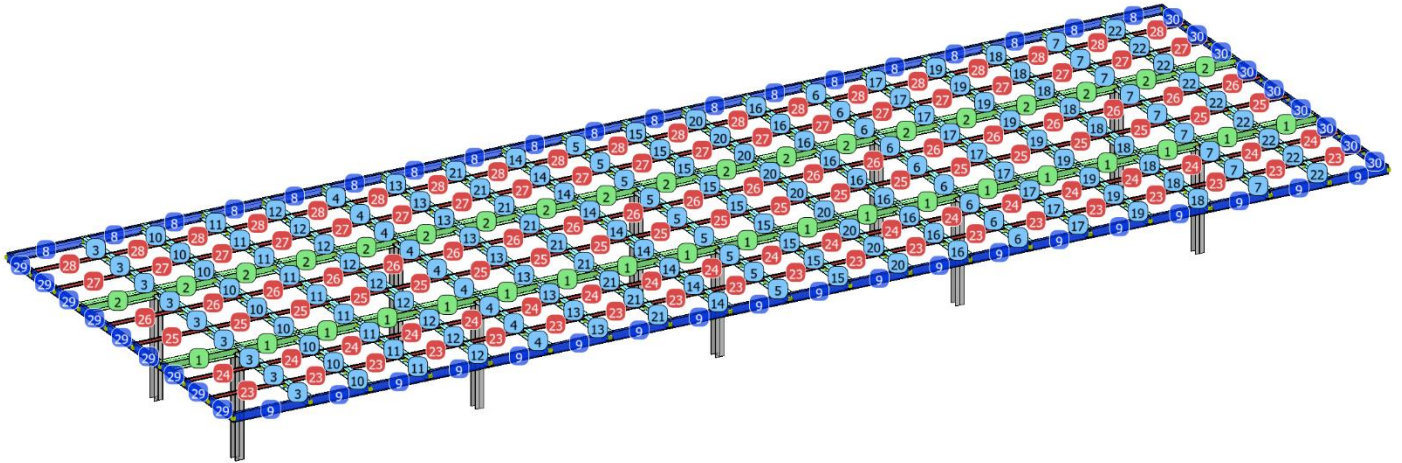


Figura 8-5 Numerazione travi di copertura



APPALTATORE: D'AGOSTINO ANGELO ANTONIO COSTRUZIONI GENERALI s.r.l.	RIASSETTO NODO DI BARI				
PROGETTISTA: Mandataria: Mandante: RPA srl Technital SpA HUB Engineering Scarl	TRATTA A SUD DI BARI – VARIANTE DI TRACCIATO TRA BARI CENTRALE E BARI TORRE A MARE				
PROGETTO ESECUTIVO: Relazione di calcolo pensilina di ingresso	PROGETTO IA3S	LOTTO 01	CODIFICA E ZZ CL	DOCUMENTO FV020C 001	REV. FOGLIO C 35 DI 107

Figura 8-6 Numerazione travi di copertura (vista dall'alto)

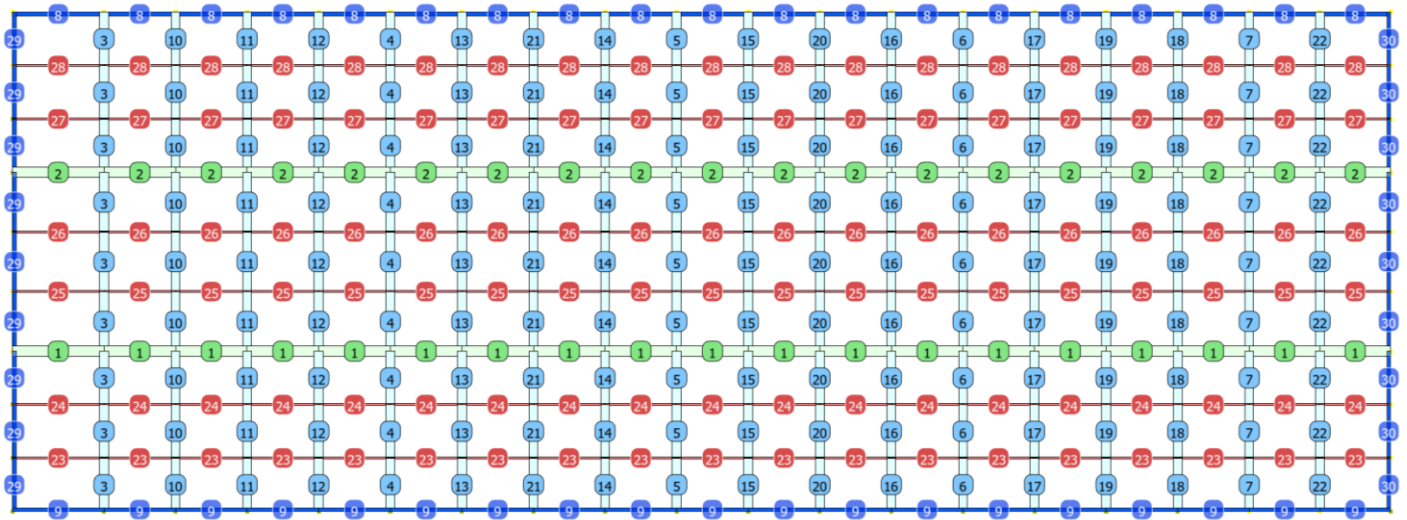
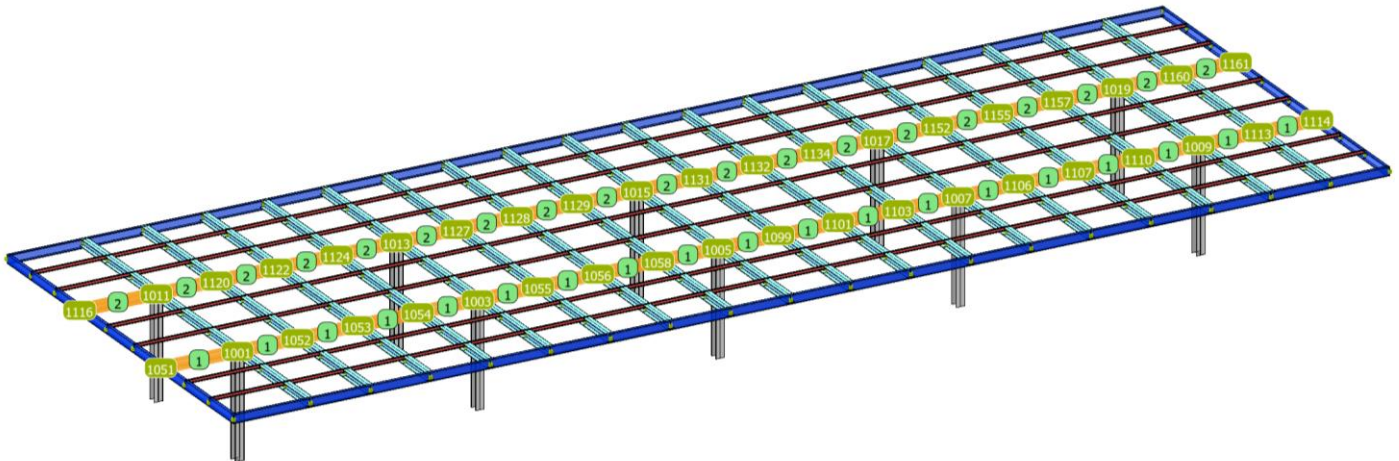
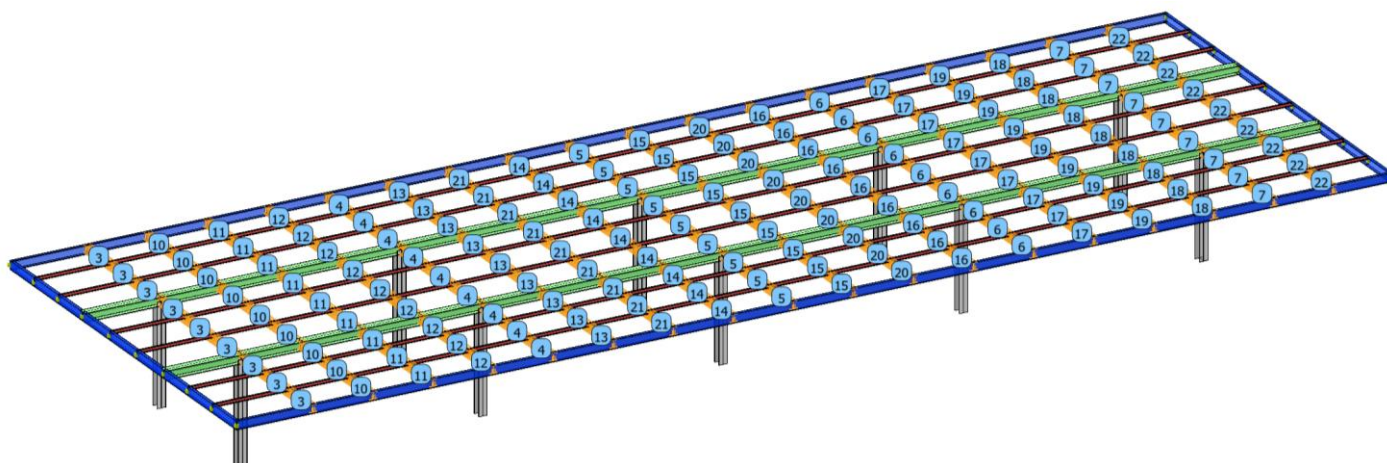


Figura 8-7 Numerazione trave principale HE260B



APPALTATORE: D'AGOSTINO ANGELO ANTONIO COSTRUZIONI GENERALI s.r.l.	RIASSETTO NODO DI BARI				
PROGETTISTA: Mandataria: Mandante: RPA srl Technital SpA HUB Engineering Scarl	TRATTA A SUD DI BARI – VARIANTE DI TRACCIATO TRA BARI CENTRALE E BARI TORRE A MARE				
PROGETTO ESECUTIVO: Relazione di calcolo pensilina di ingresso	PROGETTO IA3S	LOTTO 01	CODIFICA E ZZ CL	DOCUMENTO FV020C 001	REV. C FOGLIO 36 DI 107

Figura 8-8 Numerazione travi principali HE220B



8.2 Modi di vibrare, masse modali e coefficienti di partecipazione modale

Di seguito si riportano i risultati dell'analisi in termini di risposta modale; in particolare si riportano i modi di vibrare significativi e le masse partecipanti.

Posizione masse 1

Numero di Frequenze 3

N	T s	Coeff. Partecipazione		Masse Modali kgm*g		Percentuali	
		Dir=0°	Dir=90°	Dir=0°	Dir=90°	Dir=0°	Dir=90°
1	0.5112	72.408	0.657	51416	4	98.89	0.01
2	0.3910	4.458	-46.012	195	20762	0.37	39.93
3	0.3684	2.954	54.910	86	29568	0.16	56.87
Somma delle Masse Modali [kgm*g]				51697	50334		
Masse strutturali libere [kgm*g]				51995	51995		
Percentuale				99.43	96.81	99.43	96.81

Masse e coefficienti di partecipazione rotazionali:

N	T(s)	Coeff. Partecipazione		Masse Modali kgm*g		Percentuali	
1	0.5112		103.265		104575		1.77
2	0.3910		-573.530		3225767		54.60
3	0.3684		-497.887		2430990		41.14

Posizione masse 2

Numero di Frequenze 3

N	T s	Coeff. Partecipazione		Masse Modali kgm*g		Percentuali	
		Dir=0°	Dir=90°	Dir=0°	Dir=90°	Dir=0°	Dir=90°
1	0.5100	72.570	-0.301	51645	1	99.33	0.00
2	0.4222	-0.635	-52.571	4	27103	0.01	52.13
3	0.3398	-0.230	48.773	1	23328	0.00	44.87
Somma delle Masse Modali [kgm*g]				51650	50432		
Masse strutturali libere [kgm*g]				51995	51995		

APPALTATORE: D'AGOSTINO ANGELO ANTONIO COSTRUZIONI GENERALI s.r.l.	RIASSETTO NODO DI BARI TRATTA A SUD DI BARI – VARIANTE DI TRACCIATO TRA BARI CENTRALE E BARI TORRE A MARE
PROGETTISTA: Mandataria: Mandante: RPA srl Technital SpA HUB Engineering Scarl	
PROGETTO ESECUTIVO: Relazione di calcolo pensilina di ingresso	
	PROGETTO LOTTO CODIFICA DOCUMENTO REV. FOGLIO IA3S 01 E ZZ CL FV020C 001 C 37 DI 107

N	T	Coeff. Partecipazione	Masse Modali	Percentuali
Percentuale			99.34 96.99	99.34 96.99

Masse e coefficienti di partecipazione rotazionali:

N	T(s)	Coeff. Partecipazione	Masse Modali	Percentuali
			kgm*g	
1	0.5100	-6.654	434	0.01
2	0.4222	-593.878	3458721	58.92
3	0.3398	-472.241	2186997	37.25

Posizione masse 3

Numero di Frequenze 3

N	T	Coeff. Partecipazione		Masse Modali		Percentuali	
		s		kgm*g			
			Dir=0° Dir=90°	Dir=0° Dir=90°	Dir=0° Dir=90°	Dir=0° Dir=90°	Dir=0° Dir=90°
1	0.5117	72.330	-0.819	51305	7	98.67	0.01
2	0.3905	-5.304	-46.371	276	21087	0.53	40.56
3	0.3680	-3.491	54.636	120	29273	0.23	56.30
Somma delle Masse Modali [kgm*g]				51701	50366		
Masse strutturali libere [kgm*g]				51995	51995		
Percentuale				99.43	96.87	99.43	96.87

Masse e coefficienti di partecipazione rotazionali:

N	T(s)	Coeff. Partecipazione	Masse Modali	Percentuali
			kgm*g	
1	0.5117	-113.675	126722	2.14
2	0.3905	-569.548	3181125	53.84
3	0.3680	-501.260	2464038	41.70

Posizione masse 4

Numero di Frequenze 3

N	T	Coeff. Partecipazione		Masse Modali		Percentuali	
		s		kgm*g			
			Dir=0° Dir=90°	Dir=0° Dir=90°	Dir=0° Dir=90°	Dir=0° Dir=90°	Dir=0° Dir=90°
1	0.5096	72.652	0.090	51762	0	99.55	0.00
2	0.3972	0.412	-51.358	2	25867	0.00	49.75
3	0.3591	0.294	50.049	1	24565	0.00	47.24
Somma delle Masse Modali [kgm*g]				51765	50432		
Masse strutturali libere [kgm*g]				51995	51995		
Percentuale				99.56	96.99	99.56	96.99

Masse e coefficienti di partecipazione rotazionali:

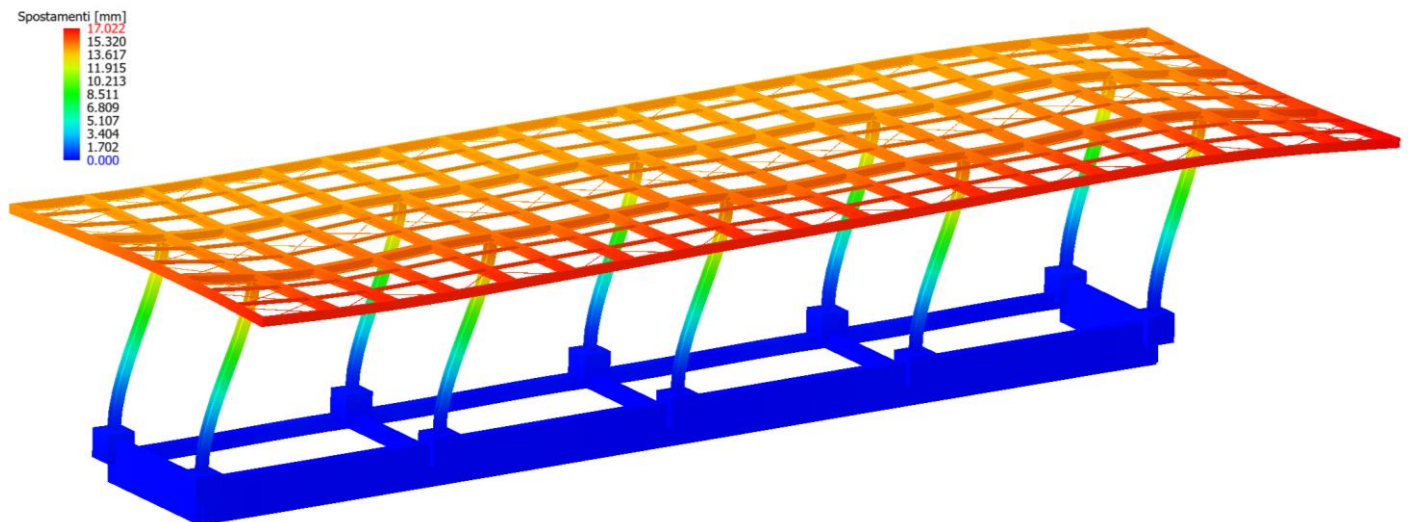
N	T(s)	Coeff. Partecipazione	Masse Modali	Percentuali
			kgm*g	
1	0.5096	-5.449	291	0.00
2	0.3972	626.862	3853580	64.80
3	0.3591	445.122	1943030	32.68

APPALTATORE: D'AGOSTINO ANGELO ANTONIO COSTRUZIONI GENERALI s.r.l.	RIASSETTO NODO DI BARI					
PROGETTISTA: Mandataria: Mandante: RPA srl Technital SpA HUB Engineering Scarl	TRATTA A SUD DI BARI – VARIANTE DI TRACCIATO TRA BARI CENTRALE E BARI TORRE A MARE					
PROGETTO ESECUTIVO: Relazione di calcolo pensilina di ingresso	PROGETTO	LOTTO	CODIFICA	DOCUMENTO	REV.	FOGLIO
	IA3S	01	E ZZ CL	FV020C 001	C	38 DI 107

Numero di Frequenze calcolate =100, filtrate=20

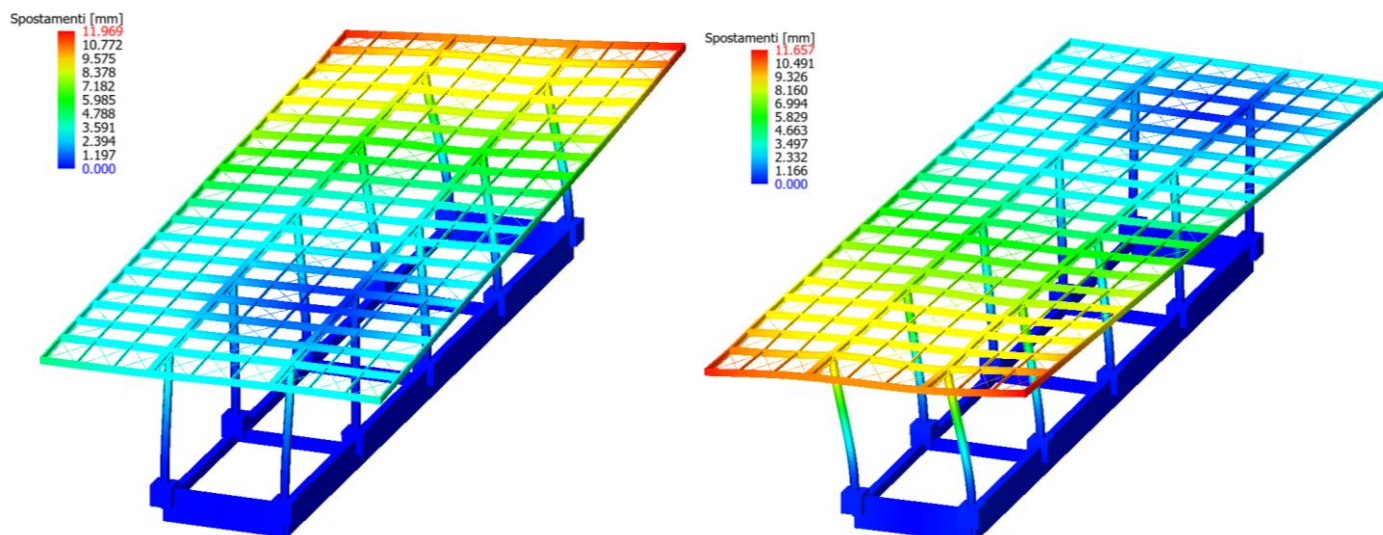
N	T	Coeff. Partecipazione	Masse Modali		Percentuali	
			kgm*g	SVert.	SVert.	SVert.
	s					
				SVert.		SVert.
1(5)	0.2110	11.659		1333		2.56
2(6)	0.1850	-41.542		16924		32.55
3(10)	0.1767	-13.976		1915		3.68
4(18)	0.1236	-2.445		59		0.11
5(19)	0.1056	4.400		190		0.37
6(21)	0.0967	5.026		248		0.48
7(27)	0.0741	28.475		7952		15.29
8(28)	0.0715	-10.252		1031		1.98
9(29)	0.0682	36.014		12719		24.46
10(43)	0.0439	2.811		77		0.15
11(56)	0.0371	-4.282		180		0.35
12(57)	0.0369	-7.307		524		1.01
13(67)	0.0331	7.371		533		1.02
14(78)	0.0300	2.479		60		0.12
15(80)	0.0298	-3.090		94		0.18
16(81)	0.0293	-2.676		70		0.14
17(82)	0.0293	-6.034		357		0.69
18(83)	0.0292	-17.628		3047		5.86
19(85)	0.0289	-3.963		154		0.30
20(91)	0.0284	-2.877		81		0.16
Somma delle Masse Modali [kgm*g]				47547		
Masse strutturali libere [kgm*g]				51995		
Percentuale				91.45		91.45

Deformata per sisma direzione X Modo di vibrare 1



APPALTATORE: D'AGOSTINO ANGELO ANTONIO COSTRUZIONI GENERALI s.r.l.	RIASSETTO NODO DI BARI					
PROGETTISTA: Mandataria: Mandante: RPA srl Technital SpA HUB Engineering Scarl	TRATTA A SUD DI BARI – VARIANTE DI TRACCIATO TRA BARI CENTRALE E BARI TORRE A MARE					
PROGETTO ESECUTIVO: Relazione di calcolo pensilina di ingresso	PROGETTO	LOTTO	CODIFICA	DOCUMENTO	REV.	FOGLIO
	IA3S	01	E ZZ CL	FV020C 001	C	39 DI 107

Deformata per sisma direzione Y Modo di vibrare 2 e 3



8.3 Criteri di verifica

Le verifiche di sicurezza sono state effettuate sulla base dei criteri definiti nelle vigenti norme tecniche - "Norme tecniche per le costruzioni" - DM 14.1.2008 -, tenendo inoltre conto delle integrazioni riportate nel "Manuale di progettazione delle opere civili" - RFI DTC SI MA IFS 001 A.

In particolare vengono effettuate le verifiche agli stati limite di servizio ed allo stato limite ultimo. Le combinazioni di carico considerate ai fini delle verifiche sono quelle indicate in precedenza.

Di seguito, per ogni tipologia di elemento modellato si riportano i criteri di verifica ed i coefficienti imposti.

8.3.1 Verifiche agli stati limite di esercizio

8.3.1.1 Verifica spostamento relativo impalcati

Per le costruzioni ricadenti in classe d'uso I e II si deve verificare che l'azione sismica di progetto non produca agli elementi costruttivi senza funzione strutturale danni tali da rendere la costruzione temporaneamente inagibile.

Nel caso delle costruzioni civili e industriali, qualora la temporanea inagibilità sia dovuta a spostamenti eccessivi interpiano, questa condizione si può ritenere soddisfatta quando gli spostamenti interpiano ottenuti dall'analisi in presenza dell'azione sismica di progetto relativa allo SLD (v. § 3.2.1 e § 3.2.3.2) siano inferiori ai limiti indicati nel seguito

a) per tamponamenti collegati rigidamente alla struttura che interferiscono con la deformabilità della stessa

$$dr < 0,005 h$$

Per le costruzioni ricadenti in classe d'uso III e IV si deve verificare che l'azione sismica di progetto non produca danni agli elementi costruttivi senza funzione strutturale tali da rendere temporaneamente non operativa la costruzione.

APPALTATORE: D'AGOSTINO ANGELO ANTONIO COSTRUZIONI GENERALI s.r.l.	RIASSETTO NODO DI BARI					
PROGETTISTA: Mandatario: Mandante: RPA srl Technital SpA HUB Engineering Scarl	TRATTA A SUD DI BARI – VARIANTE DI TRACCIATO TRA BARI CENTRALE E BARI TORRE A MARE					
PROGETTO ESECUTIVO: Relazione di calcolo pensilina di ingresso	PROGETTO IA3S	LOTTO 01	CODIFICA E ZZ CL	DOCUMENTO FV020C 001	REV. C	FOGLIO 40 DI 107

Nel caso delle costruzioni civili e industriali questa condizione si può ritenere soddisfatta quando gli spostamenti interpieno ottenuti dall'analisi in presenza dell'azione sismica di progetto relativa allo SLO (v. § 3.2.1 e § 3.2.3.2) siano inferiori ai 2/3 dei limiti in precedenza indicati.

8.3.1.2 Verifica deformabilità struttura metallica

Le verifiche degli spostamenti orizzontali lungo X (U1) e lungo Y (U2) e degli abbassamenti/frecce (U3) dovuti al carico accidentale (δ_2) e al carico permanente + accidentale (δ_{max}) nella combinazione caratteristica dovranno essere inferiori alle limitazioni di seguito riportate:

- Abbassamenti delle travi di copertura:

$$\frac{\delta_{max}}{l} < \frac{1}{200}$$

$$\frac{\delta_2}{l} < \frac{1}{250}$$

- Spostamenti laterali alla sommità delle colonne:

$$\frac{\delta}{H} < \frac{1}{300}$$

8.3.2 Verifiche agli stati limite ultimi

Per le verifiche agli SLU si rimanda al paragrafo "Verifiche elementi principali".

8.3.3 Parametri di verifica

CLS Plinti		
Generici		
Resistenza caratteristica Rck	kg/cmq	300
Tensione caratteristica snervamento acciaio barre fyk	kg/cmq	4500
Tensione caratteristica snervamento acciaio staffe fyk	kg/cmq	4500
Deformazione unitaria ϵ_{c0}		0.002
Deformazione ultima ϵ_{cu}		0.0022
ϵ_{fu} (solo incrudimento)		0.002
Modulo elastico E acciaio	kg/cmq	2E06
Copriferro di calcolo	cm	5.6
Copriferro di disegno	cm	4.0
Coefficiente di sicurezza γ_{Cl}		1.5
Coefficiente di sicurezza γ_{Acc}		1.15
Riduzione fcd calcestruzzo		0.85
Usa staffe minime di normativa in assenza di sisma		Si
Usa staffe minime di normativa in presenza di sisma		No
Generici N.T.		
Inclinazione bielle compresse $\cotg(\theta)$		1.00
Modello acciaio		Incrudente
Incrudimento E_y/E_0		0.000
Elemento esistente		No
Fessurazioni		
Verifica aperture fessure		Si
Classe di esposizione		XC2
Tipo armatura		Poco sensibile
Combinazione Rara		No

APPALTATORE: D'AGOSTINO ANGELO ANTONIO COSTRUZIONI GENERALI s.r.l.	RIASSETTO NODO DI BARI					
PROGETTISTA: Mandatario: Mandante: RPA srl Technital SpA HUB Engineering Scarl						
PROGETTO ESECUTIVO: Relazione di calcolo pensilina di ingresso	PROGETTO	LOTTO	CODIFICA	DOCUMENTO	REV.	FOGLIO
	IA3S	01	E ZZ CL	FV020C 001	C	41 DI 107

Combinazione QP		Si
W ammissibile Combinazione QP	mm	0.300
Combinazione Freq.		Si
W ammissibile Combinazione Freq.	mm	0.400
Valore caratteristico apertura fessure $wk(*wm)$		1
fc efficace	kg/cmq	25.99
Coefficiente di breve o lunga durata kt		0.40
Coefficiente di aderenza k1		0.80
Tensioni ammissibili di esercizio		
Verifica Combinazione Rara		Si
Tensione ammissibile σ_{Cl} s	kg/cmq	149
Tensione ammissibile $\sigma_{Acciaio}$	kg/cmq	3600
Verifica Combinazione QP		Si
Tensione ammissibile σ_{Cl} s	kg/cmq	112
Tensione ammissibile $\sigma_{Acciaio}$	kg/cmq	3600
Verifica Combinazione Freq.		No
Coefficienti di omogeneizzazione		
Acciaio - Cls compresso		15
Cls teso - Cls compresso		0.5
Verifica plinti		
Copriferro verifiche	cm	4.0
Step armatura di verifica	cmq	0.50
Resistenza a taglio per elementi non armati		No
Verifica a pressoflessione deviata		Si

CLS Dado		
Generici		
Resistenza caratteristica Rck	kg/cmq	300
Tensione caratteristica snervamento acciaio barre fyk	kg/cmq	4500
Tensione caratteristica snervamento acciaio staffe fyk	kg/cmq	4500
Deformazione unitaria ϵ_{c0}		0.002
Deformazione ultima ϵ_{cu}		0.0022
ϵ_{fu} (solo incrudimento)		0.002
Modulo elastico E acciaio	kg/cmq	2E06
Copriferro di calcolo	cm	5.6
Copriferro di disegno	cm	4.0
Coefficiente di sicurezza γ_{Cl} s		1.5
Coefficiente di sicurezza γ_{Acc}		1.15
Riduzione fcd calcestruzzo		0.85
Usa staffe minime di normativa in assenza di sisma		Si
Usa staffe minime di normativa in presenza di sisma		No
Generici N.T.		
Inclinazione bielle compresse $\cotg(\theta)$		1.00
Modello acciaio		Incrudente
Incrudimento E_y/E_0		0.000
Elemento esistente		No
Sforzo normale ammissibile v_{max} (CDA)		0.550
Sforzo normale ammissibile v_{max} (CDB)		0.650
Fessurazioni		
Verifica aperture fessure		Si
Classe di esposizione		XC2
Tipo armatura		Poco sensibile
Combinazione Rara		No
Combinazione QP		Si
W ammissibile Combinazione QP	mm	0.300

APPALTATORE: D'AGOSTINO ANGELO ANTONIO COSTRUZIONI GENERALI s.r.l.	RIASSETTO NODO DI BARI					
PROGETTISTA: Mandataria: Mandante: RPA srl Technital SpA HUB Engineering Scarl	TRATTA A SUD DI BARI – VARIANTE DI TRACCIATO TRA BARI CENTRALE E BARI TORRE A MARE					
PROGETTO ESECUTIVO: Relazione di calcolo pensilina di ingresso	PROGETTO	LOTTO	CODIFICA	DOCUMENTO	REV.	FOGLIO
	IA3S	01	E ZZ CL	FV020C 001	C	42 DI 107

Combinazione Freq.		Si
W ammissibile Combinazione Freq.	mm	0.400
Valore caratteristico apertura fessure wk(*wm)		1
fc efficace	kg/cmq	25.99
Coefficiente di breve o lunga durata kt		0.40
Coefficiente di aderenza k1		0.80
Tensioni ammissibili di esercizio		
Verifica Combinazione Rara		Si
Tensione ammissibile σ_{Cl} s	kg/cmq	149
Tensione ammissibile $\sigma_{Acciaio}$	kg/cmq	3600
Verifica Combinazione QP		Si
Tensione ammissibile σ_{Cl} s	kg/cmq	112
Tensione ammissibile $\sigma_{Acciaio}$	kg/cmq	3600
Coefficienti di omogeneizzazione		
Acciaio - Cls compresso		15
Cls teso - Cls compresso		0.5
Armatura pilastri		
Massimo numero di ferri in ogni spigolo		1
Diametro ferri di spigolo	mm	16
Diametro ferri laterali	mm	16
Diametro staffe	mm	8
Numero braccia staffe lato lungo		2
Minima percentuale armatura rispetto al Cls	%	0.00
Massima percentuale armatura rispetto al Cls	%	4.00
Verifica pilastri		
Verifica a carico di punta		No
Verifica a pressoflessione deviata		Si
Verifica come pareti		No
Verifica a taglio pilastri		
Coefficiente di amplificazione γ_{Rd}		1.2
Sforzo normale ammissibile v_{max}		0.8
Effetto spinotto		Si
Effetto della pressoflessione		Si
Traslazione momento		Si
Considera la resistenza a taglio VRDns		NO
Verifica a taglio N.T. pilastri		
Coefficiente di amplificazione γ_{Rd} (CDA)		1.3
Coefficiente di amplificazione γ_{Rd} (CDB)		1.1

CLS_TraviAlte_ND		
Generici		
Resistenza caratteristica Rck	kg/cmq	300
Tensione caratteristica snervamento acciaio barre fyk	kg/cmq	4500
Tensione caratteristica snervamento acciaio staffe fyk	kg/cmq	4500
Deformazione unitaria ϵ_{c0}		0.002
Deformazione ultima ϵ_{cu}		0.00222
ϵ_{fu} (solo incrudimento)		0.002
Modulo elastico E acciaio	kg/cmq	2E06
Copriferro di calcolo	cm	5.8
Copriferro di disegno	cm	4.0
Coefficiente di sicurezza γ_{Cl} s		1.5
Coefficiente di sicurezza γ_{Acc}		1.15
Riduzione fcd calcestruzzo		0.85
Usa staffe minime di normativa in assenza di sisma		Si
Usa staffe minime di normativa in presenza di sisma		No

APPALTATORE: D'AGOSTINO ANGELO ANTONIO COSTRUZIONI GENERALI s.r.l.	RIASSETTO NODO DI BARI					
PROGETTISTA: Mandataria: Mandante: RPA srl Technital SpA HUB Engineering Scarl	TRATTA A SUD DI BARI – VARIANTE DI TRACCIATO TRA BARI CENTRALE E BARI TORRE A MARE					
PROGETTO ESECUTIVO: Relazione di calcolo pensilina di ingresso	PROGETTO	LOTTO	CODIFICA	DOCUMENTO	REV.	FOGLIO
	IA3S	01	E ZZ CL	FV020C 001	C	43 DI 107

Generici N.T.		
Inclinazione bielle compresse $\cotg(\theta)$		1.00
Modello acciaio		Incrudente
Incrudimento Ey/E0		0.000
Elemento esistente		No
Fessurazioni		
Verifica aperture fessure		Si
Classe di esposizione		XC2
Tipo armatura		Poco sensibile
Combinazione Rara		No
Combinazione QP		Si
W ammissibile Combinazione QP	mm	0.300
Combinazione Freq.		Si
W ammissibile Combinazione Freq.	mm	0.400
Valore caratteristico apertura fessure $wk(*wm)$		1
fc efficace	kg/cmq	25.99
Coefficiente di breve o lunga durata kt		0.40
Coefficiente di aderenza k1		0.80
Tensioni ammissibili di esercizio		
Verifica Combinazione Rara		Si
Tensione ammissibile σ_{Cl} s	kg/cmq	149
Tensione ammissibile $\sigma_{Acciaio}$	kg/cmq	3600
Verifica Combinazione QP		Si
Tensione ammissibile σ_{Cl} s	kg/cmq	112
Tensione ammissibile $\sigma_{Acciaio}$	kg/cmq	3600
Coefficienti di omogeneizzazione		
Acciaio - Cls compresso		15
Cls teso - Cls compresso		0.5
Armatura travi		
Numero di bracci delle staffe		2
Numero minimo di ferri superiori		4
Numero minimo di ferri inferiori		4
Numero minimo di ferri di parete		2
Numero reggistaffe superiori		0
Numero reggistaffe intermedi		0
Numero reggistaffe inferiori		0
Diametro ferri superiori	mm	16
Diametro ferri inferiori	mm	16
Diametro staffe	mm	10
Percentuale armatura rispetto alla base per verifica a taglio	%	100.00
Minima percentuale armatura compressa rispetto alla tesa	%	50.00
Minima percentuale armatura rispetto al Cls	%	0.31
Massima percentuale armatura rispetto al Cls	%	1.55
Verifica a taglio travi		
Coefficiente di sovra resistenza γ_{Rd}		1.2
Includi effetto spinotto nel taglio		Si
Includi effetto della pressoflessione nel taglio		Si
Verifica a taglio N.T. travi		
Coefficiente di sovra resistenza γ_{Rd} (CDA)		1.2
Coefficiente di sovra resistenza γ_{Rd} (CDB)		1

Acciaio Flessione		
Verifiche		
Tipo di acciaio		S275
σ_{amm} (T<40mm)	kg/cmq	1800

APPALTATORE: D'AGOSTINO ANGELO ANTONIO COSTRUZIONI GENERALI s.r.l.	RIASSETTO NODO DI BARI					
PROGETTISTA: Mandataria: Mandante: RPA srl Technital SpA HUB Engineering Scarl	TRATTA A SUD DI BARI – VARIANTE DI TRACCIATO TRA BARI CENTRALE E BARI TORRE A MARE					
PROGETTO ESECUTIVO: Relazione di calcolo pensilina di ingresso	PROGETTO	LOTTO	CODIFICA	DOCUMENTO	REV.	FOGLIO
	IA3S	01	E ZZ CL	FV020C 001	C	44 DI 107

σ amm (T>40mm)	kg/cmq	1700
Fy (T<40mm)	kg/cmq	2750
Fy (T>40mm)	kg/cmq	2550
Ft (T<40mm)	kg/cmq	4300
Ft (T>40mm)	kg/cmq	4100
Piano di verifica		ξ
Tipo di instabilità		Nessuna
λ Max		250
Coefficiente di sicurezza γ_s		1.5
Coefficiente di adattamento plastico Ψ_x		1
Coefficiente di adattamento plastico Ψ_y		1
Costante di ingobbamento Jw		1
Usa β		No
Escludi momento flettente trasversale Mz		No
Verifica come pendolo		No
Carichi estradossati		Si
Verifiche N.T. SLU		
Coefficiente di sicurezza γ_M		1.05
Usa CNR 10011		No
Stampe		
Combinazioni di verifica		Più gravosa
Verifiche N.T. SLE		
Verifica degli spostamenti verticali		Si
Monta iniziale della trave δ_c	cm	0.0
Limite spostamento nello stato finale	mm	L/200.00
Limite spostamento nello stato finale (mensola)	mm	L/100.00
Limite spostamento dovuto ai soli carichi variabili	mm	L/250.00
Limite spostamento dovuto ai soli carichi variabili (mensola)	mm	L/125.00

Acciaio Tirante		
Verifiche		
Tipo di acciaio		S275
σ amm (T<40mm)	kg/cmq	1800
σ amm (T>40mm)	kg/cmq	1700
Fy (T<40mm)	kg/cmq	2750
Fy (T>40mm)	kg/cmq	2550
Ft (T<40mm)	kg/cmq	4300
Ft (T>40mm)	kg/cmq	4100
Piano di verifica		altro
Tipo di instabilità		Nessuna
λ Max		200
Coefficiente di sicurezza γ_s		1.5
Coefficiente di adattamento plastico Ψ_x		1
Coefficiente di adattamento plastico Ψ_y		1
Costante di ingobbamento Jw		1
Usa β		No
Escludi momento flettente trasversale Mz		No
Verifica come pendolo		Si
Carichi estradossati		No
Verifiche N.T. SLU		
Coefficiente di sicurezza γ_M		1.05
Usa CNR 10011		No
Stampe		
Combinazioni di verifica		Più gravosa

APPALTATORE: D'AGOSTINO ANGELO ANTONIO COSTRUZIONI GENERALI s.r.l.	RIASSETTO NODO DI BARI					
PROGETTISTA: Mandataria: Mandante: RPA srl Technital SpA HUB Engineering Scarl	TRATTA A SUD DI BARI – VARIANTE DI TRACCIATO TRA BARI CENTRALE E BARI TORRE A MARE					
PROGETTO ESECUTIVO: Relazione di calcolo pensilina di ingresso	PROGETTO	LOTTO	CODIFICA	DOCUMENTO	REV.	FOGLIO
	IA3S	01	E ZZ CL	FV020C 001	C	45 DI 107

Verifiche N.T. SLE		
Verifica degli spostamenti verticali		No

Acciaio_FlessTors		
Verifiche		
Tipo di acciaio		S275
σ amm (T<40mm)	kg/cmq	1800
σ amm (T>40mm)	kg/cmq	1700
Fy (T<40mm)	kg/cmq	2750
Fy (T>40mm)	kg/cmq	2550
Ft (T<40mm)	kg/cmq	4300
Ft (T>40mm)	kg/cmq	4100
Piano di verifica		η
Tipo di instabilità		Flessotorsione
λ Max		200
Coefficiente di sicurezza γ_s		1.5
Coefficiente di adattamento plastico Ψ_x		1
Coefficiente di adattamento plastico Ψ_y		1
Costante di ingobbamento Jw		1
Usa β		No
Escludi momento flettente trasversale Mz		No
Verifica come pendolo		No
Carichi estradossati		Si
Verifiche N.T. SLU		
Coefficiente di sicurezza γ_M		1.05
Usa CNR 10011		No
Stampe		
Combinazioni di verifica		Più gravosa
Verifiche N.T. SLE		
Verifica degli spostamenti verticali		Si
Monta iniziale della trave δ_c	cm	0.0
Limite spostamento nello stato finale	mm	L/250.00
Limite spostamento nello stato finale (mensola)	mm	L/125.00
Limite spostamento dovuto ai soli carichi variabili	mm	L/300.00
Limite spostamento dovuto ai soli carichi variabili (mensola)	mm	L/150.00

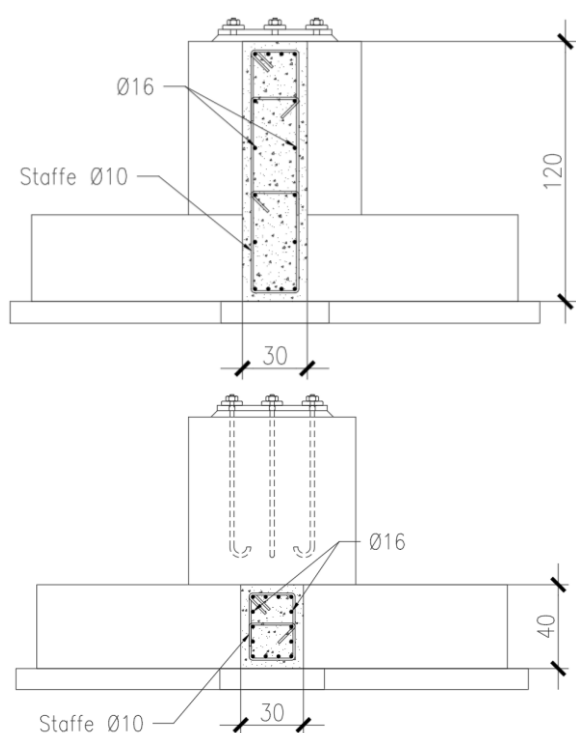
Acciaio_PressSverg		
Verifiche		
Tipo di acciaio		S275
σ amm (T<40mm)	kg/cmq	1800
σ amm (T>40mm)	kg/cmq	1700
Fy (T<40mm)	kg/cmq	2750
Fy (T>40mm)	kg/cmq	2550
Ft (T<40mm)	kg/cmq	4300
Ft (T>40mm)	kg/cmq	4100
Piano di verifica		η
Tipo di instabilità		Pressoflessione con svergolamento
λ Max		200
Coefficiente di sicurezza γ_s		1.5
Coefficiente di adattamento plastico Ψ_x		1
Coefficiente di adattamento plastico Ψ_y		1
Costante di ingobbamento Jw		1

APPALTATORE: D'AGOSTINO ANGELO ANTONIO COSTRUZIONI GENERALI s.r.l.	RIASSETTO NODO DI BARI					
PROGETTISTA: Mandataria: Mandante: RPA srl Technital SpA HUB Engineering Scarl	TRATTA A SUD DI BARI – VARIANTE DI TRACCIATO TRA BARI CENTRALE E BARI TORRE A MARE					
PROGETTO ESECUTIVO: Relazione di calcolo pensilina di ingresso	PROGETTO	LOTTO	CODIFICA	DOCUMENTO	REV.	FOGLIO
	IA3S	01	E ZZ CL	FV020C 001	C	46 DI 107

Usa β		No
Escludi momento flettente trasversale M_z		No
Verifica come pendolo		No
Carichi estradossati		No
Verifiche N.T. SLU		
Coefficiente di sicurezza γ_M		1.05
Usa CNR 10011		No
Stampe		
Combinazioni di verifica		Più gravosa
Verifiche N.T. SLE		
Verifica degli spostamenti verticali		Si
Monta iniziale della trave δ_c	cm	0.0
Limite spostamento nello stato finale	mm	L/250.00
Limite spostamento nello stato finale (mensola)	mm	L/125.00
Limite spostamento dovuto ai soli carichi variabili	mm	L/300.00
Limite spostamento dovuto ai soli carichi variabili (mensola)	mm	L/150.00

8.4 Armature, deformate ed involuppo diagrammi delle sollecitazioni

Di seguito si riportano le sezioni tipologiche con le armature correnti previste per la struttura oggetto di calcolo. In questa fase non è richiesta la rappresentazione delle zone in cui sarà necessario raffittire l'armatura. La rappresentazione completa delle armature sarà definita nella successiva fase di progettazione costruttiva. Analizzando le armature complessive da posare è possibile definire le seguenti incidenze di armatura:



Armatura trave di fondazione
30x120
Incidenza armatura 130kg/m³

Armatura trave di fondazione
30x40
Incidenza armatura 130kg/m³

Armatura plinto di fondazione
225x225x40

APPALTATORE:
D'AGOSTINO ANGELO ANTONIO COSTRUZIONI
GENERALI s.r.l.

RIASSETTO NODO DI BARI

PROGETTISTA:

TRATTA A SUD DI BARI – VARIANTE DI TRACCIATO TRA
BARI CENTRALE E BARI TORRE A MARE

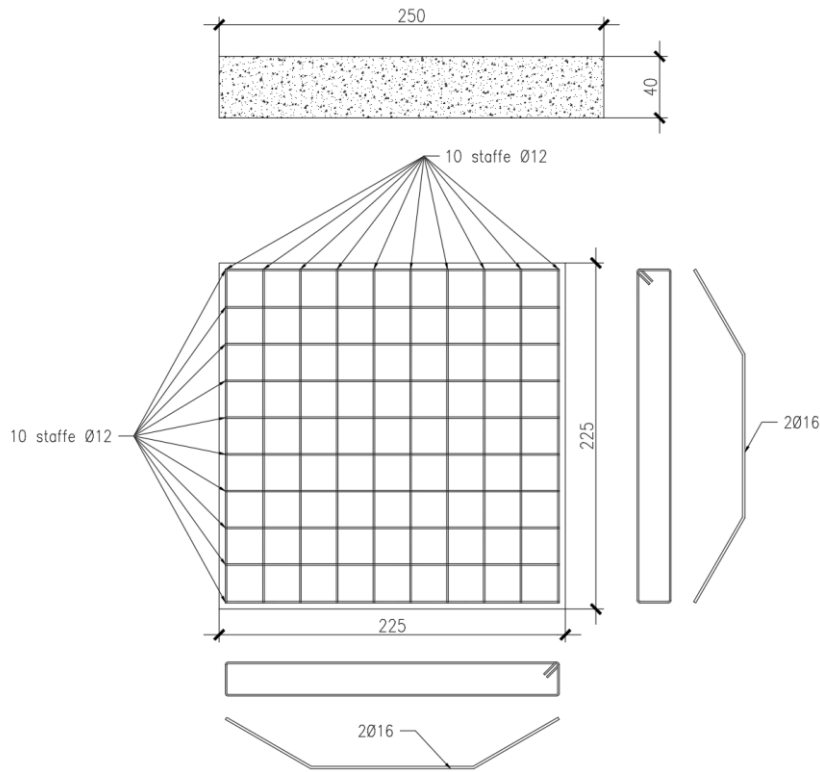
Mandataria: Mandante:

RPA srl Technital SpA HUB Engineering Scarl

PROGETTO ESECUTIVO:

PROGETTO	LOTTO	CODIFICA	DOCUMENTO	REV.	FOGLIO
IA3S	01	E ZZ CL	FV020C 001	C	47 DI 107

Relazione di calcolo pensilina di ingresso



Incidenza armatura 130kg/m³

Di seguito si riportano i risultati grafici delle deformazioni per alcune delle combinazioni e l'involuppo delle sollecitazioni degli elementi in acciaio.

APPALTATORE: D'AGOSTINO ANGELO ANTONIO COSTRUZIONI GENERALI s.r.l.	RIASSETTO NODO DI BARI					
PROGETTISTA: Mandataria: Mandante: RPA srl Technital SpA HUB Engineering Scarl	TRATTA A SUD DI BARI – VARIANTE DI TRACCIATO TRA BARI CENTRALE E BARI TORRE A MARE					
PROGETTO ESECUTIVO: Relazione di calcolo pensilina di ingresso	PROGETTO	LOTTO	CODIFICA	DOCUMENTO	REV.	FOGLIO
	IA3S	01	E ZZ CL	FV020C 001	C	48 DI 107

Figura 8-9 Deformata combinazione di carico 1

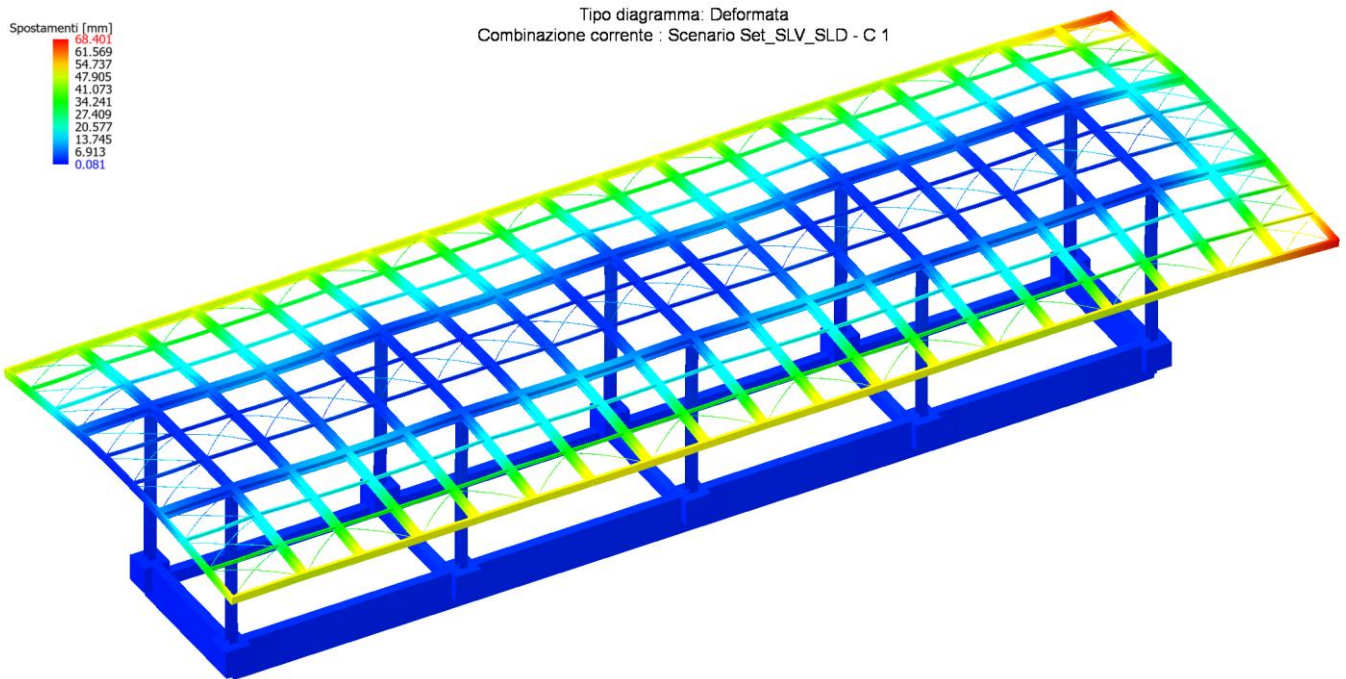
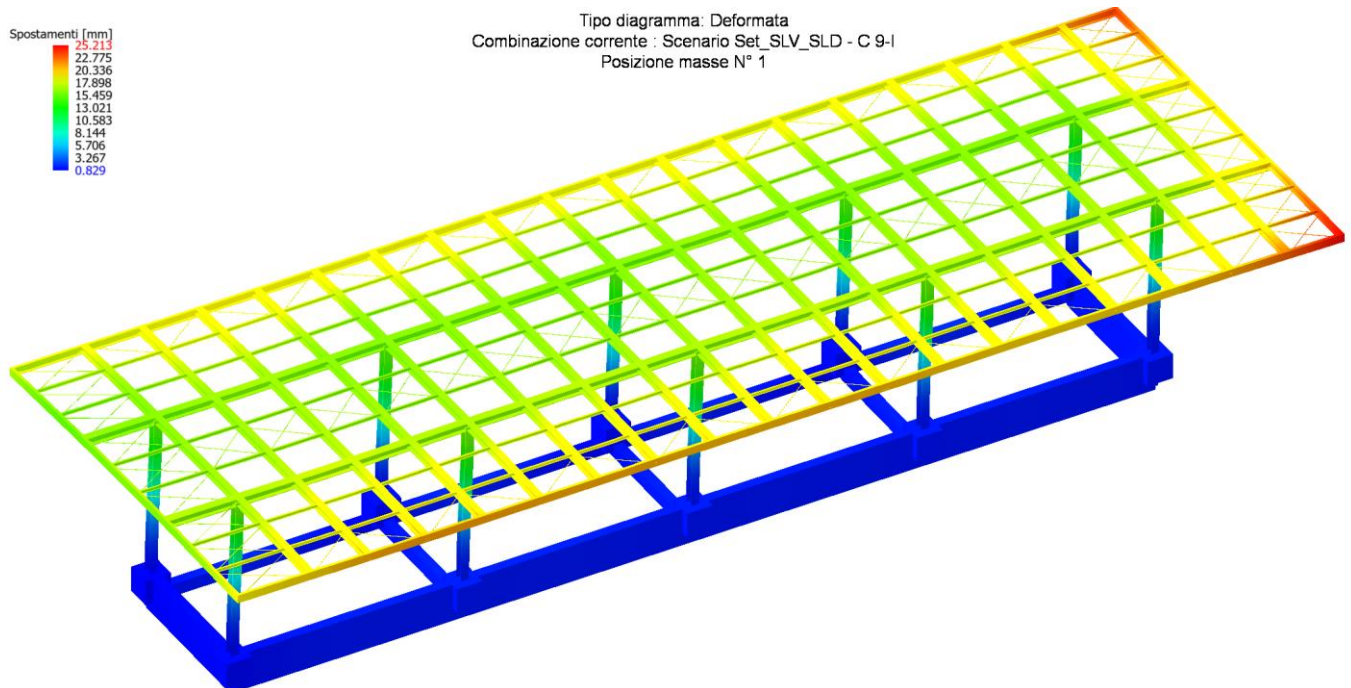


Figura 8-10 Deformata sotto sisma X (Combinazione 9) - posizione masse n°1



APPALTATORE:
D'AGOSTINO ANGELO ANTONIO COSTRUZIONI
GENERALI s.r.l.

RIASSETTO NODO DI BARI

PROGETTISTA:

TRATTA A SUD DI BARI – VARIANTE DI TRACCIATO TRA
BARI CENTRALE E BARI TORRE A MARE

Mandataria: Mandante:

RPA srl Technital SpA HUB Engineering Scarl

PROGETTO ESECUTIVO:

PROGETTO	LOTTO	CODIFICA	DOCUMENTO	REV.	FOGLIO
IA3S	01	E ZZ CL	FV020C 001	C	49 DI 107

Relazione di calcolo pensilina di ingresso

Figura 8-11 Deformata sotto sisma Y (Combinazione 10) - posizione masse n°1

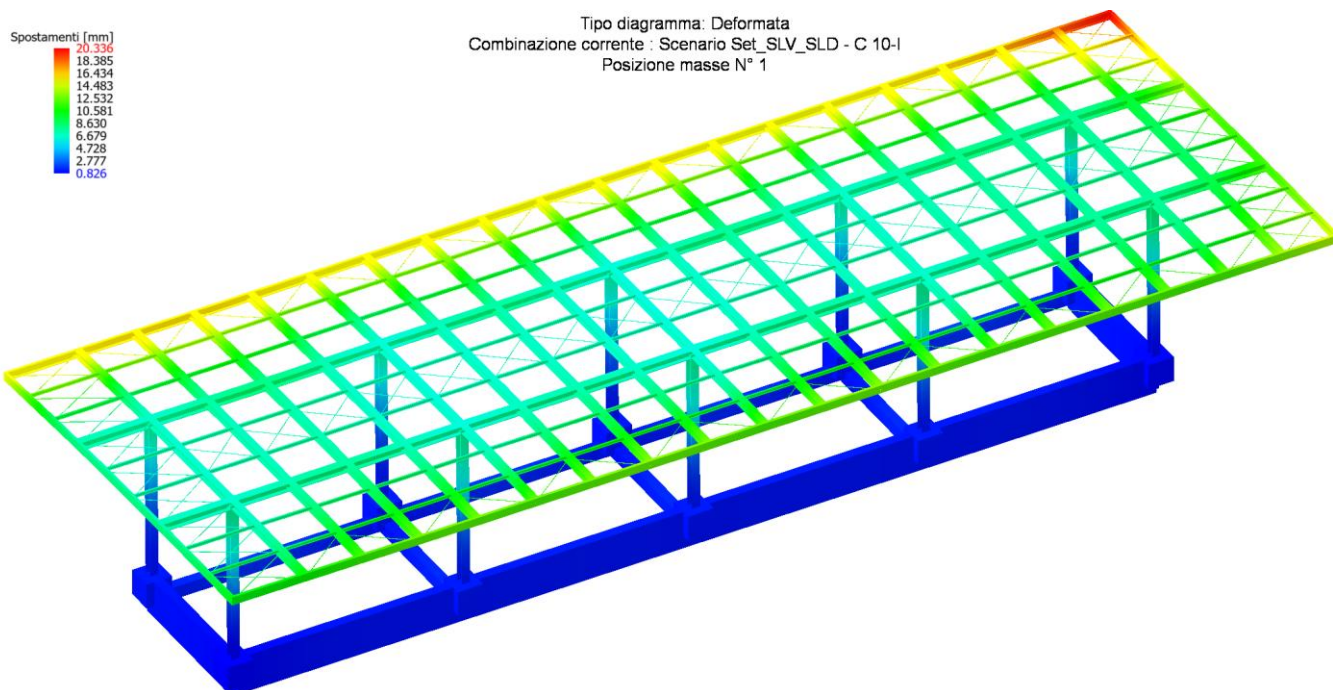
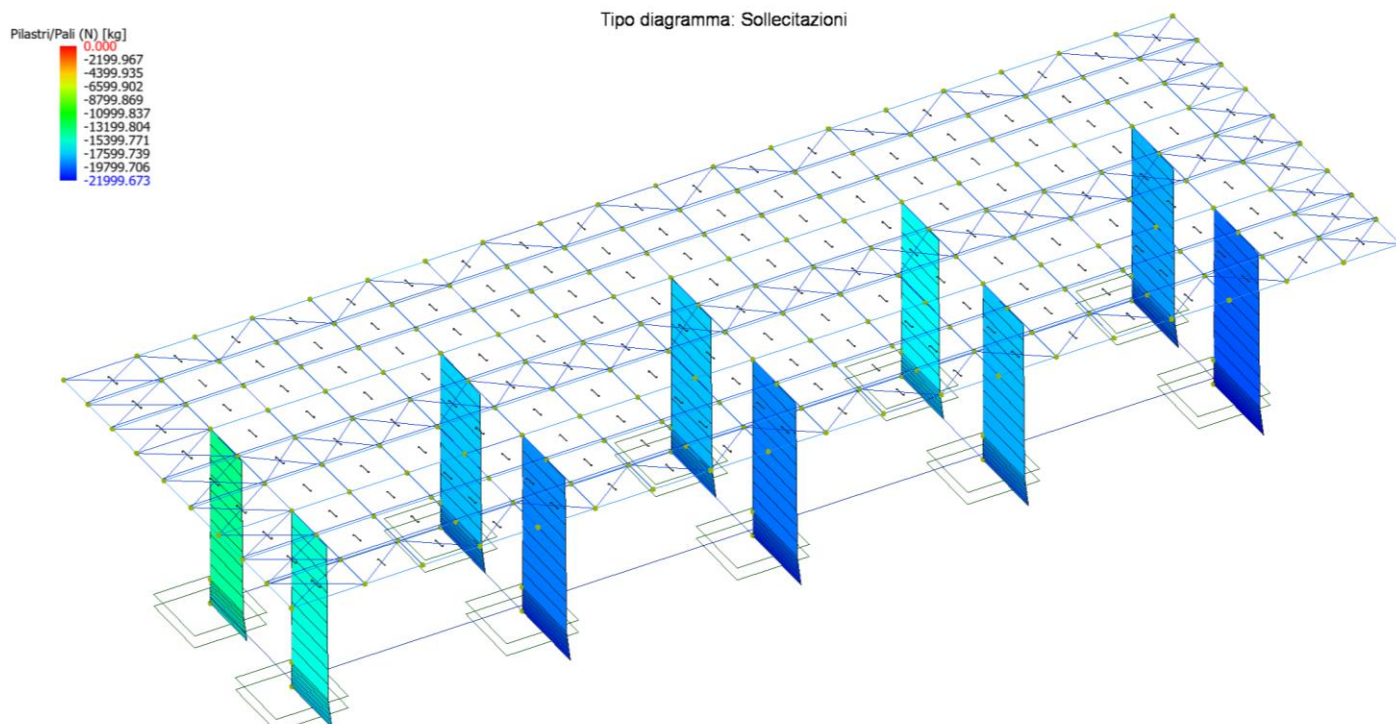


Figura 8-12 Inviluppo sforzo normale - Pilastr



APPALTATORE:
D'AGOSTINO ANGELO ANTONIO COSTRUZIONI
GENERALI s.r.l.

RIASSETTO NODO DI BARI

PROGETTISTA:

TRATTA A SUD DI BARI – VARIANTE DI TRACCIATO TRA
BARI CENTRALE E BARI TORRE A MARE

Mandataria: Mandante:

RPA srl Technital SpA HUB Engineering Scarl

PROGETTO ESECUTIVO:

PROGETTO	LOTTO	CODIFICA	DOCUMENTO	REV.	FOGLIO
IA3S	01	E ZZ CL	FV020C 001	C	50 DI 107

Relazione di calcolo pensilina di ingresso

Figura 8-13 Involuppo diagramma sollecitazioni taglio T_y - Pilastrri

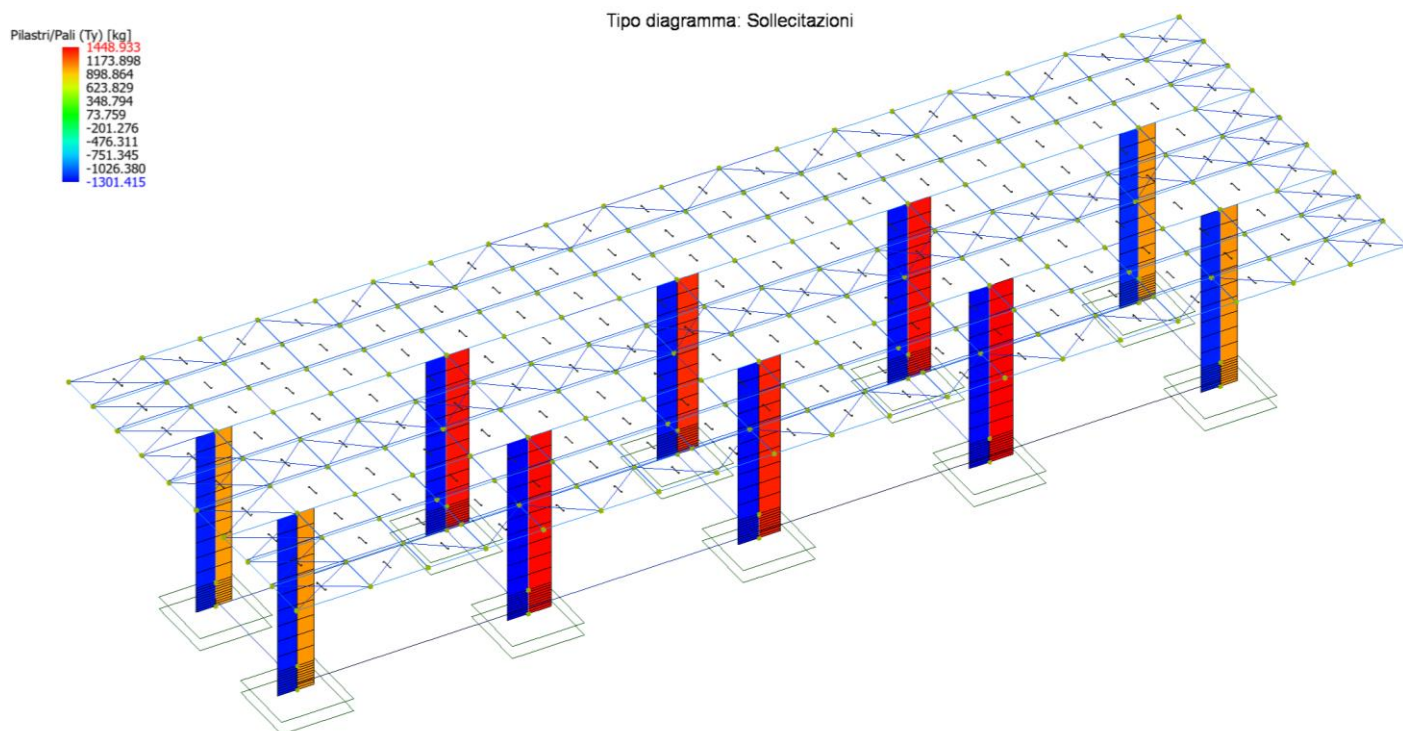
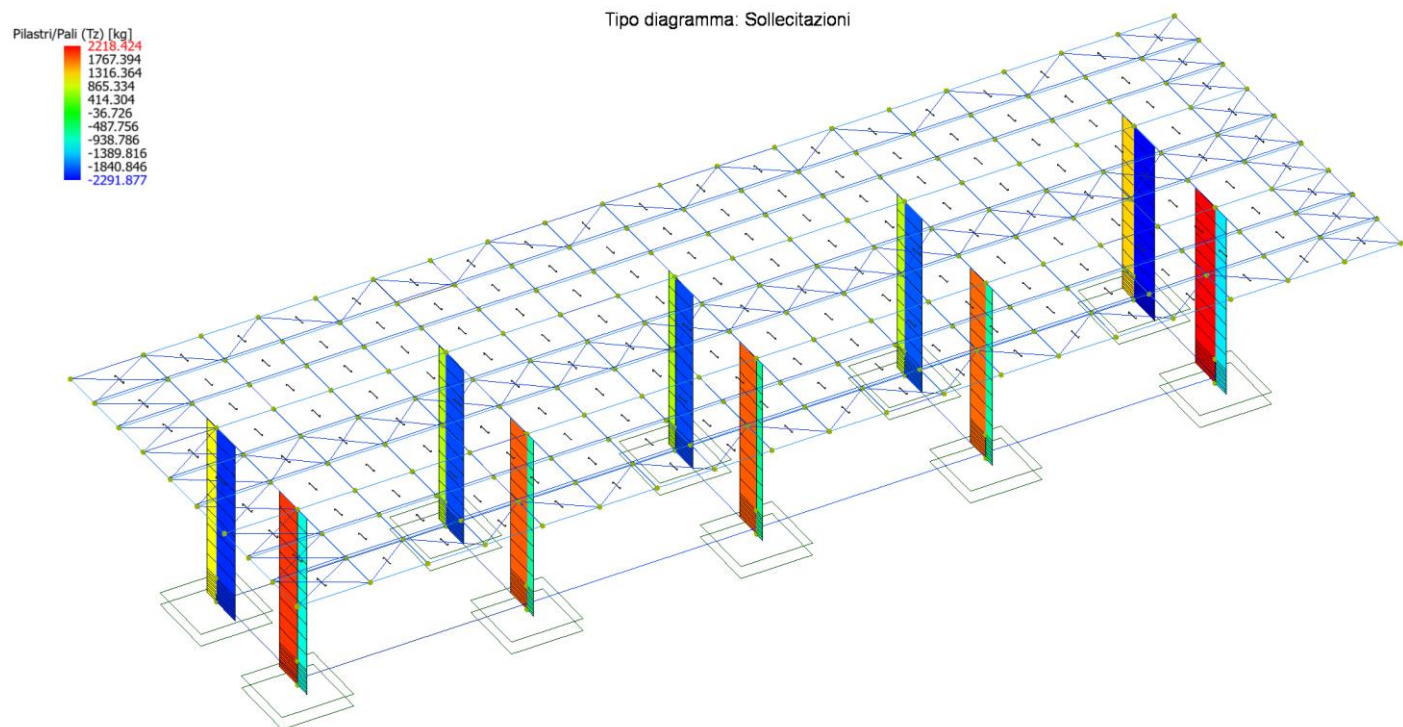


Figura 8-14 Involuppo diagramma sollecitazioni taglio T_z - Pilastrri



APPALTATORE:
D'AGOSTINO ANGELO ANTONIO COSTRUZIONI
GENERALI s.r.l.

RIASSETTO NODO DI BARI

PROGETTISTA:

TRATTA A SUD DI BARI – VARIANTE DI TRACCIATO TRA
BARI CENTRALE E BARI TORRE A MARE

Mandataria: Mandante:

RPA srl Technital SpA HUB Engineering Scarl

PROGETTO ESECUTIVO:

PROGETTO	LOTTO	CODIFICA	DOCUMENTO	REV.	FOGLIO
IA3S	01	E ZZ CL	FV020C 001	C	51 DI 107

Relazione di calcolo pensilina di ingresso

Figura 8-15 Involuppo diagramma momento flettente My - Pilastr

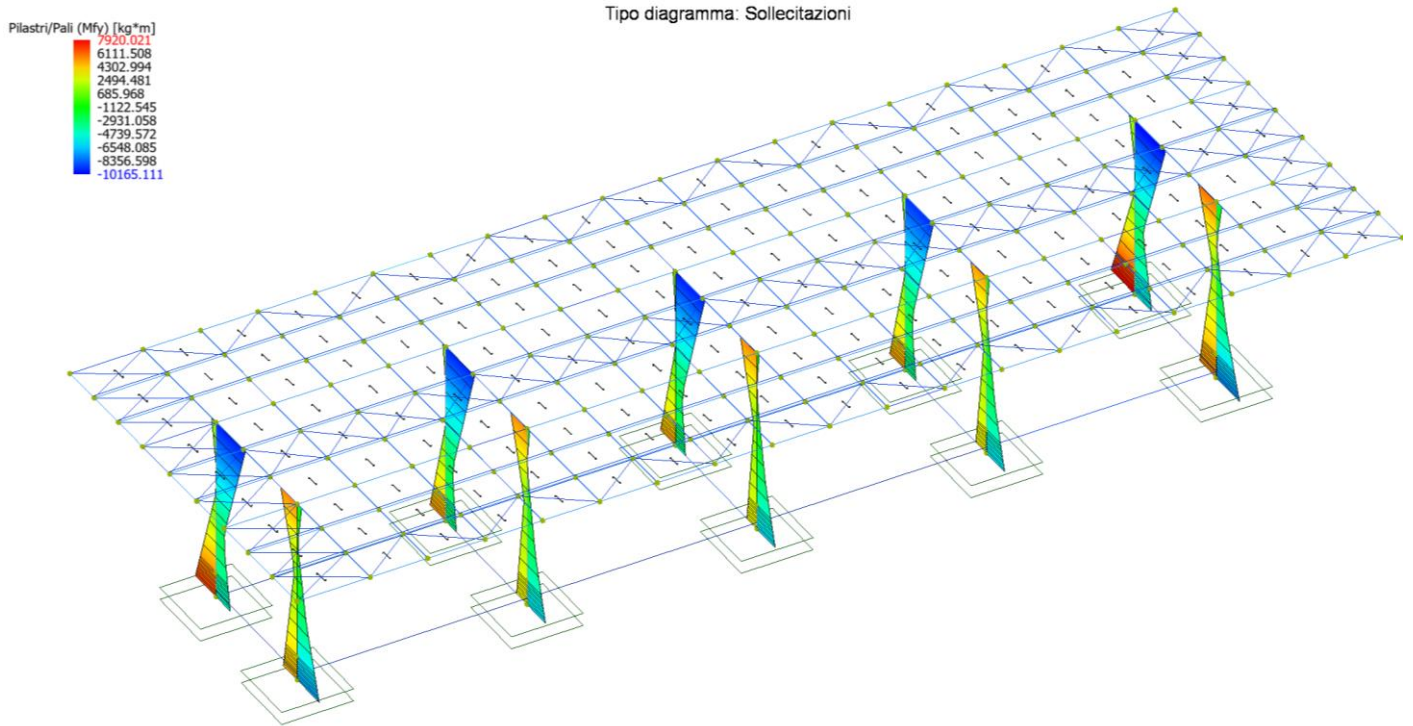
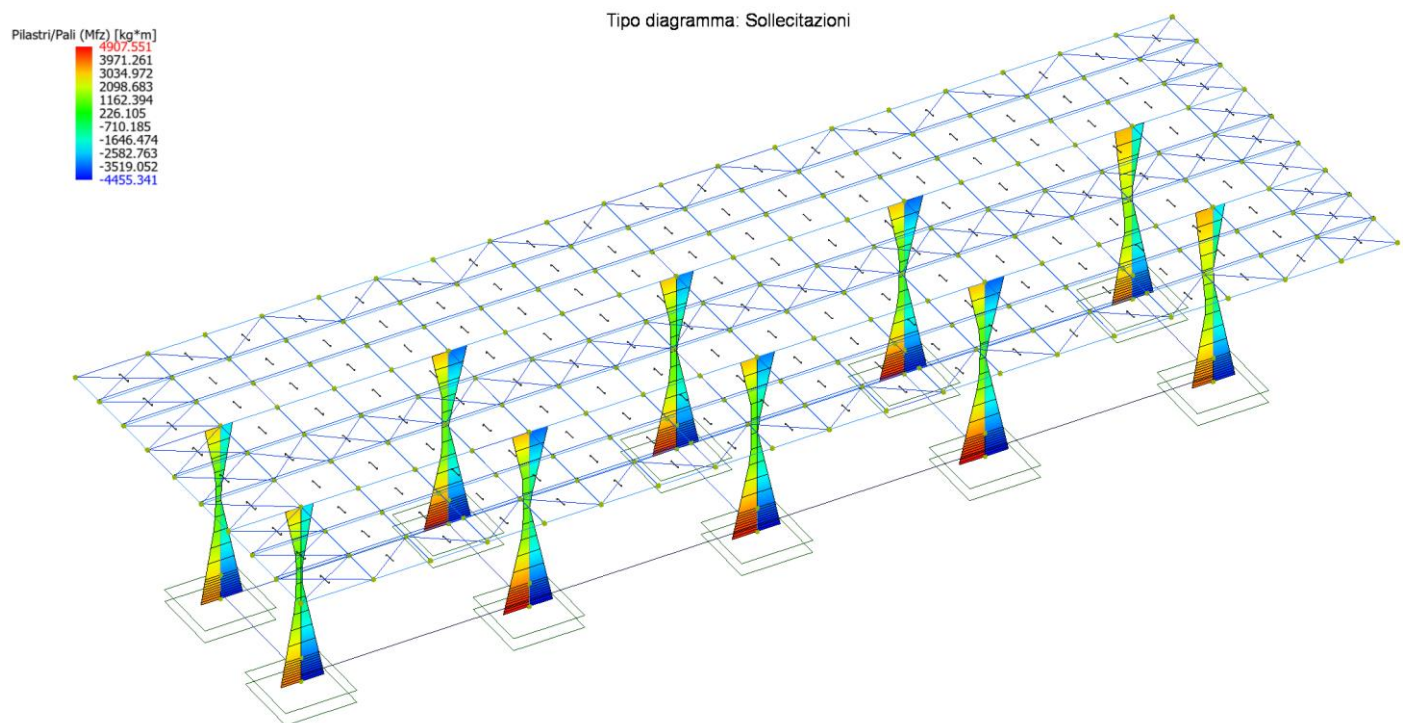


Figura 8-16 Involuppo diagramma momento flettente Mz - Pilastr



APPALTATORE:
D'AGOSTINO ANGELO ANTONIO COSTRUZIONI
GENERALI s.r.l.

RIASSETTO NODO DI BARI

PROGETTISTA:

Mandataria: Mandante:

TRATTA A SUD DI BARI – VARIANTE DI TRACCIATO TRA
BARI CENTRALE E BARI TORRE A MARE

RPA srl Technital SpA HUB Engineering Scarl

PROGETTO ESECUTIVO:

Relazione di calcolo pensilina di ingresso

PROGETTO	LOTTO	CODIFICA	DOCUMENTO	REV.	FOGLIO
IA3S	01	E ZZ CL	FV020C 001	C	52 DI 107

Figura 8-17 Involuppo sforzo normale - Travi

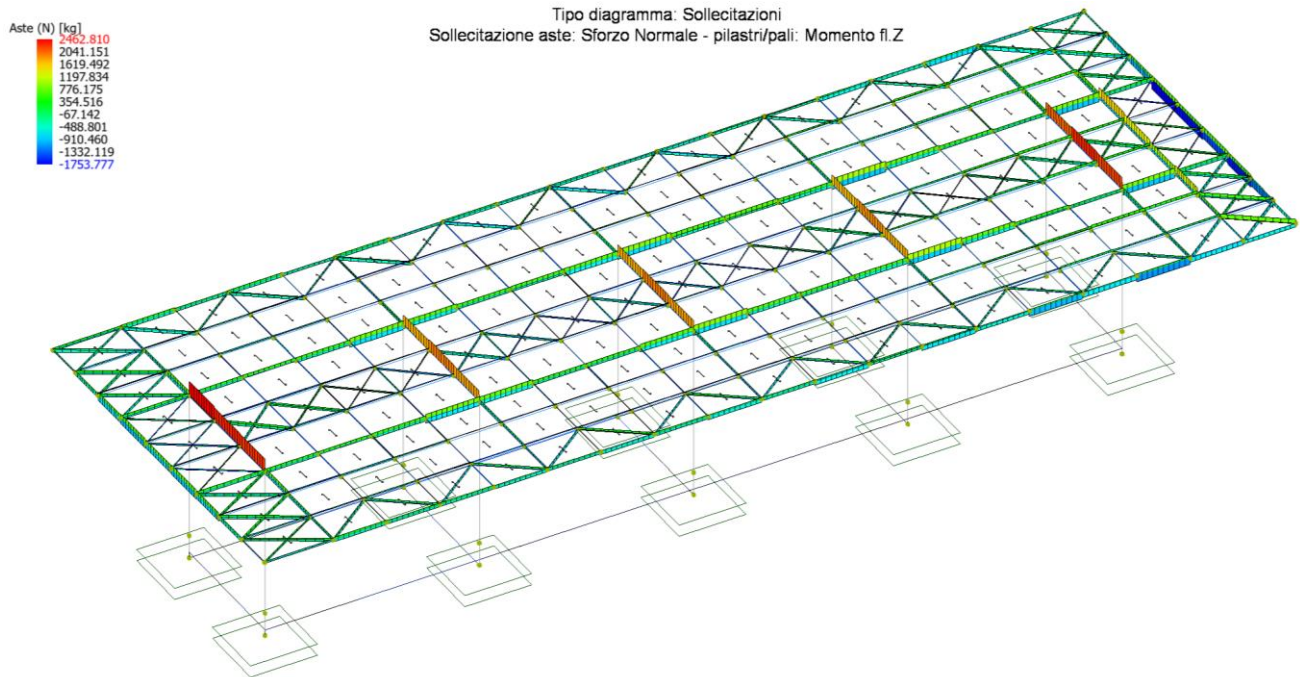
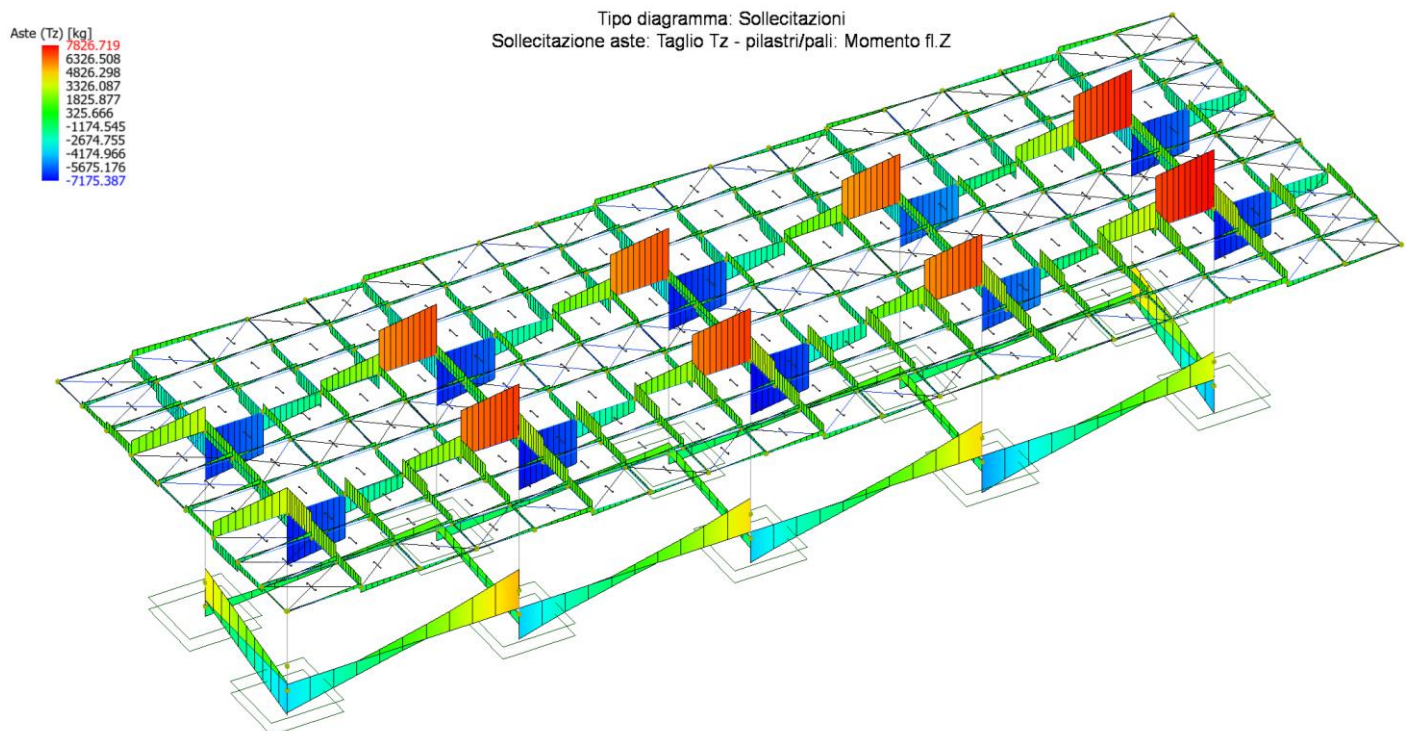


Figura 8-18 Involuppo diagramma sollecitazioni taglio Tz - Travi



APPALTATORE:
D'AGOSTINO ANGELO ANTONIO COSTRUZIONI
GENERALI s.r.l.

RIASSETTO NODO DI BARI

PROGETTISTA:

TRATTA A SUD DI BARI – VARIANTE DI TRACCIATO TRA
BARI CENTRALE E BARI TORRE A MARE

Mandataria: Mandante:

RPA srl Technital SpA HUB Engineering Scarl

PROGETTO ESECUTIVO:

PROGETTO	LOTTO	CODIFICA	DOCUMENTO	REV.	FOGLIO
IA3S	01	E ZZ CL	FV020C 001	C	53 DI 107

Relazione di calcolo pensilina di ingresso

Figura 8-19 Involuppo diagramma momento flettente M_y - Travi

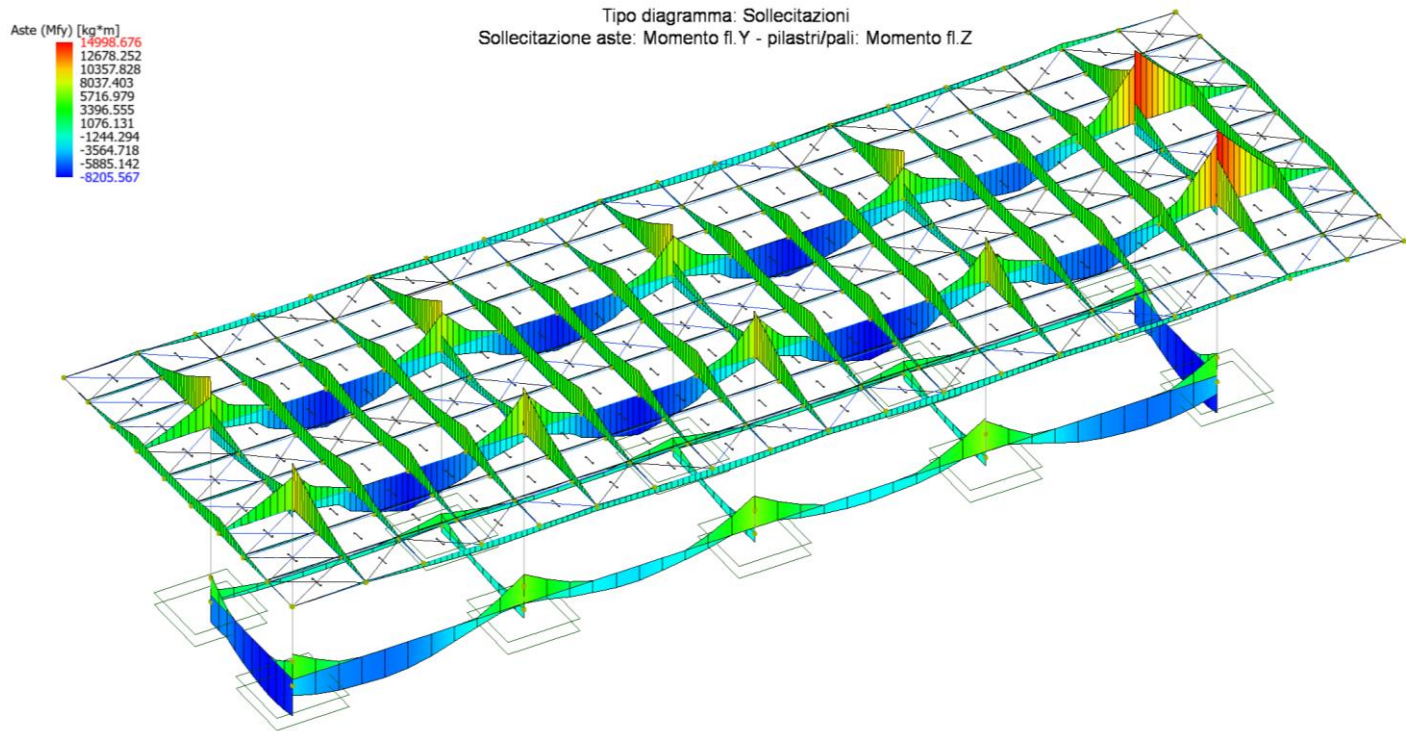
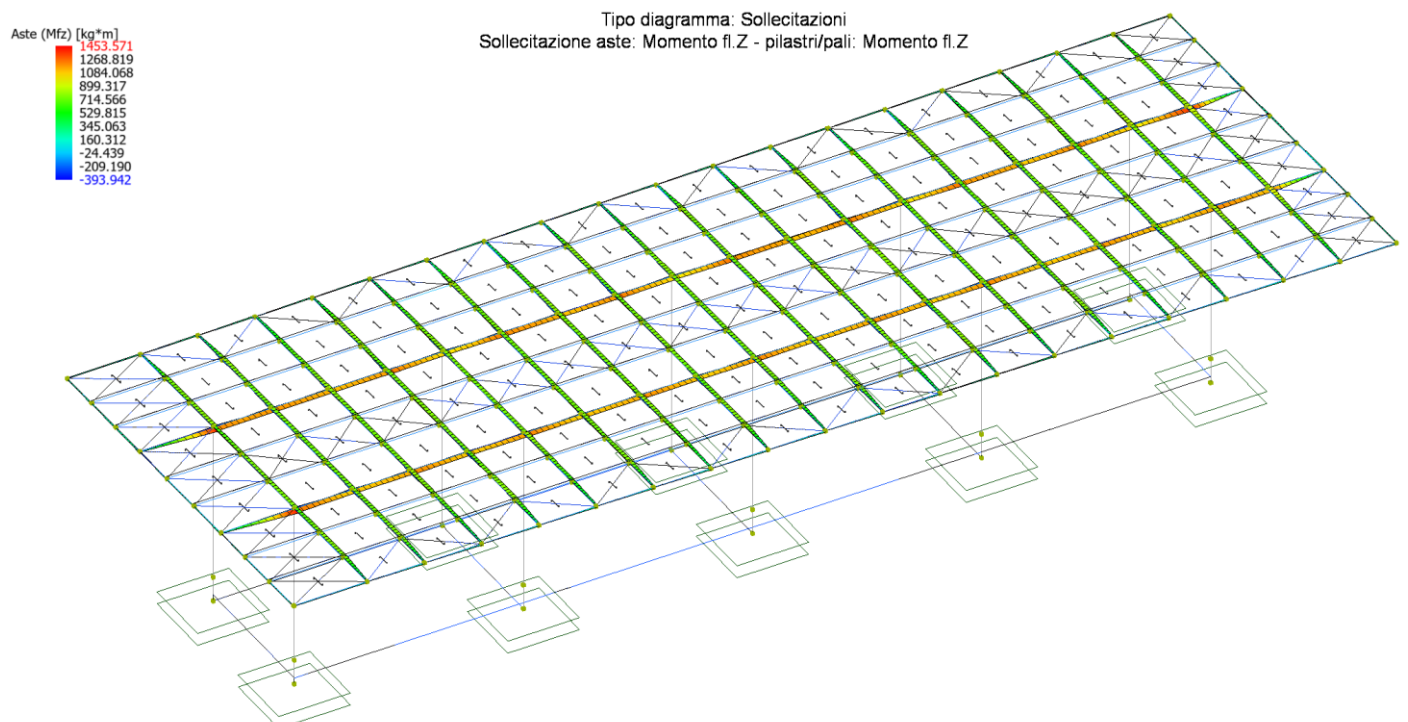


Figura 8-20 Involuppo diagramma momento flettente M_z - Travi



APPALTATORE: D'AGOSTINO ANGELO ANTONIO COSTRUZIONI GENERALI s.r.l.	RIASSETTO NODO DI BARI					
PROGETTISTA: Mandataria: Mandante: RPA srl Technital SpA HUB Engineering Scarl	TRATTA A SUD DI BARI – VARIANTE DI TRACCIATO TRA BARI CENTRALE E BARI TORRE A MARE					
PROGETTO ESECUTIVO: Relazione di calcolo pensilina di ingresso	PROGETTO	LOTTO	CODIFICA	DOCUMENTO	REV.	FOGLIO
	IA3S	01	E ZZ CL	FV020C 001	C	54 DI 107

8.5 Verifiche elementi principali

Verifica Stabilità

Simbologia

L	[cm]	Lunghezza teorica elemento (da nodo a nodo)
L _{n1}	[cm]	Luce libera nella direzione principale 1 dell'elemento
L _{n2}	[cm]	Luce libera nella direzione principale 2 dell'elemento
Sez. G		Sezione Generica (Sigla)
f _{yd}	[kg/cmq]	Tensione di progetto snervamento acciaio
f _t	[kg/cmq]	Tensione di rottura acciaio
γ _M		Coefficiente di sicurezza acciaio
N	[kg]	Sforzo Normale massimo
M _y	[kg*m]	Momento flettente massimo direzione Y
M _z	[kg*m]	Momento flettente massimo direzione Z
N _{Rk}	[kg]	A*fy Resistenza caratteristica instabilità a compressione (1)
M _{yRk}	[kg*m]	Wy*fy, Momento resistente caratteristico all'instabilità in direzione Y (1)
M _{zRk}	[kg*m]	Wz*fy Momento resistente caratteristico all'instabilità in direzione Z (1)
λ _y		Snellezza in direzione y
λ _z		Snellezza in direzione z
χ _y		Coefficiente di riduzione per la presso flessione dir y
χ _z		Coefficiente di riduzione per la presso flessione dir z
χ _{LT}		Coefficiente di riduzione per la instabilità flessio-torsionale, il coefficiente è applicato al termine relativo all'asse forte
k _{yy} , k _{yz}		Coefficienti di interazione per l'instabilità (cfr. EC3 Annex B, tab B1 e B2, e cfr. Circ.NTC tab. C4.2.IV e C4.2.V)
k _{zy} , k _{zz}		
M _{y_{eq}}	[kg*m]	My equivalente uguale a k _{yy} *My oppure k _{zy} *My
M _{z_{eq}}	[kg*m]	Mz equivalente uguale a k _{yz} *Mz oppure k _{zz} *Mz
N _{Rd}	[kg]	Resistenza instabilità a compressione (2)
M _{yRd}	[kg*m]	Momento resistente all'instabilità in direzione Y (2)
M _{zRd}	[kg*m]	Momento resistente all'instabilità in direzione Z (2)
SF		Coefficiente di sicurezza (asta verificata se >=1)
Comb		Combinazione di carico: quando Comb non è sismica è individuata dal codice [C], quando è sismica è individuata dal codice [(Cx+Cy) Cm Sc]
- C		Individua la Combinazione di Carico non sismica (1, 2, ecc. come da scenario)
- Cx		Individua la Combinazione di Carico sismica in direzione x (SismaX, come da scenario)
- Cy		Individua la Combinazione di Carico sismica in direzione y (SismaY, come da scenario)
- Cm		Individua la Combinazione spostamento masse (I, II, III, IV, V, ecc. come da Combinazioni Sisma in Spostamento masse impalcato)
- Sc		Individua la sottocombinazione ottenuta mediante la permutazione dei segni (1, 2, 3, 4, 5, 6, 7, 8)
1)		Sc = + SismaZ*fz + SismaX*fx + SismaY*fy
2)		Sc = + SismaZ*fz + SismaX*fx - SismaY*fy
3)		Sc = + SismaZ*fz - SismaX*fx + SismaY*fy
4)		Sc = + SismaZ*fz - SismaX*fx - SismaY*fy
5)		Sc = - SismaZ*fz + SismaX*fx + SismaY*fy
6)		Sc = - SismaZ*fz + SismaX*fx - SismaY*fy
7)		Sc = - SismaZ*fz - SismaX*fx + SismaY*fy
8)		Sc = - SismaZ*fz - SismaX*fx - SismaY*fy

Le ultime quattro sono assenti quando non è richiesto il contributo del sisma in direzione verticale. Le combinazioni delle azioni sismiche così ottenute vengono combinate con i carichi verticali (come da scenario).

Note:

(1) Y è l'asse forte della sezione, e Z l'asse debole della sezione; i valori da utilizzare per le resistenze sono N_{Rk}=fy*A, M_{yRk}=fy*Wy, M_{zRk}=fy*Wz dove:

APPALTATORE: D'AGOSTINO ANGELO ANTONIO COSTRUZIONI GENERALI s.r.l.	RIASSETTO NODO DI BARI					
PROGETTISTA: Mandataria: Mandante: RPA srl Technital SpA HUB Engineering Scarl	TRATTA A SUD DI BARI – VARIANTE DI TRACCIATO TRA BARI CENTRALE E BARI TORRE A MARE					
PROGETTO ESECUTIVO: Relazione di calcolo pensilina di ingresso	PROGETTO	LOTTO	CODIFICA	DOCUMENTO	REV.	FOGLIO
	IA3S	01	E ZZ CL	FV020C 001	C	55 DI 107

Classe	1	2	3	4
A	A	A	A	A,eff
Wy	Wpl,y	Wpl,y	Wel,y	Wely,eff
Wz	Wpl,z	Wpl,z	Wel,z	Welz,eff

(2) Le equazioni di verifica, le azioni e le resistenze di progetto sono date dalle seguenti equazioni:

$$\frac{N_{ed}}{\frac{\chi_y N_{Rk}}{\gamma_{M1}}} + k_{yy} \frac{M_{y,Ed}}{\chi_{LT} \frac{M_{yRk}}{\gamma_{M1}}} + k_{yz} \frac{M_{z,Ed}}{\gamma_{M1}} \leq 1$$

$$\frac{N_{ed}}{\frac{\chi_z N_{Rk}}{\gamma_{M1}}} + k_{zy} \frac{M_{y,Ed}}{\chi_{LT} \frac{M_{yRk}}{\gamma_{M1}}} + k_{zz} \frac{M_{z,Ed}}{\gamma_{M1}} \leq 1$$

$$N_{Rdy} = \frac{\chi_y N_{Rk}}{\gamma_{M1}} \quad M_{yRd} = \frac{\chi_{LT} M_{yRk}}{\gamma_{M1}} \quad M_{zRd} = \frac{M_{yRk}}{\gamma_{M1}}$$

$$M_{yyEq} = k_{yy} M_{yEd} \quad M_{yzEq} = k_{yz} M_{z,Ed}$$

$$M_{zyEq} = k_{zy} M_{yEd} \quad M_{zzEq} = k_{zz} M_{z,Ed}$$

$$\frac{N_{ed}}{N_{Rdy}} + \frac{M_{yyEq}}{M_{yRd}} + \frac{M_{yzEq}}{M_{zRd}} \leq 1$$

$$\frac{N_{ed}}{N_{Rdz}} + \frac{M_{zyEq}}{M_{yRd}} + \frac{M_{zzEq}}{M_{zRd}} \leq 1$$

Verifica Resistenza

Simbologia

L	[cm]	Lunghezza teorica elemento (da nodo a nodo)
Sez. G		Sezione Generica (Sigla)
f _{yd}	[kg/cm ²]	Tensione di progetto snervamento acciaio
f _t	[kg/cm ²]	Tensione di rottura acciaio
γ _M		Coefficiente di sicurezza acciaio
N	[kg]	Sforzo Normale massimo
T _y	[kg]	Taglio direzione Y
T _z	[kg]	Taglio direzione Z
M _t	[kg*m]	Momento torcente massimo
M _y	[kg*m]	Momento flettente massimo direzione Y
M _z	[kg*m]	Momento flettente massimo direzione Z
M _{y4}	[kg*m]	Momento flettente direzione Y + N*Δ _{ez} , per sezioni di classe 4
M _{z4}	[kg*m]	Momento flettente direzione Z + N*Δ _{ey} , per sezioni di classe 4
cls		Classe della sezione per la sollecitazione della combinazione corrente
N _r	[kg]	Sforzo normale resistente
V _{yr}	[kg]	Taglio resistente in direzione Y
V _{zr}	[kg]	Taglio resistente in direzione Z
M _{ry}	[kg*m]	Momento flettente resistente direzione Y

APPALTATORE: D'AGOSTINO ANGELO ANTONIO COSTRUZIONI GENERALI s.r.l.	RIASSETTO NODO DI BARI					
PROGETTISTA: Mandataria: Mandante: RPA srl Technital SpA HUB Engineering Scarl	TRATTA A SUD DI BARI – VARIANTE DI TRACCIATO TRA BARI CENTRALE E BARI TORRE A MARE					
PROGETTO ESECUTIVO: Relazione di calcolo pensilina di ingresso	PROGETTO	LOTTO	CODIFICA	DOCUMENTO	REV.	FOGLIO
	IA3S	01	E ZZ CL	FV020C 001	C	56 DI 107

Mrz	[kg*m]	Momento flettente resistente direzione Z
SF_V		Coefficiente di sicurezza taglio
SF_M		Coefficiente di sicurezza pressoflessione
SF		Coefficiente di sicurezza complessivo (asta verificata se ≥ 1) (1)
Gerarchia travi/pilastri (quando richiesto)		
NEd	[kg]	Sforzo Normale di verifica
Npl,Rd	[kg]	Sforzo Normale resistente (NTC 4.2.4.1.2)
VEdY (*)	[kg]	Taglio trave dir Y dovuto ai momenti ultimi Mpl,RdZ di estremità (cfr. NTC f.(7.5.6))
Vpl,RdY	[kg]	Taglio resistente dir Y (NTC 4.2.4.1.2)
VEdZ (*)	[kg]	Taglio trave dir Z dovuto ai momenti ultimi Mpl,RdY di estremità (cfr. NTC f.(7.5.6))
Vpl,RdZ	[kg]	Taglio resistente dir Z (NTC 4.2.4.1.2)
MEdY	[kg*m]	Momento flettente dir Y
Mpl,RdY	[kg*m]	Momento resistente dir Y (NTC 4.2.4.1.2)
MEdZ	[kg*m]	Momento flettente dir Z
Mpl,RdZ	[kg*m]	Momento resistente dir Z (NTC 4.2.4.1.2)
Verifiche Incendio:		
Ky		fy(T)/fy(20°) fattore riduzione resistenza alla temperatura T
KE		E(T)/E(20) fattore riduzione modulo elastico alla temperatura T
SF		Coefficiente di sicurezza (asta verificata se ≥ 1)(2)
Ω^*		Semplificazione sollecitazioni sismiche (solo per q>1)(3)
Fatt.Ampl.		Fattore moltiplicativo di gruppo per le azioni sismiche (solo se diverso da 1.0)
Sisma		

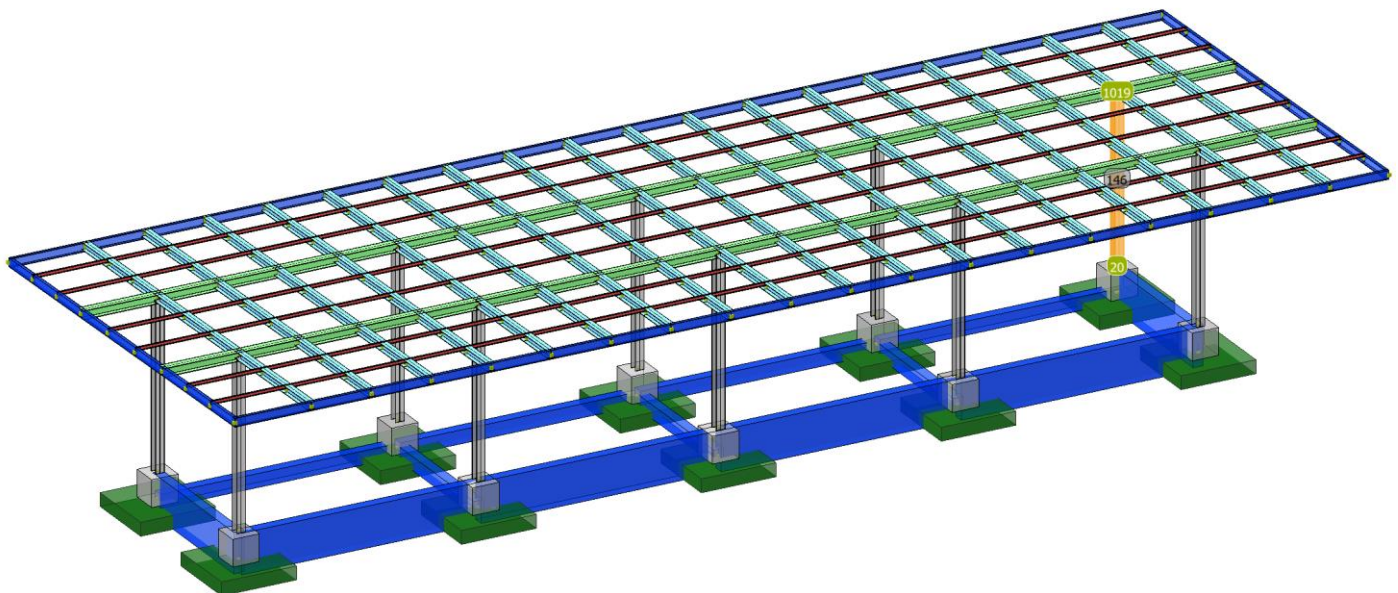
Note:

- (1): SF rappresenta il minimo tra SF_V ed SF_M dove:
- SF_V = VR/Vd con VR e Vd azione tagliante resistente ed agente
 - SF_M = 1/[N/Nr + MY/Mry + MZ/Mrz], i valori di Mry ed Mrz sono ridotti opportunamente quando Vd > 0.5 Vr
- (2): SF rappresenta il minimo tra i seguenti rapporti:
- MEdY/Mpl,RdY (travi)
 - MEdZ/Mpl,RdZ (travi)
 - NEd/(0.15*Npl,Rd) (travi)
 - VEdY(*)/(0.5*Vpl,RdY) (travi)
 - VEdZ(*)/(0.5*Vpl,RdZ) (travi)
 - VEdY/(0.5*Vpl,RdY) (pilastri)
 - VEdZ/(0.5*Vpl,RdZ) (pilastri)
- (3): $\Omega^* = \min(q, 1.1 * \gamma_{ov} * \Omega)$, con Ω secondo NTC 7.5.4.2

APPALTATORE: D'AGOSTINO ANGELO ANTONIO COSTRUZIONI GENERALI s.r.l.	RIASSETTO NODO DI BARI					
PROGETTISTA: Mandataria: Mandante: RPA srl Technital SpA HUB Engineering Scarl	TRATTA A SUD DI BARI – VARIANTE DI TRACCIATO TRA BARI CENTRALE E BARI TORRE A MARE					
PROGETTO ESECUTIVO: Relazione di calcolo pensilina di ingresso	PROGETTO IA3S	LOTTO 01	CODIFICA E ZZ CL	DOCUMENTO FV020C 001	REV. C	FOGLIO 57 DI 107

8.5.1 Pilastro HE260B

HE260B			
Geometry		Section properties	
h = 260 mm		Axis y	Axis z
b = 260 mm		$I_y = 1.49E+8 \text{ mm}^4$	$I_z = 5.13E+7 \text{ mm}^4$
$t_f = 17.5 \text{ mm}$		$W_{y1} = 1.15E+6 \text{ mm}^3$	$W_{z1} = 3.95E+5 \text{ mm}^3$
$t_w = 10 \text{ mm}$		$W_{y,pl} = 1.28E+6 \text{ mm}^3$	$W_{z,pl} = 5.99E+5 \text{ mm}^3$
$r_1 = 24 \text{ mm}$		$i_y = 112.0 \text{ mm}$	$i_z = 65.80 \text{ mm}$
$y_s = 130 \text{ mm}$		$S_y = 6.41E+5 \text{ mm}^3$	$S_z = 3.00E+5 \text{ mm}^3$
d = 177 mm		Warping and buckling	
A = 11800 mm ²		$I_w = 7.54E+11 \text{ mm}^6$	$I_t = 1.27E+6 \text{ mm}^4$
$A_L = 1.5 \text{ m}^2 \cdot \text{m}^{-1}$		$G = 93 \text{ kg} \cdot \text{m}^{-1}$	$i_w = 61.30 \text{ mm}$



Verifica Stabilità

Asta: 146 [20,1019] Sez. G: HE 260 B L=502.0 cm Ln1=502.0 cm Ln2=502.0 cm Crit.: Acciaio_PressSverg
 $\gamma M = 1.05 f_{yk} / \gamma M = 2619 \text{ kg/cm}^2$ $f_t = 4300 \text{ kg/cm}^2$: **Verificato**

SF_λ=2.623

N	My	Mz	NRk	MyRk	MzRk	λY	λZ	χY	χZ	χLT	kyy	kzy	kzy	kzz
kg	kg*m	kg*m	kg	kg*m	kg*m									
-14918	-10165	3263	325722	35301	16565	45	76	0.877	0.613	--	0.582	0.417	0.349	0.695

APPALTATORE: D'AGOSTINO ANGELO ANTONIO COSTRUZIONI GENERALI s.r.l.	RIASSETTO NODO DI BARI												
PROGETTISTA: Mandataria: Mandante: RPA srl Technital SpA HUB Engineering Scarl													
PROGETTO ESECUTIVO: Relazione di calcolo pensilina di ingresso	<table border="1"> <tr> <td>PROGETTO</td> <td>LOTTO</td> <td>CODIFICA</td> <td>DOCUMENTO</td> <td>REV.</td> <td>FOGLIO</td> </tr> <tr> <td>IA3S</td> <td>01</td> <td>E ZZ CL</td> <td>FV020C 001</td> <td>C</td> <td>58 DI 107</td> </tr> </table>	PROGETTO	LOTTO	CODIFICA	DOCUMENTO	REV.	FOGLIO	IA3S	01	E ZZ CL	FV020C 001	C	58 DI 107
PROGETTO	LOTTO	CODIFICA	DOCUMENTO	REV.	FOGLIO								
IA3S	01	E ZZ CL	FV020C 001	C	58 DI 107								

Cls	Dir	N	Myeq	Mzeq	NRd	MyRd	MzRd	Comb.	SF
		kg	kg*m	kg*m	kg	kg*m	kg*m		
1	Y	14918	5914	1361	272183	33620	15776	7	3.2
1	Z	14918	3549	2268	190238	33620	15776	7	3.1

Verifica Resistenza

Asta: 146 [20,1019] Sez. G: HE 260 B L=502.0 cm Crit.: Acciaio_PressSverg $\gamma_M=1.05$ $f_{yk}/\gamma_M=2619$ kg/cmq $f_t=4300$ kg/cmq :**Verificato**

X	cls	N	TY	TZ	MT	MY	MZ	My4	Mz4	Comb.
cm		kg	kg	kg	kg*m	kg*m	kg*m			
502	1	-14311	-590	-2167	-0	-10165	3263	--	--	7

X	cls	Nr	Vyr	Vzr	Mry	Mrz	MTrd	SF_V.	SF_M	SF_Mt	SF
cm		kg	kg	kg	kg*m	kg*m	kg*m				
502	1	310212	137599	56846	33620	15776	986	26	1.8	>100	1.8

Verifica Spostamento laterale

Interp. Interpiano
NS e NI Nodi giacenti sulla stessa verticale, appartenenti all'impalcato j e i, rispettivamente, dell'interpiano i-j
Nodo Nodo/i dell'ultimo impalcato
Comb Combinazione/i di carico Rara/e più gravosa/e
SpostX sup. Spostamento lungo x del nodo superiore per la combinazione Comb.
SpostY sup. Spostamento lungo y del nodo superiore per la combinazione Comb.
SpostX inf. Spostamento lungo x del nodo inferiore per la combinazione Comb.
SpostY inf. Spostamento lungo y del nodo inferiore per la combinazione Comb.
 δ Spostamento/i orizzontale/i relativo/i di piano
 Δ Spostamento/i orizzontale/i totale/i
L/k Limite di deformabilità (Tab. 4.2.XIII, §4.2.4.2.2 - NTC 2008)

Verifica spostamenti orizzontali relativi di piano (§4.2.4.2.2 - NTC)

Interp.	NS	NI.	Comb.	SpostX sup.	SpostY sup.	SpostX inf.	SpostY inf.	δ	h/300	Verifica
				mm	mm	mm	mm	mm	mm	
0-1	1011	12	17	0.63	-1.77	0.16	-0.07	1.76	16.73	Si
0-1	1013	14	17	0.64	-1.76	0.04	-0.19	1.68	16.73	Si
0-1	1015	16	17	0.65	-1.74	0.04	-0.20	1.66	16.73	Si
0-1	1017	17	17	0.66	-1.76	0.08	-0.19	1.68	16.73	Si
0-1	1019	20	17	0.67	-1.81	-0.10	-0.08	1.90	16.73	Si

Verifica spostamenti orizzontali in sommità (§4.2.4.2.2 - NTC)

Nodo	Comb.	SpostX	SpostY	Δ	H/500	Verifica
		mm	mm	mm	mm	
1011	17	0.63	-1.77	1.88	10.04	Si
1013	17	0.64	-1.76	1.87	10.04	Si
1015	17	0.65	-1.74	1.86	10.04	Si
1017	17	0.66	-1.76	1.88	10.04	Si
1019	17	0.67	-1.81	1.93	10.04	Si

APPALTATORE: D'AGOSTINO ANGELO ANTONIO COSTRUZIONI GENERALI s.r.l.	RIASSETTO NODO DI BARI					
PROGETTISTA: Mandataria: Mandante:	TRATTA A SUD DI BARI – VARIANTE DI TRACCIATO TRA BARI CENTRALE E BARI TORRE A MARE					
RPA srl Technital SpA HUB Engineering Scarl						
PROGETTO ESECUTIVO: Relazione di calcolo pensilina di ingresso	PROGETTO IA3S	LOTTO 01	CODIFICA E ZZ CL	DOCUMENTO FV020C 001	REV. C	FOGLIO 60 DI 107

Cls	Dir	N	Myeq	Mzeq	NRd	MyRd	MzRd	Comb.	SF
1	Y	362	2343	697	310212	33620	15776	7	8.7
1	Z	362	1406	1161	292073	33620	15776	7	8.6

Asta: 1 [1003,1055] Sez. G: HE 260 B L=180.0 cm Ln1=180.0 cm Ln2=180.0 cm Crit.: Acciaio_FlessTors
 $\gamma M=1.05 f_{yk}/\gamma M=2619 \text{ kg/cmq}$ $f_t=4300 \text{ kg/cmq}$:**Verificato**
SF_λ=7.316

N	My	Mz	NRk	MyRk	MzRk	λY	λZ	χY	χZ	χLT	kyy	kyz	kzy	kzz
kg	kg*m	kg*m	kg	kg*m	kg*m									
403	8070	766	325722	35301	16565	16	27	1.000	0.942	1.000	0.419	0.542	0.252	0.903

Cls	Dir	N	Myeq	Mzeq	NRd	MyRd	MzRd	Comb.	SF
		kg	kg*m	kg*m	kg	kg*m	kg*m		
1	Y	403	3384	415	310212	33620	15776	1	7.8
1	Z	403	2030	691	292073	33620	15776	1	9.5

Asta: 1 [1005,1099] Sez. G: HE 260 B L=180.0 cm Ln1=180.0 cm Ln2=180.0 cm Crit.: Acciaio_FlessTors
 $\gamma M=1.05 f_{yk}/\gamma M=2619 \text{ kg/cmq}$ $f_t=4300 \text{ kg/cmq}$:**Verificato**
SF_λ=7.316

N	My	Mz	NRk	MyRk	MzRk	λY	λZ	χY	χZ	χLT	kyy	kyz	kzy	kzz
kg	kg*m	kg*m	kg	kg*m	kg*m									
430	8274	765	325722	35301	16565	16	27	1.000	0.942	1.000	0.420	0.542	0.252	0.903

Cls	Dir	N	Myeq	Mzeq	NRd	MyRd	MzRd	Comb.	SF
		kg	kg*m	kg*m	kg	kg*m	kg*m		
1	Y	430	3477	414	310212	33620	15776	1	7.6
1	Z	430	2086	691	292073	33620	15776	1	9.3

Asta: 1 [1007,1106] Sez. G: HE 260 B L=180.0 cm Ln1=180.0 cm Ln2=180.0 cm Crit.: Acciaio_FlessTors
 $\gamma M=1.05 f_{yk}/\gamma M=2619 \text{ kg/cmq}$ $f_t=4300 \text{ kg/cmq}$:**Verificato**
SF_λ=7.316

N	My	Mz	NRk	MyRk	MzRk	λY	λZ	χY	χZ	χLT	kyy	kyz	kzy	kzz
kg	kg*m	kg*m	kg	kg*m	kg*m									
402	-3507	1198	325722	35301	16565	16	27	1.000	0.942	1.000	0.706	0.576	0.424	0.960

Cls	Dir	N	Myeq	Mzeq	NRd	MyRd	MzRd	Comb.	SF
		kg	kg*m	kg*m	kg	kg*m	kg*m		
1	Y	402	2476	690	310212	33620	15776	8	8.4
1	Z	402	1486	1150	292073	33620	15776	8	8.4

Asta: 1 [1051,1001] Sez. G: HE 260 B L=230.0 cm Ln1=230.0 cm Ln2=230.0 cm Crit.: Acciaio_FlessTors
 $\gamma M=1.05 f_{yk}/\gamma M=2619 \text{ kg/cmq}$ $f_t=4300 \text{ kg/cmq}$:**Verificato**
SF_λ=5.725

N	My	Mz	NRk	MyRk	MzRk	λY	λZ	χY	χZ	χLT	kyy	kyz	kzy	kzz
kg	kg*m	kg*m	kg	kg*m	kg*m									
221	6359	818	325722	35301	16565	20	35	0.987	0.896	1.000	0.603	0.394	0.362	0.656

Cls	Dir	N	Myeq	Mzeq	NRd	MyRd	MzRd	Comb.	SF
		kg	kg*m	kg*m	kg	kg*m	kg*m		
1	Y	221	3833	322	306239	33620	15776	1	7.4
1	Z	221	2300	536	277968	33620	15776	1	9.7

APPALTATORE: D'AGOSTINO ANGELO ANTONIO COSTRUZIONI GENERALI s.r.l.	RIASSETTO NODO DI BARI					
PROGETTISTA: Mandataria: Mandante: RPA srl Technital SpA HUB Engineering Scarl	TRATTA A SUD DI BARI – VARIANTE DI TRACCIATO TRA BARI CENTRALE E BARI TORRE A MARE					
PROGETTO ESECUTIVO: Relazione di calcolo pensilina di ingresso	PROGETTO	LOTTO	CODIFICA	DOCUMENTO	REV.	FOGLIO
	IA3S	01	E ZZ CL	FV020C 001	C	61 DI 107

Asta: 1 [1009,1113] Sez. G: HE 260 B L=177.5 cm Ln1=177.5 cm Ln2=177.5 cm Crit.: Acciaio_FlessTors
 $\gamma_M=1.05$ fyk/ $\gamma_M=2619$ kg/cmq ft=4300 kg/cmq :**Verificato**
SF_λ=7.419

N	My	Mz	NRk	MyRk	MzRk	λY	λZ	χY	χZ	χLT	kyy	kyz	kzy	kzz
kg	kg*m	kg*m	kg	kg*m	kg*m									
-143	14999	760	325722	35301	16565	16	27	1.000	0.944	1.000	0.698	0.535	0.419	0.892

Cls	Dir	N	Myeq	Mzeq	NRd	MyRd	MzRd	Comb.	SF
		kg	kg*m	kg*m	kg	kg*m	kg*m		
1	Y	143	10462	407	310212	33620	15776	1	3.0
1	Z	143	6277	678	292767	33620	15776	1	4.3

Asta: 1 [1052,1053] Sez. G: HE 260 B L=180.0 cm Ln1=180.0 cm Ln2=180.0 cm Crit.: Acciaio_FlessTors
 $\gamma_M=1.05$ fyk/ $\gamma_M=2619$ kg/cmq ft=4300 kg/cmq :**Verificato**
SF_λ=7.316

N	My	Mz	NRk	MyRk	MzRk	λY	λZ	χY	χZ	χLT	kyy	kyz	kzy	kzz
kg	kg*m	kg*m	kg	kg*m	kg*m									
425	-7596	1137	325722	35301	16565	16	27	1.000	0.942	1.000	0.814	0.586	0.488	0.977

Cls	Dir	N	Myeq	Mzeq	NRd	MyRd	MzRd	Comb.	SF
		kg	kg*m	kg*m	kg	kg*m	kg*m		
1	Y	425	6180	666	310212	33620	15776	7	4.4
1	Z	425	3708	1111	292073	33620	15776	7	5.5

Asta: 1 [1053,1054] Sez. G: HE 260 B L=180.0 cm Ln1=180.0 cm Ln2=180.0 cm Crit.: Acciaio_FlessTors
 $\gamma_M=1.05$ fyk/ $\gamma_M=2619$ kg/cmq ft=4300 kg/cmq :**Verificato**
SF_λ=7.316

N	My	Mz	NRk	MyRk	MzRk	λY	λZ	χY	χZ	χLT	kyy	kyz	kzy	kzz
kg	kg*m	kg*m	kg	kg*m	kg*m									
470	-7599	1204	325722	35301	16565	16	27	1.000	0.942	1.000	0.860	0.575	0.516	0.959

Cls	Dir	N	Myeq	Mzeq	NRd	MyRd	MzRd	Comb.	SF
		kg	kg*m	kg*m	kg	kg*m	kg*m		
1	Y	470	6537	693	310212	33620	15776	7	4.2
1	Z	470	3922	1154	292073	33620	15776	7	5.2

Asta: 1 [1054,1003] Sez. G: HE 260 B L=180.0 cm Ln1=180.0 cm Ln2=180.0 cm Crit.: Acciaio_FlessTors
 $\gamma_M=1.05$ fyk/ $\gamma_M=2619$ kg/cmq ft=4300 kg/cmq :**Verificato**
SF_λ=7.316

N	My	Mz	NRk	MyRk	MzRk	λY	λZ	χY	χZ	χLT	kyy	kyz	kzy	kzz
kg	kg*m	kg*m	kg	kg*m	kg*m									
194	-4009	1141	325722	35301	16565	16	27	1.000	0.942	1.000	0.760	0.586	0.456	0.976

Cls	Dir	N	Myeq	Mzeq	NRd	MyRd	MzRd	Comb.	SF
		kg	kg*m	kg*m	kg	kg*m	kg*m		
1	Y	194	3046	668	310212	33620	15776	8	7.5
1	Z	194	1828	1114	292073	33620	15776	8	8.0

APPALTATORE: D'AGOSTINO ANGELO ANTONIO COSTRUZIONI GENERALI s.r.l.	RIASSETTO NODO DI BARI					
PROGETTISTA: Mandataria: Mandante: RPA srl Technital SpA HUB Engineering Scarl	TRATTA A SUD DI BARI – VARIANTE DI TRACCIATO TRA BARI CENTRALE E BARI TORRE A MARE					
PROGETTO ESECUTIVO: Relazione di calcolo pensilina di ingresso	PROGETTO	LOTTO	CODIFICA	DOCUMENTO	REV.	FOGLIO
	IA3S	01	E ZZ CL	FV020C 001	C	62 DI 107

Asta: 1 [1055,1056] Sez. G: HE 260 B L=180.0 cm Ln1=180.0 cm Ln2=180.0 cm Crit.: Acciaio_FlessTors
 $\gamma M=1.05 f_{yk}/\gamma M=2619 \text{ kg/cmq}$ $f_t=4300 \text{ kg/cmq}$:**Verificato**
SF_λ=7.316

N	My	Mz	NRk	MyRk	MzRk	λY	λZ	χY	χZ	χLT	kyy	kyz	kzy	kzz
kg	kg*m	kg*m	kg	kg*m	kg*m									
478	-7877	1132	325722	35301	16565	16	27	1.000	0.942	1.000	0.837	0.589	0.502	0.982

Cls	Dir	N	Myeq	Mzeq	NRd	MyRd	MzRd	Comb.	SF
		kg	kg*m	kg*m	kg	kg*m	kg*m		
1	Y	478	6593	667	310212	33620	15776	7	4.2
1	Z	478	3956	1112	292073	33620	15776	7	5.3

Asta: 1 [1056,1058] Sez. G: HE 260 B L=180.0 cm Ln1=180.0 cm Ln2=180.0 cm Crit.: Acciaio_FlessTors
 $\gamma M=1.05 f_{yk}/\gamma M=2619 \text{ kg/cmq}$ $f_t=4300 \text{ kg/cmq}$:**Verificato**
SF_λ=7.316

N	My	Mz	NRk	MyRk	MzRk	λY	λZ	χY	χZ	χLT	kyy	kyz	kzy	kzz
kg	kg*m	kg*m	kg	kg*m	kg*m									
522	-7880	1201	325722	35301	16565	16	27	1.000	0.942	1.000	0.845	0.576	0.507	0.960

Cls	Dir	N	Myeq	Mzeq	NRd	MyRd	MzRd	Comb.	SF
		kg	kg*m	kg*m	kg	kg*m	kg*m		
1	Y	522	6656	692	310212	33620	15776	7	4.1
1	Z	522	3993	1153	292073	33620	15776	7	5.2

Asta: 1 [1058,1005] Sez. G: HE 260 B L=180.0 cm Ln1=180.0 cm Ln2=180.0 cm Crit.: Acciaio_FlessTors
 $\gamma M=1.05 f_{yk}/\gamma M=2619 \text{ kg/cmq}$ $f_t=4300 \text{ kg/cmq}$:**Verificato**
SF_λ=7.316

N	My	Mz	NRk	MyRk	MzRk	λY	λZ	χY	χZ	χLT	kyy	kyz	kzy	kzz
kg	kg*m	kg*m	kg	kg*m	kg*m									
291	7920	726	325722	35301	16565	16	27	1.000	0.942	1.000	0.412	0.551	0.247	0.919

Cls	Dir	N	Myeq	Mzeq	NRd	MyRd	MzRd	Comb.	SF
		kg	kg*m	kg*m	kg	kg*m	kg*m		
1	Y	291	3260	401	310212	33620	15776	1	8.1
1	Z	291	1956	668	292073	33620	15776	1	9.9

Asta: 1 [1099,1101] Sez. G: HE 260 B L=180.0 cm Ln1=180.0 cm Ln2=180.0 cm Crit.: Acciaio_FlessTors
 $\gamma M=1.05 f_{yk}/\gamma M=2619 \text{ kg/cmq}$ $f_t=4300 \text{ kg/cmq}$:**Verificato**
SF_λ=7.316

N	My	Mz	NRk	MyRk	MzRk	λY	λZ	χY	χZ	χLT	kyy	kyz	kzy	kzz
kg	kg*m	kg*m	kg	kg*m	kg*m									
545	-8139	1140	325722	35301	16565	16	27	1.000	0.942	1.000	0.822	0.586	0.493	0.977

Cls	Dir	N	Myeq	Mzeq	NRd	MyRd	MzRd	Comb.	SF
		kg	kg*m	kg*m	kg	kg*m	kg*m		
1	Y	545	6691	668	310212	33620	15776	7	4.1
1	Z	545	4015	1113	292073	33620	15776	7	5.2

Asta: 1 [1101,1103] Sez. G: HE 260 B L=180.0 cm Ln1=180.0 cm Ln2=180.0 cm Crit.: Acciaio_FlessTors
 $\gamma M=1.05 f_{yk}/\gamma M=2619 \text{ kg/cmq}$ $f_t=4300 \text{ kg/cmq}$:**Verificato**

APPALTATORE: D'AGOSTINO ANGELO ANTONIO COSTRUZIONI GENERALI s.r.l.	RIASSETTO NODO DI BARI					
PROGETTISTA: Mandataria: Mandante:	TRATTA A SUD DI BARI – VARIANTE DI TRACCIATO TRA BARI CENTRALE E BARI TORRE A MARE					
RPA srl Technital SpA HUB Engineering Scarl						
PROGETTO ESECUTIVO: Relazione di calcolo pensilina di ingresso	PROGETTO IA3S	LOTTO 01	CODIFICA E ZZ CL	DOCUMENTO FV020C 001	REV. C	FOGLIO 63 DI 107

SF_λ=7.316

N	My	Mz	NRk	MyRk	MzRk	λY	λZ	χY	χZ	χLT	kyy	kyz	kzy	kzz
kg	kg*m	kg*m	kg	kg*m	kg*m									
588	-8142	1196	325722	35301	16565	16	27	1.000	0.942	1.000	0.872	0.579	0.523	0.965

Cls	Dir	N	Myeq	Mzeq	NRd	MyRd	MzRd	Comb.	SF
		kg	kg*m	kg*m	kg	kg*m	kg*m		
1	Y	588	7097	692	310212	33620	15776	7	3.9
1	Z	588	4258	1154	292073	33620	15776	7	5.0

Asta: 1 [1103,1007] Sez. G: HE 260 B L=180.0 cm Ln1=180.0 cm Ln2=180.0 cm Crit.: Acciaio_FlessTors
 $\gamma M=1.05$ fyk/ $\gamma M=2619$ kg/cm² ft=4300 kg/cm² :**Verificato**

SF_λ=7.316

N	My	Mz	NRk	MyRk	MzRk	λY	λZ	χY	χZ	χLT	kyy	kyz	kzy	kzz
kg	kg*m	kg*m	kg	kg*m	kg*m									
270	-4422	1164	325722	35301	16565	16	27	1.000	0.942	1.000	0.742	0.578	0.445	0.963

Cls	Dir	N	Myeq	Mzeq	NRd	MyRd	MzRd	Comb.	SF
		kg	kg*m	kg*m	kg	kg*m	kg*m		
1	Y	270	3279	672	310212	33620	15776	8	7.1
1	Z	270	1968	1121	292073	33620	15776	8	7.7

Asta: 1 [1106,1107] Sez. G: HE 260 B L=180.0 cm Ln1=180.0 cm Ln2=180.0 cm Crit.: Acciaio_FlessTors
 $\gamma M=1.05$ fyk/ $\gamma M=2619$ kg/cm² ft=4300 kg/cm² :**Verificato**

SF_λ=7.316

N	My	Mz	NRk	MyRk	MzRk	λY	λZ	χY	χZ	χLT	kyy	kyz	kzy	kzz
kg	kg*m	kg*m	kg	kg*m	kg*m									
559	-6260	1140	325722	35301	16565	16	27	1.000	0.942	1.000	0.886	0.586	0.532	0.976

Cls	Dir	N	Myeq	Mzeq	NRd	MyRd	MzRd	Comb.	SF
		kg	kg*m	kg*m	kg	kg*m	kg*m		
1	Y	559	5545	668	310212	33620	15776	7	4.8
1	Z	559	3327	1113	292073	33620	15776	7	5.8

Asta: 1 [1107,1110] Sez. G: HE 260 B L=180.0 cm Ln1=180.0 cm Ln2=180.0 cm Crit.: Acciaio_FlessTors
 $\gamma M=1.05$ fyk/ $\gamma M=2619$ kg/cm² ft=4300 kg/cm² :**Verificato**

SF_λ=7.316

N	My	Mz	NRk	MyRk	MzRk	λY	λZ	χY	χZ	χLT	kyy	kyz	kzy	kzz
kg	kg*m	kg*m	kg	kg*m	kg*m									
507	-6274	1182	325722	35301	16565	16	27	1.000	0.942	1.000	0.715	0.578	0.429	0.963

Cls	Dir	N	Myeq	Mzeq	NRd	MyRd	MzRd	Comb.	SF
		kg	kg*m	kg*m	kg	kg*m	kg*m		
1	Y	507	4485	683	310212	33620	15776	7	5.6
1	Z	507	2691	1138	292073	33620	15776	7	6.5

Asta: 1 [1110,1009] Sez. G: HE 260 B L=180.0 cm Ln1=180.0 cm Ln2=180.0 cm Crit.: Acciaio_FlessTors
 $\gamma M=1.05$ fyk/ $\gamma M=2619$ kg/cm² ft=4300 kg/cm² :**Verificato**

SF_λ=7.316

APPALTATORE: D'AGOSTINO ANGELO ANTONIO COSTRUZIONI GENERALI s.r.l.	RIASSETTO NODO DI BARI TRATTA A SUD DI BARI – VARIANTE DI TRACCIATO TRA BARI CENTRALE E BARI TORRE A MARE
PROGETTISTA: Mandataria: Mandante: RPA srl Technital SpA HUB Engineering Scarl	
PROGETTO ESECUTIVO: Relazione di calcolo pensilina di ingresso	
	PROGETTO LOTTO CODIFICA DOCUMENTO REV. FOGLIO IA3S 01 E ZZ CL FV020C 001 C 64 DI 107

N	My	Mz	NRk	MyRk	MzRk	λY	λZ	χY	χZ	χLT	kyy	kyz	kzy	kzz
kg	kg*m	kg*m	kg	kg*m	kg*m									
255	12333	700	325722	35301	16565	16	27	1.000	0.942	1.000	0.573	0.554	0.344	0.923

Cls	Dir	N	Myeq	Mzeq	NRd	MyRd	MzRd	Comb.	SF
		kg	kg*m	kg*m	kg	kg*m	kg*m		
1	Y	255	7067	387	310212	33620	15776	1	4.2
1	Z	255	4240	646	292073	33620	15776	1	6.0

Asta: 1 [1113,1114] Sez. G: HE 260 B L=177.5 cm Ln1=177.5 cm Ln2=177.5 cm Crit.: Acciaio_FlessTors $\gamma M=1.05 f_{yk}/\gamma M=2619$ kg/cm² $f_t=4300$ kg/cm² :Verificato
SF_ $\lambda=7.419$

N	My	Mz	NRk	MyRk	MzRk	λY	λZ	χY	χZ	χLT	kyy	kyz	kzy	kzz
kg	kg*m	kg*m	kg	kg*m	kg*m									
203	3097	1243	325722	35301	16565	16	27	1.000	0.944	1.000	0.601	0.394	0.360	0.656

Cls	Dir	N	Myeq	Mzeq	NRd	MyRd	MzRd	Comb.	SF
		kg	kg*m	kg*m	kg	kg*m	kg*m		
1	Y	203	1861	489	310212	33620	15776	7	11
1	Z	203	1117	815	292767	33620	15776	7	12

Verifica Resistenza

Asta: 1 [1001,1052] Sez. G: HE 260 B L=180.0 cm Crit.: Acciaio_FlessTors $\gamma M=1.05 f_{yk}/\gamma M=2619$ kg/cm² $f_t=4300$ kg/cm² :Verificato

X	cls	N	TY	TZ	MT	MY	MZ	My4	Mz4	Comb.
cm		kg	kg	kg	kg*m	kg*m	kg*m			
0	1	397	78	-6853	15	7214	752	--	--	1

X	cls	Nr	Vyr	Vzr	Mry	Mrz	MTrd	SF_V.	SF_M	SF_Mt	SF
cm		kg	kg	kg	kg*m	kg*m	kg*m				
0	1	310212	136772	56504	33620	15776	986	8.2	3.8	66	3.8

Asta: 1 [1003,1055] Sez. G: HE 260 B L=180.0 cm Crit.: Acciaio_FlessTors $\gamma M=1.05 f_{yk}/\gamma M=2619$ kg/cm² $f_t=4300$ kg/cm² :Verificato

X	cls	N	TY	TZ	MT	MY	MZ	My4	Mz4	Comb.
cm		kg	kg	kg	kg*m	kg*m	kg*m			
0	1	403	101	-7022	15	8070	766	--	--	1

X	cls	Nr	Vyr	Vzr	Mry	Mrz	MTrd	SF_V.	SF_M	SF_Mt	SF
cm		kg	kg	kg	kg*m	kg*m	kg*m				
0	1	310212	136747	56494	33620	15776	986	8.0	3.4	65	3.4

Asta: 1 [1005,1099] Sez. G: HE 260 B L=180.0 cm Crit.: Acciaio_FlessTors $\gamma M=1.05 f_{yk}/\gamma M=2619$ kg/cm² $f_t=4300$ kg/cm² :Verificato

X	cls	N	TY	TZ	MT	MY	MZ	My4	Mz4	Comb.
cm		kg	kg	kg	kg*m	kg*m	kg*m			
0	1	430	102	-7175	15	8274	765	--	--	1

X	cls	Nr	Vyr	Vzr	Mry	Mrz	MTrd	SF_V.	SF_M	SF_Mt	SF
cm		kg	kg	kg	kg*m	kg*m	kg*m				
0	1	310212	136747	56494	33620	15776	986	8.0	3.4	65	3.4

APPALTATORE: D'AGOSTINO ANGELO ANTONIO COSTRUZIONI GENERALI s.r.l.	RIASSETTO NODO DI BARI												
PROGETTISTA: Mandataria: Mandante: RPA srl Technital SpA HUB Engineering Scarl													
PROGETTO ESECUTIVO: Relazione di calcolo pensilina di ingresso	<table border="1"> <tr> <td>PROGETTO</td> <td>LOTTO</td> <td>CODIFICA</td> <td>DOCUMENTO</td> <td>REV.</td> <td>FOGLIO</td> </tr> <tr> <td>IA3S</td> <td>01</td> <td>E ZZ CL</td> <td>FV020C 001</td> <td>C</td> <td>65 DI 107</td> </tr> </table>	PROGETTO	LOTTO	CODIFICA	DOCUMENTO	REV.	FOGLIO	IA3S	01	E ZZ CL	FV020C 001	C	65 DI 107
PROGETTO	LOTTO	CODIFICA	DOCUMENTO	REV.	FOGLIO								
IA3S	01	E ZZ CL	FV020C 001	C	65 DI 107								

X	cls	Nr	Vyr	Vzr	Mry	Mrz	MTrd	SF_V.	SF_M	SF_Mt	SF
0	1	310212	136773	56504	33620	15776	986	7.9	3.4	67	3.4

Asta: 1 [1007,1106] Sez. G: HE 260 B L=180.0 cm Crit.: Acciaio_FlessTors $\gamma M=1.05$ fyk/ $\gamma M=2619$ kg/cmq ft=4300 kg/cmq :**Verificato**

X	cls	N	TY	TZ	MT	MY	MZ	My4	Mz4	Comb.
cm		kg	kg	kg	kg*m	kg*m	kg*m			
0	1	544	101	-6177	15	6562	767	--	--	1

X	cls	Nr	Vyr	Vzr	Mry	Mrz	MTrd	SF_V.	SF_M	SF_Mt	SF
cm		kg	kg	kg	kg*m	kg*m	kg*m				
0	1	310212	136773	56504	33620	15776	986	9.1	4.1	67	4.1

Asta: 1 [1051,1001] Sez. G: HE 260 B L=230.0 cm Crit.: Acciaio_FlessTors $\gamma M=1.05$ fyk/ $\gamma M=2619$ kg/cmq ft=4300 kg/cmq :**Verificato**

X	cls	N	TY	TZ	MT	MY	MZ	My4	Mz4	Comb.
cm		kg	kg	kg	kg*m	kg*m	kg*m			
230	1	148	-516	2829	-11	5313	1378	--	--	7

X	cls	Nr	Vyr	Vzr	Mry	Mrz	MTrd	SF_V.	SF_M	SF_Mt	SF
cm		kg	kg	kg	kg*m	kg*m	kg*m				
230	1	310212	136959	56581	33620	15776	986	20	4.1	86	4.1

Asta: 1 [1009,1113] Sez. G: HE 260 B L=177.5 cm Crit.: Acciaio_FlessTors $\gamma M=1.05$ fyk/ $\gamma M=2619$ kg/cmq ft=4300 kg/cmq :**Verificato**

X	cls	N	TY	TZ	MT	MY	MZ	My4	Mz4	Comb.
cm		kg	kg	kg	kg*m	kg*m	kg*m			
0	1	-143	114	-6896	15	14999	760	--	--	1

X	cls	Nr	Vyr	Vzr	Mry	Mrz	MTrd	SF_V.	SF_M	SF_Mt	SF
cm		kg	kg	kg	kg*m	kg*m	kg*m				
0	1	310212	136785	56509	33620	15776	986	8.2	2.0	68	2.0

Asta: 1 [1052,1053] Sez. G: HE 260 B L=180.0 cm Crit.: Acciaio_FlessTors $\gamma M=1.05$ fyk/ $\gamma M=2619$ kg/cmq ft=4300 kg/cmq :**Verificato**

X	cls	N	TY	TZ	MT	MY	MZ	My4	Mz4	Comb.
cm		kg	kg	kg	kg*m	kg*m	kg*m			
180	1	425	-35	-1549	-1	-7596	1137	--	--	7

X	cls	Nr	Vyr	Vzr	Mry	Mrz	MTrd	SF_V.	SF_M	SF_Mt	SF
cm		kg	kg	kg	kg*m	kg*m	kg*m				
180	1	310212	137542	56822	33620	15776	986	37	3.3	>100	3.3

Asta: 1 [1053,1054] Sez. G: HE 260 B L=180.0 cm Crit.: Acciaio_FlessTors $\gamma M=1.05$ fyk/ $\gamma M=2619$ kg/cmq ft=4300 kg/cmq :**Verificato**

X	cls	N	TY	TZ	MT	MY	MZ	My4	Mz4	Comb.
cm		kg	kg	kg	kg*m	kg*m	kg*m			
0	1	470	67	1058	1	-7599	1204	--	--	7

X	cls	Nr	Vyr	Vzr	Mry	Mrz	MTrd	SF_V.	SF_M	SF_Mt	SF
cm		kg	kg	kg	kg*m	kg*m	kg*m				

APPALTATORE: D'AGOSTINO ANGELO ANTONIO COSTRUZIONI GENERALI s.r.l.	RIASSETTO NODO DI BARI												
PROGETTISTA: Mandataria: Mandante: RPA srl Technital SpA HUB Engineering Scarl													
PROGETTO ESECUTIVO: Relazione di calcolo pensilina di ingresso	<table border="1"> <tr> <td>PROGETTO</td> <td>LOTTO</td> <td>CODIFICA</td> <td>DOCUMENTO</td> <td>REV.</td> <td>FOGLIO</td> </tr> <tr> <td>IA3S</td> <td>01</td> <td>E ZZ CL</td> <td>FV020C 001</td> <td>C</td> <td>66 DI 107</td> </tr> </table>	PROGETTO	LOTTO	CODIFICA	DOCUMENTO	REV.	FOGLIO	IA3S	01	E ZZ CL	FV020C 001	C	66 DI 107
PROGETTO	LOTTO	CODIFICA	DOCUMENTO	REV.	FOGLIO								
IA3S	01	E ZZ CL	FV020C 001	C	66 DI 107								

X	cls	Nr	Vyr	Vzr	Mry	Mrz	MTrd	SF_V.	SF_M	SF_Mt	SF
0	1	310212	137524	56815	33620	15776	986	54	3.3	>100	3.3

Asta: 1 [1054,1003] Sez. G: HE 260 B L=180.0 cm Crit.: Acciaio_FlessTors $\gamma M=1.05$ fyk/ $\gamma M=2619$ kg/cmq ft=4300 kg/cmq :**Verificato**

X	cls	N	TY	TZ	MT	MY	MZ	My4	Mz4	Comb.
cm		kg	kg	kg	kg*m	kg*m	kg*m			
180	1	251	-82	7039	-14	7859	729	--	--	1

X	cls	Nr	Vyr	Vzr	Mry	Mrz	MTrd	SF_V.	SF_M	SF_Mt	SF
cm		kg	kg	kg	kg*m	kg*m	kg*m				
180	1	310212	136794	56513	33620	15776	986	8.0	3.6	68	3.6

Asta: 1 [1055,1056] Sez. G: HE 260 B L=180.0 cm Crit.: Acciaio_FlessTors $\gamma M=1.05$ fyk/ $\gamma M=2619$ kg/cmq ft=4300 kg/cmq :**Verificato**

X	cls	N	TY	TZ	MT	MY	MZ	My4	Mz4	Comb.
cm		kg	kg	kg	kg*m	kg*m	kg*m			
180	1	478	-27	-1366	-1	-7877	1132	--	--	7

X	cls	Nr	Vyr	Vzr	Mry	Mrz	MTrd	SF_V.	SF_M	SF_Mt	SF
cm		kg	kg	kg	kg*m	kg*m	kg*m				
180	1	310212	137552	56826	33620	15776	986	42	3.3	>100	3.3

Asta: 1 [1056,1058] Sez. G: HE 260 B L=180.0 cm Crit.: Acciaio_FlessTors $\gamma M=1.05$ fyk/ $\gamma M=2619$ kg/cmq ft=4300 kg/cmq :**Verificato**

X	cls	N	TY	TZ	MT	MY	MZ	My4	Mz4	Comb.
cm		kg	kg	kg	kg*m	kg*m	kg*m			
0	1	522	65	1283	1	-7880	1201	--	--	7

X	cls	Nr	Vyr	Vzr	Mry	Mrz	MTrd	SF_V.	SF_M	SF_Mt	SF
cm		kg	kg	kg	kg*m	kg*m	kg*m				
0	1	310212	137530	56817	33620	15776	986	44	3.2	>100	3.2

Asta: 1 [1058,1005] Sez. G: HE 260 B L=180.0 cm Crit.: Acciaio_FlessTors $\gamma M=1.05$ fyk/ $\gamma M=2619$ kg/cmq ft=4300 kg/cmq :**Verificato**

X	cls	N	TY	TZ	MT	MY	MZ	My4	Mz4	Comb.
cm		kg	kg	kg	kg*m	kg*m	kg*m			
180	1	291	-80	6986	-15	7920	726	--	--	1

X	cls	Nr	Vyr	Vzr	Mry	Mrz	MTrd	SF_V.	SF_M	SF_Mt	SF
cm		kg	kg	kg	kg*m	kg*m	kg*m				
180	1	310212	136754	56497	33620	15776	986	8.1	3.5	65	3.5

Asta: 1 [1099,1101] Sez. G: HE 260 B L=180.0 cm Crit.: Acciaio_FlessTors $\gamma M=1.05$ fyk/ $\gamma M=2619$ kg/cmq ft=4300 kg/cmq :**Verificato**

X	cls	N	TY	TZ	MT	MY	MZ	My4	Mz4	Comb.
cm		kg	kg	kg	kg*m	kg*m	kg*m			
180	1	545	-35	-1594	-2	-8139	1140	--	--	7

X	cls	Nr	Vyr	Vzr	Mry	Mrz	MTrd	SF_V.	SF_M	SF_Mt	SF
cm		kg	kg	kg	kg*m	kg*m	kg*m				

APPALTATORE: D'AGOSTINO ANGELO ANTONIO COSTRUZIONI GENERALI s.r.l.	RIASSETTO NODO DI BARI												
PROGETTISTA: Mandataria: Mandante: RPA srl Technital SpA HUB Engineering Scarl													
PROGETTO ESECUTIVO: Relazione di calcolo pensilina di ingresso	<table border="1"> <tr> <td>PROGETTO</td> <td>LOTTO</td> <td>CODIFICA</td> <td>DOCUMENTO</td> <td>REV.</td> <td>FOGLIO</td> </tr> <tr> <td>IA3S</td> <td>01</td> <td>E ZZ CL</td> <td>FV020C 001</td> <td>C</td> <td>67 DI 107</td> </tr> </table>	PROGETTO	LOTTO	CODIFICA	DOCUMENTO	REV.	FOGLIO	IA3S	01	E ZZ CL	FV020C 001	C	67 DI 107
PROGETTO	LOTTO	CODIFICA	DOCUMENTO	REV.	FOGLIO								
IA3S	01	E ZZ CL	FV020C 001	C	67 DI 107								

X	cls	Nr	Vyr	Vzr	Mry	Mrz	MTrd	SF_V.	SF_M	SF_Mt	SF
180	1	310212	137501	56805	33620	15776	986	36	3.2	>100	3.2

Asta: 1 [1101,1103] Sez. G: HE 260 B L=180.0 cm Crit.: Acciaio_FlessTors $\gamma M=1.05$ fyk/ $\gamma M=2619$ kg/cmq ft=4300 kg/cmq :Verificato

X	cls	N	TY	TZ	MT	MY	MZ	My4	Mz4	Comb.
cm		kg	kg	kg	kg*m	kg*m	kg*m			
0	1	588	57	1033	0	-8142	1196	--	--	7

X	cls	Nr	Vyr	Vzr	Mry	Mrz	MTrd	SF_V.	SF_M	SF_Mt	SF
cm		kg	kg	kg	kg*m	kg*m	kg*m				
0	1	310212	137578	56837	33620	15776	986	55	3.1	>100	3.1

Asta: 1 [1103,1007] Sez. G: HE 260 B L=180.0 cm Crit.: Acciaio_FlessTors $\gamma M=1.05$ fyk/ $\gamma M=2619$ kg/cmq ft=4300 kg/cmq :Verificato

X	cls	N	TY	TZ	MT	MY	MZ	My4	Mz4	Comb.
cm		kg	kg	kg	kg*m	kg*m	kg*m			
180	1	316	-80	6746	-15	6803	733	--	--	1

X	cls	Nr	Vyr	Vzr	Mry	Mrz	MTrd	SF_V.	SF_M	SF_Mt	SF
cm		kg	kg	kg	kg*m	kg*m	kg*m				
180	1	310212	136787	56510	33620	15776	986	8.4	4.0	68	4.0

Asta: 1 [1106,1107] Sez. G: HE 260 B L=180.0 cm Crit.: Acciaio_FlessTors $\gamma M=1.05$ fyk/ $\gamma M=2619$ kg/cmq ft=4300 kg/cmq :Verificato

X	cls	N	TY	TZ	MT	MY	MZ	My4	Mz4	Comb.
cm		kg	kg	kg	kg*m	kg*m	kg*m			
180	1	559	-36	-574	-0	-6260	1140	--	--	7

X	cls	Nr	Vyr	Vzr	Mry	Mrz	MTrd	SF_V.	SF_M	SF_Mt	SF
cm		kg	kg	kg	kg*m	kg*m	kg*m				
180	1	310212	137580	56838	33620	15776	986	99	3.8	>100	3.8

Asta: 1 [1107,1110] Sez. G: HE 260 B L=180.0 cm Crit.: Acciaio_FlessTors $\gamma M=1.05$ fyk/ $\gamma M=2619$ kg/cmq ft=4300 kg/cmq :Verificato

X	cls	N	TY	TZ	MT	MY	MZ	My4	Mz4	Comb.
cm		kg	kg	kg	kg*m	kg*m	kg*m			
0	1	507	59	2067	2	-6274	1182	--	--	7

X	cls	Nr	Vyr	Vzr	Mry	Mrz	MTrd	SF_V.	SF_M	SF_Mt	SF
cm		kg	kg	kg	kg*m	kg*m	kg*m				
0	1	310212	137494	56802	33620	15776	986	27	3.8	>100	3.8

Asta: 1 [1110,1009] Sez. G: HE 260 B L=180.0 cm Crit.: Acciaio_FlessTors $\gamma M=1.05$ fyk/ $\gamma M=2619$ kg/cmq ft=4300 kg/cmq :Verificato

X	cls	N	TY	TZ	MT	MY	MZ	My4	Mz4	Comb.
cm		kg	kg	kg	kg*m	kg*m	kg*m			
180	1	255	-73	7827	-16	12333	700	--	--	1

X	cls	Nr	Vyr	Vzr	Mry	Mrz	MTrd	SF_V.	SF_M	SF_Mt	SF
cm		kg	kg	kg	kg*m	kg*m	kg*m				

APPALTATORE: D'AGOSTINO ANGELO ANTONIO COSTRUZIONI GENERALI s.r.l.	RIASSETTO NODO DI BARI					
PROGETTISTA: Mandataria: Mandante: RPA srl Technital SpA HUB Engineering Scarl	TRATTA A SUD DI BARI – VARIANTE DI TRACCIATO TRA BARI CENTRALE E BARI TORRE A MARE					
PROGETTO ESECUTIVO: Relazione di calcolo pensilina di ingresso	PROGETTO IA3S	LOTTO 01	CODIFICA E ZZ CL	DOCUMENTO FV020C 001	REV. C	FOGLIO 68 DI 107

X	cls	Nr	Vyr	Vzr	Mry	Mrz	MTrd	SF_V.	SF_M	SF_Mt	SF
180	1	310212	136698	56473	33620	15776	986	7.2	2.4	61	2.4

Asta: 1 [1113,1114] Sez. G: HE 260 B L=177.5 cm Crit.: Acciaio_FlessTors $\gamma M=1.05$ $f_y/k\gamma M=2619$ kg/cmq $f_t=4300$ kg/cmq :Verificato

X	cls	N	TY	TZ	MT	MY	MZ	My4	Mz4	Comb.
cm		kg	kg	kg	kg*m	kg*m	kg*m			
0	1	203	601	-2153	-5	3097	1243	--	--	7

X	cls	Nr	Vyr	Vzr	Mry	Mrz	MTrd	SF_V.	SF_M	SF_Mt	SF
cm		kg	kg	kg	kg*m	kg*m	kg*m				
0	1	310212	137312	56727	33620	15776	986	26	5.8	>100	5.8

Verifica spostamenti verticali delle aste in Acciaio secondo NTC 2008

Simbologia:

- L Luce della trave a cui appartiene l'asta
 - δc Monta iniziale della trave
 - x Ascissa, nel sistema locale dell'asta, corrispondente allo spostamento massimo
 - Comb. Combinazione/i di carico Rara/e
 - δ_{max} Spostamento nello stato finale depurato della monta iniziale (positivo se diretto verso il basso)
 - $\delta 2$ Spostamento elastico dovuto ai soli carichi variabili (positivo se diretto verso il basso)
 - L/k: Valore limite
- N.b. La verifica è soddisfatta se il valore assoluto degli spostamenti è inferiore al limite

Travata: 1 [1001,1003]: L=720.0 cm, Modello =Appoggiata, Crit.Prog: Acciaio_FlessTors, $\delta c = 0.0$ cm: Verificato

Verifica spostamento nello stato finale (§4.2.4.2.1 - NTC)

x	Comb.	δ_{max}	L/250.00	Cs
cm		mm	mm	
360.0	13	5.35	28.80	5.4

Verifica spostamento elastico dovuto ai soli carichi variabili (§4.2.4.2.1 - NTC)

x	Comb.	$\delta 2$	L/300.00	Cs
cm		mm	mm	
360.0	13	3.14	24.00	7.7

Travata: 1 [1003,1005]: L=720.0 cm, Modello =Appoggiata, Crit.Prog: Acciaio_FlessTors, $\delta c = 0.0$ cm: Verificato

Verifica spostamento nello stato finale (§4.2.4.2.1 - NTC)

x	Comb.	δ_{max}	L/250.00	Cs
cm		mm	mm	
360.0	13	4.64	28.80	6.2

Verifica spostamento elastico dovuto ai soli carichi variabili (§4.2.4.2.1 - NTC)

x	Comb.	$\delta 2$	L/300.00	Cs
cm		mm	mm	
360.0	13	3.01	24.00	8.0

APPALTATORE: D'AGOSTINO ANGELO ANTONIO COSTRUZIONI GENERALI s.r.l.	RIASSETTO NODO DI BARI				
PROGETTISTA: Mandataria: Mandante: RPA srl Technital SpA HUB Engineering Scarl	TRATTA A SUD DI BARI – VARIANTE DI TRACCIATO TRA BARI CENTRALE E BARI TORRE A MARE				
PROGETTO ESECUTIVO: Relazione di calcolo pensilina di ingresso	PROGETTO IA3S	LOTTO 01	CODIFICA E ZZ CL	DOCUMENTO FV020C 001	REV. FOGLIO C 69 DI 107

Travata: 1 [1005,1007]: L=720.0 cm, Modello =Appoggiata, Crit.Prog: Acciaio_FlessTors, $\delta c = 0.0$ cm:
Verificato

Verifica spostamento nello stato finale (§4.2.4.2.1 - NTC)

x	Comb.	δ_{max}	L/250.00	Cs
cm		mm	mm	
360.0	13	5.25	28.80	5.5

Verifica spostamento elastico dovuto ai soli carichi variabili (§4.2.4.2.1 - NTC)

x	Comb.	δ_2	L/300.00	Cs
cm		mm	mm	
360.0	13	3.38	24.00	7.1

Travata: 1 [1007,1009]: L=720.0 cm, Modello =Appoggiata, Crit.Prog: Acciaio_FlessTors, $\delta c = 0.0$ cm:
Verificato

Verifica spostamento nello stato finale (§4.2.4.2.1 - NTC)

x	Comb.	δ_{max}	L/250.00	Cs
cm		mm	mm	
324.0	13	2.46	28.80	12

Verifica spostamento elastico dovuto ai soli carichi variabili (§4.2.4.2.1 - NTC)

x	Comb.	δ_2	L/300.00	Cs
cm		mm	mm	
324.0	13	1.41	24.00	17

Travata: 1 [1051,1001]: L=230.0 cm, Modello =Sbalzo, Crit.Prog: Acciaio_FlessTors, $\delta c = 0.0$ cm:
Verificato

Verifica spostamento nello stato finale (§4.2.4.2.1 - NTC)

x	Comb.	δ_{max}	L/125.00	Cs
cm		mm	mm	
0.0	17	3.26	18.40	5.6

Verifica spostamento elastico dovuto ai soli carichi variabili (§4.2.4.2.1 - NTC)

x	Comb.	δ_2	L/150.00	Cs
cm		mm	mm	
0.0	17	2.52	15.33	6.1

Travata: 1 [1009,1114]: L=355.0 cm, Modello =Sbalzo, Crit.Prog: Acciaio_FlessTors, $\delta c = 0.0$ cm:
Verificato

Verifica spostamento nello stato finale (§4.2.4.2.1 - NTC)

x	Comb.	δ_{max}	L/125.00	Cs
cm		mm	mm	
355.0	13	13.52	28.40	2.1

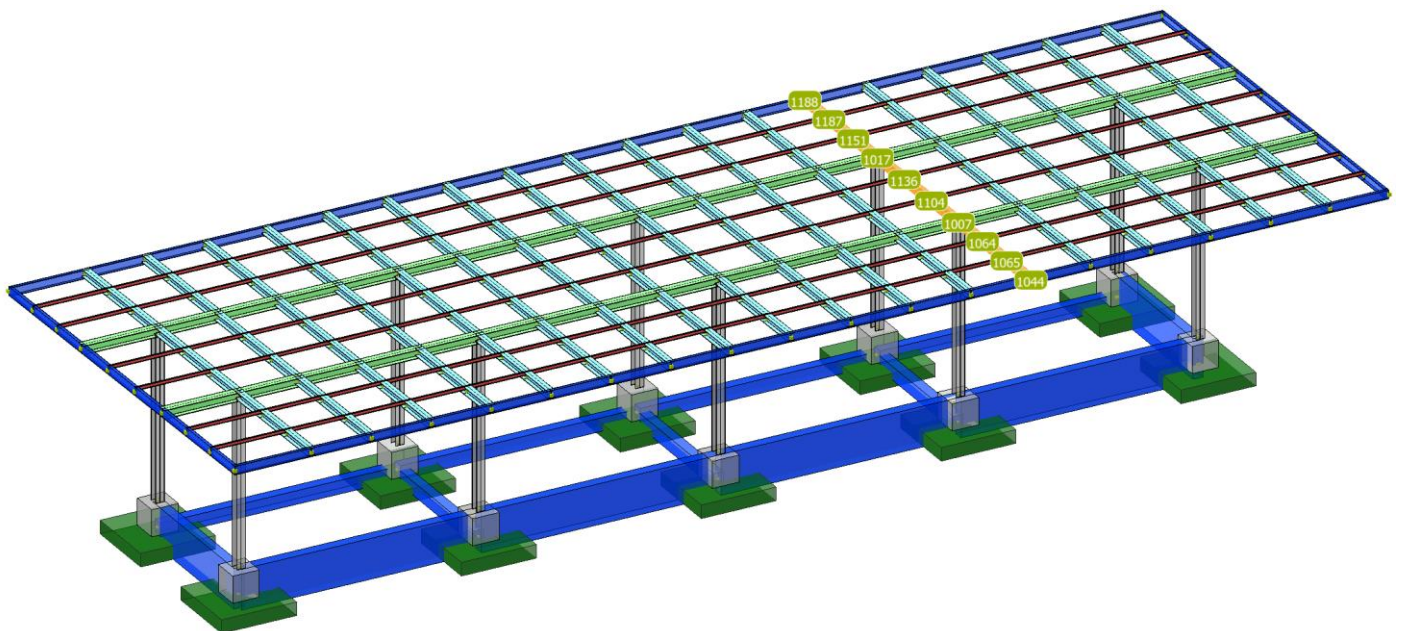
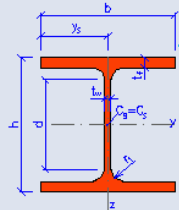
Verifica spostamento elastico dovuto ai soli carichi variabili (§4.2.4.2.1 - NTC)

APPALTATORE: D'AGOSTINO ANGELO ANTONIO COSTRUZIONI GENERALI s.r.l.	RIASSETTO NODO DI BARI					
PROGETTISTA: Mandataria: Mandante: RPA srl Technital SpA HUB Engineering Scarl	TRATTA A SUD DI BARI – VARIANTE DI TRACCIATO TRA BARI CENTRALE E BARI TORRE A MARE					
PROGETTO ESECUTIVO: Relazione di calcolo pensilina di ingresso	PROGETTO IA3S	LOTTO 01	CODIFICA E ZZ CL	DOCUMENTO FV020C 001	REV. C	FOGLIO 70 DI 107

x	Comb.	δ2	L/150.00	Cs
cm		mm	mm	
355.0	13	9.54	23.67	2.5

8.5.3 Travi HE220B

HE220B	
Geometry	Section properties
h = 220 mm	Axis y
b = 220 mm	Axis z
t _f = 16 mm	I _y = 8.09E+7 mm ⁴
t _w = 9.5 mm	I _z = 2.84E+7 mm ⁴
r ₁ = 18 mm	W _{y1} = 7.36E+5 mm ³
y _s = 110 mm	W _{z1} = 2.58E+5 mm ³
d = 152 mm	W _{y,pl} = 8.28E+5 mm ³
A = 9100 mm ²	W _{z,pl} = 3.92E+5 mm ³
A _L = 1.27 m ² .m ⁻¹	i _y = 94.30 mm
	i _z = 55.90 mm
	S _y = 4.14E+5 mm ³
	S _z = 1.96E+5 mm ³
	Warping and buckling
	I _w = 2.95E+11 mm ⁶
	I _t = 7.71E+5 mm ⁴
	i _w = 52.00 mm
	i _{pc} = 110.0 mm



Verifica Resistenza

Asta: 6 [1007,1104] Sez. G: HE 220 B L=150.0 cm Crit.: Acciaio_Flessione $\gamma_M=1.05$ $f_yk/\gamma_M=2619$ kg/cmq
 $f_t=4300$ kg/cmq :Verificato

APPALTATORE: D'AGOSTINO ANGELO ANTONIO COSTRUZIONI GENERALI s.r.l.	RIASSETTO NODO DI BARI					
PROGETTISTA: Mandataria: Mandante: RPA srl Technital SpA HUB Engineering Scarl	TRATTA A SUD DI BARI – VARIANTE DI TRACCIATO TRA BARI CENTRALE E BARI TORRE A MARE					
PROGETTO ESECUTIVO: Relazione di calcolo pensilina di ingresso	PROGETTO IA3S	LOTTO 01	CODIFICA E ZZ CL	DOCUMENTO FV020C 001	REV. C	FOGLIO 71 DI 107

X	cls	N	TY	TZ	MT	MY	MZ	My4	Mz4	Comb.
cm		kg	kg	kg	kg*m	kg*m	kg*m			
0	1	1680	-38	-1779	4	3118	699	--	--	7

X	cls	Nr	Vyr	Vzr	Mry	Mrz	MTrd	SF_V.	SF_M	SF_Mt	SF
cm		kg	kg	kg	kg*m	kg*m	kg*m				
0	1	238441	106177	42111	21670	10317	652	24	4.6	>100	4.6

Asta: 6 [1017,1151] Sez. G: HE 220 B L=134.3 cm Crit.: Acciaio_Flessione $\gamma M=1.05$ fyk/ $\gamma M=2619$ kg/cm² ft=4300 kg/cm² :Verificato

X	cls	N	TY	TZ	MT	MY	MZ	My4	Mz4	Comb.
cm		kg	kg	kg	kg*m	kg*m	kg*m			
0	1	164	-24	-3314	6	9447	432	--	--	1

X	cls	Nr	Vyr	Vzr	Mry	Mrz	MTrd	SF_V.	SF_M	SF_Mt	SF
cm		kg	kg	kg	kg*m	kg*m	kg*m				
0	1	238441	106082	42073	21670	10317	652	13	2.1	>100	2.1

Asta: 6 [1044,1065] Sez. G: HE 220 B L=134.3 cm Crit.: Acciaio_Flessione $\gamma M=1.05$ fyk/ $\gamma M=2619$ kg/cm² ft=4300 kg/cm² :Verificato

X	cls	N	TY	TZ	MT	MY	MZ	My4	Mz4	Comb.
cm		kg	kg	kg	kg*m	kg*m	kg*m			
134	1	109	-267	1094	9	1387	630	--	--	7

X	cls	Nr	Vyr	Vzr	Mry	Mrz	MTrd	SF_V.	SF_M	SF_Mt	SF
cm		kg	kg	kg	kg*m	kg*m	kg*m				
134	1	238441	105869	41989	21670	10317	652	38	8.0	73	8.0

Asta: 6 [1065,1064] Sez. G: HE 220 B L=134.3 cm Crit.: Acciaio_Flessione $\gamma M=1.05$ fyk/ $\gamma M=2619$ kg/cm² ft=4300 kg/cm² :Verificato

X	cls	N	TY	TZ	MT	MY	MZ	My4	Mz4	Comb.
cm		kg	kg	kg	kg*m	kg*m	kg*m			
134	1	84	-59	2203	-1	4534	464	--	--	1

X	cls	Nr	Vyr	Vzr	Mry	Mrz	MTrd	SF_V.	SF_M	SF_Mt	SF
cm		kg	kg	kg	kg*m	kg*m	kg*m				
134	1	238441	106411	42203	21670	10317	652	19	3.9	>100	3.9

Asta: 6 [1064,1007] Sez. G: HE 220 B L=134.3 cm Crit.: Acciaio_Flessione $\gamma M=1.05$ fyk/ $\gamma M=2619$ kg/cm² ft=4300 kg/cm² :Verificato

X	cls	N	TY	TZ	MT	MY	MZ	My4	Mz4	Comb.
cm		kg	kg	kg	kg*m	kg*m	kg*m			
134	1	76	25	3112	-6	8631	430	--	--	1

X	cls	Nr	Vyr	Vzr	Mry	Mrz	MTrd	SF_V.	SF_M	SF_Mt	SF
cm		kg	kg	kg	kg*m	kg*m	kg*m				
134	1	238441	106082	42073	21670	10317	652	14	2.3	>100	2.3

Asta: 6 [1104,1136] Sez. G: HE 220 B L=150.0 cm Crit.: Acciaio_Flessione $\gamma M=1.05$ fyk/ $\gamma M=2619$ kg/cm² ft=4300 kg/cm² :Verificato

APPALTATORE: D'AGOSTINO ANGELO ANTONIO COSTRUZIONI GENERALI s.r.l.	RIASSETTO NODO DI BARI					
PROGETTISTA: Mandataria: Mandante: RPA srl Technital SpA HUB Engineering Scarl	TRATTA A SUD DI BARI – VARIANTE DI TRACCIATO TRA BARI CENTRALE E BARI TORRE A MARE					
PROGETTO ESECUTIVO: Relazione di calcolo pensilina di ingresso	PROGETTO IA3S	LOTTO 01	CODIFICA E ZZ CL	DOCUMENTO FV020C 001	REV. C	FOGLIO 72 DI 107

X	cls	N	TY	TZ	MT	MY	MZ	My4	Mz4	Comb.
cm		kg	kg	kg	kg*m	kg*m	kg*m			
150	1	1006	-9	-742	-0	-1478	756	--	--	8

X	cls	Nr	Vyr	Vzr	Mry	Mrz	MTrd	SF_V.	SF_M	SF_Mt	SF
cm		kg	kg	kg	kg*m	kg*m	kg*m				
150	1	238441	106437	42214	21670	10317	652	57	6.9	>100	6.9

Asta: 6 [1136,1017] Sez. G: HE 220 B L=150.0 cm Crit.: Acciaio_Flessione $\gamma M=1.05$ fyk/ $\gamma M=2619$ kg/cmq ft=4300 kg/cmq :Verificato

X	cls	N	TY	TZ	MT	MY	MZ	My4	Mz4	Comb.
cm		kg	kg	kg	kg*m	kg*m	kg*m			
150	1	891	38	-506	-3	-2340	700	--	--	8

X	cls	Nr	Vyr	Vzr	Mry	Mrz	MTrd	SF_V.	SF_M	SF_Mt	SF
cm		kg	kg	kg	kg*m	kg*m	kg*m				
150	1	238441	106276	42150	21670	10317	652	83	5.6	>100	5.6

Asta: 6 [1151,1187] Sez. G: HE 220 B L=134.3 cm Crit.: Acciaio_Flessione $\gamma M=1.05$ fyk/ $\gamma M=2619$ kg/cmq ft=4300 kg/cmq :Verificato

X	cls	N	TY	TZ	MT	MY	MZ	My4	Mz4	Comb.
cm		kg	kg	kg	kg*m	kg*m	kg*m			
0	1	164	96	-2149	2	4638	757	--	--	7

X	cls	Nr	Vyr	Vzr	Mry	Mrz	MTrd	SF_V.	SF_M	SF_Mt	SF
cm		kg	kg	kg	kg*m	kg*m	kg*m				
0	1	238441	106350	42179	21670	10317	652	20	3.5	>100	3.5

Asta: 6 [1187,1188] Sez. G: HE 220 B L=134.3 cm Crit.: Acciaio_Flessione $\gamma M=1.05$ fyk/ $\gamma M=2619$ kg/cmq ft=4300 kg/cmq :Verificato

X	cls	N	TY	TZ	MT	MY	MZ	My4	Mz4	Comb.
cm		kg	kg	kg	kg*m	kg*m	kg*m			
0	1	160	267	-1422	-9	1835	627	--	--	7

X	cls	Nr	Vyr	Vzr	Mry	Mrz	MTrd	SF_V.	SF_M	SF_Mt	SF
cm		kg	kg	kg	kg*m	kg*m	kg*m				
0	1	238441	105884	41995	21670	10317	652	30	6.8	75	6.8

Verifica spostamenti verticali delle aste in Acciaio secondo NTC 2008

Simbologia:

L Luce della trave a cui appartiene l'asta

δc Monta iniziale della trave

x Ascissa, nel sistema locale dell'asta, corrispondente allo spostamento massimo

Comb. Combinazione/i di carico Rara/e

δ_{max} Spostamento nello stato finale depurato della monta iniziale (positivo se diretto verso il basso)

$\delta 2$ Spostamento elastico dovuto ai soli carichi variabili (positivo se diretto verso il basso)

L/k: Valore limite

N.b. La verifica è soddisfatta se il valore assoluto degli spostamenti è inferiore al limite

Travata: 6 [1007,1017]: L=450.0 cm, Modello =Appoggiata, Crit.Prog: Acciaio_Flessione, $\delta c = 0.0$ cm: Verificato

APPALTATORE: D'AGOSTINO ANGELO ANTONIO COSTRUZIONI GENERALI s.r.l.	RIASSETTO NODO DI BARI					
PROGETTISTA: Mandataria: Mandante: RPA srl Technital SpA HUB Engineering Scarl						
PROGETTO ESECUTIVO: Relazione di calcolo pensilina di ingresso	PROGETTO IA3S	LOTTO 01	CODIFICA E ZZ CL	DOCUMENTO FV020C 001	REV. C	FOGLIO 73 DI 107

Verifica spostamento nello stato finale (§4.2.4.2.1 - NTC)

x	Comb.	δ_{max}	L/200.00	Cs
cm		mm	mm	
210.0	13	-2.37	22.50	9.5

Verifica spostamento elastico dovuto ai soli carichi variabili (§4.2.4.2.1 - NTC)

x	Comb.	δ_2	L/250.00	Cs
cm		mm	mm	
195.0	13	-1.66	18.00	11

Travata: 6 [1017,1188]: L=403.0 cm, Modello =Sbalzo, Crit.Prog: Acciaio_Flessione, $\delta_c = 0.0$ cm:
Verificato

Verifica spostamento nello stato finale (§4.2.4.2.1 - NTC)

x	Comb.	δ_{max}	L/100.00	Cs
cm		mm	mm	
403.0	13	22.76	40.30	1.8

Verifica spostamento elastico dovuto ai soli carichi variabili (§4.2.4.2.1 - NTC)

x	Comb.	δ_2	L/125.00	Cs
cm		mm	mm	
403.0	13	16.56	32.24	1.9

Travata: 6 [1044,1007]: L=403.0 cm, Modello =Sbalzo, Crit.Prog: Acciaio_Flessione, $\delta_c = 0.0$ cm:
Verificato

Verifica spostamento nello stato finale (§4.2.4.2.1 - NTC)

x	Comb.	δ_{max}	L/100.00	Cs
cm		mm	mm	
0.0	13	21.12	40.30	1.9

Verifica spostamento elastico dovuto ai soli carichi variabili (§4.2.4.2.1 - NTC)

x	Comb.	δ_2	L/125.00	Cs
cm		mm	mm	
0.0	13	14.88	32.24	2.2

APPALTATORE: D'AGOSTINO ANGELO ANTONIO COSTRUZIONI GENERALI s.r.l.	RIASSETTO NODO DI BARI					
PROGETTISTA: Mandataria: Mandante: RPA srl Technital SpA HUB Engineering Scarl	TRATTA A SUD DI BARI – VARIANTE DI TRACCIATO TRA BARI CENTRALE E BARI TORRE A MARE					
PROGETTO ESECUTIVO: Relazione di calcolo pensilina di ingresso	PROGETTO	LOTTO	CODIFICA	DOCUMENTO	REV.	FOGLIO
	IA3S	01	E ZZ CL	FV020C 001	C	74 DI 107

8.5.4 Arcareccio IPE100

IPE100		Section properties		
Geometry		Axis y	Axis z	
h = 100 mm		$I_y = 1.71E+6 \text{ mm}^4$	$I_z = 1.59E+5 \text{ mm}^4$	
b = 55 mm		$W_{y1} = 3.42E+4 \text{ mm}^3$	$W_{z1} = 5790 \text{ mm}^3$	
$t_f = 5.7 \text{ mm}$		$W_{y,pl} = 3.94E+4 \text{ mm}^3$	$W_{z,pl} = 9146 \text{ mm}^3$	
$t_w = 4.1 \text{ mm}$		$i_y = 40.70 \text{ mm}$	$i_z = 12.40 \text{ mm}$	
$r_1 = 7 \text{ mm}$		$S_y = 1.97E+4 \text{ mm}^3$	$S_z = 4570 \text{ mm}^3$	
$y_s = 27.5 \text{ mm}$		Warping and buckling		
$d = 74.6 \text{ mm}$		$I_w = 3.51E+8 \text{ mm}^6$	$I_t = 1.16E+4 \text{ mm}^4$	
$A = 1030 \text{ mm}^2$		$i_w = 13.70 \text{ mm}$	$i_{pc} = 42.60 \text{ mm}$	
$A_L = 0.4 \text{ m}^2 \cdot \text{m}^{-1}$		$G = 8.1 \text{ kg} \cdot \text{m}^{-1}$		

Verifica Resistenza

Asta: 23 [1038,1040] Sez. G: IPE 100 L=180.0 cm Crit.: Acciaio_Flessione $\gamma M=1.05 \text{ fyk}/\gamma M=2619 \text{ kg/cmq}$ $f_t=4300 \text{ kg/cmq}$:Verificato

X	cls	N	TY	TZ	MT	MY	MZ	My4	Mz4	Comb.
cm		kg	kg	kg	kg*m	kg*m	kg*m			
90	1	16	0	0	-0	-176	10	--	--	1

X	cls	Nr	Vyr	Vzr	Mry	Mrz	MTrd	SF_V.	SF_M	SF_Mt	SF
cm		kg	kg	kg	kg*m	kg*m	kg*m				
90	1	27037	9471	7681	1033	240	27	>100	4.7	>100	4.7

Verifica spostamenti verticali delle aste in Acciaio secondo NTC 2008

Simbologia:

- L Luce della trave a cui appartiene l'asta
 - δc Monta iniziale della trave
 - x Ascissa, nel sistema locale dell'asta, corrispondente allo spostamento massimo
 - Comb. Combinazione/i di carico Rara/e
 - δ_{max} Spostamento nello stato finale depurato della monta iniziale (positivo se diretto verso il basso)
 - $\delta 2$ Spostamento elastico dovuto ai soli carichi variabili (positivo se diretto verso il basso)
 - L/k: Valore limite
- N.b. La verifica è soddisfatta se il valore assoluto degli spostamenti è inferiore al limite

Travata: 23 [1038,1040]: L=180.0 cm, Modello =Appoggiata, Crit.Prog: Acciaio_Flessione, $\delta c = 0.0 \text{ cm}$: Verificato

Verifica spostamento nello stato finale (§4.2.4.2.1 - NTC)

x	Comb.	δ_{max}	L/200.00	Cs
cm		mm	mm	
90.0	13	0.89	9.00	10

APPALTATORE: D'AGOSTINO ANGELO ANTONIO COSTRUZIONI GENERALI s.r.l.	RIASSETTO NODO DI BARI					
PROGETTISTA: Mandataria: Mandante: RPA srl Technital SpA HUB Engineering Scarl	TRATTA A SUD DI BARI – VARIANTE DI TRACCIATO TRA BARI CENTRALE E BARI TORRE A MARE					
PROGETTO ESECUTIVO: Relazione di calcolo pensilina di ingresso	PROGETTO	LOTTO	CODIFICA	DOCUMENTO	REV.	FOGLIO
	IA3S	01	E ZZ CL	FV020C 001	C	75 DI 107

Verifica spostamento elastico dovuto ai soli carichi variabili (§4.2.4.2.1 - NTC)

x	Comb.	δ_2	L/250.00	Cs
cm		mm	mm	
90.0	18	-0.89	7.20	8.1

8.5.5 Tirante controvento

Verifica Resistenza

Asta: 69 [1195,1198] Sez. G: D20 L=222.6 cm Crit.: Acciaio_Tirante $\gamma_M=1.05$ $f_{yk}/\gamma_M=2619$ kg/cm² $f_t=4300$ kg/cm² :Verificato

X	cls	N	TY	TZ	MT	MY	MZ	My4	Mz4	Comb.
cm		kg	kg	kg	kg*m	kg*m	kg*m			
0	1	-609	--	--	--	--	--	--	--	7

X	cls	Nr	Vyr	Vzr	Mry	Mrz	MTrd	SF_V.	SF_M	SF_Mt	SF
cm		kg	kg	kg	kg*m	kg*m	kg*m				
0	1	8228	--	--	--	--	--	>100	14	>100	14

8.6 Verifica Spostamento SLD

Interp.	Comb.	ηX_v	ηX_h	ηY_v	ηY_h	Nodo1	Nodo2	η	η_{Amm}	Cs
		mm	mm	mm	mm			mm	mm	
0-1	(24+25)-I-8	0.54	5.02	0.17	0.49	1	1001	5.57	29.40	5.3
0-1	(24+25)-I-8	0.55	5.02	0.19	0.57	3	1003	5.57	29.40	5.3
0-1	(24+25)-I-8	0.55	5.02	0.19	0.70	5	1005	5.57	29.40	5.3
0-1	(24+25)-I-8	0.55	5.03	0.18	0.69	8	1007	5.58	29.40	5.3
0-1	(24+25)-I-8	0.55	5.03	0.16	1.92	9	1009	5.59	29.40	5.3
0-1	(24+25)-V-7	0.54	5.02	0.18	0.41	11	1011	5.56	29.10	5.2
0-1	(24+25)-V-7	0.55	5.01	0.21	0.53	13	1013	5.56	29.10	5.2
0-1	(24+25)-V-7	0.55	5.01	0.21	0.68	15	1015	5.56	29.10	5.2
0-1	(24+25)-V-7	0.55	5.02	0.20	0.64	18	1017	5.57	29.10	5.2
0-1	(24+25)-V-7	0.55	5.02	0.18	2.02	19	1019	5.57	29.10	5.2
Minimo										
0-1	(24+25)-V-7	0.55	5.02	0.18	2.02	19	1019	5.57	29.10	5.2

8.7 Verifica spostamento SLO

Interp.	Comb.	ηX_v	ηX_h	ηY_v	ηY_h	Nodo1	Nodo2	η	η_{Amm}	Cs
		mm	mm	mm	mm			mm	mm	
0-1	(1+2)-I-8	0.54	3.44	0.17	0.44	1	1001	3.98	19.58	4.9
0-1	(1+2)-I-8	0.55	3.44	0.19	0.82	3	1003	3.99	19.58	4.9
0-1	(1+2)-I-8	0.55	3.44	0.19	0.53	5	1005	3.99	19.58	4.9
0-1	(1+2)-I-8	0.55	3.44	0.18	0.50	8	1007	3.99	19.58	4.9
0-1	(1+2)-I-8	0.55	3.44	0.16	1.35	9	1009	4.00	19.58	4.9
0-1	(1+2)-V-7	0.54	3.43	0.18	0.37	11	1011	3.98	19.38	4.9
0-1	(1+2)-V-7	0.55	3.43	0.21	0.84	13	1013	3.98	19.38	4.9
0-1	(1+2)-V-7	0.55	3.43	0.21	0.52	15	1015	3.98	19.38	4.9
0-1	(1+2)-V-7	0.55	3.44	0.20	0.46	18	1017	3.99	19.38	4.9
0-1	(1+2)-V-7	0.55	3.44	0.18	1.43	19	1019	3.99	19.38	4.9
Minimo										
0-1	(1+2)-V-7	0.55	3.44	0.18	1.43	19	1019	3.99	19.38	4.9

APPALTATORE: D'AGOSTINO ANGELO ANTONIO COSTRUZIONI GENERALI s.r.l.	RIASSETTO NODO DI BARI					
PROGETTISTA: Mandataria: Mandante: RPA srl Technital SpA HUB Engineering Scarl						
PROGETTO ESECUTIVO: Relazione di calcolo pensilina di ingresso	PROGETTO	LOTTO	CODIFICA	DOCUMENTO	REV.	FOGLIO
	IA3S	01	E ZZ CL	FV020C 001	C	76 DI 107

8.8 Verifica spostamenti laterali delle colonne in acciaio secondo NTC

Scenario di calcolo: **Set_SLV_SLD**

Scenario Sisma Verticale: **Set_SLV_SLD-Verticale**

Simbologia:

Interp.	Interpiano
NS e NI	Nodi giacenti sulla stessa verticale, appartenenti all'impalcato j e i, rispettivamente, dell'interpiano i-j
Nodo	Nodo/i dell'ultimo impalcato
Comb	Combinazione/i di carico Rara/e più gravosa/e
SpostX sup.	Spostamento lungo x del nodo superiore per la combinazione Comb.
SpostY sup.	Spostamento lungo y del nodo superiore per la combinazione Comb.
SpostX inf.	Spostamento lungo x del nodo inferiore per la combinazione Comb.
SpostY inf.	Spostamento lungo y del nodo inferiore per la combinazione Comb.
δ	Spostamento/i orizzontale/i relativo/i di piano
Δ	Spostamento/i orizzontale/i totale/i
L/k	Limite di deformabilità (Tab. 4.2.XIII, §4.2.4.2.2 - NTC 2008)

Verifica spostamenti orizzontali relativi di piano (§4.2.4.2.2 - NTC)

Interp.	NS	NI.	Comb.	SpostX sup.	SpostY sup.	SpostX inf.	SpostY inf.	δ	h/300	Verifica
				mm	mm	mm	mm	mm	mm	
0-1	1019 (Nodo_1019)	20 (Nodo_20)	17	0.67	-1.81	-0.10	-0.08	1.90	16.73	Si

Verifica spostamenti orizzontali in sommità (§4.2.4.2.2 - NTC)

Nodo	Comb.	SpostX	SpostY	Δ	H/500	Verifica
		mm	mm	mm	mm	
1019 (Nodo_1019)	17	0.67	-1.81	1.93	10.04	Si

Note

** La tabella riporta solo gli spostamenti orizzontali relativi più gravosi

* La tabella riporta solo gli spostamenti orizzontali in sommità più gravosi

8.9 Verifica Plinti

Per semplicità si riportano le verifiche dei plinti più sollecitati. Inoltre, a vantaggio di sicurezza si ipotizza che il terreno di fondazione dei plinti sia costituito dal terreno superficiale che presenta caratteristiche meccaniche nettamente più scadenti.

Il modello di calcolo utilizzato per il carico limite prevede che il terreno di fondazione è considerato costituito da due strati: uno superiore ed uno inferiore al piano di posa della fondazione. Per la verifica a carico limite si adotta l'approccio 2 con una unica combinazione di carico A1+M1+R3, in cui i coefficienti parziali di sicurezza per le resistenze sono unitari ed il coefficiente di sicurezza globale è pari a 2.3 per il carico limite verticale e pari a 1.1 per il coefficiente di sicurezza per il carico limite orizzontale.

Il calcolo del carico limite è valutato secondo la formula di Terzaghi-Meyerof

APPALTATORE: D'AGOSTINO ANGELO ANTONIO COSTRUZIONI GENERALI s.r.l.	RIASSETTO NODO DI BARI					
PROGETTISTA: Mandataria: Mandante: RPA srl Technital SpA HUB Engineering Scarl	TRATTA A SUD DI BARI – VARIANTE DI TRACCIATO TRA BARI CENTRALE E BARI TORRE A MARE					
PROGETTO ESECUTIVO: Relazione di calcolo pensilina di ingresso	PROGETTO	LOTTO	CODIFICA	DOCUMENTO	REV.	FOGLIO
	IA3S	01	E ZZ CL	FV020C 001	C	77 DI 107

$$Q_{lim} = q \cdot N_q \cdot \zeta_q \cdot \xi_q \cdot \alpha_q \cdot \beta_q \cdot \psi_q \cdot z_q + c \cdot N_c \cdot \zeta_c \cdot \xi_c \cdot \alpha_c \cdot \beta_c \cdot \psi_c \cdot z_c + \gamma \cdot N_\gamma \cdot \frac{B}{2} \cdot \zeta_\gamma \cdot \xi_\gamma \cdot \alpha_\gamma \cdot \beta_\gamma \cdot \psi_\gamma \cdot z_\gamma$$

dove:

N_q, N_c, N_γ	Coefficienti di Terzaghi - Meyerof per la striscia indefinita
$\zeta_q, \zeta_c, \zeta_\gamma$	Coefficienti correttivi di forma, funzione del rapporto B/L
ξ_q, ξ_c, ξ_γ	Coefficienti correttivi di inclinazione del carico, dipendenti da H/V
$\alpha_q, \alpha_c, \alpha_\gamma$	Coefficienti correttivi di inclinazione del piano di posa
$\beta_q, \beta_c, \beta_\gamma$	Coefficienti correttivi di inclinazione del piano campagna
Z_q, Z_c, Z_γ	Coefficienti sismici per considerare l'effetto cinematico, considerati solo in presenza di sisma
$\psi_q, \psi_c, \psi_\gamma$	Coefficienti correttivi di punzonamento dipendenti da un indice di rigidezza del terreno.

Le espressioni dei coefficienti correttivi sono riportate di seguito.

- Coefficienti di forma

$$\zeta_q = 1 + \frac{B}{L} \operatorname{tg}(\phi) \quad \zeta_c = 1 + \frac{B N_q}{L N_c} \quad \zeta_\gamma = 1 - 0.4 \frac{B}{L}$$

- Coefficienti di inclinazione del carico

$$\xi_q = \left[1 - \frac{H \operatorname{tg}(\phi)}{V \operatorname{tg}(\phi) + BLc} \right]^m \quad \xi_c = \xi_q - \frac{1 - \xi_q}{N_c \operatorname{tg}(\phi)} \quad \xi_\gamma = \left[1 - \frac{H \operatorname{tg}(\phi)}{V \operatorname{tg}(\phi) + BLc} \right]^{m+1}$$

essendo

$$m = \frac{2 + \frac{B}{L}}{1 + \frac{B}{L}}$$

- Coefficienti correttivi di inclinazione del piano di posa

$$\alpha_q = (1 - \epsilon \operatorname{tg}(\phi))^2 \quad \alpha_c = \alpha_q - \frac{1 - \alpha_q}{N_c \operatorname{tg}(\phi)} \quad \alpha_\gamma = \alpha_q$$

con

$$\epsilon < \pi/4$$

- Coefficienti correttivi di inclinazione del piano campagna

$$\beta_q = (1 - \operatorname{tg}(\omega))^2 \cos(\phi) \quad \beta_c = \beta_\gamma - \frac{q - \beta_\gamma}{N_c \operatorname{tg}(\phi)} \quad \beta_\gamma = \frac{\beta_q}{\cos(\omega)}$$

con

$$\omega < \pi/4; \omega < \phi$$

- Coefficienti di punzonamento

APPALTATORE: D'AGOSTINO ANGELO ANTONIO COSTRUZIONI GENERALI s.r.l.	RIASSETTO NODO DI BARI					
PROGETTISTA: Mandataria: Mandante: RPA srl Technital SpA HUB Engineering Scarl	TRATTA A SUD DI BARI – VARIANTE DI TRACCIATO TRA BARI CENTRALE E BARI TORRE A MARE					
PROGETTO ESECUTIVO: Relazione di calcolo pensilina di ingresso	PROGETTO IA3S	LOTTO 01	CODIFICA E ZZ CL	DOCUMENTO FV020C 001	REV. C	FOGLIO 78 DI 107

$$\psi_q = \left(\left(0.6 \frac{B}{L} - 4.4 \right) \operatorname{tg}(\phi) + \frac{3.07 \sin(\phi) \log_{10}(2I_r)}{1 + \sin(\phi)} \right)$$

$$\psi_c = \psi_q - \frac{1 - \psi_q}{N_q \operatorname{tg}(\phi)} \quad \text{se } \phi \neq 0$$

$$\psi_c = 0.32 + 0.12 \frac{B}{L} + 0.6 \log_{10}(I_r) \quad \text{se } \phi = 0$$

$$\psi_\gamma = \psi_q$$

- Coefficienti sismici

$$z_q = z_c = 1 \quad z_g = \left(1 - \frac{kh}{\operatorname{tg}(\phi)} \right)^{0.45}$$

con

$$kh = \beta \frac{a_{max}}{g} \quad (\text{cfr. NT - 7.11.3})$$

Detto I_r l'indice di rigidezza del terreno (secondo la teoria di Vesic dipendente dal modulo tangenziale $G=0.5 \cdot E/(1+\nu)$ del terreno, dalla coesione c , dalla tensione effettiva alla profondità $B/2$ sotto il piano di posa e dall'angolo di attrito del terreno di fondazione) ed I_{rcrit} l'indice di rigidezza critico (dipendente dall'angolo di attrito del terreno e dal rapporto B/L), i coefficienti di punzonamento sono uguali alla unità quando $I_r \geq I_{rcrit}$, mentre sono minori dell'unità quando $I_r < I_{rcrit}$.

Oltre a queste correzioni un'altra deriva dall'eccentricità del carico e consiste nel ridurre le dimensioni della fondazione in modo che il carico risulti centrato rispetto alla fondazione ridotta; dette e_b ed e_l le eccentricità del carico nella direzione di B ed L , il carico limite si calcola per una fondazione di dimensioni ridotte $B' = B - 2e_b$ e $L' = L - 2e_l$.

Altra correzione deriva dalla presenza della falda inserendo i pesi del terreno immerso nel primo e terzo termine dell'espressione del carico limite, in particolare, detta H_f la profondità della falda e D la profondità del piano di posa, si assume che quando:

$H_f \leq D$	si valuta la pressione effettiva sul piano di posa considerando che parte del terreno superiore è immerso, mentre nel terzo termine si userà il peso immerso;
$D < H_f \leq D+B$ $D+B < H_f$	il peso del terreno del terzo termine si interpola tra i valori immerso e secco secondo la formula: $\gamma^* = \gamma'' + (\gamma - \gamma'') D/B$; la falda è trascurata.

I coefficienti di Terzaghi - Meyerof per la striscia ed i coefficienti correttivi sono dati dalle relazioni:

$$N_q = \frac{1 + \sin(\phi)}{1 - \sin(\phi)} e^{\pi \tan(\phi)} \quad N_c = (N_q - 1) \cot(\phi)$$

I valori del coefficiente N_γ sono riportati nella tabella seguente in funzione dell'angolo di attrito del terreno.

ϕ°	0	1	2	3	4	5	6	7	8
--------------	---	---	---	---	---	---	---	---	---

APPALTATORE: D'AGOSTINO ANGELO ANTONIO COSTRUZIONI GENERALI s.r.l.	RIASSETTO NODO DI BARI					
PROGETTISTA: Mandataria: Mandante: RPA srl Technital SpA HUB Engineering Scarl	TRATTA A SUD DI BARI – VARIANTE DI TRACCIATO TRA BARI CENTRALE E BARI TORRE A MARE					
PROGETTO ESECUTIVO: Relazione di calcolo pensilina di ingresso	PROGETTO IA3S	LOTTO 01	CODIFICA E ZZ CL	DOCUMENTO FV020C 001	REV. C	FOGLIO 79 DI 107

N _r	0	0.07	0.15	0.24	0.34	0.45	0.57	0.71	0.86
φ°	9	10	11	12	13	14	15	16	17
N _r	1.03	1.22	1.44	1.69	1.97	2.29	2.65	3.06	3.53
φ°	18	19	20	21	22	23	24	25	26
N _r	4.07	4.68	5.39	6.2	7.13	8.2	9.44	10.88	12.54
φ°	27	28	29	30	31	32	33	34	35
N _r	14.47	16.72	19.34	22.4	25.99	30.22	35.19	41.06	48.03
φ°	36	37	38	39	40	41	42	43	44
N _r	56.31	66.19	78.03	92.25	109.41	130.22	155.55	186.54	224.64
φ°	45	46	47	48	49	50	-	-	-
N _r	271.76	330.75	403.67	496.01	613.16	762.89	-	-	-

Simbologia carico limite fondazione rettangolare:

- B Base
- L Lunghezza
- eb Eccentricità secondo B
- el Eccentricità secondo L
- D Profondità del piano di posa
- Fv Componente ortogonale dell'azione sulla fondazione
- Fh Componente tangenziale dell'azione sulla fondazione
- ε Inclinazione del piano di posa
- ω Inclinazione del piano campagna
- φ Angolo di attrito del terreno di fondazione
- c Coesione del terreno di fondazione
- G Modulo tangenziale del terreno di fondazione
- γ₁ Peso specifico terreno superiore
- γ Peso specifico terreno di fondazione
- γ_{1sat} Peso specifico terreno saturo superiore
- γ_{sat} Peso specifico terreno saturo di fondazione
- Hf Profondità della falda
- W0 Peso specifico acqua

Il terreno è modellato come sequenza di strati di tipo coesivo la cui deformabilità è individuata attraverso il modulo edometrico, ovvero in base alla curva edometrica dedotta da prove in sito. Il cedimento è calcolato secondo la teoria di Skempton e Bjerrum. Il cedimento complessivo si compone di un cedimento di consolidazione Wc e di un cedimento immediato W0. Il cedimento di consolidazione è valutato in funzione del cedimento edometrico secondo la relazione $Wc = \beta W_{ed}$ essendo β un parametro funzione del coefficiente A di Skempton, del rapporto H/B per la striscia ovvero di H/D per il quadrato o cerchio; i valori di β sono ottenuti dal grafico riportato di seguito.

La precedente relazione per il calcolo di Wc è applicabile ad uno strato omogeneo di spessore H; nei casi reali di terreno stratificato la precedente non è applicabile, ma assumendo valida l'ipotesi di Steinbrenner si può porre il cedimento nella forma:

$$Wc = \sum_{i=1}^n \beta(A_i, z_i + \Delta_i, B, L) W_{ed}(z_i + \Delta_i) - \beta(A_1, z_1, B, L) W_{ed}(z_1)$$

dove:

- A_i coefficiente di Skempton dello strato i^{mo}
- z_i quota superiore dello strato in considerazione
- Δ_i spessore dello strato
- W_{ed}(z_i) cedimento di uno strato ideale di spessore z_i e modulo edometrico E_{ed,i-1}
- W_{ed}(z_i+Δ_i) cedimento di uno strato ideale di spessore z_i+Δ_i e modulo edometrico E_{ed,i}
- β è letto dai diagrammi assumendo come spessore dello strato z_i ovvero z_i+Δ_i

Riepilogo risultati del calcolo

APPALTATORE: D'AGOSTINO ANGELO ANTONIO COSTRUZIONI GENERALI s.r.l.	RIASSETTO NODO DI BARI												
PROGETTISTA: Mandataria: Mandante:													
RPA srl Technital SpA HUB Engineering Scarl													
PROGETTO ESECUTIVO: Relazione di calcolo pensilina di ingresso	<table border="1"> <tr> <td>PROGETTO</td> <td>LOTTO</td> <td>CODIFICA</td> <td>DOCUMENTO</td> <td>REV.</td> <td>FOGLIO</td> </tr> <tr> <td>IA3S</td> <td>01</td> <td>E ZZ CL</td> <td>FV020C 001</td> <td>C</td> <td>80 DI 107</td> </tr> </table>	PROGETTO	LOTTO	CODIFICA	DOCUMENTO	REV.	FOGLIO	IA3S	01	E ZZ CL	FV020C 001	C	80 DI 107
PROGETTO	LOTTO	CODIFICA	DOCUMENTO	REV.	FOGLIO								
IA3S	01	E ZZ CL	FV020C 001	C	80 DI 107								

Elm.	Combinazione	V	Vd	CsV (>2.30)	H	Hd	CsH (>1.10)	Qd	qe	W
		kg	kg		kg	kg		kg/cmq	kg/cmq	mm
3	1	36991	261456	16.26	1822	21013	12.69	4.73	0.42	1
	2	27146	267121	22.63	1102	15421	15.39	4.82	0.25	0
	3	36310	261990	16.60	1763	20626	12.87	4.74	0.40	1
	4	26465	268010	23.29	1043	15034	15.85	4.83	0.24	0
	5	36867	262703	16.39	1767	20943	13.03	4.75	0.41	1
	6	20459	276165	31.05	571	11622	22.38	4.94	0.14	0
	7	33725	255879	17.45	1743	19158	12.09	4.71	0.36	0
	8	23880	259782	25.02	1028	13566	14.52	4.80	0.20	0
	(9+10)-I-1	19515	250588	29.53	1592	11086	7.66	4.41	0.13	0
	(9+10)-I-2	20595	270392	30.20	1395	11699	9.22	4.54	0.14	0
	(9+10)-I-3	18287	247184	31.09	1490	10388	7.67	4.42	0.10	0
	(9+10)-I-4	19366	265271	31.50	1363	11001	8.88	4.52	0.12	0
	(9+10)-I-5	19515	250588	29.53	1592	11086	7.66	4.41	0.13	0
	(9+10)-I-6	20595	270392	30.20	1395	11699	9.22	4.54	0.14	0
	(9+10)-I-7	18287	247184	31.09	1490	10388	7.67	4.42	0.10	0
	(9+10)-I-8	19366	265271	31.50	1363	11001	8.88	4.52	0.12	0
	(9+10)-II-1	17826	234140	30.21	1433	10126	7.77	4.43	0.10	0
	(9+10)-II-2	21424	282615	30.34	598	12170	22.40	4.92	0.16	0
	(9+10)-II-3	17457	234380	30.88	1371	9917	7.96	4.45	0.09	0
	(9+10)-II-4	21056	281110	30.71	641	11961	20.52	4.89	0.15	0
	(9+10)-II-5	17826	234140	30.21	1433	10126	7.77	4.43	0.10	0
	(9+10)-II-6	21424	282615	30.34	598	12170	22.40	4.92	0.16	0
	(9+10)-II-7	17457	234380	30.88	1371	9917	7.96	4.45	0.09	0
	(9+10)-II-8	21056	281110	30.71	641	11961	20.52	4.89	0.15	0
	(9+10)-III-1	19352	249028	29.60	1564	10993	7.73	4.42	0.12	0
	(9+10)-III-2	20759	267892	29.68	1462	11792	8.88	4.51	0.15	0
	(9+10)-III-3	18123	242012	30.71	1591	10295	7.12	4.36	0.10	0
	(9+10)-III-4	19530	269628	31.75	1283	11094	9.52	4.56	0.13	0
	(9+10)-III-5	19352	249028	29.60	1564	10993	7.73	4.42	0.12	0
	(9+10)-III-6	20759	267892	29.68	1462	11792	8.88	4.51	0.15	0
	(9+10)-III-7	18123	242012	30.71	1591	10295	7.12	4.36	0.10	0
	(9+10)-III-8	19530	269628	31.75	1283	11094	9.52	4.56	0.13	0
	(9+10)-IV-1	17280	220380	29.33	1617	9816	6.68	4.31	0.09	0
	(9+10)-IV-2	21971	268975	28.16	953	12481	14.41	4.77	0.17	0
	(9+10)-IV-3	16911	216812	29.49	1686	9607	6.27	4.26	0.08	0
	(9+10)-IV-4	21602	273182	29.09	748	12271	18.06	4.85	0.16	0
	(9+10)-IV-5	17280	220380	29.33	1617	9816	6.68	4.31	0.09	0
	(9+10)-IV-6	21971	268975	28.16	953	12481	14.41	4.77	0.17	0
	(9+10)-IV-7	16911	216812	29.49	1686	9607	6.27	4.26	0.08	0
	(9+10)-IV-8	21602	273182	29.09	748	12271	18.06	4.85	0.16	0
	(9+10)-V-1	19161	243748	29.26	1629	10884	7.35	4.38	0.12	0
	(9+10)-V-2	20240	265937	30.22	1359	11498	9.31	4.54	0.14	0
	(9+10)-V-3	18642	256888	31.69	1329	10590	8.77	4.51	0.11	0
	(9+10)-V-4	19721	271847	31.70	1275	11203	9.67	4.56	0.13	0
	(9+10)-V-5	19161	243748	29.26	1629	10884	7.35	4.38	0.12	0
	(9+10)-V-6	20240	265937	30.22	1359	11498	9.31	4.54	0.14	0
	(9+10)-V-7	18642	256888	31.69	1329	10590	8.77	4.51	0.11	0
	(9+10)-V-8	19721	271847	31.70	1275	11203	9.67	4.56	0.13	0
	(9+10)-VI-1	17720	230819	29.96	1484	10066	7.46	4.40	0.10	0
	(9+10)-VI-2	21318	285312	30.78	535	12110	24.92	4.94	0.16	0
	(9+10)-VI-3	17564	238201	31.19	1304	9977	8.41	4.49	0.09	0
	(9+10)-VI-4	21162	278979	30.32	673	12022	19.66	4.87	0.15	0

APPALTATORE: D'AGOSTINO ANGELO ANTONIO COSTRUZIONI GENERALI s.r.l.	RIASSETTO NODO DI BARI TRATTA A SUD DI BARI – VARIANTE DI TRACCIATO TRA BARI CENTRALE E BARI TORRE A MARE												
PROGETTISTA: Mandataria: Mandante:													
RPA srl Technital SpA HUB Engineering Scarl													
PROGETTO ESECUTIVO: Relazione di calcolo pensilina di ingresso	<table border="1"> <tr> <td>PROGETTO</td> <td>LOTTO</td> <td>CODIFICA</td> <td>DOCUMENTO</td> <td>REV.</td> <td>FOGLIO</td> </tr> <tr> <td>IA3S</td> <td>01</td> <td>E ZZ CL</td> <td>FV020C 001</td> <td>C</td> <td>81 DI 107</td> </tr> </table>	PROGETTO	LOTTO	CODIFICA	DOCUMENTO	REV.	FOGLIO	IA3S	01	E ZZ CL	FV020C 001	C	81 DI 107
PROGETTO	LOTTO	CODIFICA	DOCUMENTO	REV.	FOGLIO								
IA3S	01	E ZZ CL	FV020C 001	C	81 DI 107								

Elm.	Combinazione	V	Vd	CsV (>2.30)	H	Hd	CsH (>1.10)	Qd	qe	W
	(9+10)-VI-5	17720	230819	29.96	1484	10066	7.46	4.40	0.10	0
	(9+10)-VI-6	21318	285312	30.78	535	12110	24.92	4.94	0.16	0
	(9+10)-VI-7	17564	238201	31.19	1304	9977	8.41	4.49	0.09	0
	(9+10)-VI-8	21162	278979	30.32	673	12022	19.66	4.87	0.15	0
	(9+10)-VII-1	18997	241743	29.27	1615	10791	7.35	4.38	0.12	0
	(9+10)-VII-2	20404	266697	30.06	1412	11591	9.03	4.52	0.14	0
	(9+10)-VII-3	18478	251877	31.35	1427	10497	8.09	4.46	0.11	0
	(9+10)-VII-4	19885	272205	31.48	1206	11296	10.30	4.60	0.13	0
	(9+10)-VII-5	18997	241743	29.27	1615	10791	7.35	4.38	0.12	0
	(9+10)-VII-6	20404	266697	30.06	1412	11591	9.03	4.52	0.14	0
	(9+10)-VII-7	18478	251877	31.35	1427	10497	8.09	4.46	0.11	0
	(9+10)-VII-8	19885	272205	31.48	1206	11296	10.30	4.60	0.13	0
	(9+10)-VIII-1	17173	216808	29.04	1675	9755	6.40	4.27	0.09	0
	(9+10)-VIII-2	21864	271457	28.56	890	12420	15.34	4.80	0.16	0
	(9+10)-VIII-3	17018	220679	29.83	1619	9667	6.57	4.30	0.08	0
	(9+10)-VIII-4	21709	270608	28.67	803	12332	16.90	4.82	0.16	0
	(9+10)-VIII-5	17173	216808	29.04	1675	9755	6.40	4.27	0.09	0
	(9+10)-VIII-6	21864	271457	28.56	890	12420	15.34	4.80	0.16	0
	(9+10)-VIII-7	17018	220679	29.83	1619	9667	6.57	4.30	0.08	0
	(9+10)-VIII-8	21709	270608	28.67	803	12332	16.90	4.82	0.16	0
	(9+10)-IX-1	19085	269450	32.47	848	10842	14.07	4.75	0.12	0
	(9+10)-IX-2	20165	295313	33.68	458	11455	27.50	4.96	0.14	0
	(9+10)-IX-3	18717	270405	33.23	790	10632	14.81	4.78	0.11	0
	(9+10)-IX-4	19796	294973	34.27	429	11246	28.87	4.97	0.13	0
	(9+10)-IX-5	19085	269450	32.47	848	10842	14.07	4.75	0.12	0
	(9+10)-IX-6	20165	295313	33.68	458	11455	27.50	4.96	0.14	0
	(9+10)-IX-7	18717	270405	33.23	790	10632	14.81	4.78	0.11	0
	(9+10)-IX-8	19796	294973	34.27	429	11246	28.87	4.97	0.13	0
	(9+10)-X-1	18922	266274	32.37	878	10749	13.47	4.74	0.12	0
	(9+10)-X-2	20329	295656	33.45	508	11548	24.99	4.94	0.14	0
	(9+10)-X-3	18553	265124	32.87	893	10539	12.99	4.73	0.11	0
	(9+10)-X-4	19960	299737	34.54	333	11339	37.42	5.02	0.13	0
	(9+10)-X-5	18922	266274	32.37	878	10749	13.47	4.74	0.12	0
	(9+10)-X-6	20329	295656	33.45	508	11548	24.99	4.94	0.14	0
	(9+10)-X-7	18553	265124	32.87	893	10539	12.99	4.73	0.11	0
	(9+10)-X-8	19960	299737	34.54	333	11339	37.42	5.02	0.13	0
	(9+10)-XI-1	18979	266516	32.30	889	10781	13.34	4.73	0.12	0
	(9+10)-XI-2	20059	293490	33.65	464	11395	27.03	4.96	0.13	0
	(9+10)-XI-3	18823	274121	33.49	723	10693	16.26	4.82	0.11	0
	(9+10)-XI-4	19903	297604	34.39	385	11306	32.27	4.99	0.13	0
	(9+10)-XI-5	18979	266516	32.30	889	10781	13.34	4.73	0.12	0
	(9+10)-XI-6	20059	293490	33.65	464	11395	27.03	4.96	0.13	0
	(9+10)-XI-7	18823	274121	33.49	723	10693	16.26	4.82	0.11	0
	(9+10)-XI-8	19903	297604	34.39	385	11306	32.27	4.99	0.13	0
	(9+10)-XII-1	18815	263158	32.17	924	10688	12.72	4.71	0.11	0
	(9+10)-XII-2	20222	294582	33.50	500	11488	25.25	4.94	0.14	0
	(9+10)-XII-3	18659	268845	33.14	826	10600	14.11	4.76	0.11	0
	(9+10)-XII-4	20067	301361	34.54	299	11399	42.00	5.04	0.13	0
	(9+10)-XII-5	18815	263158	32.17	924	10688	12.72	4.71	0.11	0
	(9+10)-XII-6	20222	294582	33.50	500	11488	25.25	4.94	0.14	0
	(9+10)-XII-7	18659	268845	33.14	826	10600	14.11	4.76	0.11	0
	(9+10)-XII-8	20067	301361	34.54	299	11399	42.00	5.04	0.13	0
Minimi coeff. sic.										
3	1			16.26						

APPALTATORE: D'AGOSTINO ANGELO ANTONIO COSTRUZIONI GENERALI s.r.l.	RIASSETTO NODO DI BARI												
PROGETTISTA: Mandataria: Mandante: RPA srl Technital SpA HUB Engineering Scarl													
PROGETTO ESECUTIVO: Relazione di calcolo pensilina di ingresso	<table border="1"> <tr> <td>PROGETTO</td> <td>LOTTO</td> <td>CODIFICA</td> <td>DOCUMENTO</td> <td>REV.</td> <td>FOGLIO</td> </tr> <tr> <td>IA3S</td> <td>01</td> <td>E ZZ CL</td> <td>FV020C 001</td> <td>C</td> <td>82 DI 107</td> </tr> </table>	PROGETTO	LOTTO	CODIFICA	DOCUMENTO	REV.	FOGLIO	IA3S	01	E ZZ CL	FV020C 001	C	82 DI 107
PROGETTO	LOTTO	CODIFICA	DOCUMENTO	REV.	FOGLIO								
IA3S	01	E ZZ CL	FV020C 001	C	82 DI 107								

Elm.	Combinazione	V	Vd	CsV (>2.30)	H	Hd	CsH (>1.10)	Qd	qe	W
3	(9+10)-IV-3						6.27			

Wmax=1,Wmin=0

Verifica a scorrimento globale della fondazione

Combinazione Combinazione di verifica

Hd Azione orizzontale depurata dalle azioni assorbite da pali e plinti su pali

R Resistenza allo scorrimento $R=A*c+N*tg(\phi)$

CS R/Hd

CSd Coefficiente di sicurezza di progetto

Area delle strutture di fondazione a contatto con il terreno **A=60.0250 m²**

Combinazione	N	Hd	R	CS.	CSd	ver
	kg	kg	kg			
1	323146	616	201924	327.68	1.10	Si
2	230714	616	144166	233.95	1.10	Si
3	316617	616	197844	321.06	1.10	Si
4	224185	616	140087	227.33	1.10	Si
5	321315	1027	200780	195.50	1.10	Si
6	167262	1027	104517	101.77	1.10	Si
7	290504	616	181527	294.58	1.10	Si
8	198072	616	123769	200.85	1.10	Si
(9+10)-I-1	164626	12829	102870	8.02	1.10	Si
(9+10)-I-2	164597	12761	102851	8.06	1.10	Si
(9+10)-I-3	164362	12761	102705	8.05	1.10	Si
(9+10)-I-4	164333	12829	102687	8.00	1.10	Si
(9+10)-I-5	164626	12829	102870	8.02	1.10	Si
(9+10)-I-6	164597	12761	102851	8.06	1.10	Si
(9+10)-I-7	164362	12761	102705	8.05	1.10	Si
(9+10)-I-8	164333	12829	102687	8.00	1.10	Si
(9+10)-II-1	164567	12503	102833	8.22	1.10	Si
(9+10)-II-2	164470	12433	102773	8.27	1.10	Si
(9+10)-II-3	164488	12433	102784	8.27	1.10	Si
(9+10)-II-4	164391	12503	102723	8.22	1.10	Si
(9+10)-II-5	164567	12503	102833	8.22	1.10	Si
(9+10)-II-6	164470	12433	102773	8.27	1.10	Si
(9+10)-II-7	164488	12433	102784	8.27	1.10	Si
(9+10)-II-8	164391	12503	102723	8.22	1.10	Si
(9+10)-III-1	164619	12803	102866	8.03	1.10	Si
(9+10)-III-2	164603	12797	102855	8.04	1.10	Si
(9+10)-III-3	164355	12797	102701	8.03	1.10	Si
(9+10)-III-4	164339	12803	102691	8.02	1.10	Si
(9+10)-III-5	164619	12803	102866	8.03	1.10	Si
(9+10)-III-6	164603	12797	102855	8.04	1.10	Si
(9+10)-III-7	164355	12797	102701	8.03	1.10	Si
(9+10)-III-8	164339	12803	102691	8.02	1.10	Si
(9+10)-IV-1	164546	12531	102820	8.21	1.10	Si
(9+10)-IV-2	164492	12525	102786	8.21	1.10	Si
(9+10)-IV-3	164467	12525	102770	8.21	1.10	Si
(9+10)-IV-4	164413	12531	102736	8.20	1.10	Si
(9+10)-IV-5	164546	12531	102820	8.21	1.10	Si
(9+10)-IV-6	164492	12525	102786	8.21	1.10	Si

APPALTATORE: D'AGOSTINO ANGELO ANTONIO COSTRUZIONI GENERALI s.r.l.	RIASSETTO NODO DI BARI												
PROGETTISTA: Mandataria: Mandante:													
RPA srl Technital SpA HUB Engineering Scarl													
PROGETTO ESECUTIVO: Relazione di calcolo pensilina di ingresso	<table border="1" style="width: 100%; border-collapse: collapse;"> <tr> <td>PROGETTO</td> <td>LOTTO</td> <td>CODIFICA</td> <td>DOCUMENTO</td> <td>REV.</td> <td>FOGLIO</td> </tr> <tr> <td style="text-align: center;">IA3S</td> <td style="text-align: center;">01</td> <td style="text-align: center;">E ZZ CL</td> <td style="text-align: center;">FV020C 001</td> <td style="text-align: center;">C</td> <td style="text-align: center;">83 DI 107</td> </tr> </table>	PROGETTO	LOTTO	CODIFICA	DOCUMENTO	REV.	FOGLIO	IA3S	01	E ZZ CL	FV020C 001	C	83 DI 107
PROGETTO	LOTTO	CODIFICA	DOCUMENTO	REV.	FOGLIO								
IA3S	01	E ZZ CL	FV020C 001	C	83 DI 107								

Combinazione	N	Hd	R	CS.	CSd	ver
(9+10)-IV-7	164467	12525	102770	8.21	1.10	Si
(9+10)-IV-8	164413	12531	102736	8.20	1.10	Si
(9+10)-V-1	164664	12772	102894	8.06	1.10	Si
(9+10)-V-2	164635	12774	102876	8.05	1.10	Si
(9+10)-V-3	164323	12774	102681	8.04	1.10	Si
(9+10)-V-4	164294	12772	102662	8.04	1.10	Si
(9+10)-V-5	164664	12772	102894	8.06	1.10	Si
(9+10)-V-6	164635	12774	102876	8.05	1.10	Si
(9+10)-V-7	164323	12774	102681	8.04	1.10	Si
(9+10)-V-8	164294	12772	102662	8.04	1.10	Si
(9+10)-VI-1	164579	12465	102840	8.25	1.10	Si
(9+10)-VI-2	164482	12467	102780	8.24	1.10	Si
(9+10)-VI-3	164476	12467	102776	8.24	1.10	Si
(9+10)-VI-4	164380	12465	102716	8.24	1.10	Si
(9+10)-VI-5	164579	12465	102840	8.25	1.10	Si
(9+10)-VI-6	164482	12467	102780	8.24	1.10	Si
(9+10)-VI-7	164476	12467	102776	8.24	1.10	Si
(9+10)-VI-8	164380	12465	102716	8.24	1.10	Si
(9+10)-VII-1	164658	12746	102890	8.07	1.10	Si
(9+10)-VII-2	164642	12810	102879	8.03	1.10	Si
(9+10)-VII-3	164317	12810	102677	8.02	1.10	Si
(9+10)-VII-4	164301	12746	102666	8.05	1.10	Si
(9+10)-VII-5	164658	12746	102890	8.07	1.10	Si
(9+10)-VII-6	164642	12810	102879	8.03	1.10	Si
(9+10)-VII-7	164317	12810	102677	8.02	1.10	Si
(9+10)-VII-8	164301	12746	102666	8.05	1.10	Si
(9+10)-VIII-1	164557	12493	102827	8.23	1.10	Si
(9+10)-VIII-2	164503	12559	102793	8.19	1.10	Si
(9+10)-VIII-3	164455	12559	102763	8.18	1.10	Si
(9+10)-VIII-4	164401	12493	102729	8.22	1.10	Si
(9+10)-VIII-5	164557	12493	102827	8.23	1.10	Si
(9+10)-VIII-6	164503	12559	102793	8.19	1.10	Si
(9+10)-VIII-7	164455	12559	102763	8.18	1.10	Si
(9+10)-VIII-8	164401	12493	102729	8.22	1.10	Si
(9+10)-IX-1	164533	5159	102812	19.93	1.10	Si
(9+10)-IX-2	164504	5108	102794	20.12	1.10	Si
(9+10)-IX-3	164454	5108	102762	20.12	1.10	Si
(9+10)-IX-4	164425	5159	102744	19.92	1.10	Si
(9+10)-IX-5	164533	5159	102812	19.93	1.10	Si
(9+10)-IX-6	164504	5108	102794	20.12	1.10	Si
(9+10)-IX-7	164454	5108	102762	20.12	1.10	Si
(9+10)-IX-8	164425	5159	102744	19.92	1.10	Si
(9+10)-X-1	164527	5149	102808	19.97	1.10	Si
(9+10)-X-2	164511	5144	102798	19.98	1.10	Si
(9+10)-X-3	164448	5144	102758	19.97	1.10	Si
(9+10)-X-4	164432	5149	102748	19.96	1.10	Si
(9+10)-X-5	164527	5149	102808	19.97	1.10	Si
(9+10)-X-6	164511	5144	102798	19.98	1.10	Si
(9+10)-X-7	164448	5144	102758	19.97	1.10	Si
(9+10)-X-8	164432	5149	102748	19.96	1.10	Si
(9+10)-XI-1	164545	5128	102819	20.05	1.10	Si
(9+10)-XI-2	164516	5129	102801	20.04	1.10	Si
(9+10)-XI-3	164443	5129	102755	20.03	1.10	Si
(9+10)-XI-4	164414	5128	102737	20.03	1.10	Si
(9+10)-XI-5	164545	5128	102819	20.05	1.10	Si

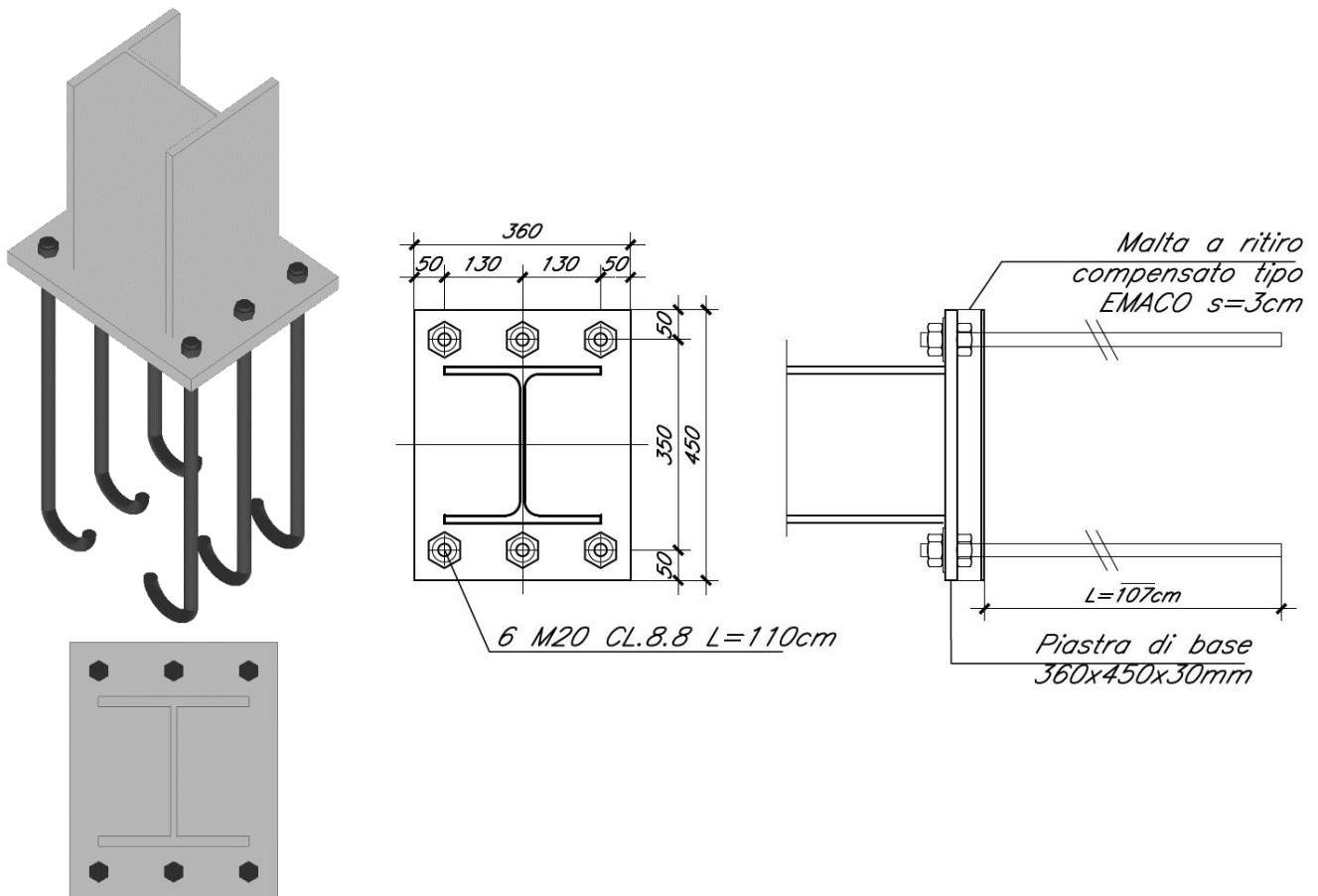
APPALTATORE: D'AGOSTINO ANGELO ANTONIO COSTRUZIONI GENERALI s.r.l.	RIASSETTO NODO DI BARI					
PROGETTISTA: Mandataria: Mandante: RPA srl Technital SpA HUB Engineering Scarl	TRATTA A SUD DI BARI – VARIANTE DI TRACCIATO TRA BARI CENTRALE E BARI TORRE A MARE					
PROGETTO ESECUTIVO: Relazione di calcolo pensilina di ingresso	PROGETTO	LOTTO	CODIFICA	DOCUMENTO	REV.	FOGLIO
	IA3S	01	E ZZ CL	FV020C 001	C	84 DI 107

Combinazione	N	Hd	R	CS.	CSd	ver
(9+10)-XI-6	164516	5129	102801	20.04	1.10	Si
(9+10)-XI-7	164443	5129	102755	20.03	1.10	Si
(9+10)-XI-8	164414	5128	102737	20.03	1.10	Si
(9+10)-XII-1	164539	5118	102815	20.09	1.10	Si
(9+10)-XII-2	164522	5166	102805	19.90	1.10	Si
(9+10)-XII-3	164436	5166	102751	19.89	1.10	Si
(9+10)-XII-4	164420	5118	102741	20.08	1.10	Si
(9+10)-XII-5	164539	5118	102815	20.09	1.10	Si
(9+10)-XII-6	164522	5166	102805	19.90	1.10	Si
(9+10)-XII-7	164436	5166	102751	19.89	1.10	Si
(9+10)-XII-8	164420	5118	102741	20.08	1.10	Si

8.10 Verifica Nodo di base

Di seguito si riporta la verifica del nodo di base più sollecitato.

Per tutti i nodi si ipotizza di realizzare lo stesso collegamento costituito da piastra di base di spessore 30mm e dimensioni in pianta 450x360mm. Il collegamento alla struttura di base sarà realizzato con n°6 tirafondi Ø20 classe 8.8 annegati nel calcestruzzo per una lunghezza di 600mm.



Ove non diversamente specificato le dimensioni usate sono DaN e cm

APPALTATORE: D'AGOSTINO ANGELO ANTONIO COSTRUZIONI GENERALI s.r.l.	RIASSETTO NODO DI BARI					
PROGETTISTA: Mandataria: Mandante: RPA srl Technital SpA HUB Engineering Scarl						
PROGETTO ESECUTIVO: Relazione di calcolo pensilina di ingresso	PROGETTO	LOTTO	CODIFICA	DOCUMENTO	REV.	FOGLIO
	IA3S	01	E ZZ CL	FV020C 001	C	85 DI 107

Simbologia

Simbologia sezione I

Sezione	Nome della sezione
B	Base delle ali
H	Altezza della sezione
tbi	Spessore ala inferiore
tbs	Spessore ala superiore
th	Spessore anima

Geometria Tirafondi

N°	Indice del tirafondo
X,Y	Coordinate centro bullone
Φmm	Diametro nominale del bullone
classe	Classe di resistenza
Ares	Area resistente
L	Lunghezza del tirafondo
R	Eventuale raggio dell'uncino del tirafondo
Φm	Min(diametro del dado,diametro medio della testa) (NTC 4.2.64)

Forze applicate

Comb.	Nome della combinazione cui corrispondono le forze
N,Ty,Tz	Sforzo normale, taglio in direzione Y, taglio in direzione Z, nel riferimento locale della colonna
Mt,My,Mz	Momento torcente, flettente secondo Y, flettente secondo Z, nel riferimento locale della colonna

Verifica piastra di base

Comb.,Pann.	Combinazione,indice del pannello della mesh con minimo SF
N°	Indice del pannello della mesh
X,Y	Coordinate del centro del pannello della mesh
$\sigma_{xx},\sigma_{yy},\tau_{xy}$	Tensioni del pannello nel riferimento della piastra
σ_{id}	Tensione ideale di Von Mises= $(\sigma_{xx}^2+\sigma_{yy}^2-\sigma_{xx}*\sigma_{yy}+3*\tau_{xy}^2)^{1/2}$
SF	Fattore di sicurezza= $\sigma_{id}/(f_yk/\gamma_{M0})$ (cfr. NTC. 4.2.4.1.2)

Verifica a punzonamento piastra di base

N°bull	Indice del tirafondo
X,Y	Coordinate del tirafondo
Fd	Azione assiale nel tirafondo
B _{p,Rd}	Resistenza al punzonamento della piastra (cfr. formula NTC. 4.2.64)
SF	Fattore di sicurezza al punzonamento = $B_{p,Rd}/Azione$

Verifica calcestruzzo

Comb.	combinazione delle azioni
N°Vert	Indice vertice area compressa
X,Y	Coordinate del vertice
σ	Tensione (di compressione) nel vertice
SF	Fattore di sicurezza = f_{cd}/σ

Verifica tirafondi uncino

Comb.	Nome della combinazione delle azioni
N°	Indice tirafondo
X,Y	Coordinate tirafondo
Dbordo	Distanza dal bordo del tirafondo
Ft,Fv	Azione assiale e tangenziale del tirafondo
Ftrd,Fvrd	Resistenza assiale e tangenziale (1)
SF	Fattore di sicurezza (2)
Lid,Lrich	Lunghezza ideale effettiva e lunghezza ideale richiesta per il tirafondo (3)

APPALTATORE: D'AGOSTINO ANGELO ANTONIO COSTRUZIONI GENERALI s.r.l.	RIASSETTO NODO DI BARI					
PROGETTISTA: Mandataria: Mandante: RPA srl Technital SpA HUB Engineering Scarl						TRATTA A SUD DI BARI – VARIANTE DI TRACCIATO TRA BARI CENTRALE E BARI TORRE A MARE
PROGETTO ESECUTIVO: Relazione di calcolo pensilina di ingresso	PROGETTO IA3S	LOTTO 01	CODIFICA E ZZ CL	DOCUMENTO FV020C 001	REV. C	

- (1) (cfr. formule NTC 4.2.57-4.2.59 e 4.2.62)
(2) nel caso di sola trazione $SF=F_{trd}/F_t$, solo taglio $SF=F_{vrd}/F_v$, nel caso di taglio e trazione $SF=1/(F_v/F_{vrd}+F_t/F_{trd}/1.4)$ con la condizione $F_t/F_{trd}<1$ (cfr. formula NTC 4.2.65)
(3) $Lid=L+6.4*R$ la resistenza a sfilamento è $F_{max}=\pi*\Phi*Lid/(1+\Phi/Dbordo)^{1/2}$, la lunghezza richiesta è $L_{rich}=F/F_{max}*Lid$, il fattore di sicurezza è il minimo tra quello in (2) e Lid/L_{rich}

8.10.1 Geometria

Dimensioni piastra: 36 x 45 x 3

Sezione della colonna

Centro anima

X 18 cm

Y 22.5 cm

Rotazione α 0°

Baricentro

X 18 cm

Y 22.5 cm

Sezione	B	H	tbi	tbs	th
	mm	mm	mm	mm	mm
HE 260 B	260	260	17.5	17.5	10

Geometria Tirafondi

N°	X	Y	Φ	classe	Ares	L	R	Φ_m
	cm	cm	mm		cm ²	cm	cm	mm
1	5	5	20	8.8	3.14	100	5	26
2	18	5	20	8.8	3.14	100	5	26
3	31	5	20	8.8	3.14	100	5	26
4	5	40	20	8.8	3.14	100	5	26
5	18	40	20	8.8	3.14	100	5	26
6	31	40	20	8.8	3.14	100	5	26

8.10.2 Proprietà materiali

Calcestruzzo $R_{ck}=300$ DaN/cm², $f_{cd}=141.10$ DaN/cm²

Coefficiente Omog. 15

Aderenza tirafondi-clis $\tau_{ad}=26.86$ DaN/cm²

Acciaio piastra classe S275, $f_{yd}=f_{yk}/\gamma_M=2750/1.05=2619.05$ DaN/cm²

Saldature

Verifiche condotte secondo le formule:

$$(\sigma_n^2 + \tau_p^2 + \tau_n^2)^{1/2} \leq f_{yk} * \beta_1$$

$$|\sigma_n| + |\tau_n| \leq f_{yk} * \beta_2$$

Elemento	$f_{yk}<40$ mm	$f_{yk}\geq40$ mm	β_1	β_2
	DaN/cm ²	DaN/cm ²		
Piastra	2750	2550	0.7	0.85

8.10.3 Risultati dell'analisi

Riferimento locale della colonna

APPALTATORE: D'AGOSTINO ANGELO ANTONIO COSTRUZIONI GENERALI s.r.l.	RIASSETTO NODO DI BARI												
PROGETTISTA: Mandataria: Mandante: RPA srl Technital SpA HUB Engineering Scarl													
PROGETTO ESECUTIVO: Relazione di calcolo pensilina di ingresso	<table border="1"> <tr> <td>PROGETTO</td> <td>LOTTO</td> <td>CODIFICA</td> <td>DOCUMENTO</td> <td>REV.</td> <td>FOGLIO</td> </tr> <tr> <td>IA3S</td> <td>01</td> <td>E ZZ CL</td> <td>FV020C 001</td> <td>C</td> <td>87 DI 107</td> </tr> </table>	PROGETTO	LOTTO	CODIFICA	DOCUMENTO	REV.	FOGLIO	IA3S	01	E ZZ CL	FV020C 001	C	87 DI 107
PROGETTO	LOTTO	CODIFICA	DOCUMENTO	REV.	FOGLIO								
IA3S	01	E ZZ CL	FV020C 001	C	87 DI 107								

	X	Y	Z
Origine cm	18.0000	22.5000	0.0000
Asse x	0.0000	0.0000	1.0000
Asse y	1.0000	0.0000	0.0000
Asse z	0.0000	1.0000	0.0000

Caratteristiche applicate alla colonna

Le caratteristiche sono intese positive se dirette secondo gli assi locali della colonna e sono applicate nel baricentro della sezione.

Comb.	N DaN	Ty DaN	Tz DaN	Mt DaN*m	My DaN*m	Mz DaN*m
1	-13701.8	-475.9	-1863.2	0	1542.8	-39.1
2	-15942.7	-504.8	-1869	-0.1	1355.2	-87.1
3	-13000.3	-462.1	-1794.8	0	1431.1	-21.6
4	-15241.2	-491	-1800.6	0	1243.5	-69.6
5	-13168	-457.7	-1721.9	0	1213.5	-21.7
6	-11031.8	-509.7	-1301.1	0	-1133.9	247.4
7	-9842.8	-540.7	-1818.2	0	408.6	248.1
8	-1182.8	-394.5	-1409.8	0	63.3	451.8
9	-12083.7	-569.6	-1824	0	221	200.1
10	-10082.4	-409.8	-1570	0	1129.2	48.3
11	-9258.1	-302.9	-434.6	0	-1888.7	117.1
12	-13817.4	-458	-1579.7	0	816.5	-31.6
13	7157	-110.9	-615.8	0	106.7	457.7
14	-9785.4	-102.1	10.7	0	-1025.4	-182.7
15	-7803.6	-153.8	-851.1	0	1545.6	-181.6
16	6629.8	89.8	-170.5	0	970	157.9
17	-11538.5	-202	-860.9	0	1232.9	-261.5
(18+19)-I-1	-6793.2	604.2	-14.1	0.3	-688	1835.8
(18+19)-I-2	-6026.7	652.1	-689.1	-0.1	1326.9	1954.1
(18+19)-I-3	-5534.9	-871.1	-347.1	0	352.7	-2228.4
(18+19)-I-4	-4768.4	-823.2	-1022	-0.4	2367.6	-2110.1
(18+19)-I-5	-6947.7	611.9	-30.2	0.4	-662.4	1848.4
(18+19)-I-6	-6181.2	659.8	-705.2	-0.1	1352.5	1966.7
(18+19)-I-7	-5689.5	-863.4	-363.2	0	378.3	-2215.8
(18+19)-I-8	-4923	-815.5	-1038.1	-0.4	2393.2	-2097.5
(18+19)-II-1	-7247	31.9	656.8	0.7	-2674.5	275.3
(18+19)-II-2	-4692.1	191.6	-1593	-0.7	4041.9	669.7
(18+19)-II-3	-6869.5	-410.7	556.9	0.6	-2362.3	-943.9
(18+19)-II-4	-4314.6	-251	-1692.9	-0.8	4354.1	-549.6
(18+19)-II-5	-7401.6	39.7	640.7	0.7	-2648.9	287.9
(18+19)-II-6	-4846.6	199.4	-1609.1	-0.7	4067.5	682.3
(18+19)-II-7	-7024.1	-402.9	540.8	0.6	-2336.7	-931.4
(18+19)-II-8	-4469.1	-243.2	-1709	-0.8	4379.7	-537
(18+19)-III-1	-6696.9	643.8	-88.6	0	-464.5	1935.4
(18+19)-III-2	-6123	612.5	-614.7	0.3	1103.4	1854.5
(18+19)-III-3	-5438.6	-831.5	-421.5	-0.3	576.2	-2128.8
(18+19)-III-4	-4864.7	-862.9	-947.6	0	2144.1	-2209.7
(18+19)-III-5	-6851.4	651.6	-104.7	0	-438.9	1948
(18+19)-III-6	-6277.5	620.2	-630.8	0.3	1129	1867.1
(18+19)-III-7	-5593.2	-823.8	-437.6	-0.3	601.8	-2116.2
(18+19)-III-8	-5019.3	-855.1	-963.7	0	2169.7	-2197.1
(18+19)-IV-1	-6926.1	164	408.7	-0.4	-1929.5	607.3
(18+19)-IV-2	-5013	59.5	-1345	0.5	3296.9	337.7
(18+19)-IV-3	-6548.6	-278.6	308.8	-0.5	-1617.3	-611.9
(18+19)-IV-4	-4635.5	-383.1	-1444.8	0.4	3609.1	-881.6
(18+19)-IV-5	-7080.6	171.8	392.6	-0.4	-1903.9	619.9

APPALTATORE: D'AGOSTINO ANGELO ANTONIO COSTRUZIONI GENERALI s.r.l.	RIASSETTO NODO DI BARI					
PROGETTISTA: Mandataria: Mandante: RPA srl Technital SpA HUB Engineering Scarl						
PROGETTO ESECUTIVO: Relazione di calcolo pensilina di ingresso	PROGETTO IA3S	LOTTO 01	CODIFICA E ZZ CL	DOCUMENTO FV020C 001	REV. C	FOGLIO 88 DI 107

Comb.	N	Ty	Tz	Mt	My	Mz
(18+19)-IV-6	-5167.5	67.3	-1361.1	0.5	3322.5	350.2
(18+19)-IV-7	-6703.1	-270.8	292.7	-0.5	-1591.7	-599.3
(18+19)-IV-8	-4790.1	-375.3	-1460.9	0.4	3634.7	-869
(18+19)-V-1	-6560.9	633.1	-373.8	0	371.7	1917.1
(18+19)-V-2	-5794.4	681	-1048.8	-0.4	2386.6	2035.4
(18+19)-V-3	-5767.2	-900	12.6	0.4	-707	-2309.6
(18+19)-V-4	-5000.7	-852.1	-662.3	0	1307.9	-2191.3
(18+19)-V-5	-6715.4	640.8	-389.9	0	397.3	1929.6
(18+19)-V-6	-5948.9	688.7	-1064.9	-0.4	2412.2	2047.9
(18+19)-V-7	-5921.7	-892.3	-3.5	0.4	-681.4	-2297.1
(18+19)-V-8	-5155.2	-844.4	-678.4	0	1333.5	-2178.7
(18+19)-VI-1	-7177.3	40.6	548.9	0.6	-2356.6	299.7
(18+19)-VI-2	-4622.4	200.3	-1700.9	-0.8	4359.8	694
(18+19)-VI-3	-6939.2	-419.3	664.8	0.7	-2680.2	-968.3
(18+19)-VI-4	-4384.3	-259.6	-1585	-0.7	4036.2	-574
(18+19)-VI-5	-7331.9	48.3	532.8	0.6	-2331	312.3
(18+19)-VI-6	-4776.9	208	-1717	-0.8	4385.4	706.6
(18+19)-VI-7	-7093.8	-411.6	648.7	0.7	-2654.6	-955.7
(18+19)-VI-8	-4538.8	-251.9	-1601.1	-0.7	4061.7	-561.4
(18+19)-VII-1	-6464.6	672.7	-448.2	-0.4	595.2	2016.7
(18+19)-VII-2	-5890.7	641.4	-974.3	-0.1	2163.1	1935.8
(18+19)-VII-3	-5670.9	-860.4	-61.8	0	-483.5	-2210
(18+19)-VII-4	-5097	-891.7	-587.9	0.3	1084.4	-2290.9
(18+19)-VII-5	-6619.1	680.5	-464.3	-0.4	620.8	2029.2
(18+19)-VII-6	-6045.2	649.1	-990.4	-0.1	2188.7	1948.3
(18+19)-VII-7	-5825.4	-852.7	-77.9	0	-457.9	-2197.4
(18+19)-VII-8	-5251.5	-884	-604	0.3	1110	-2278.4
(18+19)-VIII-1	-6856.4	172.7	300.8	-0.6	-1611.6	631.7
(18+19)-VIII-2	-4943.3	68.2	-1452.9	0.4	3614.8	362
(18+19)-VIII-3	-6618.3	-287.2	416.7	-0.4	-1935.2	-636.3
(18+19)-VIII-4	-4705.2	-391.7	-1336.9	0.5	3291.2	-906
(18+19)-VIII-5	-7010.9	180.4	284.7	-0.6	-1586	644.3
(18+19)-VIII-6	-5097.9	75.9	-1469	0.4	3640.4	374.6
(18+19)-VIII-7	-6772.8	-279.5	400.6	-0.4	-1909.6	-623.7
(18+19)-VIII-8	-4859.7	-384	-1353	0.5	3316.8	-893.4
(18+19)-IX-1	-6172.5	78.8	-111.9	0.2	-353.6	398.7
(18+19)-IX-2	-5406	126.7	-786.8	-0.2	1661.3	517
(18+19)-IX-3	-5795	-363.8	-211.8	0.1	-41.4	-820.6
(18+19)-IX-4	-5028.5	-315.9	-886.7	-0.3	1973.5	-702.3
(18+19)-IX-5	-6687.6	104.6	-165.6	0.2	-268.3	440.6
(18+19)-IX-6	-5921.1	152.5	-840.5	-0.2	1746.6	558.9
(18+19)-IX-7	-6310.1	-338	-265.4	0.2	43.9	-778.7
(18+19)-IX-8	-5543.6	-290.1	-940.4	-0.3	2058.8	-660.4
(18+19)-X-1	-6076.2	118.4	-186.3	-0.1	-130.1	498.3
(18+19)-X-2	-5502.3	87.1	-712.4	0.2	1437.8	417.4
(18+19)-X-3	-5698.7	-324.2	-286.2	-0.2	182.1	-721
(18+19)-X-4	-5124.8	-355.5	-812.3	0.1	1750	-801.9
(18+19)-X-5	-6591.3	144.2	-240	-0.1	-44.8	540.2
(18+19)-X-6	-6017.4	112.9	-766.1	0.2	1523.1	459.3
(18+19)-X-7	-6213.9	-298.4	-339.9	-0.2	267.4	-679.1
(18+19)-X-8	-5639.9	-329.7	-866	0.1	1835.3	-760
(18+19)-XI-1	-6102.8	87.5	-219.8	0.1	-35.7	423
(18+19)-XI-2	-5336.3	135.4	-894.7	-0.3	1979.2	541.4
(18+19)-XI-3	-5864.7	-372.5	-103.9	0.2	-359.3	-845
(18+19)-XI-4	-5098.2	-324.6	-778.8	-0.2	1655.6	-726.7

APPALTATORE: D'AGOSTINO ANGELO ANTONIO COSTRUZIONI GENERALI s.r.l.	RIASSETTO NODO DI BARI					
PROGETTISTA: Mandataria: Mandante: RPA srl Technital SpA HUB Engineering Scarl						
PROGETTO ESECUTIVO: Relazione di calcolo pensilina di ingresso	PROGETTO	LOTTO	CODIFICA	DOCUMENTO	REV.	FOGLIO
	IA3S	01	E ZZ CL	FV020C 001	C	89 DI 107

Comb.	N	Ty	Tz	Mt	My	Mz
(18+19)-XI-5	-6617.9	113.3	-273.5	0.1	49.6	465
(18+19)-XI-6	-5851.4	161.2	-948.4	-0.3	2064.5	583.3
(18+19)-XI-7	-6379.8	-346.7	-157.5	0.3	-274	-803
(18+19)-XI-8	-5613.3	-298.8	-832.5	-0.2	1740.9	-684.7
(18+19)-XII-1	-6006.5	127.1	-294.2	-0.2	187.8	522.7
(18+19)-XII-2	-5432.6	95.7	-820.3	0.1	1755.7	441.7
(18+19)-XII-3	-5768.4	-332.8	-178.3	-0.1	-135.8	-745.4
(18+19)-XII-4	-5194.5	-364.2	-704.4	0.2	1432.1	-826.3
(18+19)-XII-5	-6521.6	152.9	-347.9	-0.2	273.1	564.6
(18+19)-XII-6	-5947.7	121.5	-874	0.1	1841	483.7
(18+19)-XII-7	-6283.5	-307	-232	-0.1	-50.5	-703.4
(18+19)-XII-8	-5709.6	-338.4	-758.1	0.2	1517.4	-784.3

Verifiche piastra

Comb.	Pann.	X	Y	σ_{xx}	σ_{yy}	τ_{xy}	σ_{id}	SF
		cm	cm	DaN/cm ²	DaN/cm ²	DaN/cm ²	DaN/cm ²	
(18+19)-I-8	28	4.76	9.19	-1102.92	-1567.07	-128.51	1411.86	1.86

Tensione massima ideale σ_{id} = 1411.86 DaN/cm², SF=1.86 ((18+19)-I-8): **Verificato**

Verifica a punzonamento piastra

Comb.	N°bull	X	Y	Fd	B _{p,Rd}	SF
		cm	cm	DaN	DaN	
(18+19)-VI-6	4	5.00	40.00	3903	50577	13.0

Forza di punz. massima Fd_{max} = 3903.42 DaN, SF=13.0 ((18+19)-VI-6) (bull 4): **Verificato**

Verifica calcestruzzo

Comb.	N°Vert	X	Y	σ	SF
		cm	cm	DaN/cm ²	
1	1	0.00	0.00	22.34	6.32
2	1	0.00	0.00	22.06	6.39
3	1	0.00	0.00	20.66	6.83
4	1	0.00	0.00	20.44	6.90
5	1	0.00	0.00	18.58	7.59
6	2	36.00	45.00	19.45	7.25
7	2	36.00	0.00	11.99	11.8
8	2	36.00	0.00	9.53	14.8
9	2	36.00	0.00	11.34	12.4
10	2	36.00	0.00	16.61	8.50
11	2	36.00	45.00	27.01	5.22
12	1	0.00	0.00	15.57	9.06
13	2	36.00	0.00	3.61	39.1
14	3	0.00	45.00	17.01	8.29
15	1	0.00	0.00	23.54	6.00
16	2	36.00	0.00	9.51	14.8
17	1	0.00	0.00	20.91	6.75
(18+19)-I-1	3	36.00	45.00	44.50	3.17
(18+19)-I-2	2	36.00	0.00	57.09	2.47
(18+19)-I-3	1	0.00	0.00	47.71	2.96
(18+19)-I-4	1	0.00	0.00	77.42	1.82
(18+19)-I-5	3	36.00	45.00	44.30	3.19
(18+19)-I-6	2	36.00	0.00	57.67	2.45
(18+19)-I-7	1	0.00	0.00	47.83	2.95
(18+19)-I-8	1	0.00	0.00	77.47	1.82

APPALTATORE: D'AGOSTINO ANGELO ANTONIO COSTRUZIONI GENERALI s.r.l.	RIASSETTO NODO DI BARI												
PROGETTISTA: Mandataria: Mandante: RPA srl Technital SpA HUB Engineering Scarl													
PROGETTO ESECUTIVO: Relazione di calcolo pensilina di ingresso	<table border="1"> <tr> <td>PROGETTO</td> <td>LOTTO</td> <td>CODIFICA</td> <td>DOCUMENTO</td> <td>REV.</td> <td>FOGLIO</td> </tr> <tr> <td>IA3S</td> <td>01</td> <td>E ZZ CL</td> <td>FV020C 001</td> <td>C</td> <td>90 DI 107</td> </tr> </table>	PROGETTO	LOTTO	CODIFICA	DOCUMENTO	REV.	FOGLIO	IA3S	01	E ZZ CL	FV020C 001	C	90 DI 107
PROGETTO	LOTTO	CODIFICA	DOCUMENTO	REV.	FOGLIO								
IA3S	01	E ZZ CL	FV020C 001	C	90 DI 107								

Comb.	N°Vert	X	Y	σ	SF
(18+19)-II-1	2	36.00	45.00	40.64	3.47
(18+19)-II-2	2	36.00	0.00	67.46	2.09
(18+19)-II-3	3	0.00	45.00	50.55	2.79
(18+19)-II-4	1	0.00	0.00	68.47	2.06
(18+19)-II-5	2	36.00	45.00	40.55	3.48
(18+19)-II-6	2	36.00	0.00	68.08	2.07
(18+19)-II-7	3	0.00	45.00	49.83	2.83
(18+19)-II-8	1	0.00	0.00	68.49	2.06
(18+19)-III-1	3	36.00	45.00	43.25	3.26
(18+19)-III-2	2	36.00	0.00	51.50	2.74
(18+19)-III-3	1	0.00	0.00	49.32	2.86
(18+19)-III-4	1	0.00	0.00	75.87	1.86
(18+19)-III-5	3	36.00	45.00	43.06	3.28
(18+19)-III-6	2	36.00	0.00	52.06	2.71
(18+19)-III-7	1	0.00	0.00	49.41	2.86
(18+19)-III-8	1	0.00	0.00	75.94	1.86
(18+19)-IV-1	2	36.00	45.00	37.20	3.79
(18+19)-IV-2	2	36.00	0.00	50.07	2.82
(18+19)-IV-3	3	0.00	45.00	32.89	4.29
(18+19)-IV-4	1	0.00	0.00	66.97	2.11
(18+19)-IV-5	2	36.00	45.00	37.01	3.81
(18+19)-IV-6	2	36.00	0.00	50.69	2.78
(18+19)-IV-7	3	0.00	45.00	32.18	4.39
(18+19)-IV-8	1	0.00	0.00	66.97	2.11
(18+19)-V-1	2	36.00	0.00	41.54	3.40
(18+19)-V-2	2	36.00	0.00	75.53	1.87
(18+19)-V-3	4	0.00	45.00	54.84	2.57
(18+19)-V-4	1	0.00	0.00	62.26	2.27
(18+19)-V-5	2	36.00	0.00	42.12	3.35
(18+19)-V-6	2	36.00	0.00	76.08	1.85
(18+19)-V-7	4	0.00	45.00	54.13	2.61
(18+19)-V-8	1	0.00	0.00	62.32	2.26
(18+19)-VI-1	2	36.00	45.00	36.91	3.82
(18+19)-VI-2	2	36.00	0.00	72.09	1.96
(18+19)-VI-3	3	0.00	45.00	55.57	2.54
(18+19)-VI-4	1	0.00	0.00	65.07	2.17
(18+19)-VI-5	2	36.00	45.00	36.80	3.83
(18+19)-VI-6	2	36.00	0.00	72.72	1.94
(18+19)-VI-7	3	0.00	45.00	54.86	2.57
(18+19)-VI-8	1	0.00	0.00	65.09	2.17
(18+19)-VII-1	2	36.00	0.00	46.96	3.00
(18+19)-VII-2	2	36.00	0.00	69.95	2.02
(18+19)-VII-3	4	0.00	45.00	49.38	2.86
(18+19)-VII-4	1	0.00	0.00	60.70	2.32
(18+19)-VII-5	2	36.00	0.00	47.53	2.97
(18+19)-VII-6	2	36.00	0.00	70.50	2.00
(18+19)-VII-7	4	0.00	45.00	48.68	2.90
(18+19)-VII-8	1	0.00	0.00	60.78	2.32
(18+19)-VIII-1	2	36.00	45.00	33.04	4.27
(18+19)-VIII-2	2	36.00	0.00	54.66	2.58
(18+19)-VIII-3	3	0.00	45.00	38.01	3.71
(18+19)-VIII-4	1	0.00	0.00	63.37	2.23
(18+19)-VIII-5	2	36.00	45.00	32.82	4.30
(18+19)-VIII-6	2	36.00	0.00	55.29	2.55
(18+19)-VIII-7	3	0.00	45.00	37.31	3.78

APPALTATORE: D'AGOSTINO ANGELO ANTONIO COSTRUZIONI GENERALI s.r.l.	RIASSETTO NODO DI BARI					
PROGETTISTA: Mandataria: Mandante:	TRATTA A SUD DI BARI – VARIANTE DI TRACCIATO TRA BARI CENTRALE E BARI TORRE A MARE					
RPA srl Technital SpA HUB Engineering Scarl						
PROGETTO ESECUTIVO: Relazione di calcolo pensilina di ingresso	PROGETTO	LOTTO	CODIFICA	DOCUMENTO	REV.	FOGLIO
	IA3S	01	E ZZ CL	FV020C 001	C	91 DI 107

Comb.	N°Vert	X	Y	σ	SF
(18+19)-VIII-8	1	0.00	0.00	63.36	2.23
(18+19)-IX-1	3	36.00	45.00	11.27	12.5
(18+19)-IX-2	2	36.00	0.00	32.15	4.39
(18+19)-IX-3	4	0.00	45.00	15.17	9.30
(18+19)-IX-4	1	0.00	0.00	40.72	3.46
(18+19)-IX-5	3	36.00	45.00	11.15	12.7
(18+19)-IX-6	2	36.00	0.00	34.01	4.15
(18+19)-IX-7	1	0.00	0.00	14.27	9.89
(18+19)-IX-8	1	0.00	0.00	40.77	3.46
(18+19)-X-1	3	36.00	45.00	10.37	13.6
(18+19)-X-2	2	36.00	0.00	26.87	5.25
(18+19)-X-3	1	0.00	0.00	15.02	9.39
(18+19)-X-4	1	0.00	0.00	39.69	3.56
(18+19)-X-5	3	36.00	45.00	10.32	13.7
(18+19)-X-6	2	36.00	0.00	28.73	4.91
(18+19)-X-7	1	0.00	0.00	15.08	9.36
(18+19)-X-8	1	0.00	0.00	39.68	3.56
(18+19)-XI-1	3	36.00	45.00	8.49	16.6
(18+19)-XI-2	2	36.00	0.00	37.19	3.79
(18+19)-XI-3	4	0.00	45.00	19.76	7.14
(18+19)-XI-4	1	0.00	0.00	36.68	3.85
(18+19)-XI-5	2	36.00	0.00	9.39	15.0
(18+19)-XI-6	2	36.00	0.00	39.08	3.61
(18+19)-XI-7	4	0.00	45.00	17.60	8.01
(18+19)-XI-8	1	0.00	0.00	36.71	3.84
(18+19)-XII-1	2	36.00	0.00	11.32	12.5
(18+19)-XII-2	2	36.00	0.00	31.93	4.42
(18+19)-XII-3	4	0.00	45.00	14.90	9.47
(18+19)-XII-4	1	0.00	0.00	35.53	3.97
(18+19)-XII-5	2	36.00	0.00	13.00	10.9
(18+19)-XII-6	2	36.00	0.00	33.82	4.17
(18+19)-XII-7	4	0.00	45.00	12.95	10.9
(18+19)-XII-8	1	0.00	0.00	35.50	3.97

Tensione cls max $\sigma = 77.47$ DaN/cm², SF=1.82 ((18+19)-I-8): **Verificato**

Verifica Tirafondi Uncino

Comb.	N°	X	Y	Dbordo	Ft	Fv	FtRd	FvRd	Lid	Lrich	SF
		cm	cm	cm	DaN	DaN	DaN	DaN	cm	cm	
(18+19)-VI-6	4	5.00	40.00	5.00	3903	288	14112	9408	92	45	2.03

Coefficiente di sicurezza minimo 2.029442 ((18+19)-VI-6): **Verificato**

Verifica complessiva

Coefficiente di sicurezza minimo 1.821455 (Piastra di base): **Verificato**

APPALTATORE: D'AGOSTINO ANGELO ANTONIO COSTRUZIONI GENERALI s.r.l.	RIASSETTO NODO DI BARI					
PROGETTISTA: Mandataria: Mandante: RPA srl Technital SpA HUB Engineering Scarl	TRATTA A SUD DI BARI – VARIANTE DI TRACCIATO TRA BARI CENTRALE E BARI TORRE A MARE					
PROGETTO ESECUTIVO: Relazione di calcolo pensilina di ingresso	PROGETTO	LOTTO	CODIFICA	DOCUMENTO	REV.	FOGLIO
	IA3S	01	E ZZ CL	FV020C 001	C	92 DI 107

9. COEFFICIENTI DI SICUREZZA RAGGIUNTI

Elementi in calcestruzzo

Nome	Combinazione	Cs
Pilastro 153: Nodi[5,6] Tipo:Calcestruzzo	(9+10)-IV-7	10
Pilastro 148: Nodi[15,16] Tipo:Calcestruzzo	(9+10)-VIII-8	9.938
Pilastro 150: Nodi[13,14] Tipo:Calcestruzzo	(9+10)-VIII-8	8.5
Pilastro 149: Nodi[3,4] Tipo:Calcestruzzo	(9+10)-IV-7	8.375
Pilastro 156: Nodi[18,17] Tipo:Calcestruzzo	(9+10)-VI-6	7.937
Pilastro 152: Nodi[8,7] Tipo:Calcestruzzo	(9+10)-II-5	7.75
Trave 132: Nodi[9,19] Tipo:Calcestruzzo	7	6.078
Trave 131: Nodi[1,3] Tipo:Calcestruzzo	(9+10)-III-2	5.697
Pilastro 147: Nodi[1,2] Tipo:Calcestruzzo	(9+10)-IV-7	5.656
Pilastro 155: Nodi[11,12] Tipo:Calcestruzzo	(9+10)-VIII-8	5.5
Trave 131: Nodi[8,9] Tipo:Calcestruzzo	(9+10)-I-8	5.317
Trave 131: Nodi[3,5] Tipo:Calcestruzzo	(9+10)-I-1	5.156
Pilastro 154: Nodi[9,10] Tipo:Calcestruzzo	(9+10)-II-1	5.094
Trave 131: Nodi[5,8] Tipo:Calcestruzzo	(9+10)-III-6	4.986
Pilastro 151: Nodi[19,20] Tipo:Calcestruzzo	(9+10)-VI-6	4.938
Trave 135: Nodi[5,15] Tipo:Calcestruzzo	(9+10)-VIII-1	4.588
Trave 134: Nodi[3,13] Tipo:Calcestruzzo	(9+10)-VIII-1	4.232
Plinto 11: Nodo 11 Tipo:Calcestruzzo	1	4.228
Trave 8000: Nodi[1,11] Tipo:Calcestruzzo	7	4.198
Trave 136: Nodi[8,18] Tipo:Calcestruzzo	(9+10)-VI-3	4.169
Plinto 1: Nodo 1 Tipo:Calcestruzzo	1	4.028
Trave 133: Nodi[13,15] Tipo:Calcestruzzo	(9+10)-V-2	3.735
Plinto 19: Nodo 19 Tipo:Calcestruzzo	1	3.728
Plinto 17: Nodo 18 Tipo:Calcestruzzo	1	3.698
Trave 133: Nodi[15,18] Tipo:Calcestruzzo	(9+10)-V-6	3.622
Plinto 9: Nodo 9 Tipo:Calcestruzzo	1	3.609
Trave 133: Nodi[11,13] Tipo:Calcestruzzo	(9+10)-V-2	3.6
Trave 133: Nodi[18,19] Tipo:Calcestruzzo	(9+10)-V-7	3.594
Plinto 13: Nodo 13 Tipo:Calcestruzzo	1	3.574
Plinto 15: Nodo 15 Tipo:Calcestruzzo	1	3.557
Plinto 7: Nodo 8 Tipo:Calcestruzzo	1	3.011
Plinto 3: Nodo 3 Tipo:Calcestruzzo	1	2.96
Plinto 5: Nodo 5 Tipo:Calcestruzzo	1	2.94
Minimi		2.94

Coefficienti di sicurezza filtrati per minimo Globale taglio aste cls

Nome	Combinazione	Cs
Pilastro 152: Nodi[8,7] Tipo:Calcestruzzo	1	37.56
Pilastro 153: Nodi[5,6] Tipo:Calcestruzzo	1	36.31
Pilastro 149: Nodi[3,4] Tipo:Calcestruzzo	1	36.29
Pilastro 156: Nodi[18,17] Tipo:Calcestruzzo	5	34.56
Pilastro 150: Nodi[13,14] Tipo:Calcestruzzo	5	33.42
Pilastro 148: Nodi[15,16] Tipo:Calcestruzzo	5	33.21
Pilastro 147: Nodi[1,2] Tipo:Calcestruzzo	(9+10)-VIII-5	32.92
Pilastro 155: Nodi[11,12] Tipo:Calcestruzzo	5	31.36
Pilastro 154: Nodi[9,10] Tipo:Calcestruzzo	(9+10)-II-5	28.4
Pilastro 151: Nodi[19,20] Tipo:Calcestruzzo	(9+10)-VI-6	27.38
Trave 131: Nodi[3,5] Tipo:Calcestruzzo	1	21.95
Trave 131: Nodi[5,8] Tipo:Calcestruzzo	7	21.61
Trave 8000: Nodi[1,11] Tipo:Calcestruzzo	(9+10)-IV-3	20.08

APPALTATORE: D'AGOSTINO ANGELO ANTONIO COSTRUZIONI GENERALI s.r.l.	RIASSETTO NODO DI BARI					
PROGETTISTA: Mandataria: Mandante: RPA srl Technital SpA HUB Engineering Scarl	TRATTA A SUD DI BARI – VARIANTE DI TRACCIATO TRA BARI CENTRALE E BARI TORRE A MARE					
PROGETTO ESECUTIVO: Relazione di calcolo pensilina di ingresso	PROGETTO	LOTTO	CODIFICA	DOCUMENTO	REV.	FOGLIO
	IA3S	01	E ZZ CL	FV020C 001	C	93 DI 107

Nome	Combinazione	Cs
Trave 133: Nodi[13,15] Tipo:Calcestruzzo	(9+10)-V-2	19.27
Trave 133: Nodi[15,18] Tipo:Calcestruzzo	(9+10)-V-2	19.03
Trave 131: Nodi[8,9] Tipo:Calcestruzzo	(9+10)-I-8	18.8
Trave 131: Nodi[1,3] Tipo:Calcestruzzo	8	18.31
Trave 133: Nodi[11,13] Tipo:Calcestruzzo	8	18.27
Trave 133: Nodi[18,19] Tipo:Calcestruzzo	(9+10)-V-7	18.19
Trave 132: Nodi[9,19] Tipo:Calcestruzzo	(9+10)-VI-3	18.11
Trave 135: Nodi[5,15] Tipo:Calcestruzzo	8	13.56
Trave 134: Nodi[3,13] Tipo:Calcestruzzo	(9+10)-VIII-1	13.47
Trave 136: Nodi[8,18] Tipo:Calcestruzzo	(9+10)-VI-7	13.37
Minimi	1	13.37

Coefficienti di sicurezza Globale Travi HE260B

Nome	Combinazione	Cs
Trave 1: Nodi[1113,1114] Tipo:Acciaio	7	5.828
Trave 2: Nodi[1160,1161] Tipo:Acciaio	7	5.484
Trave 2: Nodi[1017,1152] Tipo:Acciaio	1	4.612
Trave 2: Nodi[1116,1011] Tipo:Acciaio	1	4.411
Trave 2: Nodi[1134,1017] Tipo:Acciaio	7	4.156
Trave 2: Nodi[1011,1120] Tipo:Acciaio	1	4.121
Trave 2: Nodi[1155,1157] Tipo:Acciaio	7	4.101
Trave 1: Nodi[1007,1106] Tipo:Acciaio	1	4.073
Trave 1: Nodi[1051,1001] Tipo:Acciaio	7	4.067
Trave 2: Nodi[1152,1155] Tipo:Acciaio	7	4.026
Trave 1: Nodi[1103,1007] Tipo:Acciaio	1	4.003
Trave 2: Nodi[1124,1013] Tipo:Acciaio	1	3.926
Trave 2: Nodi[1129,1015] Tipo:Acciaio	1	3.918
Trave 2: Nodi[1013,1127] Tipo:Acciaio	1	3.845
Trave 1: Nodi[1106,1107] Tipo:Acciaio	7	3.842
Trave 1: Nodi[1107,1110] Tipo:Acciaio	7	3.8
Trave 1: Nodi[1001,1052] Tipo:Acciaio	1	3.795
Trave 2: Nodi[1015,1131] Tipo:Acciaio	1	3.782
Trave 1: Nodi[1054,1003] Tipo:Acciaio	1	3.562
Trave 1: Nodi[1058,1005] Tipo:Acciaio	1	3.539
Trave 2: Nodi[1122,1124] Tipo:Acciaio	7	3.508
Trave 2: Nodi[1120,1122] Tipo:Acciaio	7	3.491
Trave 1: Nodi[1003,1055] Tipo:Acciaio	1	3.45
Trave 2: Nodi[1128,1129] Tipo:Acciaio	7	3.399
Trave 1: Nodi[1005,1099] Tipo:Acciaio	1	3.379
Trave 2: Nodi[1127,1128] Tipo:Acciaio	7	3.368
Trave 1: Nodi[1052,1053] Tipo:Acciaio	7	3.34
Trave 2: Nodi[1132,1134] Tipo:Acciaio	7	3.316
Trave 1: Nodi[1053,1054] Tipo:Acciaio	7	3.291
Trave 2: Nodi[1131,1132] Tipo:Acciaio	7	3.275
Trave 1: Nodi[1055,1056] Tipo:Acciaio	7	3.251
Trave 1: Nodi[1056,1058] Tipo:Acciaio	7	3.203
Trave 1: Nodi[1099,1101] Tipo:Acciaio	7	3.164
Trave 1: Nodi[1101,1103] Tipo:Acciaio	7	3.126
Trave 2: Nodi[1157,1019] Tipo:Acciaio	1	2.605
Trave 1: Nodi[1110,1009] Tipo:Acciaio	1	2.427
Trave 2: Nodi[1019,1160] Tipo:Acciaio	1	2.185
Trave 1: Nodi[1009,1113] Tipo:Acciaio	1	2.021
Minimi		2.021

Coefficienti di sicurezza Globale Travi HE220B

APPALTATORE: D'AGOSTINO ANGELO ANTONIO COSTRUZIONI GENERALI s.r.l.	RIASSETTO NODO DI BARI					
PROGETTISTA: Mandataria: Mandante: RPA srl Technital SpA HUB Engineering Scarl						
PROGETTO ESECUTIVO: Relazione di calcolo pensilina di ingresso	PROGETTO	LOTTO	CODIFICA	DOCUMENTO	REV.	FOGLIO
	IA3S	01	E ZZ CL	FV020C 001	C	94 DI 107

Nome	Combinazione	Cs
Trave 11: Nodi[1168,1167] Tipo:Acciaio		8 16.19
Trave 20: Nodi[1184,1183] Tipo:Acciaio		7 16.02
Trave 21: Nodi[1176,1175] Tipo:Acciaio		7 15.88
Trave 19: Nodi[1192,1191] Tipo:Acciaio		7 15.6
Trave 11: Nodi[1016,1021] Tipo:Acciaio		7 15.2
Trave 20: Nodi[1041,1042] Tipo:Acciaio		7 14.7
Trave 21: Nodi[1031,1034] Tipo:Acciaio		7 14.63
Trave 19: Nodi[1046,1068] Tipo:Acciaio		7 14.24
Trave 16: Nodi[1051,1186] Tipo:Acciaio		7 12.59
Trave 22: Nodi[1198,1054] Tipo:Acciaio		7 12.54
Trave 17: Nodi[1052,1190] Tipo:Acciaio		7 12.54
Trave 12: Nodi[1170,1047] Tipo:Acciaio		7 12.46
Trave 10: Nodi[1166,1046] Tipo:Acciaio		8 12.41
Trave 18: Nodi[1194,1053] Tipo:Acciaio		7 12.39
Trave 14: Nodi[1178,1049] Tipo:Acciaio		7 12.14
Trave 13: Nodi[1174,1048] Tipo:Acciaio		7 12.14
Trave 15: Nodi[1182,1050] Tipo:Acciaio		7 12.11
Trave 22: Nodi[1031,1075] Tipo:Acciaio		7 11.63
Trave 12: Nodi[1024,1026] Tipo:Acciaio		7 11.56
Trave 16: Nodi[1028,1063] Tipo:Acciaio		7 11.5
Trave 17: Nodi[1029,1067] Tipo:Acciaio		7 11.4
Trave 10: Nodi[1023,1019] Tipo:Acciaio		7 11.24
Trave 13: Nodi[1025,1030] Tipo:Acciaio		7 11.22
Trave 18: Nodi[1030,1070] Tipo:Acciaio		7 11.2
Trave 14: Nodi[1026,1036] Tipo:Acciaio		7 11.17
Trave 15: Nodi[1027,1040] Tipo:Acciaio		7 11.08
Trave 11: Nodi[1121,1168] Tipo:Acciaio		7 8.346
Trave 10: Nodi[1119,1166] Tipo:Acciaio		7 8.329
Trave 22: Nodi[1159,1198] Tipo:Acciaio		7 8.208
Trave 20: Nodi[1149,1184] Tipo:Acciaio		7 8.12
Trave 17: Nodi[1153,1052] Tipo:Acciaio		7 7.983
Trave 6: Nodi[1044,1065] Tipo:Acciaio		7 7.968
Trave 13: Nodi[1126,1174] Tipo:Acciaio		7 7.968
Trave 21: Nodi[1145,1176] Tipo:Acciaio		7 7.958
Trave 4: Nodi[1023,1028] Tipo:Acciaio		7 7.931
Trave 15: Nodi[1148,1182] Tipo:Acciaio		7 7.915
Trave 19: Nodi[1154,1192] Tipo:Acciaio		7 7.858
Trave 12: Nodi[1123,1170] Tipo:Acciaio		1 7.781
Trave 16: Nodi[1150,1051] Tipo:Acciaio		7 7.76
Trave 5: Nodi[1037,1038] Tipo:Acciaio		7 7.662
Trave 11: Nodi[1021,1025] Tipo:Acciaio		7 7.645
Trave 7: Nodi[1048,1072] Tipo:Acciaio		7 7.469
Trave 14: Nodi[1146,1178] Tipo:Acciaio		7 7.467
Trave 20: Nodi[1042,1061] Tipo:Acciaio		7 7.457
Trave 18: Nodi[1156,1194] Tipo:Acciaio		7 7.348
Trave 10: Nodi[1019,1033] Tipo:Acciaio		7 7.337
Trave 22: Nodi[1075,1037] Tipo:Acciaio		7 7.33
Trave 21: Nodi[1034,1035] Tipo:Acciaio		7 7.319
Trave 19: Nodi[1068,1069] Tipo:Acciaio		7 7.196
Trave 17: Nodi[1067,1036] Tipo:Acciaio		7 7.174
Trave 13: Nodi[1030,1034] Tipo:Acciaio		7 7.174
Trave 5: Nodi[1097,1096] Tipo:Acciaio		8 7.149
Trave 3: Nodi[1022,1014] Tipo:Acciaio		7 7.117
Trave 15: Nodi[1040,1035] Tipo:Acciaio		7 7.104
Trave 7: Nodi[1111,1140] Tipo:Acciaio		8 7.097

APPALTATORE: D'AGOSTINO ANGELO ANTONIO COSTRUZIONI GENERALI s.r.l.	RIASSETTO NODO DI BARI					
PROGETTISTA: Mandataria: Mandante: RPA srl Technital SpA HUB Engineering Scarl	TRATTA A SUD DI BARI – VARIANTE DI TRACCIATO TRA BARI CENTRALE E BARI TORRE A MARE					
PROGETTO ESECUTIVO: Relazione di calcolo pensilina di ingresso	PROGETTO	LOTTO	CODIFICA	DOCUMENTO	REV.	FOGLIO
	IA3S	01	E ZZ CL	FV020C 001	C	95 DI 107

Nome	Combinazione	Cs
Trave 4: Nodi[1089,1088] Tipo:Acciaio		8 7.063
Trave 12: Nodi[1026,1027] Tipo:Acciaio		7 7.001
Trave 16: Nodi[1063,1062] Tipo:Acciaio		7 6.96
Trave 6: Nodi[1104,1136] Tipo:Acciaio		8 6.862
Trave 6: Nodi[1187,1188] Tipo:Acciaio		7 6.842
Trave 4: Nodi[1172,1171] Tipo:Acciaio		7 6.784
Trave 3: Nodi[1081,1080] Tipo:Acciaio		8 6.739
Trave 14: Nodi[1036,1057] Tipo:Acciaio		7 6.7
Trave 5: Nodi[1180,1179] Tipo:Acciaio		7 6.616
Trave 18: Nodi[1070,1071] Tipo:Acciaio		7 6.534
Trave 7: Nodi[1196,1195] Tipo:Acciaio		7 6.51
Trave 3: Nodi[1045,1164] Tipo:Acciaio		7 6.423
Trave 11: Nodi[1084,1085] Tipo:Acciaio		1 5.759
Trave 20: Nodi[1100,1133] Tipo:Acciaio		1 5.669
Trave 3: Nodi[1080,1011] Tipo:Acciaio	(9+10)-IV-7	5.6
Trave 10: Nodi[1083,1039] Tipo:Acciaio		1 5.581
Trave 6: Nodi[1136,1017] Tipo:Acciaio		8 5.568
Trave 5: Nodi[1096,1015] Tipo:Acciaio		8 5.555
Trave 21: Nodi[1092,1093] Tipo:Acciaio		1 5.495
Trave 19: Nodi[1108,1138] Tipo:Acciaio		1 5.474
Trave 22: Nodi[1112,1043] Tipo:Acciaio		7 5.405
Trave 17: Nodi[1105,1042] Tipo:Acciaio		1 5.385
Trave 4: Nodi[1088,1013] Tipo:Acciaio		8 5.381
Trave 16: Nodi[1102,1135] Tipo:Acciaio		1 5.342
Trave 15: Nodi[1098,1041] Tipo:Acciaio		1 5.298
Trave 7: Nodi[1140,1019] Tipo:Acciaio	(9+10)-II-5	5.26
Trave 13: Nodi[1091,1040] Tipo:Acciaio		1 5.248
Trave 12: Nodi[1087,1086] Tipo:Acciaio		1 5.247
Trave 14: Nodi[1095,1094] Tipo:Acciaio		1 5.101
Trave 18: Nodi[1109,1139] Tipo:Acciaio		1 4.984
Trave 6: Nodi[1007,1104] Tipo:Acciaio		7 4.573
Trave 4: Nodi[1003,1089] Tipo:Acciaio		7 4.455
Trave 5: Nodi[1005,1097] Tipo:Acciaio		7 4.364
Trave 16: Nodi[1134,1150] Tipo:Acciaio		1 4.311
Trave 3: Nodi[1001,1081] Tipo:Acciaio		7 4.294
Trave 12: Nodi[1124,1123] Tipo:Acciaio		1 4.266
Trave 11: Nodi[1085,1122] Tipo:Acciaio		1 4.253
Trave 7: Nodi[1009,1111] Tipo:Acciaio		7 4.239
Trave 16: Nodi[1135,1134] Tipo:Acciaio		1 4.238
Trave 11: Nodi[1122,1121] Tipo:Acciaio		1 4.231
Trave 20: Nodi[1133,1132] Tipo:Acciaio		1 4.199
Trave 19: Nodi[1138,1155] Tipo:Acciaio		1 4.197
Trave 12: Nodi[1086,1124] Tipo:Acciaio		1 4.152
Trave 14: Nodi[1129,1146] Tipo:Acciaio		1 4.145
Trave 20: Nodi[1132,1149] Tipo:Acciaio		1 4.14
Trave 17: Nodi[1042,1152] Tipo:Acciaio		1 4.131
Trave 19: Nodi[1155,1154] Tipo:Acciaio		1 4.125
Trave 10: Nodi[1039,1120] Tipo:Acciaio		1 4.115
Trave 21: Nodi[1093,1128] Tipo:Acciaio		1 4.094
Trave 11: Nodi[1053,1084] Tipo:Acciaio		1 4.09
Trave 16: Nodi[1062,1103] Tipo:Acciaio		1 4.078
Trave 10: Nodi[1120,1119] Tipo:Acciaio		1 4.074
Trave 18: Nodi[1157,1156] Tipo:Acciaio		1 4.057
Trave 14: Nodi[1094,1129] Tipo:Acciaio		1 4.055
Trave 21: Nodi[1128,1145] Tipo:Acciaio		1 4.052

APPALTATORE: D'AGOSTINO ANGELO ANTONIO COSTRUZIONI GENERALI s.r.l.	RIASSETTO NODO DI BARI					
PROGETTISTA: Mandataria: Mandante: RPA srl Technital SpA HUB Engineering Scarl	TRATTA A SUD DI BARI – VARIANTE DI TRACCIATO TRA BARI CENTRALE E BARI TORRE A MARE					
PROGETTO ESECUTIVO: Relazione di calcolo pensilina di ingresso	PROGETTO	LOTTO	CODIFICA	DOCUMENTO	REV.	FOGLIO
	IA3S	01	E ZZ CL	FV020C 001	C	96 DI 107

Nome	Combinazione	Cs
Trave 11: Nodi[1025,1053] Tipo:Acciaio	1	4.051
Trave 12: Nodi[1027,1054] Tipo:Acciaio	1	4.033
Trave 20: Nodi[1101,1100] Tipo:Acciaio	1	4.028
Trave 19: Nodi[1107,1108] Tipo:Acciaio	1	4.014
Trave 16: Nodi[1103,1102] Tipo:Acciaio	1	4.011
Trave 17: Nodi[1152,1153] Tipo:Acciaio	1	4.01
Trave 18: Nodi[1139,1157] Tipo:Acciaio	1	4.006
Trave 20: Nodi[1061,1101] Tipo:Acciaio	1	3.976
Trave 15: Nodi[1041,1131] Tipo:Acciaio	1	3.974
Trave 19: Nodi[1069,1107] Tipo:Acciaio	1	3.963
Trave 12: Nodi[1054,1087] Tipo:Acciaio	1	3.956
Trave 13: Nodi[1040,1127] Tipo:Acciaio	1	3.948
Trave 21: Nodi[1056,1092] Tipo:Acciaio	1	3.946
Trave 6: Nodi[1065,1064] Tipo:Acciaio	1	3.928
Trave 14: Nodi[1057,1058] Tipo:Acciaio	1	3.914
Trave 17: Nodi[1106,1105] Tipo:Acciaio	1	3.906
Trave 21: Nodi[1035,1056] Tipo:Acciaio	1	3.893
Trave 15: Nodi[1131,1148] Tipo:Acciaio	1	3.872
Trave 13: Nodi[1127,1126] Tipo:Acciaio	1	3.866
Trave 10: Nodi[1052,1083] Tipo:Acciaio	1	3.859
Trave 14: Nodi[1058,1095] Tipo:Acciaio	1	3.85
Trave 3: Nodi[1014,1018] Tipo:Acciaio	7	3.842
Trave 18: Nodi[1071,1110] Tipo:Acciaio	1	3.824
Trave 10: Nodi[1033,1052] Tipo:Acciaio	1	3.82
Trave 17: Nodi[1036,1106] Tipo:Acciaio	1	3.817
Trave 4: Nodi[1028,1029] Tipo:Acciaio	1	3.81
Trave 5: Nodi[1038,1059] Tipo:Acciaio	1	3.773
Trave 18: Nodi[1110,1109] Tipo:Acciaio	1	3.769
Trave 22: Nodi[1160,1159] Tipo:Acciaio	1	3.765
Trave 15: Nodi[1099,1098] Tipo:Acciaio	1	3.761
Trave 13: Nodi[1055,1091] Tipo:Acciaio	1	3.76
Trave 22: Nodi[1043,1160] Tipo:Acciaio	1	3.69
Trave 13: Nodi[1034,1055] Tipo:Acciaio	1	3.678
Trave 15: Nodi[1035,1099] Tipo:Acciaio	1	3.677
Trave 22: Nodi[1113,1112] Tipo:Acciaio	1	3.623
Trave 7: Nodi[1072,1073] Tipo:Acciaio	1	3.602
Trave 6: Nodi[1151,1187] Tipo:Acciaio	7	3.471
Trave 22: Nodi[1037,1113] Tipo:Acciaio	1	3.438
Trave 3: Nodi[1118,1045] Tipo:Acciaio	7	3.428
Trave 4: Nodi[1125,1172] Tipo:Acciaio	7	3.411
Trave 5: Nodi[1147,1180] Tipo:Acciaio	7	3.331
Trave 7: Nodi[1158,1196] Tipo:Acciaio	7	3.226
Trave 6: Nodi[1064,1007] Tipo:Acciaio	1	2.271
Trave 4: Nodi[1029,1003] Tipo:Acciaio	1	2.185
Trave 3: Nodi[1018,1001] Tipo:Acciaio	1	2.18
Trave 5: Nodi[1059,1005] Tipo:Acciaio	1	2.159
Trave 6: Nodi[1017,1151] Tipo:Acciaio	1	2.09
Trave 7: Nodi[1073,1009] Tipo:Acciaio	1	2.033
Trave 4: Nodi[1013,1125] Tipo:Acciaio	1	2.017
Trave 5: Nodi[1015,1147] Tipo:Acciaio	1	1.998
Trave 3: Nodi[1011,1118] Tipo:Acciaio	1	1.997
Trave 7: Nodi[1019,1158] Tipo:Acciaio	1	1.887
Minimi		1.887

Coefficienti di sicurezza Globale Travi IPE100

APPALTATORE: D'AGOSTINO ANGELO ANTONIO COSTRUZIONI GENERALI s.r.l.	RIASSETTO NODO DI BARI					
PROGETTISTA: Mandataria: Mandante: RPA srl Technital SpA HUB Engineering Scarl						
PROGETTO ESECUTIVO: Relazione di calcolo pensilina di ingresso	PROGETTO	LOTTO	CODIFICA	DOCUMENTO	REV.	FOGLIO
	IA3S	01	E ZZ CL	FV020C 001	C	97 DI 107

Nome	Combinazione	Cs
Trave 27: Nodi[1159,1162] Tipo:Acciaio	1	4.815
Trave 28: Nodi[1198,1200] Tipo:Acciaio	1	4.795
Trave 23: Nodi[1075,1076] Tipo:Acciaio	1	4.785
Trave 24: Nodi[1037,1077] Tipo:Acciaio	1	4.743
Trave 24: Nodi[1027,1029] Tipo:Acciaio	1	4.714
Trave 27: Nodi[1149,1150] Tipo:Acciaio	1	4.707
Trave 23: Nodi[1038,1040] Tipo:Acciaio	1	4.685
Trave 27: Nodi[1123,1125] Tipo:Acciaio	1	4.681
Trave 28: Nodi[1182,1184] Tipo:Acciaio	1	4.679
Trave 28: Nodi[1178,1180] Tipo:Acciaio	1	4.678
Trave 23: Nodi[1034,1036] Tipo:Acciaio	1	4.678
Trave 24: Nodi[1035,1061] Tipo:Acciaio	1	4.677
Trave 28: Nodi[1172,1174] Tipo:Acciaio	1	4.676
Trave 27: Nodi[1148,1149] Tipo:Acciaio	1	4.675
Trave 28: Nodi[1176,1178] Tipo:Acciaio	1	4.674
Trave 27: Nodi[1145,1146] Tipo:Acciaio	1	4.672
Trave 24: Nodi[1061,1062] Tipo:Acciaio	1	4.67
Trave 23: Nodi[1042,1063] Tipo:Acciaio	1	4.668
Trave 23: Nodi[1063,1065] Tipo:Acciaio	1	4.667
Trave 27: Nodi[1125,1126] Tipo:Acciaio	1	4.666
Trave 23: Nodi[1028,1030] Tipo:Acciaio	1	4.661
Trave 23: Nodi[1040,1042] Tipo:Acciaio	1	4.658
Trave 24: Nodi[1057,1059] Tipo:Acciaio	1	4.656
Trave 24: Nodi[1029,1034] Tipo:Acciaio	1	4.654
Trave 28: Nodi[1180,1182] Tipo:Acciaio	1	4.647
Trave 28: Nodi[1051,1187] Tipo:Acciaio	1	4.646
Trave 23: Nodi[1036,1038] Tipo:Acciaio	1	4.639
Trave 23: Nodi[1072,1075] Tipo:Acciaio	1	4.637
Trave 24: Nodi[1034,1035] Tipo:Acciaio	1	4.627
Trave 28: Nodi[1184,1051] Tipo:Acciaio	1	4.626
Trave 28: Nodi[1170,1172] Tipo:Acciaio	1	4.625
Trave 23: Nodi[1021,1026] Tipo:Acciaio	1	4.625
Trave 28: Nodi[1174,1176] Tipo:Acciaio	1	4.624
Trave 24: Nodi[1018,1033] Tipo:Acciaio	1	4.623
Trave 27: Nodi[1126,1145] Tipo:Acciaio	1	4.621
Trave 24: Nodi[1035,1057] Tipo:Acciaio	1	4.62
Trave 27: Nodi[1118,1119] Tipo:Acciaio	1	4.618
Trave 28: Nodi[1168,1170] Tipo:Acciaio	1	4.617
Trave 27: Nodi[1146,1147] Tipo:Acciaio	1	4.609
Trave 28: Nodi[1045,1166] Tipo:Acciaio	1	4.608
Trave 23: Nodi[1030,1034] Tipo:Acciaio	1	4.604
Trave 28: Nodi[1196,1198] Tipo:Acciaio	1	4.604
Trave 27: Nodi[1147,1148] Tipo:Acciaio	1	4.604
Trave 23: Nodi[1067,1068] Tipo:Acciaio	1	4.598
Trave 23: Nodi[1014,1019] Tipo:Acciaio	1	4.597
Trave 24: Nodi[1059,1035] Tipo:Acciaio	1	4.595
Trave 23: Nodi[1026,1028] Tipo:Acciaio	1	4.588
Trave 24: Nodi[1062,1064] Tipo:Acciaio	1	4.587
Trave 27: Nodi[1121,1123] Tipo:Acciaio	1	4.581
Trave 28: Nodi[1052,1192] Tipo:Acciaio	1	4.581
Trave 23: Nodi[1065,1067] Tipo:Acciaio	1	4.579
Trave 28: Nodi[1166,1168] Tipo:Acciaio	1	4.566
Trave 24: Nodi[1036,1069] Tipo:Acciaio	1	4.557
Trave 23: Nodi[1070,1072] Tipo:Acciaio	1	4.554
Trave 23: Nodi[1019,1021] Tipo:Acciaio	1	4.551

APPALTATORE: D'AGOSTINO ANGELO ANTONIO COSTRUZIONI GENERALI s.r.l.	RIASSETTO NODO DI BARI					
PROGETTISTA: Mandataria: Mandante: RPA srl Technital SpA HUB Engineering Scarl	TRATTA A SUD DI BARI – VARIANTE DI TRACCIATO TRA BARI CENTRALE E BARI TORRE A MARE					
PROGETTO ESECUTIVO: Relazione di calcolo pensilina di ingresso	PROGETTO	LOTTO	CODIFICA	DOCUMENTO	REV.	FOGLIO
	IA3S	01	E ZZ CL	FV020C 001	C	98 DI 107

Nome	Combinazione	Cs
Trave 27: Nodi[1150,1151] Tipo:Acciaio		1 4.55
Trave 28: Nodi[1194,1196] Tipo:Acciaio		1 4.548
Trave 28: Nodi[1187,1052] Tipo:Acciaio		1 4.541
Trave 27: Nodi[1153,1154] Tipo:Acciaio		1 4.54
Trave 24: Nodi[1025,1027] Tipo:Acciaio		1 4.54
Trave 24: Nodi[1033,1025] Tipo:Acciaio		1 4.534
Trave 23: Nodi[1068,1070] Tipo:Acciaio		1 4.526
Trave 27: Nodi[1119,1121] Tipo:Acciaio		1 4.519
Trave 27: Nodi[1151,1153] Tipo:Acciaio		1 4.504
Trave 24: Nodi[1064,1036] Tipo:Acciaio		1 4.497
Trave 28: Nodi[1192,1194] Tipo:Acciaio		1 4.494
Trave 27: Nodi[1154,1156] Tipo:Acciaio		1 4.481
Trave 27: Nodi[1158,1159] Tipo:Acciaio		1 4.469
Trave 24: Nodi[1069,1071] Tipo:Acciaio		1 4.456
Trave 24: Nodi[1073,1037] Tipo:Acciaio		1 4.448
Trave 25: Nodi[1112,1115] Tipo:Acciaio		1 4.398
Trave 24: Nodi[1071,1073] Tipo:Acciaio		1 4.37
Trave 26: Nodi[1043,1142] Tipo:Acciaio		1 4.348
Trave 27: Nodi[1156,1158] Tipo:Acciaio		1 4.33
Trave 25: Nodi[1092,1095] Tipo:Acciaio		1 4.295
Trave 26: Nodi[1086,1088] Tipo:Acciaio		1 4.295
Trave 25: Nodi[1098,1100] Tipo:Acciaio		1 4.289
Trave 26: Nodi[1093,1094] Tipo:Acciaio		1 4.288
Trave 25: Nodi[1087,1089] Tipo:Acciaio		1 4.286
Trave 25: Nodi[1091,1092] Tipo:Acciaio		1 4.282
Trave 25: Nodi[1100,1102] Tipo:Acciaio		1 4.282
Trave 26: Nodi[1040,1093] Tipo:Acciaio		1 4.279
Trave 26: Nodi[1088,1040] Tipo:Acciaio		1 4.275
Trave 26: Nodi[1041,1133] Tipo:Acciaio		1 4.271
Trave 25: Nodi[1089,1091] Tipo:Acciaio		1 4.268
Trave 26: Nodi[1133,1135] Tipo:Acciaio		1 4.26
Trave 26: Nodi[1080,1039] Tipo:Acciaio		1 4.246
Trave 26: Nodi[1094,1096] Tipo:Acciaio		1 4.236
Trave 25: Nodi[1081,1083] Tipo:Acciaio		1 4.23
Trave 26: Nodi[1096,1041] Tipo:Acciaio		1 4.226
Trave 25: Nodi[1095,1097] Tipo:Acciaio		1 4.225
Trave 25: Nodi[1084,1087] Tipo:Acciaio		1 4.222
Trave 26: Nodi[1085,1086] Tipo:Acciaio		1 4.219
Trave 25: Nodi[1097,1098] Tipo:Acciaio		1 4.217
Trave 25: Nodi[1083,1084] Tipo:Acciaio		1 4.198
Trave 26: Nodi[1039,1085] Tipo:Acciaio		1 4.195
Trave 26: Nodi[1135,1136] Tipo:Acciaio		1 4.186
Trave 25: Nodi[1102,1104] Tipo:Acciaio		1 4.18
Trave 26: Nodi[1140,1043] Tipo:Acciaio		1 4.17
Trave 25: Nodi[1105,1108] Tipo:Acciaio		1 4.161
Trave 25: Nodi[1111,1112] Tipo:Acciaio		1 4.153
Trave 26: Nodi[1136,1042] Tipo:Acciaio		1 4.148
Trave 26: Nodi[1042,1138] Tipo:Acciaio		1 4.146
Trave 25: Nodi[1104,1105] Tipo:Acciaio		1 4.143
Trave 25: Nodi[1108,1109] Tipo:Acciaio		1 4.114
Trave 26: Nodi[1138,1139] Tipo:Acciaio		1 4.102
Trave 26: Nodi[1139,1140] Tipo:Acciaio		1 4.039
Trave 25: Nodi[1109,1111] Tipo:Acciaio		1 4.018
Trave 27: Nodi[1117,1118] Tipo:Acciaio		1 3.073
Trave 24: Nodi[1032,1018] Tipo:Acciaio		1 3.061

APPALTATORE: D'AGOSTINO ANGELO ANTONIO COSTRUZIONI GENERALI s.r.l.	RIASSETTO NODO DI BARI					
PROGETTISTA: Mandataria: Mandante: RPA srl Technital SpA HUB Engineering Scarl	TRATTA A SUD DI BARI – VARIANTE DI TRACCIATO TRA BARI CENTRALE E BARI TORRE A MARE					
PROGETTO ESECUTIVO: Relazione di calcolo pensilina di ingresso	PROGETTO	LOTTO	CODIFICA	DOCUMENTO	REV.	FOGLIO
	IA3S	01	E ZZ CL	FV020C 001	C	99 DI 107

Nome	Combinazione	Cs
Trave 23: Nodij[1021,1014] Tipo:Acciaio		1 3.051
Trave 28: Nodij[1044,1045] Tipo:Acciaio		1 3.033
Trave 25: Nodij[1079,1081] Tipo:Acciaio		1 2.787
Trave 26: Nodij[1038,1080] Tipo:Acciaio		1 2.772
Minimi		2.772

Coefficienti di sicurezza filtrati per minimo SLE Travi HE260B

Nome	Combinazione	Cs
Trave 1: Nodij[1110,1009] Tipo:Acciaio		13 17.07
Trave 1: Nodij[1107,1110] Tipo:Acciaio		13 17.07
Trave 1: Nodij[1106,1107] Tipo:Acciaio		13 17.07
Trave 1: Nodij[1007,1106] Tipo:Acciaio		13 17.07
Trave 2: Nodij[1152,1155] Tipo:Acciaio		13 12.74
Trave 2: Nodij[1157,1019] Tipo:Acciaio		13 12.74
Trave 2: Nodij[1017,1152] Tipo:Acciaio		13 12.74
Trave 2: Nodij[1155,1157] Tipo:Acciaio		13 12.74
Trave 2: Nodij[1129,1015] Tipo:Acciaio		13 8.442
Trave 2: Nodij[1127,1128] Tipo:Acciaio		13 8.442
Trave 2: Nodij[1013,1127] Tipo:Acciaio		13 8.442
Trave 2: Nodij[1128,1129] Tipo:Acciaio		13 8.442
Trave 2: Nodij[1011,1120] Tipo:Acciaio		13 8.163
Trave 2: Nodij[1122,1124] Tipo:Acciaio		13 8.163
Trave 2: Nodij[1120,1122] Tipo:Acciaio		13 8.163
Trave 2: Nodij[1124,1013] Tipo:Acciaio		13 8.163
Trave 1: Nodij[1003,1055] Tipo:Acciaio		13 7.974
Trave 1: Nodij[1056,1058] Tipo:Acciaio		13 7.974
Trave 1: Nodij[1055,1056] Tipo:Acciaio		13 7.974
Trave 1: Nodij[1058,1005] Tipo:Acciaio		13 7.974
Trave 1: Nodij[1054,1003] Tipo:Acciaio		13 7.652
Trave 1: Nodij[1053,1054] Tipo:Acciaio		13 7.652
Trave 1: Nodij[1052,1053] Tipo:Acciaio		13 7.652
Trave 1: Nodij[1001,1052] Tipo:Acciaio		13 7.652
Trave 2: Nodij[1134,1017] Tipo:Acciaio		13 7.489
Trave 2: Nodij[1132,1134] Tipo:Acciaio		13 7.489
Trave 2: Nodij[1131,1132] Tipo:Acciaio		13 7.489
Trave 2: Nodij[1015,1131] Tipo:Acciaio		13 7.489
Trave 1: Nodij[1103,1007] Tipo:Acciaio		13 7.108
Trave 1: Nodij[1005,1099] Tipo:Acciaio		13 7.108
Trave 1: Nodij[1101,1103] Tipo:Acciaio		13 7.108
Trave 1: Nodij[1099,1101] Tipo:Acciaio		13 7.108
Trave 2: Nodij[1116,1011] Tipo:Acciaio		13 6.629
Trave 1: Nodij[1051,1001] Tipo:Acciaio		17 6.08
Trave 2: Nodij[1019,1160] Tipo:Acciaio		13 2.55
Trave 2: Nodij[1160,1161] Tipo:Acciaio		13 2.55
Trave 1: Nodij[1009,1113] Tipo:Acciaio		13 2.482
Trave 1: Nodij[1113,1114] Tipo:Acciaio		13 2.482
Minimi		2.482

Coefficienti di sicurezza filtrati per minimo SLE Travi HE220B

Nome	Combinazione	Cs
Trave 3: Nodij[1001,1081] Tipo:Acciaio		13 11.29
Trave 3: Nodij[1080,1011] Tipo:Acciaio		13 11.29
Trave 3: Nodij[1081,1080] Tipo:Acciaio		13 11.29
Trave 6: Nodij[1136,1017] Tipo:Acciaio		13 10.87
Trave 6: Nodij[1104,1136] Tipo:Acciaio		13 10.87

APPALTATORE: D'AGOSTINO ANGELO ANTONIO COSTRUZIONI GENERALI s.r.l.	RIASSETTO NODO DI BARI					
PROGETTISTA: Mandataria: Mandante: RPA srl Technital SpA HUB Engineering Scarl						
PROGETTO ESECUTIVO: Relazione di calcolo pensilina di ingresso	PROGETTO	LOTTO	CODIFICA	DOCUMENTO	REV.	FOGLIO
	IA3S	01	E ZZ CL	FV020C 001	C	100 DI 107

Nome	Combinazione	Cs
Trave 6: Nodi[1007,1104] Tipo:Acciaio	13	10.87
Trave 4: Nodi[1089,1088] Tipo:Acciaio	13	10.51
Trave 4: Nodi[1088,1013] Tipo:Acciaio	13	10.51
Trave 4: Nodi[1003,1089] Tipo:Acciaio	13	10.51
Trave 7: Nodi[1111,1140] Tipo:Acciaio	13	10.42
Trave 7: Nodi[1009,1111] Tipo:Acciaio	13	10.42
Trave 7: Nodi[1140,1019] Tipo:Acciaio	13	10.42
Trave 5: Nodi[1096,1015] Tipo:Acciaio	13	10.3
Trave 5: Nodi[1005,1097] Tipo:Acciaio	13	10.3
Trave 5: Nodi[1097,1096] Tipo:Acciaio	13	10.3
Trave 6: Nodi[1065,1064] Tipo:Acciaio	13	2.166
Trave 6: Nodi[1064,1007] Tipo:Acciaio	13	2.166
Trave 6: Nodi[1044,1065] Tipo:Acciaio	13	2.166
Trave 4: Nodi[1029,1003] Tipo:Acciaio	13	2.101
Trave 4: Nodi[1028,1029] Tipo:Acciaio	13	2.101
Trave 4: Nodi[1023,1028] Tipo:Acciaio	13	2.101
Trave 3: Nodi[1014,1018] Tipo:Acciaio	13	2.08
Trave 3: Nodi[1022,1014] Tipo:Acciaio	13	2.08
Trave 3: Nodi[1018,1001] Tipo:Acciaio	13	2.08
Trave 5: Nodi[1037,1038] Tipo:Acciaio	13	2.071
Trave 5: Nodi[1038,1059] Tipo:Acciaio	13	2.071
Trave 5: Nodi[1059,1005] Tipo:Acciaio	13	2.071
Trave 11: Nodi[1053,1084] Tipo:Acciaio	13	2.002
Trave 11: Nodi[1121,1168] Tipo:Acciaio	13	2.002
Trave 11: Nodi[1021,1025] Tipo:Acciaio	13	2.002
Trave 11: Nodi[1084,1085] Tipo:Acciaio	13	2.002
Trave 11: Nodi[1168,1167] Tipo:Acciaio	13	2.002
Trave 11: Nodi[1122,1121] Tipo:Acciaio	13	2.002
Trave 11: Nodi[1016,1021] Tipo:Acciaio	13	2.002
Trave 11: Nodi[1025,1053] Tipo:Acciaio	13	2.002
Trave 11: Nodi[1085,1122] Tipo:Acciaio	13	2.002
Trave 7: Nodi[1073,1009] Tipo:Acciaio	13	1.98
Trave 7: Nodi[1072,1073] Tipo:Acciaio	13	1.98
Trave 7: Nodi[1048,1072] Tipo:Acciaio	13	1.98
Trave 20: Nodi[1133,1132] Tipo:Acciaio	13	1.973
Trave 20: Nodi[1042,1061] Tipo:Acciaio	13	1.973
Trave 20: Nodi[1100,1133] Tipo:Acciaio	13	1.973
Trave 20: Nodi[1149,1184] Tipo:Acciaio	13	1.973
Trave 20: Nodi[1061,1101] Tipo:Acciaio	13	1.973
Trave 20: Nodi[1184,1183] Tipo:Acciaio	13	1.973
Trave 20: Nodi[1101,1100] Tipo:Acciaio	13	1.973
Trave 20: Nodi[1132,1149] Tipo:Acciaio	13	1.973
Trave 20: Nodi[1041,1042] Tipo:Acciaio	13	1.973
Trave 6: Nodi[1151,1187] Tipo:Acciaio	13	1.947
Trave 6: Nodi[1187,1188] Tipo:Acciaio	13	1.947
Trave 6: Nodi[1017,1151] Tipo:Acciaio	13	1.947
Trave 19: Nodi[1107,1108] Tipo:Acciaio	13	1.944
Trave 19: Nodi[1046,1068] Tipo:Acciaio	13	1.944
Trave 19: Nodi[1154,1192] Tipo:Acciaio	13	1.944
Trave 19: Nodi[1192,1191] Tipo:Acciaio	13	1.944
Trave 19: Nodi[1069,1107] Tipo:Acciaio	13	1.944
Trave 19: Nodi[1155,1154] Tipo:Acciaio	13	1.944
Trave 19: Nodi[1108,1138] Tipo:Acciaio	13	1.944
Trave 19: Nodi[1138,1155] Tipo:Acciaio	13	1.944
Trave 19: Nodi[1068,1069] Tipo:Acciaio	13	1.944

APPALTATORE: D'AGOSTINO ANGELO ANTONIO COSTRUZIONI GENERALI s.r.l.	RIASSETTO NODO DI BARI					
PROGETTISTA: Mandataria: Mandante: RPA srl Technital SpA HUB Engineering Scarl						
PROGETTO ESECUTIVO: Relazione di calcolo pensilina di ingresso	PROGETTO	LOTTO	CODIFICA	DOCUMENTO	REV.	FOGLIO
	IA3S	01	E ZZ CL	FV020C 001	C	101 DI 107

Nome	Combinazione	Cs
Trave 21: Nodi[1031,1034] Tipo:Acciaio	13	1.93
Trave 21: Nodi[1093,1128] Tipo:Acciaio	13	1.93
Trave 21: Nodi[1128,1145] Tipo:Acciaio	13	1.93
Trave 21: Nodi[1056,1092] Tipo:Acciaio	13	1.93
Trave 21: Nodi[1145,1176] Tipo:Acciaio	13	1.93
Trave 21: Nodi[1176,1175] Tipo:Acciaio	13	1.93
Trave 21: Nodi[1034,1035] Tipo:Acciaio	13	1.93
Trave 21: Nodi[1035,1056] Tipo:Acciaio	13	1.93
Trave 21: Nodi[1092,1093] Tipo:Acciaio	13	1.93
Trave 10: Nodi[1033,1052] Tipo:Acciaio	13	1.924
Trave 10: Nodi[1023,1019] Tipo:Acciaio	13	1.924
Trave 10: Nodi[1052,1083] Tipo:Acciaio	13	1.924
Trave 10: Nodi[1120,1119] Tipo:Acciaio	13	1.924
Trave 10: Nodi[1039,1120] Tipo:Acciaio	13	1.924
Trave 10: Nodi[1083,1039] Tipo:Acciaio	13	1.924
Trave 10: Nodi[1166,1046] Tipo:Acciaio	13	1.924
Trave 10: Nodi[1119,1166] Tipo:Acciaio	13	1.924
Trave 10: Nodi[1019,1033] Tipo:Acciaio	13	1.924
Trave 16: Nodi[1028,1063] Tipo:Acciaio	13	1.924
Trave 16: Nodi[1102,1135] Tipo:Acciaio	13	1.924
Trave 16: Nodi[1150,1051] Tipo:Acciaio	13	1.924
Trave 16: Nodi[1135,1134] Tipo:Acciaio	13	1.924
Trave 16: Nodi[1134,1150] Tipo:Acciaio	13	1.924
Trave 16: Nodi[1051,1186] Tipo:Acciaio	13	1.924
Trave 16: Nodi[1062,1103] Tipo:Acciaio	13	1.924
Trave 16: Nodi[1063,1062] Tipo:Acciaio	13	1.924
Trave 16: Nodi[1103,1102] Tipo:Acciaio	13	1.924
Trave 17: Nodi[1153,1052] Tipo:Acciaio	13	1.911
Trave 17: Nodi[1036,1106] Tipo:Acciaio	13	1.911
Trave 17: Nodi[1067,1036] Tipo:Acciaio	13	1.911
Trave 17: Nodi[1106,1105] Tipo:Acciaio	13	1.911
Trave 17: Nodi[1152,1153] Tipo:Acciaio	13	1.911
Trave 17: Nodi[1105,1042] Tipo:Acciaio	13	1.911
Trave 17: Nodi[1052,1190] Tipo:Acciaio	13	1.911
Trave 17: Nodi[1042,1152] Tipo:Acciaio	13	1.911
Trave 17: Nodi[1029,1067] Tipo:Acciaio	13	1.911
Trave 3: Nodi[1011,1118] Tipo:Acciaio	13	1.908
Trave 3: Nodi[1118,1045] Tipo:Acciaio	13	1.908
Trave 3: Nodi[1045,1164] Tipo:Acciaio	13	1.908
Trave 12: Nodi[1024,1026] Tipo:Acciaio	13	1.901
Trave 12: Nodi[1123,1170] Tipo:Acciaio	13	1.901
Trave 12: Nodi[1027,1054] Tipo:Acciaio	13	1.901
Trave 12: Nodi[1170,1047] Tipo:Acciaio	13	1.901
Trave 12: Nodi[1054,1087] Tipo:Acciaio	13	1.901
Trave 12: Nodi[1026,1027] Tipo:Acciaio	13	1.901
Trave 12: Nodi[1124,1123] Tipo:Acciaio	13	1.901
Trave 12: Nodi[1086,1124] Tipo:Acciaio	13	1.901
Trave 12: Nodi[1087,1086] Tipo:Acciaio	13	1.901
Trave 4: Nodi[1172,1171] Tipo:Acciaio	13	1.894
Trave 4: Nodi[1013,1125] Tipo:Acciaio	13	1.894
Trave 4: Nodi[1125,1172] Tipo:Acciaio	13	1.894
Trave 22: Nodi[1043,1160] Tipo:Acciaio	13	1.879
Trave 22: Nodi[1198,1054] Tipo:Acciaio	13	1.879
Trave 22: Nodi[1159,1198] Tipo:Acciaio	13	1.879
Trave 22: Nodi[1113,1112] Tipo:Acciaio	13	1.879

APPALTATORE: D'AGOSTINO ANGELO ANTONIO COSTRUZIONI GENERALI s.r.l.	RIASSETTO NODO DI BARI					
PROGETTISTA: Mandataria: Mandante: RPA srl Technital SpA HUB Engineering Scarl	TRATTA A SUD DI BARI – VARIANTE DI TRACCIATO TRA BARI CENTRALE E BARI TORRE A MARE					
PROGETTO ESECUTIVO: Relazione di calcolo pensilina di ingresso	PROGETTO	LOTTO	CODIFICA	DOCUMENTO	REV.	FOGLIO
	IA3S	01	E ZZ CL	FV020C 001	C	102 DI 107

Nome	Combinazione	Cs
Trave 22: Nodi[1031,1075] Tipo:Acciaio	13	1.879
Trave 22: Nodi[1112,1043] Tipo:Acciaio	13	1.879
Trave 22: Nodi[1160,1159] Tipo:Acciaio	13	1.879
Trave 22: Nodi[1037,1113] Tipo:Acciaio	13	1.879
Trave 22: Nodi[1075,1037] Tipo:Acciaio	13	1.879
Trave 5: Nodi[1015,1147] Tipo:Acciaio	13	1.87
Trave 5: Nodi[1147,1180] Tipo:Acciaio	13	1.87
Trave 5: Nodi[1180,1179] Tipo:Acciaio	13	1.87
Trave 15: Nodi[1041,1131] Tipo:Acciaio	13	1.863
Trave 15: Nodi[1182,1050] Tipo:Acciaio	13	1.863
Trave 15: Nodi[1131,1148] Tipo:Acciaio	13	1.863
Trave 15: Nodi[1099,1098] Tipo:Acciaio	13	1.863
Trave 15: Nodi[1027,1040] Tipo:Acciaio	13	1.863
Trave 15: Nodi[1040,1035] Tipo:Acciaio	13	1.863
Trave 15: Nodi[1035,1099] Tipo:Acciaio	13	1.863
Trave 15: Nodi[1098,1041] Tipo:Acciaio	13	1.863
Trave 15: Nodi[1148,1182] Tipo:Acciaio	13	1.863
Trave 13: Nodi[1025,1030] Tipo:Acciaio	13	1.861
Trave 13: Nodi[1091,1040] Tipo:Acciaio	13	1.861
Trave 13: Nodi[1034,1055] Tipo:Acciaio	13	1.861
Trave 13: Nodi[1174,1048] Tipo:Acciaio	13	1.861
Trave 13: Nodi[1126,1174] Tipo:Acciaio	13	1.861
Trave 13: Nodi[1030,1034] Tipo:Acciaio	13	1.861
Trave 13: Nodi[1040,1127] Tipo:Acciaio	13	1.861
Trave 13: Nodi[1127,1126] Tipo:Acciaio	13	1.861
Trave 13: Nodi[1055,1091] Tipo:Acciaio	13	1.861
Trave 14: Nodi[1178,1049] Tipo:Acciaio	13	1.85
Trave 14: Nodi[1057,1058] Tipo:Acciaio	13	1.85
Trave 14: Nodi[1026,1036] Tipo:Acciaio	13	1.85
Trave 14: Nodi[1036,1057] Tipo:Acciaio	13	1.85
Trave 14: Nodi[1058,1095] Tipo:Acciaio	13	1.85
Trave 14: Nodi[1129,1146] Tipo:Acciaio	13	1.85
Trave 14: Nodi[1146,1178] Tipo:Acciaio	13	1.85
Trave 14: Nodi[1094,1129] Tipo:Acciaio	13	1.85
Trave 14: Nodi[1095,1094] Tipo:Acciaio	13	1.85
Trave 18: Nodi[1194,1053] Tipo:Acciaio	13	1.822
Trave 18: Nodi[1156,1194] Tipo:Acciaio	13	1.822
Trave 18: Nodi[1070,1071] Tipo:Acciaio	13	1.822
Trave 18: Nodi[1109,1139] Tipo:Acciaio	13	1.822
Trave 18: Nodi[1030,1070] Tipo:Acciaio	13	1.822
Trave 18: Nodi[1110,1109] Tipo:Acciaio	13	1.822
Trave 18: Nodi[1157,1156] Tipo:Acciaio	13	1.822
Trave 18: Nodi[1139,1157] Tipo:Acciaio	13	1.822
Trave 18: Nodi[1071,1110] Tipo:Acciaio	13	1.822
Trave 7: Nodi[1019,1158] Tipo:Acciaio	13	1.804
Trave 7: Nodi[1196,1195] Tipo:Acciaio	13	1.804
Trave 7: Nodi[1158,1196] Tipo:Acciaio	13	1.804
Minimi		1.804

Coefficienti di sicurezza filtrati per minimo SLE Travi IPE100

Nome	Combinazione	Cs
Trave 27: Nodi[1158,1159] Tipo:Acciaio	18	8.259
Trave 23: Nodi[1075,1076] Tipo:Acciaio	18	8.259
Trave 23: Nodi[1072,1075] Tipo:Acciaio	18	8.259
Trave 27: Nodi[1159,1162] Tipo:Acciaio	18	8.259

APPALTATORE: D'AGOSTINO ANGELO ANTONIO COSTRUZIONI GENERALI s.r.l.	RIASSETTO NODO DI BARI					
PROGETTISTA: Mandataria: Mandante: RPA srl Technital SpA HUB Engineering Scarl						
PROGETTO ESECUTIVO: Relazione di calcolo pensilina di ingresso	PROGETTO	LOTTO	CODIFICA	DOCUMENTO	REV.	FOGLIO
	IA3S	01	E ZZ CL	FV020C 001	C	103 DI 107

Nome	Combinazione	Cs
Trave 24: Nodi[1073,1037] Tipo:Acciaio	18	8.258
Trave 28: Nodi[1198,1200] Tipo:Acciaio	18	8.258
Trave 28: Nodi[1196,1198] Tipo:Acciaio	18	8.258
Trave 24: Nodi[1037,1077] Tipo:Acciaio	18	8.258
Trave 23: Nodi[1070,1072] Tipo:Acciaio	18	8.105
Trave 23: Nodi[1067,1068] Tipo:Acciaio	18	8.105
Trave 23: Nodi[1068,1070] Tipo:Acciaio	18	8.105
Trave 23: Nodi[1065,1067] Tipo:Acciaio	18	8.105
Trave 27: Nodi[1156,1158] Tipo:Acciaio	18	8.105
Trave 27: Nodi[1154,1156] Tipo:Acciaio	18	8.105
Trave 27: Nodi[1151,1153] Tipo:Acciaio	18	8.105
Trave 27: Nodi[1153,1154] Tipo:Acciaio	18	8.105
Trave 23: Nodi[1014,1019] Tipo:Acciaio	18	8.105
Trave 23: Nodi[1030,1034] Tipo:Acciaio	18	8.105
Trave 23: Nodi[1028,1030] Tipo:Acciaio	18	8.105
Trave 23: Nodi[1036,1038] Tipo:Acciaio	18	8.105
Trave 23: Nodi[1021,1026] Tipo:Acciaio	18	8.105
Trave 23: Nodi[1026,1028] Tipo:Acciaio	18	8.105
Trave 23: Nodi[1019,1021] Tipo:Acciaio	18	8.105
Trave 23: Nodi[1034,1036] Tipo:Acciaio	18	8.105
Trave 27: Nodi[1125,1126] Tipo:Acciaio	18	8.105
Trave 27: Nodi[1123,1125] Tipo:Acciaio	18	8.105
Trave 27: Nodi[1145,1146] Tipo:Acciaio	18	8.105
Trave 27: Nodi[1119,1121] Tipo:Acciaio	18	8.105
Trave 27: Nodi[1146,1147] Tipo:Acciaio	18	8.105
Trave 27: Nodi[1118,1119] Tipo:Acciaio	18	8.105
Trave 27: Nodi[1121,1123] Tipo:Acciaio	18	8.105
Trave 27: Nodi[1126,1145] Tipo:Acciaio	18	8.105
Trave 27: Nodi[1147,1148] Tipo:Acciaio	18	8.105
Trave 27: Nodi[1148,1149] Tipo:Acciaio	18	8.105
Trave 27: Nodi[1149,1150] Tipo:Acciaio	18	8.105
Trave 27: Nodi[1150,1151] Tipo:Acciaio	18	8.105
Trave 23: Nodi[1063,1065] Tipo:Acciaio	18	8.105
Trave 23: Nodi[1038,1040] Tipo:Acciaio	18	8.105
Trave 23: Nodi[1040,1042] Tipo:Acciaio	18	8.105
Trave 23: Nodi[1042,1063] Tipo:Acciaio	18	8.105
Trave 28: Nodi[1192,1194] Tipo:Acciaio	18	8.103
Trave 28: Nodi[1187,1052] Tipo:Acciaio	18	8.103
Trave 28: Nodi[1194,1196] Tipo:Acciaio	18	8.103
Trave 28: Nodi[1052,1192] Tipo:Acciaio	18	8.103
Trave 24: Nodi[1071,1073] Tipo:Acciaio	18	8.103
Trave 24: Nodi[1036,1069] Tipo:Acciaio	18	8.103
Trave 24: Nodi[1064,1036] Tipo:Acciaio	18	8.103
Trave 24: Nodi[1069,1071] Tipo:Acciaio	18	8.103
Trave 24: Nodi[1034,1035] Tipo:Acciaio	18	8.103
Trave 24: Nodi[1057,1059] Tipo:Acciaio	18	8.103
Trave 24: Nodi[1025,1027] Tipo:Acciaio	18	8.103
Trave 24: Nodi[1033,1025] Tipo:Acciaio	18	8.103
Trave 24: Nodi[1018,1033] Tipo:Acciaio	18	8.103
Trave 24: Nodi[1035,1057] Tipo:Acciaio	18	8.103
Trave 24: Nodi[1027,1029] Tipo:Acciaio	18	8.103
Trave 24: Nodi[1029,1034] Tipo:Acciaio	18	8.103
Trave 28: Nodi[1172,1174] Tipo:Acciaio	18	8.103
Trave 28: Nodi[1176,1178] Tipo:Acciaio	18	8.103
Trave 28: Nodi[1178,1180] Tipo:Acciaio	18	8.103

APPALTATORE: D'AGOSTINO ANGELO ANTONIO COSTRUZIONI GENERALI s.r.l.	RIASSETTO NODO DI BARI					
PROGETTISTA: Mandataria: Mandante: RPA srl Technital SpA HUB Engineering Scarl						
PROGETTO ESECUTIVO: Relazione di calcolo pensilina di ingresso	PROGETTO	LOTTO	CODIFICA	DOCUMENTO	REV.	FOGLIO
	IA3S	01	E ZZ CL	FV020C 001	C	104 DI 107

Nome	Combinazione	Cs
Trave 28: Nodi[1166,1168] Tipo:Acciaio	18	8.103
Trave 28: Nodi[1174,1176] Tipo:Acciaio	18	8.103
Trave 28: Nodi[1168,1170] Tipo:Acciaio	18	8.103
Trave 28: Nodi[1170,1172] Tipo:Acciaio	18	8.103
Trave 28: Nodi[1045,1166] Tipo:Acciaio	18	8.103
Trave 24: Nodi[1059,1035] Tipo:Acciaio	18	8.103
Trave 24: Nodi[1062,1064] Tipo:Acciaio	18	8.103
Trave 24: Nodi[1061,1062] Tipo:Acciaio	18	8.103
Trave 24: Nodi[1035,1061] Tipo:Acciaio	18	8.103
Trave 28: Nodi[1184,1051] Tipo:Acciaio	18	8.103
Trave 28: Nodi[1182,1184] Tipo:Acciaio	18	8.103
Trave 28: Nodi[1180,1182] Tipo:Acciaio	18	8.103
Trave 28: Nodi[1051,1187] Tipo:Acciaio	18	8.103
Trave 25: Nodi[1111,1112] Tipo:Acciaio	18	8.093
Trave 25: Nodi[1112,1115] Tipo:Acciaio	18	8.093
Trave 26: Nodi[1140,1043] Tipo:Acciaio	18	8.092
Trave 26: Nodi[1043,1142] Tipo:Acciaio	18	8.092
Trave 25: Nodi[1109,1111] Tipo:Acciaio	18	7.938
Trave 25: Nodi[1097,1098] Tipo:Acciaio	18	7.938
Trave 25: Nodi[1095,1097] Tipo:Acciaio	18	7.938
Trave 25: Nodi[1083,1084] Tipo:Acciaio	18	7.938
Trave 25: Nodi[1098,1100] Tipo:Acciaio	18	7.938
Trave 25: Nodi[1087,1089] Tipo:Acciaio	18	7.938
Trave 25: Nodi[1081,1083] Tipo:Acciaio	18	7.938
Trave 25: Nodi[1102,1104] Tipo:Acciaio	18	7.938
Trave 25: Nodi[1089,1091] Tipo:Acciaio	18	7.938
Trave 25: Nodi[1092,1095] Tipo:Acciaio	18	7.938
Trave 25: Nodi[1100,1102] Tipo:Acciaio	18	7.938
Trave 25: Nodi[1084,1087] Tipo:Acciaio	18	7.938
Trave 25: Nodi[1091,1092] Tipo:Acciaio	18	7.938
Trave 25: Nodi[1104,1105] Tipo:Acciaio	18	7.938
Trave 25: Nodi[1105,1108] Tipo:Acciaio	18	7.938
Trave 25: Nodi[1108,1109] Tipo:Acciaio	18	7.938
Trave 26: Nodi[1139,1140] Tipo:Acciaio	18	7.937
Trave 26: Nodi[1096,1041] Tipo:Acciaio	18	7.937
Trave 26: Nodi[1094,1096] Tipo:Acciaio	18	7.937
Trave 26: Nodi[1040,1093] Tipo:Acciaio	18	7.937
Trave 26: Nodi[1133,1135] Tipo:Acciaio	18	7.937
Trave 26: Nodi[1039,1085] Tipo:Acciaio	18	7.937
Trave 26: Nodi[1135,1136] Tipo:Acciaio	18	7.937
Trave 26: Nodi[1041,1133] Tipo:Acciaio	18	7.937
Trave 26: Nodi[1088,1040] Tipo:Acciaio	18	7.937
Trave 26: Nodi[1080,1039] Tipo:Acciaio	18	7.937
Trave 26: Nodi[1093,1094] Tipo:Acciaio	18	7.937
Trave 26: Nodi[1136,1042] Tipo:Acciaio	18	7.937
Trave 26: Nodi[1086,1088] Tipo:Acciaio	18	7.937
Trave 26: Nodi[1085,1086] Tipo:Acciaio	18	7.937
Trave 26: Nodi[1042,1138] Tipo:Acciaio	18	7.937
Trave 26: Nodi[1138,1139] Tipo:Acciaio	18	7.937
Trave 23: Nodi[1021,1014] Tipo:Acciaio	13	4.503
Trave 27: Nodi[1117,1118] Tipo:Acciaio	13	4.503
Trave 24: Nodi[1032,1018] Tipo:Acciaio	13	4.499
Trave 28: Nodi[1044,1045] Tipo:Acciaio	13	4.499
Trave 25: Nodi[1079,1081] Tipo:Acciaio	13	3.89
Trave 26: Nodi[1038,1080] Tipo:Acciaio	13	3.887

APPALTATORE: D'AGOSTINO ANGELO ANTONIO COSTRUZIONI GENERALI s.r.l.	RIASSETTO NODO DI BARI					
PROGETTISTA: Mandataria: Mandante: RPA srl Technital SpA HUB Engineering Scarl						
PROGETTO ESECUTIVO: Relazione di calcolo pensilina di ingresso	PROGETTO	LOTTO	CODIFICA	DOCUMENTO	REV.	FOGLIO
	IA3S	01	E ZZ CL	FV020C 001	C	105 DI 107

Nome	Combinazione	Cs
Minimi		3.887

Coefficienti di sicurezza filtrati per minimo Tensioni SLE elementi in cls

Nome	Combinazione	Cs
Winkler 129: Nodi[47,49] Tipo:Calcestruzzo	32	51.42
Winkler 129: Nodi[45,47] Tipo:Calcestruzzo	32	50.91
Winkler 129: Nodi[49,51] Tipo:Calcestruzzo	32	46.31
Winkler 129: Nodi[51,53] Tipo:Calcestruzzo	32	45.83
Pilastro 150: Nodi[13,14] Tipo:Calcestruzzo	32	17.44
Pilastro 148: Nodi[15,16] Tipo:Calcestruzzo	32	17.3
Pilastro 156: Nodi[18,17] Tipo:Calcestruzzo	32	16.81
Plinto 11: Nodo 11 Tipo:Calcestruzzo	21	13.84
Plinto 1: Nodo 1 Tipo:Calcestruzzo	20	13.63
Winkler 131: Nodi[5,8] Tipo:Calcestruzzo	30	13.25
Plinto 7: Nodo 8 Tipo:Calcestruzzo	20	12.59
Plinto 19: Nodo 19 Tipo:Calcestruzzo	21	12.46
Plinto 3: Nodo 3 Tipo:Calcestruzzo	20	12.38
Plinto 5: Nodo 5 Tipo:Calcestruzzo	20	12.26
Plinto 9: Nodo 9 Tipo:Calcestruzzo	20	12.24
Winkler 131: Nodi[3,5] Tipo:Calcestruzzo	30	11.56
Winkler 131: Nodi[8,9] Tipo:Calcestruzzo	30	10.99
Winkler 130: Nodi[11,45] Tipo:Calcestruzzo	32	10.26
Plinto 17: Nodo 18 Tipo:Calcestruzzo	21	10.11
Plinto 13: Nodo 13 Tipo:Calcestruzzo	21	9.788
Plinto 15: Nodo 15 Tipo:Calcestruzzo	21	9.718
Winkler 131: Nodi[1,3] Tipo:Calcestruzzo	30	8.67
Pilastro 155: Nodi[11,12] Tipo:Calcestruzzo	30	7.927
Winkler 132: Nodi[19,53] Tipo:Calcestruzzo	21	7.675
Trave 136: Nodi[18,51] Tipo:Calcestruzzo	32	6.916
Trave 134: Nodi[13,47] Tipo:Calcestruzzo	32	6.734
Pilastro 151: Nodi[19,20] Tipo:Calcestruzzo	30	6.687
Trave 135: Nodi[15,49] Tipo:Calcestruzzo	32	6.685
Pilastro 153: Nodi[5,6] Tipo:Calcestruzzo	30	6.659
Pilastro 152: Nodi[8,7] Tipo:Calcestruzzo	30	6.657
Pilastro 149: Nodi[3,4] Tipo:Calcestruzzo	30	6.58
Trave 133: Nodi[13,15] Tipo:Calcestruzzo	32	5.032
Trave 133: Nodi[15,18] Tipo:Calcestruzzo	27	4.981
Winkler 130: Nodi[1,11] Tipo:Calcestruzzo	30	4.595
Trave 133: Nodi[18,19] Tipo:Calcestruzzo	30	4.547
Trave 133: Nodi[11,13] Tipo:Calcestruzzo	21	4.39
Trave 136: Nodi[8,18] Tipo:Calcestruzzo	30	4.314
Trave 134: Nodi[3,13] Tipo:Calcestruzzo	30	4.169
Trave 135: Nodi[5,15] Tipo:Calcestruzzo	30	4.127
Pilastro 147: Nodi[1,2] Tipo:Calcestruzzo	30	4.07
Winkler 132: Nodi[9,19] Tipo:Calcestruzzo	30	3.643
Pilastro 154: Nodi[9,10] Tipo:Calcestruzzo	30	3.03
Minimi		3.03

Coefficienti di sicurezza filtrati per minimo Fessure

Nome	Combinazione	Cs
Pilastro 148: Nodi[15,16] Tipo:Calcestruzzo	23	1e+10
Pilastro 150: Nodi[13,14] Tipo:Calcestruzzo	20	67140
Pilastro 156: Nodi[18,17] Tipo:Calcestruzzo	20	15860
Pilastro 151: Nodi[19,20] Tipo:Calcestruzzo	20	1848
Pilastro 155: Nodi[11,12] Tipo:Calcestruzzo	20	849.6
Pilastro 153: Nodi[5,6] Tipo:Calcestruzzo	22	159.8
Pilastro 149: Nodi[3,4] Tipo:Calcestruzzo	22	145.3
Pilastro 152: Nodi[8,7] Tipo:Calcestruzzo	22	125.1
Pilastro 154: Nodi[9,10] Tipo:Calcestruzzo	22	91.08

APPALTATORE: D'AGOSTINO ANGELO ANTONIO COSTRUZIONI GENERALI s.r.l.	RIASSETTO NODO DI BARI					
PROGETTISTA: Mandataria: Mandante: RPA srl Technital SpA HUB Engineering Scarl						
PROGETTO ESECUTIVO: Relazione di calcolo pensilina di ingresso	PROGETTO	LOTTO	CODIFICA	DOCUMENTO	REV.	FOGLIO
	IA3S	01	E ZZ CL	FV020C 001	C	106 DI 107

Nome	Combinazione	Cs
Pilastro 147: Nodi[1,2] Tipo:Calcestruzzo	22	66.67
Plinto 11: Nodo 11 Tipo:Calcestruzzo	23	42.5
Plinto 1: Nodo 1 Tipo:Calcestruzzo	23	38.56
Plinto 17: Nodo 18 Tipo:Calcestruzzo	23	38.44
Plinto 19: Nodo 19 Tipo:Calcestruzzo	23	38.25
Plinto 15: Nodo 15 Tipo:Calcestruzzo	23	37.96
Plinto 13: Nodo 13 Tipo:Calcestruzzo	23	37.59
Plinto 9: Nodo 9 Tipo:Calcestruzzo	23	36
Plinto 7: Nodo 8 Tipo:Calcestruzzo	23	31.61
Plinto 5: Nodo 5 Tipo:Calcestruzzo	23	31.61
Plinto 3: Nodo 3 Tipo:Calcestruzzo	23	31.3
Trave 134: Nodi[3,13] Tipo:Calcestruzzo	22	19.82
Trave 135: Nodi[5,15] Tipo:Calcestruzzo	23	19.63
Trave 136: Nodi[8,18] Tipo:Calcestruzzo	22	19.31
Trave 132: Nodi[9,19] Tipo:Calcestruzzo	23	17.9
Trave 8000: Nodi[1,11] Tipo:Calcestruzzo	23	10.25
Trave 131: Nodi[1,3] Tipo:Calcestruzzo	23	8.846
Trave 133: Nodi[13,15] Tipo:Calcestruzzo	23	8.172
Trave 131: Nodi[8,9] Tipo:Calcestruzzo	23	8.074
Trave 133: Nodi[15,18] Tipo:Calcestruzzo	23	7.812
Trave 133: Nodi[18,19] Tipo:Calcestruzzo	23	7.711
Trave 133: Nodi[11,13] Tipo:Calcestruzzo	23	7.692
Trave 131: Nodi[3,5] Tipo:Calcestruzzo	23	7.681
Trave 131: Nodi[5,8] Tipo:Calcestruzzo	23	7.674
Minimi		7.674

APPALTATORE: D'AGOSTINO ANGELO ANTONIO COSTRUZIONI GENERALI s.r.l.	RIASSETTO NODO DI BARI					
PROGETTISTA: <u>Mandataria:</u> <u>Mandante:</u> RPA srl Technital SpA HUB Engineering Scarl	TRATTA A SUD DI BARI – VARIANTE DI TRACCIATO TRA BARI CENTRALE E BARI TORRE A MARE					
PROGETTO ESECUTIVO: Relazione di calcolo pensilina di ingresso	PROGETTO IA3S	LOTTO 01	CODIFICA E ZZ CL	DOCUMENTO FV020C 001	REV. C	FOGLIO 107 DI 107

10.ALLEGATO FASCICOLO DEI CALCOLI

In allegato si riporta il fascicolo dei calcoli completo della struttura oggetto di analisi.

FASCICOLO DEI CALCOLI

DIMOSTRAZIONE NUMERICA DELLA SICUREZZA DELL'OPERA E DEL
RAGGIUNGIMENTO DELLE PRESTAZIONI ATTESE

Pensilina in acciaio di ingresso

Sommario

1.	Modellazione	3
2.	Affidabilità dei codici utilizzati	3
3.	Presentazione dei risultati	4
4.	Tabulati di input	6
	Dati generali	6
	Impalcati.....	6
	Percentuali Spostamento masse impalcati	6
	Combinazioni del Sisma in X e Y e Verticale	7
	Nodi - Geometria e vincoli	7
	Nodi - Carichi	10
	Input - Aste - Tabella sezioni tipo	11
	Aste - Geometria e vincoli	11
	Aste - Carichi.....	19
	Tabella solai tipo	59
	Plinti - Geometria e vincoli.....	59
5.	Tabulati di verifica	60
	Centri di rigidezza e Centri di massa	60
	Risultati Analisi Dinamica - Baricentri masse e masse	60
	Taglianti di piano	61
	Verifica Degli Spostamenti Relativi SLD	66
	Verifica Degli Spostamenti Relativi SLO.....	67
	Periodi di vibrazione e Masse modali	67
6.	Verifiche stato limite ultimo	70
	Verifica delle travi di fondazione	70
	Verifica dei Pilastri.....	77
	Verifica delle travi.....	82
	Verifica Plinti	87
	Verifica Stabilità aste Metalliche	92
	Verifica Resistenza aste Metalliche	134
7.	Verifiche stato limite di esercizio	212
	Verifica delle travi (Stati limite esercizio)	212
	Verifica dei pilastri (Stati limite esercizio).....	221
	Verifica Plinti (Stati limite esercizio).....	227
8.	Verifica spostamenti verticali delle aste in Acciaio secondo NTC 2008	231
	Verifica spostamenti laterali delle colonne in acciaio secondo NTC 2008.....	263

Il Progettista

1. Modellazione

La struttura è costituita da diversi elementi distinti, in base alla loro funzione, in:

- Plinti di fondazione;
- Travi di fondazione collegamento dei plinti;
- Dado di connessione plinto/pilatri in elevazione;
- Pilastri in acciaio (HE260B);
- Travi principali direzione X (HE260B);
- Travi principali direzione Y (HE220B);
- Travi perimetrali (UPN260);
- Travi secondarie / arcarecci (IPE100);
- Controventi di copertura in acciaio (Ø20).

I livelli di sicurezza scelti dal Committente e dal Progettista in funzione del tipo e dell'uso della struttura, nonché in funzione delle conseguenze del danno, con riguardo a persone, beni, e possibile turbativa sociale, compreso il costo delle opere necessarie per la riduzione del rischio di danno o di collasso, hanno indirizzato al progetto di una struttura con i seguenti requisiti:

- sicurezza nei confronti degli Stati Limite Ultimi (SLU);
- sicurezza nei confronti degli Stati Limite di Esercizio (SLE).

La struttura è stata schematizzata attraverso un modello spaziale agli elementi finiti che tenga conto dell'effettivo stato deformativo e di sollecitazione, secondo l'effettiva realizzazione.

I vincoli esterni della struttura sono stati caratterizzati, a seconda della presenza degli elementi di fondazione, con: travi winkler, plinti diretti, plinti su pali, platee, ovvero con vincoli perfetti di incastro, appoggio, carrello, ecc.

I vincoli interni sono stati schematizzati secondo le sollecitazioni mutuamente scambiate tra gli elementi strutturali, inserendo, ove opportuno, il rilascio di alcune caratteristiche della sollecitazione per schematizzare il comportamento di vincoli interni non iperstatici (cerniere, carrelli, ecc.).

Il modello agli elementi finiti è stato calcolato tenendo conto dell'interazione tra strutture in fondazione e strutture in elevazione, consentendo un'accurata distribuzione delle azioni statiche e sismiche; il calcolo è stato eseguito considerando che la struttura abbia un comportamento elastico lineare.

I solai sono schematizzati come aree di carico, sulle quali vengono definiti i carichi permanenti (QP Solai), i carichi fissi (QFissi Solai) e i carichi variabili (QV solai); tali carichi sono assegnati alle aste in modo automatico in relazione all'influenza delle diverse aree di carico. Le masse corrispondenti ai carichi variabili sui solai nelle combinazioni sismiche sono state trattate in maniera automatica mediante un coefficiente moltiplicativo, definito in funzione della tipologia del solaio.

Il modello utilizzato è stato valutato alla luce dei diversi scenari di carico a cui la struttura è sottoposta durante la sua costruzione e la sua vita, al fine di garantire la sicurezza e la durabilità della stessa. Per la tipologia strutturale affrontata non è stato necessario definire scenari di contingenza; pertanto non si è tenuto conto delle fasi costruttive della struttura e, inoltre, si ritiene che non ci siano variazioni del modello di calcolo e degli schemi di vincolo, durante la vita dell'opera. Per il dettaglio degli scenari di calcolo si faccia riferimento alla "Relazione di Calcolo".

Il progetto e la verifica degli elementi strutturali è stato effettuato seguendo la teoria degli Stati limite. I parametri relativi alle verifiche effettuate sono riportati nella Relazione di Calcolo.

Il solutore agli elementi finiti impiegato nell'analisi è SpaceSolver, per il calcolo di strutture piane e spaziali schematizzabili da un insieme di elementi finiti tipo:

- BEAM
- PLATE-SHELL
- WINK
- BOUNDARY

Questi elementi interagiscono tra loro attraverso i nodi, con la possibilità di tenere in conto tutti i possibili disassamenti, mediante l'introduzione di concetti rigidi e traslazioni degli elementi bidimensionali. Il solutore lavora in campo elastico lineare, si basa sulle routines di Matlab ed è stato sviluppato in collaborazione con l'Università di Roma – Tor Vergata. Il solutore offre la possibilità di risolvere anche travi su suolo alla Winkler con molle spalmate sull'intera suola, anziché sul solo asse, plinti diretti e su pali, pali singoli, platee, piastre sottili e spesse, con controllo delle rotazioni attorno all'asse normale alla piastra (drilling). Inoltre, per gli elementi BEAM l'equilibrio è scritto rispetto alla linea dei centri di taglio anziché rispetto alla linea dei baricentri. L'affidabilità del solutore è stata testata su una serie di esempi campioni calcolati con altri procedimenti o con formule note, di cui si rende disponibile la documentazione.

2. Affidabilità dei codici utilizzati

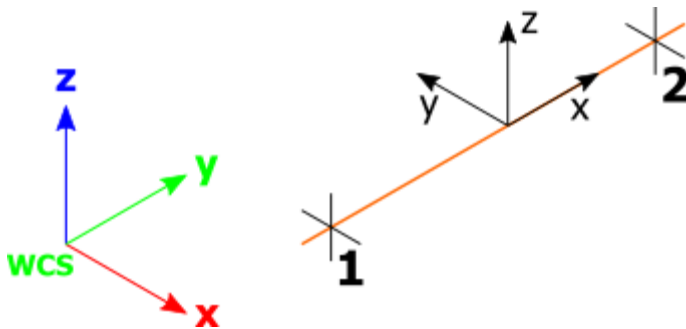
Il programma è dotato di una serie di filtri di auto diagnostica che segnalano i seguenti eventi:

- labilità della struttura;
- assenza di masse;
- nodi collegati ad aste nulle;

- mancanza di terreno sugli elementi in fondazione;
- controllo sull'assegnazione dei nodi all'impalcato;
- correttezza degli spettri di progetto;
- fattori di partecipazione modali;
- assegnazione dei criteri di verifica agli elementi;
- numerazione degli elementi strutturali;
- congruenza delle connessioni tra elementi shell;
- congruenza delle aree di carico;
- definizione delle caratteristiche d'inerzia delle sezioni;
- presenza del magrone sotto la travi tipo wink;
- elementi non verificati per semi progetto allo SLU, con inserimento automatico delle armature secondo i criteri di verifica;
- elementi non verificati allo SLU per armature già inserite nell'elemento strutturale;
- elementi non verificati allo SLE per armature già inserite nell'elemento strutturale.

3. Presentazione dei risultati

I disegni dello schema statico adottato sono riportati nel fascicolo allegato alla presente relazione. E' stato impiegato il Sistema Internazionale per le unità di misura, con riferimento al daN per le forze.



Il sistema di riferimento globale rispetto al quale è stata riferita l'intera struttura è una terna di assi cartesiani sinistrorsa OXYZ (X,Y, e Z sono disposti e orientati rispettivamente secondo il pollice, l'indice ed il medio della mano destra, una volta posizionati questi ultimi a 90° tra loro). La terna di riferimento locale per un'asta è anch'essa una terna sinistrorsa O'xyz che ha l'asse x orientato dal nodo iniziale I dell'asta verso il nodo finale J e gli assi y e z diretti secondo gli assi geometrici della sezione, con l'asse y orizzontale e orientato in modo da portarsi a coincidere con l'asse x a mezzo di una rotazione oraria di 90° e l'asse z di conseguenza.

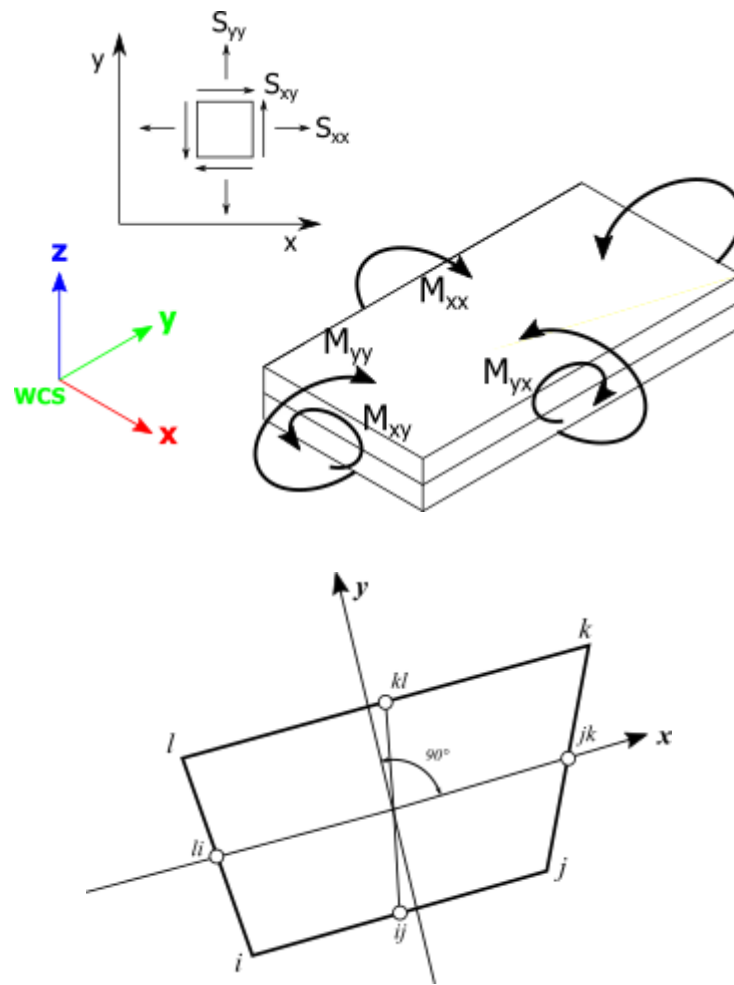
Per un'asta comunque disposta nello spazio la sua terna locale è orientata in modo tale da portarsi a coincidere con la terna globale a mezzo di rotazioni orarie degli assi locali inferiori a 180°.

- Le forze, sia sulle aste che sulle pareti o lastre, sono positive se opposte agli assi locali.
- Le forze nodali sono positive se opposte agli assi globali.
- Le coppie sono positive se sinistrorse.

Le caratteristiche di sollecitazione sono positive se sulla faccia di normale positiva sono rappresentate da vettori equiversi agli assi di riferimento locali; in particolare il vettore momento positivo rappresenta una coppia che ruota come le dita della mano destra che si chiudono quando il pollice è equiverso all'asse locale.

- Le traslazioni sono positive se concordi con gli assi globali.
- Le rotazioni sono positive se sinistrorse.

Il sistema di riferimento locale per gli elementi bidimensionali è quello riportato nelle figure seguenti.



La terna locale per l'elemento shell è costituita dall'asse x locale che va dal nodo li al nodo jk, l'asse y è diretto secondo il piano dell'elemento e orientato verso il nodo i e l'asse z, di conseguenza, è orientato in modo da formare la solita terna sinistrorsa. L'asse z locale rappresenta la normale positiva all'elemento.

Le sollecitazioni dell'elemento sono:

- Sforzi membranali
 - $S_{xx} = \sigma_x$
 - $S_{yy} = \sigma_y$
 - $S_{xy} = \tau_{xy}$
- Sforzi flessionali (momenti)
 - M_{xx} , momento che genera σ_x (intorno ad y)
 - M_{yy} , momento che genera σ_y (intorno a x)
 - M_{xy} , momento torcente che genera τ_{xy}

Le sollecitazioni principali dell'elemento sono:

$$M_{1,2} = \frac{M_{xx} + M_{yy}}{2} \pm \sqrt{\left(\frac{M_{xx} - M_{yy}}{2}\right)^2 + M_{xy}^2}$$

$$S_{1,2} = \frac{S_{xx} + S_{yy}}{2} \pm \sqrt{\left(\frac{S_{xx} - S_{yy}}{2}\right)^2 + S_{xy}^2}$$

$$\tan 2\theta = \frac{M_{xy}}{M_{xx} - M_{yy}} \quad \tan 2\psi = \frac{S_{xy}}{S_{xx} - S_{yy}}$$

dove θ è l'angolo formato dagli assi principali di M_1 e M_2 con quelli di riferimento e ψ è l'angolo formato dagli assi principali di S_1 e S_2 con quelli di riferimento. L'elemento shell usato come piastra fornisce i momenti flettenti e non i tagli in direzione ortogonale all'elemento, che possono ottenersi come derivazione dei momenti flettenti;

$$\tau_{zx} = M_{xx,x} + M_{xy,y}$$

$$\tau_{zy} = M_{xy,y} + M_{yy,y}$$

Quando invece viene usato come lastra ci restituisce valori di σ e τ costanti, non adatti a rappresentare momenti flettenti, ma solo sforzi normali e tagli nel piano della lastra.

I tabulati di calcolo contengono due sezioni principali: la descrizione del modello di calcolo e la presentazione dei risultati. La descrizione del modello di calcolo contiene:

- i dati generali (dimensioni);
- le coordinate nodali;
- i vincoli dei nodi e i vincoli interni delle aste, con le eventuali sconnessioni;
- le caratteristiche sezionali;
- le caratteristiche dei solai;
- le caratteristiche delle aste;
- i carichi sulle aste, sui nodi e sui muri (inclusa la distribuzione delle distorsioni impresse, e delle variazioni e dei gradienti di temperatura);
- configurazione di sistemi che introducono stati coattivi;
- le caratteristiche dei materiali;
- legami costitutivi e criteri di verifica;
- le condizioni di carico.

La stampa dei risultati contiene:

- le combinazioni dei carichi;
- le forze sismiche agenti sulla struttura;
- gli spostamenti d'impalcato, se l'impalcato è rigido;
- gli spostamenti nodali;
- le sollecitazioni sulle membrature per ogni combinazione di carico;
- la sollecitazione sul terreno sotto travi di fondazione o platee;
- deformate;
- diagrammi sollecitazioni.

4. Tabulati di input

Dati generali

Nome struttura	Pensilina in acciaio di ingresso - Executive - Bari
Temperatura di riferimento [°C]	0
Fattore rigidezza assiale pilastri	1
Numero di frequenze	15
% Filtro masse libere	0.1
% Coefficiente di smorzamento viscoso	5
Spostamenti modali con segno	Si
Deformabilità a taglio delle aste	Si
Impalcati deformabili per carichi termici	No
Spostamento ammissibile impalcati	0.0050*h

Impalcati

N°	Quota mm	Rigido mm	Incr.Soll.Pil	Inc.Soll.Par.
0	0	No	1.000	1.000
1	5020	No	1.000	1.000

Percentuali Spostamento masse impalcati

Posizione	% Spostamento direzione X	% Spostamento direzione Y
1	0	-5
2	5	0
3	0	5
4	-5	0

Combinazioni del Sisma in X e Y e Verticale

Comb.	Pos. SismaX	Pos. SismaY	Fx	Fy	Fz
1	1	2	1	0.3	0.3
2	1	2	0.3	1	0.3
3	1	4	1	0.3	0.3
4	1	4	0.3	1	0.3
5	3	2	1	0.3	0.3
6	3	2	0.3	1	0.3
7	3	4	1	0.3	0.3
8	3	4	0.3	1	0.3
9	1	2	0.3	0.3	1
10	1	4	0.3	0.3	1
11	3	2	0.3	0.3	1
12	3	4	0.3	0.3	1

Comb. Numero di combinazione dei sismi
 Pos. SismaX Posizione in cui viene scelto il sisma in direzione X
 Pos. SismaY Posizione in cui viene scelto il sisma in direzione Y
 Fx Fattore con cui il sisma X partecipa
 Fy Fattore con cui il sisma Y partecipa
 Fz Fattore con cui il sisma Verticale partecipa (quando richiesto)

Ogni combinazione genera al massimo 8 sotto-combinazioni in base a tutte le combinazioni possibili dei segni di Fx ed Fy ed Fz.

Nodi - Geometria e vincoli

Nodo	X	Y	Z	Tx	Ty	Tz	Rx	Ry	Rz	Impalcato
	Coordinate [mm]			Vincoli						
1	0	0	-800	1	1	0	0	0	1	-1
2	0	0	0	1	1	0	0	0	1	0
3	7200	0	-800	1	1	0	0	0	1	-1
4	7200	0	0	1	1	0	0	0	1	0
5	14400	0	-800	1	1	0	0	0	1	-1
6	14400	0	0	1	1	0	0	0	1	0
7	21600	0	0	1	1	0	0	0	1	0
8	21600	0	-800	1	1	0	0	0	1	-1
9	28800	0	-800	1	1	0	0	0	1	-1
10	28800	0	0	1	1	0	0	0	1	0
11	0	4500	-800	1	1	0	0	0	1	-1
12	0	4500	0	1	1	0	0	0	1	0
13	7200	4500	-800	1	1	0	0	0	1	-1
14	7200	4500	0	1	1	0	0	0	1	0
15	14400	4500	-800	1	1	0	0	0	1	-1
16	14400	4500	0	1	1	0	0	0	1	0
17	21600	4500	0	1	1	0	0	0	1	0
18	21600	4500	-800	1	1	0	0	0	1	-1
19	28800	4500	-800	1	1	0	0	0	1	-1
20	28800	4500	0	1	1	0	0	0	1	0
45	0	8400	-800	1	1	0	0	0	1	-1
47	7200	8400	-800	0	0	0	0	0	0	-1
49	14400	8400	-800	1	1	0	0	0	1	-1
51	21600	8400	-800	0	0	0	0	0	0	-1
53	28800	8400	-800	1	1	0	0	0	1	-1
1001	0	0	5080	0	0	0	0	0	0	1
1003	7200	0	5080	0	0	0	0	0	0	1
1005	14400	0	5080	0	0	0	0	0	0	1
1007	21600	0	5080	0	0	0	0	0	0	1
1009	28800	0	5080	0	0	0	0	0	0	1
1011	0	4500	5020	0	0	0	0	0	0	1
1012	-2300	-4030	5134	0	0	0	0	0	0	1
1013	7200	4500	5020	0	0	0	0	0	0	1
1014	0	-2686	5116	0	0	0	0	0	0	1
1015	14400	4500	5020	0	0	0	0	0	0	1
1016	3600	-4030	5134	0	0	0	0	0	0	1
1017	21600	4500	5020	0	0	0	0	0	0	1
1018	0	-1343	5098	0	0	0	0	0	0	1
1019	1800	-2686	5116	0	0	0	0	0	0	1

Nodo	X	Y	Z	Tx	Ty	Tz	Rx	Ry	Rz	Impalcato
1019	28800	4500	5020	0	0	0	0	0	0	1
1021	3600	-2686	5116	0	0	0	0	0	0	1
1021	-2300	-2686	5116	0	0	0	0	0	0	1
1022	0	-4030	5134	0	0	0	0	0	0	1
1023	1800	-4030	5134	0	0	0	0	0	0	1
1023	7200	-4030	5134	0	0	0	0	0	0	1
1024	5400	-4030	5134	0	0	0	0	0	0	1
1025	9000	-4030	5134	0	0	0	0	0	0	1
1025	3600	-1343	5098	0	0	0	0	0	0	1
1026	12600	-4030	5134	0	0	0	0	0	0	1
1026	5400	-2686	5116	0	0	0	0	0	0	1
1027	16200	-4030	5134	0	0	0	0	0	0	1
1027	5400	-1343	5098	0	0	0	0	0	0	1
1028	7200	-2686	5116	0	0	0	0	0	0	1
1028	19800	-4030	5134	0	0	0	0	0	0	1
1029	23400	-4030	5134	0	0	0	0	0	0	1
1029	7200	-1343	5098	0	0	0	0	0	0	1
1030	9000	-2686	5116	0	0	0	0	0	0	1
1030	27000	-4030	5134	0	0	0	0	0	0	1
1031	10800	-4030	5134	0	0	0	0	0	0	1
1031	30575	-4030	5134	0	0	0	0	0	0	1
1032	-2300	-1343	5098	0	0	0	0	0	0	1
1033	1800	-1343	5098	0	0	0	0	0	0	1
1034	10800	-2686	5116	0	0	0	0	0	0	1
1034	9000	-1343	5098	0	0	0	0	0	0	1
1035	16200	-1343	5098	0	0	0	0	0	0	1
1035	10800	-1343	5098	0	0	0	0	0	0	1
1036	12600	-2686	5116	0	0	0	0	0	0	1
1036	23400	-1343	5098	0	0	0	0	0	0	1
1037	30575	-1343	5098	0	0	0	0	0	0	1
1037	14400	-4030	5134	0	0	0	0	0	0	1
1038	14400	-2686	5116	0	0	0	0	0	0	1
1038	-2300	3000	5040	0	0	0	0	0	0	1
1039	1800	3000	5040	0	0	0	0	0	0	1
1040	9000	3000	5040	0	0	0	0	0	0	1
1040	16200	-2686	5116	0	0	0	0	0	0	1
1041	18000	-4030	5134	0	0	0	0	0	0	1
1041	16200	3000	5040	0	0	0	0	0	0	1
1042	23400	3000	5040	0	0	0	0	0	0	1
1042	18000	-2686	5116	0	0	0	0	0	0	1
1043	30575	3000	5040	0	0	0	0	0	0	1
1044	-2300	7186	4984	0	0	0	0	0	0	1
1044	21600	-4030	5134	0	0	0	0	0	0	1
1045	0	7186	4984	0	0	0	0	0	0	1
1046	25200	-4030	5134	0	0	0	0	0	0	1
1046	1800	8530	4966	0	0	0	0	0	0	1
1047	5400	8530	4966	0	0	0	0	0	0	1
1048	9000	8530	4966	0	0	0	0	0	0	1
1048	28800	-4030	5134	0	0	0	0	0	0	1
1049	12600	8530	4966	0	0	0	0	0	0	1
1050	16200	8530	4966	0	0	0	0	0	0	1
1050	32350	-4030	5134	0	0	0	0	0	0	1
1051	19800	7186	4984	0	0	0	0	0	0	1
1051	-2300	0	5080	0	0	0	0	0	0	1
1052	1800	0	5080	0	0	0	0	0	0	1
1052	23400	7186	4984	0	0	0	0	0	0	1
1053	27000	8530	4966	0	0	0	0	0	0	1
1053	3600	0	5080	0	0	0	0	0	0	1
1054	30575	8530	4966	0	0	0	0	0	0	1
1054	5400	0	5080	0	0	0	0	0	0	1
1055	9000	0	5080	0	0	0	0	0	0	1
1056	10800	0	5080	0	0	0	0	0	0	1
1057	12600	-1343	5098	0	0	0	0	0	0	1
1058	12600	0	5080	0	0	0	0	0	0	1
1059	14400	-1343	5098	0	0	0	0	0	0	1
1061	18000	-1343	5098	0	0	0	0	0	0	1
1062	19800	-1343	5098	0	0	0	0	0	0	1
1063	19800	-2686	5116	0	0	0	0	0	0	1

Nodo	X	Y	Z	Tx	Ty	Tz	Rx	Ry	Rz	Impalcato
1064	21600	-1343	5098	0	0	0	0	0	0	1
1065	21600	-2686	5116	0	0	0	0	0	0	1
1067	23400	-2686	5116	0	0	0	0	0	0	1
1068	25200	-2686	5116	0	0	0	0	0	0	1
1069	25200	-1343	5098	0	0	0	0	0	0	1
1070	27000	-2686	5116	0	0	0	0	0	0	1
1071	27000	-1343	5098	0	0	0	0	0	0	1
1072	28800	-2686	5116	0	0	0	0	0	0	1
1073	28800	-1343	5098	0	0	0	0	0	0	1
1075	30575	-2686	5116	0	0	0	0	0	0	1
1076	32350	-2686	5116	0	0	0	0	0	0	1
1077	32350	-1343	5098	0	0	0	0	0	0	1
1079	-2300	1500	5060	0	0	0	0	0	0	1
1080	0	3000	5040	0	0	0	0	0	0	1
1081	0	1500	5060	0	0	0	0	0	0	1
1083	1800	1500	5060	0	0	0	0	0	0	1
1084	3600	1500	5060	0	0	0	0	0	0	1
1085	3600	3000	5040	0	0	0	0	0	0	1
1086	5400	3000	5040	0	0	0	0	0	0	1
1087	5400	1500	5060	0	0	0	0	0	0	1
1088	7200	3000	5040	0	0	0	0	0	0	1
1089	7200	1500	5060	0	0	0	0	0	0	1
1091	9000	1500	5060	0	0	0	0	0	0	1
1092	10800	1500	5060	0	0	0	0	0	0	1
1093	10800	3000	5040	0	0	0	0	0	0	1
1094	12600	3000	5040	0	0	0	0	0	0	1
1095	12600	1500	5060	0	0	0	0	0	0	1
1096	14400	3000	5040	0	0	0	0	0	0	1
1097	14400	1500	5060	0	0	0	0	0	0	1
1098	16200	1500	5060	0	0	0	0	0	0	1
1099	16200	0	5080	0	0	0	0	0	0	1
1100	18000	1500	5060	0	0	0	0	0	0	1
1101	18000	0	5080	0	0	0	0	0	0	1
1102	19800	1500	5060	0	0	0	0	0	0	1
1103	19800	0	5080	0	0	0	0	0	0	1
1104	21600	1500	5060	0	0	0	0	0	0	1
1105	23400	1500	5060	0	0	0	0	0	0	1
1106	23400	0	5080	0	0	0	0	0	0	1
1107	25200	0	5080	0	0	0	0	0	0	1
1108	25200	1500	5060	0	0	0	0	0	0	1
1109	27000	1500	5060	0	0	0	0	0	0	1
1110	27000	0	5080	0	0	0	0	0	0	1
1111	28800	1500	5060	0	0	0	0	0	0	1
1112	30575	1500	5060	0	0	0	0	0	0	1
1113	30575	0	5080	0	0	0	0	0	0	1
1114	32350	0	5080	0	0	0	0	0	0	1
1115	32350	1500	5060	0	0	0	0	0	0	1
1116	-2300	4500	5020	0	0	0	0	0	0	1
1117	-2300	5843	5002	0	0	0	0	0	0	1
1118	0	5843	5002	0	0	0	0	0	0	1
1119	1800	5843	5002	0	0	0	0	0	0	1
1120	1800	4500	5020	0	0	0	0	0	0	1
1121	3600	5843	5002	0	0	0	0	0	0	1
1122	3600	4500	5020	0	0	0	0	0	0	1
1123	5400	5843	5002	0	0	0	0	0	0	1
1124	5400	4500	5020	0	0	0	0	0	0	1
1125	7200	5843	5002	0	0	0	0	0	0	1
1126	9000	5843	5002	0	0	0	0	0	0	1
1127	9000	4500	5020	0	0	0	0	0	0	1
1128	10800	4500	5020	0	0	0	0	0	0	1
1129	12600	4500	5020	0	0	0	0	0	0	1
1131	16200	4500	5020	0	0	0	0	0	0	1
1132	18000	4500	5020	0	0	0	0	0	0	1
1133	18000	3000	5040	0	0	0	0	0	0	1
1134	19800	4500	5020	0	0	0	0	0	0	1
1135	19800	3000	5040	0	0	0	0	0	0	1
1136	21600	3000	5040	0	0	0	0	0	0	1
1138	25200	3000	5040	0	0	0	0	0	0	1

Nodo	X	Y	Z	Tx	Ty	Tz	Rx	Ry	Rz	Impalcato
1139	27000	3000	5040	0	0	0	0	0	0	1
1140	28800	3000	5040	0	0	0	0	0	0	1
1142	32350	3000	5040	0	0	0	0	0	0	1
1145	10800	5843	5002	0	0	0	0	0	0	1
1146	12600	5843	5002	0	0	0	0	0	0	1
1147	14400	5843	5002	0	0	0	0	0	0	1
1148	16200	5843	5002	0	0	0	0	0	0	1
1149	18000	5843	5002	0	0	0	0	0	0	1
1150	19800	5843	5002	0	0	0	0	0	0	1
1151	21600	5843	5002	0	0	0	0	0	0	1
1152	23400	4500	5020	0	0	0	0	0	0	1
1153	23400	5843	5002	0	0	0	0	0	0	1
1154	25200	5843	5002	0	0	0	0	0	0	1
1155	25200	4500	5020	0	0	0	0	0	0	1
1156	27000	5843	5002	0	0	0	0	0	0	1
1157	27000	4500	5020	0	0	0	0	0	0	1
1158	28800	5843	5002	0	0	0	0	0	0	1
1159	30575	5843	5002	0	0	0	0	0	0	1
1160	30575	4500	5020	0	0	0	0	0	0	1
1161	32350	4500	5020	0	0	0	0	0	0	1
1162	32350	5843	5002	0	0	0	0	0	0	1
1163	-2300	8530	4966	0	0	0	0	0	0	1
1164	0	8530	4966	0	0	0	0	0	0	1
1166	1800	7186	4984	0	0	0	0	0	0	1
1167	3600	8530	4966	0	0	0	0	0	0	1
1168	3600	7186	4984	0	0	0	0	0	0	1
1170	5400	7186	4984	0	0	0	0	0	0	1
1171	7200	8530	4966	0	0	0	0	0	0	1
1172	7200	7186	4984	0	0	0	0	0	0	1
1174	9000	7186	4984	0	0	0	0	0	0	1
1175	10800	8530	4966	0	0	0	0	0	0	1
1176	10800	7186	4984	0	0	0	0	0	0	1
1178	12600	7186	4984	0	0	0	0	0	0	1
1179	14400	8530	4966	0	0	0	0	0	0	1
1180	14400	7186	4984	0	0	0	0	0	0	1
1182	16200	7186	4984	0	0	0	0	0	0	1
1183	18000	8530	4966	0	0	0	0	0	0	1
1184	18000	7186	4984	0	0	0	0	0	0	1
1186	19800	8530	4966	0	0	0	0	0	0	1
1187	21600	7186	4984	0	0	0	0	0	0	1
1188	21600	8530	4966	0	0	0	0	0	0	1
1190	23400	8530	4966	0	0	0	0	0	0	1
1191	25200	8530	4966	0	0	0	0	0	0	1
1192	25200	7186	4984	0	0	0	0	0	0	1
1194	27000	7186	4984	0	0	0	0	0	0	1
1195	28800	8530	4966	0	0	0	0	0	0	1
1196	28800	7186	4984	0	0	0	0	0	0	1
1198	30575	7186	4984	0	0	0	0	0	0	1
1199	32350	8530	4966	0	0	0	0	0	0	1
1200	32350	7186	4984	0	0	0	0	0	0	1

Nodi - Carichi

N°	Cond.	Fx	Fy	Fz	Mx	My	Mz	Tx	Ty	Tz	Rx	Ry	Rz	Δt
		kg			kg*m			mm			mrad			°C
1	Peso Proprio	0	0	5063	0	0	0							
3	Peso Proprio	0	0	5063	0	0	0							
5	Peso Proprio	0	0	5063	0	0	0							
8	Peso Proprio	0	0	5063	0	0	0							
9	Peso Proprio	0	0	5063	0	0	0							
11	Peso Proprio	0	0	5063	0	0	0							
13	Peso Proprio	0	0	5063	0	0	0							
15	Peso Proprio	0	0	5063	0	0	0							
18	Peso Proprio	0	0	5063	0	0	0							
19	Peso Proprio	0	0	5063	0	0	0							

Input - Aste - Tabella sezioni tipo

Tipo	Nome	Raggio
	C	cm
	D20	1

Tipo	Nome	Area	Ix	Iy	It	Fx	Fy	Lx	Lx
G		mq	m ⁴	m ⁴	m ⁴			cm	cm
	HE 260 B	0.0	1.492E-04	5.135E-05	1.238E-06	1.000	1.000	26	26
	UPN 260	0.0	4.823E-05	3.174E-06	2.577E-07	3.780	2.000	9	26
	HE 220 B	0.0	8.091E-05	2.843E-05	7.657E-07	1.000	1.000	22	22
	IPE 100	0.0	1.710E-06	1.592E-07	8.826E-09	1.000	1.000	6	10

Tipo	Nome	Base	Altezza	Larg.mag.
R		cm	cm	cm
	30x40	30	40	50
	80x80	80	80	0
	30x120	30	120	50

Aste - Geometria e vincoli

	Ni	Nf	Vinc	Sez.	Mat.	Crit.pr.	Rot.	f.f.	xi	yi	zi	xf	yf	zf	Tipo	L2	L3
							°		cm							cm	
137	2	1001	I-I	HE 260 B	Acciaio	Acciaio_PressSverg	0	5050	0	0	0	0	0	0	Pila.	508	508
138	4	1003	I-I	HE 260 B	Acciaio	Acciaio_PressSverg	0	5050	0	0	0	0	0	0	Pila.	508	508
139	6	1005	I-I	HE 260 B	Acciaio	Acciaio_PressSverg	0	5050	0	0	0	0	0	0	Pila.	508	508
140	7	1007	I-I	HE 260 B	Acciaio	Acciaio_PressSverg	0	5050	0	0	0	0	0	0	Pila.	508	508
141	10	1009	I-I	HE 260 B	Acciaio	Acciaio_PressSverg	0	5050	0	0	0	0	0	0	Pila.	508	508
142	12	1011	I-I	HE 260 B	Acciaio	Acciaio_PressSverg	0	5050	0	0	0	0	0	0	Pila.	502	502
143	14	1013	I-I	HE 260 B	Acciaio	Acciaio_PressSverg	0	5050	0	0	0	0	0	0	Pila.	502	502
144	16	1015	I-I	HE 260 B	Acciaio	Acciaio_PressSverg	0	5050	0	0	0	0	0	0	Pila.	502	502
145	17	1017	I-I	HE 260 B	Acciaio	Acciaio_PressSverg	0	5050	0	0	0	0	0	0	Pila.	502	502
146	20	1019	I-I	HE 260 B	Acciaio	Acciaio_PressSverg	0	5050	0	0	0	0	0	0	Pila.	502	502
147	1	2	I-I	80x80	C25/30	CLS_Dado	0	5050	0	0	0	0	0	0	Pila.	80	80
148	15	16	I-I	80x80	C25/30	CLS_Dado	0	5050	0	0	0	0	0	0	Pila.	80	80
149	3	4	I-I	80x80	C25/30	CLS_Dado	0	5050	0	0	0	0	0	0	Pila.	80	80
150	13	14	I-I	80x80	C25/30	CLS_Dado	0	5050	0	0	0	0	0	0	Pila.	80	80
151	19	20	I-I	80x80	C25/30	CLS_Dado	0	5050	0	0	0	0	0	0	Pila.	80	80
152	8	7	I-I	80x80	C25/30	CLS_Dado	0	5050	0	0	0	0	0	0	Pila.	80	80
153	5	6	I-I	80x80	C25/30	CLS_Dado	0	5050	0	0	0	0	0	0	Pila.	80	80
154	9	10	I-I	80x80	C25/30	CLS_Dado	0	5050	0	0	0	0	0	0	Pila.	80	80
155	11	12	I-I	80x80	C25/30	CLS_Dado	0	5050	0	0	0	0	0	0	Pila.	80	80
156	18	17	I-I	80x80	C25/30	CLS_Dado	0	5050	0	0	0	0	0	0	Pila.	80	80
1	1051	1001	I-I	HE 260 B	Acciaio	Acciaio_FlessTors	0	5050	0	0	0	0	0	0	Trave	230	230
1	1001	1052	I-I	HE 260 B	Acciaio	Acciaio_FlessTors	0	5050	0	0	0	0	0	0	Trave	180	180
1	1052	1053	I-I	HE 260 B	Acciaio	Acciaio_FlessTors	0	5050	0	0	0	0	0	0	Trave	180	180
1	1053	1054	I-I	HE 260 B	Acciaio	Acciaio_FlessTors	0	5050	0	0	0	0	0	0	Trave	180	180
1	1054	1003	I-I	HE 260 B	Acciaio	Acciaio_FlessTors	0	5050	0	0	0	0	0	0	Trave	180	180
1	1003	1055	I-I	HE 260 B	Acciaio	Acciaio_FlessTors	0	5050	0	0	0	0	0	0	Trave	180	180
1	1055	1056	I-I	HE 260 B	Acciaio	Acciaio_FlessTors	0	5050	0	0	0	0	0	0	Trave	180	180
1	1056	1058	I-I	HE 260 B	Acciaio	Acciaio_FlessTors	0	5050	0	0	0	0	0	0	Trave	180	180
1	1058	1005	I-I	HE 260 B	Acciaio	Acciaio_FlessTors	0	5050	0	0	0	0	0	0	Trave	180	180
1	1005	1099	I-I	HE 260 B	Acciaio	Acciaio_FlessTors	0	5050	0	0	0	0	0	0	Trave	180	180
1	1099	1101	I-I	HE 260 B	Acciaio	Acciaio_FlessTors	0	5050	0	0	0	0	0	0	Trave	180	180
1	1101	1103	I-I	HE 260 B	Acciaio	Acciaio_FlessTors	0	5050	0	0	0	0	0	0	Trave	180	180
1	1103	1007	I-I	HE 260 B	Acciaio	Acciaio_FlessTors	0	5050	0	0	0	0	0	0	Trave	180	180
1	1007	1106	I-I	HE 260 B	Acciaio	Acciaio_FlessTors	0	5050	0	0	0	0	0	0	Trave	180	180
1	1106	1107	I-I	HE 260 B	Acciaio	Acciaio_FlessTors	0	5050	0	0	0	0	0	0	Trave	180	180
1	1107	1110	I-I	HE 260 B	Acciaio	Acciaio_FlessTors	0	5050	0	0	0	0	0	0	Trave	180	180
1	1110	1009	I-I	HE 260 B	Acciaio	Acciaio_FlessTors	0	5050	0	0	0	0	0	0	Trave	180	180
1	1009	1113	I-I	HE 260 B	Acciaio	Acciaio_FlessTors	0	5050	0	0	0	0	0	0	Trave	177	177
1	1113	1114	I-I	HE 260 B	Acciaio	Acciaio_FlessTors	0	5050	0	0	0	0	0	0	Trave	177	177
2	1116	1011	I-I	HE 260 B	Acciaio	Acciaio_FlessTors	0	5050	0	0	0	0	0	0	Trave	230	230
2	1011	1120	I-I	HE 260 B	Acciaio	Acciaio_FlessTors	0	5050	0	0	0	0	0	0	Trave	180	180
2	1120	1122	I-I	HE 260 B	Acciaio	Acciaio_FlessTors	0	5050	0	0	0	0	0	0	Trave	180	180
2	1122	1124	I-I	HE 260 B	Acciaio	Acciaio_FlessTors	0	5050	0	0	0	0	0	0	Trave	180	180
2	1124	1013	I-I	HE 260 B	Acciaio	Acciaio_FlessTors	0	5050	0	0	0	0	0	0	Trave	180	180
2	1013	1127	I-I	HE 260 B	Acciaio	Acciaio_FlessTors	0	5050	0	0	0	0	0	0	Trave	180	180
2	1127	1128	I-I	HE 260 B	Acciaio	Acciaio_FlessTors	0	5050	0	0	0	0	0	0	Trave	180	180
2	1128	1129	I-I	HE 260 B	Acciaio	Acciaio_FlessTors	0	5050	0	0	0	0	0	0	Trave	180	180
2	1129	1015	I-I	HE 260 B	Acciaio	Acciaio_FlessTors	0	5050	0	0	0	0	0	0	Trave	180	180
2	1015	1131	I-I	HE 260 B	Acciaio	Acciaio_FlessTors	0	5050	0	0	0	0	0	0	Trave	180	180
2	1131	1132	I-I	HE 260 B	Acciaio	Acciaio_FlessTors	0	5050	0	0	0	0	0	0	Trave	180	180
2	1132	1134	I-I	HE 260 B	Acciaio	Acciaio_FlessTors	0	5050	0	0	0	0	0	0	Trave	180	180
2	1134	1017	I-I	HE 260 B	Acciaio	Acciaio_FlessTors	0	5050	0	0	0	0	0	0	Trave	180	180
2	1017	1152	I-I	HE 260 B	Acciaio	Acciaio_FlessTors	0	5050	0	0	0	0	0	0	Trave	180	180
2	1152	1155	I-I	HE 260 B	Acciaio	Acciaio_FlessTors	0	5050	0	0	0	0	0	0	Trave	180	180
2	1155	1157	I-I	HE 260 B	Acciaio	Acciaio_FlessTors	0	5050	0	0	0	0	0	0	Trave	180	180
2	1157	1019	I-I	HE 260 B	Acciaio	Acciaio_FlessTors	0	5050	0	0	0	0	0	0	Trave	180	180
2	1019	1160	I-I	HE 260 B	Acciaio	Acciaio_FlessTors	0	5050	0	0	0	0	0	0	Trave	177	177
2	1160	1161	I-I	HE 260 B	Acciaio	Acciaio_FlessTors	0	5050	0	0	0	0	0	0	Trave	177	177

	Ni	Nf	Vinc	Sez.	Mat.	Crit.pr.	Rot.	f.f.	xi	yi	zi	xf	yf	zf	Tipo	L2	L3
3	1022	1014	Cy-I	HE 220 B	Acciaio	Acciaio_Pressflessione	0	5050	0	0	2	0	0	2	Trave	134	269
3	1014	1018	I-I	HE 220 B	Acciaio	Acciaio_Pressflessione	0	5050	0	0	2	0	0	2	Trave	134	269
3	1018	1001	I-I	HE 220 B	Acciaio	Acciaio_Pressflessione	0	5050	0	0	2	0	0	2	Trave	134	269
3	1001	1081	I-I	HE 220 B	Acciaio	Acciaio_Pressflessione	0	5050	0	0	2	0	0	2	Trave	150	150
3	1081	1080	I-I	HE 220 B	Acciaio	Acciaio_Pressflessione	0	5050	0	0	2	0	0	2	Trave	150	150
3	1080	1011	I-I	HE 220 B	Acciaio	Acciaio_Pressflessione	0	5050	0	0	2	0	0	2	Trave	150	150
3	1011	1118	I-I	HE 220 B	Acciaio	Acciaio_Pressflessione	0	5050	0	0	2	0	0	2	Trave	134	269
3	1118	1045	I-I	HE 220 B	Acciaio	Acciaio_Pressflessione	0	5050	0	0	2	0	0	2	Trave	134	269
3	1045	1164	I-Cy	HE 220 B	Acciaio	Acciaio_Pressflessione	0	5050	0	0	2	0	0	2	Trave	134	269
4	1023	1028	Cy-I	HE 220 B	Acciaio	Acciaio_Pressflessione	0	5050	0	0	2	0	0	2	Trave	134	269
4	1028	1029	I-I	HE 220 B	Acciaio	Acciaio_Pressflessione	0	5050	0	0	2	0	0	2	Trave	134	269
4	1029	1003	I-I	HE 220 B	Acciaio	Acciaio_Pressflessione	0	5050	0	0	2	0	0	2	Trave	134	269
4	1003	1089	I-I	HE 220 B	Acciaio	Acciaio_Pressflessione	0	5050	0	0	2	0	0	2	Trave	150	150
4	1089	1088	I-I	HE 220 B	Acciaio	Acciaio_Pressflessione	0	5050	0	0	2	0	0	2	Trave	150	150
4	1088	1013	I-I	HE 220 B	Acciaio	Acciaio_Pressflessione	0	5050	0	0	2	0	0	2	Trave	150	150
4	1013	1125	I-I	HE 220 B	Acciaio	Acciaio_Pressflessione	0	5050	0	0	2	0	0	2	Trave	134	269
4	1125	1172	I-I	HE 220 B	Acciaio	Acciaio_Pressflessione	0	5050	0	0	2	0	0	2	Trave	134	269
4	1172	1171	I-Cy	HE 220 B	Acciaio	Acciaio_Pressflessione	0	5050	0	0	2	0	0	2	Trave	134	269
5	1037	1038	Cy-I	HE 220 B	Acciaio	Acciaio_Pressflessione	0	5050	0	0	2	0	0	2	Trave	134	269
5	1038	1059	I-I	HE 220 B	Acciaio	Acciaio_Pressflessione	0	5050	0	0	2	0	0	2	Trave	134	269
5	1059	1005	I-I	HE 220 B	Acciaio	Acciaio_Pressflessione	0	5050	0	0	2	0	0	2	Trave	134	269
5	1005	1097	I-I	HE 220 B	Acciaio	Acciaio_Pressflessione	0	5050	0	0	2	0	0	2	Trave	150	150
5	1097	1096	I-I	HE 220 B	Acciaio	Acciaio_Pressflessione	0	5050	0	0	2	0	0	2	Trave	150	150
5	1096	1015	I-I	HE 220 B	Acciaio	Acciaio_Pressflessione	0	5050	0	0	2	0	0	2	Trave	150	150
5	1015	1147	I-I	HE 220 B	Acciaio	Acciaio_Pressflessione	0	5050	0	0	2	0	0	2	Trave	134	269
5	1147	1180	I-I	HE 220 B	Acciaio	Acciaio_Pressflessione	0	5050	0	0	2	0	0	2	Trave	134	269
5	1180	1179	I-Cy	HE 220 B	Acciaio	Acciaio_Pressflessione	0	5050	0	0	2	0	0	2	Trave	134	269
6	1044	1065	Cy-I	HE 220 B	Acciaio	Acciaio_Pressflessione	0	5050	0	0	2	0	0	2	Trave	134	269
6	1065	1064	I-I	HE 220 B	Acciaio	Acciaio_Pressflessione	0	5050	0	0	2	0	0	2	Trave	134	269
6	1064	1007	I-I	HE 220 B	Acciaio	Acciaio_Pressflessione	0	5050	0	0	2	0	0	2	Trave	134	269
6	1007	1104	I-I	HE 220 B	Acciaio	Acciaio_Pressflessione	0	5050	0	0	2	0	0	2	Trave	150	150
6	1104	1136	I-I	HE 220 B	Acciaio	Acciaio_Pressflessione	0	5050	0	0	2	0	0	2	Trave	150	150
6	1136	1017	I-I	HE 220 B	Acciaio	Acciaio_Pressflessione	0	5050	0	0	2	0	0	2	Trave	150	150
6	1017	1151	I-I	HE 220 B	Acciaio	Acciaio_Pressflessione	0	5050	0	0	2	0	0	2	Trave	134	269
6	1151	1187	I-I	HE 220 B	Acciaio	Acciaio_Pressflessione	0	5050	0	0	2	0	0	2	Trave	134	269
6	1187	1188	I-Cy	HE 220 B	Acciaio	Acciaio_Pressflessione	0	5050	0	0	2	0	0	2	Trave	134	269
7	1048	1072	Cy-I	HE 220 B	Acciaio	Acciaio_Pressflessione	0	5050	0	0	2	0	0	2	Trave	134	269
7	1072	1073	I-I	HE 220 B	Acciaio	Acciaio_Pressflessione	0	5050	0	0	2	0	0	2	Trave	134	269
7	1073	1009	I-I	HE 220 B	Acciaio	Acciaio_Pressflessione	0	5050	0	0	2	0	0	2	Trave	134	269
7	1009	1111	I-I	HE 220 B	Acciaio	Acciaio_Pressflessione	0	5050	0	0	2	0	0	2	Trave	150	150
7	1111	1140	I-I	HE 220 B	Acciaio	Acciaio_Pressflessione	0	5050	0	0	2	0	0	2	Trave	150	150
7	1140	1019	I-I	HE 220 B	Acciaio	Acciaio_Pressflessione	0	5050	0	0	2	0	0	2	Trave	150	150
7	1019	1158	I-I	HE 220 B	Acciaio	Acciaio_Pressflessione	0	5050	0	0	2	0	0	2	Trave	134	269
7	1158	1196	I-I	HE 220 B	Acciaio	Acciaio_Pressflessione	0	5050	0	0	2	0	0	2	Trave	134	269
7	1196	1195	I-Cy	HE 220 B	Acciaio	Acciaio_Pressflessione	0	5050	0	0	2	0	0	2	Trave	134	269
8	1164	1163	I-I	UPN 260	Acciaio	Acciaio_Flessione	0	4040	0	0	0	0	0	0	Trave	230	230
8	1046	1164	I-I	UPN 260	Acciaio	Acciaio_Flessione	0	4040	0	0	0	0	0	0	Trave	180	180
8	1167	1046	I-I	UPN 260	Acciaio	Acciaio_Flessione	0	4040	0	0	0	0	0	0	Trave	180	180
8	1047	1167	I-I	UPN 260	Acciaio	Acciaio_Flessione	0	4040	0	0	0	0	0	0	Trave	180	180
8	1171	1047	I-I	UPN 260	Acciaio	Acciaio_Flessione	0	4040	0	0	0	0	0	0	Trave	180	180
8	1048	1171	I-I	UPN 260	Acciaio	Acciaio_Flessione	0	4040	0	0	0	0	0	0	Trave	180	180
8	1175	1048	I-I	UPN 260	Acciaio	Acciaio_Flessione	0	4040	0	0	0	0	0	0	Trave	180	180
8	1049	1175	I-I	UPN 260	Acciaio	Acciaio_Flessione	0	4040	0	0	0	0	0	0	Trave	180	180
8	1179	1049	I-I	UPN 260	Acciaio	Acciaio_Flessione	0	4040	0	0	0	0	0	0	Trave	180	180
8	1050	1179	I-I	UPN 260	Acciaio	Acciaio_Flessione	0	4040	0	0	0	0	0	0	Trave	180	180
8	1183	1050	I-I	UPN 260	Acciaio	Acciaio_Flessione	0	4040	0	0	0	0	0	0	Trave	180	180
8	1186	1183	I-I	UPN 260	Acciaio	Acciaio_Flessione	0	4040	0	0	0	0	0	0	Trave	180	180
8	1188	1186	I-I	UPN 260	Acciaio	Acciaio_Flessione	0	4040	0	0	0	0	0	0	Trave	180	180
8	1190	1188	I-I	UPN 260	Acciaio	Acciaio_Flessione	0	4040	0	0	0	0	0	0	Trave	180	180
8	1191	1190	I-I	UPN 260	Acciaio	Acciaio_Flessione	0	4040	0	0	0	0	0	0	Trave	180	180
8	1053	1191	I-I	UPN 260	Acciaio	Acciaio_Flessione	0	4040	0	0	0	0	0	0	Trave	180	180
8	1195	1053	I-I	UPN 260	Acciaio	Acciaio_Flessione	0	4040	0	0	0	0	0	0	Trave	180	180
8	1054	1195	I-I	UPN 260	Acciaio	Acciaio_Flessione	0	4040	0	0	0	0	0	0	Trave	177	177
8	1199	1054	I-I	UPN 260	Acciaio	Acciaio_Flessione	0	4040	0	0	0	0	0	0	Trave	177	177
9	1012	1022	I-I	UPN 260	Acciaio	Acciaio_Flessione	0	4040	0	0	0	0	0	0	Trave	230	230
9	1022	1023	I-I	UPN 260	Acciaio	Acciaio_Flessione	0	4040	0	0	0	0	0	0	Trave	180	180
9	1023	1016	I-I	UPN 260	Acciaio	Acciaio_Flessione	0	4040	0	0	0	0	0	0	Trave	180	180
9	1016	1024	I-I	UPN 260	Acciaio	Acciaio_Flessione	0	4040	0	0	0	0	0	0	Trave	180	180
9	1024	1023	I-I	UPN 260	Acciaio	Acciaio_Flessione	0	4040	0	0	0	0	0	0	Trave	180	180
9	1023	1025	I-I	UPN 260	Acciaio	Acciaio_Flessione	0	4040	0	0	0	0	0	0	Trave	180	180
9	1025	1031	I-I	UPN 260	Acciaio	Acciaio_Flessione	0	4040	0	0	0	0	0	0	Trave	180	180
9	1031	1026	I-I	UPN 260	Acciaio	Acciaio_Flessione	0	4040	0	0	0	0	0	0	Trave	180	180
9	1026	1037	I-I	UPN 260	Acciaio	Acciaio_Flessione	0	4040	0	0	0	0	0	0	Trave	180	180
9	1037	1027	I-I	UPN 260	Acciaio	Acciaio_Flessione	0	4040	0	0	0	0	0	0	Trave	180	180
9	1027	1041	I-I	UPN 260	Acciaio	Acciaio_Flessione	0	4040	0	0	0	0	0	0	Trave	180	180
9	1041	1028	I-I	UPN 260	Acciaio	Acciaio_Flessione	0	4040	0	0	0	0	0	0	Trave	180	180
9	1028	1044	I-I	UPN 260	Acciaio	Acciaio_Flessione	0	4040	0	0	0	0	0	0	Trave	180	180
9	1044	1029	I-I	UPN 260	Acciaio	Acciaio_Flessione	0	4040	0	0	0	0	0	0	Trave	180	180
9	1029	1046	I-I	UPN 260	Acciaio	Acciaio_Flessione	0	4040	0	0	0	0	0	0	Trave	180	180
9	1046	1030	I-I	UPN 260	Acciaio	Acciaio_Flessione	0	4040	0	0	0	0	0	0	Trave	180	180
9	1030	1048	I-I	UPN 260	Acciaio	Acciaio_Flessione	0	4040	0	0	0	0	0	0	Trave	180	180
9	1048	1031	I-I	UPN 260	Acciaio	Acciaio_Flessione	0	4040	0	0	0	0	0	0	Trave	177	177
9	1031	1050	I-I	UPN 260	Acciaio	Acciaio_Flessione	0	4040	0	0	0	0	0	0	Trave	177	177
10	1023	1019	Cy-I	HE 220 B	Acciaio	Acciaio_Pressflessione	0	5050	0	0	2	0	0	2	Trave	134	269
10	1019	1033	I-I	HE 220 B	Acciaio	Acciaio_Pressflessione	0	5050	0	0	2	0	0	2	Trave	134	269

	Ni	Nf	Vinc	Sez.	Mat.	Crit.pr.	Rot.	f.f.	xi	yi	zi	xf	yf	zf	Tipo	L2	L3
19	1155	1154	I-I	HE 220 B	Acciaio	Acciaio_Pressflessione	0	5050	0	0	2	0	0	2	Trave	134	269
19	1154	1192	I-I	HE 220 B	Acciaio	Acciaio_Pressflessione	0	5050	0	0	2	0	0	2	Trave	134	269
19	1192	1191	I-Cy	HE 220 B	Acciaio	Acciaio_Pressflessione	0	5050	0	0	2	0	0	2	Trave	134	269
20	1041	1042	Cy-I	HE 220 B	Acciaio	Acciaio_Pressflessione	0	5050	0	0	2	0	0	2	Trave	134	269
20	1042	1061	I-I	HE 220 B	Acciaio	Acciaio_Pressflessione	0	5050	0	0	2	0	0	2	Trave	134	269
20	1061	1101	I-I	HE 220 B	Acciaio	Acciaio_Pressflessione	0	5050	0	0	2	0	0	2	Trave	134	269
20	1101	1100	I-I	HE 220 B	Acciaio	Acciaio_Pressflessione	0	5050	0	0	2	0	0	2	Trave	150	150
20	1100	1133	I-I	HE 220 B	Acciaio	Acciaio_Pressflessione	0	5050	0	0	2	0	0	2	Trave	150	150
20	1133	1132	I-I	HE 220 B	Acciaio	Acciaio_Pressflessione	0	5050	0	0	2	0	0	2	Trave	150	150
20	1132	1149	I-I	HE 220 B	Acciaio	Acciaio_Pressflessione	0	5050	0	0	2	0	0	2	Trave	134	269
20	1149	1184	I-I	HE 220 B	Acciaio	Acciaio_Pressflessione	0	5050	0	0	2	0	0	2	Trave	134	269
20	1184	1183	I-Cy	HE 220 B	Acciaio	Acciaio_Pressflessione	0	5050	0	0	2	0	0	2	Trave	134	269
21	1031	1034	Cy-I	HE 220 B	Acciaio	Acciaio_Pressflessione	0	5050	0	0	2	0	0	2	Trave	134	269
21	1034	1035	I-I	HE 220 B	Acciaio	Acciaio_Pressflessione	0	5050	0	0	2	0	0	2	Trave	134	269
21	1035	1056	I-I	HE 220 B	Acciaio	Acciaio_Pressflessione	0	5050	0	0	2	0	0	2	Trave	134	269
21	1056	1092	I-I	HE 220 B	Acciaio	Acciaio_Pressflessione	0	5050	0	0	2	0	0	2	Trave	150	150
21	1092	1093	I-I	HE 220 B	Acciaio	Acciaio_Pressflessione	0	5050	0	0	2	0	0	2	Trave	150	150
21	1093	1128	I-I	HE 220 B	Acciaio	Acciaio_Pressflessione	0	5050	0	0	2	0	0	2	Trave	150	150
21	1128	1145	I-I	HE 220 B	Acciaio	Acciaio_Pressflessione	0	5050	0	0	2	0	0	2	Trave	134	269
21	1145	1176	I-I	HE 220 B	Acciaio	Acciaio_Pressflessione	0	5050	0	0	2	0	0	2	Trave	134	269
21	1176	1175	I-Cy	HE 220 B	Acciaio	Acciaio_Pressflessione	0	5050	0	0	2	0	0	2	Trave	134	269
22	1031	1075	Cy-I	HE 220 B	Acciaio	Acciaio_Pressflessione	0	5050	0	0	2	0	0	2	Trave	134	269
22	1075	1037	I-I	HE 220 B	Acciaio	Acciaio_Pressflessione	0	5050	0	0	2	0	0	2	Trave	134	269
22	1037	1113	I-I	HE 220 B	Acciaio	Acciaio_Pressflessione	0	5050	0	0	2	0	0	2	Trave	134	269
22	1113	1112	I-I	HE 220 B	Acciaio	Acciaio_Pressflessione	0	5050	0	0	2	0	0	2	Trave	150	150
22	1112	1043	I-I	HE 220 B	Acciaio	Acciaio_Pressflessione	0	5050	0	0	2	0	0	2	Trave	150	150
22	1043	1160	I-I	HE 220 B	Acciaio	Acciaio_Pressflessione	0	5050	0	0	2	0	0	2	Trave	150	150
22	1160	1159	I-I	HE 220 B	Acciaio	Acciaio_Pressflessione	0	5050	0	0	2	0	0	2	Trave	134	269
22	1159	1198	I-I	HE 220 B	Acciaio	Acciaio_Pressflessione	0	5050	0	0	2	0	0	2	Trave	134	269
22	1198	1054	I-Cy	HE 220 B	Acciaio	Acciaio_Pressflessione	0	5050	0	0	2	0	0	2	Trave	134	269
23	1021	1014	Cy-Cy	IPE 100	Acciaio	Acciaio_Flessione	0	5555	0	0	8	0	0	8	Trave	230	230
23	1014	1019	Cy-Cy	IPE 100	Acciaio	Acciaio_Flessione	0	5555	0	0	8	0	0	8	Trave	180	180
23	1019	1021	Cy-Cy	IPE 100	Acciaio	Acciaio_Flessione	0	5555	0	0	8	0	0	8	Trave	180	180
23	1021	1026	Cy-Cy	IPE 100	Acciaio	Acciaio_Flessione	0	5555	0	0	8	0	0	8	Trave	180	180
23	1026	1028	Cy-Cy	IPE 100	Acciaio	Acciaio_Flessione	0	5555	0	0	8	0	0	8	Trave	180	180
23	1028	1030	Cy-Cy	IPE 100	Acciaio	Acciaio_Flessione	0	5555	0	0	8	0	0	8	Trave	180	180
23	1030	1034	Cy-Cy	IPE 100	Acciaio	Acciaio_Flessione	0	5555	0	0	8	0	0	8	Trave	180	180
23	1034	1036	Cy-Cy	IPE 100	Acciaio	Acciaio_Flessione	0	5555	0	0	8	0	0	8	Trave	180	180
23	1036	1038	Cy-Cy	IPE 100	Acciaio	Acciaio_Flessione	0	5555	0	0	8	0	0	8	Trave	180	180
23	1038	1040	Cy-Cy	IPE 100	Acciaio	Acciaio_Flessione	0	5555	0	0	8	0	0	8	Trave	180	180
23	1040	1042	Cy-Cy	IPE 100	Acciaio	Acciaio_Flessione	0	5555	0	0	8	0	0	8	Trave	180	180
23	1042	1063	Cy-Cy	IPE 100	Acciaio	Acciaio_Flessione	0	5555	0	0	8	0	0	8	Trave	180	180
23	1063	1065	Cy-Cy	IPE 100	Acciaio	Acciaio_Flessione	0	5555	0	0	8	0	0	8	Trave	180	180
23	1065	1067	Cy-Cy	IPE 100	Acciaio	Acciaio_Flessione	0	5555	0	0	8	0	0	8	Trave	180	180
23	1067	1068	Cy-Cy	IPE 100	Acciaio	Acciaio_Flessione	0	5555	0	0	8	0	0	8	Trave	180	180
23	1068	1070	Cy-Cy	IPE 100	Acciaio	Acciaio_Flessione	0	5555	0	0	8	0	0	8	Trave	180	180
23	1070	1072	Cy-Cy	IPE 100	Acciaio	Acciaio_Flessione	0	5555	0	0	8	0	0	8	Trave	180	180
23	1072	1075	Cy-Cy	IPE 100	Acciaio	Acciaio_Flessione	0	5555	0	0	8	0	0	8	Trave	178	178
23	1075	1076	Cy-Cy	IPE 100	Acciaio	Acciaio_Flessione	0	5555	0	0	8	0	0	8	Trave	178	178
24	1032	1018	Cy-Cy	IPE 100	Acciaio	Acciaio_Flessione	0	5555	0	0	8	0	0	8	Trave	230	230
24	1018	1033	Cy-Cy	IPE 100	Acciaio	Acciaio_Flessione	0	5555	0	0	8	0	0	8	Trave	180	180
24	1033	1025	Cy-Cy	IPE 100	Acciaio	Acciaio_Flessione	0	5555	0	0	8	0	0	8	Trave	180	180
24	1025	1027	Cy-Cy	IPE 100	Acciaio	Acciaio_Flessione	0	5555	0	0	8	0	0	8	Trave	180	180
24	1027	1029	Cy-Cy	IPE 100	Acciaio	Acciaio_Flessione	0	5555	0	0	8	0	0	8	Trave	180	180
24	1029	1034	Cy-Cy	IPE 100	Acciaio	Acciaio_Flessione	0	5555	0	0	8	0	0	8	Trave	180	180
24	1034	1035	Cy-Cy	IPE 100	Acciaio	Acciaio_Flessione	0	5555	0	0	8	0	0	8	Trave	180	180
24	1035	1057	Cy-Cy	IPE 100	Acciaio	Acciaio_Flessione	0	5555	0	0	8	0	0	8	Trave	180	180
24	1057	1059	Cy-Cy	IPE 100	Acciaio	Acciaio_Flessione	0	5555	0	0	8	0	0	8	Trave	180	180
24	1059	1035	Cy	IPE 100	Acciaio	Acciaio_Flessione	0	5555	0	0	8	0	0	8	Trave	180	180

	Ni	Nf	Vinc	Sez.	Mat.	Crit.pr.	Rot.	f.f.	xi	yi	zi	xf	yf	zf	Tipo	L2	L3
			Cy														
24	1035	1061	Cy-Cy	IPE 100	Acciaio	Acciaio_Flessione	0	5555	0	0	8	0	0	8	Trave	180	180
24	1061	1062	Cy-Cy	IPE 100	Acciaio	Acciaio_Flessione	0	5555	0	0	8	0	0	8	Trave	180	180
24	1062	1064	Cy-Cy	IPE 100	Acciaio	Acciaio_Flessione	0	5555	0	0	8	0	0	8	Trave	180	180
24	1064	1036	Cy-Cy	IPE 100	Acciaio	Acciaio_Flessione	0	5555	0	0	8	0	0	8	Trave	180	180
24	1036	1069	Cy-Cy	IPE 100	Acciaio	Acciaio_Flessione	0	5555	0	0	8	0	0	8	Trave	180	180
24	1069	1071	Cy-Cy	IPE 100	Acciaio	Acciaio_Flessione	0	5555	0	0	8	0	0	8	Trave	180	180
24	1071	1073	Cy-Cy	IPE 100	Acciaio	Acciaio_Flessione	0	5555	0	0	8	0	0	8	Trave	180	180
24	1073	1037	Cy-Cy	IPE 100	Acciaio	Acciaio_Flessione	0	5555	0	0	8	0	0	8	Trave	177	177
24	1037	1077	Cy-Cy	IPE 100	Acciaio	Acciaio_Flessione	0	5555	0	0	8	0	0	8	Trave	178	178
25	1079	1081	Cy-Cy	IPE 100	Acciaio	Acciaio_Flessione	0	5555	0	0	8	0	0	8	Trave	230	230
25	1081	1083	Cy-Cy	IPE 100	Acciaio	Acciaio_Flessione	0	5555	0	0	8	0	0	8	Trave	180	180
25	1083	1084	Cy-Cy	IPE 100	Acciaio	Acciaio_Flessione	0	5555	0	0	8	0	0	8	Trave	180	180
25	1084	1087	Cy-Cy	IPE 100	Acciaio	Acciaio_Flessione	0	5555	0	0	8	0	0	8	Trave	180	180
25	1087	1089	Cy-Cy	IPE 100	Acciaio	Acciaio_Flessione	0	5555	0	0	8	0	0	8	Trave	180	180
25	1089	1091	Cy-Cy	IPE 100	Acciaio	Acciaio_Flessione	0	5555	0	0	8	0	0	8	Trave	180	180
25	1091	1092	Cy-Cy	IPE 100	Acciaio	Acciaio_Flessione	0	5555	0	0	8	0	0	8	Trave	180	180
25	1092	1095	Cy-Cy	IPE 100	Acciaio	Acciaio_Flessione	0	5555	0	0	8	0	0	8	Trave	180	180
25	1095	1097	Cy-Cy	IPE 100	Acciaio	Acciaio_Flessione	0	5555	0	0	8	0	0	8	Trave	180	180
25	1097	1098	Cy-Cy	IPE 100	Acciaio	Acciaio_Flessione	0	5555	0	0	8	0	0	8	Trave	180	180
25	1098	1100	Cy-Cy	IPE 100	Acciaio	Acciaio_Flessione	0	5555	0	0	8	0	0	8	Trave	180	180
25	1100	1102	Cy-Cy	IPE 100	Acciaio	Acciaio_Flessione	0	5555	0	0	8	0	0	8	Trave	180	180
25	1102	1104	Cy-Cy	IPE 100	Acciaio	Acciaio_Flessione	0	5555	0	0	8	0	0	8	Trave	180	180
25	1104	1105	Cy-Cy	IPE 100	Acciaio	Acciaio_Flessione	0	5555	0	0	8	0	0	8	Trave	180	180
25	1105	1108	Cy-Cy	IPE 100	Acciaio	Acciaio_Flessione	0	5555	0	0	8	0	0	8	Trave	180	180
25	1108	1109	Cy-Cy	IPE 100	Acciaio	Acciaio_Flessione	0	5555	0	0	8	0	0	8	Trave	180	180
25	1109	1111	Cy-Cy	IPE 100	Acciaio	Acciaio_Flessione	0	5555	0	0	8	0	0	8	Trave	180	180
25	1111	1112	Cy-Cy	IPE 100	Acciaio	Acciaio_Flessione	0	5555	0	0	8	0	0	8	Trave	177	177
25	1112	1115	Cy-Cy	IPE 100	Acciaio	Acciaio_Flessione	0	5555	0	0	8	0	0	8	Trave	178	178
26	1038	1080	Cy-Cy	IPE 100	Acciaio	Acciaio_Flessione	0	5555	0	0	8	0	0	8	Trave	230	230
26	1080	1039	Cy-Cy	IPE 100	Acciaio	Acciaio_Flessione	0	5555	0	0	8	0	0	8	Trave	180	180
26	1039	1085	Cy-Cy	IPE 100	Acciaio	Acciaio_Flessione	0	5555	0	0	8	0	0	8	Trave	180	180
26	1085	1086	Cy-Cy	IPE 100	Acciaio	Acciaio_Flessione	0	5555	0	0	8	0	0	8	Trave	180	180
26	1086	1088	Cy-Cy	IPE 100	Acciaio	Acciaio_Flessione	0	5555	0	0	8	0	0	8	Trave	180	180
26	1088	1040	Cy-Cy	IPE 100	Acciaio	Acciaio_Flessione	0	5555	0	0	8	0	0	8	Trave	180	180
26	1040	1093	Cy-Cy	IPE 100	Acciaio	Acciaio_Flessione	0	5555	0	0	8	0	0	8	Trave	180	180
26	1093	1094	Cy-Cy	IPE 100	Acciaio	Acciaio_Flessione	0	5555	0	0	8	0	0	8	Trave	180	180
26	1094	1096	Cy-Cy	IPE 100	Acciaio	Acciaio_Flessione	0	5555	0	0	8	0	0	8	Trave	180	180
26	1096	1041	Cy-Cy	IPE 100	Acciaio	Acciaio_Flessione	0	5555	0	0	8	0	0	8	Trave	180	180
26	1041	1133	Cy-Cy	IPE 100	Acciaio	Acciaio_Flessione	0	5555	0	0	8	0	0	8	Trave	180	180
26	1133	1135	Cy-Cy	IPE 100	Acciaio	Acciaio_Flessione	0	5555	0	0	8	0	0	8	Trave	180	180
26	1135	1136	Cy-Cy	IPE 100	Acciaio	Acciaio_Flessione	0	5555	0	0	8	0	0	8	Trave	180	180
26	1136	1042	Cy-Cy	IPE 100	Acciaio	Acciaio_Flessione	0	5555	0	0	8	0	0	8	Trave	180	180
26	1042	1138	Cy-Cy	IPE 100	Acciaio	Acciaio_Flessione	0	5555	0	0	8	0	0	8	Trave	180	180
26	1138	1139	Cy-Cy	IPE 100	Acciaio	Acciaio_Flessione	0	5555	0	0	8	0	0	8	Trave	180	180

	Ni	Nf	Vinc	Sez.	Mat.	Crit.pr.	Rot.	f.f.	xi	yi	zi	xf	yf	zf	Tipo	L2	L3
			Cy														
26	1139	1140	Cy-Cy	IPE 100	Acciaio	Acciaio_Flessione	0	5555	0	0	8	0	0	8	Trave	180	180
26	1140	1043	Cy-Cy	IPE 100	Acciaio	Acciaio_Flessione	0	5555	0	0	8	0	0	8	Trave	177	177
26	1043	1142	Cy-Cy	IPE 100	Acciaio	Acciaio_Flessione	0	5555	0	0	8	0	0	8	Trave	178	178
27	1117	1118	Cy-Cy	IPE 100	Acciaio	Acciaio_Flessione	0	5555	0	0	8	0	0	8	Trave	230	230
27	1118	1119	Cy-Cy	IPE 100	Acciaio	Acciaio_Flessione	0	5555	0	0	8	0	0	8	Trave	180	180
27	1119	1121	Cy-Cy	IPE 100	Acciaio	Acciaio_Flessione	0	5555	0	0	8	0	0	8	Trave	180	180
27	1121	1123	Cy-Cy	IPE 100	Acciaio	Acciaio_Flessione	0	5555	0	0	8	0	0	8	Trave	180	180
27	1123	1125	Cy-Cy	IPE 100	Acciaio	Acciaio_Flessione	0	5555	0	0	8	0	0	8	Trave	180	180
27	1125	1126	Cy-Cy	IPE 100	Acciaio	Acciaio_Flessione	0	5555	0	0	8	0	0	8	Trave	180	180
27	1126	1145	Cy-Cy	IPE 100	Acciaio	Acciaio_Flessione	0	5555	0	0	8	0	0	8	Trave	180	180
27	1145	1146	Cy-Cy	IPE 100	Acciaio	Acciaio_Flessione	0	5555	0	0	8	0	0	8	Trave	180	180
27	1146	1147	Cy-Cy	IPE 100	Acciaio	Acciaio_Flessione	0	5555	0	0	8	0	0	8	Trave	180	180
27	1147	1148	Cy-Cy	IPE 100	Acciaio	Acciaio_Flessione	0	5555	0	0	8	0	0	8	Trave	180	180
27	1148	1149	Cy-Cy	IPE 100	Acciaio	Acciaio_Flessione	0	5555	0	0	8	0	0	8	Trave	180	180
27	1149	1150	Cy-Cy	IPE 100	Acciaio	Acciaio_Flessione	0	5555	0	0	8	0	0	8	Trave	180	180
27	1150	1151	Cy-Cy	IPE 100	Acciaio	Acciaio_Flessione	0	5555	0	0	8	0	0	8	Trave	180	180
27	1151	1153	Cy-Cy	IPE 100	Acciaio	Acciaio_Flessione	0	5555	0	0	8	0	0	8	Trave	180	180
27	1153	1154	Cy-Cy	IPE 100	Acciaio	Acciaio_Flessione	0	5555	0	0	8	0	0	8	Trave	180	180
27	1154	1156	Cy-Cy	IPE 100	Acciaio	Acciaio_Flessione	0	5555	0	0	8	0	0	8	Trave	180	180
27	1156	1158	Cy-Cy	IPE 100	Acciaio	Acciaio_Flessione	0	5555	0	0	8	0	0	8	Trave	180	180
27	1158	1159	Cy-Cy	IPE 100	Acciaio	Acciaio_Flessione	0	5555	0	0	8	0	0	8	Trave	177	177
27	1159	1162	Cy-Cy	IPE 100	Acciaio	Acciaio_Flessione	0	5555	0	0	8	0	0	8	Trave	178	178
28	1044	1045	Cy-Cy	IPE 100	Acciaio	Acciaio_Flessione	0	5555	0	0	8	0	0	8	Trave	230	230
28	1045	1166	Cy-Cy	IPE 100	Acciaio	Acciaio_Flessione	0	5555	0	0	8	0	0	8	Trave	180	180
28	1166	1168	Cy-Cy	IPE 100	Acciaio	Acciaio_Flessione	0	5555	0	0	8	0	0	8	Trave	180	180
28	1168	1170	Cy-Cy	IPE 100	Acciaio	Acciaio_Flessione	0	5555	0	0	8	0	0	8	Trave	180	180
28	1170	1172	Cy-Cy	IPE 100	Acciaio	Acciaio_Flessione	0	5555	0	0	8	0	0	8	Trave	180	180
28	1172	1174	Cy-Cy	IPE 100	Acciaio	Acciaio_Flessione	0	5555	0	0	8	0	0	8	Trave	180	180
28	1174	1176	Cy-Cy	IPE 100	Acciaio	Acciaio_Flessione	0	5555	0	0	8	0	0	8	Trave	180	180
28	1176	1178	Cy-Cy	IPE 100	Acciaio	Acciaio_Flessione	0	5555	0	0	8	0	0	8	Trave	180	180
28	1178	1180	Cy-Cy	IPE 100	Acciaio	Acciaio_Flessione	0	5555	0	0	8	0	0	8	Trave	180	180
28	1180	1182	Cy-Cy	IPE 100	Acciaio	Acciaio_Flessione	0	5555	0	0	8	0	0	8	Trave	180	180
28	1182	1184	Cy-Cy	IPE 100	Acciaio	Acciaio_Flessione	0	5555	0	0	8	0	0	8	Trave	180	180
28	1184	1051	Cy-Cy	IPE 100	Acciaio	Acciaio_Flessione	0	5555	0	0	8	0	0	8	Trave	180	180
28	1051	1187	Cy-Cy	IPE 100	Acciaio	Acciaio_Flessione	0	5555	0	0	8	0	0	8	Trave	180	180
28	1187	1052	Cy-Cy	IPE 100	Acciaio	Acciaio_Flessione	0	5555	0	0	8	0	0	8	Trave	180	180
28	1052	1192	Cy-Cy	IPE 100	Acciaio	Acciaio_Flessione	0	5555	0	0	8	0	0	8	Trave	180	180
28	1192	1194	Cy-Cy	IPE 100	Acciaio	Acciaio_Flessione	0	5555	0	0	8	0	0	8	Trave	180	180
28	1194	1196	Cy-Cy	IPE 100	Acciaio	Acciaio_Flessione	0	5555	0	0	8	0	0	8	Trave	180	180
28	1196	1198	Cy-Cy	IPE 100	Acciaio	Acciaio_Flessione	0	5555	0	0	8	0	0	8	Trave	178	178
28	1198	1200	Cy-Cy	IPE 100	Acciaio	Acciaio_Flessione	0	5555	0	0	8	0	0	8	Trave	178	178
29	1021	1012	I-I	UPN 260	Acciaio	Acciaio_Flessione	0	4040	0	0	0	0	0	0	Trave	134	134
29	1032	1021	I-I	UPN 260	Acciaio	Acciaio_Flessione	0	4040	0	0	0	0	0	0	Trave	134	134
29	1051	1032	I-I	UPN 260	Acciaio	Acciaio_Flessione	0	4040	0	0	0	0	0	0	Trave	134	134
29	1079	1051	I-I	UPN 260	Acciaio	Acciaio_Flessione	0	4040	0	0	0	0	0	0	Trave	150	150
29	1038	1079	I-I	UPN 260	Acciaio	Acciaio_Flessione	0	4040	0	0	0	0	0	0	Trave	150	150

	Ni	Nf	Vinc	Sez.	Mat.	Crit.pr.	Rot.	f.f.	xi	yi	zi	xf	yf	zf	Tipo	L2	L3
29	1116	1038	I-I	UPN 260	Acciaio	Acciaio_Flessione	0	4040	0	0	0	0	0	0	Trave	150	150
29	1117	1116	I-I	UPN 260	Acciaio	Acciaio_Flessione	0	4040	0	0	0	0	0	0	Trave	134	134
29	1044	1117	I-I	UPN 260	Acciaio	Acciaio_Flessione	0	4040	0	0	0	0	0	0	Trave	134	134
29	1163	1044	I-I	UPN 260	Acciaio	Acciaio_Flessione	0	4040	0	0	0	0	0	0	Trave	134	134
30	1050	1076	I-I	UPN 260	Acciaio	Acciaio_Flessione	0	4040	0	0	0	0	0	0	Trave	134	134
30	1076	1077	I-I	UPN 260	Acciaio	Acciaio_Flessione	0	4040	0	0	0	0	0	0	Trave	134	134
30	1077	1114	I-I	UPN 260	Acciaio	Acciaio_Flessione	0	4040	0	0	0	0	0	0	Trave	134	134
30	1114	1115	I-I	UPN 260	Acciaio	Acciaio_Flessione	0	4040	0	0	0	0	0	0	Trave	150	150
30	1115	1142	I-I	UPN 260	Acciaio	Acciaio_Flessione	0	4040	0	0	0	0	0	0	Trave	150	150
30	1142	1161	I-I	UPN 260	Acciaio	Acciaio_Flessione	0	4040	0	-0	0	0	-0	0	Trave	150	150
30	1161	1162	I-I	UPN 260	Acciaio	Acciaio_Flessione	0	4040	0	0	0	0	0	0	Trave	134	134
30	1162	1200	I-I	UPN 260	Acciaio	Acciaio_Flessione	0	4040	0	0	0	0	0	0	Trave	134	134
30	1200	1199	I-I	UPN 260	Acciaio	Acciaio_Flessione	0	4040	0	0	0	0	0	0	Trave	134	134
31	1012	1014	CC-CC	D20	AcciaioTiranti	Acciaio_Tirante	0	5050	0	0	0	0	0	0	Trave	266	266
32	1021	1022	CC-CC	D20	AcciaioTiranti	Acciaio_Tirante	0	5050	0	0	0	0	0	0	Trave	266	266
33	1022	1019	CC-CC	D20	AcciaioTiranti	Acciaio_Tirante	0	5050	0	0	0	0	0	0	Trave	225	225
34	1019	1016	CC-CC	D20	AcciaioTiranti	Acciaio_Tirante	0	5050	0	0	0	0	0	0	Trave	225	225
35	1026	1023	CC-CC	D20	AcciaioTiranti	Acciaio_Tirante	0	5050	0	0	0	0	0	0	Trave	225	225
36	1016	1026	CC-CC	D20	AcciaioTiranti	Acciaio_Tirante	0	5050	0	0	0	0	0	0	Trave	225	225
37	1030	1031	CC-CC	D20	AcciaioTiranti	Acciaio_Tirante	0	5050	0	0	0	0	0	0	Trave	225	225
38	1023	1030	CC-CC	D20	AcciaioTiranti	Acciaio_Tirante	0	5050	0	0	0	0	0	0	Trave	225	225
39	1036	1037	CC-CC	D20	AcciaioTiranti	Acciaio_Tirante	0	5050	0	0	0	0	0	0	Trave	225	225
40	1031	1036	CC-CC	D20	AcciaioTiranti	Acciaio_Tirante	0	5050	0	0	0	0	0	0	Trave	225	225
41	1040	1041	CC-CC	D20	AcciaioTiranti	Acciaio_Tirante	0	5050	0	0	0	0	0	0	Trave	225	225
42	1037	1040	CC-CC	D20	AcciaioTiranti	Acciaio_Tirante	0	5050	0	0	0	0	0	0	Trave	225	225
43	1063	1044	CC-CC	D20	AcciaioTiranti	Acciaio_Tirante	0	5050	0	0	0	0	0	0	Trave	225	225
44	1041	1063	CC-CC	D20	AcciaioTiranti	Acciaio_Tirante	0	5050	0	0	0	0	0	0	Trave	225	225
45	1067	1046	CC-CC	D20	AcciaioTiranti	Acciaio_Tirante	0	5050	0	0	0	0	0	0	Trave	225	225
46	1044	1067	CC-CC	D20	AcciaioTiranti	Acciaio_Tirante	0	5050	0	0	0	0	0	0	Trave	225	225
47	1070	1048	CC-CC	D20	AcciaioTiranti	Acciaio_Tirante	0	5050	0	0	0	0	0	0	Trave	225	225
48	1046	1070	CC-CC	D20	AcciaioTiranti	Acciaio_Tirante	0	5050	0	0	0	0	0	0	Trave	225	225
49	1075	1050	CC-CC	D20	AcciaioTiranti	Acciaio_Tirante	0	5050	0	0	0	0	0	0	Trave	223	223
50	1048	1075	CC-CC	D20	AcciaioTiranti	Acciaio_Tirante	0	5050	0	0	0	0	0	0	Trave	223	223
50	1075	1077	CC-CC	D20	AcciaioTiranti	Acciaio_Tirante	0	5050	0	0	0	0	0	0	Trave	223	223
51	1044	1164	CC-CC	D20	AcciaioTiranti	Acciaio_Tirante	0	5050	0	0	0	0	0	0	Trave	266	266
52	1164	1166	CC-CC	D20	AcciaioTiranti	Acciaio_Tirante	0	5050	0	0	0	0	0	0	Trave	225	225
53	1166	1167	CC-CC	D20	AcciaioTiranti	Acciaio_Tirante	0	5050	0	0	0	0	0	0	Trave	225	225
54	1170	1171	CC-CC	D20	AcciaioTiranti	Acciaio_Tirante	0	5050	0	0	0	0	0	0	Trave	225	225
55	1167	1170	CC-CC	D20	AcciaioTiranti	Acciaio_Tirante	0	5050	0	0	0	0	0	0	Trave	225	225
56	1174	1175	CC-CC	D20	AcciaioTiranti	Acciaio_Tirante	0	5050	0	0	0	0	0	0	Trave	225	225
57	1171	1174	CC-CC	D20	AcciaioTiranti	Acciaio_Tirante	0	5050	0	0	0	0	0	0	Trave	225	225
58	1178	1179	CC-CC	D20	AcciaioTiranti	Acciaio_Tirante	0	5050	0	0	0	0	0	0	Trave	225	225
59	1175	1178	CC-CC	D20	AcciaioTiranti	Acciaio_Tirante	0	5050	0	0	0	0	0	0	Trave	225	225
60	1182	1183	CC-CC	D20	AcciaioTiranti	Acciaio_Tirante	0	5050	0	0	0	0	0	0	Trave	225	225
61	1179	1182	CC-CC	D20	AcciaioTiranti	Acciaio_Tirante	0	5050	0	0	0	0	0	0	Trave	225	225
62	1051	1188	CC-CC	D20	AcciaioTiranti	Acciaio_Tirante	0	5050	0	0	0	0	0	0	Trave	225	225
63	1183	1051	CC-CC	D20	AcciaioTiranti	Acciaio_Tirante	0	5050	0	0	0	0	0	0	Trave	225	225
64	1052	1191	CC-CC	D20	AcciaioTiranti	Acciaio_Tirante	0	5050	0	0	0	0	0	0	Trave	225	225
65	1188	1052	CC-CC	D20	AcciaioTiranti	Acciaio_Tirante	0	5050	0	0	0	0	0	0	Trave	225	225
66	1194	1195	CC-CC	D20	AcciaioTiranti	Acciaio_Tirante	0	5050	0	0	0	0	0	0	Trave	225	225

	Ni	Nf	Vinc.	Sez.	Mat.	Crit.pr.	Rot.	f.f.	xi	yi	zi	xf	yf	zf	Tipo	L2	L3
67	1191	1194	CC-CC	D20	AcciaioTiranti	Acciaio_Tirante	0	5050	0	0	0	0	0	0	Trave	225	225
68	1198	1199	CC-CC	D20	AcciaioTiranti	Acciaio_Tirante	0	5050	0	0	0	0	0	0	Trave	223	223
69	1195	1198	CC-CC	D20	AcciaioTiranti	Acciaio_Tirante	0	5050	0	0	0	0	0	0	Trave	223	223
69	1198	1162	CC-CC	D20	AcciaioTiranti	Acciaio_Tirante	0	5050	0	0	0	0	0	0	Trave	223	223
70	1163	1045	CC-CC	D20	AcciaioTiranti	Acciaio_Tirante	0	5050	0	0	0	0	0	0	Trave	266	266
71	1014	1032	CC-CC	D20	AcciaioTiranti	Acciaio_Tirante	0	5050	0	0	0	0	0	0	Trave	266	266
72	1018	1051	CC-CC	D20	AcciaioTiranti	Acciaio_Tirante	0	5050	0	0	0	0	0	0	Trave	266	266
73	1001	1079	CC-CC	D20	AcciaioTiranti	Acciaio_Tirante	0	5050	0	0	0	0	0	0	Trave	275	275
74	1081	1038	CC-CC	D20	AcciaioTiranti	Acciaio_Tirante	0	5050	0	0	0	0	0	0	Trave	275	275
75	1080	1116	CC-CC	D20	AcciaioTiranti	Acciaio_Tirante	0	5050	0	0	0	0	0	0	Trave	275	275
75	1080	1083	CC-CC	D20	AcciaioTiranti	Acciaio_Tirante	0	5050	0	0	0	0	0	0	Trave	234	234
76	1011	1117	CC-CC	D20	AcciaioTiranti	Acciaio_Tirante	0	5050	0	0	0	0	0	0	Trave	266	266
77	1118	1044	CC-CC	D20	AcciaioTiranti	Acciaio_Tirante	0	5050	0	0	0	0	0	0	Trave	266	266
78	1021	1018	CC-CC	D20	AcciaioTiranti	Acciaio_Tirante	0	5050	0	0	0	0	0	0	Trave	266	266
79	1032	1001	CC-CC	D20	AcciaioTiranti	Acciaio_Tirante	0	5050	0	0	0	0	0	0	Trave	266	266
80	1051	1081	CC-CC	D20	AcciaioTiranti	Acciaio_Tirante	0	5050	0	0	0	0	0	0	Trave	275	275
80	1081	1039	CC-CC	D20	AcciaioTiranti	Acciaio_Tirante	0	5050	0	0	0	0	0	0	Trave	234	234
81	1079	1080	CC-CC	D20	AcciaioTiranti	Acciaio_Tirante	0	5050	0	0	0	0	0	0	Trave	275	275
82	1038	1011	CC-CC	D20	AcciaioTiranti	Acciaio_Tirante	0	5050	0	0	0	0	0	0	Trave	275	275
83	1116	1118	CC-CC	D20	AcciaioTiranti	Acciaio_Tirante	0	5050	0	0	0	0	0	0	Trave	266	266
84	1117	1045	CC-CC	D20	AcciaioTiranti	Acciaio_Tirante	0	5050	0	0	0	0	0	0	Trave	266	266
85	1037	1114	CC-CC	D20	AcciaioTiranti	Acciaio_Tirante	0	5050	0	0	0	0	0	0	Trave	223	223
86	1113	1115	CC-CC	D20	AcciaioTiranti	Acciaio_Tirante	0	5050	0	0	0	0	0	0	Trave	232	232
87	1112	1142	CC-CC	D20	AcciaioTiranti	Acciaio_Tirante	0	5050	0	0	0	0	0	0	Trave	232	232
88	1111	1043	CC-CC	D20	AcciaioTiranti	Acciaio_Tirante	0	5050	0	0	0	0	0	0	Trave	232	232
88	1043	1161	CC-CC	D20	AcciaioTiranti	Acciaio_Tirante	0	5050	0	0	0	0	0	0	Trave	232	232
89	1160	1162	CC-CC	D20	AcciaioTiranti	Acciaio_Tirante	0	5050	0	0	0	0	0	0	Trave	223	223
90	1159	1200	CC-CC	D20	AcciaioTiranti	Acciaio_Tirante	0	5050	0	0	0	0	0	0	Trave	223	223
91	1054	1200	CC-CC	D20	AcciaioTiranti	Acciaio_Tirante	0	5050	0	0	0	0	0	0	Trave	223	223
92	1159	1161	CC-CC	D20	AcciaioTiranti	Acciaio_Tirante	0	5050	0	0	0	0	0	0	Trave	223	223
93	1160	1142	CC-CC	D20	AcciaioTiranti	Acciaio_Tirante	0	5050	0	0	0	0	0	0	Trave	232	232
94	1043	1115	CC-CC	D20	AcciaioTiranti	Acciaio_Tirante	0	5050	0	0	0	0	0	0	Trave	232	232
95	1140	1112	CC-CC	D20	AcciaioTiranti	Acciaio_Tirante	0	5050	0	0	0	0	0	0	Trave	232	232
95	1112	1114	CC-CC	D20	AcciaioTiranti	Acciaio_Tirante	0	5050	0	0	0	0	0	0	Trave	232	232
96	1113	1077	CC-CC	D20	AcciaioTiranti	Acciaio_Tirante	0	5050	0	0	0	0	0	0	Trave	223	223
97	1037	1076	CC-CC	D20	AcciaioTiranti	Acciaio_Tirante	0	5050	0	0	0	0	0	0	Trave	223	223
98	1031	1076	CC-CC	D20	AcciaioTiranti	Acciaio_Tirante	0	5050	0	0	0	0	0	0	Trave	223	223
99	1083	1085	CC-CC	D20	AcciaioTiranti	Acciaio_Tirante	0	5050	0	0	0	0	0	0	Trave	234	234
100	1039	1084	CC-CC	D20	AcciaioTiranti	Acciaio_Tirante	0	5050	0	0	0	0	0	0	Trave	234	234
101	1084	1086	CC-CC	D20	AcciaioTiranti	Acciaio_Tirante	0	5050	0	0	0	0	0	0	Trave	234	234
102	1085	1087	CC-CC	D20	AcciaioTiranti	Acciaio_Tirante	0	5050	0	0	0	0	0	0	Trave	234	234
103	1087	1088	CC-CC	D20	AcciaioTiranti	Acciaio_Tirante	0	5050	0	0	0	0	0	0	Trave	234	234
104	1086	1089	CC-CC	D20	AcciaioTiranti	Acciaio_Tirante	0	5050	0	0	0	0	0	0	Trave	234	234
105	1089	1040	CC-CC	D20	AcciaioTiranti	Acciaio_Tirante	0	5050	0	0	0	0	0	0	Trave	234	234

	Ni	Nf	Vinc	Sez.	Mat.	Crit.pr.	Rot.	f.f.	xi	yi	zi	xf	yf	zf	Tipo	L2	L3
106	1088	1091	CC-CC	D20	AcciaioTiranti	Acciaio_Tirante	0	5050	0	0	0	0	0	0	Trave	234	234
107	1091	1093	CC-CC	D20	AcciaioTiranti	Acciaio_Tirante	0	5050	0	0	0	0	0	0	Trave	234	234
108	1040	1092	CC-CC	D20	AcciaioTiranti	Acciaio_Tirante	0	5050	0	0	0	0	0	0	Trave	234	234
109	1092	1094	CC-CC	D20	AcciaioTiranti	Acciaio_Tirante	0	5050	0	0	0	0	0	0	Trave	234	234
110	1093	1095	CC-CC	D20	AcciaioTiranti	Acciaio_Tirante	0	5050	0	0	0	0	0	0	Trave	234	234
111	1095	1096	CC-CC	D20	AcciaioTiranti	Acciaio_Tirante	0	5050	0	0	0	0	0	0	Trave	234	234
112	1094	1097	CC-CC	D20	AcciaioTiranti	Acciaio_Tirante	0	5050	0	0	0	0	0	0	Trave	234	234
113	1097	1041	CC-CC	D20	AcciaioTiranti	Acciaio_Tirante	0	5050	0	0	0	0	0	0	Trave	234	234
114	1096	1098	CC-CC	D20	AcciaioTiranti	Acciaio_Tirante	0	5050	0	0	0	0	0	0	Trave	234	234
115	1098	1133	CC-CC	D20	AcciaioTiranti	Acciaio_Tirante	0	5050	0	0	0	0	0	0	Trave	234	234
116	1041	1100	CC-CC	D20	AcciaioTiranti	Acciaio_Tirante	0	5050	0	0	0	0	0	0	Trave	234	234
117	1100	1135	CC-CC	D20	AcciaioTiranti	Acciaio_Tirante	0	5050	0	0	0	0	0	0	Trave	234	234
118	1133	1102	CC-CC	D20	AcciaioTiranti	Acciaio_Tirante	0	5050	0	0	0	0	0	0	Trave	234	234
119	1102	1136	CC-CC	D20	AcciaioTiranti	Acciaio_Tirante	0	5050	0	0	0	0	0	0	Trave	234	234
120	1135	1104	CC-CC	D20	AcciaioTiranti	Acciaio_Tirante	0	5050	0	0	0	0	0	0	Trave	234	234
121	1104	1042	CC-CC	D20	AcciaioTiranti	Acciaio_Tirante	0	5050	0	0	0	0	0	0	Trave	234	234
122	1136	1105	CC-CC	D20	AcciaioTiranti	Acciaio_Tirante	0	5050	0	0	0	0	0	0	Trave	234	234
123	1105	1138	CC-CC	D20	AcciaioTiranti	Acciaio_Tirante	0	5050	0	0	0	0	0	0	Trave	234	234
124	1042	1108	CC-CC	D20	AcciaioTiranti	Acciaio_Tirante	0	5050	0	0	0	0	0	0	Trave	234	234
125	1108	1139	CC-CC	D20	AcciaioTiranti	Acciaio_Tirante	0	5050	0	0	0	0	0	0	Trave	234	234
126	1138	1109	CC-CC	D20	AcciaioTiranti	Acciaio_Tirante	0	5050	0	0	0	0	0	0	Trave	234	234
127	1109	1140	CC-CC	D20	AcciaioTiranti	Acciaio_Tirante	0	5050	0	0	0	0	0	0	Trave	234	234
128	1139	1111	CC-CC	D20	AcciaioTiranti	Acciaio_Tirante	0	5050	0	0	0	0	0	0	Trave	234	234
129	45	47	I-I	30x120	C25/30	CLS_TraviFondazione	0	5550	0	0	20	0	0	20	Fond.	720	720
129	47	49	I-I	30x120	C25/30	CLS_TraviFondazione	0	5050	0	0	20	0	0	20	Fond.	720	720
129	49	51	I-I	30x120	C25/30	CLS_TraviFondazione	0	5050	0	0	20	0	0	20	Fond.	720	720
129	51	53	I-I	30x120	C25/30	CLS_TraviFondazione	0	5055	0	0	20	0	0	20	Fond.	720	720
130	1	11	I-I	30x120	C25/30	CLS_TraviFondazione	0	5555	0	0	20	0	0	20	Fond.	450	450
130	11	45	I-I	30x120	C25/30	CLS_TraviFondazione	0	5555	0	0	20	0	0	20	Fond.	390	390
131	1	3	I-I	30x120	C25/30	CLS_TraviFondazione	0	5555	0	0	20	0	0	20	Fond.	720	720
131	3	5	I-I	30x120	C25/30	CLS_TraviFondazione	0	5555	0	0	20	0	0	20	Fond.	720	720
131	5	8	I-I	30x120	C25/30	CLS_TraviFondazione	0	5555	0	0	20	0	0	20	Fond.	720	720
131	8	9	I-I	30x120	C25/30	CLS_TraviFondazione	0	5555	0	0	20	0	0	20	Fond.	720	720
132	9	19	I-I	30x120	C25/30	CLS_TraviFondazione	0	5555	0	0	20	0	0	20	Fond.	450	450
132	19	53	I-I	30x120	C25/30	CLS_TraviFondazione	0	5555	0	0	20	0	0	20	Fond.	390	390
133	11	13	I-I	30x40	C25/30	Clis aste collegamento Plinti	0	8585	0	0	0	0	0	0	Trave	720	720
133	13	15	I-I	30x40	C25/30	Clis aste collegamento Plinti	0	8585	0	0	0	0	0	0	Trave	720	720
133	15	18	I-I	30x40	C25/30	Clis aste collegamento Plinti	0	8585	0	0	0	0	0	0	Trave	720	720
133	18	19	I-I	30x40	C25/30	Clis aste collegamento Plinti	0	8585	0	0	0	0	0	0	Trave	720	720
134	3	13	I-I	30x40	C25/30	Clis aste collegamento Plinti	0	8585	0	0	0	0	0	0	Trave	450	450
134	13	47	I-I	30x40	C25/30	Clis aste collegamento Plinti	0	8585	0	0	0	0	0	0	Trave	390	390
135	5	15	I-I	30x40	C25/30	Clis aste collegamento Plinti	0	8585	0	0	0	0	0	0	Trave	450	450
135	15	49	I-I	30x40	C25/30	Clis aste collegamento Plinti	0	8585	0	0	0	0	0	0	Trave	390	390
136	8	18	I-I	30x40	C25/30	Clis aste collegamento Plinti	0	8585	0	0	0	0	0	0	Trave	450	450
136	18	51	I-I	30x40	C25/30	Clis aste collegamento Plinti	0	8585	0	0	0	0	0	0	Trave	390	390

Aste - Carichi

Descrizione carichi aste

UnifG Uniforme globale

UnifL Uniforme locale

VarG Variabile lineare globale

VarL	Variabile lineare locale
PolG	Poligonale globale
Termico	Distorsione termica
Torcente	Carico torcente
Precomp.	Carico da precompressione
PolL	Poligonale locale

Sezione	Ni	Nf	Cond.	Tipo c.	Xi	QXi	QYi	QZi	Xf	QXf	QYf	QZf
					cm	car. dist. kg/m coppie torc. kg*m/m			cm	car. dist. kg/m coppie torc. kg*m/m		
Pilastro 137												
HE 260 B	2	1001	Peso Proprio	UnifG	0	0	0	93	508	0	0	93
HE 260 B	2	1001	Carichi termici	Termico	$\Delta XY=15^{\circ}C, \Delta XZ=15^{\circ}C$							
Pilastro 138												
HE 260 B	4	1003	Peso Proprio	UnifG	0	0	0	93	508	0	0	93
HE 260 B	4	1003	Carichi termici	Termico	$\Delta XY=15^{\circ}C, \Delta XZ=15^{\circ}C$							
Pilastro 139												
HE 260 B	6	1005	Peso Proprio	UnifG	0	0	0	93	508	0	0	93
HE 260 B	6	1005	Carichi termici	Termico	$\Delta XY=15^{\circ}C, \Delta XZ=15^{\circ}C$							
Pilastro 140												
HE 260 B	7	1007	Peso Proprio	UnifG	0	0	0	93	508	0	0	93
HE 260 B	7	1007	Carichi termici	Termico	$\Delta XY=15^{\circ}C, \Delta XZ=15^{\circ}C$							
Pilastro 141												
HE 260 B	10	1009	Peso Proprio	UnifG	0	0	0	93	508	0	0	93
HE 260 B	10	1009	Carichi termici	Termico	$\Delta XY=15^{\circ}C, \Delta XZ=15^{\circ}C$							
Pilastro 142												
HE 260 B	12	1011	Peso Proprio	UnifG	0	0	0	93	502	0	0	93
HE 260 B	12	1011	Carichi termici	Termico	$\Delta XY=15^{\circ}C, \Delta XZ=15^{\circ}C$							
Pilastro 143												
HE 260 B	14	1013	Peso Proprio	UnifG	0	0	0	93	502	0	0	93
HE 260 B	14	1013	Carichi termici	Termico	$\Delta XY=15^{\circ}C, \Delta XZ=15^{\circ}C$							
Pilastro 144												
HE 260 B	16	1015	Peso Proprio	UnifG	0	0	0	93	502	0	0	93
HE 260 B	16	1015	Carichi termici	Termico	$\Delta XY=15^{\circ}C, \Delta XZ=15^{\circ}C$							
Pilastro 145												
HE 260 B	17	1017	Peso Proprio	UnifG	0	0	0	93	502	0	0	93
HE 260 B	17	1017	Carichi termici	Termico	$\Delta XY=15^{\circ}C, \Delta XZ=15^{\circ}C$							
Pilastro 146												
HE 260 B	20	1019	Peso Proprio	UnifG	0	0	0	93	502	0	0	93
HE 260 B	20	1019	Carichi termici	Termico	$\Delta XY=15^{\circ}C, \Delta XZ=15^{\circ}C$							
Pilastro 147												
80x80	1	2	Peso Proprio	UnifG	0	0	0	1600	80	0	0	1600
Pilastro 148												
80x80	15	16	Peso Proprio	UnifG	0	0	0	1600	80	0	0	1600
Pilastro 149												
80x80	3	4	Peso Proprio	UnifG	0	0	0	1600	80	0	0	1600
Pilastro 150												
80x80	13	14	Peso Proprio	UnifG	0	0	0	1600	80	0	0	1600
Pilastro 151												
80x80	19	20	Peso Proprio	UnifG	0	0	0	1600	80	0	0	1600
Pilastro 152												
80x80	8	7	Peso Proprio	UnifG	0	0	0	1600	80	0	0	1600
Pilastro 153												
80x80	5	6	Peso Proprio	UnifG	0	0	0	1600	80	0	0	1600
Pilastro 154												
80x80	9	10	Peso Proprio	UnifG	0	0	0	1600	80	0	0	1600
Pilastro 155												
80x80	11	12	Peso Proprio	UnifG	0	0	0	1600	80	0	0	1600
Pilastro 156												
80x80	18	17	Peso Proprio	UnifG	0	0	0	1600	80	0	0	1600
Trave 1												
HE 260 B	1001	1052	Peso Proprio	UnifG	0	0	0	93	180	0	0	93
HE 260 B	1001	1052	QFissi Solai	PolG	0	0	0	71	180	0	0	71
HE 260 B	1001	1052	QV Solai	PolG	0	0	0	71	180	0	0	71
HE 260 B	1001	1052	Neve	PolG	0	0	0	54	180	0	0	54
HE 260 B	1001	1052	Neve	PolG	0	0	0	60	180	0	0	60
HE 260 B	1001	1052	Vento Y CF<0	PolG	0	0	0	-165	180	0	0	-165

Sezione	Ni	Nf	Cond.	Tipo c.	Xi	QXi	QYi	QZi	Xf	QXf	QYf	QZf			
HE 260 B	1001	1052	Vento Y CF<0	PolG	0	0	0	-184	180	0	0	-184			
HE 260 B	1001	1052	Vento Y CF>0	PolG	0	0	0	30	180	0	0	30			
HE 260 B	1001	1052	Vento Y CF>0	PolG	0	0	0	27	180	0	0	27			
HE 260 B	1001	1052	Carichi termici	Termico	$\Delta XY=15^{\circ}C, \Delta XZ=15^{\circ}C$										
HE 260 B	1003	1055	Peso Proprio	UnifG	0	0	0	93	180	0	0	93			
HE 260 B	1003	1055	QFissi Solai	PolG	0	0	0	71	180	0	0	71			
HE 260 B	1003	1055	QV Solai	PolG	0	0	0	71	180	0	0	71			
HE 260 B	1003	1055	Neve	PolG	0	0	0	54	180	0	0	54			
HE 260 B	1003	1055	Neve	PolG	0	0	0	60	180	0	0	60			
HE 260 B	1003	1055	Vento Y CF<0	PolG	0	0	0	-184	180	0	0	-184			
HE 260 B	1003	1055	Vento Y CF<0	PolG	0	0	0	-165	180	0	0	-165			
HE 260 B	1003	1055	Vento Y CF>0	PolG	0	0	0	27	180	0	0	27			
HE 260 B	1003	1055	Vento Y CF>0	PolG	0	0	0	30	180	0	0	30			
HE 260 B	1003	1055	Carichi termici	Termico	$\Delta XY=15^{\circ}C, \Delta XZ=15^{\circ}C$										
HE 260 B	1005	1099	Peso Proprio	UnifG	0	0	0	93	180	0	0	93			
HE 260 B	1005	1099	QFissi Solai	PolG	0	0	0	71	180	0	0	71			
HE 260 B	1005	1099	QV Solai	PolG	0	0	0	71	180	0	0	71			
HE 260 B	1005	1099	Neve	PolG	0	0	0	60	180	0	0	60			
HE 260 B	1005	1099	Neve	PolG	0	0	0	54	180	0	0	54			
HE 260 B	1005	1099	Vento Y CF<0	PolG	0	0	0	-184	180	0	0	-184			
HE 260 B	1005	1099	Vento Y CF<0	PolG	0	0	0	-165	180	0	0	-165			
HE 260 B	1005	1099	Vento Y CF>0	PolG	0	0	0	30	180	0	0	30			
HE 260 B	1005	1099	Vento Y CF>0	PolG	0	0	0	27	180	0	0	27			
HE 260 B	1005	1099	Carichi termici	Termico	$\Delta XY=15^{\circ}C, \Delta XZ=15^{\circ}C$										
HE 260 B	1007	1106	Peso Proprio	UnifG	0	0	0	93	180	0	0	93			
HE 260 B	1007	1106	QFissi Solai	PolG	-0	0	0	71	180	0	0	71			
HE 260 B	1007	1106	QV Solai	PolG	-0	0	0	71	180	0	0	71			
HE 260 B	1007	1106	Neve	PolG	0	0	0	60	180	0	0	60			
HE 260 B	1007	1106	Neve	PolG	0	0	0	54	180	0	0	54			
HE 260 B	1007	1106	Vento Y CF<0	PolG	0	0	0	-184	180	0	0	-184			
HE 260 B	1007	1106	Vento Y CF<0	PolG	0	0	0	-165	180	0	0	-165			
HE 260 B	1007	1106	Vento Y CF>0	PolG	0	0	0	30	180	0	0	30			
HE 260 B	1007	1106	Vento Y CF>0	PolG	0	0	0	27	180	0	0	27			
HE 260 B	1007	1106	Carichi termici	Termico	$\Delta XY=15^{\circ}C, \Delta XZ=15^{\circ}C$										
HE 260 B	1009	1113	Peso Proprio	UnifG	0	0	0	93	177	0	0	93			
HE 260 B	1009	1113	QFissi Solai	PolG	-0	0	0	71	177	0	0	71			
HE 260 B	1009	1113	QV Solai	PolG	-0	0	0	71	177	0	0	71			
HE 260 B	1009	1113	Neve	PolG	0	0	0	60	177	0	0	60			
HE 260 B	1009	1113	Neve	PolG	0	0	0	54	177	0	0	54			
HE 260 B	1009	1113	Vento Y CF<0	PolG	0	0	0	-184	177	0	0	-184			
HE 260 B	1009	1113	Vento Y CF<0	PolG	0	0	0	-165	177	0	0	-165			
HE 260 B	1009	1113	Vento Y CF>0	PolG	0	0	0	30	177	0	0	30			
HE 260 B	1009	1113	Vento Y CF>0	PolG	0	0	0	27	177	0	0	27			
HE 260 B	1009	1113	Carichi termici	Termico	$\Delta XY=15^{\circ}C, \Delta XZ=15^{\circ}C$										
HE 260 B	1051	1001	Peso Proprio	UnifG	0	0	0	93	230	0	0	93			
HE 260 B	1051	1001	QFissi Solai	PolG	-0	0	0	71	230	0	0	71			
HE 260 B	1051	1001	QV Solai	PolG	-0	0	0	71	230	0	0	71			
HE 260 B	1051	1001	Neve	PolG	0	0	0	60	230	0	0	60			
HE 260 B	1051	1001	Neve	PolG	0	0	0	54	230	0	0	54			
HE 260 B	1051	1001	Vento Y CF<0	PolG	0	0	0	-184	230	0	0	-184			
HE 260 B	1051	1001	Vento Y CF<0	PolG	0	0	0	-165	230	0	0	-165			
HE 260 B	1051	1001	Vento Y CF>0	PolG	0	0	0	27	230	0	0	27			
HE 260 B	1051	1001	Vento Y CF>0	PolG	0	0	0	30	230	0	0	30			
HE 260 B	1051	1001	Carichi termici	Termico	$\Delta XY=15^{\circ}C, \Delta XZ=15^{\circ}C$										
HE 260 B	1052	1053	Peso Proprio	UnifG	0	0	0	93	180	0	0	93			
HE 260 B	1052	1053	QFissi Solai	PolG	0	0	0	71	180	0	0	71			
HE 260 B	1052	1053	QV Solai	PolG	0	0	0	71	180	0	0	71			
HE 260 B	1052	1053	Neve	PolG	0	0	0	54	180	0	0	54			
HE 260 B	1052	1053	Neve	PolG	0	0	0	60	180	0	0	60			
HE 260 B	1052	1053	Vento Y CF<0	PolG	0	0	0	-184	180	0	0	-184			
HE 260 B	1052	1053	Vento Y CF<0	PolG	0	0	0	-165	180	0	0	-165			
HE 260 B	1052	1053	Vento Y CF>0	PolG	0	0	0	27	180	0	0	27			
HE 260 B	1052	1053	Vento Y CF>0	PolG	0	0	0	30	180	0	0	30			
HE 260 B	1052	1053	Carichi termici	Termico	$\Delta XY=15^{\circ}C, \Delta XZ=15^{\circ}C$										
HE 260 B	1053	1054	Peso Proprio	UnifG	0	0	0	93	180	0	0	93			
HE 260 B	1053	1054	QFissi Solai	PolG	0	0	0	71	180	0	0	71			
HE 260 B	1053	1054	QV Solai	PolG	0	0	0	71	180	0	0	71			

Sezione	Ni	Nf	Cond.	Tipo c.	Xi	QXi	QYi	QZi	Xf	QXf	QYf	QZf
HE 260 B	1053	1054	Neve	PolG	0	0	0	60	180	0	0	60
HE 260 B	1053	1054	Neve	PolG	0	0	0	54	180	0	0	54
HE 260 B	1053	1054	Vento Y CF<0	PolG	0	0	0	-165	180	0	0	-165
HE 260 B	1053	1054	Vento Y CF<0	PolG	0	0	0	-184	180	0	0	-184
HE 260 B	1053	1054	Vento Y CF>0	PolG	0	0	0	30	180	0	0	30
HE 260 B	1053	1054	Vento Y CF>0	PolG	0	0	0	27	180	0	0	27
HE 260 B	1053	1054	Carichi termici	Termico	$\Delta XY=15^{\circ}C, \Delta XZ=15^{\circ}C$							
HE 260 B	1054	1003	Peso Proprio	UnifG	0	0	0	93	180	0	0	93
HE 260 B	1054	1003	QFissi Solai	PolG	0	0	0	71	180	0	0	71
HE 260 B	1054	1003	QV Solai	PolG	0	0	0	71	180	0	0	71
HE 260 B	1054	1003	Neve	PolG	0	0	0	60	180	0	0	60
HE 260 B	1054	1003	Neve	PolG	0	0	0	54	180	0	0	54
HE 260 B	1054	1003	Vento Y CF<0	PolG	0	0	0	-165	180	0	0	-165
HE 260 B	1054	1003	Vento Y CF<0	PolG	0	0	0	-184	180	0	0	-184
HE 260 B	1054	1003	Vento Y CF>0	PolG	0	0	0	27	180	0	0	27
HE 260 B	1054	1003	Vento Y CF>0	PolG	0	0	0	30	180	0	0	30
HE 260 B	1054	1003	Carichi termici	Termico	$\Delta XY=15^{\circ}C, \Delta XZ=15^{\circ}C$							
HE 260 B	1055	1056	Peso Proprio	UnifG	0	0	0	93	180	0	0	93
HE 260 B	1055	1056	QFissi Solai	PolG	0	0	0	71	180	0	0	71
HE 260 B	1055	1056	QV Solai	PolG	0	0	0	71	180	0	0	71
HE 260 B	1055	1056	Neve	PolG	0	0	0	54	180	0	0	54
HE 260 B	1055	1056	Neve	PolG	0	0	0	60	180	0	0	60
HE 260 B	1055	1056	Vento Y CF<0	PolG	0	0	0	-165	180	0	0	-165
HE 260 B	1055	1056	Vento Y CF<0	PolG	0	0	0	-184	180	0	0	-184
HE 260 B	1055	1056	Vento Y CF>0	PolG	0	0	0	30	180	0	0	30
HE 260 B	1055	1056	Vento Y CF>0	PolG	0	0	0	27	180	0	0	27
HE 260 B	1055	1056	Carichi termici	Termico	$\Delta XY=15^{\circ}C, \Delta XZ=15^{\circ}C$							
HE 260 B	1056	1058	Peso Proprio	UnifG	0	0	0	93	180	0	0	93
HE 260 B	1056	1058	QFissi Solai	PolG	0	0	0	71	180	0	0	71
HE 260 B	1056	1058	QV Solai	PolG	0	0	0	71	180	0	0	71
HE 260 B	1056	1058	Neve	PolG	0	0	0	60	180	0	0	60
HE 260 B	1056	1058	Neve	PolG	0	0	0	54	180	0	0	54
HE 260 B	1056	1058	Vento Y CF<0	PolG	0	0	0	-184	180	0	0	-184
HE 260 B	1056	1058	Vento Y CF<0	PolG	0	0	0	-165	180	0	0	-165
HE 260 B	1056	1058	Vento Y CF>0	PolG	0	0	0	30	180	0	0	30
HE 260 B	1056	1058	Vento Y CF>0	PolG	0	0	0	27	180	0	0	27
HE 260 B	1056	1058	Carichi termici	Termico	$\Delta XY=15^{\circ}C, \Delta XZ=15^{\circ}C$							
HE 260 B	1058	1005	Peso Proprio	UnifG	0	0	0	93	180	0	0	93
HE 260 B	1058	1005	QFissi Solai	PolG	0	0	0	71	180	0	0	71
HE 260 B	1058	1005	QV Solai	PolG	0	0	0	71	180	0	0	71
HE 260 B	1058	1005	Neve	PolG	0	0	0	60	180	0	0	60
HE 260 B	1058	1005	Neve	PolG	0	0	0	54	180	0	0	54
HE 260 B	1058	1005	Vento Y CF<0	PolG	0	0	0	-165	180	0	0	-165
HE 260 B	1058	1005	Vento Y CF<0	PolG	0	0	0	-184	180	0	0	-184
HE 260 B	1058	1005	Vento Y CF>0	PolG	0	0	0	30	180	0	0	30
HE 260 B	1058	1005	Vento Y CF>0	PolG	0	0	0	27	180	0	0	27
HE 260 B	1058	1005	Carichi termici	Termico	$\Delta XY=15^{\circ}C, \Delta XZ=15^{\circ}C$							
HE 260 B	1099	1101	Peso Proprio	UnifG	0	0	0	93	180	0	0	93
HE 260 B	1099	1101	QFissi Solai	PolG	0	0	0	71	180	0	0	71
HE 260 B	1099	1101	QV Solai	PolG	0	0	0	71	180	0	0	71
HE 260 B	1099	1101	Neve	PolG	0	0	0	60	180	0	0	60
HE 260 B	1099	1101	Neve	PolG	0	0	0	54	180	0	0	54
HE 260 B	1099	1101	Vento Y CF<0	PolG	0	0	0	-165	180	0	0	-165
HE 260 B	1099	1101	Vento Y CF<0	PolG	0	0	0	-184	180	0	0	-184
HE 260 B	1099	1101	Vento Y CF>0	PolG	0	0	0	27	180	0	0	27
HE 260 B	1099	1101	Vento Y CF>0	PolG	0	0	0	30	180	0	0	30
HE 260 B	1099	1101	Carichi termici	Termico	$\Delta XY=15^{\circ}C, \Delta XZ=15^{\circ}C$							
HE 260 B	1101	1103	Peso Proprio	UnifG	0	0	0	93	180	0	0	93
HE 260 B	1101	1103	QFissi Solai	PolG	0	0	0	71	180	0	0	71
HE 260 B	1101	1103	QV Solai	PolG	0	0	0	71	180	0	0	71
HE 260 B	1101	1103	Neve	PolG	0	0	0	60	180	0	0	60
HE 260 B	1101	1103	Neve	PolG	0	0	0	54	180	0	0	54
HE 260 B	1101	1103	Vento Y CF<0	PolG	0	0	0	-165	180	0	0	-165
HE 260 B	1101	1103	Vento Y CF<0	PolG	0	0	0	-184	180	0	0	-184
HE 260 B	1101	1103	Vento Y CF>0	PolG	0	0	0	30	180	0	0	30
HE 260 B	1101	1103	Vento Y CF>0	PolG	0	0	0	27	180	0	0	27
HE 260 B	1101	1103	Carichi termici	Termico	$\Delta XY=15^{\circ}C, \Delta XZ=15^{\circ}C$							

Sezione	Ni	Nf	Cond.	Tipo c.	Xi	QXi	QYi	QZi	Xf	QXf	QYf	QZf
HE 260 B	1103	1007	Peso Proprio	UnifG	0	0	0	93	180	0	0	93
HE 260 B	1103	1007	QFissi Solai	PolG	-0	0	0	71	180	0	0	71
HE 260 B	1103	1007	QV Solai	PolG	-0	0	0	71	180	0	0	71
HE 260 B	1103	1007	Neve	PolG	0	0	0	60	180	0	0	60
HE 260 B	1103	1007	Neve	PolG	0	0	0	54	180	0	0	54
HE 260 B	1103	1007	Vento Y CF<0	PolG	0	0	0	-165	180	0	0	-165
HE 260 B	1103	1007	Vento Y CF<0	PolG	0	0	0	-184	180	0	0	-184
HE 260 B	1103	1007	Vento Y CF>0	PolG	0	0	0	30	180	0	0	30
HE 260 B	1103	1007	Vento Y CF>0	PolG	0	0	0	27	180	0	0	27
HE 260 B	1103	1007	Carichi termici	Termico	$\Delta XY=15^{\circ}C, \Delta XZ=15^{\circ}C$							
HE 260 B	1106	1107	Peso Proprio	UnifG	0	0	0	93	180	0	0	93
HE 260 B	1106	1107	QFissi Solai	PolG	-0	0	0	71	180	0	0	71
HE 260 B	1106	1107	QV Solai	PolG	-0	0	0	71	180	0	0	71
HE 260 B	1106	1107	Neve	PolG	0	0	0	54	180	0	0	54
HE 260 B	1106	1107	Neve	PolG	0	0	0	60	180	0	0	60
HE 260 B	1106	1107	Vento Y CF<0	PolG	0	0	0	-165	180	0	0	-165
HE 260 B	1106	1107	Vento Y CF<0	PolG	0	0	0	-184	180	0	0	-184
HE 260 B	1106	1107	Vento Y CF>0	PolG	0	0	0	30	180	0	0	30
HE 260 B	1106	1107	Vento Y CF>0	PolG	0	0	0	27	180	0	0	27
HE 260 B	1106	1107	Carichi termici	Termico	$\Delta XY=15^{\circ}C, \Delta XZ=15^{\circ}C$							
HE 260 B	1107	1110	Peso Proprio	UnifG	0	0	0	93	180	0	0	93
HE 260 B	1107	1110	QFissi Solai	PolG	0	0	0	71	180	0	0	71
HE 260 B	1107	1110	QV Solai	PolG	0	0	0	71	180	0	0	71
HE 260 B	1107	1110	Neve	PolG	0	0	0	60	180	0	0	60
HE 260 B	1107	1110	Neve	PolG	0	0	0	54	180	0	0	54
HE 260 B	1107	1110	Vento Y CF<0	PolG	0	0	0	-165	180	0	0	-165
HE 260 B	1107	1110	Vento Y CF<0	PolG	0	0	0	-184	180	0	0	-184
HE 260 B	1107	1110	Vento Y CF>0	PolG	0	0	0	27	180	0	0	27
HE 260 B	1107	1110	Vento Y CF>0	PolG	0	0	0	30	180	0	0	30
HE 260 B	1107	1110	Carichi termici	Termico	$\Delta XY=15^{\circ}C, \Delta XZ=15^{\circ}C$							
HE 260 B	1110	1009	Peso Proprio	UnifG	0	0	0	93	180	0	0	93
HE 260 B	1110	1009	QFissi Solai	PolG	0	0	0	71	180	0	0	71
HE 260 B	1110	1009	QV Solai	PolG	0	0	0	71	180	0	0	71
HE 260 B	1110	1009	Neve	PolG	0	0	0	60	180	0	0	60
HE 260 B	1110	1009	Neve	PolG	0	0	0	54	180	0	0	54
HE 260 B	1110	1009	Vento Y CF<0	PolG	0	0	0	-184	180	0	0	-184
HE 260 B	1110	1009	Vento Y CF<0	PolG	0	0	0	-165	180	0	0	-165
HE 260 B	1110	1009	Vento Y CF>0	PolG	0	0	0	27	180	0	0	27
HE 260 B	1110	1009	Vento Y CF>0	PolG	0	0	0	30	180	0	0	30
HE 260 B	1110	1009	Carichi termici	Termico	$\Delta XY=15^{\circ}C, \Delta XZ=15^{\circ}C$							
HE 260 B	1113	1114	Peso Proprio	UnifG	0	0	0	93	177	0	0	93
HE 260 B	1113	1114	QFissi Solai	PolG	-0	0	0	71	177	0	0	71
HE 260 B	1113	1114	QV Solai	PolG	-0	0	0	71	177	0	0	71
HE 260 B	1113	1114	Neve	PolG	0	0	0	60	177	0	0	60
HE 260 B	1113	1114	Neve	PolG	0	0	0	54	177	0	0	54
HE 260 B	1113	1114	Vento Y CF<0	PolG	0	0	0	-165	177	0	0	-165
HE 260 B	1113	1114	Vento Y CF<0	PolG	0	0	0	-184	177	0	0	-184
HE 260 B	1113	1114	Vento Y CF>0	PolG	0	0	0	30	177	0	0	30
HE 260 B	1113	1114	Vento Y CF>0	PolG	0	0	0	27	177	0	0	27
HE 260 B	1113	1114	Carichi termici	Termico	$\Delta XY=15^{\circ}C, \Delta XZ=15^{\circ}C$							
Trave 2												
HE 260 B	1011	1120	Peso Proprio	UnifG	0	0	0	93	180	0	0	93
HE 260 B	1011	1120	QFissi Solai	PolG	0	0	0	71	180	0	0	71
HE 260 B	1011	1120	QV Solai	PolG	0	0	0	71	180	0	0	71
HE 260 B	1011	1120	Neve	PolG	0	0	0	60	180	0	0	60
HE 260 B	1011	1120	Neve	PolG	0	0	0	54	180	0	0	54
HE 260 B	1011	1120	Carichi termici	Termico	$\Delta XY=15^{\circ}C, \Delta XZ=15^{\circ}C$							
HE 260 B	1011	1120	Vento - Y CF<0	PolG	0	0	0	-129	180	0	0	-129
HE 260 B	1011	1120	Vento - Y CF<0	PolG	0	0	0	-116	180	0	0	-116
HE 260 B	1011	1120	Vento -Y CF>0	PolG	0	0	0	27	180	0	0	27
HE 260 B	1011	1120	Vento -Y CF>0	PolG	0	0	0	30	180	0	0	30
HE 260 B	1013	1127	Peso Proprio	UnifG	0	0	0	93	180	0	0	93
HE 260 B	1013	1127	QFissi Solai	PolG	-0	0	0	71	180	0	0	71
HE 260 B	1013	1127	QV Solai	PolG	-0	0	0	71	180	0	0	71
HE 260 B	1013	1127	Neve	PolG	0	0	0	54	180	0	0	54
HE 260 B	1013	1127	Neve	PolG	0	0	0	60	180	0	0	60
HE 260 B	1013	1127	Carichi termici	Termico	$\Delta XY=15^{\circ}C, \Delta XZ=15^{\circ}C$							

Sezione	Ni	Nf	Cond.	Tipo c.	Xi	QXi	QYi	QZi	Xf	QXf	QYf	QZf
HE 260 B	1013	1127	Vento - Y CF<0	PolG	0	0	0	-116	180	0	0	-116
HE 260 B	1013	1127	Vento - Y CF<0	PolG	0	0	0	-129	180	0	0	-129
HE 260 B	1013	1127	Vento -Y CF>0	PolG	0	0	0	30	180	0	0	30
HE 260 B	1013	1127	Vento -Y CF>0	PolG	0	0	0	27	180	0	0	27
HE 260 B	1015	1131	Peso Proprio	UnifG	0	0	0	93	180	0	0	93
HE 260 B	1015	1131	QFissi Solai	PolG	-0	0	0	71	180	0	0	71
HE 260 B	1015	1131	QV Solai	PolG	-0	0	0	71	180	0	0	71
HE 260 B	1015	1131	Neve	PolG	0	0	0	60	180	0	0	60
HE 260 B	1015	1131	Neve	PolG	0	0	0	54	180	0	0	54
HE 260 B	1015	1131	Carichi termici	Termico	$\Delta XY=15^{\circ}C, \Delta XZ=15^{\circ}C$							
HE 260 B	1015	1131	Vento - Y CF<0	PolG	0	0	0	-116	180	0	0	-116
HE 260 B	1015	1131	Vento - Y CF<0	PolG	0	0	0	-129	180	0	0	-129
HE 260 B	1015	1131	Vento -Y CF>0	PolG	0	0	0	30	180	0	0	30
HE 260 B	1015	1131	Vento -Y CF>0	PolG	0	0	0	27	180	0	0	27
HE 260 B	1017	1152	Peso Proprio	UnifG	0	0	0	93	180	0	0	93
HE 260 B	1017	1152	QFissi Solai	PolG	0	0	0	71	180	0	0	71
HE 260 B	1017	1152	QV Solai	PolG	0	0	0	71	180	0	0	71
HE 260 B	1017	1152	Neve	PolG	0	0	0	60	180	0	0	60
HE 260 B	1017	1152	Neve	PolG	0	0	0	54	180	0	0	54
HE 260 B	1017	1152	Carichi termici	Termico	$\Delta XY=15^{\circ}C, \Delta XZ=15^{\circ}C$							
HE 260 B	1017	1152	Vento - Y CF<0	PolG	0	0	0	-116	180	0	0	-116
HE 260 B	1017	1152	Vento - Y CF<0	PolG	0	0	0	-129	180	0	0	-129
HE 260 B	1017	1152	Vento -Y CF>0	PolG	0	0	0	27	180	0	0	27
HE 260 B	1017	1152	Vento -Y CF>0	PolG	0	0	0	30	180	0	0	30
HE 260 B	1019	1160	Peso Proprio	UnifG	0	0	0	93	177	0	0	93
HE 260 B	1019	1160	QFissi Solai	PolG	-0	0	0	71	177	0	0	71
HE 260 B	1019	1160	QV Solai	PolG	-0	0	0	71	177	0	0	71
HE 260 B	1019	1160	Neve	PolG	0	0	0	60	177	0	0	60
HE 260 B	1019	1160	Neve	PolG	0	0	0	54	177	0	0	54
HE 260 B	1019	1160	Carichi termici	Termico	$\Delta XY=15^{\circ}C, \Delta XZ=15^{\circ}C$							
HE 260 B	1019	1160	Vento - Y CF<0	PolG	0	0	0	-129	177	0	0	-129
HE 260 B	1019	1160	Vento - Y CF<0	PolG	0	0	0	-116	177	0	0	-116
HE 260 B	1019	1160	Vento -Y CF>0	PolG	0	0	0	30	177	0	0	30
HE 260 B	1019	1160	Vento -Y CF>0	PolG	0	0	0	27	177	0	0	27
HE 260 B	1116	1011	Peso Proprio	UnifG	0	0	0	93	230	0	0	93
HE 260 B	1116	1011	QFissi Solai	PolG	-0	0	0	71	230	0	0	71
HE 260 B	1116	1011	QV Solai	PolG	-0	0	0	71	230	0	0	71
HE 260 B	1116	1011	Neve	PolG	0	0	0	54	230	0	0	54
HE 260 B	1116	1011	Neve	PolG	0	0	0	60	230	0	0	60
HE 260 B	1116	1011	Carichi termici	Termico	$\Delta XY=15^{\circ}C, \Delta XZ=15^{\circ}C$							
HE 260 B	1116	1011	Vento - Y CF<0	PolG	0	0	0	-116	230	0	0	-116
HE 260 B	1116	1011	Vento - Y CF<0	PolG	0	0	0	-129	230	0	0	-129
HE 260 B	1116	1011	Vento -Y CF>0	PolG	0	0	0	30	230	0	0	30
HE 260 B	1116	1011	Vento -Y CF>0	PolG	0	0	0	27	230	0	0	27
HE 260 B	1120	1122	Peso Proprio	UnifG	0	0	0	93	180	0	0	93
HE 260 B	1120	1122	QFissi Solai	PolG	-0	0	0	71	180	0	0	71
HE 260 B	1120	1122	QV Solai	PolG	-0	0	0	71	180	0	0	71
HE 260 B	1120	1122	Neve	PolG	0	0	0	60	180	0	0	60
HE 260 B	1120	1122	Neve	PolG	0	0	0	54	180	0	0	54
HE 260 B	1120	1122	Carichi termici	Termico	$\Delta XY=15^{\circ}C, \Delta XZ=15^{\circ}C$							
HE 260 B	1120	1122	Vento - Y CF<0	PolG	0	0	0	-116	180	0	0	-116
HE 260 B	1120	1122	Vento - Y CF<0	PolG	0	0	0	-129	180	0	0	-129
HE 260 B	1120	1122	Vento -Y CF>0	PolG	0	0	0	30	180	0	0	30
HE 260 B	1120	1122	Vento -Y CF>0	PolG	0	0	0	27	180	0	0	27
HE 260 B	1122	1124	Peso Proprio	UnifG	0	0	0	93	180	0	0	93
HE 260 B	1122	1124	QFissi Solai	PolG	-0	0	0	71	180	0	0	71
HE 260 B	1122	1124	QV Solai	PolG	-0	0	0	71	180	0	0	71
HE 260 B	1122	1124	Neve	PolG	0	0	0	54	180	0	0	54
HE 260 B	1122	1124	Neve	PolG	0	0	0	60	180	0	0	60
HE 260 B	1122	1124	Carichi termici	Termico	$\Delta XY=15^{\circ}C, \Delta XZ=15^{\circ}C$							
HE 260 B	1122	1124	Vento - Y CF<0	PolG	0	0	0	-129	180	0	0	-129
HE 260 B	1122	1124	Vento - Y CF<0	PolG	0	0	0	-116	180	0	0	-116
HE 260 B	1122	1124	Vento -Y CF>0	PolG	0	0	0	30	180	0	0	30
HE 260 B	1122	1124	Vento -Y CF>0	PolG	0	0	0	27	180	0	0	27
HE 260 B	1124	1013	Peso Proprio	UnifG	0	0	0	93	180	0	0	93
HE 260 B	1124	1013	QFissi Solai	PolG	-0	0	0	71	180	0	0	71
HE 260 B	1124	1013	QV Solai	PolG	-0	0	0	71	180	0	0	71

Sezione	Ni	Nf	Cond.	Tipo c.	Xi	QXi	QYi	QZi	Xf	QXf	QYf	QZf
HE 260 B	1124	1013	Neve	PolG	0	0	0	54	180	0	0	54
HE 260 B	1124	1013	Neve	PolG	0	0	0	60	180	0	0	60
HE 260 B	1124	1013	Carichi termici	Termico	$\Delta XY=15^{\circ}C, \Delta XZ=15^{\circ}C$							
HE 260 B	1124	1013	Vento - Y CF<0	PolG	0	0	0	-116	180	0	0	-116
HE 260 B	1124	1013	Vento - Y CF<0	PolG	0	0	0	-129	180	0	0	-129
HE 260 B	1124	1013	Vento -Y CF>0	PolG	0	0	0	27	180	0	0	27
HE 260 B	1124	1013	Vento -Y CF>0	PolG	0	0	0	30	180	0	0	30
HE 260 B	1127	1128	Peso Proprio	UnifG	0	0	0	93	180	0	0	93
HE 260 B	1127	1128	QFissi Solai	PolG	-0	0	0	71	180	0	0	71
HE 260 B	1127	1128	QV Solai	PolG	-0	0	0	71	180	0	0	71
HE 260 B	1127	1128	Neve	PolG	0	0	0	60	180	0	0	60
HE 260 B	1127	1128	Neve	PolG	0	0	0	54	180	0	0	54
HE 260 B	1127	1128	Carichi termici	Termico	$\Delta XY=15^{\circ}C, \Delta XZ=15^{\circ}C$							
HE 260 B	1127	1128	Vento - Y CF<0	PolG	0	0	0	-129	180	0	0	-129
HE 260 B	1127	1128	Vento - Y CF<0	PolG	0	0	0	-116	180	0	0	-116
HE 260 B	1127	1128	Vento -Y CF>0	PolG	0	0	0	27	180	0	0	27
HE 260 B	1127	1128	Vento -Y CF>0	PolG	0	0	0	30	180	0	0	30
HE 260 B	1128	1129	Peso Proprio	UnifG	0	0	0	93	180	0	0	93
HE 260 B	1128	1129	QFissi Solai	PolG	-0	0	0	71	180	0	0	71
HE 260 B	1128	1129	QV Solai	PolG	-0	0	0	71	180	0	0	71
HE 260 B	1128	1129	Neve	PolG	0	0	0	60	180	0	0	60
HE 260 B	1128	1129	Neve	PolG	0	0	0	54	180	0	0	54
HE 260 B	1128	1129	Carichi termici	Termico	$\Delta XY=15^{\circ}C, \Delta XZ=15^{\circ}C$							
HE 260 B	1128	1129	Vento - Y CF<0	PolG	0	0	0	-116	180	0	0	-116
HE 260 B	1128	1129	Vento - Y CF<0	PolG	0	0	0	-129	180	0	0	-129
HE 260 B	1128	1129	Vento -Y CF>0	PolG	0	0	0	30	180	0	0	30
HE 260 B	1128	1129	Vento -Y CF>0	PolG	0	0	0	27	180	0	0	27
HE 260 B	1129	1015	Peso Proprio	UnifG	0	0	0	93	180	0	0	93
HE 260 B	1129	1015	QFissi Solai	PolG	-0	0	0	71	180	0	0	71
HE 260 B	1129	1015	QV Solai	PolG	-0	0	0	71	180	0	0	71
HE 260 B	1129	1015	Neve	PolG	0	0	0	54	180	0	0	54
HE 260 B	1129	1015	Neve	PolG	0	0	0	60	180	0	0	60
HE 260 B	1129	1015	Carichi termici	Termico	$\Delta XY=15^{\circ}C, \Delta XZ=15^{\circ}C$							
HE 260 B	1129	1015	Vento - Y CF<0	PolG	0	0	0	-116	180	0	0	-116
HE 260 B	1129	1015	Vento - Y CF<0	PolG	0	0	0	-129	180	0	0	-129
HE 260 B	1129	1015	Vento -Y CF>0	PolG	0	0	0	30	180	0	0	30
HE 260 B	1129	1015	Vento -Y CF>0	PolG	0	0	0	27	180	0	0	27
HE 260 B	1131	1132	Peso Proprio	UnifG	0	0	0	93	180	0	0	93
HE 260 B	1131	1132	QFissi Solai	PolG	-0	0	0	71	180	0	0	71
HE 260 B	1131	1132	QV Solai	PolG	-0	0	0	71	180	0	0	71
HE 260 B	1131	1132	Neve	PolG	0	0	0	54	180	0	0	54
HE 260 B	1131	1132	Neve	PolG	0	0	0	60	180	0	0	60
HE 260 B	1131	1132	Carichi termici	Termico	$\Delta XY=15^{\circ}C, \Delta XZ=15^{\circ}C$							
HE 260 B	1131	1132	Vento - Y CF<0	PolG	0	0	0	-129	180	0	0	-129
HE 260 B	1131	1132	Vento - Y CF<0	PolG	0	0	0	-116	180	0	0	-116
HE 260 B	1131	1132	Vento -Y CF>0	PolG	0	0	0	27	180	0	0	27
HE 260 B	1131	1132	Vento -Y CF>0	PolG	0	0	0	30	180	0	0	30
HE 260 B	1132	1134	Peso Proprio	UnifG	0	0	0	93	180	0	0	93
HE 260 B	1132	1134	QFissi Solai	PolG	0	0	0	71	180	0	0	71
HE 260 B	1132	1134	QV Solai	PolG	0	0	0	71	180	0	0	71
HE 260 B	1132	1134	Neve	PolG	0	0	0	54	180	0	0	54
HE 260 B	1132	1134	Neve	PolG	0	0	0	60	180	0	0	60
HE 260 B	1132	1134	Carichi termici	Termico	$\Delta XY=15^{\circ}C, \Delta XZ=15^{\circ}C$							
HE 260 B	1132	1134	Vento - Y CF<0	PolG	0	0	0	-129	180	0	0	-129
HE 260 B	1132	1134	Vento - Y CF<0	PolG	0	0	0	-116	180	0	0	-116
HE 260 B	1132	1134	Vento -Y CF>0	PolG	0	0	0	27	180	0	0	27
HE 260 B	1132	1134	Vento -Y CF>0	PolG	0	0	0	30	180	0	0	30
HE 260 B	1134	1017	Peso Proprio	UnifG	0	0	0	93	180	0	0	93
HE 260 B	1134	1017	QFissi Solai	PolG	0	0	0	71	180	0	0	71
HE 260 B	1134	1017	QV Solai	PolG	0	0	0	71	180	0	0	71
HE 260 B	1134	1017	Neve	PolG	0	0	0	54	180	0	0	54
HE 260 B	1134	1017	Neve	PolG	0	0	0	60	180	0	0	60
HE 260 B	1134	1017	Carichi termici	Termico	$\Delta XY=15^{\circ}C, \Delta XZ=15^{\circ}C$							
HE 260 B	1134	1017	Vento - Y CF<0	PolG	0	0	0	-116	180	0	0	-116
HE 260 B	1134	1017	Vento - Y CF<0	PolG	0	0	0	-129	180	0	0	-129
HE 260 B	1134	1017	Vento -Y CF>0	PolG	0	0	0	30	180	0	0	30
HE 260 B	1134	1017	Vento -Y CF>0	PolG	0	0	0	27	180	0	0	27

Sezione	Ni	Nf	Cond.	Tipo c.	Xi	QXi	QYi	QZi	Xf	QXf	QYf	QZf
HE 260 B	1152	1155	Peso Proprio	UnifG	0	0	0	93	180	0	0	93
HE 260 B	1152	1155	QFissi Solai	PolG	0	0	0	71	180	0	0	71
HE 260 B	1152	1155	QV Solai	PolG	0	0	0	71	180	0	0	71
HE 260 B	1152	1155	Neve	PolG	0	0	0	60	180	0	0	60
HE 260 B	1152	1155	Neve	PolG	0	0	0	54	180	0	0	54
HE 260 B	1152	1155	Carichi termici	Termico	$\Delta XY=15^{\circ}C, \Delta XZ=15^{\circ}C$							
HE 260 B	1152	1155	Vento - Y CF<0	PolG	0	0	0	-116	180	0	0	-116
HE 260 B	1152	1155	Vento - Y CF<0	PolG	0	0	0	-129	180	0	0	-129
HE 260 B	1152	1155	Vento -Y CF>0	PolG	0	0	0	30	180	0	0	30
HE 260 B	1152	1155	Vento -Y CF>0	PolG	0	0	0	27	180	0	0	27
HE 260 B	1155	1157	Peso Proprio	UnifG	0	0	0	93	180	0	0	93
HE 260 B	1155	1157	QFissi Solai	PolG	-0	0	0	71	180	0	0	71
HE 260 B	1155	1157	QV Solai	PolG	-0	0	0	71	180	0	0	71
HE 260 B	1155	1157	Neve	PolG	0	0	0	60	180	0	0	60
HE 260 B	1155	1157	Neve	PolG	0	0	0	54	180	0	0	54
HE 260 B	1155	1157	Carichi termici	Termico	$\Delta XY=15^{\circ}C, \Delta XZ=15^{\circ}C$							
HE 260 B	1155	1157	Vento - Y CF<0	PolG	0	0	0	-116	180	0	0	-116
HE 260 B	1155	1157	Vento - Y CF<0	PolG	0	0	0	-129	180	0	0	-129
HE 260 B	1155	1157	Vento -Y CF>0	PolG	0	0	0	27	180	0	0	27
HE 260 B	1155	1157	Vento -Y CF>0	PolG	0	0	0	30	180	0	0	30
HE 260 B	1157	1019	Peso Proprio	UnifG	0	0	0	93	180	0	0	93
HE 260 B	1157	1019	QFissi Solai	PolG	-0	0	0	71	180	0	0	71
HE 260 B	1157	1019	QV Solai	PolG	-0	0	0	71	180	0	0	71
HE 260 B	1157	1019	Neve	PolG	0	0	0	54	180	0	0	54
HE 260 B	1157	1019	Neve	PolG	0	0	0	60	180	0	0	60
HE 260 B	1157	1019	Carichi termici	Termico	$\Delta XY=15^{\circ}C, \Delta XZ=15^{\circ}C$							
HE 260 B	1157	1019	Vento - Y CF<0	PolG	0	0	0	-116	180	0	0	-116
HE 260 B	1157	1019	Vento - Y CF<0	PolG	0	0	0	-129	180	0	0	-129
HE 260 B	1157	1019	Vento -Y CF>0	PolG	0	0	0	27	180	0	0	27
HE 260 B	1157	1019	Vento -Y CF>0	PolG	0	0	0	30	180	0	0	30
HE 260 B	1160	1161	Peso Proprio	UnifG	0	0	0	93	177	0	0	93
HE 260 B	1160	1161	QFissi Solai	PolG	-0	0	0	71	177	0	0	71
HE 260 B	1160	1161	QV Solai	PolG	-0	0	0	71	177	0	0	71
HE 260 B	1160	1161	Neve	PolG	0	0	0	60	177	0	0	60
HE 260 B	1160	1161	Neve	PolG	0	0	0	54	177	0	0	54
HE 260 B	1160	1161	Carichi termici	Termico	$\Delta XY=15^{\circ}C, \Delta XZ=15^{\circ}C$							
HE 260 B	1160	1161	Vento - Y CF<0	PolG	0	0	0	-116	177	0	0	-116
HE 260 B	1160	1161	Vento - Y CF<0	PolG	0	0	0	-129	177	0	0	-129
HE 260 B	1160	1161	Vento -Y CF>0	PolG	0	0	0	30	177	0	0	30
HE 260 B	1160	1161	Vento -Y CF>0	PolG	0	0	0	27	177	0	0	27
Trave 3												
HE 220 B	1001	1081	Peso Proprio	UnifG	0	0	0	71	150	0	0	71
HE 220 B	1001	1081	Carichi termici	Termico	$\Delta XY=15^{\circ}C, \Delta XZ=15^{\circ}C$							
HE 220 B	1011	1118	Peso Proprio	UnifG	0	0	0	71	134	0	0	71
HE 220 B	1011	1118	Carichi termici	Termico	$\Delta XY=15^{\circ}C, \Delta XZ=15^{\circ}C$							
HE 220 B	1014	1018	Peso Proprio	UnifG	0	0	0	71	134	0	0	71
HE 220 B	1014	1018	Carichi termici	Termico	$\Delta XY=15^{\circ}C, \Delta XZ=15^{\circ}C$							
HE 220 B	1018	1001	Peso Proprio	UnifG	0	0	0	71	134	0	0	71
HE 220 B	1018	1001	Carichi termici	Termico	$\Delta XY=15^{\circ}C, \Delta XZ=15^{\circ}C$							
HE 220 B	1022	1014	Peso Proprio	UnifG	0	0	0	71	134	0	0	71
HE 220 B	1022	1014	Carichi termici	Termico	$\Delta XY=15^{\circ}C, \Delta XZ=15^{\circ}C$							
HE 220 B	1045	1164	Peso Proprio	UnifG	0	0	0	71	134	0	0	71
HE 220 B	1045	1164	Carichi termici	Termico	$\Delta XY=15^{\circ}C, \Delta XZ=15^{\circ}C$							
HE 220 B	1080	1011	Peso Proprio	UnifG	0	0	0	71	150	0	0	71
HE 220 B	1080	1011	Carichi termici	Termico	$\Delta XY=15^{\circ}C, \Delta XZ=15^{\circ}C$							
HE 220 B	1081	1080	Peso Proprio	UnifG	0	0	0	71	150	0	0	71
HE 220 B	1081	1080	Carichi termici	Termico	$\Delta XY=15^{\circ}C, \Delta XZ=15^{\circ}C$							
HE 220 B	1118	1045	Peso Proprio	UnifG	0	0	0	71	134	0	0	71
HE 220 B	1118	1045	Carichi termici	Termico	$\Delta XY=15^{\circ}C, \Delta XZ=15^{\circ}C$							
Trave 4												
HE 220 B	1003	1089	Peso Proprio	UnifG	0	0	0	71	150	0	0	71
HE 220 B	1003	1089	Carichi termici	Termico	$\Delta XY=15^{\circ}C, \Delta XZ=15^{\circ}C$							
HE 220 B	1013	1125	Peso Proprio	UnifG	0	0	0	71	134	0	0	71
HE 220 B	1013	1125	Carichi termici	Termico	$\Delta XY=15^{\circ}C, \Delta XZ=15^{\circ}C$							
HE 220 B	1023	1028	Peso Proprio	UnifG	0	0	0	71	134	0	0	71
HE 220 B	1023	1028	Carichi termici	Termico	$\Delta XY=15^{\circ}C, \Delta XZ=15^{\circ}C$							
HE 220 B	1028	1029	Peso Proprio	UnifG	0	0	0	71	134	0	0	71

Sezione	Ni	Nf	Cond.	Tipo c.	Xi	QXi	QYi	QZi	Xf	QXf	QYf	QZf
HE 220 B	1028	1029	Carichi termici	Termico	$\Delta XY=15^{\circ}C, \Delta XZ=15^{\circ}C$							
HE 220 B	1029	1003	Peso Proprio	UnifG	0	0	0	71	134	0	0	71
HE 220 B	1029	1003	Carichi termici	Termico	$\Delta XY=15^{\circ}C, \Delta XZ=15^{\circ}C$							
HE 220 B	1088	1013	Peso Proprio	UnifG	0	0	0	71	150	0	0	71
HE 220 B	1088	1013	Carichi termici	Termico	$\Delta XY=15^{\circ}C, \Delta XZ=15^{\circ}C$							
HE 220 B	1089	1088	Peso Proprio	UnifG	0	0	0	71	150	0	0	71
HE 220 B	1089	1088	Carichi termici	Termico	$\Delta XY=15^{\circ}C, \Delta XZ=15^{\circ}C$							
HE 220 B	1125	1172	Peso Proprio	UnifG	0	0	0	71	134	0	0	71
HE 220 B	1125	1172	Carichi termici	Termico	$\Delta XY=15^{\circ}C, \Delta XZ=15^{\circ}C$							
HE 220 B	1172	1171	Peso Proprio	UnifG	0	0	0	71	134	0	0	71
HE 220 B	1172	1171	Carichi termici	Termico	$\Delta XY=15^{\circ}C, \Delta XZ=15^{\circ}C$							
Trave 5												
HE 220 B	1005	1097	Peso Proprio	UnifG	0	0	0	71	150	0	0	71
HE 220 B	1005	1097	Carichi termici	Termico	$\Delta XY=15^{\circ}C, \Delta XZ=15^{\circ}C$							
HE 220 B	1015	1147	Peso Proprio	UnifG	0	0	0	71	134	0	0	71
HE 220 B	1015	1147	Carichi termici	Termico	$\Delta XY=15^{\circ}C, \Delta XZ=15^{\circ}C$							
HE 220 B	1037	1038	Peso Proprio	UnifG	0	0	0	71	134	0	0	71
HE 220 B	1037	1038	Carichi termici	Termico	$\Delta XY=15^{\circ}C, \Delta XZ=15^{\circ}C$							
HE 220 B	1038	1059	Peso Proprio	UnifG	0	0	0	71	134	0	0	71
HE 220 B	1038	1059	Carichi termici	Termico	$\Delta XY=15^{\circ}C, \Delta XZ=15^{\circ}C$							
HE 220 B	1059	1005	Peso Proprio	UnifG	0	0	0	71	134	0	0	71
HE 220 B	1059	1005	Carichi termici	Termico	$\Delta XY=15^{\circ}C, \Delta XZ=15^{\circ}C$							
HE 220 B	1096	1015	Peso Proprio	UnifG	0	0	0	71	150	0	0	71
HE 220 B	1096	1015	Carichi termici	Termico	$\Delta XY=15^{\circ}C, \Delta XZ=15^{\circ}C$							
HE 220 B	1097	1096	Peso Proprio	UnifG	0	0	0	71	150	0	0	71
HE 220 B	1097	1096	Carichi termici	Termico	$\Delta XY=15^{\circ}C, \Delta XZ=15^{\circ}C$							
HE 220 B	1147	1180	Peso Proprio	UnifG	0	0	0	71	134	0	0	71
HE 220 B	1147	1180	Carichi termici	Termico	$\Delta XY=15^{\circ}C, \Delta XZ=15^{\circ}C$							
HE 220 B	1180	1179	Peso Proprio	UnifG	0	0	0	71	134	0	0	71
HE 220 B	1180	1179	Carichi termici	Termico	$\Delta XY=15^{\circ}C, \Delta XZ=15^{\circ}C$							
Trave 6												
HE 220 B	1007	1104	Peso Proprio	UnifG	0	0	0	71	150	0	0	71
HE 220 B	1007	1104	Carichi termici	Termico	$\Delta XY=15^{\circ}C, \Delta XZ=15^{\circ}C$							
HE 220 B	1017	1151	Peso Proprio	UnifG	0	0	0	71	134	0	0	71
HE 220 B	1017	1151	Carichi termici	Termico	$\Delta XY=15^{\circ}C, \Delta XZ=15^{\circ}C$							
HE 220 B	1044	1065	Peso Proprio	UnifG	0	0	0	71	134	0	0	71
HE 220 B	1044	1065	Carichi termici	Termico	$\Delta XY=15^{\circ}C, \Delta XZ=15^{\circ}C$							
HE 220 B	1064	1007	Peso Proprio	UnifG	0	0	0	71	134	0	0	71
HE 220 B	1064	1007	Carichi termici	Termico	$\Delta XY=15^{\circ}C, \Delta XZ=15^{\circ}C$							
HE 220 B	1065	1064	Peso Proprio	UnifG	0	0	0	71	134	0	0	71
HE 220 B	1065	1064	Carichi termici	Termico	$\Delta XY=15^{\circ}C, \Delta XZ=15^{\circ}C$							
HE 220 B	1104	1136	Peso Proprio	UnifG	0	0	0	71	150	0	0	71
HE 220 B	1104	1136	Carichi termici	Termico	$\Delta XY=15^{\circ}C, \Delta XZ=15^{\circ}C$							
HE 220 B	1136	1017	Peso Proprio	UnifG	0	0	0	71	150	0	0	71
HE 220 B	1136	1017	Carichi termici	Termico	$\Delta XY=15^{\circ}C, \Delta XZ=15^{\circ}C$							
HE 220 B	1151	1187	Peso Proprio	UnifG	0	0	0	71	134	0	0	71
HE 220 B	1151	1187	Carichi termici	Termico	$\Delta XY=15^{\circ}C, \Delta XZ=15^{\circ}C$							
HE 220 B	1187	1188	Peso Proprio	UnifG	0	0	0	71	134	0	0	71
HE 220 B	1187	1188	Carichi termici	Termico	$\Delta XY=15^{\circ}C, \Delta XZ=15^{\circ}C$							
Trave 7												
HE 220 B	1009	1111	Peso Proprio	UnifG	0	0	0	71	150	0	0	71
HE 220 B	1009	1111	Carichi termici	Termico	$\Delta XY=15^{\circ}C, \Delta XZ=15^{\circ}C$							
HE 220 B	1019	1158	Peso Proprio	UnifG	0	0	0	71	134	0	0	71
HE 220 B	1019	1158	Carichi termici	Termico	$\Delta XY=15^{\circ}C, \Delta XZ=15^{\circ}C$							
HE 220 B	1048	1072	Peso Proprio	UnifG	0	0	0	71	134	0	0	71
HE 220 B	1048	1072	Carichi termici	Termico	$\Delta XY=15^{\circ}C, \Delta XZ=15^{\circ}C$							
HE 220 B	1072	1073	Peso Proprio	UnifG	0	0	0	71	134	0	0	71
HE 220 B	1072	1073	Carichi termici	Termico	$\Delta XY=15^{\circ}C, \Delta XZ=15^{\circ}C$							
HE 220 B	1073	1009	Peso Proprio	UnifG	0	0	0	71	134	0	0	71
HE 220 B	1073	1009	Carichi termici	Termico	$\Delta XY=15^{\circ}C, \Delta XZ=15^{\circ}C$							
HE 220 B	1111	1140	Peso Proprio	UnifG	0	0	0	71	150	0	0	71
HE 220 B	1111	1140	Carichi termici	Termico	$\Delta XY=15^{\circ}C, \Delta XZ=15^{\circ}C$							
HE 220 B	1140	1019	Peso Proprio	UnifG	0	0	0	71	150	0	0	71
HE 220 B	1140	1019	Carichi termici	Termico	$\Delta XY=15^{\circ}C, \Delta XZ=15^{\circ}C$							
HE 220 B	1158	1196	Peso Proprio	UnifG	0	0	0	71	134	0	0	71
HE 220 B	1158	1196	Carichi termici	Termico	$\Delta XY=15^{\circ}C, \Delta XZ=15^{\circ}C$							

Sezione	Ni	Nf	Cond.	Tipo c.	Xi	QXi	QYi	QZi	Xf	QXf	QYf	QZf
HE 220 B	1196	1195	Peso Proprio	UnifG	0	0	0	71	134	0	0	71
HE 220 B	1196	1195	Carichi termici	Termico	$\Delta XY=15^{\circ}C, \Delta XZ=15^{\circ}C$							
Trave 8												
UPN 260	1046	1164	Peso Proprio	UnifG	0	0	0	38	180	0	0	38
UPN 260	1046	1164	QFissi Solai	PolG	0	0	0	34	180	0	0	34
UPN 260	1046	1164	QV Solai	PolG	0	0	0	34	180	0	0	34
UPN 260	1046	1164	Neve	PolG	0	0	0	54	180	0	0	54
UPN 260	1046	1164	Carichi termici	Termico	$\Delta XY=15^{\circ}C, \Delta XZ=15^{\circ}C$							
UPN 260	1046	1164	Vento - Y CF<0	PolG	0	0	0	-116	180	0	0	-116
UPN 260	1046	1164	Vento -Y CF>0	PolG	0	0	0	27	180	0	0	27
UPN 260	1047	1167	Peso Proprio	UnifG	0	0	0	38	180	0	0	38
UPN 260	1047	1167	QFissi Solai	PolG	0	0	0	34	180	0	0	34
UPN 260	1047	1167	QV Solai	PolG	0	0	0	34	180	0	0	34
UPN 260	1047	1167	Neve	PolG	0	0	0	54	180	0	0	54
UPN 260	1047	1167	Carichi termici	Termico	$\Delta XY=15^{\circ}C, \Delta XZ=15^{\circ}C$							
UPN 260	1047	1167	Vento - Y CF<0	PolG	0	0	0	-116	180	0	0	-116
UPN 260	1047	1167	Vento -Y CF>0	PolG	0	0	0	27	180	0	0	27
UPN 260	1048	1171	Peso Proprio	UnifG	0	0	0	38	180	0	0	38
UPN 260	1048	1171	QFissi Solai	PolG	0	0	0	34	180	0	0	34
UPN 260	1048	1171	QV Solai	PolG	0	0	0	34	180	0	0	34
UPN 260	1048	1171	Neve	PolG	0	0	0	54	180	0	0	54
UPN 260	1048	1171	Carichi termici	Termico	$\Delta XY=15^{\circ}C, \Delta XZ=15^{\circ}C$							
UPN 260	1048	1171	Vento - Y CF<0	PolG	0	0	0	-116	180	0	0	-116
UPN 260	1048	1171	Vento -Y CF>0	PolG	0	0	0	27	180	0	0	27
UPN 260	1049	1175	Peso Proprio	UnifG	0	0	0	38	180	0	0	38
UPN 260	1049	1175	QFissi Solai	PolG	0	0	0	34	180	0	0	34
UPN 260	1049	1175	QV Solai	PolG	0	0	0	34	180	0	0	34
UPN 260	1049	1175	Neve	PolG	0	0	0	54	180	0	0	54
UPN 260	1049	1175	Carichi termici	Termico	$\Delta XY=15^{\circ}C, \Delta XZ=15^{\circ}C$							
UPN 260	1049	1175	Vento - Y CF<0	PolG	0	0	0	-116	180	0	0	-116
UPN 260	1049	1175	Vento -Y CF>0	PolG	0	0	0	27	180	0	0	27
UPN 260	1050	1179	Peso Proprio	UnifG	0	0	0	38	180	0	0	38
UPN 260	1050	1179	QFissi Solai	PolG	0	0	0	34	180	0	0	34
UPN 260	1050	1179	QV Solai	PolG	0	0	0	34	180	0	0	34
UPN 260	1050	1179	Neve	PolG	0	0	0	54	180	0	0	54
UPN 260	1050	1179	Carichi termici	Termico	$\Delta XY=15^{\circ}C, \Delta XZ=15^{\circ}C$							
UPN 260	1050	1179	Vento - Y CF<0	PolG	0	0	0	-116	180	0	0	-116
UPN 260	1050	1179	Vento -Y CF>0	PolG	0	0	0	27	180	0	0	27
UPN 260	1053	1191	Peso Proprio	UnifG	0	0	0	38	180	0	0	38
UPN 260	1053	1191	QFissi Solai	PolG	0	0	0	34	180	0	0	34
UPN 260	1053	1191	QV Solai	PolG	0	0	0	34	180	0	0	34
UPN 260	1053	1191	Neve	PolG	0	0	0	54	180	0	0	54
UPN 260	1053	1191	Carichi termici	Termico	$\Delta XY=15^{\circ}C, \Delta XZ=15^{\circ}C$							
UPN 260	1053	1191	Vento - Y CF<0	PolG	0	0	0	-116	180	0	0	-116
UPN 260	1053	1191	Vento -Y CF>0	PolG	0	0	0	27	180	0	0	27
UPN 260	1054	1195	Peso Proprio	UnifG	0	0	0	38	177	0	0	38
UPN 260	1054	1195	QFissi Solai	PolG	0	0	0	34	177	0	0	34
UPN 260	1054	1195	QV Solai	PolG	0	0	0	34	177	0	0	34
UPN 260	1054	1195	Neve	PolG	0	0	0	54	177	0	0	54
UPN 260	1054	1195	Carichi termici	Termico	$\Delta XY=15^{\circ}C, \Delta XZ=15^{\circ}C$							
UPN 260	1054	1195	Vento - Y CF<0	PolG	0	0	0	-116	177	0	0	-116
UPN 260	1054	1195	Vento -Y CF>0	PolG	0	0	0	27	177	0	0	27
UPN 260	1164	1163	Peso Proprio	UnifG	0	0	0	38	230	0	0	38
UPN 260	1164	1163	QFissi Solai	PolG	0	0	0	34	230	0	0	34
UPN 260	1164	1163	QV Solai	PolG	0	0	0	34	230	0	0	34
UPN 260	1164	1163	Neve	PolG	0	0	0	54	230	0	0	54
UPN 260	1164	1163	Carichi termici	Termico	$\Delta XY=15^{\circ}C, \Delta XZ=15^{\circ}C$							
UPN 260	1164	1163	Vento - Y CF<0	PolG	0	0	0	-116	230	0	0	-116
UPN 260	1164	1163	Vento -Y CF>0	PolG	0	0	0	27	230	0	0	27
UPN 260	1167	1046	Peso Proprio	UnifG	0	0	0	38	180	0	0	38
UPN 260	1167	1046	QFissi Solai	PolG	0	0	0	34	180	0	0	34
UPN 260	1167	1046	QV Solai	PolG	0	0	0	34	180	0	0	34
UPN 260	1167	1046	Neve	PolG	0	0	0	54	180	0	0	54
UPN 260	1167	1046	Carichi termici	Termico	$\Delta XY=15^{\circ}C, \Delta XZ=15^{\circ}C$							
UPN 260	1167	1046	Vento - Y CF<0	PolG	0	0	0	-116	180	0	0	-116
UPN 260	1167	1046	Vento -Y CF>0	PolG	0	0	0	27	180	0	0	27
UPN 260	1171	1047	Peso Proprio	UnifG	0	0	0	38	180	0	0	38

Sezione	Ni	Nf	Cond.	Tipo c.	Xi	QXi	QYi	QZi	Xf	QXf	QYf	QZf
UPN 260	1171	1047	QFissi Solai	PolG	0	0	0	34	180	0	0	34
UPN 260	1171	1047	QV Solai	PolG	0	0	0	34	180	0	0	34
UPN 260	1171	1047	Neve	PolG	0	0	0	54	180	0	0	54
UPN 260	1171	1047	Carichi termici	Termico	$\Delta XY=15^{\circ}C, \Delta XZ=15^{\circ}C$							
UPN 260	1171	1047	Vento -Y CF<0	PolG	0	0	0	-116	180	0	0	-116
UPN 260	1171	1047	Vento -Y CF>0	PolG	0	0	0	27	180	0	0	27
UPN 260	1175	1048	Peso Proprio	UnifG	0	0	0	38	180	0	0	38
UPN 260	1175	1048	QFissi Solai	PolG	0	0	0	34	180	0	0	34
UPN 260	1175	1048	QV Solai	PolG	0	0	0	34	180	0	0	34
UPN 260	1175	1048	Neve	PolG	0	0	0	54	180	0	0	54
UPN 260	1175	1048	Carichi termici	Termico	$\Delta XY=15^{\circ}C, \Delta XZ=15^{\circ}C$							
UPN 260	1175	1048	Vento -Y CF<0	PolG	0	0	0	-116	180	0	0	-116
UPN 260	1175	1048	Vento -Y CF>0	PolG	0	0	0	27	180	0	0	27
UPN 260	1179	1049	Peso Proprio	UnifG	0	0	0	38	180	0	0	38
UPN 260	1179	1049	QFissi Solai	PolG	0	0	0	34	180	0	0	34
UPN 260	1179	1049	QV Solai	PolG	0	0	0	34	180	0	0	34
UPN 260	1179	1049	Neve	PolG	0	0	0	54	180	0	0	54
UPN 260	1179	1049	Carichi termici	Termico	$\Delta XY=15^{\circ}C, \Delta XZ=15^{\circ}C$							
UPN 260	1179	1049	Vento -Y CF<0	PolG	0	0	0	-116	180	0	0	-116
UPN 260	1179	1049	Vento -Y CF>0	PolG	0	0	0	27	180	0	0	27
UPN 260	1183	1050	Peso Proprio	UnifG	0	0	0	38	180	0	0	38
UPN 260	1183	1050	QFissi Solai	PolG	0	0	0	34	180	0	0	34
UPN 260	1183	1050	QV Solai	PolG	0	0	0	34	180	0	0	34
UPN 260	1183	1050	Neve	PolG	0	0	0	54	180	0	0	54
UPN 260	1183	1050	Carichi termici	Termico	$\Delta XY=15^{\circ}C, \Delta XZ=15^{\circ}C$							
UPN 260	1183	1050	Vento -Y CF<0	PolG	0	0	0	-116	180	0	0	-116
UPN 260	1183	1050	Vento -Y CF>0	PolG	0	0	0	27	180	0	0	27
UPN 260	1186	1183	Peso Proprio	UnifG	0	0	0	38	180	0	0	38
UPN 260	1186	1183	QFissi Solai	PolG	-0	0	0	34	180	0	0	34
UPN 260	1186	1183	QV Solai	PolG	-0	0	0	34	180	0	0	34
UPN 260	1186	1183	Neve	PolG	0	0	0	54	180	0	0	54
UPN 260	1186	1183	Carichi termici	Termico	$\Delta XY=15^{\circ}C, \Delta XZ=15^{\circ}C$							
UPN 260	1186	1183	Vento -Y CF<0	PolG	0	0	0	-116	180	0	0	-116
UPN 260	1186	1183	Vento -Y CF>0	PolG	0	0	0	27	180	0	0	27
UPN 260	1188	1186	Peso Proprio	UnifG	0	0	0	38	180	0	0	38
UPN 260	1188	1186	QFissi Solai	PolG	-0	0	0	34	180	0	0	34
UPN 260	1188	1186	QV Solai	PolG	-0	0	0	34	180	0	0	34
UPN 260	1188	1186	Neve	PolG	0	0	0	54	180	0	0	54
UPN 260	1188	1186	Carichi termici	Termico	$\Delta XY=15^{\circ}C, \Delta XZ=15^{\circ}C$							
UPN 260	1188	1186	Vento -Y CF<0	PolG	0	0	0	-116	180	0	0	-116
UPN 260	1188	1186	Vento -Y CF>0	PolG	0	0	0	27	180	0	0	27
UPN 260	1190	1188	Peso Proprio	UnifG	0	0	0	38	180	0	0	38
UPN 260	1190	1188	QFissi Solai	PolG	-0	0	0	34	180	0	0	34
UPN 260	1190	1188	QV Solai	PolG	-0	0	0	34	180	0	0	34
UPN 260	1190	1188	Neve	PolG	0	0	0	54	180	0	0	54
UPN 260	1190	1188	Carichi termici	Termico	$\Delta XY=15^{\circ}C, \Delta XZ=15^{\circ}C$							
UPN 260	1190	1188	Vento -Y CF<0	PolG	0	0	0	-116	180	0	0	-116
UPN 260	1190	1188	Vento -Y CF>0	PolG	0	0	0	27	180	0	0	27
UPN 260	1191	1190	Peso Proprio	UnifG	0	0	0	38	180	0	0	38
UPN 260	1191	1190	QFissi Solai	PolG	0	0	0	34	180	0	0	34
UPN 260	1191	1190	QV Solai	PolG	0	0	0	34	180	0	0	34
UPN 260	1191	1190	Neve	PolG	0	0	0	54	180	0	0	54
UPN 260	1191	1190	Carichi termici	Termico	$\Delta XY=15^{\circ}C, \Delta XZ=15^{\circ}C$							
UPN 260	1191	1190	Vento -Y CF<0	PolG	0	0	0	-116	180	0	0	-116
UPN 260	1191	1190	Vento -Y CF>0	PolG	0	0	0	27	180	0	0	27
UPN 260	1195	1053	Peso Proprio	UnifG	0	0	0	38	180	0	0	38
UPN 260	1195	1053	QFissi Solai	PolG	0	0	0	34	180	0	0	34
UPN 260	1195	1053	QV Solai	PolG	0	0	0	34	180	0	0	34
UPN 260	1195	1053	Neve	PolG	0	0	0	54	180	0	0	54
UPN 260	1195	1053	Carichi termici	Termico	$\Delta XY=15^{\circ}C, \Delta XZ=15^{\circ}C$							
UPN 260	1195	1053	Vento -Y CF<0	PolG	0	0	0	-116	180	0	0	-116
UPN 260	1195	1053	Vento -Y CF>0	PolG	0	0	0	27	180	0	0	27
UPN 260	1199	1054	Peso Proprio	UnifG	0	0	0	38	177	0	0	38
UPN 260	1199	1054	QFissi Solai	PolG	0	0	0	34	177	0	0	34
UPN 260	1199	1054	QV Solai	PolG	0	0	0	34	177	0	0	34
UPN 260	1199	1054	Neve	PolG	0	0	0	54	177	0	0	54
UPN 260	1199	1054	Carichi termici	Termico	$\Delta XY=15^{\circ}C, \Delta XZ=15^{\circ}C$							

Sezione	Ni	Nf	Cond.	Tipo c.	Xi	QXi	QYi	QZi	Xf	QXf	QYf	QZf
UPN 260	1199	1054	Vento - Y CF<0	PolG	0	0	0	-116	177	0	0	-116
UPN 260	1199	1054	Vento -Y CF>0	PolG	0	0	0	27	177	0	0	27
Trave 9												
UPN 260	1012	1022	Peso Proprio	UnifG	0	0	0	38	230	0	0	38
UPN 260	1012	1022	QFissi Solai	PolG	0	0	0	34	230	0	0	34
UPN 260	1012	1022	QV Solai	PolG	0	0	0	34	230	0	0	34
UPN 260	1012	1022	Neve	PolG	0	0	0	54	230	0	0	54
UPN 260	1012	1022	Vento Y CF<0	PolG	0	0	0	-165	230	0	0	-165
UPN 260	1012	1022	Vento Y CF>0	PolG	0	0	0	27	230	0	0	27
UPN 260	1012	1022	Carichi termici	Termico	$\Delta XY=15^{\circ}C, \Delta XZ=15^{\circ}C$							
UPN 260	1016	1024	Peso Proprio	UnifG	0	0	0	38	180	0	0	38
UPN 260	1016	1024	QFissi Solai	PolG	0	0	0	34	180	0	0	34
UPN 260	1016	1024	QV Solai	PolG	0	0	0	34	180	0	0	34
UPN 260	1016	1024	Neve	PolG	0	0	0	54	180	0	0	54
UPN 260	1016	1024	Vento Y CF<0	PolG	0	0	0	-165	180	0	0	-165
UPN 260	1016	1024	Vento Y CF>0	PolG	0	0	0	27	180	0	0	27
UPN 260	1016	1024	Carichi termici	Termico	$\Delta XY=15^{\circ}C, \Delta XZ=15^{\circ}C$							
UPN 260	1022	1023	Peso Proprio	UnifG	0	0	0	38	180	0	0	38
UPN 260	1022	1023	QFissi Solai	PolG	0	0	0	34	180	0	0	34
UPN 260	1022	1023	QV Solai	PolG	0	0	0	34	180	0	0	34
UPN 260	1022	1023	Neve	PolG	0	0	0	54	180	0	0	54
UPN 260	1022	1023	Vento Y CF<0	PolG	0	0	0	-165	180	0	0	-165
UPN 260	1022	1023	Vento Y CF>0	PolG	0	0	0	27	180	0	0	27
UPN 260	1022	1023	Carichi termici	Termico	$\Delta XY=15^{\circ}C, \Delta XZ=15^{\circ}C$							
UPN 260	1023	1016	Peso Proprio	UnifG	0	0	0	38	180	0	0	38
UPN 260	1023	1025	Peso Proprio	UnifG	0	0	0	38	180	0	0	38
UPN 260	1023	1016	QFissi Solai	PolG	0	0	0	34	180	0	0	34
UPN 260	1023	1025	QFissi Solai	PolG	0	0	0	34	180	0	0	34
UPN 260	1023	1025	QV Solai	PolG	0	0	0	34	180	0	0	34
UPN 260	1023	1016	QV Solai	PolG	0	0	0	34	180	0	0	34
UPN 260	1023	1025	Neve	PolG	0	0	0	54	180	0	0	54
UPN 260	1023	1016	Neve	PolG	0	0	0	54	180	0	0	54
UPN 260	1023	1016	Vento Y CF<0	PolG	0	0	0	-165	180	0	0	-165
UPN 260	1023	1025	Vento Y CF<0	PolG	0	0	0	-165	180	0	0	-165
UPN 260	1023	1025	Vento Y CF>0	PolG	0	0	0	27	180	0	0	27
UPN 260	1023	1016	Vento Y CF>0	PolG	0	0	0	27	180	0	0	27
UPN 260	1023	1016	Carichi termici	Termico	$\Delta XY=15^{\circ}C, \Delta XZ=15^{\circ}C$							
UPN 260	1023	1025	Carichi termici	Termico	$\Delta XY=15^{\circ}C, \Delta XZ=15^{\circ}C$							
UPN 260	1024	1023	Peso Proprio	UnifG	0	0	0	38	180	0	0	38
UPN 260	1024	1023	QFissi Solai	PolG	0	0	0	34	180	0	0	34
UPN 260	1024	1023	QV Solai	PolG	0	0	0	34	180	0	0	34
UPN 260	1024	1023	Neve	PolG	0	0	0	54	180	0	0	54
UPN 260	1024	1023	Vento Y CF<0	PolG	0	0	0	-165	180	0	0	-165
UPN 260	1024	1023	Vento Y CF>0	PolG	0	0	0	27	180	0	0	27
UPN 260	1024	1023	Carichi termici	Termico	$\Delta XY=15^{\circ}C, \Delta XZ=15^{\circ}C$							
UPN 260	1025	1031	Peso Proprio	UnifG	0	0	0	38	180	0	0	38
UPN 260	1025	1031	QFissi Solai	PolG	0	0	0	34	180	0	0	34
UPN 260	1025	1031	QV Solai	PolG	0	0	0	34	180	0	0	34
UPN 260	1025	1031	Neve	PolG	0	0	0	54	180	0	0	54
UPN 260	1025	1031	Vento Y CF<0	PolG	0	0	0	-165	180	0	0	-165
UPN 260	1025	1031	Vento Y CF>0	PolG	0	0	0	27	180	0	0	27
UPN 260	1025	1031	Carichi termici	Termico	$\Delta XY=15^{\circ}C, \Delta XZ=15^{\circ}C$							
UPN 260	1026	1037	Peso Proprio	UnifG	0	0	0	38	180	0	0	38
UPN 260	1026	1037	QFissi Solai	PolG	0	0	0	34	180	0	0	34
UPN 260	1026	1037	QV Solai	PolG	0	0	0	34	180	0	0	34
UPN 260	1026	1037	Neve	PolG	0	0	0	54	180	0	0	54
UPN 260	1026	1037	Vento Y CF<0	PolG	0	0	0	-165	180	0	0	-165
UPN 260	1026	1037	Vento Y CF>0	PolG	0	0	0	27	180	0	0	27
UPN 260	1026	1037	Carichi termici	Termico	$\Delta XY=15^{\circ}C, \Delta XZ=15^{\circ}C$							
UPN 260	1027	1041	Peso Proprio	UnifG	0	0	0	38	180	0	0	38
UPN 260	1027	1041	QFissi Solai	PolG	0	0	0	34	180	0	0	34
UPN 260	1027	1041	QV Solai	PolG	0	0	0	34	180	0	0	34
UPN 260	1027	1041	Neve	PolG	0	0	0	54	180	0	0	54
UPN 260	1027	1041	Vento Y CF<0	PolG	0	0	0	-165	180	0	0	-165
UPN 260	1027	1041	Vento Y CF>0	PolG	0	0	0	27	180	0	0	27
UPN 260	1027	1041	Carichi termici	Termico	$\Delta XY=15^{\circ}C, \Delta XZ=15^{\circ}C$							
UPN 260	1028	1044	Peso Proprio	UnifG	0	0	0	38	180	0	0	38

Sezione	Ni	Nf	Cond.	Tipo c.	Xi	QXi	QYi	QZi	Xf	QXf	QYf	QZf
UPN 260	1028	1044	QFissi Solai	PolG	-0	0	0	34	180	0	0	34
UPN 260	1028	1044	QV Solai	PolG	-0	0	0	34	180	0	0	34
UPN 260	1028	1044	Neve	PolG	0	0	0	54	180	0	0	54
UPN 260	1028	1044	Vento Y CF<0	PolG	0	0	0	-165	180	0	0	-165
UPN 260	1028	1044	Vento Y CF>0	PolG	0	0	0	27	180	0	0	27
UPN 260	1028	1044	Carichi termici	Termico	$\Delta XY=15^{\circ}C, \Delta XZ=15^{\circ}C$							
UPN 260	1029	1046	Peso Proprio	UnifG	0	0	0	38	180	0	0	38
UPN 260	1029	1046	QFissi Solai	PolG	-0	0	0	34	180	0	0	34
UPN 260	1029	1046	QV Solai	PolG	-0	0	0	34	180	0	0	34
UPN 260	1029	1046	Neve	PolG	0	0	0	54	180	0	0	54
UPN 260	1029	1046	Vento Y CF<0	PolG	0	0	0	-165	180	0	0	-165
UPN 260	1029	1046	Vento Y CF>0	PolG	0	0	0	27	180	0	0	27
UPN 260	1029	1046	Carichi termici	Termico	$\Delta XY=15^{\circ}C, \Delta XZ=15^{\circ}C$							
UPN 260	1030	1048	Peso Proprio	UnifG	0	0	0	38	180	0	0	38
UPN 260	1030	1048	QFissi Solai	PolG	0	0	0	34	180	0	0	34
UPN 260	1030	1048	QV Solai	PolG	0	0	0	34	180	0	0	34
UPN 260	1030	1048	Neve	PolG	0	0	0	54	180	0	0	54
UPN 260	1030	1048	Vento Y CF<0	PolG	0	0	0	-165	180	0	0	-165
UPN 260	1030	1048	Vento Y CF>0	PolG	0	0	0	27	180	0	0	27
UPN 260	1030	1048	Carichi termici	Termico	$\Delta XY=15^{\circ}C, \Delta XZ=15^{\circ}C$							
UPN 260	1031	1050	Peso Proprio	UnifG	0	0	0	38	177	0	0	38
UPN 260	1031	1026	Peso Proprio	UnifG	0	0	0	38	180	0	0	38
UPN 260	1031	1050	QFissi Solai	PolG	0	0	0	34	177	0	0	34
UPN 260	1031	1026	QFissi Solai	PolG	0	0	0	34	180	0	0	34
UPN 260	1031	1050	QV Solai	PolG	0	0	0	34	177	0	0	34
UPN 260	1031	1026	QV Solai	PolG	0	0	0	34	180	0	0	34
UPN 260	1031	1026	Neve	PolG	0	0	0	54	180	0	0	54
UPN 260	1031	1050	Neve	PolG	0	0	0	54	177	0	0	54
UPN 260	1031	1026	Vento Y CF<0	PolG	0	0	0	-165	180	0	0	-165
UPN 260	1031	1050	Vento Y CF<0	PolG	0	0	0	-165	177	0	0	-165
UPN 260	1031	1026	Vento Y CF>0	PolG	0	0	0	27	180	0	0	27
UPN 260	1031	1050	Vento Y CF>0	PolG	0	0	0	27	177	0	0	27
UPN 260	1031	1050	Carichi termici	Termico	$\Delta XY=15^{\circ}C, \Delta XZ=15^{\circ}C$							
UPN 260	1031	1026	Carichi termici	Termico	$\Delta XY=15^{\circ}C, \Delta XZ=15^{\circ}C$							
UPN 260	1037	1027	Peso Proprio	UnifG	0	0	0	38	180	0	0	38
UPN 260	1037	1027	QFissi Solai	PolG	0	0	0	34	180	0	0	34
UPN 260	1037	1027	QV Solai	PolG	0	0	0	34	180	0	0	34
UPN 260	1037	1027	Neve	PolG	0	0	0	54	180	0	0	54
UPN 260	1037	1027	Vento Y CF<0	PolG	0	0	0	-165	180	0	0	-165
UPN 260	1037	1027	Vento Y CF>0	PolG	0	0	0	27	180	0	0	27
UPN 260	1037	1027	Carichi termici	Termico	$\Delta XY=15^{\circ}C, \Delta XZ=15^{\circ}C$							
UPN 260	1041	1028	Peso Proprio	UnifG	0	0	0	38	180	0	0	38
UPN 260	1041	1028	QFissi Solai	PolG	0	0	0	34	180	0	0	34
UPN 260	1041	1028	QV Solai	PolG	0	0	0	34	180	0	0	34
UPN 260	1041	1028	Neve	PolG	0	0	0	54	180	0	0	54
UPN 260	1041	1028	Vento Y CF<0	PolG	0	0	0	-165	180	0	0	-165
UPN 260	1041	1028	Vento Y CF>0	PolG	0	0	0	27	180	0	0	27
UPN 260	1041	1028	Carichi termici	Termico	$\Delta XY=15^{\circ}C, \Delta XZ=15^{\circ}C$							
UPN 260	1044	1029	Peso Proprio	UnifG	0	0	0	38	180	0	0	38
UPN 260	1044	1029	QFissi Solai	PolG	-0	0	0	34	180	0	0	34
UPN 260	1044	1029	QV Solai	PolG	-0	0	0	34	180	0	0	34
UPN 260	1044	1029	Neve	PolG	0	0	0	54	180	0	0	54
UPN 260	1044	1029	Vento Y CF<0	PolG	0	0	0	-165	180	0	0	-165
UPN 260	1044	1029	Vento Y CF>0	PolG	0	0	0	27	180	0	0	27
UPN 260	1044	1029	Carichi termici	Termico	$\Delta XY=15^{\circ}C, \Delta XZ=15^{\circ}C$							
UPN 260	1046	1030	Peso Proprio	UnifG	0	0	0	38	180	0	0	38
UPN 260	1046	1030	QFissi Solai	PolG	0	0	0	34	180	0	0	34
UPN 260	1046	1030	QV Solai	PolG	0	0	0	34	180	0	0	34
UPN 260	1046	1030	Neve	PolG	0	0	0	54	180	0	0	54
UPN 260	1046	1030	Vento Y CF<0	PolG	0	0	0	-165	180	0	0	-165
UPN 260	1046	1030	Vento Y CF>0	PolG	0	0	0	27	180	0	0	27
UPN 260	1046	1030	Carichi termici	Termico	$\Delta XY=15^{\circ}C, \Delta XZ=15^{\circ}C$							
UPN 260	1048	1031	Peso Proprio	UnifG	0	0	0	38	177	0	0	38
UPN 260	1048	1031	QFissi Solai	PolG	0	0	0	34	177	0	0	34
UPN 260	1048	1031	QV Solai	PolG	0	0	0	34	177	0	0	34
UPN 260	1048	1031	Neve	PolG	0	0	0	54	177	0	0	54
UPN 260	1048	1031	Vento Y CF<0	PolG	0	0	0	-165	177	0	0	-165

Sezione	Ni	Nf	Cond.	Tipo c.	Xi	QXi	QYi	QZi	Xf	QXf	QYf	QZf
UPN 260	1048	1031	Vento Y CF>0	PolG	0	0	0	27	177	0	0	27
UPN 260	1048	1031	Carichi termici	Termico	$\Delta XY=15^{\circ}C, \Delta XZ=15^{\circ}C$							
Trave 10												
HE 220 B	1019	1033	Peso Proprio	UnifG	0	0	0	71	134	0	0	71
HE 220 B	1019	1033	Carichi termici	Termico	$\Delta XY=15^{\circ}C, \Delta XZ=15^{\circ}C$							
HE 220 B	1023	1019	Peso Proprio	UnifG	0	0	0	71	134	0	0	71
HE 220 B	1023	1019	Carichi termici	Termico	$\Delta XY=15^{\circ}C, \Delta XZ=15^{\circ}C$							
HE 220 B	1033	1052	Peso Proprio	UnifG	0	0	0	71	134	0	0	71
HE 220 B	1033	1052	Carichi termici	Termico	$\Delta XY=15^{\circ}C, \Delta XZ=15^{\circ}C$							
HE 220 B	1039	1120	Peso Proprio	UnifG	0	0	0	71	150	0	0	71
HE 220 B	1039	1120	Carichi termici	Termico	$\Delta XY=15^{\circ}C, \Delta XZ=15^{\circ}C$							
HE 220 B	1052	1083	Peso Proprio	UnifG	0	0	0	71	150	0	0	71
HE 220 B	1052	1083	Carichi termici	Termico	$\Delta XY=15^{\circ}C, \Delta XZ=15^{\circ}C$							
HE 220 B	1083	1039	Peso Proprio	UnifG	0	0	0	71	150	0	0	71
HE 220 B	1083	1039	Carichi termici	Termico	$\Delta XY=15^{\circ}C, \Delta XZ=15^{\circ}C$							
HE 220 B	1119	1166	Peso Proprio	UnifG	0	0	0	71	134	0	0	71
HE 220 B	1119	1166	Carichi termici	Termico	$\Delta XY=15^{\circ}C, \Delta XZ=15^{\circ}C$							
HE 220 B	1120	1119	Peso Proprio	UnifG	0	0	0	71	134	0	0	71
HE 220 B	1120	1119	Carichi termici	Termico	$\Delta XY=15^{\circ}C, \Delta XZ=15^{\circ}C$							
HE 220 B	1166	1046	Peso Proprio	UnifG	0	0	0	71	134	0	0	71
HE 220 B	1166	1046	Carichi termici	Termico	$\Delta XY=15^{\circ}C, \Delta XZ=15^{\circ}C$							
Trave 11												
HE 220 B	1016	1021	Peso Proprio	UnifG	0	0	0	71	134	0	0	71
HE 220 B	1016	1021	Carichi termici	Termico	$\Delta XY=15^{\circ}C, \Delta XZ=15^{\circ}C$							
HE 220 B	1021	1025	Peso Proprio	UnifG	0	0	0	71	134	0	0	71
HE 220 B	1021	1025	Carichi termici	Termico	$\Delta XY=15^{\circ}C, \Delta XZ=15^{\circ}C$							
HE 220 B	1025	1053	Peso Proprio	UnifG	0	0	0	71	134	0	0	71
HE 220 B	1025	1053	Carichi termici	Termico	$\Delta XY=15^{\circ}C, \Delta XZ=15^{\circ}C$							
HE 220 B	1053	1084	Peso Proprio	UnifG	0	0	0	71	150	0	0	71
HE 220 B	1053	1084	Carichi termici	Termico	$\Delta XY=15^{\circ}C, \Delta XZ=15^{\circ}C$							
HE 220 B	1084	1085	Peso Proprio	UnifG	0	0	0	71	150	0	0	71
HE 220 B	1084	1085	Carichi termici	Termico	$\Delta XY=15^{\circ}C, \Delta XZ=15^{\circ}C$							
HE 220 B	1085	1122	Peso Proprio	UnifG	0	0	0	71	150	0	0	71
HE 220 B	1085	1122	Carichi termici	Termico	$\Delta XY=15^{\circ}C, \Delta XZ=15^{\circ}C$							
HE 220 B	1121	1168	Peso Proprio	UnifG	0	0	0	71	134	0	0	71
HE 220 B	1121	1168	Carichi termici	Termico	$\Delta XY=15^{\circ}C, \Delta XZ=15^{\circ}C$							
HE 220 B	1122	1121	Peso Proprio	UnifG	0	0	0	71	134	0	0	71
HE 220 B	1122	1121	Carichi termici	Termico	$\Delta XY=15^{\circ}C, \Delta XZ=15^{\circ}C$							
HE 220 B	1168	1167	Peso Proprio	UnifG	0	0	0	71	134	0	0	71
HE 220 B	1168	1167	Carichi termici	Termico	$\Delta XY=15^{\circ}C, \Delta XZ=15^{\circ}C$							
Trave 12												
HE 220 B	1024	1026	Peso Proprio	UnifG	0	0	0	71	134	0	0	71
HE 220 B	1024	1026	Carichi termici	Termico	$\Delta XY=15^{\circ}C, \Delta XZ=15^{\circ}C$							
HE 220 B	1026	1027	Peso Proprio	UnifG	0	0	0	71	134	0	0	71
HE 220 B	1026	1027	Carichi termici	Termico	$\Delta XY=15^{\circ}C, \Delta XZ=15^{\circ}C$							
HE 220 B	1027	1054	Peso Proprio	UnifG	0	0	0	71	134	0	0	71
HE 220 B	1027	1054	Carichi termici	Termico	$\Delta XY=15^{\circ}C, \Delta XZ=15^{\circ}C$							
HE 220 B	1054	1087	Peso Proprio	UnifG	0	0	0	71	150	0	0	71
HE 220 B	1054	1087	Carichi termici	Termico	$\Delta XY=15^{\circ}C, \Delta XZ=15^{\circ}C$							
HE 220 B	1086	1124	Peso Proprio	UnifG	0	0	0	71	150	0	0	71
HE 220 B	1086	1124	Carichi termici	Termico	$\Delta XY=15^{\circ}C, \Delta XZ=15^{\circ}C$							
HE 220 B	1087	1086	Peso Proprio	UnifG	0	0	0	71	150	0	0	71
HE 220 B	1087	1086	Carichi termici	Termico	$\Delta XY=15^{\circ}C, \Delta XZ=15^{\circ}C$							
HE 220 B	1123	1170	Peso Proprio	UnifG	0	0	0	71	134	0	0	71
HE 220 B	1123	1170	Carichi termici	Termico	$\Delta XY=15^{\circ}C, \Delta XZ=15^{\circ}C$							
HE 220 B	1124	1123	Peso Proprio	UnifG	0	0	0	71	134	0	0	71
HE 220 B	1124	1123	Carichi termici	Termico	$\Delta XY=15^{\circ}C, \Delta XZ=15^{\circ}C$							
HE 220 B	1170	1047	Peso Proprio	UnifG	0	0	0	71	134	0	0	71
HE 220 B	1170	1047	Carichi termici	Termico	$\Delta XY=15^{\circ}C, \Delta XZ=15^{\circ}C$							
Trave 13												
HE 220 B	1025	1030	Peso Proprio	UnifG	0	0	0	71	134	0	0	71
HE 220 B	1025	1030	Carichi termici	Termico	$\Delta XY=15^{\circ}C, \Delta XZ=15^{\circ}C$							
HE 220 B	1030	1034	Peso Proprio	UnifG	0	0	0	71	134	0	0	71
HE 220 B	1030	1034	Carichi termici	Termico	$\Delta XY=15^{\circ}C, \Delta XZ=15^{\circ}C$							
HE 220 B	1034	1055	Peso Proprio	UnifG	0	0	0	71	134	0	0	71
HE 220 B	1034	1055	Carichi termici	Termico	$\Delta XY=15^{\circ}C, \Delta XZ=15^{\circ}C$							

Sezione	Ni	Nf	Cond.	Tipo c.	Xi	QXi	QYi	QZi	Xf	QXf	QYf	QZf
HE 220 B	1040	1127	Peso Proprio	UnifG	0	0	0	71	150	0	0	71
HE 220 B	1040	1127	Carichi termici	Termico	$\Delta XY=15^{\circ}C, \Delta XZ=15^{\circ}C$							
HE 220 B	1055	1091	Peso Proprio	UnifG	0	0	0	71	150	0	0	71
HE 220 B	1055	1091	Carichi termici	Termico	$\Delta XY=15^{\circ}C, \Delta XZ=15^{\circ}C$							
HE 220 B	1091	1040	Peso Proprio	UnifG	0	0	0	71	150	0	0	71
HE 220 B	1091	1040	Carichi termici	Termico	$\Delta XY=15^{\circ}C, \Delta XZ=15^{\circ}C$							
HE 220 B	1126	1174	Peso Proprio	UnifG	0	0	0	71	134	0	0	71
HE 220 B	1126	1174	Carichi termici	Termico	$\Delta XY=15^{\circ}C, \Delta XZ=15^{\circ}C$							
HE 220 B	1127	1126	Peso Proprio	UnifG	0	0	0	71	134	0	0	71
HE 220 B	1127	1126	Carichi termici	Termico	$\Delta XY=15^{\circ}C, \Delta XZ=15^{\circ}C$							
HE 220 B	1174	1048	Peso Proprio	UnifG	0	0	0	71	134	0	0	71
HE 220 B	1174	1048	Carichi termici	Termico	$\Delta XY=15^{\circ}C, \Delta XZ=15^{\circ}C$							
Trave 14												
HE 220 B	1026	1036	Peso Proprio	UnifG	0	0	0	71	134	0	0	71
HE 220 B	1026	1036	Carichi termici	Termico	$\Delta XY=15^{\circ}C, \Delta XZ=15^{\circ}C$							
HE 220 B	1036	1057	Peso Proprio	UnifG	0	0	0	71	134	0	0	71
HE 220 B	1036	1057	Carichi termici	Termico	$\Delta XY=15^{\circ}C, \Delta XZ=15^{\circ}C$							
HE 220 B	1057	1058	Peso Proprio	UnifG	0	0	0	71	134	0	0	71
HE 220 B	1057	1058	Carichi termici	Termico	$\Delta XY=15^{\circ}C, \Delta XZ=15^{\circ}C$							
HE 220 B	1058	1095	Peso Proprio	UnifG	0	0	0	71	150	0	0	71
HE 220 B	1058	1095	Carichi termici	Termico	$\Delta XY=15^{\circ}C, \Delta XZ=15^{\circ}C$							
HE 220 B	1094	1129	Peso Proprio	UnifG	0	0	0	71	150	0	0	71
HE 220 B	1094	1129	Carichi termici	Termico	$\Delta XY=15^{\circ}C, \Delta XZ=15^{\circ}C$							
HE 220 B	1095	1094	Peso Proprio	UnifG	0	0	0	71	150	0	0	71
HE 220 B	1095	1094	Carichi termici	Termico	$\Delta XY=15^{\circ}C, \Delta XZ=15^{\circ}C$							
HE 220 B	1129	1146	Peso Proprio	UnifG	0	0	0	71	134	0	0	71
HE 220 B	1129	1146	Carichi termici	Termico	$\Delta XY=15^{\circ}C, \Delta XZ=15^{\circ}C$							
HE 220 B	1146	1178	Peso Proprio	UnifG	0	0	0	71	134	0	0	71
HE 220 B	1146	1178	Carichi termici	Termico	$\Delta XY=15^{\circ}C, \Delta XZ=15^{\circ}C$							
HE 220 B	1178	1049	Peso Proprio	UnifG	0	0	0	71	134	0	0	71
HE 220 B	1178	1049	Carichi termici	Termico	$\Delta XY=15^{\circ}C, \Delta XZ=15^{\circ}C$							
Trave 15												
HE 220 B	1027	1040	Peso Proprio	UnifG	0	0	0	71	134	0	0	71
HE 220 B	1027	1040	Carichi termici	Termico	$\Delta XY=15^{\circ}C, \Delta XZ=15^{\circ}C$							
HE 220 B	1035	1099	Peso Proprio	UnifG	0	0	0	71	134	0	0	71
HE 220 B	1035	1099	Carichi termici	Termico	$\Delta XY=15^{\circ}C, \Delta XZ=15^{\circ}C$							
HE 220 B	1040	1035	Peso Proprio	UnifG	0	0	0	71	134	0	0	71
HE 220 B	1040	1035	Carichi termici	Termico	$\Delta XY=15^{\circ}C, \Delta XZ=15^{\circ}C$							
HE 220 B	1041	1131	Peso Proprio	UnifG	0	0	0	71	150	0	0	71
HE 220 B	1041	1131	Carichi termici	Termico	$\Delta XY=15^{\circ}C, \Delta XZ=15^{\circ}C$							
HE 220 B	1098	1041	Peso Proprio	UnifG	0	0	0	71	150	0	0	71
HE 220 B	1098	1041	Carichi termici	Termico	$\Delta XY=15^{\circ}C, \Delta XZ=15^{\circ}C$							
HE 220 B	1099	1098	Peso Proprio	UnifG	0	0	0	71	150	0	0	71
HE 220 B	1099	1098	Carichi termici	Termico	$\Delta XY=15^{\circ}C, \Delta XZ=15^{\circ}C$							
HE 220 B	1131	1148	Peso Proprio	UnifG	0	0	0	71	134	0	0	71
HE 220 B	1131	1148	Carichi termici	Termico	$\Delta XY=15^{\circ}C, \Delta XZ=15^{\circ}C$							
HE 220 B	1148	1182	Peso Proprio	UnifG	0	0	0	71	134	0	0	71
HE 220 B	1148	1182	Carichi termici	Termico	$\Delta XY=15^{\circ}C, \Delta XZ=15^{\circ}C$							
HE 220 B	1182	1050	Peso Proprio	UnifG	0	0	0	71	134	0	0	71
HE 220 B	1182	1050	Carichi termici	Termico	$\Delta XY=15^{\circ}C, \Delta XZ=15^{\circ}C$							
Trave 16												
HE 220 B	1028	1063	Peso Proprio	UnifG	0	0	0	71	134	0	0	71
HE 220 B	1028	1063	Carichi termici	Termico	$\Delta XY=15^{\circ}C, \Delta XZ=15^{\circ}C$							
HE 220 B	1051	1186	Peso Proprio	UnifG	0	0	0	71	134	0	0	71
HE 220 B	1051	1186	Carichi termici	Termico	$\Delta XY=15^{\circ}C, \Delta XZ=15^{\circ}C$							
HE 220 B	1062	1103	Peso Proprio	UnifG	0	0	0	71	134	0	0	71
HE 220 B	1062	1103	Carichi termici	Termico	$\Delta XY=15^{\circ}C, \Delta XZ=15^{\circ}C$							
HE 220 B	1063	1062	Peso Proprio	UnifG	0	0	0	71	134	0	0	71
HE 220 B	1063	1062	Carichi termici	Termico	$\Delta XY=15^{\circ}C, \Delta XZ=15^{\circ}C$							
HE 220 B	1102	1135	Peso Proprio	UnifG	0	0	0	71	150	0	0	71
HE 220 B	1102	1135	Carichi termici	Termico	$\Delta XY=15^{\circ}C, \Delta XZ=15^{\circ}C$							
HE 220 B	1103	1102	Peso Proprio	UnifG	0	0	0	71	150	0	0	71
HE 220 B	1103	1102	Carichi termici	Termico	$\Delta XY=15^{\circ}C, \Delta XZ=15^{\circ}C$							
HE 220 B	1134	1150	Peso Proprio	UnifG	0	0	0	71	134	0	0	71
HE 220 B	1134	1150	Carichi termici	Termico	$\Delta XY=15^{\circ}C, \Delta XZ=15^{\circ}C$							
HE 220 B	1135	1134	Peso Proprio	UnifG	0	0	0	71	150	0	0	71

Sezione	Ni	Nf	Cond.	Tipo c.	Xi	QXi	QYi	QZi	Xf	QXf	QYf	QZf
HE 220 B	1135	1134	Carichi termici	Termico	$\Delta XY=15^{\circ}C, \Delta XZ=15^{\circ}C$							
HE 220 B	1150	1051	Peso Proprio	UnifG	0	0	0	71	134	0	0	71
HE 220 B	1150	1051	Carichi termici	Termico	$\Delta XY=15^{\circ}C, \Delta XZ=15^{\circ}C$							
Trave 17												
HE 220 B	1029	1067	Peso Proprio	UnifG	0	0	0	71	134	0	0	71
HE 220 B	1029	1067	Carichi termici	Termico	$\Delta XY=15^{\circ}C, \Delta XZ=15^{\circ}C$							
HE 220 B	1036	1106	Peso Proprio	UnifG	0	0	0	71	134	0	0	71
HE 220 B	1036	1106	Carichi termici	Termico	$\Delta XY=15^{\circ}C, \Delta XZ=15^{\circ}C$							
HE 220 B	1042	1152	Peso Proprio	UnifG	0	0	0	71	150	0	0	71
HE 220 B	1042	1152	Carichi termici	Termico	$\Delta XY=15^{\circ}C, \Delta XZ=15^{\circ}C$							
HE 220 B	1052	1190	Peso Proprio	UnifG	0	0	0	71	134	0	0	71
HE 220 B	1052	1190	Carichi termici	Termico	$\Delta XY=15^{\circ}C, \Delta XZ=15^{\circ}C$							
HE 220 B	1067	1036	Peso Proprio	UnifG	0	0	0	71	134	0	0	71
HE 220 B	1067	1036	Carichi termici	Termico	$\Delta XY=15^{\circ}C, \Delta XZ=15^{\circ}C$							
HE 220 B	1105	1042	Peso Proprio	UnifG	0	0	0	71	150	0	0	71
HE 220 B	1105	1042	Carichi termici	Termico	$\Delta XY=15^{\circ}C, \Delta XZ=15^{\circ}C$							
HE 220 B	1106	1105	Peso Proprio	UnifG	0	0	0	71	150	0	0	71
HE 220 B	1106	1105	Carichi termici	Termico	$\Delta XY=15^{\circ}C, \Delta XZ=15^{\circ}C$							
HE 220 B	1152	1153	Peso Proprio	UnifG	0	0	0	71	134	0	0	71
HE 220 B	1152	1153	Carichi termici	Termico	$\Delta XY=15^{\circ}C, \Delta XZ=15^{\circ}C$							
HE 220 B	1153	1052	Peso Proprio	UnifG	0	0	0	71	134	0	0	71
HE 220 B	1153	1052	Carichi termici	Termico	$\Delta XY=15^{\circ}C, \Delta XZ=15^{\circ}C$							
Trave 18												
HE 220 B	1030	1070	Peso Proprio	UnifG	0	0	0	71	134	0	0	71
HE 220 B	1030	1070	Carichi termici	Termico	$\Delta XY=15^{\circ}C, \Delta XZ=15^{\circ}C$							
HE 220 B	1070	1071	Peso Proprio	UnifG	0	0	0	71	134	0	0	71
HE 220 B	1070	1071	Carichi termici	Termico	$\Delta XY=15^{\circ}C, \Delta XZ=15^{\circ}C$							
HE 220 B	1071	1110	Peso Proprio	UnifG	0	0	0	71	134	0	0	71
HE 220 B	1071	1110	Carichi termici	Termico	$\Delta XY=15^{\circ}C, \Delta XZ=15^{\circ}C$							
HE 220 B	1109	1139	Peso Proprio	UnifG	0	0	0	71	150	0	0	71
HE 220 B	1109	1139	Carichi termici	Termico	$\Delta XY=15^{\circ}C, \Delta XZ=15^{\circ}C$							
HE 220 B	1110	1109	Peso Proprio	UnifG	0	0	0	71	150	0	0	71
HE 220 B	1110	1109	Carichi termici	Termico	$\Delta XY=15^{\circ}C, \Delta XZ=15^{\circ}C$							
HE 220 B	1139	1157	Peso Proprio	UnifG	0	0	0	71	150	0	0	71
HE 220 B	1139	1157	Carichi termici	Termico	$\Delta XY=15^{\circ}C, \Delta XZ=15^{\circ}C$							
HE 220 B	1156	1194	Peso Proprio	UnifG	0	0	0	71	134	0	0	71
HE 220 B	1156	1194	Carichi termici	Termico	$\Delta XY=15^{\circ}C, \Delta XZ=15^{\circ}C$							
HE 220 B	1157	1156	Peso Proprio	UnifG	0	0	0	71	134	0	0	71
HE 220 B	1157	1156	Carichi termici	Termico	$\Delta XY=15^{\circ}C, \Delta XZ=15^{\circ}C$							
HE 220 B	1194	1053	Peso Proprio	UnifG	0	0	0	71	134	0	0	71
HE 220 B	1194	1053	Carichi termici	Termico	$\Delta XY=15^{\circ}C, \Delta XZ=15^{\circ}C$							
Trave 19												
HE 220 B	1046	1068	Peso Proprio	UnifG	0	0	0	71	134	0	0	71
HE 220 B	1046	1068	Carichi termici	Termico	$\Delta XY=15^{\circ}C, \Delta XZ=15^{\circ}C$							
HE 220 B	1068	1069	Peso Proprio	UnifG	0	0	0	71	134	0	0	71
HE 220 B	1068	1069	Carichi termici	Termico	$\Delta XY=15^{\circ}C, \Delta XZ=15^{\circ}C$							
HE 220 B	1069	1107	Peso Proprio	UnifG	0	0	0	71	134	0	0	71
HE 220 B	1069	1107	Carichi termici	Termico	$\Delta XY=15^{\circ}C, \Delta XZ=15^{\circ}C$							
HE 220 B	1107	1108	Peso Proprio	UnifG	0	0	0	71	150	0	0	71
HE 220 B	1107	1108	Carichi termici	Termico	$\Delta XY=15^{\circ}C, \Delta XZ=15^{\circ}C$							
HE 220 B	1108	1138	Peso Proprio	UnifG	0	0	0	71	150	0	0	71
HE 220 B	1108	1138	Carichi termici	Termico	$\Delta XY=15^{\circ}C, \Delta XZ=15^{\circ}C$							
HE 220 B	1138	1155	Peso Proprio	UnifG	0	0	0	71	150	0	0	71
HE 220 B	1138	1155	Carichi termici	Termico	$\Delta XY=15^{\circ}C, \Delta XZ=15^{\circ}C$							
HE 220 B	1154	1192	Peso Proprio	UnifG	0	0	0	71	134	0	0	71
HE 220 B	1154	1192	Carichi termici	Termico	$\Delta XY=15^{\circ}C, \Delta XZ=15^{\circ}C$							
HE 220 B	1155	1154	Peso Proprio	UnifG	0	0	0	71	134	0	0	71
HE 220 B	1155	1154	Carichi termici	Termico	$\Delta XY=15^{\circ}C, \Delta XZ=15^{\circ}C$							
HE 220 B	1192	1191	Peso Proprio	UnifG	0	0	0	71	134	0	0	71
HE 220 B	1192	1191	Carichi termici	Termico	$\Delta XY=15^{\circ}C, \Delta XZ=15^{\circ}C$							
Trave 20												
HE 220 B	1041	1042	Peso Proprio	UnifG	0	0	0	71	134	0	0	71
HE 220 B	1041	1042	Carichi termici	Termico	$\Delta XY=15^{\circ}C, \Delta XZ=15^{\circ}C$							
HE 220 B	1042	1061	Peso Proprio	UnifG	0	0	0	71	134	0	0	71
HE 220 B	1042	1061	Carichi termici	Termico	$\Delta XY=15^{\circ}C, \Delta XZ=15^{\circ}C$							
HE 220 B	1061	1101	Peso Proprio	UnifG	0	0	0	71	134	0	0	71

Sezione	Ni	Nf	Cond.	Tipo c.	Xi	QXi	QYi	QZi	Xf	QXf	QYf	QZf
HE 220 B	1061	1101	Carichi termici	Termico	$\Delta XY=15^{\circ}C, \Delta XZ=15^{\circ}C$							
HE 220 B	1100	1133	Peso Proprio	UnifG	0	0	0	71	150	0	0	71
HE 220 B	1100	1133	Carichi termici	Termico	$\Delta XY=15^{\circ}C, \Delta XZ=15^{\circ}C$							
HE 220 B	1101	1100	Peso Proprio	UnifG	0	0	0	71	150	0	0	71
HE 220 B	1101	1100	Carichi termici	Termico	$\Delta XY=15^{\circ}C, \Delta XZ=15^{\circ}C$							
HE 220 B	1132	1149	Peso Proprio	UnifG	0	0	0	71	134	0	0	71
HE 220 B	1132	1149	Carichi termici	Termico	$\Delta XY=15^{\circ}C, \Delta XZ=15^{\circ}C$							
HE 220 B	1133	1132	Peso Proprio	UnifG	0	0	0	71	150	0	0	71
HE 220 B	1133	1132	Carichi termici	Termico	$\Delta XY=15^{\circ}C, \Delta XZ=15^{\circ}C$							
HE 220 B	1149	1184	Peso Proprio	UnifG	0	0	0	71	134	0	0	71
HE 220 B	1149	1184	Carichi termici	Termico	$\Delta XY=15^{\circ}C, \Delta XZ=15^{\circ}C$							
HE 220 B	1184	1183	Peso Proprio	UnifG	0	0	0	71	134	0	0	71
HE 220 B	1184	1183	Carichi termici	Termico	$\Delta XY=15^{\circ}C, \Delta XZ=15^{\circ}C$							
Trave 21												
HE 220 B	1031	1034	Peso Proprio	UnifG	0	0	0	71	134	0	0	71
HE 220 B	1031	1034	Carichi termici	Termico	$\Delta XY=15^{\circ}C, \Delta XZ=15^{\circ}C$							
HE 220 B	1034	1035	Peso Proprio	UnifG	0	0	0	71	134	0	0	71
HE 220 B	1034	1035	Carichi termici	Termico	$\Delta XY=15^{\circ}C, \Delta XZ=15^{\circ}C$							
HE 220 B	1035	1056	Peso Proprio	UnifG	0	0	0	71	134	0	0	71
HE 220 B	1035	1056	Carichi termici	Termico	$\Delta XY=15^{\circ}C, \Delta XZ=15^{\circ}C$							
HE 220 B	1056	1092	Peso Proprio	UnifG	0	0	0	71	150	0	0	71
HE 220 B	1056	1092	Carichi termici	Termico	$\Delta XY=15^{\circ}C, \Delta XZ=15^{\circ}C$							
HE 220 B	1092	1093	Peso Proprio	UnifG	0	0	0	71	150	0	0	71
HE 220 B	1092	1093	Carichi termici	Termico	$\Delta XY=15^{\circ}C, \Delta XZ=15^{\circ}C$							
HE 220 B	1093	1128	Peso Proprio	UnifG	0	0	0	71	150	0	0	71
HE 220 B	1093	1128	Carichi termici	Termico	$\Delta XY=15^{\circ}C, \Delta XZ=15^{\circ}C$							
HE 220 B	1128	1145	Peso Proprio	UnifG	0	0	0	71	134	0	0	71
HE 220 B	1128	1145	Carichi termici	Termico	$\Delta XY=15^{\circ}C, \Delta XZ=15^{\circ}C$							
HE 220 B	1145	1176	Peso Proprio	UnifG	0	0	0	71	134	0	0	71
HE 220 B	1145	1176	Carichi termici	Termico	$\Delta XY=15^{\circ}C, \Delta XZ=15^{\circ}C$							
HE 220 B	1176	1175	Peso Proprio	UnifG	0	0	0	71	134	0	0	71
HE 220 B	1176	1175	Carichi termici	Termico	$\Delta XY=15^{\circ}C, \Delta XZ=15^{\circ}C$							
Trave 22												
HE 220 B	1031	1075	Peso Proprio	UnifG	0	0	0	71	134	0	0	71
HE 220 B	1031	1075	Carichi termici	Termico	$\Delta XY=15^{\circ}C, \Delta XZ=15^{\circ}C$							
HE 220 B	1037	1113	Peso Proprio	UnifG	0	0	0	71	134	0	0	71
HE 220 B	1037	1113	Carichi termici	Termico	$\Delta XY=15^{\circ}C, \Delta XZ=15^{\circ}C$							
HE 220 B	1043	1160	Peso Proprio	UnifG	0	0	0	71	150	0	0	71
HE 220 B	1043	1160	Carichi termici	Termico	$\Delta XY=15^{\circ}C, \Delta XZ=15^{\circ}C$							
HE 220 B	1075	1037	Peso Proprio	UnifG	0	0	0	71	134	0	0	71
HE 220 B	1075	1037	Carichi termici	Termico	$\Delta XY=15^{\circ}C, \Delta XZ=15^{\circ}C$							
HE 220 B	1112	1043	Peso Proprio	UnifG	0	0	0	71	150	0	0	71
HE 220 B	1112	1043	Carichi termici	Termico	$\Delta XY=15^{\circ}C, \Delta XZ=15^{\circ}C$							
HE 220 B	1113	1112	Peso Proprio	UnifG	0	0	0	71	150	0	0	71
HE 220 B	1113	1112	Carichi termici	Termico	$\Delta XY=15^{\circ}C, \Delta XZ=15^{\circ}C$							
HE 220 B	1159	1198	Peso Proprio	UnifG	0	0	0	71	134	0	0	71
HE 220 B	1159	1198	Carichi termici	Termico	$\Delta XY=15^{\circ}C, \Delta XZ=15^{\circ}C$							
HE 220 B	1160	1159	Peso Proprio	UnifG	0	0	0	71	134	0	0	71
HE 220 B	1160	1159	Carichi termici	Termico	$\Delta XY=15^{\circ}C, \Delta XZ=15^{\circ}C$							
HE 220 B	1198	1054	Peso Proprio	UnifG	0	0	0	71	134	0	0	71
HE 220 B	1198	1054	Carichi termici	Termico	$\Delta XY=15^{\circ}C, \Delta XZ=15^{\circ}C$							
Trave 23												
IPE 100	1014	1019	Peso Proprio	UnifG	0	0	0	8	180	0	0	8
IPE 100	1014	1019	QFissi Solai	PolG	0	0	0	67	180	0	0	67
IPE 100	1014	1019	QV Solai	PolG	0	0	0	67	180	0	0	67
IPE 100	1014	1019	Neve	PolG	0	0	0	54	180	0	0	54
IPE 100	1014	1019	Neve	PolG	0	0	0	54	180	0	0	54
IPE 100	1014	1019	Vento Y CF<0	PolG	0	0	0	-165	180	0	0	-165
IPE 100	1014	1019	Vento Y CF<0	PolG	0	0	0	-165	180	0	0	-165
IPE 100	1014	1019	Vento Y CF>0	PolG	0	0	0	27	180	0	0	27
IPE 100	1014	1019	Vento Y CF>0	PolG	0	0	0	27	180	0	0	27
IPE 100	1014	1019	Carichi termici	Termico	$\Delta XY=15^{\circ}C, \Delta XZ=15^{\circ}C$							
IPE 100	1019	1021	Peso Proprio	UnifG	0	0	0	8	180	0	0	8
IPE 100	1019	1021	QFissi Solai	PolG	-0	0	0	67	180	0	0	67
IPE 100	1019	1021	QV Solai	PolG	-0	0	0	67	180	0	0	67
IPE 100	1019	1021	Neve	PolG	0	0	0	54	180	0	0	54

Sezione	Ni	Nf	Cond.	Tipo c.	Xi	QXi	QYi	QZi	Xf	QXf	QYf	QZf
IPE 100	1019	1021	Neve	PolG	0	0	0	54	180	0	0	54
IPE 100	1019	1021	Vento Y CF<0	PolG	0	0	0	-165	180	0	0	-165
IPE 100	1019	1021	Vento Y CF<0	PolG	0	0	0	-165	180	0	0	-165
IPE 100	1019	1021	Vento Y CF>0	PolG	0	0	0	27	180	0	0	27
IPE 100	1019	1021	Vento Y CF>0	PolG	0	0	0	27	180	0	0	27
IPE 100	1019	1021	Carichi termici	Termico	$\Delta XY=15^{\circ}C, \Delta XZ=15^{\circ}C$							
IPE 100	1021	1014	Peso Proprio	UnifG	0	0	0	8	230	0	0	8
IPE 100	1021	1026	Peso Proprio	UnifG	0	0	0	8	180	0	0	8
IPE 100	1021	1014	QFissi Solai	PolG	-0	0	0	67	230	0	0	67
IPE 100	1021	1026	QFissi Solai	PolG	-0	0	0	67	180	0	0	67
IPE 100	1021	1014	QV Solai	PolG	-0	0	0	67	230	0	0	67
IPE 100	1021	1026	QV Solai	PolG	-0	0	0	67	180	0	0	67
IPE 100	1021	1026	Neve	PolG	0	0	0	54	180	0	0	54
IPE 100	1021	1014	Neve	PolG	0	0	0	54	230	0	0	54
IPE 100	1021	1014	Neve	PolG	0	0	0	54	230	0	0	54
IPE 100	1021	1026	Neve	PolG	0	0	0	54	180	0	0	54
IPE 100	1021	1026	Vento Y CF<0	PolG	0	0	0	-165	180	0	0	-165
IPE 100	1021	1014	Vento Y CF<0	PolG	0	0	0	-165	230	0	0	-165
IPE 100	1021	1026	Vento Y CF<0	PolG	0	0	0	-165	180	0	0	-165
IPE 100	1021	1014	Vento Y CF<0	PolG	0	0	0	-165	230	0	0	-165
IPE 100	1021	1026	Vento Y CF>0	PolG	0	0	0	27	180	0	0	27
IPE 100	1021	1026	Vento Y CF>0	PolG	0	0	0	27	180	0	0	27
IPE 100	1021	1014	Vento Y CF>0	PolG	0	0	0	27	230	0	0	27
IPE 100	1021	1014	Vento Y CF>0	PolG	0	0	0	27	230	0	0	27
IPE 100	1021	1026	Carichi termici	Termico	$\Delta XY=15^{\circ}C, \Delta XZ=15^{\circ}C$							
IPE 100	1021	1014	Carichi termici	Termico	$\Delta XY=15^{\circ}C, \Delta XZ=15^{\circ}C$							
IPE 100	1026	1028	Peso Proprio	UnifG	0	0	0	8	180	0	0	8
IPE 100	1026	1028	QFissi Solai	PolG	-0	0	0	67	180	0	0	67
IPE 100	1026	1028	QV Solai	PolG	-0	0	0	67	180	0	0	67
IPE 100	1026	1028	Neve	PolG	0	0	0	54	180	0	0	54
IPE 100	1026	1028	Neve	PolG	0	0	0	54	180	0	0	54
IPE 100	1026	1028	Vento Y CF<0	PolG	0	0	0	-165	180	0	0	-165
IPE 100	1026	1028	Vento Y CF<0	PolG	0	0	0	-165	180	0	0	-165
IPE 100	1026	1028	Vento Y CF>0	PolG	0	0	0	27	180	0	0	27
IPE 100	1026	1028	Vento Y CF>0	PolG	0	0	0	27	180	0	0	27
IPE 100	1026	1028	Carichi termici	Termico	$\Delta XY=15^{\circ}C, \Delta XZ=15^{\circ}C$							
IPE 100	1028	1030	Peso Proprio	UnifG	0	0	0	8	180	0	0	8
IPE 100	1028	1030	QFissi Solai	PolG	-0	0	0	67	180	0	0	67
IPE 100	1028	1030	QV Solai	PolG	-0	0	0	67	180	0	0	67
IPE 100	1028	1030	Neve	PolG	0	0	0	54	180	0	0	54
IPE 100	1028	1030	Neve	PolG	0	0	0	54	180	0	0	54
IPE 100	1028	1030	Vento Y CF<0	PolG	0	0	0	-165	180	0	0	-165
IPE 100	1028	1030	Vento Y CF<0	PolG	0	0	0	-165	180	0	0	-165
IPE 100	1028	1030	Vento Y CF>0	PolG	0	0	0	27	180	0	0	27
IPE 100	1028	1030	Vento Y CF>0	PolG	0	0	0	27	180	0	0	27
IPE 100	1028	1030	Carichi termici	Termico	$\Delta XY=15^{\circ}C, \Delta XZ=15^{\circ}C$							
IPE 100	1030	1034	Peso Proprio	UnifG	0	0	0	8	180	0	0	8
IPE 100	1030	1034	QFissi Solai	PolG	-0	0	0	67	180	0	0	67
IPE 100	1030	1034	QV Solai	PolG	-0	0	0	67	180	0	0	67
IPE 100	1030	1034	Neve	PolG	0	0	0	54	180	0	0	54
IPE 100	1030	1034	Neve	PolG	0	0	0	54	180	0	0	54
IPE 100	1030	1034	Vento Y CF<0	PolG	0	0	0	-165	180	0	0	-165
IPE 100	1030	1034	Vento Y CF<0	PolG	0	0	0	-165	180	0	0	-165
IPE 100	1030	1034	Vento Y CF>0	PolG	0	0	0	27	180	0	0	27
IPE 100	1030	1034	Vento Y CF>0	PolG	0	0	0	27	180	0	0	27
IPE 100	1030	1034	Carichi termici	Termico	$\Delta XY=15^{\circ}C, \Delta XZ=15^{\circ}C$							
IPE 100	1034	1036	Peso Proprio	UnifG	0	0	0	8	180	0	0	8
IPE 100	1034	1036	QFissi Solai	PolG	-0	0	0	67	180	0	0	67
IPE 100	1034	1036	QV Solai	PolG	-0	0	0	67	180	0	0	67
IPE 100	1034	1036	Neve	PolG	0	0	0	54	180	0	0	54
IPE 100	1034	1036	Neve	PolG	0	0	0	54	180	0	0	54
IPE 100	1034	1036	Vento Y CF<0	PolG	0	0	0	-165	180	0	0	-165
IPE 100	1034	1036	Vento Y CF<0	PolG	0	0	0	-165	180	0	0	-165
IPE 100	1034	1036	Vento Y CF>0	PolG	0	0	0	27	180	0	0	27
IPE 100	1034	1036	Vento Y CF>0	PolG	0	0	0	27	180	0	0	27
IPE 100	1034	1036	Carichi termici	Termico	$\Delta XY=15^{\circ}C, \Delta XZ=15^{\circ}C$							
IPE 100	1036	1038	Peso Proprio	UnifG	0	0	0	8	180	0	0	8

Sezione	Ni	Nf	Cond.	Tipo c.	Xi	QXi	QYi	QZi	Xf	QXf	QYf	QZf
IPE 100	1036	1038	QFissi Solai	PolG	-0	0	0	67	180	0	0	67
IPE 100	1036	1038	QV Solai	PolG	-0	0	0	67	180	0	0	67
IPE 100	1036	1038	Neve	PolG	0	0	0	54	180	0	0	54
IPE 100	1036	1038	Neve	PolG	0	0	0	54	180	0	0	54
IPE 100	1036	1038	Vento Y CF<0	PolG	0	0	0	-165	180	0	0	-165
IPE 100	1036	1038	Vento Y CF<0	PolG	0	0	0	-165	180	0	0	-165
IPE 100	1036	1038	Vento Y CF>0	PolG	0	0	0	27	180	0	0	27
IPE 100	1036	1038	Vento Y CF>0	PolG	0	0	0	27	180	0	0	27
IPE 100	1036	1038	Carichi termici	Termico	$\Delta XY=15^{\circ}C, \Delta XZ=15^{\circ}C$							
IPE 100	1038	1040	Peso Proprio	UnifG	0	0	0	8	180	0	0	8
IPE 100	1038	1040	QFissi Solai	PolG	-0	0	0	67	180	0	0	67
IPE 100	1038	1040	QV Solai	PolG	-0	0	0	67	180	0	0	67
IPE 100	1038	1040	Neve	PolG	0	0	0	54	180	0	0	54
IPE 100	1038	1040	Neve	PolG	0	0	0	54	180	0	0	54
IPE 100	1038	1040	Vento Y CF<0	PolG	0	0	0	-165	180	0	0	-165
IPE 100	1038	1040	Vento Y CF<0	PolG	0	0	0	-165	180	0	0	-165
IPE 100	1038	1040	Vento Y CF>0	PolG	0	0	0	27	180	0	0	27
IPE 100	1038	1040	Vento Y CF>0	PolG	0	0	0	27	180	0	0	27
IPE 100	1038	1040	Carichi termici	Termico	$\Delta XY=15^{\circ}C, \Delta XZ=15^{\circ}C$							
IPE 100	1040	1042	Peso Proprio	UnifG	0	0	0	8	180	0	0	8
IPE 100	1040	1042	QFissi Solai	PolG	-0	0	0	67	180	0	0	67
IPE 100	1040	1042	QV Solai	PolG	-0	0	0	67	180	0	0	67
IPE 100	1040	1042	Neve	PolG	0	0	0	54	180	0	0	54
IPE 100	1040	1042	Neve	PolG	0	0	0	54	180	0	0	54
IPE 100	1040	1042	Vento Y CF<0	PolG	0	0	0	-165	180	0	0	-165
IPE 100	1040	1042	Vento Y CF<0	PolG	0	0	0	-165	180	0	0	-165
IPE 100	1040	1042	Vento Y CF>0	PolG	0	0	0	27	180	0	0	27
IPE 100	1040	1042	Vento Y CF>0	PolG	0	0	0	27	180	0	0	27
IPE 100	1040	1042	Carichi termici	Termico	$\Delta XY=15^{\circ}C, \Delta XZ=15^{\circ}C$							
IPE 100	1042	1063	Peso Proprio	UnifG	0	0	0	8	180	0	0	8
IPE 100	1042	1063	QFissi Solai	PolG	0	0	0	67	180	0	0	67
IPE 100	1042	1063	QV Solai	PolG	0	0	0	67	180	0	0	67
IPE 100	1042	1063	Neve	PolG	0	0	0	54	180	0	0	54
IPE 100	1042	1063	Neve	PolG	0	0	0	54	180	0	0	54
IPE 100	1042	1063	Vento Y CF<0	PolG	0	0	0	-165	180	0	0	-165
IPE 100	1042	1063	Vento Y CF<0	PolG	0	0	0	-165	180	0	0	-165
IPE 100	1042	1063	Vento Y CF>0	PolG	0	0	0	27	180	0	0	27
IPE 100	1042	1063	Vento Y CF>0	PolG	0	0	0	27	180	0	0	27
IPE 100	1042	1063	Carichi termici	Termico	$\Delta XY=15^{\circ}C, \Delta XZ=15^{\circ}C$							
IPE 100	1063	1065	Peso Proprio	UnifG	0	0	0	8	180	0	0	8
IPE 100	1063	1065	QFissi Solai	PolG	0	0	0	67	180	0	0	67
IPE 100	1063	1065	QV Solai	PolG	0	0	0	67	180	0	0	67
IPE 100	1063	1065	Neve	PolG	0	0	0	54	180	0	0	54
IPE 100	1063	1065	Neve	PolG	0	0	0	54	180	0	0	54
IPE 100	1063	1065	Vento Y CF<0	PolG	0	0	0	-165	180	0	0	-165
IPE 100	1063	1065	Vento Y CF<0	PolG	0	0	0	-165	180	0	0	-165
IPE 100	1063	1065	Vento Y CF>0	PolG	0	0	0	27	180	0	0	27
IPE 100	1063	1065	Vento Y CF>0	PolG	0	0	0	27	180	0	0	27
IPE 100	1063	1065	Carichi termici	Termico	$\Delta XY=15^{\circ}C, \Delta XZ=15^{\circ}C$							
IPE 100	1065	1067	Peso Proprio	UnifG	0	0	0	8	180	0	0	8
IPE 100	1065	1067	QFissi Solai	PolG	0	0	0	67	180	0	0	67
IPE 100	1065	1067	QV Solai	PolG	0	0	0	67	180	0	0	67
IPE 100	1065	1067	Neve	PolG	0	0	0	54	180	0	0	54
IPE 100	1065	1067	Neve	PolG	0	0	0	54	180	0	0	54
IPE 100	1065	1067	Vento Y CF<0	PolG	0	0	0	-165	180	0	0	-165
IPE 100	1065	1067	Vento Y CF<0	PolG	0	0	0	-165	180	0	0	-165
IPE 100	1065	1067	Vento Y CF>0	PolG	0	0	0	27	180	0	0	27
IPE 100	1065	1067	Vento Y CF>0	PolG	0	0	0	27	180	0	0	27
IPE 100	1065	1067	Carichi termici	Termico	$\Delta XY=15^{\circ}C, \Delta XZ=15^{\circ}C$							
IPE 100	1067	1068	Peso Proprio	UnifG	0	0	0	8	180	0	0	8
IPE 100	1067	1068	QFissi Solai	PolG	0	0	0	67	180	0	0	67
IPE 100	1067	1068	QV Solai	PolG	0	0	0	67	180	0	0	67
IPE 100	1067	1068	Neve	PolG	0	0	0	54	180	0	0	54
IPE 100	1067	1068	Neve	PolG	0	0	0	54	180	0	0	54
IPE 100	1067	1068	Vento Y CF<0	PolG	0	0	0	-165	180	0	0	-165
IPE 100	1067	1068	Vento Y CF<0	PolG	0	0	0	-165	180	0	0	-165
IPE 100	1067	1068	Vento Y CF>0	PolG	0	0	0	27	180	0	0	27

Sezione	Ni	Nf	Cond.	Tipo c.	Xi	QXi	QYi	QZi	Xf	QXf	QYf	QZf
IPE 100	1067	1068	Vento Y CF>0	PolG	0	0	0	27	180	0	0	27
IPE 100	1067	1068	Carichi termici	Termico	$\Delta XY=15^{\circ}C, \Delta XZ=15^{\circ}C$							
IPE 100	1068	1070	Peso Proprio	UnifG	0	0	0	8	180	0	0	8
IPE 100	1068	1070	QFissi Solai	PolG	-0	0	0	67	180	0	0	67
IPE 100	1068	1070	QV Solai	PolG	-0	0	0	67	180	0	0	67
IPE 100	1068	1070	Neve	PolG	0	0	0	54	180	0	0	54
IPE 100	1068	1070	Neve	PolG	0	0	0	54	180	0	0	54
IPE 100	1068	1070	Vento Y CF<0	PolG	0	0	0	-165	180	0	0	-165
IPE 100	1068	1070	Vento Y CF<0	PolG	0	0	0	-165	180	0	0	-165
IPE 100	1068	1070	Vento Y CF>0	PolG	0	0	0	27	180	0	0	27
IPE 100	1068	1070	Vento Y CF>0	PolG	0	0	0	27	180	0	0	27
IPE 100	1068	1070	Carichi termici	Termico	$\Delta XY=15^{\circ}C, \Delta XZ=15^{\circ}C$							
IPE 100	1070	1072	Peso Proprio	UnifG	0	0	0	8	180	0	0	8
IPE 100	1070	1072	QFissi Solai	PolG	-0	0	0	67	180	0	0	67
IPE 100	1070	1072	QV Solai	PolG	-0	0	0	67	180	0	0	67
IPE 100	1070	1072	Neve	PolG	0	0	0	54	180	0	0	54
IPE 100	1070	1072	Neve	PolG	0	0	0	54	180	0	0	54
IPE 100	1070	1072	Vento Y CF<0	PolG	0	0	0	-165	180	0	0	-165
IPE 100	1070	1072	Vento Y CF<0	PolG	0	0	0	-165	180	0	0	-165
IPE 100	1070	1072	Vento Y CF>0	PolG	0	0	0	27	180	0	0	27
IPE 100	1070	1072	Vento Y CF>0	PolG	0	0	0	27	180	0	0	27
IPE 100	1070	1072	Carichi termici	Termico	$\Delta XY=15^{\circ}C, \Delta XZ=15^{\circ}C$							
IPE 100	1072	1075	Peso Proprio	UnifG	0	0	0	8	178	0	0	8
IPE 100	1072	1075	QFissi Solai	PolG	-0	0	0	67	178	0	0	67
IPE 100	1072	1075	QV Solai	PolG	-0	0	0	67	178	0	0	67
IPE 100	1072	1075	Neve	PolG	0	0	0	54	178	0	0	54
IPE 100	1072	1075	Neve	PolG	0	0	0	54	178	0	0	54
IPE 100	1072	1075	Vento Y CF<0	PolG	0	0	0	-165	178	0	0	-165
IPE 100	1072	1075	Vento Y CF<0	PolG	0	0	0	-165	178	0	0	-165
IPE 100	1072	1075	Vento Y CF>0	PolG	0	0	0	27	178	0	0	27
IPE 100	1072	1075	Vento Y CF>0	PolG	0	0	0	27	178	0	0	27
IPE 100	1072	1075	Carichi termici	Termico	$\Delta XY=15^{\circ}C, \Delta XZ=15^{\circ}C$							
IPE 100	1075	1076	Peso Proprio	UnifG	0	0	0	8	178	0	0	8
IPE 100	1075	1076	QFissi Solai	PolG	-0	0	0	67	177	0	0	67
IPE 100	1075	1076	QV Solai	PolG	-0	0	0	67	177	0	0	67
IPE 100	1075	1076	Neve	PolG	0	0	0	54	178	0	0	54
IPE 100	1075	1076	Neve	PolG	0	0	0	54	177	0	0	54
IPE 100	1075	1076	Vento Y CF<0	PolG	0	0	0	-165	178	0	0	-165
IPE 100	1075	1076	Vento Y CF<0	PolG	0	0	0	-165	177	0	0	-165
IPE 100	1075	1076	Vento Y CF>0	PolG	0	0	0	27	177	0	0	27
IPE 100	1075	1076	Vento Y CF>0	PolG	0	0	0	27	178	0	0	27
IPE 100	1075	1076	Carichi termici	Termico	$\Delta XY=15^{\circ}C, \Delta XZ=15^{\circ}C$							
Trave 24												
IPE 100	1018	1033	Peso Proprio	UnifG	0	0	0	8	180	0	0	8
IPE 100	1018	1033	QFissi Solai	PolG	0	0	0	67	180	0	0	67
IPE 100	1018	1033	QV Solai	PolG	0	0	0	67	180	0	0	67
IPE 100	1018	1033	Neve	PolG	0	0	0	54	180	0	0	54
IPE 100	1018	1033	Neve	PolG	0	0	0	54	180	0	0	54
IPE 100	1018	1033	Vento Y CF<0	PolG	0	0	0	-165	180	0	0	-165
IPE 100	1018	1033	Vento Y CF<0	PolG	0	0	0	-165	180	0	0	-165
IPE 100	1018	1033	Vento Y CF>0	PolG	0	0	0	27	180	0	0	27
IPE 100	1018	1033	Vento Y CF>0	PolG	0	0	0	27	180	0	0	27
IPE 100	1018	1033	Carichi termici	Termico	$\Delta XY=15^{\circ}C, \Delta XZ=15^{\circ}C$							
IPE 100	1025	1027	Peso Proprio	UnifG	0	0	0	8	180	0	0	8
IPE 100	1025	1027	QFissi Solai	PolG	-0	0	0	67	180	0	0	67
IPE 100	1025	1027	QV Solai	PolG	-0	0	0	67	180	0	0	67
IPE 100	1025	1027	Neve	PolG	0	0	0	54	180	0	0	54
IPE 100	1025	1027	Neve	PolG	0	0	0	54	180	0	0	54
IPE 100	1025	1027	Vento Y CF<0	PolG	0	0	0	-165	180	0	0	-165
IPE 100	1025	1027	Vento Y CF<0	PolG	0	0	0	-165	180	0	0	-165
IPE 100	1025	1027	Vento Y CF>0	PolG	0	0	0	27	180	0	0	27
IPE 100	1025	1027	Vento Y CF>0	PolG	0	0	0	27	180	0	0	27
IPE 100	1025	1027	Carichi termici	Termico	$\Delta XY=15^{\circ}C, \Delta XZ=15^{\circ}C$							
IPE 100	1027	1029	Peso Proprio	UnifG	0	0	0	8	180	0	0	8
IPE 100	1027	1029	QFissi Solai	PolG	-0	0	0	67	180	0	0	67
IPE 100	1027	1029	QV Solai	PolG	-0	0	0	67	180	0	0	67
IPE 100	1027	1029	Neve	PolG	0	0	0	54	180	0	0	54

Sezione	Ni	Nf	Cond.	Tipo c.	Xi	QXi	QYi	QZi	Xf	QXf	QYf	QZf
IPE 100	1027	1029	Neve	PolG	0	0	0	54	180	0	0	54
IPE 100	1027	1029	Vento Y CF<0	PolG	0	0	0	-165	180	0	0	-165
IPE 100	1027	1029	Vento Y CF<0	PolG	0	0	0	-165	180	0	0	-165
IPE 100	1027	1029	Vento Y CF>0	PolG	0	0	0	27	180	0	0	27
IPE 100	1027	1029	Vento Y CF>0	PolG	0	0	0	27	180	0	0	27
IPE 100	1027	1029	Carichi termici	Termico	$\Delta XY=15^{\circ}C, \Delta XZ=15^{\circ}C$							
IPE 100	1029	1034	Peso Proprio	UnifG	0	0	0	8	180	0	0	8
IPE 100	1029	1034	QFissi Solai	PolG	-0	0	0	67	180	0	0	67
IPE 100	1029	1034	QV Solai	PolG	-0	0	0	67	180	0	0	67
IPE 100	1029	1034	Neve	PolG	0	0	0	54	180	0	0	54
IPE 100	1029	1034	Neve	PolG	0	0	0	54	180	0	0	54
IPE 100	1029	1034	Vento Y CF<0	PolG	0	0	0	-165	180	0	0	-165
IPE 100	1029	1034	Vento Y CF<0	PolG	0	0	0	-165	180	0	0	-165
IPE 100	1029	1034	Vento Y CF>0	PolG	0	0	0	27	180	0	0	27
IPE 100	1029	1034	Vento Y CF>0	PolG	0	0	0	27	180	0	0	27
IPE 100	1029	1034	Carichi termici	Termico	$\Delta XY=15^{\circ}C, \Delta XZ=15^{\circ}C$							
IPE 100	1032	1018	Peso Proprio	UnifG	0	0	0	8	230	0	0	8
IPE 100	1032	1018	QFissi Solai	PolG	-0	0	0	67	230	0	0	67
IPE 100	1032	1018	QV Solai	PolG	-0	0	0	67	230	0	0	67
IPE 100	1032	1018	Neve	PolG	0	0	0	54	230	0	0	54
IPE 100	1032	1018	Neve	PolG	0	0	0	54	230	0	0	54
IPE 100	1032	1018	Vento Y CF<0	PolG	0	0	0	-165	230	0	0	-165
IPE 100	1032	1018	Vento Y CF<0	PolG	0	0	0	-165	230	0	0	-165
IPE 100	1032	1018	Vento Y CF>0	PolG	0	0	0	27	230	0	0	27
IPE 100	1032	1018	Vento Y CF>0	PolG	0	0	0	27	230	0	0	27
IPE 100	1032	1018	Carichi termici	Termico	$\Delta XY=15^{\circ}C, \Delta XZ=15^{\circ}C$							
IPE 100	1033	1025	Peso Proprio	UnifG	0	0	0	8	180	0	0	8
IPE 100	1033	1025	QFissi Solai	PolG	-0	0	0	67	180	0	0	67
IPE 100	1033	1025	QV Solai	PolG	-0	0	0	67	180	0	0	67
IPE 100	1033	1025	Neve	PolG	0	0	0	54	180	0	0	54
IPE 100	1033	1025	Neve	PolG	0	0	0	54	180	0	0	54
IPE 100	1033	1025	Vento Y CF<0	PolG	0	0	0	-165	180	0	0	-165
IPE 100	1033	1025	Vento Y CF<0	PolG	0	0	0	-165	180	0	0	-165
IPE 100	1033	1025	Vento Y CF>0	PolG	0	0	0	27	180	0	0	27
IPE 100	1033	1025	Vento Y CF>0	PolG	0	0	0	27	180	0	0	27
IPE 100	1033	1025	Carichi termici	Termico	$\Delta XY=15^{\circ}C, \Delta XZ=15^{\circ}C$							
IPE 100	1034	1035	Peso Proprio	UnifG	0	0	0	8	180	0	0	8
IPE 100	1034	1035	QFissi Solai	PolG	-0	0	0	67	180	0	0	67
IPE 100	1034	1035	QV Solai	PolG	-0	0	0	67	180	0	0	67
IPE 100	1034	1035	Neve	PolG	0	0	0	54	180	0	0	54
IPE 100	1034	1035	Neve	PolG	0	0	0	54	180	0	0	54
IPE 100	1034	1035	Vento Y CF<0	PolG	0	0	0	-165	180	0	0	-165
IPE 100	1034	1035	Vento Y CF<0	PolG	0	0	0	-165	180	0	0	-165
IPE 100	1034	1035	Vento Y CF>0	PolG	0	0	0	27	180	0	0	27
IPE 100	1034	1035	Vento Y CF>0	PolG	0	0	0	27	180	0	0	27
IPE 100	1034	1035	Carichi termici	Termico	$\Delta XY=15^{\circ}C, \Delta XZ=15^{\circ}C$							
IPE 100	1035	1061	Peso Proprio	UnifG	0	0	0	8	180	0	0	8
IPE 100	1035	1057	Peso Proprio	UnifG	0	0	0	8	180	0	0	8
IPE 100	1035	1061	QFissi Solai	PolG	-0	0	0	67	180	0	0	67
IPE 100	1035	1057	QFissi Solai	PolG	-0	0	0	67	180	0	0	67
IPE 100	1035	1057	QV Solai	PolG	-0	0	0	67	180	0	0	67
IPE 100	1035	1061	QV Solai	PolG	-0	0	0	67	180	0	0	67
IPE 100	1035	1061	Neve	PolG	0	0	0	54	180	0	0	54
IPE 100	1035	1057	Neve	PolG	0	0	0	54	180	0	0	54
IPE 100	1035	1057	Neve	PolG	0	0	0	54	180	0	0	54
IPE 100	1035	1061	Neve	PolG	0	0	0	54	180	0	0	54
IPE 100	1035	1061	Vento Y CF<0	PolG	0	0	0	-165	180	0	0	-165
IPE 100	1035	1061	Vento Y CF<0	PolG	0	0	0	-165	180	0	0	-165
IPE 100	1035	1057	Vento Y CF<0	PolG	0	0	0	-165	180	0	0	-165
IPE 100	1035	1057	Vento Y CF<0	PolG	0	0	0	-165	180	0	0	-165
IPE 100	1035	1057	Vento Y CF>0	PolG	0	0	0	27	180	0	0	27
IPE 100	1035	1061	Vento Y CF>0	PolG	0	0	0	27	180	0	0	27
IPE 100	1035	1057	Vento Y CF>0	PolG	0	0	0	27	180	0	0	27
IPE 100	1035	1061	Vento Y CF>0	PolG	0	0	0	27	180	0	0	27
IPE 100	1035	1061	Carichi termici	Termico	$\Delta XY=15^{\circ}C, \Delta XZ=15^{\circ}C$							
IPE 100	1035	1057	Carichi termici	Termico	$\Delta XY=15^{\circ}C, \Delta XZ=15^{\circ}C$							
IPE 100	1036	1069	Peso Proprio	UnifG	0	0	0	8	180	0	0	8

Sezione	Ni	Nf	Cond.	Tipo c.	Xi	QXi	QYi	QZi	Xf	QXf	QYf	QZf
IPE 100	1036	1069	QFissi Solai	PolG	0	0	0	67	180	0	0	67
IPE 100	1036	1069	QV Solai	PolG	0	0	0	67	180	0	0	67
IPE 100	1036	1069	Neve	PolG	0	0	0	54	180	0	0	54
IPE 100	1036	1069	Neve	PolG	0	0	0	54	180	0	0	54
IPE 100	1036	1069	Vento Y CF<0	PolG	0	0	0	-165	180	0	0	-165
IPE 100	1036	1069	Vento Y CF<0	PolG	0	0	0	-165	180	0	0	-165
IPE 100	1036	1069	Vento Y CF>0	PolG	0	0	0	27	180	0	0	27
IPE 100	1036	1069	Vento Y CF>0	PolG	0	0	0	27	180	0	0	27
IPE 100	1036	1069	Carichi termici	Termico	$\Delta XY=15^{\circ}C, \Delta XZ=15^{\circ}C$							
IPE 100	1037	1077	Peso Proprio	UnifG	0	0	0	8	178	0	0	8
IPE 100	1037	1077	QFissi Solai	PolG	-0	0	0	67	178	0	0	67
IPE 100	1037	1077	QV Solai	PolG	-0	0	0	67	178	0	0	67
IPE 100	1037	1077	Neve	PolG	0	0	0	54	178	0	0	54
IPE 100	1037	1077	Neve	PolG	0	0	0	54	178	0	0	54
IPE 100	1037	1077	Vento Y CF<0	PolG	0	0	0	-165	178	0	0	-165
IPE 100	1037	1077	Vento Y CF<0	PolG	0	0	0	-165	178	0	0	-165
IPE 100	1037	1077	Vento Y CF>0	PolG	0	0	0	27	178	0	0	27
IPE 100	1037	1077	Vento Y CF>0	PolG	0	0	0	27	178	0	0	27
IPE 100	1037	1077	Carichi termici	Termico	$\Delta XY=15^{\circ}C, \Delta XZ=15^{\circ}C$							
IPE 100	1057	1059	Peso Proprio	UnifG	0	0	0	8	180	0	0	8
IPE 100	1057	1059	QFissi Solai	PolG	-0	0	0	67	180	0	0	67
IPE 100	1057	1059	QV Solai	PolG	-0	0	0	67	180	0	0	67
IPE 100	1057	1059	Neve	PolG	0	0	0	54	180	0	0	54
IPE 100	1057	1059	Neve	PolG	0	0	0	54	180	0	0	54
IPE 100	1057	1059	Vento Y CF<0	PolG	0	0	0	-165	180	0	0	-165
IPE 100	1057	1059	Vento Y CF<0	PolG	0	0	0	-165	180	0	0	-165
IPE 100	1057	1059	Vento Y CF>0	PolG	0	0	0	27	180	0	0	27
IPE 100	1057	1059	Vento Y CF>0	PolG	0	0	0	27	180	0	0	27
IPE 100	1057	1059	Carichi termici	Termico	$\Delta XY=15^{\circ}C, \Delta XZ=15^{\circ}C$							
IPE 100	1059	1035	Peso Proprio	UnifG	0	0	0	8	180	0	0	8
IPE 100	1059	1035	QFissi Solai	PolG	-0	0	0	67	180	0	0	67
IPE 100	1059	1035	QV Solai	PolG	-0	0	0	67	180	0	0	67
IPE 100	1059	1035	Neve	PolG	0	0	0	54	180	0	0	54
IPE 100	1059	1035	Neve	PolG	0	0	0	54	180	0	0	54
IPE 100	1059	1035	Vento Y CF<0	PolG	0	0	0	-165	180	0	0	-165
IPE 100	1059	1035	Vento Y CF<0	PolG	0	0	0	-165	180	0	0	-165
IPE 100	1059	1035	Vento Y CF>0	PolG	0	0	0	27	180	0	0	27
IPE 100	1059	1035	Vento Y CF>0	PolG	0	0	0	27	180	0	0	27
IPE 100	1059	1035	Carichi termici	Termico	$\Delta XY=15^{\circ}C, \Delta XZ=15^{\circ}C$							
IPE 100	1061	1062	Peso Proprio	UnifG	0	0	0	8	180	0	0	8
IPE 100	1061	1062	QFissi Solai	PolG	0	0	0	67	180	0	0	67
IPE 100	1061	1062	QV Solai	PolG	0	0	0	67	180	0	0	67
IPE 100	1061	1062	Neve	PolG	0	0	0	54	180	0	0	54
IPE 100	1061	1062	Neve	PolG	0	0	0	54	180	0	0	54
IPE 100	1061	1062	Vento Y CF<0	PolG	0	0	0	-165	180	0	0	-165
IPE 100	1061	1062	Vento Y CF<0	PolG	0	0	0	-165	180	0	0	-165
IPE 100	1061	1062	Vento Y CF>0	PolG	0	0	0	27	180	0	0	27
IPE 100	1061	1062	Vento Y CF>0	PolG	0	0	0	27	180	0	0	27
IPE 100	1061	1062	Carichi termici	Termico	$\Delta XY=15^{\circ}C, \Delta XZ=15^{\circ}C$							
IPE 100	1062	1064	Peso Proprio	UnifG	0	0	0	8	180	0	0	8
IPE 100	1062	1064	QFissi Solai	PolG	0	0	0	67	180	0	0	67
IPE 100	1062	1064	QV Solai	PolG	0	0	0	67	180	0	0	67
IPE 100	1062	1064	Neve	PolG	0	0	0	54	180	0	0	54
IPE 100	1062	1064	Neve	PolG	0	0	0	54	180	0	0	54
IPE 100	1062	1064	Vento Y CF<0	PolG	0	0	0	-165	180	0	0	-165
IPE 100	1062	1064	Vento Y CF<0	PolG	0	0	0	-165	180	0	0	-165
IPE 100	1062	1064	Vento Y CF>0	PolG	0	0	0	27	180	0	0	27
IPE 100	1062	1064	Vento Y CF>0	PolG	0	0	0	27	180	0	0	27
IPE 100	1062	1064	Carichi termici	Termico	$\Delta XY=15^{\circ}C, \Delta XZ=15^{\circ}C$							
IPE 100	1064	1036	Peso Proprio	UnifG	0	0	0	8	180	0	0	8
IPE 100	1064	1036	QFissi Solai	PolG	0	0	0	67	180	0	0	67
IPE 100	1064	1036	QV Solai	PolG	0	0	0	67	180	0	0	67
IPE 100	1064	1036	Neve	PolG	0	0	0	54	180	0	0	54
IPE 100	1064	1036	Neve	PolG	0	0	0	54	180	0	0	54
IPE 100	1064	1036	Vento Y CF<0	PolG	0	0	0	-165	180	0	0	-165
IPE 100	1064	1036	Vento Y CF<0	PolG	0	0	0	-165	180	0	0	-165
IPE 100	1064	1036	Vento Y CF>0	PolG	0	0	0	27	180	0	0	27

Sezione	Ni	Nf	Cond.	Tipo c.	Xi	QXi	QYi	QZi	Xf	QXf	QYf	QZf
IPE 100	1064	1036	Vento Y CF>0	PolG	0	0	0	27	180	0	0	27
IPE 100	1064	1036	Carichi termici	Termico	$\Delta XY=15^{\circ}C, \Delta XZ=15^{\circ}C$							
IPE 100	1069	1071	Peso Proprio	UnifG	0	0	0	8	180	0	0	8
IPE 100	1069	1071	QFissi Solai	PolG	-0	0	0	67	180	0	0	67
IPE 100	1069	1071	QV Solai	PolG	-0	0	0	67	180	0	0	67
IPE 100	1069	1071	Neve	PolG	0	0	0	54	180	0	0	54
IPE 100	1069	1071	Neve	PolG	0	0	0	54	180	0	0	54
IPE 100	1069	1071	Vento Y CF<0	PolG	0	0	0	-165	180	0	0	-165
IPE 100	1069	1071	Vento Y CF<0	PolG	0	0	0	-165	180	0	0	-165
IPE 100	1069	1071	Vento Y CF>0	PolG	0	0	0	27	180	0	0	27
IPE 100	1069	1071	Vento Y CF>0	PolG	0	0	0	27	180	0	0	27
IPE 100	1069	1071	Carichi termici	Termico	$\Delta XY=15^{\circ}C, \Delta XZ=15^{\circ}C$							
IPE 100	1071	1073	Peso Proprio	UnifG	0	0	0	8	180	0	0	8
IPE 100	1071	1073	QFissi Solai	PolG	-0	0	0	67	180	0	0	67
IPE 100	1071	1073	QV Solai	PolG	-0	0	0	67	180	0	0	67
IPE 100	1071	1073	Neve	PolG	0	0	0	54	180	0	0	54
IPE 100	1071	1073	Neve	PolG	0	0	0	54	180	0	0	54
IPE 100	1071	1073	Vento Y CF<0	PolG	0	0	0	-165	180	0	0	-165
IPE 100	1071	1073	Vento Y CF<0	PolG	0	0	0	-165	180	0	0	-165
IPE 100	1071	1073	Vento Y CF>0	PolG	0	0	0	27	180	0	0	27
IPE 100	1071	1073	Vento Y CF>0	PolG	0	0	0	27	180	0	0	27
IPE 100	1071	1073	Carichi termici	Termico	$\Delta XY=15^{\circ}C, \Delta XZ=15^{\circ}C$							
IPE 100	1073	1037	Peso Proprio	UnifG	0	0	0	8	177	0	0	8
IPE 100	1073	1037	QFissi Solai	PolG	-0	0	0	67	177	0	0	67
IPE 100	1073	1037	QV Solai	PolG	-0	0	0	67	177	0	0	67
IPE 100	1073	1037	Neve	PolG	0	0	0	54	177	0	0	54
IPE 100	1073	1037	Neve	PolG	0	0	0	54	177	0	0	54
IPE 100	1073	1037	Vento Y CF<0	PolG	0	0	0	-165	177	0	0	-165
IPE 100	1073	1037	Vento Y CF<0	PolG	0	0	0	-165	177	0	0	-165
IPE 100	1073	1037	Vento Y CF>0	PolG	0	0	0	27	177	0	0	27
IPE 100	1073	1037	Vento Y CF>0	PolG	0	0	0	27	177	0	0	27
IPE 100	1073	1037	Carichi termici	Termico	$\Delta XY=15^{\circ}C, \Delta XZ=15^{\circ}C$							
Trave 25												
IPE 100	1079	1081	Peso Proprio	UnifG	0	0	0	8	230	0	0	8
IPE 100	1079	1081	QFissi Solai	PolG	-0	0	0	75	230	0	0	75
IPE 100	1079	1081	QV Solai	PolG	-0	0	0	75	230	0	0	75
IPE 100	1079	1081	Neve	PolG	0	0	0	60	230	0	0	60
IPE 100	1079	1081	Neve	PolG	0	0	0	60	230	0	0	60
IPE 100	1079	1081	Vento Y CF<0	PolG	0	0	0	-184	230	0	0	-184
IPE 100	1079	1081	Vento Y CF<0	PolG	0	0	0	-185	230	0	0	-185
IPE 100	1079	1081	Vento Y CF>0	PolG	0	0	0	30	230	0	0	30
IPE 100	1079	1081	Vento Y CF>0	PolG	0	0	0	30	230	0	0	30
IPE 100	1079	1081	Carichi termici	Termico	$\Delta XY=15^{\circ}C, \Delta XZ=15^{\circ}C$							
IPE 100	1079	1081	Vento -Y CF<0	PolG	0	0	0	-129	230	0	0	-129
IPE 100	1079	1081	Vento -Y CF>0	PolG	0	0	0	30	230	0	0	30
IPE 100	1081	1083	Peso Proprio	UnifG	0	0	0	8	180	0	0	8
IPE 100	1081	1083	QFissi Solai	PolG	0	0	0	75	180	0	0	75
IPE 100	1081	1083	QV Solai	PolG	0	0	0	75	180	0	0	75
IPE 100	1081	1083	Neve	PolG	0	0	0	60	180	0	0	60
IPE 100	1081	1083	Neve	PolG	0	0	0	60	180	0	0	60
IPE 100	1081	1083	Vento Y CF<0	PolG	0	0	0	-184	180	0	0	-184
IPE 100	1081	1083	Vento Y CF<0	PolG	0	0	0	-185	180	0	0	-185
IPE 100	1081	1083	Vento Y CF>0	PolG	0	0	0	30	180	0	0	30
IPE 100	1081	1083	Vento Y CF>0	PolG	0	0	0	30	180	0	0	30
IPE 100	1081	1083	Carichi termici	Termico	$\Delta XY=15^{\circ}C, \Delta XZ=15^{\circ}C$							
IPE 100	1081	1083	Vento -Y CF<0	PolG	0	0	0	-129	180	0	0	-129
IPE 100	1081	1083	Vento -Y CF>0	PolG	0	0	0	30	180	0	0	30
IPE 100	1083	1084	Peso Proprio	UnifG	0	0	0	8	180	0	0	8
IPE 100	1083	1084	QFissi Solai	PolG	0	0	0	75	180	0	0	75
IPE 100	1083	1084	QV Solai	PolG	0	0	0	75	180	0	0	75
IPE 100	1083	1084	Neve	PolG	0	0	0	60	180	0	0	60
IPE 100	1083	1084	Neve	PolG	0	0	0	60	180	0	0	60
IPE 100	1083	1084	Vento Y CF<0	PolG	0	0	0	-184	180	0	0	-184
IPE 100	1083	1084	Vento Y CF<0	PolG	0	0	0	-185	180	0	0	-185
IPE 100	1083	1084	Vento Y CF>0	PolG	0	0	0	30	180	0	0	30
IPE 100	1083	1084	Vento Y CF>0	PolG	0	0	0	30	180	0	0	30
IPE 100	1083	1084	Carichi termici	Termico	$\Delta XY=15^{\circ}C, \Delta XZ=15^{\circ}C$							

Sezione	Ni	Nf	Cond.	Tipo c.	Xi	QXi	QYi	QZi	Xf	QXf	QYf	QZf
IPE 100	1083	1084	Vento - Y CF<0	PolG	0	0	0	-129	180	0	0	-129
IPE 100	1083	1084	Vento -Y CF>0	PolG	0	0	0	30	180	0	0	30
IPE 100	1084	1087	Peso Proprio	UnifG	0	0	0	8	180	0	0	8
IPE 100	1084	1087	QFissi Solai	PolG	0	0	0	75	180	0	0	75
IPE 100	1084	1087	QV Solai	PolG	0	0	0	75	180	0	0	75
IPE 100	1084	1087	Neve	PolG	0	0	0	60	180	0	0	60
IPE 100	1084	1087	Neve	PolG	0	0	0	60	180	0	0	60
IPE 100	1084	1087	Vento Y CF<0	PolG	0	0	0	-184	180	0	0	-184
IPE 100	1084	1087	Vento Y CF<0	PolG	0	0	0	-185	180	0	0	-185
IPE 100	1084	1087	Vento Y CF>0	PolG	0	0	0	30	180	0	0	30
IPE 100	1084	1087	Vento Y CF>0	PolG	0	0	0	30	180	0	0	30
IPE 100	1084	1087	Carichi termici	Termico	$\Delta XY=15^{\circ}C, \Delta XZ=15^{\circ}C$							
IPE 100	1084	1087	Vento - Y CF<0	PolG	0	0	0	-129	180	0	0	-129
IPE 100	1084	1087	Vento -Y CF>0	PolG	0	0	0	30	180	0	0	30
IPE 100	1087	1089	Peso Proprio	UnifG	0	0	0	8	180	0	0	8
IPE 100	1087	1089	QFissi Solai	PolG	0	0	0	75	180	0	0	75
IPE 100	1087	1089	QV Solai	PolG	0	0	0	75	180	0	0	75
IPE 100	1087	1089	Neve	PolG	0	0	0	60	180	0	0	60
IPE 100	1087	1089	Neve	PolG	0	0	0	60	180	0	0	60
IPE 100	1087	1089	Vento Y CF<0	PolG	0	0	0	-185	180	0	0	-185
IPE 100	1087	1089	Vento Y CF<0	PolG	0	0	0	-184	180	0	0	-184
IPE 100	1087	1089	Vento Y CF>0	PolG	0	0	0	30	180	0	0	30
IPE 100	1087	1089	Vento Y CF>0	PolG	0	0	0	30	180	0	0	30
IPE 100	1087	1089	Carichi termici	Termico	$\Delta XY=15^{\circ}C, \Delta XZ=15^{\circ}C$							
IPE 100	1087	1089	Vento - Y CF<0	PolG	0	0	0	-129	180	0	0	-129
IPE 100	1087	1089	Vento -Y CF>0	PolG	0	0	0	30	180	0	0	30
IPE 100	1089	1091	Peso Proprio	UnifG	0	0	0	8	180	0	0	8
IPE 100	1089	1091	QFissi Solai	PolG	0	0	0	75	180	0	0	75
IPE 100	1089	1091	QV Solai	PolG	0	0	0	75	180	0	0	75
IPE 100	1089	1091	Neve	PolG	0	0	0	60	180	0	0	60
IPE 100	1089	1091	Neve	PolG	0	0	0	60	180	0	0	60
IPE 100	1089	1091	Vento Y CF<0	PolG	0	0	0	-185	180	0	0	-185
IPE 100	1089	1091	Vento Y CF<0	PolG	0	0	0	-184	180	0	0	-184
IPE 100	1089	1091	Vento Y CF>0	PolG	0	0	0	30	180	0	0	30
IPE 100	1089	1091	Vento Y CF>0	PolG	0	0	0	30	180	0	0	30
IPE 100	1089	1091	Carichi termici	Termico	$\Delta XY=15^{\circ}C, \Delta XZ=15^{\circ}C$							
IPE 100	1089	1091	Vento - Y CF<0	PolG	0	0	0	-129	180	0	0	-129
IPE 100	1089	1091	Vento -Y CF>0	PolG	0	0	0	30	180	0	0	30
IPE 100	1091	1092	Peso Proprio	UnifG	0	0	0	8	180	0	0	8
IPE 100	1091	1092	QFissi Solai	PolG	0	0	0	75	180	0	0	75
IPE 100	1091	1092	QV Solai	PolG	0	0	0	75	180	0	0	75
IPE 100	1091	1092	Neve	PolG	0	0	0	60	180	0	0	60
IPE 100	1091	1092	Neve	PolG	0	0	0	60	180	0	0	60
IPE 100	1091	1092	Vento Y CF<0	PolG	0	0	0	-184	180	0	0	-184
IPE 100	1091	1092	Vento Y CF<0	PolG	0	0	0	-185	180	0	0	-185
IPE 100	1091	1092	Vento Y CF>0	PolG	0	0	0	30	180	0	0	30
IPE 100	1091	1092	Vento Y CF>0	PolG	0	0	0	30	180	0	0	30
IPE 100	1091	1092	Carichi termici	Termico	$\Delta XY=15^{\circ}C, \Delta XZ=15^{\circ}C$							
IPE 100	1091	1092	Vento - Y CF<0	PolG	0	0	0	-129	180	0	0	-129
IPE 100	1091	1092	Vento -Y CF>0	PolG	0	0	0	30	180	0	0	30
IPE 100	1092	1095	Peso Proprio	UnifG	0	0	0	8	180	0	0	8
IPE 100	1092	1095	QFissi Solai	PolG	0	0	0	75	180	0	0	75
IPE 100	1092	1095	QV Solai	PolG	0	0	0	75	180	0	0	75
IPE 100	1092	1095	Neve	PolG	0	0	0	60	180	0	0	60
IPE 100	1092	1095	Neve	PolG	0	0	0	60	180	0	0	60
IPE 100	1092	1095	Vento Y CF<0	PolG	0	0	0	-184	180	0	0	-184
IPE 100	1092	1095	Vento Y CF<0	PolG	0	0	0	-185	180	0	0	-185
IPE 100	1092	1095	Vento Y CF>0	PolG	0	0	0	30	180	0	0	30
IPE 100	1092	1095	Vento Y CF>0	PolG	0	0	0	30	180	0	0	30
IPE 100	1092	1095	Carichi termici	Termico	$\Delta XY=15^{\circ}C, \Delta XZ=15^{\circ}C$							
IPE 100	1092	1095	Vento - Y CF<0	PolG	0	0	0	-129	180	0	0	-129
IPE 100	1092	1095	Vento -Y CF>0	PolG	0	0	0	30	180	0	0	30
IPE 100	1095	1097	Peso Proprio	UnifG	0	0	0	8	180	0	0	8
IPE 100	1095	1097	QFissi Solai	PolG	0	0	0	75	180	0	0	75
IPE 100	1095	1097	QV Solai	PolG	0	0	0	75	180	0	0	75
IPE 100	1095	1097	Neve	PolG	0	0	0	60	180	0	0	60
IPE 100	1095	1097	Neve	PolG	0	0	0	60	180	0	0	60

Sezione	Ni	Nf	Cond.	Tipo c.	Xi	QXi	QYi	QZi	Xf	QXf	QYf	QZf			
IPE 100	1095	1097	Vento Y CF<0	PolG	0	0	0	-184	180	0	0	-184			
IPE 100	1095	1097	Vento Y CF<0	PolG	0	0	0	-185	180	0	0	-185			
IPE 100	1095	1097	Vento Y CF>0	PolG	0	0	0	30	180	0	0	30			
IPE 100	1095	1097	Vento Y CF>0	PolG	0	0	0	30	180	0	0	30			
IPE 100	1095	1097	Carichi termici	Termico	$\Delta XY=15^{\circ}C, \Delta XZ=15^{\circ}C$										
IPE 100	1095	1097	Vento - Y CF<0	PolG	0	0	0	-129	180	0	0	-129			
IPE 100	1095	1097	Vento -Y CF>0	PolG	0	0	0	30	180	0	0	30			
IPE 100	1097	1098	Peso Proprio	UnifG	0	0	0	8	180	0	0	8			
IPE 100	1097	1098	QFissi Solai	PolG	0	0	0	75	180	0	0	75			
IPE 100	1097	1098	QV Solai	PolG	0	0	0	75	180	0	0	75			
IPE 100	1097	1098	Neve	PolG	0	0	0	60	180	0	0	60			
IPE 100	1097	1098	Neve	PolG	0	0	0	60	180	0	0	60			
IPE 100	1097	1098	Vento Y CF<0	PolG	0	0	0	-185	180	0	0	-185			
IPE 100	1097	1098	Vento Y CF<0	PolG	0	0	0	-184	180	0	0	-184			
IPE 100	1097	1098	Vento Y CF>0	PolG	0	0	0	30	180	0	0	30			
IPE 100	1097	1098	Vento Y CF>0	PolG	0	0	0	30	180	0	0	30			
IPE 100	1097	1098	Carichi termici	Termico	$\Delta XY=15^{\circ}C, \Delta XZ=15^{\circ}C$										
IPE 100	1097	1098	Vento - Y CF<0	PolG	0	0	0	-129	180	0	0	-129			
IPE 100	1097	1098	Vento -Y CF>0	PolG	0	0	0	30	180	0	0	30			
IPE 100	1098	1100	Peso Proprio	UnifG	0	0	0	8	180	0	0	8			
IPE 100	1098	1100	QFissi Solai	PolG	0	0	0	75	180	0	0	75			
IPE 100	1098	1100	QV Solai	PolG	0	0	0	75	180	0	0	75			
IPE 100	1098	1100	Neve	PolG	0	0	0	60	180	0	0	60			
IPE 100	1098	1100	Neve	PolG	0	0	0	60	180	0	0	60			
IPE 100	1098	1100	Vento Y CF<0	PolG	0	0	0	-184	180	0	0	-184			
IPE 100	1098	1100	Vento Y CF<0	PolG	0	0	0	-185	180	0	0	-185			
IPE 100	1098	1100	Vento Y CF>0	PolG	0	0	0	30	180	0	0	30			
IPE 100	1098	1100	Vento Y CF>0	PolG	0	0	0	30	180	0	0	30			
IPE 100	1098	1100	Carichi termici	Termico	$\Delta XY=15^{\circ}C, \Delta XZ=15^{\circ}C$										
IPE 100	1098	1100	Vento - Y CF<0	PolG	0	0	0	-129	180	0	0	-129			
IPE 100	1098	1100	Vento -Y CF>0	PolG	0	0	0	30	180	0	0	30			
IPE 100	1100	1102	Peso Proprio	UnifG	0	0	0	8	180	0	0	8			
IPE 100	1100	1102	QFissi Solai	PolG	0	0	0	75	180	0	0	75			
IPE 100	1100	1102	QV Solai	PolG	0	0	0	75	180	0	0	75			
IPE 100	1100	1102	Neve	PolG	0	0	0	60	180	0	0	60			
IPE 100	1100	1102	Neve	PolG	0	0	0	60	180	0	0	60			
IPE 100	1100	1102	Vento Y CF<0	PolG	0	0	0	-184	180	0	0	-184			
IPE 100	1100	1102	Vento Y CF<0	PolG	0	0	0	-185	180	0	0	-185			
IPE 100	1100	1102	Vento Y CF>0	PolG	0	0	0	30	180	0	0	30			
IPE 100	1100	1102	Vento Y CF>0	PolG	0	0	0	30	180	0	0	30			
IPE 100	1100	1102	Carichi termici	Termico	$\Delta XY=15^{\circ}C, \Delta XZ=15^{\circ}C$										
IPE 100	1100	1102	Vento - Y CF<0	PolG	0	0	0	-129	180	0	0	-129			
IPE 100	1100	1102	Vento -Y CF>0	PolG	0	0	0	30	180	0	0	30			
IPE 100	1102	1104	Peso Proprio	UnifG	0	0	0	8	180	0	0	8			
IPE 100	1102	1104	QFissi Solai	PolG	0	0	0	75	180	0	0	75			
IPE 100	1102	1104	QV Solai	PolG	0	0	0	75	180	0	0	75			
IPE 100	1102	1104	Neve	PolG	0	0	0	60	180	0	0	60			
IPE 100	1102	1104	Neve	PolG	0	0	0	60	180	0	0	60			
IPE 100	1102	1104	Vento Y CF<0	PolG	0	0	0	-184	180	0	0	-184			
IPE 100	1102	1104	Vento Y CF<0	PolG	0	0	0	-185	180	0	0	-185			
IPE 100	1102	1104	Vento Y CF>0	PolG	0	0	0	30	180	0	0	30			
IPE 100	1102	1104	Vento Y CF>0	PolG	0	0	0	30	180	0	0	30			
IPE 100	1102	1104	Carichi termici	Termico	$\Delta XY=15^{\circ}C, \Delta XZ=15^{\circ}C$										
IPE 100	1102	1104	Vento - Y CF<0	PolG	0	0	0	-129	180	0	0	-129			
IPE 100	1102	1104	Vento -Y CF>0	PolG	0	0	0	30	180	0	0	30			
IPE 100	1104	1105	Peso Proprio	UnifG	0	0	0	8	180	0	0	8			
IPE 100	1104	1105	QFissi Solai	PolG	0	0	0	75	180	0	0	75			
IPE 100	1104	1105	QV Solai	PolG	0	0	0	75	180	0	0	75			
IPE 100	1104	1105	Neve	PolG	0	0	0	60	180	0	0	60			
IPE 100	1104	1105	Neve	PolG	0	0	0	60	180	0	0	60			
IPE 100	1104	1105	Vento Y CF<0	PolG	0	0	0	-184	180	0	0	-184			
IPE 100	1104	1105	Vento Y CF<0	PolG	0	0	0	-185	180	0	0	-185			
IPE 100	1104	1105	Vento Y CF>0	PolG	0	0	0	30	180	0	0	30			
IPE 100	1104	1105	Vento Y CF>0	PolG	0	0	0	30	180	0	0	30			
IPE 100	1104	1105	Carichi termici	Termico	$\Delta XY=15^{\circ}C, \Delta XZ=15^{\circ}C$										
IPE 100	1104	1105	Vento - Y CF<0	PolG	0	0	0	-129	180	0	0	-129			
IPE 100	1104	1105	Vento -Y CF>0	PolG	0	0	0	30	180	0	0	30			

Sezione	Ni	Nf	Cond.	Tipo c.	Xi	QXi	QYi	QZi	Xf	QXf	QYf	QZf
IPE 100	1105	1108	Peso Proprio	UnifG	0	0	0	8	180	0	0	8
IPE 100	1105	1108	QFissi Solai	PolG	0	0	0	75	180	0	0	75
IPE 100	1105	1108	QV Solai	PolG	0	0	0	75	180	0	0	75
IPE 100	1105	1108	Neve	PolG	0	0	0	60	180	0	0	60
IPE 100	1105	1108	Neve	PolG	0	0	0	60	180	0	0	60
IPE 100	1105	1108	Vento Y CF<0	PolG	0	0	0	-184	180	0	0	-184
IPE 100	1105	1108	Vento Y CF<0	PolG	0	0	0	-185	180	0	0	-185
IPE 100	1105	1108	Vento Y CF>0	PolG	0	0	0	30	180	0	0	30
IPE 100	1105	1108	Vento Y CF>0	PolG	0	0	0	30	180	0	0	30
IPE 100	1105	1108	Carichi termici	Termico	$\Delta XY=15^{\circ}C, \Delta XZ=15^{\circ}C$							
IPE 100	1105	1108	Vento - Y CF<0	PolG	0	0	0	-129	180	0	0	-129
IPE 100	1105	1108	Vento -Y CF>0	PolG	0	0	0	30	180	0	0	30
IPE 100	1108	1109	Peso Proprio	UnifG	0	0	0	8	180	0	0	8
IPE 100	1108	1109	QFissi Solai	PolG	0	0	0	75	180	0	0	75
IPE 100	1108	1109	QV Solai	PolG	0	0	0	75	180	0	0	75
IPE 100	1108	1109	Neve	PolG	0	0	0	60	180	0	0	60
IPE 100	1108	1109	Neve	PolG	0	0	0	60	180	0	0	60
IPE 100	1108	1109	Vento Y CF<0	PolG	0	0	0	-185	180	0	0	-185
IPE 100	1108	1109	Vento Y CF<0	PolG	0	0	0	-184	180	0	0	-184
IPE 100	1108	1109	Vento Y CF>0	PolG	0	0	0	30	180	0	0	30
IPE 100	1108	1109	Vento Y CF>0	PolG	0	0	0	30	180	0	0	30
IPE 100	1108	1109	Carichi termici	Termico	$\Delta XY=15^{\circ}C, \Delta XZ=15^{\circ}C$							
IPE 100	1108	1109	Vento - Y CF<0	PolG	0	0	0	-129	180	0	0	-129
IPE 100	1108	1109	Vento -Y CF>0	PolG	0	0	0	30	180	0	0	30
IPE 100	1109	1111	Peso Proprio	UnifG	0	0	0	8	180	0	0	8
IPE 100	1109	1111	QFissi Solai	PolG	0	0	0	75	180	0	0	75
IPE 100	1109	1111	QV Solai	PolG	0	0	0	75	180	0	0	75
IPE 100	1109	1111	Neve	PolG	0	0	0	60	180	0	0	60
IPE 100	1109	1111	Neve	PolG	0	0	0	60	180	0	0	60
IPE 100	1109	1111	Vento Y CF<0	PolG	0	0	0	-184	180	0	0	-184
IPE 100	1109	1111	Vento Y CF<0	PolG	0	0	0	-185	180	0	0	-185
IPE 100	1109	1111	Vento Y CF>0	PolG	0	0	0	30	180	0	0	30
IPE 100	1109	1111	Vento Y CF>0	PolG	0	0	0	30	180	0	0	30
IPE 100	1109	1111	Carichi termici	Termico	$\Delta XY=15^{\circ}C, \Delta XZ=15^{\circ}C$							
IPE 100	1109	1111	Vento - Y CF<0	PolG	0	0	0	-129	180	0	0	-129
IPE 100	1109	1111	Vento -Y CF>0	PolG	0	0	0	30	180	0	0	30
IPE 100	1111	1112	Peso Proprio	UnifG	0	0	0	8	177	0	0	8
IPE 100	1111	1112	QFissi Solai	PolG	-0	0	0	75	177	0	0	75
IPE 100	1111	1112	QV Solai	PolG	-0	0	0	75	177	0	0	75
IPE 100	1111	1112	Neve	PolG	0	0	0	60	177	0	0	60
IPE 100	1111	1112	Neve	PolG	0	0	0	60	177	0	0	60
IPE 100	1111	1112	Vento Y CF<0	PolG	0	0	0	-184	177	0	0	-184
IPE 100	1111	1112	Vento Y CF<0	PolG	0	0	0	-185	177	0	0	-185
IPE 100	1111	1112	Vento Y CF>0	PolG	0	0	0	30	177	0	0	30
IPE 100	1111	1112	Vento Y CF>0	PolG	0	0	0	30	177	0	0	30
IPE 100	1111	1112	Carichi termici	Termico	$\Delta XY=15^{\circ}C, \Delta XZ=15^{\circ}C$							
IPE 100	1111	1112	Vento - Y CF<0	PolG	0	0	0	-129	177	0	0	-129
IPE 100	1111	1112	Vento -Y CF>0	PolG	0	0	0	30	177	0	0	30
IPE 100	1112	1115	Peso Proprio	UnifG	0	0	0	8	178	0	0	8
IPE 100	1112	1115	QFissi Solai	PolG	-0	0	0	75	178	0	0	75
IPE 100	1112	1115	QV Solai	PolG	-0	0	0	75	178	0	0	75
IPE 100	1112	1115	Neve	PolG	0	0	0	60	178	0	0	60
IPE 100	1112	1115	Neve	PolG	0	0	0	60	178	0	0	60
IPE 100	1112	1115	Vento Y CF<0	PolG	0	0	0	-185	178	0	0	-185
IPE 100	1112	1115	Vento Y CF<0	PolG	0	0	0	-184	178	0	0	-184
IPE 100	1112	1115	Vento Y CF>0	PolG	0	0	0	30	178	0	0	30
IPE 100	1112	1115	Vento Y CF>0	PolG	0	0	0	30	178	0	0	30
IPE 100	1112	1115	Carichi termici	Termico	$\Delta XY=15^{\circ}C, \Delta XZ=15^{\circ}C$							
IPE 100	1112	1115	Vento - Y CF<0	PolG	0	0	0	-129	178	0	0	-129
IPE 100	1112	1115	Vento -Y CF>0	PolG	0	0	0	30	178	0	0	30
Trave 26												
IPE 100	1038	1080	Peso Proprio	UnifG	0	0	0	8	230	0	0	8
IPE 100	1038	1080	QFissi Solai	PolG	-0	0	0	75	230	0	0	75
IPE 100	1038	1080	QV Solai	PolG	-0	0	0	75	230	0	0	75
IPE 100	1038	1080	Neve	PolG	0	0	0	60	230	0	0	60
IPE 100	1038	1080	Neve	PolG	0	0	0	60	230	0	0	60
IPE 100	1038	1080	Vento Y CF<0	PolG	0	0	0	-185	230	0	0	-185

Sezione	Ni	Nf	Cond.	Tipo c.	Xi	QXi	QYi	QZi	Xf	QXf	QYf	QZf
IPE 100	1038	1080	Vento Y CF>0	PolG	0	0	0	30	230	0	0	30
IPE 100	1038	1080	Carichi termici	Termico	$\Delta XY=15^{\circ}C, \Delta XZ=15^{\circ}C$							
IPE 100	1038	1080	Vento - Y CF<0	PolG	0	0	0	-129	230	0	0	-129
IPE 100	1038	1080	Vento - Y CF<0	PolG	0	0	0	-129	230	0	0	-129
IPE 100	1038	1080	Vento -Y CF>0	PolG	0	0	0	30	230	0	0	30
IPE 100	1038	1080	Vento -Y CF>0	PolG	0	0	0	30	230	0	0	30
IPE 100	1039	1085	Peso Proprio	UnifG	0	0	0	8	180	0	0	8
IPE 100	1039	1085	QFissi Solai	PolG	0	0	0	75	180	0	0	75
IPE 100	1039	1085	QV Solai	PolG	0	0	0	75	180	0	0	75
IPE 100	1039	1085	Neve	PolG	0	0	0	60	180	0	0	60
IPE 100	1039	1085	Neve	PolG	0	0	0	60	180	0	0	60
IPE 100	1039	1085	Vento Y CF<0	PolG	0	0	0	-185	180	0	0	-185
IPE 100	1039	1085	Vento Y CF>0	PolG	0	0	0	30	180	0	0	30
IPE 100	1039	1085	Carichi termici	Termico	$\Delta XY=15^{\circ}C, \Delta XZ=15^{\circ}C$							
IPE 100	1039	1085	Vento - Y CF<0	PolG	0	0	0	-129	180	0	0	-129
IPE 100	1039	1085	Vento - Y CF<0	PolG	0	0	0	-129	180	0	0	-129
IPE 100	1039	1085	Vento -Y CF>0	PolG	0	0	0	30	180	0	0	30
IPE 100	1039	1085	Vento -Y CF>0	PolG	0	0	0	30	180	0	0	30
IPE 100	1040	1093	Peso Proprio	UnifG	0	0	0	8	180	0	0	8
IPE 100	1040	1093	QFissi Solai	PolG	0	0	0	75	180	0	0	75
IPE 100	1040	1093	QV Solai	PolG	0	0	0	75	180	0	0	75
IPE 100	1040	1093	Neve	PolG	0	0	0	60	180	0	0	60
IPE 100	1040	1093	Neve	PolG	0	0	0	60	180	0	0	60
IPE 100	1040	1093	Vento Y CF<0	PolG	0	0	0	-185	180	0	0	-185
IPE 100	1040	1093	Vento Y CF>0	PolG	0	0	0	30	180	0	0	30
IPE 100	1040	1093	Carichi termici	Termico	$\Delta XY=15^{\circ}C, \Delta XZ=15^{\circ}C$							
IPE 100	1040	1093	Vento - Y CF<0	PolG	0	0	0	-129	180	0	0	-129
IPE 100	1040	1093	Vento - Y CF<0	PolG	0	0	0	-129	180	0	0	-129
IPE 100	1040	1093	Vento -Y CF>0	PolG	0	0	0	30	180	0	0	30
IPE 100	1040	1093	Vento -Y CF>0	PolG	0	0	0	30	180	0	0	30
IPE 100	1041	1133	Peso Proprio	UnifG	0	0	0	8	180	0	0	8
IPE 100	1041	1133	QFissi Solai	PolG	0	0	0	75	180	0	0	75
IPE 100	1041	1133	QV Solai	PolG	0	0	0	75	180	0	0	75
IPE 100	1041	1133	Neve	PolG	0	0	0	60	180	0	0	60
IPE 100	1041	1133	Neve	PolG	0	0	0	60	180	0	0	60
IPE 100	1041	1133	Vento Y CF<0	PolG	0	0	0	-185	180	0	0	-185
IPE 100	1041	1133	Vento Y CF>0	PolG	0	0	0	30	180	0	0	30
IPE 100	1041	1133	Carichi termici	Termico	$\Delta XY=15^{\circ}C, \Delta XZ=15^{\circ}C$							
IPE 100	1041	1133	Vento - Y CF<0	PolG	0	0	0	-129	180	0	0	-129
IPE 100	1041	1133	Vento - Y CF<0	PolG	0	0	0	-129	180	0	0	-129
IPE 100	1041	1133	Vento -Y CF>0	PolG	0	0	0	30	180	0	0	30
IPE 100	1041	1133	Vento -Y CF>0	PolG	0	0	0	30	180	0	0	30
IPE 100	1042	1138	Peso Proprio	UnifG	0	0	0	8	180	0	0	8
IPE 100	1042	1138	QFissi Solai	PolG	0	0	0	75	180	0	0	75
IPE 100	1042	1138	QV Solai	PolG	0	0	0	75	180	0	0	75
IPE 100	1042	1138	Neve	PolG	0	0	0	60	180	0	0	60
IPE 100	1042	1138	Neve	PolG	0	0	0	60	180	0	0	60
IPE 100	1042	1138	Vento Y CF<0	PolG	0	0	0	-185	180	0	0	-185
IPE 100	1042	1138	Vento Y CF>0	PolG	0	0	0	30	180	0	0	30
IPE 100	1042	1138	Carichi termici	Termico	$\Delta XY=15^{\circ}C, \Delta XZ=15^{\circ}C$							
IPE 100	1042	1138	Vento - Y CF<0	PolG	0	0	0	-129	180	0	0	-129
IPE 100	1042	1138	Vento - Y CF<0	PolG	0	0	0	-129	180	0	0	-129
IPE 100	1042	1138	Vento -Y CF>0	PolG	0	0	0	30	180	0	0	30
IPE 100	1042	1138	Vento -Y CF>0	PolG	0	0	0	30	180	0	0	30
IPE 100	1043	1142	Peso Proprio	UnifG	0	0	0	8	178	0	0	8
IPE 100	1043	1142	QFissi Solai	PolG	-0	0	0	75	178	0	0	75
IPE 100	1043	1142	QV Solai	PolG	-0	0	0	75	178	0	0	75
IPE 100	1043	1142	Neve	PolG	0	0	0	60	178	0	0	60
IPE 100	1043	1142	Neve	PolG	0	0	0	60	178	0	0	60
IPE 100	1043	1142	Vento Y CF<0	PolG	0	0	0	-185	178	0	0	-185
IPE 100	1043	1142	Vento Y CF>0	PolG	0	0	0	30	178	0	0	30
IPE 100	1043	1142	Carichi termici	Termico	$\Delta XY=15^{\circ}C, \Delta XZ=15^{\circ}C$							
IPE 100	1043	1142	Vento - Y CF<0	PolG	0	0	0	-129	178	0	0	-129
IPE 100	1043	1142	Vento - Y CF<0	PolG	0	0	0	-129	178	0	0	-129
IPE 100	1043	1142	Vento -Y CF>0	PolG	0	0	0	30	178	0	0	30
IPE 100	1043	1142	Vento -Y CF>0	PolG	0	0	0	30	178	0	0	30
IPE 100	1080	1039	Peso Proprio	UnifG	0	0	0	8	180	0	0	8

Sezione	Ni	Nf	Cond.	Tipo c.	Xi	QXi	QYi	QZi	Xf	QXf	QYf	QZf
IPE 100	1080	1039	QFissi Solai	PolG	0	0	0	75	180	0	0	75
IPE 100	1080	1039	QV Solai	PolG	0	0	0	75	180	0	0	75
IPE 100	1080	1039	Neve	PolG	0	0	0	60	180	0	0	60
IPE 100	1080	1039	Neve	PolG	0	0	0	60	180	0	0	60
IPE 100	1080	1039	Vento Y CF<0	PolG	0	0	0	-185	180	0	0	-185
IPE 100	1080	1039	Vento Y CF>0	PolG	0	0	0	30	180	0	0	30
IPE 100	1080	1039	Carichi termici	Termico	$\Delta XY=15^{\circ}C, \Delta XZ=15^{\circ}C$							
IPE 100	1080	1039	Vento - Y CF<0	PolG	0	0	0	-129	180	0	0	-129
IPE 100	1080	1039	Vento - Y CF<0	PolG	0	0	0	-129	180	0	0	-129
IPE 100	1080	1039	Vento -Y CF>0	PolG	0	0	0	30	180	0	0	30
IPE 100	1080	1039	Vento -Y CF>0	PolG	0	0	0	30	180	0	0	30
IPE 100	1085	1086	Peso Proprio	UnifG	0	0	0	8	180	0	0	8
IPE 100	1085	1086	QFissi Solai	PolG	0	0	0	75	180	0	0	75
IPE 100	1085	1086	QV Solai	PolG	0	0	0	75	180	0	0	75
IPE 100	1085	1086	Neve	PolG	0	0	0	60	180	0	0	60
IPE 100	1085	1086	Neve	PolG	0	0	0	60	180	0	0	60
IPE 100	1085	1086	Vento Y CF<0	PolG	0	0	0	-185	180	0	0	-185
IPE 100	1085	1086	Vento Y CF>0	PolG	0	0	0	30	180	0	0	30
IPE 100	1085	1086	Carichi termici	Termico	$\Delta XY=15^{\circ}C, \Delta XZ=15^{\circ}C$							
IPE 100	1085	1086	Vento - Y CF<0	PolG	0	0	0	-129	180	0	0	-129
IPE 100	1085	1086	Vento - Y CF<0	PolG	0	0	0	-129	180	0	0	-129
IPE 100	1085	1086	Vento -Y CF>0	PolG	0	0	0	30	180	0	0	30
IPE 100	1085	1086	Vento -Y CF>0	PolG	0	0	0	30	180	0	0	30
IPE 100	1086	1088	Peso Proprio	UnifG	0	0	0	8	180	0	0	8
IPE 100	1086	1088	QFissi Solai	PolG	0	0	0	75	180	0	0	75
IPE 100	1086	1088	QV Solai	PolG	0	0	0	75	180	0	0	75
IPE 100	1086	1088	Neve	PolG	0	0	0	60	180	0	0	60
IPE 100	1086	1088	Neve	PolG	0	0	0	60	180	0	0	60
IPE 100	1086	1088	Vento Y CF<0	PolG	0	0	0	-185	180	0	0	-185
IPE 100	1086	1088	Vento Y CF>0	PolG	0	0	0	30	180	0	0	30
IPE 100	1086	1088	Carichi termici	Termico	$\Delta XY=15^{\circ}C, \Delta XZ=15^{\circ}C$							
IPE 100	1086	1088	Vento - Y CF<0	PolG	0	0	0	-129	180	0	0	-129
IPE 100	1086	1088	Vento - Y CF<0	PolG	0	0	0	-129	180	0	0	-129
IPE 100	1086	1088	Vento -Y CF>0	PolG	0	0	0	30	180	0	0	30
IPE 100	1086	1088	Vento -Y CF>0	PolG	0	0	0	30	180	0	0	30
IPE 100	1088	1040	Peso Proprio	UnifG	0	0	0	8	180	0	0	8
IPE 100	1088	1040	QFissi Solai	PolG	0	0	0	75	180	0	0	75
IPE 100	1088	1040	QV Solai	PolG	0	0	0	75	180	0	0	75
IPE 100	1088	1040	Neve	PolG	0	0	0	60	180	0	0	60
IPE 100	1088	1040	Neve	PolG	0	0	0	60	180	0	0	60
IPE 100	1088	1040	Vento Y CF<0	PolG	0	0	0	-185	180	0	0	-185
IPE 100	1088	1040	Vento Y CF>0	PolG	0	0	0	30	180	0	0	30
IPE 100	1088	1040	Carichi termici	Termico	$\Delta XY=15^{\circ}C, \Delta XZ=15^{\circ}C$							
IPE 100	1088	1040	Vento - Y CF<0	PolG	0	0	0	-129	180	0	0	-129
IPE 100	1088	1040	Vento - Y CF<0	PolG	0	0	0	-129	180	0	0	-129
IPE 100	1088	1040	Vento -Y CF>0	PolG	0	0	0	30	180	0	0	30
IPE 100	1088	1040	Vento -Y CF>0	PolG	0	0	0	30	180	0	0	30
IPE 100	1093	1094	Peso Proprio	UnifG	0	0	0	8	180	0	0	8
IPE 100	1093	1094	QFissi Solai	PolG	0	0	0	75	180	0	0	75
IPE 100	1093	1094	QV Solai	PolG	0	0	0	75	180	0	0	75
IPE 100	1093	1094	Neve	PolG	0	0	0	60	180	0	0	60
IPE 100	1093	1094	Neve	PolG	0	0	0	60	180	0	0	60
IPE 100	1093	1094	Vento Y CF<0	PolG	0	0	0	-185	180	0	0	-185
IPE 100	1093	1094	Vento Y CF>0	PolG	0	0	0	30	180	0	0	30
IPE 100	1093	1094	Carichi termici	Termico	$\Delta XY=15^{\circ}C, \Delta XZ=15^{\circ}C$							
IPE 100	1093	1094	Vento - Y CF<0	PolG	0	0	0	-129	180	0	0	-129
IPE 100	1093	1094	Vento - Y CF<0	PolG	0	0	0	-129	180	0	0	-129
IPE 100	1093	1094	Vento -Y CF>0	PolG	0	0	0	30	180	0	0	30
IPE 100	1093	1094	Vento -Y CF>0	PolG	0	0	0	30	180	0	0	30
IPE 100	1094	1096	Peso Proprio	UnifG	0	0	0	8	180	0	0	8
IPE 100	1094	1096	QFissi Solai	PolG	0	0	0	75	180	0	0	75
IPE 100	1094	1096	QV Solai	PolG	0	0	0	75	180	0	0	75
IPE 100	1094	1096	Neve	PolG	0	0	0	60	180	0	0	60
IPE 100	1094	1096	Neve	PolG	0	0	0	60	180	0	0	60
IPE 100	1094	1096	Vento Y CF<0	PolG	0	0	0	-185	180	0	0	-185
IPE 100	1094	1096	Vento Y CF>0	PolG	0	0	0	30	180	0	0	30
IPE 100	1094	1096	Carichi termici	Termico	$\Delta XY=15^{\circ}C, \Delta XZ=15^{\circ}C$							

Sezione	Ni	Nf	Cond.	Tipo c.	Xi	QXi	QYi	QZi	Xf	QXf	QYf	QZf
IPE 100	1094	1096	Vento - Y CF<0	PolG	0	0	0	-129	180	0	0	-129
IPE 100	1094	1096	Vento - Y CF<0	PolG	0	0	0	-129	180	0	0	-129
IPE 100	1094	1096	Vento -Y CF>0	PolG	0	0	0	30	180	0	0	30
IPE 100	1094	1096	Vento -Y CF>0	PolG	0	0	0	30	180	0	0	30
IPE 100	1096	1041	Peso Proprio	UnifG	0	0	0	8	180	0	0	8
IPE 100	1096	1041	QFissi Solai	PolG	0	0	0	75	180	0	0	75
IPE 100	1096	1041	QV Solai	PolG	0	0	0	75	180	0	0	75
IPE 100	1096	1041	Neve	PolG	0	0	0	60	180	0	0	60
IPE 100	1096	1041	Neve	PolG	0	0	0	60	180	0	0	60
IPE 100	1096	1041	Vento Y CF<0	PolG	0	0	0	-185	180	0	0	-185
IPE 100	1096	1041	Vento Y CF>0	PolG	0	0	0	30	180	0	0	30
IPE 100	1096	1041	Carichi termici	Termico	$\Delta XY=15^{\circ}C, \Delta XZ=15^{\circ}C$							
IPE 100	1096	1041	Vento - Y CF<0	PolG	0	0	0	-129	180	0	0	-129
IPE 100	1096	1041	Vento - Y CF<0	PolG	0	0	0	-129	180	0	0	-129
IPE 100	1096	1041	Vento -Y CF>0	PolG	0	0	0	30	180	0	0	30
IPE 100	1096	1041	Vento -Y CF>0	PolG	0	0	0	30	180	0	0	30
IPE 100	1133	1135	Peso Proprio	UnifG	0	0	0	8	180	0	0	8
IPE 100	1133	1135	QFissi Solai	PolG	0	0	0	75	180	0	0	75
IPE 100	1133	1135	QV Solai	PolG	0	0	0	75	180	0	0	75
IPE 100	1133	1135	Neve	PolG	0	0	0	60	180	0	0	60
IPE 100	1133	1135	Neve	PolG	0	0	0	60	180	0	0	60
IPE 100	1133	1135	Vento Y CF<0	PolG	0	0	0	-185	180	0	0	-185
IPE 100	1133	1135	Vento Y CF>0	PolG	0	0	0	30	180	0	0	30
IPE 100	1133	1135	Carichi termici	Termico	$\Delta XY=15^{\circ}C, \Delta XZ=15^{\circ}C$							
IPE 100	1133	1135	Vento - Y CF<0	PolG	0	0	0	-129	180	0	0	-129
IPE 100	1133	1135	Vento - Y CF<0	PolG	0	0	0	-129	180	0	0	-129
IPE 100	1133	1135	Vento -Y CF>0	PolG	0	0	0	30	180	0	0	30
IPE 100	1133	1135	Vento -Y CF>0	PolG	0	0	0	30	180	0	0	30
IPE 100	1135	1136	Peso Proprio	UnifG	0	0	0	8	180	0	0	8
IPE 100	1135	1136	QFissi Solai	PolG	0	0	0	75	180	0	0	75
IPE 100	1135	1136	QV Solai	PolG	0	0	0	75	180	0	0	75
IPE 100	1135	1136	Neve	PolG	0	0	0	60	180	0	0	60
IPE 100	1135	1136	Neve	PolG	0	0	0	60	180	0	0	60
IPE 100	1135	1136	Vento Y CF<0	PolG	0	0	0	-185	180	0	0	-185
IPE 100	1135	1136	Vento Y CF>0	PolG	0	0	0	30	180	0	0	30
IPE 100	1135	1136	Carichi termici	Termico	$\Delta XY=15^{\circ}C, \Delta XZ=15^{\circ}C$							
IPE 100	1135	1136	Vento - Y CF<0	PolG	0	0	0	-129	180	0	0	-129
IPE 100	1135	1136	Vento - Y CF<0	PolG	0	0	0	-129	180	0	0	-129
IPE 100	1135	1136	Vento -Y CF>0	PolG	0	0	0	30	180	0	0	30
IPE 100	1135	1136	Vento -Y CF>0	PolG	0	0	0	30	180	0	0	30
IPE 100	1136	1042	Peso Proprio	UnifG	0	0	0	8	180	0	0	8
IPE 100	1136	1042	QFissi Solai	PolG	0	0	0	75	180	0	0	75
IPE 100	1136	1042	QV Solai	PolG	0	0	0	75	180	0	0	75
IPE 100	1136	1042	Neve	PolG	0	0	0	60	180	0	0	60
IPE 100	1136	1042	Neve	PolG	0	0	0	60	180	0	0	60
IPE 100	1136	1042	Vento Y CF<0	PolG	0	0	0	-185	180	0	0	-185
IPE 100	1136	1042	Vento Y CF>0	PolG	0	0	0	30	180	0	0	30
IPE 100	1136	1042	Carichi termici	Termico	$\Delta XY=15^{\circ}C, \Delta XZ=15^{\circ}C$							
IPE 100	1136	1042	Vento - Y CF<0	PolG	0	0	0	-129	180	0	0	-129
IPE 100	1136	1042	Vento - Y CF<0	PolG	0	0	0	-129	180	0	0	-129
IPE 100	1136	1042	Vento -Y CF>0	PolG	0	0	0	30	180	0	0	30
IPE 100	1136	1042	Vento -Y CF>0	PolG	0	0	0	30	180	0	0	30
IPE 100	1138	1139	Peso Proprio	UnifG	0	0	0	8	180	0	0	8
IPE 100	1138	1139	QFissi Solai	PolG	0	0	0	75	180	0	0	75
IPE 100	1138	1139	QV Solai	PolG	0	0	0	75	180	0	0	75
IPE 100	1138	1139	Neve	PolG	0	0	0	60	180	0	0	60
IPE 100	1138	1139	Neve	PolG	0	0	0	60	180	0	0	60
IPE 100	1138	1139	Vento Y CF<0	PolG	0	0	0	-185	180	0	0	-185
IPE 100	1138	1139	Vento Y CF>0	PolG	0	0	0	30	180	0	0	30
IPE 100	1138	1139	Carichi termici	Termico	$\Delta XY=15^{\circ}C, \Delta XZ=15^{\circ}C$							
IPE 100	1138	1139	Vento - Y CF<0	PolG	0	0	0	-129	180	0	0	-129
IPE 100	1138	1139	Vento - Y CF<0	PolG	0	0	0	-129	180	0	0	-129
IPE 100	1138	1139	Vento -Y CF>0	PolG	0	0	0	30	180	0	0	30
IPE 100	1138	1139	Vento -Y CF>0	PolG	0	0	0	30	180	0	0	30
IPE 100	1139	1140	Peso Proprio	UnifG	0	0	0	8	180	0	0	8
IPE 100	1139	1140	QFissi Solai	PolG	0	0	0	75	180	0	0	75
IPE 100	1139	1140	QV Solai	PolG	0	0	0	75	180	0	0	75

Sezione	Ni	Nf	Cond.	Tipo c.	Xi	QXi	QYi	QZi	Xf	QXf	QYf	QZf
IPE 100	1139	1140	Neve	PolG	0	0	0	60	180	0	0	60
IPE 100	1139	1140	Neve	PolG	0	0	0	60	180	0	0	60
IPE 100	1139	1140	Vento Y CF<0	PolG	0	0	0	-185	180	0	0	-185
IPE 100	1139	1140	Vento Y CF>0	PolG	0	0	0	30	180	0	0	30
IPE 100	1139	1140	Carichi termici	Termico	$\Delta XY=15^{\circ}C, \Delta XZ=15^{\circ}C$							
IPE 100	1139	1140	Vento - Y CF<0	PolG	0	0	0	-129	180	0	0	-129
IPE 100	1139	1140	Vento - Y CF<0	PolG	0	0	0	-129	180	0	0	-129
IPE 100	1139	1140	Vento -Y CF>0	PolG	0	0	0	30	180	0	0	30
IPE 100	1139	1140	Vento -Y CF>0	PolG	0	0	0	30	180	0	0	30
IPE 100	1140	1043	Peso Proprio	UnifG	0	0	0	8	177	0	0	8
IPE 100	1140	1043	QFissi Solai	PolG	-0	0	0	75	177	0	0	75
IPE 100	1140	1043	QV Solai	PolG	-0	0	0	75	177	0	0	75
IPE 100	1140	1043	Neve	PolG	0	0	0	60	177	0	0	60
IPE 100	1140	1043	Neve	PolG	0	0	0	60	177	0	0	60
IPE 100	1140	1043	Vento Y CF<0	PolG	0	0	0	-185	177	0	0	-185
IPE 100	1140	1043	Vento Y CF>0	PolG	0	0	0	30	177	0	0	30
IPE 100	1140	1043	Carichi termici	Termico	$\Delta XY=15^{\circ}C, \Delta XZ=15^{\circ}C$							
IPE 100	1140	1043	Vento - Y CF<0	PolG	0	0	0	-129	177	0	0	-129
IPE 100	1140	1043	Vento - Y CF<0	PolG	0	0	0	-129	177	0	0	-129
IPE 100	1140	1043	Vento -Y CF>0	PolG	0	0	0	30	177	0	0	30
IPE 100	1140	1043	Vento -Y CF>0	PolG	0	0	0	30	177	0	0	30
Trave 27												
IPE 100	1117	1118	Peso Proprio	UnifG	0	0	0	8	230	0	0	8
IPE 100	1117	1118	QFissi Solai	PolG	-0	0	0	67	230	0	0	67
IPE 100	1117	1118	QV Solai	PolG	-0	0	0	67	230	0	0	67
IPE 100	1117	1118	Neve	PolG	0	0	0	54	230	0	0	54
IPE 100	1117	1118	Neve	PolG	0	0	0	54	230	0	0	54
IPE 100	1117	1118	Carichi termici	Termico	$\Delta XY=15^{\circ}C, \Delta XZ=15^{\circ}C$							
IPE 100	1117	1118	Vento - Y CF<0	PolG	0	0	0	-116	230	0	0	-116
IPE 100	1117	1118	Vento - Y CF<0	PolG	0	0	0	-116	230	0	0	-116
IPE 100	1117	1118	Vento -Y CF>0	PolG	0	0	0	27	230	0	0	27
IPE 100	1117	1118	Vento -Y CF>0	PolG	0	0	0	27	230	0	0	27
IPE 100	1118	1119	Peso Proprio	UnifG	0	0	0	8	180	0	0	8
IPE 100	1118	1119	QFissi Solai	PolG	0	0	0	67	180	0	0	67
IPE 100	1118	1119	QV Solai	PolG	0	0	0	67	180	0	0	67
IPE 100	1118	1119	Neve	PolG	0	0	0	54	180	0	0	54
IPE 100	1118	1119	Neve	PolG	0	0	0	54	180	0	0	54
IPE 100	1118	1119	Carichi termici	Termico	$\Delta XY=15^{\circ}C, \Delta XZ=15^{\circ}C$							
IPE 100	1118	1119	Vento - Y CF<0	PolG	0	0	0	-116	180	0	0	-116
IPE 100	1118	1119	Vento - Y CF<0	PolG	0	0	0	-116	180	0	0	-116
IPE 100	1118	1119	Vento -Y CF>0	PolG	0	0	0	27	180	0	0	27
IPE 100	1118	1119	Vento -Y CF>0	PolG	0	0	0	27	180	0	0	27
IPE 100	1119	1121	Peso Proprio	UnifG	0	0	0	8	180	0	0	8
IPE 100	1119	1121	QFissi Solai	PolG	0	0	0	67	180	0	0	67
IPE 100	1119	1121	QV Solai	PolG	0	0	0	67	180	0	0	67
IPE 100	1119	1121	Neve	PolG	0	0	0	54	180	0	0	54
IPE 100	1119	1121	Neve	PolG	0	0	0	54	180	0	0	54
IPE 100	1119	1121	Carichi termici	Termico	$\Delta XY=15^{\circ}C, \Delta XZ=15^{\circ}C$							
IPE 100	1119	1121	Vento - Y CF<0	PolG	0	0	0	-116	180	0	0	-116
IPE 100	1119	1121	Vento - Y CF<0	PolG	0	0	0	-116	180	0	0	-116
IPE 100	1119	1121	Vento -Y CF>0	PolG	0	0	0	27	180	0	0	27
IPE 100	1119	1121	Vento -Y CF>0	PolG	0	0	0	27	180	0	0	27
IPE 100	1121	1123	Peso Proprio	UnifG	0	0	0	8	180	0	0	8
IPE 100	1121	1123	QFissi Solai	PolG	0	0	0	67	180	0	0	67
IPE 100	1121	1123	QV Solai	PolG	0	0	0	67	180	0	0	67
IPE 100	1121	1123	Neve	PolG	0	0	0	54	180	0	0	54
IPE 100	1121	1123	Neve	PolG	0	0	0	54	180	0	0	54
IPE 100	1121	1123	Carichi termici	Termico	$\Delta XY=15^{\circ}C, \Delta XZ=15^{\circ}C$							
IPE 100	1121	1123	Vento - Y CF<0	PolG	0	0	0	-116	180	0	0	-116
IPE 100	1121	1123	Vento - Y CF<0	PolG	0	0	0	-116	180	0	0	-116
IPE 100	1121	1123	Vento -Y CF>0	PolG	0	0	0	27	180	0	0	27
IPE 100	1121	1123	Vento -Y CF>0	PolG	0	0	0	27	180	0	0	27
IPE 100	1123	1125	Peso Proprio	UnifG	0	0	0	8	180	0	0	8
IPE 100	1123	1125	QFissi Solai	PolG	0	0	0	67	180	0	0	67
IPE 100	1123	1125	QV Solai	PolG	0	0	0	67	180	0	0	67
IPE 100	1123	1125	Neve	PolG	0	0	0	54	180	0	0	54
IPE 100	1123	1125	Neve	PolG	0	0	0	54	180	0	0	54

Sezione	Ni	Nf	Cond.	Tipo c.	Xi	QXi	QYi	QZi	Xf	QXf	QYf	QZf
IPE 100	1123	1125	Carichi termici	Termico	$\Delta XY=15^{\circ}C, \Delta XZ=15^{\circ}C$							
IPE 100	1123	1125	Vento - Y CF<0	PolG	0	0	0	-116	180	0	0	-116
IPE 100	1123	1125	Vento - Y CF<0	PolG	0	0	0	-116	180	0	0	-116
IPE 100	1123	1125	Vento -Y CF>0	PolG	0	0	0	27	180	0	0	27
IPE 100	1123	1125	Vento -Y CF>0	PolG	0	0	0	27	180	0	0	27
IPE 100	1125	1126	Peso Proprio	UnifG	0	0	0	8	180	0	0	8
IPE 100	1125	1126	QFissi Solai	PolG	0	0	0	67	180	0	0	67
IPE 100	1125	1126	QV Solai	PolG	0	0	0	67	180	0	0	67
IPE 100	1125	1126	Neve	PolG	0	0	0	54	180	0	0	54
IPE 100	1125	1126	Neve	PolG	0	0	0	54	180	0	0	54
IPE 100	1125	1126	Carichi termici	Termico	$\Delta XY=15^{\circ}C, \Delta XZ=15^{\circ}C$							
IPE 100	1125	1126	Vento - Y CF<0	PolG	0	0	0	-116	180	0	0	-116
IPE 100	1125	1126	Vento - Y CF<0	PolG	0	0	0	-116	180	0	0	-116
IPE 100	1125	1126	Vento -Y CF>0	PolG	0	0	0	27	180	0	0	27
IPE 100	1125	1126	Vento -Y CF>0	PolG	0	0	0	27	180	0	0	27
IPE 100	1126	1145	Peso Proprio	UnifG	0	0	0	8	180	0	0	8
IPE 100	1126	1145	QFissi Solai	PolG	0	0	0	67	180	0	0	67
IPE 100	1126	1145	QV Solai	PolG	0	0	0	67	180	0	0	67
IPE 100	1126	1145	Neve	PolG	0	0	0	54	180	0	0	54
IPE 100	1126	1145	Neve	PolG	0	0	0	54	180	0	0	54
IPE 100	1126	1145	Carichi termici	Termico	$\Delta XY=15^{\circ}C, \Delta XZ=15^{\circ}C$							
IPE 100	1126	1145	Vento - Y CF<0	PolG	0	0	0	-116	180	0	0	-116
IPE 100	1126	1145	Vento - Y CF<0	PolG	0	0	0	-116	180	0	0	-116
IPE 100	1126	1145	Vento -Y CF>0	PolG	0	0	0	27	180	0	0	27
IPE 100	1126	1145	Vento -Y CF>0	PolG	0	0	0	27	180	0	0	27
IPE 100	1145	1146	Peso Proprio	UnifG	0	0	0	8	180	0	0	8
IPE 100	1145	1146	QFissi Solai	PolG	0	0	0	67	180	0	0	67
IPE 100	1145	1146	QV Solai	PolG	0	0	0	67	180	0	0	67
IPE 100	1145	1146	Neve	PolG	0	0	0	54	180	0	0	54
IPE 100	1145	1146	Neve	PolG	0	0	0	54	180	0	0	54
IPE 100	1145	1146	Carichi termici	Termico	$\Delta XY=15^{\circ}C, \Delta XZ=15^{\circ}C$							
IPE 100	1145	1146	Vento - Y CF<0	PolG	0	0	0	-116	180	0	0	-116
IPE 100	1145	1146	Vento - Y CF<0	PolG	0	0	0	-116	180	0	0	-116
IPE 100	1145	1146	Vento -Y CF>0	PolG	0	0	0	27	180	0	0	27
IPE 100	1145	1146	Vento -Y CF>0	PolG	0	0	0	27	180	0	0	27
IPE 100	1146	1147	Peso Proprio	UnifG	0	0	0	8	180	0	0	8
IPE 100	1146	1147	QFissi Solai	PolG	0	0	0	67	180	0	0	67
IPE 100	1146	1147	QV Solai	PolG	0	0	0	67	180	0	0	67
IPE 100	1146	1147	Neve	PolG	0	0	0	54	180	0	0	54
IPE 100	1146	1147	Neve	PolG	0	0	0	54	180	0	0	54
IPE 100	1146	1147	Carichi termici	Termico	$\Delta XY=15^{\circ}C, \Delta XZ=15^{\circ}C$							
IPE 100	1146	1147	Vento - Y CF<0	PolG	0	0	0	-116	180	0	0	-116
IPE 100	1146	1147	Vento - Y CF<0	PolG	0	0	0	-116	180	0	0	-116
IPE 100	1146	1147	Vento -Y CF>0	PolG	0	0	0	27	180	0	0	27
IPE 100	1146	1147	Vento -Y CF>0	PolG	0	0	0	27	180	0	0	27
IPE 100	1147	1148	Peso Proprio	UnifG	0	0	0	8	180	0	0	8
IPE 100	1147	1148	QFissi Solai	PolG	0	0	0	67	180	0	0	67
IPE 100	1147	1148	QV Solai	PolG	0	0	0	67	180	0	0	67
IPE 100	1147	1148	Neve	PolG	0	0	0	54	180	0	0	54
IPE 100	1147	1148	Neve	PolG	0	0	0	54	180	0	0	54
IPE 100	1147	1148	Carichi termici	Termico	$\Delta XY=15^{\circ}C, \Delta XZ=15^{\circ}C$							
IPE 100	1147	1148	Vento - Y CF<0	PolG	0	0	0	-116	180	0	0	-116
IPE 100	1147	1148	Vento - Y CF<0	PolG	0	0	0	-116	180	0	0	-116
IPE 100	1147	1148	Vento -Y CF>0	PolG	0	0	0	27	180	0	0	27
IPE 100	1147	1148	Vento -Y CF>0	PolG	0	0	0	27	180	0	0	27
IPE 100	1148	1149	Peso Proprio	UnifG	0	0	0	8	180	0	0	8
IPE 100	1148	1149	QFissi Solai	PolG	0	0	0	67	180	0	0	67
IPE 100	1148	1149	QV Solai	PolG	0	0	0	67	180	0	0	67
IPE 100	1148	1149	Neve	PolG	0	0	0	54	180	0	0	54
IPE 100	1148	1149	Neve	PolG	0	0	0	54	180	0	0	54
IPE 100	1148	1149	Carichi termici	Termico	$\Delta XY=15^{\circ}C, \Delta XZ=15^{\circ}C$							
IPE 100	1148	1149	Vento - Y CF<0	PolG	0	0	0	-116	180	0	0	-116
IPE 100	1148	1149	Vento - Y CF<0	PolG	0	0	0	-116	180	0	0	-116
IPE 100	1148	1149	Vento -Y CF>0	PolG	0	0	0	27	180	0	0	27
IPE 100	1148	1149	Vento -Y CF>0	PolG	0	0	0	27	180	0	0	27
IPE 100	1149	1150	Peso Proprio	UnifG	0	0	0	8	180	0	0	8
IPE 100	1149	1150	QFissi Solai	PolG	0	0	0	67	180	0	0	67

Sezione	Ni	Nf	Cond.	Tipo c.	Xi	QXi	QYi	QZi	Xf	QXf	QYf	QZf
IPE 100	1149	1150	QV Solai	PolG	0	0	0	67	180	0	0	67
IPE 100	1149	1150	Neve	PolG	0	0	0	54	180	0	0	54
IPE 100	1149	1150	Neve	PolG	0	0	0	54	180	0	0	54
IPE 100	1149	1150	Carichi termici	Termico	$\Delta XY=15^{\circ}C, \Delta XZ=15^{\circ}C$							
IPE 100	1149	1150	Vento - Y CF<0	PolG	0	0	0	-116	180	0	0	-116
IPE 100	1149	1150	Vento - Y CF<0	PolG	0	0	0	-116	180	0	0	-116
IPE 100	1149	1150	Vento -Y CF>0	PolG	0	0	0	27	180	0	0	27
IPE 100	1149	1150	Vento -Y CF>0	PolG	0	0	0	27	180	0	0	27
IPE 100	1150	1151	Peso Proprio	UnifG	0	0	0	8	180	0	0	8
IPE 100	1150	1151	QFissi Solai	PolG	-0	0	0	67	180	0	0	67
IPE 100	1150	1151	QV Solai	PolG	-0	0	0	67	180	0	0	67
IPE 100	1150	1151	Neve	PolG	0	0	0	54	180	0	0	54
IPE 100	1150	1151	Neve	PolG	0	0	0	54	180	0	0	54
IPE 100	1150	1151	Carichi termici	Termico	$\Delta XY=15^{\circ}C, \Delta XZ=15^{\circ}C$							
IPE 100	1150	1151	Vento - Y CF<0	PolG	0	0	0	-116	180	0	0	-116
IPE 100	1150	1151	Vento - Y CF<0	PolG	0	0	0	-116	180	0	0	-116
IPE 100	1150	1151	Vento -Y CF>0	PolG	0	0	0	27	180	0	0	27
IPE 100	1150	1151	Vento -Y CF>0	PolG	0	0	0	27	180	0	0	27
IPE 100	1151	1153	Peso Proprio	UnifG	0	0	0	8	180	0	0	8
IPE 100	1151	1153	QFissi Solai	PolG	-0	0	0	67	180	0	0	67
IPE 100	1151	1153	QV Solai	PolG	-0	0	0	67	180	0	0	67
IPE 100	1151	1153	Neve	PolG	0	0	0	54	180	0	0	54
IPE 100	1151	1153	Neve	PolG	0	0	0	54	180	0	0	54
IPE 100	1151	1153	Carichi termici	Termico	$\Delta XY=15^{\circ}C, \Delta XZ=15^{\circ}C$							
IPE 100	1151	1153	Vento - Y CF<0	PolG	0	0	0	-116	180	0	0	-116
IPE 100	1151	1153	Vento - Y CF<0	PolG	0	0	0	-116	180	0	0	-116
IPE 100	1151	1153	Vento -Y CF>0	PolG	0	0	0	27	180	0	0	27
IPE 100	1151	1153	Vento -Y CF>0	PolG	0	0	0	27	180	0	0	27
IPE 100	1153	1154	Peso Proprio	UnifG	0	0	0	8	180	0	0	8
IPE 100	1153	1154	QFissi Solai	PolG	-0	0	0	67	180	0	0	67
IPE 100	1153	1154	QV Solai	PolG	-0	0	0	67	180	0	0	67
IPE 100	1153	1154	Neve	PolG	0	0	0	54	180	0	0	54
IPE 100	1153	1154	Neve	PolG	0	0	0	54	180	0	0	54
IPE 100	1153	1154	Carichi termici	Termico	$\Delta XY=15^{\circ}C, \Delta XZ=15^{\circ}C$							
IPE 100	1153	1154	Vento - Y CF<0	PolG	0	0	0	-116	180	0	0	-116
IPE 100	1153	1154	Vento - Y CF<0	PolG	0	0	0	-116	180	0	0	-116
IPE 100	1153	1154	Vento -Y CF>0	PolG	0	0	0	27	180	0	0	27
IPE 100	1153	1154	Vento -Y CF>0	PolG	0	0	0	27	180	0	0	27
IPE 100	1154	1156	Peso Proprio	UnifG	0	0	0	8	180	0	0	8
IPE 100	1154	1156	QFissi Solai	PolG	0	0	0	67	180	0	0	67
IPE 100	1154	1156	QV Solai	PolG	0	0	0	67	180	0	0	67
IPE 100	1154	1156	Neve	PolG	0	0	0	54	180	0	0	54
IPE 100	1154	1156	Neve	PolG	0	0	0	54	180	0	0	54
IPE 100	1154	1156	Carichi termici	Termico	$\Delta XY=15^{\circ}C, \Delta XZ=15^{\circ}C$							
IPE 100	1154	1156	Vento - Y CF<0	PolG	0	0	0	-116	180	0	0	-116
IPE 100	1154	1156	Vento - Y CF<0	PolG	0	0	0	-116	180	0	0	-116
IPE 100	1154	1156	Vento -Y CF>0	PolG	0	0	0	27	180	0	0	27
IPE 100	1154	1156	Vento -Y CF>0	PolG	0	0	0	27	180	0	0	27
IPE 100	1156	1158	Peso Proprio	UnifG	0	0	0	8	180	0	0	8
IPE 100	1156	1158	QFissi Solai	PolG	0	0	0	67	180	0	0	67
IPE 100	1156	1158	QV Solai	PolG	0	0	0	67	180	0	0	67
IPE 100	1156	1158	Neve	PolG	0	0	0	54	180	0	0	54
IPE 100	1156	1158	Neve	PolG	0	0	0	54	180	0	0	54
IPE 100	1156	1158	Carichi termici	Termico	$\Delta XY=15^{\circ}C, \Delta XZ=15^{\circ}C$							
IPE 100	1156	1158	Vento - Y CF<0	PolG	0	0	0	-116	180	0	0	-116
IPE 100	1156	1158	Vento - Y CF<0	PolG	0	0	0	-116	180	0	0	-116
IPE 100	1156	1158	Vento -Y CF>0	PolG	0	0	0	27	180	0	0	27
IPE 100	1156	1158	Vento -Y CF>0	PolG	0	0	0	27	180	0	0	27
IPE 100	1158	1159	Peso Proprio	UnifG	0	0	0	8	177	0	0	8
IPE 100	1158	1159	QFissi Solai	PolG	0	0	0	67	177	0	0	67
IPE 100	1158	1159	QV Solai	PolG	0	0	0	67	177	0	0	67
IPE 100	1158	1159	Neve	PolG	0	0	0	54	177	0	0	54
IPE 100	1158	1159	Neve	PolG	0	0	0	54	177	0	0	54
IPE 100	1158	1159	Carichi termici	Termico	$\Delta XY=15^{\circ}C, \Delta XZ=15^{\circ}C$							
IPE 100	1158	1159	Vento - Y CF<0	PolG	0	0	0	-116	177	0	0	-116
IPE 100	1158	1159	Vento - Y CF<0	PolG	0	0	0	-116	177	0	0	-116
IPE 100	1158	1159	Vento -Y CF>0	PolG	0	0	0	27	177	0	0	27

Sezione	Ni	Nf	Cond.	Tipo c.	Xi	QXi	QYi	QZi	Xf	QXf	QYf	QZf
IPE 100	1158	1159	Vento -Y CF>0	PolG	0	0	0	27	177	0	0	27
IPE 100	1159	1162	Peso Proprio	UnifG	0	0	0	8	178	0	0	8
IPE 100	1159	1162	QFissi Solai	PolG	-0	0	0	67	178	0	0	67
IPE 100	1159	1162	QV Solai	PolG	-0	0	0	67	178	0	0	67
IPE 100	1159	1162	Neve	PolG	0	0	0	54	178	0	0	54
IPE 100	1159	1162	Neve	PolG	0	0	0	54	178	0	0	54
IPE 100	1159	1162	Carichi termici	Termico	$\Delta XY=15^{\circ}C, \Delta XZ=15^{\circ}C$							
IPE 100	1159	1162	Vento - Y CF<0	PolG	0	0	0	-116	178	0	0	-116
IPE 100	1159	1162	Vento - Y CF<0	PolG	0	0	0	-116	178	0	0	-116
IPE 100	1159	1162	Vento -Y CF>0	PolG	0	0	0	27	178	0	0	27
IPE 100	1159	1162	Vento -Y CF>0	PolG	0	0	0	27	178	0	0	27
Trave 28												
IPE 100	1044	1045	Peso Proprio	UnifG	0	0	0	8	230	0	0	8
IPE 100	1044	1045	QFissi Solai	PolG	-0	0	0	67	230	0	0	67
IPE 100	1044	1045	QV Solai	PolG	-0	0	0	67	230	0	0	67
IPE 100	1044	1045	Neve	PolG	0	0	0	54	230	0	0	54
IPE 100	1044	1045	Neve	PolG	0	0	0	54	230	0	0	54
IPE 100	1044	1045	Carichi termici	Termico	$\Delta XY=15^{\circ}C, \Delta XZ=15^{\circ}C$							
IPE 100	1044	1045	Vento - Y CF<0	PolG	0	0	0	-116	230	0	0	-116
IPE 100	1044	1045	Vento - Y CF<0	PolG	0	0	0	-116	230	0	0	-116
IPE 100	1044	1045	Vento -Y CF>0	PolG	0	0	0	27	230	0	0	27
IPE 100	1044	1045	Vento -Y CF>0	PolG	0	0	0	27	230	0	0	27
IPE 100	1045	1166	Peso Proprio	UnifG	0	0	0	8	180	0	0	8
IPE 100	1045	1166	QFissi Solai	PolG	0	0	0	67	180	0	0	67
IPE 100	1045	1166	QV Solai	PolG	0	0	0	67	180	0	0	67
IPE 100	1045	1166	Neve	PolG	0	0	0	54	180	0	0	54
IPE 100	1045	1166	Neve	PolG	0	0	0	54	180	0	0	54
IPE 100	1045	1166	Carichi termici	Termico	$\Delta XY=15^{\circ}C, \Delta XZ=15^{\circ}C$							
IPE 100	1045	1166	Vento - Y CF<0	PolG	0	0	0	-116	180	0	0	-116
IPE 100	1045	1166	Vento - Y CF<0	PolG	0	0	0	-116	180	0	0	-116
IPE 100	1045	1166	Vento -Y CF>0	PolG	0	0	0	27	180	0	0	27
IPE 100	1045	1166	Vento -Y CF>0	PolG	0	0	0	27	180	0	0	27
IPE 100	1051	1187	Peso Proprio	UnifG	0	0	0	8	180	0	0	8
IPE 100	1051	1187	QFissi Solai	PolG	-0	0	0	67	180	0	0	67
IPE 100	1051	1187	QV Solai	PolG	-0	0	0	67	180	0	0	67
IPE 100	1051	1187	Neve	PolG	0	0	0	54	180	0	0	54
IPE 100	1051	1187	Neve	PolG	0	0	0	54	180	0	0	54
IPE 100	1051	1187	Carichi termici	Termico	$\Delta XY=15^{\circ}C, \Delta XZ=15^{\circ}C$							
IPE 100	1051	1187	Vento - Y CF<0	PolG	0	0	0	-116	180	0	0	-116
IPE 100	1051	1187	Vento - Y CF<0	PolG	0	0	0	-116	180	0	0	-116
IPE 100	1051	1187	Vento -Y CF>0	PolG	0	0	0	27	180	0	0	27
IPE 100	1051	1187	Vento -Y CF>0	PolG	0	0	0	27	180	0	0	27
IPE 100	1052	1192	Peso Proprio	UnifG	0	0	0	8	180	0	0	8
IPE 100	1052	1192	QFissi Solai	PolG	-0	0	0	67	180	0	0	67
IPE 100	1052	1192	QV Solai	PolG	-0	0	0	67	180	0	0	67
IPE 100	1052	1192	Neve	PolG	0	0	0	54	180	0	0	54
IPE 100	1052	1192	Neve	PolG	0	0	0	54	180	0	0	54
IPE 100	1052	1192	Carichi termici	Termico	$\Delta XY=15^{\circ}C, \Delta XZ=15^{\circ}C$							
IPE 100	1052	1192	Vento - Y CF<0	PolG	0	0	0	-116	180	0	0	-116
IPE 100	1052	1192	Vento - Y CF<0	PolG	0	0	0	-116	180	0	0	-116
IPE 100	1052	1192	Vento -Y CF>0	PolG	0	0	0	27	180	0	0	27
IPE 100	1052	1192	Vento -Y CF>0	PolG	0	0	0	27	180	0	0	27
IPE 100	1166	1168	Peso Proprio	UnifG	0	0	0	8	180	0	0	8
IPE 100	1166	1168	QFissi Solai	PolG	0	0	0	67	180	0	0	67
IPE 100	1166	1168	QV Solai	PolG	0	0	0	67	180	0	0	67
IPE 100	1166	1168	Neve	PolG	0	0	0	54	180	0	0	54
IPE 100	1166	1168	Neve	PolG	0	0	0	54	180	0	0	54
IPE 100	1166	1168	Carichi termici	Termico	$\Delta XY=15^{\circ}C, \Delta XZ=15^{\circ}C$							
IPE 100	1166	1168	Vento - Y CF<0	PolG	0	0	0	-116	180	0	0	-116
IPE 100	1166	1168	Vento - Y CF<0	PolG	0	0	0	-116	180	0	0	-116
IPE 100	1166	1168	Vento -Y CF>0	PolG	0	0	0	27	180	0	0	27
IPE 100	1166	1168	Vento -Y CF>0	PolG	0	0	0	27	180	0	0	27
IPE 100	1168	1170	Peso Proprio	UnifG	0	0	0	8	180	0	0	8
IPE 100	1168	1170	QFissi Solai	PolG	0	0	0	67	180	0	0	67
IPE 100	1168	1170	QV Solai	PolG	0	0	0	67	180	0	0	67
IPE 100	1168	1170	Neve	PolG	0	0	0	54	180	0	0	54
IPE 100	1168	1170	Neve	PolG	0	0	0	54	180	0	0	54

Sezione	Ni	Nf	Cond.	Tipo c.	Xi	QXi	QYi	QZi	Xf	QXf	QYf	QZf
IPE 100	1168	1170	Carichi termici	Termico	$\Delta XY=15^{\circ}C, \Delta XZ=15^{\circ}C$							
IPE 100	1168	1170	Vento - Y CF<0	PolG	0	0	0	-116	180	0	0	-116
IPE 100	1168	1170	Vento - Y CF<0	PolG	0	0	0	-116	180	0	0	-116
IPE 100	1168	1170	Vento -Y CF>0	PolG	0	0	0	27	180	0	0	27
IPE 100	1168	1170	Vento -Y CF>0	PolG	0	0	0	27	180	0	0	27
IPE 100	1170	1172	Peso Proprio	UnifG	0	0	0	8	180	0	0	8
IPE 100	1170	1172	QFissi Solai	PolG	0	0	0	67	180	0	0	67
IPE 100	1170	1172	QV Solai	PolG	0	0	0	67	180	0	0	67
IPE 100	1170	1172	Neve	PolG	0	0	0	54	180	0	0	54
IPE 100	1170	1172	Neve	PolG	0	0	0	54	180	0	0	54
IPE 100	1170	1172	Carichi termici	Termico	$\Delta XY=15^{\circ}C, \Delta XZ=15^{\circ}C$							
IPE 100	1170	1172	Vento - Y CF<0	PolG	0	0	0	-116	180	0	0	-116
IPE 100	1170	1172	Vento - Y CF<0	PolG	0	0	0	-116	180	0	0	-116
IPE 100	1170	1172	Vento -Y CF>0	PolG	0	0	0	27	180	0	0	27
IPE 100	1170	1172	Vento -Y CF>0	PolG	0	0	0	27	180	0	0	27
IPE 100	1172	1174	Peso Proprio	UnifG	0	0	0	8	180	0	0	8
IPE 100	1172	1174	QFissi Solai	PolG	0	0	0	67	180	0	0	67
IPE 100	1172	1174	QV Solai	PolG	0	0	0	67	180	0	0	67
IPE 100	1172	1174	Neve	PolG	0	0	0	54	180	0	0	54
IPE 100	1172	1174	Neve	PolG	0	0	0	54	180	0	0	54
IPE 100	1172	1174	Carichi termici	Termico	$\Delta XY=15^{\circ}C, \Delta XZ=15^{\circ}C$							
IPE 100	1172	1174	Vento - Y CF<0	PolG	0	0	0	-116	180	0	0	-116
IPE 100	1172	1174	Vento - Y CF<0	PolG	0	0	0	-116	180	0	0	-116
IPE 100	1172	1174	Vento -Y CF>0	PolG	0	0	0	27	180	0	0	27
IPE 100	1172	1174	Vento -Y CF>0	PolG	0	0	0	27	180	0	0	27
IPE 100	1174	1176	Peso Proprio	UnifG	0	0	0	8	180	0	0	8
IPE 100	1174	1176	QFissi Solai	PolG	0	0	0	67	180	0	0	67
IPE 100	1174	1176	QV Solai	PolG	0	0	0	67	180	0	0	67
IPE 100	1174	1176	Neve	PolG	0	0	0	54	180	0	0	54
IPE 100	1174	1176	Neve	PolG	0	0	0	54	180	0	0	54
IPE 100	1174	1176	Carichi termici	Termico	$\Delta XY=15^{\circ}C, \Delta XZ=15^{\circ}C$							
IPE 100	1174	1176	Vento - Y CF<0	PolG	0	0	0	-116	180	0	0	-116
IPE 100	1174	1176	Vento - Y CF<0	PolG	0	0	0	-116	180	0	0	-116
IPE 100	1174	1176	Vento -Y CF>0	PolG	0	0	0	27	180	0	0	27
IPE 100	1174	1176	Vento -Y CF>0	PolG	0	0	0	27	180	0	0	27
IPE 100	1176	1178	Peso Proprio	UnifG	0	0	0	8	180	0	0	8
IPE 100	1176	1178	QFissi Solai	PolG	0	0	0	67	180	0	0	67
IPE 100	1176	1178	QV Solai	PolG	0	0	0	67	180	0	0	67
IPE 100	1176	1178	Neve	PolG	0	0	0	54	180	0	0	54
IPE 100	1176	1178	Neve	PolG	0	0	0	54	180	0	0	54
IPE 100	1176	1178	Carichi termici	Termico	$\Delta XY=15^{\circ}C, \Delta XZ=15^{\circ}C$							
IPE 100	1176	1178	Vento - Y CF<0	PolG	0	0	0	-116	180	0	0	-116
IPE 100	1176	1178	Vento - Y CF<0	PolG	0	0	0	-116	180	0	0	-116
IPE 100	1176	1178	Vento -Y CF>0	PolG	0	0	0	27	180	0	0	27
IPE 100	1176	1178	Vento -Y CF>0	PolG	0	0	0	27	180	0	0	27
IPE 100	1178	1180	Peso Proprio	UnifG	0	0	0	8	180	0	0	8
IPE 100	1178	1180	QFissi Solai	PolG	0	0	0	67	180	0	0	67
IPE 100	1178	1180	QV Solai	PolG	0	0	0	67	180	0	0	67
IPE 100	1178	1180	Neve	PolG	0	0	0	54	180	0	0	54
IPE 100	1178	1180	Neve	PolG	0	0	0	54	180	0	0	54
IPE 100	1178	1180	Carichi termici	Termico	$\Delta XY=15^{\circ}C, \Delta XZ=15^{\circ}C$							
IPE 100	1178	1180	Vento - Y CF<0	PolG	0	0	0	-116	180	0	0	-116
IPE 100	1178	1180	Vento - Y CF<0	PolG	0	0	0	-116	180	0	0	-116
IPE 100	1178	1180	Vento -Y CF>0	PolG	0	0	0	27	180	0	0	27
IPE 100	1178	1180	Vento -Y CF>0	PolG	0	0	0	27	180	0	0	27
IPE 100	1180	1182	Peso Proprio	UnifG	0	0	0	8	180	0	0	8
IPE 100	1180	1182	QFissi Solai	PolG	0	0	0	67	180	0	0	67
IPE 100	1180	1182	QV Solai	PolG	0	0	0	67	180	0	0	67
IPE 100	1180	1182	Neve	PolG	0	0	0	54	180	0	0	54
IPE 100	1180	1182	Neve	PolG	0	0	0	54	180	0	0	54
IPE 100	1180	1182	Carichi termici	Termico	$\Delta XY=15^{\circ}C, \Delta XZ=15^{\circ}C$							
IPE 100	1180	1182	Vento - Y CF<0	PolG	0	0	0	-116	180	0	0	-116
IPE 100	1180	1182	Vento - Y CF<0	PolG	0	0	0	-116	180	0	0	-116
IPE 100	1180	1182	Vento -Y CF>0	PolG	0	0	0	27	180	0	0	27
IPE 100	1180	1182	Vento -Y CF>0	PolG	0	0	0	27	180	0	0	27
IPE 100	1182	1184	Peso Proprio	UnifG	0	0	0	8	180	0	0	8
IPE 100	1182	1184	QFissi Solai	PolG	0	0	0	67	180	0	0	67

Sezione	Ni	Nf	Cond.	Tipo c.	Xi	QXi	QYi	QZi	Xf	QXf	QYf	QZf
IPE 100	1182	1184	QV Solai	PolG	0	0	0	67	180	0	0	67
IPE 100	1182	1184	Neve	PolG	0	0	0	54	180	0	0	54
IPE 100	1182	1184	Neve	PolG	0	0	0	54	180	0	0	54
IPE 100	1182	1184	Carichi termici	Termico	$\Delta XY=15^{\circ}C, \Delta XZ=15^{\circ}C$							
IPE 100	1182	1184	Vento - Y CF<0	PolG	0	0	0	-116	180	0	0	-116
IPE 100	1182	1184	Vento - Y CF<0	PolG	0	0	0	-116	180	0	0	-116
IPE 100	1182	1184	Vento -Y CF>0	PolG	0	0	0	27	180	0	0	27
IPE 100	1182	1184	Vento -Y CF>0	PolG	0	0	0	27	180	0	0	27
IPE 100	1184	1051	Peso Proprio	UnifG	0	0	0	8	180	0	0	8
IPE 100	1184	1051	QFissi Solai	PolG	0	0	0	67	180	0	0	67
IPE 100	1184	1051	QV Solai	PolG	0	0	0	67	180	0	0	67
IPE 100	1184	1051	Neve	PolG	0	0	0	54	180	0	0	54
IPE 100	1184	1051	Neve	PolG	0	0	0	54	180	0	0	54
IPE 100	1184	1051	Carichi termici	Termico	$\Delta XY=15^{\circ}C, \Delta XZ=15^{\circ}C$							
IPE 100	1184	1051	Vento - Y CF<0	PolG	0	0	0	-116	180	0	0	-116
IPE 100	1184	1051	Vento - Y CF<0	PolG	0	0	0	-116	180	0	0	-116
IPE 100	1184	1051	Vento -Y CF>0	PolG	0	0	0	27	180	0	0	27
IPE 100	1184	1051	Vento -Y CF>0	PolG	0	0	0	27	180	0	0	27
IPE 100	1187	1052	Peso Proprio	UnifG	0	0	0	8	180	0	0	8
IPE 100	1187	1052	QFissi Solai	PolG	-0	0	0	67	180	0	0	67
IPE 100	1187	1052	QV Solai	PolG	-0	0	0	67	180	0	0	67
IPE 100	1187	1052	Neve	PolG	0	0	0	54	180	0	0	54
IPE 100	1187	1052	Neve	PolG	0	0	0	54	180	0	0	54
IPE 100	1187	1052	Carichi termici	Termico	$\Delta XY=15^{\circ}C, \Delta XZ=15^{\circ}C$							
IPE 100	1187	1052	Vento - Y CF<0	PolG	0	0	0	-116	180	0	0	-116
IPE 100	1187	1052	Vento - Y CF<0	PolG	0	0	0	-116	180	0	0	-116
IPE 100	1187	1052	Vento -Y CF>0	PolG	0	0	0	27	180	0	0	27
IPE 100	1187	1052	Vento -Y CF>0	PolG	0	0	0	27	180	0	0	27
IPE 100	1192	1194	Peso Proprio	UnifG	0	0	0	8	180	0	0	8
IPE 100	1192	1194	QFissi Solai	PolG	0	0	0	67	180	0	0	67
IPE 100	1192	1194	QV Solai	PolG	0	0	0	67	180	0	0	67
IPE 100	1192	1194	Neve	PolG	0	0	0	54	180	0	0	54
IPE 100	1192	1194	Neve	PolG	0	0	0	54	180	0	0	54
IPE 100	1192	1194	Carichi termici	Termico	$\Delta XY=15^{\circ}C, \Delta XZ=15^{\circ}C$							
IPE 100	1192	1194	Vento - Y CF<0	PolG	0	0	0	-116	180	0	0	-116
IPE 100	1192	1194	Vento - Y CF<0	PolG	0	0	0	-116	180	0	0	-116
IPE 100	1192	1194	Vento -Y CF>0	PolG	0	0	0	27	180	0	0	27
IPE 100	1192	1194	Vento -Y CF>0	PolG	0	0	0	27	180	0	0	27
IPE 100	1194	1196	Peso Proprio	UnifG	0	0	0	8	180	0	0	8
IPE 100	1194	1196	QFissi Solai	PolG	0	0	0	67	180	0	0	67
IPE 100	1194	1196	QV Solai	PolG	0	0	0	67	180	0	0	67
IPE 100	1194	1196	Neve	PolG	0	0	0	54	180	0	0	54
IPE 100	1194	1196	Neve	PolG	0	0	0	54	180	0	0	54
IPE 100	1194	1196	Carichi termici	Termico	$\Delta XY=15^{\circ}C, \Delta XZ=15^{\circ}C$							
IPE 100	1194	1196	Vento - Y CF<0	PolG	0	0	0	-116	180	0	0	-116
IPE 100	1194	1196	Vento - Y CF<0	PolG	0	0	0	-116	180	0	0	-116
IPE 100	1194	1196	Vento -Y CF>0	PolG	0	0	0	27	180	0	0	27
IPE 100	1194	1196	Vento -Y CF>0	PolG	0	0	0	27	180	0	0	27
IPE 100	1196	1198	Peso Proprio	UnifG	0	0	0	8	178	0	0	8
IPE 100	1196	1198	QFissi Solai	PolG	0	0	0	67	178	0	0	67
IPE 100	1196	1198	QV Solai	PolG	0	0	0	67	178	0	0	67
IPE 100	1196	1198	Neve	PolG	0	0	0	54	178	0	0	54
IPE 100	1196	1198	Neve	PolG	0	0	0	54	178	0	0	54
IPE 100	1196	1198	Carichi termici	Termico	$\Delta XY=15^{\circ}C, \Delta XZ=15^{\circ}C$							
IPE 100	1196	1198	Vento - Y CF<0	PolG	0	0	0	-116	178	0	0	-116
IPE 100	1196	1198	Vento - Y CF<0	PolG	0	0	0	-116	178	0	0	-116
IPE 100	1196	1198	Vento -Y CF>0	PolG	0	0	0	27	178	0	0	27
IPE 100	1196	1198	Vento -Y CF>0	PolG	0	0	0	27	178	0	0	27
IPE 100	1198	1200	Peso Proprio	UnifG	0	0	0	8	178	0	0	8
IPE 100	1198	1200	QFissi Solai	PolG	-0	0	0	67	178	0	0	67
IPE 100	1198	1200	QV Solai	PolG	-0	0	0	67	178	0	0	67
IPE 100	1198	1200	Neve	PolG	0	0	0	54	178	0	0	54
IPE 100	1198	1200	Neve	PolG	0	0	0	54	178	0	0	54
IPE 100	1198	1200	Carichi termici	Termico	$\Delta XY=15^{\circ}C, \Delta XZ=15^{\circ}C$							
IPE 100	1198	1200	Vento - Y CF<0	PolG	0	0	0	-116	178	0	0	-116
IPE 100	1198	1200	Vento - Y CF<0	PolG	0	0	0	-116	178	0	0	-116
IPE 100	1198	1200	Vento -Y CF>0	PolG	0	0	0	27	178	0	0	27

Sezione	Ni	Nf	Cond.	Tipo c.	Xi	QXi	QYi	QZi	Xf	QXf	QYf	QZf
IPE 100	1198	1200	Vento -Y CF>0	PolG	0	0	0	27	178	0	0	27
Trave 29												
UPN 260	1021	1012	Peso Proprio	UnifG	0	0	0	38	134	0	0	38
UPN 260	1021	1012	Carichi termici	Termico	$\Delta XY=15^{\circ}C, \Delta XZ=15^{\circ}C$							
UPN 260	1032	1021	Peso Proprio	UnifG	0	0	0	38	134	0	0	38
UPN 260	1032	1021	Carichi termici	Termico	$\Delta XY=15^{\circ}C, \Delta XZ=15^{\circ}C$							
UPN 260	1038	1079	Peso Proprio	UnifG	0	0	0	38	150	0	0	38
UPN 260	1038	1079	Carichi termici	Termico	$\Delta XY=15^{\circ}C, \Delta XZ=15^{\circ}C$							
UPN 260	1044	1117	Peso Proprio	UnifG	0	0	0	38	134	0	0	38
UPN 260	1044	1117	Carichi termici	Termico	$\Delta XY=15^{\circ}C, \Delta XZ=15^{\circ}C$							
UPN 260	1051	1032	Peso Proprio	UnifG	0	0	0	38	134	0	0	38
UPN 260	1051	1032	Carichi termici	Termico	$\Delta XY=15^{\circ}C, \Delta XZ=15^{\circ}C$							
UPN 260	1079	1051	Peso Proprio	UnifG	0	0	0	38	150	0	0	38
UPN 260	1079	1051	Carichi termici	Termico	$\Delta XY=15^{\circ}C, \Delta XZ=15^{\circ}C$							
UPN 260	1116	1038	Peso Proprio	UnifG	0	0	0	38	150	0	0	38
UPN 260	1116	1038	Carichi termici	Termico	$\Delta XY=15^{\circ}C, \Delta XZ=15^{\circ}C$							
UPN 260	1117	1116	Peso Proprio	UnifG	0	0	0	38	134	0	0	38
UPN 260	1117	1116	Carichi termici	Termico	$\Delta XY=15^{\circ}C, \Delta XZ=15^{\circ}C$							
UPN 260	1163	1044	Peso Proprio	UnifG	0	0	0	38	134	0	0	38
UPN 260	1163	1044	Carichi termici	Termico	$\Delta XY=15^{\circ}C, \Delta XZ=15^{\circ}C$							
Trave 30												
UPN 260	1050	1076	Peso Proprio	UnifG	0	0	0	38	134	0	0	38
UPN 260	1050	1076	Carichi termici	Termico	$\Delta XY=15^{\circ}C, \Delta XZ=15^{\circ}C$							
UPN 260	1076	1077	Peso Proprio	UnifG	0	0	0	38	134	0	0	38
UPN 260	1076	1077	Carichi termici	Termico	$\Delta XY=15^{\circ}C, \Delta XZ=15^{\circ}C$							
UPN 260	1077	1114	Peso Proprio	UnifG	0	0	0	38	134	0	0	38
UPN 260	1077	1114	Carichi termici	Termico	$\Delta XY=15^{\circ}C, \Delta XZ=15^{\circ}C$							
UPN 260	1114	1115	Peso Proprio	UnifG	0	0	0	38	150	0	0	38
UPN 260	1114	1115	Carichi termici	Termico	$\Delta XY=15^{\circ}C, \Delta XZ=15^{\circ}C$							
UPN 260	1115	1142	Peso Proprio	UnifG	0	0	0	38	150	0	0	38
UPN 260	1115	1142	Carichi termici	Termico	$\Delta XY=15^{\circ}C, \Delta XZ=15^{\circ}C$							
UPN 260	1142	1161	Peso Proprio	UnifG	0	0	0	38	150	0	0	38
UPN 260	1142	1161	Carichi termici	Termico	$\Delta XY=15^{\circ}C, \Delta XZ=15^{\circ}C$							
UPN 260	1161	1162	Peso Proprio	UnifG	0	0	0	38	134	0	0	38
UPN 260	1161	1162	Carichi termici	Termico	$\Delta XY=15^{\circ}C, \Delta XZ=15^{\circ}C$							
UPN 260	1162	1200	Peso Proprio	UnifG	0	0	0	38	134	0	0	38
UPN 260	1162	1200	Carichi termici	Termico	$\Delta XY=15^{\circ}C, \Delta XZ=15^{\circ}C$							
UPN 260	1200	1199	Peso Proprio	UnifG	0	0	0	38	134	0	0	38
UPN 260	1200	1199	Carichi termici	Termico	$\Delta XY=15^{\circ}C, \Delta XZ=15^{\circ}C$							
Trave 31												
D20	1012	1014	Peso Proprio	UnifG	0	0	0	0	266	0	0	0
D20	1012	1014	Carichi termici	Termico	$\Delta XY=15^{\circ}C, \Delta XZ=15^{\circ}C$							
Trave 32												
D20	1021	1022	Peso Proprio	UnifG	0	0	0	0	266	0	0	0
D20	1021	1022	Carichi termici	Termico	$\Delta XY=15^{\circ}C, \Delta XZ=15^{\circ}C$							
Trave 33												
D20	1022	1019	Peso Proprio	UnifG	0	0	0	0	225	0	0	0
D20	1022	1019	Carichi termici	Termico	$\Delta XY=15^{\circ}C, \Delta XZ=15^{\circ}C$							
Trave 34												
D20	1019	1016	Peso Proprio	UnifG	0	0	0	0	225	0	0	0
D20	1019	1016	Carichi termici	Termico	$\Delta XY=15^{\circ}C, \Delta XZ=15^{\circ}C$							
Trave 35												
D20	1026	1023	Peso Proprio	UnifG	0	0	0	0	225	0	0	0
D20	1026	1023	Carichi termici	Termico	$\Delta XY=15^{\circ}C, \Delta XZ=15^{\circ}C$							
Trave 36												
D20	1016	1026	Peso Proprio	UnifG	0	0	0	0	225	0	0	0
D20	1016	1026	Carichi termici	Termico	$\Delta XY=15^{\circ}C, \Delta XZ=15^{\circ}C$							
Trave 37												
D20	1030	1031	Peso Proprio	UnifG	0	0	0	0	225	0	0	0
D20	1030	1031	Carichi termici	Termico	$\Delta XY=15^{\circ}C, \Delta XZ=15^{\circ}C$							
Trave 38												
D20	1023	1030	Peso Proprio	UnifG	0	0	0	0	225	0	0	0
D20	1023	1030	Carichi termici	Termico	$\Delta XY=15^{\circ}C, \Delta XZ=15^{\circ}C$							
Trave 39												
D20	1036	1037	Peso Proprio	UnifG	0	0	0	0	225	0	0	0
D20	1036	1037	Carichi termici	Termico	$\Delta XY=15^{\circ}C, \Delta XZ=15^{\circ}C$							

Sezione	Ni	Nf	Cond.	Tipo c.	Xi	QXi	QYi	QZi	Xf	QXf	QYf	QZf
Trave 40												
D20	1031	1036	Peso Proprio	UnifG	0	0	0	0	225	0	0	0
D20	1031	1036	Carichi termici	Termico	$\Delta XY=15^{\circ}C, \Delta XZ=15^{\circ}C$							
Trave 41												
D20	1040	1041	Peso Proprio	UnifG	0	0	0	0	225	0	0	0
D20	1040	1041	Carichi termici	Termico	$\Delta XY=15^{\circ}C, \Delta XZ=15^{\circ}C$							
Trave 42												
D20	1037	1040	Peso Proprio	UnifG	0	0	0	0	225	0	0	0
D20	1037	1040	Carichi termici	Termico	$\Delta XY=15^{\circ}C, \Delta XZ=15^{\circ}C$							
Trave 43												
D20	1063	1044	Peso Proprio	UnifG	0	0	0	0	225	0	0	0
D20	1063	1044	Carichi termici	Termico	$\Delta XY=15^{\circ}C, \Delta XZ=15^{\circ}C$							
Trave 44												
D20	1041	1063	Peso Proprio	UnifG	0	0	0	0	225	0	0	0
D20	1041	1063	Carichi termici	Termico	$\Delta XY=15^{\circ}C, \Delta XZ=15^{\circ}C$							
Trave 45												
D20	1067	1046	Peso Proprio	UnifG	0	0	0	0	225	0	0	0
D20	1067	1046	Carichi termici	Termico	$\Delta XY=15^{\circ}C, \Delta XZ=15^{\circ}C$							
Trave 46												
D20	1044	1067	Peso Proprio	UnifG	0	0	0	0	225	0	0	0
D20	1044	1067	Carichi termici	Termico	$\Delta XY=15^{\circ}C, \Delta XZ=15^{\circ}C$							
Trave 47												
D20	1070	1048	Peso Proprio	UnifG	0	0	0	0	225	0	0	0
D20	1070	1048	Carichi termici	Termico	$\Delta XY=15^{\circ}C, \Delta XZ=15^{\circ}C$							
Trave 48												
D20	1046	1070	Peso Proprio	UnifG	0	0	0	0	225	0	0	0
D20	1046	1070	Carichi termici	Termico	$\Delta XY=15^{\circ}C, \Delta XZ=15^{\circ}C$							
Trave 49												
D20	1075	1050	Peso Proprio	UnifG	0	0	0	0	223	0	0	0
D20	1075	1050	Carichi termici	Termico	$\Delta XY=15^{\circ}C, \Delta XZ=15^{\circ}C$							
Trave 50												
D20	1048	1075	Peso Proprio	UnifG	0	0	0	0	223	0	0	0
D20	1048	1075	Carichi termici	Termico	$\Delta XY=15^{\circ}C, \Delta XZ=15^{\circ}C$							
D20	1075	1077	Peso Proprio	UnifG	0	0	0	0	223	0	0	0
D20	1075	1077	Carichi termici	Termico	$\Delta XY=15^{\circ}C, \Delta XZ=15^{\circ}C$							
Trave 51												
D20	1044	1164	Peso Proprio	UnifG	0	0	0	0	266	0	0	0
D20	1044	1164	Carichi termici	Termico	$\Delta XY=15^{\circ}C, \Delta XZ=15^{\circ}C$							
Trave 52												
D20	1164	1166	Peso Proprio	UnifG	0	0	0	0	225	0	0	0
D20	1164	1166	Carichi termici	Termico	$\Delta XY=15^{\circ}C, \Delta XZ=15^{\circ}C$							
Trave 53												
D20	1166	1167	Peso Proprio	UnifG	0	0	0	0	225	0	0	0
D20	1166	1167	Carichi termici	Termico	$\Delta XY=15^{\circ}C, \Delta XZ=15^{\circ}C$							
Trave 54												
D20	1170	1171	Peso Proprio	UnifG	0	0	0	0	225	0	0	0
D20	1170	1171	Carichi termici	Termico	$\Delta XY=15^{\circ}C, \Delta XZ=15^{\circ}C$							
Trave 55												
D20	1167	1170	Peso Proprio	UnifG	0	0	0	0	225	0	0	0
D20	1167	1170	Carichi termici	Termico	$\Delta XY=15^{\circ}C, \Delta XZ=15^{\circ}C$							
Trave 56												
D20	1174	1175	Peso Proprio	UnifG	0	0	0	0	225	0	0	0
D20	1174	1175	Carichi termici	Termico	$\Delta XY=15^{\circ}C, \Delta XZ=15^{\circ}C$							
Trave 57												
D20	1171	1174	Peso Proprio	UnifG	0	0	0	0	225	0	0	0
D20	1171	1174	Carichi termici	Termico	$\Delta XY=15^{\circ}C, \Delta XZ=15^{\circ}C$							
Trave 58												
D20	1178	1179	Peso Proprio	UnifG	0	0	0	0	225	0	0	0
D20	1178	1179	Carichi termici	Termico	$\Delta XY=15^{\circ}C, \Delta XZ=15^{\circ}C$							
Trave 59												
D20	1175	1178	Peso Proprio	UnifG	0	0	0	0	225	0	0	0
D20	1175	1178	Carichi termici	Termico	$\Delta XY=15^{\circ}C, \Delta XZ=15^{\circ}C$							
Trave 60												
D20	1182	1183	Peso Proprio	UnifG	0	0	0	0	225	0	0	0
D20	1182	1183	Carichi termici	Termico	$\Delta XY=15^{\circ}C, \Delta XZ=15^{\circ}C$							
Trave 61												

Sezione	Ni	Nf	Cond.	Tipo c.	Xi	QXi	QYi	QZi	Xf	QXf	QYf	QZf
D20	1179	1182	Peso Proprio	UnifG	0	0	0	0	225	0	0	0
D20	1179	1182	Carichi termici	Termico	$\Delta XY=15^{\circ}C, \Delta XZ=15^{\circ}C$							
Trave 62												
D20	1051	1188	Peso Proprio	UnifG	0	0	0	0	225	0	0	0
D20	1051	1188	Carichi termici	Termico	$\Delta XY=15^{\circ}C, \Delta XZ=15^{\circ}C$							
Trave 63												
D20	1183	1051	Peso Proprio	UnifG	0	0	0	0	225	0	0	0
D20	1183	1051	Carichi termici	Termico	$\Delta XY=15^{\circ}C, \Delta XZ=15^{\circ}C$							
Trave 64												
D20	1052	1191	Peso Proprio	UnifG	0	0	0	0	225	0	0	0
D20	1052	1191	Carichi termici	Termico	$\Delta XY=15^{\circ}C, \Delta XZ=15^{\circ}C$							
Trave 65												
D20	1188	1052	Peso Proprio	UnifG	0	0	0	0	225	0	0	0
D20	1188	1052	Carichi termici	Termico	$\Delta XY=15^{\circ}C, \Delta XZ=15^{\circ}C$							
Trave 66												
D20	1194	1195	Peso Proprio	UnifG	0	0	0	0	225	0	0	0
D20	1194	1195	Carichi termici	Termico	$\Delta XY=15^{\circ}C, \Delta XZ=15^{\circ}C$							
Trave 67												
D20	1191	1194	Peso Proprio	UnifG	0	0	0	0	225	0	0	0
D20	1191	1194	Carichi termici	Termico	$\Delta XY=15^{\circ}C, \Delta XZ=15^{\circ}C$							
Trave 68												
D20	1198	1199	Peso Proprio	UnifG	0	0	0	0	223	0	0	0
D20	1198	1199	Carichi termici	Termico	$\Delta XY=15^{\circ}C, \Delta XZ=15^{\circ}C$							
Trave 69												
D20	1195	1198	Peso Proprio	UnifG	0	0	0	0	223	0	0	0
D20	1195	1198	Carichi termici	Termico	$\Delta XY=15^{\circ}C, \Delta XZ=15^{\circ}C$							
D20	1198	1162	Peso Proprio	UnifG	0	0	0	0	223	0	0	0
D20	1198	1162	Carichi termici	Termico	$\Delta XY=15^{\circ}C, \Delta XZ=15^{\circ}C$							
Trave 70												
D20	1163	1045	Peso Proprio	UnifG	0	0	0	0	266	0	0	0
D20	1163	1045	Carichi termici	Termico	$\Delta XY=15^{\circ}C, \Delta XZ=15^{\circ}C$							
Trave 71												
D20	1014	1032	Peso Proprio	UnifG	0	0	0	0	266	0	0	0
D20	1014	1032	Carichi termici	Termico	$\Delta XY=15^{\circ}C, \Delta XZ=15^{\circ}C$							
Trave 72												
D20	1018	1051	Peso Proprio	UnifG	0	0	0	0	266	0	0	0
D20	1018	1051	Carichi termici	Termico	$\Delta XY=15^{\circ}C, \Delta XZ=15^{\circ}C$							
Trave 73												
D20	1001	1079	Peso Proprio	UnifG	0	0	0	0	275	0	0	0
D20	1001	1079	Carichi termici	Termico	$\Delta XY=15^{\circ}C, \Delta XZ=15^{\circ}C$							
Trave 74												
D20	1081	1038	Peso Proprio	UnifG	0	0	0	0	275	0	0	0
D20	1081	1038	Carichi termici	Termico	$\Delta XY=15^{\circ}C, \Delta XZ=15^{\circ}C$							
Trave 75												
D20	1080	1083	Peso Proprio	UnifG	0	0	0	0	234	0	0	0
D20	1080	1116	Peso Proprio	UnifG	0	0	0	0	275	0	0	0
D20	1080	1083	Carichi termici	Termico	$\Delta XY=15^{\circ}C, \Delta XZ=15^{\circ}C$							
D20	1080	1116	Carichi termici	Termico	$\Delta XY=15^{\circ}C, \Delta XZ=15^{\circ}C$							
Trave 76												
D20	1011	1117	Peso Proprio	UnifG	0	0	0	0	266	0	0	0
D20	1011	1117	Carichi termici	Termico	$\Delta XY=15^{\circ}C, \Delta XZ=15^{\circ}C$							
Trave 77												
D20	1118	1044	Peso Proprio	UnifG	0	0	0	0	266	0	0	0
D20	1118	1044	Carichi termici	Termico	$\Delta XY=15^{\circ}C, \Delta XZ=15^{\circ}C$							
Trave 78												
D20	1021	1018	Peso Proprio	UnifG	0	0	0	0	266	0	0	0
D20	1021	1018	Carichi termici	Termico	$\Delta XY=15^{\circ}C, \Delta XZ=15^{\circ}C$							
Trave 79												
D20	1032	1001	Peso Proprio	UnifG	0	0	0	0	266	0	0	0
D20	1032	1001	Carichi termici	Termico	$\Delta XY=15^{\circ}C, \Delta XZ=15^{\circ}C$							
Trave 80												
D20	1051	1081	Peso Proprio	UnifG	0	0	0	0	275	0	0	0
D20	1051	1081	Carichi termici	Termico	$\Delta XY=15^{\circ}C, \Delta XZ=15^{\circ}C$							
D20	1081	1039	Peso Proprio	UnifG	0	0	0	0	234	0	0	0
D20	1081	1039	Carichi termici	Termico	$\Delta XY=15^{\circ}C, \Delta XZ=15^{\circ}C$							
Trave 81												

Sezione	Ni	Nf	Cond.	Tipo c.	Xi	QXi	QYi	QZi	Xf	QXf	QYf	QZf
D20	1079	1080	Peso Proprio	UnifG	0	0	0	0	275	0	0	0
D20	1079	1080	Carichi termici	Termico	$\Delta XY=15^{\circ}C, \Delta XZ=15^{\circ}C$							
Trave 82												
D20	1038	1011	Peso Proprio	UnifG	0	0	0	0	275	0	0	0
D20	1038	1011	Carichi termici	Termico	$\Delta XY=15^{\circ}C, \Delta XZ=15^{\circ}C$							
Trave 83												
D20	1116	1118	Peso Proprio	UnifG	0	0	0	0	266	0	0	0
D20	1116	1118	Carichi termici	Termico	$\Delta XY=15^{\circ}C, \Delta XZ=15^{\circ}C$							
Trave 84												
D20	1117	1045	Peso Proprio	UnifG	0	0	0	0	266	0	0	0
D20	1117	1045	Carichi termici	Termico	$\Delta XY=15^{\circ}C, \Delta XZ=15^{\circ}C$							
Trave 85												
D20	1037	1114	Peso Proprio	UnifG	0	0	0	0	223	0	0	0
D20	1037	1114	Carichi termici	Termico	$\Delta XY=15^{\circ}C, \Delta XZ=15^{\circ}C$							
Trave 86												
D20	1113	1115	Peso Proprio	UnifG	0	0	0	0	232	0	0	0
D20	1113	1115	Carichi termici	Termico	$\Delta XY=15^{\circ}C, \Delta XZ=15^{\circ}C$							
Trave 87												
D20	1112	1142	Peso Proprio	UnifG	0	0	0	0	232	0	0	0
D20	1112	1142	Carichi termici	Termico	$\Delta XY=15^{\circ}C, \Delta XZ=15^{\circ}C$							
Trave 88												
D20	1043	1161	Peso Proprio	UnifG	0	0	0	0	232	0	0	0
D20	1043	1161	Carichi termici	Termico	$\Delta XY=15^{\circ}C, \Delta XZ=15^{\circ}C$							
D20	1111	1043	Peso Proprio	UnifG	0	0	0	0	232	0	0	0
D20	1111	1043	Carichi termici	Termico	$\Delta XY=15^{\circ}C, \Delta XZ=15^{\circ}C$							
Trave 89												
D20	1160	1162	Peso Proprio	UnifG	0	0	0	0	223	0	0	0
D20	1160	1162	Carichi termici	Termico	$\Delta XY=15^{\circ}C, \Delta XZ=15^{\circ}C$							
Trave 90												
D20	1159	1200	Peso Proprio	UnifG	0	0	0	0	223	0	0	0
D20	1159	1200	Carichi termici	Termico	$\Delta XY=15^{\circ}C, \Delta XZ=15^{\circ}C$							
Trave 91												
D20	1054	1200	Peso Proprio	UnifG	0	0	0	0	223	0	0	0
D20	1054	1200	Carichi termici	Termico	$\Delta XY=15^{\circ}C, \Delta XZ=15^{\circ}C$							
Trave 92												
D20	1159	1161	Peso Proprio	UnifG	0	0	0	0	223	0	0	0
D20	1159	1161	Carichi termici	Termico	$\Delta XY=15^{\circ}C, \Delta XZ=15^{\circ}C$							
Trave 93												
D20	1160	1142	Peso Proprio	UnifG	0	0	0	0	232	0	0	0
D20	1160	1142	Carichi termici	Termico	$\Delta XY=15^{\circ}C, \Delta XZ=15^{\circ}C$							
Trave 94												
D20	1043	1115	Peso Proprio	UnifG	0	0	0	0	232	0	0	0
D20	1043	1115	Carichi termici	Termico	$\Delta XY=15^{\circ}C, \Delta XZ=15^{\circ}C$							
Trave 95												
D20	1112	1114	Peso Proprio	UnifG	0	0	0	0	232	0	0	0
D20	1112	1114	Carichi termici	Termico	$\Delta XY=15^{\circ}C, \Delta XZ=15^{\circ}C$							
D20	1140	1112	Peso Proprio	UnifG	0	0	0	0	232	0	0	0
D20	1140	1112	Carichi termici	Termico	$\Delta XY=15^{\circ}C, \Delta XZ=15^{\circ}C$							
Trave 96												
D20	1113	1077	Peso Proprio	UnifG	0	0	0	0	223	0	0	0
D20	1113	1077	Carichi termici	Termico	$\Delta XY=15^{\circ}C, \Delta XZ=15^{\circ}C$							
Trave 97												
D20	1037	1076	Peso Proprio	UnifG	0	0	0	0	223	0	0	0
D20	1037	1076	Carichi termici	Termico	$\Delta XY=15^{\circ}C, \Delta XZ=15^{\circ}C$							
Trave 98												
D20	1031	1076	Peso Proprio	UnifG	0	0	0	0	223	0	0	0
D20	1031	1076	Carichi termici	Termico	$\Delta XY=15^{\circ}C, \Delta XZ=15^{\circ}C$							
Trave 99												
D20	1083	1085	Peso Proprio	UnifG	0	0	0	0	234	0	0	0
D20	1083	1085	Carichi termici	Termico	$\Delta XY=15^{\circ}C, \Delta XZ=15^{\circ}C$							
Trave 100												
D20	1039	1084	Peso Proprio	UnifG	0	0	0	0	234	0	0	0
D20	1039	1084	Carichi termici	Termico	$\Delta XY=15^{\circ}C, \Delta XZ=15^{\circ}C$							
Trave 101												
D20	1084	1086	Peso Proprio	UnifG	0	0	0	0	234	0	0	0
D20	1084	1086	Carichi termici	Termico	$\Delta XY=15^{\circ}C, \Delta XZ=15^{\circ}C$							

Sezione	Ni	Nf	Cond.	Tipo c.	Xi	QXi	QYi	QZi	Xf	QXf	QYf	QZf
Trave 102												
D20	1085	1087	Peso Proprio	UnifG	0	0	0	0	234	0	0	0
D20	1085	1087	Carichi termici	Termico	$\Delta XY=15^{\circ}C, \Delta XZ=15^{\circ}C$							
Trave 103												
D20	1087	1088	Peso Proprio	UnifG	0	0	0	0	234	0	0	0
D20	1087	1088	Carichi termici	Termico	$\Delta XY=15^{\circ}C, \Delta XZ=15^{\circ}C$							
Trave 104												
D20	1086	1089	Peso Proprio	UnifG	0	0	0	0	234	0	0	0
D20	1086	1089	Carichi termici	Termico	$\Delta XY=15^{\circ}C, \Delta XZ=15^{\circ}C$							
Trave 105												
D20	1089	1040	Peso Proprio	UnifG	0	0	0	0	234	0	0	0
D20	1089	1040	Carichi termici	Termico	$\Delta XY=15^{\circ}C, \Delta XZ=15^{\circ}C$							
Trave 106												
D20	1088	1091	Peso Proprio	UnifG	0	0	0	0	234	0	0	0
D20	1088	1091	Carichi termici	Termico	$\Delta XY=15^{\circ}C, \Delta XZ=15^{\circ}C$							
Trave 107												
D20	1091	1093	Peso Proprio	UnifG	0	0	0	0	234	0	0	0
D20	1091	1093	Carichi termici	Termico	$\Delta XY=15^{\circ}C, \Delta XZ=15^{\circ}C$							
Trave 108												
D20	1040	1092	Peso Proprio	UnifG	0	0	0	0	234	0	0	0
D20	1040	1092	Carichi termici	Termico	$\Delta XY=15^{\circ}C, \Delta XZ=15^{\circ}C$							
Trave 109												
D20	1092	1094	Peso Proprio	UnifG	0	0	0	0	234	0	0	0
D20	1092	1094	Carichi termici	Termico	$\Delta XY=15^{\circ}C, \Delta XZ=15^{\circ}C$							
Trave 110												
D20	1093	1095	Peso Proprio	UnifG	0	0	0	0	234	0	0	0
D20	1093	1095	Carichi termici	Termico	$\Delta XY=15^{\circ}C, \Delta XZ=15^{\circ}C$							
Trave 111												
D20	1095	1096	Peso Proprio	UnifG	0	0	0	0	234	0	0	0
D20	1095	1096	Carichi termici	Termico	$\Delta XY=15^{\circ}C, \Delta XZ=15^{\circ}C$							
Trave 112												
D20	1094	1097	Peso Proprio	UnifG	0	0	0	0	234	0	0	0
D20	1094	1097	Carichi termici	Termico	$\Delta XY=15^{\circ}C, \Delta XZ=15^{\circ}C$							
Trave 113												
D20	1097	1041	Peso Proprio	UnifG	0	0	0	0	234	0	0	0
D20	1097	1041	Carichi termici	Termico	$\Delta XY=15^{\circ}C, \Delta XZ=15^{\circ}C$							
Trave 114												
D20	1096	1098	Peso Proprio	UnifG	0	0	0	0	234	0	0	0
D20	1096	1098	Carichi termici	Termico	$\Delta XY=15^{\circ}C, \Delta XZ=15^{\circ}C$							
Trave 115												
D20	1098	1133	Peso Proprio	UnifG	0	0	0	0	234	0	0	0
D20	1098	1133	Carichi termici	Termico	$\Delta XY=15^{\circ}C, \Delta XZ=15^{\circ}C$							
Trave 116												
D20	1041	1100	Peso Proprio	UnifG	0	0	0	0	234	0	0	0
D20	1041	1100	Carichi termici	Termico	$\Delta XY=15^{\circ}C, \Delta XZ=15^{\circ}C$							
Trave 117												
D20	1100	1135	Peso Proprio	UnifG	0	0	0	0	234	0	0	0
D20	1100	1135	Carichi termici	Termico	$\Delta XY=15^{\circ}C, \Delta XZ=15^{\circ}C$							
Trave 118												
D20	1133	1102	Peso Proprio	UnifG	0	0	0	0	234	0	0	0
D20	1133	1102	Carichi termici	Termico	$\Delta XY=15^{\circ}C, \Delta XZ=15^{\circ}C$							
Trave 119												
D20	1102	1136	Peso Proprio	UnifG	0	0	0	0	234	0	0	0
D20	1102	1136	Carichi termici	Termico	$\Delta XY=15^{\circ}C, \Delta XZ=15^{\circ}C$							
Trave 120												
D20	1135	1104	Peso Proprio	UnifG	0	0	0	0	234	0	0	0
D20	1135	1104	Carichi termici	Termico	$\Delta XY=15^{\circ}C, \Delta XZ=15^{\circ}C$							
Trave 121												
D20	1104	1042	Peso Proprio	UnifG	0	0	0	0	234	0	0	0
D20	1104	1042	Carichi termici	Termico	$\Delta XY=15^{\circ}C, \Delta XZ=15^{\circ}C$							
Trave 122												
D20	1136	1105	Peso Proprio	UnifG	0	0	0	0	234	0	0	0
D20	1136	1105	Carichi termici	Termico	$\Delta XY=15^{\circ}C, \Delta XZ=15^{\circ}C$							
Trave 123												
D20	1105	1138	Peso Proprio	UnifG	0	0	0	0	234	0	0	0
D20	1105	1138	Carichi termici	Termico	$\Delta XY=15^{\circ}C, \Delta XZ=15^{\circ}C$							

Sezione	Ni	Nf	Cond.	Tipo c.	Xi	QXi	QYi	QZi	Xf	QXf	QYf	QZf
Trave 124												
D20	1042	1108	Peso Proprio	UnifG	0	0	0	0	234	0	0	0
D20	1042	1108	Carichi termici	Termico	$\Delta XY=15^{\circ}C, \Delta XZ=15^{\circ}C$							
Trave 125												
D20	1108	1139	Peso Proprio	UnifG	0	0	0	0	234	0	0	0
D20	1108	1139	Carichi termici	Termico	$\Delta XY=15^{\circ}C, \Delta XZ=15^{\circ}C$							
Trave 126												
D20	1138	1109	Peso Proprio	UnifG	0	0	0	0	234	0	0	0
D20	1138	1109	Carichi termici	Termico	$\Delta XY=15^{\circ}C, \Delta XZ=15^{\circ}C$							
Trave 127												
D20	1109	1140	Peso Proprio	UnifG	0	0	0	0	234	0	0	0
D20	1109	1140	Carichi termici	Termico	$\Delta XY=15^{\circ}C, \Delta XZ=15^{\circ}C$							
Trave 128												
D20	1139	1111	Peso Proprio	UnifG	0	0	0	0	234	0	0	0
D20	1139	1111	Carichi termici	Termico	$\Delta XY=15^{\circ}C, \Delta XZ=15^{\circ}C$							
Trave 133												
30x40	11	13	Peso Proprio	UnifG	0	0	0	300	720	0	0	300
30x40	13	15	Peso Proprio	UnifG	0	0	0	300	720	0	0	300
30x40	15	18	Peso Proprio	UnifG	0	0	0	300	720	0	0	300
30x40	18	19	Peso Proprio	UnifG	0	0	0	300	720	0	0	300
Trave 134												
30x40	3	13	Peso Proprio	UnifG	0	0	0	300	450	0	0	300
30x40	13	47	Peso Proprio	UnifG	0	0	0	300	390	0	0	300
Trave 135												
30x40	5	15	Peso Proprio	UnifG	0	0	0	300	450	0	0	300
30x40	15	49	Peso Proprio	UnifG	0	0	0	300	390	0	0	300
Trave 136												
30x40	8	18	Peso Proprio	UnifG	0	0	0	300	450	0	0	300
30x40	18	51	Peso Proprio	UnifG	0	0	0	300	390	0	0	300
Fondazione 129												
30x120	45	47	Peso Proprio	UnifG	0	0	0	900	720	0	0	900
30x120	47	49	Peso Proprio	UnifG	0	0	0	900	720	0	0	900
30x120	49	51	Peso Proprio	UnifG	0	0	0	900	720	0	0	900
30x120	51	53	Peso Proprio	UnifG	0	0	0	900	720	0	0	900
Fondazione 130												
30x120	1	11	Peso Proprio	UnifG	0	0	0	900	450	0	0	900
30x120	11	45	Peso Proprio	UnifG	0	0	0	900	390	0	0	900
Fondazione 131												
30x120	1	3	Peso Proprio	UnifG	0	0	0	900	720	0	0	900
30x120	3	5	Peso Proprio	UnifG	0	0	0	900	720	0	0	900
30x120	5	8	Peso Proprio	UnifG	0	0	0	900	720	0	0	900
30x120	8	9	Peso Proprio	UnifG	0	0	0	900	720	0	0	900
Fondazione 132												
30x120	9	19	Peso Proprio	UnifG	0	0	0	900	450	0	0	900
30x120	19	53	Peso Proprio	UnifG	0	0	0	900	390	0	0	900

Tabella solai tipo

Sol.N°	Descrizione	Spessore	QP	QF	QVar.	ψ_0	ψ_1	ψ_2	Luce netta	Def	%QX	%QY
		cm	kg/mq	kg/mq	kg/mq							
1	Coperture Acciaio	10	0	50	50	0.00	0.00	0.00	No	Si	100	0

Plinti - Geometria e vincoli

N.	Nodo	X	Y	Z	Tipo	Materiale	Criterio	f.f.	F.Rig.Ass	F.Rig.Rot
		mm	mm	mm						
1	1	0	0	-800	225x225	C25/30	CLS_Plinti	55	1.000	1.000
3	3	7200	0	-800	225x225	C25/30	CLS_Plinti	55	1.000	1.000
5	5	14400	0	-800	225x225	C25/30	CLS_Plinti	55	1.000	1.000
7	8	21600	0	-800	225x225	C25/30	CLS_Plinti	55	1.000	1.000
9	9	28800	0	-800	225x225	C25/30	CLS_Plinti	55	1.000	1.000
11	11	0	4500	-800	225x225	C25/30	CLS_Plinti	55	1.000	1.000
13	13	7200	4500	-800	225x225	C25/30	CLS_Plinti	55	1.000	1.000
15	15	14400	4500	-800	225x225	C25/30	CLS_Plinti	55	1.000	1.000
17	18	21600	4500	-800	225x225	C25/30	CLS_Plinti	55	1.000	1.000
19	19	28800	4500	-800	225x225	C25/30	CLS_Plinti	55	1.000	1.000

5. Tabulati di verifica

L'esito di ogni elaborazione viene sintetizzato nei disegni e schemi grafici allegati, che evidenziano i valori numerici nei punti e/o nelle sezioni significative, ai fini della valutazione del comportamento complessivo della struttura, e quelli necessari ai fini delle verifiche di misura della sicurezza.

Di seguito si riportano le tabelle relative a:

- Baricentri rigidezze e masse
- Forze sismiche e masse
- Taglianti di piano
- Spostamenti Relativi dei nodi (SLD)
- Fattori di partecipazione e masse modali
- Massime sollecitazioni travi
- Massime sollecitazioni pilastri

Centri di rigidezza e Centri di massa

Scenario di calcolo: **Set_SLV_SLD**

Scenario Sisma Verticale: **Set_SLV_SLD-Verticale**

Centri rigidezze

Piano	Kx	Ky	Kxy	K ϕ	X	Y	r ² /I _s ² >=1
	kg/cm	kg/cm	kg/cm	kg*cm/rad	cm	cm	
1	8.576513E03	1.900318E04	1.023206E00	2.011026E10	1442	229	0.935

Ellissi delle rigidezze

Piano	K ξ	K η	alfa	r ξ	r η
	kg/cm	kg/cm	°	cm	cm
1	8.576513E03	1.900318E04	0	1029	1531

Baricentri masse per posizione masse

Piano	Pos.Masse	X	Y	Peso Sism.
		cm	cm	kg
0	1	0	0	0
0	2	0	0	0
0	3	0	0	0
0	4	0	0	0
1	1	1508	162	51978
1	2	1681	225	51978
1	3	1508	288	51978
1	4	1335	225	51978

Risultati Analisi Dinamica - Baricentri masse e masse

Scenario di calcolo: **Set_SLV_SLD**

Scenario Sisma Verticale: **Set_SLV_SLD-Verticale**

Piano	Rigido	Massa	X	Y	Z
		kg	cm	cm	cm
0	No	0	0	0	0
1	No	51978	1508	162	505

Piano	Rigido	Massa	X	Y	Z
		kg	cm	cm	cm
0	No	0	0	0	0
1	No	51978	1681	225	505

Piano	Rigido	Massa	X	Y	Z
		kg	cm	cm	cm
0	No	0	0	0	0
1	No	51978	1508	288	505

Piano	Rigido	Massa kg	X cm	Y cm	Z cm
0	No	0	0	0	0
1	No	51978	1335	225	505

Taglianti di piano

Scenario di calcolo: **Set_SLV_SLD**

Scenario Sisma Verticale: **Set_SLV_SLD-Verticale**

I taglianti sono dati per combinazioni di calcolo C-S-Pm con C=Combinazione(1,2,...) S=Sisma(I,II) Pm=posizione masse(1,2,...). Le azioni, complessive, sono riferite al sistema di riferimento globale.

$\Theta = Fz \cdot dr / (Fh \cdot H)$ con:

Fz Forza verticale

dr Spostamento medio del piano rispetto al piano inferiore

Fh Tagliante

H Altezza del piano

dx spostamento medio di piano in direzione X

dy spostamento medio di piano in direzione Y

dr $((dxs-dxi)^2 + (dys-dyi)^2)^{0.5}$ s=impalcato superiore i=impalcato inferiore

Nel caso di combinazioni sismiche l'aliquota dovuta al sisma di dx e dy è valutata secondo le indicazioni in 7.3.3, moltiplicando lo spostamento per μd

Combinazione: 18-I-1 (SISMAX_SLV)

Piano	Fx kg	Fy kg	Fz kg	dx mm	dy mm	Θ
0	-8190	-41	54412	0.00	0.00	--
1	8190	41	-49720	0.12	0.00	0.000139

Piano	FxPil/Isol. kg	FyPil/Isol. kg	FxPar kg	FyPar kg	FxShell kg	FyShell kg	FxTot kg	FyTot kg
0	-8190	-41	0	0	0	0	-8190	-41
1	8190	41	0	0	0	0	8190	41

Percentuali assorbite in direzione X

Piano	%Pil/Isol. FX	%Par. FX	%Shell. FX
0	100.00	0.00	0.00
1	100.00	0.00	0.00

Percentuali assorbite in direzione Y

Piano	%Pil/Isol. FY	%Par. FY	%Shell. FY
0	100.00	0.00	0.00
1	100.00	0.00	0.00

Combinazione: 18-I-2 (SISMAX_SLV)

Piano	Fx kg	Fy kg	Fz kg	dx mm	dy mm	Θ
0	-8220	-1	54450	0.00	0.00	--
1	8220	1	-49758	0.12	0.00	0.000139

Piano	FxPil/Isol. kg	FyPil/Isol. kg	FxPar kg	FyPar kg	FxShell kg	FyShell kg	FxTot kg	FyTot kg
0	-8220	-1	0	0	0	0	-8220	-1
1	8220	1	0	0	0	0	8220	1

Percentuali assorbite in direzione X

Piano	%Pil/Isol. FX	%Par. FX	%Shell. FX
0	100.00	0.00	0.00
1	100.00	0.00	0.00

Percentuali assorbite in direzione Y

Piano	%Pil/Isol. FY	%Par. FY	%Shell. FY
0	--	--	--
1	--	--	--

Combinazione: 18-I-3 (SISMAX_SLV)

Piano	Fx	Fy	Fz	dx	dy	Θ
	kg	kg	kg	mm	mm	
0	-8197	41	54414	0.00	0.00	--
1	8197	-41	-49721	0.12	0.00	0.000139

Piano	FxPil/Isol.	FyPil/Isol.	FxPar	FyPar	FxShell	FyShell	FxTot	FyTot
	kg	kg	kg	kg	kg	kg	kg	kg
0	-8197	41	0	0	0	0	-8197	41
1	8197	-41	0	0	0	0	8197	-41

Percentuali assorbite in direzione X

Piano	%Pil/Isol. FX	%Par. FX	%Shell. FX
0	100.00	0.00	0.00
1	100.00	0.00	0.00

Percentuali assorbite in direzione Y

Piano	%Pil/Isol. FY	%Par. FY	%Shell. FY
0	100.00	0.00	0.00
1	100.00	0.00	0.00

Combinazione: 18-I-4 (SISMAX_SLV)

Piano	Fx	Fy	Fz	dx	dy	Θ
	kg	kg	kg	mm	mm	
0	-8238	3	54376	0.00	0.00	--
1	8238	-3	-49683	0.12	0.00	0.000139

Piano	FxPil/Isol.	FyPil/Isol.	FxPar	FyPar	FxShell	FyShell	FxTot	FyTot
	kg	kg	kg	kg	kg	kg	kg	kg
0	-8238	3	0	0	0	0	-8238	3
1	8238	-3	0	0	0	0	8238	-3

Percentuali assorbite in direzione X

Piano	%Pil/Isol. FX	%Par. FX	%Shell. FX
0	100.00	0.00	0.00
1	100.00	0.00	0.00

Percentuali assorbite in direzione Y

Piano	%Pil/Isol. FY	%Par. FY	%Shell. FY
0	--	--	--
1	--	--	--

Combinazione: 19-I-1 (SISMAY_SLV)

Piano	Fx	Fy	Fz	dx	dy	Θ
	kg	kg	kg	mm	mm	
0	257	-8029	53997	0.00	0.00	--
1	-257	8029	-49304	-0.00	0.05	0.000057

Piano	FxPil/Isol.	FyPil/Isol.	FxPar	FyPar	FxShell	FyShell	FxTot	FyTot
	kg	kg	kg	kg	kg	kg	kg	kg
0	257	-8029	0	0	0	0	257	-8029
1	-257	8029	0	0	0	0	-257	8029

Percentuali assorbite in direzione X

Piano	%Pil/Isol. FX	%Par. FX	%Shell. FX
0	100.00	0.00	0.00
1	100.00	0.00	0.00

Percentuali assorbite in direzione Y

Piano	%Pil/Isol. FY	%Par. FY	%Shell. FY
0	100.00	0.00	0.00
1	100.00	0.00	0.00

Combinazione: 19-I-2 (SISMAY_SLV)

Piano	Fx kg	Fy kg	Fz kg	dx mm	dy mm	ϑ
0	18	-7994	54324	0.00	0.00	--
1	-18	7994	-49631	0.00	0.05	0.000057

Piano	FxPil/Isol. kg	FyPil/Isol. kg	FxPar kg	FyPar kg	FxShell kg	FyShell kg	FxTot kg	FyTot kg
0	18	-7994	0	0	0	0	18	-7994
1	-18	7994	0	0	0	0	-18	7994

Percentuali assorbite in direzione X

Piano	%Pil/Isol. FX	%Par. FX	%Shell. FX
0	100.00	0.00	0.00
1	100.00	0.00	0.00

Percentuali assorbite in direzione Y

Piano	%Pil/Isol. FY	%Par. FY	%Shell. FY
0	100.00	0.00	0.00
1	100.00	0.00	0.00

Combinazione: 19-I-3 (SISMAY_SLV)

Piano	Fx kg	Fy kg	Fz kg	dx mm	dy mm	ϑ
0	-245	-8033	54664	0.00	0.00	--
1	245	8033	-49972	0.01	0.05	0.000058

Piano	FxPil/Isol. kg	FyPil/Isol. kg	FxPar kg	FyPar kg	FxShell kg	FyShell kg	FxTot kg	FyTot kg
0	-245	-8033	0	0	0	0	-245	-8033
1	245	8033	0	0	0	0	245	8033

Percentuali assorbite in direzione X

Piano	%Pil/Isol. FX	%Par. FX	%Shell. FX
0	100.00	0.00	0.00
1	100.00	0.00	0.00

Percentuali assorbite in direzione Y

Piano	%Pil/Isol. FY	%Par. FY	%Shell. FY
0	100.00	0.00	0.00
1	100.00	0.00	0.00

Combinazione: 19-I-4 (SISMAY_SLV)

Piano	Fx kg	Fy kg	Fz kg	dx mm	dy mm	ϑ
0	-9	-8024	54331	0.00	0.00	--
1	9	8024	-49639	0.00	0.05	0.000057

Piano	FxPil/Isol. kg	FyPil/Isol. kg	FxPar kg	FyPar kg	FxShell kg	FyShell kg	FxTot kg	FyTot kg
0	-9	-8024	0	0	0	0	-9	-8024
1	9	8024	0	0	0	0	9	8024

Percentuali assorbite in direzione X

Piano	%Pil/Isol. FX	%Par. FX	%Shell. FX
0	--	--	--
1	--	--	--

Percentuali assorbite in direzione Y

Piano	%Pil/Isol. FY	%Par. FY	%Shell. FY
0	100.00	0.00	0.00
1	100.00	0.00	0.00

Combinazione: 40-I-1 (SISMAX_SLD)

Piano	Fx	Fy	Fz	dx	dy	ϑ
	kg	kg	kg	mm	mm	
0	-2682	42	54356	0.00	0.00	--
1	2682	-42	-49663	0.04	0.00	0.000145

Piano	FxPil/Isol.	FyPil/Isol.	FxPar	FyPar	FxShell	FyShell	FxTot	FyTot
	kg	kg	kg	kg	kg	kg	kg	kg
0	-2682	42	0	0	0	0	-2682	42
1	2682	-42	0	0	0	0	2682	-42

Percentuali assorbite in direzione X

Piano	%Pil/Isol. FX	%Par. FX	%Shell. FX
0	100.00	0.00	0.00
1	100.00	0.00	0.00

Percentuali assorbite in direzione Y

Piano	%Pil/Isol. FY	%Par. FY	%Shell. FY
0	100.00	0.00	0.00
1	100.00	0.00	0.00

Combinazione: 40-I-2 (SISMAX_SLD)

Piano	Fx	Fy	Fz	dx	dy	ϑ
	kg	kg	kg	mm	mm	
0	-2704	-19	54369	0.00	0.00	--
1	2704	19	-49676	0.04	0.00	0.000145

Piano	FxPil/Isol.	FyPil/Isol.	FxPar	FyPar	FxShell	FyShell	FxTot	FyTot
	kg	kg	kg	kg	kg	kg	kg	kg
0	-2704	-19	0	0	0	0	-2704	-19
1	2704	19	0	0	0	0	2704	19

Percentuali assorbite in direzione X

Piano	%Pil/Isol. FX	%Par. FX	%Shell. FX
0	100.00	0.00	0.00
1	100.00	0.00	0.00

Percentuali assorbite in direzione Y

Piano	%Pil/Isol. FY	%Par. FY	%Shell. FY
0	100.00	0.00	0.00
1	100.00	0.00	0.00

Combinazione: 40-I-3 (SISMAX_SLD)

Piano	Fx	Fy	Fz	dx	dy	ϑ
	kg	kg	kg	mm	mm	
0	-2687	-37	54356	0.00	0.00	--
1	2687	37	-49664	0.04	0.00	0.000145

Piano	FxPil/Isol.	FyPil/Isol.	FxPar	FyPar	FxShell	FyShell	FxTot	FyTot
	kg	kg	kg	kg	kg	kg	kg	kg
0	-2687	-37	0	0	0	0	-2687	-37
1	2687	37	0	0	0	0	2687	37

Percentuali assorbite in direzione X

Piano	%Pil/Isol. FX	%Par. FX	%Shell. FX
0	100.00	0.00	0.00
1	100.00	0.00	0.00

Percentuali assorbite in direzione Y

Piano	%Pil/Isol. FY	%Par. FY	%Shell. FY
0	100.00	0.00	0.00
1	100.00	0.00	0.00

Combinazione: 40-I-4 (SISMAX_SLD)

Piano	Fx kg	Fy kg	Fz kg	dx mm	dy mm	ϑ
0	-2713	-5	54342	0.00	0.00	--
1	2713	5	-49650	0.04	0.00	0.000145

Piano	FxPil/Isol. kg	FyPil/Isol. kg	FxPar kg	FyPar kg	FxShell kg	FyShell kg	FxTot kg	FyTot kg
0	-2713	-5	0	0	0	0	-2713	-5
1	2713	5	0	0	0	0	2713	5

Percentuali assorbite in direzione X

Piano	%Pil/Isol. FX	%Par. FX	%Shell. FX
0	100.00	0.00	0.00
1	100.00	0.00	0.00

Percentuali assorbite in direzione Y

Piano	%Pil/Isol. FY	%Par. FY	%Shell. FY
0	--	--	--
1	--	--	--

Combinazione: 41-I-1 (SISMAY_SLD)

Piano	Fx kg	Fy kg	Fz kg	dx mm	dy mm	ϑ
0	112	-3493	54183	0.00	0.00	--
1	-112	3493	-49491	0.00	0.02	0.000058

Piano	FxPil/Isol. kg	FyPil/Isol. kg	FxPar kg	FyPar kg	FxShell kg	FyShell kg	FxTot kg	FyTot kg
0	112	-3493	0	0	0	0	112	-3493
1	-112	3493	0	0	0	0	-112	3493

Percentuali assorbite in direzione X

Piano	%Pil/Isol. FX	%Par. FX	%Shell. FX
0	100.00	0.00	0.00
1	100.00	0.00	0.00

Percentuali assorbite in direzione Y

Piano	%Pil/Isol. FY	%Par. FY	%Shell. FY
0	100.00	0.00	0.00
1	100.00	0.00	0.00

Combinazione: 41-I-2 (SISMAY_SLD)

Piano	Fx kg	Fy kg	Fz kg	dx mm	dy mm	ϑ
0	8	-3445	54325	0.00	0.00	--
1	-8	3445	-49632	0.00	0.02	0.000059

Piano	FxPil/Isol. kg	FyPil/Isol. kg	FxPar kg	FyPar kg	FxShell kg	FyShell kg	FxTot kg	FyTot kg
0	8	-3445	0	0	0	0	8	-3445
1	-8	3445	0	0	0	0	-8	3445

Percentuali assorbite in direzione X

Piano	%Pil/Isol. FX	%Par. FX	%Shell. FX
0	--	--	--
1	--	--	--

Percentuali assorbite in direzione Y

Piano	%Pil/Isol. FY	%Par. FY	%Shell. FY
0	100.00	0.00	0.00
1	100.00	0.00	0.00

Combinazione: 41-I-3 (SISMAY_SLD)

Piano	Fx kg	Fy kg	Fz kg	dx mm	dy mm	Θ
0	-106	-3495	54473	0.00	0.00	--
1	106	3495	-49780	0.00	0.02	0.000060

Piano	FxPil/Isol. kg	FyPil/Isol. kg	FxPar kg	FyPar kg	FxShell kg	FyShell kg	FxTot kg	FyTot kg
0	-106	-3495	0	0	0	0	-106	-3495
1	106	3495	0	0	0	0	106	3495

Percentuali assorbite in direzione X

Piano	%Pil/Isol. FX	%Par. FX	%Shell. FX
0	100.00	0.00	0.00
1	100.00	0.00	0.00

Percentuali assorbite in direzione Y

Piano	%Pil/Isol. FY	%Par. FY	%Shell. FY
0	100.00	0.00	0.00
1	100.00	0.00	0.00

Combinazione: 41-I-4 (SISMAY_SLD)

Piano	Fx kg	Fy kg	Fz kg	dx mm	dy mm	Θ
0	-4	-3489	54328	0.00	0.00	--
1	4	3489	-49636	0.00	0.02	0.000059

Piano	FxPil/Isol. kg	FyPil/Isol. kg	FxPar kg	FyPar kg	FxShell kg	FyShell kg	FxTot kg	FyTot kg
0	-4	-3489	0	0	0	0	-4	-3489
1	4	3489	0	0	0	0	4	3489

Percentuali assorbite in direzione X

Piano	%Pil/Isol. FX	%Par. FX	%Shell. FX
0	--	--	--
1	--	--	--

Percentuali assorbite in direzione Y

Piano	%Pil/Isol. FY	%Par. FY	%Shell. FY
0	100.00	0.00	0.00
1	100.00	0.00	0.00

Verifica Degli Spostamenti Relativi SLDScenario di calcolo: **Set_SLV_SLD**Scenario Sisma Verticale: **Set_SLV_SLD-Verticale**

Interp.	Comb.	ηXv mm	ηXh mm	ηYv mm	ηYh mm	Nodo1	Nodo2	η mm	ηAmm mm	Cs
0-1	(24+25)-I-8	0.54	5.02	0.17	0.49	1	1001	5.57	29.40	5.3
0-1	(24+25)-I-8	0.55	5.02	0.19	0.57	3	1003	5.57	29.40	5.3
0-1	(24+25)-I-8	0.55	5.02	0.19	0.70	5	1005	5.57	29.40	5.3
0-1	(24+25)-I-8	0.55	5.03	0.18	0.69	8	1007	5.58	29.40	5.3
0-1	(24+25)-I-8	0.55	5.03	0.16	1.92	9	1009	5.59	29.40	5.3
0-1	(24+25)-V-7	0.54	5.02	0.18	0.41	11	1011	5.56	29.10	5.2
0-1	(24+25)-V-7	0.55	5.01	0.21	0.53	13	1013	5.56	29.10	5.2
0-1	(24+25)-V-7	0.55	5.01	0.21	0.68	15	1015	5.56	29.10	5.2
0-1	(24+25)-V-7	0.55	5.02	0.20	0.64	18	1017	5.57	29.10	5.2
0-1	(24+25)-V-7	0.55	5.02	0.18	2.02	19	1019	5.57	29.10	5.2
Minimo										
0-1	(24+25)-V-7	0.55	5.02	0.18	2.02	19	1019	5.57	29.10	5.2

Verifica Degli Spostamenti Relativi SLO

Interp.	Comb.	η_{Xv}	η_{Xh}	η_{Yv}	η_{Yh}	Nodo1	Nodo2	η	η_{Amm}	Cs
		mm	mm	mm	mm			mm	mm	
0-1	(1+2)-I-8	0.54	3.44	0.17	0.44	1	1001	3.98	19.58	4.9
0-1	(1+2)-I-8	0.55	3.44	0.19	0.82	3	1003	3.99	19.58	4.9
0-1	(1+2)-I-8	0.55	3.44	0.19	0.53	5	1005	3.99	19.58	4.9
0-1	(1+2)-I-8	0.55	3.44	0.18	0.50	8	1007	3.99	19.58	4.9
0-1	(1+2)-I-8	0.55	3.44	0.16	1.35	9	1009	4.00	19.58	4.9
0-1	(1+2)-V-7	0.54	3.43	0.18	0.37	11	1011	3.98	19.38	4.9
0-1	(1+2)-V-7	0.55	3.43	0.21	0.84	13	1013	3.98	19.38	4.9
0-1	(1+2)-V-7	0.55	3.43	0.21	0.52	15	1015	3.98	19.38	4.9
0-1	(1+2)-V-7	0.55	3.44	0.20	0.46	18	1017	3.99	19.38	4.9
0-1	(1+2)-V-7	0.55	3.44	0.18	1.43	19	1019	3.99	19.38	4.9
Minimo										
0-1	(1+2)-V-7	0.55	3.44	0.18	1.43	19	1019	3.99	19.38	4.9

Periodi di vibrazione e Masse modaliScenario di calcolo: **Set_SLV_SLD****Posizione masse 1**

Numero di Frequenze calcolate =15, filtrate=11

N	T	Coeff. Partecipazione		Masse Modali		Percentuali	
		s	Dir=0°	Dir=90°	kgm*g	Dir=0°	Dir=90°
1(1)	0.4998	72.411	0.561	51419	3	98.92	0.01
2(2)	0.3617	4.656	-36.546	213	13098	0.41	25.20
3(3)	0.3376	2.161	61.737	46	37378	0.09	71.91
4(4)	0.2520	-2.442	2.606	58	67	0.11	0.13
5(5)	0.1984	0.271	-6.935	1	472	0.00	0.91
6(6)	0.1966	-0.864	2.522	7	62	0.01	0.12
7(7)	0.1936	2.473	-2.259	60	50	0.12	0.10
8(8)	0.1916	2.284	4.831	51	229	0.10	0.44
9(12)	0.1518	0.785	3.363	6	111	0.01	0.21
10(13)	0.1502	-0.185	5.063	0	251	0.00	0.48
11(14)	0.1439	0.138	-3.392	0	113	0.00	0.22
Somma delle Masse Modali [kgm*g]				51862	51834		
Masse strutturali libere [kgm*g]				51978	51978		
Percentuale				99.78	99.72	99.78	99.72

Masse e coefficienti di partecipazione rotazionali:

N	T(s)	Coeff. Partecipazione		Masse Modali		Percentuali	
		kgm*g	kgm*g	kgm*g	kgm*g		
1(1)	0.4998	101.036	100109	1.70			
2(2)	0.3617	-650.237	4146334	70.27			
3(3)	0.3376	-398.977	1561045	26.46			
4(4)	0.2520	43.699	18727	0.32			
5(5)	0.1984	28.342	7878	0.13			
6(6)	0.1966	68.770	46378	0.79			
7(7)	0.1936	36.233	12874	0.22			
8(8)	0.1916	-5.065	252	0.00			
9(12)	0.1518	-51.839	26353	0.45			
10(13)	0.1502	35.458	12330	0.21			
11(14)	0.1439	26.178	6720	0.11			

Posizione masse 2

Numero di Frequenze calcolate =15, filtrate=10

N	T	Coeff. Partecipazione		Masse Modali		Percentuali	
		s	Dir=0°	Dir=90°	kgm*g	Dir=0°	Dir=90°
1(1)	0.4984	72.557	0.095	51627	0	99.32	0.00
2(2)	0.3900	0.247	-50.025	1	24541	0.00	47.21
3(3)	0.3122	0.110	51.537	0	26047	0.00	50.11
4(4)	0.2701	-0.053	-2.722	0	73	0.00	0.14
5(5)	0.2352	4.855	-0.090	231	0	0.44	0.00

N	T	Coeff. Partecipazione		Masse Modali		Percentuali	
6(7)	0.1826	0.039	7.302	0	523	0.00	1.01
7(9)	0.1718	-0.105	5.105	0	256	0.00	0.49
8(10)	0.1616	0.624	-2.381	4	56	0.01	0.11
9(11)	0.1610	0.327	4.638	1	211	0.00	0.41
10(14)	0.1437	0.038	2.796	0	77	0.00	0.15
Somma delle Masse Modali [kgm*g]				51864	51783		
Masse strutturali libere [kgm*g]				51978	51978		
Percentuale				99.78	99.62	99.78	99.62

Masse e coefficienti di partecipazione rotazionali:

N	T(s)	Coeff. Partecipazione		Masse Modali		Percentuali	
				kgm*g			
1(1)	0.4984		2.891		82		0.00
2(2)	0.3900		-620.500		3775764		64.41
3(3)	0.3122		-440.919		1906504		32.52
4(4)	0.2701		-63.058		38995		0.67
5(5)	0.2352		-2.045		41		0.00
6(7)	0.1826		70.425		48638		0.83
7(9)	0.1718		-57.310		32209		0.55
8(10)	0.1616		10.220		1024		0.02
9(11)	0.1610		-14.936		2188		0.04
10(14)	0.1437		-74.985		55140		0.94

Posizione masse 3

Numero di Frequenze calcolate =15, filtrate=11

N	T	Coeff. Partecipazione		Masse Modali		Percentuali	
				kgm*g			
		Dir=0°	Dir=90°	Dir=0°	Dir=90°	Dir=0°	Dir=90°
1(1)	0.4995	72.444	-0.528	51466	3	99.01	0.01
2(2)	0.3616	-4.232	-36.369	176	12971	0.34	24.96
3(3)	0.3374	-1.924	61.857	36	37523	0.07	72.19
4(4)	0.2521	-2.508	-2.400	62	57	0.12	0.11
5(5)	0.1995	0.349	7.123	1	498	0.00	0.96
6(6)	0.1974	-0.602	-2.672	4	70	0.01	0.13
7(7)	0.1935	2.597	1.771	66	31	0.13	0.06
8(8)	0.1918	2.168	-4.776	46	224	0.09	0.43
9(12)	0.1511	0.790	-3.154	6	98	0.01	0.19
10(13)	0.1495	-0.151	-5.265	0	272	0.00	0.52
11(14)	0.1436	0.151	3.309	0	107	0.00	0.21
Somma delle Masse Modali [kgm*g]				51863	51853		
Masse strutturali libere [kgm*g]				51978	51978		
Percentuale				99.78	99.76	99.78	99.76

Masse e coefficienti di partecipazione rotazionali:

N	T(s)	Coeff. Partecipazione		Masse Modali		Percentuali	
				kgm*g			
1(1)	0.4995		-95.909		90207		1.53
2(2)	0.3616		-652.656		4177238		70.79
3(3)	0.3374		-397.544		1549855		26.27
4(4)	0.2521		-40.826		16346		0.28
5(5)	0.1995		-28.272		7838		0.13
6(6)	0.1974		-69.557		47446		0.80
7(7)	0.1935		-31.175		9531		0.16
8(8)	0.1918		12.012		1415		0.02
9(12)	0.1511		51.948		26465		0.45
10(13)	0.1495		-30.771		9286		0.16
11(14)	0.1436		-25.990		6624		0.11

Posizione masse 4

Numero di Frequenze calcolate =15, filtrate=11

N	T	Coeff. Partecipazione		Masse Modali		Percentuali	
				kgm*g			
		Dir=0°	Dir=90°	Dir=0°	Dir=90°	Dir=0°	Dir=90°
1(1)	0.4979	72.638	-0.055	51743	0	99.55	0.00

N	T	Coeff. Partecipazione		Masse Modali		Percentuali	
2(2)	0.3665	-0.237	-45.513	1	20314	0.00	39.08
3(3)	0.3300	-0.121	55.539	0	30249	0.00	58.20
4(6)	0.1911	-0.177	-3.870	0	147	0.00	0.28
5(8)	0.1854	-0.081	5.670	0	315	0.00	0.61
6(9)	0.1784	-3.290	0.197	106	0	0.20	0.00
7(10)	0.1708	-0.196	-6.677	0	437	0.00	0.84
8(11)	0.1701	-0.384	3.186	1	100	0.00	0.19
9(12)	0.1582	0.690	2.573	5	65	0.01	0.12
10(13)	0.1580	0.379	-4.045	1	160	0.00	0.31
11(15)	0.1431	-0.001	-2.719	0	72	0.00	0.14
Somma delle Masse Modali [kgm*g]				51858	51860		
Masse strutturali libere [kgm*g]				51978	51978		
Percentuale				99.77	99.77	99.77	99.77

Masse e coefficienti di partecipazione rotazionali:

N	T(s)	Coeff. Partecipazione	Masse Modali		Percentuali
			kgm*g		
1(1)	0.4979	2.778	76	0.00	
2(2)	0.3665	674.504	4461596	75.13	
3(3)	0.3300	374.691	1376789	23.18	
4(6)	0.1911	11.945	1399	0.02	
5(8)	0.1854	-116.715	133591	2.25	
6(9)	0.1784	-2.292	52	0.00	
7(10)	0.1708	-5.722	321	0.01	
8(11)	0.1701	3.810	142	0.00	
9(12)	0.1582	21.477	4524	0.08	
10(13)	0.1580	-23.484	5408	0.09	
11(15)	0.1431	-59.153	34314	0.58	

Sisma Verticale

Numero di Frequenze calcolate =70, filtrate=46

N	T	Coeff. Partecipazione	Masse Modali		Percentuali
			kgm*g		
	s	SVert.	SVert.	SVert.	
1(1)	0.2812	7.202	509	0.98	
2(2)	0.2252	-14.134	1959	3.77	
3(3)	0.2097	-25.216	6236	12.00	
4(4)	0.1949	18.904	3505	6.74	
5(5)	0.1829	12.068	1428	2.75	
6(6)	0.1699	-7.677	578	1.11	
7(7)	0.1665	16.626	2711	5.22	
8(8)	0.1544	3.300	107	0.21	
9(9)	0.1503	-12.206	1461	2.81	
10(10)	0.1406	5.631	311	0.60	
11(11)	0.1323	-10.047	990	1.90	
12(12)	0.1204	3.972	155	0.30	
13(13)	0.1105	-3.612	128	0.25	
14(15)	0.0968	6.599	427	0.82	
15(16)	0.0921	-4.337	184	0.35	
16(17)	0.0830	10.498	1081	2.08	
17(18)	0.0812	6.102	365	0.70	
18(19)	0.0803	4.497	198	0.38	
19(20)	0.0720	-32.990	10673	20.53	
20(21)	0.0685	10.462	1073	2.07	
21(24)	0.0597	20.638	4177	8.04	
22(25)	0.0573	-17.219	2908	5.59	
23(27)	0.0518	-6.949	474	0.91	
24(28)	0.0514	-2.789	76	0.15	
25(29)	0.0497	-2.969	86	0.17	
26(31)	0.0462	5.041	249	0.48	
27(36)	0.0413	-3.387	112	0.22	
28(38)	0.0397	3.892	149	0.29	
29(40)	0.0387	2.679	70	0.14	
30(42)	0.0375	3.519	121	0.23	
31(43)	0.0370	-3.923	151	0.29	
32(44)	0.0365	-5.333	279	0.54	

N	T	Coeff. Partecipazione	Masse Modali	Percentuali
33(46)	0.0352	4.347	185	0.36
34(47)	0.0349	-2.638	68	0.13
35(48)	0.0344	4.202	173	0.33
36(51)	0.0327	2.374	55	0.11
37(55)	0.0311	3.195	100	0.19
38(59)	0.0292	-4.486	197	0.38
39(61)	0.0286	-7.662	576	1.11
40(62)	0.0282	9.785	939	1.81
41(63)	0.0280	2.622	67	0.13
42(64)	0.0274	-3.634	129	0.25
43(65)	0.0271	-3.992	156	0.30
44(66)	0.0270	-2.508	62	0.12
45(68)	0.0263	6.547	420	0.81
46(69)	0.0261	-2.315	53	0.10
Somma delle Masse Modali [kgm*g]			46113	
Masse strutturali libere [kgm*g]			51978	
Percentuale			88.72	88.72

6. Verifiche stato limite ultimo

Verifica delle travi di fondazione

Scenario di calcolo: **Set_SLV_SLD**

Simbologia:

Terreno	Nome della stratigrafia per travi Winkler
L [cm]	Lunghezza teorica elemento (distanza tra i nodi)
Ln [cm]	Lunghezza netta elemento (tiene conto dei conci rigidi)
L2,L3 [cm]	Lunghezze libere di inflessione
Sez. R: Sezione Rettangolare	
	By[cm]: Larghezza (asse locale y)
	Bz[cm]: Larghezza (asse locale z)
Sez. T: Sezione a T (rovescia e non)	
	Ba[cm]: Larghezza base inferiore
	Ha[cm]: Altezza inferiore
	Bs[cm]: Larghezza superiore
	Hs[cm]: Altezza superiore
Sez. L: Sezione ad L (rovescia e non)	
	Ba[cm]: Larghezza base inferiore
	Ha[cm]: Altezza inferiore
	Bs[cm]: Larghezza superiore
	Hs[cm]: Altezza superiore
Sez. C: Sezione circolare	
	R[cm]: Raggio
Sez. G: Sezione generica	
	B[cm]: Larghezza
	H[cm]: Altezza
Fatt.Ampl.Sisma	Fattore moltiplicativo di gruppo per le azioni sismiche (solo se diverso da 1.0)
X [cm]	Punto di verifica
ILN	Inizio luce netta
CAMP	Punto di massimo momento sia superiore che inferiore ad esclusione degli estremi
FLN	Fine luce netta
M- [kg*m]	Momento negativo massimo di calcolo ⁽¹⁾
N- [kg]	Sforzo normale corrispondente ad M-
M+ [kg*m]	Momento positivo massimo di calcolo ⁽¹⁾
N+ [kg]	Sforzo normale corrispondente ad M+
ΔM- [kg*m]	Incremento di M- per la traslazione del diagramma del momento a causa del taglio
ΔM+ [kg*m]	Incremento di M+ per la traslazione del diagramma del momento a causa del taglio
Afs [cmq]	Area di ferro superiore
Afi [cmq]	Area di ferro inferiore
εsc-	Deformazione nel cls per effetto di M-:N ⁽⁴⁾
εsc+	Deformazione nel cls per effetto di M+:N ⁽⁴⁾

ϵ_{sf-}	Deformazione nell'acciaio per effetto di M-:N-(⁴)
ϵ_{sf+}	Deformazione nell'acciaio per effetto di M+:N+(⁴)
C-	Combinazione di carico generatore di M-:N-
C+	Combinazione di carico generatore di M+:N+
x- [cm]	Profondità asse neutro per la combinazione C-(⁵)
d- [cm]	Altezza utile della sezione per la combinazione C-(⁶)
x+ [cm]	Profondità asse neutro per la combinazione C+(⁵)
d+ [cm]	Altezza utile della sezione per la combinazione C+(⁶)
Mr- [kg*m]	Momento resistente superiore
Mr+ [kg*m]	Momento resistente inferiore
Stato-	Stato della sezione per la combinazione C-(⁷)
Stato+	Stato della sezione per la combinazione C+(⁷)
Comb	Combinazione di carico: quando Comb non è sismica è individuata dal codice [C], quando è sismica è individuata dal codice [(Cx+Cy) Cm Sc].
- C	Individua la Combinazione di Carico non sismica (1, 2, ecc. come da scenario);
- Cx	Individua la Combinazione di Carico sismica in direzione x (SismaX, come da scenario);
- Cy	Individua la Combinazione di Carico sismica in direzione y (SismaY, come da scenario);
- Cm	Individua la Combinazione spostamento masse (I, II, III, IV, V, ecc. come da Combinazioni Sisma in Spostamento masse impalcato);
- Sc	Individua la sottocombinazione ottenuta mediante la permutazione dei segni (1, 2, 3, 4, 5, 6, 7, 8):
1)	$Sc = + SismaZ*fx + SismaX*fx + SismaY*fy$
2)	$Sc = + SismaZ*fx + SismaX*fx - SismaY*fy$
3)	$Sc = + SismaZ*fx - SismaX*fx + SismaY*fy$
4)	$Sc = + SismaZ*fx - SismaX*fx - SismaY*fy$
5)	$Sc = - SismaZ*fx + SismaX*fx + SismaY*fy$
6)	$Sc = - SismaZ*fx + SismaX*fx - SismaY*fy$
7)	$Sc = - SismaZ*fx - SismaX*fx + SismaY*fy$
8)	$Sc = - SismaZ*fx - SismaX*fx - SismaY*fy$

Le ultime quattro sono assenti quando non è richiesto il contributo del sisma in direzione verticale. Le combinazioni delle azioni sismiche così ottenute vengono combinate con i carichi verticali (come da scenario).

Sez	Sezione di verifica [Sinistra/Destra]
Td [kg]	Taglio di verifica(²)
VRdns [kg]	Resistenza a taglio in assenza di armature
VRcd [kg]	Resistenza taglio-compressione calcestruzzo
VRsd [kg]	Resistenza taglio-trazione acciaio
VRd [kg]	Resistenza a taglio =min(VRcd,VRsd)
VRd,f [kg]	Resistenza a taglio dovuta alla resistenza a trazione del calcestruzzo ad alte prestazioni (quando presente)(cfr. eq 4.2 CNR204/2006), oppure resistenza rinforzo del composito (quando presente)(cfr. eq 4.19 CNR200/2013), oppure resistenza rinforzo della camicia in acciaio (quando presente)(cfr. eq C8.7.4.5 Circolare NTC)
Mt [kg*m]	Momento torcente
Tpl [kg]	Taglio dovuto ai momenti resistenti alle estremità della trave
Mr [kg*m]	Momento resistente (ultimo) utilizzato per il calcolo di Tpl quando richiesto
Dx [cm]	Distanza dall'estremo da armare con staffe
Staffe [cmq]	Area delle staffe
cot(θ)	cot(θ) secondo il punto 4.1.2.3.5 delle Norme Tecniche
F.Par. [cmq]	Area armatura longitudinale di parete(³)
Cs	Coefficiente di sicurezza definito dal rapporto Fr/Fd (Fr=resistenza,Fd=azione)
ζ_E	Livello di sicurezza sismico definito come rapporto tra l'accelerazione sopportabile e l'accelerazione di progetto, quando richiesto dal criterio di verifica
Simbologia verifica travi collegamento:	
Comb	Combinazione più gravosa
Nsd [kg]	Azione verticale negli elementi collegati, nella combinazione specificata
α	Coefficiente in funzione della classe di terreno (NTC 7.2.5.1)
a/g	Punto di aggancio dello spettro di accelerazione [a/g=Sa(0)]
N	Sforzo normale di verifica $N=\alpha*Nsd*a/g$
Af [cmq]	Area di ferro complessiva nella sezione
NRd C [kg]	Resistenza a compressione della sezione
NRd T [kg]	Resistenza a trazione della sezione

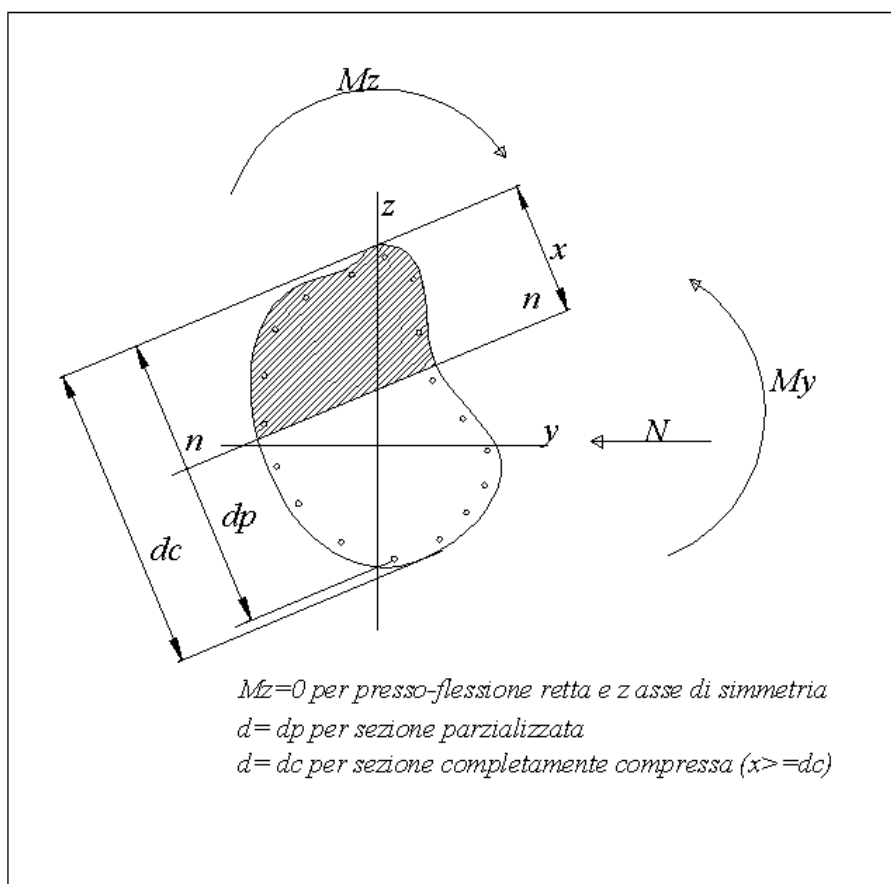
Verifiche duttilità (quando richieste):

Zona	Sezione di verifica dell'elemento
Comb.	Combinazione di verifica
Nmax [kg]	Sforzo Normale massimo

Dir	Direzione di flessione (pilastri=Y o Z, travi =Z, pareti= ortogonale alla base)
Mry [kg*m]	Momento di snervamento corrispondente a Nmax
MrU [kg*m]	Momento ultimo (resistente) corrispondente a Nmax sulla sezione depurata del calcestruzzo non confinato, considerando il confinamento
ϕ_y [1/m]	Curvatura allo snervamento ($\phi_y = MrU/Mry * \phi'y$)
ϕ_u [1/m]	Curvatura allo corrispondente a MrU
μ	Capacità in duttilità della sezione
F.Conf	Fattore di confinamento adottato (= fck,c/fck)
μ_d	Richiesta in duttilità della sezione
Cs	Livello di sicurezza ($Cs = \mu/\mu_d$)

Note Verifica travi:

- (1) il valore del momento di verifica è dato da $M + \Delta M$
- (2) Td è il valore di verifica a taglio esso è calcolato in funzione della somma tra taglio da carichi verticali il valore di Tpl ovvero quando la trave è tozza amplificando il taglio di calcolo dovuto al sisma per il fattore di comportamento
- (3) armatura necessaria per la sola verifica a torsione
- (4) le deformazioni sono stampate a meno del fattore 10^{-3}
- (5) distanza tra la fibra di cls compressa piu' lontana e l'asse neutro in direzione ortogonale all'asse neutro
- (6) distanza tra le fibre sollecitate piu' lontane dall'asse neutro: nel caso di sezione parzializzata le due fibre sono quella di cls compresso e quella dell'acciaio teso piu' lontane da n-n, mentre nel caso di sezione completamente compressa le due fibre sono le due di cls compresso piu' lontane da n-n
- (7) Indica lo stato della sezione se: completamente compressa (Compr.),completamente tesa (Tesa), parzializzata (Parz.)



Schema geometrico verifica della sezione

Trave di fondazione: 129 [45,47], Pilastrate [-,-] Sez. R: By=30.0 cm Bz=120.0 cm L=720.0 cm Ln=720.0 cm
 Terreno=Terreno1 Criterio : CLS_TraviFondazione - Verifica a flessione: **Verificato**

X	M-	M+	$\Delta M-$	$\Delta M+$	Afs	Afi	Mr-	Mr+	C-	C+	CS	ζ_E
cm	kg*m	kg*m	kg*m	kg*m	cmq	cmq	kg*m	kg*m				
ILN	-74	-122	446	516	8.04	8.04	33602	33602	2	13	85	--
72.0	213	211	300	352	8.04	8.04	33602	33602	2	13	60	--
CAMP	592	770	--	55	8.04	8.04	33602	33602	2	16	41	--
648.0	-142	793	444	42	8.04	8.04	33602	33602	2	16	40	--

X	M-	M+	ΔM-	ΔM+	Afs	Afi	Mr-	Mr+	C-	C+	CS	ζ _E
FLN	-487	834	564	--	8.04	8.04	33602	33602	2	16	40	--

X	x-	d-	x-/d-	x+	d+	x+/d+	Mr-	Mr+	C-	C+	Stato-	Stato+
cm	cm	cm		cm	cm		kg*m	kg*m				
ILN	24.0	114.4	0.210	24.0	114.4	0.210	33602	33602	2	13	Parz.	Parz.
72.0	24.0	114.4	0.210	24.0	114.4	0.210	33602	33602	2	13	Parz.	Parz.
CAMP	24.0	114.4	0.210	24.0	114.4	0.210	33602	33602	2	16	Parz.	Parz.
648.0	24.0	114.4	0.210	24.0	114.4	0.210	33602	33602	2	16	Parz.	Parz.
FLN	24.0	114.4	0.210	24.0	114.4	0.210	33602	33602	2	16	Parz.	Parz.

Verifica a taglio: cot(θ) Sin=2.093,cot(θ) Cen=2.500,cot(θ) Des=2.093 Comb: Sin=13 Cen=2 Des=2

Sez	Td	VRdns	VRcd	VRsd	VRd	Tpl	Mr	Dx	Staffe	CS	ζ _E
	kg	kg	kg	kg	kg	kg	kg*m	cm	cmq/m		
Sin	542	--	84768	84768	84768	0	33602	120.0	10.05	>100	--
Cen	339	--	75143	50628	50628	--	--	--	5.03	>100	--
Des	528	--	84768	84768	84768	0	33602	120.0	10.05	>100	--

Trave di fondazione: 129 [47,49], Pilastrate [--,-] Sez. R: By=30.0 cm Bz=120.0 cm L=720.0 cm Ln=720.0 cm
Terreno=Terreno1 Criterio : CLS_TraviFondazione - Verifica a flessione: **Verificato**

X	M-	M+	ΔM-	ΔM+	Afs	Afi	Mr-	Mr+	C-	C+	CS	ζ _E
cm	kg*m	kg*m	kg*m	kg*m	cmq	cmq	kg*m	kg*m				
ILN	--	826	--	--	8.04	8.04	33602	33602	1	16	41	--
72.0	-205	608	330	218	8.04	8.04	33602	33602	2	16	41	--
CAMP	248	420	--	359	8.04	8.04	33602	33602	2	16	43	--
648.0	-388	388	417	338	8.04	8.04	33602	33602	2	2	46	--
FLN	--	727	--	--	8.04	8.04	33602	33602	1	2	46	--

X	x-	d-	x-/d-	x+	d+	x+/d+	Mr-	Mr+	C-	C+	Stato-	Stato+
cm	cm	cm		cm	cm		kg*m	kg*m				
ILN	--	--	--	24.0	114.4	0.210	33602	33602	1	16	--	Parz.
72.0	24.0	114.4	0.210	24.0	114.4	0.210	33602	33602	2	16	Parz.	Parz.
CAMP	24.0	114.4	0.210	24.0	114.4	0.210	33602	33602	2	16	Parz.	Parz.
648.0	24.0	114.4	0.210	24.0	114.4	0.210	33602	33602	2	2	Parz.	Parz.
FLN	--	--	--	24.0	114.4	0.210	33602	33602	1	2	--	Parz.

Verifica a taglio: cot(θ) Sin=2.093,cot(θ) Cen=2.500,cot(θ) Des=2.093 Comb: Sin=2 Cen=2 Des=2

Sez	Td	VRdns	VRcd	VRsd	VRd	Tpl	Mr	Dx	Staffe	CS	ζ _E
	kg	kg	kg	kg	kg	kg	kg*m	cm	cmq/m		
Sin	441	--	84768	84768	84768	0	33602	120.0	10.05	>100	--
Cen	318	--	75143	50628	50628	--	--	--	5.03	>100	--
Des	521	--	84768	84768	84768	0	33602	120.0	10.05	>100	--

Trave di fondazione: 129 [49,51], Pilastrate [--,-] Sez. R: By=30.0 cm Bz=120.0 cm L=720.0 cm Ln=720.0 cm
Terreno=Terreno1 Criterio : CLS_TraviFondazione - Verifica a flessione: **Verificato**

X	M-	M+	ΔM-	ΔM+	Afs	Afi	Mr-	Mr+	C-	C+	CS	ζ _E
cm	kg*m	kg*m	kg*m	kg*m	cmq	cmq	kg*m	kg*m				
ILN	--	727	--	--	8.04	8.04	33602	33602	1	2	46	--
72.0	-376	376	444	352	8.04	8.04	33602	33602	2	2	46	--
CAMP	345	484	--	384	8.04	8.04	33602	33602	2	16	39	--
648.0	7	685	265	233	8.04	8.04	33602	33602	2	16	37	--
FLN	-235	918	381	--	8.04	8.04	33602	33602	2	16	37	--

X	x-	d-	x-/d-	x+	d+	x+/d+	Mr-	Mr+	C-	C+	Stato-	Stato+
cm	cm	cm		cm	cm		kg*m	kg*m				
ILN	--	--	--	24.0	114.4	0.210	33602	33602	1	2	--	Parz.
72.0	24.0	114.4	0.210	24.0	114.4	0.210	33602	33602	2	2	Parz.	Parz.
CAMP	24.0	114.4	0.210	24.0	114.4	0.210	33602	33602	2	16	Parz.	Parz.
648.0	24.0	114.4	0.210	24.0	114.4	0.210	33602	33602	2	16	Parz.	Parz.

X	x-	d-	x-/d-	x+	d+	x+/d+	Mr-	Mr+	C-	C+	Stato-	Stato+
FLN	24.0	114.4	0.210	24.0	114.4	0.210	33602	33602	2	16	Parz.	Parz.

Verifica a taglio: $\cot(\theta)$ Sin=2.093, $\cot(\theta)$ Cen=2.500, $\cot(\theta)$ Des=2.093 Comb: Sin=2 Cen=2 Des=14

Sez	Td	VRdns	VRcd	VRsd	VRd	Tpl	Mr	Dx	Staffe	CS	ζ_E
	kg	kg	kg	kg	kg	kg	kg*m	cm	cmq/m		
Sin	540	--	84768	84768	84768	0	33602	120.0	10.05	>100	--
Cen	339	--	75143	50628	50628	--	--	--	5.03	>100	--
Des	399	--	84768	84768	84768	0	33602	120.0	10.05	>100	--

Trave di fondazione: 129 [51,53], Pilastrate [--,--] Sez. R: By=30.0 cm Bz=120.0 cm L=720.0 cm Ln=720.0 cm
Terreno=Terreno1 Criterio : CLS_TraviFondazione - Verifica a flessione: **Verificato**

X	M-	M+	$\Delta M-$	$\Delta M+$	Afs	Afi	Mr-	Mr+	C-	C+	CS	ζ_E
cm	kg*m	kg*m	kg*m	kg*m	cmq	cmq	kg*m	kg*m				
ILN	-233	927	590	--	8.04	8.04	33602	33602	2	16	36	--
72.0	127	891	468	36	8.04	8.04	33602	33602	2	16	36	--
CAMP	874	874	--	45	8.04	8.04	33602	33602	2	16	37	--
648.0	299	247	445	417	8.04	8.04	33602	33602	2	13	45	--
FLN	-123	-147	656	610	8.04	8.04	33602	33602	2	13	63	--

X	x-	d-	x-/d-	x+	d+	x+/d+	Mr-	Mr+	C-	C+	Stato-	Stato+
cm	cm	cm		cm	cm		kg*m	kg*m				
ILN	24.0	114.4	0.210	24.0	114.4	0.210	33602	33602	2	16	Parz.	Parz.
72.0	24.0	114.4	0.210	24.0	114.4	0.210	33602	33602	2	16	Parz.	Parz.
CAMP	24.0	114.4	0.210	24.0	114.4	0.210	33602	33602	2	16	Parz.	Parz.
648.0	24.0	114.4	0.210	24.0	114.4	0.210	33602	33602	2	13	Parz.	Parz.
FLN	24.0	114.4	0.210	24.0	114.4	0.210	33602	33602	2	13	Parz.	Parz.

Verifica a taglio: $\cot(\theta)$ Sin=2.093, $\cot(\theta)$ Cen=2.500, $\cot(\theta)$ Des=2.093 Comb: Sin=2 Cen=2 Des=2

Sez	Td	VRdns	VRcd	VRsd	VRd	Tpl	Mr	Dx	Staffe	CS	ζ_E
	kg	kg	kg	kg	kg	kg	kg*m	cm	cmq/m		
Sin	546	--	84768	84768	84768	0	33602	120.0	10.05	>100	--
Cen	358	--	75143	50628	50628	--	--	--	5.03	>100	--
Des	679	--	84768	84768	84768	0	33602	120.0	10.05	>100	--

Trave di fondazione: 130 [1,11], Pilastrate [147,155] Sez. R: By=30.0 cm Bz=120.0 cm L=450.0 cm Ln=450.0 cm
Terreno=Terreno1 Criterio : CLS_TraviFondazione - Verifica a flessione: **Verificato**

X	M-	M+	$\Delta M-$	$\Delta M+$	Afs	Afi	Mr-	Mr+	C-	C+	CS	ζ_E
cm	kg*m	kg*m	kg*m	kg*m	cmq	cmq	kg*m	kg*m				
ILN	10789	6315	--	--	8.04	8.04	33602	33602	14	13	3.1	--
45.0	8291	5040	2498	1275	8.04	8.04	33602	33602	14	13	3.1	--
CAMP	5923	6296	4865	3658	8.04	8.04	33602	33602	14	14	3.1	--
405.0	6034	8136	1620	1817	8.04	8.04	33602	33602	13	14	3.4	--
FLN	7654	9953	--	--	8.04	8.04	33602	33602	13	14	3.4	--

X	x-	d-	x-/d-	x+	d+	x+/d+	Mr-	Mr+	C-	C+	Stato-	Stato+
cm	cm	cm		cm	cm		kg*m	kg*m				
ILN	24.2	114.4	0.212	24.1	114.4	0.211	33602	33602	14	13	Parz.	Parz.
45.0	24.2	114.4	0.212	24.1	114.4	0.211	33602	33602	14	13	Parz.	Parz.
CAMP	24.2	114.4	0.212	24.2	114.4	0.212	33602	33602	14	14	Parz.	Parz.
405.0	24.1	114.4	0.211	24.2	114.4	0.212	33602	33602	13	14	Parz.	Parz.
FLN	24.1	114.4	0.211	24.2	114.4	0.212	33602	33602	13	14	Parz.	Parz.

Verifica a taglio: $\cot(\theta)$ Sin=2.093, $\cot(\theta)$ Cen=2.500, $\cot(\theta)$ Des=2.093 Comb: Sin=14 Cen=14 Des=14

Sez	Td	VRdns	VRcd	VRsd	VRd	Tpl	Mr	Dx	Staffe	CS	ζ_E
	kg	kg	kg	kg	kg	kg	kg*m	cm	cmq/m		
Sin	5701	--	84768	84768	84768	0	33602	120.0	10.05	15	--
Cen	4876	--	75143	54523	54523	--	--	--	5.41	11	--
Des	4122	--	84768	84768	84768	0	33602	120.0	10.05	21	--

Trave di fondazione: 130 [11,45], Pilastrate [155,-] Sez. R: By=30.0 cm Bz=120.0 cm L=390.0 cm Ln=390.0 cm
Terreno=Terreno1 Criterio : CLS_TraviFondazione - Verifica a flessione: **Verificato**

X	M-	M+	ΔM-	ΔM+	Afs	Afi	Mr-	Mr+	C-	C+	CS	ζ _E
cm	kg*m	kg*m	kg*m	kg*m	cmq	cmq	kg*m	kg*m				
ILN	4463	4252	--	--	8.04	8.04	33602	33602	13	2	7.5	--
39.0	3793	3626	670	625	8.04	8.04	33602	33602	13	2	7.5	--
CAMP	2619	2556	1844	1695	8.04	8.04	33602	33602	13	2	7.5	--
351.0	322	574	1056	893	8.04	8.04	33602	33602	13	2	23	--
FLN	92	381	916	771	8.04	8.04	33602	33602	13	2	29	--

X	x-	d-	x-/d-	x+	d+	x+/d+	Mr-	Mr+	C-	C+	Stato-	Stato+
cm	cm	cm		cm	cm		kg*m	kg*m				
ILN	24.1	114.4	0.210	24.1	114.4	0.210	33602	33602	13	2	Parz.	Parz.
39.0	24.1	114.4	0.210	24.1	114.4	0.210	33602	33602	13	2	Parz.	Parz.
CAMP	24.1	114.4	0.210	24.1	114.4	0.210	33602	33602	13	2	Parz.	Parz.
351.0	24.0	114.4	0.210	24.0	114.4	0.210	33602	33602	13	2	Parz.	Parz.
FLN	24.0	114.4	0.210	24.0	114.4	0.210	33602	33602	13	2	Parz.	Parz.

Verifica a taglio: cot(θ) Sin=2.093,cot(θ) Cen=2.500,cot(θ) Des=2.093 Comb: Sin=13 Cen=13 Des=13

Sez	Td	VRdns	VRcd	VRsd	VRd	Tpl	Mr	Dx	Staffe	CS	ζ _E
	kg	kg	kg	kg	kg	kg	kg*m	cm	cmq/m		
Sin	1791	--	84768	84768	84768	0	33602	120.0	10.05	47	--
Cen	1228	--	75143	55231	55231	--	--	--	5.48	45	--
Des	853	--	84768	84768	84768	0	33602	120.0	10.05	99	--

Trave di fondazione: 131 [1,3], Pilastrate [147,149] Sez. R: By=30.0 cm Bz=120.0 cm L=720.0 cm Ln=720.0 cm
Terreno=Terreno1 Criterio : CLS_TraviFondazione - Verifica a flessione: **Verificato**

X	M-	M+	ΔM-	ΔM+	Afs	Afi	Mr-	Mr+	C-	C+	CS	ζ _E
cm	kg*m	kg*m	kg*m	kg*m	cmq	cmq	kg*m	kg*m				
ILN	1857	-342	--	1631	8.04	8.04	33602	33602	16	11	18	--
72.0	1490	715	368	1044	8.04	8.04	33602	33602	16	11	18	--
CAMP	1383	957	3578	2526	8.04	8.04	33602	33602	11	1	6.8	--
648.0	3194	2234	2245	1586	8.04	8.04	33602	33602	11	1	6.2	--
FLN	5438	3820	--	--	8.04	8.04	33602	33602	11	1	6.2	--

X	x-	d-	x-/d-	x+	d+	x+/d+	Mr-	Mr+	C-	C+	Stato-	Stato+
cm	cm	cm		cm	cm		kg*m	kg*m				
ILN	24.0	114.4	0.210	24.0	114.4	0.210	33602	33602	16	11	Parz.	Parz.
72.0	24.0	114.4	0.210	24.0	114.4	0.210	33602	33602	16	11	Parz.	Parz.
CAMP	24.1	114.4	0.211	24.1	114.4	0.210	33602	33602	11	1	Parz.	Parz.
648.0	24.1	114.4	0.211	24.1	114.4	0.210	33602	33602	11	1	Parz.	Parz.
FLN	24.1	114.4	0.211	24.1	114.4	0.210	33602	33602	11	1	Parz.	Parz.

Verifica a taglio: cot(θ) Sin=2.093,cot(θ) Cen=2.500,cot(θ) Des=2.093 Comb: Sin=14 Cen=11 Des=14

Sez	Td	VRdns	VRcd	VRsd	VRd	Tpl	Mr	Dx	Staffe	CS	ζ _E
	kg	kg	kg	kg	kg	kg	kg*m	cm	cmq/m		
Sin	1901	--	84768	84768	84768	0	33602	120.0	10.05	45	--
Cen	2221	--	75143	50628	50628	--	--	--	5.03	23	--
Des	3432	--	84768	84768	84768	0	33602	120.0	10.05	25	--

Trave di fondazione: 131 [3,5], Pilastrate [149,153] Sez. R: By=30.0 cm Bz=120.0 cm L=720.0 cm Ln=720.0 cm
Terreno=Terreno1 Criterio : CLS_TraviFondazione - Verifica a flessione: **Verificato**

X	M-	M+	ΔM-	ΔM+	Afs	Afi	Mr-	Mr+	C-	C+	CS	ζ _E
cm	kg*m	kg*m	kg*m	kg*m	cmq	cmq	kg*m	kg*m				
ILN	4024	2661	--	--	8.04	8.04	33602	33602	11	1	8.4	--
72.0	2030	1277	1994	1385	8.04	8.04	33602	33602	11	1	8.4	--
CAMP	478	211	3122	2184	8.04	8.04	33602	33602	11	1	9.3	--
648.0	1653	1290	1942	1403	8.04	8.04	33602	33602	14	1	9.3	--
FLN	3596	2693	--	--	8.04	8.04	33602	33602	14	1	9.3	--

X	x-	d-	x-/d-	x+	d+	x+/d+	Mr-	Mr+	C-	C+	Stato-	Stato+
cm	cm	cm		cm	cm		kg*m	kg*m				
ILN	24.1	114.4	0.210	24.0	114.4	0.210	33602	33602	11	1	Parz.	Parz.
72.0	24.1	114.4	0.210	24.0	114.4	0.210	33602	33602	11	1	Parz.	Parz.
CAMP	24.1	114.4	0.210	24.0	114.4	0.210	33602	33602	11	1	Parz.	Parz.
648.0	24.1	114.4	0.210	24.0	114.4	0.210	33602	33602	14	1	Parz.	Parz.
FLN	24.1	114.4	0.210	24.0	114.4	0.210	33602	33602	14	1	Parz.	Parz.

Verifica a taglio: $\cot(\theta)$ Sin=2.093, $\cot(\theta)$ Cen=2.500, $\cot(\theta)$ Des=2.093 Comb: Sin=14 Cen=11 Des=14

Sez	Td	VRdns	VRcd	VRsd	VRd	Tpl	Mr	Dx	Staffe	CS	ζ_E
	kg	kg	kg	kg	kg	kg	kg*m	cm	cmq/m		
Sin	3093	--	84768	84768	84768	0	33602	120.0	10.05	27	--
Cen	1852	--	75143	50628	50628	--	--	--	5.03	27	--
Des	3016	--	84768	84768	84768	0	33602	120.0	10.05	28	--

Trave di fondazione: 131 [5,8], Pilastrate [153,152] Sez. R: By=30.0 cm Bz=120.0 cm L=720.0 cm Ln=720.0 cm
Terreno=Terreno1 Criterio : CLS_TraviFondazione - Verifica a flessione: **Verificato**

X	M-	M+	$\Delta M-$	$\Delta M+$	Afs	Afi	Mr-	Mr+	C-	C+	CS	ζ_E
cm	kg*m	kg*m	kg*m	kg*m	cmq	cmq	kg*m	kg*m				
ILN	3819	3019	--	--	8.04	8.04	33602	33602	14	1	8.8	--
72.0	1830	1542	1989	1477	8.04	8.04	33602	33602	14	1	8.8	--
CAMP	293	387	3103	2318	8.04	8.04	33602	33602	14	1	9.9	--
648.0	1613	689	1862	1217	8.04	8.04	33602	33602	11	1	9.7	--
FLN	3476	1906	--	--	8.04	8.04	33602	33602	11	1	9.7	--

X	x-	d-	x-/d-	x+	d+	x+/d+	Mr-	Mr+	C-	C+	Stato-	Stato+
cm	cm	cm		cm	cm		kg*m	kg*m				
ILN	24.1	114.4	0.210	24.0	114.4	0.210	33602	33602	14	1	Parz.	Parz.
72.0	24.1	114.4	0.210	24.0	114.4	0.210	33602	33602	14	1	Parz.	Parz.
CAMP	24.1	114.4	0.210	24.0	114.4	0.210	33602	33602	14	1	Parz.	Parz.
648.0	24.1	114.4	0.210	24.0	114.4	0.210	33602	33602	11	1	Parz.	Parz.
FLN	24.1	114.4	0.210	24.0	114.4	0.210	33602	33602	11	1	Parz.	Parz.

Verifica a taglio: $\cot(\theta)$ Sin=2.093, $\cot(\theta)$ Cen=2.500, $\cot(\theta)$ Des=2.093 Comb: Sin=14 Cen=14 Des=14

Sez	Td	VRdns	VRcd	VRsd	VRd	Tpl	Mr	Dx	Staffe	CS	ζ_E
	kg	kg	kg	kg	kg	kg	kg*m	cm	cmq/m		
Sin	3080	--	84768	84768	84768	0	33602	120.0	10.05	28	--
Cen	1825	--	75143	50628	50628	--	--	--	5.03	28	--
Des	2911	--	84768	84768	84768	0	33602	120.0	10.05	29	--

Trave di fondazione: 131 [8,9], Pilastrate [152,154] Sez. R: By=30.0 cm Bz=120.0 cm L=720.0 cm Ln=720.0 cm
Terreno=Terreno1 Criterio : CLS_TraviFondazione - Verifica a flessione: **Verificato**

X	M-	M+	$\Delta M-$	$\Delta M+$	Afs	Afi	Mr-	Mr+	C-	C+	CS	ζ_E
cm	kg*m	kg*m	kg*m	kg*m	cmq	cmq	kg*m	kg*m				
ILN	4224	2091	--	--	8.04	8.04	33602	33602	11	1	8.0	--
72.0	2212	809	2011	1282	8.04	8.04	33602	33602	11	1	8.0	--
CAMP	622	-17	3174	2158	8.04	8.04	33602	33602	11	1	8.9	--
648.0	406	1049	1529	1387	8.04	8.04	33602	33602	14	1	14	--
FLN	1935	2436	--	--	8.04	8.04	33602	33602	14	1	14	--

X	x-	d-	x-/d-	x+	d+	x+/d+	Mr-	Mr+	C-	C+	Stato-	Stato+
cm	cm	cm		cm	cm		kg*m	kg*m				
ILN	24.1	114.4	0.210	24.0	114.4	0.210	33602	33602	11	1	Parz.	Parz.
72.0	24.1	114.4	0.210	24.0	114.4	0.210	33602	33602	11	1	Parz.	Parz.
CAMP	24.1	114.4	0.210	24.0	114.4	0.210	33602	33602	11	1	Parz.	Parz.
648.0	24.0	114.4	0.210	24.0	114.4	0.210	33602	33602	14	1	Parz.	Parz.
FLN	24.0	114.4	0.210	24.0	114.4	0.210	33602	33602	14	1	Parz.	Parz.

Verifica a taglio: $\cot(\theta)$ Sin=2.093, $\cot(\theta)$ Cen=2.500, $\cot(\theta)$ Des=2.093 Comb: Sin=14 Cen=14 Des=14

Sez	Td	VRdns	VRcd	VRsd	VRd	Tpl	Mr	Dx	Staffe	CS	ζ_E
	kg	kg	kg	kg	kg	kg	kg*m	cm	cmq/m		
Sin	3142	--	84768	84768	84768	0	33602	120.0	10.05	27	--
Cen	1944	--	75143	50628	50628	--	--	--	5.03	26	--
Des	2401	--	84768	84768	84768	0	33602	120.0	10.05	35	--

Trave di fondazione: 132 [9,19], Pilastrate [154,151] Sez. R: By=30.0 cm Bz=120.0 cm L=450.0 cm Ln=450.0 cm
 Terreno=Terreno1 Criterio : CLS_TraviFondazione - Verifica a flessione: **Verificato**

X	M-	M+	$\Delta M-$	$\Delta M+$	Afs	Afi	Mr-	Mr+	C-	C+	CS	ζ_E
cm	kg*m	kg*m	kg*m	kg*m	cmq	cmq	kg*m	kg*m				
ILN	13438	8178	--	--	8.04	8.04	33602	33602	14	13	2.5	--
45.0	10362	6499	3076	1679	8.04	8.04	33602	33602	14	13	2.5	--
CAMP	7432	7991	6006	4747	8.04	8.04	33602	33602	14	14	2.5	--
405.0	7624	10371	2014	2367	8.04	8.04	33602	33602	13	14	2.6	--
FLN	9638	12737	--	--	8.04	8.04	33602	33602	13	14	2.6	--

X	x-	d-	x-/d-	x+	d+	x+/d+	Mr-	Mr+	C-	C+	Stato-	Stato+
cm	cm	cm		cm	cm		kg*m	kg*m				
ILN	24.3	114.4	0.212	24.2	114.4	0.211	33602	33602	14	13	Parz.	Parz.
45.0	24.3	114.4	0.212	24.2	114.4	0.211	33602	33602	14	13	Parz.	Parz.
CAMP	24.3	114.4	0.212	24.3	114.4	0.212	33602	33602	14	14	Parz.	Parz.
405.0	24.2	114.4	0.211	24.3	114.4	0.212	33602	33602	13	14	Parz.	Parz.
FLN	24.2	114.4	0.211	24.3	114.4	0.212	33602	33602	13	14	Parz.	Parz.

Verifica a taglio: $\cot(\theta)$ Sin=2.093, $\cot(\theta)$ Cen=2.500, $\cot(\theta)$ Des=2.093 Comb: Sin=14 Cen=14 Des=14

Sez	Td	VRdns	VRcd	VRsd	VRd	Tpl	Mr	Dx	Staffe	CS	ζ_E
	kg	kg	kg	kg	kg	kg	kg*m	cm	cmq/m		
Sin	7008	--	84768	84768	84768	0	33602	120.0	10.05	12	--
Cen	6081	--	75143	54523	54523	--	--	--	5.41	9.0	--
Des	5312	--	84768	84768	84768	0	33602	120.0	10.05	16	--

Trave di fondazione: 132 [19,53], Pilastrate [151,-] Sez. R: By=30.0 cm Bz=120.0 cm L=390.0 cm Ln=390.0 cm
 Terreno=Terreno1 Criterio : CLS_TraviFondazione - Verifica a flessione: **Verificato**

X	M-	M+	$\Delta M-$	$\Delta M+$	Afs	Afi	Mr-	Mr+	C-	C+	CS	ζ_E
cm	kg*m	kg*m	kg*m	kg*m	cmq	cmq	kg*m	kg*m				
ILN	5172	6023	--	--	8.04	8.04	33602	33602	13		2	5.6
39.0	4397	5107	776	916	8.04	8.04	33602	33602	13		2	5.6
CAMP	3034	3537	2138	2486	8.04	8.04	33602	33602	13		2	5.6
351.0	347	611	1240	1322	8.04	8.04	33602	33602	13		2	17
FLN	76	325	1078	1141	8.04	8.04	33602	33602	13		2	23

X	x-	d-	x-/d-	x+	d+	x+/d+	Mr-	Mr+	C-	C+	Stato-	Stato+
cm	cm	cm		cm	cm		kg*m	kg*m				
ILN	24.1	114.4	0.211	24.1	114.4	0.211	33602	33602	13	2	Parz.	Parz.
39.0	24.1	114.4	0.211	24.1	114.4	0.211	33602	33602	13	2	Parz.	Parz.
CAMP	24.1	114.4	0.211	24.1	114.4	0.211	33602	33602	13	2	Parz.	Parz.
351.0	24.0	114.4	0.210	24.0	114.4	0.210	33602	33602	13	2	Parz.	Parz.
FLN	24.0	114.4	0.210	24.0	114.4	0.210	33602	33602	13	2	Parz.	Parz.

Verifica a taglio: $\cot(\theta)$ Sin=2.093, $\cot(\theta)$ Cen=2.500, $\cot(\theta)$ Des=2.093 Comb: Sin=2 Cen=2 Des=2

Sez	Td	VRdns	VRcd	VRsd	VRd	Tpl	Mr	Dx	Staffe	CS	ζ_E
	kg	kg	kg	kg	kg	kg	kg*m	cm	cmq/m		
Sin	2463	--	84768	84768	84768	0	33602	120.0	10.05	34	--
Cen	1595	--	75143	55231	55231	--	--	--	5.48	35	--
Des	1067	--	84768	84768	84768	0	33602	120.0	10.05	79	--

Verifica dei Pilastrati

Scenario di calcolo: **Set_SLV_SLD**

Scenario Sisma Verticale: **Set_SLV_SLD-Verticale****Simbologia**

L [cm]	Lunghezza teorica elemento (distanza tra i nodi)
Ln [cm]	Lunghezza netta elemento (tiene conto dei conci rigidi)
L2,L3 [cm]	Lunghezze libere di inflessione
Sez. R: Sezione Rettangolare	
	By[cm]: Larghezza (asse locale y)
	Bz[cm]: Larghezza (asse locale z)
Sez. T: Sezione a T (rovescia e non)	
	Ba[cm]: Larghezza base inferiore
	Ha[cm]: Altezza inferiore
	Bs[cm]: Larghezza superiore
	Hs[cm]: Altezza superiore
Sez. L: Sezione ad L (rovescia e non)	
	Ba[cm]: Larghezza base inferiore
	Ha[cm]: Altezza inferiore
	Bs[cm]: Larghezza superiore
	Hs[cm]: Altezza superiore
Sez. C: Sezione circolare	
	R[cm]: Raggio
Sez. G: Sezione generica	
	B[cm]: Larghezza
	H[cm]: Altezza
Aspigoli	Area di ferro negli spigoli
Afy	Area di ferro sul lato Y
Afz	Area di ferro sul lato Z
Zona	Punto di verifica
1/N	Distanza dall'inizio della lunghezza netta
Piede	Inizio lunghezza netta
Testa	Fine lunghezza netta
Comb	Combinazione di carico: quando Comb non è sismica è individuata dal codice [(+/-)C], quando è sismica è individuata dal codice [(+/-)(Cx+Cy) Cm Sc], (+/-) rappresenta la eventuale traslazione del diagramma del momento dovuta al taglio, come specificato nel criterio di verifica [positiva (+) o negativa (-)]
- C	Individua la Combinazione di Carico non sismica (1, 2, ecc. come da scenario);
- Cx	Individua la Combinazione di Carico sismica in direzione x (SismaX, come da scenario);
- Cy	Individua la Combinazione di Carico sismica in direzione y (SismaY, come da scenario);
- Cm	Individua la Combinazione spostamento masse (I, II, III, IV, V, ecc. come da Combinazioni Sisma in Spostamento masse impalcato);
- Sc	Individua la sottocombinazione ottenuta mediante la permutazione dei segni (1, 2, 3, 4, 5, 6, 7, 8):
1)	$Sc = + SismaZ* fz + SismaX* fx + SismaY* fy$
2)	$Sc = + SismaZ* fz + SismaX* fx - SismaY* fy$
3)	$Sc = + SismaZ* fz - SismaX* fx + SismaY* fy$
4)	$Sc = + SismaZ* fz - SismaX* fx - SismaY* fy$
5)	$Sc = - SismaZ* fz + SismaX* fx + SismaY* fy$
6)	$Sc = - SismaZ* fz + SismaX* fx - SismaY* fy$
7)	$Sc = - SismaZ* fz - SismaX* fx + SismaY* fy$
8)	$Sc = - SismaZ* fz - SismaX* fx - SismaY* fy$
Le ultime quattro sono assenti quando non è richiesto il contributo del sisma in direzione verticale. Le combinazioni delle azioni sismiche così ottenute vengono combinate con i carichi verticali (come da scenario).	
N [kg]	Sforzo Normale
N'y [kg]	Sforzo Normale x Omega2
N'z [kg]	Sforzo Normale x Omega3
My [kg*m]	Momento flettente dir Y
M'y [kg*m]	Momento flettente dir Y x cy
cy [kg*m]	Coefficiente moltiplicativo momento flettente dir Y per verifica a carico di punta
cz [kg*m]	Coefficiente moltiplicativo momento flettente dir Z per verifica a carico di punta
Mz [kg*m]	Momento flettente dir Z
M'z [kg*m]	Momento flettente dir Z x cz
εcmax	Deformazione massima cls (1)
εfmax	Deformazione massima acciaio (1)
εcMy	Deformazione massima cls int direzione Y per pressoflessione retta (1)

$\epsilon_f My$	Deformazione massima acciaio int direzione Y per pressoflessione retta (1)
$\epsilon_c Mz$	Deformazione massima cls int direzione Z per pressoflessione retta (1)
$\epsilon_f Mz$	Deformazione massima acciaio int direzione Z per pressoflessione retta (1)
$\Sigma Mr_t Y$	Somma dei momenti resistenti delle travi in direzione Y(2)
$\Sigma Mr_t Z$	Somma dei momenti resistenti delle travi in direzione Z(2)
$\Sigma My Rich.$	Momento resistente richiesto direzione Y per rispettare la gerarchia(2)
$\Sigma Mz Rich.$	Momento resistente richiesto direzione Z per rispettare la gerarchia(2)
T [kg]	Valore del taglio
Dir[Y-Z]	Direzione della componente di taglio
VRdns [kg]	Resistenza a taglio in assenza di armature
VRcd [kg]	Resistenza taglio-compressione calcestruzzo
VRsd [kg]	Resistenza taglio-trazione acciaio
VRd [kg]	Resistenza a taglio =min(VRcd,VRsd)
VRd,f [kg]	Resistenza a taglio dovuta alla resistenza a trazione del calcestruzzo ad alte prestazioni (quando presente)(cfr. eq 4.2 CNR204/2006), oppure resistenza rinforzo del composito (quando presente)(cfr. eq 4.19 CNR200/2013), oppure resistenza rinforzo della camicia in acciaio (quando presente)(cfr. eq C8.7.4.5 Circolare NTC)
Ast/m [cmq]	Armatura staffe
Min.Norm.	Valore minimo di norma dell' area delle staffe
cot(θ)	cot(θ) secondo il punto 4.1.2.3.5 delle Norme Tecniche
Fatt.Ampl.Sisma	Fattore moltiplicativo di gruppo per le azioni sismiche (solo se diverso da 1.0)
Cs	Coefficiente di sicurezza definito dal rapporto $ Fr / Fd $ (Fr =punto sul dominio di resistenza ottenuto aumentando proporzionalmente Fd , Fd =azione), quando richiesto dal criterio di verifica
ζ_E	Livello di sicurezza sismico definito come rapporto tra l'accelerazione sopportabile e l'accelerazione di progetto(valore stampato quando richiesto dal criterio di verifica)
Verifiche duttilità (quando richieste):	
Zona	Sezione di verifica dell'elemento
Comb.	Combinazione di verifica
Nmax [kg]	Sforzo Normale massimo
Dir	Direzione di flessione (pilastri=Y o Z, travi =Z, pareti= ortogonale alla base)
Mry [kg*m]	Momento di snervamento corrispondente a Nmax
MrU [kg*m]	Momento ultimo (resistente) corrispondente a Nmax sulla sezione depurata del calcestruzzo non confinato, considerando il confinamento
ϕ_y [1/m]	Curvatura allo snervamento ($\phi_y = MrU/Mry * \phi'_y$)
ϕ_u [1/m]	Curvatura allo corrispondente a MrU
μ	Capacità in duttilità della sezione
F.Conf	Fattore di confinamento adottato (= fck,c/fck)
μ_d	Richiesta in duttilità della sezione
Cs	Livello di sicurezza ($Cs = \mu/\mu_d$)

Note Verifica pilastri:

(1) le deformazioni sono stampate a meno del fattore 10^{-3}

(2) I momenti resistenti richiesti sono quelli dovuti alla ripartizione della somma dei momenti resistenti delle travi quando nella tabella dei momenti appare '-' significa che la gerarchia in quella direzione non è applicabile a seconda che il pilastro sia al piano terra o all'ultimo piano, oppure, la combinazione corrente non è sismica, oppure, la combinazione è sismica ma la sua direzione non è nella direzione del pilastro considerata. Un valore nullo dei momenti resistenti è relativo a piede o testa di pilastri in fondazione o copertura

Pilastro: 147 [1,2] Sez. R: By=80.0 cm Bz=80.0 cm L=80.0 cm Ln=80.0 cm Criterio: CLS_Dado - Verifica a presso-flessione deviata: **Verificato**

Piede	AfSpigolo = 2.01	Afy = 6.03	Afz = 6.03
Testa	AfSpigolo = 2.01	Afy = 6.03	Afz = 6.03

$$v_{max}=N/(fcd*A)=0.007 \leq 0.65 \quad [\text{Comb. (18+19)-VIII-8(-)}]$$

Zona	C.	N	My	Mz	Mry+	Mrz+	Mry-	Mrz-	CS	ζ_E
		kg	kg*m	kg*m	kg*m	kg*m	kg*m	kg*m		
Piede	14(-)	8345	10399	-720	33154	33154	33154	33154	2.7	--
Testa	14(-)	10009	3802	-126	32647	32647	32647	32647	5.1	--

Verifica a taglio

Dir	C.	MrSup	MrInf	T	Vrdns	Vrcd	Vrsd	Vrd	Ast/m	cot(θ)	Cs	ζ_E
		kg*m	kg*m	kg	kg	kg	kg	kg	cmq/m			
Y	(18+19)-I-5	--	--	3475	--	131067	65852	65852	10.05	2.500	19	23
Z	11	--	--	16112	--	130318	65852	65852	10.05	2.500	4.1	--

Pilastro: 148 [15,16] Sez. R: By=80.0 cm Bz=80.0 cm L=80.0 cm Ln=80.0 cm Criterio: CLS_Dado - Verifica a presso-flessione deviata: **Verificato**

Piede	AfSpigolo = 2.01	Afy = 6.03	Afz = 6.03
Testa	AfSpigolo = 2.01	Afy = 6.03	Afz = 6.03

$$v_{max}=N/(fcd*A)=0.008 \leq 0.65 \quad [\text{Comb. (18+19)-VIII-5(-)}]$$

Zona	C.	N	My	Mz	Mry+	Mrz+	Mry-	Mrz-	CS	ζ_E
		kg	kg*m	kg*m	kg*m	kg*m	kg*m	kg*m		
Piede	16(+)	4815	437	1	34225	34225	34225	34225	19	--
Testa	16(+)	6479	983	20	33721	33721	33721	33721	12	--

Verifica a taglio

Dir	C.	MrSup	MrInf	T	Vrdns	Vrcd	Vrsd	Vrd	Ast/m	cot(θ)	Cs	ζ_E
		kg*m	kg*m	kg	kg	kg	kg	kg	cmq/m			
Y	(18+19)-V-6	--	--	3017	--	131117	65852	65852	10.05	2.500	22	23
Z	(18+19)-IV-6	--	--	4192	--	131207	65852	65852	10.05	2.500	16	23

Pilastro: 149 [3,4] Sez. R: By=80.0 cm Bz=80.0 cm L=80.0 cm Ln=80.0 cm Criterio: CLS_Dado - Verifica a presso-flessione deviata: **Verificato**

Piede	AfSpigolo = 2.01	Afy = 6.03	Afz = 6.03
Testa	AfSpigolo = 2.01	Afy = 6.03	Afz = 6.03

$$v_{max}=N/(fcd*A)=0.009 \leq 0.65 \quad [\text{Comb. (18+19)-IV-6(+)}]$$

Zona	C.	N	My	Mz	Mry+	Mrz+	Mry-	Mrz-	CS	ζ_E
		kg	kg*m	kg*m	kg*m	kg*m	kg*m	kg*m		
Piede	14(-)	11247	2318	1314	32270	32270	32270	32270	5.2	--
Testa	11(+)	12629	-3125	446	31847	31847	31847	31847	4.9	--

Verifica a taglio

Dir	C.	MrSup	MrInf	T	Vrdns	Vrcd	Vrsd	Vrd	Ast/m	cot(θ)	Cs	ζ_E
		kg*m	kg*m	kg	kg	kg	kg	kg	cmq/m			
Y	(18+19)-I-6	--	--	3745	--	131236	65852	65852	10.05	2.500	18	22
Z	6	--	--	8599	--	130318	65852	65852	10.05	2.500	7.7	--

Pilastro: 150 [13,14] Sez. R: By=80.0 cm Bz=80.0 cm L=80.0 cm Ln=80.0 cm Criterio: CLS_Dado - Verifica a presso-flessione deviata: **Verificato**

Piede	AfSpigolo = 2.01	Afy = 6.03	Afz = 6.03
Testa	AfSpigolo = 2.01	Afy = 6.03	Afz = 6.03

$$v_{max}=N/(fcd*A)=0.009 \leq 0.65 \quad [\text{Comb. (18+19)-VIII-5(+)}]$$

Zona	C.	N	My	Mz	Mry+	Mrz+	Mry-	Mrz-	CS	ζ_E
		kg	kg*m	kg*m	kg*m	kg*m	kg*m	kg*m		
Piede	13(+)	6123	-152	281	33829	33829	33829	33829	17	--
Testa	16(+)	6639	964	7	33672	33672	33672	33672	12	--

Verifica a taglio

Dir	C.	MrSup	MrInf	T	Vrdns	Vrcd	Vrsd	Vrd	Ast/m	cot(θ)	Cs	ζ_E
		kg*m	kg*m	kg	kg	kg	kg	kg	cmq/m			
Y	(18+19)-V-6	--	--	3382	--	131161	65852	65852	10.05	2.500	19	22
Z	(18+19)-IV-6	--	--	4149	--	131213	65852	65852	10.05	2.500	16	21

Pilastro: 151 [19,20] Sez. R: By=80.0 cm Bz=80.0 cm L=80.0 cm Ln=80.0 cm Criterio: CLS_Dado - Verifica a presso-flessione deviata: **Verificato**

Piede	AfSpigolo = 2.01	Afy = 6.03	Afz = 6.03
Testa	AfSpigolo = 2.01	Afy = 6.03	Afz = 6.03

$$v_{max} = N / (f_{cd} * A) = 0.009 \leq 0.65 \quad [\text{Comb. (18+19)-II-5(-)}]$$

Zona	C.	N	My	Mz	Mry+	Mrz+	Mry-	Mrz-	CS	ζ_E
		kg	kg*m	kg*m	kg*m	kg*m	kg*m	kg*m		
Piede	14(-)	-11449	10505	1827	39076	39076	39076	39076	4.6	--
Testa	13(-)	7157	-1747	948	33515	33515	33515	33515	7.6	--

Verifica a taglio

Dir	C.	MrSup	MrInf	T	Vrdns	Vrcd	Vrsd	Vrd	Ast/m	cot(θ)	Cs	ζ_E
		kg*m	kg*m	kg	kg	kg	kg	kg	cmq/m			
Y	(18+19)-V-7	--	--	4521	--	131357	65852	65852	10.05	2.500	15	23
Z	11	--	--	14771	--	131894	65852	65852	10.05	2.500	4.5	--

Pilastro: 152 [8,7] Sez. R: By=80.0 cm Bz=80.0 cm L=80.0 cm Ln=80.0 cm Criterio: CLS_Dado - Verifica a presso-flessione deviata: **Verificato**

Piede	AfSpigolo = 2.01	Afy = 6.03	Afz = 6.03
Testa	AfSpigolo = 2.01	Afy = 6.03	Afz = 6.03

$$v_{max} = N / (f_{cd} * A) = 0.008 \leq 0.65 \quad [\text{Comb. (18+19)-II-8(-)}]$$

Zona	C.	N	My	Mz	Mry+	Mrz+	Mry-	Mrz-	CS	ζ_E
		kg	kg*m	kg*m	kg*m	kg*m	kg*m	kg*m		
Piede	14(-)	10397	2256	-804	32529	32529	32529	32529	5.9	--
Testa	11(+)	11690	-3258	581	32134	32134	32134	32134	5.0	--

Verifica a taglio

Dir	C.	MrSup	MrInf	T	Vrdns	Vrcd	Vrsd	Vrd	Ast/m	cot(θ)	Cs	ζ_E
		kg*m	kg*m	kg	kg	kg	kg	kg	cmq/m			
Y	(18+19)-III-5	--	--	3061	--	131222	65852	65852	10.05	2.500	22	22
Z	6	--	--	8618	--	130318	65852	65852	10.05	2.500	7.6	--

Pilastro: 153 [5,6] Sez. R: By=80.0 cm Bz=80.0 cm L=80.0 cm Ln=80.0 cm Criterio: CLS_Dado - Verifica a presso-flessione deviata: **Verificato**

Piede	AfSpigolo = 2.01	Afy = 6.03	Afz = 6.03
Testa	AfSpigolo = 2.01	Afy = 6.03	Afz = 6.03

$$v_{max} = N / (f_{cd} * A) = 0.008 \leq 0.65 \quad [\text{Comb. (18+19)-IV-6(-)}]$$

Zona	C.	N	My	Mz	Mry+	Mrz+	Mry-	Mrz-	CS	ζ_E
		kg	kg*m	kg*m	kg*m	kg*m	kg*m	kg*m		
Piede	14(-)	10914	2256	-216	32371	32371	32371	32371	6.2	--
Testa	11(+)	11737	-3245	590	32120	32120	32120	32120	5.0	--

Verifica a taglio

Dir	C.	MrSup	MrInf	T	Vrdns	Vrcd	Vrsd	Vrd	Ast/m	cot(θ)	Cs	ζ_E
		kg*m	kg*m	kg	kg	kg	kg	kg	cmq/m			

Dir	C.	MrSup	MrInf	T	Vrdns	Vrcd	Vrsd	Vrd	Ast/m	cot(θ)	Cs	ζ _E
Y	(18+19)-I-4	--	--	2569	--	131341	65852	65852	10.05	2.500	26	26
Z	6	--	--	8780	--	130516	65852	65852	10.05	2.500	7.5	--

Pilastro: 154 [9,10] Sez. R: By=80.0 cm Bz=80.0 cm L=80.0 cm Ln=80.0 cm Criterio: CLS_Dado - Verifica a presso-flessione deviata: **Verificato**

Piede	AfSpigolo = 2.01	Afy = 6.03	Afz = 6.03
Testa	AfSpigolo = 2.01	Afy = 6.03	Afz = 6.03

$$v_{max}=N/(fcd*A)=0.009 \leq 0.65 \quad [\text{Comb. (18+19)-VI-6(-)}]$$

Zona	C.	N	My	Mz	Mry+	Mrz+	Mry-	Mrz-	CS	ζ _E
		kg	kg*m	kg*m	kg*m	kg*m	kg*m	kg*m		
Piede	14(-)	11268	12949	1877	32263	32263	32263	32263	2.1	--
Testa	14(-)	12932	4916	970	31754	31754	31754	31754	3.8	--

Verifica a taglio

Dir	C.	MrSup	MrInf	T	Vrdns	Vrcd	Vrsd	Vrd	Ast/m	cot(θ)	Cs	ζ _E
		kg*m	kg*m	kg	kg	kg	kg	kg	cmq/m			
Y	(18+19)-III-5	--	--	3102	--	131184	65852	65852	10.05	2.500	21	23
Z	11	--	--	19219	--	130318	65852	65852	10.05	2.500	3.4	--

Pilastro: 155 [11,12] Sez. R: By=80.0 cm Bz=80.0 cm L=80.0 cm Ln=80.0 cm Criterio: CLS_Dado - Verifica a presso-flessione deviata: **Verificato**

Piede	AfSpigolo = 2.01	Afy = 6.03	Afz = 6.03
Testa	AfSpigolo = 2.01	Afy = 6.03	Afz = 6.03

$$v_{max}=N/(fcd*A)=0.007 \leq 0.65 \quad [\text{Comb. (18+19)-IV-7(-)}]$$

Zona	C.	N	My	Mz	Mry+	Mrz+	Mry-	Mrz-	CS	ζ _E
		kg	kg*m	kg*m	kg*m	kg*m	kg*m	kg*m		
Piede	14(-)	-9159	8703	-1890	38401	38401	38401	38401	5.4	--
Testa	13(+)	5424	123	1231	34040	34040	34040	34040	12	--

Verifica a taglio

Dir	C.	MrSup	MrInf	T	Vrdns	Vrcd	Vrsd	Vrd	Ast/m	cot(θ)	Cs	ζ _E
		kg*m	kg*m	kg	kg	kg	kg	kg	cmq/m			
Y	(18+19)-V-6	--	--	4333	--	131069	65852	65852	10.05	2.500	15	24
Z	11	--	--	12558	--	131603	65852	65852	10.05	2.500	5.2	--

Pilastro: 156 [18,17] Sez. R: By=80.0 cm Bz=80.0 cm L=80.0 cm Ln=80.0 cm Criterio: CLS_Dado - Verifica a presso-flessione deviata: **Verificato**

Piede	AfSpigolo = 2.01	Afy = 6.03	Afz = 6.03
Testa	AfSpigolo = 2.01	Afy = 6.03	Afz = 6.03

$$v_{max}=N/(fcd*A)=0.008 \leq 0.65 \quad [\text{Comb. (18+19)-VI-7(-)}]$$

Zona	C.	N	My	Mz	Mry+	Mrz+	Mry-	Mrz-	CS	ζ _E
		kg	kg*m	kg*m	kg*m	kg*m	kg*m	kg*m		
Piede	13(+)	5595	-117	241	33989	33989	33989	33989	19	--
Testa	16(+)	6212	1028	-1	33802	33802	33802	33802	12	--

Verifica a taglio

Dir	C.	MrSup	MrInf	T	Vrdns	Vrcd	Vrsd	Vrd	Ast/m	cot(θ)	Cs	ζ _E
		kg*m	kg*m	kg	kg	kg	kg	kg	cmq/m			
Y	(18+19)-V-6	--	--	3097	--	131215	65852	65852	10.05	2.500	21	22
Z	(18+19)-II-8	--	--	4126	--	131166	65852	65852	10.05	2.500	16	20

Verifica delle travi

Scenario di calcolo: **Set_SLV_SLD**

Scenario Sisma Verticale: **Set_SLV_SLD-Verticale**

Simbologia:

Terreno	Nome della stratigrafia per travi Winkler
L [cm]	Lunghezza teorica elemento (distanza tra i nodi)
Ln [cm]	Lunghezza netta elemento (tiene conto dei conci rigidi)
L2,L3 [cm]	Lunghezze libere di inflessione
Sez. R: Sezione Rettangolare	
	By[cm]: Larghezza (asse locale y)
	Bz[cm]: Larghezza (asse locale z)
Sez. T: Sezione a T (rovescia e non)	
	Ba[cm]: Larghezza base inferiore
	Ha[cm]: Altezza inferiore
	Bs[cm]: Larghezza superiore
	Hs[cm]: Altezza superiore
Sez. L: Sezione ad L (rovescia e non)	
	Ba[cm]: Larghezza base inferiore
	Ha[cm]: Altezza inferiore
	Bs[cm]: Larghezza superiore
	Hs[cm]: Altezza superiore
Sez. C: Sezione circolare	
	R[cm]: Raggio
Sez. G: Sezione generica	
	B[cm]: Larghezza
	H[cm]: Altezza
Fatt.Ampl.Sisma	Fattore moltiplicativo di gruppo per le azioni sismiche (solo se diverso da 1.0)
X [cm]	Punto di verifica
ILN	Inizio luce netta
CAMP	Punto di massimo momento sia superiore che inferiore ad esclusione degli estremi
FLN	Fine luce netta
M- [kg*m]	Momento negativo massimo di calcolo ⁽¹⁾
N- [kg]	Sforzo normale corrispondente ad M-
M+ [kg*m]	Momento positivo massimo di calcolo ⁽¹⁾
N+ [kg]	Sforzo normale corrispondente ad M+
ΔM- [kg*m]	Incremento di M- per la traslazione del diagramma del momento a causa del taglio
ΔM+ [kg*m]	Incremento di M+ per la traslazione del diagramma del momento a causa del taglio
Afs [cmq]	Area di ferro superiore
Afi [cmq]	Area di ferro inferiore
εsc-	Deformazione nel cls per effetto di M-:N- ⁽⁴⁾
εsc+	Deformazione nel cls per effetto di M+:N+ ⁽⁴⁾
εsf-	Deformazione nell'acciaio per effetto di M-:N- ⁽⁴⁾
εsf+	Deformazione nell'acciaio per effetto di M+:N+ ⁽⁴⁾
C-	Combinazione di carico generatore di M-:N-
C+	Combinazione di carico generatore di M+:N+
x- [cm]	Profondità asse neutro per la combinazione C- ⁽⁵⁾
d- [cm]	Altezza utile della sezione per la combinazione C- ⁽⁶⁾
x+ [cm]	Profondità asse neutro per la combinazione C+ ⁽⁵⁾
d+ [cm]	Altezza utile della sezione per la combinazione C+ ⁽⁶⁾
Mr- [kg*m]	Momento resistente superiore
Mr+ [kg*m]	Momento resistente inferiore
Stato-	Stato della sezione per la combinazione C- ⁽⁷⁾
Stato+	Stato della sezione per la combinazione C+ ⁽⁷⁾
Comb	Combinazione di carico: quando Comb non è sismica è individuata dal codice [C], quando è sismica è individuata dal codice [(Cx+Cy) Cm Sc].
- C	Individua la Combinazione di Carico non sismica (1, 2, ecc. come da scenario);
- Cx	Individua la Combinazione di Carico sismica in direzione x (SismaX, come da scenario);
- Cy	Individua la Combinazione di Carico sismica in direzione y (SismaY, come da scenario);
- Cm	Individua la Combinazione spostamento masse (I, II, III, IV, V, ecc. come da Combinazioni Sisma in Spostamento masse impalcato);
- Sc	Individua la sottocombinazione ottenuta mediante la permutazione dei segni (1, 2, 3, 4, 5, 6, 7, 8):
1)	Sc = + SismaZ*fz + SismaX*fx + SismaY*fy
2)	Sc = + SismaZ*fz + SismaX*fx - SismaY*fy
3)	Sc = + SismaZ*fz - SismaX*fx + SismaY*fy
4)	Sc = + SismaZ*fz - SismaX*fx - SismaY*fy.

- 5) $S_c = -S_{ismaZ} \cdot f_z + S_{ismaX} \cdot f_x + S_{ismaY} \cdot f_y$
 6) $S_c = -S_{ismaZ} \cdot f_z + S_{ismaX} \cdot f_x - S_{ismaY} \cdot f_y$
 7) $S_c = -S_{ismaZ} \cdot f_z - S_{ismaX} \cdot f_x + S_{ismaY} \cdot f_y$
 8) $S_c = -S_{ismaZ} \cdot f_z - S_{ismaX} \cdot f_x - S_{ismaY} \cdot f_y$

Le ultime quattro sono assenti quando non è richiesto il contributo del sisma in direzione verticale. Le combinazioni delle azioni sismiche così ottenute vengono combinate con i carichi verticali (come da scenario).

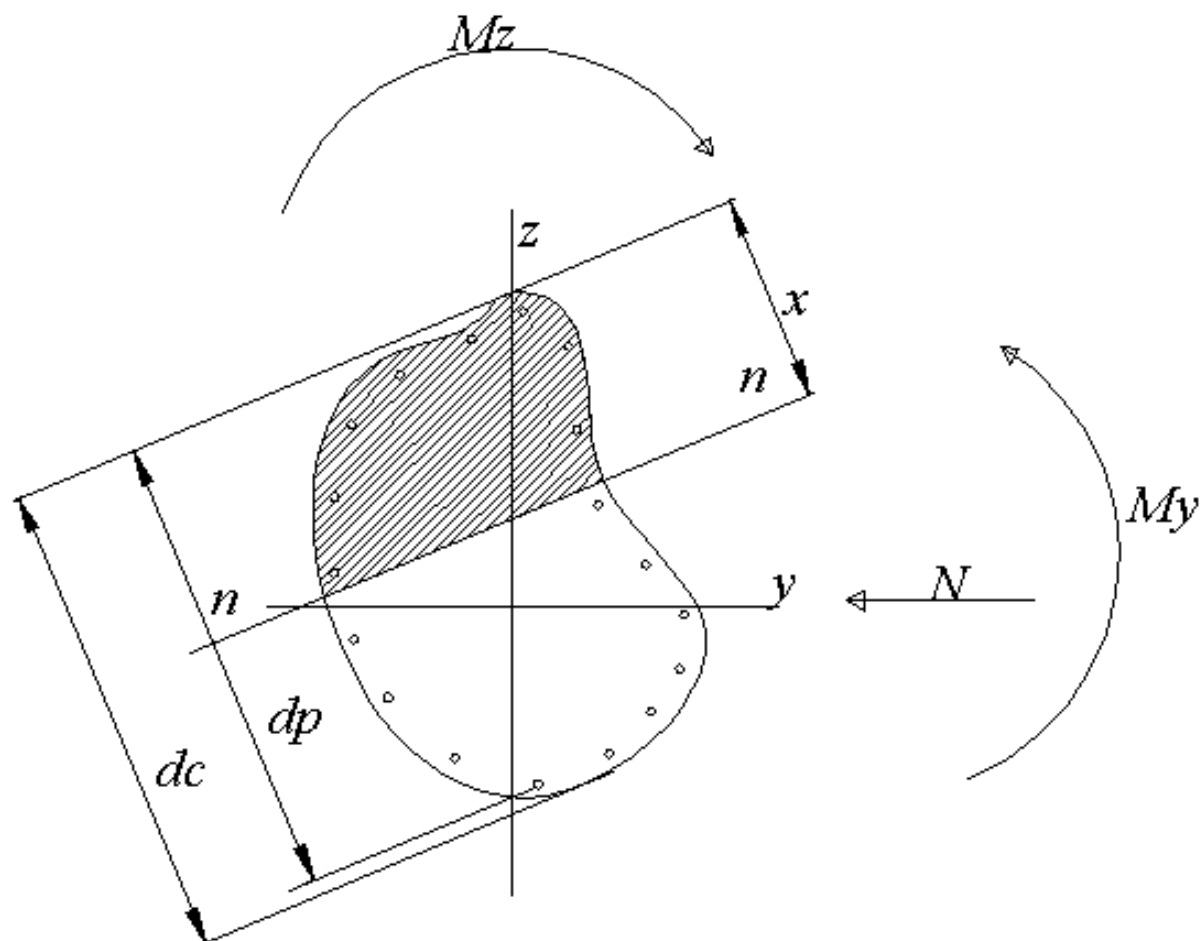
Sez	Sezione di verifica [Sinistra/Destra]
Td [kg]	Taglio di verifica ⁽²⁾
VRdns [kg]	Resistenza a taglio in assenza di armature
VRcd [kg]	Resistenza taglio-compressione calcestruzzo
VRsd [kg]	Resistenza taglio-trazione acciaio
VRd [kg]	Resistenza a taglio =min(VRcd,VRsd)
VRd,f [kg]	Resistenza a taglio dovuta alla resistenza a trazione del calcestruzzo ad alte prestazioni (quando presente)(cfr. eq 4.2 CNR204/2006), oppure resistenza rinforzo del composito (quando presente)(cfr. eq 4.19 CNR200/2013), oppure resistenza rinforzo della camicia in acciaio (quando presente)(cfr. eq C8.7.4.5 Circolare NTC)
Mt [kg*m]	Momento torcente
Tpl [kg]	Taglio dovuto ai momenti resistenti alle estremità della trave
Mr [kg*m]	Momento resistente (ultimo) utilizzato per il calcolo di Tpl quando richiesto
Dx [cm]	Distanza dall'estremo da armare con staffe
Staffe [cmq]	Area delle staffe
cot(θ)	cot(θ) secondo il punto 4.1.2.3.5 delle Norme Tecniche
F.Par. [cmq]	Area armatura longitudinale di parete ⁽³⁾
Cs	Coefficiente di sicurezza definito dal rapporto Fr/Fd (Fr=resistenza,Fd=azione)
ζ _E	Livello di sicurezza sismico definito come rapporto tra l'accelerazione sopportabile e l'accelerazione di progetto, quando richiesto dal criterio di verifica
Simbologia verifica travi collegamento:	
Comb	Combinazione più gravosa
Nsd [kg]	Azione verticale negli elementi collegati, nella combinazione specificata
α	Coefficiente in funzione della classe di terreno (NTC 7.2.5.1)
a/g	Punto di aggancio dello spettro di accelerazione [a/g=Sa(0)]
N	Sforzo normale di verifica $N = \alpha \cdot Nsd \cdot a/g$
Af [cmq]	Area di ferro complessiva nella sezione
NRd C [kg]	Resistenza a compressione della sezione
NRd T [kg]	Resistenza a trazione della sezione

Verifiche duttilità (quando richieste):

Zona	Sezione di verifica dell'elemento
Comb.	Combinazione di verifica
Nmax [kg]	Sforzo Normale massimo
Dir	Direzione di flessione (pilastri=Y o Z, travi =Z, pareti= ortogonale alla base)
Mry [kg*m]	Momento di snervamento corrispondente a Nmax
MrU [kg*m]	Momento ultimo (resistente) corrispondente a Nmax sulla sezione depurata del calcestruzzo non confinato, considerando il confinamento
φy[1/m]	Curvatura allo snervamento ($\phi_y = MrU/Mry \cdot \phi'_y$)
φu[1/m]	Curvatura allo corrispondente a MrU
μ	Capacità in duttilità della sezione
F.Conf	Fattore di confinamento adottato (= fck,c/fck)
μd	Richiesta in duttilità della sezione
Cs	Livello di sicurezza ($Cs = \mu/\mu_d$)

Note Verifica travi:

- (1) il valore del momento di verifica è dato da $M + \Delta M$
- (2) Td è il valore di verifica a taglio esso è calcolato in funzione della somma tra taglio da carichi verticali il valore di Tpl ovvero quando la trave è tozza amplificando il taglio di calcolo dovuto al sisma per il fattore di comportamento
- (3) armatura necessaria per la sola verifica a torsione
- (4) le deformazioni sono stampate a meno del fattore 10^{-3}
- (5) distanza tra la fibra di cls compressa piu' lontana e l'asse neutro in direzione ortogonale all'asse neutro
- (6) distanza tra le fibre sollecitate piu' lontane dall'asse neutro: nel caso di sezione parzializzata le due fibre sono quella di cls compresso e quella dell'acciaio teso piu lontane da n-n, mentre nel caso di sezione completamente compressa le due fibre sono le due di cls compresso piu lontane da n-n
- (7) Indica lo stato della sezione se: completamente compressa (Compr.),completamente tesa (Tesa), parzializzata (Parz.)



*$M_z=0$ per presso-flessione retta e z asse di simmetria
 $d = d_p$ per sezione parzializzata
 $d = d_c$ per sezione completamente compressa ($x \geq d_c$)*

Schema geometrico verifica della sezione

Trave: 133 [11,13], Pilastrate [155,150] Sez. R: By=30.0 cm Bz=40.0 cm L=720.0 cm Ln=720.0 cm Criterio : Cls aste collegamento Plinti : **Verificato**

Verifica asta collegamento

Verifica a compressione : $\lambda=83.138$ $\lambda_{lim}=658.094$ **Verificato**

Verifica a resistenza

Comb	Nsd	α	a/g	N	Af	NRd C	NRd T	Cs	Ver
	kg			kg	cmq	kg	kg		
(18+19)-IV-3	14000	0.20	0.087	244	12.06	216526	47206	7.9	Si

Trave: 133 [13,15], Pilastrate [150,148] Sez. R: By=30.0 cm Bz=40.0 cm L=720.0 cm Ln=720.0 cm Criterio : Cls aste collegamento Plinti : **Verificato**

Verifica asta collegamento

Verifica a compressione : $\lambda=83.138$ $\lambda_{lim}=612.873$ **Verificato**

Verifica a resistenza

Comb	Nsd	α	a/g	N	Af	NRd C	NRd T	Cs	Ver
	kg			kg	cmq	kg	kg		
(18+19)-VIII-1	16143	0.20	0.087	282	12.06	216526	47206	7.4	Si

Trave: 133 [15,18], Pilastrate [148,156] Sez. R: By=30.0 cm Bz=40.0 cm L=720.0 cm Ln=720.0 cm Criterio : Cls aste collegamento Plinti : **Verificato**

Verifica asta collegamento

Verifica a compressione : $\lambda=83.138$ $\lambda_{lim}=617.078$ **Verificato**

Verifica a resistenza

Comb	Nsd	α	a/g	N	Af	NRd C	NRd T	Cs	Ver
	kg			kg	cmq	kg	kg		
(18+19)-VIII-3	15924	0.20	0.087	278	12.06	216526	47206	7.4	Si

Trave: 133 [18,19], Pilastrate [156,151] Sez. R: By=30.0 cm Bz=40.0 cm L=720.0 cm Ln=720.0 cm Criterio : Cls aste collegamento Plinti : **Verificato**

Verifica asta collegamento

Verifica a compressione : $\lambda=83.138$ $\lambda_{lim}=651.298$ **Verificato**

Verifica a resistenza

Comb	Nsd	α	a/g	N	Af	NRd C	NRd T	Cs	Ver
	kg			kg	cmq	kg	kg		
(18+19)-II-1	14294	0.20	0.087	249	12.06	216526	47206	7.8	Si

Trave: 134 [3,13], Pilastrate [149,150] Sez. R: By=30.0 cm Bz=40.0 cm L=450.0 cm Ln=450.0 cm Criterio : Cls aste collegamento Plinti : **Verificato**

Verifica asta collegamento

Verifica a compressione : $\lambda=51.962$ $\lambda_{lim}=660.285$ **Verificato**

Verifica a resistenza

Comb	Nsd	α	a/g	N	Af	NRd C	NRd T	Cs	Ver
	kg			kg	cmq	kg	kg		
(18+19)-VIII-1	13908	0.20	0.087	243	12.06	216526	47206	13	Si

Trave: 134 [13,47], Pilastrate [150,--] Sez. R: By=30.0 cm Bz=40.0 cm L=390.0 cm Ln=390.0 cm Criterio : Cls aste collegamento Plinti : **Verificato**

Verifica asta collegamento

Verifica a compressione : $\lambda=45.033$ $\lambda_{lim}=610.520$ **Verificato**

Verifica a resistenza

Comb	Nsd	α	a/g	N	Af	NRd C	NRd T	Cs	Ver
	kg			kg	cmq	kg	kg		
(18+19)-VIII-1	16267	0.20	0.087	284	12.06	216526	47206	14	Si

Trave: 135 [5,15], Pilastrate [153,148] Sez. R: By=30.0 cm Bz=40.0 cm L=450.0 cm Ln=450.0 cm Criterio : Cls aste collegamento Plinti : **Verificato**

Verifica asta collegamento

Verifica a compressione : $\lambda=51.962$ $\lambda_{lim}=662.869$ **Verificato**

Verifica a resistenza

Comb	Nsd	α	a/g	N	Af	NRd C	NRd T	Cs	Ver
	kg			kg	cmq	kg	kg		
(18+19)-VIII-1	13799	0.20	0.087	241	12.06	216526	47206	13	Si

Trave: 135 [15,49], Pilastrate [148,--] Sez. R: By=30.0 cm Bz=40.0 cm L=390.0 cm Ln=390.0 cm Criterio : Cls aste collegamento Plinti : **Verificato**

Verifica asta collegamento

Verifica a compressione : $\lambda=45.033$ $\lambda_{lim}=615.253$ **Verificato**

Verifica a resistenza

Comb	Nsd	α	a/g	N	Af	NRd C	NRd T	Cs	Ver
	kg			kg	cmq	kg	kg		
(18+19)-VIII-1	16018	0.20	0.087	280	12.06	216526	47206	14	Si

Trave: 136 [8,18], Pilastrate [152,156] Sez. R: By=30.0 cm Bz=40.0 cm L=450.0 cm Ln=450.0 cm Criterio : Cls aste collegamento Plinti : **Verificato**

Verifica asta collegamento

Verifica a compressione : $\lambda=51.962$ $\lambda_{lim}=666.180$ **Verificato**

Verifica a resistenza

Comb	Nsd	α	a/g	N	Af	NRd C	NRd T	Cs	Ver
	kg			kg	cmq	kg	kg		
(18+19)-VI-3	13663	0.20	0.087	238	12.06	216526	47206	13	Si

Trave: 136 [18,51], Pilastrate [156,--] Sez. R: By=30.0 cm Bz=40.0 cm L=390.0 cm Ln=390.0 cm Criterio : Cls aste collegamento Plinti : **Verificato**

Verifica asta collegamento

Verifica a compressione : $\lambda=45.033$ $\lambda_{lim}=617.588$ **Verificato**

Verifica a resistenza

Comb	Nsd	α	a/g	N	Af	NRd C	NRd T	Cs	Ver
	kg			kg	cmq	kg	kg		
(18+19)-VI-3	15897	0.20	0.087	277	12.06	216526	47206	14	Si

Verifica Plinti

Scenario di calcolo: **Set_SLV_SLD**

Scenario Sisma Verticale: **Set_SLV_SLD-Verticale**

Simbologia: PLINTI DIRETTI

H [cm]	Altezza totale del plinto
Hsup [cm]	Altezza della eventuale parte a tronco di piramide
Bx [cm]	Base inferiore parallela ad X
By [cm]	Base inferiore parallela ad Y
Bxsup [cm]	Base superiore parallela ad X
Bysup [cm]	Base superiore parallela ad Y
MagrX [cm]	Larghezza Magrone parallela ad X
MagrY [cm]	Larghezza Magrone parallela ad Y
Hmagr [cm]	Altezza Magrone
TR.X [cm]	Traslazione secondo l'asse X globale
TR.Y [cm]	Traslazione secondo l'asse Y globale
Rot. [°]	Rotazione intorno all'asse Z globale
F.punz [kg]	Forza di punzonamento
F. Punz.res [kg]	Resistenza di punzonamento
Arm.punz [cmq]	armatura a punzonamento
Afx [cmq]	Armatura inferiore parallela ad X
Afy [cmq]	Armatura inferiore parallela ad Y
Apx [cmq]	Armatura ferri piegati parallela ad X
Apy [cmq]	Armatura ferri piegati parallela ad Y
N [kg]	Sforzo Normale

Mx [kg*m]	Momento flettente dir X del plinto
My [kg*m]	Momento flettente dir Y del plinto
Mfx [kg*m]	Momento flettente dir X della sezione di verifica plinto con base disposta secondo Y
Mfy [kg*m]	Momento flettente dir Y della sezione di verifica plinto con base disposta secondo X
ϵ_{cx}	Deformazione cls dovuto al momento Mfx (1)
ϵ_{cy}	Deformazione cls dovuto al momento Mfy (1)
ϵ_{fx}	Deformazione acciaio dovuto al momento Mfx(1)
ϵ_{fy}	Deformazione acciaio dovuto al momento Mfy(1)
σ_1 [kg/cm ²]	Tensione terreno in corrispondente Filo Fisso 1
σ_3 [kg/cm ²]	Tensione terreno in corrispondente Filo Fisso 3
σ_7 [kg/cm ²]	Tensione terreno in corrispondente Filo Fisso 7
σ_9 [kg/cm ²]	Tensione terreno in corrispondente Filo Fisso 9
Comb	Combinazione di carico: quando Comb non è sismica è individuata dal codice [C], quando è sismica è individuata dal codice [(Cx+Cy) Cm Sc].
- C	Individua la Combinazione di Carico non sismica (1, 2, ecc. come da scenario);
- Cx	Individua la Combinazione di Carico sismica in direzione x (SismaX, come da scenario);
- Cy	Individua la Combinazione di Carico sismica in direzione y (SismaY, come da scenario);
- Cm	Individua la Combinazione spostamento masse (I, II, III, IV, V, ecc. come da Combinazioni Sisma in Spostamento masse impalcato);
- Sc	Individua la sottocombinazione ottenuta mediante la permutazione dei segni (1, 2, 3, 4, 5, 6, 7, 8):
1)	Sc = + SismaZ*fz + SismaX*fx + SismaY*fy
2)	Sc = + SismaZ*fz + SismaX*fx - SismaY*fy
3)	Sc = + SismaZ*fz - SismaX*fx + SismaY*fy
4)	Sc = + SismaZ*fz - SismaX*fx - SismaY*fy.
5)	Sc = - SismaZ*fz + SismaX*fx + SismaY*fy
6)	Sc = - SismaZ*fz + SismaX*fx - SismaY*fy
7)	Sc = - SismaZ*fz - SismaX*fx + SismaY*fy
8)	Sc = - SismaZ*fz - SismaX*fx - SismaY*fy.

Le ultime quattro sono assenti quando non è richiesto il contributo del sisma in direzione verticale. Le combinazioni delle azioni sismiche così ottenute vengono combinate con i carichi verticali (come da scenario).

Fatt.Ampl.Sisma Fattore moltiplicativo di gruppo per le azioni sismiche (solo se diverso da 1.0)

Cs Coefficiente di sicurezza definito dal rapporto Fr/Fd (Fr=resistenza,Fd=azione)

Note Verifica plinti:

(1): le deformazioni sono stampate a meno del fattore 10^{-3}

Plinto n°: 1 [Nodo 1] - Tipo: Plinto Diretto - Crit.Prog.: CLS_Plinti - Terreno: Terreno1

H	HSup	Bx	By	BxSup	BySup	MagrX	MagrY	HMagr	TR.X	TR.Y	Rot
cm	cm	cm	cm	cm	cm	cm	cm	cm	cm	cm	°
40.0	0.0	225.0	225.0	225.0	225.0	245.0	245.0	10.0	0.0	0.0	0

Peso plinto	Peso Magr	F punz	Res. punz	Arm.punz	Afx	Afy	Apx	Apy
kg	kg	kg	kg	cmq	cmq	cmq	cmq	cmq
5063	1501	3023 (C. 1)	103143	0.00	20.11	20.11	4.02	4.02

Tensioni terreno

C.	N	Mx	My	σ_1	σ_3	σ_7	σ_9
	kg	kg*m	kg*m	kg/cmq	kg/cmq	kg/cmq	kg/cmq
1	19428	-40	4	0.36	0.36	0.35	0.35

Verifica sezioni

C.	Mfx	Mfy	Mrx	Mry	Csx	Csy
	kg*m	kg*m	kg*m	kg*m		
1	2270	2278	25974	25974	11	11

Plinto: **Verificato****Plinto n°: 3 [Nodo 3]** - Tipo: Plinto Diretto - Crit.Prog.: CLS_Plinti - Terreno: Terreno1

H	HSup	Bx	By	BxSup	BySup	MagrX	MagrY	HMagr	TR.X	TR.Y	Rot
cm	cm	cm	cm	cm	cm	cm	cm	cm	cm	cm	°
40.0	0.0	225.0	225.0	225.0	225.0	245.0	245.0	10.0	0.0	0.0	0

Peso plinto	Peso Magr	F punz	Res. punz	Arm.punz	Afx	Afy	Apx	Apy
kg	kg	kg	kg	cmq	cmq	cmq	cmq	cmq
5063	1501	4003 (C. 1)	103143	0.00	20.11	20.11	4.02	4.02

Tensioni terreno

C.	N	Mx	My	σ_1	σ_3	σ_7	σ_9
	kg	kg*m	kg*m	kg/cmq	kg/cmq	kg/cmq	kg/cmq
1	21411	43	-38	0.39	0.39	0.39	0.39

Verifica sezioni

C.	Mfx	Mfy	Mrx	Mry	Csx	Csy
	kg*m	kg*m	kg*m	kg*m		
1	2509	2510	25974	25974	10	10

Plinto: **Verificato****Plinto n°: 5 [Nodo 5]** - Tipo: Plinto Diretto - Crit.Prog.: CLS_Plinti - Terreno: Terreno1

H	HSup	Bx	By	BxSup	BySup	MagrX	MagrY	HMagr	TR.X	TR.Y	Rot
cm	cm	cm	cm	cm	cm	cm	cm	cm	cm	cm	°
40.0	0.0	225.0	225.0	225.0	225.0	245.0	245.0	10.0	0.0	0.0	0

Peso plinto	Peso Magr	F punz	Res. punz	Arm.punz	Afx	Afy	Apx	Apy
kg	kg	kg	kg	cmq	cmq	cmq	cmq	cmq
5063	1501	4117 (C. 1)	103143	0.00	20.11	20.11	4.02	4.02

Tensioni terreno

C.	N	Mx	My	σ_1	σ_3	σ_7	σ_9
	kg	kg*m	kg*m	kg/cmq	kg/cmq	kg/cmq	kg/cmq
1	21643	44	7	0.39	0.39	0.40	0.39

Verifica sezioni

C.	Mfx	Mfy	Mrx	Mry	Csx	Csy
	kg*m	kg*m	kg*m	kg*m		
1	2529	2537	25974	25974	10	10

Plinto: **Verificato****Plinto n°: 7 [Nodo 8]** - Tipo: Plinto Diretto - Crit.Prog.: CLS_Plinti - Terreno: Terreno1

H	HSup	Bx	By	BxSup	BySup	MagrX	MagrY	HMagr	TR.X	TR.Y	Rot
cm	cm	cm	cm	cm	cm	cm	cm	cm	cm	cm	°
40.0	0.0	225.0	225.0	225.0	225.0	245.0	245.0	10.0	0.0	0.0	0

Peso plinto	Peso Magr	F punz	Res. punz	Arm.punz	Afx	Afy	Apx	Apy
kg	kg	kg	kg	cmq	cmq	cmq	cmq	cmq

Peso plinto	Peso Magr	F punz	Res. punz	Arm.punz	Afx	Afy	Apx	Apy
5063	1501	3816 (C. 1)	103143	0.00	20.11	20.11	4.02	4.02

Tensioni terreno

C.	N	Mx	My	σ_1	σ_3	σ_7	σ_9
	kg	kg*m	kg*m	kg/cmq	kg/cmq	kg/cmq	kg/cmq
1	21034	42	2	0.38	0.38	0.38	0.38

Verifica sezioni

C.	Mfx	Mfy	Mrx	Mry	Csx	Csy
	kg*m	kg*m	kg*m	kg*m		
1	2457	2466	25974	25974	11	11

Plinto: **Verificato**Plinto n°: **9 [Nodo 9]** - Tipo: Plinto Diretto - Crit.Prog.: CLS_Plinti - Terreno: Terreno1

H	HSup	Bx	By	BxSup	BySup	MagrX	MagrY	HMagr	TR.X	TR.Y	Rot
cm	cm	cm	cm	cm	cm	cm	cm	cm	cm	cm	°
40.0	0.0	225.0	225.0	225.0	225.0	245.0	245.0	10.0	0.0	0.0	0

Peso plinto	Peso Magr	F punz	Res. punz	Arm.punz	Afx	Afy	Apx	Apy
kg	kg	kg	kg	cmq	cmq	cmq	cmq	cmq
5063	1501	4141 (C. 1)	103143	0.00	20.11	20.11	4.02	4.02

Tensioni terreno

C.	N	Mx	My	σ_1	σ_3	σ_7	σ_9
	kg	kg*m	kg*m	kg/cmq	kg/cmq	kg/cmq	kg/cmq
1	21690	-52	-72	0.39	0.40	0.39	0.39

Verifica sezioni

C.	Mfx	Mfy	Mrx	Mry	Csx	Csy
	kg*m	kg*m	kg*m	kg*m		
1	2548	2544	25974	25974	10	10

Plinto: **Verificato**Plinto n°: **11 [Nodo 11]** - Tipo: Plinto Diretto - Crit.Prog.: CLS_Plinti - Terreno: Terreno1

H	HSup	Bx	By	BxSup	BySup	MagrX	MagrY	HMagr	TR.X	TR.Y	Rot
cm	cm	cm	cm	cm	cm	cm	cm	cm	cm	cm	°
40.0	0.0	225.0	225.0	225.0	225.0	245.0	245.0	10.0	0.0	0.0	0

Peso plinto	Peso Magr	F punz	Res. punz	Arm.punz	Afx	Afy	Apx	Apy
kg	kg	kg	kg	cmq	cmq	cmq	cmq	cmq
5063	1501	2798 (C. 2)	103143	0.00	20.11	20.11	4.02	4.02

Tensioni terreno

C.	N	Mx	My	σ_1	σ_3	σ_7	σ_9
	kg	kg*m	kg*m	kg/cmq	kg/cmq	kg/cmq	kg/cmq
2	18975	-69	-59	0.35	0.35	0.34	0.35

Verifica sezioni

C.	Mfx	Mfy	Mrx	Mry	Csx	Csy
	kg*m	kg*m	kg*m	kg*m		
2	2229	2231	25974	25974	12	12

Plinto: **Verificato**Plinto n°: **13 [Nodo 13]** - Tipo: Plinto Diretto - Crit.Prog.: CLS_Plinti - Terreno: Terreno1

H	HSup	Bx	By	BxSup	BySup	MagrX	MagrY	HMagr	TR.X	TR.Y	Rot
cm	cm	cm	cm	cm	cm	cm	cm	cm	cm	cm	°
40.0	0.0	225.0	225.0	225.0	225.0	245.0	245.0	10.0	0.0	0.0	0

Peso plinto	Peso Magr	F punz	Res. punz	Arm.punz	Afx	Afy	Apx	Apy
kg	kg	kg	kg	cmq	cmq	cmq	cmq	cmq
5063	1501	6877 (C. 2)	103143	0.00	20.11	20.11	4.02	4.02

Tensioni terreno

C.	N	Mx	My	σ_1	σ_3	σ_7	σ_9
	kg	kg*m	kg*m	kg/cmq	kg/cmq	kg/cmq	kg/cmq
2	27225	-11	-13	0.49	0.49	0.49	0.49

Verifica sezioni

C.	Mfx	Mfy	Mrx	Mry	Csx	Csy
	kg*m	kg*m	kg*m	kg*m		
2	3183	3182	25974	25974	8.2	8.2

Plinto: **Verificato****Plinto n°: 15 [Nodo 15]** - Tipo: Plinto Diretto - Crit.Prog.: CLS_Plinti - Terreno: Terreno1

H	HSup	Bx	By	BxSup	BySup	MagrX	MagrY	HMagr	TR.X	TR.Y	Rot
cm	cm	cm	cm	cm	cm	cm	cm	cm	cm	cm	°
40.0	0.0	225.0	225.0	225.0	225.0	245.0	245.0	10.0	0.0	0.0	0

Peso plinto	Peso Magr	F punz	Res. punz	Arm.punz	Afx	Afy	Apx	Apy
kg	kg	kg	kg	cmq	cmq	cmq	cmq	cmq
5063	1501	6963 (C. 2)	103143	0.00	20.11	20.11	4.02	4.02

Tensioni terreno

C.	N	Mx	My	σ_1	σ_3	σ_7	σ_9
	kg	kg*m	kg*m	kg/cmq	kg/cmq	kg/cmq	kg/cmq
2	27400	-40	-2	0.49	0.49	0.49	0.49

Verifica sezioni

C.	Mfx	Mfy	Mrx	Mry	Csx	Csy
	kg*m	kg*m	kg*m	kg*m		
2	3201	3209	25974	25974	8.1	8.1

Plinto: **Verificato****Plinto n°: 17 [Nodo 18]** - Tipo: Plinto Diretto - Crit.Prog.: CLS_Plinti - Terreno: Terreno1

H	HSup	Bx	By	BxSup	BySup	MagrX	MagrY	HMagr	TR.X	TR.Y	Rot
cm	cm	cm	cm	cm	cm	cm	cm	cm	cm	cm	°
40.0	0.0	225.0	225.0	225.0	225.0	245.0	245.0	10.0	0.0	0.0	0

Peso plinto	Peso Magr	F punz	Res. punz	Arm.punz	Afx	Afy	Apx	Apy
kg	kg	kg	kg	cmq	cmq	cmq	cmq	cmq
5063	1501	6432 (C. 2)	103143	0.00	20.11	20.11	4.02	4.02

Tensioni terreno

C.	N	Mx	My	σ_1	σ_3	σ_7	σ_9
	kg	kg*m	kg*m	kg/cmq	kg/cmq	kg/cmq	kg/cmq
2	26326	-10	4	0.47	0.47	0.47	0.47

Verifica sezioni

C.	Mfx	Mfy	Mrx	Mry	Csx	Csy
	kg*m	kg*m	kg*m	kg*m		
2	3076	3077	25974	25974	8.4	8.4

Plinto: **Verificato****Plinto n°: 19 [Nodo 19]** - Tipo: Plinto Diretto - Crit.Prog.: CLS_Plinti - Terreno: Terreno1

H	HSup	Bx	By	BxSup	BySup	MagrX	MagrY	HMagr	TR.X	TR.Y	Rot
cm	cm	cm	cm	cm	cm	cm	cm	cm	cm	cm	°
40.0	0.0	225.0	225.0	225.0	225.0	245.0	245.0	10.0	0.0	0.0	0

Peso plinto	Peso Magr	F punz	Res. punz	Arm.punz	Afx	Afy	Apx	Apy
kg	kg	kg	kg	cmq	cmq	cmq	cmq	cmq
5063	1501	3881 (C. 2)	103143	0.00	20.11	20.11	4.02	4.02

Tensioni terreno

C.	N	Mx	My	σ_1	σ_3	σ_7	σ_9
	kg	kg*m	kg*m	kg/cmq	kg/cmq	kg/cmq	kg/cmq
2	21164	-95	51	0.39	0.39	0.38	0.38

Verifica sezioni

C.	Mfx	Mfy	Mrx	Mry	Csx	Csy
	kg*m	kg*m	kg*m	kg*m		
2	2483	2492	25974	25974	10	10

Plinto: **Verificato**

Verifica Stabilità aste MetallicheScenario di calcolo: **Set_SLV_SLD**Scenario Sisma Verticale: **Set_SLV_SLD-Verticale****Simbologia**

L [cm]	Lunghezza teorica elemento (da nodo a nodo)
Ln1 [cm]	Luce libera nella direzione principale 1 dell'elemento
Ln2 [cm]	Luce libera nella direzione principale 2 dell'elemento
Sez. G	Sezione Generica (Sigla)
f _{yd} [kg/cm ²]	Tensione di progetto snervamento acciaio
f _t [kg/cm ²]	Tensione di rottura acciaio
γ _M	Coefficiente di sicurezza acciaio
N [kg]	Sforzo Normale massimo
M _y [kg*m]	M _y massimo
M _z [kg*m]	M _z massimo
NR _k [kg]	:A*f _y , Resistenza caratteristica instabilità a compressione (1)
M _{yRk} [kg*m]	:W _y *f _y , Momento resistente caratteristico all'instabilità in direzione Y (1)
M _{zRk} [kg*m]	:W _z *f _y , Momento resistente caratteristico all'instabilità in direzione Z (1)
λ _y	Snellezza in direzione y
λ _z	Snellezza in direzione z
χ _y	Coefficiente di riduzione per la presso flessione dir y
χ _z	Coefficiente di riduzione per la presso flessione dir z
χ _{LT}	Coefficiente di riduzione per la instabilità flesso-torsionale, il coefficiente è applicato al termine relativo all'asse forte
k _{yy} , k _{yz} k _{zy} , k _{zz}	Coefficienti di interazione per l'instabilità (cfr. EC3 Annex B, tab B1 e B2, e cfr. Circ.NTC tab. C4.2.IV e C4.2.V)
M _{yeq} [kg*m]	M _y equivalente uguale a k _{yy} *M _y oppure k _{zy} *M _y
M _{zeq} [kg*m]	M _z equivalente uguale a k _{yz} *M _z oppure k _{zz} *M _z
NR _d [kg]	:Resistenza instabilità a compressione (2)
M _{yRd} [kg*m]	:Momento resistente all'instabilità in direzione Y (2)
M _{zRd} [kg*m]	:Momento resistente all'instabilità in direzione Z (2)
SF	Coefficiente di sicurezza (asta verificata se >=1)
Comb	Combinazione di carico: quando Comb non è sismica è individuata dal codice [C], quando è sismica è individuata dal codice [(C _x +C _y) C _m S _c].
- C	Individua la Combinazione di Carico non sismica (1, 2, ecc. come da scenario);
- C _x	Individua la Combinazione di Carico sismica in direzione x (SismaX, come da scenario);
- C _y	Individua la Combinazione di Carico sismica in direzione y (SismaY, come da scenario);
- C _m	Individua la Combinazione spostamento masse (I, II, III, IV, V, ecc. come da Combinazioni Sisma in Spostamento masse impalcato);
- S _c	Individua la sottocombinazione ottenuta mediante la permutazione dei segni (1, 2, 3, 4, 5, 6, 7, 8):
1)	S _c = + SismaZ*f _z + SismaX*f _x + SismaY*f _y
2)	S _c = + SismaZ*f _z + SismaX*f _x - SismaY*f _y
3)	S _c = + SismaZ*f _z - SismaX*f _x + SismaY*f _y
4)	S _c = + SismaZ*f _z - SismaX*f _x - SismaY*f _y
5)	S _c = - SismaZ*f _z + SismaX*f _x + SismaY*f _y
6)	S _c = - SismaZ*f _z + SismaX*f _x - SismaY*f _y
7)	S _c = - SismaZ*f _z - SismaX*f _x + SismaY*f _y
8)	S _c = - SismaZ*f _z - SismaX*f _x - SismaY*f _y

Le ultime quattro sono assenti quando non è richiesto il contributo del sisma in direzione verticale. Le combinazioni delle azioni sismiche così ottenute vengono combinate con i carichi verticali (come da scenario).

Note:

- (1) Y è l'asse forte della sezione, e Z l'asse debole della sezione; i valori da utilizzare per le resistenze sono $N_{Rk}=f_y \cdot A, M_{yRk}=f_y \cdot W_y, M_{zRk}=f_y \cdot W_z$ dove:

Classe	1	2	3	4
A	A	A	A	A _{eff}
W _y	W _{pl,y}	W _{pl,y}	W _{el,y}	W _{el,y,eff}
W _z	W _{pl,z}	W _{pl,z}	W _{el,z}	W _{el,z,eff}

- (2) le equazioni di verifica, le azioni e le resistenze di progetto sono date dalle seguenti equazioni:

$$\frac{N_{ed}}{\chi_y N_{Rk}} + k_{yy} \frac{M_{y,Ed}}{\chi_{LT} \frac{M_{yRk}}{\gamma_{M1}}} + k_{yz} \frac{M_{z,Ed}}{\frac{M_{zRk}}{\gamma_{M1}}} \leq 1$$

$$\frac{N_{ed}}{\chi_z N_{Rk}} + k_{zy} \frac{M_{y,Ed}}{\chi_{LT} \frac{M_{yRk}}{\gamma_{M1}}} + k_{zz} \frac{M_{z,Ed}}{\frac{M_{zRk}}{\gamma_{M1}}} \leq 1$$

$$N_{Rdy} = \frac{\chi_y N_{Rk}}{\gamma_{M1}} \quad M_{yRd} = \frac{\chi_{LT} M_{yRk}}{\gamma_{M1}} \quad M_{zRd} = \frac{M_{yRk}}{\gamma_{M1}}$$

$$M_{yyEq} = k_{yy} M_{yEd} \quad M_{yzEq} = k_{yz} M_{z,Ed}$$

$$M_{yzEq} = k_{zy} M_{yEd} \quad M_{zzEq} = k_{zz} M_{z,Ed}$$

$$\frac{N_{ed}}{N_{Rdy}} + \frac{M_{yyEq}}{M_{yRd}} + \frac{M_{yzEq}}{M_{zRd}} \leq 1$$

$$\frac{N_{ed}}{N_{Rdz}} + \frac{M_{zyEq}}{M_{yRd}} + \frac{M_{zzEq}}{M_{zRd}} \leq 1$$

Asta: 1 [1001,1052] Sez. G: HE 260 B L=180.0 cm Ln1=180.0 cm Ln2=180.0 cm Crit.: Acciaio_FlessTors $\gamma M=1.05$
 $f_{yk}/\gamma M=2619$ kg/cm² $f_t=4300$ kg/cm² :**Verificato**
 SF_λ=7.316

N	My	Mz	NRk	MyRk	MzRk	λY	λZ	χY	χZ	χLT	kyy	kyz	kzy	kzz
kg	kg*m	kg*m	kg	kg*m	kg*m									
-9	-5626	810	325722	35301	16565	16	27	1.000	0.942	1.000	0.500	0.527	0.300	0.879

Cls	Dir	N	Myeq	Mzeq	NRd	MyRd	MzRd	Comb.	SF
		kg	kg*m	kg*m	kg	kg*m	kg*m		
1	Y	9	2814	427	310212	33620	15776	11	9.0
1	Z	9	1689	712	292073	33620	15776	11	10

Asta: 1 [1003,1055] Sez. G: HE 260 B L=180.0 cm Ln1=180.0 cm Ln2=180.0 cm Crit.: Acciaio_FlessTors $\gamma M=1.05$
 $f_{yk}/\gamma M=2619$ kg/cm² $f_t=4300$ kg/cm² :**Verificato**
 SF_λ=7.316

N	My	Mz	NRk	MyRk	MzRk	λY	λZ	χY	χZ	χLT	kyy	kyz	kzy	kzz
kg	kg*m	kg*m	kg	kg*m	kg*m									
130	-9179	843	325722	35301	16565	16	27	1.000	0.942	1.000	0.630	0.514	0.378	0.857

Cls	Dir	N	Myeq	Mzeq	NRd	MyRd	MzRd	Comb.	SF
		kg	kg*m	kg*m	kg	kg*m	kg*m		
1	Y	130	5780	433	310212	33620	15776	11	5.0
1	Z	130	3468	722	292073	33620	15776	11	6.7

Asta: 1 [1005,1099] Sez. G: HE 260 B L=180.0 cm Ln1=180.0 cm Ln2=180.0 cm Crit.: Acciaio_FlessTors $\gamma M=1.05$
 $f_{yk}/\gamma M=2619$ kg/cm² $f_t=4300$ kg/cm² :**Verificato**
 SF_λ=7.316

N	My	Mz	NRk	MyRk	MzRk	λY	λZ	χY	χZ	χLT	kyy	kyz	kzy	kzz
kg	kg*m	kg*m	kg	kg*m	kg*m									
207	-8450	850	325722	35301	16565	16	27	1.000	0.942	1.000	0.617	0.510	0.370	0.851

Cls	Dir	N	Myeq	Mzeq	NRd	MyRd	MzRd	Comb.	SF
		kg	kg*m	kg*m	kg	kg*m	kg*m		
1	Y	207	5210	434	310212	33620	15776	11	5.5
1	Z	207	3126	723	292073	33620	15776	11	7.2

Asta: 1 [1007,1106] Sez. G: HE 260 B L=180.0 cm Ln1=180.0 cm Ln2=180.0 cm Crit.: Acciaio_FlessTors $\gamma M=1.05$
 $f_{yk}/\gamma M=2619$ kg/cm² $f_t=4300$ kg/cm² :**Verificato**
 SF_λ=7.316

N	My	Mz	NRk	MyRk	MzRk	λY	λZ	χY	χZ	χLT	kyy	kyz	kzy	kzz
kg	kg*m	kg*m	kg	kg*m	kg*m									
236	-8515	866	325722	35301	16565	16	27	1.000	0.942	1.000	0.618	0.507	0.371	0.845

Cls	Dir	N	Myeq	Mzeq	NRd	MyRd	MzRd	Comb.	SF
		kg	kg*m	kg*m	kg	kg*m	kg*m		
1	Y	236	5265	439	310212	33620	15776	11	5.4
1	Z	236	3159	732	292073	33620	15776	11	7.1

Asta: 1 [1051,1001] Sez. G: HE 260 B L=230.0 cm Ln1=230.0 cm Ln2=230.0 cm Crit.: Acciaio_FlessTors $\gamma M=1.05$
 $f_{yk}/\gamma M=2619$ kg/cm² $f_t=4300$ kg/cm² :**Verificato**
 SF_λ=5.725

N	My	Mz	NRk	MyRk	MzRk	λY	λZ	χY	χZ	χLT	kyy	kyz	kzy	kzz
kg	kg*m	kg*m	kg	kg*m	kg*m									
126	5381	826	325722	35301	16565	20	35	0.987	0.896	1.000	0.603	0.392	0.362	0.654

Cls	Dir	N	Myeq	Mzeq	NRd	MyRd	MzRd	Comb.	SF
		kg	kg*m	kg*m	kg	kg*m	kg*m		
1	Y	126	3243	324	306239	33620	15776	1	8.5
1	Z	126	1946	540	277968	33620	15776	1	11

Asta: 1 [1009,1113] Sez. G: HE 260 B L=177.5 cm Ln1=177.5 cm Ln2=177.5 cm Crit.: Acciaio_FlessTors $\gamma M=1.05$
 $f_{yk}/\gamma M=2619$ kg/cm² $f_t=4300$ kg/cm² :**Verificato**
 SF_λ=7.419

N	My	Mz	NRk	MyRk	MzRk	λY	λZ	χY	χZ	χ_{LT}	kyy	kyz	kzy	kzz
kg	kg*m	kg*m	kg	kg*m	kg*m									
-271	12570	759	325722	35301	16565	16	27	1.000	0.944	1.000	0.696	0.538	0.418	0.897

Cls	Dir	N	Myeq	Mzeq	NRd	MyRd	MzRd	Comb.	SF
		kg	kg*m	kg*m	kg	kg*m	kg*m		
1	Y	271	8747	408	310212	33620	15776	1	3.5
1	Z	271	5248	681	292767	33620	15776	1	5.0

Asta: 1 [1052,1053] Sez. G: HE 260 B L=180.0 cm Ln1=180.0 cm Ln2=180.0 cm Crit.: Acciaio_FlessTors $\gamma M=1.05$

$f_y k / \gamma M = 2619$ kg/cm² $f_t = 4300$ kg/cm² : **Verificato**

SF_λ=7.316

N	My	Mz	NRk	MyRk	MzRk	λY	λZ	χY	χZ	χ_{LT}	kyy	kyz	kzy	kzz
kg	kg*m	kg*m	kg	kg*m	kg*m									
245	-6574	1103	325722	35301	16565	16	27	1.000	0.942	1.000	0.815	0.597	0.489	0.996

Cls	Dir	N	Myeq	Mzeq	NRd	MyRd	MzRd	Comb.	SF
		kg	kg*m	kg*m	kg	kg*m	kg*m		
1	Y	245	5359	659	310212	33620	15776	7	5.0
1	Z	245	3215	1098	292073	33620	15776	7	6.0

Asta: 1 [1053,1054] Sez. G: HE 260 B L=180.0 cm Ln1=180.0 cm Ln2=180.0 cm Crit.: Acciaio_FlessTors $\gamma M=1.05$

$f_y k / \gamma M = 2619$ kg/cm² $f_t = 4300$ kg/cm² : **Verificato**

SF_λ=7.316

N	My	Mz	NRk	MyRk	MzRk	λY	λZ	χY	χZ	χ_{LT}	kyy	kyz	kzy	kzz
kg	kg*m	kg*m	kg	kg*m	kg*m									
306	-6575	1151	325722	35301	16565	16	27	1.000	0.942	1.000	0.884	0.595	0.530	0.991

Cls	Dir	N	Myeq	Mzeq	NRd	MyRd	MzRd	Comb.	SF
		kg	kg*m	kg*m	kg	kg*m	kg*m		
1	Y	306	5813	685	310212	33620	15776	7	4.6
1	Z	306	3488	1141	292073	33620	15776	7	5.6

Asta: 1 [1054,1003] Sez. G: HE 260 B L=180.0 cm Ln1=180.0 cm Ln2=180.0 cm Crit.: Acciaio_FlessTors $\gamma M=1.05$

$f_y k / \gamma M = 2619$ kg/cm² $f_t = 4300$ kg/cm² : **Verificato**

SF_λ=7.316

N	My	Mz	NRk	MyRk	MzRk	λY	λZ	χY	χZ	χ_{LT}	kyy	kyz	kzy	kzz
kg	kg*m	kg*m	kg	kg*m	kg*m									
152	-10155	775	325722	35301	16565	16	27	1.000	0.942	1.000	0.628	0.537	0.377	0.896

Cls	Dir	N	Myeq	Mzeq	NRd	MyRd	MzRd	Comb.	SF
		kg	kg*m	kg*m	kg	kg*m	kg*m		
1	Y	152	6373	416	310212	33620	15776	11	4.6
1	Z	152	3824	694	292073	33620	15776	11	6.3

Asta: 1 [1055,1056] Sez. G: HE 260 B L=180.0 cm Ln1=180.0 cm Ln2=180.0 cm Crit.: Acciaio_FlessTors $\gamma M=1.05$

$f_y k / \gamma M = 2619$ kg/cm² $f_t = 4300$ kg/cm² : **Verificato**

SF_λ=7.316

N	My	Mz	NRk	MyRk	MzRk	λY	λZ	χY	χZ	χ_{LT}	kyy	kyz	kzy	kzz
kg	kg*m	kg*m	kg	kg*m	kg*m									
302	-7001	1108	325722	35301	16565	16	27	1.000	0.942	1.000	0.851	0.597	0.511	0.996

Cls	Dir	N	Myeq	Mzeq	NRd	MyRd	MzRd	Comb.	SF
		kg	kg*m	kg*m	kg	kg*m	kg*m		
1	Y	302	5960	662	310212	33620	15776	7	4.5
1	Z	302	3576	1103	292073	33620	15776	7	5.6

Asta: 1 [1056,1058] Sez. G: HE 260 B L=180.0 cm Ln1=180.0 cm Ln2=180.0 cm Crit.: Acciaio_FlessTors $\gamma M=1.05$

$f_y k / \gamma M = 2619$ kg/cm² $f_t = 4300$ kg/cm² : **Verificato**

SF_λ=7.316

N	My	Mz	NRk	MyRk	MzRk	λY	λZ	χY	χZ	χ_{LT}	kyy	kyz	kzy	kzz
kg	kg*m	kg*m	kg	kg*m	kg*m									
358	-7004	1151	325722	35301	16565	16	27	1.000	0.942	1.000	0.862	0.594	0.517	0.990

Cls	Dir	N	Myeq	Mzeq	NRd	MyRd	MzRd	Comb.	SF
		kg	kg*m	kg*m	kg	kg*m	kg*m		
1	Y	358	6039	684	310212	33620	15776	7	4.5
1	Z	358	3623	1140	292073	33620	15776	7	5.5

Asta: 1 [1058,1005] Sez. G: HE 260 B L=180.0 cm Ln1=180.0 cm Ln2=180.0 cm Crit.: Acciaio_FlessTors $\gamma M=1.05$

$f_{yk}/\gamma M=2619$ kg/cm² $f_t=4300$ kg/cm² :**Verificato**

SF_λ=7.316

N	My	Mz	NRk	MyRk	MzRk	λY	λZ	χY	χZ	χLT	kyy	kyz	kzy	kzz
kg	kg*m	kg*m	kg	kg*m	kg*m									
185	-9131	805	325722	35301	16565	16	27	1.000	0.942	1.000	0.631	0.522	0.378	0.869

Cls	Dir	N	Myeq	Mzeq	NRd	MyRd	MzRd	Comb.	SF
		kg	kg*m	kg*m	kg	kg*m	kg*m		
1	Y	185	5758	420	310212	33620	15776	11	5.0
1	Z	185	3455	700	292073	33620	15776	11	6.8

Asta: 1 [1099,1101] Sez. G: HE 260 B L=180.0 cm Ln1=180.0 cm Ln2=180.0 cm Crit.: Acciaio_FlessTors $\gamma M=1.05$

$f_{yk}/\gamma M=2619$ kg/cm² $f_t=4300$ kg/cm² :**Verificato**

SF_λ=7.316

N	My	Mz	NRk	MyRk	MzRk	λY	λZ	χY	χZ	χLT	kyy	kyz	kzy	kzz
kg	kg*m	kg*m	kg	kg*m	kg*m									
356	-7189	1105	325722	35301	16565	16	27	1.000	0.942	1.000	0.834	0.598	0.500	0.997

Cls	Dir	N	Myeq	Mzeq	NRd	MyRd	MzRd	Comb.	SF
		kg	kg*m	kg*m	kg	kg*m	kg*m		
1	Y	356	5996	661	310212	33620	15776	7	4.5
1	Z	356	3598	1102	292073	33620	15776	7	5.6

Asta: 1 [1101,1103] Sez. G: HE 260 B L=180.0 cm Ln1=180.0 cm Ln2=180.0 cm Crit.: Acciaio_FlessTors $\gamma M=1.05$

$f_{yk}/\gamma M=2619$ kg/cm² $f_t=4300$ kg/cm² :**Verificato**

SF_λ=7.316

N	My	Mz	NRk	MyRk	MzRk	λY	λZ	χY	χZ	χLT	kyy	kyz	kzy	kzz
kg	kg*m	kg*m	kg	kg*m	kg*m									
409	-7191	1148	325722	35301	16565	16	27	1.000	0.942	1.000	0.889	0.596	0.533	0.994

Cls	Dir	N	Myeq	Mzeq	NRd	MyRd	MzRd	Comb.	SF
		kg	kg*m	kg*m	kg	kg*m	kg*m		
1	Y	409	6394	685	310212	33620	15776	7	4.3
1	Z	409	3836	1141	292073	33620	15776	7	5.3

Asta: 1 [1103,1007] Sez. G: HE 260 B L=180.0 cm Ln1=180.0 cm Ln2=180.0 cm Crit.: Acciaio_FlessTors $\gamma M=1.05$

$f_{yk}/\gamma M=2619$ kg/cm² $f_t=4300$ kg/cm² :**Verificato**

SF_λ=7.316

N	My	Mz	NRk	MyRk	MzRk	λY	λZ	χY	χZ	χLT	kyy	kyz	kzy	kzz
kg	kg*m	kg*m	kg	kg*m	kg*m									
229	-9214	816	325722	35301	16565	16	27	1.000	0.942	1.000	0.634	0.517	0.380	0.862

Cls	Dir	N	Myeq	Mzeq	NRd	MyRd	MzRd	Comb.	SF
		kg	kg*m	kg*m	kg	kg*m	kg*m		
1	Y	229	5841	422	310212	33620	15776	11	5.0
1	Z	229	3505	703	292073	33620	15776	11	6.7

Asta: 1 [1106,1107] Sez. G: HE 260 B L=180.0 cm Ln1=180.0 cm Ln2=180.0 cm Crit.: Acciaio_FlessTors $\gamma M=1.05$

$f_{yk}/\gamma M=2619$ kg/cm² $f_t=4300$ kg/cm² :**Verificato**

SF_λ=7.316

N	My	Mz	NRk	MyRk	MzRk	λY	λZ	χY	χZ	χLT	kyy	kyz	kzy	kzz
kg	kg*m	kg*m	kg	kg*m	kg*m									
368	-5596	1106	325722	35301	16565	16	27	1.000	0.942	1.000	0.900	0.599	0.540	0.998

Cls	Dir	N	Myeq	Mzeq	NRd	MyRd	MzRd	Comb.	SF
		kg	kg*m	kg*m	kg	kg*m	kg*m		

Cls	Dir	N	Myeq	Mzeq	NRd	MyRd	MzRd	Comb.	SF
1	Y	368	5035	662	310212	33620	15776	7	5.2
1	Z	368	3021	1103	292073	33620	15776	7	6.2

Asta: 1 [1107,1110] Sez. G: HE 260 B L=180.0 cm Ln1=180.0 cm Ln2=180.0 cm Crit.: Acciaio_FlessTors $\gamma M=1.05$
 $f_y k / \gamma M = 2619$ kg/cmq ft=4300 kg/cmq : **Verificato**

SF $\lambda = 7.316$

N	My	Mz	NRk	MyRk	MzRk	λY	λZ	χY	χZ	χLT	kyy	kyz	kzy	kzz
kg	kg*m	kg*m	kg	kg*m	kg*m									
338	-5609	1148	325722	35301	16565	16	27	1.000	0.942	1.000	0.743	0.590	0.446	0.983

Cls	Dir	N	Myeq	Mzeq	NRd	MyRd	MzRd	Comb.	SF
		kg	kg*m	kg*m	kg	kg*m	kg*m		
1	Y	338	4168	677	310212	33620	15776	7	6.0
1	Z	338	2501	1128	292073	33620	15776	7	6.8

Asta: 1 [1110,1009] Sez. G: HE 260 B L=180.0 cm Ln1=180.0 cm Ln2=180.0 cm Crit.: Acciaio_FlessTors $\gamma M=1.05$
 $f_y k / \gamma M = 2619$ kg/cmq ft=4300 kg/cmq : **Verificato**

SF $\lambda = 7.316$

N	My	Mz	NRk	MyRk	MzRk	λY	λZ	χY	χZ	χLT	kyy	kyz	kzy	kzz
kg	kg*m	kg*m	kg	kg*m	kg*m									
198	-9688	731	325722	35301	16565	16	27	1.000	0.942	1.000	0.631	0.557	0.378	0.929

Cls	Dir	N	Myeq	Mzeq	NRd	MyRd	MzRd	Comb.	SF
		kg	kg*m	kg*m	kg	kg*m	kg*m		
1	Y	198	6109	407	310212	33620	15776	11	4.8
1	Z	198	3665	679	292073	33620	15776	11	6.5

Asta: 1 [1113,1114] Sez. G: HE 260 B L=177.5 cm Ln1=177.5 cm Ln2=177.5 cm Crit.: Acciaio_FlessTors $\gamma M=1.05$
 $f_y k / \gamma M = 2619$ kg/cmq ft=4300 kg/cmq : **Verificato**

SF $\lambda = 7.419$

N	My	Mz	NRk	MyRk	MzRk	λY	λZ	χY	χZ	χLT	kyy	kyz	kzy	kzz
kg	kg*m	kg*m	kg	kg*m	kg*m									
128	2441	1273	325722	35301	16565	16	27	1.000	0.944	1.000	0.600	0.391	0.360	0.652

Cls	Dir	N	Myeq	Mzeq	NRd	MyRd	MzRd	Comb.	SF
		kg	kg*m	kg*m	kg	kg*m	kg*m		
1	Y	128	1465	499	310212	33620	15776	7	13
1	Z	128	879	831	292767	33620	15776	7	13

Asta: 2 [1011,1120] Sez. G: HE 260 B L=180.0 cm Ln1=180.0 cm Ln2=180.0 cm Crit.: Acciaio_FlessTors $\gamma M=1.05$
 $f_y k / \gamma M = 2619$ kg/cmq ft=4300 kg/cmq : **Verificato**

SF $\lambda = 7.316$

N	My	Mz	NRk	MyRk	MzRk	λY	λZ	χY	χZ	χLT	kyy	kyz	kzy	kzz
kg	kg*m	kg*m	kg	kg*m	kg*m									
288	4058	1180	325722	35301	16565	16	27	1.000	0.942	1.000	0.400	0.587	0.240	0.978

Cls	Dir	N	Myeq	Mzeq	NRd	MyRd	MzRd	Comb.	SF
		kg	kg*m	kg*m	kg	kg*m	kg*m		
1	Y	288	1623	692	310212	33620	15776	9	11
1	Z	288	974	1154	292073	33620	15776	9	9.7

Asta: 2 [1013,1127] Sez. G: HE 260 B L=180.0 cm Ln1=180.0 cm Ln2=180.0 cm Crit.: Acciaio_FlessTors $\gamma M=1.05$
 $f_y k / \gamma M = 2619$ kg/cmq ft=4300 kg/cmq : **Verificato**

SF $\lambda = 7.316$

N	My	Mz	NRk	MyRk	MzRk	λY	λZ	χY	χZ	χLT	kyy	kyz	kzy	kzz
kg	kg*m	kg*m	kg	kg*m	kg*m									
192	-6178	777	325722	35301	16565	16	27	1.000	0.942	1.000	0.676	0.531	0.406	0.884

Cls	Dir	N	Myeq	Mzeq	NRd	MyRd	MzRd	Comb.	SF
		kg	kg*m	kg*m	kg	kg*m	kg*m		
1	Y	192	4175	413	310212	33620	15776	13	6.6
1	Z	192	2505	688	292073	33620	15776	13	8.4

Asta: 2 [1015,1131] Sez. G: HE 260 B L=180.0 cm Ln1=180.0 cm Ln2=180.0 cm Crit.: Acciaio_FlessTors $\gamma_M=1.05$
 $f_{yk}/\gamma_M=2619$ kg/cmq $f_t=4300$ kg/cmq :**Verificato**

SF_λ=7.316

N	My	Mz	NRk	MyRk	MzRk	λY	λZ	χY	χZ	χLT	kyy	kyz	kzy	kzz
kg	kg*m	kg*m	kg	kg*m	kg*m									
259	-5590	785	325722	35301	16565	16	27	1.000	0.942	1.000	0.666	0.525	0.400	0.875

Cls	Dir	N	Myeq	Mzeq	NRd	MyRd	MzRd	Comb.	SF
		kg	kg*m	kg*m	kg	kg*m	kg*m		
1	Y	259	3722	412	310212	33620	15776	13	7.3
1	Z	259	2233	687	292073	33620	15776	13	9.0

Asta: 2 [1017,1152] Sez. G: HE 260 B L=180.0 cm Ln1=180.0 cm Ln2=180.0 cm Crit.: Acciaio_FlessTors $\gamma_M=1.05$
 $f_{yk}/\gamma_M=2619$ kg/cmq $f_t=4300$ kg/cmq :**Verificato**

SF_λ=7.316

N	My	Mz	NRk	MyRk	MzRk	λY	λZ	χY	χZ	χLT	kyy	kyz	kzy	kzz
kg	kg*m	kg*m	kg	kg*m	kg*m									
288	-5903	788	325722	35301	16565	16	27	1.000	0.942	1.000	0.662	0.521	0.397	0.869

Cls	Dir	N	Myeq	Mzeq	NRd	MyRd	MzRd	Comb.	SF
		kg	kg*m	kg*m	kg	kg*m	kg*m		
1	Y	288	3911	411	310212	33620	15776	13	7.0
1	Z	288	2347	685	292073	33620	15776	13	8.8

Asta: 2 [1116,1011] Sez. G: HE 260 B L=230.0 cm Ln1=230.0 cm Ln2=230.0 cm Crit.: Acciaio_FlessTors $\gamma_M=1.05$
 $f_{yk}/\gamma_M=2619$ kg/cmq $f_t=4300$ kg/cmq :**Verificato**

SF_λ=5.725

N	My	Mz	NRk	MyRk	MzRk	λY	λZ	χY	χZ	χLT	kyy	kyz	kzy	kzz
kg	kg*m	kg*m	kg	kg*m	kg*m									
121	5018	792	325722	35301	16565	20	35	0.987	0.896	1.000	0.603	0.392	0.362	0.654

Cls	Dir	N	Myeq	Mzeq	NRd	MyRd	MzRd	Comb.	SF
		kg	kg*m	kg*m	kg	kg*m	kg*m		
1	Y	121	3024	311	306239	33620	15776	2	9.1
1	Z	121	1814	518	277968	33620	15776	2	11

Asta: 2 [1019,1160] Sez. G: HE 260 B L=177.5 cm Ln1=177.5 cm Ln2=177.5 cm Crit.: Acciaio_FlessTors $\gamma_M=1.05$
 $f_{yk}/\gamma_M=2619$ kg/cmq $f_t=4300$ kg/cmq :**Verificato**

SF_λ=7.419

N	My	Mz	NRk	MyRk	MzRk	λY	λZ	χY	χZ	χLT	kyy	kyz	kzy	kzz
kg	kg*m	kg*m	kg	kg*m	kg*m									
-238	12143	845	325722	35301	16565	16	27	1.000	0.944	1.000	0.698	0.490	0.419	0.817

Cls	Dir	N	Myeq	Mzeq	NRd	MyRd	MzRd	Comb.	SF
		kg	kg*m	kg*m	kg	kg*m	kg*m		
1	Y	238	8474	414	310212	33620	15776	2	3.6
1	Z	238	5084	690	292767	33620	15776	2	5.1

Asta: 2 [1120,1122] Sez. G: HE 260 B L=180.0 cm Ln1=180.0 cm Ln2=180.0 cm Crit.: Acciaio_FlessTors $\gamma_M=1.05$
 $f_{yk}/\gamma_M=2619$ kg/cmq $f_t=4300$ kg/cmq :**Verificato**

SF_λ=7.316

N	My	Mz	NRk	MyRk	MzRk	λY	λZ	χY	χZ	χLT	kyy	kyz	kzy	kzz
kg	kg*m	kg*m	kg	kg*m	kg*m									
288	-6186	1159	325722	35301	16565	16	27	1.000	0.942	1.000	0.815	0.599	0.489	0.998

Cls	Dir	N	Myeq	Mzeq	NRd	MyRd	MzRd	Comb.	SF
		kg	kg*m	kg*m	kg	kg*m	kg*m		
1	Y	288	5043	694	310212	33620	15776	9	5.1
1	Z	288	3026	1157	292073	33620	15776	9	6.1

Asta: 2 [1122,1124] Sez. G: HE 260 B L=180.0 cm Ln1=180.0 cm Ln2=180.0 cm Crit.: Acciaio_FlessTors $\gamma_M=1.05$
 $f_{yk}/\gamma_M=2619$ kg/cmq $f_t=4300$ kg/cmq :**Verificato**

SF_λ=7.316

N	My	Mz	NRk	MyRk	MzRk	λY	λZ	χY	χZ	χLT	kyy	kyz	kzy	kzz
kg	kg*m	kg*m	kg	kg*m	kg*m									
372	-6189	1137	325722	35301	16565	16	27	1.000	0.942	1.000	0.894	0.596	0.536	0.994

Cls	Dir	N	Myeq	Mzeq	NRd	MyRd	MzRd	Comb.	SF
		kg	kg*m	kg*m	kg	kg*m	kg*m		
1	Y	372	5531	678	310212	33620	15776	9	4.8
1	Z	372	3319	1130	292073	33620	15776	9	5.8

Asta: 2 [1124,1013] Sez. G: HE 260 B L=180.0 cm Ln1=180.0 cm Ln2=180.0 cm Crit.: Acciaio_FlessTors γM=1.05
fyk/γM=2619 kg/cm² ft=4300 kg/cm² :**Verificato**

SF_λ=7.316

N	My	Mz	NRk	MyRk	MzRk	λY	λZ	χY	χZ	χLT	kyy	kyz	kzy	kzz
kg	kg*m	kg*m	kg	kg*m	kg*m									
188	-7040	767	325722	35301	16565	16	27	1.000	0.942	1.000	0.670	0.549	0.402	0.916

Cls	Dir	N	Myeq	Mzeq	NRd	MyRd	MzRd	Comb.	SF
		kg	kg*m	kg*m	kg	kg*m	kg*m		
1	Y	188	4714	422	310212	33620	15776	13	6.0
1	Z	188	2828	703	292073	33620	15776	13	7.7

Asta: 2 [1127,1128] Sez. G: HE 260 B L=180.0 cm Ln1=180.0 cm Ln2=180.0 cm Crit.: Acciaio_FlessTors γM=1.05
fyk/γM=2619 kg/cm² ft=4300 kg/cm² :**Verificato**

SF_λ=7.316

N	My	Mz	NRk	MyRk	MzRk	λY	λZ	χY	χZ	χLT	kyy	kyz	kzy	kzz
kg	kg*m	kg*m	kg	kg*m	kg*m									
389	-6650	1173	325722	35301	16565	16	27	1.000	0.942	1.000	0.857	0.596	0.514	0.993

Cls	Dir	N	Myeq	Mzeq	NRd	MyRd	MzRd	Comb.	SF
		kg	kg*m	kg*m	kg	kg*m	kg*m		
1	Y	389	5701	699	310212	33620	15776	9	4.6
1	Z	389	3421	1165	292073	33620	15776	9	5.7

Asta: 2 [1128,1129] Sez. G: HE 260 B L=180.0 cm Ln1=180.0 cm Ln2=180.0 cm Crit.: Acciaio_FlessTors γM=1.05
fyk/γM=2619 kg/cm² ft=4300 kg/cm² :**Verificato**

SF_λ=7.316

N	My	Mz	NRk	MyRk	MzRk	λY	λZ	χY	χZ	χLT	kyy	kyz	kzy	kzz
kg	kg*m	kg*m	kg	kg*m	kg*m									
448	-6655	1134	325722	35301	16565	16	27	1.000	0.942	1.000	0.867	0.598	0.520	0.997

Cls	Dir	N	Myeq	Mzeq	NRd	MyRd	MzRd	Comb.	SF
		kg	kg*m	kg*m	kg	kg*m	kg*m		
1	Y	448	5772	678	310212	33620	15776	9	4.6
1	Z	448	3463	1130	292073	33620	15776	9	5.7

Asta: 2 [1129,1015] Sez. G: HE 260 B L=180.0 cm Ln1=180.0 cm Ln2=180.0 cm Crit.: Acciaio_FlessTors γM=1.05
fyk/γM=2619 kg/cm² ft=4300 kg/cm² :**Verificato**

SF_λ=7.316

N	My	Mz	NRk	MyRk	MzRk	λY	λZ	χY	χZ	χLT	kyy	kyz	kzy	kzz
kg	kg*m	kg*m	kg	kg*m	kg*m									
226	-6235	783	325722	35301	16565	16	27	1.000	0.942	1.000	0.679	0.539	0.407	0.899

Cls	Dir	N	Myeq	Mzeq	NRd	MyRd	MzRd	Comb.	SF
		kg	kg*m	kg*m	kg	kg*m	kg*m		
1	Y	226	4233	422	310212	33620	15776	13	6.5
1	Z	226	2540	703	292073	33620	15776	13	8.3

Asta: 2 [1131,1132] Sez. G: HE 260 B L=180.0 cm Ln1=180.0 cm Ln2=180.0 cm Crit.: Acciaio_FlessTors γM=1.05
fyk/γM=2619 kg/cm² ft=4300 kg/cm² :**Verificato**

SF_λ=7.316

N	My	Mz	NRk	MyRk	MzRk	λY	λZ	χY	χZ	χLT	kyy	kyz	kzy	kzz
kg	kg*m	kg*m	kg	kg*m	kg*m									

N	My	Mz	NRk	MyRk	MzRk	λY	λZ	χY	χZ	χLT	kyy	kyz	kzy	kzz
445	-6832	1183	325722	35301	16565	16	27	1.000	0.942	1.000	0.838	0.592	0.503	0.987

Cls	Dir	N	Myeq	Mzeq	NRd	MyRd	MzRd	Comb.	SF
		kg	kg*m	kg*m	kg	kg*m	kg*m		
1	Y	445	5723	701	310212	33620	15776	9	4.6
1	Z	445	3434	1168	292073	33620	15776	9	5.6

Asta: 2 [1132,1134] Sez. G: HE 260 B L=180.0 cm Ln1=180.0 cm Ln2=180.0 cm Crit.: Acciaio_FlessTors $\gamma M=1.05$
 $f_y k / \gamma M = 2619$ kg/cm² $f_t = 4300$ kg/cm² : **Verificato**
 $SF_{\lambda} = 7.316$

N	My	Mz	NRk	MyRk	MzRk	λY	λZ	χY	χZ	χLT	kyy	kyz	kzy	kzz
kg	kg*m	kg*m	kg	kg*m	kg*m									
493	-6836	1140	325722	35301	16565	16	27	1.000	0.942	1.000	0.896	0.596	0.538	0.993

Cls	Dir	N	Myeq	Mzeq	NRd	MyRd	MzRd	Comb.	SF
		kg	kg*m	kg*m	kg	kg*m	kg*m		
1	Y	493	6127	680	310212	33620	15776	9	4.4
1	Z	493	3676	1133	292073	33620	15776	9	5.5

Asta: 2 [1134,1017] Sez. G: HE 260 B L=180.0 cm Ln1=180.0 cm Ln2=180.0 cm Crit.: Acciaio_FlessTors $\gamma M=1.05$
 $f_y k / \gamma M = 2619$ kg/cm² $f_t = 4300$ kg/cm² : **Verificato**
 $SF_{\lambda} = 7.316$

N	My	Mz	NRk	MyRk	MzRk	λY	λZ	χY	χZ	χLT	kyy	kyz	kzy	kzz
kg	kg*m	kg*m	kg	kg*m	kg*m									
365	-4102	1231	325722	35301	16565	16	27	1.000	0.942	1.000	0.975	0.559	0.585	0.931

Cls	Dir	N	Myeq	Mzeq	NRd	MyRd	MzRd	Comb.	SF
		kg	kg*m	kg*m	kg	kg*m	kg*m		
1	Y	365	3997	688	310212	33620	15776	8	6.1
1	Z	365	2398	1146	292073	33620	15776	8	6.9

Asta: 2 [1152,1155] Sez. G: HE 260 B L=180.0 cm Ln1=180.0 cm Ln2=180.0 cm Crit.: Acciaio_FlessTors $\gamma M=1.05$
 $f_y k / \gamma M = 2619$ kg/cm² $f_t = 4300$ kg/cm² : **Verificato**
 $SF_{\lambda} = 7.316$

N	My	Mz	NRk	MyRk	MzRk	λY	λZ	χY	χZ	χLT	kyy	kyz	kzy	kzz
kg	kg*m	kg*m	kg	kg*m	kg*m									
434	-5237	1173	325722	35301	16565	16	27	1.000	0.942	1.000	0.910	0.592	0.546	0.987

Cls	Dir	N	Myeq	Mzeq	NRd	MyRd	MzRd	Comb.	SF
		kg	kg*m	kg*m	kg	kg*m	kg*m		
1	Y	434	4767	695	310212	33620	15776	9	5.3
1	Z	434	2860	1158	292073	33620	15776	9	6.3

Asta: 2 [1155,1157] Sez. G: HE 260 B L=180.0 cm Ln1=180.0 cm Ln2=180.0 cm Crit.: Acciaio_FlessTors $\gamma M=1.05$
 $f_y k / \gamma M = 2619$ kg/cm² $f_t = 4300$ kg/cm² : **Verificato**
 $SF_{\lambda} = 7.316$

N	My	Mz	NRk	MyRk	MzRk	λY	λZ	χY	χZ	χLT	kyy	kyz	kzy	kzz
kg	kg*m	kg*m	kg	kg*m	kg*m									
354	-5081	1159	325722	35301	16565	16	27	1.000	0.942	1.000	0.784	0.587	0.470	0.979

Cls	Dir	N	Myeq	Mzeq	NRd	MyRd	MzRd	Comb.	SF
		kg	kg*m	kg*m	kg	kg*m	kg*m		
1	Y	354	3981	681	310212	33620	15776	6	6.1
1	Z	354	2389	1134	292073	33620	15776	6	6.9

Asta: 2 [1157,1019] Sez. G: HE 260 B L=180.0 cm Ln1=180.0 cm Ln2=180.0 cm Crit.: Acciaio_FlessTors $\gamma M=1.05$
 $f_y k / \gamma M = 2619$ kg/cm² $f_t = 4300$ kg/cm² : **Verificato**
 $SF_{\lambda} = 7.316$

N	My	Mz	NRk	MyRk	MzRk	λY	λZ	χY	χZ	χLT	kyy	kyz	kzy	kzz
kg	kg*m	kg*m	kg	kg*m	kg*m									
137	9691	713	325722	35301	16565	16	27	1.000	0.942	1.000	0.561	0.547	0.337	0.912

Cls	Dir	N	Myeq	Mzeq	NRd	MyRd	MzRd	Comb.	SF
		kg	kg*m	kg*m	kg	kg*m	kg*m		
1	Y	137	5437	390	310212	33620	15776	2	5.4
1	Z	137	3262	650	292073	33620	15776	2	7.2

Asta: 2 [1160,1161] Sez. G: HE 260 B L=177.5 cm Ln1=177.5 cm Ln2=177.5 cm Crit.: Acciaio_FlessTors $\gamma M=1.05$
 $f_y k / \gamma M = 2619$ kg/cmq $f_t = 4300$ kg/cmq : **Verificato**

SF_λ=7.419

N	My	Mz	NRk	MyRk	MzRk	λY	λZ	χY	χZ	χLT	kyy	kyz	kzy	kzz
kg	kg*m	kg*m	kg	kg*m	kg*m									
120	2365	1437	325722	35301	16565	16	27	1.000	0.944	1.000	0.600	0.382	0.360	0.637

Cls	Dir	N	Myeq	Mzeq	NRd	MyRd	MzRd	Comb.	SF
		kg	kg*m	kg*m	kg	kg*m	kg*m		
1	Y	120	1420	549	310212	33620	15776	9	13
1	Z	120	852	915	292767	33620	15776	9	12

Asta: 3 [1001,1081] Sez. G: HE 220 B L=150.0 cm Ln1=150.0 cm Ln2=150.0 cm Crit.: Acciaio_Pressflessione
 $\gamma M=1.05$ $f_y k / \gamma M = 2619$ kg/cmq $f_t = 4300$ kg/cmq : **Verificato**

SF_λ=7.451

N	My	Mz	NRk	MyRk	MzRk	λY	λZ	χY	χZ	χLT	kyy	kyz	kzy	kzz
kg	kg*m	kg*m	kg	kg*m	kg*m									
-32	-3496	-33	250363	22754	10833	16	27	1.000	0.944	--	0.675	0.268	0.405	0.446

Cls	Dir	N	Myeq	Mzeq	NRd	MyRd	MzRd	Comb.	SF
		kg	kg*m	kg*m	kg	kg*m	kg*m		
1	Y	32	2361	9	238441	21670	10317	14	9.1
1	Z	32	1416	14	225195	21670	10317	14	15

Asta: 3 [1011,1118] Sez. G: HE 220 B L=134.3 cm Ln1=134.3 cm Ln2=268.7 cm Crit.: Acciaio_Pressflessione
 $\gamma M=1.05$ $f_y k / \gamma M = 2619$ kg/cmq $f_t = 4300$ kg/cmq : **Verificato**

SF_λ=4.160

N	My	Mz	NRk	MyRk	MzRk	λY	λZ	χY	χZ	χLT	kyy	kyz	kzy	kzz
kg	kg*m	kg*m	kg	kg*m	kg*m									
-288	8174	472	250363	22754	10833	14	48	1.000	0.812	--	0.812	0.590	0.487	0.983

Cls	Dir	N	Myeq	Mzeq	NRd	MyRd	MzRd	Comb.	SF
		kg	kg*m	kg*m	kg	kg*m	kg*m		
1	Y	288	6641	279	238441	21670	10317	2	3.0
1	Z	288	3985	464	193718	21670	10317	2	4.3

Asta: 3 [1022,1014] Sez. G: HE 220 B L=134.3 cm Ln1=134.3 cm Ln2=268.7 cm Crit.: Acciaio_Pressflessione
 $\gamma M=1.05$ $f_y k / \gamma M = 2619$ kg/cmq $f_t = 4300$ kg/cmq : **Verificato**

SF_λ=4.160

N	My	Mz	NRk	MyRk	MzRk	λY	λZ	χY	χZ	χLT	kyy	kyz	kzy	kzz
kg	kg*m	kg*m	kg	kg*m	kg*m									
-145	1403	440	250363	22754	10833	14	48	1.000	0.812	--	0.600	0.435	0.360	0.725

Cls	Dir	N	Myeq	Mzeq	NRd	MyRd	MzRd	Comb.	SF
		kg	kg*m	kg*m	kg	kg*m	kg*m		
1	Y	145	842	191	238441	21670	10317	1	17
1	Z	145	505	319	193718	21670	10317	1	18

Asta: 3 [1014,1018] Sez. G: HE 220 B L=134.3 cm Ln1=134.3 cm Ln2=268.7 cm Crit.: Acciaio_Pressflessione
 $\gamma M=1.05$ $f_y k / \gamma M = 2619$ kg/cmq $f_t = 4300$ kg/cmq : **Verificato**

SF_λ=4.160

N	My	Mz	NRk	MyRk	MzRk	λY	λZ	χY	χZ	χLT	kyy	kyz	kzy	kzz
kg	kg*m	kg*m	kg	kg*m	kg*m									
-112	3912	465	250363	22754	10833	14	48	1.000	0.812	--	0.743	0.587	0.446	0.979

Cls	Dir	N	Myeq	Mzeq	NRd	MyRd	MzRd	Comb.	SF
		kg	kg*m	kg*m	kg	kg*m	kg*m		
1	Y	112	2908	273	238441	21670	10317	1	6.2

Cls	Dir	N	Myeq	Mzeq	NRd	MyRd	MzRd	Comb.	SF
1	Z	112	1745	455	193718	21670	10317	1	8.0

Asta: 3 [1018,1001] Sez. G: HE 220 B L=134.3 cm Ln1=134.3 cm Ln2=268.7 cm Crit.: Acciaio_Pressflessione

$\gamma_M=1.05$ fyk/ $\gamma_M=2619$ kg/cmq ft=4300 kg/cmq : **Verificato**

SF_λ=4.160

N	My	Mz	NRk	MyRk	MzRk	λY	λZ	χY	χZ	χLT	kyy	kyz	kzy	kzz
kg	kg*m	kg*m	kg	kg*m	kg*m									
-23	7530	465	250363	22754	10833	14	48	1.000	0.812	--	0.808	0.545	0.485	0.908

Cls	Dir	N	Myeq	Mzeq	NRd	MyRd	MzRd	Comb.	SF
		kg	kg*m	kg*m	kg	kg*m	kg*m		
1	Y	23	6082	253	238441	21670	10317	1	3.3
1	Z	23	3649	422	193718	21670	10317	1	4.8

Asta: 3 [1081,1080] Sez. G: HE 220 B L=150.0 cm Ln1=150.0 cm Ln2=150.0 cm Crit.: Acciaio_Pressflessione

$\gamma_M=1.05$ fyk/ $\gamma_M=2619$ kg/cmq ft=4300 kg/cmq : **Verificato**

SF_λ=7.451

N	My	Mz	NRk	MyRk	MzRk	λY	λZ	χY	χZ	χLT	kyy	kyz	kzy	kzz
kg	kg*m	kg*m	kg	kg*m	kg*m									
-34	626	-26	250363	22754	10833	16	27	1.000	0.944	--	0.684	0.240	0.410	0.400

Cls	Dir	N	Myeq	Mzeq	NRd	MyRd	MzRd	Comb.	SF
		kg	kg*m	kg*m	kg	kg*m	kg*m		
1	Y	34	428	6	238441	21670	10317	(18+19)-VII-5	49
1	Z	34	257	10	225195	21670	10317	(18+19)-VII-5	77

Asta: 3 [1080,1011] Sez. G: HE 220 B L=150.0 cm Ln1=150.0 cm Ln2=150.0 cm Crit.: Acciaio_Pressflessione

$\gamma_M=1.05$ fyk/ $\gamma_M=2619$ kg/cmq ft=4300 kg/cmq : **Verificato**

SF_λ=7.451

N	My	Mz	NRk	MyRk	MzRk	λY	λZ	χY	χZ	χLT	kyy	kyz	kzy	kzz
kg	kg*m	kg*m	kg	kg*m	kg*m									
-55	2528	33	250363	22754	10833	16	27	1.000	0.944	--	0.769	0.264	0.461	0.440

Cls	Dir	N	Myeq	Mzeq	NRd	MyRd	MzRd	Comb.	SF
		kg	kg*m	kg*m	kg	kg*m	kg*m		
1	Y	55	1944	9	238441	21670	10317	14	11
1	Z	55	1166	15	225195	21670	10317	14	18

Asta: 3 [1118,1045] Sez. G: HE 220 B L=134.3 cm Ln1=134.3 cm Ln2=268.7 cm Crit.: Acciaio_Pressflessione

$\gamma_M=1.05$ fyk/ $\gamma_M=2619$ kg/cmq ft=4300 kg/cmq : **Verificato**

SF_λ=4.160

N	My	Mz	NRk	MyRk	MzRk	λY	λZ	χY	χZ	χLT	kyy	kyz	kzy	kzz
kg	kg*m	kg*m	kg	kg*m	kg*m									
-241	3955	759	250363	22754	10833	14	48	1.000	0.812	--	0.758	0.590	0.455	0.983

Cls	Dir	N	Myeq	Mzeq	NRd	MyRd	MzRd	Comb.	SF
		kg	kg*m	kg*m	kg	kg*m	kg*m		
1	Y	241	2998	448	238441	21670	10317	9	5.5
1	Z	241	1799	746	193718	21670	10317	9	6.4

Asta: 3 [1045,1164] Sez. G: HE 220 B L=134.3 cm Ln1=134.3 cm Ln2=268.7 cm Crit.: Acciaio_Pressflessione

$\gamma_M=1.05$ fyk/ $\gamma_M=2619$ kg/cmq ft=4300 kg/cmq : **Verificato**

SF_λ=4.160

N	My	Mz	NRk	MyRk	MzRk	λY	λZ	χY	χZ	χLT	kyy	kyz	kzy	kzz
kg	kg*m	kg*m	kg	kg*m	kg*m									
-21	1560	726	250363	22754	10833	14	48	1.000	0.812	--	0.600	0.431	0.360	0.718

Cls	Dir	N	Myeq	Mzeq	NRd	MyRd	MzRd	Comb.	SF
		kg	kg*m	kg*m	kg	kg*m	kg*m		
1	Y	21	936	313	238441	21670	10317	9	14
1	Z	21	562	522	193718	21670	10317	9	13

Asta: 4 [1003,1089] Sez. G: HE 220 B L=150.0 cm Ln1=150.0 cm Ln2=150.0 cm Crit.: Acciaio_Pressflessione

$\gamma_M=1.05$ fyk/ $\gamma_M=2619$ kg/cmq ft=4300 kg/cmq :**Verificato**

SF_λ=INF

N	My	Mz	NRk	MyRk	MzRk	λY	λZ	χY	χZ	χLT	kyy	kyz	kzy	kzz
kg	kg*m	kg*m	kg	kg*m	kg*m									
Asta tesa												1	--	

Cls	Dir	N	Myeq	Mzeq	NRd	MyRd	MzRd	Comb.	SF
		kg	kg*m	kg*m	kg	kg*m	kg*m		
1		Asta tesa						1	--

Asta: 4 [1013,1125] Sez. G: HE 220 B L=134.3 cm Ln1=134.3 cm Ln2=268.7 cm Crit.: Acciaio_Pressflessione

$\gamma_M=1.05$ fyk/ $\gamma_M=2619$ kg/cmq ft=4300 kg/cmq :**Verificato**

SF_λ=4.160

N	My	Mz	NRk	MyRk	MzRk	λY	λZ	χY	χZ	χLT	kyy	kyz	kzy	kzz
kg	kg*m	kg*m	kg	kg*m	kg*m									
-629	8261	450	250363	22754	10833	14	48	1.000	0.812	--	0.819	0.596	0.491	0.993

Cls	Dir	N	Myeq	Mzeq	NRd	MyRd	MzRd	Comb.	SF
		kg	kg*m	kg*m	kg	kg*m	kg*m		
1	Y	629	6763	268	238441	21670	10317	2	2.9
1	Z	629	4058	447	193718	21670	10317	2	4.3

Asta: 4 [1023,1028] Sez. G: HE 220 B L=134.3 cm Ln1=134.3 cm Ln2=268.7 cm Crit.: Acciaio_Pressflessione

$\gamma_M=1.05$ fyk/ $\gamma_M=2619$ kg/cmq ft=4300 kg/cmq :**Verificato**

SF_λ=4.160

N	My	Mz	NRk	MyRk	MzRk	λY	λZ	χY	χZ	χLT	kyy	kyz	kzy	kzz
kg	kg*m	kg*m	kg	kg*m	kg*m									
-565	1208	597	250363	22754	10833	14	48	1.000	0.812	--	0.600	0.479	0.360	0.798

Cls	Dir	N	Myeq	Mzeq	NRd	MyRd	MzRd	Comb.	SF
		kg	kg*m	kg*m	kg	kg*m	kg*m		
1	Y	565	725	286	238441	21670	10317	7	16
1	Z	565	435	476	193718	21670	10317	7	14

Asta: 4 [1028,1029] Sez. G: HE 220 B L=134.3 cm Ln1=134.3 cm Ln2=268.7 cm Crit.: Acciaio_Pressflessione

$\gamma_M=1.05$ fyk/ $\gamma_M=2619$ kg/cmq ft=4300 kg/cmq :**Verificato**

SF_λ=4.160

N	My	Mz	NRk	MyRk	MzRk	λY	λZ	χY	χZ	χLT	kyy	kyz	kzy	kzz
kg	kg*m	kg*m	kg	kg*m	kg*m									
-704	3993	440	250363	22754	10833	14	48	1.000	0.812	--	0.750	0.562	0.450	0.937

Cls	Dir	N	Myeq	Mzeq	NRd	MyRd	MzRd	Comb.	SF
		kg	kg*m	kg*m	kg	kg*m	kg*m		
1	Y	704	2996	247	238441	21670	10317	1	6.1
1	Z	704	1797	412	193718	21670	10317	1	7.9

Asta: 4 [1029,1003] Sez. G: HE 220 B L=134.3 cm Ln1=134.3 cm Ln2=268.7 cm Crit.: Acciaio_Pressflessione

$\gamma_M=1.05$ fyk/ $\gamma_M=2619$ kg/cmq ft=4300 kg/cmq :**Verificato**

SF_λ=4.160

N	My	Mz	NRk	MyRk	MzRk	λY	λZ	χY	χZ	χLT	kyy	kyz	kzy	kzz
kg	kg*m	kg*m	kg	kg*m	kg*m									
-713	7479	455	250363	22754	10833	14	48	1.000	0.812	--	0.814	0.593	0.488	0.988

Cls	Dir	N	Myeq	Mzeq	NRd	MyRd	MzRd	Comb.	SF
		kg	kg*m	kg*m	kg	kg*m	kg*m		
1	Y	713	6085	270	238441	21670	10317	1	3.2
1	Z	713	3651	450	193718	21670	10317	1	4.6

Asta: 4 [1089,1088] Sez. G: HE 220 B L=150.0 cm Ln1=150.0 cm Ln2=150.0 cm Crit.: Acciaio_Pressflessione

$\gamma_M=1.05$ fyk/ $\gamma_M=2619$ kg/cmq ft=4300 kg/cmq :**Verificato**

SF_λ=7.451

N	My	Mz	NRk	MyRk	MzRk	λY	λZ	χY	χZ	χ_{LT}	kyy	kyz	kzy	kzz
kg	kg*m	kg*m	kg	kg*m	kg*m									
-20	1018	-9	250363	22754	10833	16	27	1.000	0.944	--	0.400	0.280	0.240	0.467

Cls	Dir	N	Myeq	Mzeq	NRd	MyRd	MzRd	Comb.	SF
		kg	kg*m	kg*m	kg	kg*m	kg*m		
1	Y	20	407	2	238441	21670	10317	14	52
1	Z	20	244	4	225195	21670	10317	14	85

Asta: 4 [1088,1013] Sez. G: HE 220 B L=150.0 cm Ln1=150.0 cm Ln2=150.0 cm Crit.: Acciaio_Pressflessione

$\gamma M=1.05$ fyk/ $\gamma M=2619$ kg/cm² ft=4300 kg/cm² : **Verificato**

SF_λ=7.451

N	My	Mz	NRk	MyRk	MzRk	λY	λZ	χY	χZ	χ_{LT}	kyy	kyz	kzy	kzz
kg	kg*m	kg*m	kg	kg*m	kg*m									
-115	2491	16	250363	22754	10833	16	27	1.000	0.944	--	0.764	0.240	0.458	0.400

Cls	Dir	N	Myeq	Mzeq	NRd	MyRd	MzRd	Comb.	SF
		kg	kg*m	kg*m	kg	kg*m	kg*m		
1	Y	115	1903	4	238441	21670	10317	14	11
1	Z	115	1142	6	225195	21670	10317	14	19

Asta: 4 [1125,1172] Sez. G: HE 220 B L=134.3 cm Ln1=134.3 cm Ln2=268.7 cm Crit.: Acciaio_Pressflessione

$\gamma M=1.05$ fyk/ $\gamma M=2619$ kg/cm² ft=4300 kg/cm² : **Verificato**

SF_λ=4.160

N	My	Mz	NRk	MyRk	MzRk	λY	λZ	χY	χZ	χ_{LT}	kyy	kyz	kzy	kzz
kg	kg*m	kg*m	kg	kg*m	kg*m									
-639	4514	440	250363	22754	10833	14	48	1.000	0.812	--	0.756	0.563	0.454	0.939

Cls	Dir	N	Myeq	Mzeq	NRd	MyRd	MzRd	Comb.	SF
		kg	kg*m	kg*m	kg	kg*m	kg*m		
1	Y	639	3413	248	238441	21670	10317	2	5.4
1	Z	639	2048	413	193718	21670	10317	2	7.3

Asta: 4 [1172,1171] Sez. G: HE 220 B L=134.3 cm Ln1=134.3 cm Ln2=268.7 cm Crit.: Acciaio_Pressflessione

$\gamma M=1.05$ fyk/ $\gamma M=2619$ kg/cm² ft=4300 kg/cm² : **Verificato**

SF_λ=4.160

N	My	Mz	NRk	MyRk	MzRk	λY	λZ	χY	χZ	χ_{LT}	kyy	kyz	kzy	kzz
kg	kg*m	kg*m	kg	kg*m	kg*m									
-501	1639	599	250363	22754	10833	14	48	1.000	0.812	--	0.600	0.478	0.360	0.797

Cls	Dir	N	Myeq	Mzeq	NRd	MyRd	MzRd	Comb.	SF
		kg	kg*m	kg*m	kg	kg*m	kg*m		
1	Y	501	983	287	238441	21670	10317	9	13
1	Z	501	590	478	193718	21670	10317	9	13

Asta: 5 [1005,1097] Sez. G: HE 220 B L=150.0 cm Ln1=150.0 cm Ln2=150.0 cm Crit.: Acciaio_Pressflessione

$\gamma M=1.05$ fyk/ $\gamma M=2619$ kg/cm² ft=4300 kg/cm² : **Verificato**

SF_λ=INF

N	My	Mz	NRk	MyRk	MzRk	λY	λZ	χY	χZ	χ_{LT}	kyy	kyz	kzy	kzz
kg	kg*m	kg*m	kg	kg*m	kg*m									
Asta tesa											1	--		

Cls	Dir	N	Myeq	Mzeq	NRd	MyRd	MzRd	Comb.	SF
		kg	kg*m	kg*m	kg	kg*m	kg*m		
1	Asta tesa							1	--

Asta: 5 [1015,1147] Sez. G: HE 220 B L=134.3 cm Ln1=134.3 cm Ln2=268.7 cm Crit.: Acciaio_Pressflessione

$\gamma M=1.05$ fyk/ $\gamma M=2619$ kg/cm² ft=4300 kg/cm² : **Verificato**

SF_λ=4.160

N	My	Mz	NRk	MyRk	MzRk	λY	λZ	χY	χZ	χ_{LT}	kyy	kyz	kzy	kzz
kg	kg*m	kg*m	kg	kg*m	kg*m									
-645	8366	468	250363	22754	10833	14	48	1.000	0.812	--	0.819	0.586	0.492	0.977

Cls	Dir	N	Myeq	Mzeq	NRd	MyRd	MzRd	Comb.	SF
		kg	kg*m	kg*m	kg	kg*m	kg*m		
1	Y	645	6854	274	238441	21670	10317	2	2.9
1	Z	645	4112	457	193718	21670	10317	2	4.2

Asta: 5 [1037,1038] Sez. G: HE 220 B L=134.3 cm Ln1=134.3 cm Ln2=268.7 cm Crit.: Acciaio_Pressflessione

$\gamma M=1.05$ fyk/ $\gamma M=2619$ kg/cm² ft=4300 kg/cm² : **Verificato**

SF_λ=4.160

N	My	Mz	NRk	MyRk	MzRk	λY	λZ	χY	χZ	χLT	kyy	kyz	kzy	kzz
kg	kg*m	kg*m	kg	kg*m	kg*m									
-546	1287	602	250363	22754	10833	14	48	1.000	0.812	--	0.600	0.476	0.360	0.794

Cls	Dir	N	Myeq	Mzeq	NRd	MyRd	MzRd	Comb.	SF
		kg	kg*m	kg*m	kg	kg*m	kg*m		
1	Y	546	772	287	238441	21670	10317	7	15
1	Z	546	463	478	193718	21670	10317	7	14

Asta: 5 [1038,1059] Sez. G: HE 220 B L=134.3 cm Ln1=134.3 cm Ln2=268.7 cm Crit.: Acciaio_Pressflessione

$\gamma M=1.05$ fyk/ $\gamma M=2619$ kg/cm² ft=4300 kg/cm² : **Verificato**

SF_λ=4.160

N	My	Mz	NRk	MyRk	MzRk	λY	λZ	χY	χZ	χLT	kyy	kyz	kzy	kzz
kg	kg*m	kg*m	kg	kg*m	kg*m									
-721	4046	439	250363	22754	10833	14	48	1.000	0.812	--	0.751	0.561	0.451	0.935

Cls	Dir	N	Myeq	Mzeq	NRd	MyRd	MzRd	Comb.	SF
		kg	kg*m	kg*m	kg	kg*m	kg*m		
1	Y	721	3038	246	238441	21670	10317	1	6.0
1	Z	721	1823	410	193718	21670	10317	1	7.8

Asta: 5 [1059,1005] Sez. G: HE 220 B L=134.3 cm Ln1=134.3 cm Ln2=268.7 cm Crit.: Acciaio_Pressflessione

$\gamma M=1.05$ fyk/ $\gamma M=2619$ kg/cm² ft=4300 kg/cm² : **Verificato**

SF_λ=4.160

N	My	Mz	NRk	MyRk	MzRk	λY	λZ	χY	χZ	χLT	kyy	kyz	kzy	kzz
kg	kg*m	kg*m	kg	kg*m	kg*m									
-730	7559	467	250363	22754	10833	14	48	1.000	0.812	--	0.814	0.586	0.488	0.977

Cls	Dir	N	Myeq	Mzeq	NRd	MyRd	MzRd	Comb.	SF
		kg	kg*m	kg*m	kg	kg*m	kg*m		
1	Y	730	6154	274	238441	21670	10317	1	3.2
1	Z	730	3692	456	193718	21670	10317	1	4.6

Asta: 5 [1097,1096] Sez. G: HE 220 B L=150.0 cm Ln1=150.0 cm Ln2=150.0 cm Crit.: Acciaio_Pressflessione

$\gamma M=1.05$ fyk/ $\gamma M=2619$ kg/cm² ft=4300 kg/cm² : **Verificato**

SF_λ=7.451

N	My	Mz	NRk	MyRk	MzRk	λY	λZ	χY	χZ	χLT	kyy	kyz	kzy	kzz
kg	kg*m	kg*m	kg	kg*m	kg*m									
-7	1006	-4	250363	22754	10833	16	27	1.000	0.944	--	0.400	0.240	0.240	0.400

Cls	Dir	N	Myeq	Mzeq	NRd	MyRd	MzRd	Comb.	SF
		kg	kg*m	kg*m	kg	kg*m	kg*m		
1	Y	7	402	1	238441	21670	10317	14	53
1	Z	7	241	2	225195	21670	10317	14	88

Asta: 5 [1096,1015] Sez. G: HE 220 B L=150.0 cm Ln1=150.0 cm Ln2=150.0 cm Crit.: Acciaio_Pressflessione

$\gamma M=1.05$ fyk/ $\gamma M=2619$ kg/cm² ft=4300 kg/cm² : **Verificato**

SF_λ=7.451

N	My	Mz	NRk	MyRk	MzRk	λY	λZ	χY	χZ	χLT	kyy	kyz	kzy	kzz
kg	kg*m	kg*m	kg	kg*m	kg*m									
-123	2448	7	250363	22754	10833	16	27	1.000	0.944	--	0.765	0.240	0.459	0.400

Cls	Dir	N	Myeq	Mzeq	NRd	MyRd	MzRd	Comb.	SF
		kg	kg*m	kg*m	kg	kg*m	kg*m		
1	Y	123	1872	2	238441	21670	10317	14	11

Cls	Dir	N	Myeq	Mzeq	NRd	MyRd	MzRd	Comb.	SF
1	Z	123	1123	3	225195	21670	10317	14	19

Asta: 5 [1147,1180] Sez. G: HE 220 B L=134.3 cm Ln1=134.3 cm Ln2=268.7 cm Crit.: Acciaio_Pressflessione

$\gamma_M=1.05$ fyk/ $\gamma_M=2619$ kg/cmq ft=4300 kg/cmq : **Verificato**

SF_λ=4.160

N	My	Mz	NRk	MyRk	MzRk	λY	λZ	χY	χZ	χLT	kyy	kyz	kzy	kzz
kg	kg*m	kg*m	kg	kg*m	kg*m									
-478	4194	731	250363	22754	10833	14	48	1.000	0.812	--	0.764	0.559	0.459	0.931

Cls	Dir	N	Myeq	Mzeq	NRd	MyRd	MzRd	Comb.	SF
		kg	kg*m	kg*m	kg	kg*m	kg*m		
1	Y	478	3205	408	238441	21670	10317	9	5.3
1	Z	478	1923	681	193718	21670	10317	9	6.4

Asta: 5 [1180,1179] Sez. G: HE 220 B L=134.3 cm Ln1=134.3 cm Ln2=268.7 cm Crit.: Acciaio_Pressflessione

$\gamma_M=1.05$ fyk/ $\gamma_M=2619$ kg/cmq ft=4300 kg/cmq : **Verificato**

SF_λ=4.160

N	My	Mz	NRk	MyRk	MzRk	λY	λZ	χY	χZ	χLT	kyy	kyz	kzy	kzz
kg	kg*m	kg*m	kg	kg*m	kg*m									
-484	1722	602	250363	22754	10833	14	48	1.000	0.812	--	0.600	0.476	0.360	0.793

Cls	Dir	N	Myeq	Mzeq	NRd	MyRd	MzRd	Comb.	SF
		kg	kg*m	kg*m	kg	kg*m	kg*m		
1	Y	484	1033	286	238441	21670	10317	9	13
1	Z	484	620	477	193718	21670	10317	9	13

Asta: 6 [1007,1104] Sez. G: HE 220 B L=150.0 cm Ln1=150.0 cm Ln2=150.0 cm Crit.: Acciaio_Pressflessione

$\gamma_M=1.05$ fyk/ $\gamma_M=2619$ kg/cmq ft=4300 kg/cmq : **Verificato**

SF_λ=7.451

N	My	Mz	NRk	MyRk	MzRk	λY	λZ	χY	χZ	χLT	kyy	kyz	kzy	kzz
kg	kg*m	kg*m	kg	kg*m	kg*m									
-1	2124	-56	250363	22754	10833	16	27	1.000	0.944	--	0.754	0.240	0.453	0.400

Cls	Dir	N	Myeq	Mzeq	NRd	MyRd	MzRd	Comb.	SF
		kg	kg*m	kg*m	kg	kg*m	kg*m		
1	Y	1	1602	13	238441	21670	10317	(18+19)-VI-2	13
1	Z	1	961	22	225195	21670	10317	(18+19)-VI-2	21

Asta: 6 [1017,1151] Sez. G: HE 220 B L=134.3 cm Ln1=134.3 cm Ln2=268.7 cm Crit.: Acciaio_Pressflessione

$\gamma_M=1.05$ fyk/ $\gamma_M=2619$ kg/cmq ft=4300 kg/cmq : **Verificato**

SF_λ=4.160

N	My	Mz	NRk	MyRk	MzRk	λY	λZ	χY	χZ	χLT	kyy	kyz	kzy	kzz
kg	kg*m	kg*m	kg	kg*m	kg*m									
-675	7969	460	250363	22754	10833	14	48	1.000	0.812	--	0.817	0.592	0.490	0.986

Cls	Dir	N	Myeq	Mzeq	NRd	MyRd	MzRd	Comb.	SF
		kg	kg*m	kg*m	kg	kg*m	kg*m		
1	Y	675	6509	272	238441	21670	10317	2	3.0
1	Z	675	3906	454	193718	21670	10317	2	4.4

Asta: 6 [1044,1065] Sez. G: HE 220 B L=134.3 cm Ln1=134.3 cm Ln2=268.7 cm Crit.: Acciaio_Pressflessione

$\gamma_M=1.05$ fyk/ $\gamma_M=2619$ kg/cmq ft=4300 kg/cmq : **Verificato**

SF_λ=4.160

N	My	Mz	NRk	MyRk	MzRk	λY	λZ	χY	χZ	χLT	kyy	kyz	kzy	kzz
kg	kg*m	kg*m	kg	kg*m	kg*m									
-589	1140	625	250363	22754	10833	14	48	1.000	0.812	--	0.600	0.465	0.360	0.775

Cls	Dir	N	Myeq	Mzeq	NRd	MyRd	MzRd	Comb.	SF
		kg	kg*m	kg*m	kg	kg*m	kg*m		
1	Y	589	684	291	238441	21670	10317	7	16
1	Z	589	410	484	193718	21670	10317	7	15

Asta: 6 [1065,1064] Sez. G: HE 220 B L=134.3 cm Ln1=134.3 cm Ln2=268.7 cm Crit.: Acciaio_Pressflessione

$\gamma M=1.05$ fyk/ $\gamma M=2619$ kg/cmq ft=4300 kg/cmq :**Verificato**

SF_λ=4.160

N	My	Mz	NRk	MyRk	MzRk	λY	λZ	χY	χZ	χLT	kyy	kyz	kzy	kzz
kg	kg*m	kg*m	kg	kg*m	kg*m									
-745	3804	460	250363	22754	10833	14	48	1.000	0.812	--	0.748	0.560	0.449	0.933

Cls	Dir	N	Myeq	Mzeq	NRd	MyRd	MzRd	Comb.	SF
		kg	kg*m	kg*m	kg	kg*m	kg*m		
1	Y	745	2845	258	238441	21670	10317	1	6.3
1	Z	745	1707	430	193718	21670	10317	1	8.0

Asta: 6 [1064,1007] Sez. G: HE 220 B L=134.3 cm Ln1=134.3 cm Ln2=268.7 cm Crit.: Acciaio_Pressflessione

$\gamma M=1.05$ fyk/ $\gamma M=2619$ kg/cmq ft=4300 kg/cmq :**Verificato**

SF_λ=4.160

N	My	Mz	NRk	MyRk	MzRk	λY	λZ	χY	χZ	χLT	kyy	kyz	kzy	kzz
kg	kg*m	kg*m	kg	kg*m	kg*m									
-754	7197	460	250363	22754	10833	14	48	1.000	0.812	--	0.811	0.589	0.487	0.981

Cls	Dir	N	Myeq	Mzeq	NRd	MyRd	MzRd	Comb.	SF
		kg	kg*m	kg*m	kg	kg*m	kg*m		
1	Y	754	5840	271	238441	21670	10317	1	3.3
1	Z	754	3504	451	193718	21670	10317	1	4.8

Asta: 6 [1104,1136] Sez. G: HE 220 B L=150.0 cm Ln1=150.0 cm Ln2=150.0 cm Crit.: Acciaio_Pressflessione

$\gamma M=1.05$ fyk/ $\gamma M=2619$ kg/cmq ft=4300 kg/cmq :**Verificato**

SF_λ=7.451

N	My	Mz	NRk	MyRk	MzRk	λY	λZ	χY	χZ	χLT	kyy	kyz	kzy	kzz
kg	kg*m	kg*m	kg	kg*m	kg*m									
-3	976	-4	250363	22754	10833	16	27	1.000	0.944	--	0.400	0.313	0.240	0.522

Cls	Dir	N	Myeq	Mzeq	NRd	MyRd	MzRd	Comb.	SF
		kg	kg*m	kg*m	kg	kg*m	kg*m		
1	Y	3	390	1	238441	21670	10317	14	55
1	Z	3	234	2	225195	21670	10317	14	91

Asta: 6 [1136,1017] Sez. G: HE 220 B L=150.0 cm Ln1=150.0 cm Ln2=150.0 cm Crit.: Acciaio_Pressflessione

$\gamma M=1.05$ fyk/ $\gamma M=2619$ kg/cmq ft=4300 kg/cmq :**Verificato**

SF_λ=7.451

N	My	Mz	NRk	MyRk	MzRk	λY	λZ	χY	χZ	χLT	kyy	kyz	kzy	kzz
kg	kg*m	kg*m	kg	kg*m	kg*m									
-138	2352	8	250363	22754	10833	16	27	1.000	0.944	--	0.766	0.240	0.460	0.400

Cls	Dir	N	Myeq	Mzeq	NRd	MyRd	MzRd	Comb.	SF
		kg	kg*m	kg*m	kg	kg*m	kg*m		
1	Y	138	1803	2	238441	21670	10317	14	12
1	Z	138	1082	3	225195	21670	10317	14	20

Asta: 6 [1151,1187] Sez. G: HE 220 B L=134.3 cm Ln1=134.3 cm Ln2=268.7 cm Crit.: Acciaio_Pressflessione

$\gamma M=1.05$ fyk/ $\gamma M=2619$ kg/cmq ft=4300 kg/cmq :**Verificato**

SF_λ=4.160

N	My	Mz	NRk	MyRk	MzRk	λY	λZ	χY	χZ	χLT	kyy	kyz	kzy	kzz
kg	kg*m	kg*m	kg	kg*m	kg*m									
-526	3880	753	250363	22754	10833	14	48	1.000	0.812	--	0.761	0.559	0.457	0.932

Cls	Dir	N	Myeq	Mzeq	NRd	MyRd	MzRd	Comb.	SF
		kg	kg*m	kg*m	kg	kg*m	kg*m		
1	Y	526	2954	421	238441	21670	10317	9	5.6
1	Z	526	1772	702	193718	21670	10317	9	6.6

Asta: 6 [1187,1188] Sez. G: HE 220 B L=134.3 cm Ln1=134.3 cm Ln2=268.7 cm Crit.: Acciaio_Pressflessione

$\gamma M=1.05$ fyk/ $\gamma M=2619$ kg/cmq ft=4300 kg/cmq :**Verificato**

SF_λ=4.160

N	My	Mz	NRk	MyRk	MzRk	λY	λZ	χY	χZ	χ_{LT}	kyy	kyz	kzy	kzz
kg	kg*m	kg*m	kg	kg*m	kg*m									
-532	1565	623	250363	22754	10833	14	48	1.000	0.812	--	0.600	0.465	0.360	0.775

Cls	Dir	N	Myeq	Mzeq	NRd	MyRd	MzRd	Comb.	SF
		kg	kg*m	kg*m	kg	kg*m	kg*m		
1	Y	532	939	290	238441	21670	10317	9	14
1	Z	532	564	483	193718	21670	10317	9	13

Asta: 7 [1009,1111] Sez. G: HE 220 B L=150.0 cm Ln1=150.0 cm Ln2=150.0 cm Crit.: Acciaio_Pressflessione
 $\gamma M=1.05$ fyk/ $\gamma M=2619$ kg/cm² ft=4300 kg/cm² : **Verificato**

SF_λ=7.451

N	My	Mz	NRk	MyRk	MzRk	λY	λZ	χY	χZ	χ_{LT}	kyy	kyz	kzy	kzz
kg	kg*m	kg*m	kg	kg*m	kg*m									
-57	-3660	-9	250363	22754	10833	16	27	1.000	0.944	--	0.686	0.377	0.412	0.628

Cls	Dir	N	Myeq	Mzeq	NRd	MyRd	MzRd	Comb.	SF
		kg	kg*m	kg*m	kg	kg*m	kg*m		
1	Y	57	2512	4	238441	21670	10317	14	8.6
1	Z	57	1507	6	225195	21670	10317	14	14

Asta: 7 [1019,1158] Sez. G: HE 220 B L=134.3 cm Ln1=134.3 cm Ln2=268.7 cm Crit.: Acciaio_Pressflessione
 $\gamma M=1.05$ fyk/ $\gamma M=2619$ kg/cm² ft=4300 kg/cm² : **Verificato**

SF_λ=4.160

N	My	Mz	NRk	MyRk	MzRk	λY	λZ	χY	χZ	χ_{LT}	kyy	kyz	kzy	kzz
kg	kg*m	kg*m	kg	kg*m	kg*m									
-172	8677	561	250363	22754	10833	14	48	1.000	0.812	--	0.821	0.540	0.493	0.899

Cls	Dir	N	Myeq	Mzeq	NRd	MyRd	MzRd	Comb.	SF
		kg	kg*m	kg*m	kg	kg*m	kg*m		
1	Y	172	7125	303	238441	21670	10317	2	2.8
1	Z	172	4275	505	193718	21670	10317	2	4.0

Asta: 7 [1048,1072] Sez. G: HE 220 B L=134.3 cm Ln1=134.3 cm Ln2=268.7 cm Crit.: Acciaio_Pressflessione
 $\gamma M=1.05$ fyk/ $\gamma M=2619$ kg/cm² ft=4300 kg/cm² : **Verificato**

SF_λ=4.160

N	My	Mz	NRk	MyRk	MzRk	λY	λZ	χY	χZ	χ_{LT}	kyy	kyz	kzy	kzz
kg	kg*m	kg*m	kg	kg*m	kg*m									
-179	1408	558	250363	22754	10833	14	48	1.000	0.812	--	0.600	0.487	0.360	0.811

Cls	Dir	N	Myeq	Mzeq	NRd	MyRd	MzRd	Comb.	SF
		kg	kg*m	kg*m	kg	kg*m	kg*m		
1	Y	179	845	272	238441	21670	10317	7	15
1	Z	179	507	453	193718	21670	10317	7	15

Asta: 7 [1072,1073] Sez. G: HE 220 B L=134.3 cm Ln1=134.3 cm Ln2=268.7 cm Crit.: Acciaio_Pressflessione
 $\gamma M=1.05$ fyk/ $\gamma M=2619$ kg/cm² ft=4300 kg/cm² : **Verificato**

SF_λ=4.160

N	My	Mz	NRk	MyRk	MzRk	λY	λZ	χY	χZ	χ_{LT}	kyy	kyz	kzy	kzz
kg	kg*m	kg*m	kg	kg*m	kg*m									
-295	4316	424	250363	22754	10833	14	48	1.000	0.812	--	0.754	0.539	0.453	0.898

Cls	Dir	N	Myeq	Mzeq	NRd	MyRd	MzRd	Comb.	SF
		kg	kg*m	kg*m	kg	kg*m	kg*m		
1	Y	295	3256	229	238441	21670	10317	1	5.8
1	Z	295	1953	381	193718	21670	10317	1	7.8

Asta: 7 [1073,1009] Sez. G: HE 220 B L=134.3 cm Ln1=134.3 cm Ln2=268.7 cm Crit.: Acciaio_Pressflessione
 $\gamma M=1.05$ fyk/ $\gamma M=2619$ kg/cm² ft=4300 kg/cm² : **Verificato**

SF_λ=4.160

N	My	Mz	NRk	MyRk	MzRk	λY	λZ	χY	χZ	χ_{LT}	kyy	kyz	kzy	kzz
kg	kg*m	kg*m	kg	kg*m	kg*m									
-305	7956	547	250363	22754	10833	14	48	1.000	0.812	--	0.817	0.546	0.490	0.909

Cls	Dir	N	Myeq	Mzeq	NRd	MyRd	MzRd	Comb.	SF
		kg	kg*m	kg*m	kg	kg*m	kg*m		
1	Y	305	6500	298	238441	21670	10317	1	3.0
1	Z	305	3900	497	193718	21670	10317	1	4.4

Asta: 7 [1111,1140] Sez. G: HE 220 B L=150.0 cm Ln1=150.0 cm Ln2=150.0 cm Crit.: Acciaio_Pressflessione

$\gamma M=1.05$ fyk/ $\gamma M=2619$ kg/cmq ft=4300 kg/cmq : **Verificato**

SF $\lambda=7.451$

N	My	Mz	NRk	MyRk	MzRk	λY	λZ	χY	χZ	χLT	kyy	kzy	kzy	kzz
kg	kg*m	kg*m	kg	kg*m	kg*m									
-59	1132	7	250363	22754	10833	16	27	1.000	0.944	--	0.400	0.302	0.240	0.503

Cls	Dir	N	Myeq	Mzeq	NRd	MyRd	MzRd	Comb.	SF
		kg	kg*m	kg*m	kg	kg*m	kg*m		
1	Y	59	453	2	238441	21670	10317	14	47
1	Z	59	272	3	225195	21670	10317	14	76

Asta: 7 [1140,1019] Sez. G: HE 220 B L=150.0 cm Ln1=150.0 cm Ln2=150.0 cm Crit.: Acciaio_Pressflessione

$\gamma M=1.05$ fyk/ $\gamma M=2619$ kg/cmq ft=4300 kg/cmq : **Verificato**

SF $\lambda=7.451$

N	My	Mz	NRk	MyRk	MzRk	λY	λZ	χY	χZ	χLT	kyy	kzy	kzy	kzz
kg	kg*m	kg*m	kg	kg*m	kg*m									
-65	2852	6	250363	22754	10833	16	27	1.000	0.944	--	0.759	0.327	0.455	0.545

Cls	Dir	N	Myeq	Mzeq	NRd	MyRd	MzRd	Comb.	SF
		kg	kg*m	kg*m	kg	kg*m	kg*m		
1	Y	65	2164	2	238441	21670	10317	14	10.0
1	Z	65	1298	3	225195	21670	10317	14	17

Asta: 7 [1158,1196] Sez. G: HE 220 B L=134.3 cm Ln1=134.3 cm Ln2=268.7 cm Crit.: Acciaio_Pressflessione

$\gamma M=1.05$ fyk/ $\gamma M=2619$ kg/cmq ft=4300 kg/cmq : **Verificato**

SF $\lambda=4.160$

N	My	Mz	NRk	MyRk	MzRk	λY	λZ	χY	χZ	χLT	kyy	kzy	kzy	kzz
kg	kg*m	kg*m	kg	kg*m	kg*m									
-42	4367	711	250363	22754	10833	14	48	1.000	0.812	--	0.766	0.548	0.459	0.914

Cls	Dir	N	Myeq	Mzeq	NRd	MyRd	MzRd	Comb.	SF
		kg	kg*m	kg*m	kg	kg*m	kg*m		
1	Y	42	3344	390	238441	21670	10317	9	5.2
1	Z	42	2007	650	193718	21670	10317	9	6.4

Asta: 7 [1196,1195] Sez. G: HE 220 B L=134.3 cm Ln1=134.3 cm Ln2=268.7 cm Crit.: Acciaio_Pressflessione

$\gamma M=1.05$ fyk/ $\gamma M=2619$ kg/cmq ft=4300 kg/cmq : **Verificato**

SF $\lambda=4.160$

N	My	Mz	NRk	MyRk	MzRk	λY	λZ	χY	χZ	χLT	kyy	kzy	kzy	kzz
kg	kg*m	kg*m	kg	kg*m	kg*m									
-47	1811	557	250363	22754	10833	14	48	1.000	0.812	--	0.600	0.488	0.360	0.814

Cls	Dir	N	Myeq	Mzeq	NRd	MyRd	MzRd	Comb.	SF
		kg	kg*m	kg*m	kg	kg*m	kg*m		
1	Y	47	1086	272	238441	21670	10317	9	13
1	Z	47	652	453	193718	21670	10317	9	13

Asta: 10 [1023,1019] Sez. G: HE 220 B L=134.3 cm Ln1=134.3 cm Ln2=268.7 cm Crit.: Acciaio_Pressflessione

$\gamma M=1.05$ fyk/ $\gamma M=2619$ kg/cmq ft=4300 kg/cmq : **Verificato**

SF $\lambda=4.160$

N	My	Mz	NRk	MyRk	MzRk	λY	λZ	χY	χZ	χLT	kyy	kzy	kzy	kzz
kg	kg*m	kg*m	kg	kg*m	kg*m									
-25	210	842	250363	22754	10833	14	48	1.000	0.812	--	0.600	0.430	0.360	0.717

Cls	Dir	N	Myeq	Mzeq	NRd	MyRd	MzRd	Comb.	SF
		kg	kg*m	kg*m	kg	kg*m	kg*m		

Cls	Dir	N	Myeq	Mzeq	NRd	MyRd	MzRd	Comb.	SF
1	Y	25	126	362	238441	21670	10317	7	24
1	Z	25	76	604	193718	21670	10317	7	16

Asta: 10 [1052,1083] Sez. G: HE 220 B L=150.0 cm Ln1=150.0 cm Ln2=150.0 cm Crit.: Acciaio_Pressflessione

$\gamma M=1.05$ fyk/ $\gamma M=2619$ kg/cm² ft=4300 kg/cm² : **Verificato**

SF_λ=7.451

N	My	Mz	NRk	MyRk	MzRk	λY	λZ	χY	χZ	χLT	kyy	kyz	kzy	kzz
kg	kg*m	kg*m	kg	kg*m	kg*m									
-108	-2859	452	250363	22754	10833	16	27	1.000	0.944	--	0.695	0.576	0.417	0.961

Cls	Dir	N	Myeq	Mzeq	NRd	MyRd	MzRd	Comb.	SF
		kg	kg*m	kg*m	kg	kg*m	kg*m		
1	Y	108	1987	261	238441	21670	10317	11	8.5
1	Z	108	1192	435	225195	21670	10317	11	10

Asta: 10 [1120,1119] Sez. G: HE 220 B L=134.3 cm Ln1=134.3 cm Ln2=268.7 cm Crit.: Acciaio_Pressflessione

$\gamma M=1.05$ fyk/ $\gamma M=2619$ kg/cm² ft=4300 kg/cm² : **Verificato**

SF_λ=4.160

N	My	Mz	NRk	MyRk	MzRk	λY	λZ	χY	χZ	χLT	kyy	kyz	kzy	kzz
kg	kg*m	kg*m	kg	kg*m	kg*m									
-140	-1791	456	250363	22754	10833	14	48	1.000	0.812	--	0.777	0.572	0.466	0.954

Cls	Dir	N	Myeq	Mzeq	NRd	MyRd	MzRd	Comb.	SF
		kg	kg*m	kg*m	kg	kg*m	kg*m		
1	Y	140	1391	261	238441	21670	10317	13	11
1	Z	140	835	435	193718	21670	10317	13	12

Asta: 10 [1019,1033] Sez. G: HE 220 B L=134.3 cm Ln1=134.3 cm Ln2=268.7 cm Crit.: Acciaio_Pressflessione

$\gamma M=1.05$ fyk/ $\gamma M=2619$ kg/cm² ft=4300 kg/cm² : **Verificato**

SF_λ=4.160

N	My	Mz	NRk	MyRk	MzRk	λY	λZ	χY	χZ	χLT	kyy	kyz	kzy	kzz
kg	kg*m	kg*m	kg	kg*m	kg*m									
-317	-1139	465	250363	22754	10833	14	48	1.000	0.812	--	0.665	0.586	0.399	0.976

Cls	Dir	N	Myeq	Mzeq	NRd	MyRd	MzRd	Comb.	SF
		kg	kg*m	kg*m	kg	kg*m	kg*m		
1	Y	317	757	272	238441	21670	10317	11	16
1	Z	317	454	454	193718	21670	10317	11	15

Asta: 10 [1033,1052] Sez. G: HE 220 B L=134.3 cm Ln1=134.3 cm Ln2=268.7 cm Crit.: Acciaio_Pressflessione

$\gamma M=1.05$ fyk/ $\gamma M=2619$ kg/cm² ft=4300 kg/cm² : **Verificato**

SF_λ=4.160

N	My	Mz	NRk	MyRk	MzRk	λY	λZ	χY	χZ	χLT	kyy	kyz	kzy	kzz
kg	kg*m	kg*m	kg	kg*m	kg*m									
-309	-2857	465	250363	22754	10833	14	48	1.000	0.812	--	0.760	0.567	0.456	0.945

Cls	Dir	N	Myeq	Mzeq	NRd	MyRd	MzRd	Comb.	SF
		kg	kg*m	kg*m	kg	kg*m	kg*m		
1	Y	309	2170	264	238441	21670	10317	11	7.9
1	Z	309	1302	439	193718	21670	10317	11	9.6

Asta: 10 [1083,1039] Sez. G: HE 220 B L=150.0 cm Ln1=150.0 cm Ln2=150.0 cm Crit.: Acciaio_Pressflessione

$\gamma M=1.05$ fyk/ $\gamma M=2619$ kg/cm² ft=4300 kg/cm² : **Verificato**

SF_λ=7.451

N	My	Mz	NRk	MyRk	MzRk	λY	λZ	χY	χZ	χLT	kyy	kyz	kzy	kzz
kg	kg*m	kg*m	kg	kg*m	kg*m									
-37	840	17	250363	22754	10833	16	27	1.000	0.944	--	0.400	0.240	0.240	0.400

Cls	Dir	N	Myeq	Mzeq	NRd	MyRd	MzRd	Comb.	SF
		kg	kg*m	kg*m	kg	kg*m	kg*m		
1	Y	37	336	4	238441	21670	10317	14	62
1	Z	37	202	7	225195	21670	10317	14	99

Asta: 10 [1039,1120] Sez. G: HE 220 B L=150.0 cm Ln1=150.0 cm Ln2=150.0 cm Crit.: Acciaio_Pressflessione
 $\gamma_M=1.05$ fyk/ $\gamma_M=2619$ kg/cmq ft=4300 kg/cmq :**Verificato**
 SF_λ=7.451

N	My	Mz	NRk	MyRk	MzRk	λY	λZ	χY	χZ	χLT	kyy	kyz	kzy	kzz
kg	kg*m	kg*m	kg	kg*m	kg*m									
-8	-1800	457	250363	22754	10833	16	27	1.000	0.944	--	0.657	0.575	0.394	0.958

Cls	Dir	N	Myeq	Mzeq	NRd	MyRd	MzRd	Comb.	SF
		kg	kg*m	kg*m	kg	kg*m	kg*m		
1	Y	8	1182	262	238441	21670	10317	13	12
1	Z	8	709	437	225195	21670	10317	13	13

Asta: 10 [1119,1166] Sez. G: HE 220 B L=134.3 cm Ln1=134.3 cm Ln2=268.7 cm Crit.: Acciaio_Pressflessione
 $\gamma_M=1.05$ fyk/ $\gamma_M=2619$ kg/cmq ft=4300 kg/cmq :**Verificato**
 SF_λ=4.160

N	My	Mz	NRk	MyRk	MzRk	λY	λZ	χY	χZ	χLT	kyy	kyz	kzy	kzz
kg	kg*m	kg*m	kg	kg*m	kg*m									
-136	-791	457	250363	22754	10833	14	48	1.000	0.812	--	0.697	0.600	0.418	1.000

Cls	Dir	N	Myeq	Mzeq	NRd	MyRd	MzRd	Comb.	SF
		kg	kg*m	kg*m	kg	kg*m	kg*m		
1	Y	136	552	274	238441	21670	10317	13	19
1	Z	136	331	456	193718	21670	10317	13	17

Asta: 10 [1166,1046] Sez. G: HE 220 B L=134.3 cm Ln1=134.3 cm Ln2=268.7 cm Crit.: Acciaio_Pressflessione
 $\gamma_M=1.05$ fyk/ $\gamma_M=2619$ kg/cmq ft=4300 kg/cmq :**Verificato**
 SF_λ=4.160

N	My	Mz	NRk	MyRk	MzRk	λY	λZ	χY	χZ	χLT	kyy	kyz	kzy	kzz
kg	kg*m	kg*m	kg	kg*m	kg*m									
-24	38	849	250363	22754	10833	14	48	1.000	0.812	--	0.400	0.430	0.240	0.717

Cls	Dir	N	Myeq	Mzeq	NRd	MyRd	MzRd	Comb.	SF
		kg	kg*m	kg*m	kg	kg*m	kg*m		
1	Y	24	15	365	238441	21670	10317	9	28
1	Z	24	9	609	193718	21670	10317	9	17

Asta: 11 [1122,1121] Sez. G: HE 220 B L=134.3 cm Ln1=134.3 cm Ln2=268.7 cm Crit.: Acciaio_Pressflessione
 $\gamma_M=1.05$ fyk/ $\gamma_M=2619$ kg/cmq ft=4300 kg/cmq :**Verificato**
 SF_λ=4.160

N	My	Mz	NRk	MyRk	MzRk	λY	λZ	χY	χZ	χLT	kyy	kyz	kzy	kzz
kg	kg*m	kg*m	kg	kg*m	kg*m									
-803	3335	444	250363	22754	10833	14	48	1.000	0.812	--	0.748	0.599	0.449	0.998

Cls	Dir	N	Myeq	Mzeq	NRd	MyRd	MzRd	Comb.	SF
		kg	kg*m	kg*m	kg	kg*m	kg*m		
1	Y	803	2493	266	238441	21670	10317	2	6.9
1	Z	803	1496	443	193718	21670	10317	2	8.6

Asta: 11 [1053,1084] Sez. G: HE 220 B L=150.0 cm Ln1=150.0 cm Ln2=150.0 cm Crit.: Acciaio_Pressflessione
 $\gamma_M=1.05$ fyk/ $\gamma_M=2619$ kg/cmq ft=4300 kg/cmq :**Verificato**
 SF_λ=7.451

N	My	Mz	NRk	MyRk	MzRk	λY	λZ	χY	χZ	χLT	kyy	kyz	kzy	kzz
kg	kg*m	kg*m	kg	kg*m	kg*m									
-798	3549	451	250363	22754	10833	16	27	1.000	0.944	--	0.843	0.588	0.506	0.980

Cls	Dir	N	Myeq	Mzeq	NRd	MyRd	MzRd	Comb.	SF
		kg	kg*m	kg*m	kg	kg*m	kg*m		
1	Y	798	2991	265	238441	21670	10317	1	6.0
1	Z	798	1794	442	225195	21670	10317	1	7.7

Asta: 11 [1016,1021] Sez. G: HE 220 B L=134.3 cm Ln1=134.3 cm Ln2=268.7 cm Crit.: Acciaio_Pressflessione
 $\gamma_M=1.05$ fyk/ $\gamma_M=2619$ kg/cmq ft=4300 kg/cmq :**Verificato**

SF_λ=4.160

N	My	Mz	NRk	MyRk	MzRk	λY	λZ	χY	χZ	χLT	kyy	kyz	kzy	kzz
kg	kg*m	kg*m	kg	kg*m	kg*m									
-648	110	605	250363	22754	10833	14	48	1.000	0.812	--	0.600	0.478	0.360	0.797

Cls	Dir	N	Myeq	Mzeq	NRd	MyRd	MzRd	Comb.	SF
		kg	kg*m	kg*m	kg	kg*m	kg*m		
1	Y	648	66	289	238441	21670	10317	7	30
1	Z	648	40	482	193718	21670	10317	7	19

Asta: 11 [1021,1025] Sez. G: HE 220 B L=134.3 cm Ln1=134.3 cm Ln2=268.7 cm Crit.: Acciaio_Pressflessione
 $\gamma M=1.05 f_{yk}/\gamma M=2619 \text{ kg/cm}^2$ ft=4300 kg/cm² : **Verificato**

SF_λ=4.160

N	My	Mz	NRk	MyRk	MzRk	λY	λZ	χY	χZ	χLT	kyy	kyz	kzy	kzz
kg	kg*m	kg*m	kg	kg*m	kg*m									
-655	970	718	250363	22754	10833	14	48	1.000	0.812	--	0.645	0.564	0.387	0.939

Cls	Dir	N	Myeq	Mzeq	NRd	MyRd	MzRd	Comb.	SF
		kg	kg*m	kg*m	kg	kg*m	kg*m		
1	Y	655	626	405	238441	21670	10317	7	14
1	Z	655	376	674	193718	21670	10317	7	12

Asta: 11 [1025,1053] Sez. G: HE 220 B L=134.3 cm Ln1=134.3 cm Ln2=268.7 cm Crit.: Acciaio_Pressflessione
 $\gamma M=1.05 f_{yk}/\gamma M=2619 \text{ kg/cm}^2$ ft=4300 kg/cm² : **Verificato**

SF_λ=4.160

N	My	Mz	NRk	MyRk	MzRk	λY	λZ	χY	χZ	χLT	kyy	kyz	kzy	kzz
kg	kg*m	kg*m	kg	kg*m	kg*m									
-816	3547	449	250363	22754	10833	14	48	1.000	0.812	--	0.755	0.596	0.453	0.993

Cls	Dir	N	Myeq	Mzeq	NRd	MyRd	MzRd	Comb.	SF
		kg	kg*m	kg*m	kg	kg*m	kg*m		
1	Y	816	2677	268	238441	21670	10317	1	6.5
1	Z	816	1606	446	193718	21670	10317	1	8.2

Asta: 11 [1084,1085] Sez. G: HE 220 B L=150.0 cm Ln1=150.0 cm Ln2=150.0 cm Crit.: Acciaio_Pressflessione
 $\gamma M=1.05 f_{yk}/\gamma M=2619 \text{ kg/cm}^2$ ft=4300 kg/cm² : **Verificato**

SF_λ=7.451

N	My	Mz	NRk	MyRk	MzRk	λY	λZ	χY	χZ	χLT	kyy	kyz	kzy	kzz
kg	kg*m	kg*m	kg	kg*m	kg*m									
-748	2152	451	250363	22754	10833	16	27	1.000	0.944	--	0.970	0.593	0.582	0.988

Cls	Dir	N	Myeq	Mzeq	NRd	MyRd	MzRd	Comb.	SF
		kg	kg*m	kg*m	kg	kg*m	kg*m		
1	Y	748	2088	267	238441	21670	10317	1	8.0
1	Z	748	1253	445	225195	21670	10317	1	9.6

Asta: 11 [1085,1122] Sez. G: HE 220 B L=150.0 cm Ln1=150.0 cm Ln2=150.0 cm Crit.: Acciaio_Pressflessione
 $\gamma M=1.05 f_{yk}/\gamma M=2619 \text{ kg/cm}^2$ ft=4300 kg/cm² : **Verificato**

SF_λ=7.451

N	My	Mz	NRk	MyRk	MzRk	λY	λZ	χY	χZ	χLT	kyy	kyz	kzy	kzz
kg	kg*m	kg*m	kg	kg*m	kg*m									
-816	3337	450	250363	22754	10833	16	27	1.000	0.944	--	0.850	0.592	0.510	0.987

Cls	Dir	N	Myeq	Mzeq	NRd	MyRd	MzRd	Comb.	SF
		kg	kg*m	kg*m	kg	kg*m	kg*m		
1	Y	816	2835	266	238441	21670	10317	2	6.2
1	Z	816	1701	444	225195	21670	10317	2	8.0

Asta: 11 [1121,1168] Sez. G: HE 220 B L=134.3 cm Ln1=134.3 cm Ln2=268.7 cm Crit.: Acciaio_Pressflessione
 $\gamma M=1.05 f_{yk}/\gamma M=2619 \text{ kg/cm}^2$ ft=4300 kg/cm² : **Verificato**

SF_λ=4.160

N	My	Mz	NRk	MyRk	MzRk	λY	λZ	χY	χZ	χLT	kyy	kyz	kzy	kzz
kg	kg*m	kg*m	kg	kg*m	kg*m									

N	My	Mz	NRk	MyRk	MzRk	λY	λZ	χY	χZ	χLT	kyy	kyz	kzy	kzz
-670	734	720	250363	22754	10833	14	48	1.000	0.812	--	0.596	0.564	0.357	0.940

Cls	Dir	N	Myeq	Mzeq	NRd	MyRd	MzRd	Comb.	SF
		kg	kg*m	kg*m	kg	kg*m	kg*m		
1	Y	670	437	406	238441	21670	10317	9	16
1	Z	670	262	677	193718	21670	10317	9	12

Asta: 11 [1168,1167] Sez. G: HE 220 B L=134.3 cm Ln1=134.3 cm Ln2=268.7 cm Crit.: Acciaio_Pressflessione

$\gamma M=1.05$ fyk/ $\gamma M=2619$ kg/cm² ft=4300 kg/cm² : **Verificato**

SF_λ=4.160

N	My	Mz	NRk	MyRk	MzRk	λY	λZ	χY	χZ	χLT	kyy	kyz	kzy	kzz
kg	kg*m	kg*m	kg	kg*m	kg*m									
-588	-97	606	250363	22754	10833	14	48	1.000	0.812	--	0.600	0.479	0.360	0.798

Cls	Dir	N	Myeq	Mzeq	NRd	MyRd	MzRd	Comb.	SF
		kg	kg*m	kg*m	kg	kg*m	kg*m		
1	Y	588	58	290	238441	21670	10317	6	30
1	Z	588	35	483	193718	21670	10317	6	19

Asta: 12 [1124,1123] Sez. G: HE 220 B L=134.3 cm Ln1=134.3 cm Ln2=268.7 cm Crit.: Acciaio_Pressflessione

$\gamma M=1.05$ fyk/ $\gamma M=2619$ kg/cm² ft=4300 kg/cm² : **Verificato**

SF_λ=4.160

N	My	Mz	NRk	MyRk	MzRk	λY	λZ	χY	χZ	χLT	kyy	kyz	kzy	kzz
kg	kg*m	kg*m	kg	kg*m	kg*m									
-211	-1952	478	250363	22754	10833	14	48	1.000	0.812	--	0.784	0.561	0.470	0.935

Cls	Dir	N	Myeq	Mzeq	NRd	MyRd	MzRd	Comb.	SF
		kg	kg*m	kg*m	kg	kg*m	kg*m		
1	Y	211	1530	268	238441	21670	10317	13	10
1	Z	211	918	447	193718	21670	10317	13	12

Asta: 12 [1054,1087] Sez. G: HE 220 B L=150.0 cm Ln1=150.0 cm Ln2=150.0 cm Crit.: Acciaio_Pressflessione

$\gamma M=1.05$ fyk/ $\gamma M=2619$ kg/cm² ft=4300 kg/cm² : **Verificato**

SF_λ=7.451

N	My	Mz	NRk	MyRk	MzRk	λY	λZ	χY	χZ	χLT	kyy	kyz	kzy	kzz
kg	kg*m	kg*m	kg	kg*m	kg*m									
-156	-3145	465	250363	22754	10833	16	27	1.000	0.944	--	0.704	0.577	0.422	0.962

Cls	Dir	N	Myeq	Mzeq	NRd	MyRd	MzRd	Comb.	SF
		kg	kg*m	kg*m	kg	kg*m	kg*m		
1	Y	156	2214	269	238441	21670	10317	11	7.8
1	Z	156	1329	448	225195	21670	10317	11	9.5

Asta: 12 [1024,1026] Sez. G: HE 220 B L=134.3 cm Ln1=134.3 cm Ln2=268.7 cm Crit.: Acciaio_Pressflessione

$\gamma M=1.05$ fyk/ $\gamma M=2619$ kg/cm² ft=4300 kg/cm² : **Verificato**

SF_λ=4.160

N	My	Mz	NRk	MyRk	MzRk	λY	λZ	χY	χZ	χLT	kyy	kyz	kzy	kzz
kg	kg*m	kg*m	kg	kg*m	kg*m									
-38	203	773	250363	22754	10833	14	48	1.000	0.812	--	0.600	0.433	0.360	0.721

Cls	Dir	N	Myeq	Mzeq	NRd	MyRd	MzRd	Comb.	SF
		kg	kg*m	kg*m	kg	kg*m	kg*m		
1	Y	38	122	335	238441	21670	10317	7	26
1	Z	38	73	558	193718	21670	10317	7	17

Asta: 12 [1026,1027] Sez. G: HE 220 B L=134.3 cm Ln1=134.3 cm Ln2=268.7 cm Crit.: Acciaio_Pressflessione

$\gamma M=1.05$ fyk/ $\gamma M=2619$ kg/cm² ft=4300 kg/cm² : **Verificato**

SF_λ=4.160

N	My	Mz	NRk	MyRk	MzRk	λY	λZ	χY	χZ	χLT	kyy	kyz	kzy	kzz
kg	kg*m	kg*m	kg	kg*m	kg*m									
-411	-1328	464	250363	22754	10833	14	48	1.000	0.812	--	0.684	0.557	0.410	0.929

Cls	Dir	N	Myeq	Mzeq	NRd	MyRd	MzRd	Comb.	SF
		kg	kg*m	kg*m	kg	kg*m	kg*m		
1	Y	411	908	259	238441	21670	10317	11	15
1	Z	411	545	431	193718	21670	10317	11	14

Asta: 12 [1027,1054] Sez. G: HE 220 B L=134.3 cm Ln1=134.3 cm Ln2=268.7 cm Crit.: Acciaio_Pressflessione

$\gamma M=1.05$ fyk/ $\gamma M=2619$ kg/cm² ft=4300 kg/cm² : **Verificato**

SF_λ=4.160

N	My	Mz	NRk	MyRk	MzRk	λY	λZ	χY	χZ	χLT	kyy	kyz	kzy	kzz
kg	kg*m	kg*m	kg	kg*m	kg*m									
-403	-3141	525	250363	22754	10833	14	48	1.000	0.812	--	0.769	0.534	0.461	0.890

Cls	Dir	N	Myeq	Mzeq	NRd	MyRd	MzRd	Comb.	SF
		kg	kg*m	kg*m	kg	kg*m	kg*m		
1	Y	403	2416	280	238441	21670	10317	11	7.1
1	Z	403	1450	467	193718	21670	10317	11	8.7

Asta: 12 [1087,1086] Sez. G: HE 220 B L=150.0 cm Ln1=150.0 cm Ln2=150.0 cm Crit.: Acciaio_Pressflessione

$\gamma M=1.05$ fyk/ $\gamma M=2619$ kg/cm² ft=4300 kg/cm² : **Verificato**

SF_λ=7.451

N	My	Mz	NRk	MyRk	MzRk	λY	λZ	χY	χZ	χLT	kyy	kyz	kzy	kzz
kg	kg*m	kg*m	kg	kg*m	kg*m									
-65	915	-14	250363	22754	10833	16	27	1.000	0.944	--	0.400	0.383	0.240	0.638

Cls	Dir	N	Myeq	Mzeq	NRd	MyRd	MzRd	Comb.	SF
		kg	kg*m	kg*m	kg	kg*m	kg*m		
1	Y	65	366	5	238441	21670	10317	14	57
1	Z	65	220	9	225195	21670	10317	14	89

Asta: 12 [1086,1124] Sez. G: HE 220 B L=150.0 cm Ln1=150.0 cm Ln2=150.0 cm Crit.: Acciaio_Pressflessione

$\gamma M=1.05$ fyk/ $\gamma M=2619$ kg/cm² ft=4300 kg/cm² : **Verificato**

SF_λ=7.451

N	My	Mz	NRk	MyRk	MzRk	λY	λZ	χY	χZ	χLT	kyy	kyz	kzy	kzz
kg	kg*m	kg*m	kg	kg*m	kg*m									
-39	-1506	7	250363	22754	10833	16	27	1.000	0.944	--	0.593	0.240	0.356	0.400

Cls	Dir	N	Myeq	Mzeq	NRd	MyRd	MzRd	Comb.	SF
		kg	kg*m	kg*m	kg	kg*m	kg*m		
1	Y	39	893	2	238441	21670	10317	16	24
1	Z	39	536	3	225195	21670	10317	16	40

Asta: 12 [1123,1170] Sez. G: HE 220 B L=134.3 cm Ln1=134.3 cm Ln2=268.7 cm Crit.: Acciaio_Pressflessione

$\gamma M=1.05$ fyk/ $\gamma M=2619$ kg/cm² ft=4300 kg/cm² : **Verificato**

SF_λ=4.160

N	My	Mz	NRk	MyRk	MzRk	λY	λZ	χY	χZ	χLT	kyy	kyz	kzy	kzz
kg	kg*m	kg*m	kg	kg*m	kg*m									
-207	-898	461	250363	22754	10833	14	48	1.000	0.812	--	0.709	0.569	0.426	0.949

Cls	Dir	N	Myeq	Mzeq	NRd	MyRd	MzRd	Comb.	SF
		kg	kg*m	kg*m	kg	kg*m	kg*m		
1	Y	207	637	262	238441	21670	10317	13	18
1	Z	207	382	437	193718	21670	10317	13	16

Asta: 12 [1170,1047] Sez. G: HE 220 B L=134.3 cm Ln1=134.3 cm Ln2=268.7 cm Crit.: Acciaio_Pressflessione

$\gamma M=1.05$ fyk/ $\gamma M=2619$ kg/cm² ft=4300 kg/cm² : **Verificato**

SF_λ=4.160

N	My	Mz	NRk	MyRk	MzRk	λY	λZ	χY	χZ	χLT	kyy	kyz	kzy	kzz
kg	kg*m	kg*m	kg	kg*m	kg*m									
-17	-178	769	250363	22754	10833	14	48	1.000	0.812	--	0.600	0.434	0.360	0.724

Cls	Dir	N	Myeq	Mzeq	NRd	MyRd	MzRd	Comb.	SF
		kg	kg*m	kg*m	kg	kg*m	kg*m		
1	Y	17	107	334	238441	21670	10317	8	27

Cls	Dir	N	Myeq	Mzeq	NRd	MyRd	MzRd	Comb.	SF
1	Z	17	64	557	193718	21670	10317	8	18

Asta: 13 [1127,1126] Sez. G: HE 220 B L=134.3 cm Ln1=134.3 cm Ln2=268.7 cm Crit.: Acciaio_Pressflessione

$\gamma M=1.05$ fyk/ $\gamma M=2619$ kg/cmq ft=4300 kg/cmq : **Verificato**

SF_λ=4.160

N	My	Mz	NRk	MyRk	MzRk	λY	λZ	χY	χZ	χLT	kyy	kyz	kzy	kzz
kg	kg*m	kg*m	kg	kg*m	kg*m									
-227	-1938	452	250363	22754	10833	14	48	1.000	0.812	--	0.783	0.579	0.470	0.964

Cls	Dir	N	Myeq	Mzeq	NRd	MyRd	MzRd	Comb.	SF
		kg	kg*m	kg*m	kg	kg*m	kg*m		
1	Y	227	1518	261	238441	21670	10317	13	10
1	Z	227	911	436	193718	21670	10317	13	12

Asta: 13 [1055,1091] Sez. G: HE 220 B L=150.0 cm Ln1=150.0 cm Ln2=150.0 cm Crit.: Acciaio_Pressflessione

$\gamma M=1.05$ fyk/ $\gamma M=2619$ kg/cmq ft=4300 kg/cmq : **Verificato**

SF_λ=7.451

N	My	Mz	NRk	MyRk	MzRk	λY	λZ	χY	χZ	χLT	kyy	kyz	kzy	kzz
kg	kg*m	kg*m	kg	kg*m	kg*m									
-173	-3153	458	250363	22754	10833	16	27	1.000	0.944	--	0.701	0.572	0.420	0.954

Cls	Dir	N	Myeq	Mzeq	NRd	MyRd	MzRd	Comb.	SF
		kg	kg*m	kg*m	kg	kg*m	kg*m		
1	Y	173	2209	262	238441	21670	10317	11	7.8
1	Z	173	1325	437	225195	21670	10317	11	9.6

Asta: 13 [1025,1030] Sez. G: HE 220 B L=134.3 cm Ln1=134.3 cm Ln2=268.7 cm Crit.: Acciaio_Pressflessione

$\gamma M=1.05$ fyk/ $\gamma M=2619$ kg/cmq ft=4300 kg/cmq : **Verificato**

SF_λ=4.160

N	My	Mz	NRk	MyRk	MzRk	λY	λZ	χY	χZ	χLT	kyy	kyz	kzy	kzz
kg	kg*m	kg*m	kg	kg*m	kg*m									
-39	239	804	250363	22754	10833	14	48	1.000	0.812	--	0.600	0.435	0.360	0.725

Cls	Dir	N	Myeq	Mzeq	NRd	MyRd	MzRd	Comb.	SF
		kg	kg*m	kg*m	kg	kg*m	kg*m		
1	Y	39	144	350	238441	21670	10317	7	25
1	Z	39	86	583	193718	21670	10317	7	16

Asta: 13 [1030,1034] Sez. G: HE 220 B L=134.3 cm Ln1=134.3 cm Ln2=268.7 cm Crit.: Acciaio_Pressflessione

$\gamma M=1.05$ fyk/ $\gamma M=2619$ kg/cmq ft=4300 kg/cmq : **Verificato**

SF_λ=4.160

N	My	Mz	NRk	MyRk	MzRk	λY	λZ	χY	χZ	χLT	kyy	kyz	kzy	kzz
kg	kg*m	kg*m	kg	kg*m	kg*m									
-442	-1333	463	250363	22754	10833	14	48	1.000	0.812	--	0.684	0.588	0.410	0.979

Cls	Dir	N	Myeq	Mzeq	NRd	MyRd	MzRd	Comb.	SF
		kg	kg*m	kg*m	kg	kg*m	kg*m		
1	Y	442	912	272	238441	21670	10317	11	14
1	Z	442	547	453	193718	21670	10317	11	14

Asta: 13 [1034,1055] Sez. G: HE 220 B L=134.3 cm Ln1=134.3 cm Ln2=268.7 cm Crit.: Acciaio_Pressflessione

$\gamma M=1.05$ fyk/ $\gamma M=2619$ kg/cmq ft=4300 kg/cmq : **Verificato**

SF_λ=4.160

N	My	Mz	NRk	MyRk	MzRk	λY	λZ	χY	χZ	χLT	kyy	kyz	kzy	kzz
kg	kg*m	kg*m	kg	kg*m	kg*m									
-433	-3148	463	250363	22754	10833	14	48	1.000	0.812	--	0.769	0.566	0.462	0.943

Cls	Dir	N	Myeq	Mzeq	NRd	MyRd	MzRd	Comb.	SF
		kg	kg*m	kg*m	kg	kg*m	kg*m		
1	Y	433	2422	262	238441	21670	10317	11	7.2
1	Z	433	1453	436	193718	21670	10317	11	9.0

Asta: 13 [1091,1040] Sez. G: HE 220 B L=150.0 cm Ln1=150.0 cm Ln2=150.0 cm Crit.: Acciaio_Pressflessione

$\gamma M=1.05$ fyk/ $\gamma M=2619$ kg/cmq ft=4300 kg/cmq : **Verificato**

SF_λ=7.451

N	My	Mz	NRk	MyRk	MzRk	λY	λZ	χY	χZ	χLT	kyy	kyz	kzy	kzz
kg	kg*m	kg*m	kg	kg*m	kg*m									
-72	931	18	250363	22754	10833	16	27	1.000	0.944	--	0.400	0.240	0.240	0.400

Cls	Dir	N	Myeq	Mzeq	NRd	MyRd	MzRd	Comb.	SF
		kg	kg*m	kg*m	kg	kg*m	kg*m		
1	Y	72	373	4	238441	21670	10317	14	56
1	Z	72	224	7	225195	21670	10317	14	88

Asta: 13 [1040,1127] Sez. G: HE 220 B L=150.0 cm Ln1=150.0 cm Ln2=150.0 cm Crit.: Acciaio_Pressflessione

$\gamma M=1.05$ fyk/ $\gamma M=2619$ kg/cmq ft=4300 kg/cmq : **Verificato**

SF_λ=7.451

N	My	Mz	NRk	MyRk	MzRk	λY	λZ	χY	χZ	χLT	kyy	kyz	kzy	kzz
kg	kg*m	kg*m	kg	kg*m	kg*m									
-42	-1534	-16	250363	22754	10833	16	27	1.000	0.944	--	0.594	0.240	0.357	0.400

Cls	Dir	N	Myeq	Mzeq	NRd	MyRd	MzRd	Comb.	SF
		kg	kg*m	kg*m	kg	kg*m	kg*m		
1	Y	42	912	4	238441	21670	10317	16	23
1	Z	42	547	6	225195	21670	10317	16	38

Asta: 13 [1126,1174] Sez. G: HE 220 B L=134.3 cm Ln1=134.3 cm Ln2=268.7 cm Crit.: Acciaio_Pressflessione

$\gamma M=1.05$ fyk/ $\gamma M=2619$ kg/cmq ft=4300 kg/cmq : **Verificato**

SF_λ=4.160

N	My	Mz	NRk	MyRk	MzRk	λY	λZ	χY	χZ	χLT	kyy	kyz	kzy	kzz
kg	kg*m	kg*m	kg	kg*m	kg*m									
-224	-888	455	250363	22754	10833	14	48	1.000	0.812	--	0.708	0.598	0.425	0.997

Cls	Dir	N	Myeq	Mzeq	NRd	MyRd	MzRd	Comb.	SF
		kg	kg*m	kg*m	kg	kg*m	kg*m		
1	Y	224	629	272	238441	21670	10317	13	18
1	Z	224	377	454	193718	21670	10317	13	16

Asta: 13 [1174,1048] Sez. G: HE 220 B L=134.3 cm Ln1=134.3 cm Ln2=268.7 cm Crit.: Acciaio_Pressflessione

$\gamma M=1.05$ fyk/ $\gamma M=2619$ kg/cmq ft=4300 kg/cmq : **Verificato**

SF_λ=4.160

N	My	Mz	NRk	MyRk	MzRk	λY	λZ	χY	χZ	χLT	kyy	kyz	kzy	kzz
kg	kg*m	kg*m	kg	kg*m	kg*m									
-45	94	813	250363	22754	10833	14	48	1.000	0.812	--	0.600	0.435	0.360	0.726

Cls	Dir	N	Myeq	Mzeq	NRd	MyRd	MzRd	Comb.	SF
		kg	kg*m	kg*m	kg	kg*m	kg*m		
1	Y	45	57	354	238441	21670	10317	6	27
1	Z	45	34	590	193718	21670	10317	6	17

Asta: 14 [1026,1036] Sez. G: HE 220 B L=134.3 cm Ln1=134.3 cm Ln2=268.7 cm Crit.: Acciaio_Pressflessione

$\gamma M=1.05$ fyk/ $\gamma M=2619$ kg/cmq ft=4300 kg/cmq : **Verificato**

SF_λ=4.160

N	My	Mz	NRk	MyRk	MzRk	λY	λZ	χY	χZ	χLT	kyy	kyz	kzy	kzz
kg	kg*m	kg*m	kg	kg*m	kg*m									
-38	253	767	250363	22754	10833	14	48	1.000	0.812	--	0.600	0.432	0.360	0.721

Cls	Dir	N	Myeq	Mzeq	NRd	MyRd	MzRd	Comb.	SF
		kg	kg*m	kg*m	kg	kg*m	kg*m		
1	Y	38	152	331	238441	21670	10317	7	25
1	Z	38	91	552	193718	21670	10317	7	17

Asta: 14 [1058,1095] Sez. G: HE 220 B L=150.0 cm Ln1=150.0 cm Ln2=150.0 cm Crit.: Acciaio_Pressflessione

$\gamma M=1.05$ fyk/ $\gamma M=2619$ kg/cmq ft=4300 kg/cmq : **Verificato**

SF_λ=7.451

N	My	Mz	NRk	MyRk	MzRk	λY	λZ	χY	χZ	χLT	kyy	kyz	kzy	kzz
kg	kg*m	kg*m	kg	kg*m	kg*m									
-198	-3047	455	250363	22754	10833	16	27	1.000	0.944	--	0.696	0.585	0.417	0.975

Cls	Dir	N	Myeq	Mzeq	NRd	MyRd	MzRd	Comb.	SF
		kg	kg*m	kg*m	kg	kg*m	kg*m		
1	Y	198	2120	266	238441	21670	10317	11	8.0
1	Z	198	1272	443	225195	21670	10317	11	9.8

Asta: 14 [1129,1146] Sez. G: HE 220 B L=134.3 cm Ln1=134.3 cm Ln2=268.7 cm Crit.: Acciaio_Pressflessione

$\gamma M=1.05$ fyk/ $\gamma M=2619$ kg/cm² ft=4300 kg/cm² : **Verificato**

SF_λ=4.160

N	My	Mz	NRk	MyRk	MzRk	λY	λZ	χY	χZ	χLT	kyy	kyz	kzy	kzz
kg	kg*m	kg*m	kg	kg*m	kg*m									
-259	-1858	450	250363	22754	10833	14	48	1.000	0.812	--	0.780	0.581	0.468	0.968

Cls	Dir	N	Myeq	Mzeq	NRd	MyRd	MzRd	Comb.	SF
		kg	kg*m	kg*m	kg	kg*m	kg*m		
1	Y	259	1449	261	238441	21670	10317	13	11
1	Z	259	869	436	193718	21670	10317	13	12

Asta: 14 [1036,1057] Sez. G: HE 220 B L=134.3 cm Ln1=134.3 cm Ln2=268.7 cm Crit.: Acciaio_Pressflessione

$\gamma M=1.05$ fyk/ $\gamma M=2619$ kg/cm² ft=4300 kg/cm² : **Verificato**

SF_λ=4.160

N	My	Mz	NRk	MyRk	MzRk	λY	λZ	χY	χZ	χLT	kyy	kyz	kzy	kzz
kg	kg*m	kg*m	kg	kg*m	kg*m									
-485	-1262	475	250363	22754	10833	14	48	1.000	0.812	--	0.677	0.562	0.406	0.936

Cls	Dir	N	Myeq	Mzeq	NRd	MyRd	MzRd	Comb.	SF
		kg	kg*m	kg*m	kg	kg*m	kg*m		
1	Y	485	855	267	238441	21670	10317	11	15
1	Z	485	513	445	193718	21670	10317	11	14

Asta: 14 [1057,1058] Sez. G: HE 220 B L=134.3 cm Ln1=134.3 cm Ln2=268.7 cm Crit.: Acciaio_Pressflessione

$\gamma M=1.05$ fyk/ $\gamma M=2619$ kg/cm² ft=4300 kg/cm² : **Verificato**

SF_λ=4.160

N	My	Mz	NRk	MyRk	MzRk	λY	λZ	χY	χZ	χLT	kyy	kyz	kzy	kzz
kg	kg*m	kg*m	kg	kg*m	kg*m									
-476	-3043	480	250363	22754	10833	14	48	1.000	0.812	--	0.766	0.560	0.460	0.933

Cls	Dir	N	Myeq	Mzeq	NRd	MyRd	MzRd	Comb.	SF
		kg	kg*m	kg*m	kg	kg*m	kg*m		
1	Y	476	2330	269	238441	21670	10317	11	7.4
1	Z	476	1398	448	193718	21670	10317	11	9.1

Asta: 14 [1095,1094] Sez. G: HE 220 B L=150.0 cm Ln1=150.0 cm Ln2=150.0 cm Crit.: Acciaio_Pressflessione

$\gamma M=1.05$ fyk/ $\gamma M=2619$ kg/cm² ft=4300 kg/cm² : **Verificato**

SF_λ=7.451

N	My	Mz	NRk	MyRk	MzRk	λY	λZ	χY	χZ	χLT	kyy	kyz	kzy	kzz
kg	kg*m	kg*m	kg	kg*m	kg*m									
-3	-732	447	250363	22754	10833	16	27	1.000	0.944	--	0.400	0.590	0.240	0.983

Cls	Dir	N	Myeq	Mzeq	NRd	MyRd	MzRd	Comb.	SF
		kg	kg*m	kg*m	kg	kg*m	kg*m		
1	Y	3	293	263	238441	21670	10317	11	26
1	Z	3	176	439	225195	21670	10317	11	20

Asta: 14 [1094,1129] Sez. G: HE 220 B L=150.0 cm Ln1=150.0 cm Ln2=150.0 cm Crit.: Acciaio_Pressflessione

$\gamma M=1.05$ fyk/ $\gamma M=2619$ kg/cm² ft=4300 kg/cm² : **Verificato**

SF_λ=7.451

N	My	Mz	NRk	MyRk	MzRk	λY	λZ	χY	χZ	χLT	kyy	kyz	kzy	kzz
kg	kg*m	kg*m	kg	kg*m	kg*m									
-45	-1495	12	250363	22754	10833	16	27	1.000	0.944	--	0.591	0.240	0.355	0.400

Cls	Dir	N	Myeq	Mzeq	NRd	MyRd	MzRd	Comb.	SF
		kg	kg*m	kg*m	kg	kg*m	kg*m		
1	Y	45	884	3	238441	21670	10317	16	24
1	Z	45	531	5	225195	21670	10317	16	40

Asta: 14 [1146,1178] Sez. G: HE 220 B L=134.3 cm Ln1=134.3 cm Ln2=268.7 cm Crit.: Acciaio_Pressflessione

$\gamma_M=1.05$ fyk/ $\gamma_M=2619$ kg/cmq ft=4300 kg/cmq : **Verificato**

SF $\lambda=4.160$

N	My	Mz	NRk	MyRk	MzRk	λ_Y	λ_Z	χ_Y	χ_Z	χ_{LT}	kyy	kyz	kzy	kzz
kg	kg*m	kg*m	kg	kg*m	kg*m									
-256	-835	466	250363	22754	10833	14	48	1.000	0.812	--	0.702	0.574	0.421	0.956

Cls	Dir	N	Myeq	Mzeq	NRd	MyRd	MzRd	Comb.	SF
		kg	kg*m	kg*m	kg	kg*m	kg*m		
1	Y	256	586	267	238441	21670	10317	13	19
1	Z	256	352	446	193718	21670	10317	13	16

Asta: 14 [1178,1049] Sez. G: HE 220 B L=134.3 cm Ln1=134.3 cm Ln2=268.7 cm Crit.: Acciaio_Pressflessione

$\gamma_M=1.05$ fyk/ $\gamma_M=2619$ kg/cmq ft=4300 kg/cmq : **Verificato**

SF $\lambda=4.160$

N	My	Mz	NRk	MyRk	MzRk	λ_Y	λ_Z	χ_Y	χ_Z	χ_{LT}	kyy	kyz	kzy	kzz
kg	kg*m	kg*m	kg	kg*m	kg*m									
-16	-126	766	250363	22754	10833	14	48	1.000	0.812	--	0.600	0.433	0.360	0.722

Cls	Dir	N	Myeq	Mzeq	NRd	MyRd	MzRd	Comb.	SF
		kg	kg*m	kg*m	kg	kg*m	kg*m		
1	Y	16	76	332	238441	21670	10317	8	28
1	Z	16	45	553	193718	21670	10317	8	18

Asta: 15 [1027,1040] Sez. G: HE 220 B L=134.3 cm Ln1=134.3 cm Ln2=268.7 cm Crit.: Acciaio_Pressflessione

$\gamma_M=1.05$ fyk/ $\gamma_M=2619$ kg/cmq ft=4300 kg/cmq : **Verificato**

SF $\lambda=4.160$

N	My	Mz	NRk	MyRk	MzRk	λ_Y	λ_Z	χ_Y	χ_Z	χ_{LT}	kyy	kyz	kzy	kzz
kg	kg*m	kg*m	kg	kg*m	kg*m									
-39	251	809	250363	22754	10833	14	48	1.000	0.812	--	0.600	0.434	0.360	0.723

Cls	Dir	N	Myeq	Mzeq	NRd	MyRd	MzRd	Comb.	SF
		kg	kg*m	kg*m	kg	kg*m	kg*m		
1	Y	39	151	351	238441	21670	10317	7	24
1	Z	39	90	585	193718	21670	10317	7	16

Asta: 15 [1099,1098] Sez. G: HE 220 B L=150.0 cm Ln1=150.0 cm Ln2=150.0 cm Crit.: Acciaio_Pressflessione

$\gamma_M=1.05$ fyk/ $\gamma_M=2619$ kg/cmq ft=4300 kg/cmq : **Verificato**

SF $\lambda=7.451$

N	My	Mz	NRk	MyRk	MzRk	λ_Y	λ_Z	χ_Y	χ_Z	χ_{LT}	kyy	kyz	kzy	kzz
kg	kg*m	kg*m	kg	kg*m	kg*m									
-207	-2998	460	250363	22754	10833	16	27	1.000	0.944	--	0.692	0.569	0.415	0.949

Cls	Dir	N	Myeq	Mzeq	NRd	MyRd	MzRd	Comb.	SF
		kg	kg*m	kg*m	kg	kg*m	kg*m		
1	Y	207	2076	262	238441	21670	10317	11	8.2
1	Z	207	1246	436	225195	21670	10317	11	9.9

Asta: 15 [1131,1148] Sez. G: HE 220 B L=134.3 cm Ln1=134.3 cm Ln2=268.7 cm Crit.: Acciaio_Pressflessione

$\gamma_M=1.05$ fyk/ $\gamma_M=2619$ kg/cmq ft=4300 kg/cmq : **Verificato**

SF $\lambda=4.160$

N	My	Mz	NRk	MyRk	MzRk	λ_Y	λ_Z	χ_Y	χ_Z	χ_{LT}	kyy	kyz	kzy	kzz
kg	kg*m	kg*m	kg	kg*m	kg*m									
-271	-1825	454	250363	22754	10833	14	48	1.000	0.812	--	0.778	0.573	0.467	0.955

Cls	Dir	N	Myeq	Mzeq	NRd	MyRd	MzRd	Comb.	SF
		kg	kg*m	kg*m	kg	kg*m	kg*m		

Cls	Dir	N	Myeq	Mzeq	NRd	MyRd	MzRd	Comb.	SF
1	Y	271	1420	260	238441	21670	10317	13	11
1	Z	271	852	433	193718	21670	10317	13	12

Asta: 15 [1040,1035] Sez. G: HE 220 B L=134.3 cm Ln1=134.3 cm Ln2=268.7 cm Crit.: Acciaio_Pressflessione

$\gamma M=1.05$ fyk/ $\gamma M=2619$ kg/cm² ft=4300 kg/cm² : **Verificato**

SF_λ=4.160

N	My	Mz	NRk	MyRk	MzRk	λY	λZ	χY	χZ	χLT	kyy	kyz	kzy	kzz
kg	kg*m	kg*m	kg	kg*m	kg*m									
-5	-165	785	250363	22754	10833	14	48	1.000	0.812	--	0.693	0.583	0.416	0.971

Cls	Dir	N	Myeq	Mzeq	NRd	MyRd	MzRd	Comb.	SF
		kg	kg*m	kg*m	kg	kg*m	kg*m		
1	Y	5	114	458	238441	21670	10317	6	20
1	Z	5	68	763	193718	21670	10317	6	13

Asta: 15 [1035,1099] Sez. G: HE 220 B L=134.3 cm Ln1=134.3 cm Ln2=268.7 cm Crit.: Acciaio_Pressflessione

$\gamma M=1.05$ fyk/ $\gamma M=2619$ kg/cm² ft=4300 kg/cm² : **Verificato**

SF_λ=4.160

N	My	Mz	NRk	MyRk	MzRk	λY	λZ	χY	χZ	χLT	kyy	kyz	kzy	kzz
kg	kg*m	kg*m	kg	kg*m	kg*m									
-499	-2993	466	250363	22754	10833	14	48	1.000	0.812	--	0.764	0.556	0.459	0.927

Cls	Dir	N	Myeq	Mzeq	NRd	MyRd	MzRd	Comb.	SF
		kg	kg*m	kg*m	kg	kg*m	kg*m		
1	Y	499	2287	259	238441	21670	10317	11	7.5
1	Z	499	1372	432	193718	21670	10317	11	9.3

Asta: 15 [1098,1041] Sez. G: HE 220 B L=150.0 cm Ln1=150.0 cm Ln2=150.0 cm Crit.: Acciaio_Pressflessione

$\gamma M=1.05$ fyk/ $\gamma M=2619$ kg/cm² ft=4300 kg/cm² : **Verificato**

SF_λ=7.451

N	My	Mz	NRk	MyRk	MzRk	λY	λZ	χY	χZ	χLT	kyy	kyz	kzy	kzz
kg	kg*m	kg*m	kg	kg*m	kg*m									
-74	913	17	250363	22754	10833	16	27	1.000	0.944	--	0.400	0.240	0.240	0.400

Cls	Dir	N	Myeq	Mzeq	NRd	MyRd	MzRd	Comb.	SF
		kg	kg*m	kg*m	kg	kg*m	kg*m		
1	Y	74	365	4	238441	21670	10317	14	57
1	Z	74	219	7	225195	21670	10317	14	90

Asta: 15 [1041,1131] Sez. G: HE 220 B L=150.0 cm Ln1=150.0 cm Ln2=150.0 cm Crit.: Acciaio_Pressflessione

$\gamma M=1.05$ fyk/ $\gamma M=2619$ kg/cm² ft=4300 kg/cm² : **Verificato**

SF_λ=7.451

N	My	Mz	NRk	MyRk	MzRk	λY	λZ	χY	χZ	χLT	kyy	kyz	kzy	kzz
kg	kg*m	kg*m	kg	kg*m	kg*m									
-49	-1485	-16	250363	22754	10833	16	27	1.000	0.944	--	0.591	0.240	0.355	0.400

Cls	Dir	N	Myeq	Mzeq	NRd	MyRd	MzRd	Comb.	SF
		kg	kg*m	kg*m	kg	kg*m	kg*m		
1	Y	49	878	4	238441	21670	10317	16	24
1	Z	49	527	6	225195	21670	10317	16	40

Asta: 15 [1148,1182] Sez. G: HE 220 B L=134.3 cm Ln1=134.3 cm Ln2=268.7 cm Crit.: Acciaio_Pressflessione

$\gamma M=1.05$ fyk/ $\gamma M=2619$ kg/cm² ft=4300 kg/cm² : **Verificato**

SF_λ=4.160

N	My	Mz	NRk	MyRk	MzRk	λY	λZ	χY	χZ	χLT	kyy	kyz	kzy	kzz
kg	kg*m	kg*m	kg	kg*m	kg*m									
-267	-812	464	250363	22754	10833	14	48	1.000	0.812	--	0.699	0.595	0.420	0.991

Cls	Dir	N	Myeq	Mzeq	NRd	MyRd	MzRd	Comb.	SF
		kg	kg*m	kg*m	kg	kg*m	kg*m		
1	Y	267	568	276	238441	21670	10317	13	18
1	Z	267	341	460	193718	21670	10317	13	16

Asta: 15 [1182,1050] Sez. G: HE 220 B L=134.3 cm Ln1=134.3 cm Ln2=268.7 cm Crit.: Acciaio_Pressflessione
 $\gamma_M=1.05$ fyk/ $\gamma_M=2619$ kg/cmq ft=4300 kg/cmq : **Verificato**
 SF_λ=4.160

N	My	Mz	NRk	MyRk	MzRk	λY	λZ	χY	χZ	χLT	kyy	kyz	kzy	kzz
kg	kg*m	kg*m	kg	kg*m	kg*m									
-45	97	817	250363	22754	10833	14	48	1.000	0.812	--	0.600	0.434	0.360	0.724

Cls	Dir	N	Myeq	Mzeq	NRd	MyRd	MzRd	Comb.	SF
		kg	kg*m	kg*m	kg	kg*m	kg*m		
1	Y	45	58	355	238441	21670	10317	9	27
1	Z	45	35	591	193718	21670	10317	9	17

Asta: 16 [1028,1063] Sez. G: HE 220 B L=134.3 cm Ln1=134.3 cm Ln2=268.7 cm Crit.: Acciaio_Pressflessione
 $\gamma_M=1.05$ fyk/ $\gamma_M=2619$ kg/cmq ft=4300 kg/cmq : **Verificato**
 SF_λ=4.160

N	My	Mz	NRk	MyRk	MzRk	λY	λZ	χY	χZ	χLT	kyy	kyz	kzy	kzz
kg	kg*m	kg*m	kg	kg*m	kg*m									
-43	193	773	250363	22754	10833	14	48	1.000	0.812	--	0.600	0.430	0.360	0.716

Cls	Dir	N	Myeq	Mzeq	NRd	MyRd	MzRd	Comb.	SF
		kg	kg*m	kg*m	kg	kg*m	kg*m		
1	Y	43	116	332	238441	21670	10317	7	27
1	Z	43	69	553	193718	21670	10317	7	18

Asta: 16 [1103,1102] Sez. G: HE 220 B L=150.0 cm Ln1=150.0 cm Ln2=150.0 cm Crit.: Acciaio_Pressflessione
 $\gamma_M=1.05$ fyk/ $\gamma_M=2619$ kg/cmq ft=4300 kg/cmq : **Verificato**
 SF_λ=7.451

N	My	Mz	NRk	MyRk	MzRk	λY	λZ	χY	χZ	χLT	kyy	kyz	kzy	kzz
kg	kg*m	kg*m	kg	kg*m	kg*m									
-201	-2955	452	250363	22754	10833	16	27	1.000	0.944	--	0.698	0.587	0.419	0.978

Cls	Dir	N	Myeq	Mzeq	NRd	MyRd	MzRd	Comb.	SF
		kg	kg*m	kg*m	kg	kg*m	kg*m		
1	Y	201	2063	265	238441	21670	10317	11	8.2
1	Z	201	1238	442	225195	21670	10317	11	9.9

Asta: 16 [1134,1150] Sez. G: HE 220 B L=134.3 cm Ln1=134.3 cm Ln2=268.7 cm Crit.: Acciaio_Pressflessione
 $\gamma_M=1.05$ fyk/ $\gamma_M=2619$ kg/cmq ft=4300 kg/cmq : **Verificato**
 SF_λ=4.160

N	My	Mz	NRk	MyRk	MzRk	λY	λZ	χY	χZ	χLT	kyy	kyz	kzy	kzz
kg	kg*m	kg*m	kg	kg*m	kg*m									
-266	-1824	445	250363	22754	10833	14	48	1.000	0.812	--	0.778	0.584	0.467	0.973

Cls	Dir	N	Myeq	Mzeq	NRd	MyRd	MzRd	Comb.	SF
		kg	kg*m	kg*m	kg	kg*m	kg*m		
1	Y	266	1419	260	238441	21670	10317	13	11
1	Z	266	851	433	193718	21670	10317	13	12

Asta: 16 [1063,1062] Sez. G: HE 220 B L=134.3 cm Ln1=134.3 cm Ln2=268.7 cm Crit.: Acciaio_Pressflessione
 $\gamma_M=1.05$ fyk/ $\gamma_M=2619$ kg/cmq ft=4300 kg/cmq : **Verificato**
 SF_λ=4.160

N	My	Mz	NRk	MyRk	MzRk	λY	λZ	χY	χZ	χLT	kyy	kyz	kzy	kzz
kg	kg*m	kg*m	kg	kg*m	kg*m									
-507	-1200	482	250363	22754	10833	14	48	1.000	0.812	--	0.671	0.559	0.403	0.931

Cls	Dir	N	Myeq	Mzeq	NRd	MyRd	MzRd	Comb.	SF
		kg	kg*m	kg*m	kg	kg*m	kg*m		
1	Y	507	805	270	238441	21670	10317	11	15
1	Z	507	483	449	193718	21670	10317	11	15

Asta: 16 [1062,1103] Sez. G: HE 220 B L=134.3 cm Ln1=134.3 cm Ln2=268.7 cm Crit.: Acciaio_Pressflessione
 $\gamma_M=1.05$ fyk/ $\gamma_M=2619$ kg/cmq ft=4300 kg/cmq : **Verificato**

SF_λ=4.160

N	My	Mz	NRk	MyRk	MzRk	λY	λZ	χY	χZ	χLT	kyy	kyz	kzy	kzz
kg	kg*m	kg*m	kg	kg*m	kg*m									
-498	-2950	473	250363	22754	10833	14	48	1.000	0.812	--	0.763	0.562	0.458	0.937

Cls	Dir	N	Myeq	Mzeq	NRd	MyRd	MzRd	Comb.	SF
		kg	kg*m	kg*m	kg	kg*m	kg*m		
1	Y	498	2250	266	238441	21670	10317	11	7.6
1	Z	498	1350	444	193718	21670	10317	11	9.3

Asta: 16 [1102,1135] Sez. G: HE 220 B L=150.0 cm Ln1=150.0 cm Ln2=150.0 cm Crit.: Acciaio_Pressflessione
 $\gamma_M=1.05$ fyk/ $\gamma_M=2619$ kg/cm² ft=4300 kg/cm² : **Verificato**

SF_λ=7.451

N	My	Mz	NRk	MyRk	MzRk	λY	λZ	χY	χZ	χLT	kyy	kyz	kzy	kzz
kg	kg*m	kg*m	kg	kg*m	kg*m									
-73	879	-17	250363	22754	10833	16	27	1.000	0.944	--	0.400	0.260	0.240	0.434

Cls	Dir	N	Myeq	Mzeq	NRd	MyRd	MzRd	Comb.	SF
		kg	kg*m	kg*m	kg	kg*m	kg*m		
1	Y	73	352	4	238441	21670	10317	14	59
1	Z	73	211	7	225195	21670	10317	14	93

Asta: 16 [1135,1134] Sez. G: HE 220 B L=150.0 cm Ln1=150.0 cm Ln2=150.0 cm Crit.: Acciaio_Pressflessione
 $\gamma_M=1.05$ fyk/ $\gamma_M=2619$ kg/cm² ft=4300 kg/cm² : **Verificato**

SF_λ=7.451

N	My	Mz	NRk	MyRk	MzRk	λY	λZ	χY	χZ	χLT	kyy	kyz	kzy	kzz
kg	kg*m	kg*m	kg	kg*m	kg*m									
-50	-1410	9	250363	22754	10833	16	27	1.000	0.944	--	0.585	0.240	0.351	0.400

Cls	Dir	N	Myeq	Mzeq	NRd	MyRd	MzRd	Comb.	SF
		kg	kg*m	kg*m	kg	kg*m	kg*m		
1	Y	50	824	2	238441	21670	10317	16	26
1	Z	50	495	4	225195	21670	10317	16	43

Asta: 16 [1150,1051] Sez. G: HE 220 B L=134.3 cm Ln1=134.3 cm Ln2=268.7 cm Crit.: Acciaio_Pressflessione
 $\gamma_M=1.05$ fyk/ $\gamma_M=2619$ kg/cm² ft=4300 kg/cm² : **Verificato**

SF_λ=4.160

N	My	Mz	NRk	MyRk	MzRk	λY	λZ	χY	χZ	χLT	kyy	kyz	kzy	kzz
kg	kg*m	kg*m	kg	kg*m	kg*m									
-263	-812	471	250363	22754	10833	14	48	1.000	0.812	--	0.699	0.572	0.420	0.953

Cls	Dir	N	Myeq	Mzeq	NRd	MyRd	MzRd	Comb.	SF
		kg	kg*m	kg*m	kg	kg*m	kg*m		
1	Y	263	568	270	238441	21670	10317	13	19
1	Z	263	341	449	193718	21670	10317	13	16

Asta: 16 [1051,1186] Sez. G: HE 220 B L=134.3 cm Ln1=134.3 cm Ln2=268.7 cm Crit.: Acciaio_Pressflessione
 $\gamma_M=1.05$ fyk/ $\gamma_M=2619$ kg/cm² ft=4300 kg/cm² : **Verificato**

SF_λ=4.160

N	My	Mz	NRk	MyRk	MzRk	λY	λZ	χY	χZ	χLT	kyy	kyz	kzy	kzz
kg	kg*m	kg*m	kg	kg*m	kg*m									
-18	-152	772	250363	22754	10833	14	48	1.000	0.812	--	0.600	0.431	0.360	0.718

Cls	Dir	N	Myeq	Mzeq	NRd	MyRd	MzRd	Comb.	SF
		kg	kg*m	kg*m	kg	kg*m	kg*m		
1	Y	18	91	333	238441	21670	10317	8	27
1	Z	18	55	555	193718	21670	10317	8	18

Asta: 17 [1029,1067] Sez. G: HE 220 B L=134.3 cm Ln1=134.3 cm Ln2=268.7 cm Crit.: Acciaio_Pressflessione
 $\gamma_M=1.05$ fyk/ $\gamma_M=2619$ kg/cm² ft=4300 kg/cm² : **Verificato**

SF_λ=4.160

N	My	Mz	NRk	MyRk	MzRk	λY	λZ	χY	χZ	χLT	kyy	kyz	kzy	kzz
kg	kg*m	kg*m	kg	kg*m	kg*m									

N	My	Mz	NRk	MyRk	MzRk	λY	λZ	χY	χZ	χ_{LT}	kyy	kyz	kzy	kzz
-39	200	798	250363	22754	10833	14	48	1.000	0.812	--	0.600	0.431	0.360	0.718

Cls	Dir	N	Myeq	Mzeq	NRd	MyRd	MzRd	Comb.	SF
		kg	kg*m	kg*m	kg	kg*m	kg*m		
1	Y	39	120	344	238441	21670	10317	7	26
1	Z	39	72	573	193718	21670	10317	7	17

Asta: 17 [1106,1105] Sez. G: HE 220 B L=150.0 cm Ln1=150.0 cm Ln2=150.0 cm Crit.: Acciaio_Pressflessione

$\gamma M=1.05$ fyk/ $\gamma M=2619$ kg/cm² ft=4300 kg/cm² : **Verificato**

SF_λ=7.451

N	My	Mz	NRk	MyRk	MzRk	λY	λZ	χY	χZ	χ_{LT}	kyy	kyz	kzy	kzz
kg	kg*m	kg*m	kg	kg*m	kg*m									
-167	-2980	475	250363	22754	10833	16	27	1.000	0.944	--	0.700	0.547	0.420	0.912

Cls	Dir	N	Myeq	Mzeq	NRd	MyRd	MzRd	Comb.	SF
		kg	kg*m	kg*m	kg	kg*m	kg*m		
1	Y	167	2087	260	238441	21670	10317	11	8.2
1	Z	167	1252	433	225195	21670	10317	11	9.9

Asta: 17 [1152,1153] Sez. G: HE 220 B L=134.3 cm Ln1=134.3 cm Ln2=268.7 cm Crit.: Acciaio_Pressflessione

$\gamma M=1.05$ fyk/ $\gamma M=2619$ kg/cm² ft=4300 kg/cm² : **Verificato**

SF_λ=4.160

N	My	Mz	NRk	MyRk	MzRk	λY	λZ	χY	χZ	χ_{LT}	kyy	kyz	kzy	kzz
kg	kg*m	kg*m	kg	kg*m	kg*m									
-222	-1840	460	250363	22754	10833	14	48	1.000	0.812	--	0.779	0.569	0.467	0.948

Cls	Dir	N	Myeq	Mzeq	NRd	MyRd	MzRd	Comb.	SF
		kg	kg*m	kg*m	kg	kg*m	kg*m		
1	Y	222	1433	262	238441	21670	10317	13	11
1	Z	222	860	436	193718	21670	10317	13	12

Asta: 17 [1067,1036] Sez. G: HE 220 B L=134.3 cm Ln1=134.3 cm Ln2=268.7 cm Crit.: Acciaio_Pressflessione

$\gamma M=1.05$ fyk/ $\gamma M=2619$ kg/cm² ft=4300 kg/cm² : **Verificato**

SF_λ=4.160

N	My	Mz	NRk	MyRk	MzRk	λY	λZ	χY	χZ	χ_{LT}	kyy	kyz	kzy	kzz
kg	kg*m	kg*m	kg	kg*m	kg*m									
-436	-1218	468	250363	22754	10833	14	48	1.000	0.812	--	0.673	0.595	0.404	0.991

Cls	Dir	N	Myeq	Mzeq	NRd	MyRd	MzRd	Comb.	SF
		kg	kg*m	kg*m	kg	kg*m	kg*m		
1	Y	436	819	278	238441	21670	10317	11	15
1	Z	436	492	464	193718	21670	10317	11	14

Asta: 17 [1036,1106] Sez. G: HE 220 B L=134.3 cm Ln1=134.3 cm Ln2=268.7 cm Crit.: Acciaio_Pressflessione

$\gamma M=1.05$ fyk/ $\gamma M=2619$ kg/cm² ft=4300 kg/cm² : **Verificato**

SF_λ=4.160

N	My	Mz	NRk	MyRk	MzRk	λY	λZ	χY	χZ	χ_{LT}	kyy	kyz	kzy	kzz
kg	kg*m	kg*m	kg	kg*m	kg*m									
-427	-2976	468	250363	22754	10833	14	48	1.000	0.812	--	0.764	0.558	0.458	0.929

Cls	Dir	N	Myeq	Mzeq	NRd	MyRd	MzRd	Comb.	SF
		kg	kg*m	kg*m	kg	kg*m	kg*m		
1	Y	427	2272	261	238441	21670	10317	11	7.6
1	Z	427	1363	435	193718	21670	10317	11	9.3

Asta: 17 [1105,1042] Sez. G: HE 220 B L=150.0 cm Ln1=150.0 cm Ln2=150.0 cm Crit.: Acciaio_Pressflessione

$\gamma M=1.05$ fyk/ $\gamma M=2619$ kg/cm² ft=4300 kg/cm² : **Verificato**

SF_λ=7.451

N	My	Mz	NRk	MyRk	MzRk	λY	λZ	χY	χZ	χ_{LT}	kyy	kyz	kzy	kzz
kg	kg*m	kg*m	kg	kg*m	kg*m									
-69	874	25	250363	22754	10833	16	27	1.000	0.944	--	0.400	0.240	0.240	0.400

Cls	Dir	N	Myeq	Mzeq	NRd	MyRd	MzRd	Comb.	SF
		kg	kg*m	kg*m	kg	kg*m	kg*m		
1	Y	69	350	6	238441	21670	10317	14	59
1	Z	69	210	10	225195	21670	10317	14	91

Asta: 17 [1042,1152] Sez. G: HE 220 B L=150.0 cm Ln1=150.0 cm Ln2=150.0 cm Crit.: Acciaio_Pressflessione

$\gamma M=1.05$ fyk/ $\gamma M=2619$ kg/cm² ft=4300 kg/cm² : **Verificato**

SF_λ=7.451

N	My	Mz	NRk	MyRk	MzRk	λY	λZ	χY	χZ	χLT	kyy	kyz	kzy	kzz
kg	kg*m	kg*m	kg	kg*m	kg*m									
-39	-1414	-33	250363	22754	10833	16	27	1.000	0.944	--	0.585	0.240	0.351	0.400

Cls	Dir	N	Myeq	Mzeq	NRd	MyRd	MzRd	Comb.	SF
		kg	kg*m	kg*m	kg	kg*m	kg*m		
1	Y	39	827	8	238441	21670	10317	16	26
1	Z	39	496	13	225195	21670	10317	16	41

Asta: 17 [1153,1052] Sez. G: HE 220 B L=134.3 cm Ln1=134.3 cm Ln2=268.7 cm Crit.: Acciaio_Pressflessione

$\gamma M=1.05$ fyk/ $\gamma M=2619$ kg/cm² ft=4300 kg/cm² : **Verificato**

SF_λ=4.160

N	My	Mz	NRk	MyRk	MzRk	λY	λZ	χY	χZ	χLT	kyy	kyz	kzy	kzz
kg	kg*m	kg*m	kg	kg*m	kg*m									
-218	-823	466	250363	22754	10833	14	48	1.000	0.812	--	0.701	0.598	0.421	0.996

Cls	Dir	N	Myeq	Mzeq	NRd	MyRd	MzRd	Comb.	SF
		kg	kg*m	kg*m	kg	kg*m	kg*m		
1	Y	218	577	278	238441	21670	10317	13	18
1	Z	218	346	464	193718	21670	10317	13	16

Asta: 17 [1052,1190] Sez. G: HE 220 B L=134.3 cm Ln1=134.3 cm Ln2=268.7 cm Crit.: Acciaio_Pressflessione

$\gamma M=1.05$ fyk/ $\gamma M=2619$ kg/cm² ft=4300 kg/cm² : **Verificato**

SF_λ=4.160

N	My	Mz	NRk	MyRk	MzRk	λY	λZ	χY	χZ	χLT	kyy	kyz	kzy	kzz
kg	kg*m	kg*m	kg	kg*m	kg*m									
-17	-154	792	250363	22754	10833	14	48	1.000	0.812	--	0.600	0.433	0.360	0.721

Cls	Dir	N	Myeq	Mzeq	NRd	MyRd	MzRd	Comb.	SF
		kg	kg*m	kg*m	kg	kg*m	kg*m		
1	Y	17	93	343	238441	21670	10317	8	27
1	Z	17	56	571	193718	21670	10317	8	17

Asta: 18 [1030,1070] Sez. G: HE 220 B L=134.3 cm Ln1=134.3 cm Ln2=268.7 cm Crit.: Acciaio_Pressflessione

$\gamma M=1.05$ fyk/ $\gamma M=2619$ kg/cm² ft=4300 kg/cm² : **Verificato**

SF_λ=4.160

N	My	Mz	NRk	MyRk	MzRk	λY	λZ	χY	χZ	χLT	kyy	kyz	kzy	kzz
kg	kg*m	kg*m	kg	kg*m	kg*m									
-22	283	735	250363	22754	10833	14	48	1.000	0.812	--	0.600	0.434	0.360	0.723

Cls	Dir	N	Myeq	Mzeq	NRd	MyRd	MzRd	Comb.	SF
		kg	kg*m	kg*m	kg	kg*m	kg*m		
1	Y	22	170	319	238441	21670	10317	8	26
1	Z	22	102	531	193718	21670	10317	8	18

Asta: 18 [1110,1109] Sez. G: HE 220 B L=150.0 cm Ln1=150.0 cm Ln2=150.0 cm Crit.: Acciaio_Pressflessione

$\gamma M=1.05$ fyk/ $\gamma M=2619$ kg/cm² ft=4300 kg/cm² : **Verificato**

SF_λ=7.451

N	My	Mz	NRk	MyRk	MzRk	λY	λZ	χY	χZ	χLT	kyy	kyz	kzy	kzz
kg	kg*m	kg*m	kg	kg*m	kg*m									
-123	-3351	435	250363	22754	10833	16	27	1.000	0.944	--	0.703	0.598	0.422	0.997

Cls	Dir	N	Myeq	Mzeq	NRd	MyRd	MzRd	Comb.	SF
		kg	kg*m	kg*m	kg	kg*m	kg*m		
1	Y	123	2357	260	238441	21670	10317	11	7.4

Cls	Dir	N	Myeq	Mzeq	NRd	MyRd	MzRd	Comb.	SF
1	Z	123	1414	433	225195	21670	10317	11	9.3

Asta: 18 [1157,1156] Sez. G: HE 220 B L=134.3 cm Ln1=134.3 cm Ln2=268.7 cm Crit.: Acciaio_Pressflessione

$\gamma M=1.05$ fyk/ $\gamma M=2619$ kg/cm² ft=4300 kg/cm² : **Verificato**

SF_λ=4.160

N	My	Mz	NRk	MyRk	MzRk	λY	λZ	χY	χZ	χLT	kyy	kyz	kzy	kzz
kg	kg*m	kg*m	kg	kg*m	kg*m									
-153	-2078	452	250363	22754	10833	14	48	1.000	0.812	--	0.789	0.580	0.473	0.967

Cls	Dir	N	Myeq	Mzeq	NRd	MyRd	MzRd	Comb.	SF
		kg	kg*m	kg*m	kg	kg*m	kg*m		
1	Y	153	1640	262	238441	21670	10317	13	9.8
1	Z	153	984	437	193718	21670	10317	13	11

Asta: 18 [1070,1071] Sez. G: HE 220 B L=134.3 cm Ln1=134.3 cm Ln2=268.7 cm Crit.: Acciaio_Pressflessione

$\gamma M=1.05$ fyk/ $\gamma M=2619$ kg/cm² ft=4300 kg/cm² : **Verificato**

SF_λ=4.160

N	My	Mz	NRk	MyRk	MzRk	λY	λZ	χY	χZ	χLT	kyy	kyz	kzy	kzz
kg	kg*m	kg*m	kg	kg*m	kg*m									
-294	-1467	503	250363	22754	10833	14	48	1.000	0.812	--	0.695	0.551	0.417	0.918

Cls	Dir	N	Myeq	Mzeq	NRd	MyRd	MzRd	Comb.	SF
		kg	kg*m	kg*m	kg	kg*m	kg*m		
1	Y	294	1020	277	238441	21670	10317	11	13
1	Z	294	612	462	193718	21670	10317	11	13

Asta: 18 [1071,1110] Sez. G: HE 220 B L=134.3 cm Ln1=134.3 cm Ln2=268.7 cm Crit.: Acciaio_Pressflessione

$\gamma M=1.05$ fyk/ $\gamma M=2619$ kg/cm² ft=4300 kg/cm² : **Verificato**

SF_λ=4.160

N	My	Mz	NRk	MyRk	MzRk	λY	λZ	χY	χZ	χLT	kyy	kyz	kzy	kzz
kg	kg*m	kg*m	kg	kg*m	kg*m									
-285	-3348	474	250363	22754	10833	14	48	1.000	0.812	--	0.775	0.563	0.465	0.938

Cls	Dir	N	Myeq	Mzeq	NRd	MyRd	MzRd	Comb.	SF
		kg	kg*m	kg*m	kg	kg*m	kg*m		
1	Y	285	2595	267	238441	21670	10317	11	6.8
1	Z	285	1557	444	193718	21670	10317	11	8.6

Asta: 18 [1109,1139] Sez. G: HE 220 B L=150.0 cm Ln1=150.0 cm Ln2=150.0 cm Crit.: Acciaio_Pressflessione

$\gamma M=1.05$ fyk/ $\gamma M=2619$ kg/cm² ft=4300 kg/cm² : **Verificato**

SF_λ=7.451

N	My	Mz	NRk	MyRk	MzRk	λY	λZ	χY	χZ	χLT	kyy	kyz	kzy	kzz
kg	kg*m	kg*m	kg	kg*m	kg*m									
-61	980	-7	250363	22754	10833	16	27	1.000	0.944	--	0.400	0.349	0.240	0.582

Cls	Dir	N	Myeq	Mzeq	NRd	MyRd	MzRd	Comb.	SF
		kg	kg*m	kg*m	kg	kg*m	kg*m		
1	Y	61	392	2	238441	21670	10317	14	54
1	Z	61	235	4	225195	21670	10317	14	87

Asta: 18 [1139,1157] Sez. G: HE 220 B L=150.0 cm Ln1=150.0 cm Ln2=150.0 cm Crit.: Acciaio_Pressflessione

$\gamma M=1.05$ fyk/ $\gamma M=2619$ kg/cm² ft=4300 kg/cm² : **Verificato**

SF_λ=7.451

N	My	Mz	NRk	MyRk	MzRk	λY	λZ	χY	χZ	χLT	kyy	kyz	kzy	kzz
kg	kg*m	kg*m	kg	kg*m	kg*m									
-15	-1669	-7	250363	22754	10833	16	27	1.000	0.944	--	0.606	0.342	0.363	0.569

Cls	Dir	N	Myeq	Mzeq	NRd	MyRd	MzRd	Comb.	SF
		kg	kg*m	kg*m	kg	kg*m	kg*m		
1	Y	15	1011	2	238441	21670	10317	16	21
1	Z	15	607	4	225195	21670	10317	16	35

Asta: 18 [1156,1194] Sez. G: HE 220 B L=134.3 cm Ln1=134.3 cm Ln2=268.7 cm Crit.: Acciaio_Pressflessione

$\gamma_M=1.05$ fyk/ $\gamma_M=2619$ kg/cmq ft=4300 kg/cmq : **Verificato**

SF_λ=4.160

N	My	Mz	NRk	MyRk	MzRk	λY	λZ	χY	χZ	χLT	kyy	kyz	kzy	kzz
kg	kg*m	kg*m	kg	kg*m	kg*m									
-149	-983	479	250363	22754	10833	14	48	1.000	0.812	--	0.717	0.568	0.430	0.947

Cls	Dir	N	Myeq	Mzeq	NRd	MyRd	MzRd	Comb.	SF
		kg	kg*m	kg*m	kg	kg*m	kg*m		
1	Y	149	705	272	238441	21670	10317	13	17
1	Z	149	423	453	193718	21670	10317	13	16

Asta: 18 [1194,1053] Sez. G: HE 220 B L=134.3 cm Ln1=134.3 cm Ln2=268.7 cm Crit.: Acciaio_Pressflessione

$\gamma_M=1.05$ fyk/ $\gamma_M=2619$ kg/cmq ft=4300 kg/cmq : **Verificato**

SF_λ=4.160

N	My	Mz	NRk	MyRk	MzRk	λY	λZ	χY	χZ	χLT	kyy	kyz	kzy	kzz
kg	kg*m	kg*m	kg	kg*m	kg*m									
-15	-168	755	250363	22754	10833	14	48	1.000	0.812	--	0.600	0.432	0.360	0.720

Cls	Dir	N	Myeq	Mzeq	NRd	MyRd	MzRd	Comb.	SF
		kg	kg*m	kg*m	kg	kg*m	kg*m		
1	Y	15	101	326	238441	21670	10317	8	28
1	Z	15	61	543	193718	21670	10317	8	18

Asta: 19 [1155,1154] Sez. G: HE 220 B L=134.3 cm Ln1=134.3 cm Ln2=268.7 cm Crit.: Acciaio_Pressflessione

$\gamma_M=1.05$ fyk/ $\gamma_M=2619$ kg/cmq ft=4300 kg/cmq : **Verificato**

SF_λ=4.160

N	My	Mz	NRk	MyRk	MzRk	λY	λZ	χY	χZ	χLT	kyy	kyz	kzy	kzz
kg	kg*m	kg*m	kg	kg*m	kg*m									
-779	3475	468	250363	22754	10833	14	48	1.000	0.812	--	0.752	0.590	0.451	0.983

Cls	Dir	N	Myeq	Mzeq	NRd	MyRd	MzRd	Comb.	SF
		kg	kg*m	kg*m	kg	kg*m	kg*m		
1	Y	779	2614	276	238441	21670	10317	2	6.6
1	Z	779	1568	460	193718	21670	10317	2	8.3

Asta: 19 [1107,1108] Sez. G: HE 220 B L=150.0 cm Ln1=150.0 cm Ln2=150.0 cm Crit.: Acciaio_Pressflessione

$\gamma_M=1.05$ fyk/ $\gamma_M=2619$ kg/cmq ft=4300 kg/cmq : **Verificato**

SF_λ=7.451

N	My	Mz	NRk	MyRk	MzRk	λY	λZ	χY	χZ	χLT	kyy	kyz	kzy	kzz
kg	kg*m	kg*m	kg	kg*m	kg*m									
-773	3693	458	250363	22754	10833	16	27	1.000	0.944	--	0.848	0.574	0.509	0.957

Cls	Dir	N	Myeq	Mzeq	NRd	MyRd	MzRd	Comb.	SF
		kg	kg*m	kg*m	kg	kg*m	kg*m		
1	Y	773	3131	263	238441	21670	10317	1	5.8
1	Z	773	1878	438	225195	21670	10317	1	7.5

Asta: 19 [1046,1068] Sez. G: HE 220 B L=134.3 cm Ln1=134.3 cm Ln2=268.7 cm Crit.: Acciaio_Pressflessione

$\gamma_M=1.05$ fyk/ $\gamma_M=2619$ kg/cmq ft=4300 kg/cmq : **Verificato**

SF_λ=4.160

N	My	Mz	NRk	MyRk	MzRk	λY	λZ	χY	χZ	χLT	kyy	kyz	kzy	kzz
kg	kg*m	kg*m	kg	kg*m	kg*m									
-614	147	618	250363	22754	10833	14	48	1.000	0.812	--	0.600	0.464	0.360	0.774

Cls	Dir	N	Myeq	Mzeq	NRd	MyRd	MzRd	Comb.	SF
		kg	kg*m	kg*m	kg	kg*m	kg*m		
1	Y	614	88	287	238441	21670	10317	7	29
1	Z	614	53	478	193718	21670	10317	7	19

Asta: 19 [1068,1069] Sez. G: HE 220 B L=134.3 cm Ln1=134.3 cm Ln2=268.7 cm Crit.: Acciaio_Pressflessione

$\gamma_M=1.05$ fyk/ $\gamma_M=2619$ kg/cmq ft=4300 kg/cmq : **Verificato**

SF_λ=4.160

N	My	Mz	NRk	MyRk	MzRk	λY	λZ	χY	χZ	χ_{LT}	kyy	kyz	kzy	kzz
kg	kg*m	kg*m	kg	kg*m	kg*m									
-621	1044	760	250363	22754	10833	14	48	1.000	0.812	--	0.656	0.556	0.394	0.927

Cls	Dir	N	Myeq	Mzeq	NRd	MyRd	MzRd	Comb.	SF
		kg	kg*m	kg*m	kg	kg*m	kg*m		
1	Y	621	686	422	238441	21670	10317	7	13
1	Z	621	411	704	193718	21670	10317	7	11

Asta: 19 [1069,1107] Sez. G: HE 220 B L=134.3 cm Ln1=134.3 cm Ln2=268.7 cm Crit.: Acciaio_Pressflessione
 $\gamma M=1.05 f_{yk}/\gamma M=2619$ kg/cm² ft=4300 kg/cm² : **Verificato**

SF_λ=4.160

N	My	Mz	NRk	MyRk	MzRk	λY	λZ	χY	χZ	χ_{LT}	kyy	kyz	kzy	kzz
kg	kg*m	kg*m	kg	kg*m	kg*m									
-789	3691	468	250363	22754	10833	14	48	1.000	0.812	--	0.759	0.586	0.455	0.976

Cls	Dir	N	Myeq	Mzeq	NRd	MyRd	MzRd	Comb.	SF
		kg	kg*m	kg*m	kg	kg*m	kg*m		
1	Y	789	2802	274	238441	21670	10317	1	6.3
1	Z	789	1681	457	193718	21670	10317	1	7.9

Asta: 19 [1108,1138] Sez. G: HE 220 B L=150.0 cm Ln1=150.0 cm Ln2=150.0 cm Crit.: Acciaio_Pressflessione
 $\gamma M=1.05 f_{yk}/\gamma M=2619$ kg/cm² ft=4300 kg/cm² : **Verificato**

SF_λ=7.451

N	My	Mz	NRk	MyRk	MzRk	λY	λZ	χY	χZ	χ_{LT}	kyy	kyz	kzy	kzz
kg	kg*m	kg*m	kg	kg*m	kg*m									
-684	2285	469	250363	22754	10833	16	27	1.000	0.944	--	0.970	0.594	0.582	0.990

Cls	Dir	N	Myeq	Mzeq	NRd	MyRd	MzRd	Comb.	SF
		kg	kg*m	kg*m	kg	kg*m	kg*m		
1	Y	684	2216	279	238441	21670	10317	1	7.6
1	Z	684	1330	464	225195	21670	10317	1	9.1

Asta: 19 [1138,1155] Sez. G: HE 220 B L=150.0 cm Ln1=150.0 cm Ln2=150.0 cm Crit.: Acciaio_Pressflessione
 $\gamma M=1.05 f_{yk}/\gamma M=2619$ kg/cm² ft=4300 kg/cm² : **Verificato**

SF_λ=7.451

N	My	Mz	NRk	MyRk	MzRk	λY	λZ	χY	χZ	χ_{LT}	kyy	kyz	kzy	kzz
kg	kg*m	kg*m	kg	kg*m	kg*m									
-808	3477	470	250363	22754	10833	16	27	1.000	0.944	--	0.855	0.558	0.513	0.931

Cls	Dir	N	Myeq	Mzeq	NRd	MyRd	MzRd	Comb.	SF
		kg	kg*m	kg*m	kg	kg*m	kg*m		
1	Y	808	2973	262	238441	21670	10317	2	6.0
1	Z	808	1784	437	225195	21670	10317	2	7.8

Asta: 19 [1154,1192] Sez. G: HE 220 B L=134.3 cm Ln1=134.3 cm Ln2=268.7 cm Crit.: Acciaio_Pressflessione
 $\gamma M=1.05 f_{yk}/\gamma M=2619$ kg/cm² ft=4300 kg/cm² : **Verificato**

SF_λ=4.160

N	My	Mz	NRk	MyRk	MzRk	λY	λZ	χY	χZ	χ_{LT}	kyy	kyz	kzy	kzz
kg	kg*m	kg*m	kg	kg*m	kg*m									
-639	804	758	250363	22754	10833	14	48	1.000	0.812	--	0.613	0.556	0.368	0.927

Cls	Dir	N	Myeq	Mzeq	NRd	MyRd	MzRd	Comb.	SF
		kg	kg*m	kg*m	kg	kg*m	kg*m		
1	Y	639	493	422	238441	21670	10317	9	15
1	Z	639	296	703	193718	21670	10317	9	12

Asta: 19 [1192,1191] Sez. G: HE 220 B L=134.3 cm Ln1=134.3 cm Ln2=268.7 cm Crit.: Acciaio_Pressflessione
 $\gamma M=1.05 f_{yk}/\gamma M=2619$ kg/cm² ft=4300 kg/cm² : **Verificato**

SF_λ=4.160

N	My	Mz	NRk	MyRk	MzRk	λY	λZ	χY	χZ	χ_{LT}	kyy	kyz	kzy	kzz
kg	kg*m	kg*m	kg	kg*m	kg*m									
-534	-59	619	250363	22754	10833	14	48	1.000	0.812	--	0.998	0.463	0.599	0.772

Cls	Dir	N	Myeq	Mzeq	NRd	MyRd	MzRd	Comb.	SF
		kg	kg*m	kg*m	kg	kg*m	kg*m		
1	Y	534	59	287	238441	21670	10317	6	31
1	Z	534	35	478	193718	21670	10317	6	20

Asta: 20 [1101,1100] Sez. G: HE 220 B L=150.0 cm Ln1=150.0 cm Ln2=150.0 cm Crit.: Acciaio_Pressflessione

$\gamma_M=1.05$ fyk/ $\gamma_M=2619$ kg/cmq ft=4300 kg/cmq : **Verificato**

SF $\lambda=7.451$

N	My	Mz	NRk	MyRk	MzRk	λ_Y	λ_Z	χ_Y	χ_Z	χ_{LT}	kyy	kyz	kzy	kzz
kg	kg*m	kg*m	kg	kg*m	kg*m									
-896	3599	445	250363	22754	10833	16	27	1.000	0.944	--	0.845	0.597	0.507	0.995

Cls	Dir	N	Myeq	Mzeq	NRd	MyRd	MzRd	Comb.	SF
		kg	kg*m	kg*m	kg	kg*m	kg*m		
1	Y	896	3041	265	238441	21670	10317	1	5.9
1	Z	896	1824	442	225195	21670	10317	1	7.6

Asta: 20 [1132,1149] Sez. G: HE 220 B L=134.3 cm Ln1=134.3 cm Ln2=268.7 cm Crit.: Acciaio_Pressflessione

$\gamma_M=1.05$ fyk/ $\gamma_M=2619$ kg/cmq ft=4300 kg/cmq : **Verificato**

SF $\lambda=4.160$

N	My	Mz	NRk	MyRk	MzRk	λ_Y	λ_Z	χ_Y	χ_Z	χ_{LT}	kyy	kyz	kzy	kzz
kg	kg*m	kg*m	kg	kg*m	kg*m									
-925	3388	472	250363	22754	10833	14	48	1.000	0.812	--	0.749	0.585	0.450	0.975

Cls	Dir	N	Myeq	Mzeq	NRd	MyRd	MzRd	Comb.	SF
		kg	kg*m	kg*m	kg	kg*m	kg*m		
1	Y	925	2539	276	238441	21670	10317	2	6.8
1	Z	925	1523	460	193718	21670	10317	2	8.4

Asta: 20 [1041,1042] Sez. G: HE 220 B L=134.3 cm Ln1=134.3 cm Ln2=268.7 cm Crit.: Acciaio_Pressflessione

$\gamma_M=1.05$ fyk/ $\gamma_M=2619$ kg/cmq ft=4300 kg/cmq : **Verificato**

SF $\lambda=4.160$

N	My	Mz	NRk	MyRk	MzRk	λ_Y	λ_Z	χ_Y	χ_Z	χ_{LT}	kyy	kyz	kzy	kzz
kg	kg*m	kg*m	kg	kg*m	kg*m									
-726	135	609	250363	22754	10833	14	48	1.000	0.812	--	0.600	0.474	0.360	0.790

Cls	Dir	N	Myeq	Mzeq	NRd	MyRd	MzRd	Comb.	SF
		kg	kg*m	kg*m	kg	kg*m	kg*m		
1	Y	726	81	289	238441	21670	10317	7	29
1	Z	726	48	481	193718	21670	10317	7	19

Asta: 20 [1042,1061] Sez. G: HE 220 B L=134.3 cm Ln1=134.3 cm Ln2=268.7 cm Crit.: Acciaio_Pressflessione

$\gamma_M=1.05$ fyk/ $\gamma_M=2619$ kg/cmq ft=4300 kg/cmq : **Verificato**

SF $\lambda=4.160$

N	My	Mz	NRk	MyRk	MzRk	λ_Y	λ_Z	χ_Y	χ_Z	χ_{LT}	kyy	kyz	kzy	kzz
kg	kg*m	kg*m	kg	kg*m	kg*m									
-733	1019	729	250363	22754	10833	14	48	1.000	0.812	--	0.653	0.562	0.392	0.937

Cls	Dir	N	Myeq	Mzeq	NRd	MyRd	MzRd	Comb.	SF
		kg	kg*m	kg*m	kg	kg*m	kg*m		
1	Y	733	665	409	238441	21670	10317	7	14
1	Z	733	399	682	193718	21670	10317	7	11

Asta: 20 [1061,1101] Sez. G: HE 220 B L=134.3 cm Ln1=134.3 cm Ln2=268.7 cm Crit.: Acciaio_Pressflessione

$\gamma_M=1.05$ fyk/ $\gamma_M=2619$ kg/cmq ft=4300 kg/cmq : **Verificato**

SF $\lambda=4.160$

N	My	Mz	NRk	MyRk	MzRk	λ_Y	λ_Z	χ_Y	χ_Z	χ_{LT}	kyy	kyz	kzy	kzz
kg	kg*m	kg*m	kg	kg*m	kg*m									
-933	3598	468	250363	22754	10833	14	48	1.000	0.812	--	0.756	0.587	0.454	0.978

Cls	Dir	N	Myeq	Mzeq	NRd	MyRd	MzRd	Comb.	SF
		kg	kg*m	kg*m	kg	kg*m	kg*m		

Cls	Dir	N	Myeq	Mzeq	NRd	MyRd	MzRd	Comb.	SF
1	Y	933	2721	274	238441	21670	10317	1	6.4
1	Z	933	1633	457	193718	21670	10317	1	8.0

Asta: 20 [1100,1133] Sez. G: HE 220 B L=150.0 cm Ln1=150.0 cm Ln2=150.0 cm Crit.: Acciaio_Pressflessione

$\gamma_M=1.05$ fyk/ $\gamma_M=2619$ kg/cm² ft=4300 kg/cm² : **Verificato**

SF_λ=7.451

N	My	Mz	NRk	MyRk	MzRk	λY	λZ	χY	χZ	χLT	kyy	kyz	kzy	kzz
kg	kg*m	kg*m	kg	kg*m	kg*m									
-841	2201	449	250363	22754	10833	16	27	1.000	0.944	--	0.971	0.598	0.582	0.996

Cls	Dir	N	Myeq	Mzeq	NRd	MyRd	MzRd	Comb.	SF
		kg	kg*m	kg*m	kg	kg*m	kg*m		
1	Y	841	2136	268	238441	21670	10317	1	7.8
1	Z	841	1282	447	225195	21670	10317	1	9.4

Asta: 20 [1133,1132] Sez. G: HE 220 B L=150.0 cm Ln1=150.0 cm Ln2=150.0 cm Crit.: Acciaio_Pressflessione

$\gamma_M=1.05$ fyk/ $\gamma_M=2619$ kg/cm² ft=4300 kg/cm² : **Verificato**

SF_λ=7.451

N	My	Mz	NRk	MyRk	MzRk	λY	λZ	χY	χZ	χLT	kyy	kyz	kzy	kzz
kg	kg*m	kg*m	kg	kg*m	kg*m									
-928	3390	449	250363	22754	10833	16	27	1.000	0.944	--	0.852	0.591	0.511	0.984

Cls	Dir	N	Myeq	Mzeq	NRd	MyRd	MzRd	Comb.	SF
		kg	kg*m	kg*m	kg	kg*m	kg*m		
1	Y	928	2887	265	238441	21670	10317	2	6.1
1	Z	928	1732	442	225195	21670	10317	2	7.9

Asta: 20 [1149,1184] Sez. G: HE 220 B L=134.3 cm Ln1=134.3 cm Ln2=268.7 cm Crit.: Acciaio_Pressflessione

$\gamma_M=1.05$ fyk/ $\gamma_M=2619$ kg/cm² ft=4300 kg/cm² : **Verificato**

SF_λ=4.160

N	My	Mz	NRk	MyRk	MzRk	λY	λZ	χY	χZ	χLT	kyy	kyz	kzy	kzz
kg	kg*m	kg*m	kg	kg*m	kg*m									
-753	788	728	250363	22754	10833	14	48	1.000	0.812	--	0.610	0.562	0.366	0.936

Cls	Dir	N	Myeq	Mzeq	NRd	MyRd	MzRd	Comb.	SF
		kg	kg*m	kg*m	kg	kg*m	kg*m		
1	Y	753	481	409	238441	21670	10317	9	15
1	Z	753	288	682	193718	21670	10317	9	12

Asta: 20 [1184,1183] Sez. G: HE 220 B L=134.3 cm Ln1=134.3 cm Ln2=268.7 cm Crit.: Acciaio_Pressflessione

$\gamma_M=1.05$ fyk/ $\gamma_M=2619$ kg/cm² ft=4300 kg/cm² : **Verificato**

SF_λ=4.160

N	My	Mz	NRk	MyRk	MzRk	λY	λZ	χY	χZ	χLT	kyy	kyz	kzy	kzz
kg	kg*m	kg*m	kg	kg*m	kg*m									
-656	-63	609	250363	22754	10833	14	48	1.000	0.812	--	0.999	0.473	0.599	0.789

Cls	Dir	N	Myeq	Mzeq	NRd	MyRd	MzRd	Comb.	SF
		kg	kg*m	kg*m	kg	kg*m	kg*m		
1	Y	656	63	288	238441	21670	10317	6	30
1	Z	656	38	480	193718	21670	10317	6	19

Asta: 21 [1031,1034] Sez. G: HE 220 B L=134.3 cm Ln1=134.3 cm Ln2=268.7 cm Crit.: Acciaio_Pressflessione

$\gamma_M=1.05$ fyk/ $\gamma_M=2619$ kg/cm² ft=4300 kg/cm² : **Verificato**

SF_λ=4.160

N	My	Mz	NRk	MyRk	MzRk	λY	λZ	χY	χZ	χLT	kyy	kyz	kzy	kzz
kg	kg*m	kg*m	kg	kg*m	kg*m									
-700	159	599	250363	22754	10833	14	48	1.000	0.812	--	0.600	0.478	0.360	0.796

Cls	Dir	N	Myeq	Mzeq	NRd	MyRd	MzRd	Comb.	SF
		kg	kg*m	kg*m	kg	kg*m	kg*m		
1	Y	700	95	286	238441	21670	10317	7	29
1	Z	700	57	477	193718	21670	10317	7	19

Asta: 21 [1056,1092] Sez. G: HE 220 B L=150.0 cm Ln1=150.0 cm Ln2=150.0 cm Crit.: Acciaio_Pressflessione
 $\gamma_M=1.05$ fyk/ $\gamma_M=2619$ kg/cmq ft=4300 kg/cmq :**Verificato**
 SF_λ=7.451

N	My	Mz	NRk	MyRk	MzRk	λY	λZ	χY	χZ	χLT	kyy	kyz	kzy	kzz
kg	kg*m	kg*m	kg	kg*m	kg*m									
-862	3700	446	250363	22754	10833	16	27	1.000	0.944	--	0.848	0.594	0.509	0.990

Cls	Dir	N	Myeq	Mzeq	NRd	MyRd	MzRd	Comb.	SF
		kg	kg*m	kg*m	kg	kg*m	kg*m		
1	Y	862	3139	265	238441	21670	10317	1	5.7
1	Z	862	1883	442	225195	21670	10317	1	7.5

Asta: 21 [1128,1145] Sez. G: HE 220 B L=134.3 cm Ln1=134.3 cm Ln2=268.7 cm Crit.: Acciaio_Pressflessione
 $\gamma_M=1.05$ fyk/ $\gamma_M=2619$ kg/cmq ft=4300 kg/cmq :**Verificato**
 SF_λ=4.160

N	My	Mz	NRk	MyRk	MzRk	λY	λZ	χY	χZ	χLT	kyy	kyz	kzy	kzz
kg	kg*m	kg*m	kg	kg*m	kg*m									
-885	3486	463	250363	22754	10833	14	48	1.000	0.812	--	0.753	0.588	0.452	0.980

Cls	Dir	N	Myeq	Mzeq	NRd	MyRd	MzRd	Comb.	SF
		kg	kg*m	kg*m	kg	kg*m	kg*m		
1	Y	885	2624	272	238441	21670	10317	2	6.6
1	Z	885	1574	454	193718	21670	10317	2	8.3

Asta: 21 [1034,1035] Sez. G: HE 220 B L=134.3 cm Ln1=134.3 cm Ln2=268.7 cm Crit.: Acciaio_Pressflessione
 $\gamma_M=1.05$ fyk/ $\gamma_M=2619$ kg/cmq ft=4300 kg/cmq :**Verificato**
 SF_λ=4.160

N	My	Mz	NRk	MyRk	MzRk	λY	λZ	χY	χZ	χLT	kyy	kyz	kzy	kzz
kg	kg*m	kg*m	kg	kg*m	kg*m									
-707	1068	724	250363	22754	10833	14	48	1.000	0.812	--	0.660	0.560	0.396	0.933

Cls	Dir	N	Myeq	Mzeq	NRd	MyRd	MzRd	Comb.	SF
		kg	kg*m	kg*m	kg	kg*m	kg*m		
1	Y	707	704	405	238441	21670	10317	7	13
1	Z	707	423	676	193718	21670	10317	7	11

Asta: 21 [1035,1056] Sez. G: HE 220 B L=134.3 cm Ln1=134.3 cm Ln2=268.7 cm Crit.: Acciaio_Pressflessione
 $\gamma_M=1.05$ fyk/ $\gamma_M=2619$ kg/cmq ft=4300 kg/cmq :**Verificato**
 SF_λ=4.160

N	My	Mz	NRk	MyRk	MzRk	λY	λZ	χY	χZ	χLT	kyy	kyz	kzy	kzz
kg	kg*m	kg*m	kg	kg*m	kg*m									
-895	3699	466	250363	22754	10833	14	48	1.000	0.812	--	0.759	0.586	0.456	0.977

Cls	Dir	N	Myeq	Mzeq	NRd	MyRd	MzRd	Comb.	SF
		kg	kg*m	kg*m	kg	kg*m	kg*m		
1	Y	895	2808	273	238441	21670	10317	1	6.3
1	Z	895	1685	455	193718	21670	10317	1	7.9

Asta: 21 [1092,1093] Sez. G: HE 220 B L=150.0 cm Ln1=150.0 cm Ln2=150.0 cm Crit.: Acciaio_Pressflessione
 $\gamma_M=1.05$ fyk/ $\gamma_M=2619$ kg/cmq ft=4300 kg/cmq :**Verificato**
 SF_λ=7.451

N	My	Mz	NRk	MyRk	MzRk	λY	λZ	χY	χZ	χLT	kyy	kyz	kzy	kzz
kg	kg*m	kg*m	kg	kg*m	kg*m									
-792	2295	446	250363	22754	10833	16	27	1.000	0.944	--	0.971	0.599	0.582	0.998

Cls	Dir	N	Myeq	Mzeq	NRd	MyRd	MzRd	Comb.	SF
		kg	kg*m	kg*m	kg	kg*m	kg*m		
1	Y	792	2227	267	238441	21670	10317	1	7.6
1	Z	792	1336	445	225195	21670	10317	1	9.2

Asta: 21 [1093,1128] Sez. G: HE 220 B L=150.0 cm Ln1=150.0 cm Ln2=150.0 cm Crit.: Acciaio_Pressflessione
 $\gamma_M=1.05$ fyk/ $\gamma_M=2619$ kg/cmq ft=4300 kg/cmq :**Verificato**

SF_λ=7.451

N	My	Mz	NRk	MyRk	MzRk	λY	λZ	χY	χZ	χLT	kyy	kyz	kzy	kzz
kg	kg*m	kg*m	kg	kg*m	kg*m									
-894	3488	443	250363	22754	10833	16	27	1.000	0.944	--	0.855	0.598	0.513	0.997

Cls	Dir	N	Myeq	Mzeq	NRd	MyRd	MzRd	Comb.	SF
		kg	kg*m	kg*m	kg	kg*m	kg*m		
1	Y	894	2983	265	238441	21670	10317	2	6.0
1	Z	894	1790	442	225195	21670	10317	2	7.7

Asta: 21 [1145,1176] Sez. G: HE 220 B L=134.3 cm Ln1=134.3 cm Ln2=268.7 cm Crit.: Acciaio_Pressflessione
 $\gamma_M=1.05$ fyk/ $\gamma_M=2619$ kg/cm² ft=4300 kg/cm² : **Verificato**

SF_λ=4.160

N	My	Mz	NRk	MyRk	MzRk	λY	λZ	χY	χZ	χLT	kyy	kyz	kzy	kzz
kg	kg*m	kg*m	kg	kg*m	kg*m									
-725	836	725	250363	22754	10833	14	48	1.000	0.812	--	0.621	0.560	0.372	0.934

Cls	Dir	N	Myeq	Mzeq	NRd	MyRd	MzRd	Comb.	SF
		kg	kg*m	kg*m	kg	kg*m	kg*m		
1	Y	725	519	406	238441	21670	10317	9	15
1	Z	725	311	677	193718	21670	10317	9	12

Asta: 21 [1176,1175] Sez. G: HE 220 B L=134.3 cm Ln1=134.3 cm Ln2=268.7 cm Crit.: Acciaio_Pressflessione
 $\gamma_M=1.05$ fyk/ $\gamma_M=2619$ kg/cm² ft=4300 kg/cm² : **Verificato**

SF_λ=4.160

N	My	Mz	NRk	MyRk	MzRk	λY	λZ	χY	χZ	χLT	kyy	kyz	kzy	kzz
kg	kg*m	kg*m	kg	kg*m	kg*m									
-623	-44	600	250363	22754	10833	14	48	1.000	0.812	--	0.993	0.477	0.596	0.795

Cls	Dir	N	Myeq	Mzeq	NRd	MyRd	MzRd	Comb.	SF
		kg	kg*m	kg*m	kg	kg*m	kg*m		
1	Y	623	44	286	238441	21670	10317	6	31
1	Z	623	26	477	193718	21670	10317	6	20

Asta: 22 [1031,1075] Sez. G: HE 220 B L=134.3 cm Ln1=134.3 cm Ln2=268.7 cm Crit.: Acciaio_Pressflessione
 $\gamma_M=1.05$ fyk/ $\gamma_M=2619$ kg/cm² ft=4300 kg/cm² : **Verificato**

SF_λ=4.160

N	My	Mz	NRk	MyRk	MzRk	λY	λZ	χY	χZ	χLT	kyy	kyz	kzy	kzz
kg	kg*m	kg*m	kg	kg*m	kg*m									
-32	299	-23	250363	22754	10833	14	48	1.000	0.812	--	0.600	0.240	0.360	0.400

Cls	Dir	N	Myeq	Mzeq	NRd	MyRd	MzRd	Comb.	SF
		kg	kg*m	kg*m	kg	kg*m	kg*m		
1	Y	32	179	5	238441	21670	10317	16	>100
1	Z	32	108	9	193718	21670	10317	16	>100

Asta: 22 [1113,1112] Sez. G: HE 220 B L=150.0 cm Ln1=150.0 cm Ln2=150.0 cm Crit.: Acciaio_Pressflessione
 $\gamma_M=1.05$ fyk/ $\gamma_M=2619$ kg/cm² ft=4300 kg/cm² : **Verificato**

SF_λ=7.451

N	My	Mz	NRk	MyRk	MzRk	λY	λZ	χY	χZ	χLT	kyy	kyz	kzy	kzz
kg	kg*m	kg*m	kg	kg*m	kg*m									
-40	-3087	-96	250363	22754	10833	16	27	1.000	0.944	--	0.676	0.240	0.405	0.400

Cls	Dir	N	Myeq	Mzeq	NRd	MyRd	MzRd	Comb.	SF
		kg	kg*m	kg*m	kg	kg*m	kg*m		
1	Y	40	2086	23	238441	21670	10317	14	10
1	Z	40	1252	39	225195	21670	10317	14	16

Asta: 22 [1160,1159] Sez. G: HE 220 B L=134.3 cm Ln1=134.3 cm Ln2=268.7 cm Crit.: Acciaio_Pressflessione
 $\gamma_M=1.05$ fyk/ $\gamma_M=2619$ kg/cm² ft=4300 kg/cm² : **Verificato**

SF_λ=4.160

N	My	Mz	NRk	MyRk	MzRk	λY	λZ	χY	χZ	χLT	kyy	kyz	kzy	kzz
kg	kg*m	kg*m	kg	kg*m	kg*m									

N	My	Mz	NRk	MyRk	MzRk	λY	λZ	χY	χZ	χLT	kyy	kyz	kzy	kzz
-212	1519	112	250363	22754	10833	14	48	1.000	0.812	--	0.785	0.325	0.471	0.541

Cls	Dir	N	Myeq	Mzeq	NRd	MyRd	MzRd	Comb.	SF
		kg	kg*m	kg*m	kg	kg*m	kg*m		
1	Y	212	1191	36	238441	21670	10317	(18+19)-V-7	17
1	Z	212	715	61	193718	21670	10317	(18+19)-V-7	25

Asta: 22 [1075,1037] Sez. G: HE 220 B L=134.3 cm Ln1=134.3 cm Ln2=268.7 cm Crit.: Acciaio_Pressflessione

$\gamma M=1.05$ fyk/ $\gamma M=2619$ kg/cm² ft=4300 kg/cm² : **Verificato**

SF_λ=4.160

N	My	Mz	NRk	MyRk	MzRk	λY	λZ	χY	χZ	χLT	kyy	kyz	kzy	kzz
kg	kg*m	kg*m	kg	kg*m	kg*m									
-62	-1307	56	250363	22754	10833	14	48	1.000	0.812	--	0.685	0.499	0.411	0.832

Cls	Dir	N	Myeq	Mzeq	NRd	MyRd	MzRd	Comb.	SF
		kg	kg*m	kg*m	kg	kg*m	kg*m		
1	Y	62	895	28	238441	21670	10317	14	23
1	Z	62	537	46	193718	21670	10317	14	34

Asta: 22 [1037,1113] Sez. G: HE 220 B L=134.3 cm Ln1=134.3 cm Ln2=268.7 cm Crit.: Acciaio_Pressflessione

$\gamma M=1.05$ fyk/ $\gamma M=2619$ kg/cm² ft=4300 kg/cm² : **Verificato**

SF_λ=4.160

N	My	Mz	NRk	MyRk	MzRk	λY	λZ	χY	χZ	χLT	kyy	kyz	kzy	kzz
kg	kg*m	kg*m	kg	kg*m	kg*m									
-50	-3087	-110	250363	22754	10833	14	48	1.000	0.812	--	0.769	0.240	0.462	0.400

Cls	Dir	N	Myeq	Mzeq	NRd	MyRd	MzRd	Comb.	SF
		kg	kg*m	kg*m	kg	kg*m	kg*m		
1	Y	50	2375	27	238441	21670	10317	14	8.9
1	Z	50	1425	44	193718	21670	10317	14	14

Asta: 22 [1112,1043] Sez. G: HE 220 B L=150.0 cm Ln1=150.0 cm Ln2=150.0 cm Crit.: Acciaio_Pressflessione

$\gamma M=1.05$ fyk/ $\gamma M=2619$ kg/cm² ft=4300 kg/cm² : **Verificato**

SF_λ=7.451

N	My	Mz	NRk	MyRk	MzRk	λY	λZ	χY	χZ	χLT	kyy	kyz	kzy	kzz
kg	kg*m	kg*m	kg	kg*m	kg*m									
-248	1048	-39	250363	22754	10833	16	27	1.000	0.944	--	0.970	0.346	0.582	0.577

Cls	Dir	N	Myeq	Mzeq	NRd	MyRd	MzRd	Comb.	SF
		kg	kg*m	kg*m	kg	kg*m	kg*m		
1	Y	248	1016	14	238441	21670	10317	(18+19)-V-7	20
1	Z	248	610	23	225195	21670	10317	(18+19)-V-7	32

Asta: 22 [1043,1160] Sez. G: HE 220 B L=150.0 cm Ln1=150.0 cm Ln2=150.0 cm Crit.: Acciaio_Pressflessione

$\gamma M=1.05$ fyk/ $\gamma M=2619$ kg/cm² ft=4300 kg/cm² : **Verificato**

SF_λ=7.451

N	My	Mz	NRk	MyRk	MzRk	λY	λZ	χY	χZ	χLT	kyy	kyz	kzy	kzz
kg	kg*m	kg*m	kg	kg*m	kg*m									
-270	1515	96	250363	22754	10833	16	27	1.000	0.944	--	0.877	0.259	0.526	0.432

Cls	Dir	N	Myeq	Mzeq	NRd	MyRd	MzRd	Comb.	SF
		kg	kg*m	kg*m	kg	kg*m	kg*m		
1	Y	270	1328	25	238441	21670	10317	(18+19)-V-7	15
1	Z	270	797	41	225195	21670	10317	(18+19)-V-7	24

Asta: 22 [1159,1198] Sez. G: HE 220 B L=134.3 cm Ln1=134.3 cm Ln2=268.7 cm Crit.: Acciaio_Pressflessione

$\gamma M=1.05$ fyk/ $\gamma M=2619$ kg/cm² ft=4300 kg/cm² : **Verificato**

SF_λ=4.160

N	My	Mz	NRk	MyRk	MzRk	λY	λZ	χY	χZ	χLT	kyy	kyz	kzy	kzz
kg	kg*m	kg*m	kg	kg*m	kg*m									
-54	-848	472	250363	22754	10833	14	48	1.000	0.812	--	0.706	0.590	0.424	0.983

Cls	Dir	N	Myeq	Mzeq	NRd	MyRd	MzRd	Comb.	SF
		kg	kg*m	kg*m	kg	kg*m	kg*m		
1	Y	54	599	278	238441	21670	10317	13	18
1	Z	54	359	464	193718	21670	10317	13	16

Asta: 22 [1198,1054] Sez. G: HE 220 B L=134.3 cm Ln1=134.3 cm Ln2=268.7 cm Crit.: Acciaio_Pressflessione
 $\gamma M=1.05$ fyk/ $\gamma M=2619$ kg/cm² ft=4300 kg/cm² :**Verificato**

SF_λ=4.160

N	My	Mz	NRk	MyRk	MzRk	λY	λZ	χY	χZ	χLT	kyy	kyz	kzy	kzz
kg	kg*m	kg*m	kg	kg*m	kg*m									
-34	251	412	250363	22754	10833	14	48	1.000	0.812	--	0.600	0.446	0.360	0.743

Cls	Dir	N	Myeq	Mzeq	NRd	MyRd	MzRd	Comb.	SF
		kg	kg*m	kg*m	kg	kg*m	kg*m		
1	Y	34	151	184	238441	21670	10317	2	40
1	Z	34	90	306	193718	21670	10317	2	29

Asta: 137 [2,1001] Sez. G: HE 260 B L=508.0 cm Ln1=508.0 cm Ln2=508.0 cm Crit.: Acciaio_PressSverg $\gamma M=1.05$
fyk/ $\gamma M=2619$ kg/cm² ft=4300 kg/cm² :**Verificato**

SF_λ=2.592

N	My	Mz	NRk	MyRk	MzRk	λY	λZ	χY	χZ	χLT	kyy	kyz	kzy	kzz
kg	kg*m	kg*m	kg	kg*m	kg*m									
-11806	-5539	1540	325722	35301	16565	45	77	0.875	0.607	--	0.406	0.445	0.243	0.742

Cls	Dir	N	Myeq	Mzeq	NRd	MyRd	MzRd	Comb.	SF
		kg	kg*m	kg*m	kg	kg*m	kg*m		
1	Y	11806	2246	686	271318	33620	15776	7	6.5
1	Z	11806	1348	1144	188225	33620	15776	7	5.7

Asta: 138 [4,1003] Sez. G: HE 260 B L=508.0 cm Ln1=508.0 cm Ln2=508.0 cm Crit.: Acciaio_PressSverg $\gamma M=1.05$
fyk/ $\gamma M=2619$ kg/cm² ft=4300 kg/cm² :**Verificato**

SF_λ=2.592

N	My	Mz	NRk	MyRk	MzRk	λY	λZ	χY	χZ	χLT	kyy	kyz	kzy	kzz
kg	kg*m	kg*m	kg	kg*m	kg*m									
-13384	-5479	1211	325722	35301	16565	45	77	0.875	0.607	--	0.406	0.608	0.244	1.014

Cls	Dir	N	Myeq	Mzeq	NRd	MyRd	MzRd	Comb.	SF
		kg	kg*m	kg*m	kg	kg*m	kg*m		
1	Y	13384	2226	737	271318	33620	15776	7	6.2
1	Z	13384	1336	1228	188225	33620	15776	7	5.3

Asta: 139 [6,1005] Sez. G: HE 260 B L=508.0 cm Ln1=508.0 cm Ln2=508.0 cm Crit.: Acciaio_PressSverg $\gamma M=1.05$
fyk/ $\gamma M=2619$ kg/cm² ft=4300 kg/cm² :**Verificato**

SF_λ=2.592

N	My	Mz	NRk	MyRk	MzRk	λY	λZ	χY	χZ	χLT	kyy	kyz	kzy	kzz
kg	kg*m	kg*m	kg	kg*m	kg*m									
-13967	-5586	1248	325722	35301	16565	45	77	0.875	0.607	--	0.407	0.589	0.244	0.981

Cls	Dir	N	Myeq	Mzeq	NRd	MyRd	MzRd	Comb.	SF
		kg	kg*m	kg*m	kg	kg*m	kg*m		
1	Y	13967	2271	735	271318	33620	15776	7	6.0
1	Z	13967	1363	1225	188225	33620	15776	7	5.2

Asta: 140 [7,1007] Sez. G: HE 260 B L=508.0 cm Ln1=508.0 cm Ln2=508.0 cm Crit.: Acciaio_PressSverg $\gamma M=1.05$
fyk/ $\gamma M=2619$ kg/cm² ft=4300 kg/cm² :**Verificato**

SF_λ=2.592

N	My	Mz	NRk	MyRk	MzRk	λY	λZ	χY	χZ	χLT	kyy	kyz	kzy	kzz
kg	kg*m	kg*m	kg	kg*m	kg*m									
-12651	-5427	1497	325722	35301	16565	45	77	0.875	0.607	--	0.406	0.466	0.244	0.776

Cls	Dir	N	Myeq	Mzeq	NRd	MyRd	MzRd	Comb.	SF
		kg	kg*m	kg*m	kg	kg*m	kg*m		
1	Y	12651	2203	697	271318	33620	15776	7	6.4

Cls	Dir	N	Myeq	Mzeq	NRd	MyRd	MzRd	Comb.	SF
1	Z	12651	1322	1161	188225	33620	15776	7	5.6

Asta: 141 [10,1009] Sez. G: HE 260 B L=508.0 cm Ln1=508.0 cm Ln2=508.0 cm Crit.: Acciaio_PressSverg $\gamma_M=1.05$
 $f_{yk}/\gamma_M=2619$ kg/cmq $f_t=4300$ kg/cmq :**Verificato**

SF_λ=2.592

N	My	Mz	NRk	MyRk	MzRk	λY	λZ	χY	χZ	χLT	kyy	kyz	kzy	kzz
kg	kg*m	kg*m	kg	kg*m	kg*m									
-14455	-5720	3085	325722	35301	16565	45	77	0.875	0.607	--	0.407	0.408	0.244	0.681

Cls	Dir	N	Myeq	Mzeq	NRd	MyRd	MzRd	Comb.	SF
		kg	kg*m	kg*m	kg	kg*m	kg*m		
1	Y	14455	2327	1260	271318	33620	15776	7	4.9
1	Z	14455	1396	2100	188225	33620	15776	7	4.0

Asta: 142 [12,1011] Sez. G: HE 260 B L=502.0 cm Ln1=502.0 cm Ln2=502.0 cm Crit.: Acciaio_PressSverg $\gamma_M=1.05$
 $f_{yk}/\gamma_M=2619$ kg/cmq $f_t=4300$ kg/cmq :**Verificato**

SF_λ=2.623

N	My	Mz	NRk	MyRk	MzRk	λY	λZ	χY	χZ	χLT	kyy	kyz	kzy	kzz
kg	kg*m	kg*m	kg	kg*m	kg*m									
-9463	-8542	1540	325722	35301	16565	45	76	0.877	0.613	--	0.604	0.438	0.363	0.730

Cls	Dir	N	Myeq	Mzeq	NRd	MyRd	MzRd	Comb.	SF
		kg	kg*m	kg*m	kg	kg*m	kg*m		
1	Y	9463	5161	675	272183	33620	15776	9	4.3
1	Z	9463	3097	1125	190238	33620	15776	9	4.7

Asta: 143 [14,1013] Sez. G: HE 260 B L=502.0 cm Ln1=502.0 cm Ln2=502.0 cm Crit.: Acciaio_PressSverg $\gamma_M=1.05$
 $f_{yk}/\gamma_M=2619$ kg/cmq $f_t=4300$ kg/cmq :**Verificato**

SF_λ=2.623

N	My	Mz	NRk	MyRk	MzRk	λY	λZ	χY	χZ	χLT	kyy	kyz	kzy	kzz
kg	kg*m	kg*m	kg	kg*m	kg*m									
-10883	-8639	1197	325722	35301	16565	45	76	0.877	0.613	--	0.603	0.607	0.362	1.011

Cls	Dir	N	Myeq	Mzeq	NRd	MyRd	MzRd	Comb.	SF
		kg	kg*m	kg*m	kg	kg*m	kg*m		
1	Y	10883	5214	726	272183	33620	15776	9	4.1
1	Z	10883	3128	1210	190238	33620	15776	9	4.4

Asta: 144 [16,1015] Sez. G: HE 260 B L=502.0 cm Ln1=502.0 cm Ln2=502.0 cm Crit.: Acciaio_PressSverg $\gamma_M=1.05$
 $f_{yk}/\gamma_M=2619$ kg/cmq $f_t=4300$ kg/cmq :**Verificato**

SF_λ=2.623

N	My	Mz	NRk	MyRk	MzRk	λY	λZ	χY	χZ	χLT	kyy	kyz	kzy	kzz
kg	kg*m	kg*m	kg	kg*m	kg*m									
-11534	-8822	1249	325722	35301	16565	45	76	0.877	0.613	--	0.601	0.579	0.360	0.964

Cls	Dir	N	Myeq	Mzeq	NRd	MyRd	MzRd	Comb.	SF
		kg	kg*m	kg*m	kg	kg*m	kg*m		
1	Y	11534	5298	723	272183	33620	15776	9	4.1
1	Z	11534	3179	1205	190238	33620	15776	9	4.3

Asta: 145 [17,1017] Sez. G: HE 260 B L=502.0 cm Ln1=502.0 cm Ln2=502.0 cm Crit.: Acciaio_PressSverg $\gamma_M=1.05$
 $f_{yk}/\gamma_M=2619$ kg/cmq $f_t=4300$ kg/cmq :**Verificato**

SF_λ=2.623

N	My	Mz	NRk	MyRk	MzRk	λY	λZ	χY	χZ	χLT	kyy	kyz	kzy	kzz
kg	kg*m	kg*m	kg	kg*m	kg*m									
-10184	-8459	1507	325722	35301	16565	45	76	0.877	0.613	--	0.608	0.454	0.365	0.757

Cls	Dir	N	Myeq	Mzeq	NRd	MyRd	MzRd	Comb.	SF
		kg	kg*m	kg*m	kg	kg*m	kg*m		
1	Y	10184	5142	684	272183	33620	15776	9	4.3
1	Z	10184	3085	1140	190238	33620	15776	9	4.6

Asta: 146 [20,1019] Sez. G: HE 260 B L=502.0 cm Ln1=502.0 cm Ln2=502.0 cm Crit.: Acciaio_PressSverg $\gamma_M=1.05$
 $f_{yk}/\gamma_M=2619$ kg/cmq $f_t=4300$ kg/cmq : **Verificato**
 $SF_{\lambda}=2.623$

N	My	Mz	NRk	MyRk	MzRk	λ_Y	λ_Z	χ_Y	χ_Z	χ_{LT}	kyy	kyz	kzy	kzz
kg	kg*m	kg*m	kg	kg*m	kg*m									
-12084	-8936	3060	325722	35301	16565	45	76	0.877	0.613	--	0.598	0.403	0.359	0.672

Cls	Dir	N	Myeq	Mzeq	NRd	MyRd	MzRd	Comb.	SF
		kg	kg*m	kg*m	kg	kg*m	kg*m		
1	Y	12084	5347	1234	272183	33620	15776	9	3.6
1	Z	12084	3208	2057	190238	33620	15776	9	3.5

Verifica Resistenza aste Metalliche

Scenario di calcolo: **Set_SLV_SLD**

Scenario Sisma Verticale: **Set_SLV_SLD-Verticale**

Simbologia

L [cm]	Lunghezza teorica elemento (da nodo a nodo)
Sez. G	Sezione Generica (Sigla)
f_{yd} [kg/cm ²]	Tensione di progetto snervamento acciaio
f_t [kg/cm ²]	Tensione di rottura acciaio
γ_M	Coefficiente di sicurezza acciaio
X [cm]	Punto di verifica
N [kg]	Sforzo Normale
TY [kg]	Taglio dir Y
TZ [kg]	Taglio dir Z
MT [kg*m]	Momento torcente
MY [kg*m]	Momento flettente dir Y
MZ [kg*m]	Momento flettente dir Z
MY4 [kg*m]	Momento flettente dir Y + $N*\Delta e_z$, per sezioni di classe 4
MZ4 [kg*m]	Momento flettente dir Z + $N*\Delta e_y$, per sezioni di classe 4
cls	Classe della sezione per la sollecitazione della combinazione corrente
Comb.	Combinazione della sollecitazione
Nr [kg]	Sforzo Normale resistente
Vyr [kg]	Taglio resistente in dir Y
Vzr [kg]	Taglio resistente dir Z
Mry [kg*m]	Momento flettente resistente dir Y
Mrz [kg*m]	Momento flettente resistente dir Z
SF_V	Coefficiente di sicurezza taglio
SF_M	Coefficiente di sicurezza pressoflessione
SF	Coefficiente di sicurezza complessivo (asta verificata se ≥ 1)(¹)

Gerarchia travi/pilastri (quando richiesto):

NEd [kg]	Sforzo Normale di verifica
Npl,Rd [kg]	Sforzo Normale resistente (NTC 4.2.4.1.2)
VEdY(*) [kg]	Taglio trave dir Y dovuto ai momenti ultimi Mpl,RdZ di estremità (cfr. NTC f.(7.5.6))
Vpl,RdY [kg]	Taglio resistente dir Y (NTC 4.2.4.1.2)
VEdZ(*) [kg]	Taglio trave dir Z dovuto ai momenti ultimi Mpl,RdY di estremità (cfr. NTC f.(7.5.6))
Vpl,RdZ [kg]	Taglio resistente dir Z (NTC 4.2.4.1.2)
MEdY [kg*m]	Momento flettente dir Y
Mpl,RdY [kg*m]	Momento resistente dir Y (NTC 4.2.4.1.2)
MEdZ [kg*m]	Momento flettente dir Z
Mpl,RdZ [kg*m]	Momento resistente dir Z (NTC 4.2.4.1.2)

Verifiche Incendio:

Ky	$f_y(T)/f_y(20^\circ)$ fattore riduzione resistenza alla temperatura T
KE	$E(T)/E(20)$ fattore riduzione modulo elastico alla temperatura T

SF Coefficiente di sicurezza (asta verificata se ≥ 1)(²)

Ω^* Smplicazione sollecitazioni sismiche (solo per $q>1$)(³)

Fatt.Ampl.Sisma Fattore moltiplicativo di gruppo per le azioni sismiche (solo se diverso da 1.0)

Note:

(¹): SF rappresenta il minimo tra SF_V ed SF_M dove:

- SF_V = VR/Vd con VR e Vd azione tagliante resistente ed agente
 - SF_M = 1/[N/Nr + MY/Mry + MZ/Mrz], i valori di Mry ed Mrz sono ridotti opportunamente quando Vd > 0.5 Vr
- (2): SF rappresenta il minimo tra i seguenti rapporti:
- MEdY/Mpl,RdY (travi)
 - MEdZ/Mpl,RdZ (travi)
 - NEd/(0.15*Npl,Rd) (travi)
 - VEdY*/(0.5*Vpl,RdY) (travi)
 - VEdZ*/(0.5*Vpl,RdZ) (travi)
 - VEdY/(0.5*Vpl,RdY) (pilastri)
 - VEdZ/(0.5*Vpl,RdZ) (pilastri)
- (3): $\Omega^* = \min(q, 1.1 * \gamma_{ov} * \Omega)$, con Ω secondo NTC 7.5.4.2

Asta: 1 [1001,1052] Sez. G: HE 260 B L=180.0 cm Crit.: Acciaio_FlessTors $\gamma_M=1.05$ fyk/ $\gamma_M=2619$ kg/cm² ft=4300 kg/cm² :Verificato

X	cls	N	TY	TZ	MT	MY	MZ	My4	Mz4	Comb.
cm		kg	kg	kg	kg*m	kg*m	kg*m			
0	1	239	35	-5814	13	6021	720	--	--	1

X	cls	Nr	Vyr	Vzr	Mry	Mrz	MTrd	SF_V.	SF_M	SF_Mt	SF
cm		kg	kg	kg	kg*m	kg*m	kg*m				
0	1	310212	136892	56553	33620	15776	986	9.7	4.4	78	4.4

Asta: 1 [1003,1055] Sez. G: HE 260 B L=180.0 cm Crit.: Acciaio_FlessTors $\gamma_M=1.05$ fyk/ $\gamma_M=2619$ kg/cm² ft=4300 kg/cm² :Verificato

X	cls	N	TY	TZ	MT	MY	MZ	My4	Mz4	Comb.
cm		kg	kg	kg	kg*m	kg*m	kg*m			
0	1	130	167	4989	-2	-9179	843	--	--	11

X	cls	Nr	Vyr	Vzr	Mry	Mrz	MTrd	SF_V.	SF_M	SF_Mt	SF
cm		kg	kg	kg	kg*m	kg*m	kg*m				
0	1	310212	137484	56798	33620	15776	986	11	3.1	>100	3.1

Asta: 1 [1005,1099] Sez. G: HE 260 B L=180.0 cm Crit.: Acciaio_FlessTors $\gamma_M=1.05$ fyk/ $\gamma_M=2619$ kg/cm² ft=4300 kg/cm² :Verificato

X	cls	N	TY	TZ	MT	MY	MZ	My4	Mz4	Comb.
cm		kg	kg	kg	kg*m	kg*m	kg*m			
0	1	207	176	4768	-2	-8450	850	--	--	11

X	cls	Nr	Vyr	Vzr	Mry	Mrz	MTrd	SF_V.	SF_M	SF_Mt	SF
cm		kg	kg	kg	kg*m	kg*m	kg*m				
0	1	310212	137490	56801	33620	15776	986	12	3.3	>100	3.3

Asta: 1 [1007,1106] Sez. G: HE 260 B L=180.0 cm Crit.: Acciaio_FlessTors $\gamma_M=1.05$ fyk/ $\gamma_M=2619$ kg/cm² ft=4300 kg/cm² :Verificato

X	cls	N	TY	TZ	MT	MY	MZ	My4	Mz4	Comb.
cm		kg	kg	kg	kg*m	kg*m	kg*m			
0	1	236	186	4781	-1	-8515	866	--	--	11

X	cls	Nr	Vyr	Vzr	Mry	Mrz	MTrd	SF_V.	SF_M	SF_Mt	SF
cm		kg	kg	kg	kg*m	kg*m	kg*m				
0	1	310212	137520	56813	33620	15776	986	12	3.2	>100	3.2

Asta: 1 [1051,1001] Sez. G: HE 260 B L=230.0 cm Crit.: Acciaio_FlessTors $\gamma_M=1.05$ fyk/ $\gamma_M=2619$ kg/cm² ft=4300 kg/cm² :Verificato

X	cls	N	TY	TZ	MT	MY	MZ	My4	Mz4	Comb.
cm		kg	kg	kg	kg*m	kg*m	kg*m			
230	1	63	-521	2293	-9	4336	1382	--	--	7

X	cls	Nr	Vyr	Vzr	Mry	Mrz	MTrd	SF_V.	SF_M	SF_Mt	SF
cm		kg	kg	kg	kg*m	kg*m	kg*m				
230	1	310212	137077	56630	33620	15776	986	25	4.6	>100	4.6

Asta: 1 [1009,1113] Sez. G: HE 260 B L=177.5 cm Crit.: Acciaio_FlessTors $\gamma M=1.05$ fyk/ $\gamma M=2619$ kg/cm² ft=4300 kg/cm² :**Verificato**

X	cls	N	TY	TZ	MT	MY	MZ	My4	Mz4	Comb.
cm		kg	kg	kg	kg*m	kg*m	kg*m			
0	1	-271	111	-5803	14	12570	759	--	--	1

X	cls	Nr	Vyr	Vzr	Mry	Mrz	MTrd	SF_V.	SF_M	SF_Mt	SF
cm		kg	kg	kg	kg*m	kg*m	kg*m				
0	1	310212	136845	56534	33620	15776	986	9.7	2.4	73	2.4

Asta: 1 [1052,1053] Sez. G: HE 260 B L=180.0 cm Crit.: Acciaio_FlessTors $\gamma M=1.05$ fyk/ $\gamma M=2619$ kg/cm² ft=4300 kg/cm² :**Verificato**

X	cls	N	TY	TZ	MT	MY	MZ	My4	Mz4	Comb.
cm		kg	kg	kg	kg*m	kg*m	kg*m			
180	1	245	-7	-1359	-1	-6574	1103	--	--	7

X	cls	Nr	Vyr	Vzr	Mry	Mrz	MTrd	SF_V.	SF_M	SF_Mt	SF
cm		kg	kg	kg	kg*m	kg*m	kg*m				
180	1	310212	137555	56827	33620	15776	986	42	3.8	>100	3.8

Asta: 1 [1053,1054] Sez. G: HE 260 B L=180.0 cm Crit.: Acciaio_FlessTors $\gamma M=1.05$ fyk/ $\gamma M=2619$ kg/cm² ft=4300 kg/cm² :**Verificato**

X	cls	N	TY	TZ	MT	MY	MZ	My4	Mz4	Comb.
cm		kg	kg	kg	kg*m	kg*m	kg*m			
0	1	306	14	731	0	-6575	1151	--	--	7

X	cls	Nr	Vyr	Vzr	Mry	Mrz	MTrd	SF_V.	SF_M	SF_Mt	SF
cm		kg	kg	kg	kg*m	kg*m	kg*m				
0	1	310212	137578	56837	33620	15776	986	78	3.7	>100	3.7

Asta: 1 [1054,1003] Sez. G: HE 260 B L=180.0 cm Crit.: Acciaio_FlessTors $\gamma M=1.05$ fyk/ $\gamma M=2619$ kg/cm² ft=4300 kg/cm² :**Verificato**

X	cls	N	TY	TZ	MT	MY	MZ	My4	Mz4	Comb.
cm		kg	kg	kg	kg*m	kg*m	kg*m			
180	1	152	-112	-5521	3	-10155	775	--	--	11

X	cls	Nr	Vyr	Vzr	Mry	Mrz	MTrd	SF_V.	SF_M	SF_Mt	SF
cm		kg	kg	kg	kg*m	kg*m	kg*m				
180	1	310212	137438	56779	33620	15776	986	10	2.8	>100	2.8

Asta: 1 [1055,1056] Sez. G: HE 260 B L=180.0 cm Crit.: Acciaio_FlessTors $\gamma M=1.05$ fyk/ $\gamma M=2619$ kg/cm² ft=4300 kg/cm² :**Verificato**

X	cls	N	TY	TZ	MT	MY	MZ	My4	Mz4	Comb.
cm		kg	kg	kg	kg*m	kg*m	kg*m			
180	1	302	7	-1118	-0	-7001	1096	--	--	7

X	cls	Nr	Vyr	Vzr	Mry	Mrz	MTrd	SF_V.	SF_M	SF_Mt	SF
cm		kg	kg	kg	kg*m	kg*m	kg*m				
180	1	310212	137582	56839	33620	15776	986	51	3.6	>100	3.6

Asta: 1 [1056,1058] Sez. G: HE 260 B L=180.0 cm Crit.: Acciaio_FlessTors $\gamma M=1.05$ fyk/ $\gamma M=2619$ kg/cm² ft=4300 kg/cm² :**Verificato**

X	cls	N	TY	TZ	MT	MY	MZ	My4	Mz4	Comb.
cm		kg	kg	kg	kg*m	kg*m	kg*m			
0	1	358	16	1012	1	-7004	1151	--	--	7

X	cls	Nr	Vyr	Vzr	Mry	Mrz	MTrd	SF_V.	SF_M	SF_Mt	SF
cm		kg	kg	kg	kg*m	kg*m	kg*m				
0	1	310212	137561	56830	33620	15776	986	56	3.5	>100	3.5

Asta: 1 [1058,1005] Sez. G: HE 260 B L=180.0 cm Crit.: Acciaio_FlessTors $\gamma M=1.05$ fyk/ $\gamma M=2619$ kg/cm² ft=4300 kg/cm² :**Verificato**

X	cls	N	TY	TZ	MT	MY	MZ	My4	Mz4	Comb.
cm		kg	kg	kg	kg*m	kg*m	kg*m			
180	1	185	-146	-4952	2	-9131	805	--	--	11

X	cls	Nr	Vyr	Vzr	Mry	Mrz	MTrd	SF_V.	SF_M	SF_Mt	SF
cm		kg	kg	kg	kg*m	kg*m	kg*m				
180	1	310212	137480	56796	33620	15776	986	11	3.1	>100	3.1

Asta: 1 [1099,1101] Sez. G: HE 260 B L=180.0 cm Crit.: Acciaio_FlessTors $\gamma M=1.05$ fyk/ $\gamma M=2619$ kg/cm² ft=4300 kg/cm² :**Verificato**

X	cls	N	TY	TZ	MT	MY	MZ	My4	Mz4	Comb.
cm		kg	kg	kg	kg*m	kg*m	kg*m			
180	1	356	4	-1328	-1	-7189	1097	--	--	7

X	cls	Nr	Vyr	Vzr	Mry	Mrz	MTrd	SF_V.	SF_M	SF_Mt	SF
cm		kg	kg	kg	kg*m	kg*m	kg*m				
180	1	310212	137537	56820	33620	15776	986	43	3.5	>100	3.5

Asta: 1 [1101,1103] Sez. G: HE 260 B L=180.0 cm Crit.: Acciaio_FlessTors $\gamma M=1.05$ fyk/ $\gamma M=2619$ kg/cm² ft=4300 kg/cm² :**Verificato**

X	cls	N	TY	TZ	MT	MY	MZ	My4	Mz4	Comb.
cm		kg	kg	kg	kg*m	kg*m	kg*m			
0	1	409	10	779	-0	-7191	1148	--	--	7

X	cls	Nr	Vyr	Vzr	Mry	Mrz	MTrd	SF_V.	SF_M	SF_Mt	SF
cm		kg	kg	kg	kg*m	kg*m	kg*m				
0	1	310212	137599	56845	33620	15776	986	73	3.5	>100	3.5

Asta: 1 [1103,1007] Sez. G: HE 260 B L=180.0 cm Crit.: Acciaio_FlessTors $\gamma M=1.05$ fyk/ $\gamma M=2619$ kg/cm² ft=4300 kg/cm² :**Verificato**

X	cls	N	TY	TZ	MT	MY	MZ	My4	Mz4	Comb.
cm		kg	kg	kg	kg*m	kg*m	kg*m			
180	1	229	-157	-4952	2	-9214	816	--	--	11

X	cls	Nr	Vyr	Vzr	Mry	Mrz	MTrd	SF_V.	SF_M	SF_Mt	SF
cm		kg	kg	kg	kg*m	kg*m	kg*m				
180	1	310212	137470	56792	33620	15776	986	11	3.1	>100	3.1

Asta: 1 [1106,1107] Sez. G: HE 260 B L=180.0 cm Crit.: Acciaio_FlessTors $\gamma M=1.05$ fyk/ $\gamma M=2619$ kg/cm² ft=4300 kg/cm² :**Verificato**

X	cls	N	TY	TZ	MT	MY	MZ	My4	Mz4	Comb.
cm		kg	kg	kg	kg*m	kg*m	kg*m			
180	1	368	4	-452	0	-5596	1100	--	--	7

X	cls	Nr	Vyr	Vzr	Mry	Mrz	MTrd	SF_V.	SF_M	SF_Mt	SF
cm		kg	kg	kg	kg*m	kg*m	kg*m				
180	1	310212	137595	56844	33620	15776	986	>100	4.2	>100	4.2

Asta: 1 [1107,1110] Sez. G: HE 260 B L=180.0 cm Crit.: Acciaio_FlessTors $\gamma M=1.05$ fyk/ $\gamma M=2619$ kg/cm² ft=4300 kg/cm² :**Verificato**

X	cls	N	TY	TZ	MT	MY	MZ	My4	Mz4	Comb.
cm		kg	kg	kg	kg*m	kg*m	kg*m			
0	1	338	27	1673	1	-5609	1148	--	--	7

X	cls	Nr	Vyr	Vzr	Mry	Mrz	MTrd	SF_V.	SF_M	SF_Mt	SF
cm		kg	kg	kg	kg*m	kg*m	kg*m				
0	1	310212	137520	56813	33620	15776	986	34	4.2	>100	4.2

Asta: 1 [1110,1009] Sez. G: HE 260 B L=180.0 cm Crit.: Acciaio_FlessTors $\gamma M=1.05$ fyk/ $\gamma M=2619$ kg/cm² ft=4300 kg/cm² :**Verificato**

X	cls	N	TY	TZ	MT	MY	MZ	My4	Mz4	Comb.
cm		kg	kg	kg	kg*m	kg*m	kg*m			
180	1	113	-49	6599	-13	10083	690	--	--	1

X	cls	Nr	Vyr	Vzr	Mry	Mrz	MTrd	SF_V.	SF_M	SF_Mt	SF
cm		kg	kg	kg	kg*m	kg*m	kg*m				
180	1	310212	136850	56536	33620	15776	986	8.6	2.9	73	2.9

Asta: 1 [1113,1114] Sez. G: HE 260 B L=177.5 cm Crit.: Acciaio_FlessTors $\gamma M=1.05$ fyk/ $\gamma M=2619$ kg/cm² ft=4300 kg/cm² :**Verificato**

X	cls	N	TY	TZ	MT	MY	MZ	My4	Mz4	Comb.
cm		kg	kg	kg	kg*m	kg*m	kg*m			
0	1	128	623	-1697	-2	2441	1273	--	--	7

X	cls	Nr	Vyr	Vzr	Mry	Mrz	MTrd	SF_V.	SF_M	SF_Mt	SF
cm		kg	kg	kg	kg*m	kg*m	kg*m				
0	1	310212	137472	56793	33620	15776	986	33	6.5	>100	6.5

Asta: 2 [1011,1120] Sez. G: HE 260 B L=180.0 cm Crit.: Acciaio_FlessTors $\gamma M=1.05$ fyk/ $\gamma M=2619$ kg/cm² ft=4300 kg/cm² :**Verificato**

X	cls	N	TY	TZ	MT	MY	MZ	My4	Mz4	Comb.
cm		kg	kg	kg	kg*m	kg*m	kg*m			
0	1	275	12	-5552	-18	5682	696	--	--	2

X	cls	Nr	Vyr	Vzr	Mry	Mrz	MTrd	SF_V.	SF_M	SF_Mt	SF
cm		kg	kg	kg	kg*m	kg*m	kg*m				
0	1	310212	136602	56434	33620	15776	986	10	4.7	55	4.7

Asta: 2 [1013,1127] Sez. G: HE 260 B L=180.0 cm Crit.: Acciaio_FlessTors $\gamma M=1.05$ fyk/ $\gamma M=2619$ kg/cm² ft=4300 kg/cm² :**Verificato**

X	cls	N	TY	TZ	MT	MY	MZ	My4	Mz4	Comb.
cm		kg	kg	kg	kg*m	kg*m	kg*m			
0	1	192	-125	2906	-6	-6178	553	--	--	13

X	cls	Nr	Vyr	Vzr	Mry	Mrz	MTrd	SF_V.	SF_M	SF_Mt	SF
cm		kg	kg	kg	kg*m	kg*m	kg*m				
0	1	310212	137272	56711	33620	15776	986	20	4.6	>100	4.6

Asta: 2 [1015,1131] Sez. G: HE 260 B L=180.0 cm Crit.: Acciaio_FlessTors $\gamma M=1.05$ fyk/ $\gamma M=2619$ kg/cm² ft=4300 kg/cm² :**Verificato**

X	cls	N	TY	TZ	MT	MY	MZ	My4	Mz4	Comb.
cm		kg	kg	kg	kg*m	kg*m	kg*m			
0	1	301	-100	-5805	-18	6367	542	--	--	2

X	cls	Nr	Vyr	Vzr	Mry	Mrz	MTrd	SF_V.	SF_M	SF_Mt	SF
cm		kg	kg	kg	kg*m	kg*m	kg*m				
0	1	310212	136573	56422	33620	15776	986	9.7	4.4	54	4.4

Asta: 2 [1017,1152] Sez. G: HE 260 B L=180.0 cm Crit.: Acciaio_FlessTors $\gamma M=1.05$ fyk/ $\gamma M=2619$ kg/cm² ft=4300 kg/cm² :**Verificato**

X	cls	N	TY	TZ	MT	MY	MZ	My4	Mz4	Comb.
cm		kg	kg	kg	kg*m	kg*m	kg*m			
0	1	288	-143	2893	-6	-5903	530	--	--	13

X	cls	Nr	Vyr	Vzr	Mry	Mrz	MTrd	SF_V.	SF_M	SF_Mt	SF
cm		kg	kg	kg	kg*m	kg*m	kg*m				
0	1	310212	137255	56704	33620	15776	986	20	4.8	>100	4.8

Asta: 2 [1116,1011] Sez. G: HE 260 B L=230.0 cm Crit.: Acciaio_FlessTors $\gamma M=1.05$ fyk/ $\gamma M=2619$ kg/cm² ft=4300 kg/cm² :**Verificato**

X	cls	N	TY	TZ	MT	MY	MZ	My4	Mz4	Comb.
cm		kg	kg	kg	kg*m	kg*m	kg*m			
230	1	121	-298	2710	14	5018	792	--	--	2

X	cls	Nr	Vyr	Vzr	Mry	Mrz	MTrd	SF_V.	SF_M	SF_Mt	SF
cm		kg	kg	kg	kg*m	kg*m	kg*m				

X	cls	Nr	Vyr	Vzr	Mry	Mrz	MTrd	SF_V.	SF_M	SF_Mt	SF
230	1	310212	136818	56523	33620	15776	986	21	5.0	70	5.0

Asta: 2 [1019,1160] Sez. G: HE 260 B L=177.5 cm Crit.: Acciaio_FlessTors $\gamma M=1.05$ fyk/ $\gamma M=2619$ kg/cm² ft=4300 kg/cm² :**Verificato**

X	cls	N	TY	TZ	MT	MY	MZ	My4	Mz4	Comb.
cm		kg	kg	kg	kg*m	kg*m	kg*m			
0	1	-238	-218	-5585	-18	12143	458	--	--	2

X	cls	Nr	Vyr	Vzr	Mry	Mrz	MTrd	SF_V.	SF_M	SF_Mt	SF
cm		kg	kg	kg	kg*m	kg*m	kg*m				
0	1	310212	136585	56427	33620	15776	986	10	2.6	54	2.6

Asta: 2 [1120,1122] Sez. G: HE 260 B L=180.0 cm Crit.: Acciaio_FlessTors $\gamma M=1.05$ fyk/ $\gamma M=2619$ kg/cm² ft=4300 kg/cm² :**Verificato**

X	cls	N	TY	TZ	MT	MY	MZ	My4	Mz4	Comb.
cm		kg	kg	kg	kg*m	kg*m	kg*m			
180	1	288	-3	-1259	1	-6186	1159	--	--	9

X	cls	Nr	Vyr	Vzr	Mry	Mrz	MTrd	SF_V.	SF_M	SF_Mt	SF
cm		kg	kg	kg	kg*m	kg*m	kg*m				
180	1	310212	137567	56833	33620	15776	986	45	3.9	>100	3.9

Asta: 2 [1122,1124] Sez. G: HE 260 B L=180.0 cm Crit.: Acciaio_FlessTors $\gamma M=1.05$ fyk/ $\gamma M=2619$ kg/cm² ft=4300 kg/cm² :**Verificato**

X	cls	N	TY	TZ	MT	MY	MZ	My4	Mz4	Comb.
cm		kg	kg	kg	kg*m	kg*m	kg*m			
0	1	372	10	585	-1	-6189	1137	--	--	9

X	cls	Nr	Vyr	Vzr	Mry	Mrz	MTrd	SF_V.	SF_M	SF_Mt	SF
cm		kg	kg	kg	kg*m	kg*m	kg*m				
0	1	310212	137561	56830	33620	15776	986	97	3.9	>100	3.9

Asta: 2 [1124,1013] Sez. G: HE 260 B L=180.0 cm Crit.: Acciaio_FlessTors $\gamma M=1.05$ fyk/ $\gamma M=2619$ kg/cm² ft=4300 kg/cm² :**Verificato**

X	cls	N	TY	TZ	MT	MY	MZ	My4	Mz4	Comb.
cm		kg	kg	kg	kg*m	kg*m	kg*m			
180	1	188	90	-3356	5	-7040	605	--	--	13

X	cls	Nr	Vyr	Vzr	Mry	Mrz	MTrd	SF_V.	SF_M	SF_Mt	SF
cm		kg	kg	kg	kg*m	kg*m	kg*m				
180	1	310212	137316	56729	33620	15776	986	17	4.0	>100	4.0

Asta: 2 [1127,1128] Sez. G: HE 260 B L=180.0 cm Crit.: Acciaio_FlessTors $\gamma M=1.05$ fyk/ $\gamma M=2619$ kg/cm² ft=4300 kg/cm² :**Verificato**

X	cls	N	TY	TZ	MT	MY	MZ	My4	Mz4	Comb.
cm		kg	kg	kg	kg*m	kg*m	kg*m			
180	1	389	-11	-991	0	-6650	1173	--	--	9

X	cls	Nr	Vyr	Vzr	Mry	Mrz	MTrd	SF_V.	SF_M	SF_Mt	SF
cm		kg	kg	kg	kg*m	kg*m	kg*m				
180	1	310212	137581	56838	33620	15776	986	57	3.7	>100	3.7

Asta: 2 [1128,1129] Sez. G: HE 260 B L=180.0 cm Crit.: Acciaio_FlessTors $\gamma M=1.05$ fyk/ $\gamma M=2619$ kg/cm² ft=4300 kg/cm² :**Verificato**

X	cls	N	TY	TZ	MT	MY	MZ	My4	Mz4	Comb.
cm		kg	kg	kg	kg*m	kg*m	kg*m			
0	1	448	-5	899	-1	-6655	1125	--	--	9

X	cls	Nr	Vyr	Vzr	Mry	Mrz	MTrd	SF_V.	SF_M	SF_Mt	SF
cm		kg	kg	kg	kg*m	kg*m	kg*m				
0	1	310212	137559	56829	33620	15776	986	63	3.7	>100	3.7

Asta: 2 [1129,1015] Sez. G: HE 260 B L=180.0 cm Crit.: Acciaio_FlessTors $\gamma M=1.05$ fyk/ $\gamma M=2619$ kg/cm² ft=4300 kg/cm² :**Verificato**

X	cls	N	TY	TZ	MT	MY	MZ	My4	Mz4	Comb.
cm		kg	kg	kg	kg*m	kg*m	kg*m			
180	1	226	110	-2906	6	-6235	584	--	--	13

X	cls	Nr	Vyr	Vzr	Mry	Mrz	MTrd	SF_V.	SF_M	SF_Mt	SF
cm		kg	kg	kg	kg*m	kg*m	kg*m				
180	1	310212	137277	56713	33620	15776	986	20	4.5	>100	4.5

Asta: 2 [1131,1132] Sez. G: HE 260 B L=180.0 cm Crit.: Acciaio_FlessTors $\gamma M=1.05$ fyk/ $\gamma M=2619$ kg/cm² ft=4300 kg/cm² :**Verificato**

X	cls	N	TY	TZ	MT	MY	MZ	My4	Mz4	Comb.
cm		kg	kg	kg	kg*m	kg*m	kg*m			
180	1	445	-22	-1212	1	-6832	1183	--	--	9

X	cls	Nr	Vyr	Vzr	Mry	Mrz	MTrd	SF_V.	SF_M	SF_Mt	SF
cm		kg	kg	kg	kg*m	kg*m	kg*m				
180	1	310212	137533	56818	33620	15776	986	47	3.6	>100	3.6

Asta: 2 [1132,1134] Sez. G: HE 260 B L=180.0 cm Crit.: Acciaio_FlessTors $\gamma M=1.05$ fyk/ $\gamma M=2619$ kg/cm² ft=4300 kg/cm² :**Verificato**

X	cls	N	TY	TZ	MT	MY	MZ	My4	Mz4	Comb.
cm		kg	kg	kg	kg*m	kg*m	kg*m			
0	1	493	-10	657	0	-6836	1121	--	--	9

X	cls	Nr	Vyr	Vzr	Mry	Mrz	MTrd	SF_V.	SF_M	SF_Mt	SF
cm		kg	kg	kg	kg*m	kg*m	kg*m				
0	1	310212	137600	56846	33620	15776	986	87	3.6	>100	3.6

Asta: 2 [1134,1017] Sez. G: HE 260 B L=180.0 cm Crit.: Acciaio_FlessTors $\gamma M=1.05$ fyk/ $\gamma M=2619$ kg/cm² ft=4300 kg/cm² :**Verificato**

X	cls	N	TY	TZ	MT	MY	MZ	My4	Mz4	Comb.
cm		kg	kg	kg	kg*m	kg*m	kg*m			
180	1	255	113	-2948	6	-6469	582	--	--	13

X	cls	Nr	Vyr	Vzr	Mry	Mrz	MTrd	SF_V.	SF_M	SF_Mt	SF
cm		kg	kg	kg	kg*m	kg*m	kg*m				
180	1	310212	137290	56718	33620	15776	986	19	4.3	>100	4.3

Asta: 2 [1152,1155] Sez. G: HE 260 B L=180.0 cm Crit.: Acciaio_FlessTors $\gamma M=1.05$ fyk/ $\gamma M=2619$ kg/cm² ft=4300 kg/cm² :**Verificato**

X	cls	N	TY	TZ	MT	MY	MZ	My4	Mz4	Comb.
cm		kg	kg	kg	kg*m	kg*m	kg*m			
180	1	434	-21	-325	0	-5237	1173	--	--	9

X	cls	Nr	Vyr	Vzr	Mry	Mrz	MTrd	SF_V.	SF_M	SF_Mt	SF
cm		kg	kg	kg	kg*m	kg*m	kg*m				
180	1	310212	137597	56845	33620	15776	986	>100	4.3	>100	4.3

Asta: 2 [1155,1157] Sez. G: HE 260 B L=180.0 cm Crit.: Acciaio_FlessTors $\gamma M=1.05$ fyk/ $\gamma M=2619$ kg/cm² ft=4300 kg/cm² :**Verificato**

X	cls	N	TY	TZ	MT	MY	MZ	My4	Mz4	Comb.
cm		kg	kg	kg	kg*m	kg*m	kg*m			
0	1	392	-33	1551	-1	-5251	1098	--	--	9

X	cls	Nr	Vyr	Vzr	Mry	Mrz	MTrd	SF_V.	SF_M	SF_Mt	SF
cm		kg	kg	kg	kg*m	kg*m	kg*m				
0	1	310212	137527	56816	33620	15776	986	37	4.4	>100	4.4

Asta: 2 [1157,1019] Sez. G: HE 260 B L=180.0 cm Crit.: Acciaio_FlessTors $\gamma M=1.05$ fyk/ $\gamma M=2619$ kg/cm² ft=4300 kg/cm² :**Verificato**

X	cls	N	TY	TZ	MT	MY	MZ	My4	Mz4	Comb.
cm		kg	kg	kg	kg*m	kg*m	kg*m			
180	1	137	88	6332	19	9691	556	--	--	2

X	cls	Nr	Vyr	Vzr	Mry	Mrz	MTrd	SF_V.	SF_M	SF_Mt	SF
cm		kg	kg	kg	kg*m	kg*m	kg*m				
180	1	310212	136563	56418	33620	15776	986	8.9	3.1	53	3.1

Asta: 2 [1160,1161] Sez. G: HE 260 B L=177.5 cm Crit.: Acciaio_FlessTors $\gamma M=1.05$ fyk/ $\gamma M=2619$ kg/cm² ft=4300 kg/cm² :**Verificato**

X	cls	N	TY	TZ	MT	MY	MZ	My4	Mz4	Comb.
cm		kg	kg	kg	kg*m	kg*m	kg*m			
0	1	120	736	-1655	3	2365	1437	--	--	9

X	cls	Nr	Vyr	Vzr	Mry	Mrz	MTrd	SF_V.	SF_M	SF_Mt	SF
cm		kg	kg	kg	kg*m	kg*m	kg*m				
0	1	310212	137449	56784	33620	15776	986	34	6.2	>100	6.2

Asta: 3 [1001,1081] Sez. G: HE 220 B L=150.0 cm Crit.: Acciaio_Pressflessione $\gamma M=1.05$ fyk/ $\gamma M=2619$ kg/cm² ft=4300 kg/cm² :**Verificato**

X	cls	N	TY	TZ	MT	MY	MZ	My4	Mz4	Comb.
cm		kg	kg	kg	kg*m	kg*m	kg*m			
0	1	1110	32	-1811	4	2906	780	--	--	8

X	cls	Nr	Vyr	Vzr	Mry	Mrz	MTrd	SF_V.	SF_M	SF_Mt	SF
cm		kg	kg	kg	kg*m	kg*m	kg*m				
0	1	238441	106186	42114	21670	10317	652	23	4.7	>100	4.7

Asta: 3 [1011,1118] Sez. G: HE 220 B L=134.3 cm Crit.: Acciaio_Pressflessione $\gamma M=1.05$ fyk/ $\gamma M=2619$ kg/cm² ft=4300 kg/cm² :**Verificato**

X	cls	N	TY	TZ	MT	MY	MZ	My4	Mz4	Comb.
cm		kg	kg	kg	kg*m	kg*m	kg*m			
0	1	-286	15	-2915	-1	8174	472	--	--	2

X	cls	Nr	Vyr	Vzr	Mry	Mrz	MTrd	SF_V.	SF_M	SF_Mt	SF
cm		kg	kg	kg	kg*m	kg*m	kg*m				
0	1	238441	106402	42200	21670	10317	652	14	2.4	>100	2.4

Asta: 3 [1022,1014] Sez. G: HE 220 B L=134.3 cm Crit.: Acciaio_Pressflessione $\gamma M=1.05$ fyk/ $\gamma M=2619$ kg/cm² ft=4300 kg/cm² :**Verificato**

X	cls	N	TY	TZ	MT	MY	MZ	My4	Mz4	Comb.
cm		kg	kg	kg	kg*m	kg*m	kg*m			
134	1	28	-405	959	1	1204	744	--	--	7

X	cls	Nr	Vyr	Vzr	Mry	Mrz	MTrd	SF_V.	SF_M	SF_Mt	SF
cm		kg	kg	kg	kg*m	kg*m	kg*m				
134	1	238441	106395	42197	21670	10317	652	44	7.8	>100	7.8

Asta: 3 [1014,1018] Sez. G: HE 220 B L=134.3 cm Crit.: Acciaio_Pressflessione $\gamma M=1.05$ fyk/ $\gamma M=2619$ kg/cm² ft=4300 kg/cm² :**Verificato**

X	cls	N	TY	TZ	MT	MY	MZ	My4	Mz4	Comb.
cm		kg	kg	kg	kg*m	kg*m	kg*m			
134	1	-112	-19	1931	0	3912	465	--	--	1

X	cls	Nr	Vyr	Vzr	Mry	Mrz	MTrd	SF_V.	SF_M	SF_Mt	SF
cm		kg	kg	kg	kg*m	kg*m	kg*m				
134	1	238441	106428	42210	21670	10317	652	22	4.4	>100	4.4

Asta: 3 [1018,1001] Sez. G: HE 220 B L=134.3 cm Crit.: Acciaio_Pressflessione $\gamma M=1.05$ fyk/ $\gamma M=2619$ kg/cm² ft=4300 kg/cm² :**Verificato**

X	cls	N	TY	TZ	MT	MY	MZ	My4	Mz4	Comb.
cm		kg	kg	kg	kg*m	kg*m	kg*m			
134	1	-23	79	2756	1	7530	358	--	--	1

X	cls	Nr	Vyr	Vzr	Mry	Mrz	MTrd	SF_V.	SF_M	SF_Mt	SF
cm		kg	kg	kg	kg*m	kg*m	kg*m				
134	1	238441	106380	42191	21670	10317	652	15	2.6	>100	2.6

Asta: 3 [1081,1080] Sez. G: HE 220 B L=150.0 cm Crit.: Acciaio_Pressflessione $\gamma_M=1.05$ fyk/ $\gamma_M=2619$ kg/cm²
ft=4300 kg/cm² : **Verificato**

X	cls	N	TY	TZ	MT	MY	MZ	My4	Mz4	Comb.
cm		kg	kg	kg	kg*m	kg*m	kg*m			
150	1	1354	-21	-1334	0	-1816	762	--	--	8

X	cls	Nr	Vyr	Vzr	Mry	Mrz	MTrd	SF_V.	SF_M	SF_Mt	SF
cm		kg	kg	kg	kg*m	kg*m	kg*m				
150	1	238441	106434	42213	21670	10317	652	32	6.1	>100	6.1

Asta: 3 [1080,1011] Sez. G: HE 220 B L=150.0 cm Crit.: Acciaio_Pressflessione $\gamma_M=1.05$ fyk/ $\gamma_M=2619$ kg/cm²
ft=4300 kg/cm² : **Verificato**

X	cls	N	TY	TZ	MT	MY	MZ	My4	Mz4	Comb.
cm		kg	kg	kg	kg*m	kg*m	kg*m			
150	1	1515	115	-1234	-7	-3775	589	--	--	8

X	cls	Nr	Vyr	Vzr	Mry	Mrz	MTrd	SF_V.	SF_M	SF_Mt	SF
cm		kg	kg	kg	kg*m	kg*m	kg*m				
150	1	238441	106004	42042	21670	10317	652	34	4.2	95	4.2

Asta: 3 [1118,1045] Sez. G: HE 220 B L=134.3 cm Crit.: Acciaio_Pressflessione $\gamma_M=1.05$ fyk/ $\gamma_M=2619$ kg/cm²
ft=4300 kg/cm² : **Verificato**

X	cls	N	TY	TZ	MT	MY	MZ	My4	Mz4	Comb.
cm		kg	kg	kg	kg*m	kg*m	kg*m			
0	1	-240	24	-1842	1	3955	759	--	--	9

X	cls	Nr	Vyr	Vzr	Mry	Mrz	MTrd	SF_V.	SF_M	SF_Mt	SF
cm		kg	kg	kg	kg*m	kg*m	kg*m				
0	1	238441	106395	42197	21670	10317	652	23	3.9	>100	3.9

Asta: 3 [1045,1164] Sez. G: HE 220 B L=134.3 cm Crit.: Acciaio_Pressflessione $\gamma_M=1.05$ fyk/ $\gamma_M=2619$ kg/cm²
ft=4300 kg/cm² : **Verificato**

X	cls	N	TY	TZ	MT	MY	MZ	My4	Mz4	Comb.
cm		kg	kg	kg	kg*m	kg*m	kg*m			
0	1	-19	381	-1224	-2	1560	726	--	--	9

X	cls	Nr	Vyr	Vzr	Mry	Mrz	MTrd	SF_V.	SF_M	SF_Mt	SF
cm		kg	kg	kg	kg*m	kg*m	kg*m				
0	1	238441	106324	42169	21670	10317	652	34	7.0	>100	7.0

Asta: 4 [1003,1089] Sez. G: HE 220 B L=150.0 cm Crit.: Acciaio_Pressflessione $\gamma_M=1.05$ fyk/ $\gamma_M=2619$ kg/cm²
ft=4300 kg/cm² : **Verificato**

X	cls	N	TY	TZ	MT	MY	MZ	My4	Mz4	Comb.
cm		kg	kg	kg	kg*m	kg*m	kg*m			
0	1	904	15	-1766	0	2792	752	--	--	8

X	cls	Nr	Vyr	Vzr	Mry	Mrz	MTrd	SF_V.	SF_M	SF_Mt	SF
cm		kg	kg	kg	kg*m	kg*m	kg*m				
0	1	238441	106434	42213	21670	10317	652	24	4.9	>100	4.9

Asta: 4 [1013,1125] Sez. G: HE 220 B L=134.3 cm Crit.: Acciaio_Pressflessione $\gamma_M=1.05$ fyk/ $\gamma_M=2619$ kg/cm²
ft=4300 kg/cm² : **Verificato**

X	cls	N	TY	TZ	MT	MY	MZ	My4	Mz4	Comb.
cm		kg	kg	kg	kg*m	kg*m	kg*m			
0	1	-628	8	-2852	4	8261	450	--	--	2

X	cls	Nr	Vyr	Vzr	Mry	Mrz	MTrd	SF_V.	SF_M	SF_Mt	SF
cm		kg	kg	kg	kg*m	kg*m	kg*m				

X	cls	Nr	Vyr	Vzr	Mry	Mrz	MTrd	SF_V.	SF_M	SF_Mt	SF
0	1	238441	106189	42116	21670	10317	652	15	2.3	>100	2.3

Asta: 4 [1023,1028] Sez. G: HE 220 B L=134.3 cm Crit.: Acciaio_Pressflessione $\gamma_M=1.05$ fyk/ $\gamma_M=2619$ kg/cm²
ft=4300 kg/cm² :**Verificato**

X	cls	N	TY	TZ	MT	MY	MZ	My4	Mz4	Comb.
cm		kg	kg	kg	kg*m	kg*m	kg*m			
134	1	-565	-225	962	6	1208	597	--	--	7

X	cls	Nr	Vyr	Vzr	Mry	Mrz	MTrd	SF_V.	SF_M	SF_Mt	SF
cm		kg	kg	kg	kg*m	kg*m	kg*m				
134	1	238441	106085	42074	21670	10317	652	44	8.6	>100	8.6

Asta: 4 [1028,1029] Sez. G: HE 220 B L=134.3 cm Crit.: Acciaio_Pressflessione $\gamma_M=1.05$ fyk/ $\gamma_M=2619$ kg/cm²
ft=4300 kg/cm² :**Verificato**

X	cls	N	TY	TZ	MT	MY	MZ	My4	Mz4	Comb.
cm		kg	kg	kg	kg*m	kg*m	kg*m			
134	1	-704	-53	1918	-1	3993	440	--	--	1

X	cls	Nr	Vyr	Vzr	Mry	Mrz	MTrd	SF_V.	SF_M	SF_Mt	SF
cm		kg	kg	kg	kg*m	kg*m	kg*m				
134	1	238441	106366	42186	21670	10317	652	22	4.4	>100	4.4

Asta: 4 [1029,1003] Sez. G: HE 220 B L=134.3 cm Crit.: Acciaio_Pressflessione $\gamma_M=1.05$ fyk/ $\gamma_M=2619$ kg/cm²
ft=4300 kg/cm² :**Verificato**

X	cls	N	TY	TZ	MT	MY	MZ	My4	Mz4	Comb.
cm		kg	kg	kg	kg*m	kg*m	kg*m			
134	1	-713	-12	2658	-4	7479	455	--	--	1

X	cls	Nr	Vyr	Vzr	Mry	Mrz	MTrd	SF_V.	SF_M	SF_Mt	SF
cm		kg	kg	kg	kg*m	kg*m	kg*m				
134	1	238441	106204	42121	21670	10317	652	16	2.5	>100	2.5

Asta: 4 [1089,1088] Sez. G: HE 220 B L=150.0 cm Crit.: Acciaio_Pressflessione $\gamma_M=1.05$ fyk/ $\gamma_M=2619$ kg/cm²
ft=4300 kg/cm² :**Verificato**

X	cls	N	TY	TZ	MT	MY	MZ	My4	Mz4	Comb.
cm		kg	kg	kg	kg*m	kg*m	kg*m			
150	1	1021	2	-1313	-0	-1828	728	--	--	8

X	cls	Nr	Vyr	Vzr	Mry	Mrz	MTrd	SF_V.	SF_M	SF_Mt	SF
cm		kg	kg	kg	kg*m	kg*m	kg*m				
150	1	238441	106446	42218	21670	10317	652	32	6.3	>100	6.3

Asta: 4 [1088,1013] Sez. G: HE 220 B L=150.0 cm Crit.: Acciaio_Pressflessione $\gamma_M=1.05$ fyk/ $\gamma_M=2619$ kg/cm²
ft=4300 kg/cm² :**Verificato**

X	cls	N	TY	TZ	MT	MY	MZ	My4	Mz4	Comb.
cm		kg	kg	kg	kg*m	kg*m	kg*m			
150	1	950	-18	-1208	0	-3744	754	--	--	8

X	cls	Nr	Vyr	Vzr	Mry	Mrz	MTrd	SF_V.	SF_M	SF_Mt	SF
cm		kg	kg	kg	kg*m	kg*m	kg*m				
150	1	238441	106443	42216	21670	10317	652	35	4.0	>100	4.0

Asta: 4 [1125,1172] Sez. G: HE 220 B L=134.3 cm Crit.: Acciaio_Pressflessione $\gamma_M=1.05$ fyk/ $\gamma_M=2619$ kg/cm²
ft=4300 kg/cm² :**Verificato**

X	cls	N	TY	TZ	MT	MY	MZ	My4	Mz4	Comb.
cm		kg	kg	kg	kg*m	kg*m	kg*m			
0	1	-494	93	-1841	2	4027	726	--	--	9

X	cls	Nr	Vyr	Vzr	Mry	Mrz	MTrd	SF_V.	SF_M	SF_Mt	SF
cm		kg	kg	kg	kg*m	kg*m	kg*m				
0	1	238441	106298	42159	21670	10317	652	23	3.9	>100	3.9

Asta: 4 [1172,1171] Sez. G: HE 220 B L=134.3 cm Crit.: Acciaio_Pressflessione $\gamma_M=1.05$ fyk/ $\gamma_M=2619$ kg/cmq
ft=4300 kg/cmq :**Verificato**

X	cls	N	TY	TZ	MT	MY	MZ	My4	Mz4	Comb.
cm		kg	kg	kg	kg*m	kg*m	kg*m			
0	1	-500	227	-1282	-6	1639	599	--	--	9

X	cls	Nr	Vyr	Vzr	Mry	Mrz	MTrd	SF_V.	SF_M	SF_Mt	SF
cm		kg	kg	kg	kg*m	kg*m	kg*m				
0	1	238441	106083	42073	21670	10317	652	33	7.4	>100	7.4

Asta: 5 [1005,1097] Sez. G: HE 220 B L=150.0 cm Crit.: Acciaio_Pressflessione $\gamma_M=1.05$ fyk/ $\gamma_M=2619$ kg/cmq
ft=4300 kg/cmq :**Verificato**

X	cls	N	TY	TZ	MT	MY	MZ	My4	Mz4	Comb.
cm		kg	kg	kg	kg*m	kg*m	kg*m			
0	1	990	5	-1754	1	2832	742	--	--	8

X	cls	Nr	Vyr	Vzr	Mry	Mrz	MTrd	SF_V.	SF_M	SF_Mt	SF
cm		kg	kg	kg	kg*m	kg*m	kg*m				
0	1	238441	106387	42194	21670	10317	652	24	4.8	>100	4.8

Asta: 5 [1015,1147] Sez. G: HE 220 B L=134.3 cm Crit.: Acciaio_Pressflessione $\gamma_M=1.05$ fyk/ $\gamma_M=2619$ kg/cmq
ft=4300 kg/cmq :**Verificato**

X	cls	N	TY	TZ	MT	MY	MZ	My4	Mz4	Comb.
cm		kg	kg	kg	kg*m	kg*m	kg*m			
0	1	-643	22	-2878	3	8366	468	--	--	2

X	cls	Nr	Vyr	Vzr	Mry	Mrz	MTrd	SF_V.	SF_M	SF_Mt	SF
cm		kg	kg	kg	kg*m	kg*m	kg*m				
0	1	238441	106254	42141	21670	10317	652	15	2.3	>100	2.3

Asta: 5 [1037,1038] Sez. G: HE 220 B L=134.3 cm Crit.: Acciaio_Pressflessione $\gamma_M=1.05$ fyk/ $\gamma_M=2619$ kg/cmq
ft=4300 kg/cmq :**Verificato**

X	cls	N	TY	TZ	MT	MY	MZ	My4	Mz4	Comb.
cm		kg	kg	kg	kg*m	kg*m	kg*m			
134	1	-546	-232	1020	6	1287	602	--	--	7

X	cls	Nr	Vyr	Vzr	Mry	Mrz	MTrd	SF_V.	SF_M	SF_Mt	SF
cm		kg	kg	kg	kg*m	kg*m	kg*m				
134	1	238441	106035	42054	21670	10317	652	41	8.3	>100	8.3

Asta: 5 [1038,1059] Sez. G: HE 220 B L=134.3 cm Crit.: Acciaio_Pressflessione $\gamma_M=1.05$ fyk/ $\gamma_M=2619$ kg/cmq
ft=4300 kg/cmq :**Verificato**

X	cls	N	TY	TZ	MT	MY	MZ	My4	Mz4	Comb.
cm		kg	kg	kg	kg*m	kg*m	kg*m			
134	1	-721	-55	1938	-1	4046	439	--	--	1

X	cls	Nr	Vyr	Vzr	Mry	Mrz	MTrd	SF_V.	SF_M	SF_Mt	SF
cm		kg	kg	kg	kg*m	kg*m	kg*m				
134	1	238441	106385	42193	21670	10317	652	22	4.3	>100	4.3

Asta: 5 [1059,1005] Sez. G: HE 220 B L=134.3 cm Crit.: Acciaio_Pressflessione $\gamma_M=1.05$ fyk/ $\gamma_M=2619$ kg/cmq
ft=4300 kg/cmq :**Verificato**

X	cls	N	TY	TZ	MT	MY	MZ	My4	Mz4	Comb.
cm		kg	kg	kg	kg*m	kg*m	kg*m			
134	1	-730	-21	2678	-3	7559	467	--	--	1

X	cls	Nr	Vyr	Vzr	Mry	Mrz	MTrd	SF_V.	SF_M	SF_Mt	SF
cm		kg	kg	kg	kg*m	kg*m	kg*m				
134	1	238441	106253	42141	21670	10317	652	16	2.5	>100	2.5

Asta: 5 [1097,1096] Sez. G: HE 220 B L=150.0 cm Crit.: Acciaio_Pressflessione $\gamma_M=1.05$ fyk/ $\gamma_M=2619$ kg/cmq
ft=4300 kg/cmq :**Verificato**

X	cls	N	TY	TZ	MT	MY	MZ	My4	Mz4	Comb.
cm		kg	kg	kg	kg*m	kg*m	kg*m			
150	1	1121	-2	-1301	-0	-1754	738	--	--	8

X	cls	Nr	Vyr	Vzr	Mry	Mrz	MTrd	SF_V.	SF_M	SF_Mt	SF
cm		kg	kg	kg	kg*m	kg*m	kg*m				
150	1	238441	106446	42217	21670	10317	652	32	6.4	>100	6.4

Asta: 5 [1096,1015] Sez. G: HE 220 B L=150.0 cm Crit.: Acciaio_Pressflessione $\gamma M=1.05$ fyk/ $\gamma M=2619$ kg/cmq
ft=4300 kg/cmq : **Verificato**

X	cls	N	TY	TZ	MT	MY	MZ	My4	Mz4	Comb.
cm		kg	kg	kg	kg*m	kg*m	kg*m			
150	1	1045	3	-1197	-1	-3652	735	--	--	8

X	cls	Nr	Vyr	Vzr	Mry	Mrz	MTrd	SF_V.	SF_M	SF_Mt	SF
cm		kg	kg	kg	kg*m	kg*m	kg*m				
150	1	238441	106391	42196	21670	10317	652	35	4.1	>100	4.1

Asta: 5 [1147,1180] Sez. G: HE 220 B L=134.3 cm Crit.: Acciaio_Pressflessione $\gamma M=1.05$ fyk/ $\gamma M=2619$ kg/cmq
ft=4300 kg/cmq : **Verificato**

X	cls	N	TY	TZ	MT	MY	MZ	My4	Mz4	Comb.
cm		kg	kg	kg	kg*m	kg*m	kg*m			
0	1	-476	95	-1903	2	4194	731	--	--	9

X	cls	Nr	Vyr	Vzr	Mry	Mrz	MTrd	SF_V.	SF_M	SF_Mt	SF
cm		kg	kg	kg	kg*m	kg*m	kg*m				
0	1	238441	106329	42171	21670	10317	652	22	3.8	>100	3.8

Asta: 5 [1180,1179] Sez. G: HE 220 B L=134.3 cm Crit.: Acciaio_Pressflessione $\gamma M=1.05$ fyk/ $\gamma M=2619$ kg/cmq
ft=4300 kg/cmq : **Verificato**

X	cls	N	TY	TZ	MT	MY	MZ	My4	Mz4	Comb.
cm		kg	kg	kg	kg*m	kg*m	kg*m			
0	1	-482	233	-1344	-6	1722	602	--	--	9

X	cls	Nr	Vyr	Vzr	Mry	Mrz	MTrd	SF_V.	SF_M	SF_Mt	SF
cm		kg	kg	kg	kg*m	kg*m	kg*m				
0	1	238441	106036	42055	21670	10317	652	31	7.2	>100	7.2

Asta: 6 [1007,1104] Sez. G: HE 220 B L=150.0 cm Crit.: Acciaio_Pressflessione $\gamma M=1.05$ fyk/ $\gamma M=2619$ kg/cmq
ft=4300 kg/cmq : **Verificato**

X	cls	N	TY	TZ	MT	MY	MZ	My4	Mz4	Comb.
cm		kg	kg	kg	kg*m	kg*m	kg*m			
0	1	864	-19	-1733	3	2697	718	--	--	8

X	cls	Nr	Vyr	Vzr	Mry	Mrz	MTrd	SF_V.	SF_M	SF_Mt	SF
cm		kg	kg	kg	kg*m	kg*m	kg*m				
0	1	238441	106239	42135	21670	10317	652	24	5.1	>100	5.1

Asta: 6 [1017,1151] Sez. G: HE 220 B L=134.3 cm Crit.: Acciaio_Pressflessione $\gamma M=1.05$ fyk/ $\gamma M=2619$ kg/cmq
ft=4300 kg/cmq : **Verificato**

X	cls	N	TY	TZ	MT	MY	MZ	My4	Mz4	Comb.
cm		kg	kg	kg	kg*m	kg*m	kg*m			
0	1	-673	-14	-2779	5	7969	442	--	--	2

X	cls	Nr	Vyr	Vzr	Mry	Mrz	MTrd	SF_V.	SF_M	SF_Mt	SF
cm		kg	kg	kg	kg*m	kg*m	kg*m				
0	1	238441	106117	42087	21670	10317	652	15	2.4	>100	2.4

Asta: 6 [1044,1065] Sez. G: HE 220 B L=134.3 cm Crit.: Acciaio_Pressflessione $\gamma M=1.05$ fyk/ $\gamma M=2619$ kg/cmq
ft=4300 kg/cmq : **Verificato**

X	cls	N	TY	TZ	MT	MY	MZ	My4	Mz4	Comb.
cm		kg	kg	kg	kg*m	kg*m	kg*m			
134	1	-589	-263	911	8	1140	625	--	--	7

X	cls	Nr	Vyr	Vzr	Mry	Mrz	MTrd	SF_V.	SF_M	SF_Mt	SF
cm		kg	kg	kg	kg*m	kg*m	kg*m				
134	1	238441	105898	42000	21670	10317	652	46	8.6	77	8.6

Asta: 6 [1065,1064] Sez. G: HE 220 B L=134.3 cm Crit.: Acciaio_Pressflessione $\gamma_M=1.05$ $f_{yk}/\gamma_M=2619$ kg/cm²
ft=4300 kg/cm² : **Verificato**

X	cls	N	TY	TZ	MT	MY	MZ	My4	Mz4	Comb.
cm		kg	kg	kg	kg*m	kg*m	kg*m			
134	1	-745	-59	1848	-1	3804	460	--	--	1

X	cls	Nr	Vyr	Vzr	Mry	Mrz	MTrd	SF_V.	SF_M	SF_Mt	SF
cm		kg	kg	kg	kg*m	kg*m	kg*m				
134	1	238441	106403	42200	21670	10317	652	23	4.5	>100	4.5

Asta: 6 [1064,1007] Sez. G: HE 220 B L=134.3 cm Crit.: Acciaio_Pressflessione $\gamma_M=1.05$ $f_{yk}/\gamma_M=2619$ kg/cm²
ft=4300 kg/cm² : **Verificato**

X	cls	N	TY	TZ	MT	MY	MZ	My4	Mz4	Comb.
cm		kg	kg	kg	kg*m	kg*m	kg*m			
134	1	-754	18	2588	-5	7197	436	--	--	1

X	cls	Nr	Vyr	Vzr	Mry	Mrz	MTrd	SF_V.	SF_M	SF_Mt	SF
cm		kg	kg	kg	kg*m	kg*m	kg*m				
134	1	238441	106103	42081	21670	10317	652	16	2.6	>100	2.6

Asta: 6 [1104,1136] Sez. G: HE 220 B L=150.0 cm Crit.: Acciaio_Pressflessione $\gamma_M=1.05$ $f_{yk}/\gamma_M=2619$ kg/cm²
ft=4300 kg/cm² : **Verificato**

X	cls	N	TY	TZ	MT	MY	MZ	My4	Mz4	Comb.
cm		kg	kg	kg	kg*m	kg*m	kg*m			
150	1	986	-6	-1280	-0	-1825	754	--	--	8

X	cls	Nr	Vyr	Vzr	Mry	Mrz	MTrd	SF_V.	SF_M	SF_Mt	SF
cm		kg	kg	kg	kg*m	kg*m	kg*m				
150	1	238441	106431	42212	21670	10317	652	33	6.2	>100	6.2

Asta: 6 [1136,1017] Sez. G: HE 220 B L=150.0 cm Crit.: Acciaio_Pressflessione $\gamma_M=1.05$ $f_{yk}/\gamma_M=2619$ kg/cm²
ft=4300 kg/cm² : **Verificato**

X	cls	N	TY	TZ	MT	MY	MZ	My4	Mz4	Comb.
cm		kg	kg	kg	kg*m	kg*m	kg*m			
150	1	933	35	-1175	-3	-3692	703	--	--	8

X	cls	Nr	Vyr	Vzr	Mry	Mrz	MTrd	SF_V.	SF_M	SF_Mt	SF
cm		kg	kg	kg	kg*m	kg*m	kg*m				
150	1	238441	106282	42152	21670	10317	652	36	4.1	>100	4.1

Asta: 6 [1151,1187] Sez. G: HE 220 B L=134.3 cm Crit.: Acciaio_Pressflessione $\gamma_M=1.05$ $f_{yk}/\gamma_M=2619$ kg/cm²
ft=4300 kg/cm² : **Verificato**

X	cls	N	TY	TZ	MT	MY	MZ	My4	Mz4	Comb.
cm		kg	kg	kg	kg*m	kg*m	kg*m			
0	1	-524	97	-1786	2	3880	753	--	--	9

X	cls	Nr	Vyr	Vzr	Mry	Mrz	MTrd	SF_V.	SF_M	SF_Mt	SF
cm		kg	kg	kg	kg*m	kg*m	kg*m				
0	1	238441	106352	42180	21670	10317	652	24	3.9	>100	3.9

Asta: 6 [1187,1188] Sez. G: HE 220 B L=134.3 cm Crit.: Acciaio_Pressflessione $\gamma_M=1.05$ $f_{yk}/\gamma_M=2619$ kg/cm²
ft=4300 kg/cm² : **Verificato**

X	cls	N	TY	TZ	MT	MY	MZ	My4	Mz4	Comb.
cm		kg	kg	kg	kg*m	kg*m	kg*m			
0	1	-530	262	-1228	-8	1565	623	--	--	9

X	cls	Nr	Vyr	Vzr	Mry	Mrz	MTrd	SF_V.	SF_M	SF_Mt	SF
cm		kg	kg	kg	kg*m	kg*m	kg*m				

X	cls	Nr	Vyr	Vzr	Mry	Mrz	MTrd	SF_V.	SF_M	SF_Mt	SF
0	1	238441	105904	42002	21670	10317	652	34	7.4	78	7.4

Asta: 7 [1009,1111] Sez. G: HE 220 B L=150.0 cm Crit.: Acciaio_Pressflessione $\gamma_M=1.05$ fyk/ $\gamma_M=2619$ kg/cm²
ft=4300 kg/cm² : **Verificato**

X	cls	N	TY	TZ	MT	MY	MZ	My4	Mz4	Comb.
cm		kg	kg	kg	kg*m	kg*m	kg*m			
0	1	1330	27	-1819	-3	3015	772	--	--	8

X	cls	Nr	Vyr	Vzr	Mry	Mrz	MTrd	SF_V.	SF_M	SF_Mt	SF
cm		kg	kg	kg	kg*m	kg*m	kg*m				
0	1	238441	106243	42137	21670	10317	652	23	4.6	>100	4.6

Asta: 7 [1019,1158] Sez. G: HE 220 B L=134.3 cm Crit.: Acciaio_Pressflessione $\gamma_M=1.05$ fyk/ $\gamma_M=2619$ kg/cm²
ft=4300 kg/cm² : **Verificato**

X	cls	N	TY	TZ	MT	MY	MZ	My4	Mz4	Comb.
cm		kg	kg	kg	kg*m	kg*m	kg*m			
0	1	-171	105	-2951	-0	8677	561	--	--	2

X	cls	Nr	Vyr	Vzr	Mry	Mrz	MTrd	SF_V.	SF_M	SF_Mt	SF
cm		kg	kg	kg	kg*m	kg*m	kg*m				
0	1	238441	106439	42215	21670	10317	652	14	2.2	>100	2.2

Asta: 7 [1048,1072] Sez. G: HE 220 B L=134.3 cm Crit.: Acciaio_Pressflessione $\gamma_M=1.05$ fyk/ $\gamma_M=2619$ kg/cm²
ft=4300 kg/cm² : **Verificato**

X	cls	N	TY	TZ	MT	MY	MZ	My4	Mz4	Comb.
cm		kg	kg	kg	kg*m	kg*m	kg*m			
134	1	-179	-196	1110	2	1408	558	--	--	7

X	cls	Nr	Vyr	Vzr	Mry	Mrz	MTrd	SF_V.	SF_M	SF_Mt	SF
cm		kg	kg	kg	kg*m	kg*m	kg*m				
134	1	238441	106311	42164	21670	10317	652	38	8.3	>100	8.3

Asta: 7 [1072,1073] Sez. G: HE 220 B L=134.3 cm Crit.: Acciaio_Pressflessione $\gamma_M=1.05$ fyk/ $\gamma_M=2619$ kg/cm²
ft=4300 kg/cm² : **Verificato**

X	cls	N	TY	TZ	MT	MY	MZ	My4	Mz4	Comb.
cm		kg	kg	kg	kg*m	kg*m	kg*m			
134	1	-295	-81	2036	-1	4316	424	--	--	1

X	cls	Nr	Vyr	Vzr	Mry	Mrz	MTrd	SF_V.	SF_M	SF_Mt	SF
cm		kg	kg	kg	kg*m	kg*m	kg*m				
134	1	238441	106375	42189	21670	10317	652	21	4.1	>100	4.1

Asta: 7 [1073,1009] Sez. G: HE 220 B L=134.3 cm Crit.: Acciaio_Pressflessione $\gamma_M=1.05$ fyk/ $\gamma_M=2619$ kg/cm²
ft=4300 kg/cm² : **Verificato**

X	cls	N	TY	TZ	MT	MY	MZ	My4	Mz4	Comb.
cm		kg	kg	kg	kg*m	kg*m	kg*m			
134	1	-305	-93	2772	-0	7956	547	--	--	1

X	cls	Nr	Vyr	Vzr	Mry	Mrz	MTrd	SF_V.	SF_M	SF_Mt	SF
cm		kg	kg	kg	kg*m	kg*m	kg*m				
134	1	238441	106425	42209	21670	10317	652	15	2.4	>100	2.4

Asta: 7 [1111,1140] Sez. G: HE 220 B L=150.0 cm Crit.: Acciaio_Pressflessione $\gamma_M=1.05$ fyk/ $\gamma_M=2619$ kg/cm²
ft=4300 kg/cm² : **Verificato**

X	cls	N	TY	TZ	MT	MY	MZ	My4	Mz4	Comb.
cm		kg	kg	kg	kg*m	kg*m	kg*m			
150	1	1399	11	-1368	-0	-1767	716	--	--	8

X	cls	Nr	Vyr	Vzr	Mry	Mrz	MTrd	SF_V.	SF_M	SF_Mt	SF
cm		kg	kg	kg	kg*m	kg*m	kg*m				
150	1	238441	106445	42217	21670	10317	652	31	6.4	>100	6.4

Asta: 7 [1140,1019] Sez. G: HE 220 B L=150.0 cm Crit.: Acciaio_Pressflessione $\gamma_M=1.05$ $f_{yk}/\gamma_M=2619$ kg/cmq
ft=4300 kg/cmq :**Verificato**

X	cls	N	TY	TZ	MT	MY	MZ	My4	Mz4	Comb.
cm		kg	kg	kg	kg*m	kg*m	kg*m			
150	1	1204	-30	-1263	1	-3762	761	--	--	8

X	cls	Nr	Vyr	Vzr	Mry	Mrz	MTrd	SF_V.	SF_M	SF_Mt	SF
cm		kg	kg	kg	kg*m	kg*m	kg*m				
150	1	238441	106382	42192	21670	10317	652	33	4.0	>100	4.0

Asta: 7 [1158,1196] Sez. G: HE 220 B L=134.3 cm Crit.: Acciaio_Pressflessione $\gamma_M=1.05$ $f_{yk}/\gamma_M=2619$ kg/cmq
ft=4300 kg/cmq :**Verificato**

X	cls	N	TY	TZ	MT	MY	MZ	My4	Mz4	Comb.
cm		kg	kg	kg	kg*m	kg*m	kg*m			
0	1	-40	114	-1966	3	4367	711	--	--	9

X	cls	Nr	Vyr	Vzr	Mry	Mrz	MTrd	SF_V.	SF_M	SF_Mt	SF
cm		kg	kg	kg	kg*m	kg*m	kg*m				
0	1	238441	106263	42145	21670	10317	652	21	3.7	>100	3.7

Asta: 7 [1196,1195] Sez. G: HE 220 B L=134.3 cm Crit.: Acciaio_Pressflessione $\gamma_M=1.05$ $f_{yk}/\gamma_M=2619$ kg/cmq
ft=4300 kg/cmq :**Verificato**

X	cls	N	TY	TZ	MT	MY	MZ	My4	Mz4	Comb.
cm		kg	kg	kg	kg*m	kg*m	kg*m			
0	1	-46	193	-1410	-2	1811	557	--	--	9

X	cls	Nr	Vyr	Vzr	Mry	Mrz	MTrd	SF_V.	SF_M	SF_Mt	SF
cm		kg	kg	kg	kg*m	kg*m	kg*m				
0	1	238441	106332	42172	21670	10317	652	30	7.3	>100	7.3

Asta: 8 [1171,1047] Sez. G: UPN 260 L=180.0 cm Crit.: Acciaio_Flessione $\gamma_M=1.05$ $f_{yk}/\gamma_M=2619$ kg/cmq ft=4300
kg/cmq :**Verificato**

X	cls	N	TY	TZ	MT	MY	MZ	My4	Mz4	Comb.
cm		kg	kg	kg	kg*m	kg*m	kg*m			
0	1	-136	138	-245	-10	-678	332	--	--	8

X	cls	Nr	Vyr	Vzr	Mry	Mrz	MTrd	SF_V.	SF_M	SF_Mt	SF
cm		kg	kg	kg	kg*m	kg*m	kg*m				
0	1	128965	38824	40852	11895	2692	290	>100	5.5	29	5.5

Asta: 8 [1179,1049] Sez. G: UPN 260 L=180.0 cm Crit.: Acciaio_Flessione $\gamma_M=1.05$ $f_{yk}/\gamma_M=2619$ kg/cmq ft=4300
kg/cmq :**Verificato**

X	cls	N	TY	TZ	MT	MY	MZ	My4	Mz4	Comb.
cm		kg	kg	kg	kg*m	kg*m	kg*m			
0	1	-198	136	-339	-10	-648	329	--	--	8

X	cls	Nr	Vyr	Vzr	Mry	Mrz	MTrd	SF_V.	SF_M	SF_Mt	SF
cm		kg	kg	kg	kg*m	kg*m	kg*m				
0	1	128965	38802	40829	11895	2692	290	>100	5.6	28	5.6

Asta: 8 [1188,1186] Sez. G: UPN 260 L=180.0 cm Crit.: Acciaio_Flessione $\gamma_M=1.05$ $f_{yk}/\gamma_M=2619$ kg/cmq ft=4300
kg/cmq :**Verificato**

X	cls	N	TY	TZ	MT	MY	MZ	My4	Mz4	Comb.
cm		kg	kg	kg	kg*m	kg*m	kg*m			
0	1	-369	132	-344	-10	-649	325	--	--	8

X	cls	Nr	Vyr	Vzr	Mry	Mrz	MTrd	SF_V.	SF_M	SF_Mt	SF
cm		kg	kg	kg	kg*m	kg*m	kg*m				
0	1	128965	38853	40882	11895	2692	290	>100	5.6	30	5.6

Asta: 8 [1195,1053] Sez. G: UPN 260 L=180.0 cm Crit.: Acciaio_Flessione $\gamma_M=1.05$ $f_{yk}/\gamma_M=2619$ kg/cmq ft=4300
kg/cmq :**Verificato**

X	cls	N	TY	TZ	MT	MY	MZ	My4	Mz4	Comb.
cm		kg	kg	kg	kg*m	kg*m	kg*m			
0	1	-829	121	-718	-24	881	316	--	--	6

X	cls	Nr	Vyr	Vzr	Mry	Mrz	MTrd	SF_V.	SF_M	SF_Mt	SF
cm		kg	kg	kg	kg*m	kg*m	kg*m				
0	1	128965	38060	40048	11895	2692	290	56	5.0	12	5.0

Asta: 8 [1199,1054] Sez. G: UPN 260 L=177.5 cm Crit.: Acciaio_Flessione $\gamma M=1.05$ fyk/ $\gamma M=2619$ kg/cm² ft=4300 kg/cm² :**Verificato**

X	cls	N	TY	TZ	MT	MY	MZ	My4	Mz4	Comb.
cm		kg	kg	kg	kg*m	kg*m	kg*m			
0	1	-457	55	-32	-17	-18	224	--	--	9

X	cls	Nr	Vyr	Vzr	Mry	Mrz	MTrd	SF_V.	SF_M	SF_Mt	SF
cm		kg	kg	kg	kg*m	kg*m	kg*m				
0	1	128965	38417	40423	11895	2692	290	>100	11	17	11

Asta: 8 [1164,1163] Sez. G: UPN 260 L=230.0 cm Crit.: Acciaio_Flessione $\gamma M=1.05$ fyk/ $\gamma M=2619$ kg/cm² ft=4300 kg/cm² :**Verificato**

X	cls	N	TY	TZ	MT	MY	MZ	My4	Mz4	Comb.
cm		kg	kg	kg	kg*m	kg*m	kg*m			
0	1	336	38	-340	-5	339	264	--	--	9

X	cls	Nr	Vyr	Vzr	Mry	Mrz	MTrd	SF_V.	SF_M	SF_Mt	SF
cm		kg	kg	kg	kg*m	kg*m	kg*m				
0	1	128965	39091	41133	11895	2692	290	>100	7.8	55	7.8

Asta: 8 [1047,1167] Sez. G: UPN 260 L=180.0 cm Crit.: Acciaio_Flessione $\gamma M=1.05$ fyk/ $\gamma M=2619$ kg/cm² ft=4300 kg/cm² :**Verificato**

X	cls	N	TY	TZ	MT	MY	MZ	My4	Mz4	Comb.
cm		kg	kg	kg	kg*m	kg*m	kg*m			
0	1	139	163	-227	-7	-1123	340	--	--	6

X	cls	Nr	Vyr	Vzr	Mry	Mrz	MTrd	SF_V.	SF_M	SF_Mt	SF
cm		kg	kg	kg	kg*m	kg*m	kg*m				
0	1	128965	39013	41050	11895	2692	290	>100	4.5	43	4.5

Asta: 8 [1167,1046] Sez. G: UPN 260 L=180.0 cm Crit.: Acciaio_Flessione $\gamma M=1.05$ fyk/ $\gamma M=2619$ kg/cm² ft=4300 kg/cm² :**Verificato**

X	cls	N	TY	TZ	MT	MY	MZ	My4	Mz4	Comb.
cm		kg	kg	kg	kg*m	kg*m	kg*m			
0	1	-180	140	160	-3	-1297	336	--	--	6

X	cls	Nr	Vyr	Vzr	Mry	Mrz	MTrd	SF_V.	SF_M	SF_Mt	SF
cm		kg	kg	kg	kg*m	kg*m	kg*m				
0	1	128965	39216	41264	11895	2692	290	>100	4.2	98	4.2

Asta: 8 [1046,1164] Sez. G: UPN 260 L=180.0 cm Crit.: Acciaio_Flessione $\gamma M=1.05$ fyk/ $\gamma M=2619$ kg/cm² ft=4300 kg/cm² :**Verificato**

X	cls	N	TY	TZ	MT	MY	MZ	My4	Mz4	Comb.
cm		kg	kg	kg	kg*m	kg*m	kg*m			
0	1	263	165	453	11	-794	343	--	--	6

X	cls	Nr	Vyr	Vzr	Mry	Mrz	MTrd	SF_V.	SF_M	SF_Mt	SF
cm		kg	kg	kg	kg*m	kg*m	kg*m				
0	1	128965	38777	40802	11895	2692	290	90	5.1	26	5.1

Asta: 8 [1049,1175] Sez. G: UPN 260 L=180.0 cm Crit.: Acciaio_Flessione $\gamma M=1.05$ fyk/ $\gamma M=2619$ kg/cm² ft=4300 kg/cm² :**Verificato**

X	cls	N	TY	TZ	MT	MY	MZ	My4	Mz4	Comb.
cm		kg	kg	kg	kg*m	kg*m	kg*m			
0	1	-43	160	-317	-8	-1187	337	--	--	9

X	cls	Nr	Vyr	Vzr	Mry	Mrz	MTrd	SF_V.	SF_M	SF_Mt	SF
cm		kg	kg	kg	kg*m	kg*m	kg*m				
0	1	128965	38931	40965	11895	2692	290	>100	4.4	36	4.4

Asta: 8 [1175,1048] Sez. G: UPN 260 L=180.0 cm Crit.: Acciaio_Flessione $\gamma M=1.05$ fyk/ $\gamma M=2619$ kg/cm² ft=4300 kg/cm² :**Verificato**

X	cls	N	TY	TZ	MT	MY	MZ	My4	Mz4	Comb.
cm		kg	kg	kg	kg*m	kg*m	kg*m			
0	1	-392	136	9	-8	-1484	332	--	--	9

X	cls	Nr	Vyr	Vzr	Mry	Mrz	MTrd	SF_V.	SF_M	SF_Mt	SF
cm		kg	kg	kg	kg*m	kg*m	kg*m				
0	1	128965	38929	40962	11895	2692	290	>100	4.0	35	4.0

Asta: 8 [1048,1171] Sez. G: UPN 260 L=180.0 cm Crit.: Acciaio_Flessione $\gamma M=1.05$ fyk/ $\gamma M=2619$ kg/cm² ft=4300 kg/cm² :**Verificato**

X	cls	N	TY	TZ	MT	MY	MZ	My4	Mz4	Comb.
cm		kg	kg	kg	kg*m	kg*m	kg*m			
0	1	25	180	307	7	-1215	353	--	--	9

X	cls	Nr	Vyr	Vzr	Mry	Mrz	MTrd	SF_V.	SF_M	SF_Mt	SF
cm		kg	kg	kg	kg*m	kg*m	kg*m				
0	1	128965	39021	41058	11895	2692	290	>100	4.3	44	4.3

Asta: 8 [1186,1183] Sez. G: UPN 260 L=180.0 cm Crit.: Acciaio_Flessione $\gamma M=1.05$ fyk/ $\gamma M=2619$ kg/cm² ft=4300 kg/cm² :**Verificato**

X	cls	N	TY	TZ	MT	MY	MZ	My4	Mz4	Comb.
cm		kg	kg	kg	kg*m	kg*m	kg*m			
0	1	-254	158	-308	-7	-1259	336	--	--	9

X	cls	Nr	Vyr	Vzr	Mry	Mrz	MTrd	SF_V.	SF_M	SF_Mt	SF
cm		kg	kg	kg	kg*m	kg*m	kg*m				
0	1	128965	39015	41053	11895	2692	290	>100	4.3	44	4.3

Asta: 8 [1183,1050] Sez. G: UPN 260 L=180.0 cm Crit.: Acciaio_Flessione $\gamma M=1.05$ fyk/ $\gamma M=2619$ kg/cm² ft=4300 kg/cm² :**Verificato**

X	cls	N	TY	TZ	MT	MY	MZ	My4	Mz4	Comb.
cm		kg	kg	kg	kg*m	kg*m	kg*m			
0	1	-540	134	36	-7	-1539	330	--	--	9

X	cls	Nr	Vyr	Vzr	Mry	Mrz	MTrd	SF_V.	SF_M	SF_Mt	SF
cm		kg	kg	kg	kg*m	kg*m	kg*m				
0	1	128965	39006	41043	11895	2692	290	>100	3.9	43	3.9

Asta: 8 [1050,1179] Sez. G: UPN 260 L=180.0 cm Crit.: Acciaio_Flessione $\gamma M=1.05$ fyk/ $\gamma M=2619$ kg/cm² ft=4300 kg/cm² :**Verificato**

X	cls	N	TY	TZ	MT	MY	MZ	My4	Mz4	Comb.
cm		kg	kg	kg	kg*m	kg*m	kg*m			
0	1	-121	179	322	8	-1220	351	--	--	9

X	cls	Nr	Vyr	Vzr	Mry	Mrz	MTrd	SF_V.	SF_M	SF_Mt	SF
cm		kg	kg	kg	kg*m	kg*m	kg*m				
0	1	128965	38962	40997	11895	2692	290	>100	4.3	38	4.3

Asta: 8 [1053,1191] Sez. G: UPN 260 L=180.0 cm Crit.: Acciaio_Flessione $\gamma M=1.05$ fyk/ $\gamma M=2619$ kg/cm² ft=4300 kg/cm² :**Verificato**

X	cls	N	TY	TZ	MT	MY	MZ	My4	Mz4	Comb.
cm		kg	kg	kg	kg*m	kg*m	kg*m			
0	1	-244	144	-222	-3	-692	324	--	--	8

X	cls	Nr	Vyr	Vzr	Mry	Mrz	MTrd	SF_V.	SF_M	SF_Mt	SF
cm		kg	kg	kg	kg*m	kg*m	kg*m				

X	cls	Nr	Vyr	Vzr	Mry	Mrz	MTrd	SF_V.	SF_M	SF_Mt	SF
0	1	128965	39229	41278	11895	2692	290	>100	5.5	>100	5.5

Asta: 8 [1191,1190] Sez. G: UPN 260 L=180.0 cm Crit.: Acciaio_Flessione $\gamma M=1.05$ fyk/ $\gamma M=2619$ kg/cm² ft=4300 kg/cm² : **Verificato**

X	cls	N	TY	TZ	MT	MY	MZ	My4	Mz4	Comb.
cm		kg	kg	kg	kg*m	kg*m	kg*m			
0	1	-516	140	-49	-1	-1024	334	--	--	8

X	cls	Nr	Vyr	Vzr	Mry	Mrz	MTrd	SF_V.	SF_M	SF_Mt	SF
cm		kg	kg	kg	kg*m	kg*m	kg*m				
0	1	128965	39310	41363	11895	2692	290	>100	4.7	>100	4.7

Asta: 8 [1190,1188] Sez. G: UPN 260 L=180.0 cm Crit.: Acciaio_Flessione $\gamma M=1.05$ fyk/ $\gamma M=2619$ kg/cm² ft=4300 kg/cm² : **Verificato**

X	cls	N	TY	TZ	MT	MY	MZ	My4	Mz4	Comb.
cm		kg	kg	kg	kg*m	kg*m	kg*m			
0	1	-105	155	193	7	-1062	332	--	--	8

X	cls	Nr	Vyr	Vzr	Mry	Mrz	MTrd	SF_V.	SF_M	SF_Mt	SF
cm		kg	kg	kg	kg*m	kg*m	kg*m				
0	1	128965	38999	41036	11895	2692	290	>100	4.7	42	4.7

Asta: 8 [1054,1195] Sez. G: UPN 260 L=177.5 cm Crit.: Acciaio_Flessione $\gamma M=1.05$ fyk/ $\gamma M=2619$ kg/cm² ft=4300 kg/cm² : **Verificato**

X	cls	N	TY	TZ	MT	MY	MZ	My4	Mz4	Comb.
cm		kg	kg	kg	kg*m	kg*m	kg*m			
0	1	-225	185	223	-3	264	360	--	--	6

X	cls	Nr	Vyr	Vzr	Mry	Mrz	MTrd	SF_V.	SF_M	SF_Mt	SF
cm		kg	kg	kg	kg*m	kg*m	kg*m				
0	1	128965	39213	41261	11895	2692	290	>100	6.3	96	6.3

Asta: 9 [1022,1023] Sez. G: UPN 260 L=180.0 cm Crit.: Acciaio_Flessione $\gamma M=1.05$ fyk/ $\gamma M=2619$ kg/cm² ft=4300 kg/cm² : **Verificato**

X	cls	N	TY	TZ	MT	MY	MZ	My4	Mz4	Comb.
cm		kg	kg	kg	kg*m	kg*m	kg*m			
180	1	-134	-162	-290	-7	-674	340	--	--	7

X	cls	Nr	Vyr	Vzr	Mry	Mrz	MTrd	SF_V.	SF_M	SF_Mt	SF
cm		kg	kg	kg	kg*m	kg*m	kg*m				
180	1	128965	39014	41051	11895	2692	290	>100	5.4	44	5.4

Asta: 9 [1023,1025] Sez. G: UPN 260 L=180.0 cm Crit.: Acciaio_Flessione $\gamma M=1.05$ fyk/ $\gamma M=2619$ kg/cm² ft=4300 kg/cm² : **Verificato**

X	cls	N	TY	TZ	MT	MY	MZ	My4	Mz4	Comb.
cm		kg	kg	kg	kg*m	kg*m	kg*m			
180	1	-338	-173	-146	-2	-1138	347	--	--	7

X	cls	Nr	Vyr	Vzr	Mry	Mrz	MTrd	SF_V.	SF_M	SF_Mt	SF
cm		kg	kg	kg	kg*m	kg*m	kg*m				
180	1	128965	39245	41294	11895	2692	290	>100	4.4	>100	4.4

Asta: 9 [1037,1027] Sez. G: UPN 260 L=180.0 cm Crit.: Acciaio_Flessione $\gamma M=1.05$ fyk/ $\gamma M=2619$ kg/cm² ft=4300 kg/cm² : **Verificato**

X	cls	N	TY	TZ	MT	MY	MZ	My4	Mz4	Comb.
cm		kg	kg	kg	kg*m	kg*m	kg*m			
180	1	-470	-172	-157	-4	-1162	345	--	--	7

X	cls	Nr	Vyr	Vzr	Mry	Mrz	MTrd	SF_V.	SF_M	SF_Mt	SF
cm		kg	kg	kg	kg*m	kg*m	kg*m				
180	1	128965	39182	41229	11895	2692	290	>100	4.4	81	4.4

Asta: 9 [1044,1029] Sez. G: UPN 260 L=180.0 cm Crit.: Acciaio_Flessione $\gamma_M=1.05$ fyk/ $\gamma_M=2619$ kg/cm² ft=4300 kg/cm² :**Verificato**

X	cls	N	TY	TZ	MT	MY	MZ	My4	Mz4	Comb.
cm		kg	kg	kg	kg*m	kg*m	kg*m			
180	1	-338	-143	-38	-3	-1037	321	--	--	6

X	cls	Nr	Vyr	Vzr	Mry	Mrz	MTrd	SF_V.	SF_M	SF_Mt	SF
cm		kg	kg	kg	kg*m	kg*m	kg*m				
180	1	128965	39194	41241	11895	2692	290	>100	4.8	86	4.8

Asta: 9 [1012,1022] Sez. G: UPN 260 L=230.0 cm Crit.: Acciaio_Flessione $\gamma_M=1.05$ fyk/ $\gamma_M=2619$ kg/cm² ft=4300 kg/cm² :**Verificato**

X	cls	N	TY	TZ	MT	MY	MZ	My4	Mz4	Comb.
cm		kg	kg	kg	kg*m	kg*m	kg*m			
230	1	120	-31	246	2	126	254	--	--	7

X	cls	Nr	Vyr	Vzr	Mry	Mrz	MTrd	SF_V.	SF_M	SF_Mt	SF
cm		kg	kg	kg	kg*m	kg*m	kg*m				
230	1	128965	39283	41335	11895	2692	290	>100	9.5	>100	9.5

Asta: 9 [1048,1031] Sez. G: UPN 260 L=177.5 cm Crit.: Acciaio_Flessione $\gamma_M=1.05$ fyk/ $\gamma_M=2619$ kg/cm² ft=4300 kg/cm² :**Verificato**

X	cls	N	TY	TZ	MT	MY	MZ	My4	Mz4	Comb.
cm		kg	kg	kg	kg*m	kg*m	kg*m			
177	1	-639	-174	-82	4	200	348	--	--	8

X	cls	Nr	Vyr	Vzr	Mry	Mrz	MTrd	SF_V.	SF_M	SF_Mt	SF
cm		kg	kg	kg	kg*m	kg*m	kg*m				
177	1	128965	39139	41183	11895	2692	290	>100	6.6	66	6.6

Asta: 9 [1023,1016] Sez. G: UPN 260 L=180.0 cm Crit.: Acciaio_Flessione $\gamma_M=1.05$ fyk/ $\gamma_M=2619$ kg/cm² ft=4300 kg/cm² :**Verificato**

X	cls	N	TY	TZ	MT	MY	MZ	My4	Mz4	Comb.
cm		kg	kg	kg	kg*m	kg*m	kg*m			
180	1	-535	-141	-110	4	-1102	337	--	--	8

X	cls	Nr	Vyr	Vzr	Mry	Mrz	MTrd	SF_V.	SF_M	SF_Mt	SF
cm		kg	kg	kg	kg*m	kg*m	kg*m				
180	1	128965	39137	41181	11895	2692	290	>100	4.5	66	4.5

Asta: 9 [1016,1024] Sez. G: UPN 260 L=180.0 cm Crit.: Acciaio_Flessione $\gamma_M=1.05$ fyk/ $\gamma_M=2619$ kg/cm² ft=4300 kg/cm² :**Verificato**

X	cls	N	TY	TZ	MT	MY	MZ	My4	Mz4	Comb.
cm		kg	kg	kg	kg*m	kg*m	kg*m			
180	1	-291	-161	188	6	-1039	338	--	--	7

X	cls	Nr	Vyr	Vzr	Mry	Mrz	MTrd	SF_V.	SF_M	SF_Mt	SF
cm		kg	kg	kg	kg*m	kg*m	kg*m				
180	1	128965	39040	41079	11895	2692	290	>100	4.7	47	4.7

Asta: 9 [1024,1023] Sez. G: UPN 260 L=180.0 cm Crit.: Acciaio_Flessione $\gamma_M=1.05$ fyk/ $\gamma_M=2619$ kg/cm² ft=4300 kg/cm² :**Verificato**

X	cls	N	TY	TZ	MT	MY	MZ	My4	Mz4	Comb.
cm		kg	kg	kg	kg*m	kg*m	kg*m			
180	1	-433	-153	-23	2	-994	345	--	--	6

X	cls	Nr	Vyr	Vzr	Mry	Mrz	MTrd	SF_V.	SF_M	SF_Mt	SF
cm		kg	kg	kg	kg*m	kg*m	kg*m				
180	1	128965	39265	41316	11895	2692	290	>100	4.6	>100	4.6

Asta: 9 [1025,1031] Sez. G: UPN 260 L=180.0 cm Crit.: Acciaio_Flessione $\gamma_M=1.05$ fyk/ $\gamma_M=2619$ kg/cm² ft=4300 kg/cm² :**Verificato**

X	cls	N	TY	TZ	MT	MY	MZ	My4	Mz4	Comb.
cm		kg	kg	kg	kg*m	kg*m	kg*m			
180	1	-750	-138	34	9	-1339	333	--	--	7

X	cls	Nr	Vyr	Vzr	Mry	Mrz	MTrd	SF_V.	SF_M	SF_Mt	SF
cm		kg	kg	kg	kg*m	kg*m	kg*m				
180	1	128965	38885	40915	11895	2692	290	>100	4.1	32	4.1

Asta: 9 [1031,1026] Sez. G: UPN 260 L=180.0 cm Crit.: Acciaio_Flessione $\gamma M=1.05$ fyk/ $\gamma M=2619$ kg/cm² ft=4300 kg/cm² :**Verificato**

X	cls	N	TY	TZ	MT	MY	MZ	My4	Mz4	Comb.
cm		kg	kg	kg	kg*m	kg*m	kg*m			
180	1	-396	-159	274	7	-1127	336	--	--	7

X	cls	Nr	Vyr	Vzr	Mry	Mrz	MTrd	SF_V.	SF_M	SF_Mt	SF
cm		kg	kg	kg	kg*m	kg*m	kg*m				
180	1	128965	38975	41010	11895	2692	290	>100	4.5	39	4.5

Asta: 9 [1026,1037] Sez. G: UPN 260 L=180.0 cm Crit.: Acciaio_Flessione $\gamma M=1.05$ fyk/ $\gamma M=2619$ kg/cm² ft=4300 kg/cm² :**Verificato**

X	cls	N	TY	TZ	MT	MY	MZ	My4	Mz4	Comb.
cm		kg	kg	kg	kg*m	kg*m	kg*m			
180	1	-462	-150	92	2	-975	343	--	--	6

X	cls	Nr	Vyr	Vzr	Mry	Mrz	MTrd	SF_V.	SF_M	SF_Mt	SF
cm		kg	kg	kg	kg*m	kg*m	kg*m				
180	1	128965	39249	41299	11895	2692	290	>100	4.7	>100	4.7

Asta: 9 [1027,1041] Sez. G: UPN 260 L=180.0 cm Crit.: Acciaio_Flessione $\gamma M=1.05$ fyk/ $\gamma M=2619$ kg/cm² ft=4300 kg/cm² :**Verificato**

X	cls	N	TY	TZ	MT	MY	MZ	My4	Mz4	Comb.
cm		kg	kg	kg	kg*m	kg*m	kg*m			
180	1	-887	-136	14	8	-1400	331	--	--	7

X	cls	Nr	Vyr	Vzr	Mry	Mrz	MTrd	SF_V.	SF_M	SF_Mt	SF
cm		kg	kg	kg	kg*m	kg*m	kg*m				
180	1	128965	38962	40997	11895	2692	290	>100	4.0	38	4.0

Asta: 9 [1041,1028] Sez. G: UPN 260 L=180.0 cm Crit.: Acciaio_Flessione $\gamma M=1.05$ fyk/ $\gamma M=2619$ kg/cm² ft=4300 kg/cm² :**Verificato**

X	cls	N	TY	TZ	MT	MY	MZ	My4	Mz4	Comb.
cm		kg	kg	kg	kg*m	kg*m	kg*m			
180	1	-595	-157	272	6	-1192	334	--	--	7

X	cls	Nr	Vyr	Vzr	Mry	Mrz	MTrd	SF_V.	SF_M	SF_Mt	SF
cm		kg	kg	kg	kg*m	kg*m	kg*m				
180	1	128965	39055	41095	11895	2692	290	>100	4.4	49	4.4

Asta: 9 [1028,1044] Sez. G: UPN 260 L=180.0 cm Crit.: Acciaio_Flessione $\gamma M=1.05$ fyk/ $\gamma M=2619$ kg/cm² ft=4300 kg/cm² :**Verificato**

X	cls	N	TY	TZ	MT	MY	MZ	My4	Mz4	Comb.
cm		kg	kg	kg	kg*m	kg*m	kg*m			
180	1	-609	-148	87	1	-967	340	--	--	6

X	cls	Nr	Vyr	Vzr	Mry	Mrz	MTrd	SF_V.	SF_M	SF_Mt	SF
cm		kg	kg	kg	kg*m	kg*m	kg*m				
180	1	128965	39311	41364	11895	2692	290	>100	4.7	>100	4.7

Asta: 9 [1029,1046] Sez. G: UPN 260 L=180.0 cm Crit.: Acciaio_Flessione $\gamma M=1.05$ fyk/ $\gamma M=2619$ kg/cm² ft=4300 kg/cm² :**Verificato**

X	cls	N	TY	TZ	MT	MY	MZ	My4	Mz4	Comb.
cm		kg	kg	kg	kg*m	kg*m	kg*m			
180	1	-745	-146	57	-1	-920	339	--	--	6

X	cls	Nr	Vyr	Vzr	Mry	Mrz	MTrd	SF_V.	SF_M	SF_Mt	SF
cm		kg	kg	kg	kg*m	kg*m	kg*m				
180	1	128965	39329	41383	11895	2692	290	>100	4.8	>100	4.8

Asta: 9 [1046,1030] Sez. G: UPN 260 L=180.0 cm Crit.: Acciaio_Flessione $\gamma M=1.05$ fyk/ $\gamma M=2619$ kg/cm² ft=4300 kg/cm² :**Verificato**

X	cls	N	TY	TZ	MT	MY	MZ	My4	Mz4	Comb.
cm		kg	kg	kg	kg*m	kg*m	kg*m			
180	1	-486	-142	82	-2	-773	321	--	--	6

X	cls	Nr	Vyr	Vzr	Mry	Mrz	MTrd	SF_V.	SF_M	SF_Mt	SF
cm		kg	kg	kg	kg*m	kg*m	kg*m				
180	1	128965	39288	41340	11895	2692	290	>100	5.3	>100	5.3

Asta: 9 [1030,1048] Sez. G: UPN 260 L=180.0 cm Crit.: Acciaio_Flessione $\gamma M=1.05$ fyk/ $\gamma M=2619$ kg/cm² ft=4300 kg/cm² :**Verificato**

X	cls	N	TY	TZ	MT	MY	MZ	My4	Mz4	Comb.
cm		kg	kg	kg	kg*m	kg*m	kg*m			
180	1	-1172	-128	550	19	575	321	--	--	8

X	cls	Nr	Vyr	Vzr	Mry	Mrz	MTrd	SF_V.	SF_M	SF_Mt	SF
cm		kg	kg	kg	kg*m	kg*m	kg*m				
180	1	128965	38317	40318	11895	2692	290	73	5.7	15	5.7

Asta: 9 [1031,1050] Sez. G: UPN 260 L=177.5 cm Crit.: Acciaio_Flessione $\gamma M=1.05$ fyk/ $\gamma M=2619$ kg/cm² ft=4300 kg/cm² :**Verificato**

X	cls	N	TY	TZ	MT	MY	MZ	My4	Mz4	Comb.
cm		kg	kg	kg	kg*m	kg*m	kg*m			
177	1	-696	-69	50	18	-12	233	--	--	7

X	cls	Nr	Vyr	Vzr	Mry	Mrz	MTrd	SF_V.	SF_M	SF_Mt	SF
cm		kg	kg	kg	kg*m	kg*m	kg*m				
177	1	128965	38375	40380	11895	2692	290	>100	11	16	11

Asta: 10 [1023,1019] Sez. G: HE 220 B L=134.3 cm Crit.: Acciaio_Pressflessione $\gamma M=1.05$ fyk/ $\gamma M=2619$ kg/cm² ft=4300 kg/cm² :**Verificato**

X	cls	N	TY	TZ	MT	MY	MZ	My4	Mz4	Comb.
cm		kg	kg	kg	kg*m	kg*m	kg*m			
134	1	-25	-444	219	-15	210	842	--	--	7

X	cls	Nr	Vyr	Vzr	Mry	Mrz	MTrd	SF_V.	SF_M	SF_Mt	SF
cm		kg	kg	kg	kg*m	kg*m	kg*m				
134	1	238441	105455	41825	21670	10317	652	>100	11	43	11

Asta: 10 [1052,1083] Sez. G: HE 220 B L=150.0 cm Crit.: Acciaio_Pressflessione $\gamma M=1.05$ fyk/ $\gamma M=2619$ kg/cm² ft=4300 kg/cm² :**Verificato**

X	cls	N	TY	TZ	MT	MY	MZ	My4	Mz4	Comb.
cm		kg	kg	kg	kg*m	kg*m	kg*m			
0	1	663	15	-1048	-4	3797	444	--	--	1

X	cls	Nr	Vyr	Vzr	Mry	Mrz	MTrd	SF_V.	SF_M	SF_Mt	SF
cm		kg	kg	kg	kg*m	kg*m	kg*m				
0	1	238441	106215	42126	21670	10317	652	40	4.5	>100	4.5

Asta: 10 [1120,1119] Sez. G: HE 220 B L=134.3 cm Crit.: Acciaio_Pressflessione $\gamma M=1.05$ fyk/ $\gamma M=2619$ kg/cm² ft=4300 kg/cm² :**Verificato**

X	cls	N	TY	TZ	MT	MY	MZ	My4	Mz4	Comb.
cm		kg	kg	kg	kg*m	kg*m	kg*m			
0	1	650	14	-1677	-13	3513	421	--	--	2

X	cls	Nr	Vyr	Vzr	Mry	Mrz	MTrd	SF_V.	SF_M	SF_Mt	SF
cm		kg	kg	kg	kg*m	kg*m	kg*m				

X	cls	Nr	Vyr	Vzr	Mry	Mrz	MTrd	SF_V.	SF_M	SF_Mt	SF
0	1	238441	105604	41883	21670	10317	652	25	4.9	50	4.9

Asta: 10 [1019,1033] Sez. G: HE 220 B L=134.3 cm Crit.: Acciaio_Pressflessione $\gamma_M=1.05$ fyk/ $\gamma_M=2619$ kg/cmq
ft=4300 kg/cmq :**Verificato**

X	cls	N	TY	TZ	MT	MY	MZ	My4	Mz4	Comb.
cm		kg	kg	kg	kg*m	kg*m	kg*m			
134	1	496	111	777	7	1158	694	--	--	7

X	cls	Nr	Vyr	Vzr	Mry	Mrz	MTrd	SF_V.	SF_M	SF_Mt	SF
cm		kg	kg	kg	kg*m	kg*m	kg*m				
134	1	238441	105979	42032	21670	10317	652	54	8.1	90	8.1

Asta: 10 [1033,1052] Sez. G: HE 220 B L=134.3 cm Crit.: Acciaio_Pressflessione $\gamma_M=1.05$ fyk/ $\gamma_M=2619$ kg/cmq
ft=4300 kg/cmq :**Verificato**

X	cls	N	TY	TZ	MT	MY	MZ	My4	Mz4	Comb.
cm		kg	kg	kg	kg*m	kg*m	kg*m			
134	1	583	-31	1751	13	3812	441	--	--	1

X	cls	Nr	Vyr	Vzr	Mry	Mrz	MTrd	SF_V.	SF_M	SF_Mt	SF
cm		kg	kg	kg	kg*m	kg*m	kg*m				
134	1	238441	105575	41872	21670	10317	652	24	4.5	49	4.5

Asta: 10 [1083,1039] Sez. G: HE 220 B L=150.0 cm Crit.: Acciaio_Pressflessione $\gamma_M=1.05$ fyk/ $\gamma_M=2619$ kg/cmq
ft=4300 kg/cmq :**Verificato**

X	cls	N	TY	TZ	MT	MY	MZ	My4	Mz4	Comb.
cm		kg	kg	kg	kg*m	kg*m	kg*m			
0	1	674	-0	-225	-0	2328	423	--	--	1

X	cls	Nr	Vyr	Vzr	Mry	Mrz	MTrd	SF_V.	SF_M	SF_Mt	SF
cm		kg	kg	kg	kg*m	kg*m	kg*m				
0	1	238441	106436	42214	21670	10317	652	>100	6.6	>100	6.6

Asta: 10 [1039,1120] Sez. G: HE 220 B L=150.0 cm Crit.: Acciaio_Pressflessione $\gamma_M=1.05$ fyk/ $\gamma_M=2619$ kg/cmq
ft=4300 kg/cmq :**Verificato**

X	cls	N	TY	TZ	MT	MY	MZ	My4	Mz4	Comb.
cm		kg	kg	kg	kg*m	kg*m	kg*m			
150	1	608	-27	914	4	3495	460	--	--	2

X	cls	Nr	Vyr	Vzr	Mry	Mrz	MTrd	SF_V.	SF_M	SF_Mt	SF
cm		kg	kg	kg	kg*m	kg*m	kg*m				
150	1	238441	106217	42127	21670	10317	652	46	4.8	>100	4.8

Asta: 10 [1119,1166] Sez. G: HE 220 B L=134.3 cm Crit.: Acciaio_Pressflessione $\gamma_M=1.05$ fyk/ $\gamma_M=2619$ kg/cmq
ft=4300 kg/cmq :**Verificato**

X	cls	N	TY	TZ	MT	MY	MZ	My4	Mz4	Comb.
cm		kg	kg	kg	kg*m	kg*m	kg*m			
0	1	540	-108	-649	-7	813	702	--	--	9

X	cls	Nr	Vyr	Vzr	Mry	Mrz	MTrd	SF_V.	SF_M	SF_Mt	SF
cm		kg	kg	kg	kg*m	kg*m	kg*m				
0	1	238441	105965	42027	21670	10317	652	65	9.3	88	9.3

Asta: 10 [1166,1046] Sez. G: HE 220 B L=134.3 cm Crit.: Acciaio_Pressflessione $\gamma_M=1.05$ fyk/ $\gamma_M=2619$ kg/cmq
ft=4300 kg/cmq :**Verificato**

X	cls	N	TY	TZ	MT	MY	MZ	My4	Mz4	Comb.
cm		kg	kg	kg	kg*m	kg*m	kg*m			
0	1	6	425	43	14	-142	810	--	--	8

X	cls	Nr	Vyr	Vzr	Mry	Mrz	MTrd	SF_V.	SF_M	SF_Mt	SF
cm		kg	kg	kg	kg*m	kg*m	kg*m				
0	1	238441	105549	41862	21670	10317	652	>100	12	47	12

Asta: 11 [1122,1121] Sez. G: HE 220 B L=134.3 cm Crit.: Acciaio_Pressflessione $\gamma_M=1.05$ fyk/ $\gamma_M=2619$ kg/cmq
ft=4300 kg/cmq :**Verificato**

X	cls	N	TY	TZ	MT	MY	MZ	My4	Mz4	Comb.
cm		kg	kg	kg	kg*m	kg*m	kg*m			
0	1	-802	4	-1629	4	3335	444	--	--	2

X	cls	Nr	Vyr	Vzr	Mry	Mrz	MTrd	SF_V.	SF_M	SF_Mt	SF
cm		kg	kg	kg	kg*m	kg*m	kg*m				
0	1	238441	106191	42116	21670	10317	652	26	5.0	>100	5.0

Asta: 11 [1053,1084] Sez. G: HE 220 B L=150.0 cm Crit.: Acciaio_Pressflessione $\gamma_M=1.05$ fyk/ $\gamma_M=2619$ kg/cmq
ft=4300 kg/cmq :**Verificato**

X	cls	N	TY	TZ	MT	MY	MZ	My4	Mz4	Comb.
cm		kg	kg	kg	kg*m	kg*m	kg*m			
0	1	-796	-15	-1000	2	3549	428	--	--	1

X	cls	Nr	Vyr	Vzr	Mry	Mrz	MTrd	SF_V.	SF_M	SF_Mt	SF
cm		kg	kg	kg	kg*m	kg*m	kg*m				
0	1	238441	106342	42176	21670	10317	652	42	4.8	>100	4.8

Asta: 11 [1016,1021] Sez. G: HE 220 B L=134.3 cm Crit.: Acciaio_Pressflessione $\gamma_M=1.05$ fyk/ $\gamma_M=2619$ kg/cmq
ft=4300 kg/cmq :**Verificato**

X	cls	N	TY	TZ	MT	MY	MZ	My4	Mz4	Comb.
cm		kg	kg	kg	kg*m	kg*m	kg*m			
134	1	-648	-230	144	7	110	605	--	--	7

X	cls	Nr	Vyr	Vzr	Mry	Mrz	MTrd	SF_V.	SF_M	SF_Mt	SF
cm		kg	kg	kg	kg*m	kg*m	kg*m				
134	1	238441	106018	42047	21670	10317	652	>100	15	98	15

Asta: 11 [1021,1025] Sez. G: HE 220 B L=134.3 cm Crit.: Acciaio_Pressflessione $\gamma_M=1.05$ fyk/ $\gamma_M=2619$ kg/cmq
ft=4300 kg/cmq :**Verificato**

X	cls	N	TY	TZ	MT	MY	MZ	My4	Mz4	Comb.
cm		kg	kg	kg	kg*m	kg*m	kg*m			
134	1	-655	-83	702	-2	970	718	--	--	7

X	cls	Nr	Vyr	Vzr	Mry	Mrz	MTrd	SF_V.	SF_M	SF_Mt	SF
cm		kg	kg	kg	kg*m	kg*m	kg*m				
134	1	238441	106309	42163	21670	10317	652	60	8.5	>100	8.5

Asta: 11 [1025,1053] Sez. G: HE 220 B L=134.3 cm Crit.: Acciaio_Pressflessione $\gamma_M=1.05$ fyk/ $\gamma_M=2619$ kg/cmq
ft=4300 kg/cmq :**Verificato**

X	cls	N	TY	TZ	MT	MY	MZ	My4	Mz4	Comb.
cm		kg	kg	kg	kg*m	kg*m	kg*m			
134	1	-816	-8	1682	-4	3547	449	--	--	1

X	cls	Nr	Vyr	Vzr	Mry	Mrz	MTrd	SF_V.	SF_M	SF_Mt	SF
cm		kg	kg	kg	kg*m	kg*m	kg*m				
134	1	238441	106210	42124	21670	10317	652	25	4.7	>100	4.7

Asta: 11 [1084,1085] Sez. G: HE 220 B L=150.0 cm Crit.: Acciaio_Pressflessione $\gamma_M=1.05$ fyk/ $\gamma_M=2619$ kg/cmq
ft=4300 kg/cmq :**Verificato**

X	cls	N	TY	TZ	MT	MY	MZ	My4	Mz4	Comb.
cm		kg	kg	kg	kg*m	kg*m	kg*m			
0	1	-746	9	-176	0	2152	451	--	--	1

X	cls	Nr	Vyr	Vzr	Mry	Mrz	MTrd	SF_V.	SF_M	SF_Mt	SF
cm		kg	kg	kg	kg*m	kg*m	kg*m				
0	1	238441	106437	42214	21670	10317	652	>100	6.8	>100	6.8

Asta: 11 [1085,1122] Sez. G: HE 220 B L=150.0 cm Crit.: Acciaio_Pressflessione $\gamma_M=1.05$ fyk/ $\gamma_M=2619$ kg/cmq
ft=4300 kg/cmq :**Verificato**

X	cls	N	TY	TZ	MT	MY	MZ	My4	Mz4	Comb.
cm		kg	kg	kg	kg*m	kg*m	kg*m			
150	1	-816	-10	906	-2	3337	450	--	--	2

X	cls	Nr	Vyr	Vzr	Mry	Mrz	MTrd	SF_V.	SF_M	SF_Mt	SF
cm		kg	kg	kg	kg*m	kg*m	kg*m				
150	1	238441	106337	42174	21670	10317	652	47	5.0	>100	5.0

Asta: 11 [1121,1168] Sez. G: HE 220 B L=134.3 cm Crit.: Acciaio_Pressflessione $\gamma_M=1.05$ fyk/ $\gamma_M=2619$ kg/cmq
ft=4300 kg/cmq : **Verificato**

X	cls	N	TY	TZ	MT	MY	MZ	My4	Mz4	Comb.
cm		kg	kg	kg	kg*m	kg*m	kg*m			
0	1	-668	83	-615	2	734	720	--	--	9

X	cls	Nr	Vyr	Vzr	Mry	Mrz	MTrd	SF_V.	SF_M	SF_Mt	SF
cm		kg	kg	kg	kg*m	kg*m	kg*m				
0	1	238441	106301	42160	21670	10317	652	69	9.4	>100	9.4

Asta: 11 [1168,1167] Sez. G: HE 220 B L=134.3 cm Crit.: Acciaio_Pressflessione $\gamma_M=1.05$ fyk/ $\gamma_M=2619$ kg/cmq
ft=4300 kg/cmq : **Verificato**

X	cls	N	TY	TZ	MT	MY	MZ	My4	Mz4	Comb.
cm		kg	kg	kg	kg*m	kg*m	kg*m			
0	1	-586	229	10	-6	-97	606	--	--	6

X	cls	Nr	Vyr	Vzr	Mry	Mrz	MTrd	SF_V.	SF_M	SF_Mt	SF
cm		kg	kg	kg	kg*m	kg*m	kg*m				
0	1	238441	106034	42054	21670	10317	652	>100	15	>100	15

Asta: 12 [1124,1123] Sez. G: HE 220 B L=134.3 cm Crit.: Acciaio_Pressflessione $\gamma_M=1.05$ fyk/ $\gamma_M=2619$ kg/cmq
ft=4300 kg/cmq : **Verificato**

X	cls	N	TY	TZ	MT	MY	MZ	My4	Mz4	Comb.
cm		kg	kg	kg	kg*m	kg*m	kg*m			
0	1	783	-122	-1698	6	3593	315	--	--	2

X	cls	Nr	Vyr	Vzr	Mry	Mrz	MTrd	SF_V.	SF_M	SF_Mt	SF
cm		kg	kg	kg	kg*m	kg*m	kg*m				
0	1	238441	106052	42061	21670	10317	652	25	5.0	>100	5.0

Asta: 12 [1054,1087] Sez. G: HE 220 B L=150.0 cm Crit.: Acciaio_Pressflessione $\gamma_M=1.05$ fyk/ $\gamma_M=2619$ kg/cmq
ft=4300 kg/cmq : **Verificato**

X	cls	N	TY	TZ	MT	MY	MZ	My4	Mz4	Comb.
cm		kg	kg	kg	kg*m	kg*m	kg*m			
0	1	821	-64	-1056	8	3870	378	--	--	1

X	cls	Nr	Vyr	Vzr	Mry	Mrz	MTrd	SF_V.	SF_M	SF_Mt	SF
cm		kg	kg	kg	kg*m	kg*m	kg*m				
0	1	238441	105930	42013	21670	10317	652	40	4.6	82	4.6

Asta: 12 [1024,1026] Sez. G: HE 220 B L=134.3 cm Crit.: Acciaio_Pressflessione $\gamma_M=1.05$ fyk/ $\gamma_M=2619$ kg/cmq
ft=4300 kg/cmq : **Verificato**

X	cls	N	TY	TZ	MT	MY	MZ	My4	Mz4	Comb.
cm		kg	kg	kg	kg*m	kg*m	kg*m			
134	1	-38	-402	213	-11	203	773	--	--	7

X	cls	Nr	Vyr	Vzr	Mry	Mrz	MTrd	SF_V.	SF_M	SF_Mt	SF
cm		kg	kg	kg	kg*m	kg*m	kg*m				
134	1	238441	105759	41945	21670	10317	652	>100	12	62	12

Asta: 12 [1026,1027] Sez. G: HE 220 B L=134.3 cm Crit.: Acciaio_Pressflessione $\gamma_M=1.05$ fyk/ $\gamma_M=2619$ kg/cmq
ft=4300 kg/cmq : **Verificato**

X	cls	N	TY	TZ	MT	MY	MZ	My4	Mz4	Comb.
cm		kg	kg	kg	kg*m	kg*m	kg*m			
134	1	611	19	771	5	1141	750	--	--	7

X	cls	Nr	Vyr	Vzr	Mry	Mrz	MTrd	SF_V.	SF_M	SF_Mt	SF
cm		kg	kg	kg	kg*m	kg*m	kg*m				
134	1	238441	106148	42099	21670	10317	652	55	7.8	>100	7.8

Asta: 12 [1027,1054] Sez. G: HE 220 B L=134.3 cm Crit.: Acciaio_Pressflessione $\gamma M=1.05$ fyk/ $\gamma M=2619$ kg/cmq
ft=4300 kg/cmq :**Verificato**

X	cls	N	TY	TZ	MT	MY	MZ	My4	Mz4	Comb.
cm		kg	kg	kg	kg*m	kg*m	kg*m			
134	1	735	122	1770	-6	3886	318	--	--	1

X	cls	Nr	Vyr	Vzr	Mry	Mrz	MTrd	SF_V.	SF_M	SF_Mt	SF
cm		kg	kg	kg	kg*m	kg*m	kg*m				
134	1	238441	106063	42066	21670	10317	652	24	4.7	>100	4.7

Asta: 12 [1087,1086] Sez. G: HE 220 B L=150.0 cm Crit.: Acciaio_Pressflessione $\gamma M=1.05$ fyk/ $\gamma M=2619$ kg/cmq
ft=4300 kg/cmq :**Verificato**

X	cls	N	TY	TZ	MT	MY	MZ	My4	Mz4	Comb.
cm		kg	kg	kg	kg*m	kg*m	kg*m			
0	1	906	4	-232	-0	2389	473	--	--	1

X	cls	Nr	Vyr	Vzr	Mry	Mrz	MTrd	SF_V.	SF_M	SF_Mt	SF
cm		kg	kg	kg	kg*m	kg*m	kg*m				
0	1	238441	106445	42217	21670	10317	652	>100	6.3	>100	6.3

Asta: 12 [1086,1124] Sez. G: HE 220 B L=150.0 cm Crit.: Acciaio_Pressflessione $\gamma M=1.05$ fyk/ $\gamma M=2619$ kg/cmq
ft=4300 kg/cmq :**Verificato**

X	cls	N	TY	TZ	MT	MY	MZ	My4	Mz4	Comb.
cm		kg	kg	kg	kg*m	kg*m	kg*m			
150	1	827	50	924	-7	3573	394	--	--	2

X	cls	Nr	Vyr	Vzr	Mry	Mrz	MTrd	SF_V.	SF_M	SF_Mt	SF
cm		kg	kg	kg	kg*m	kg*m	kg*m				
150	1	238441	105972	42030	21670	10317	652	45	4.8	89	4.8

Asta: 12 [1123,1170] Sez. G: HE 220 B L=134.3 cm Crit.: Acciaio_Pressflessione $\gamma M=1.05$ fyk/ $\gamma M=2619$ kg/cmq
ft=4300 kg/cmq :**Verificato**

X	cls	N	TY	TZ	MT	MY	MZ	My4	Mz4	Comb.
cm		kg	kg	kg	kg*m	kg*m	kg*m			
0	1	774	11	-959	-2	1396	478	--	--	2

X	cls	Nr	Vyr	Vzr	Mry	Mrz	MTrd	SF_V.	SF_M	SF_Mt	SF
cm		kg	kg	kg	kg*m	kg*m	kg*m				
0	1	238441	106330	42171	21670	10317	652	44	8.8	>100	8.8

Asta: 12 [1170,1047] Sez. G: HE 220 B L=134.3 cm Crit.: Acciaio_Pressflessione $\gamma M=1.05$ fyk/ $\gamma M=2619$ kg/cmq
ft=4300 kg/cmq :**Verificato**

X	cls	N	TY	TZ	MT	MY	MZ	My4	Mz4	Comb.
cm		kg	kg	kg	kg*m	kg*m	kg*m			
0	1	-15	395	70	12	-178	769	--	--	8

X	cls	Nr	Vyr	Vzr	Mry	Mrz	MTrd	SF_V.	SF_M	SF_Mt	SF
cm		kg	kg	kg	kg*m	kg*m	kg*m				
0	1	238441	105695	41919	21670	10317	652	>100	12	56	12

Asta: 13 [1127,1126] Sez. G: HE 220 B L=134.3 cm Crit.: Acciaio_Pressflessione $\gamma M=1.05$ fyk/ $\gamma M=2619$ kg/cmq
ft=4300 kg/cmq :**Verificato**

X	cls	N	TY	TZ	MT	MY	MZ	My4	Mz4	Comb.
cm		kg	kg	kg	kg*m	kg*m	kg*m			
0	1	810	44	-1720	-13	3682	458	--	--	2

X	cls	Nr	Vyr	Vzr	Mry	Mrz	MTrd	SF_V.	SF_M	SF_Mt	SF
cm		kg	kg	kg	kg*m	kg*m	kg*m				

X	cls	Nr	Vyr	Vzr	Mry	Mrz	MTrd	SF_V.	SF_M	SF_Mt	SF
0	1	238441	105627	41893	21670	10317	652	24	4.6	52	4.6

Asta: 13 [1055,1091] Sez. G: HE 220 B L=150.0 cm Crit.: Acciaio_Pressflessione $\gamma_M=1.05$ fyk/ $\gamma_M=2619$ kg/cmq
ft=4300 kg/cmq :**Verificato**

X	cls	N	TY	TZ	MT	MY	MZ	My4	Mz4	Comb.
cm		kg	kg	kg	kg*m	kg*m	kg*m			
0	1	840	2	-1058	-5	3960	435	--	--	1

X	cls	Nr	Vyr	Vzr	Mry	Mrz	MTrd	SF_V.	SF_M	SF_Mt	SF
cm		kg	kg	kg	kg*m	kg*m	kg*m				
0	1	238441	106101	42080	21670	10317	652	40	4.4	>100	4.4

Asta: 13 [1025,1030] Sez. G: HE 220 B L=134.3 cm Crit.: Acciaio_Pressflessione $\gamma_M=1.05$ fyk/ $\gamma_M=2619$ kg/cmq
ft=4300 kg/cmq :**Verificato**

X	cls	N	TY	TZ	MT	MY	MZ	My4	Mz4	Comb.
cm		kg	kg	kg	kg*m	kg*m	kg*m			
134	1	-39	-411	241	-16	239	804	--	--	7

X	cls	Nr	Vyr	Vzr	Mry	Mrz	MTrd	SF_V.	SF_M	SF_Mt	SF
cm		kg	kg	kg	kg*m	kg*m	kg*m				
134	1	238441	105390	41799	21670	10317	652	>100	11	40	11

Asta: 13 [1030,1034] Sez. G: HE 220 B L=134.3 cm Crit.: Acciaio_Pressflessione $\gamma_M=1.05$ fyk/ $\gamma_M=2619$ kg/cmq
ft=4300 kg/cmq :**Verificato**

X	cls	N	TY	TZ	MT	MY	MZ	My4	Mz4	Comb.
cm		kg	kg	kg	kg*m	kg*m	kg*m			
134	1	614	85	799	7	1214	692	--	--	7

X	cls	Nr	Vyr	Vzr	Mry	Mrz	MTrd	SF_V.	SF_M	SF_Mt	SF
cm		kg	kg	kg	kg*m	kg*m	kg*m				
134	1	238441	106024	42050	21670	10317	652	53	8.0	100	8.0

Asta: 13 [1034,1055] Sez. G: HE 220 B L=134.3 cm Crit.: Acciaio_Pressflessione $\gamma_M=1.05$ fyk/ $\gamma_M=2619$ kg/cmq
ft=4300 kg/cmq :**Verificato**

X	cls	N	TY	TZ	MT	MY	MZ	My4	Mz4	Comb.
cm		kg	kg	kg	kg*m	kg*m	kg*m			
134	1	754	-54	1793	13	3976	470	--	--	1

X	cls	Nr	Vyr	Vzr	Mry	Mrz	MTrd	SF_V.	SF_M	SF_Mt	SF
cm		kg	kg	kg	kg*m	kg*m	kg*m				
134	1	238441	105628	41893	21670	10317	652	23	4.3	52	4.3

Asta: 13 [1091,1040] Sez. G: HE 220 B L=150.0 cm Crit.: Acciaio_Pressflessione $\gamma_M=1.05$ fyk/ $\gamma_M=2619$ kg/cmq
ft=4300 kg/cmq :**Verificato**

X	cls	N	TY	TZ	MT	MY	MZ	My4	Mz4	Comb.
cm		kg	kg	kg	kg*m	kg*m	kg*m			
0	1	938	5	-235	0	2475	432	--	--	1

X	cls	Nr	Vyr	Vzr	Mry	Mrz	MTrd	SF_V.	SF_M	SF_Mt	SF
cm		kg	kg	kg	kg*m	kg*m	kg*m				
0	1	238441	106432	42212	21670	10317	652	>100	6.2	>100	6.2

Asta: 13 [1040,1127] Sez. G: HE 220 B L=150.0 cm Crit.: Acciaio_Pressflessione $\gamma_M=1.05$ fyk/ $\gamma_M=2619$ kg/cmq
ft=4300 kg/cmq :**Verificato**

X	cls	N	TY	TZ	MT	MY	MZ	My4	Mz4	Comb.
cm		kg	kg	kg	kg*m	kg*m	kg*m			
150	1	850	-16	926	5	3662	445	--	--	2

X	cls	Nr	Vyr	Vzr	Mry	Mrz	MTrd	SF_V.	SF_M	SF_Mt	SF
cm		kg	kg	kg	kg*m	kg*m	kg*m				
150	1	238441	106145	42098	21670	10317	652	45	4.6	>100	4.6

Asta: 13 [1126,1174] Sez. G: HE 220 B L=134.3 cm Crit.: Acciaio_Pressflessione $\gamma_M=1.05$ $f_yk/\gamma_M=2619$ kg/cmq
ft=4300 kg/cmq :**Verificato**

X	cls	N	TY	TZ	MT	MY	MZ	My4	Mz4	Comb.
cm		kg	kg	kg	kg*m	kg*m	kg*m			
0	1	633	-88	-682	-7	899	697	--	--	9

X	cls	Nr	Vyr	Vzr	Mry	Mrz	MTrd	SF_V.	SF_M	SF_Mt	SF
cm		kg	kg	kg	kg*m	kg*m	kg*m				
0	1	238441	106000	42040	21670	10317	652	62	9.0	94	9.0

Asta: 13 [1174,1048] Sez. G: HE 220 B L=134.3 cm Crit.: Acciaio_Pressflessione $\gamma_M=1.05$ $f_yk/\gamma_M=2619$ kg/cmq
ft=4300 kg/cmq :**Verificato**

X	cls	N	TY	TZ	MT	MY	MZ	My4	Mz4	Comb.
cm		kg	kg	kg	kg*m	kg*m	kg*m			
0	1	-16	400	53	17	-155	790	--	--	8

X	cls	Nr	Vyr	Vzr	Mry	Mrz	MTrd	SF_V.	SF_M	SF_Mt	SF
cm		kg	kg	kg	kg*m	kg*m	kg*m				
0	1	238441	105329	41775	21670	10317	652	>100	12	38	12

Asta: 14 [1026,1036] Sez. G: HE 220 B L=134.3 cm Crit.: Acciaio_Pressflessione $\gamma_M=1.05$ $f_yk/\gamma_M=2619$ kg/cmq
ft=4300 kg/cmq :**Verificato**

X	cls	N	TY	TZ	MT	MY	MZ	My4	Mz4	Comb.
cm		kg	kg	kg	kg*m	kg*m	kg*m			
134	1	-38	-399	251	-9	253	767	--	--	7

X	cls	Nr	Vyr	Vzr	Mry	Mrz	MTrd	SF_V.	SF_M	SF_Mt	SF
cm		kg	kg	kg	kg*m	kg*m	kg*m				
134	1	238441	105838	41976	21670	10317	652	>100	12	69	12

Asta: 14 [1058,1095] Sez. G: HE 220 B L=150.0 cm Crit.: Acciaio_Pressflessione $\gamma_M=1.05$ $f_yk/\gamma_M=2619$ kg/cmq
ft=4300 kg/cmq :**Verificato**

X	cls	N	TY	TZ	MT	MY	MZ	My4	Mz4	Comb.
cm		kg	kg	kg	kg*m	kg*m	kg*m			
0	1	840	-53	-1052	7	3965	389	--	--	1

X	cls	Nr	Vyr	Vzr	Mry	Mrz	MTrd	SF_V.	SF_M	SF_Mt	SF
cm		kg	kg	kg	kg*m	kg*m	kg*m				
0	1	238441	105981	42033	21670	10317	652	40	4.5	91	4.5

Asta: 14 [1129,1146] Sez. G: HE 220 B L=134.3 cm Crit.: Acciaio_Pressflessione $\gamma_M=1.05$ $f_yk/\gamma_M=2619$ kg/cmq
ft=4300 kg/cmq :**Verificato**

X	cls	N	TY	TZ	MT	MY	MZ	My4	Mz4	Comb.
cm		kg	kg	kg	kg*m	kg*m	kg*m			
0	1	810	-105	-1726	6	3704	338	--	--	2

X	cls	Nr	Vyr	Vzr	Mry	Mrz	MTrd	SF_V.	SF_M	SF_Mt	SF
cm		kg	kg	kg	kg*m	kg*m	kg*m				
0	1	238441	106079	42072	21670	10317	652	24	4.8	>100	4.8

Asta: 14 [1036,1057] Sez. G: HE 220 B L=134.3 cm Crit.: Acciaio_Pressflessione $\gamma_M=1.05$ $f_yk/\gamma_M=2619$ kg/cmq
ft=4300 kg/cmq :**Verificato**

X	cls	N	TY	TZ	MT	MY	MZ	My4	Mz4	Comb.
cm		kg	kg	kg	kg*m	kg*m	kg*m			
134	1	594	6	809	5	1243	759	--	--	7

X	cls	Nr	Vyr	Vzr	Mry	Mrz	MTrd	SF_V.	SF_M	SF_Mt	SF
cm		kg	kg	kg	kg*m	kg*m	kg*m				
134	1	238441	106151	42101	21670	10317	652	52	7.5	>100	7.5

Asta: 14 [1057,1058] Sez. G: HE 220 B L=134.3 cm Crit.: Acciaio_Pressflessione $\gamma_M=1.05$ $f_yk/\gamma_M=2619$ kg/cmq
ft=4300 kg/cmq :**Verificato**

X	cls	N	TY	TZ	MT	MY	MZ	My4	Mz4	Comb.
cm		kg	kg	kg	kg*m	kg*m	kg*m			
134	1	754	109	1794	-5	3981	332	--	--	1

X	cls	Nr	Vyr	Vzr	Mry	Mrz	MTrd	SF_V.	SF_M	SF_Mt	SF
cm		kg	kg	kg	kg*m	kg*m	kg*m				
134	1	238441	106100	42080	21670	10317	652	23	4.6	>100	4.6

Asta: 14 [1095,1094] Sez. G: HE 220 B L=150.0 cm Crit.: Acciaio_Pressflessione $\gamma M=1.05$ fyk/ $\gamma M=2619$ kg/cmq
ft=4300 kg/cmq : **Verificato**

X	cls	N	TY	TZ	MT	MY	MZ	My4	Mz4	Comb.
cm		kg	kg	kg	kg*m	kg*m	kg*m			
0	1	937	-2	-228	-0	2490	468	--	--	1

X	cls	Nr	Vyr	Vzr	Mry	Mrz	MTrd	SF_V.	SF_M	SF_Mt	SF
cm		kg	kg	kg	kg*m	kg*m	kg*m				
0	1	238441	106437	42214	21670	10317	652	>100	6.1	>100	6.1

Asta: 14 [1094,1129] Sez. G: HE 220 B L=150.0 cm Crit.: Acciaio_Pressflessione $\gamma M=1.05$ fyk/ $\gamma M=2619$ kg/cmq
ft=4300 kg/cmq : **Verificato**

X	cls	N	TY	TZ	MT	MY	MZ	My4	Mz4	Comb.
cm		kg	kg	kg	kg*m	kg*m	kg*m			
150	1	851	56	927	-7	3684	389	--	--	2

X	cls	Nr	Vyr	Vzr	Mry	Mrz	MTrd	SF_V.	SF_M	SF_Mt	SF
cm		kg	kg	kg	kg*m	kg*m	kg*m				
150	1	238441	106016	42047	21670	10317	652	45	4.7	98	4.7

Asta: 14 [1146,1178] Sez. G: HE 220 B L=134.3 cm Crit.: Acciaio_Pressflessione $\gamma M=1.05$ fyk/ $\gamma M=2619$ kg/cmq
ft=4300 kg/cmq : **Verificato**

X	cls	N	TY	TZ	MT	MY	MZ	My4	Mz4	Comb.
cm		kg	kg	kg	kg*m	kg*m	kg*m			
0	1	615	-1	-695	-4	934	757	--	--	9

X	cls	Nr	Vyr	Vzr	Mry	Mrz	MTrd	SF_V.	SF_M	SF_Mt	SF
cm		kg	kg	kg	kg*m	kg*m	kg*m				
0	1	238441	106181	42112	21670	10317	652	61	8.4	>100	8.4

Asta: 14 [1178,1049] Sez. G: HE 220 B L=134.3 cm Crit.: Acciaio_Pressflessione $\gamma M=1.05$ fyk/ $\gamma M=2619$ kg/cmq
ft=4300 kg/cmq : **Verificato**

X	cls	N	TY	TZ	MT	MY	MZ	My4	Mz4	Comb.
cm		kg	kg	kg	kg*m	kg*m	kg*m			
0	1	-14	397	31	9	-126	766	--	--	8

X	cls	Nr	Vyr	Vzr	Mry	Mrz	MTrd	SF_V.	SF_M	SF_Mt	SF
cm		kg	kg	kg	kg*m	kg*m	kg*m				
0	1	238441	105836	41975	21670	10317	652	>100	12	69	12

Asta: 15 [1027,1040] Sez. G: HE 220 B L=134.3 cm Crit.: Acciaio_Pressflessione $\gamma M=1.05$ fyk/ $\gamma M=2619$ kg/cmq
ft=4300 kg/cmq : **Verificato**

X	cls	N	TY	TZ	MT	MY	MZ	My4	Mz4	Comb.
cm		kg	kg	kg	kg*m	kg*m	kg*m			
134	1	-39	-417	249	-15	251	809	--	--	7

X	cls	Nr	Vyr	Vzr	Mry	Mrz	MTrd	SF_V.	SF_M	SF_Mt	SF
cm		kg	kg	kg	kg*m	kg*m	kg*m				
134	1	238441	105478	41834	21670	10317	652	>100	11	44	11

Asta: 15 [1099,1098] Sez. G: HE 220 B L=150.0 cm Crit.: Acciaio_Pressflessione $\gamma M=1.05$ fyk/ $\gamma M=2619$ kg/cmq
ft=4300 kg/cmq : **Verificato**

X	cls	N	TY	TZ	MT	MY	MZ	My4	Mz4	Comb.
cm		kg	kg	kg	kg*m	kg*m	kg*m			
0	1	856	12	-1051	-6	3931	445	--	--	1

X	cls	Nr	Vyr	Vzr	Mry	Mrz	MTrd	SF_V.	SF_M	SF_Mt	SF
cm		kg	kg	kg	kg*m	kg*m	kg*m				
0	1	238441	106063	42066	21670	10317	652	40	4.4	>100	4.4

Asta: 15 [1131,1148] Sez. G: HE 220 B L=134.3 cm Crit.: Acciaio_Pressflessione $\gamma M=1.05$ fyk/ $\gamma M=2619$ kg/cmq
ft=4300 kg/cmq :**Verificato**

X	cls	N	TY	TZ	MT	MY	MZ	My4	Mz4	Comb.
cm		kg	kg	kg	kg*m	kg*m	kg*m			
0	1	828	58	-1717	-13	3671	477	--	--	2

X	cls	Nr	Vyr	Vzr	Mry	Mrz	MTrd	SF_V.	SF_M	SF_Mt	SF
cm		kg	kg	kg	kg*m	kg*m	kg*m				
0	1	238441	105568	41869	21670	10317	652	24	4.6	48	4.6

Asta: 15 [1040,1035] Sez. G: HE 220 B L=134.3 cm Crit.: Acciaio_Pressflessione $\gamma M=1.05$ fyk/ $\gamma M=2619$ kg/cmq
ft=4300 kg/cmq :**Verificato**

X	cls	N	TY	TZ	MT	MY	MZ	My4	Mz4	Comb.
cm		kg	kg	kg	kg*m	kg*m	kg*m			
134	1	607	86	807	7	1238	695	--	--	7

X	cls	Nr	Vyr	Vzr	Mry	Mrz	MTrd	SF_V.	SF_M	SF_Mt	SF
cm		kg	kg	kg	kg*m	kg*m	kg*m				
134	1	238441	105997	42039	21670	10317	652	52	7.9	94	7.9

Asta: 15 [1035,1099] Sez. G: HE 220 B L=134.3 cm Crit.: Acciaio_Pressflessione $\gamma M=1.05$ fyk/ $\gamma M=2619$ kg/cmq
ft=4300 kg/cmq :**Verificato**

X	cls	N	TY	TZ	MT	MY	MZ	My4	Mz4	Comb.
cm		kg	kg	kg	kg*m	kg*m	kg*m			
134	1	771	-62	1786	13	3947	480	--	--	1

X	cls	Nr	Vyr	Vzr	Mry	Mrz	MTrd	SF_V.	SF_M	SF_Mt	SF
cm		kg	kg	kg	kg*m	kg*m	kg*m				
134	1	238441	105578	41873	21670	10317	652	23	4.3	49	4.3

Asta: 15 [1098,1041] Sez. G: HE 220 B L=150.0 cm Crit.: Acciaio_Pressflessione $\gamma M=1.05$ fyk/ $\gamma M=2619$ kg/cmq
ft=4300 kg/cmq :**Verificato**

X	cls	N	TY	TZ	MT	MY	MZ	My4	Mz4	Comb.
cm		kg	kg	kg	kg*m	kg*m	kg*m			
0	1	946	0	-227	0	2457	428	--	--	1

X	cls	Nr	Vyr	Vzr	Mry	Mrz	MTrd	SF_V.	SF_M	SF_Mt	SF
cm		kg	kg	kg	kg*m	kg*m	kg*m				
0	1	238441	106443	42216	21670	10317	652	>100	6.3	>100	6.3

Asta: 15 [1041,1131] Sez. G: HE 220 B L=150.0 cm Crit.: Acciaio_Pressflessione $\gamma M=1.05$ fyk/ $\gamma M=2619$ kg/cmq
ft=4300 kg/cmq :**Verificato**

X	cls	N	TY	TZ	MT	MY	MZ	My4	Mz4	Comb.
cm		kg	kg	kg	kg*m	kg*m	kg*m			
150	1	866	-12	926	5	3650	442	--	--	2

X	cls	Nr	Vyr	Vzr	Mry	Mrz	MTrd	SF_V.	SF_M	SF_Mt	SF
cm		kg	kg	kg	kg*m	kg*m	kg*m				
150	1	238441	106097	42079	21670	10317	652	45	4.7	>100	4.7

Asta: 15 [1148,1182] Sez. G: HE 220 B L=134.3 cm Crit.: Acciaio_Pressflessione $\gamma M=1.05$ fyk/ $\gamma M=2619$ kg/cmq
ft=4300 kg/cmq :**Verificato**

X	cls	N	TY	TZ	MT	MY	MZ	My4	Mz4	Comb.
cm		kg	kg	kg	kg*m	kg*m	kg*m			
0	1	630	-87	-693	-7	930	699	--	--	9

X	cls	Nr	Vyr	Vzr	Mry	Mrz	MTrd	SF_V.	SF_M	SF_Mt	SF
cm		kg	kg	kg	kg*m	kg*m	kg*m				

X	cls	Nr	Vyr	Vzr	Mry	Mrz	MTrd	SF_V.	SF_M	SF_Mt	SF
0	1	238441	105973	42030	21670	10317	652	61	8.8	89	8.8

Asta: 15 [1182,1050] Sez. G: HE 220 B L=134.3 cm Crit.: Acciaio_Pressflessione $\gamma_M=1.05$ fyk/ $\gamma_M=2619$ kg/cmq
ft=4300 kg/cmq :**Verificato**

X	cls	N	TY	TZ	MT	MY	MZ	My4	Mz4	Comb.
cm		kg	kg	kg	kg*m	kg*m	kg*m			
0	1	-44	418	-142	17	107	814	--	--	6

X	cls	Nr	Vyr	Vzr	Mry	Mrz	MTrd	SF_V.	SF_M	SF_Mt	SF
cm		kg	kg	kg	kg*m	kg*m	kg*m				
0	1	238441	105369	41790	21670	10317	652	>100	12	40	12

Asta: 16 [1028,1063] Sez. G: HE 220 B L=134.3 cm Crit.: Acciaio_Pressflessione $\gamma_M=1.05$ fyk/ $\gamma_M=2619$ kg/cmq
ft=4300 kg/cmq :**Verificato**

X	cls	N	TY	TZ	MT	MY	MZ	My4	Mz4	Comb.
cm		kg	kg	kg	kg*m	kg*m	kg*m			
134	1	-43	-409	206	-6	193	773	--	--	7

X	cls	Nr	Vyr	Vzr	Mry	Mrz	MTrd	SF_V.	SF_M	SF_Mt	SF
cm		kg	kg	kg	kg*m	kg*m	kg*m				
134	1	238441	106035	42054	21670	10317	652	>100	12	>100	12

Asta: 16 [1103,1102] Sez. G: HE 220 B L=150.0 cm Crit.: Acciaio_Pressflessione $\gamma_M=1.05$ fyk/ $\gamma_M=2619$ kg/cmq
ft=4300 kg/cmq :**Verificato**

X	cls	N	TY	TZ	MT	MY	MZ	My4	Mz4	Comb.
cm		kg	kg	kg	kg*m	kg*m	kg*m			
0	1	864	-60	-1048	8	3797	383	--	--	1

X	cls	Nr	Vyr	Vzr	Mry	Mrz	MTrd	SF_V.	SF_M	SF_Mt	SF
cm		kg	kg	kg	kg*m	kg*m	kg*m				
0	1	238441	105932	42013	21670	10317	652	40	4.6	82	4.6

Asta: 16 [1134,1150] Sez. G: HE 220 B L=134.3 cm Crit.: Acciaio_Pressflessione $\gamma_M=1.05$ fyk/ $\gamma_M=2619$ kg/cmq
ft=4300 kg/cmq :**Verificato**

X	cls	N	TY	TZ	MT	MY	MZ	My4	Mz4	Comb.
cm		kg	kg	kg	kg*m	kg*m	kg*m			
0	1	843	-109	-1681	7	3523	341	--	--	2

X	cls	Nr	Vyr	Vzr	Mry	Mrz	MTrd	SF_V.	SF_M	SF_Mt	SF
cm		kg	kg	kg	kg*m	kg*m	kg*m				
0	1	238441	106017	42047	21670	10317	652	25	5.0	98	5.0

Asta: 16 [1063,1062] Sez. G: HE 220 B L=134.3 cm Crit.: Acciaio_Pressflessione $\gamma_M=1.05$ fyk/ $\gamma_M=2619$ kg/cmq
ft=4300 kg/cmq :**Verificato**

X	cls	N	TY	TZ	MT	MY	MZ	My4	Mz4	Comb.
cm		kg	kg	kg	kg*m	kg*m	kg*m			
134	1	629	2	764	5	1121	770	--	--	7

X	cls	Nr	Vyr	Vzr	Mry	Mrz	MTrd	SF_V.	SF_M	SF_Mt	SF
cm		kg	kg	kg	kg*m	kg*m	kg*m				
134	1	238441	106148	42099	21670	10317	652	55	7.8	>100	7.8

Asta: 16 [1062,1103] Sez. G: HE 220 B L=134.3 cm Crit.: Acciaio_Pressflessione $\gamma_M=1.05$ fyk/ $\gamma_M=2619$ kg/cmq
ft=4300 kg/cmq :**Verificato**

X	cls	N	TY	TZ	MT	MY	MZ	My4	Mz4	Comb.
cm		kg	kg	kg	kg*m	kg*m	kg*m			
134	1	786	120	1753	-7	3812	328	--	--	1

X	cls	Nr	Vyr	Vzr	Mry	Mrz	MTrd	SF_V.	SF_M	SF_Mt	SF
cm		kg	kg	kg	kg*m	kg*m	kg*m				
134	1	238441	106027	42051	21670	10317	652	24	4.7	>100	4.7

Asta: 16 [1102,1135] Sez. G: HE 220 B L=150.0 cm Crit.: Acciaio_Pressflessione $\gamma_M=1.05$ $f_yk/\gamma_M=2619$ kg/cmq
ft=4300 kg/cmq :**Verificato**

X	cls	N	TY	TZ	MT	MY	MZ	My4	Mz4	Comb.
cm		kg	kg	kg	kg*m	kg*m	kg*m			
0	1	938	-6	-225	-0	2327	472	--	--	1

X	cls	Nr	Vyr	Vzr	Mry	Mrz	MTrd	SF_V.	SF_M	SF_Mt	SF
cm		kg	kg	kg	kg*m	kg*m	kg*m				
0	1	238441	106425	42209	21670	10317	652	>100	6.4	>100	6.4

Asta: 16 [1135,1134] Sez. G: HE 220 B L=150.0 cm Crit.: Acciaio_Pressflessione $\gamma_M=1.05$ $f_yk/\gamma_M=2619$ kg/cmq
ft=4300 kg/cmq :**Verificato**

X	cls	N	TY	TZ	MT	MY	MZ	My4	Mz4	Comb.
cm		kg	kg	kg	kg*m	kg*m	kg*m			
150	1	875	76	918	-7	3504	371	--	--	2

X	cls	Nr	Vyr	Vzr	Mry	Mrz	MTrd	SF_V.	SF_M	SF_Mt	SF
cm		kg	kg	kg	kg*m	kg*m	kg*m				
150	1	238441	105979	42032	21670	10317	652	46	5.0	90	5.0

Asta: 16 [1150,1051] Sez. G: HE 220 B L=134.3 cm Crit.: Acciaio_Pressflessione $\gamma_M=1.05$ $f_yk/\gamma_M=2619$ kg/cmq
ft=4300 kg/cmq :**Verificato**

X	cls	N	TY	TZ	MT	MY	MZ	My4	Mz4	Comb.
cm		kg	kg	kg	kg*m	kg*m	kg*m			
0	1	651	4	-648	-4	808	767	--	--	9

X	cls	Nr	Vyr	Vzr	Mry	Mrz	MTrd	SF_V.	SF_M	SF_Mt	SF
cm		kg	kg	kg	kg*m	kg*m	kg*m				
0	1	238441	106179	42111	21670	10317	652	65	8.7	>100	8.7

Asta: 16 [1051,1186] Sez. G: HE 220 B L=134.3 cm Crit.: Acciaio_Pressflessione $\gamma_M=1.05$ $f_yk/\gamma_M=2619$ kg/cmq
ft=4300 kg/cmq :**Verificato**

X	cls	N	TY	TZ	MT	MY	MZ	My4	Mz4	Comb.
cm		kg	kg	kg	kg*m	kg*m	kg*m			
0	1	-17	405	51	8	-152	772	--	--	8

X	cls	Nr	Vyr	Vzr	Mry	Mrz	MTrd	SF_V.	SF_M	SF_Mt	SF
cm		kg	kg	kg	kg*m	kg*m	kg*m				
0	1	238441	105954	42022	21670	10317	652	>100	12	86	12

Asta: 17 [1029,1067] Sez. G: HE 220 B L=134.3 cm Crit.: Acciaio_Pressflessione $\gamma_M=1.05$ $f_yk/\gamma_M=2619$ kg/cmq
ft=4300 kg/cmq :**Verificato**

X	cls	N	TY	TZ	MT	MY	MZ	My4	Mz4	Comb.
cm		kg	kg	kg	kg*m	kg*m	kg*m			
134	1	-39	-419	211	-10	200	798	--	--	7

X	cls	Nr	Vyr	Vzr	Mry	Mrz	MTrd	SF_V.	SF_M	SF_Mt	SF
cm		kg	kg	kg	kg*m	kg*m	kg*m				
134	1	238441	105794	41959	21670	10317	652	>100	12	65	12

Asta: 17 [1106,1105] Sez. G: HE 220 B L=150.0 cm Crit.: Acciaio_Pressflessione $\gamma_M=1.05$ $f_yk/\gamma_M=2619$ kg/cmq
ft=4300 kg/cmq :**Verificato**

X	cls	N	TY	TZ	MT	MY	MZ	My4	Mz4	Comb.
cm		kg	kg	kg	kg*m	kg*m	kg*m			
0	1	822	-20	-1050	-2	3835	413	--	--	1

X	cls	Nr	Vyr	Vzr	Mry	Mrz	MTrd	SF_V.	SF_M	SF_Mt	SF
cm		kg	kg	kg	kg*m	kg*m	kg*m				
0	1	238441	106350	42179	21670	10317	652	40	4.5	>100	4.5

Asta: 17 [1152,1153] Sez. G: HE 220 B L=134.3 cm Crit.: Acciaio_Pressflessione $\gamma_M=1.05$ $f_yk/\gamma_M=2619$ kg/cmq
ft=4300 kg/cmq :**Verificato**

X	cls	N	TY	TZ	MT	MY	MZ	My4	Mz4	Comb.
cm		kg	kg	kg	kg*m	kg*m	kg*m			
0	1	794	13	-1689	-7	3555	449	--	--	2

X	cls	Nr	Vyr	Vzr	Mry	Mrz	MTrd	SF_V.	SF_M	SF_Mt	SF
cm		kg	kg	kg	kg*m	kg*m	kg*m				
0	1	238441	105982	42033	21670	10317	652	25	4.7	91	4.7

Asta: 17 [1067,1036] Sez. G: HE 220 B L=134.3 cm Crit.: Acciaio_Pressflessione $\gamma M=1.05$ fyk/ $\gamma M=2619$ kg/cmq
ft=4300 kg/cmq :**Verificato**

X	cls	N	TY	TZ	MT	MY	MZ	My4	Mz4	Comb.
cm		kg	kg	kg	kg*m	kg*m	kg*m			
134	1	599	49	769	6	1135	731	--	--	7

X	cls	Nr	Vyr	Vzr	Mry	Mrz	MTrd	SF_V.	SF_M	SF_Mt	SF
cm		kg	kg	kg	kg*m	kg*m	kg*m				
134	1	238441	106081	42073	21670	10317	652	55	8.0	>100	8.0

Asta: 17 [1036,1106] Sez. G: HE 220 B L=134.3 cm Crit.: Acciaio_Pressflessione $\gamma M=1.05$ fyk/ $\gamma M=2619$ kg/cmq
ft=4300 kg/cmq :**Verificato**

X	cls	N	TY	TZ	MT	MY	MZ	My4	Mz4	Comb.
cm		kg	kg	kg	kg*m	kg*m	kg*m			
134	1	738	-13	1762	7	3850	447	--	--	1

X	cls	Nr	Vyr	Vzr	Mry	Mrz	MTrd	SF_V.	SF_M	SF_Mt	SF
cm		kg	kg	kg	kg*m	kg*m	kg*m				
134	1	238441	105990	42036	21670	10317	652	24	4.5	92	4.5

Asta: 17 [1105,1042] Sez. G: HE 220 B L=150.0 cm Crit.: Acciaio_Pressflessione $\gamma M=1.05$ fyk/ $\gamma M=2619$ kg/cmq
ft=4300 kg/cmq :**Verificato**

X	cls	N	TY	TZ	MT	MY	MZ	My4	Mz4	Comb.
cm		kg	kg	kg	kg*m	kg*m	kg*m			
0	1	920	-6	-227	-0	2362	444	--	--	1

X	cls	Nr	Vyr	Vzr	Mry	Mrz	MTrd	SF_V.	SF_M	SF_Mt	SF
cm		kg	kg	kg	kg*m	kg*m	kg*m				
0	1	238441	106444	42217	21670	10317	652	>100	6.4	>100	6.4

Asta: 17 [1042,1152] Sez. G: HE 220 B L=150.0 cm Crit.: Acciaio_Pressflessione $\gamma M=1.05$ fyk/ $\gamma M=2619$ kg/cmq
ft=4300 kg/cmq :**Verificato**

X	cls	N	TY	TZ	MT	MY	MZ	My4	Mz4	Comb.
cm		kg	kg	kg	kg*m	kg*m	kg*m			
150	1	834	34	917	1	3536	398	--	--	2

X	cls	Nr	Vyr	Vzr	Mry	Mrz	MTrd	SF_V.	SF_M	SF_Mt	SF
cm		kg	kg	kg	kg*m	kg*m	kg*m				
150	1	238441	106384	42193	21670	10317	652	46	4.9	>100	4.9

Asta: 17 [1153,1052] Sez. G: HE 220 B L=134.3 cm Crit.: Acciaio_Pressflessione $\gamma M=1.05$ fyk/ $\gamma M=2619$ kg/cmq
ft=4300 kg/cmq :**Verificato**

X	cls	N	TY	TZ	MT	MY	MZ	My4	Mz4	Comb.
cm		kg	kg	kg	kg*m	kg*m	kg*m			
0	1	621	-50	-651	-6	817	734	--	--	9

X	cls	Nr	Vyr	Vzr	Mry	Mrz	MTrd	SF_V.	SF_M	SF_Mt	SF
cm		kg	kg	kg	kg*m	kg*m	kg*m				
0	1	238441	106063	42065	21670	10317	652	65	9.0	>100	9.0

Asta: 17 [1052,1190] Sez. G: HE 220 B L=134.3 cm Crit.: Acciaio_Pressflessione $\gamma M=1.05$ fyk/ $\gamma M=2619$ kg/cmq
ft=4300 kg/cmq :**Verificato**

X	cls	N	TY	TZ	MT	MY	MZ	My4	Mz4	Comb.
cm		kg	kg	kg	kg*m	kg*m	kg*m			
0	1	-16	411	52	12	-154	792	--	--	8

X	cls	Nr	Vyr	Vzr	Mry	Mrz	MTrd	SF_V.	SF_M	SF_Mt	SF
cm		kg	kg	kg	kg*m	kg*m	kg*m				
0	1	238441	105639	41897	21670	10317	652	>100	12	53	12

Asta: 18 [1030,1070] Sez. G: HE 220 B L=134.3 cm Crit.: Acciaio_Pressflessione $\gamma M=1.05$ fyk/ $\gamma M=2619$ kg/cmq
ft=4300 kg/cmq :**Verificato**

X	cls	N	TY	TZ	MT	MY	MZ	My4	Mz4	Comb.
cm		kg	kg	kg	kg*m	kg*m	kg*m			
134	1	-22	-379	273	-8	283	735	--	--	8

X	cls	Nr	Vyr	Vzr	Mry	Mrz	MTrd	SF_V.	SF_M	SF_Mt	SF
cm		kg	kg	kg	kg*m	kg*m	kg*m				
134	1	238441	105953	42022	21670	10317	652	>100	12	85	12

Asta: 18 [1110,1109] Sez. G: HE 220 B L=150.0 cm Crit.: Acciaio_Pressflessione $\gamma M=1.05$ fyk/ $\gamma M=2619$ kg/cmq
ft=4300 kg/cmq :**Verificato**

X	cls	N	TY	TZ	MT	MY	MZ	My4	Mz4	Comb.
cm		kg	kg	kg	kg*m	kg*m	kg*m			
0	1	684	-41	-1064	8	4089	402	--	--	1

X	cls	Nr	Vyr	Vzr	Mry	Mrz	MTrd	SF_V.	SF_M	SF_Mt	SF
cm		kg	kg	kg	kg*m	kg*m	kg*m				
0	1	238441	105922	42010	21670	10317	652	39	4.3	80	4.3

Asta: 18 [1157,1156] Sez. G: HE 220 B L=134.3 cm Crit.: Acciaio_Pressflessione $\gamma M=1.05$ fyk/ $\gamma M=2619$ kg/cmq
ft=4300 kg/cmq :**Verificato**

X	cls	N	TY	TZ	MT	MY	MZ	My4	Mz4	Comb.
cm		kg	kg	kg	kg*m	kg*m	kg*m			
0	1	630	-89	-1754	9	3822	373	--	--	2

X	cls	Nr	Vyr	Vzr	Mry	Mrz	MTrd	SF_V.	SF_M	SF_Mt	SF
cm		kg	kg	kg	kg*m	kg*m	kg*m				
0	1	238441	105874	41990	21670	10317	652	24	4.6	74	4.6

Asta: 18 [1070,1071] Sez. G: HE 220 B L=134.3 cm Crit.: Acciaio_Pressflessione $\gamma M=1.05$ fyk/ $\gamma M=2619$ kg/cmq
ft=4300 kg/cmq :**Verificato**

X	cls	N	TY	TZ	MT	MY	MZ	My4	Mz4	Comb.
cm		kg	kg	kg	kg*m	kg*m	kg*m			
134	1	463	-33	828	3	1298	777	--	--	7

X	cls	Nr	Vyr	Vzr	Mry	Mrz	MTrd	SF_V.	SF_M	SF_Mt	SF
cm		kg	kg	kg	kg*m	kg*m	kg*m				
134	1	238441	106241	42136	21670	10317	652	51	7.3	>100	7.3

Asta: 18 [1071,1110] Sez. G: HE 220 B L=134.3 cm Crit.: Acciaio_Pressflessione $\gamma M=1.05$ fyk/ $\gamma M=2619$ kg/cmq
ft=4300 kg/cmq :**Verificato**

X	cls	N	TY	TZ	MT	MY	MZ	My4	Mz4	Comb.
cm		kg	kg	kg	kg*m	kg*m	kg*m			
134	1	575	104	1824	-9	4106	355	--	--	1

X	cls	Nr	Vyr	Vzr	Mry	Mrz	MTrd	SF_V.	SF_M	SF_Mt	SF
cm		kg	kg	kg	kg*m	kg*m	kg*m				
134	1	238441	105885	41995	21670	10317	652	23	4.4	75	4.4

Asta: 18 [1109,1139] Sez. G: HE 220 B L=150.0 cm Crit.: Acciaio_Pressflessione $\gamma M=1.05$ fyk/ $\gamma M=2619$ kg/cmq
ft=4300 kg/cmq :**Verificato**

X	cls	N	TY	TZ	MT	MY	MZ	My4	Mz4	Comb.
cm		kg	kg	kg	kg*m	kg*m	kg*m			
0	1	831	-14	-241	-1	2593	462	--	--	1

X	cls	Nr	Vyr	Vzr	Mry	Mrz	MTrd	SF_V.	SF_M	SF_Mt	SF
cm		kg	kg	kg	kg*m	kg*m	kg*m				

X	cls	Nr	Vyr	Vzr	Mry	Mrz	MTrd	SF_V.	SF_M	SF_Mt	SF
0	1	238441	106396	42198	21670	10317	652	>100	6.0	>100	6.0

Asta: 18 [1139,1157] Sez. G: HE 220 B L=150.0 cm Crit.: Acciaio_Pressflessione $\gamma_M=1.05$ fyk/ $\gamma_M=2619$ kg/cmq
ft=4300 kg/cmq :**Verificato**

X	cls	N	TY	TZ	MT	MY	MZ	My4	Mz4	Comb.
cm		kg	kg	kg	kg*m	kg*m	kg*m			
150	1	705	72	937	-7	3801	377	--	--	2

X	cls	Nr	Vyr	Vzr	Mry	Mrz	MTrd	SF_V.	SF_M	SF_Mt	SF
cm		kg	kg	kg	kg*m	kg*m	kg*m				
150	1	238441	105974	42030	21670	10317	652	45	4.7	89	4.7

Asta: 18 [1156,1194] Sez. G: HE 220 B L=134.3 cm Crit.: Acciaio_Pressflessione $\gamma_M=1.05$ fyk/ $\gamma_M=2619$ kg/cmq
ft=4300 kg/cmq :**Verificato**

X	cls	N	TY	TZ	MT	MY	MZ	My4	Mz4	Comb.
cm		kg	kg	kg	kg*m	kg*m	kg*m			
0	1	621	70	-1015	-1	1550	492	--	--	2

X	cls	Nr	Vyr	Vzr	Mry	Mrz	MTrd	SF_V.	SF_M	SF_Mt	SF
cm		kg	kg	kg	kg*m	kg*m	kg*m				
0	1	238441	106409	42203	21670	10317	652	42	8.2	>100	8.2

Asta: 18 [1194,1053] Sez. G: HE 220 B L=134.3 cm Crit.: Acciaio_Pressflessione $\gamma_M=1.05$ fyk/ $\gamma_M=2619$ kg/cmq
ft=4300 kg/cmq :**Verificato**

X	cls	N	TY	TZ	MT	MY	MZ	My4	Mz4	Comb.
cm		kg	kg	kg	kg*m	kg*m	kg*m			
0	1	-13	393	63	7	-168	755	--	--	8

X	cls	Nr	Vyr	Vzr	Mry	Mrz	MTrd	SF_V.	SF_M	SF_Mt	SF
cm		kg	kg	kg	kg*m	kg*m	kg*m				
0	1	238441	105994	42038	21670	10317	652	>100	12	93	12

Asta: 19 [1155,1154] Sez. G: HE 220 B L=134.3 cm Crit.: Acciaio_Pressflessione $\gamma_M=1.05$ fyk/ $\gamma_M=2619$ kg/cmq
ft=4300 kg/cmq :**Verificato**

X	cls	N	TY	TZ	MT	MY	MZ	My4	Mz4	Comb.
cm		kg	kg	kg	kg*m	kg*m	kg*m			
0	1	-777	-16	-1664	6	3475	446	--	--	2

X	cls	Nr	Vyr	Vzr	Mry	Mrz	MTrd	SF_V.	SF_M	SF_Mt	SF
cm		kg	kg	kg	kg*m	kg*m	kg*m				
0	1	238441	106040	42057	21670	10317	652	25	4.8	>100	4.8

Asta: 19 [1107,1108] Sez. G: HE 220 B L=150.0 cm Crit.: Acciaio_Pressflessione $\gamma_M=1.05$ fyk/ $\gamma_M=2619$ kg/cmq
ft=4300 kg/cmq :**Verificato**

X	cls	N	TY	TZ	MT	MY	MZ	My4	Mz4	Comb.
cm		kg	kg	kg	kg*m	kg*m	kg*m			
0	1	-771	-33	-1007	4	3693	409	--	--	1

X	cls	Nr	Vyr	Vzr	Mry	Mrz	MTrd	SF_V.	SF_M	SF_Mt	SF
cm		kg	kg	kg	kg*m	kg*m	kg*m				
0	1	238441	106177	42111	21670	10317	652	42	4.7	>100	4.7

Asta: 19 [1046,1068] Sez. G: HE 220 B L=134.3 cm Crit.: Acciaio_Pressflessione $\gamma_M=1.05$ fyk/ $\gamma_M=2619$ kg/cmq
ft=4300 kg/cmq :**Verificato**

X	cls	N	TY	TZ	MT	MY	MZ	My4	Mz4	Comb.
cm		kg	kg	kg	kg*m	kg*m	kg*m			
134	1	-614	-261	172	7	147	618	--	--	7

X	cls	Nr	Vyr	Vzr	Mry	Mrz	MTrd	SF_V.	SF_M	SF_Mt	SF
cm		kg	kg	kg	kg*m	kg*m	kg*m				
134	1	238441	105965	42026	21670	10317	652	>100	14	88	14

Asta: 19 [1068,1069] Sez. G: HE 220 B L=134.3 cm Crit.: Acciaio_Pressflessione $\gamma_M=1.05$ $f_yk/\gamma_M=2619$ kg/cmq
 $f_t=4300$ kg/cmq :**Verificato**

X	cls	N	TY	TZ	MT	MY	MZ	My4	Mz4	Comb.
cm		kg	kg	kg	kg*m	kg*m	kg*m			
134	1	-621	-106	730	-2	1044	760	--	--	7

X	cls	Nr	Vyr	Vzr	Mry	Mrz	MTrd	SF_V.	SF_M	SF_Mt	SF
cm		kg	kg	kg	kg*m	kg*m	kg*m				
134	1	238441	106331	42172	21670	10317	652	58	8.0	>100	8.0

Asta: 19 [1069,1107] Sez. G: HE 220 B L=134.3 cm Crit.: Acciaio_Pressflessione $\gamma_M=1.05$ $f_yk/\gamma_M=2619$ kg/cmq
 $f_t=4300$ kg/cmq :**Verificato**

X	cls	N	TY	TZ	MT	MY	MZ	My4	Mz4	Comb.
cm		kg	kg	kg	kg*m	kg*m	kg*m			
134	1	-789	22	1718	-7	3691	438	--	--	1

X	cls	Nr	Vyr	Vzr	Mry	Mrz	MTrd	SF_V.	SF_M	SF_Mt	SF
cm		kg	kg	kg	kg*m	kg*m	kg*m				
134	1	238441	106020	42049	21670	10317	652	24	4.6	99	4.6

Asta: 19 [1108,1138] Sez. G: HE 220 B L=150.0 cm Crit.: Acciaio_Pressflessione $\gamma_M=1.05$ $f_yk/\gamma_M=2619$ kg/cmq
 $f_t=4300$ kg/cmq :**Verificato**

X	cls	N	TY	TZ	MT	MY	MZ	My4	Mz4	Comb.
cm		kg	kg	kg	kg*m	kg*m	kg*m			
0	1	-682	-8	-184	-0	2285	457	--	--	1

X	cls	Nr	Vyr	Vzr	Mry	Mrz	MTrd	SF_V.	SF_M	SF_Mt	SF
cm		kg	kg	kg	kg*m	kg*m	kg*m				
0	1	238441	106428	42210	21670	10317	652	>100	6.6	>100	6.6

Asta: 19 [1138,1155] Sez. G: HE 220 B L=150.0 cm Crit.: Acciaio_Pressflessione $\gamma_M=1.05$ $f_yk/\gamma_M=2619$ kg/cmq
 $f_t=4300$ kg/cmq :**Verificato**

X	cls	N	TY	TZ	MT	MY	MZ	My4	Mz4	Comb.
cm		kg	kg	kg	kg*m	kg*m	kg*m			
150	1	-808	54	911	-4	3477	388	--	--	2

X	cls	Nr	Vyr	Vzr	Mry	Mrz	MTrd	SF_V.	SF_M	SF_Mt	SF
cm		kg	kg	kg	kg*m	kg*m	kg*m				
150	1	238441	106179	42112	21670	10317	652	46	5.0	>100	5.0

Asta: 19 [1154,1192] Sez. G: HE 220 B L=134.3 cm Crit.: Acciaio_Pressflessione $\gamma_M=1.05$ $f_yk/\gamma_M=2619$ kg/cmq
 $f_t=4300$ kg/cmq :**Verificato**

X	cls	N	TY	TZ	MT	MY	MZ	My4	Mz4	Comb.
cm		kg	kg	kg	kg*m	kg*m	kg*m			
0	1	-637	105	-641	2	804	758	--	--	9

X	cls	Nr	Vyr	Vzr	Mry	Mrz	MTrd	SF_V.	SF_M	SF_Mt	SF
cm		kg	kg	kg	kg*m	kg*m	kg*m				
0	1	238441	106326	42170	21670	10317	652	66	8.8	>100	8.8

Asta: 19 [1192,1191] Sez. G: HE 220 B L=134.3 cm Crit.: Acciaio_Pressflessione $\gamma_M=1.05$ $f_yk/\gamma_M=2619$ kg/cmq
 $f_t=4300$ kg/cmq :**Verificato**

X	cls	N	TY	TZ	MT	MY	MZ	My4	Mz4	Comb.
cm		kg	kg	kg	kg*m	kg*m	kg*m			
0	1	-532	264	-20	-8	-57	619	--	--	6

X	cls	Nr	Vyr	Vzr	Mry	Mrz	MTrd	SF_V.	SF_M	SF_Mt	SF
cm		kg	kg	kg	kg*m	kg*m	kg*m				
0	1	238441	105952	42021	21670	10317	652	>100	15	85	15

Asta: 20 [1101,1100] Sez. G: HE 220 B L=150.0 cm Crit.: Acciaio_Pressflessione $\gamma_M=1.05$ $f_yk/\gamma_M=2619$ kg/cmq
 $f_t=4300$ kg/cmq :**Verificato**

X	cls	N	TY	TZ	MT	MY	MZ	My4	Mz4	Comb.
cm		kg	kg	kg	kg*m	kg*m	kg*m			
0	1	-894	-4	-1001	1	3599	439	--	--	1

X	cls	Nr	Vyr	Vzr	Mry	Mrz	MTrd	SF_V.	SF_M	SF_Mt	SF
cm		kg	kg	kg	kg*m	kg*m	kg*m				
0	1	238441	106416	42206	21670	10317	652	42	4.7	>100	4.7

Asta: 20 [1132,1149] Sez. G: HE 220 B L=134.3 cm Crit.: Acciaio_Pressflessione $\gamma M=1.05$ fyk/ $\gamma M=2619$ kg/cmq
ft=4300 kg/cmq :**Verificato**

X	cls	N	TY	TZ	MT	MY	MZ	My4	Mz4	Comb.
cm		kg	kg	kg	kg*m	kg*m	kg*m			
0	1	-923	24	-1642	2	3388	472	--	--	2

X	cls	Nr	Vyr	Vzr	Mry	Mrz	MTrd	SF_V.	SF_M	SF_Mt	SF
cm		kg	kg	kg	kg*m	kg*m	kg*m				
0	1	238441	106289	42155	21670	10317	652	26	4.9	>100	4.9

Asta: 20 [1041,1042] Sez. G: HE 220 B L=134.3 cm Crit.: Acciaio_Pressflessione $\gamma M=1.05$ fyk/ $\gamma M=2619$ kg/cmq
ft=4300 kg/cmq :**Verificato**

X	cls	N	TY	TZ	MT	MY	MZ	My4	Mz4	Comb.
cm		kg	kg	kg	kg*m	kg*m	kg*m			
134	1	-726	-240	163	8	135	609	--	--	7

X	cls	Nr	Vyr	Vzr	Mry	Mrz	MTrd	SF_V.	SF_M	SF_Mt	SF
cm		kg	kg	kg	kg*m	kg*m	kg*m				
134	1	238441	105956	42023	21670	10317	652	>100	15	86	15

Asta: 20 [1042,1061] Sez. G: HE 220 B L=134.3 cm Crit.: Acciaio_Pressflessione $\gamma M=1.05$ fyk/ $\gamma M=2619$ kg/cmq
ft=4300 kg/cmq :**Verificato**

X	cls	N	TY	TZ	MT	MY	MZ	My4	Mz4	Comb.
cm		kg	kg	kg	kg*m	kg*m	kg*m			
134	1	-733	-88	721	-2	1019	729	--	--	7

X	cls	Nr	Vyr	Vzr	Mry	Mrz	MTrd	SF_V.	SF_M	SF_Mt	SF
cm		kg	kg	kg	kg*m	kg*m	kg*m				
134	1	238441	106351	42180	21670	10317	652	59	8.3	>100	8.3

Asta: 20 [1061,1101] Sez. G: HE 220 B L=134.3 cm Crit.: Acciaio_Pressflessione $\gamma M=1.05$ fyk/ $\gamma M=2619$ kg/cmq
ft=4300 kg/cmq :**Verificato**

X	cls	N	TY	TZ	MT	MY	MZ	My4	Mz4	Comb.
cm		kg	kg	kg	kg*m	kg*m	kg*m			
134	1	-933	-21	1695	-3	3598	468	--	--	1

X	cls	Nr	Vyr	Vzr	Mry	Mrz	MTrd	SF_V.	SF_M	SF_Mt	SF
cm		kg	kg	kg	kg*m	kg*m	kg*m				
134	1	238441	106282	42152	21670	10317	652	25	4.6	>100	4.6

Asta: 20 [1100,1133] Sez. G: HE 220 B L=150.0 cm Crit.: Acciaio_Pressflessione $\gamma M=1.05$ fyk/ $\gamma M=2619$ kg/cmq
ft=4300 kg/cmq :**Verificato**

X	cls	N	TY	TZ	MT	MY	MZ	My4	Mz4	Comb.
cm		kg	kg	kg	kg*m	kg*m	kg*m			
0	1	-839	-3	-178	-0	2201	444	--	--	1

X	cls	Nr	Vyr	Vzr	Mry	Mrz	MTrd	SF_V.	SF_M	SF_Mt	SF
cm		kg	kg	kg	kg*m	kg*m	kg*m				
0	1	238441	106444	42217	21670	10317	652	>100	6.7	>100	6.7

Asta: 20 [1133,1132] Sez. G: HE 220 B L=150.0 cm Crit.: Acciaio_Pressflessione $\gamma M=1.05$ fyk/ $\gamma M=2619$ kg/cmq
ft=4300 kg/cmq :**Verificato**

X	cls	N	TY	TZ	MT	MY	MZ	My4	Mz4	Comb.
cm		kg	kg	kg	kg*m	kg*m	kg*m			
150	1	-928	12	908	-0	3390	431	--	--	2

X	cls	Nr	Vyr	Vzr	Mry	Mrz	MTrd	SF_V.	SF_M	SF_Mt	SF
cm		kg	kg	kg	kg*m	kg*m	kg*m				
150	1	238441	106423	42208	21670	10317	652	46	4.9	>100	4.9

Asta: 20 [1149,1184] Sez. G: HE 220 B L=134.3 cm Crit.: Acciaio_Pressflessione $\gamma M=1.05$ fyk/ $\gamma M=2619$ kg/cmq
ft=4300 kg/cmq :**Verificato**

X	cls	N	TY	TZ	MT	MY	MZ	My4	Mz4	Comb.
cm		kg	kg	kg	kg*m	kg*m	kg*m			
0	1	-752	89	-635	2	788	728	--	--	9

X	cls	Nr	Vyr	Vzr	Mry	Mrz	MTrd	SF_V.	SF_M	SF_Mt	SF
cm		kg	kg	kg	kg*m	kg*m	kg*m				
0	1	238441	106350	42180	21670	10317	652	66	9.1	>100	9.1

Asta: 20 [1184,1183] Sez. G: HE 220 B L=134.3 cm Crit.: Acciaio_Pressflessione $\gamma M=1.05$ fyk/ $\gamma M=2619$ kg/cmq
ft=4300 kg/cmq :**Verificato**

X	cls	N	TY	TZ	MT	MY	MZ	My4	Mz4	Comb.
cm		kg	kg	kg	kg*m	kg*m	kg*m			
0	1	-654	241	-16	-8	-62	609	--	--	6

X	cls	Nr	Vyr	Vzr	Mry	Mrz	MTrd	SF_V.	SF_M	SF_Mt	SF
cm		kg	kg	kg	kg*m	kg*m	kg*m				
0	1	238441	105960	42025	21670	10317	652	>100	15	87	15

Asta: 21 [1031,1034] Sez. G: HE 220 B L=134.3 cm Crit.: Acciaio_Pressflessione $\gamma M=1.05$ fyk/ $\gamma M=2619$ kg/cmq
ft=4300 kg/cmq :**Verificato**

X	cls	N	TY	TZ	MT	MY	MZ	My4	Mz4	Comb.
cm		kg	kg	kg	kg*m	kg*m	kg*m			
134	1	-700	-229	181	6	159	599	--	--	7

X	cls	Nr	Vyr	Vzr	Mry	Mrz	MTrd	SF_V.	SF_M	SF_Mt	SF
cm		kg	kg	kg	kg*m	kg*m	kg*m				
134	1	238441	106056	42063	21670	10317	652	>100	15	>100	15

Asta: 21 [1056,1092] Sez. G: HE 220 B L=150.0 cm Crit.: Acciaio_Pressflessione $\gamma M=1.05$ fyk/ $\gamma M=2619$ kg/cmq
ft=4300 kg/cmq :**Verificato**

X	cls	N	TY	TZ	MT	MY	MZ	My4	Mz4	Comb.
cm		kg	kg	kg	kg*m	kg*m	kg*m			
0	1	-861	-8	-1005	1	3700	435	--	--	1

X	cls	Nr	Vyr	Vzr	Mry	Mrz	MTrd	SF_V.	SF_M	SF_Mt	SF
cm		kg	kg	kg	kg*m	kg*m	kg*m				
0	1	238441	106405	42201	21670	10317	652	42	4.6	>100	4.6

Asta: 21 [1128,1145] Sez. G: HE 220 B L=134.3 cm Crit.: Acciaio_Pressflessione $\gamma M=1.05$ fyk/ $\gamma M=2619$ kg/cmq
ft=4300 kg/cmq :**Verificato**

X	cls	N	TY	TZ	MT	MY	MZ	My4	Mz4	Comb.
cm		kg	kg	kg	kg*m	kg*m	kg*m			
0	1	-884	19	-1667	3	3486	463	--	--	2

X	cls	Nr	Vyr	Vzr	Mry	Mrz	MTrd	SF_V.	SF_M	SF_Mt	SF
cm		kg	kg	kg	kg*m	kg*m	kg*m				
0	1	238441	106243	42137	21670	10317	652	25	4.8	>100	4.8

Asta: 21 [1034,1035] Sez. G: HE 220 B L=134.3 cm Crit.: Acciaio_Pressflessione $\gamma M=1.05$ fyk/ $\gamma M=2619$ kg/cmq
ft=4300 kg/cmq :**Verificato**

X	cls	N	TY	TZ	MT	MY	MZ	My4	Mz4	Comb.
cm		kg	kg	kg	kg*m	kg*m	kg*m			
134	1	-707	-93	739	-2	1068	724	--	--	7

X	cls	Nr	Vyr	Vzr	Mry	Mrz	MTrd	SF_V.	SF_M	SF_Mt	SF
cm		kg	kg	kg	kg*m	kg*m	kg*m				

X	cls	Nr	Vyr	Vzr	Mry	Mrz	MTrd	SF_V.	SF_M	SF_Mt	SF
134	1	238441	106315	42165	21670	10317	652	57	8.2	>100	8.2

Asta: 21 [1035,1056] Sez. G: HE 220 B L=134.3 cm Crit.: Acciaio_Pressflessione $\gamma_M=1.05$ fyk/ $\gamma_M=2619$ kg/cmq
ft=4300 kg/cmq :**Verificato**

X	cls	N	TY	TZ	MT	MY	MZ	My4	Mz4	Comb.
cm		kg	kg	kg	kg*m	kg*m	kg*m			
134	1	-895	-22	1720	-3	3699	466	--	--	1

X	cls	Nr	Vyr	Vzr	Mry	Mrz	MTrd	SF_V.	SF_M	SF_Mt	SF
cm		kg	kg	kg	kg*m	kg*m	kg*m				
134	1	238441	106253	42141	21670	10317	652	25	4.6	>100	4.6

Asta: 21 [1092,1093] Sez. G: HE 220 B L=150.0 cm Crit.: Acciaio_Pressflessione $\gamma_M=1.05$ fyk/ $\gamma_M=2619$ kg/cmq
ft=4300 kg/cmq :**Verificato**

X	cls	N	TY	TZ	MT	MY	MZ	My4	Mz4	Comb.
cm		kg	kg	kg	kg*m	kg*m	kg*m			
0	1	-791	1	-182	0	2295	446	--	--	1

X	cls	Nr	Vyr	Vzr	Mry	Mrz	MTrd	SF_V.	SF_M	SF_Mt	SF
cm		kg	kg	kg	kg*m	kg*m	kg*m				
0	1	238441	106450	42219	21670	10317	652	>100	6.6	>100	6.6

Asta: 21 [1093,1128] Sez. G: HE 220 B L=150.0 cm Crit.: Acciaio_Pressflessione $\gamma_M=1.05$ fyk/ $\gamma_M=2619$ kg/cmq
ft=4300 kg/cmq :**Verificato**

X	cls	N	TY	TZ	MT	MY	MZ	My4	Mz4	Comb.
cm		kg	kg	kg	kg*m	kg*m	kg*m			
150	1	-894	2	911	-1	3488	440	--	--	2

X	cls	Nr	Vyr	Vzr	Mry	Mrz	MTrd	SF_V.	SF_M	SF_Mt	SF
cm		kg	kg	kg	kg*m	kg*m	kg*m				
150	1	238441	106398	42199	21670	10317	652	46	4.8	>100	4.8

Asta: 21 [1145,1176] Sez. G: HE 220 B L=134.3 cm Crit.: Acciaio_Pressflessione $\gamma_M=1.05$ fyk/ $\gamma_M=2619$ kg/cmq
ft=4300 kg/cmq :**Verificato**

X	cls	N	TY	TZ	MT	MY	MZ	My4	Mz4	Comb.
cm		kg	kg	kg	kg*m	kg*m	kg*m			
0	1	-723	92	-653	2	836	725	--	--	9

X	cls	Nr	Vyr	Vzr	Mry	Mrz	MTrd	SF_V.	SF_M	SF_Mt	SF
cm		kg	kg	kg	kg*m	kg*m	kg*m				
0	1	238441	106312	42164	21670	10317	652	65	8.9	>100	8.9

Asta: 21 [1176,1175] Sez. G: HE 220 B L=134.3 cm Crit.: Acciaio_Pressflessione $\gamma_M=1.05$ fyk/ $\gamma_M=2619$ kg/cmq
ft=4300 kg/cmq :**Verificato**

X	cls	N	TY	TZ	MT	MY	MZ	My4	Mz4	Comb.
cm		kg	kg	kg	kg*m	kg*m	kg*m			
0	1	-732	230	-95	-6	43	600	--	--	9

X	cls	Nr	Vyr	Vzr	Mry	Mrz	MTrd	SF_V.	SF_M	SF_Mt	SF
cm		kg	kg	kg	kg*m	kg*m	kg*m				
0	1	238441	106051	42061	21670	10317	652	>100	16	>100	16

Asta: 22 [1031,1075] Sez. G: HE 220 B L=134.3 cm Crit.: Acciaio_Pressflessione $\gamma_M=1.05$ fyk/ $\gamma_M=2619$ kg/cmq
ft=4300 kg/cmq :**Verificato**

X	cls	N	TY	TZ	MT	MY	MZ	My4	Mz4	Comb.
cm		kg	kg	kg	kg*m	kg*m	kg*m			
134	1	142	-348	292	-23	308	705	--	--	8

X	cls	Nr	Vyr	Vzr	Mry	Mrz	MTrd	SF_V.	SF_M	SF_Mt	SF
cm		kg	kg	kg	kg*m	kg*m	kg*m				
134	1	238441	104937	41619	21670	10317	652	>100	12	28	12

Asta: 22 [1113,1112] Sez. G: HE 220 B L=150.0 cm Crit.: Acciaio_Pressflessione $\gamma M=1.05$ fyk/ $\gamma M=2619$ kg/cmq
ft=4300 kg/cmq :**Verificato**

X	cls	N	TY	TZ	MT	MY	MZ	My4	Mz4	Comb.
cm		kg	kg	kg	kg*m	kg*m	kg*m			
0	1	748	105	-1047	-24	3933	535	--	--	1

X	cls	Nr	Vyr	Vzr	Mry	Mrz	MTrd	SF_V.	SF_M	SF_Mt	SF
cm		kg	kg	kg	kg*m	kg*m	kg*m				
0	1	238441	104889	41600	21670	10317	652	40	4.2	27	4.2

Asta: 22 [1160,1159] Sez. G: HE 220 B L=134.3 cm Crit.: Acciaio_Pressflessione $\gamma M=1.05$ fyk/ $\gamma M=2619$ kg/cmq
ft=4300 kg/cmq :**Verificato**

X	cls	N	TY	TZ	MT	MY	MZ	My4	Mz4	Comb.
cm		kg	kg	kg	kg*m	kg*m	kg*m			
0	1	358	188	-1711	-27	3691	591	--	--	2

X	cls	Nr	Vyr	Vzr	Mry	Mrz	MTrd	SF_V.	SF_M	SF_Mt	SF
cm		kg	kg	kg	kg*m	kg*m	kg*m				
0	1	238441	104655	41507	21670	10317	652	24	4.4	24	4.4

Asta: 22 [1075,1037] Sez. G: HE 220 B L=134.3 cm Crit.: Acciaio_Pressflessione $\gamma M=1.05$ fyk/ $\gamma M=2619$ kg/cmq
ft=4300 kg/cmq :**Verificato**

X	cls	N	TY	TZ	MT	MY	MZ	My4	Mz4	Comb.
cm		kg	kg	kg	kg*m	kg*m	kg*m			
134	1	650	60	828	3	1304	624	--	--	7

X	cls	Nr	Vyr	Vzr	Mry	Mrz	MTrd	SF_V.	SF_M	SF_Mt	SF
cm		kg	kg	kg	kg*m	kg*m	kg*m				
134	1	238441	106234	42133	21670	10317	652	51	8.1	>100	8.1

Asta: 22 [1037,1113] Sez. G: HE 220 B L=134.3 cm Crit.: Acciaio_Pressflessione $\gamma M=1.05$ fyk/ $\gamma M=2619$ kg/cmq
ft=4300 kg/cmq :**Verificato**

X	cls	N	TY	TZ	MT	MY	MZ	My4	Mz4	Comb.
cm		kg	kg	kg	kg*m	kg*m	kg*m			
134	1	810	-276	1778	28	3950	701	--	--	1

X	cls	Nr	Vyr	Vzr	Mry	Mrz	MTrd	SF_V.	SF_M	SF_Mt	SF
cm		kg	kg	kg	kg*m	kg*m	kg*m				
134	1	238441	104637	41500	21670	10317	652	23	3.9	24	3.9

Asta: 22 [1112,1043] Sez. G: HE 220 B L=150.0 cm Crit.: Acciaio_Pressflessione $\gamma M=1.05$ fyk/ $\gamma M=2619$ kg/cmq
ft=4300 kg/cmq :**Verificato**

X	cls	N	TY	TZ	MT	MY	MZ	My4	Mz4	Comb.
cm		kg	kg	kg	kg*m	kg*m	kg*m			
0	1	1118	15	-276	-1	1818	681	--	--	7

X	cls	Nr	Vyr	Vzr	Mry	Mrz	MTrd	SF_V.	SF_M	SF_Mt	SF
cm		kg	kg	kg	kg*m	kg*m	kg*m				
0	1	238441	106387	42194	21670	10317	652	>100	6.5	>100	6.5

Asta: 22 [1043,1160] Sez. G: HE 220 B L=150.0 cm Crit.: Acciaio_Pressflessione $\gamma M=1.05$ fyk/ $\gamma M=2619$ kg/cmq
ft=4300 kg/cmq :**Verificato**

X	cls	N	TY	TZ	MT	MY	MZ	My4	Mz4	Comb.
cm		kg	kg	kg	kg*m	kg*m	kg*m			
150	1	1043	-179	926	23	3655	628	--	--	2

X	cls	Nr	Vyr	Vzr	Mry	Mrz	MTrd	SF_V.	SF_M	SF_Mt	SF
cm		kg	kg	kg	kg*m	kg*m	kg*m				
150	1	238441	104916	41610	21670	10317	652	45	4.3	28	4.3

Asta: 22 [1159,1198] Sez. G: HE 220 B L=134.3 cm Crit.: Acciaio_Pressflessione $\gamma M=1.05$ fyk/ $\gamma M=2619$ kg/cmq
ft=4300 kg/cmq :**Verificato**

X	cls	N	TY	TZ	MT	MY	MZ	My4	Mz4	Comb.
cm		kg	kg	kg	kg*m	kg*m	kg*m			
0	1	72	-51	-664	-4	991	658	--	--	6

X	cls	Nr	Vyr	Vzr	Mry	Mrz	MTrd	SF_V.	SF_M	SF_Mt	SF
cm		kg	kg	kg	kg*m	kg*m	kg*m				
0	1	238441	106197	42119	21670	10317	652	63	9.1	>100	9.1

Asta: 22 [1198,1054] Sez. G: HE 220 B L=134.3 cm Crit.: Acciaio_Pressflessione $\gamma M=1.05$ fyk/ $\gamma M=2619$ kg/cm² ft=4300 kg/cm² :**Verificato**

X	cls	N	TY	TZ	MT	MY	MZ	My4	Mz4	Comb.
cm		kg	kg	kg	kg*m	kg*m	kg*m			
0	1	15	369	-199	27	183	727	--	--	6

X	cls	Nr	Vyr	Vzr	Mry	Mrz	MTrd	SF_V.	SF_M	SF_Mt	SF
cm		kg	kg	kg	kg*m	kg*m	kg*m				
0	1	238441	104644	41503	21670	10317	652	>100	13	24	13

Asta: 23 [1014,1019] Sez. G: IPE 100 L=180.0 cm Crit.: Acciaio_Flessione $\gamma M=1.05$ fyk/ $\gamma M=2619$ kg/cm² ft=4300 kg/cm² :**Verificato**

X	cls	N	TY	TZ	MT	MY	MZ	My4	Mz4	Comb.
cm		kg	kg	kg	kg*m	kg*m	kg*m			
90	1	158	0	0	0	156	10	--	--	11

X	cls	Nr	Vyr	Vzr	Mry	Mrz	MTrd	SF_V.	SF_M	SF_Mt	SF
cm		kg	kg	kg	kg*m	kg*m	kg*m				
90	1	27037	9478	7686	1033	240	27	>100	5.1	>100	5.1

Asta: 23 [1019,1021] Sez. G: IPE 100 L=180.0 cm Crit.: Acciaio_Flessione $\gamma M=1.05$ fyk/ $\gamma M=2619$ kg/cm² ft=4300 kg/cm² :**Verificato**

X	cls	N	TY	TZ	MT	MY	MZ	My4	Mz4	Comb.
cm		kg	kg	kg	kg*m	kg*m	kg*m			
90	1	143	-1	0	0	156	10	--	--	11

X	cls	Nr	Vyr	Vzr	Mry	Mrz	MTrd	SF_V.	SF_M	SF_Mt	SF
cm		kg	kg	kg	kg*m	kg*m	kg*m				
90	1	27037	9479	7688	1033	240	27	>100	5.1	>100	5.1

Asta: 23 [1021,1026] Sez. G: IPE 100 L=180.0 cm Crit.: Acciaio_Flessione $\gamma M=1.05$ fyk/ $\gamma M=2619$ kg/cm² ft=4300 kg/cm² :**Verificato**

X	cls	N	TY	TZ	MT	MY	MZ	My4	Mz4	Comb.
cm		kg	kg	kg	kg*m	kg*m	kg*m			
90	1	205	0	0	-0	156	10	--	--	11

X	cls	Nr	Vyr	Vzr	Mry	Mrz	MTrd	SF_V.	SF_M	SF_Mt	SF
cm		kg	kg	kg	kg*m	kg*m	kg*m				
90	1	27037	9477	7686	1033	240	27	>100	5.0	>100	5.0

Asta: 23 [1026,1028] Sez. G: IPE 100 L=180.0 cm Crit.: Acciaio_Flessione $\gamma M=1.05$ fyk/ $\gamma M=2619$ kg/cm² ft=4300 kg/cm² :**Verificato**

X	cls	N	TY	TZ	MT	MY	MZ	My4	Mz4	Comb.
cm		kg	kg	kg	kg*m	kg*m	kg*m			
90	1	74	-1	0	-0	156	10	--	--	11

X	cls	Nr	Vyr	Vzr	Mry	Mrz	MTrd	SF_V.	SF_M	SF_Mt	SF
cm		kg	kg	kg	kg*m	kg*m	kg*m				
90	1	27037	9477	7685	1033	240	27	>100	5.1	>100	5.1

Asta: 23 [1028,1030] Sez. G: IPE 100 L=180.0 cm Crit.: Acciaio_Flessione $\gamma M=1.05$ fyk/ $\gamma M=2619$ kg/cm² ft=4300 kg/cm² :**Verificato**

X	cls	N	TY	TZ	MT	MY	MZ	My4	Mz4	Comb.
cm		kg	kg	kg	kg*m	kg*m	kg*m			
90	1	119	-0	0	0	156	10	--	--	11

X	cls	Nr	Vyr	Vzr	Mry	Mrz	MTrd	SF_V.	SF_M	SF_Mt	SF
cm		kg	kg	kg	kg*m	kg*m	kg*m				
90	1	27037	9476	7685	1033	240	27	>100	5.1	>100	5.1

Asta: 23 [1030,1034] Sez. G: IPE 100 L=180.0 cm Crit.: Acciaio_Flessione $\gamma_M=1.05$ $f_{yk}/\gamma_M=2619$ kg/cm² ft=4300 kg/cm² :**Verificato**

X	cls	N	TY	TZ	MT	MY	MZ	My4	Mz4	Comb.
cm		kg	kg	kg	kg*m	kg*m	kg*m			
90	1	42	-1	0	0	156	10	--	--	11

X	cls	Nr	Vyr	Vzr	Mry	Mrz	MTrd	SF_V.	SF_M	SF_Mt	SF
cm		kg	kg	kg	kg*m	kg*m	kg*m				
90	1	27037	9477	7686	1033	240	27	>100	5.2	>100	5.2

Asta: 23 [1034,1036] Sez. G: IPE 100 L=180.0 cm Crit.: Acciaio_Flessione $\gamma_M=1.05$ $f_{yk}/\gamma_M=2619$ kg/cm² ft=4300 kg/cm² :**Verificato**

X	cls	N	TY	TZ	MT	MY	MZ	My4	Mz4	Comb.
cm		kg	kg	kg	kg*m	kg*m	kg*m			
90	1	104	0	0	-0	156	10	--	--	11

X	cls	Nr	Vyr	Vzr	Mry	Mrz	MTrd	SF_V.	SF_M	SF_Mt	SF
cm		kg	kg	kg	kg*m	kg*m	kg*m				
90	1	27037	9478	7687	1033	240	27	>100	5.1	>100	5.1

Asta: 23 [1036,1038] Sez. G: IPE 100 L=180.0 cm Crit.: Acciaio_Flessione $\gamma_M=1.05$ $f_{yk}/\gamma_M=2619$ kg/cm² ft=4300 kg/cm² :**Verificato**

X	cls	N	TY	TZ	MT	MY	MZ	My4	Mz4	Comb.
cm		kg	kg	kg	kg*m	kg*m	kg*m			
90	1	2	-1	0	-0	156	10	--	--	11

X	cls	Nr	Vyr	Vzr	Mry	Mrz	MTrd	SF_V.	SF_M	SF_Mt	SF
cm		kg	kg	kg	kg*m	kg*m	kg*m				
90	1	27037	9477	7686	1033	240	27	>100	5.2	>100	5.2

Asta: 23 [1038,1040] Sez. G: IPE 100 L=180.0 cm Crit.: Acciaio_Flessione $\gamma_M=1.05$ $f_{yk}/\gamma_M=2619$ kg/cm² ft=4300 kg/cm² :**Verificato**

X	cls	N	TY	TZ	MT	MY	MZ	My4	Mz4	Comb.
cm		kg	kg	kg	kg*m	kg*m	kg*m			
90	1	73	0	0	0	156	10	--	--	11

X	cls	Nr	Vyr	Vzr	Mry	Mrz	MTrd	SF_V.	SF_M	SF_Mt	SF
cm		kg	kg	kg	kg*m	kg*m	kg*m				
90	1	27037	9477	7686	1033	240	27	>100	5.1	>100	5.1

Asta: 23 [1040,1042] Sez. G: IPE 100 L=180.0 cm Crit.: Acciaio_Flessione $\gamma_M=1.05$ $f_{yk}/\gamma_M=2619$ kg/cm² ft=4300 kg/cm² :**Verificato**

X	cls	N	TY	TZ	MT	MY	MZ	My4	Mz4	Comb.
cm		kg	kg	kg	kg*m	kg*m	kg*m			
90	1	15	-1	0	0	156	10	--	--	11

X	cls	Nr	Vyr	Vzr	Mry	Mrz	MTrd	SF_V.	SF_M	SF_Mt	SF
cm		kg	kg	kg	kg*m	kg*m	kg*m				
90	1	27037	9478	7687	1033	240	27	>100	5.2	>100	5.2

Asta: 23 [1042,1063] Sez. G: IPE 100 L=180.0 cm Crit.: Acciaio_Flessione $\gamma_M=1.05$ $f_{yk}/\gamma_M=2619$ kg/cm² ft=4300 kg/cm² :**Verificato**

X	cls	N	TY	TZ	MT	MY	MZ	My4	Mz4	Comb.
cm		kg	kg	kg	kg*m	kg*m	kg*m			
90	1	88	0	0	-0	156	10	--	--	11

X	cls	Nr	Vyr	Vzr	Mry	Mrz	MTrd	SF_V.	SF_M	SF_Mt	SF
cm		kg	kg	kg	kg*m	kg*m	kg*m				

X	cls	Nr	Vyr	Vzr	Mry	Mrz	MTrd	SF_V.	SF_M	SF_Mt	SF
90	1	27037	9478	7687	1033	240	27	>100	5.1	>100	5.1

Asta: 23 [1063,1065] Sez. G: IPE 100 L=180.0 cm Crit.: Acciaio_Flessione $\gamma M=1.05$ fyk/ $\gamma M=2619$ kg/cm² ft=4300 kg/cm² :**Verificato**

X	cls	N	TY	TZ	MT	MY	MZ	My4	Mz4	Comb.
cm		kg	kg	kg	kg*m	kg*m	kg*m			
90	1	-20	-1	0	-0	156	10	--	--	11

X	cls	Nr	Vyr	Vzr	Mry	Mrz	MTrd	SF_V.	SF_M	SF_Mt	SF
cm		kg	kg	kg	kg*m	kg*m	kg*m				
90	1	27037	9477	7686	1033	240	27	>100	5.2	>100	5.2

Asta: 23 [1065,1067] Sez. G: IPE 100 L=180.0 cm Crit.: Acciaio_Flessione $\gamma M=1.05$ fyk/ $\gamma M=2619$ kg/cm² ft=4300 kg/cm² :**Verificato**

X	cls	N	TY	TZ	MT	MY	MZ	My4	Mz4	Comb.
cm		kg	kg	kg	kg*m	kg*m	kg*m			
90	1	47	0	0	0	156	10	--	--	11

X	cls	Nr	Vyr	Vzr	Mry	Mrz	MTrd	SF_V.	SF_M	SF_Mt	SF
cm		kg	kg	kg	kg*m	kg*m	kg*m				
90	1	27037	9477	7685	1033	240	27	>100	5.2	>100	5.2

Asta: 23 [1067,1068] Sez. G: IPE 100 L=180.0 cm Crit.: Acciaio_Flessione $\gamma M=1.05$ fyk/ $\gamma M=2619$ kg/cm² ft=4300 kg/cm² :**Verificato**

X	cls	N	TY	TZ	MT	MY	MZ	My4	Mz4	Comb.
cm		kg	kg	kg	kg*m	kg*m	kg*m			
90	1	-17	-1	0	0	156	10	--	--	11

X	cls	Nr	Vyr	Vzr	Mry	Mrz	MTrd	SF_V.	SF_M	SF_Mt	SF
cm		kg	kg	kg	kg*m	kg*m	kg*m				
90	1	27037	9478	7687	1033	240	27	>100	5.2	>100	5.2

Asta: 23 [1068,1070] Sez. G: IPE 100 L=180.0 cm Crit.: Acciaio_Flessione $\gamma M=1.05$ fyk/ $\gamma M=2619$ kg/cm² ft=4300 kg/cm² :**Verificato**

X	cls	N	TY	TZ	MT	MY	MZ	My4	Mz4	Comb.
cm		kg	kg	kg	kg*m	kg*m	kg*m			
90	1	66	0	0	-0	156	10	--	--	11

X	cls	Nr	Vyr	Vzr	Mry	Mrz	MTrd	SF_V.	SF_M	SF_Mt	SF
cm		kg	kg	kg	kg*m	kg*m	kg*m				
90	1	27037	9476	7685	1033	240	27	>100	5.1	>100	5.1

Asta: 23 [1070,1072] Sez. G: IPE 100 L=180.0 cm Crit.: Acciaio_Flessione $\gamma M=1.05$ fyk/ $\gamma M=2619$ kg/cm² ft=4300 kg/cm² :**Verificato**

X	cls	N	TY	TZ	MT	MY	MZ	My4	Mz4	Comb.
cm		kg	kg	kg	kg*m	kg*m	kg*m			
90	1	-12	-0	0	-0	156	10	--	--	11

X	cls	Nr	Vyr	Vzr	Mry	Mrz	MTrd	SF_V.	SF_M	SF_Mt	SF
cm		kg	kg	kg	kg*m	kg*m	kg*m				
90	1	27037	9475	7684	1033	240	27	>100	5.2	>100	5.2

Asta: 23 [1072,1075] Sez. G: IPE 100 L=177.5 cm Crit.: Acciaio_Flessione $\gamma M=1.05$ fyk/ $\gamma M=2619$ kg/cm² ft=4300 kg/cm² :**Verificato**

X	cls	N	TY	TZ	MT	MY	MZ	My4	Mz4	Comb.
cm		kg	kg	kg	kg*m	kg*m	kg*m			
89	1	105	0	0	0	151	10	--	--	11

X	cls	Nr	Vyr	Vzr	Mry	Mrz	MTrd	SF_V.	SF_M	SF_Mt	SF
cm		kg	kg	kg	kg*m	kg*m	kg*m				
89	1	27037	9478	7687	1033	240	27	>100	5.2	>100	5.2

Asta: 23 [1021,1014] Sez. G: IPE 100 L=230.0 cm Crit.: Acciaio_Flessione $\gamma_M=1.05$ fyk/ $\gamma_M=2619$ kg/cmq ft=4300 kg/cmq :**Verificato**

X	cls	N	TY	TZ	MT	MY	MZ	My4	Mz4	Comb.
cm		kg	kg	kg	kg*m	kg*m	kg*m			
115	1	120	0	0	-0	254	10	--	--	11

X	cls	Nr	Vyr	Vzr	Mry	Mrz	MTrd	SF_V.	SF_M	SF_Mt	SF
cm		kg	kg	kg	kg*m	kg*m	kg*m				
115	1	27037	9477	7686	1033	240	27	>100	3.4	>100	3.4

Asta: 23 [1075,1076] Sez. G: IPE 100 L=177.5 cm Crit.: Acciaio_Flessione $\gamma_M=1.05$ fyk/ $\gamma_M=2619$ kg/cmq ft=4300 kg/cmq :**Verificato**

X	cls	N	TY	TZ	MT	MY	MZ	My4	Mz4	Comb.
cm		kg	kg	kg	kg*m	kg*m	kg*m			
89	1	135	-1	0	0	151	10	--	--	11

X	cls	Nr	Vyr	Vzr	Mry	Mrz	MTrd	SF_V.	SF_M	SF_Mt	SF
cm		kg	kg	kg	kg*m	kg*m	kg*m				
89	1	27037	9476	7685	1033	240	27	>100	5.2	>100	5.2

Asta: 24 [1018,1033] Sez. G: IPE 100 L=180.0 cm Crit.: Acciaio_Flessione $\gamma_M=1.05$ fyk/ $\gamma_M=2619$ kg/cmq ft=4300 kg/cmq :**Verificato**

X	cls	N	TY	TZ	MT	MY	MZ	My4	Mz4	Comb.
cm		kg	kg	kg	kg*m	kg*m	kg*m			
90	1	165	0	0	0	156	10	--	--	11

X	cls	Nr	Vyr	Vzr	Mry	Mrz	MTrd	SF_V.	SF_M	SF_Mt	SF
cm		kg	kg	kg	kg*m	kg*m	kg*m				
90	1	27037	9480	7688	1033	240	27	>100	5.1	>100	5.1

Asta: 24 [1033,1025] Sez. G: IPE 100 L=180.0 cm Crit.: Acciaio_Flessione $\gamma_M=1.05$ fyk/ $\gamma_M=2619$ kg/cmq ft=4300 kg/cmq :**Verificato**

X	cls	N	TY	TZ	MT	MY	MZ	My4	Mz4	Comb.
cm		kg	kg	kg	kg*m	kg*m	kg*m			
90	1	234	0	0	0	156	10	--	--	11

X	cls	Nr	Vyr	Vzr	Mry	Mrz	MTrd	SF_V.	SF_M	SF_Mt	SF
cm		kg	kg	kg	kg*m	kg*m	kg*m				
90	1	27037	9481	7689	1033	240	27	>100	5.0	>100	5.0

Asta: 24 [1025,1027] Sez. G: IPE 100 L=180.0 cm Crit.: Acciaio_Flessione $\gamma_M=1.05$ fyk/ $\gamma_M=2619$ kg/cmq ft=4300 kg/cmq :**Verificato**

X	cls	N	TY	TZ	MT	MY	MZ	My4	Mz4	Comb.
cm		kg	kg	kg	kg*m	kg*m	kg*m			
90	1	200	1	0	-0	156	10	--	--	11

X	cls	Nr	Vyr	Vzr	Mry	Mrz	MTrd	SF_V.	SF_M	SF_Mt	SF
cm		kg	kg	kg	kg*m	kg*m	kg*m				
90	1	27037	9479	7687	1033	240	27	>100	5.0	>100	5.0

Asta: 24 [1027,1029] Sez. G: IPE 100 L=180.0 cm Crit.: Acciaio_Flessione $\gamma_M=1.05$ fyk/ $\gamma_M=2619$ kg/cmq ft=4300 kg/cmq :**Verificato**

X	cls	N	TY	TZ	MT	MY	MZ	My4	Mz4	Comb.
cm		kg	kg	kg	kg*m	kg*m	kg*m			
90	1	29	0	0	-0	156	10	--	--	11

X	cls	Nr	Vyr	Vzr	Mry	Mrz	MTrd	SF_V.	SF_M	SF_Mt	SF
cm		kg	kg	kg	kg*m	kg*m	kg*m				
90	1	27037	9479	7688	1033	240	27	>100	5.2	>100	5.2

Asta: 24 [1029,1034] Sez. G: IPE 100 L=180.0 cm Crit.: Acciaio_Flessione $\gamma_M=1.05$ fyk/ $\gamma_M=2619$ kg/cmq ft=4300 kg/cmq :**Verificato**

X	cls	N	TY	TZ	MT	MY	MZ	My4	Mz4	Comb.
cm		kg	kg	kg	kg*m	kg*m	kg*m			
90	1	24	1	0	0	156	10	--	--	11

X	cls	Nr	Vyr	Vzr	Mry	Mrz	MTrd	SF_V.	SF_M	SF_Mt	SF
cm		kg	kg	kg	kg*m	kg*m	kg*m				
90	1	27037	9479	7687	1033	240	27	>100	5.2	>100	5.2

Asta: 24 [1034,1035] Sez. G: IPE 100 L=180.0 cm Crit.: Acciaio_Flessione $\gamma M=1.05$ fyk/ $\gamma M=2619$ kg/cm² ft=4300 kg/cm² :**Verificato**

X	cls	N	TY	TZ	MT	MY	MZ	My4	Mz4	Comb.
cm		kg	kg	kg	kg*m	kg*m	kg*m			
90	1	92	-0	0	0	156	10	--	--	11

X	cls	Nr	Vyr	Vzr	Mry	Mrz	MTrd	SF_V.	SF_M	SF_Mt	SF
cm		kg	kg	kg	kg*m	kg*m	kg*m				
90	1	27037	9479	7687	1033	240	27	>100	5.1	>100	5.1

Asta: 24 [1035,1057] Sez. G: IPE 100 L=180.0 cm Crit.: Acciaio_Flessione $\gamma M=1.05$ fyk/ $\gamma M=2619$ kg/cm² ft=4300 kg/cm² :**Verificato**

X	cls	N	TY	TZ	MT	MY	MZ	My4	Mz4	Comb.
cm		kg	kg	kg	kg*m	kg*m	kg*m			
90	1	101	1	0	-0	156	10	--	--	11

X	cls	Nr	Vyr	Vzr	Mry	Mrz	MTrd	SF_V.	SF_M	SF_Mt	SF
cm		kg	kg	kg	kg*m	kg*m	kg*m				
90	1	27037	9480	7688	1033	240	27	>100	5.1	>100	5.1

Asta: 24 [1057,1059] Sez. G: IPE 100 L=180.0 cm Crit.: Acciaio_Flessione $\gamma M=1.05$ fyk/ $\gamma M=2619$ kg/cm² ft=4300 kg/cm² :**Verificato**

X	cls	N	TY	TZ	MT	MY	MZ	My4	Mz4	Comb.
cm		kg	kg	kg	kg*m	kg*m	kg*m			
90	1	-18	-0	0	-0	156	10	--	--	11

X	cls	Nr	Vyr	Vzr	Mry	Mrz	MTrd	SF_V.	SF_M	SF_Mt	SF
cm		kg	kg	kg	kg*m	kg*m	kg*m				
90	1	27037	9479	7688	1033	240	27	>100	5.2	>100	5.2

Asta: 24 [1059,1035] Sez. G: IPE 100 L=180.0 cm Crit.: Acciaio_Flessione $\gamma M=1.05$ fyk/ $\gamma M=2619$ kg/cm² ft=4300 kg/cm² :**Verificato**

X	cls	N	TY	TZ	MT	MY	MZ	My4	Mz4	Comb.
cm		kg	kg	kg	kg*m	kg*m	kg*m			
90	1	3	1	0	0	156	10	--	--	11

X	cls	Nr	Vyr	Vzr	Mry	Mrz	MTrd	SF_V.	SF_M	SF_Mt	SF
cm		kg	kg	kg	kg*m	kg*m	kg*m				
90	1	27037	9479	7687	1033	240	27	>100	5.2	>100	5.2

Asta: 24 [1035,1061] Sez. G: IPE 100 L=180.0 cm Crit.: Acciaio_Flessione $\gamma M=1.05$ fyk/ $\gamma M=2619$ kg/cm² ft=4300 kg/cm² :**Verificato**

X	cls	N	TY	TZ	MT	MY	MZ	My4	Mz4	Comb.
cm		kg	kg	kg	kg*m	kg*m	kg*m			
90	1	79	-0	0	0	156	10	--	--	11

X	cls	Nr	Vyr	Vzr	Mry	Mrz	MTrd	SF_V.	SF_M	SF_Mt	SF
cm		kg	kg	kg	kg*m	kg*m	kg*m				
90	1	27037	9480	7688	1033	240	27	>100	5.2	>100	5.2

Asta: 24 [1061,1062] Sez. G: IPE 100 L=180.0 cm Crit.: Acciaio_Flessione $\gamma M=1.05$ fyk/ $\gamma M=2619$ kg/cm² ft=4300 kg/cm² :**Verificato**

X	cls	N	TY	TZ	MT	MY	MZ	My4	Mz4	Comb.
cm		kg	kg	kg	kg*m	kg*m	kg*m			
90	1	89	1	0	-0	156	10	--	--	11

X	cls	Nr	Vyr	Vzr	Mry	Mrz	MTrd	SF_V.	SF_M	SF_Mt	SF
cm		kg	kg	kg	kg*m	kg*m	kg*m				
90	1	27037	9479	7688	1033	240	27	>100	5.1	>100	5.1

Asta: 24 [1062,1064] Sez. G: IPE 100 L=180.0 cm Crit.: Acciaio_Flessione $\gamma M=1.05$ fyk/ $\gamma M=2619$ kg/cm² ft=4300 kg/cm² :**Verificato**

X	cls	N	TY	TZ	MT	MY	MZ	My4	Mz4	Comb.
cm		kg	kg	kg	kg*m	kg*m	kg*m			
90	1	-31	-0	0	-0	156	10	--	--	11

X	cls	Nr	Vyr	Vzr	Mry	Mrz	MTrd	SF_V.	SF_M	SF_Mt	SF
cm		kg	kg	kg	kg*m	kg*m	kg*m				
90	1	27037	9480	7688	1033	240	27	>100	5.2	>100	5.2

Asta: 24 [1064,1036] Sez. G: IPE 100 L=180.0 cm Crit.: Acciaio_Flessione $\gamma M=1.05$ fyk/ $\gamma M=2619$ kg/cm² ft=4300 kg/cm² :**Verificato**

X	cls	N	TY	TZ	MT	MY	MZ	My4	Mz4	Comb.
cm		kg	kg	kg	kg*m	kg*m	kg*m			
90	1	-6	1	0	0	156	10	--	--	11

X	cls	Nr	Vyr	Vzr	Mry	Mrz	MTrd	SF_V.	SF_M	SF_Mt	SF
cm		kg	kg	kg	kg*m	kg*m	kg*m				
90	1	27037	9479	7687	1033	240	27	>100	5.2	>100	5.2

Asta: 24 [1036,1069] Sez. G: IPE 100 L=180.0 cm Crit.: Acciaio_Flessione $\gamma M=1.05$ fyk/ $\gamma M=2619$ kg/cm² ft=4300 kg/cm² :**Verificato**

X	cls	N	TY	TZ	MT	MY	MZ	My4	Mz4	Comb.
cm		kg	kg	kg	kg*m	kg*m	kg*m			
90	1	65	-0	0	0	156	10	--	--	11

X	cls	Nr	Vyr	Vzr	Mry	Mrz	MTrd	SF_V.	SF_M	SF_Mt	SF
cm		kg	kg	kg	kg*m	kg*m	kg*m				
90	1	27037	9480	7688	1033	240	27	>100	5.2	>100	5.2

Asta: 24 [1069,1071] Sez. G: IPE 100 L=180.0 cm Crit.: Acciaio_Flessione $\gamma M=1.05$ fyk/ $\gamma M=2619$ kg/cm² ft=4300 kg/cm² :**Verificato**

X	cls	N	TY	TZ	MT	MY	MZ	My4	Mz4	Comb.
cm		kg	kg	kg	kg*m	kg*m	kg*m			
90	1	75	1	0	-0	156	10	--	--	11

X	cls	Nr	Vyr	Vzr	Mry	Mrz	MTrd	SF_V.	SF_M	SF_Mt	SF
cm		kg	kg	kg	kg*m	kg*m	kg*m				
90	1	27037	9478	7687	1033	240	27	>100	5.1	>100	5.1

Asta: 24 [1071,1073] Sez. G: IPE 100 L=180.0 cm Crit.: Acciaio_Flessione $\gamma M=1.05$ fyk/ $\gamma M=2619$ kg/cm² ft=4300 kg/cm² :**Verificato**

X	cls	N	TY	TZ	MT	MY	MZ	My4	Mz4	Comb.
cm		kg	kg	kg	kg*m	kg*m	kg*m			
90	1	-58	-0	0	-0	156	10	--	--	11

X	cls	Nr	Vyr	Vzr	Mry	Mrz	MTrd	SF_V.	SF_M	SF_Mt	SF
cm		kg	kg	kg	kg*m	kg*m	kg*m				
90	1	27037	9477	7686	1033	240	27	>100	5.2	>100	5.2

Asta: 24 [1073,1037] Sez. G: IPE 100 L=177.5 cm Crit.: Acciaio_Flessione $\gamma M=1.05$ fyk/ $\gamma M=2619$ kg/cm² ft=4300 kg/cm² :**Verificato**

X	cls	N	TY	TZ	MT	MY	MZ	My4	Mz4	Comb.
cm		kg	kg	kg	kg*m	kg*m	kg*m			
89	1	-35	1	0	-0	152	10	--	--	11

X	cls	Nr	Vyr	Vzr	Mry	Mrz	MTrd	SF_V.	SF_M	SF_Mt	SF
cm		kg	kg	kg	kg*m	kg*m	kg*m				

X	cls	Nr	Vyr	Vzr	Mry	Mrz	MTrd	SF_V.	SF_M	SF_Mt	SF
89	1	27037	9481	7689	1033	240	27	>100	5.3	>100	5.3

Asta: 24 [1032,1018] Sez. G: IPE 100 L=230.0 cm Crit.: Acciaio_Flessione $\gamma M=1.05$ fyk/ $\gamma M=2619$ kg/cm² ft=4300 kg/cm² :**Verificato**

X	cls	N	TY	TZ	MT	MY	MZ	My4	Mz4	Comb.
cm		kg	kg	kg	kg*m	kg*m	kg*m			
115	1	112	0	0	-0	254	10	--	--	11

X	cls	Nr	Vyr	Vzr	Mry	Mrz	MTrd	SF_V.	SF_M	SF_Mt	SF
cm		kg	kg	kg	kg*m	kg*m	kg*m				
115	1	27037	9478	7686	1033	240	27	>100	3.4	>100	3.4

Asta: 24 [1037,1077] Sez. G: IPE 100 L=177.5 cm Crit.: Acciaio_Flessione $\gamma M=1.05$ fyk/ $\gamma M=2619$ kg/cm² ft=4300 kg/cm² :**Verificato**

X	cls	N	TY	TZ	MT	MY	MZ	My4	Mz4	Comb.
cm		kg	kg	kg	kg*m	kg*m	kg*m			
89	1	40	-1	0	0	152	10	--	--	11

X	cls	Nr	Vyr	Vzr	Mry	Mrz	MTrd	SF_V.	SF_M	SF_Mt	SF
cm		kg	kg	kg	kg*m	kg*m	kg*m				
89	1	27037	9480	7688	1033	240	27	>100	5.3	>100	5.3

Asta: 25 [1081,1083] Sez. G: IPE 100 L=180.0 cm Crit.: Acciaio_Flessione $\gamma M=1.05$ fyk/ $\gamma M=2619$ kg/cm² ft=4300 kg/cm² :**Verificato**

X	cls	N	TY	TZ	MT	MY	MZ	My4	Mz4	Comb.
cm		kg	kg	kg	kg*m	kg*m	kg*m			
90	1	160	1	0	-0	174	10	--	--	11

X	cls	Nr	Vyr	Vzr	Mry	Mrz	MTrd	SF_V.	SF_M	SF_Mt	SF
cm		kg	kg	kg	kg*m	kg*m	kg*m				
90	1	27037	9476	7685	1033	240	27	>100	4.6	>100	4.6

Asta: 25 [1083,1084] Sez. G: IPE 100 L=180.0 cm Crit.: Acciaio_Flessione $\gamma M=1.05$ fyk/ $\gamma M=2619$ kg/cm² ft=4300 kg/cm² :**Verificato**

X	cls	N	TY	TZ	MT	MY	MZ	My4	Mz4	Comb.
cm		kg	kg	kg	kg*m	kg*m	kg*m			
90	1	235	0	0	-0	174	10	--	--	11

X	cls	Nr	Vyr	Vzr	Mry	Mrz	MTrd	SF_V.	SF_M	SF_Mt	SF
cm		kg	kg	kg	kg*m	kg*m	kg*m				
90	1	27037	9477	7686	1033	240	27	>100	4.6	>100	4.6

Asta: 25 [1084,1087] Sez. G: IPE 100 L=180.0 cm Crit.: Acciaio_Flessione $\gamma M=1.05$ fyk/ $\gamma M=2619$ kg/cm² ft=4300 kg/cm² :**Verificato**

X	cls	N	TY	TZ	MT	MY	MZ	My4	Mz4	Comb.
cm		kg	kg	kg	kg*m	kg*m	kg*m			
90	1	181	-0	0	0	174	10	--	--	11

X	cls	Nr	Vyr	Vzr	Mry	Mrz	MTrd	SF_V.	SF_M	SF_Mt	SF
cm		kg	kg	kg	kg*m	kg*m	kg*m				
90	1	27037	9477	7686	1033	240	27	>100	4.6	>100	4.6

Asta: 25 [1087,1089] Sez. G: IPE 100 L=180.0 cm Crit.: Acciaio_Flessione $\gamma M=1.05$ fyk/ $\gamma M=2619$ kg/cm² ft=4300 kg/cm² :**Verificato**

X	cls	N	TY	TZ	MT	MY	MZ	My4	Mz4	Comb.
cm		kg	kg	kg	kg*m	kg*m	kg*m			
90	1	41	-1	0	0	174	10	--	--	11

X	cls	Nr	Vyr	Vzr	Mry	Mrz	MTrd	SF_V.	SF_M	SF_Mt	SF
cm		kg	kg	kg	kg*m	kg*m	kg*m				
90	1	27037	9478	7686	1033	240	27	>100	4.7	>100	4.7

Asta: 25 [1089,1091] Sez. G: IPE 100 L=180.0 cm Crit.: Acciaio_Flessione $\gamma_M=1.05$ fyk/ $\gamma_M=2619$ kg/cmq ft=4300 kg/cmq :**Verificato**

X	cls	N	TY	TZ	MT	MY	MZ	My4	Mz4	Comb.
cm		kg	kg	kg	kg*m	kg*m	kg*m			
90	1	16	1	0	-0	174	10	--	--	11

X	cls	Nr	Vyr	Vzr	Mry	Mrz	MTrd	SF_V.	SF_M	SF_Mt	SF
cm		kg	kg	kg	kg*m	kg*m	kg*m				
90	1	27037	9479	7687	1033	240	27	>100	4.8	>100	4.8

Asta: 25 [1091,1092] Sez. G: IPE 100 L=180.0 cm Crit.: Acciaio_Flessione $\gamma_M=1.05$ fyk/ $\gamma_M=2619$ kg/cmq ft=4300 kg/cmq :**Verificato**

X	cls	N	TY	TZ	MT	MY	MZ	My4	Mz4	Comb.
cm		kg	kg	kg	kg*m	kg*m	kg*m			
90	1	99	-0	0	-0	174	10	--	--	11

X	cls	Nr	Vyr	Vzr	Mry	Mrz	MTrd	SF_V.	SF_M	SF_Mt	SF
cm		kg	kg	kg	kg*m	kg*m	kg*m				
90	1	27037	9477	7686	1033	240	27	>100	4.7	>100	4.7

Asta: 25 [1092,1095] Sez. G: IPE 100 L=180.0 cm Crit.: Acciaio_Flessione $\gamma_M=1.05$ fyk/ $\gamma_M=2619$ kg/cmq ft=4300 kg/cmq :**Verificato**

X	cls	N	TY	TZ	MT	MY	MZ	My4	Mz4	Comb.
cm		kg	kg	kg	kg*m	kg*m	kg*m			
90	1	90	0	0	0	174	10	--	--	11

X	cls	Nr	Vyr	Vzr	Mry	Mrz	MTrd	SF_V.	SF_M	SF_Mt	SF
cm		kg	kg	kg	kg*m	kg*m	kg*m				
90	1	27037	9477	7686	1033	240	27	>100	4.7	>100	4.7

Asta: 25 [1095,1097] Sez. G: IPE 100 L=180.0 cm Crit.: Acciaio_Flessione $\gamma_M=1.05$ fyk/ $\gamma_M=2619$ kg/cmq ft=4300 kg/cmq :**Verificato**

X	cls	N	TY	TZ	MT	MY	MZ	My4	Mz4	Comb.
cm		kg	kg	kg	kg*m	kg*m	kg*m			
90	1	-1	-1	0	0	174	10	--	--	11

X	cls	Nr	Vyr	Vzr	Mry	Mrz	MTrd	SF_V.	SF_M	SF_Mt	SF
cm		kg	kg	kg	kg*m	kg*m	kg*m				
90	1	27037	9479	7687	1033	240	27	>100	4.8	>100	4.8

Asta: 25 [1097,1098] Sez. G: IPE 100 L=180.0 cm Crit.: Acciaio_Flessione $\gamma_M=1.05$ fyk/ $\gamma_M=2619$ kg/cmq ft=4300 kg/cmq :**Verificato**

X	cls	N	TY	TZ	MT	MY	MZ	My4	Mz4	Comb.
cm		kg	kg	kg	kg*m	kg*m	kg*m			
90	1	2	1	0	-0	174	10	--	--	11

X	cls	Nr	Vyr	Vzr	Mry	Mrz	MTrd	SF_V.	SF_M	SF_Mt	SF
cm		kg	kg	kg	kg*m	kg*m	kg*m				
90	1	27037	9478	7687	1033	240	27	>100	4.8	>100	4.8

Asta: 25 [1098,1100] Sez. G: IPE 100 L=180.0 cm Crit.: Acciaio_Flessione $\gamma_M=1.05$ fyk/ $\gamma_M=2619$ kg/cmq ft=4300 kg/cmq :**Verificato**

X	cls	N	TY	TZ	MT	MY	MZ	My4	Mz4	Comb.
cm		kg	kg	kg	kg*m	kg*m	kg*m			
90	1	93	-0	0	-0	174	10	--	--	11

X	cls	Nr	Vyr	Vzr	Mry	Mrz	MTrd	SF_V.	SF_M	SF_Mt	SF
cm		kg	kg	kg	kg*m	kg*m	kg*m				
90	1	27037	9477	7686	1033	240	27	>100	4.7	>100	4.7

Asta: 25 [1100,1102] Sez. G: IPE 100 L=180.0 cm Crit.: Acciaio_Flessione $\gamma_M=1.05$ fyk/ $\gamma_M=2619$ kg/cmq ft=4300 kg/cmq :**Verificato**

X	cls	N	TY	TZ	MT	MY	MZ	My4	Mz4	Comb.
cm		kg	kg	kg	kg*m	kg*m	kg*m			
90	1	84	0	0	0	174	10	--	--	11

X	cls	Nr	Vyr	Vzr	Mry	Mrz	MTrd	SF_V.	SF_M	SF_Mt	SF
cm		kg	kg	kg	kg*m	kg*m	kg*m				
90	1	27037	9477	7686	1033	240	27	>100	4.7	>100	4.7

Asta: 25 [1102,1104] Sez. G: IPE 100 L=180.0 cm Crit.: Acciaio_Flessione $\gamma M=1.05$ fyk/ $\gamma M=2619$ kg/cm² ft=4300 kg/cm² :**Verificato**

X	cls	N	TY	TZ	MT	MY	MZ	My4	Mz4	Comb.
cm		kg	kg	kg	kg*m	kg*m	kg*m			
90	1	-7	-1	0	0	174	10	--	--	11

X	cls	Nr	Vyr	Vzr	Mry	Mrz	MTrd	SF_V.	SF_M	SF_Mt	SF
cm		kg	kg	kg	kg*m	kg*m	kg*m				
90	1	27037	9478	7687	1033	240	27	>100	4.8	>100	4.8

Asta: 25 [1104,1105] Sez. G: IPE 100 L=180.0 cm Crit.: Acciaio_Flessione $\gamma M=1.05$ fyk/ $\gamma M=2619$ kg/cm² ft=4300 kg/cm² :**Verificato**

X	cls	N	TY	TZ	MT	MY	MZ	My4	Mz4	Comb.
cm		kg	kg	kg	kg*m	kg*m	kg*m			
90	1	-5	1	0	-0	174	10	--	--	11

X	cls	Nr	Vyr	Vzr	Mry	Mrz	MTrd	SF_V.	SF_M	SF_Mt	SF
cm		kg	kg	kg	kg*m	kg*m	kg*m				
90	1	27037	9479	7688	1033	240	27	>100	4.8	>100	4.8

Asta: 25 [1105,1108] Sez. G: IPE 100 L=180.0 cm Crit.: Acciaio_Flessione $\gamma M=1.05$ fyk/ $\gamma M=2619$ kg/cm² ft=4300 kg/cm² :**Verificato**

X	cls	N	TY	TZ	MT	MY	MZ	My4	Mz4	Comb.
cm		kg	kg	kg	kg*m	kg*m	kg*m			
90	1	83	0	0	-0	174	10	--	--	11

X	cls	Nr	Vyr	Vzr	Mry	Mrz	MTrd	SF_V.	SF_M	SF_Mt	SF
cm		kg	kg	kg	kg*m	kg*m	kg*m				
90	1	27037	9478	7687	1033	240	27	>100	4.7	>100	4.7

Asta: 25 [1108,1109] Sez. G: IPE 100 L=180.0 cm Crit.: Acciaio_Flessione $\gamma M=1.05$ fyk/ $\gamma M=2619$ kg/cm² ft=4300 kg/cm² :**Verificato**

X	cls	N	TY	TZ	MT	MY	MZ	My4	Mz4	Comb.
cm		kg	kg	kg	kg*m	kg*m	kg*m			
90	1	66	0	0	0	174	10	--	--	11

X	cls	Nr	Vyr	Vzr	Mry	Mrz	MTrd	SF_V.	SF_M	SF_Mt	SF
cm		kg	kg	kg	kg*m	kg*m	kg*m				
90	1	27037	9477	7686	1033	240	27	>100	4.7	>100	4.7

Asta: 25 [1109,1111] Sez. G: IPE 100 L=180.0 cm Crit.: Acciaio_Flessione $\gamma M=1.05$ fyk/ $\gamma M=2619$ kg/cm² ft=4300 kg/cm² :**Verificato**

X	cls	N	TY	TZ	MT	MY	MZ	My4	Mz4	Comb.
cm		kg	kg	kg	kg*m	kg*m	kg*m			
90	1	-37	-0	0	0	174	10	--	--	11

X	cls	Nr	Vyr	Vzr	Mry	Mrz	MTrd	SF_V.	SF_M	SF_Mt	SF
cm		kg	kg	kg	kg*m	kg*m	kg*m				
90	1	27037	9480	7688	1033	240	27	>100	4.7	>100	4.7

Asta: 25 [1111,1112] Sez. G: IPE 100 L=177.5 cm Crit.: Acciaio_Flessione $\gamma M=1.05$ fyk/ $\gamma M=2619$ kg/cm² ft=4300 kg/cm² :**Verificato**

X	cls	N	TY	TZ	MT	MY	MZ	My4	Mz4	Comb.
cm		kg	kg	kg	kg*m	kg*m	kg*m			
89	1	-48	1	0	-0	170	10	--	--	11

X	cls	Nr	Vyr	Vzr	Mry	Mrz	MTrd	SF_V.	SF_M	SF_Mt	SF
cm		kg	kg	kg	kg*m	kg*m	kg*m				
89	1	27037	9474	7683	1033	240	27	>100	4.8	>100	4.8

Asta: 25 [1079,1081] Sez. G: IPE 100 L=230.0 cm Crit.: Acciaio_Flessione $\gamma M=1.05$ fyk/ $\gamma M=2619$ kg/cm² ft=4300 kg/cm² :**Verificato**

X	cls	N	TY	TZ	MT	MY	MZ	My4	Mz4	Comb.
cm		kg	kg	kg	kg*m	kg*m	kg*m			
115	1	134	1	0	-0	285	10	--	--	11

X	cls	Nr	Vyr	Vzr	Mry	Mrz	MTrd	SF_V.	SF_M	SF_Mt	SF
cm		kg	kg	kg	kg*m	kg*m	kg*m				
115	1	27037	9481	7689	1033	240	27	>100	3.1	>100	3.1

Asta: 25 [1112,1115] Sez. G: IPE 100 L=177.5 cm Crit.: Acciaio_Flessione $\gamma M=1.05$ fyk/ $\gamma M=2619$ kg/cm² ft=4300 kg/cm² :**Verificato**

X	cls	N	TY	TZ	MT	MY	MZ	My4	Mz4	Comb.
cm		kg	kg	kg	kg*m	kg*m	kg*m			
89	1	77	1	0	-0	170	10	--	--	11

X	cls	Nr	Vyr	Vzr	Mry	Mrz	MTrd	SF_V.	SF_M	SF_Mt	SF
cm		kg	kg	kg	kg*m	kg*m	kg*m				
89	1	27037	9465	7676	1033	240	27	>100	4.8	>100	4.8

Asta: 26 [1080,1039] Sez. G: IPE 100 L=180.0 cm Crit.: Acciaio_Flessione $\gamma M=1.05$ fyk/ $\gamma M=2619$ kg/cm² ft=4300 kg/cm² :**Verificato**

X	cls	N	TY	TZ	MT	MY	MZ	My4	Mz4	Comb.
cm		kg	kg	kg	kg*m	kg*m	kg*m			
90	1	-60	1	0	-0	-154	10	--	--	2

X	cls	Nr	Vyr	Vzr	Mry	Mrz	MTrd	SF_V.	SF_M	SF_Mt	SF
cm		kg	kg	kg	kg*m	kg*m	kg*m				
90	1	27037	9476	7685	1033	240	27	>100	5.2	>100	5.2

Asta: 26 [1039,1085] Sez. G: IPE 100 L=180.0 cm Crit.: Acciaio_Flessione $\gamma M=1.05$ fyk/ $\gamma M=2619$ kg/cm² ft=4300 kg/cm² :**Verificato**

X	cls	N	TY	TZ	MT	MY	MZ	My4	Mz4	Comb.
cm		kg	kg	kg	kg*m	kg*m	kg*m			
90	1	-112	0	0	-0	-154	10	--	--	2

X	cls	Nr	Vyr	Vzr	Mry	Mrz	MTrd	SF_V.	SF_M	SF_Mt	SF
cm		kg	kg	kg	kg*m	kg*m	kg*m				
90	1	27037	9481	7689	1033	240	27	>100	5.1	>100	5.1

Asta: 26 [1085,1086] Sez. G: IPE 100 L=180.0 cm Crit.: Acciaio_Flessione $\gamma M=1.05$ fyk/ $\gamma M=2619$ kg/cm² ft=4300 kg/cm² :**Verificato**

X	cls	N	TY	TZ	MT	MY	MZ	My4	Mz4	Comb.
cm		kg	kg	kg	kg*m	kg*m	kg*m			
90	1	-89	0	0	-0	-154	10	--	--	2

X	cls	Nr	Vyr	Vzr	Mry	Mrz	MTrd	SF_V.	SF_M	SF_Mt	SF
cm		kg	kg	kg	kg*m	kg*m	kg*m				
90	1	27037	9481	7689	1033	240	27	>100	5.2	>100	5.2

Asta: 26 [1086,1088] Sez. G: IPE 100 L=180.0 cm Crit.: Acciaio_Flessione $\gamma M=1.05$ fyk/ $\gamma M=2619$ kg/cm² ft=4300 kg/cm² :**Verificato**

X	cls	N	TY	TZ	MT	MY	MZ	My4	Mz4	Comb.
cm		kg	kg	kg	kg*m	kg*m	kg*m			
90	1	15	-1	0	0	-154	10	--	--	2

X	cls	Nr	Vyr	Vzr	Mry	Mrz	MTrd	SF_V.	SF_M	SF_Mt	SF
cm		kg	kg	kg	kg*m	kg*m	kg*m				

X	cls	Nr	Vyr	Vzr	Mry	Mrz	MTrd	SF_V.	SF_M	SF_Mt	SF
90	1	27037	9476	7685	1033	240	27	>100	5.2	>100	5.2

Asta: 26 [1088,1040] Sez. G: IPE 100 L=180.0 cm Crit.: Acciaio_Flessione $\gamma M=1.05$ fyk/ $\gamma M=2619$ kg/cm² ft=4300 kg/cm² :**Verificato**

X	cls	N	TY	TZ	MT	MY	MZ	My4	Mz4	Comb.
cm		kg	kg	kg	kg*m	kg*m	kg*m			
90	1	36	1	0	-0	-154	10	--	--	2

X	cls	Nr	Vyr	Vzr	Mry	Mrz	MTrd	SF_V.	SF_M	SF_Mt	SF
cm		kg	kg	kg	kg*m	kg*m	kg*m				
90	1	27037	9476	7685	1033	240	27	>100	5.2	>100	5.2

Asta: 26 [1040,1093] Sez. G: IPE 100 L=180.0 cm Crit.: Acciaio_Flessione $\gamma M=1.05$ fyk/ $\gamma M=2619$ kg/cm² ft=4300 kg/cm² :**Verificato**

X	cls	N	TY	TZ	MT	MY	MZ	My4	Mz4	Comb.
cm		kg	kg	kg	kg*m	kg*m	kg*m			
90	1	-24	-0	0	0	-154	10	--	--	2

X	cls	Nr	Vyr	Vzr	Mry	Mrz	MTrd	SF_V.	SF_M	SF_Mt	SF
cm		kg	kg	kg	kg*m	kg*m	kg*m				
90	1	27037	9481	7689	1033	240	27	>100	5.2	>100	5.2

Asta: 26 [1093,1094] Sez. G: IPE 100 L=180.0 cm Crit.: Acciaio_Flessione $\gamma M=1.05$ fyk/ $\gamma M=2619$ kg/cm² ft=4300 kg/cm² :**Verificato**

X	cls	N	TY	TZ	MT	MY	MZ	My4	Mz4	Comb.
cm		kg	kg	kg	kg*m	kg*m	kg*m			
90	1	-12	0	0	-0	-154	10	--	--	2

X	cls	Nr	Vyr	Vzr	Mry	Mrz	MTrd	SF_V.	SF_M	SF_Mt	SF
cm		kg	kg	kg	kg*m	kg*m	kg*m				
90	1	27037	9481	7689	1033	240	27	>100	5.2	>100	5.2

Asta: 26 [1094,1096] Sez. G: IPE 100 L=180.0 cm Crit.: Acciaio_Flessione $\gamma M=1.05$ fyk/ $\gamma M=2619$ kg/cm² ft=4300 kg/cm² :**Verificato**

X	cls	N	TY	TZ	MT	MY	MZ	My4	Mz4	Comb.
cm		kg	kg	kg	kg*m	kg*m	kg*m			
90	1	83	-1	0	0	-154	10	--	--	2

X	cls	Nr	Vyr	Vzr	Mry	Mrz	MTrd	SF_V.	SF_M	SF_Mt	SF
cm		kg	kg	kg	kg*m	kg*m	kg*m				
90	1	27037	9476	7685	1033	240	27	>100	5.2	>100	5.2

Asta: 26 [1096,1041] Sez. G: IPE 100 L=180.0 cm Crit.: Acciaio_Flessione $\gamma M=1.05$ fyk/ $\gamma M=2619$ kg/cm² ft=4300 kg/cm² :**Verificato**

X	cls	N	TY	TZ	MT	MY	MZ	My4	Mz4	Comb.
cm		kg	kg	kg	kg*m	kg*m	kg*m			
90	1	95	1	0	-0	-154	10	--	--	2

X	cls	Nr	Vyr	Vzr	Mry	Mrz	MTrd	SF_V.	SF_M	SF_Mt	SF
cm		kg	kg	kg	kg*m	kg*m	kg*m				
90	1	27037	9476	7685	1033	240	27	>100	5.2	>100	5.2

Asta: 26 [1041,1133] Sez. G: IPE 100 L=180.0 cm Crit.: Acciaio_Flessione $\gamma M=1.05$ fyk/ $\gamma M=2619$ kg/cm² ft=4300 kg/cm² :**Verificato**

X	cls	N	TY	TZ	MT	MY	MZ	My4	Mz4	Comb.
cm		kg	kg	kg	kg*m	kg*m	kg*m			
90	1	26	-0	0	0	-154	10	--	--	2

X	cls	Nr	Vyr	Vzr	Mry	Mrz	MTrd	SF_V.	SF_M	SF_Mt	SF
cm		kg	kg	kg	kg*m	kg*m	kg*m				
90	1	27037	9481	7689	1033	240	27	>100	5.2	>100	5.2

Asta: 26 [1133,1135] Sez. G: IPE 100 L=180.0 cm Crit.: Acciaio_Flessione $\gamma_M=1.05$ fyk/ $\gamma_M=2619$ kg/cmq ft=4300 kg/cmq :**Verificato**

X	cls	N	TY	TZ	MT	MY	MZ	My4	Mz4	Comb.
cm		kg	kg	kg	kg*m	kg*m	kg*m			
90	1	34	-0	0	0	-154	10	--	--	2

X	cls	Nr	Vyr	Vzr	Mry	Mrz	MTrd	SF_V.	SF_M	SF_Mt	SF
cm		kg	kg	kg	kg*m	kg*m	kg*m				
90	1	27037	9481	7689	1033	240	27	>100	5.2	>100	5.2

Asta: 26 [1135,1136] Sez. G: IPE 100 L=180.0 cm Crit.: Acciaio_Flessione $\gamma_M=1.05$ fyk/ $\gamma_M=2619$ kg/cmq ft=4300 kg/cmq :**Verificato**

X	cls	N	TY	TZ	MT	MY	MZ	My4	Mz4	Comb.
cm		kg	kg	kg	kg*m	kg*m	kg*m			
90	1	141	-1	0	0	-154	10	--	--	2

X	cls	Nr	Vyr	Vzr	Mry	Mrz	MTrd	SF_V.	SF_M	SF_Mt	SF
cm		kg	kg	kg	kg*m	kg*m	kg*m				
90	1	27037	9476	7685	1033	240	27	>100	5.1	>100	5.1

Asta: 26 [1136,1042] Sez. G: IPE 100 L=180.0 cm Crit.: Acciaio_Flessione $\gamma_M=1.05$ fyk/ $\gamma_M=2619$ kg/cmq ft=4300 kg/cmq :**Verificato**

X	cls	N	TY	TZ	MT	MY	MZ	My4	Mz4	Comb.
cm		kg	kg	kg	kg*m	kg*m	kg*m			
90	1	192	0	0	-0	-154	10	--	--	2

X	cls	Nr	Vyr	Vzr	Mry	Mrz	MTrd	SF_V.	SF_M	SF_Mt	SF
cm		kg	kg	kg	kg*m	kg*m	kg*m				
90	1	27037	9476	7685	1033	240	27	>100	5.1	>100	5.1

Asta: 26 [1042,1138] Sez. G: IPE 100 L=180.0 cm Crit.: Acciaio_Flessione $\gamma_M=1.05$ fyk/ $\gamma_M=2619$ kg/cmq ft=4300 kg/cmq :**Verificato**

X	cls	N	TY	TZ	MT	MY	MZ	My4	Mz4	Comb.
cm		kg	kg	kg	kg*m	kg*m	kg*m			
90	1	188	-0	0	0	-154	10	--	--	2

X	cls	Nr	Vyr	Vzr	Mry	Mrz	MTrd	SF_V.	SF_M	SF_Mt	SF
cm		kg	kg	kg	kg*m	kg*m	kg*m				
90	1	27037	9481	7689	1033	240	27	>100	5.1	>100	5.1

Asta: 26 [1138,1139] Sez. G: IPE 100 L=180.0 cm Crit.: Acciaio_Flessione $\gamma_M=1.05$ fyk/ $\gamma_M=2619$ kg/cmq ft=4300 kg/cmq :**Verificato**

X	cls	N	TY	TZ	MT	MY	MZ	My4	Mz4	Comb.
cm		kg	kg	kg	kg*m	kg*m	kg*m			
90	1	254	-0	0	-0	-154	10	--	--	2

X	cls	Nr	Vyr	Vzr	Mry	Mrz	MTrd	SF_V.	SF_M	SF_Mt	SF
cm		kg	kg	kg	kg*m	kg*m	kg*m				
90	1	27037	9481	7689	1033	240	27	>100	5.0	>100	5.0

Asta: 26 [1139,1140] Sez. G: IPE 100 L=180.0 cm Crit.: Acciaio_Flessione $\gamma_M=1.05$ fyk/ $\gamma_M=2619$ kg/cmq ft=4300 kg/cmq :**Verificato**

X	cls	N	TY	TZ	MT	MY	MZ	My4	Mz4	Comb.
cm		kg	kg	kg	kg*m	kg*m	kg*m			
90	1	360	-1	0	0	-154	10	--	--	2

X	cls	Nr	Vyr	Vzr	Mry	Mrz	MTrd	SF_V.	SF_M	SF_Mt	SF
cm		kg	kg	kg	kg*m	kg*m	kg*m				
90	1	27037	9476	7685	1033	240	27	>100	4.9	>100	4.9

Asta: 26 [1140,1043] Sez. G: IPE 100 L=177.5 cm Crit.: Acciaio_Flessione $\gamma_M=1.05$ fyk/ $\gamma_M=2619$ kg/cmq ft=4300 kg/cmq :**Verificato**

X	cls	N	TY	TZ	MT	MY	MZ	My4	Mz4	Comb.
cm		kg	kg	kg	kg*m	kg*m	kg*m			
89	1	315	1	0	-0	-150	10	--	--	2

X	cls	Nr	Vyr	Vzr	Mry	Mrz	MTrd	SF_V.	SF_M	SF_Mt	SF
cm		kg	kg	kg	kg*m	kg*m	kg*m				
89	1	27037	9476	7685	1033	240	27	>100	5.1	>100	5.1

Asta: 26 [1038,1080] Sez. G: IPE 100 L=230.0 cm Crit.: Acciaio_Flessione $\gamma M=1.05$ fyk/ $\gamma M=2619$ kg/cm² ft=4300 kg/cm² :**Verificato**

X	cls	N	TY	TZ	MT	MY	MZ	My4	Mz4	Comb.
cm		kg	kg	kg	kg*m	kg*m	kg*m			
115	1	-136	0	0	0	-251	10	--	--	2

X	cls	Nr	Vyr	Vzr	Mry	Mrz	MTrd	SF_V.	SF_M	SF_Mt	SF
cm		kg	kg	kg	kg*m	kg*m	kg*m				
115	1	27037	9478	7686	1033	240	27	>100	3.4	>100	3.4

Asta: 26 [1043,1142] Sez. G: IPE 100 L=177.5 cm Crit.: Acciaio_Flessione $\gamma M=1.05$ fyk/ $\gamma M=2619$ kg/cm² ft=4300 kg/cm² :**Verificato**

X	cls	N	TY	TZ	MT	MY	MZ	My4	Mz4	Comb.
cm		kg	kg	kg	kg*m	kg*m	kg*m			
89	1	-29	-1	0	0	-150	10	--	--	2

X	cls	Nr	Vyr	Vzr	Mry	Mrz	MTrd	SF_V.	SF_M	SF_Mt	SF
cm		kg	kg	kg	kg*m	kg*m	kg*m				
89	1	27037	9480	7688	1033	240	27	>100	5.3	>100	5.3

Asta: 27 [1118,1119] Sez. G: IPE 100 L=180.0 cm Crit.: Acciaio_Flessione $\gamma M=1.05$ fyk/ $\gamma M=2619$ kg/cm² ft=4300 kg/cm² :**Verificato**

X	cls	N	TY	TZ	MT	MY	MZ	My4	Mz4	Comb.
cm		kg	kg	kg	kg*m	kg*m	kg*m			
90	1	-85	0	0	-0	-138	10	--	--	2

X	cls	Nr	Vyr	Vzr	Mry	Mrz	MTrd	SF_V.	SF_M	SF_Mt	SF
cm		kg	kg	kg	kg*m	kg*m	kg*m				
90	1	27037	9480	7688	1033	240	27	>100	5.6	>100	5.6

Asta: 27 [1119,1121] Sez. G: IPE 100 L=180.0 cm Crit.: Acciaio_Flessione $\gamma M=1.05$ fyk/ $\gamma M=2619$ kg/cm² ft=4300 kg/cm² :**Verificato**

X	cls	N	TY	TZ	MT	MY	MZ	My4	Mz4	Comb.
cm		kg	kg	kg	kg*m	kg*m	kg*m			
90	1	-204	0	0	0	-138	10	--	--	2

X	cls	Nr	Vyr	Vzr	Mry	Mrz	MTrd	SF_V.	SF_M	SF_Mt	SF
cm		kg	kg	kg	kg*m	kg*m	kg*m				
90	1	27037	9480	7688	1033	240	27	>100	5.5	>100	5.5

Asta: 27 [1121,1123] Sez. G: IPE 100 L=180.0 cm Crit.: Acciaio_Flessione $\gamma M=1.05$ fyk/ $\gamma M=2619$ kg/cm² ft=4300 kg/cm² :**Verificato**

X	cls	N	TY	TZ	MT	MY	MZ	My4	Mz4	Comb.
cm		kg	kg	kg	kg*m	kg*m	kg*m			
90	1	-161	1	0	-0	-138	10	--	--	2

X	cls	Nr	Vyr	Vzr	Mry	Mrz	MTrd	SF_V.	SF_M	SF_Mt	SF
cm		kg	kg	kg	kg*m	kg*m	kg*m				
90	1	27037	9479	7687	1033	240	27	>100	5.5	>100	5.5

Asta: 27 [1123,1125] Sez. G: IPE 100 L=180.0 cm Crit.: Acciaio_Flessione $\gamma M=1.05$ fyk/ $\gamma M=2619$ kg/cm² ft=4300 kg/cm² :**Verificato**

X	cls	N	TY	TZ	MT	MY	MZ	My4	Mz4	Comb.
cm		kg	kg	kg	kg*m	kg*m	kg*m			
90	1	-27	1	0	0	-138	10	--	--	2

X	cls	Nr	Vyr	Vzr	Mry	Mrz	MTrd	SF_V.	SF_M	SF_Mt	SF
cm		kg	kg	kg	kg*m	kg*m	kg*m				
90	1	27037	9480	7688	1033	240	27	>100	5.7	>100	5.7

Asta: 27 [1125,1126] Sez. G: IPE 100 L=180.0 cm Crit.: Acciaio_Flessione $\gamma M=1.05$ fyk/ $\gamma M=2619$ kg/cm² ft=4300 kg/cm² :**Verificato**

X	cls	N	TY	TZ	MT	MY	MZ	My4	Mz4	Comb.
cm		kg	kg	kg	kg*m	kg*m	kg*m			
90	1	17	0	0	-0	-138	10	--	--	2

X	cls	Nr	Vyr	Vzr	Mry	Mrz	MTrd	SF_V.	SF_M	SF_Mt	SF
cm		kg	kg	kg	kg*m	kg*m	kg*m				
90	1	27037	9479	7687	1033	240	27	>100	5.7	>100	5.7

Asta: 27 [1126,1145] Sez. G: IPE 100 L=180.0 cm Crit.: Acciaio_Flessione $\gamma M=1.05$ fyk/ $\gamma M=2619$ kg/cm² ft=4300 kg/cm² :**Verificato**

X	cls	N	TY	TZ	MT	MY	MZ	My4	Mz4	Comb.
cm		kg	kg	kg	kg*m	kg*m	kg*m			
90	1	-111	-0	0	0	-138	10	--	--	2

X	cls	Nr	Vyr	Vzr	Mry	Mrz	MTrd	SF_V.	SF_M	SF_Mt	SF
cm		kg	kg	kg	kg*m	kg*m	kg*m				
90	1	27037	9479	7688	1033	240	27	>100	5.6	>100	5.6

Asta: 27 [1145,1146] Sez. G: IPE 100 L=180.0 cm Crit.: Acciaio_Flessione $\gamma M=1.05$ fyk/ $\gamma M=2619$ kg/cm² ft=4300 kg/cm² :**Verificato**

X	cls	N	TY	TZ	MT	MY	MZ	My4	Mz4	Comb.
cm		kg	kg	kg	kg*m	kg*m	kg*m			
90	1	-78	1	0	-0	-138	10	--	--	2

X	cls	Nr	Vyr	Vzr	Mry	Mrz	MTrd	SF_V.	SF_M	SF_Mt	SF
cm		kg	kg	kg	kg*m	kg*m	kg*m				
90	1	27037	9479	7687	1033	240	27	>100	5.6	>100	5.6

Asta: 27 [1146,1147] Sez. G: IPE 100 L=180.0 cm Crit.: Acciaio_Flessione $\gamma M=1.05$ fyk/ $\gamma M=2619$ kg/cm² ft=4300 kg/cm² :**Verificato**

X	cls	N	TY	TZ	MT	MY	MZ	My4	Mz4	Comb.
cm		kg	kg	kg	kg*m	kg*m	kg*m			
90	1	48	0	0	0	-138	10	--	--	2

X	cls	Nr	Vyr	Vzr	Mry	Mrz	MTrd	SF_V.	SF_M	SF_Mt	SF
cm		kg	kg	kg	kg*m	kg*m	kg*m				
90	1	27037	9479	7688	1033	240	27	>100	5.6	>100	5.6

Asta: 27 [1147,1148] Sez. G: IPE 100 L=180.0 cm Crit.: Acciaio_Flessione $\gamma M=1.05$ fyk/ $\gamma M=2619$ kg/cm² ft=4300 kg/cm² :**Verificato**

X	cls	N	TY	TZ	MT	MY	MZ	My4	Mz4	Comb.
cm		kg	kg	kg	kg*m	kg*m	kg*m			
90	1	81	-0	0	-0	-138	10	--	--	2

X	cls	Nr	Vyr	Vzr	Mry	Mrz	MTrd	SF_V.	SF_M	SF_Mt	SF
cm		kg	kg	kg	kg*m	kg*m	kg*m				
90	1	27037	9480	7688	1033	240	27	>100	5.6	>100	5.6

Asta: 27 [1148,1149] Sez. G: IPE 100 L=180.0 cm Crit.: Acciaio_Flessione $\gamma M=1.05$ fyk/ $\gamma M=2619$ kg/cm² ft=4300 kg/cm² :**Verificato**

X	cls	N	TY	TZ	MT	MY	MZ	My4	Mz4	Comb.
cm		kg	kg	kg	kg*m	kg*m	kg*m			
90	1	-57	-1	0	0	-138	10	--	--	2

X	cls	Nr	Vyr	Vzr	Mry	Mrz	MTrd	SF_V.	SF_M	SF_Mt	SF
cm		kg	kg	kg	kg*m	kg*m	kg*m				

X	cls	Nr	Vyr	Vzr	Mry	Mrz	MTrd	SF_V.	SF_M	SF_Mt	SF
90	1	27037	9478	7687	1033	240	27	>100	5.6	>100	5.6

Asta: 27 [1149,1150] Sez. G: IPE 100 L=180.0 cm Crit.: Acciaio_Flessione $\gamma M=1.05$ fyk/ $\gamma M=2619$ kg/cm² ft=4300 kg/cm² :**Verificato**

X	cls	N	TY	TZ	MT	MY	MZ	My4	Mz4	Comb.
cm		kg	kg	kg	kg*m	kg*m	kg*m			
90	1	-29	0	0	-0	-138	10	--	--	2

X	cls	Nr	Vyr	Vzr	Mry	Mrz	MTrd	SF_V.	SF_M	SF_Mt	SF
cm		kg	kg	kg	kg*m	kg*m	kg*m				
90	1	27037	9480	7688	1033	240	27	>100	5.7	>100	5.7

Asta: 27 [1150,1151] Sez. G: IPE 100 L=180.0 cm Crit.: Acciaio_Flessione $\gamma M=1.05$ fyk/ $\gamma M=2619$ kg/cm² ft=4300 kg/cm² :**Verificato**

X	cls	N	TY	TZ	MT	MY	MZ	My4	Mz4	Comb.
cm		kg	kg	kg	kg*m	kg*m	kg*m			
90	1	112	0	0	0	-138	10	--	--	2

X	cls	Nr	Vyr	Vzr	Mry	Mrz	MTrd	SF_V.	SF_M	SF_Mt	SF
cm		kg	kg	kg	kg*m	kg*m	kg*m				
90	1	27037	9479	7687	1033	240	27	>100	5.6	>100	5.6

Asta: 27 [1151,1153] Sez. G: IPE 100 L=180.0 cm Crit.: Acciaio_Flessione $\gamma M=1.05$ fyk/ $\gamma M=2619$ kg/cm² ft=4300 kg/cm² :**Verificato**

X	cls	N	TY	TZ	MT	MY	MZ	My4	Mz4	Comb.
cm		kg	kg	kg	kg*m	kg*m	kg*m			
90	1	185	-0	0	-0	-138	10	--	--	2

X	cls	Nr	Vyr	Vzr	Mry	Mrz	MTrd	SF_V.	SF_M	SF_Mt	SF
cm		kg	kg	kg	kg*m	kg*m	kg*m				
90	1	27037	9479	7687	1033	240	27	>100	5.5	>100	5.5

Asta: 27 [1153,1154] Sez. G: IPE 100 L=180.0 cm Crit.: Acciaio_Flessione $\gamma M=1.05$ fyk/ $\gamma M=2619$ kg/cm² ft=4300 kg/cm² :**Verificato**

X	cls	N	TY	TZ	MT	MY	MZ	My4	Mz4	Comb.
cm		kg	kg	kg	kg*m	kg*m	kg*m			
90	1	132	-0	0	0	-138	10	--	--	2

X	cls	Nr	Vyr	Vzr	Mry	Mrz	MTrd	SF_V.	SF_M	SF_Mt	SF
cm		kg	kg	kg	kg*m	kg*m	kg*m				
90	1	27037	9480	7688	1033	240	27	>100	5.5	>100	5.5

Asta: 27 [1154,1156] Sez. G: IPE 100 L=180.0 cm Crit.: Acciaio_Flessione $\gamma M=1.05$ fyk/ $\gamma M=2619$ kg/cm² ft=4300 kg/cm² :**Verificato**

X	cls	N	TY	TZ	MT	MY	MZ	My4	Mz4	Comb.
cm		kg	kg	kg	kg*m	kg*m	kg*m			
90	1	221	0	0	-0	-138	10	--	--	2

X	cls	Nr	Vyr	Vzr	Mry	Mrz	MTrd	SF_V.	SF_M	SF_Mt	SF
cm		kg	kg	kg	kg*m	kg*m	kg*m				
90	1	27037	9478	7687	1033	240	27	>100	5.5	>100	5.5

Asta: 27 [1156,1158] Sez. G: IPE 100 L=180.0 cm Crit.: Acciaio_Flessione $\gamma M=1.05$ fyk/ $\gamma M=2619$ kg/cm² ft=4300 kg/cm² :**Verificato**

X	cls	N	TY	TZ	MT	MY	MZ	My4	Mz4	Comb.
cm		kg	kg	kg	kg*m	kg*m	kg*m			
90	1	379	-1	0	0	-138	10	--	--	2

X	cls	Nr	Vyr	Vzr	Mry	Mrz	MTrd	SF_V.	SF_M	SF_Mt	SF
cm		kg	kg	kg	kg*m	kg*m	kg*m				
90	1	27037	9480	7688	1033	240	27	>100	5.3	>100	5.3

Asta: 27 [1158,1159] Sez. G: IPE 100 L=177.5 cm Crit.: Acciaio_Flessione $\gamma_M=1.05$ fyk/ $\gamma_M=2619$ kg/cmq ft=4300 kg/cmq :**Verificato**

X	cls	N	TY	TZ	MT	MY	MZ	My4	Mz4	Comb.
cm		kg	kg	kg	kg*m	kg*m	kg*m			
89	1	354	-2	0	0	-134	10	--	--	2

X	cls	Nr	Vyr	Vzr	Mry	Mrz	MTrd	SF_V.	SF_M	SF_Mt	SF
cm		kg	kg	kg	kg*m	kg*m	kg*m				
89	1	27037	9481	7689	1033	240	27	>100	5.4	>100	5.4

Asta: 27 [1117,1118] Sez. G: IPE 100 L=230.0 cm Crit.: Acciaio_Flessione $\gamma_M=1.05$ fyk/ $\gamma_M=2619$ kg/cmq ft=4300 kg/cmq :**Verificato**

X	cls	N	TY	TZ	MT	MY	MZ	My4	Mz4	Comb.
cm		kg	kg	kg	kg*m	kg*m	kg*m			
115	1	-63	0	0	0	-226	10	--	--	2

X	cls	Nr	Vyr	Vzr	Mry	Mrz	MTrd	SF_V.	SF_M	SF_Mt	SF
cm		kg	kg	kg	kg*m	kg*m	kg*m				
115	1	27037	9480	7688	1033	240	27	>100	3.8	>100	3.8

Asta: 27 [1159,1162] Sez. G: IPE 100 L=177.5 cm Crit.: Acciaio_Flessione $\gamma_M=1.05$ fyk/ $\gamma_M=2619$ kg/cmq ft=4300 kg/cmq :**Verificato**

X	cls	N	TY	TZ	MT	MY	MZ	My4	Mz4	Comb.
cm		kg	kg	kg	kg*m	kg*m	kg*m			
89	1	7	-2	0	0	-134	10	--	--	2

X	cls	Nr	Vyr	Vzr	Mry	Mrz	MTrd	SF_V.	SF_M	SF_Mt	SF
cm		kg	kg	kg	kg*m	kg*m	kg*m				
89	1	27037	9473	7682	1033	240	27	>100	5.8	>100	5.8

Asta: 28 [1045,1166] Sez. G: IPE 100 L=180.0 cm Crit.: Acciaio_Flessione $\gamma_M=1.05$ fyk/ $\gamma_M=2619$ kg/cmq ft=4300 kg/cmq :**Verificato**

X	cls	N	TY	TZ	MT	MY	MZ	My4	Mz4	Comb.
cm		kg	kg	kg	kg*m	kg*m	kg*m			
90	1	-101	-1	0	0	-138	10	--	--	2

X	cls	Nr	Vyr	Vzr	Mry	Mrz	MTrd	SF_V.	SF_M	SF_Mt	SF
cm		kg	kg	kg	kg*m	kg*m	kg*m				
90	1	27037	9472	7682	1033	240	27	>100	5.6	>100	5.6

Asta: 28 [1166,1168] Sez. G: IPE 100 L=180.0 cm Crit.: Acciaio_Flessione $\gamma_M=1.05$ fyk/ $\gamma_M=2619$ kg/cmq ft=4300 kg/cmq :**Verificato**

X	cls	N	TY	TZ	MT	MY	MZ	My4	Mz4	Comb.
cm		kg	kg	kg	kg*m	kg*m	kg*m			
90	1	-244	-0	0	0	-138	10	--	--	2

X	cls	Nr	Vyr	Vzr	Mry	Mrz	MTrd	SF_V.	SF_M	SF_Mt	SF
cm		kg	kg	kg	kg*m	kg*m	kg*m				
90	1	27037	9479	7688	1033	240	27	>100	5.5	>100	5.5

Asta: 28 [1168,1170] Sez. G: IPE 100 L=180.0 cm Crit.: Acciaio_Flessione $\gamma_M=1.05$ fyk/ $\gamma_M=2619$ kg/cmq ft=4300 kg/cmq :**Verificato**

X	cls	N	TY	TZ	MT	MY	MZ	My4	Mz4	Comb.
cm		kg	kg	kg	kg*m	kg*m	kg*m			
90	1	-146	1	0	-0	-138	10	--	--	2

X	cls	Nr	Vyr	Vzr	Mry	Mrz	MTrd	SF_V.	SF_M	SF_Mt	SF
cm		kg	kg	kg	kg*m	kg*m	kg*m				
90	1	27037	9478	7687	1033	240	27	>100	5.5	>100	5.5

Asta: 28 [1170,1172] Sez. G: IPE 100 L=180.0 cm Crit.: Acciaio_Flessione $\gamma_M=1.05$ fyk/ $\gamma_M=2619$ kg/cmq ft=4300 kg/cmq :**Verificato**

X	cls	N	TY	TZ	MT	MY	MZ	My4	Mz4	Comb.
cm		kg	kg	kg	kg*m	kg*m	kg*m			
90	1	-144	1	0	-0	-138	10	--	--	2

X	cls	Nr	Vyr	Vzr	Mry	Mrz	MTrd	SF_V.	SF_M	SF_Mt	SF
cm		kg	kg	kg	kg*m	kg*m	kg*m				
90	1	27037	9471	7681	1033	240	27	>100	5.6	>100	5.6

Asta: 28 [1172,1174] Sez. G: IPE 100 L=180.0 cm Crit.: Acciaio_Flessione $\gamma M=1.05$ fyk/ $\gamma M=2619$ kg/cm² ft=4300 kg/cm² :**Verificato**

X	cls	N	TY	TZ	MT	MY	MZ	My4	Mz4	Comb.
cm		kg	kg	kg	kg*m	kg*m	kg*m			
90	1	-50	-0	0	0	-138	10	--	--	2

X	cls	Nr	Vyr	Vzr	Mry	Mrz	MTrd	SF_V.	SF_M	SF_Mt	SF
cm		kg	kg	kg	kg*m	kg*m	kg*m				
90	1	27037	9473	7682	1033	240	27	>100	5.6	>100	5.6

Asta: 28 [1174,1176] Sez. G: IPE 100 L=180.0 cm Crit.: Acciaio_Flessione $\gamma M=1.05$ fyk/ $\gamma M=2619$ kg/cm² ft=4300 kg/cm² :**Verificato**

X	cls	N	TY	TZ	MT	MY	MZ	My4	Mz4	Comb.
cm		kg	kg	kg	kg*m	kg*m	kg*m			
90	1	-182	-0	0	0	-138	10	--	--	2

X	cls	Nr	Vyr	Vzr	Mry	Mrz	MTrd	SF_V.	SF_M	SF_Mt	SF
cm		kg	kg	kg	kg*m	kg*m	kg*m				
90	1	27037	9479	7687	1033	240	27	>100	5.5	>100	5.5

Asta: 28 [1176,1178] Sez. G: IPE 100 L=180.0 cm Crit.: Acciaio_Flessione $\gamma M=1.05$ fyk/ $\gamma M=2619$ kg/cm² ft=4300 kg/cm² :**Verificato**

X	cls	N	TY	TZ	MT	MY	MZ	My4	Mz4	Comb.
cm		kg	kg	kg	kg*m	kg*m	kg*m			
90	1	-90	1	0	-0	-138	10	--	--	2

X	cls	Nr	Vyr	Vzr	Mry	Mrz	MTrd	SF_V.	SF_M	SF_Mt	SF
cm		kg	kg	kg	kg*m	kg*m	kg*m				
90	1	27037	9479	7687	1033	240	27	>100	5.6	>100	5.6

Asta: 28 [1178,1180] Sez. G: IPE 100 L=180.0 cm Crit.: Acciaio_Flessione $\gamma M=1.05$ fyk/ $\gamma M=2619$ kg/cm² ft=4300 kg/cm² :**Verificato**

X	cls	N	TY	TZ	MT	MY	MZ	My4	Mz4	Comb.
cm		kg	kg	kg	kg*m	kg*m	kg*m			
90	1	-82	1	0	-0	-138	10	--	--	2

X	cls	Nr	Vyr	Vzr	Mry	Mrz	MTrd	SF_V.	SF_M	SF_Mt	SF
cm		kg	kg	kg	kg*m	kg*m	kg*m				
90	1	27037	9472	7682	1033	240	27	>100	5.6	>100	5.6

Asta: 28 [1180,1182] Sez. G: IPE 100 L=180.0 cm Crit.: Acciaio_Flessione $\gamma M=1.05$ fyk/ $\gamma M=2619$ kg/cm² ft=4300 kg/cm² :**Verificato**

X	cls	N	TY	TZ	MT	MY	MZ	My4	Mz4	Comb.
cm		kg	kg	kg	kg*m	kg*m	kg*m			
90	1	5	-1	0	0	-138	10	--	--	2

X	cls	Nr	Vyr	Vzr	Mry	Mrz	MTrd	SF_V.	SF_M	SF_Mt	SF
cm		kg	kg	kg	kg*m	kg*m	kg*m				
90	1	27037	9472	7681	1033	240	27	>100	5.7	>100	5.7

Asta: 28 [1182,1184] Sez. G: IPE 100 L=180.0 cm Crit.: Acciaio_Flessione $\gamma M=1.05$ fyk/ $\gamma M=2619$ kg/cm² ft=4300 kg/cm² :**Verificato**

X	cls	N	TY	TZ	MT	MY	MZ	My4	Mz4	Comb.
cm		kg	kg	kg	kg*m	kg*m	kg*m			
90	1	-125	-1	0	0	-138	10	--	--	2

X	cls	Nr	Vyr	Vzr	Mry	Mrz	MTrd	SF_V.	SF_M	SF_Mt	SF
cm		kg	kg	kg	kg*m	kg*m	kg*m				
90	1	27037	9478	7686	1033	240	27	>100	5.6	>100	5.6

Asta: 28 [1184,1051] Sez. G: IPE 100 L=180.0 cm Crit.: Acciaio_Flessione $\gamma_M=1.05$ fyk/ $\gamma_M=2619$ kg/cm² ft=4300 kg/cm² :**Verificato**

X	cls	N	TY	TZ	MT	MY	MZ	My4	Mz4	Comb.
cm		kg	kg	kg	kg*m	kg*m	kg*m			
90	1	-29	1	0	-0	-138	10	--	--	2

X	cls	Nr	Vyr	Vzr	Mry	Mrz	MTrd	SF_V.	SF_M	SF_Mt	SF
cm		kg	kg	kg	kg*m	kg*m	kg*m				
90	1	27037	9480	7688	1033	240	27	>100	5.7	>100	5.7

Asta: 28 [1051,1187] Sez. G: IPE 100 L=180.0 cm Crit.: Acciaio_Flessione $\gamma_M=1.05$ fyk/ $\gamma_M=2619$ kg/cm² ft=4300 kg/cm² :**Verificato**

X	cls	N	TY	TZ	MT	MY	MZ	My4	Mz4	Comb.
cm		kg	kg	kg	kg*m	kg*m	kg*m			
90	1	9	1	0	-0	-138	10	--	--	2

X	cls	Nr	Vyr	Vzr	Mry	Mrz	MTrd	SF_V.	SF_M	SF_Mt	SF
cm		kg	kg	kg	kg*m	kg*m	kg*m				
90	1	27037	9473	7682	1033	240	27	>100	5.7	>100	5.7

Asta: 28 [1187,1052] Sez. G: IPE 100 L=180.0 cm Crit.: Acciaio_Flessione $\gamma_M=1.05$ fyk/ $\gamma_M=2619$ kg/cm² ft=4300 kg/cm² :**Verificato**

X	cls	N	TY	TZ	MT	MY	MZ	My4	Mz4	Comb.
cm		kg	kg	kg	kg*m	kg*m	kg*m			
90	1	115	-1	0	0	-138	10	--	--	2

X	cls	Nr	Vyr	Vzr	Mry	Mrz	MTrd	SF_V.	SF_M	SF_Mt	SF
cm		kg	kg	kg	kg*m	kg*m	kg*m				
90	1	27037	9473	7683	1033	240	27	>100	5.6	>100	5.6

Asta: 28 [1052,1192] Sez. G: IPE 100 L=180.0 cm Crit.: Acciaio_Flessione $\gamma_M=1.05$ fyk/ $\gamma_M=2619$ kg/cm² ft=4300 kg/cm² :**Verificato**

X	cls	N	TY	TZ	MT	MY	MZ	My4	Mz4	Comb.
cm		kg	kg	kg	kg*m	kg*m	kg*m			
90	1	44	-1	0	0	-138	10	--	--	2

X	cls	Nr	Vyr	Vzr	Mry	Mrz	MTrd	SF_V.	SF_M	SF_Mt	SF
cm		kg	kg	kg	kg*m	kg*m	kg*m				
90	1	27037	9480	7688	1033	240	27	>100	5.7	>100	5.7

Asta: 28 [1192,1194] Sez. G: IPE 100 L=180.0 cm Crit.: Acciaio_Flessione $\gamma_M=1.05$ fyk/ $\gamma_M=2619$ kg/cm² ft=4300 kg/cm² :**Verificato**

X	cls	N	TY	TZ	MT	MY	MZ	My4	Mz4	Comb.
cm		kg	kg	kg	kg*m	kg*m	kg*m			
90	1	134	1	0	-0	-138	10	--	--	2

X	cls	Nr	Vyr	Vzr	Mry	Mrz	MTrd	SF_V.	SF_M	SF_Mt	SF
cm		kg	kg	kg	kg*m	kg*m	kg*m				
90	1	27037	9477	7686	1033	240	27	>100	5.5	>100	5.5

Asta: 28 [1194,1196] Sez. G: IPE 100 L=180.0 cm Crit.: Acciaio_Flessione $\gamma_M=1.05$ fyk/ $\gamma_M=2619$ kg/cm² ft=4300 kg/cm² :**Verificato**

X	cls	N	TY	TZ	MT	MY	MZ	My4	Mz4	Comb.
cm		kg	kg	kg	kg*m	kg*m	kg*m			
90	1	160	1	0	-0	-138	10	--	--	2

X	cls	Nr	Vyr	Vzr	Mry	Mrz	MTrd	SF_V.	SF_M	SF_Mt	SF
cm		kg	kg	kg	kg*m	kg*m	kg*m				

X	cls	Nr	Vyr	Vzr	Mry	Mrz	MTrd	SF_V.	SF_M	SF_Mt	SF
90	1	27037	9471	7681	1033	240	27	>100	5.5	>100	5.5

Asta: 28 [1196,1198] Sez. G: IPE 100 L=177.5 cm Crit.: Acciaio_Flessione $\gamma M=1.05$ fyk/ $\gamma M=2619$ kg/cm² ft=4300 kg/cm² :**Verificato**

X	cls	N	TY	TZ	MT	MY	MZ	My4	Mz4	Comb.
cm		kg	kg	kg	kg*m	kg*m	kg*m			
89	1	181	-1	0	0	-135	10	--	--	2

X	cls	Nr	Vyr	Vzr	Mry	Mrz	MTrd	SF_V.	SF_M	SF_Mt	SF
cm		kg	kg	kg	kg*m	kg*m	kg*m				
89	1	27037	9469	7680	1033	240	27	>100	5.6	>100	5.6

Asta: 28 [1044,1045] Sez. G: IPE 100 L=230.0 cm Crit.: Acciaio_Flessione $\gamma M=1.05$ fyk/ $\gamma M=2619$ kg/cm² ft=4300 kg/cm² :**Verificato**

X	cls	N	TY	TZ	MT	MY	MZ	My4	Mz4	Comb.
cm		kg	kg	kg	kg*m	kg*m	kg*m			
115	1	-188	1	0	-0	-226	10	--	--	2

X	cls	Nr	Vyr	Vzr	Mry	Mrz	MTrd	SF_V.	SF_M	SF_Mt	SF
cm		kg	kg	kg	kg*m	kg*m	kg*m				
115	1	27037	9474	7683	1033	240	27	>100	3.7	>100	3.7

Asta: 28 [1198,1200] Sez. G: IPE 100 L=177.5 cm Crit.: Acciaio_Flessione $\gamma M=1.05$ fyk/ $\gamma M=2619$ kg/cm² ft=4300 kg/cm² :**Verificato**

X	cls	N	TY	TZ	MT	MY	MZ	My4	Mz4	Comb.
cm		kg	kg	kg	kg*m	kg*m	kg*m			
89	1	-35	-1	0	0	-135	10	--	--	2

X	cls	Nr	Vyr	Vzr	Mry	Mrz	MTrd	SF_V.	SF_M	SF_Mt	SF
cm		kg	kg	kg	kg*m	kg*m	kg*m				
89	1	27037	9470	7680	1033	240	27	>100	5.8	>100	5.8

Asta: 29 [1021,1012] Sez. G: UPN 260 L=134.3 cm Crit.: Acciaio_Flessione $\gamma M=1.05$ fyk/ $\gamma M=2619$ kg/cm² ft=4300 kg/cm² :**Verificato**

X	cls	N	TY	TZ	MT	MY	MZ	My4	Mz4	Comb.
cm		kg	kg	kg	kg*m	kg*m	kg*m			
0	1	99	5	-200	0	211	188	--	--	8

X	cls	Nr	Vyr	Vzr	Mry	Mrz	MTrd	SF_V.	SF_M	SF_Mt	SF
cm		kg	kg	kg	kg*m	kg*m	kg*m				
0	1	128965	39362	41418	11895	2692	290	>100	11	>100	11

Asta: 29 [1032,1021] Sez. G: UPN 260 L=134.3 cm Crit.: Acciaio_Flessione $\gamma M=1.05$ fyk/ $\gamma M=2619$ kg/cm² ft=4300 kg/cm² :**Verificato**

X	cls	N	TY	TZ	MT	MY	MZ	My4	Mz4	Comb.
cm		kg	kg	kg	kg*m	kg*m	kg*m			
0	1	179	14	-541	1	890	225	--	--	7

X	cls	Nr	Vyr	Vzr	Mry	Mrz	MTrd	SF_V.	SF_M	SF_Mt	SF
cm		kg	kg	kg	kg*m	kg*m	kg*m				
0	1	128965	39325	41378	11895	2692	290	76	6.3	>100	6.3

Asta: 29 [1051,1032] Sez. G: UPN 260 L=134.3 cm Crit.: Acciaio_Flessione $\gamma M=1.05$ fyk/ $\gamma M=2619$ kg/cm² ft=4300 kg/cm² :**Verificato**

X	cls	N	TY	TZ	MT	MY	MZ	My4	Mz4	Comb.
cm		kg	kg	kg	kg*m	kg*m	kg*m			
0	1	-31	-73	-1120	-8	2513	51	--	--	1

X	cls	Nr	Vyr	Vzr	Mry	Mrz	MTrd	SF_V.	SF_M	SF_Mt	SF
cm		kg	kg	kg	kg*m	kg*m	kg*m				
0	1	128965	38957	40992	11895	2692	290	37	4.3	38	4.3

Asta: 29 [1079,1051] Sez. G: UPN 260 L=150.0 cm Crit.: Acciaio_Flessione $\gamma M=1.05$ fyk/ $\gamma M=2619$ kg/cmq ft=4300 kg/cmq :**Verificato**

X	cls	N	TY	TZ	MT	MY	MZ	My4	Mz4	Comb.
cm		kg	kg	kg	kg*m	kg*m	kg*m			
150	1	427	-76	563	10	2024	288	--	--	7

X	cls	Nr	Vyr	Vzr	Mry	Mrz	MTrd	SF_V.	SF_M	SF_Mt	SF
cm		kg	kg	kg	kg*m	kg*m	kg*m				
150	1	128965	38813	40840	11895	2692	290	73	3.6	28	3.6

Asta: 29 [1038,1079] Sez. G: UPN 260 L=150.0 cm Crit.: Acciaio_Flessione $\gamma M=1.05$ fyk/ $\gamma M=2619$ kg/cmq ft=4300 kg/cmq :**Verificato**

X	cls	N	TY	TZ	MT	MY	MZ	My4	Mz4	Comb.
cm		kg	kg	kg	kg*m	kg*m	kg*m			
150	1	311	18	182	1	1234	189	--	--	7

X	cls	Nr	Vyr	Vzr	Mry	Mrz	MTrd	SF_V.	SF_M	SF_Mt	SF
cm		kg	kg	kg	kg*m	kg*m	kg*m				
150	1	128965	39346	41401	11895	2692	290	>100	5.7	>100	5.7

Asta: 29 [1116,1038] Sez. G: UPN 260 L=150.0 cm Crit.: Acciaio_Flessione $\gamma M=1.05$ fyk/ $\gamma M=2619$ kg/cmq ft=4300 kg/cmq :**Verificato**

X	cls	N	TY	TZ	MT	MY	MZ	My4	Mz4	Comb.
cm		kg	kg	kg	kg*m	kg*m	kg*m			
0	1	57	-54	-557	-8	2276	59	--	--	2

X	cls	Nr	Vyr	Vzr	Mry	Mrz	MTrd	SF_V.	SF_M	SF_Mt	SF
cm		kg	kg	kg	kg*m	kg*m	kg*m				
0	1	128965	38944	40978	11895	2692	290	74	4.7	37	4.7

Asta: 29 [1117,1116] Sez. G: UPN 260 L=134.3 cm Crit.: Acciaio_Flessione $\gamma M=1.05$ fyk/ $\gamma M=2619$ kg/cmq ft=4300 kg/cmq :**Verificato**

X	cls	N	TY	TZ	MT	MY	MZ	My4	Mz4	Comb.
cm		kg	kg	kg	kg*m	kg*m	kg*m			
134	1	279	-41	1065	8	2290	171	--	--	2

X	cls	Nr	Vyr	Vzr	Mry	Mrz	MTrd	SF_V.	SF_M	SF_Mt	SF
cm		kg	kg	kg	kg*m	kg*m	kg*m				
134	1	128965	38915	40947	11895	2692	290	38	3.9	34	3.9

Asta: 29 [1044,1117] Sez. G: UPN 260 L=134.3 cm Crit.: Acciaio_Flessione $\gamma M=1.05$ fyk/ $\gamma M=2619$ kg/cmq ft=4300 kg/cmq :**Verificato**

X	cls	N	TY	TZ	MT	MY	MZ	My4	Mz4	Comb.
cm		kg	kg	kg	kg*m	kg*m	kg*m			
134	1	466	-4	447	-2	638	201	--	--	9

X	cls	Nr	Vyr	Vzr	Mry	Mrz	MTrd	SF_V.	SF_M	SF_Mt	SF
cm		kg	kg	kg	kg*m	kg*m	kg*m				
134	1	128965	39271	41321	11895	2692	290	92	7.6	>100	7.6

Asta: 29 [1163,1044] Sez. G: UPN 260 L=134.3 cm Crit.: Acciaio_Flessione $\gamma M=1.05$ fyk/ $\gamma M=2619$ kg/cmq ft=4300 kg/cmq :**Verificato**

X	cls	N	TY	TZ	MT	MY	MZ	My4	Mz4	Comb.
cm		kg	kg	kg	kg*m	kg*m	kg*m			
134	1	225	-26	113	-1	96	207	--	--	6

X	cls	Nr	Vyr	Vzr	Mry	Mrz	MTrd	SF_V.	SF_M	SF_Mt	SF
cm		kg	kg	kg	kg*m	kg*m	kg*m				
134	1	128965	39339	41394	11895	2692	290	>100	12	>100	12

Asta: 30 [1050,1076] Sez. G: UPN 260 L=134.3 cm Crit.: Acciaio_Flessione $\gamma M=1.05$ fyk/ $\gamma M=2619$ kg/cmq ft=4300 kg/cmq :**Verificato**

X	cls	N	TY	TZ	MT	MY	MZ	My4	Mz4	Comb.
cm		kg	kg	kg	kg*m	kg*m	kg*m			
0	1	-564	42	49	-13	-17	236	--	--	7

X	cls	Nr	Vyr	Vzr	Mry	Mrz	MTrd	SF_V.	SF_M	SF_Mt	SF
cm		kg	kg	kg	kg*m	kg*m	kg*m				
0	1	128965	38646	40664	11895	2692	290	>100	11	22	11

Asta: 30 [1076,1077] Sez. G: UPN 260 L=134.3 cm Crit.: Acciaio_Flessione $\gamma M=1.05$ $f_y k/\gamma M=2619$ kg/cm² ft=4300 kg/cm² :**Verificato**

X	cls	N	TY	TZ	MT	MY	MZ	My4	Mz4	Comb.
cm		kg	kg	kg	kg*m	kg*m	kg*m			
134	1	-1047	-21	379	4	598	216	--	--	9

X	cls	Nr	Vyr	Vzr	Mry	Mrz	MTrd	SF_V.	SF_M	SF_Mt	SF
cm		kg	kg	kg	kg*m	kg*m	kg*m				
134	1	128965	39140	41184	11895	2692	290	>100	7.2	66	7.2

Asta: 30 [1077,1114] Sez. G: UPN 260 L=134.3 cm Crit.: Acciaio_Flessione $\gamma M=1.05$ $f_y k/\gamma M=2619$ kg/cm² ft=4300 kg/cm² :**Verificato**

X	cls	N	TY	TZ	MT	MY	MZ	My4	Mz4	Comb.
cm		kg	kg	kg	kg*m	kg*m	kg*m			
134	1	-954	59	842	14	1751	60	--	--	1

X	cls	Nr	Vyr	Vzr	Mry	Mrz	MTrd	SF_V.	SF_M	SF_Mt	SF
cm		kg	kg	kg	kg*m	kg*m	kg*m				
134	1	128965	38586	40601	11895	2692	290	48	5.7	20	5.7

Asta: 30 [1114,1115] Sez. G: UPN 260 L=150.0 cm Crit.: Acciaio_Flessione $\gamma M=1.05$ $f_y k/\gamma M=2619$ kg/cm² ft=4300 kg/cm² :**Verificato**

X	cls	N	TY	TZ	MT	MY	MZ	My4	Mz4	Comb.
cm		kg	kg	kg	kg*m	kg*m	kg*m			
0	1	-1083	69	-367	-14	1443	280	--	--	7

X	cls	Nr	Vyr	Vzr	Mry	Mrz	MTrd	SF_V.	SF_M	SF_Mt	SF
cm		kg	kg	kg	kg*m	kg*m	kg*m				
0	1	128965	38585	40600	11895	2692	290	>100	4.3	20	4.3

Asta: 30 [1115,1142] Sez. G: UPN 260 L=150.0 cm Crit.: Acciaio_Flessione $\gamma M=1.05$ $f_y k/\gamma M=2619$ kg/cm² ft=4300 kg/cm² :**Verificato**

X	cls	N	TY	TZ	MT	MY	MZ	My4	Mz4	Comb.
cm		kg	kg	kg	kg*m	kg*m	kg*m			
150	1	-1329	-15	28	3	927	211	--	--	9

X	cls	Nr	Vyr	Vzr	Mry	Mrz	MTrd	SF_V.	SF_M	SF_Mt	SF
cm		kg	kg	kg	kg*m	kg*m	kg*m				
150	1	128965	39223	41272	11895	2692	290	>100	6.0	>100	6.0

Asta: 30 [1142,1161] Sez. G: UPN 260 L=150.0 cm Crit.: Acciaio_Flessione $\gamma M=1.05$ $f_y k/\gamma M=2619$ kg/cm² ft=4300 kg/cm² :**Verificato**

X	cls	N	TY	TZ	MT	MY	MZ	My4	Mz4	Comb.
cm		kg	kg	kg	kg*m	kg*m	kg*m			
150	1	-1014	42	445	13	1718	75	--	--	2

X	cls	Nr	Vyr	Vzr	Mry	Mrz	MTrd	SF_V.	SF_M	SF_Mt	SF
cm		kg	kg	kg	kg*m	kg*m	kg*m				
150	1	128965	38646	40664	11895	2692	290	91	5.6	22	5.6

Asta: 30 [1161,1162] Sez. G: UPN 260 L=134.3 cm Crit.: Acciaio_Flessione $\gamma M=1.05$ $f_y k/\gamma M=2619$ kg/cm² ft=4300 kg/cm² :**Verificato**

X	cls	N	TY	TZ	MT	MY	MZ	My4	Mz4	Comb.
cm		kg	kg	kg	kg*m	kg*m	kg*m			
0	1	-718	69	-659	-16	1378	272	--	--	9

X	cls	Nr	Vyr	Vzr	Mry	Mrz	MTrd	SF_V.	SF_M	SF_Mt	SF
cm		kg	kg	kg	kg*m	kg*m	kg*m				
0	1	128965	38493	40503	11895	2692	290	61	4.5	18	4.5

Asta: 30 [1162,1200] Sez. G: UPN 260 L=134.3 cm Crit.: Acciaio_Flessione $\gamma M=1.05$ $f_{yk}/\gamma M=2619$ kg/cmq $f_t=4300$ kg/cmq :**Verificato**

X	cls	N	TY	TZ	MT	MY	MZ	My4	Mz4	Comb.
cm		kg	kg	kg	kg*m	kg*m	kg*m			
0	1	-621	18	-363	-3	556	200	--	--	7

X	cls	Nr	Vyr	Vzr	Mry	Mrz	MTrd	SF_V.	SF_M	SF_Mt	SF
cm		kg	kg	kg	kg*m	kg*m	kg*m				
0	1	128965	39201	41248	11895	2692	290	>100	7.9	89	7.9

Asta: 30 [1200,1199] Sez. G: UPN 260 L=134.3 cm Crit.: Acciaio_Flessione $\gamma M=1.05$ $f_{yk}/\gamma M=2619$ kg/cmq $f_t=4300$ kg/cmq :**Verificato**

X	cls	N	TY	TZ	MT	MY	MZ	My4	Mz4	Comb.
cm		kg	kg	kg	kg*m	kg*m	kg*m			
0	1	-289	-18	-166	8	175	202	--	--	8

X	cls	Nr	Vyr	Vzr	Mry	Mrz	MTrd	SF_V.	SF_M	SF_Mt	SF
cm		kg	kg	kg	kg*m	kg*m	kg*m				
0	1	128965	38945	40979	11895	2692	290	>100	11	37	11

Asta: 31 [1012,1014] Sez. G: D20 L=266.4 cm Crit.: Acciaio_Tirante $\gamma M=1.05$ $f_{yk}/\gamma M=2619$ kg/cmq $f_t=4300$ kg/cmq :**Verificato**

X	cls	N	TY	TZ	MT	MY	MZ	My4	Mz4	Comb.
cm		kg	kg	kg	kg*m	kg*m	kg*m			
266	1	-197	--	--	--	--	--	--	--	6

X	cls	Nr	Vyr	Vzr	Mry	Mrz	MTrd	SF_V.	SF_M	SF_Mt	SF
cm		kg	kg	kg	kg*m	kg*m	kg*m				
266	1	8228	--	--	--	--	--	>100	42	>100	42

Asta: 32 [1021,1022] Sez. G: D20 L=266.4 cm Crit.: Acciaio_Tirante $\gamma M=1.05$ $f_{yk}/\gamma M=2619$ kg/cmq $f_t=4300$ kg/cmq :**Verificato**

X	cls	N	TY	TZ	MT	MY	MZ	My4	Mz4	Comb.
cm		kg	kg	kg	kg*m	kg*m	kg*m			
266	1	208	--	--	--	--	--	--	--	(18+19)-1-2

X	cls	Nr	Vyr	Vzr	Mry	Mrz	MTrd	SF_V.	SF_M	SF_Mt	SF
cm		kg	kg	kg	kg*m	kg*m	kg*m				
266	1	8228	--	--	--	--	--	>100	40	>100	40

Asta: 33 [1022,1019] Sez. G: D20 L=224.6 cm Crit.: Acciaio_Tirante $\gamma M=1.05$ $f_{yk}/\gamma M=2619$ kg/cmq $f_t=4300$ kg/cmq :**Verificato**

X	cls	N	TY	TZ	MT	MY	MZ	My4	Mz4	Comb.
cm		kg	kg	kg	kg*m	kg*m	kg*m			
225	1	-449	--	--	--	--	--	--	--	11

X	cls	Nr	Vyr	Vzr	Mry	Mrz	MTrd	SF_V.	SF_M	SF_Mt	SF
cm		kg	kg	kg	kg*m	kg*m	kg*m				
225	1	8228	--	--	--	--	--	>100	18	>100	18

Asta: 34 [1019,1016] Sez. G: D20 L=224.6 cm Crit.: Acciaio_Tirante $\gamma M=1.05$ $f_{yk}/\gamma M=2619$ kg/cmq $f_t=4300$ kg/cmq :**Verificato**

X	cls	N	TY	TZ	MT	MY	MZ	My4	Mz4	Comb.
cm		kg	kg	kg	kg*m	kg*m	kg*m			
225	1	880	--	--	--	--	--	--	--	7

X	cls	Nr	Vyr	Vzr	Mry	Mrz	MTrd	SF_V.	SF_M	SF_Mt	SF
cm		kg	kg	kg	kg*m	kg*m	kg*m				

X	cls	Nr	Vyr	Vzr	Mry	Mrz	MTrd	SF_V.	SF_M	SF_Mt	SF
225	1	8228	--	--	--	--	--	>100	9.4	>100	9.4

Asta: 35 [1026,1023] Sez. G: D20 L=224.6 cm Crit.: Acciaio_Tirante $\gamma_M=1.05$ fyk/ $\gamma_M=2619$ kg/cm² ft=4300 kg/cm²

:Verificato

X	cls	N	TY	TZ	MT	MY	MZ	My4	Mz4	Comb.
cm		kg	kg	kg	kg*m	kg*m	kg*m			
225	1	864	--	--	--	--	--	--	--	7

X	cls	Nr	Vyr	Vzr	Mry	Mrz	MTrd	SF_V.	SF_M	SF_Mt	SF
cm		kg	kg	kg	kg*m	kg*m	kg*m				
225	1	8228	--	--	--	--	--	>100	9.5	>100	9.5

Asta: 36 [1016,1026] Sez. G: D20 L=224.6 cm Crit.: Acciaio_Tirante $\gamma_M=1.05$ fyk/ $\gamma_M=2619$ kg/cm² ft=4300 kg/cm²

:Verificato

X	cls	N	TY	TZ	MT	MY	MZ	My4	Mz4	Comb.
cm		kg	kg	kg	kg*m	kg*m	kg*m			
225	1	-645	--	--	--	--	--	--	--	11

X	cls	Nr	Vyr	Vzr	Mry	Mrz	MTrd	SF_V.	SF_M	SF_Mt	SF
cm		kg	kg	kg	kg*m	kg*m	kg*m				
225	1	8228	--	--	--	--	--	>100	13	>100	13

Asta: 37 [1030,1031] Sez. G: D20 L=224.6 cm Crit.: Acciaio_Tirante $\gamma_M=1.05$ fyk/ $\gamma_M=2619$ kg/cm² ft=4300 kg/cm²

:Verificato

X	cls	N	TY	TZ	MT	MY	MZ	My4	Mz4	Comb.
cm		kg	kg	kg	kg*m	kg*m	kg*m			
225	1	967	--	--	--	--	--	--	--	1

X	cls	Nr	Vyr	Vzr	Mry	Mrz	MTrd	SF_V.	SF_M	SF_Mt	SF
cm		kg	kg	kg	kg*m	kg*m	kg*m				
225	1	8228	--	--	--	--	--	>100	8.5	>100	8.5

Asta: 38 [1023,1030] Sez. G: D20 L=224.6 cm Crit.: Acciaio_Tirante $\gamma_M=1.05$ fyk/ $\gamma_M=2619$ kg/cm² ft=4300 kg/cm²

:Verificato

X	cls	N	TY	TZ	MT	MY	MZ	My4	Mz4	Comb.
cm		kg	kg	kg	kg*m	kg*m	kg*m			
225	1	-578	--	--	--	--	--	--	--	11

X	cls	Nr	Vyr	Vzr	Mry	Mrz	MTrd	SF_V.	SF_M	SF_Mt	SF
cm		kg	kg	kg	kg*m	kg*m	kg*m				
225	1	8228	--	--	--	--	--	>100	14	>100	14

Asta: 39 [1036,1037] Sez. G: D20 L=224.6 cm Crit.: Acciaio_Tirante $\gamma_M=1.05$ fyk/ $\gamma_M=2619$ kg/cm² ft=4300 kg/cm²

:Verificato

X	cls	N	TY	TZ	MT	MY	MZ	My4	Mz4	Comb.
cm		kg	kg	kg	kg*m	kg*m	kg*m			
225	1	836	--	--	--	--	--	--	--	1

X	cls	Nr	Vyr	Vzr	Mry	Mrz	MTrd	SF_V.	SF_M	SF_Mt	SF
cm		kg	kg	kg	kg*m	kg*m	kg*m				
225	1	8228	--	--	--	--	--	>100	9.8	>100	9.8

Asta: 40 [1031,1036] Sez. G: D20 L=224.6 cm Crit.: Acciaio_Tirante $\gamma_M=1.05$ fyk/ $\gamma_M=2619$ kg/cm² ft=4300 kg/cm²

:Verificato

X	cls	N	TY	TZ	MT	MY	MZ	My4	Mz4	Comb.
cm		kg	kg	kg	kg*m	kg*m	kg*m			
225	1	-694	--	--	--	--	--	--	--	11

X	cls	Nr	Vyr	Vzr	Mry	Mrz	MTrd	SF_V.	SF_M	SF_Mt	SF
cm		kg	kg	kg	kg*m	kg*m	kg*m				
225	1	8228	--	--	--	--	--	>100	12	>100	12

Asta: 41 [1040,1041] Sez. G: D20 L=224.6 cm Crit.: Acciaio_Tirante $\gamma_M=1.05$ $f_yk/\gamma_M=2619$ kg/cmq $f_t=4300$ kg/cmq

:Verificato

X	cls	N	TY	TZ	MT	MY	MZ	My4	Mz4	Comb.
cm		kg	kg	kg	kg*m	kg*m	kg*m			
225	1	982	--	--	--	--	--	--	--	1

X	cls	Nr	Vyr	Vzr	Mry	Mrz	MTrd	SF_V.	SF_M	SF_Mt	SF
cm		kg	kg	kg	kg*m	kg*m	kg*m				
225	1	8228	--	--	--	--	--	>100	8.4	>100	8.4

Asta: 42 [1037,1040] Sez. G: D20 L=224.6 cm Crit.: Acciaio_Tirante $\gamma_M=1.05$ $f_yk/\gamma_M=2619$ kg/cmq $f_t=4300$ kg/cmq

:Verificato

X	cls	N	TY	TZ	MT	MY	MZ	My4	Mz4	Comb.
cm		kg	kg	kg	kg*m	kg*m	kg*m			
225	1	-639	--	--	--	--	--	--	--	11

X	cls	Nr	Vyr	Vzr	Mry	Mrz	MTrd	SF_V.	SF_M	SF_Mt	SF
cm		kg	kg	kg	kg*m	kg*m	kg*m				
225	1	8228	--	--	--	--	--	>100	13	>100	13

Asta: 43 [1063,1044] Sez. G: D20 L=224.6 cm Crit.: Acciaio_Tirante $\gamma_M=1.05$ $f_yk/\gamma_M=2619$ kg/cmq $f_t=4300$ kg/cmq

:Verificato

X	cls	N	TY	TZ	MT	MY	MZ	My4	Mz4	Comb.
cm		kg	kg	kg	kg*m	kg*m	kg*m			
225	1	846	--	--	--	--	--	--	--	7

X	cls	Nr	Vyr	Vzr	Mry	Mrz	MTrd	SF_V.	SF_M	SF_Mt	SF
cm		kg	kg	kg	kg*m	kg*m	kg*m				
225	1	8228	--	--	--	--	--	>100	9.7	>100	9.7

Asta: 44 [1041,1063] Sez. G: D20 L=224.6 cm Crit.: Acciaio_Tirante $\gamma_M=1.05$ $f_yk/\gamma_M=2619$ kg/cmq $f_t=4300$ kg/cmq

:Verificato

X	cls	N	TY	TZ	MT	MY	MZ	My4	Mz4	Comb.
cm		kg	kg	kg	kg*m	kg*m	kg*m			
225	1	-725	--	--	--	--	--	--	--	11

X	cls	Nr	Vyr	Vzr	Mry	Mrz	MTrd	SF_V.	SF_M	SF_Mt	SF
cm		kg	kg	kg	kg*m	kg*m	kg*m				
225	1	8228	--	--	--	--	--	>100	11	>100	11

Asta: 45 [1067,1046] Sez. G: D20 L=224.6 cm Crit.: Acciaio_Tirante $\gamma_M=1.05$ $f_yk/\gamma_M=2619$ kg/cmq $f_t=4300$ kg/cmq

:Verificato

X	cls	N	TY	TZ	MT	MY	MZ	My4	Mz4	Comb.
cm		kg	kg	kg	kg*m	kg*m	kg*m			
225	1	894	--	--	--	--	--	--	--	1

X	cls	Nr	Vyr	Vzr	Mry	Mrz	MTrd	SF_V.	SF_M	SF_Mt	SF
cm		kg	kg	kg	kg*m	kg*m	kg*m				
225	1	8228	--	--	--	--	--	>100	9.2	>100	9.2

Asta: 46 [1044,1067] Sez. G: D20 L=224.6 cm Crit.: Acciaio_Tirante $\gamma_M=1.05$ $f_yk/\gamma_M=2619$ kg/cmq $f_t=4300$ kg/cmq

:Verificato

X	cls	N	TY	TZ	MT	MY	MZ	My4	Mz4	Comb.
cm		kg	kg	kg	kg*m	kg*m	kg*m			
225	1	-582	--	--	--	--	--	--	--	11

X	cls	Nr	Vyr	Vzr	Mry	Mrz	MTrd	SF_V.	SF_M	SF_Mt	SF
cm		kg	kg	kg	kg*m	kg*m	kg*m				
225	1	8228	--	--	--	--	--	>100	14	>100	14

Asta: 47 [1070,1048] Sez. G: D20 L=224.6 cm Crit.: Acciaio_Tirante $\gamma_M=1.05$ $f_yk/\gamma_M=2619$ kg/cmq $f_t=4300$ kg/cmq

:Verificato

X	cls	N	TY	TZ	MT	MY	MZ	My4	Mz4	Comb.
cm		kg	kg	kg	kg*m	kg*m	kg*m			
225	1	654	--	--	--	--	--	--	--	7

X	cls	Nr	Vyr	Vzr	Mry	Mrz	MTrd	SF_V.	SF_M	SF_Mt	SF
cm		kg	kg	kg	kg*m	kg*m	kg*m				
225	1	8228	--	--	--	--	--	>100	13	>100	13

Asta: 48 [1046,1070] Sez. G: D20 L=224.6 cm Crit.: Acciaio_Tirante $\gamma_M=1.05$ $f_{yk}/\gamma_M=2619$ kg/cm² $f_t=4300$ kg/cm²

:Verificato

X	cls	N	TY	TZ	MT	MY	MZ	My4	Mz4	Comb.
cm		kg	kg	kg	kg*m	kg*m	kg*m			
225	1	-533	--	--	--	--	--	--	--	11

X	cls	Nr	Vyr	Vzr	Mry	Mrz	MTrd	SF_V.	SF_M	SF_Mt	SF
cm		kg	kg	kg	kg*m	kg*m	kg*m				
225	1	8228	--	--	--	--	--	>100	15	>100	15

Asta: 49 [1075,1050] Sez. G: D20 L=222.6 cm Crit.: Acciaio_Tirante $\gamma_M=1.05$ $f_{yk}/\gamma_M=2619$ kg/cm² $f_t=4300$ kg/cm²

:Verificato

X	cls	N	TY	TZ	MT	MY	MZ	My4	Mz4	Comb.
cm		kg	kg	kg	kg*m	kg*m	kg*m			
223	1	820	--	--	--	--	--	--	--	7

X	cls	Nr	Vyr	Vzr	Mry	Mrz	MTrd	SF_V.	SF_M	SF_Mt	SF
cm		kg	kg	kg	kg*m	kg*m	kg*m				
223	1	8228	--	--	--	--	--	>100	10	>100	10

Asta: 50 [1048,1075] Sez. G: D20 L=222.6 cm Crit.: Acciaio_Tirante $\gamma_M=1.05$ $f_{yk}/\gamma_M=2619$ kg/cm² $f_t=4300$ kg/cm²

:Verificato

X	cls	N	TY	TZ	MT	MY	MZ	My4	Mz4	Comb.
cm		kg	kg	kg	kg*m	kg*m	kg*m			
223	1	-389	--	--	--	--	--	--	--	6

X	cls	Nr	Vyr	Vzr	Mry	Mrz	MTrd	SF_V.	SF_M	SF_Mt	SF
cm		kg	kg	kg	kg*m	kg*m	kg*m				
223	1	8228	--	--	--	--	--	>100	21	>100	21

Asta: 50 [1075,1077] Sez. G: D20 L=222.6 cm Crit.: Acciaio_Tirante $\gamma_M=1.05$ $f_{yk}/\gamma_M=2619$ kg/cm² $f_t=4300$ kg/cm²

:Verificato

X	cls	N	TY	TZ	MT	MY	MZ	My4	Mz4	Comb.
cm		kg	kg	kg	kg*m	kg*m	kg*m			
223	1	-349	--	--	--	--	--	--	--	6

X	cls	Nr	Vyr	Vzr	Mry	Mrz	MTrd	SF_V.	SF_M	SF_Mt	SF
cm		kg	kg	kg	kg*m	kg*m	kg*m				
223	1	8228	--	--	--	--	--	>100	24	>100	24

Asta: 51 [1044,1164] Sez. G: D20 L=266.4 cm Crit.: Acciaio_Tirante $\gamma_M=1.05$ $f_{yk}/\gamma_M=2619$ kg/cm² $f_t=4300$ kg/cm²

:Verificato

X	cls	N	TY	TZ	MT	MY	MZ	My4	Mz4	Comb.
cm		kg	kg	kg	kg*m	kg*m	kg*m			
0	1	312	--	--	--	--	--	--	--	9

X	cls	Nr	Vyr	Vzr	Mry	Mrz	MTrd	SF_V.	SF_M	SF_Mt	SF
cm		kg	kg	kg	kg*m	kg*m	kg*m				
0	1	8228	--	--	--	--	--	>100	26	>100	26

Asta: 52 [1164,1166] Sez. G: D20 L=224.6 cm Crit.: Acciaio_Tirante $\gamma_M=1.05$ $f_{yk}/\gamma_M=2619$ kg/cm² $f_t=4300$ kg/cm²

:Verificato

X	cls	N	TY	TZ	MT	MY	MZ	My4	Mz4	Comb.
cm		kg	kg	kg	kg*m	kg*m	kg*m			
0	1	-310	--	--	--	--	--	--	--	13

X	cls	Nr	Vyr	Vzr	Mry	Mrz	MTrd	SF_V.	SF_M	SF_Mt	SF
cm		kg	kg	kg	kg*m	kg*m	kg*m				
0	1	8228	--	--	--	--	--	>100	27	>100	27

Asta: 53 [1166,1167] Sez. G: D20 L=224.6 cm Crit.: Acciaio_Tirante $\gamma_M=1.05$ $f_{yk}/\gamma_M=2619$ kg/cmq $f_t=4300$ kg/cmq

:Verificato

X	cls	N	TY	TZ	MT	MY	MZ	My4	Mz4	Comb.
cm		kg	kg	kg	kg*m	kg*m	kg*m			
0	1	918	--	--	--	--	--	--	--	9

X	cls	Nr	Vyr	Vzr	Mry	Mrz	MTrd	SF_V.	SF_M	SF_Mt	SF
cm		kg	kg	kg	kg*m	kg*m	kg*m				
0	1	8228	--	--	--	--	--	>100	9.0	>100	9.0

Asta: 54 [1170,1171] Sez. G: D20 L=224.6 cm Crit.: Acciaio_Tirante $\gamma_M=1.05$ $f_{yk}/\gamma_M=2619$ kg/cmq $f_t=4300$ kg/cmq

:Verificato

X	cls	N	TY	TZ	MT	MY	MZ	My4	Mz4	Comb.
cm		kg	kg	kg	kg*m	kg*m	kg*m			
0	1	844	--	--	--	--	--	--	--	9

X	cls	Nr	Vyr	Vzr	Mry	Mrz	MTrd	SF_V.	SF_M	SF_Mt	SF
cm		kg	kg	kg	kg*m	kg*m	kg*m				
0	1	8228	--	--	--	--	--	>100	9.8	>100	9.8

Asta: 55 [1167,1170] Sez. G: D20 L=224.6 cm Crit.: Acciaio_Tirante $\gamma_M=1.05$ $f_{yk}/\gamma_M=2619$ kg/cmq $f_t=4300$ kg/cmq

:Verificato

X	cls	N	TY	TZ	MT	MY	MZ	My4	Mz4	Comb.
cm		kg	kg	kg	kg*m	kg*m	kg*m			
225	1	532	--	--	--	--	--	--	--	2

X	cls	Nr	Vyr	Vzr	Mry	Mrz	MTrd	SF_V.	SF_M	SF_Mt	SF
cm		kg	kg	kg	kg*m	kg*m	kg*m				
225	1	8228	--	--	--	--	--	>100	15	>100	15

Asta: 56 [1174,1175] Sez. G: D20 L=224.6 cm Crit.: Acciaio_Tirante $\gamma_M=1.05$ $f_{yk}/\gamma_M=2619$ kg/cmq $f_t=4300$ kg/cmq

:Verificato

X	cls	N	TY	TZ	MT	MY	MZ	My4	Mz4	Comb.
cm		kg	kg	kg	kg*m	kg*m	kg*m			
0	1	998	--	--	--	--	--	--	--	2

X	cls	Nr	Vyr	Vzr	Mry	Mrz	MTrd	SF_V.	SF_M	SF_Mt	SF
cm		kg	kg	kg	kg*m	kg*m	kg*m				
0	1	8228	--	--	--	--	--	>100	8.2	>100	8.2

Asta: 57 [1171,1174] Sez. G: D20 L=224.6 cm Crit.: Acciaio_Tirante $\gamma_M=1.05$ $f_{yk}/\gamma_M=2619$ kg/cmq $f_t=4300$ kg/cmq

:Verificato

X	cls	N	TY	TZ	MT	MY	MZ	My4	Mz4	Comb.
cm		kg	kg	kg	kg*m	kg*m	kg*m			
225	1	400	--	--	--	--	--	--	--	2

X	cls	Nr	Vyr	Vzr	Mry	Mrz	MTrd	SF_V.	SF_M	SF_Mt	SF
cm		kg	kg	kg	kg*m	kg*m	kg*m				
225	1	8228	--	--	--	--	--	>100	21	>100	21

Asta: 58 [1178,1179] Sez. G: D20 L=224.6 cm Crit.: Acciaio_Tirante $\gamma_M=1.05$ $f_{yk}/\gamma_M=2619$ kg/cmq $f_t=4300$ kg/cmq

:Verificato

X	cls	N	TY	TZ	MT	MY	MZ	My4	Mz4	Comb.
cm		kg	kg	kg	kg*m	kg*m	kg*m			
0	1	829	--	--	--	--	--	--	--	2

X	cls	Nr	Vyr	Vzr	Mry	Mrz	MTrd	SF_V.	SF_M	SF_Mt	SF
cm		kg	kg	kg	kg*m	kg*m	kg*m				

X	cls	Nr	Vyr	Vzr	Mry	Mrz	MTrd	SF_V.	SF_M	SF_Mt	SF
0	1	8228	--	--	--	--	--	>100	9.9	>100	9.9

Asta: 59 [1175,1178] Sez. G: D20 L=224.6 cm Crit.: Acciaio_Tirante $\gamma_M=1.05$ $f_{yk}/\gamma_M=2619$ kg/cm² $f_t=4300$ kg/cm²

:Verificato

X	cls	N	TY	TZ	MT	MY	MZ	My4	Mz4	Comb.
cm		kg	kg	kg	kg*m	kg*m	kg*m			
225	1	570	--	--	--	--	--	--	--	2

X	cls	Nr	Vyr	Vzr	Mry	Mrz	MTrd	SF_V.	SF_M	SF_Mt	SF
cm		kg	kg	kg	kg*m	kg*m	kg*m				
225	1	8228	--	--	--	--	--	>100	14	>100	14

Asta: 60 [1182,1183] Sez. G: D20 L=224.6 cm Crit.: Acciaio_Tirante $\gamma_M=1.05$ $f_{yk}/\gamma_M=2619$ kg/cm² $f_t=4300$ kg/cm²

:Verificato

X	cls	N	TY	TZ	MT	MY	MZ	My4	Mz4	Comb.
cm		kg	kg	kg	kg*m	kg*m	kg*m			
0	1	1009	--	--	--	--	--	--	--	2

X	cls	Nr	Vyr	Vzr	Mry	Mrz	MTrd	SF_V.	SF_M	SF_Mt	SF
cm		kg	kg	kg	kg*m	kg*m	kg*m				
0	1	8228	--	--	--	--	--	>100	8.2	>100	8.2

Asta: 61 [1179,1182] Sez. G: D20 L=224.6 cm Crit.: Acciaio_Tirante $\gamma_M=1.05$ $f_{yk}/\gamma_M=2619$ kg/cm² $f_t=4300$ kg/cm²

:Verificato

X	cls	N	TY	TZ	MT	MY	MZ	My4	Mz4	Comb.
cm		kg	kg	kg	kg*m	kg*m	kg*m			
0	1	-437	--	--	--	--	--	--	--	13

X	cls	Nr	Vyr	Vzr	Mry	Mrz	MTrd	SF_V.	SF_M	SF_Mt	SF
cm		kg	kg	kg	kg*m	kg*m	kg*m				
0	1	8228	--	--	--	--	--	>100	19	>100	19

Asta: 62 [1051,1188] Sez. G: D20 L=224.6 cm Crit.: Acciaio_Tirante $\gamma_M=1.05$ $f_{yk}/\gamma_M=2619$ kg/cm² $f_t=4300$ kg/cm²

:Verificato

X	cls	N	TY	TZ	MT	MY	MZ	My4	Mz4	Comb.
cm		kg	kg	kg	kg*m	kg*m	kg*m			
0	1	837	--	--	--	--	--	--	--	2

X	cls	Nr	Vyr	Vzr	Mry	Mrz	MTrd	SF_V.	SF_M	SF_Mt	SF
cm		kg	kg	kg	kg*m	kg*m	kg*m				
0	1	8228	--	--	--	--	--	>100	9.8	>100	9.8

Asta: 63 [1183,1051] Sez. G: D20 L=224.6 cm Crit.: Acciaio_Tirante $\gamma_M=1.05$ $f_{yk}/\gamma_M=2619$ kg/cm² $f_t=4300$ kg/cm²

:Verificato

X	cls	N	TY	TZ	MT	MY	MZ	My4	Mz4	Comb.
cm		kg	kg	kg	kg*m	kg*m	kg*m			
225	1	626	--	--	--	--	--	--	--	2

X	cls	Nr	Vyr	Vzr	Mry	Mrz	MTrd	SF_V.	SF_M	SF_Mt	SF
cm		kg	kg	kg	kg*m	kg*m	kg*m				
225	1	8228	--	--	--	--	--	>100	13	>100	13

Asta: 64 [1052,1191] Sez. G: D20 L=224.6 cm Crit.: Acciaio_Tirante $\gamma_M=1.05$ $f_{yk}/\gamma_M=2619$ kg/cm² $f_t=4300$ kg/cm²

:Verificato

X	cls	N	TY	TZ	MT	MY	MZ	My4	Mz4	Comb.
cm		kg	kg	kg	kg*m	kg*m	kg*m			
0	1	916	--	--	--	--	--	--	--	2

X	cls	Nr	Vyr	Vzr	Mry	Mrz	MTrd	SF_V.	SF_M	SF_Mt	SF
cm		kg	kg	kg	kg*m	kg*m	kg*m				
0	1	8228	--	--	--	--	--	>100	9.0	>100	9.0

Asta: 65 [1188,1052] Sez. G: D20 L=224.6 cm Crit.: Acciaio_Tirante $\gamma_M=1.05$ $f_yk/\gamma_M=2619$ kg/cmq $f_t=4300$ kg/cmq

:Verificato

X	cls	N	TY	TZ	MT	MY	MZ	My4	Mz4	Comb.
cm		kg	kg	kg	kg*m	kg*m	kg*m			
225	1	459	--	--	--	--	--	--	--	2

X	cls	Nr	Vyr	Vzr	Mry	Mrz	MTrd	SF_V.	SF_M	SF_Mt	SF
cm		kg	kg	kg	kg*m	kg*m	kg*m				
225	1	8228	--	--	--	--	--	>100	18	>100	18

Asta: 66 [1194,1195] Sez. G: D20 L=224.6 cm Crit.: Acciaio_Tirante $\gamma_M=1.05$ $f_yk/\gamma_M=2619$ kg/cmq $f_t=4300$ kg/cmq

:Verificato

X	cls	N	TY	TZ	MT	MY	MZ	My4	Mz4	Comb.
cm		kg	kg	kg	kg*m	kg*m	kg*m			
0	1	628	--	--	--	--	--	--	--	9

X	cls	Nr	Vyr	Vzr	Mry	Mrz	MTrd	SF_V.	SF_M	SF_Mt	SF
cm		kg	kg	kg	kg*m	kg*m	kg*m				
0	1	8228	--	--	--	--	--	>100	13	>100	13

Asta: 67 [1191,1194] Sez. G: D20 L=224.6 cm Crit.: Acciaio_Tirante $\gamma_M=1.05$ $f_yk/\gamma_M=2619$ kg/cmq $f_t=4300$ kg/cmq

:Verificato

X	cls	N	TY	TZ	MT	MY	MZ	My4	Mz4	Comb.
cm		kg	kg	kg	kg*m	kg*m	kg*m			
225	1	470	--	--	--	--	--	--	--	2

X	cls	Nr	Vyr	Vzr	Mry	Mrz	MTrd	SF_V.	SF_M	SF_Mt	SF
cm		kg	kg	kg	kg*m	kg*m	kg*m				
225	1	8228	--	--	--	--	--	>100	17	>100	17

Asta: 68 [1198,1199] Sez. G: D20 L=222.6 cm Crit.: Acciaio_Tirante $\gamma_M=1.05$ $f_yk/\gamma_M=2619$ kg/cmq $f_t=4300$ kg/cmq

:Verificato

X	cls	N	TY	TZ	MT	MY	MZ	My4	Mz4	Comb.
cm		kg	kg	kg	kg*m	kg*m	kg*m			
0	1	546	--	--	--	--	--	--	--	9

X	cls	Nr	Vyr	Vzr	Mry	Mrz	MTrd	SF_V.	SF_M	SF_Mt	SF
cm		kg	kg	kg	kg*m	kg*m	kg*m				
0	1	8228	--	--	--	--	--	>100	15	>100	15

Asta: 69 [1195,1198] Sez. G: D20 L=222.6 cm Crit.: Acciaio_Tirante $\gamma_M=1.05$ $f_yk/\gamma_M=2619$ kg/cmq $f_t=4300$ kg/cmq

:Verificato

X	cls	N	TY	TZ	MT	MY	MZ	My4	Mz4	Comb.
cm		kg	kg	kg	kg*m	kg*m	kg*m			
0	1	-478	--	--	--	--	--	--	--	8

X	cls	Nr	Vyr	Vzr	Mry	Mrz	MTrd	SF_V.	SF_M	SF_Mt	SF
cm		kg	kg	kg	kg*m	kg*m	kg*m				
0	1	8228	--	--	--	--	--	>100	17	>100	17

Asta: 69 [1198,1162] Sez. G: D20 L=222.6 cm Crit.: Acciaio_Tirante $\gamma_M=1.05$ $f_yk/\gamma_M=2619$ kg/cmq $f_t=4300$ kg/cmq

:Verificato

X	cls	N	TY	TZ	MT	MY	MZ	My4	Mz4	Comb.
cm		kg	kg	kg	kg*m	kg*m	kg*m			
0	1	-255	--	--	--	--	--	--	--	(18+19)-V-5

X	cls	Nr	Vyr	Vzr	Mry	Mrz	MTrd	SF_V.	SF_M	SF_Mt	SF
cm		kg	kg	kg	kg*m	kg*m	kg*m				
0	1	8228	--	--	--	--	--	>100	32	>100	32

Asta: 70 [1163,1045] Sez. G: D20 L=266.4 cm Crit.: Acciaio_Tirante $\gamma_M=1.05$ $f_yk/\gamma_M=2619$ kg/cmq $f_t=4300$ kg/cmq

:Verificato

X	cls	N	TY	TZ	MT	MY	MZ	My4	Mz4	Comb.
cm		kg	kg	kg	kg*m	kg*m	kg*m			
0	1	-409	--	--	--	--	--	--	--	8

X	cls	Nr	Vyr	Vzr	Mry	Mrz	MTrd	SF_V.	SF_M	SF_Mt	SF
cm		kg	kg	kg	kg*m	kg*m	kg*m				
0	1	8228	--	--	--	--	--	>100	20	>100	20

Asta: 71 [1014,1032] Sez. G: D20 L=266.4 cm Crit.: Acciaio_Tirante $\gamma_M=1.05$ $f_{yk}/\gamma_M=2619$ kg/cm² $f_t=4300$ kg/cm²

:Verificato

X	cls	N	TY	TZ	MT	MY	MZ	My4	Mz4	Comb.
cm		kg	kg	kg	kg*m	kg*m	kg*m			
266	1	-217	--	--	--	--	--	--	--	(18+19)-III-8

X	cls	Nr	Vyr	Vzr	Mry	Mrz	MTrd	SF_V.	SF_M	SF_Mt	SF
cm		kg	kg	kg	kg*m	kg*m	kg*m				
266	1	8228	--	--	--	--	--	>100	38	>100	38

Asta: 72 [1018,1051] Sez. G: D20 L=266.4 cm Crit.: Acciaio_Tirante $\gamma_M=1.05$ $f_{yk}/\gamma_M=2619$ kg/cm² $f_t=4300$ kg/cm²

:Verificato

X	cls	N	TY	TZ	MT	MY	MZ	My4	Mz4	Comb.
cm		kg	kg	kg	kg*m	kg*m	kg*m			
266	1	-225	--	--	--	--	--	--	--	(18+19)-III-8

X	cls	Nr	Vyr	Vzr	Mry	Mrz	MTrd	SF_V.	SF_M	SF_Mt	SF
cm		kg	kg	kg	kg*m	kg*m	kg*m				
266	1	8228	--	--	--	--	--	>100	37	>100	37

Asta: 73 [1001,1079] Sez. G: D20 L=274.6 cm Crit.: Acciaio_Tirante $\gamma_M=1.05$ $f_{yk}/\gamma_M=2619$ kg/cm² $f_t=4300$ kg/cm²

:Verificato

X	cls	N	TY	TZ	MT	MY	MZ	My4	Mz4	Comb.
cm		kg	kg	kg	kg*m	kg*m	kg*m			
275	1	-137	--	--	--	--	--	--	--	11

X	cls	Nr	Vyr	Vzr	Mry	Mrz	MTrd	SF_V.	SF_M	SF_Mt	SF
cm		kg	kg	kg	kg*m	kg*m	kg*m				
275	1	8228	--	--	--	--	--	>100	60	>100	60

Asta: 74 [1081,1038] Sez. G: D20 L=274.6 cm Crit.: Acciaio_Tirante $\gamma_M=1.05$ $f_{yk}/\gamma_M=2619$ kg/cm² $f_t=4300$ kg/cm²

:Verificato

X	cls	N	TY	TZ	MT	MY	MZ	My4	Mz4	Comb.
cm		kg	kg	kg	kg*m	kg*m	kg*m			
275	1	-185	--	--	--	--	--	--	--	6

X	cls	Nr	Vyr	Vzr	Mry	Mrz	MTrd	SF_V.	SF_M	SF_Mt	SF
cm		kg	kg	kg	kg*m	kg*m	kg*m				
275	1	8228	--	--	--	--	--	>100	45	>100	45

Asta: 75 [1080,1116] Sez. G: D20 L=274.6 cm Crit.: Acciaio_Tirante $\gamma_M=1.05$ $f_{yk}/\gamma_M=2619$ kg/cm² $f_t=4300$ kg/cm²

:Verificato

X	cls	N	TY	TZ	MT	MY	MZ	My4	Mz4	Comb.
cm		kg	kg	kg	kg*m	kg*m	kg*m			
275	1	-195	--	--	--	--	--	--	--	9

X	cls	Nr	Vyr	Vzr	Mry	Mrz	MTrd	SF_V.	SF_M	SF_Mt	SF
cm		kg	kg	kg	kg*m	kg*m	kg*m				
275	1	8228	--	--	--	--	--	>100	42	>100	42

Asta: 75 [1080,1083] Sez. G: D20 L=234.3 cm Crit.: Acciaio_Tirante $\gamma_M=1.05$ $f_{yk}/\gamma_M=2619$ kg/cm² $f_t=4300$ kg/cm²

:Verificato

X	cls	N	TY	TZ	MT	MY	MZ	My4	Mz4	Comb.
cm		kg	kg	kg	kg*m	kg*m	kg*m			
0	1	-293	--	--	--	--	--	--	--	(18+19)-II-7

X	cls	Nr	Vyr	Vzr	Mry	Mrz	MTrd	SF_V.	SF_M	SF_Mt	SF
cm		kg	kg	kg	kg*m	kg*m	kg*m				
0	1	8228	--	--	--	--	--	>100	28	>100	28

Asta: 76 [1011,1117] Sez. G: D20 L=266.4 cm Crit.: Acciaio_Tirante $\gamma_M=1.05$ $f_{yk}/\gamma_M=2619$ kg/cm² $f_t=4300$ kg/cm²

:Verificato

X	cls	N	TY	TZ	MT	MY	MZ	My4	Mz4	Comb.
cm		kg	kg	kg	kg*m	kg*m	kg*m			
0	1	253	--	--	--	--	--	--	--	(18+19)-V-7

X	cls	Nr	Vyr	Vzr	Mry	Mrz	MTrd	SF_V.	SF_M	SF_Mt	SF
cm		kg	kg	kg	kg*m	kg*m	kg*m				
0	1	8228	--	--	--	--	--	>100	32	>100	32

Asta: 77 [1118,1044] Sez. G: D20 L=266.4 cm Crit.: Acciaio_Tirante $\gamma_M=1.05$ $f_{yk}/\gamma_M=2619$ kg/cm² $f_t=4300$ kg/cm²

:Verificato

X	cls	N	TY	TZ	MT	MY	MZ	My4	Mz4	Comb.
cm		kg	kg	kg	kg*m	kg*m	kg*m			
0	1	260	--	--	--	--	--	--	--	(18+19)-V-8

X	cls	Nr	Vyr	Vzr	Mry	Mrz	MTrd	SF_V.	SF_M	SF_Mt	SF
cm		kg	kg	kg	kg*m	kg*m	kg*m				
0	1	8228	--	--	--	--	--	>100	32	>100	32

Asta: 78 [1021,1018] Sez. G: D20 L=266.4 cm Crit.: Acciaio_Tirante $\gamma_M=1.05$ $f_{yk}/\gamma_M=2619$ kg/cm² $f_t=4300$ kg/cm²

:Verificato

X	cls	N	TY	TZ	MT	MY	MZ	My4	Mz4	Comb.
cm		kg	kg	kg	kg*m	kg*m	kg*m			
0	1	257	--	--	--	--	--	--	--	(18+19)-I-7

X	cls	Nr	Vyr	Vzr	Mry	Mrz	MTrd	SF_V.	SF_M	SF_Mt	SF
cm		kg	kg	kg	kg*m	kg*m	kg*m				
0	1	8228	--	--	--	--	--	>100	32	>100	32

Asta: 79 [1032,1001] Sez. G: D20 L=266.4 cm Crit.: Acciaio_Tirante $\gamma_M=1.05$ $f_{yk}/\gamma_M=2619$ kg/cm² $f_t=4300$ kg/cm²

:Verificato

X	cls	N	TY	TZ	MT	MY	MZ	My4	Mz4	Comb.
cm		kg	kg	kg	kg*m	kg*m	kg*m			
0	1	249	--	--	--	--	--	--	--	(18+19)-III-8

X	cls	Nr	Vyr	Vzr	Mry	Mrz	MTrd	SF_V.	SF_M	SF_Mt	SF
cm		kg	kg	kg	kg*m	kg*m	kg*m				
0	1	8228	--	--	--	--	--	>100	33	>100	33

Asta: 80 [1051,1081] Sez. G: D20 L=274.6 cm Crit.: Acciaio_Tirante $\gamma_M=1.05$ $f_{yk}/\gamma_M=2619$ kg/cm² $f_t=4300$ kg/cm²

:Verificato

X	cls	N	TY	TZ	MT	MY	MZ	My4	Mz4	Comb.
cm		kg	kg	kg	kg*m	kg*m	kg*m			
0	1	184	--	--	--	--	--	--	--	6

X	cls	Nr	Vyr	Vzr	Mry	Mrz	MTrd	SF_V.	SF_M	SF_Mt	SF
cm		kg	kg	kg	kg*m	kg*m	kg*m				
0	1	8228	--	--	--	--	--	>100	45	>100	45

Asta: 80 [1081,1039] Sez. G: D20 L=234.3 cm Crit.: Acciaio_Tirante $\gamma_M=1.05$ $f_{yk}/\gamma_M=2619$ kg/cm² $f_t=4300$ kg/cm²

:Verificato

X	cls	N	TY	TZ	MT	MY	MZ	My4	Mz4	Comb.
cm		kg	kg	kg	kg*m	kg*m	kg*m			
234	1	-273	--	--	--	--	--	--	--	(18+19)-VI-4

X	cls	Nr	Vyr	Vzr	Mry	Mrz	MTrd	SF_V.	SF_M	SF_Mt	SF
cm		kg	kg	kg	kg*m	kg*m	kg*m				

X	cls	Nr	Vyr	Vzr	Mry	Mrz	MTrd	SF_V.	SF_M	SF_Mt	SF
234	1	8228	--	--	--	--	--	>100	30	>100	30

Asta: 81 [1079,1080] Sez. G: D20 L=274.6 cm Crit.: Acciaio_Tirante $\gamma_M=1.05$ $f_{yk}/\gamma_M=2619$ kg/cm² $f_t=4300$ kg/cm²

:Verificato

X	cls	N	TY	TZ	MT	MY	MZ	My4	Mz4	Comb.
cm		kg	kg	kg	kg*m	kg*m	kg*m			
0	1	179	--	--	--	--	--	--	--	9

X	cls	Nr	Vyr	Vzr	Mry	Mrz	MTrd	SF_V.	SF_M	SF_Mt	SF
cm		kg	kg	kg	kg*m	kg*m	kg*m				
0	1	8228	--	--	--	--	--	>100	46	>100	46

Asta: 82 [1038,1011] Sez. G: D20 L=274.6 cm Crit.: Acciaio_Tirante $\gamma_M=1.05$ $f_{yk}/\gamma_M=2619$ kg/cm² $f_t=4300$ kg/cm²

:Verificato

X	cls	N	TY	TZ	MT	MY	MZ	My4	Mz4	Comb.
cm		kg	kg	kg	kg*m	kg*m	kg*m			
0	1	127	--	--	--	--	--	--	--	(18+19)-VI-8

X	cls	Nr	Vyr	Vzr	Mry	Mrz	MTrd	SF_V.	SF_M	SF_Mt	SF
cm		kg	kg	kg	kg*m	kg*m	kg*m				
0	1	8228	--	--	--	--	--	>100	65	>100	65

Asta: 83 [1116,1118] Sez. G: D20 L=266.4 cm Crit.: Acciaio_Tirante $\gamma_M=1.05$ $f_{yk}/\gamma_M=2619$ kg/cm² $f_t=4300$ kg/cm²

:Verificato

X	cls	N	TY	TZ	MT	MY	MZ	My4	Mz4	Comb.
cm		kg	kg	kg	kg*m	kg*m	kg*m			
266	1	-228	--	--	--	--	--	--	--	(18+19)-VII-7

X	cls	Nr	Vyr	Vzr	Mry	Mrz	MTrd	SF_V.	SF_M	SF_Mt	SF
cm		kg	kg	kg	kg*m	kg*m	kg*m				
266	1	8228	--	--	--	--	--	>100	36	>100	36

Asta: 84 [1117,1045] Sez. G: D20 L=266.4 cm Crit.: Acciaio_Tirante $\gamma_M=1.05$ $f_{yk}/\gamma_M=2619$ kg/cm² $f_t=4300$ kg/cm²

:Verificato

X	cls	N	TY	TZ	MT	MY	MZ	My4	Mz4	Comb.
cm		kg	kg	kg	kg*m	kg*m	kg*m			
266	1	-221	--	--	--	--	--	--	--	(18+19)-VII-3

X	cls	Nr	Vyr	Vzr	Mry	Mrz	MTrd	SF_V.	SF_M	SF_Mt	SF
cm		kg	kg	kg	kg*m	kg*m	kg*m				
266	1	8228	--	--	--	--	--	>100	37	>100	37

Asta: 85 [1037,1114] Sez. G: D20 L=222.6 cm Crit.: Acciaio_Tirante $\gamma_M=1.05$ $f_{yk}/\gamma_M=2619$ kg/cm² $f_t=4300$ kg/cm²

:Verificato

X	cls	N	TY	TZ	MT	MY	MZ	My4	Mz4	Comb.
cm		kg	kg	kg	kg*m	kg*m	kg*m			
223	1	-349	--	--	--	--	--	--	--	6

X	cls	Nr	Vyr	Vzr	Mry	Mrz	MTrd	SF_V.	SF_M	SF_Mt	SF
cm		kg	kg	kg	kg*m	kg*m	kg*m				
223	1	8228	--	--	--	--	--	>100	24	>100	24

Asta: 86 [1113,1115] Sez. G: D20 L=232.4 cm Crit.: Acciaio_Tirante $\gamma_M=1.05$ $f_{yk}/\gamma_M=2619$ kg/cm² $f_t=4300$ kg/cm²

:Verificato

X	cls	N	TY	TZ	MT	MY	MZ	My4	Mz4	Comb.
cm		kg	kg	kg	kg*m	kg*m	kg*m			
232	1	-168	--	--	--	--	--	--	--	6

X	cls	Nr	Vyr	Vzr	Mry	Mrz	MTrd	SF_V.	SF_M	SF_Mt	SF
cm		kg	kg	kg	kg*m	kg*m	kg*m				
232	1	8228	--	--	--	--	--	>100	49	>100	49

Asta: 87 [1112,1142] Sez. G: D20 L=232.4 cm Crit.: Acciaio_Tirante $\gamma_M=1.05$ $f_yk/\gamma_M=2619$ kg/cmq $f_t=4300$ kg/cmq

:Verificato

X	cls	N	TY	TZ	MT	MY	MZ	My4	Mz4	Comb.
cm		kg	kg	kg	kg*m	kg*m	kg*m			
232	1	-173	--	--	--	--	--	--	--	6

X	cls	Nr	Vyr	Vzr	Mry	Mrz	MTrd	SF_V.	SF_M	SF_Mt	SF
cm		kg	kg	kg	kg*m	kg*m	kg*m				
232	1	8228	--	--	--	--	--	>100	48	>100	48

Asta: 88 [1043,1161] Sez. G: D20 L=232.4 cm Crit.: Acciaio_Tirante $\gamma_M=1.05$ $f_yk/\gamma_M=2619$ kg/cmq $f_t=4300$ kg/cmq

:Verificato

X	cls	N	TY	TZ	MT	MY	MZ	My4	Mz4	Comb.
cm		kg	kg	kg	kg*m	kg*m	kg*m			
232	1	-156	--	--	--	--	--	--	--	6

X	cls	Nr	Vyr	Vzr	Mry	Mrz	MTrd	SF_V.	SF_M	SF_Mt	SF
cm		kg	kg	kg	kg*m	kg*m	kg*m				
232	1	8228	--	--	--	--	--	>100	53	>100	53

Asta: 88 [1111,1043] Sez. G: D20 L=232.4 cm Crit.: Acciaio_Tirante $\gamma_M=1.05$ $f_yk/\gamma_M=2619$ kg/cmq $f_t=4300$ kg/cmq

:Verificato

X	cls	N	TY	TZ	MT	MY	MZ	My4	Mz4	Comb.
cm		kg	kg	kg	kg*m	kg*m	kg*m			
232	1	-271	--	--	--	--	--	--	--	(18+19)-VI-6

X	cls	Nr	Vyr	Vzr	Mry	Mrz	MTrd	SF_V.	SF_M	SF_Mt	SF
cm		kg	kg	kg	kg*m	kg*m	kg*m				
232	1	8228	--	--	--	--	--	>100	30	>100	30

Asta: 89 [1160,1162] Sez. G: D20 L=222.6 cm Crit.: Acciaio_Tirante $\gamma_M=1.05$ $f_yk/\gamma_M=2619$ kg/cmq $f_t=4300$ kg/cmq

:Verificato

X	cls	N	TY	TZ	MT	MY	MZ	My4	Mz4	Comb.
cm		kg	kg	kg	kg*m	kg*m	kg*m			
0	1	244	--	--	--	--	--	--	--	(18+19)-V-5

X	cls	Nr	Vyr	Vzr	Mry	Mrz	MTrd	SF_V.	SF_M	SF_Mt	SF
cm		kg	kg	kg	kg*m	kg*m	kg*m				
0	1	8228	--	--	--	--	--	>100	34	>100	34

Asta: 90 [1159,1200] Sez. G: D20 L=222.6 cm Crit.: Acciaio_Tirante $\gamma_M=1.05$ $f_yk/\gamma_M=2619$ kg/cmq $f_t=4300$ kg/cmq

:Verificato

X	cls	N	TY	TZ	MT	MY	MZ	My4	Mz4	Comb.
cm		kg	kg	kg	kg*m	kg*m	kg*m			
0	1	228	--	--	--	--	--	--	--	(18+19)-V-1

X	cls	Nr	Vyr	Vzr	Mry	Mrz	MTrd	SF_V.	SF_M	SF_Mt	SF
cm		kg	kg	kg	kg*m	kg*m	kg*m				
0	1	8228	--	--	--	--	--	>100	36	>100	36

Asta: 91 [1054,1200] Sez. G: D20 L=222.6 cm Crit.: Acciaio_Tirante $\gamma_M=1.05$ $f_yk/\gamma_M=2619$ kg/cmq $f_t=4300$ kg/cmq

:Verificato

X	cls	N	TY	TZ	MT	MY	MZ	My4	Mz4	Comb.
cm		kg	kg	kg	kg*m	kg*m	kg*m			
0	1	-259	--	--	--	--	--	--	--	8

X	cls	Nr	Vyr	Vzr	Mry	Mrz	MTrd	SF_V.	SF_M	SF_Mt	SF
cm		kg	kg	kg	kg*m	kg*m	kg*m				
0	1	8228	--	--	--	--	--	>100	32	>100	32

Asta: 92 [1159,1161] Sez. G: D20 L=222.6 cm Crit.: Acciaio_Tirante $\gamma_M=1.05$ $f_yk/\gamma_M=2619$ kg/cmq $f_t=4300$ kg/cmq

:Verificato

X	cls	N	TY	TZ	MT	MY	MZ	My4	Mz4	Comb.
cm		kg	kg	kg	kg*m	kg*m	kg*m			
0	1	-214	--	--	--	--	--	--	--	(18+19)-VII-5

X	cls	Nr	Vyr	Vzr	Mry	Mrz	MTrd	SF_V.	SF_M	SF_Mt	SF
cm		kg	kg	kg	kg*m	kg*m	kg*m				
0	1	8228	--	--	--	--	--	>100	38	>100	38

Asta: 93 [1160,1142] Sez. G: D20 L=232.4 cm Crit.: Acciaio_Tirante $\gamma_M=1.05$ $f_{yk}/\gamma_M=2619$ kg/cm² $f_t=4300$ kg/cm²

:Verificato

X	cls	N	TY	TZ	MT	MY	MZ	My4	Mz4	Comb.
cm		kg	kg	kg	kg*m	kg*m	kg*m			
0	1	-80	--	--	--	--	--	--	--	(18+19)-VI-7

X	cls	Nr	Vyr	Vzr	Mry	Mrz	MTrd	SF_V.	SF_M	SF_Mt	SF
cm		kg	kg	kg	kg*m	kg*m	kg*m				
0	1	8228	--	--	--	--	--	>100	>100	>100	>100

Asta: 94 [1043,1115] Sez. G: D20 L=232.4 cm Crit.: Acciaio_Tirante $\gamma_M=1.05$ $f_{yk}/\gamma_M=2619$ kg/cm² $f_t=4300$ kg/cm²

:Verificato

X	cls	N	TY	TZ	MT	MY	MZ	My4	Mz4	Comb.
cm		kg	kg	kg	kg*m	kg*m	kg*m			
232	1	218	--	--	--	--	--	--	--	9

X	cls	Nr	Vyr	Vzr	Mry	Mrz	MTrd	SF_V.	SF_M	SF_Mt	SF
cm		kg	kg	kg	kg*m	kg*m	kg*m				
232	1	8228	--	--	--	--	--	>100	38	>100	38

Asta: 95 [1112,1114] Sez. G: D20 L=232.4 cm Crit.: Acciaio_Tirante $\gamma_M=1.05$ $f_{yk}/\gamma_M=2619$ kg/cm² $f_t=4300$ kg/cm²

:Verificato

X	cls	N	TY	TZ	MT	MY	MZ	My4	Mz4	Comb.
cm		kg	kg	kg	kg*m	kg*m	kg*m			
232	1	224	--	--	--	--	--	--	--	6

X	cls	Nr	Vyr	Vzr	Mry	Mrz	MTrd	SF_V.	SF_M	SF_Mt	SF
cm		kg	kg	kg	kg*m	kg*m	kg*m				
232	1	8228	--	--	--	--	--	>100	37	>100	37

Asta: 95 [1140,1112] Sez. G: D20 L=232.4 cm Crit.: Acciaio_Tirante $\gamma_M=1.05$ $f_{yk}/\gamma_M=2619$ kg/cm² $f_t=4300$ kg/cm²

:Verificato

X	cls	N	TY	TZ	MT	MY	MZ	My4	Mz4	Comb.
cm		kg	kg	kg	kg*m	kg*m	kg*m			
0	1	-281	--	--	--	--	--	--	--	(18+19)-II-5

X	cls	Nr	Vyr	Vzr	Mry	Mrz	MTrd	SF_V.	SF_M	SF_Mt	SF
cm		kg	kg	kg	kg*m	kg*m	kg*m				
0	1	8228	--	--	--	--	--	>100	29	>100	29

Asta: 96 [1113,1077] Sez. G: D20 L=222.6 cm Crit.: Acciaio_Tirante $\gamma_M=1.05$ $f_{yk}/\gamma_M=2619$ kg/cm² $f_t=4300$ kg/cm²

:Verificato

X	cls	N	TY	TZ	MT	MY	MZ	My4	Mz4	Comb.
cm		kg	kg	kg	kg*m	kg*m	kg*m			
223	1	239	--	--	--	--	--	--	--	(18+19)-I-6

X	cls	Nr	Vyr	Vzr	Mry	Mrz	MTrd	SF_V.	SF_M	SF_Mt	SF
cm		kg	kg	kg	kg*m	kg*m	kg*m				
223	1	8228	--	--	--	--	--	>100	34	>100	34

Asta: 97 [1037,1076] Sez. G: D20 L=222.6 cm Crit.: Acciaio_Tirante $\gamma_M=1.05$ $f_{yk}/\gamma_M=2619$ kg/cm² $f_t=4300$ kg/cm²

:Verificato

X	cls	N	TY	TZ	MT	MY	MZ	My4	Mz4	Comb.
cm		kg	kg	kg	kg*m	kg*m	kg*m			
223	1	410	--	--	--	--	--	--	--	7

X	cls	Nr	Vyr	Vzr	Mry	Mrz	MTrd	SF_V.	SF_M	SF_Mt	SF
cm		kg	kg	kg	kg*m	kg*m	kg*m				
223	1	8228	--	--	--	--	--	>100	20	>100	20

Asta: 98 [1031,1076] Sez. G: D20 L=222.6 cm Crit.: Acciaio_Tirante $\gamma M=1.05$ fyk/ $\gamma M=2619$ kg/cm² ft=4300 kg/cm²

:Verificato

X	cls	N	TY	TZ	MT	MY	MZ	My4	Mz4	Comb.
cm		kg	kg	kg	kg*m	kg*m	kg*m			
223	1	-456	--	--	--	--	--	--	--	6

X	cls	Nr	Vyr	Vzr	Mry	Mrz	MTrd	SF_V.	SF_M	SF_Mt	SF
cm		kg	kg	kg	kg*m	kg*m	kg*m				
223	1	8228	--	--	--	--	--	>100	18	>100	18

Asta: 99 [1083,1085] Sez. G: D20 L=234.3 cm Crit.: Acciaio_Tirante $\gamma M=1.05$ fyk/ $\gamma M=2619$ kg/cm² ft=4300 kg/cm²

:Verificato

X	cls	N	TY	TZ	MT	MY	MZ	My4	Mz4	Comb.
cm		kg	kg	kg	kg*m	kg*m	kg*m			
0	1	186	--	--	--	--	--	--	--	(18+19)-VI-5

X	cls	Nr	Vyr	Vzr	Mry	Mrz	MTrd	SF_V.	SF_M	SF_Mt	SF
cm		kg	kg	kg	kg*m	kg*m	kg*m				
0	1	8228	--	--	--	--	--	>100	44	>100	44

Asta: 100 [1039,1084] Sez. G: D20 L=234.3 cm Crit.: Acciaio_Tirante $\gamma M=1.05$ fyk/ $\gamma M=2619$ kg/cm² ft=4300 kg/cm²

:Verificato

X	cls	N	TY	TZ	MT	MY	MZ	My4	Mz4	Comb.
cm		kg	kg	kg	kg*m	kg*m	kg*m			
0	1	-185	--	--	--	--	--	--	--	(18+19)-II-7

X	cls	Nr	Vyr	Vzr	Mry	Mrz	MTrd	SF_V.	SF_M	SF_Mt	SF
cm		kg	kg	kg	kg*m	kg*m	kg*m				
0	1	8228	--	--	--	--	--	>100	44	>100	44

Asta: 101 [1084,1086] Sez. G: D20 L=234.3 cm Crit.: Acciaio_Tirante $\gamma M=1.05$ fyk/ $\gamma M=2619$ kg/cm² ft=4300 kg/cm²

:Verificato

X	cls	N	TY	TZ	MT	MY	MZ	My4	Mz4	Comb.
cm		kg	kg	kg	kg*m	kg*m	kg*m			
0	1	149	--	--	--	--	--	--	--	14

X	cls	Nr	Vyr	Vzr	Mry	Mrz	MTrd	SF_V.	SF_M	SF_Mt	SF
cm		kg	kg	kg	kg*m	kg*m	kg*m				
0	1	8228	--	--	--	--	--	>100	55	>100	55

Asta: 102 [1085,1087] Sez. G: D20 L=234.3 cm Crit.: Acciaio_Tirante $\gamma M=1.05$ fyk/ $\gamma M=2619$ kg/cm² ft=4300 kg/cm²

:Verificato

X	cls	N	TY	TZ	MT	MY	MZ	My4	Mz4	Comb.
cm		kg	kg	kg	kg*m	kg*m	kg*m			
0	1	-207	--	--	--	--	--	--	--	11

X	cls	Nr	Vyr	Vzr	Mry	Mrz	MTrd	SF_V.	SF_M	SF_Mt	SF
cm		kg	kg	kg	kg*m	kg*m	kg*m				
0	1	8228	--	--	--	--	--	>100	40	>100	40

Asta: 103 [1087,1088] Sez. G: D20 L=234.3 cm Crit.: Acciaio_Tirante $\gamma M=1.05$ fyk/ $\gamma M=2619$ kg/cm² ft=4300 kg/cm²

:Verificato

X	cls	N	TY	TZ	MT	MY	MZ	My4	Mz4	Comb.
cm		kg	kg	kg	kg*m	kg*m	kg*m			
234	1	-184	--	--	--	--	--	--	--	(18+19)-IV-1

X	cls	Nr	Vyr	Vzr	Mry	Mrz	MTrd	SF_V.	SF_M	SF_Mt	SF
cm		kg	kg	kg	kg*m	kg*m	kg*m				

X	cls	Nr	Vyr	Vzr	Mry	Mrz	MTrd	SF_V.	SF_M	SF_Mt	SF
234	1	8228	--	--	--	--	--	>100	45	>100	45

Asta: 104 [1086,1089] Sez. G: D20 L=234.3 cm Crit.: Acciaio_Tirante $\gamma_M=1.05$ $f_{yk}/\gamma_M=2619$ kg/cm² $f_t=4300$ kg/cm²
:Verificato

X	cls	N	TY	TZ	MT	MY	MZ	My4	Mz4	Comb.
cm		kg	kg	kg	kg*m	kg*m	kg*m			
0	1	-179	--	--	--	--	--	--	--	(18+19)-VIII-6

X	cls	Nr	Vyr	Vzr	Mry	Mrz	MTrd	SF_V.	SF_M	SF_Mt	SF
cm		kg	kg	kg	kg*m	kg*m	kg*m				
0	1	8228	--	--	--	--	--	>100	46	>100	46

Asta: 105 [1089,1040] Sez. G: D20 L=234.3 cm Crit.: Acciaio_Tirante $\gamma_M=1.05$ $f_{yk}/\gamma_M=2619$ kg/cm² $f_t=4300$ kg/cm²
:Verificato

X	cls	N	TY	TZ	MT	MY	MZ	My4	Mz4	Comb.
cm		kg	kg	kg	kg*m	kg*m	kg*m			
234	1	-250	--	--	--	--	--	--	--	(18+19)-II-6

X	cls	Nr	Vyr	Vzr	Mry	Mrz	MTrd	SF_V.	SF_M	SF_Mt	SF
cm		kg	kg	kg	kg*m	kg*m	kg*m				
234	1	8228	--	--	--	--	--	>100	33	>100	33

Asta: 106 [1088,1091] Sez. G: D20 L=234.3 cm Crit.: Acciaio_Tirante $\gamma_M=1.05$ $f_{yk}/\gamma_M=2619$ kg/cm² $f_t=4300$ kg/cm²
:Verificato

X	cls	N	TY	TZ	MT	MY	MZ	My4	Mz4	Comb.
cm		kg	kg	kg	kg*m	kg*m	kg*m			
0	1	-267	--	--	--	--	--	--	--	(18+19)-II-7

X	cls	Nr	Vyr	Vzr	Mry	Mrz	MTrd	SF_V.	SF_M	SF_Mt	SF
cm		kg	kg	kg	kg*m	kg*m	kg*m				
0	1	8228	--	--	--	--	--	>100	31	>100	31

Asta: 107 [1091,1093] Sez. G: D20 L=234.3 cm Crit.: Acciaio_Tirante $\gamma_M=1.05$ $f_{yk}/\gamma_M=2619$ kg/cm² $f_t=4300$ kg/cm²
:Verificato

X	cls	N	TY	TZ	MT	MY	MZ	My4	Mz4	Comb.
cm		kg	kg	kg	kg*m	kg*m	kg*m			
234	1	-156	--	--	--	--	--	--	--	(18+19)-II-6

X	cls	Nr	Vyr	Vzr	Mry	Mrz	MTrd	SF_V.	SF_M	SF_Mt	SF
cm		kg	kg	kg	kg*m	kg*m	kg*m				
234	1	8228	--	--	--	--	--	>100	53	>100	53

Asta: 108 [1040,1092] Sez. G: D20 L=234.3 cm Crit.: Acciaio_Tirante $\gamma_M=1.05$ $f_{yk}/\gamma_M=2619$ kg/cm² $f_t=4300$ kg/cm²
:Verificato

X	cls	N	TY	TZ	MT	MY	MZ	My4	Mz4	Comb.
cm		kg	kg	kg	kg*m	kg*m	kg*m			
0	1	-162	--	--	--	--	--	--	--	(18+19)-II-3

X	cls	Nr	Vyr	Vzr	Mry	Mrz	MTrd	SF_V.	SF_M	SF_Mt	SF
cm		kg	kg	kg	kg*m	kg*m	kg*m				
0	1	8228	--	--	--	--	--	>100	51	>100	51

Asta: 109 [1092,1094] Sez. G: D20 L=234.3 cm Crit.: Acciaio_Tirante $\gamma_M=1.05$ $f_{yk}/\gamma_M=2619$ kg/cm² $f_t=4300$ kg/cm²
:Verificato

X	cls	N	TY	TZ	MT	MY	MZ	My4	Mz4	Comb.
cm		kg	kg	kg	kg*m	kg*m	kg*m			
0	1	137	--	--	--	--	--	--	--	14

X	cls	Nr	Vyr	Vzr	Mry	Mrz	MTrd	SF_V.	SF_M	SF_Mt	SF
cm		kg	kg	kg	kg*m	kg*m	kg*m				
0	1	8228	--	--	--	--	--	>100	60	>100	60

Asta: 110 [1093,1095] Sez. G: D20 L=234.3 cm Crit.: Acciaio_Tirante $\gamma_M=1.05$ $f_{yk}/\gamma_M=2619$ kg/cm² $f_t=4300$ kg/cm²

:Verificato

X	cls	N	TY	TZ	MT	MY	MZ	My4	Mz4	Comb.
cm		kg	kg	kg	kg*m	kg*m	kg*m			
0	1	-183	--	--	--	--	--	--	--	11

X	cls	Nr	Vyr	Vzr	Mry	Mrz	MTrd	SF_V.	SF_M	SF_Mt	SF
cm		kg	kg	kg	kg*m	kg*m	kg*m				
0	1	8228	--	--	--	--	--	>100	45	>100	45

Asta: 111 [1095,1096] Sez. G: D20 L=234.3 cm Crit.: Acciaio_Tirante $\gamma_M=1.05$ $f_{yk}/\gamma_M=2619$ kg/cm² $f_t=4300$ kg/cm²

:Verificato

X	cls	N	TY	TZ	MT	MY	MZ	My4	Mz4	Comb.
cm		kg	kg	kg	kg*m	kg*m	kg*m			
234	1	-226	--	--	--	--	--	--	--	(18+19)-IV-5

X	cls	Nr	Vyr	Vzr	Mry	Mrz	MTrd	SF_V.	SF_M	SF_Mt	SF
cm		kg	kg	kg	kg*m	kg*m	kg*m				
234	1	8228	--	--	--	--	--	>100	36	>100	36

Asta: 112 [1094,1097] Sez. G: D20 L=234.3 cm Crit.: Acciaio_Tirante $\gamma_M=1.05$ $f_{yk}/\gamma_M=2619$ kg/cm² $f_t=4300$ kg/cm²

:Verificato

X	cls	N	TY	TZ	MT	MY	MZ	My4	Mz4	Comb.
cm		kg	kg	kg	kg*m	kg*m	kg*m			
0	1	-214	--	--	--	--	--	--	--	(18+19)-VIII-6

X	cls	Nr	Vyr	Vzr	Mry	Mrz	MTrd	SF_V.	SF_M	SF_Mt	SF
cm		kg	kg	kg	kg*m	kg*m	kg*m				
0	1	8228	--	--	--	--	--	>100	38	>100	38

Asta: 113 [1097,1041] Sez. G: D20 L=234.3 cm Crit.: Acciaio_Tirante $\gamma_M=1.05$ $f_{yk}/\gamma_M=2619$ kg/cm² $f_t=4300$ kg/cm²

:Verificato

X	cls	N	TY	TZ	MT	MY	MZ	My4	Mz4	Comb.
cm		kg	kg	kg	kg*m	kg*m	kg*m			
234	1	-174	--	--	--	--	--	--	--	(18+19)-VI-8

X	cls	Nr	Vyr	Vzr	Mry	Mrz	MTrd	SF_V.	SF_M	SF_Mt	SF
cm		kg	kg	kg	kg*m	kg*m	kg*m				
234	1	8228	--	--	--	--	--	>100	47	>100	47

Asta: 114 [1096,1098] Sez. G: D20 L=234.3 cm Crit.: Acciaio_Tirante $\gamma_M=1.05$ $f_{yk}/\gamma_M=2619$ kg/cm² $f_t=4300$ kg/cm²

:Verificato

X	cls	N	TY	TZ	MT	MY	MZ	My4	Mz4	Comb.
cm		kg	kg	kg	kg*m	kg*m	kg*m			
0	1	-184	--	--	--	--	--	--	--	(18+19)-II-7

X	cls	Nr	Vyr	Vzr	Mry	Mrz	MTrd	SF_V.	SF_M	SF_Mt	SF
cm		kg	kg	kg	kg*m	kg*m	kg*m				
0	1	8228	--	--	--	--	--	>100	45	>100	45

Asta: 115 [1098,1133] Sez. G: D20 L=234.3 cm Crit.: Acciaio_Tirante $\gamma_M=1.05$ $f_{yk}/\gamma_M=2619$ kg/cm² $f_t=4300$ kg/cm²

:Verificato

X	cls	N	TY	TZ	MT	MY	MZ	My4	Mz4	Comb.
cm		kg	kg	kg	kg*m	kg*m	kg*m			
234	1	-177	--	--	--	--	--	--	--	11

X	cls	Nr	Vyr	Vzr	Mry	Mrz	MTrd	SF_V.	SF_M	SF_Mt	SF
cm		kg	kg	kg	kg*m	kg*m	kg*m				
234	1	8228	--	--	--	--	--	>100	47	>100	47

Asta: 116 [1041,1100] Sez. G: D20 L=234.3 cm Crit.: Acciaio_Tirante $\gamma_M=1.05$ $f_{yk}/\gamma_M=2619$ kg/cm² $f_t=4300$ kg/cm²

:Verificato

X	cls	N	TY	TZ	MT	MY	MZ	My4	Mz4	Comb.
cm		kg	kg	kg	kg*m	kg*m	kg*m			
234	1	132	--	--	--	--	--	--	--	14

X	cls	Nr	Vyr	Vzr	Mry	Mrz	MTrd	SF_V.	SF_M	SF_Mt	SF
cm		kg	kg	kg	kg*m	kg*m	kg*m				
234	1	8228	--	--	--	--	--	>100	62	>100	62

Asta: 117 [1100,1135] Sez. G: D20 L=234.3 cm Crit.: Acciaio_Tirante $\gamma_M=1.05$ fyk/ $\gamma_M=2619$ kg/cm² ft=4300 kg/cm²

:Verificato

X	cls	N	TY	TZ	MT	MY	MZ	My4	Mz4	Comb.
cm		kg	kg	kg	kg*m	kg*m	kg*m			
0	1	142	--	--	--	--	--	--	--	14

X	cls	Nr	Vyr	Vzr	Mry	Mrz	MTrd	SF_V.	SF_M	SF_Mt	SF
cm		kg	kg	kg	kg*m	kg*m	kg*m				
0	1	8228	--	--	--	--	--	>100	58	>100	58

Asta: 118 [1133,1102] Sez. G: D20 L=234.3 cm Crit.: Acciaio_Tirante $\gamma_M=1.05$ fyk/ $\gamma_M=2619$ kg/cm² ft=4300 kg/cm²

:Verificato

X	cls	N	TY	TZ	MT	MY	MZ	My4	Mz4	Comb.
cm		kg	kg	kg	kg*m	kg*m	kg*m			
0	1	-189	--	--	--	--	--	--	--	11

X	cls	Nr	Vyr	Vzr	Mry	Mrz	MTrd	SF_V.	SF_M	SF_Mt	SF
cm		kg	kg	kg	kg*m	kg*m	kg*m				
0	1	8228	--	--	--	--	--	>100	44	>100	44

Asta: 119 [1102,1136] Sez. G: D20 L=234.3 cm Crit.: Acciaio_Tirante $\gamma_M=1.05$ fyk/ $\gamma_M=2619$ kg/cm² ft=4300 kg/cm²

:Verificato

X	cls	N	TY	TZ	MT	MY	MZ	My4	Mz4	Comb.
cm		kg	kg	kg	kg*m	kg*m	kg*m			
234	1	-254	--	--	--	--	--	--	--	(18+19)-IV-5

X	cls	Nr	Vyr	Vzr	Mry	Mrz	MTrd	SF_V.	SF_M	SF_Mt	SF
cm		kg	kg	kg	kg*m	kg*m	kg*m				
234	1	8228	--	--	--	--	--	>100	32	>100	32

Asta: 120 [1135,1104] Sez. G: D20 L=234.3 cm Crit.: Acciaio_Tirante $\gamma_M=1.05$ fyk/ $\gamma_M=2619$ kg/cm² ft=4300 kg/cm²

:Verificato

X	cls	N	TY	TZ	MT	MY	MZ	My4	Mz4	Comb.
cm		kg	kg	kg	kg*m	kg*m	kg*m			
0	1	-238	--	--	--	--	--	--	--	(18+19)-IV-8

X	cls	Nr	Vyr	Vzr	Mry	Mrz	MTrd	SF_V.	SF_M	SF_Mt	SF
cm		kg	kg	kg	kg*m	kg*m	kg*m				
0	1	8228	--	--	--	--	--	>100	35	>100	35

Asta: 121 [1104,1042] Sez. G: D20 L=234.3 cm Crit.: Acciaio_Tirante $\gamma_M=1.05$ fyk/ $\gamma_M=2619$ kg/cm² ft=4300 kg/cm²

:Verificato

X	cls	N	TY	TZ	MT	MY	MZ	My4	Mz4	Comb.
cm		kg	kg	kg	kg*m	kg*m	kg*m			
234	1	-198	--	--	--	--	--	--	--	(18+19)-VI-8

X	cls	Nr	Vyr	Vzr	Mry	Mrz	MTrd	SF_V.	SF_M	SF_Mt	SF
cm		kg	kg	kg	kg*m	kg*m	kg*m				
234	1	8228	--	--	--	--	--	>100	42	>100	42

Asta: 122 [1136,1105] Sez. G: D20 L=234.3 cm Crit.: Acciaio_Tirante $\gamma_M=1.05$ fyk/ $\gamma_M=2619$ kg/cm² ft=4300 kg/cm²

:Verificato

X	cls	N	TY	TZ	MT	MY	MZ	My4	Mz4	Comb.
cm		kg	kg	kg	kg*m	kg*m	kg*m			
0	1	-202	--	--	--	--	--	--	--	(18+19)-II-3

X	cls	Nr	Vyr	Vzr	Mry	Mrz	MTrd	SF_V.	SF_M	SF_Mt	SF
cm		kg	kg	kg	kg*m	kg*m	kg*m				
0	1	8228	--	--	--	--	--	>100	41	>100	41

Asta: 123 [1105,1138] Sez. G: D20 L=234.3 cm Crit.: Acciaio_Tirante $\gamma_M=1.05$ $f_{yk}/\gamma_M=2619$ kg/cm² $f_t=4300$ kg/cm²

:Verificato

X	cls	N	TY	TZ	MT	MY	MZ	My4	Mz4	Comb.
cm		kg	kg	kg	kg*m	kg*m	kg*m			
234	1	-134	--	--	--	--	--	--	--	11

X	cls	Nr	Vyr	Vzr	Mry	Mrz	MTrd	SF_V.	SF_M	SF_Mt	SF
cm		kg	kg	kg	kg*m	kg*m	kg*m				
234	1	8228	--	--	--	--	--	>100	62	>100	62

Asta: 124 [1042,1108] Sez. G: D20 L=234.3 cm Crit.: Acciaio_Tirante $\gamma_M=1.05$ $f_{yk}/\gamma_M=2619$ kg/cm² $f_t=4300$ kg/cm²

:Verificato

X	cls	N	TY	TZ	MT	MY	MZ	My4	Mz4	Comb.
cm		kg	kg	kg	kg*m	kg*m	kg*m			
0	1	-90	--	--	--	--	--	--	--	13

X	cls	Nr	Vyr	Vzr	Mry	Mrz	MTrd	SF_V.	SF_M	SF_Mt	SF
cm		kg	kg	kg	kg*m	kg*m	kg*m				
0	1	8228	--	--	--	--	--	>100	91	>100	91

Asta: 125 [1108,1139] Sez. G: D20 L=234.3 cm Crit.: Acciaio_Tirante $\gamma_M=1.05$ $f_{yk}/\gamma_M=2619$ kg/cm² $f_t=4300$ kg/cm²

:Verificato

X	cls	N	TY	TZ	MT	MY	MZ	My4	Mz4	Comb.
cm		kg	kg	kg	kg*m	kg*m	kg*m			
234	1	-148	--	--	--	--	--	--	--	(18+19)-IV-5

X	cls	Nr	Vyr	Vzr	Mry	Mrz	MTrd	SF_V.	SF_M	SF_Mt	SF
cm		kg	kg	kg	kg*m	kg*m	kg*m				
234	1	8228	--	--	--	--	--	>100	56	>100	56

Asta: 126 [1138,1109] Sez. G: D20 L=234.3 cm Crit.: Acciaio_Tirante $\gamma_M=1.05$ $f_{yk}/\gamma_M=2619$ kg/cm² $f_t=4300$ kg/cm²

:Verificato

X	cls	N	TY	TZ	MT	MY	MZ	My4	Mz4	Comb.
cm		kg	kg	kg	kg*m	kg*m	kg*m			
0	1	-178	--	--	--	--	--	--	--	11

X	cls	Nr	Vyr	Vzr	Mry	Mrz	MTrd	SF_V.	SF_M	SF_Mt	SF
cm		kg	kg	kg	kg*m	kg*m	kg*m				
0	1	8228	--	--	--	--	--	>100	46	>100	46

Asta: 127 [1109,1140] Sez. G: D20 L=234.3 cm Crit.: Acciaio_Tirante $\gamma_M=1.05$ $f_{yk}/\gamma_M=2619$ kg/cm² $f_t=4300$ kg/cm²

:Verificato

X	cls	N	TY	TZ	MT	MY	MZ	My4	Mz4	Comb.
cm		kg	kg	kg	kg*m	kg*m	kg*m			
234	1	-272	--	--	--	--	--	--	--	(18+19)-IV-5

X	cls	Nr	Vyr	Vzr	Mry	Mrz	MTrd	SF_V.	SF_M	SF_Mt	SF
cm		kg	kg	kg	kg*m	kg*m	kg*m				
234	1	8228	--	--	--	--	--	>100	30	>100	30

Asta: 128 [1139,1111] Sez. G: D20 L=234.3 cm Crit.: Acciaio_Tirante $\gamma_M=1.05$ $f_{yk}/\gamma_M=2619$ kg/cm² $f_t=4300$ kg/cm²

:Verificato

X	cls	N	TY	TZ	MT	MY	MZ	My4	Mz4	Comb.
cm		kg	kg	kg	kg*m	kg*m	kg*m			
0	1	-249	--	--	--	--	--	--	--	(18+19)-VIII-6

X	cls	Nr	Vyr	Vzr	Mry	Mrz	MTrd	SF_V.	SF_M	SF_Mt	SF
cm		kg	kg	kg	kg*m	kg*m	kg*m				

X	cls	Nr	Vyr	Vzr	Mry	Mrz	MTrd	SF_V.	SF_M	SF_Mt	SF
0	1	8228	--	--	--	--	--	>100	33	>100	33

Asta: 137 [2,1001] Sez. G: HE 260 B L=508.0 cm Crit.: Acciaio_PressSverg $\gamma M=1.05$ fyk/ $\gamma M=2619$ kg/cm² ft=4300 kg/cm² :**Verificato**

X	cls	N	TY	TZ	MT	MY	MZ	My4	Mz4	Comb.
cm		kg	kg	kg	kg*m	kg*m	kg*m			
0	1	-10082	268	1756	-0	-5737	1597	--	--	9

X	cls	Nr	Vyr	Vzr	Mry	Mrz	MTrd	SF_V.	SF_M	SF_Mt	SF
cm		kg	kg	kg	kg*m	kg*m	kg*m				
0	1	310212	137600	56846	33620	15776	986	32	3.3	>100	3.3

Asta: 138 [4,1003] Sez. G: HE 260 B L=508.0 cm Crit.: Acciaio_PressSverg $\gamma M=1.05$ fyk/ $\gamma M=2619$ kg/cm² ft=4300 kg/cm² :**Verificato**

X	cls	N	TY	TZ	MT	MY	MZ	My4	Mz4	Comb.
cm		kg	kg	kg	kg*m	kg*m	kg*m			
0	1	-13384	38	1708	-0	-5479	1211	--	--	7

X	cls	Nr	Vyr	Vzr	Mry	Mrz	MTrd	SF_V.	SF_M	SF_Mt	SF
cm		kg	kg	kg	kg*m	kg*m	kg*m				
0	1	310212	137601	56846	33620	15776	986	33	3.5	>100	3.5

Asta: 139 [6,1005] Sez. G: HE 260 B L=508.0 cm Crit.: Acciaio_PressSverg $\gamma M=1.05$ fyk/ $\gamma M=2619$ kg/cm² ft=4300 kg/cm² :**Verificato**

X	cls	N	TY	TZ	MT	MY	MZ	My4	Mz4	Comb.
cm		kg	kg	kg	kg*m	kg*m	kg*m			
0	1	-13967	60	1767	-0	-5586	1248	--	--	7

X	cls	Nr	Vyr	Vzr	Mry	Mrz	MTrd	SF_V.	SF_M	SF_Mt	SF
cm		kg	kg	kg	kg*m	kg*m	kg*m				
0	1	310212	137600	56846	33620	15776	986	32	3.4	>100	3.4

Asta: 140 [7,1007] Sez. G: HE 260 B L=508.0 cm Crit.: Acciaio_PressSverg $\gamma M=1.05$ fyk/ $\gamma M=2619$ kg/cm² ft=4300 kg/cm² :**Verificato**

X	cls	N	TY	TZ	MT	MY	MZ	My4	Mz4	Comb.
cm		kg	kg	kg	kg*m	kg*m	kg*m			
0	1	-12651	207	1672	-0	-5427	1497	--	--	7

X	cls	Nr	Vyr	Vzr	Mry	Mrz	MTrd	SF_V.	SF_M	SF_Mt	SF
cm		kg	kg	kg	kg*m	kg*m	kg*m				
0	1	310212	137601	56846	33620	15776	986	34	3.4	>100	3.4

Asta: 141 [10,1009] Sez. G: HE 260 B L=508.0 cm Crit.: Acciaio_PressSverg $\gamma M=1.05$ fyk/ $\gamma M=2619$ kg/cm² ft=4300 kg/cm² :**Verificato**

X	cls	N	TY	TZ	MT	MY	MZ	My4	Mz4	Comb.
cm		kg	kg	kg	kg*m	kg*m	kg*m			
508	1	-16739	-509	1902	-0	4925	2480	--	--	1

X	cls	Nr	Vyr	Vzr	Mry	Mrz	MTrd	SF_V.	SF_M	SF_Mt	SF
cm		kg	kg	kg	kg*m	kg*m	kg*m				
508	1	310212	137596	56844	33620	15776	986	30	2.8	>100	2.8

Asta: 142 [12,1011] Sez. G: HE 260 B L=502.0 cm Crit.: Acciaio_PressSverg $\gamma M=1.05$ fyk/ $\gamma M=2619$ kg/cm² ft=4300 kg/cm² :**Verificato**

X	cls	N	TY	TZ	MT	MY	MZ	My4	Mz4	Comb.
cm		kg	kg	kg	kg*m	kg*m	kg*m			
502	1	-11713	24	-1742	-0	-7590	669	--	--	2

X	cls	Nr	Vyr	Vzr	Mry	Mrz	MTrd	SF_V.	SF_M	SF_Mt	SF
cm		kg	kg	kg	kg*m	kg*m	kg*m				
502	1	310212	137594	56844	33620	15776	986	33	3.3	>100	3.3

Asta: 143 [14,1013] Sez. G: HE 260 B L=502.0 cm Crit.: Acciaio_PressSverg $\gamma_M=1.05$ fyk/ $\gamma_M=2619$ kg/cm² ft=4300 kg/cm² :**Verificato**

X	cls	N	TY	TZ	MT	MY	MZ	My4	Mz4	Comb.
cm		kg	kg	kg	kg*m	kg*m	kg*m			
502	1	-10276	31	-1738	0	-8639	1042	--	--	9

X	cls	Nr	Vyr	Vzr	Mry	Mrz	MTrd	SF_V.	SF_M	SF_Mt	SF
cm		kg	kg	kg	kg*m	kg*m	kg*m				
502	1	310212	137599	56846	33620	15776	986	33	2.8	>100	2.8

Asta: 144 [16,1015] Sez. G: HE 260 B L=502.0 cm Crit.: Acciaio_PressSverg $\gamma_M=1.05$ fyk/ $\gamma_M=2619$ kg/cm² ft=4300 kg/cm² :**Verificato**

X	cls	N	TY	TZ	MT	MY	MZ	My4	Mz4	Comb.
cm		kg	kg	kg	kg*m	kg*m	kg*m			
502	1	-10927	62	-1790	0	-8822	940	--	--	9

X	cls	Nr	Vyr	Vzr	Mry	Mrz	MTrd	SF_V.	SF_M	SF_Mt	SF
cm		kg	kg	kg	kg*m	kg*m	kg*m				
502	1	310212	137600	56846	33620	15776	986	32	2.8	>100	2.8

Asta: 145 [17,1017] Sez. G: HE 260 B L=502.0 cm Crit.: Acciaio_PressSverg $\gamma_M=1.05$ fyk/ $\gamma_M=2619$ kg/cm² ft=4300 kg/cm² :**Verificato**

X	cls	N	TY	TZ	MT	MY	MZ	My4	Mz4	Comb.
cm		kg	kg	kg	kg*m	kg*m	kg*m			
502	1	-9577	216	-1682	0	-8459	424	--	--	9

X	cls	Nr	Vyr	Vzr	Mry	Mrz	MTrd	SF_V.	SF_M	SF_Mt	SF
cm		kg	kg	kg	kg*m	kg*m	kg*m				
502	1	310212	137599	56846	33620	15776	986	34	3.2	>100	3.2

Asta: 146 [20,1019] Sez. G: HE 260 B L=502.0 cm Crit.: Acciaio_PressSverg $\gamma_M=1.05$ fyk/ $\gamma_M=2619$ kg/cm² ft=4300 kg/cm² :**Verificato**

X	cls	N	TY	TZ	MT	MY	MZ	My4	Mz4	Comb.
cm		kg	kg	kg	kg*m	kg*m	kg*m			
502	1	-11477	-570	-1824	-0	-8936	3060	--	--	9

X	cls	Nr	Vyr	Vzr	Mry	Mrz	MTrd	SF_V.	SF_M	SF_Mt	SF
cm		kg	kg	kg	kg*m	kg*m	kg*m				
502	1	310212	137600	56846	33620	15776	986	31	2.0	>100	2.0

7. Verifiche stato limite di esercizio

Verifica delle travi (Stati limite esercizio)

Scenario di calcolo: **Set_SLV_SLD**

Simbologia

- Terreno Nome della stratigrafia per travi Winkler
 L [cm] Lunghezza teorica elemento (distanza tra i nodi)
 Ln [cm] Lunghezza netta elemento (tiene conto dei conci rigidi)
 L2,L3 [cm] Lunghezze libere di inflessione
 Sez. R: Sezione Rettangolare
 By[cm]: Larghezza (asse locale y)
 Bz[cm]: Larghezza (asse locale z)
 Sez. T: Sezione a T (rovescia e non)
 Ba[cm]: Larghezza base inferiore
 Ha[cm]: Altezza inferiore
 Bs[cm]: Larghezza superiore
 Hs[cm]: Altezza superiore
 Sez. L: Sezione ad L (rovescia e non)
 Ba[cm]: Larghezza base inferiore
 Ha[cm]: Altezza inferiore

	Bs[cm]: Larghezza superiore
	Hs[cm]: Altezza superiore
Sez. C: Sezione circolare	
	R[cm]: Raggio
Sez. G: Sezione generica	
	B[cm]: Larghezza
	H[cm]: Altezza
X [cm]	Punto di verifica
σ_{ca} [kg/cm ²]	Tensione ammissibile nel cls
σ_{fa} [kg/cm ²]	Tensione ammissibile nell'acciaio
σ_{cta} [kg/cm ²]	Tensione ammissibile a trazione (quando richiesto dalla verifica)
M- [kg*m]	Momento negativo massimo di calcolo
M+ [kg*m]	Momento positivo massimo di calcolo
M [kg*m]	Momento di calcolo (travi a flessione, pilastri circolari)
My [kg*m]	Momento calcolo per verifiche a pressoflessione
Mz [kg*m]	Momento calcolo per verifiche a pressoflessione (Sez. L, Pilastri)
N [kg]	Sforzo normale corrispondente ad My (e Mz per Sez. L, Pilastri)
Afsup [cm ²]	Area di ferro superiore
Afinf [cm ²]	Area di ferro inferiore
Afsin [cm ²]	Area di ferro sinistra (Sez. L)
Afdes [cm ²]	Area di ferro destra (Sez. L)
σ_{c-} [kg/cm ²]	Tensione nel cls compresso per effetto di M-
σ_{c+} [kg/cm ²]	Tensione nel cls compresso per effetto di M+
σ_{ct-} [kg/cm ²]	Tensione nel cls teso per effetto di M-
σ_{ct+} [kg/cm ²]	Tensione nel cls teso per effetto di M+
σ_{f-} [kg/cm ²]	Tensione nell'acciaio per effetto di M-
σ_{f+} [kg/cm ²]	Tensione nell'acciaio per effetto di M+
Cb-	Combinazione di carico generatore di M-
Cb+	Combinazione di carico generatore di M+
σ_c [kg/cm ²]	Tensione nel cls per effetto di N My
σ_f [kg/cm ²]	Tensione nell'acciaio per effetto di N My
Cb	Combinazione di carico generatore di N My
Act [mq]	Area di calcestruzzo teso
Aft [cm ²]	Area di acciaio teso
pAft [cm]	Perimetro area di acciaio teso
S _{r,max} [cm]	Distanza massima delle fessure
σ_{sfmed} [kg/cm ²]	Tensione media dell'acciaio
Wd [mm]	Apertura delle fessure
Wk [mm]	Apertura caratteristica delle fessure
Wamm_Freq [mm]	Apertura ammissibile delle fessure per combinazione Frequente
Wamm_Qp [mm]	Apertura ammissibile delle fessure per combinazione Quasi Permanente
Wamm_Rara [mm]	Apertura ammissibile delle fessure per combinazione Rara
Cs	Coefficiente di sicurezza definito come minimo di σ_{Amm}/σ tra acciaio e calcestruzzo oppure Wamm/Wk

Trave di fondazione: 129 [45,47], Pilastrate [--,--] Sez. R: By=30.0 cm Bz=120.0 cm L=720.0 cm Ln=720.0 cm
Terreno=Terreno1 Criterio: CLS_TraviFondazione

Combinazione Rara: $\sigma_{ca}[\text{kg/cm}^2]=149$ $\sigma_{fa}[\text{kg/cm}^2]=3600$

X	M+	M-	Afsup	Afinf	σ_{c+}	σ_{f+}	σ_{c-}	σ_{f-}	Cb+	Cb-	Ver.	CS
cm	kg*m	kg*m	cmq	cmq	kg/cmq	kg/cmq	kg/cmq	kg/cmq				
0.0	46	85	8.04	8.04	-0	5	-0	10	21	32	Si	>100
72.0	141	141	8.04	8.04	-0	16	-0	16	32	21	Si	>100
360.0	499	373	8.04	8.04	-1	58	-1	43	32	21	Si	62
648.0	568	--	8.04	8.04	-1	66	--	--	32	21	Si	55
720.0	608	--	8.04	8.04	-1	71	--	--	32	21	Si	51

Verifica aperture fessure:Wamm_Freq[mm]=0.400

X	M	Act	Aft	pAft	$S_{r,max}$	σ_{fmed}	Wd	Wk	Cb	Ver.	Cs
cm	kg*m	mq	cmq	cm	cm	kg/cmq	mm	mm			
0.0	19	0.0	8.04	20.11	27.8	2	0.000	0.000	38(Fr)	Si	>100
72.0	55	0.0	8.04	20.11	27.8	6	0.001	0.001	35(Fr)	Si	>100
360.0	99	0.0	8.04	20.11	27.8	12	0.001	0.001	35(Fr)	Si	>100
648.0	-368	0.0	8.04	20.11	27.8	43	0.003	0.003	38(Fr)	Si	>100
720.0	-523	0.0	8.04	20.11	27.8	61	0.005	0.005	38(Fr)	Si	83

Trave di fondazione: 129 [49,51], Pilastrate [--,--] Sez. R: By=30.0 cm Bz=120.0 cm L=720.0 cm Ln=720.0 cm
Terreno=Terreno1 Criterio: CLS_TraviFondazione

Combinazione Rara: $\sigma_{ca}[\text{kg/cm}^2]=149$ $\sigma_{fa}[\text{kg/cm}^2]=3600$

X	M+	M-	Afsup	Afinf	σ_{c+}	σ_{f+}	σ_{c-}	σ_{f-}	Cb+	Cb-	Ver.	CS
cm	kg*m	kg*m	cmq	cmq	kg/cmq	kg/cmq	kg/cmq	kg/cmq				
0.0	533	--	8.04	8.04	-1	62	--	--	21	32	Si	58
72.0	275	--	8.04	8.04	-1	32	--	--	21	32	Si	>100
360.0	59	233	8.04	8.04	-0	7	-0	27	32	21	Si	>100
648.0	493	--	8.04	8.04	-1	57	--	--	32	21	Si	63
720.0	668	--	8.04	8.04	-1	78	--	--	32	21	Si	46

Verifica aperture fessure:Wamm_Freq[mm]=0.400

X	M	Act	Aft	pAft	$S_{r,max}$	σ_{fmed}	Wd	Wk	Cb	Ver.	Cs
cm	kg*m	mq	cmq	cm	cm	kg/cmq	mm	mm			
0.0	-426	0.0	8.04	20.11	27.8	50	0.004	0.004	35(Fr)	Si	>100
72.0	-218	0.0	8.04	20.11	27.8	25	0.002	0.002	35(Fr)	Si	>100
360.0	148	0.0	8.04	20.11	27.8	17	0.001	0.001	35(Fr)	Si	>100
648.0	-264	0.0	8.04	20.11	27.8	31	0.002	0.002	38(Fr)	Si	>100
720.0	-451	0.0	8.04	20.11	27.8	53	0.004	0.004	38(Fr)	Si	96

Trave di fondazione: 129 [51,53], Pilastrate [--,--] Sez. R: By=30.0 cm Bz=120.0 cm L=720.0 cm Ln=720.0 cm
Terreno=Terreno1 Criterio: CLS_TraviFondazione

Combinazione Rara: $\sigma_{ca}[\text{kg/cm}^2]=149$ $\sigma_{fa}[\text{kg/cm}^2]=3600$

X	M+	M-	Afsup	Afinf	σ_{c+}	σ_{f+}	σ_{c-}	σ_{f-}	Cb+	Cb-	Ver.	CS
cm	kg*m	kg*m	cmq	cmq	kg/cmq	kg/cmq	kg/cmq	kg/cmq				
0.0	675	--	8.04	8.04	-1	79	--	--	32	21	Si	46
72.0	639	42	8.04	8.04	-1	74	-0	5	32	21	Si	48
360.0	577	581	8.04	8.04	-1	67	-1	68	32	21	Si	53
648.0	162	202	8.04	8.04	-0	19	-0	23	32	21	Si	>100
720.0	80	99	8.04	8.04	-0	9	-0	12	21	32	Si	>100

Verifica aperture fessure:Wamm_Freq[mm]=0.400

X	M	Act	Aft	pAft	$S_{r,max}$	σ_{fmed}	Wd	Wk	Cb	Ver.	Cs
cm	kg*m	mq	cmq	cm	cm	kg/cmq	mm	mm			
0.0	-454	0.0	8.04	20.11	27.8	53	0.004	0.004	38(Fr)	Si	95
72.0	-296	0.0	8.04	20.11	27.8	34	0.003	0.003	38(Fr)	Si	>100
360.0	230	0.0	8.04	20.11	27.8	27	0.002	0.002	35(Fr)	Si	>100
648.0	92	0.0	8.04	20.11	27.8	11	0.001	0.001	35(Fr)	Si	>100
720.0	-26	0.0	8.04	20.11	27.8	3	0.000	0.000	35(Fr)	Si	>100

Trave di fondazione: 129 [47,49], Pilastrate [--,--] Sez. R: By=30.0 cm Bz=120.0 cm L=720.0 cm Ln=720.0 cm

Terreno=Terreno1 Criterio: CLS_TraviFondazione

Combinazione Rara: $\sigma_{ca}[kg/cm^2]=149$ $\sigma_{fa}[kg/cm^2]=3600$

X	M+	M-	Afsup	Afinf	σ_{c+}	σ_{f+}	σ_{c-}	σ_{f-}	Cb+	Cb-	Ver.	CS
cm	kg*m	kg*m	cmq	cmq	kg/cmq	kg/cmq	kg/cmq	kg/cmq				
0.0	602	--	8.04	8.04	-1	70	--	--	32	21	Si	51
72.0	437	--	8.04	8.04	-1	51	--	--	32	21	Si	71
360.0	37	174	8.04	8.04	-0	4	-0	20	32	21	Si	>100
648.0	284	--	8.04	8.04	-1	33	--	--	21	32	Si	>100
720.0	532	--	8.04	8.04	-1	62	--	--	21	32	Si	58

Verifica aperture fessure:Wamm_Freq[mm]=0.400

X	M	Act	Aft	pAft	$S_{r,max}$	σ_{fmed}	Wd	Wk	Cb	Ver.	Cs
cm	kg*m	mq	cmq	cm	cm	kg/cmq	mm	mm			
0.0	-520	0.0	8.04	20.11	27.8	60	0.005	0.005	38(Fr)	Si	83
72.0	-322	0.0	8.04	20.11	27.8	37	0.003	0.003	38(Fr)	Si	>100
360.0	111	0.0	8.04	20.11	27.8	13	0.001	0.001	35(Fr)	Si	>100
648.0	-223	0.0	8.04	20.11	27.8	26	0.002	0.002	35(Fr)	Si	>100
720.0	-426	0.0	8.04	20.11	27.8	50	0.004	0.004	35(Fr)	Si	>100

Trave di fondazione: 130 [1,11], Pilastrate [147,155] Sez. R: By=30.0 cm Bz=120.0 cm L=450.0 cm Ln=450.0 cm
 Terreno=Terreno1 Criterio: CLS_TraviFondazione

Combinazione Rara: $\sigma_{ca}[kg/cm^2]=149$ $\sigma_{fa}[kg/cm^2]=3600$

X	M+	M-	Afsup	Afinf	σ_{c+}	σ_{f+}	σ_{c-}	σ_{f-}	Cb+	Cb-	Ver.	CS
cm	kg*m	kg*m	cmq	cmq	kg/cmq	kg/cmq	kg/cmq	kg/cmq				
0.0	4318	6734	8.04	8.04	-9	502	-14	783	23	30	Si	4.6
45.0	3407	5168	8.04	8.04	-7	396	-11	601	23	30	Si	6.0
225.0	344	137	8.04	8.04	-1	40	-0	16	30	23	Si	90
405.0	5077	3973	8.04	8.04	-10	591	-8	462	30	32	Si	6.1
450.0	6203	5046	8.04	8.04	-13	722	-10	587	30	32	Si	5.0

Verifica aperture fessure:Wamm_Freq[mm]=0.400

X	M	Act	Aft	pAft	$S_{r,max}$	σ_{fmed}	Wd	Wk	Cb	Ver.	Cs
cm	kg*m	mq	cmq	cm	cm	kg/cmq	mm	mm			
0.0	1817	0.0	8.04	20.11	27.8	211	0.017	0.017	36(Fr)	Si	24
45.0	1409	0.0	8.04	20.11	27.8	164	0.013	0.013	36(Fr)	Si	31
225.0	-102	0.0	8.04	20.11	27.8	12	0.001	0.001	36(Fr)	Si	>100
405.0	-1537	0.0	8.04	20.11	27.8	179	0.014	0.014	36(Fr)	Si	28
450.0	-1901	0.0	8.04	20.11	27.8	221	0.018	0.018	36(Fr)	Si	23

Trave di fondazione: 130 [11,45], Pilastrate [155,-] Sez. R: By=30.0 cm Bz=120.0 cm L=390.0 cm Ln=390.0 cm
 Terreno=Terreno1 Criterio: CLS_TraviFondazione

Combinazione Rara: $\sigma_{ca}[kg/cm^2]=149$ $\sigma_{fa}[kg/cm^2]=3600$

X	M+	M-	Afsup	Afinf	σ_{c+}	σ_{f+}	σ_{c-}	σ_{f-}	Cb+	Cb-	Ver.	CS
cm	kg*m	kg*m	cmq	cmq	kg/cmq	kg/cmq	kg/cmq	kg/cmq				
0.0	2794	3016	8.04	8.04	-6	325	-6	351	21	32	Si	10
39.0	2387	2559	8.04	8.04	-5	278	-5	298	21	32	Si	12
195.0	1139	1108	8.04	8.04	-2	133	-2	129	21	32	Si	27
351.0	399	199	8.04	8.04	-1	46	-0	23	21	32	Si	78
390.0	273	43	8.04	8.04	-1	32	-0	5	21	32	Si	>100

Verifica aperture fessure:Wamm_Freq[mm]=0.400

X	M	Act	Aft	pAft	$S_{r,max}$	σ_{fmed}	Wd	Wk	Cb	Ver.	Cs
cm	kg*m	mq	cmq	cm	cm	kg/cmq	mm	mm			
0.0	-938	0.0	8.04	20.11	27.8	109	0.009	0.009	35(Fr)	Si	46
39.0	-819	0.0	8.04	20.11	27.8	95	0.008	0.008	35(Fr)	Si	53
195.0	-455	0.0	8.04	20.11	27.8	53	0.004	0.004	35(Fr)	Si	95
351.0	-237	0.0	8.04	20.11	27.8	28	0.002	0.002	35(Fr)	Si	>100
390.0	-199	0.0	8.04	20.11	27.8	23	0.002	0.002	35(Fr)	Si	>100

Trave di fondazione: 131 [1,3], Pilastrate [147,149] Sez. R: By=30.0 cm Bz=120.0 cm L=720.0 cm Ln=720.0 cm
 Terreno=Terreno1 Criterio: CLS_TraviFondazione

Combinazione Rara: $\sigma_{ca}[\text{kg/cm}^2]=149$ $\sigma_{fa}[\text{kg/cm}^2]=3600$

X	M+	M-	Afsup	Afinf	σ_{c+}	σ_{f+}	σ_{c-}	σ_{f-}	Cb+	Cb-	Ver.	CS
cm	kg*m	kg*m	cmq	cmq	kg/cmq	kg/cmq	kg/cmq	kg/cmq				
0.0	175	1082	8.04	8.04	-0	20	-2	126	21	32	Si	29
72.0	408	893	8.04	8.04	-1	47	-2	104	30	32	Si	35
360.0	1110	761	8.04	8.04	-2	129	-2	88	30	20	Si	28
648.0	1541	2077	8.04	8.04	-3	179	-4	242	20	30	Si	15
720.0	2603	3569	8.04	8.04	-5	303	-7	415	20	30	Si	8.7

Verifica aperture fessure: $W_{amm_Freq}[\text{mm}]=0.400$

X	M	Act	Aft	pAft	$S_{r,max}$	σ_{fmed}	Wd	Wk	Cb	Ver.	Cs
cm	kg*m	mq	cmq	cm	cm	kg/cmq	mm	mm			
0.0	719	0.0	8.04	20.11	27.8	84	0.007	0.007	38(Fr)	Si	60
72.0	619	0.0	8.04	20.11	27.8	72	0.006	0.006	38(Fr)	Si	70
360.0	205	0.0	8.04	20.11	27.8	24	0.002	0.002	35(Fr)	Si	>100
648.0	-864	0.0	8.04	20.11	27.8	101	0.008	0.008	35(Fr)	Si	50
720.0	-1298	0.0	8.04	20.11	27.8	151	0.012	0.012	35(Fr)	Si	33

Trave di fondazione: 131 [3,5], Pilastrate [149,153] Sez. R: $B_y=30.0$ cm $B_z=120.0$ cm $L=720.0$ cm $L_n=720.0$ cm
Terreno=Terreno1 Criterio: CLS_TraviFondazione

Combinazione Rara: $\sigma_{ca}[\text{kg/cm}^2]=149$ $\sigma_{fa}[\text{kg/cm}^2]=3600$

X	M+	M-	Afsup	Afinf	σ_{c+}	σ_{f+}	σ_{c-}	σ_{f-}	Cb+	Cb-	Ver.	CS
cm	kg*m	kg*m	cmq	cmq	kg/cmq	kg/cmq	kg/cmq	kg/cmq				
0.0	1779	2678	8.04	8.04	-4	207	-6	312	20	30	Si	12
72.0	858	1346	8.04	8.04	-2	100	-3	157	20	30	Si	23
360.0	1084	762	8.04	8.04	-2	126	-2	89	30	20	Si	29
648.0	856	956	8.04	8.04	-2	100	-2	111	20	30	Si	32
720.0	1785	2180	8.04	8.04	-4	208	-5	254	20	30	Si	14

Verifica aperture fessure: $W_{amm_Freq}[\text{mm}]=0.400$

X	M	Act	Aft	pAft	$S_{r,max}$	σ_{fmed}	Wd	Wk	Cb	Ver.	Cs
cm	kg*m	mq	cmq	cm	cm	kg/cmq	mm	mm			
0.0	-750	0.0	8.04	20.11	27.8	87	0.007	0.007	35(Fr)	Si	58
72.0	-402	0.0	8.04	20.11	27.8	47	0.004	0.004	35(Fr)	Si	>100
360.0	248	0.0	8.04	20.11	27.8	29	0.002	0.002	35(Fr)	Si	>100
648.0	-254	0.0	8.04	20.11	27.8	30	0.002	0.002	35(Fr)	Si	>100
720.0	-564	0.0	8.04	20.11	27.8	66	0.005	0.005	35(Fr)	Si	77

Trave di fondazione: 131 [5,8], Pilastrate [153,152] Sez. R: $B_y=30.0$ cm $B_z=120.0$ cm $L=720.0$ cm $L_n=720.0$ cm
Terreno=Terreno1 Criterio: CLS_TraviFondazione

Combinazione Rara: $\sigma_{ca}[\text{kg/cm}^2]=149$ $\sigma_{fa}[\text{kg/cm}^2]=3600$

X	M+	M-	Afsup	Afinf	σ_{c+}	σ_{f+}	σ_{c-}	σ_{f-}	Cb+	Cb-	Ver.	CS
cm	kg*m	kg*m	cmq	cmq	kg/cmq	kg/cmq	kg/cmq	kg/cmq				
0.0	2012	2316	8.04	8.04	-4	234	-5	269	20	30	Si	13
72.0	1030	1064	8.04	8.04	-2	120	-2	124	20	30	Si	29
360.0	1111	819	8.04	8.04	-2	129	-2	95	30	20	Si	28
648.0	449	1086	8.04	8.04	-1	52	-2	126	20	30	Si	29
720.0	1253	2335	8.04	8.04	-3	146	-5	272	20	30	Si	13

Verifica aperture fessure: $W_{amm_Freq}[\text{mm}]=0.400$

X	M	Act	Aft	pAft	$S_{r,max}$	σ_{fmed}	Wd	Wk	Cb	Ver.	Cs
cm	kg*m	mq	cmq	cm	cm	kg/cmq	mm	mm			
0.0	-692	0.0	8.04	20.11	27.8	81	0.006	0.006	35(Fr)	Si	63
72.0	-353	0.0	8.04	20.11	27.8	41	0.003	0.003	35(Fr)	Si	>100
360.0	284	0.0	8.04	20.11	27.8	33	0.003	0.003	35(Fr)	Si	>100
648.0	-155	0.0	8.04	20.11	27.8	18	0.001	0.001	35(Fr)	Si	>100
720.0	-432	0.0	8.04	20.11	27.8	50	0.004	0.004	35(Fr)	Si	>100

Trave di fondazione: 131 [8,9], Pilastrate [152,154] Sez. R: $B_y=30.0$ cm $B_z=120.0$ cm $L=720.0$ cm $L_n=720.0$ cm
Terreno=Terreno1 Criterio: CLS_TraviFondazione

Combinazione Rara: $\sigma_{ca}[kg/cm^2]=149$ $\sigma_{fa}[kg/cm^2]=3600$

X	M+	M-	Afsup	Afinf	σ_{c+}	σ_{f+}	σ_{c-}	σ_{f-}	Cb+	Cb-	Ver.	CS
cm	kg*m	kg*m	cmq	cmq	kg/cmq	kg/cmq	kg/cmq	kg/cmq				
0.0	1511	2815	8.04	8.04	-3	176	-6	328	23	30	Si	11
72.0	892	1469	8.04	8.04	-2	104	-3	171	23	30	Si	21
360.0	1181	921	8.04	8.04	-2	137	-2	107	30	20	Si	26
648.0	739	503	8.04	8.04	-2	86	-1	59	21	32	Si	42
720.0	1593	1197	8.04	8.04	-3	185	-2	139	20	30	Si	19

Verifica aperture fessure:Wamm_Freq[mm]=0.400

X	M	Act	Aft	pAft	$S_{r,max}$	σ_{fmed}	Wd	Wk	Cb	Ver.	Cs
cm	kg*m	mq	cmq	cm	cm	kg/cmq	mm	mm			
0.0	-539	0.0	8.04	20.11	27.8	63	0.005	0.005	38(Fr)	Si	80
72.0	-298	0.0	8.04	20.11	27.8	35	0.003	0.003	38(Fr)	Si	>100
360.0	308	0.0	8.04	20.11	27.8	36	0.003	0.003	35(Fr)	Si	>100
648.0	-198	0.0	8.04	20.11	27.8	23	0.002	0.002	35(Fr)	Si	>100
720.0	-494	0.0	8.04	20.11	27.8	57	0.005	0.005	35(Fr)	Si	88

Trave di fondazione: 132 [9,19], Pilastrate [154,151] Sez. R: By=30.0 cm Bz=120.0 cm L=450.0 cm Ln=450.0 cm
 Terreno=Terreno1 Criterio: CLS_TraviFondazione

Combinazione Rara: $\sigma_{ca}[kg/cm^2]=149$ $\sigma_{fa}[kg/cm^2]=3600$

X	M+	M-	Afsup	Afinf	σ_{c+}	σ_{f+}	σ_{c-}	σ_{f-}	Cb+	Cb-	Ver.	CS
cm	kg*m	kg*m	cmq	cmq	kg/cmq	kg/cmq	kg/cmq	kg/cmq				
0.0	5595	8494	8.04	8.04	-12	651	-18	988	23	30	Si	3.6
45.0	4391	6542	8.04	8.04	-9	511	-14	761	23	30	Si	4.7
225.0	416	194	8.04	8.04	-1	48	-0	23	30	23	Si	74
405.0	6552	5018	8.04	8.04	-14	762	-10	584	30	32	Si	4.7
450.0	8039	6347	8.04	8.04	-17	935	-13	738	30	32	Si	3.8

Verifica aperture fessure:Wamm_Freq[mm]=0.400

X	M	Act	Aft	pAft	$S_{r,max}$	σ_{fmed}	Wd	Wk	Cb	Ver.	Cs
cm	kg*m	mq	cmq	cm	cm	kg/cmq	mm	mm			
0.0	2110	0.0	8.04	20.11	27.8	245	0.020	0.020	36(Fr)	Si	21
45.0	1664	0.0	8.04	20.11	27.8	194	0.015	0.015	36(Fr)	Si	26
225.0	-103	0.0	8.04	20.11	27.8	12	0.001	0.001	36(Fr)	Si	>100
405.0	-1982	0.0	8.04	20.11	27.8	231	0.018	0.018	36(Fr)	Si	22
450.0	-2490	0.0	8.04	20.11	27.8	290	0.023	0.023	36(Fr)	Si	17

Trave di fondazione: 132 [19,53], Pilastrate [151,-] Sez. R: By=30.0 cm Bz=120.0 cm L=390.0 cm Ln=390.0 cm
 Terreno=Terreno1 Criterio: CLS_TraviFondazione

Combinazione Rara: $\sigma_{ca}[kg/cm^2]=149$ $\sigma_{fa}[kg/cm^2]=3600$

X	M+	M-	Afsup	Afinf	σ_{c+}	σ_{f+}	σ_{c-}	σ_{f-}	Cb+	Cb-	Ver.	CS
cm	kg*m	kg*m	cmq	cmq	kg/cmq	kg/cmq	kg/cmq	kg/cmq				
0.0	4032	3432	8.04	8.04	-8	469	-7	399	21	32	Si	7.7
39.0	3422	2914	8.04	8.04	-7	398	-6	339	21	32	Si	9.0
195.0	1545	1260	8.04	8.04	-3	180	-3	147	21	32	Si	20
351.0	425	214	8.04	8.04	-1	49	-0	25	21	32	Si	73
390.0	234	34	8.04	8.04	-0	27	-0	4	21	32	Si	>100

Verifica aperture fessure:Wamm_Freq[mm]=0.400

X	M	Act	Aft	pAft	$S_{r,max}$	σ_{fmed}	Wd	Wk	Cb	Ver.	Cs
cm	kg*m	mq	cmq	cm	cm	kg/cmq	mm	mm			
0.0	-1722	0.0	8.04	20.11	27.8	200	0.016	0.016	35(Fr)	Si	25
39.0	-1474	0.0	8.04	20.11	27.8	171	0.014	0.014	35(Fr)	Si	29
195.0	-710	0.0	8.04	20.11	27.8	83	0.007	0.007	35(Fr)	Si	61
351.0	-253	0.0	8.04	20.11	27.8	29	0.002	0.002	35(Fr)	Si	>100
390.0	-175	0.0	8.04	20.11	27.8	20	0.002	0.002	36(Fr)	Si	>100

Trave: 133 [11,13], Pilastrate [155,150] Sez. R: By=30.0 cm Bz=40.0 cm L=720.0 cm Ln=720.0 cm Criterio: Cls
 aste collegamento Plinti

Combinazione Rara: $\sigma_{ca}[kg/cm^2]=149$ $\sigma_{fa}[kg/cm^2]=3600$

X	M+	M-	Afsup	Afinf	σ_{c+}	σ_{f+}	σ_{c-}	σ_{f-}	Cb+	Cb-	Ver.	CS
cm	kg*m	kg*m	cmq	cmq	kg/cmq	kg/cmq	kg/cmq	kg/cmq				
0.0	--	1505	6.03	6.03	--	--	-24	820	32	21	Si	4.4
72.0	--	763	6.03	6.03	--	--	-12	416	32	21	Si	8.7
360.0	652	--	6.03	6.03	-11	355	--	--	32	21	Si	10
648.0	--	668	6.03	6.03	--	--	-11	364	21	32	Si	9.9
720.0	--	1387	6.03	6.03	--	--	-23	756	21	32	Si	4.8

Verifica aperture fessure:Wamm_Freq[mm]=0.400

X	M	Act	Aft	pAft	$S_{r,max}$	σ_{fmed}	Wd	Wk	Cb	Ver.	Cs
cm	kg*m	mq	cmq	cm	cm	kg/cmq	mm	mm			
0.0	1448	0.0	6.03	15.08	26.8	789	0.061	0.103	36(Fr)	Si	3.9
72.0	717	0.0	6.03	15.08	26.8	391	0.030	0.051	36(Fr)	Si	7.9
360.0	-652	0.0	6.03	15.08	26.8	355	0.027	0.046	38(Fr)	Si	8.6
648.0	514	0.0	6.03	15.08	26.8	280	0.021	0.036	38(Fr)	Si	11
720.0	1194	0.0	6.03	15.08	26.8	651	0.050	0.085	38(Fr)	Si	4.7

Trave: 133 [13,15], Pilastrate [150,148] Sez. R: By=30.0 cm Bz=40.0 cm L=720.0 cm Ln=720.0 cm Criterio: Cls aste collegamento Plinti

Combinazione Rara: σ_{ca} [kg/cmq]=149 σ_{fa} [kg/cmq]=3600

X	M+	M-	Afsup	Afinf	σ_{c+}	σ_{f+}	σ_{c-}	σ_{f-}	Cb+	Cb-	Ver.	CS
cm	kg*m	kg*m	cmq	cmq	kg/cmq	kg/cmq	kg/cmq	kg/cmq				
0.0	--	1313	6.03	6.03	--	--	-21	715	21	32	Si	5.0
72.0	--	610	6.03	6.03	--	--	-10	332	21	32	Si	11
360.0	649	--	6.03	6.03	-11	354	--	--	21	32	Si	10
648.0	--	594	6.03	6.03	--	--	-10	324	32	21	Si	11
720.0	--	1294	6.03	6.03	--	--	-21	705	32	21	Si	5.1

Verifica aperture fessure:Wamm_Freq[mm]=0.400

X	M	Act	Aft	pAft	$S_{r,max}$	σ_{fmed}	Wd	Wk	Cb	Ver.	Cs
cm	kg*m	mq	cmq	cm	cm	kg/cmq	mm	mm			
0.0	1292	0.0	6.03	15.08	26.8	704	0.054	0.092	38(Fr)	Si	4.4
72.0	593	0.0	6.03	15.08	26.8	323	0.025	0.042	38(Fr)	Si	9.5
360.0	-649	0.0	6.03	15.08	26.8	353	0.027	0.046	35(Fr)	Si	8.7
648.0	600	0.0	6.03	15.08	26.8	327	0.025	0.043	35(Fr)	Si	9.4
720.0	1301	0.0	6.03	15.08	26.8	709	0.054	0.092	35(Fr)	Si	4.3

Trave: 133 [15,18], Pilastrate [148,156] Sez. R: By=30.0 cm Bz=40.0 cm L=720.0 cm Ln=720.0 cm Criterio: Cls aste collegamento Plinti

Combinazione Rara: σ_{ca} [kg/cmq]=149 σ_{fa} [kg/cmq]=3600

X	M+	M-	Afsup	Afinf	σ_{c+}	σ_{f+}	σ_{c-}	σ_{f-}	Cb+	Cb-	Ver.	CS
cm	kg*m	kg*m	cmq	cmq	kg/cmq	kg/cmq	kg/cmq	kg/cmq				
0.0	--	1289	6.03	6.03	--	--	-21	702	26	32	Si	5.1
72.0	--	591	6.03	6.03	--	--	-10	322	26	32	Si	11
360.0	648	--	6.03	6.03	-11	353	--	--	30	32	Si	10
648.0	--	620	6.03	6.03	--	--	-10	338	32	27	Si	11
720.0	--	1326	6.03	6.03	--	--	-22	723	32	27	Si	5.0

Verifica aperture fessure:Wamm_Freq[mm]=0.400

X	M	Act	Aft	pAft	$S_{r,max}$	σ_{fmed}	Wd	Wk	Cb	Ver.	Cs
cm	kg*m	mq	cmq	cm	cm	kg/cmq	mm	mm			
0.0	1290	0.0	6.03	15.08	26.8	703	0.054	0.092	38(Fr)	Si	4.4
72.0	591	0.0	6.03	15.08	26.8	322	0.025	0.042	38(Fr)	Si	9.5
360.0	-648	0.0	6.03	15.08	26.8	353	0.027	0.046	36(Fr)	Si	8.7
648.0	604	0.0	6.03	15.08	26.8	329	0.025	0.043	35(Fr)	Si	9.3
720.0	1306	0.0	6.03	15.08	26.8	711	0.055	0.093	35(Fr)	Si	4.3

Trave: 133 [18,19], Pilastrate [156,151] Sez. R: By=30.0 cm Bz=40.0 cm L=720.0 cm Ln=720.0 cm Criterio: Cls aste collegamento Plinti

Combinazione Rara: σ_{ca} [kg/cmq]=149 σ_{fa} [kg/cmq]=3600

X	M+	M-	Afsup	Afinf	σ_{c+}	σ_{f+}	σ_{c-}	σ_{f-}	Cb+	Cb-	Ver.	CS
cm	kg*m	kg*m	cmq	cmq	kg/cmq	kg/cmq	kg/cmq	kg/cmq				
0.0	--	1363	6.03	6.03	--	--	-22	743	30	32	Si	4.8
72.0	--	649	6.03	6.03	--	--	-11	354	30	32	Si	10
360.0	652	--	6.03	6.03	-11	355	--	--	32	21	Si	10
648.0	--	721	6.03	6.03	--	--	-12	393	32	30	Si	9.2
720.0	--	1453	6.03	6.03	--	--	-24	792	32	30	Si	4.5

Verifica aperture fessure:Wamm_Freq[mm]=0.400

X	M	Act	Aft	pAft	$S_{r,max}$	σ_{fmed}	Wd	Wk	Cb	Ver.	Cs
cm	kg*m	mq	cmq	cm	cm	kg/cmq	mm	mm			
0.0	1228	0.0	6.03	15.08	26.8	669	0.051	0.087	38(Fr)	Si	4.6
72.0	541	0.0	6.03	15.08	26.8	295	0.023	0.038	38(Fr)	Si	10
360.0	-652	0.0	6.03	15.08	26.8	355	0.027	0.046	38(Fr)	Si	8.6
648.0	682	0.0	6.03	15.08	26.8	371	0.028	0.048	36(Fr)	Si	8.3
720.0	1404	0.0	6.03	15.08	26.8	765	0.059	0.100	36(Fr)	Si	4.0

Trave: 134 [3,13], Pilastrate [149,150] Sez. R: By=30.0 cm Bz=40.0 cm L=450.0 cm Ln=450.0 cm Criterio: Cls aste collegamento Plinti

Combinazione Rara: σ_{ca} [kg/cmq]=149 σ_{fa} [kg/cmq]=3600

X	M+	M-	Afsup	Afinf	σ_{c+}	σ_{f+}	σ_{c-}	σ_{f-}	Cb+	Cb-	Ver.	CS
cm	kg*m	kg*m	cmq	cmq	kg/cmq	kg/cmq	kg/cmq	kg/cmq				
0.0	150	1584	6.03	6.03	-2	82	-26	864	32	30	Si	4.2
45.0	292	1095	6.03	6.03	-5	159	-18	597	32	30	Si	6.0
225.0	260	--	6.03	6.03	-4	142	--	--	21	32	Si	25
405.0	637	757	6.03	6.03	-10	347	-12	412	30	32	Si	8.7
450.0	580	1161	6.03	6.03	-9	316	-19	633	30	32	Si	5.7

Verifica aperture fessure:Wamm_Freq[mm]=0.400

X	M	Act	Aft	pAft	$S_{r,max}$	σ_{fmed}	Wd	Wk	Cb	Ver.	Cs
cm	kg*m	mq	cmq	cm	cm	kg/cmq	mm	mm			
0.0	980	0.0	6.03	15.08	26.8	534	0.041	0.070	36(Fr)	Si	5.7
45.0	611	0.0	6.03	15.08	26.8	333	0.026	0.043	36(Fr)	Si	9.2
225.0	-258	0.0	6.03	15.08	26.8	140	0.011	0.018	35(Fr)	Si	22
405.0	-154	0.0	6.03	15.08	26.8	84	0.006	0.011	36(Fr)	Si	37
450.0	372	0.0	6.03	15.08	26.8	203	0.016	0.026	38(Fr)	Si	15

Trave: 134 [13,47], Pilastrate [150,-] Sez. R: By=30.0 cm Bz=40.0 cm L=390.0 cm Ln=390.0 cm Criterio: Cls aste collegamento Plinti

Combinazione Rara: σ_{ca} [kg/cmq]=149 σ_{fa} [kg/cmq]=3600

X	M+	M-	Afsup	Afinf	σ_{c+}	σ_{f+}	σ_{c-}	σ_{f-}	Cb+	Cb-	Ver.	CS
cm	kg*m	kg*m	cmq	cmq	kg/cmq	kg/cmq	kg/cmq	kg/cmq				
0.0	136	981	6.03	6.03	-2	74	-16	535	21	32	Si	6.7
39.0	290	670	6.03	6.03	-5	158	-11	365	21	32	Si	9.9
195.0	449	--	6.03	6.03	-7	245	--	--	21	32	Si	15
351.0	179	122	6.03	6.03	-3	98	-2	66	32	21	Si	37
390.0	80	379	6.03	6.03	-1	44	-6	206	32	21	Si	17

Verifica aperture fessure:Wamm_Freq[mm]=0.400

X	M	Act	Aft	pAft	$S_{r,max}$	σ_{fmed}	Wd	Wk	Cb	Ver.	Cs
cm	kg*m	mq	cmq	cm	cm	kg/cmq	mm	mm			
0.0	354	0.0	6.03	15.08	26.8	193	0.015	0.025	38(Fr)	Si	16
39.0	132	0.0	6.03	15.08	26.8	72	0.006	0.009	38(Fr)	Si	43
195.0	-358	0.0	6.03	15.08	26.8	195	0.015	0.025	35(Fr)	Si	16
351.0	51	0.0	6.03	15.08	26.8	28	0.002	0.004	35(Fr)	Si	>100
390.0	268	0.0	6.03	15.08	26.8	146	0.011	0.019	35(Fr)	Si	21

Trave: 135 [5,15], Pilastrate [153,148] Sez. R: By=30.0 cm Bz=40.0 cm L=450.0 cm Ln=450.0 cm Criterio: Cls aste collegamento Plinti

Combinazione Rara: σ_{ca} [kg/cmq]=149 σ_{fa} [kg/cmq]=3600

X	M+	M-	Afsup	Afinf	σ_c+	σ_f+	σ_c-	σ_f-	Cb+	Cb-	Ver.	CS
cm	kg*m	kg*m	cmq	cmq	kg/cmq	kg/cmq	kg/cmq	kg/cmq				
0.0	135	1600	6.03	6.03	-2	73	-26	872	32	30	Si	4.1
45.0	280	1107	6.03	6.03	-5	153	-18	603	32	30	Si	6.0
225.0	263	--	6.03	6.03	-4	143	--	--	21	32	Si	25
405.0	653	745	6.03	6.03	-11	356	-12	406	30	32	Si	8.9
450.0	600	1147	6.03	6.03	-10	327	-19	625	30	32	Si	5.8

Verifica aperture fessure:Wamm_Freq[mm]=0.400

X	M	Act	Aft	pAft	$S_{r,max}$	σ_{fmed}	Wd	Wk	Cb	Ver.	Cs
cm	kg*m	mq	cmq	cm	cm	kg/cmq	mm	mm			
0.0	975	0.0	6.03	15.08	26.8	531	0.041	0.069	36(Fr)	Si	5.8
45.0	607	0.0	6.03	15.08	26.8	331	0.025	0.043	36(Fr)	Si	9.3
225.0	-260	0.0	6.03	15.08	26.8	141	0.011	0.018	35(Fr)	Si	22
405.0	-153	0.0	6.03	15.08	26.8	83	0.006	0.011	36(Fr)	Si	37
450.0	375	0.0	6.03	15.08	26.8	205	0.016	0.027	38(Fr)	Si	15

Trave: 135 [15,49], Pilastrate [148,-] Sez. R: By=30.0 cm Bz=40.0 cm L=390.0 cm Ln=390.0 cm Criterio: Cls aste collegamento Plinti

Combinazione Rara: σ_{ca} [kg/cmq]=149 σ_{fa} [kg/cmq]=3600

X	M+	M-	Afsup	Afinf	σ_c+	σ_f+	σ_c-	σ_f-	Cb+	Cb-	Ver.	CS
cm	kg*m	kg*m	cmq	cmq	kg/cmq	kg/cmq	kg/cmq	kg/cmq				
0.0	210	988	6.03	6.03	-3	114	-16	538	21	32	Si	6.7
39.0	339	672	6.03	6.03	-6	185	-11	366	21	32	Si	9.8
195.0	400	--	6.03	6.03	-7	218	--	--	21	32	Si	17
351.0	218	268	6.03	6.03	-4	119	-4	146	32	21	Si	25
390.0	123	550	6.03	6.03	-2	67	-9	300	32	21	Si	12

Verifica aperture fessure:Wamm_Freq[mm]=0.400

X	M	Act	Aft	pAft	$S_{r,max}$	σ_{fmed}	Wd	Wk	Cb	Ver.	Cs
cm	kg*m	mq	cmq	cm	cm	kg/cmq	mm	mm			
0.0	352	0.0	6.03	15.08	26.8	192	0.015	0.025	38(Fr)	Si	16
39.0	134	0.0	6.03	15.08	26.8	73	0.006	0.010	38(Fr)	Si	42
195.0	-325	0.0	6.03	15.08	26.8	177	0.014	0.023	35(Fr)	Si	17
351.0	123	0.0	6.03	15.08	26.8	67	0.005	0.009	35(Fr)	Si	46
390.0	349	0.0	6.03	15.08	26.8	190	0.015	0.025	35(Fr)	Si	16

Trave: 136 [8,18], Pilastrate [152,156] Sez. R: By=30.0 cm Bz=40.0 cm L=450.0 cm Ln=450.0 cm Criterio: Cls aste collegamento Plinti

Combinazione Rara: σ_{ca} [kg/cmq]=149 σ_{fa} [kg/cmq]=3600

X	M+	M-	Afsup	Afinf	σ_c+	σ_f+	σ_c-	σ_f-	Cb+	Cb-	Ver.	CS
cm	kg*m	kg*m	cmq	cmq	kg/cmq	kg/cmq	kg/cmq	kg/cmq				
0.0	110	1531	6.03	6.03	-2	60	-25	834	32	30	Si	4.3
45.0	260	1052	6.03	6.03	-4	142	-17	573	32	30	Si	6.3
225.0	260	--	6.03	6.03	-4	142	--	--	21	32	Si	25
405.0	594	724	6.03	6.03	-10	324	-12	395	30	32	Si	9.1
450.0	527	1121	6.03	6.03	-9	287	-18	611	30	32	Si	5.9

Verifica aperture fessure:Wamm_Freq[mm]=0.400

X	M	Act	Aft	pAft	$S_{r,max}$	σ_{fmed}	Wd	Wk	Cb	Ver.	Cs
cm	kg*m	mq	cmq	cm	cm	kg/cmq	mm	mm			
0.0	953	0.0	6.03	15.08	26.8	520	0.040	0.068	36(Fr)	Si	5.9
45.0	590	0.0	6.03	15.08	26.8	321	0.025	0.042	36(Fr)	Si	9.5
225.0	-258	0.0	6.03	15.08	26.8	140	0.011	0.018	35(Fr)	Si	22
405.0	-132	0.0	6.03	15.08	26.8	72	0.006	0.009	36(Fr)	Si	43
450.0	381	0.0	6.03	15.08	26.8	207	0.016	0.027	38(Fr)	Si	15

Trave: 136 [18,51], Pilastrate [156,-] Sez. R: By=30.0 cm Bz=40.0 cm L=390.0 cm Ln=390.0 cm Criterio: Cls aste collegamento Plinti

Combinazione Rara: σ_{ca} [kg/cmq]=149 σ_{fa} [kg/cmq]=3600

X	M+	M-	Afsup	Afinf	σ_{c+}	σ_{f+}	σ_{c-}	σ_{f-}	Cb+	Cb-	Ver.	CS
cm	kg*m	kg*m	cmq	cmq	kg/cmq	kg/cmq	kg/cmq	kg/cmq				
0.0	74	955	6.03	6.03	-1	40	-16	521	21	32	Si	6.9
39.0	239	648	6.03	6.03	-4	130	-11	353	21	32	Si	10
195.0	442	--	6.03	6.03	-7	241	--	--	21	32	Si	15
351.0	167	85	6.03	6.03	-3	91	-1	46	32	21	Si	40
390.0	64	331	6.03	6.03	-1	35	-5	180	32	21	Si	20

Verifica aperture fessure: $Wamm_Freq[mm]=0.400$

X	M	Act	Aft	pAft	$S_{r,max}$	σ_{fmed}	Wd	Wk	Cb	Ver.	Cs
cm	kg*m	mq	cmq	cm	cm	kg/cmq	mm	mm			
0.0	378	0.0	6.03	15.08	26.8	206	0.016	0.027	38(Fr)	Si	15
39.0	151	0.0	6.03	15.08	26.8	82	0.006	0.011	38(Fr)	Si	37
195.0	-353	0.0	6.03	15.08	26.8	193	0.015	0.025	35(Fr)	Si	16
351.0	28	0.0	6.03	15.08	26.8	15	0.001	0.002	35(Fr)	Si	>100
390.0	237	0.0	6.03	15.08	26.8	129	0.010	0.017	35(Fr)	Si	24

Verifica dei pilastri (Stati limite esercizio)

Scenario di calcolo: **Set_SLV_SLD**

Simbologia

Terreno	Nome della stratigrafia per travi Winkler
L [cm]	Lunghezza teorica elemento (distanza tra i nodi)
Ln [cm]	Lunghezza netta elemento (tiene conto dei conci rigidi)
L2,L3 [cm]	Lunghezze libere di inflessione
Sez. R: Sezione Rettangolare	
	By[cm]: Larghezza (asse locale y)
	Bz[cm]: Larghezza (asse locale z)
Sez. T: Sezione a T (rovescia e non)	
	Ba[cm]: Larghezza base inferiore
	Ha[cm]: Altezza inferiore
	Bs[cm]: Larghezza superiore
	Hs[cm]: Altezza superiore
Sez. L: Sezione ad L (rovescia e non)	
	Ba[cm]: Larghezza base inferiore
	Ha[cm]: Altezza inferiore
	Bs[cm]: Larghezza superiore
	Hs[cm]: Altezza superiore
Sez. C: Sezione circolare	
	R[cm]: Raggio
Sez. G: Sezione generica	
	B[cm]: Larghezza
	H[cm]: Altezza
X [cm]	Punto di verifica
σ_{ca} [kg/cm ²]	Tensione ammissibile nel cls
σ_{fa} [kg/cm ²]	Tensione ammissibile nell'acciaio
σ_{cta} [kg/cm ²]	Tensione ammissibile a trazione (quando richiesto dalla verifica)
M- [kg*m]	Momento negativo massimo di calcolo
M+ [kg*m]	Momento positivo massimo di calcolo
M [kg*m]	Momento di calcolo (travi a flessione, pilastri circolari)
My [kg*m]	Momento calcolo per verifiche a pressoflessione
Mz [kg*m]	Momento calcolo per verifiche a pressoflessione (Sez. L, Pilastri)
N [kg]	Sforzo normale corrispondente ad My (e Mz per Sez. L, Pilastri)
Afsup [cm ²]	Area di ferro superiore
Afinf [cm ²]	Area di ferro inferiore
Afsin [cm ²]	Area di ferro sinistra (Sez. L)
Afdes [cm ²]	Area di ferro destra (Sez. L)
σ_{c-} [kg/cm ²]	Tensione nel cls compresso per effetto di M-
σ_{c+} [kg/cm ²]	Tensione nel cls compresso per effetto di M+
σ_{ct-} [kg/cm ²]	Tensione nel cls teso per effetto di M-
σ_{ct+} [kg/cm ²]	Tensione nel cls teso per effetto di M+
σ_{f-} [kg/cm ²]	Tensione nell'acciaio per effetto di M-

σ_f+ [kg/cmq]	Tensione nell'acciaio per effetto di M+
Cb-	Combinazione di carico generatore di M-
Cb+	Combinazione di carico generatore di M+
σ_c [kg/cmq]	Tensione nel cls per effetto di N My
σ_f [kg/cmq]	Tensione nell'acciaio per effetto di N My
Cb	Combinazione di carico generatore di N My
Act [mq]	Area di calcestruzzo teso
Aft [cmq]	Area di acciaio teso
pAft [cm]	Perimetro area di acciaio teso
$S_{r,max}$ [cm]	Distanza massima delle fessure
σ_{fmed} [kg/cmq]	Tensione media dell'acciaio
Wd [mm]	Apertura delle fessure
Wk [mm]	Apertura caratteristica delle fessure
Wamm_Freq [mm]	Apertura ammissibile delle fessure per combinazione Frequente
Wamm_Qp [mm]	Apertura ammissibile delle fessure per combinazione Quasi Permanente
Wamm_Rara [mm]	Apertura ammissibile delle fessure per combinazione Rara
Cs	Coefficiente di sicurezza definito come minimo di σ_{Amm}/σ tra acciaio e calcestruzzo oppure Wamm/Wk

Pilastro: 147 [1,2] Sez. R: By=80.0 cm Bz=80.0 cm L=80.0 cm Ln=80.0 cm L2=80.0 cm L3=80.0 cm Criterio: CLS_Dado

Zona	Armature		
cm	cmq	cmq	cmq
0.0	AfSpigolo = 2.01	Afy = 6.03	Afz = 6.03
80.0	AfSpigolo = 2.01	Afy = 6.03	Afz = 6.03

Verifica snellezza: fcd=141 [kg/cmq] - **Verificato**

Cb	N	fcd*Ac	v	λmax	λlim
	kg	kg			
20	10773	903040	0.012	3.464	228.886

Combinazione Rara: σca[kg/cmq]=149 σfa[kg/cmq]=3600

X	N	My	Mz	σcmax	σfmax	Cb	Ver.	Cs
cm	kg	kg*m	kg*m	kg/cmq	kg/cmq			
0.0	4262	6486	-329	-15	884	30	Si	4.1
80.0	5542	-2253	886	-8	512	30	Si	7.0
80.0	-710	-3650	1213	-12	442	26	Si	8.1

Verifica aperture fessure:Wamm_Freq[mm]=0.400

X	N	My	Mz	Act	Aft	pAft	Sr,max	σfmed	Wd	Wk	Cb	Ver.	Cs
cm	kg	kg*m	kg*m	mq	cmq	cm	cm	kg/cmq	mm	mm			
0.0	-3567	1754	-561	0.1	18.11	45.27	35.5	59	0.006	0.006	36(Fr)	Si	67
80.0	-2287	-813	-27	0.1	16.58	41.44	33.4	16	0.002	0.002	36(Fr)	Si	>100

Pilastro: 148 [15,16] Sez. R: By=80.0 cm Bz=80.0 cm L=80.0 cm Ln=80.0 cm L2=80.0 cm L3=80.0 cm Criterio: CLS_Dado

Zona	Armature		
cm	cmq	cmq	cmq
0.0	AfSpigolo = 2.01	Afy = 6.03	Afz = 6.03
80.0	AfSpigolo = 2.01	Afy = 6.03	Afz = 6.03

Verifica snellezza: fcd=141 [kg/cmq] - **Verificato**

Cb	N	fcd*Ac	v	λmax	λlim
	kg	kg			
21	11947	903040	0.013	3.464	217.352

Combinazione Rara: σca[kg/cmq]=149 σfa[kg/cmq]=3600

X	N	My	Mz	σcmax	σfmax	Cb	Ver.	Cs
cm	kg	kg*m	kg*m	kg/cmq	kg/cmq			
0.0	2983	-2	-7	0	94	32	Si	38
0.0	-11947	-792	27	-3	-15	21	Si	58
80.0	4263	141	434	0	208	32	Si	17
80.0	-10667	915	611	-3	-3	21	Si	47

Verifica aperture fessure:Wamm_Freq[mm]=0.400

X	N	My	Mz	Act	Aft	pAft	Sr,max	σfmed	Wd	Wk	Cb	Ver.	Cs
cm	kg	kg*m	kg*m	mq	cmq	cm	cm	kg/cmq	mm	mm			
0.0	-7373	-351	15	0.0	0.00	0.00	0.0	0	0.000	0.000	39(Fr)	Si	>100
80.0	-3743	805	91	0.1	12.70	31.75	26.1	5	0.000	0.000	38(Fr)	Si	>100

Pilastro: 149 [3,4] Sez. R: By=80.0 cm Bz=80.0 cm L=80.0 cm Ln=80.0 cm L2=80.0 cm L3=80.0 cm Criterio: CLS_Dado

Zona	Armature		
cm	cmq	cmq	cmq
0.0	AfSpigolo = 2.01	Afy = 6.03	Afz = 6.03
80.0	AfSpigolo = 2.01	Afy = 6.03	Afz = 6.03

Verifica snellezza: fcd=141 [kg/cmq] - **Verificato**

Cb	N	fcd*Ac	v	λmax	λlim
	kg	kg			

Cb	N	fcd*Ac	v	λmax	λlim
20	12877	903040	0.014	3.464	209.359

Combinazione Rara: σ_{ca} [kg/cmq]=149 σ_{fa} [kg/cmq]=3600

X	N	My	Mz	σcmax	σfmax	Cb	Ver.	Cs
cm	kg	kg*m	kg*m	kg/cmq	kg/cmq			
0.0	6673	1551	863	-6	493	30	Si	7.3
80.0	7953	-2150	310	-4	547	30	Si	6.6
80.0	372	-3553	679	-10	441	26	Si	8.2

Verifica aperture fessure: W_{amm_Freq} [mm]=0.400

X	N	My	Mz	Act	Aft	pAft	S _{r,max}	σfmed	Wd	Wk	Cb	Ver.	Cs
cm	kg	kg*m	kg*m	mq	cmq	cm	cm	kg/cmq	mm	mm			
0.0	-4318	941	-229	0.1	12.95	32.38	26.7	7	0.001	0.001	36(Fr)	Si	>100
80.0	-3038	-831	118	0.1	14.81	37.02	30.6	11	0.001	0.001	36(Fr)	Si	>100

Pilastro: 150 [13,14] Sez. R: By=80.0 cm Bz=80.0 cm L=80.0 cm Ln=80.0 cm L2=80.0 cm L3=80.0 cm Criterio: CLS_Dado

Zona	Armature		
cm	cmq	cmq	cmq
0.0	AfSpigolo = 2.01	Afy = 6.03	Afz = 6.03
80.0	AfSpigolo = 2.01	Afy = 6.03	Afz = 6.03

Verifica snellezza: fcd=141 [kg/cmq] - **Verificato**

Cb	N	fcd*Ac	v	λmax	λlim
	kg	kg			
21	11822	903040	0.013	3.464	218.498

Combinazione Rara: σ_{ca} [kg/cmq]=149 σ_{fa} [kg/cmq]=3600

X	N	My	Mz	σcmax	σfmax	Cb	Ver.	Cs
cm	kg	kg*m	kg*m	kg/cmq	kg/cmq			
0.0	3452	-174	53	0	137	32	Si	26
0.0	-11822	-136	-216	-2	-21	21	Si	72
80.0	4732	85	366	0	206	32	Si	17
80.0	-10542	902	643	-3	-2	21	Si	47

Verifica aperture fessure: W_{amm_Freq} [mm]=0.400

X	N	My	Mz	Act	Aft	pAft	S _{r,max}	σfmed	Wd	Wk	Cb	Ver.	Cs
cm	kg	kg*m	kg*m	mq	cmq	cm	cm	kg/cmq	mm	mm			
0.0	-7504	36	-154	0.0	0.00	0.00	0.0	0	0.000	0.000	39(Fr)	Si	>100
80.0	-3820	815	129	0.1	12.67	31.67	26.0	5	0.000	0.000	38(Fr)	Si	>100

Pilastro: 151 [19,20] Sez. R: By=80.0 cm Bz=80.0 cm L=80.0 cm Ln=80.0 cm L2=80.0 cm L3=80.0 cm Criterio: CLS_Dado

Zona	Armature		
cm	cmq	cmq	cmq
0.0	AfSpigolo = 2.01	Afy = 6.03	Afz = 6.03
80.0	AfSpigolo = 2.01	Afy = 6.03	Afz = 6.03

Verifica snellezza: fcd=141 [kg/cmq] - **Verificato**

Cb	N	fcd*Ac	v	λmax	λlim
	kg	kg			
21	12378	903040	0.014	3.464	213.536

Combinazione Rara: σ_{ca} [kg/cmq]=149 σ_{fa} [kg/cmq]=3600

X	N	My	Mz	σcmax	σfmax	Cb	Ver.	Cs
cm	kg	kg*m	kg*m	kg/cmq	kg/cmq			
0.0	-7921	6679	1375	-18	538	30	Si	6.7
80.0	4302	135	295	0	190	32	Si	19
80.0	-11098	967	-68	-3	-10	21	Si	55

Verifica aperture fessure:Wamm_Freq[mm]=0.400

X	N	My	Mz	Act	Aft	pAft	S _{r,max}	σfmed	Wd	Wk	Cb	Ver.	Cs
cm	kg	kg*m	kg*m	mq	cmq	cm	cm	kg/cmq	mm	mm			
0.0	-5176	-767	1294	0.1	14.89	37.22	30.7	21	0.002	0.002	38(Fr)	Si	>100
80.0	-3896	824	-86	0.1	12.55	31.37	25.7	5	0.000	0.000	38(Fr)	Si	>100

Pilastro: 152 [8,7] Sez. R: By=80.0 cm Bz=80.0 cm L=80.0 cm Ln=80.0 cm L2=80.0 cm L3=80.0 cm Criterio: CLS_Dado

Zona	Armature		
cm	cmq	cmq	cmq
0.0	AfSpigolo = 2.01	Afy = 6.03	Afz = 6.03
80.0	AfSpigolo = 2.01	Afy = 6.03	Afz = 6.03

Verifica snellezza: fcd=141 [kg/cm²] - **Verificato**

Cb	N	fcd*Ac	v	λmax	λlim
	kg	kg			
20	12154	903040	0.013	3.464	215.496

Combinazione Rara: σca[kg/cm²]=149 σfa[kg/cm²]=3600

X	N	My	Mz	σcmax	σfmax	Cb	Ver.	Cs
cm	kg	kg*m	kg*m	kg/cm ²	kg/cm ²			
0.0	6078	1511	-463	-4	427	30	Si	8.4
80.0	7358	-2236	401	-5	541	30	Si	6.7
80.0	240	-3593	853	-11	450	26	Si	8.0

Verifica aperture fessure:Wamm_Freq[mm]=0.400

X	N	My	Mz	Act	Aft	pAft	S _{r,max}	σfmed	Wd	Wk	Cb	Ver.	Cs
cm	kg	kg*m	kg*m	mq	cmq	cm	cm	kg/cmq	mm	mm			
0.0	-4107	917	-29	0.1	13.00	32.51	26.8	6	0.000	0.000	36(Fr)	Si	>100
80.0	-2827	-816	129	0.1	15.24	38.11	31.3	11	0.001	0.001	36(Fr)	Si	>100

Pilastro: 153 [5,6] Sez. R: By=80.0 cm Bz=80.0 cm L=80.0 cm Ln=80.0 cm L2=80.0 cm L3=80.0 cm Criterio: CLS_Dado

Zona	Armature		
cm	cmq	cmq	cmq
0.0	AfSpigolo = 2.01	Afy = 6.03	Afz = 6.03
80.0	AfSpigolo = 2.01	Afy = 6.03	Afz = 6.03

Verifica snellezza: fcd=141 [kg/cm²] - **Verificato**

Cb	N	fcd*Ac	v	λmax	λlim
	kg	kg			
20	12941	903040	0.014	3.464	208.836

Combinazione Rara: σca[kg/cm²]=149 σfa[kg/cm²]=3600

X	N	My	Mz	σcmax	σfmax	Cb	Ver.	Cs
cm	kg	kg*m	kg*m	kg/cm ²	kg/cm ²			
0.0	6091	1526	-130	-2	397	30	Si	9.1
0.0	-12941	713	221	-3	-16	20	Si	52
80.0	7371	-2229	402	-5	541	30	Si	6.7
80.0	-261	-3649	759	-10	433	26	Si	8.3

Verifica aperture fessure:Wamm_Freq[mm]=0.400

X	N	My	Mz	Act	Aft	pAft	S _{r,max}	σfmed	Wd	Wk	Cb	Ver.	Cs
cm	kg	kg*m	kg*m	mq	cmq	cm	cm	kg/cmq	mm	mm			
0.0	-4233	925	61	0.1	12.82	32.05	26.4	6	0.000	0.000	36(Fr)	Si	>100
80.0	-2953	-828	82	0.1	14.97	37.43	30.9	11	0.001	0.001	36(Fr)	Si	>100

Pilastro: 154 [9,10] Sez. R: By=80.0 cm Bz=80.0 cm L=80.0 cm Ln=80.0 cm L2=80.0 cm L3=80.0 cm Criterio: CLS_Dado

Zona	Armature		
cm	cmq	cmq	cmq

Zona	Armature		
0.0	AfSpigolo = 2.01	Afy = 6.03	Afz = 6.03
80.0	AfSpigolo = 2.01	Afy = 6.03	Afz = 6.03

Verifica snellezza: $f_{cd}=141$ [kg/cm²] - **Verificato**

Cb	N	fcd*Ac	v	λ_{max}	λ_{lim}
	kg	kg			
20	13317	903040	0.015	3.464	205.866

Combinazione Rara: σ_{ca} [kg/cm²]=149 σ_{fa} [kg/cm²]=3600

X	N	My	Mz	σ_{cmax}	σ_{fmax}	Cb	Ver.	Cs
cm	kg	kg*m	kg*m	kg/cm ²	kg/cm ²			
0.0	6269	8180	1165	-22	1188	30	Si	3.0
80.0	7549	-2218	403	-5	546	30	Si	6.6
80.0	-323	-3691	352	-9	415	26	Si	8.7

Verifica aperture fessure: W_{amm_Freq} [mm]=0.400

X	N	My	Mz	Act	Aft	pAft	$S_{r,max}$	σ_{fmed}	Wd	Wk	Cb	Ver.	Cs
cm	kg	kg*m	kg*m	m ²	cm ²	cm	cm	kg/cm ²	mm	mm			
0.0	-4330	2035	24	0.1	17.82	44.55	35.1	68	0.007	0.007	36(Fr)	Si	59
80.0	-3050	-869	-72	0.1	15.09	37.73	31.1	13	0.001	0.001	36(Fr)	Si	>100

Pilastro: 155 [11,12] Sez. R: $B_y=80.0$ cm $B_z=80.0$ cm $L=80.0$ cm $L_n=80.0$ cm $L_2=80.0$ cm $L_3=80.0$ cm Criterio: CLS_Dado

Zona	Armature		
cm	cm ²	cm ²	cm ²
0.0	AfSpigolo = 2.01	Afy = 6.03	Afz = 6.03
80.0	AfSpigolo = 2.01	Afy = 6.03	Afz = 6.03

Verifica snellezza: $f_{cd}=141$ [kg/cm²] - **Verificato**

Cb	N	fcd*Ac	v	λ_{max}	λ_{lim}
	kg	kg			
21	9847	903040	0.011	3.464	239.408

Combinazione Rara: σ_{ca} [kg/cm²]=149 σ_{fa} [kg/cm²]=3600

X	N	My	Mz	σ_{cmax}	σ_{fmax}	Cb	Ver.	Cs
cm	kg	kg*m	kg*m	kg/cm ²	kg/cm ²			
0.0	-6462	5466	-1407	-16	454	30	Si	7.9
80.0	3262	138	813	-2	219	32	Si	16
80.0	1470	487	779	-4	175	23	Si	21

Verifica aperture fessure: W_{amm_Freq} [mm]=0.400

X	N	My	Mz	Act	Aft	pAft	$S_{r,max}$	σ_{fmed}	Wd	Wk	Cb	Ver.	Cs
cm	kg	kg*m	kg*m	m ²	cm ²	cm	cm	kg/cm ²	mm	mm			
0.0	-5908	1233	-1386	0.1	13.28	33.21	34.1	30	0.003	0.003	36(Fr)	Si	>100
80.0	-2939	759	-51	0.1	14.29	35.72	29.6	8	0.001	0.001	38(Fr)	Si	>100

Pilastro: 156 [18,17] Sez. R: $B_y=80.0$ cm $B_z=80.0$ cm $L=80.0$ cm $L_n=80.0$ cm $L_2=80.0$ cm $L_3=80.0$ cm Criterio: CLS_Dado

Zona	Armature		
cm	cm ²	cm ²	cm ²
0.0	AfSpigolo = 2.01	Afy = 6.03	Afz = 6.03
80.0	AfSpigolo = 2.01	Afy = 6.03	Afz = 6.03

Verifica snellezza: $f_{cd}=141$ [kg/cm²] - **Verificato**

Cb	N	fcd*Ac	v	λ_{max}	λ_{lim}
	kg	kg			
21	11120	903040	0.012	3.464	225.288

Combinazione Rara: σ_{ca} [kg/cm²]=149 σ_{fa} [kg/cm²]=3600

X	N	My	Mz	σ_{cmax}	σ_{fmax}	Cb	Ver.	Cs
cm	kg	kg*m	kg*m	kg/cmq	kg/cmq			
0.0	3130	-161	-37	0	123	32	Si	29
0.0	-7071	732	188	-2	-3	30	Si	75
80.0	4410	121	466	0	214	32	Si	17
80.0	-9840	816	792	-3	0	21	Si	48

Verifica aperture fessure: Wamm_Freq[mm]=0.400

X	N	My	Mz	Act	Aft	pAft	$S_{r,max}$	σ_{fmed}	Wd	Wk	Cb	Ver.	Cs
cm	kg	kg*m	kg*m	mq	cmq	cm	cm	kg/cmq	mm	mm			
0.0	-7084	49	121	0.0	0.00	0.00	0.0	0	0.000	0.000	39(Fr)	Si	>100
80.0	-3559	790	149	0.1	13.05	32.62	27.0	6	0.000	0.000	38(Fr)	Si	>100

Verifica Plinti (Stati limite esercizio)

Scenario di calcolo: Set_SLV_SLD

Simbologia

Simbologia: PLINTI DIRETTI

H [cm]	Altezza totale del plinto
Hsup [cm]	Altezza della eventuale parte a tronco di piramide
Bx [cm]	Base inferiore parallela ad X
By [cm]	Base inferiore parallela ad Y
Bxsup [cm]	Base superiore parallela ad X
Bysup [cm]	Base superiore parallela ad Y
MagrX [cm]	Larghezza Magrone parallela ad X
MagrY [cm]	Larghezza Magrone parallela ad Y
Hmagr [cm]	Altezza Magrone
TR.X [cm]	Traslazione secondo l'asse X globale
TR.Y [cm]	Traslazione secondo l'asse Y globale
Rot. [°]	Rotazione intorno all'asse Z globale
Pos	Posizione della sezione di verifica assume uno dei seguenti valori:
- Arm. X	Sezione nella base del plinto per armature in direzione X locale del plinto (la base della sezione di verifica è diretta come Y locale)
- Arm. Y	Sezione nella base del plinto per armature in direzione Y locale del plinto (la base della sezione di verifica è diretta come X locale)
- Par. X	Sezione della parete del bicchiere disposta in direzione X locale del plinto
- Par. Y	Sezione della parete del bicchiere disposta in direzione Y locale del plinto
- Arm. X	Sezione nella base del plinto per armature in direzione X locale del plinto (la base della sezione di verifica è diretta come Y locale)
- Arm. Y	Sezione nella base del plinto per armature in direzione Y locale del plinto (la base della sezione di verifica è diretta come X locale)
- Rad	Sezione nella base del plinto per armature in direzione radiale (la base della sezione di verifica è ortogonale alla direzione radiale)
- Rad	Sezione nella base del plinto per armature in direzione radiale (la base della sezione di verifica è ortogonale alla direzione radiale)
- Lat	Sezione nella base del plinto per armature disposte sul lato (plinti triangolari ed esagonali su pali)
- Pl	Sezione del palo (z=quota)
B/R [cm]	Base della sezione di verifica oppure raggio della sezione del palo
H [cm]	Altezza della sezione di verifica (sezioni rettangolari)
N [kg]	Sforzo Normale
M [kg*m]	Momento flettente dir X
AfSup o Af [cmq]	Armatura superiore oppure per sezioni circolari l'armatura complessiva
AfInf [cmq]	Armatura inferiore
σ_c [kg/cmq]	Tensione nel calcestruzzo
σ_f [kg/cmq]	Tensione nell'acciaio
σ_{ca} [kg/cmq]	Tensione ammissibile nel calcestruzzo
σ_{fa} [kg/cmq]	Tensione ammissibile nell'acciaio
σ_{ct} [kg/cmq]	Tensione a trazione nel calcestruzzo (verifica a formazione fessure o decompressione quando richiesta)
σ_{cta} [kg/cmq]	Tensione ammissibile a trazione nel calcestruzzo (per la verifica a formazione fessure o decompressione quando richiesta)

Comb	Combinazione di carico
Act [mq]	Area di calcestruzzo teso
Aft [cmq]	Area di acciaio teso
pAft [cm]	Perimetro area di acciaio teso
S _{r,max} [cm]	Distanza massima delle fessure
σ _{med} [kg/cmq]	Tensione media dell'acciaio
Wd [mm]	Apertura delle fessure
Wk [mm]	Apertura caratteristica delle fessure
Wamm [mm]	Apertura ammissibile delle fessure per la combinazione corrente
Cs	Coefficiente di sicurezza definito come minimo di σ _{Amm} /σ tra acciaio e calcestruzzo oppure Wamm/Wk

Plinto n°: 1 [Nodo 1] - Tipo: Plinto Diretto - Crit.Prog.: CLS_Plinti - Terreno: Terreno1: Verificato

H	HSup	Bx	By	BxSup	BySup	MagrX	MagrY	HMagr	TR.X	TR.Y	Rot
cm	cm	cm	cm	cm	cm	cm	cm	cm	cm	cm	°
40.0	0.0	225.0	225.0	225.0	225.0	245.0	245.0	10.0	0.0	0.0	0

Geometria sezioni

Pos	B/R	H
	cm	cm
Arm. Y	225.0	40.0
Arm. X	225.0	40.0

Verifica tensioni di esercizio

Pos	N	M	AfSup Af	Afinf	σ _c	σ _f	σ _{ca}	σ _{fa}	Comb	Ver	Cs
	kg	kg*m	cmq	cmq	kg/cmq	kg/cmq	kg/cmq	kg/cmq			
Arm. Y	0	-1670	20.11	20.11	-5	264	149	3600	20(Rara)	Si	14

Verifica apertura fessure

Pos	N	M	Act	Aft	pAft	S _{r,max}	σ _{med}	Wd	Wk	Wamm	Cb	Ver	Cs
	kg	kg*m	mq	cmq	cm	cm	kg/cmq	mm	mm	mm			
Arm. X	0	-1340	0.2	20.11	50.27	38.5	37	0.004	0.004	0.400	35(Freq.)	Si	99

Plinto n°: 3 [Nodo 3] - Tipo: Plinto Diretto - Crit.Prog.: CLS_Plinti - Terreno: Terreno1: Verificato

H	HSup	Bx	By	BxSup	BySup	MagrX	MagrY	HMagr	TR.X	TR.Y	Rot
cm	cm	cm	cm	cm	cm	cm	cm	cm	cm	cm	°
40.0	0.0	225.0	225.0	225.0	225.0	245.0	245.0	10.0	0.0	0.0	0

Geometria sezioni

Pos	B/R	H
	cm	cm
Arm. Y	225.0	40.0

Verifica tensioni di esercizio

Pos	N	M	AfSup Af	Afinf	σ _c	σ _f	σ _{ca}	σ _{fa}	Comb	Ver	Cs
	kg	kg*m	cmq	cmq	kg/cmq	kg/cmq	kg/cmq	kg/cmq			
Arm. Y	0	-1839	20.11	20.11	-6	291	149	3600	20(Rara)	Si	12

Verifica apertura fessure

Pos	N	M	Act	Aft	pAft	S _{r,max}	σ _{med}	Wd	Wk	Wamm	Cb	Ver	Cs
	kg	kg*m	mq	cmq	cm	cm	kg/cmq	mm	mm	mm			
Arm. Y	0	-1472	0.2	20.11	50.27	38.5	41	0.004	0.004	0.400	35(Freq.)	Si	90

Plinto n°: 5 [Nodo 5] - Tipo: Plinto Diretto - Crit.Prog.: CLS_Plinti - Terreno: Terreno1: Verificato

H	HSup	Bx	By	BxSup	BySup	MagrX	MagrY	HMagr	TR.X	TR.Y	Rot
cm	cm	cm	cm	cm	cm	cm	cm	cm	cm	cm	°
40.0	0.0	225.0	225.0	225.0	225.0	245.0	245.0	10.0	0.0	0.0	0

Geometria sezioni

Pos	B/R	H
	cm	cm
Arm. Y	225.0	40.0

Verifica tensioni di esercizio

Pos	N	M	AfSup Af	Afinf	σ_c	σ_f	σ_{ca}	σ_{fa}	Comb	Ver	Cs
	kg	kg*m	cmq	cmq	kg/cmq	kg/cmq	kg/cmq	kg/cmq			
Arm. Y	0	-1858	20.11	20.11	-6	294	149	3600	20(Rara)	Si	12

Verifica apertura fessure

Pos	N	M	Act	Aft	pAft	$S_{r,max}$	σ_{fmed}	Wd	Wk	Wamm	Cb	Ver	Cs
	kg	kg*m	mq	cmq	cm	cm	kg/cmq	mm	mm	mm			
Arm. Y	0	-1472	0.2	20.11	50.27	38.5	41	0.004	0.004	0.400	35(Freq.)	Si	90

Plinto n°: 7 [Nodo 8] - Tipo: Plinto Diretto - Crit.Prog.: CLS_Plinti - Terreno: Terreno1: Verificato

H	HSup	Bx	By	BxSup	BySup	MagrX	MagrY	HMagr	TR.X	TR.Y	Rot
cm	cm	cm	cm	cm	cm	cm	cm	cm	cm	cm	°
40.0	0.0	225.0	225.0	225.0	225.0	245.0	245.0	10.0	0.0	0.0	0

Geometria sezioni

Pos	B/R	H
	cm	cm
Arm. Y	225.0	40.0

Verifica tensioni di esercizio

Pos	N	M	AfSup Af	Afinf	σ_c	σ_f	σ_{ca}	σ_{fa}	Comb	Ver	Cs
	kg	kg*m	cmq	cmq	kg/cmq	kg/cmq	kg/cmq	kg/cmq			
Arm. Y	0	-1808	20.11	20.11	-6	286	149	3600	20(Rara)	Si	13

Verifica apertura fessure

Pos	N	M	Act	Aft	pAft	$S_{r,max}$	σ_{fmed}	Wd	Wk	Wamm	Cb	Ver	Cs
	kg	kg*m	mq	cmq	cm	cm	kg/cmq	mm	mm	mm			
Arm. Y	0	-1453	0.2	20.11	50.27	38.5	40	0.004	0.004	0.400	35(Freq.)	Si	91

Plinto n°: 9 [Nodo 9] - Tipo: Plinto Diretto - Crit.Prog.: CLS_Plinti - Terreno: Terreno1: Verificato

H	HSup	Bx	By	BxSup	BySup	MagrX	MagrY	HMagr	TR.X	TR.Y	Rot
cm	cm	cm	cm	cm	cm	cm	cm	cm	cm	cm	°
40.0	0.0	225.0	225.0	225.0	225.0	245.0	245.0	10.0	0.0	0.0	0

Geometria sezioni

Pos	B/R	H
	cm	cm
Arm. X	225.0	40.0

Verifica tensioni di esercizio

Pos	N	M	AfSup Af	Afinf	σ_c	σ_f	σ_{ca}	σ_{fa}	Comb	Ver	Cs
	kg	kg*m	cmq	cmq	kg/cmq	kg/cmq	kg/cmq	kg/cmq			
Arm. X	0	-1860	20.11	20.11	-6	294	149	3600	20(Rara)	Si	12

Verifica apertura fessure

Pos	N	M	Act	Aft	pAft	$S_{r,max}$	σ_{fmed}	Wd	Wk	Wamm	Cb	Ver	Cs
	kg	kg*m	mq	cmq	cm	cm	kg/cmq	mm	mm	mm			
Arm. X	0	-1459	0.2	20.11	50.27	38.5	40	0.004	0.004	0.400	35(Freq.)	Si	91

Plinto n°: 11 [Nodo 11] - Tipo: Plinto Diretto - Crit.Prog.: CLS_Plinti - Terreno: Terreno1: Verificato

H	HSup	Bx	By	BxSup	BySup	MagrX	MagrY	HMagr	TR.X	TR.Y	Rot
cm	cm	cm	cm	cm	cm	cm	cm	cm	cm	cm	°
40.0	0.0	225.0	225.0	225.0	225.0	245.0	245.0	10.0	0.0	0.0	0

Geometria sezioni

Pos	B/R	H
	cm	cm
Arm. X	225.0	40.0

Verifica tensioni di esercizio

Pos	N	M	AfSup Af	Afinf	σ_c	σ_f	σ_{ca}	σ_{fa}	Comb	Ver	Cs
	kg	kg*m	cmq	cmq	kg/cmq	kg/cmq	kg/cmq	kg/cmq			
Arm. X	0	-1646	20.11	20.11	-5	260	149	3600	21(Rara)	Si	14

Verifica apertura fessure

Pos	N	M	Act	Aft	pAft	$S_{r,max}$	σ_{fmed}	Wd	Wk	Wamm	Cb	Ver	Cs
	kg	kg*m	mq	cmq	cm	cm	kg/cmq	mm	mm	mm			
Arm. X	0	-1380	0.2	20.11	50.27	38.5	38	0.004	0.004	0.400	35(Freq.)	Si	96

Plinto n°: 13 [Nodo 13] - Tipo: Plinto Diretto - Crit.Prog.: CLS_Plinti - Terreno: Terreno1: **Verificato**

H	HSup	Bx	By	BxSup	BySup	MagrX	MagrY	HMagr	TR.X	TR.Y	Rot
cm	cm	cm	cm	cm	cm	cm	cm	cm	cm	cm	°
40.0	0.0	225.0	225.0	225.0	225.0	245.0	245.0	10.0	0.0	0.0	0

Geometria sezioni

Pos	B/R	H
	cm	cm
Arm. X	225.0	40.0

Verifica tensioni di esercizio

Pos	N	M	AfSup Af	Afinf	σ_c	σ_f	σ_{ca}	σ_{fa}	Comb	Ver	Cs
	kg	kg*m	cmq	cmq	kg/cmq	kg/cmq	kg/cmq	kg/cmq			
Arm. X	0	-2326	20.11	20.11	-7	368	149	3600	21(Rara)	Si	9.8

Verifica apertura fessure

Pos	N	M	Act	Aft	pAft	$S_{r,max}$	σ_{fmed}	Wd	Wk	Wamm	Cb	Ver	Cs
	kg	kg*m	mq	cmq	cm	cm	kg/cmq	mm	mm	mm			
Arm. X	0	-1876	0.2	20.11	50.27	38.5	52	0.006	0.006	0.400	35(Freq.)	Si	70

Plinto n°: 15 [Nodo 15] - Tipo: Plinto Diretto - Crit.Prog.: CLS_Plinti - Terreno: Terreno1: **Verificato**

H	HSup	Bx	By	BxSup	BySup	MagrX	MagrY	HMagr	TR.X	TR.Y	Rot
cm	cm	cm	cm	cm	cm	cm	cm	cm	cm	cm	°
40.0	0.0	225.0	225.0	225.0	225.0	245.0	245.0	10.0	0.0	0.0	0

Geometria sezioni

Pos	B/R	H
	cm	cm
Arm. Y	225.0	40.0

Verifica tensioni di esercizio

Pos	N	M	AfSup Af	Afinf	σ_c	σ_f	σ_{ca}	σ_{fa}	Comb	Ver	Cs
	kg	kg*m	cmq	cmq	kg/cmq	kg/cmq	kg/cmq	kg/cmq			
Arm. Y	0	-2343	20.11	20.11	-8	370	149	3600	21(Rara)	Si	9.7

Verifica apertura fessure

Pos	N	M	Act	Aft	pAft	$S_{r,max}$	σ_{fmed}	Wd	Wk	Wamm	Cb	Ver	Cs
	kg	kg*m	mq	cmq	cm	cm	kg/cmq	mm	mm	mm			
Arm. Y	0	-1864	0.2	20.11	50.27	38.5	51	0.006	0.006	0.400	35(Freq.)	Si	71

Plinto n°: 17 [Nodo 18] - Tipo: Plinto Diretto - Crit.Prog.: CLS_Plinti - Terreno: Terreno1: **Verificato**

H	HSup	Bx	By	BxSup	BySup	MagrX	MagrY	HMagr	TR.X	TR.Y	Rot
cm	cm	cm	cm	cm	cm	cm	cm	cm	cm	cm	°
40.0	0.0	225.0	225.0	225.0	225.0	245.0	245.0	10.0	0.0	0.0	0

Geometria sezioni

Pos	B/R	H
	cm	cm
Arm. Y	225.0	40.0
Arm. X	225.0	40.0

Verifica tensioni di esercizio

Pos	N	M	AfSup Af	Afinf	σ_c	σ_f	σ_{ca}	σ_{fa}	Comb	Ver	Cs
	kg	kg*m	cmq	cmq	kg/cmq	kg/cmq	kg/cmq	kg/cmq			
Arm. Y	0	-2253	20.11	20.11	-7	356	149	3600	21(Rara)	Si	10

Verifica apertura fessure

Pos	N	M	Act	Aft	pAft	$S_{r,max}$	σ_{fmed}	Wd	Wk	Wamm	Cb	Ver	Cs
	kg	kg*m	mq	cmq	cm	cm	kg/cmq	mm	mm	mm			
Arm. X	0	-1829	0.2	20.11	50.27	38.5	50	0.006	0.006	0.400	35(Freq.)	Si	72

Plinto n°: 19 [Nodo 19] - Tipo: Plinto Diretto - Crit.Prog.: CLS_Plinti - Terreno: Terreno1: Verificato

H	HSup	Bx	By	BxSup	BySup	MagrX	MagrY	HMagr	TR.X	TR.Y	Rot
cm	cm	cm	cm	cm	cm	cm	cm	cm	cm	cm	°
40.0	0.0	225.0	225.0	225.0	225.0	245.0	245.0	10.0	0.0	0.0	0

Geometria sezioni

Pos	B/R	H
	cm	cm
Arm. Y	225.0	40.0
Arm. X	225.0	40.0

Verifica tensioni di esercizio

Pos	N	M	AfSup Af	Afinf	σ_c	σ_f	σ_{ca}	σ_{fa}	Comb	Ver	Cs
	kg	kg*m	cmq	cmq	kg/cmq	kg/cmq	kg/cmq	kg/cmq			
Arm. Y	0	-1828	20.11	20.11	-6	289	149	3600	21(Rara)	Si	12

Verifica apertura fessure

Pos	N	M	Act	Aft	pAft	$S_{r,max}$	σ_{fmed}	Wd	Wk	Wamm	Cb	Ver	Cs
	kg	kg*m	mq	cmq	cm	cm	kg/cmq	mm	mm	mm			
Arm. X	0	-1495	0.2	20.11	50.27	38.5	41	0.005	0.005	0.400	35(Freq.)	Si	88

8. Verifica spostamenti verticali delle aste in Acciaio secondo NTC 2008Scenario di calcolo: **Set_SLV_SLD****Simbologia:**

L Luce della trave a cui appartiene l'asta

 δ_c Monta iniziale della trave

x Ascissa, nel sistema locale dell'asta, corrispondente allo spostamento massimo

Comb. Combinazione/i di carico Rara/e

 δ_{max} Spostamento nello stato finale depurato della monta iniziale (positivo se diretto verso il basso) δ_2 Spostamento elastico dovuto ai soli carichi variabili (positivo se diretto verso il basso)

L/k: Valore limite

N.b. La verifica è soddisfatta se il valore assoluto degli spostamenti è inferiore al limite

Travata: 1 [1001,1003]: L=720.0 cm, Modello =Appoggiata, Crit.Prog: Acciaio_FlessTors, $\delta_c = 0.0$ cm: **Verificato**

Verifica spostamento nello stato finale (§4.2.4.2.1 - NTC)

x	Comb.	δ_{max}	L/250.00	Cs
cm		mm	mm	
324.0	30	-3.68	28.80	7.8

Verifica spostamento elastico dovuto ai soli carichi variabili (§4.2.4.2.1 - NTC)

x	Comb.	δ_2	L/300.00	Cs
cm		mm	mm	
342.0	30	-5.75	24.00	4.2

Travata: 1 [1003,1005]: L=720.0 cm, Modello =Appoggiata, Crit.Prog: Acciaio_FlessTors, $\delta_c = 0.0$ cm: **Verificato**

Verifica spostamento nello stato finale (§4.2.4.2.1 - NTC)

x	Comb.	δ_{max}	L/250.00	Cs
cm		mm	mm	
360.0	20	3.12	28.80	9.2

Verifica spostamento elastico dovuto ai soli carichi variabili (§4.2.4.2.1 - NTC)

x	Comb.	δ_2	L/300.00	Cs
cm		mm	mm	
360.0	30	-3.73	24.00	6.4

Travata: 1 [1005,1007]: L=720.0 cm, Modello =Appoggiata, Crit.Prog: Acciaio_FlessTors, $\delta_c = 0.0$ cm: **Verificato**

Verifica spostamento nello stato finale (§4.2.4.2.1 - NTC)

x	Comb.	δ_{max}	L/250.00	Cs
cm		mm	mm	
360.0	20	3.55	28.80	8.1

Verifica spostamento elastico dovuto ai soli carichi variabili (§4.2.4.2.1 - NTC)

x	Comb.	δ_2	L/300.00	Cs
cm		mm	mm	
360.0	30	-4.12	24.00	5.8

Travata: 1 [1007,1009]: L=720.0 cm, Modello =Appoggiata, Crit.Prog: Acciaio_FlessTors, $\delta_c = 0.0$ cm: **Verificato**

Verifica spostamento nello stato finale (§4.2.4.2.1 - NTC)

x	Comb.	δ_{max}	L/250.00	Cs
cm		mm	mm	
360.0	30	-2.50	28.80	12

Verifica spostamento elastico dovuto ai soli carichi variabili (§4.2.4.2.1 - NTC)

x	Comb.	δ_2	L/300.00	Cs
cm		mm	mm	
342.0	30	-3.40	24.00	7.1

Travata: 2 [1011,1013]: L=720.0 cm, Modello =Appoggiata, Crit.Prog: Acciaio_FlessTors, $\delta_c = 0.0$ cm: **Verificato**

Verifica spostamento nello stato finale (§4.2.4.2.1 - NTC)

x	Comb.	δ_{max}	L/250.00	Cs
cm		mm	mm	
360.0	21	3.28	28.80	8.8

Verifica spostamento elastico dovuto ai soli carichi variabili (§4.2.4.2.1 - NTC)

x	Comb.	δ_2	L/300.00	Cs
cm		mm	mm	
342.0	32	-4.42	24.00	5.4

Travata: 2 [1013,1015]: L=720.0 cm, Modello =Appoggiata, Crit.Prog: Acciaio_FlessTors, $\delta_c = 0.0$ cm: **Verificato**

Verifica spostamento nello stato finale (§4.2.4.2.1 - NTC)

x	Comb.	δ_{max}	L/250.00	Cs
cm		mm	mm	
360.0	21	2.99	28.80	9.6

Verifica spostamento elastico dovuto ai soli carichi variabili (§4.2.4.2.1 - NTC)

x	Comb.	δ_2	L/300.00	Cs
cm		mm	mm	
360.0	32	-2.72	24.00	8.8

Travata: 2 [1015,1017]: L=720.0 cm, Modello =Appoggiata, Crit.Prog: Acciaio_FlessTors, $\delta_c = 0.0$ cm: **Verificato**

Verifica spostamento nello stato finale (§4.2.4.2.1 - NTC)

x	Comb.	δ_{max}	L/250.00	Cs
cm		mm	mm	
360.0	21	3.42	28.80	8.4

Verifica spostamento elastico dovuto ai soli carichi variabili (§4.2.4.2.1 - NTC)

x	Comb.	δ_2	L/300.00	Cs
cm		mm	mm	
360.0	32	-3.00	24.00	8.0

Travata: 2 [1017,1019]: L=720.0 cm, Modello =Appoggiata, Crit.Prog: Acciaio_FlessTors, $\delta_c = 0.0$ cm: **Verificato**

Verifica spostamento nello stato finale (§4.2.4.2.1 - NTC)

x	Comb.	δ_{max}	L/250.00	Cs
cm		mm	mm	
360.0	32	-1.79	28.80	16

Verifica spostamento elastico dovuto ai soli carichi variabili (§4.2.4.2.1 - NTC)

x	Comb.	δ_2	L/300.00	Cs
cm		mm	mm	
342.0	32	-2.69	24.00	8.9

Travata: 3 [1001,1011]: L=450.0 cm, Modello =Appoggiata, Crit.Prog: Acciaio_Pressflessione, $\delta_c = 0.0$ cm: **Verificato**

Verifica spostamento nello stato finale (§4.2.4.2.1 - NTC)

x	Comb.	δ_{max}	L/200.00	Cs
cm		mm	mm	
180.0	27	-1.73	22.50	13

Verifica spostamento elastico dovuto ai soli carichi variabili (§4.2.4.2.1 - NTC)

x	Comb.	δ_2	L/250.00	Cs
cm		mm	mm	
165.0	27	-1.14	18.00	16

Travata: 4 [1003,1013]: L=450.0 cm, Modello =Appoggiata, Crit.Prog: Acciaio_Pressflessione, $\delta_c = 0.0$ cm: **Verificato**

Verifica spostamento nello stato finale (§4.2.4.2.1 - NTC)

x	Comb.	δ_{max}	L/200.00	Cs
cm		mm	mm	
180.0	27	-1.74	22.50	13

Verifica spostamento elastico dovuto ai soli carichi variabili (§4.2.4.2.1 - NTC)

x	Comb.	δ_2	L/250.00	Cs
cm		mm	mm	
150.0	27	-1.09	18.00	17

Travata: 5 [1005,1015]: L=450.0 cm, Modello =Appoggiata, Crit.Prog: Acciaio_Pressflessione, $\delta_c = 0.0$ cm: **Verificato**

Verifica spostamento nello stato finale (§4.2.4.2.1 - NTC)

x	Comb.	δ_{max}	L/200.00	Cs
cm		mm	mm	

x	Comb.	δ_{max}	L/200.00	Cs
180.0	27	-1.79	22.50	13

Verifica spostamento elastico dovuto ai soli carichi variabili (§4.2.4.2.1 - NTC)

x	Comb.	δ_2	L/250.00	Cs
cm		mm	mm	
165.0	27	-1.15	18.00	16

Travata: 6 [1007,1017]: L=450.0 cm, Modello =Appoggiata, Crit.Prog: Acciaio_Pressflessione, $\delta_c = 0.0$ cm: **Verificato**

Verifica spostamento nello stato finale (§4.2.4.2.1 - NTC)

x	Comb.	δ_{max}	L/200.00	Cs
cm		mm	mm	
180.0	27	-1.69	22.50	13

Verifica spostamento elastico dovuto ai soli carichi variabili (§4.2.4.2.1 - NTC)

x	Comb.	δ_2	L/250.00	Cs
cm		mm	mm	
150.0	27	-1.08	18.00	17

Travata: 7 [1009,1019]: L=450.0 cm, Modello =Appoggiata, Crit.Prog: Acciaio_Pressflessione, $\delta_c = 0.0$ cm: **Verificato**

Verifica spostamento nello stato finale (§4.2.4.2.1 - NTC)

x	Comb.	δ_{max}	L/200.00	Cs
cm		mm	mm	
180.0	27	-1.86	22.50	12

Verifica spostamento elastico dovuto ai soli carichi variabili (§4.2.4.2.1 - NTC)

x	Comb.	δ_2	L/250.00	Cs
cm		mm	mm	
165.0	27	-1.18	18.00	15

Travata: 7 [1019,1195]: L=403.0 cm, Modello =Sbalzo, Crit.Prog: Acciaio_Pressflessione, $\delta_c = 0.0$ cm: **Verificato**

Verifica spostamento nello stato finale (§4.2.4.2.1 - NTC)

x	Comb.	δ_{max}	L/100.00	Cs
cm		mm	mm	
403.0	21	19.73	40.30	2.0

Verifica spostamento elastico dovuto ai soli carichi variabili (§4.2.4.2.1 - NTC)

x	Comb.	δ_2	L/125.00	Cs
cm		mm	mm	
403.0	21	12.82	32.24	2.5

Travata: 7 [1048,1009]: L=403.0 cm, Modello =Sbalzo, Crit.Prog: Acciaio_Pressflessione, $\delta_c = 0.0$ cm: **Verificato**

Verifica spostamento nello stato finale (§4.2.4.2.1 - NTC)

x	Comb.	δ_{max}	L/100.00	Cs
cm		mm	mm	
0.0	27	18.34	40.30	2.2

Verifica spostamento elastico dovuto ai soli carichi variabili (§4.2.4.2.1 - NTC)

x	Comb.	δ_2	L/125.00	Cs
cm		mm	mm	
0.0	27	11.43	32.24	2.8

Travata: 3 [1011,1164]: L=403.0 cm, Modello =Sbalzo, Crit.Prog: Acciaio_Pressflessione, $\delta_c = 0.0$ cm: **Verificato**

Verifica spostamento nello stato finale (§4.2.4.2.1 - NTC)

x	Comb.	δ_{max}	L/100.00	Cs
cm		mm	mm	
403.0	21	18.39	40.30	2.2

Verifica spostamento elastico dovuto ai soli carichi variabili (§4.2.4.2.1 - NTC)

x	Comb.	δ_2	L/125.00	Cs
cm		mm	mm	
403.0	21	12.16	32.24	2.7

Travata: 3 [1022,1001]: L=403.0 cm, Modello =Sbalzo, Crit.Prog: Acciaio_Pressflessione, $\delta_c = 0.0$ cm: **Verificato**

Verifica spostamento nello stato finale (§4.2.4.2.1 - NTC)

x	Comb.	δ_{max}	L/100.00	Cs
cm		mm	mm	
0.0	27	17.37	40.30	2.3

Verifica spostamento elastico dovuto ai soli carichi variabili (§4.2.4.2.1 - NTC)

x	Comb.	δ_2	L/125.00	Cs
cm		mm	mm	
0.0	27	11.13	32.24	2.9

Travata: 5 [1015,1179]: L=403.0 cm, Modello =Sbalzo, Crit.Prog: Acciaio_Pressflessione, $\delta_c = 0.0$ cm: **Verificato**

Verifica spostamento nello stato finale (§4.2.4.2.1 - NTC)

x	Comb.	δ_{max}	L/100.00	Cs
cm		mm	mm	
403.0	21	19.07	40.30	2.1

Verifica spostamento elastico dovuto ai soli carichi variabili (§4.2.4.2.1 - NTC)

x	Comb.	δ_2	L/125.00	Cs
cm		mm	mm	
403.0	21	12.46	32.24	2.6

Travata: 5 [1037,1005]: L=403.0 cm, Modello =Sbalzo, Crit.Prog: Acciaio_Pressflessione, $\delta_c = 0.0$ cm: **Verificato**

Verifica spostamento nello stato finale (§4.2.4.2.1 - NTC)

x	Comb.	δ_{max}	L/100.00	Cs
cm		mm	mm	
0.0	27	17.60	40.30	2.3

Verifica spostamento elastico dovuto ai soli carichi variabili (§4.2.4.2.1 - NTC)

x	Comb.	δ_2	L/125.00	Cs
cm		mm	mm	
0.0	27	11.05	32.24	2.9

Travata: 6 [1017,1188]: L=403.0 cm, Modello =Sbalzo, Crit.Prog: Acciaio_Pressflessione, $\delta_c = 0.0$ cm: **Verificato**

Verifica spostamento nello stato finale (§4.2.4.2.1 - NTC)

x	Comb.	δ_{max}	L/100.00	Cs
cm		mm	mm	
403.0	21	18.25	40.30	2.2

Verifica spostamento elastico dovuto ai soli carichi variabili (§4.2.4.2.1 - NTC)

x	Comb.	δ_2	L/125.00	Cs
cm		mm	mm	
403.0	21	11.87	32.24	2.7

Travata: 6 [1044,1007]: L=403.0 cm, Modello =Sbalzo, Crit.Prog: Acciaio_Pressflessione, $\delta_c = 0.0$ cm: **Verificato**

Verifica spostamento nello stato finale (§4.2.4.2.1 - NTC)

x	Comb.	δ_{max}	L/100.00	Cs
cm		mm	mm	
0.0	27	16.69	40.30	2.4

Verifica spostamento elastico dovuto ai soli carichi variabili (§4.2.4.2.1 - NTC)

x	Comb.	δ_2	L/125.00	Cs
cm		mm	mm	
0.0	27	10.33	32.24	3.1

Travata: 4 [1013,1171]: L=403.0 cm, Modello =Sbalzo, Crit.Prog: Acciaio_Pressflessione, $\delta_c = 0.0$ cm: **Verificato**

Verifica spostamento nello stato finale (§4.2.4.2.1 - NTC)

x	Comb.	δ_{max}	L/100.00	Cs
cm		mm	mm	
403.0	21	18.86	40.30	2.1

Verifica spostamento elastico dovuto ai soli carichi variabili (§4.2.4.2.1 - NTC)

x	Comb.	δ_2	L/125.00	Cs
cm		mm	mm	
403.0	21	12.17	32.24	2.6

Travata: 4 [1023,1003]: L=403.0 cm, Modello =Sbalzo, Crit.Prog: Acciaio_Pressflessione, $\delta_c = 0.0$ cm: **Verificato**

Verifica spostamento nello stato finale (§4.2.4.2.1 - NTC)

x	Comb.	δ_{max}	L/100.00	Cs
cm		mm	mm	
0.0	20	17.28	40.30	2.3

Verifica spostamento elastico dovuto ai soli carichi variabili (§4.2.4.2.1 - NTC)

x	Comb.	δ_2	L/125.00	Cs
cm		mm	mm	
0.0	20	10.61	32.24	3.0

Travata: 8 [1199,1163]: L=3465.0 cm, Modello =Appoggiata, Crit.Prog: Acciaio_Flessione, $\delta_c = 0.0$ cm: **Verificato**

Verifica spostamento nello stato finale (§4.2.4.2.1 - NTC)

x	Comb.	δ_{max}	L/200.00	Cs
cm		mm	mm	
535.0	26	-14.21	173.25	12

Verifica spostamento elastico dovuto ai soli carichi variabili (§4.2.4.2.1 - NTC)

x	Comb.	δ_2	L/250.00	Cs
cm		mm	mm	
571.0	26	-12.06	138.60	11

Travata: 9 [1012,1050]: L=3465.0 cm, Modello =Appoggiata, Crit.Prog: Acciaio_Flessione, $\delta_c = 0.0$ cm: **Verificato**

Verifica spostamento nello stato finale (§4.2.4.2.1 - NTC)

x	Comb.	δ_{max}	L/200.00	Cs
cm		mm	mm	
2858.0	27	-13.30	173.25	13

Verifica spostamento elastico dovuto ai soli carichi variabili (§4.2.4.2.1 - NTC)

x	Comb.	δ_2	L/250.00	Cs
cm		mm	mm	
2822.0	27	-10.81	138.60	13

Travata: 1 [1051,1001]: L=230.0 cm, Modello =Sbalzo, Crit.Prog: Acciaio_FlessTors, $\delta_c = 0.0$ cm: **Verificato**

Verifica spostamento nello stato finale (§4.2.4.2.1 - NTC)

x	Comb.	δ_{max}	L/125.00	Cs
cm		mm	mm	
0.0	27	3.00	18.40	6.1

Verifica spostamento elastico dovuto ai soli carichi variabili (§4.2.4.2.1 - NTC)

x	Comb.	δ_2	L/150.00	Cs
cm		mm	mm	

x	Comb.	δ_2	L/150.00	Cs
0.0	27	2.25	15.33	6.8

Travata: 2 [1116,1011]: L=230.0 cm, Modello =Sbalzo, Crit.Prog: Acciaio_FlessTors, $\delta_c = 0.0$ cm: **Verificato**

Verifica spostamento nello stato finale (§4.2.4.2.1 - NTC)

x	Comb.	δ_{max}	L/125.00	Cs
cm		mm	mm	
0.0	26	2.73	18.40	6.7

Verifica spostamento elastico dovuto ai soli carichi variabili (§4.2.4.2.1 - NTC)

x	Comb.	δ_2	L/150.00	Cs
cm		mm	mm	
0.0	26	1.98	15.33	7.8

Travata: 1 [1009,1114]: L=355.0 cm, Modello =Sbalzo, Crit.Prog: Acciaio_FlessTors, $\delta_c = 0.0$ cm: **Verificato**

Verifica spostamento nello stato finale (§4.2.4.2.1 - NTC)

x	Comb.	δ_{max}	L/125.00	Cs
cm		mm	mm	
355.0	27	10.82	28.40	2.6

Verifica spostamento elastico dovuto ai soli carichi variabili (§4.2.4.2.1 - NTC)

x	Comb.	δ_2	L/150.00	Cs
cm		mm	mm	
355.0	27	6.73	23.67	3.5

Travata: 2 [1019,1161]: L=355.0 cm, Modello =Sbalzo, Crit.Prog: Acciaio_FlessTors, $\delta_c = 0.0$ cm: **Verificato**

Verifica spostamento nello stato finale (§4.2.4.2.1 - NTC)

x	Comb.	δ_{max}	L/125.00	Cs
cm		mm	mm	
355.0	21	10.58	28.40	2.7

Verifica spostamento elastico dovuto ai soli carichi variabili (§4.2.4.2.1 - NTC)

x	Comb.	δ_2	L/150.00	Cs
cm		mm	mm	
355.0	21	6.49	23.67	3.6

Travata: 10 [1023,1046]: L=1256.0 cm, Modello =Appoggiata, Crit.Prog: Acciaio_Pressflessione, $\delta_c = 0.0$ cm: **Verificato**

Verifica spostamento nello stato finale (§4.2.4.2.1 - NTC)

x	Comb.	δ_{max}	L/200.00	Cs
cm		mm	mm	
613.0	27	-28.23	62.80	2.2

Verifica spostamento elastico dovuto ai soli carichi variabili (§4.2.4.2.1 - NTC)

x	Comb.	δ_2	L/250.00	Cs
cm		mm	mm	
598.0	27	-18.09	50.24	2.8

Travata: 11 [1016,1167]: L=1256.0 cm, Modello =Appoggiata, Crit.Prog: Acciaio_Pressflessione, $\delta_c = 0.0$ cm: **Verificato**

Verifica spostamento nello stato finale (§4.2.4.2.1 - NTC)

x	Comb.	δ_{max}	L/200.00	Cs
cm		mm	mm	
613.0	27	-27.33	62.80	2.3

Verifica spostamento elastico dovuto ai soli carichi variabili (§4.2.4.2.1 - NTC)

x	Comb.	δ	L/250.00	Cs
cm		mm	mm	
598.0	27	-17.53	50.24	2.9

Travata: 12 [1024,1047]: L=1256.0 cm, Modello =Appoggiata, Crit.Prog: Acciaio_Pressflessione, $\delta c = 0.0$ cm:
Verificato

Verifica spostamento nello stato finale (§4.2.4.2.1 - NTC)

x	Comb.	δ_{max}	L/200.00	Cs
cm		mm	mm	
613.0	27	-28.14	62.80	2.2

Verifica spostamento elastico dovuto ai soli carichi variabili (§4.2.4.2.1 - NTC)

x	Comb.	δ	L/250.00	Cs
cm		mm	mm	
598.0	27	-17.41	50.24	2.9

Travata: 13 [1025,1048]: L=1256.0 cm, Modello =Appoggiata, Crit.Prog: Acciaio_Pressflessione, $\delta c = 0.0$ cm:
Verificato

Verifica spostamento nello stato finale (§4.2.4.2.1 - NTC)

x	Comb.	δ_{max}	L/200.00	Cs
cm		mm	mm	
613.0	27	-28.85	62.80	2.2

Verifica spostamento elastico dovuto ai soli carichi variabili (§4.2.4.2.1 - NTC)

x	Comb.	δ	L/250.00	Cs
cm		mm	mm	
598.0	27	-17.94	50.24	2.8

Travata: 14 [1026,1049]: L=1256.0 cm, Modello =Appoggiata, Crit.Prog: Acciaio_Pressflessione, $\delta c = 0.0$ cm:
Verificato

Verifica spostamento nello stato finale (§4.2.4.2.1 - NTC)

x	Comb.	δ_{max}	L/200.00	Cs
cm		mm	mm	
613.0	27	-29.20	62.80	2.2

Verifica spostamento elastico dovuto ai soli carichi variabili (§4.2.4.2.1 - NTC)

x	Comb.	δ	L/250.00	Cs
cm		mm	mm	
598.0	27	-18.38	50.24	2.7

Travata: 15 [1027,1050]: L=1256.0 cm, Modello =Appoggiata, Crit.Prog: Acciaio_Pressflessione, $\delta c = 0.0$ cm:
Verificato

Verifica spostamento nello stato finale (§4.2.4.2.1 - NTC)

x	Comb.	δ_{max}	L/200.00	Cs
cm		mm	mm	
613.0	27	-29.15	62.80	2.2

Verifica spostamento elastico dovuto ai soli carichi variabili (§4.2.4.2.1 - NTC)

x	Comb.	δ	L/250.00	Cs
cm		mm	mm	
598.0	27	-18.54	50.24	2.7

Travata: 16 [1028,1186]: L=1256.0 cm, Modello =Appoggiata, Crit.Prog: Acciaio_Pressflessione, $\delta c = 0.0$ cm:
Verificato

Verifica spostamento nello stato finale (§4.2.4.2.1 - NTC)

x	Comb.	δ_{max}	L/200.00	Cs
cm		mm	mm	

x	Comb.	δ_{max}	L/200.00	Cs
613.0	27	-28.02	62.80	2.2

Verifica spostamento elastico dovuto ai soli carichi variabili (§4.2.4.2.1 - NTC)

x	Comb.	δ_2	L/250.00	Cs
cm		mm	mm	
598.0	27	-17.62	50.24	2.9

Travata: 17 [1029,1190]: L=1256.0 cm, Modello =Appoggiata, Crit.Prog: Acciaio_Pressflessione, $\delta c = 0.0$ cm:

Verificato

Verifica spostamento nello stato finale (§4.2.4.2.1 - NTC)

x	Comb.	δ_{max}	L/200.00	Cs
cm		mm	mm	
613.0	27	-28.15	62.80	2.2

Verifica spostamento elastico dovuto ai soli carichi variabili (§4.2.4.2.1 - NTC)

x	Comb.	δ_2	L/250.00	Cs
cm		mm	mm	
598.0	27	-17.57	50.24	2.9

Travata: 18 [1030,1053]: L=1256.0 cm, Modello =Appoggiata, Crit.Prog: Acciaio_Pressflessione, $\delta c = 0.0$ cm:

Verificato

Verifica spostamento nello stato finale (§4.2.4.2.1 - NTC)

x	Comb.	δ_{max}	L/200.00	Cs
cm		mm	mm	
613.0	27	-29.53	62.80	2.1

Verifica spostamento elastico dovuto ai soli carichi variabili (§4.2.4.2.1 - NTC)

x	Comb.	δ_2	L/250.00	Cs
cm		mm	mm	
598.0	27	-18.22	50.24	2.8

Travata: 19 [1046,1191]: L=1256.0 cm, Modello =Appoggiata, Crit.Prog: Acciaio_Pressflessione, $\delta c = 0.0$ cm:

Verificato

Verifica spostamento nello stato finale (§4.2.4.2.1 - NTC)

x	Comb.	δ_{max}	L/200.00	Cs
cm		mm	mm	
613.0	27	-28.00	62.80	2.2

Verifica spostamento elastico dovuto ai soli carichi variabili (§4.2.4.2.1 - NTC)

x	Comb.	δ_2	L/250.00	Cs
cm		mm	mm	
598.0	27	-17.67	50.24	2.8

Travata: 20 [1041,1183]: L=1256.0 cm, Modello =Appoggiata, Crit.Prog: Acciaio_Pressflessione, $\delta c = 0.0$ cm:

Verificato

Verifica spostamento nello stato finale (§4.2.4.2.1 - NTC)

x	Comb.	δ_{max}	L/200.00	Cs
cm		mm	mm	
613.0	27	-27.83	62.80	2.3

Verifica spostamento elastico dovuto ai soli carichi variabili (§4.2.4.2.1 - NTC)

x	Comb.	δ_2	L/250.00	Cs
cm		mm	mm	
598.0	27	-17.96	50.24	2.8

Travata: 21 [1031,1175]: L=1256.0 cm, Modello =Appoggiata, Crit.Prog: Acciaio_Pressflessione, $\delta c = 0.0$ cm:

Verificato

Verifica spostamento nello stato finale (§4.2.4.2.1 - NTC)

x	Comb.	δ_{max}	L/200.00	Cs
cm		mm	mm	
613.0	27	-28.29	62.80	2.2

Verifica spostamento elastico dovuto ai soli carichi variabili (§4.2.4.2.1 - NTC)

x	Comb.	δ_2	L/250.00	Cs
cm		mm	mm	
598.0	27	-18.04	50.24	2.8

Travata: 22 [1031,1054]: L=1256.0 cm, Modello =Appoggiata, Crit.Prog: Acciaio_Pressflessione, $\delta_c = 0.0$ cm: **Verificato**

Verifica spostamento nello stato finale (§4.2.4.2.1 - NTC)

x	Comb.	δ_{max}	L/200.00	Cs
cm		mm	mm	
613.0	27	-29.62	62.80	2.1

Verifica spostamento elastico dovuto ai soli carichi variabili (§4.2.4.2.1 - NTC)

x	Comb.	δ_2	L/250.00	Cs
cm		mm	mm	
598.0	27	-19.25	50.24	2.6

Travata: 23 [1014,1019]: L=180.0 cm, Modello =Appoggiata, Crit.Prog: Acciaio_Flessione, $\delta_c = 0.0$ cm: **Verificato**

Verifica spostamento nello stato finale (§4.2.4.2.1 - NTC)

x	Comb.	δ_{max}	L/200.00	Cs
cm		mm	mm	
90.0	30	-1.42	9.00	6.3

Verifica spostamento elastico dovuto ai soli carichi variabili (§4.2.4.2.1 - NTC)

x	Comb.	δ_2	L/250.00	Cs
cm		mm	mm	
90.0	30	-1.71	7.20	4.2

Travata: 23 [1019,1021]: L=180.0 cm, Modello =Appoggiata, Crit.Prog: Acciaio_Flessione, $\delta_c = 0.0$ cm: **Verificato**

Verifica spostamento nello stato finale (§4.2.4.2.1 - NTC)

x	Comb.	δ_{max}	L/200.00	Cs
cm		mm	mm	
90.0	30	-1.42	9.00	6.3

Verifica spostamento elastico dovuto ai soli carichi variabili (§4.2.4.2.1 - NTC)

x	Comb.	δ_2	L/250.00	Cs
cm		mm	mm	
90.0	30	-1.71	7.20	4.2

Travata: 23 [1021,1026]: L=180.0 cm, Modello =Appoggiata, Crit.Prog: Acciaio_Flessione, $\delta_c = 0.0$ cm: **Verificato**

Verifica spostamento nello stato finale (§4.2.4.2.1 - NTC)

x	Comb.	δ_{max}	L/200.00	Cs
cm		mm	mm	
90.0	30	-1.42	9.00	6.3

Verifica spostamento elastico dovuto ai soli carichi variabili (§4.2.4.2.1 - NTC)

x	Comb.	δ_2	L/250.00	Cs
cm		mm	mm	
90.0	30	-1.71	7.20	4.2

Travata: 23 [1026,1028]: L=180.0 cm, Modello =Appoggiata, Crit.Prog: Acciaio_Flessione, $\delta_c = 0.0$ cm: **Verificato**

Verifica spostamento nello stato finale (§4.2.4.2.1 - NTC)

x	Comb.	δ_{max}	L/200.00	Cs
cm		mm	mm	
90.0	30	-1.42	9.00	6.3

Verifica spostamento elastico dovuto ai soli carichi variabili (§4.2.4.2.1 - NTC)

x	Comb.	δ_2	L/250.00	Cs
cm		mm	mm	
90.0	30	-1.71	7.20	4.2

Travata: 23 [1028,1030]: L=180.0 cm, Modello =Appoggiata, Crit.Prog: Acciaio_Flessione, $\delta_c = 0.0$ cm: **Verificato**

Verifica spostamento nello stato finale (§4.2.4.2.1 - NTC)

x	Comb.	δ_{max}	L/200.00	Cs
cm		mm	mm	
90.0	30	-1.42	9.00	6.3

Verifica spostamento elastico dovuto ai soli carichi variabili (§4.2.4.2.1 - NTC)

x	Comb.	δ_2	L/250.00	Cs
cm		mm	mm	
90.0	30	-1.71	7.20	4.2

Travata: 23 [1030,1034]: L=180.0 cm, Modello =Appoggiata, Crit.Prog: Acciaio_Flessione, $\delta_c = 0.0$ cm: **Verificato**

Verifica spostamento nello stato finale (§4.2.4.2.1 - NTC)

x	Comb.	δ_{max}	L/200.00	Cs
cm		mm	mm	
90.0	30	-1.42	9.00	6.3

Verifica spostamento elastico dovuto ai soli carichi variabili (§4.2.4.2.1 - NTC)

x	Comb.	δ_2	L/250.00	Cs
cm		mm	mm	
90.0	30	-1.71	7.20	4.2

Travata: 23 [1034,1036]: L=180.0 cm, Modello =Appoggiata, Crit.Prog: Acciaio_Flessione, $\delta_c = 0.0$ cm: **Verificato**

Verifica spostamento nello stato finale (§4.2.4.2.1 - NTC)

x	Comb.	δ_{max}	L/200.00	Cs
cm		mm	mm	
90.0	30	-1.42	9.00	6.3

Verifica spostamento elastico dovuto ai soli carichi variabili (§4.2.4.2.1 - NTC)

x	Comb.	δ_2	L/250.00	Cs
cm		mm	mm	
90.0	30	-1.71	7.20	4.2

Travata: 23 [1036,1038]: L=180.0 cm, Modello =Appoggiata, Crit.Prog: Acciaio_Flessione, $\delta_c = 0.0$ cm: **Verificato**

Verifica spostamento nello stato finale (§4.2.4.2.1 - NTC)

x	Comb.	δ_{max}	L/200.00	Cs
cm		mm	mm	
90.0	30	-1.42	9.00	6.3

Verifica spostamento elastico dovuto ai soli carichi variabili (§4.2.4.2.1 - NTC)

x	Comb.	δ_2	L/250.00	Cs
cm		mm	mm	
90.0	30	-1.71	7.20	4.2

Travata: 23 [1038,1040]: L=180.0 cm, Modello =Appoggiata, Crit.Prog: Acciaio_Flessione, $\delta_c = 0.0$ cm: **Verificato**

Verifica spostamento nello stato finale (§4.2.4.2.1 - NTC)

x	Comb.	δ_{max}	L/200.00	Cs
cm		mm	mm	
90.0	30	-1.42	9.00	6.3

Verifica spostamento elastico dovuto ai soli carichi variabili (§4.2.4.2.1 - NTC)

x	Comb.	δ_2	L/250.00	Cs
cm		mm	mm	
90.0	30	-1.71	7.20	4.2

Travata: 23 [1040,1042]: L=180.0 cm, Modello =Appoggiata, Crit.Prog: Acciaio_Flessione, $\delta_c = 0.0$ cm: **Verificato**

Verifica spostamento nello stato finale (§4.2.4.2.1 - NTC)

x	Comb.	δ_{max}	L/200.00	Cs
cm		mm	mm	
90.0	30	-1.42	9.00	6.3

Verifica spostamento elastico dovuto ai soli carichi variabili (§4.2.4.2.1 - NTC)

x	Comb.	δ_2	L/250.00	Cs
cm		mm	mm	
90.0	30	-1.71	7.20	4.2

Travata: 23 [1042,1063]: L=180.0 cm, Modello =Appoggiata, Crit.Prog: Acciaio_Flessione, $\delta_c = 0.0$ cm: **Verificato**

Verifica spostamento nello stato finale (§4.2.4.2.1 - NTC)

x	Comb.	δ_{max}	L/200.00	Cs
cm		mm	mm	
90.0	30	-1.42	9.00	6.3

Verifica spostamento elastico dovuto ai soli carichi variabili (§4.2.4.2.1 - NTC)

x	Comb.	δ_2	L/250.00	Cs
cm		mm	mm	
90.0	30	-1.71	7.20	4.2

Travata: 23 [1063,1065]: L=180.0 cm, Modello =Appoggiata, Crit.Prog: Acciaio_Flessione, $\delta_c = 0.0$ cm: **Verificato**

Verifica spostamento nello stato finale (§4.2.4.2.1 - NTC)

x	Comb.	δ_{max}	L/200.00	Cs
cm		mm	mm	
90.0	30	-1.42	9.00	6.3

Verifica spostamento elastico dovuto ai soli carichi variabili (§4.2.4.2.1 - NTC)

x	Comb.	δ_2	L/250.00	Cs
cm		mm	mm	
90.0	30	-1.71	7.20	4.2

Travata: 23 [1065,1067]: L=180.0 cm, Modello =Appoggiata, Crit.Prog: Acciaio_Flessione, $\delta_c = 0.0$ cm: **Verificato**

Verifica spostamento nello stato finale (§4.2.4.2.1 - NTC)

x	Comb.	δ_{max}	L/200.00	Cs
cm		mm	mm	
90.0	30	-1.42	9.00	6.3

Verifica spostamento elastico dovuto ai soli carichi variabili (§4.2.4.2.1 - NTC)

x	Comb.	δ_2	L/250.00	Cs
cm		mm	mm	
90.0	30	-1.71	7.20	4.2

Travata: 23 [1067,1068]: L=180.0 cm, Modello =Appoggiata, Crit.Prog: Acciaio_Flessione, $\delta_c = 0.0$ cm: **Verificato**

Verifica spostamento nello stato finale (§4.2.4.2.1 - NTC)

x	Comb.	δ_{max}	L/200.00	Cs
cm		mm	mm	

x	Comb.	δ_{max}	L/200.00	Cs
90.0	30	-1.42	9.00	6.3

Verifica spostamento elastico dovuto ai soli carichi variabili (§4.2.4.2.1 - NTC)

x	Comb.	δ_2	L/250.00	Cs
cm		mm	mm	
90.0	30	-1.71	7.20	4.2

Travata: 23 [1068,1070]: L=180.0 cm, Modello =Appoggiata, Crit.Prog: Acciaio_Flessione, $\delta_c = 0.0$ cm: **Verificato**

Verifica spostamento nello stato finale (§4.2.4.2.1 - NTC)

x	Comb.	δ_{max}	L/200.00	Cs
cm		mm	mm	
90.0	30	-1.42	9.00	6.3

Verifica spostamento elastico dovuto ai soli carichi variabili (§4.2.4.2.1 - NTC)

x	Comb.	δ_2	L/250.00	Cs
cm		mm	mm	
90.0	30	-1.71	7.20	4.2

Travata: 23 [1070,1072]: L=180.0 cm, Modello =Appoggiata, Crit.Prog: Acciaio_Flessione, $\delta_c = 0.0$ cm: **Verificato**

Verifica spostamento nello stato finale (§4.2.4.2.1 - NTC)

x	Comb.	δ_{max}	L/200.00	Cs
cm		mm	mm	
90.0	30	-1.42	9.00	6.3

Verifica spostamento elastico dovuto ai soli carichi variabili (§4.2.4.2.1 - NTC)

x	Comb.	δ_2	L/250.00	Cs
cm		mm	mm	
90.0	30	-1.71	7.20	4.2

Travata: 23 [1072,1075]: L=177.5 cm, Modello =Appoggiata, Crit.Prog: Acciaio_Flessione, $\delta_c = 0.0$ cm: **Verificato**

Verifica spostamento nello stato finale (§4.2.4.2.1 - NTC)

x	Comb.	δ_{max}	L/200.00	Cs
cm		mm	mm	
88.8	30	-1.36	8.88	6.5

Verifica spostamento elastico dovuto ai soli carichi variabili (§4.2.4.2.1 - NTC)

x	Comb.	δ_2	L/250.00	Cs
cm		mm	mm	
88.8	30	-1.63	7.10	4.4

Travata: 24 [1018,1033]: L=180.0 cm, Modello =Appoggiata, Crit.Prog: Acciaio_Flessione, $\delta_c = 0.0$ cm: **Verificato**

Verifica spostamento nello stato finale (§4.2.4.2.1 - NTC)

x	Comb.	δ_{max}	L/200.00	Cs
cm		mm	mm	
90.0	30	-1.42	9.00	6.3

Verifica spostamento elastico dovuto ai soli carichi variabili (§4.2.4.2.1 - NTC)

x	Comb.	δ_2	L/250.00	Cs
cm		mm	mm	
90.0	30	-1.71	7.20	4.2

Travata: 24 [1033,1025]: L=180.0 cm, Modello =Appoggiata, Crit.Prog: Acciaio_Flessione, $\delta_c = 0.0$ cm: **Verificato**

Verifica spostamento nello stato finale (§4.2.4.2.1 - NTC)

x	Comb.	δ_{max}	L/200.00	Cs
cm		mm	mm	
90.0	30	-1.42	9.00	6.3

Verifica spostamento elastico dovuto ai soli carichi variabili (§4.2.4.2.1 - NTC)

x	Comb.	δ_2	L/250.00	Cs
cm		mm	mm	
90.0	30	-1.71	7.20	4.2

Travata: 24 [1025,1027]: L=180.0 cm, Modello =Appoggiata, Crit.Prog: Acciaio_Flessione, $\delta_c = 0.0$ cm: **Verificato**

Verifica spostamento nello stato finale (§4.2.4.2.1 - NTC)

x	Comb.	δ_{max}	L/200.00	Cs
cm		mm	mm	
90.0	30	-1.42	9.00	6.3

Verifica spostamento elastico dovuto ai soli carichi variabili (§4.2.4.2.1 - NTC)

x	Comb.	δ_2	L/250.00	Cs
cm		mm	mm	
90.0	30	-1.71	7.20	4.2

Travata: 24 [1027,1029]: L=180.0 cm, Modello =Appoggiata, Crit.Prog: Acciaio_Flessione, $\delta_c = 0.0$ cm: **Verificato**

Verifica spostamento nello stato finale (§4.2.4.2.1 - NTC)

x	Comb.	δ_{max}	L/200.00	Cs
cm		mm	mm	
90.0	30	-1.42	9.00	6.3

Verifica spostamento elastico dovuto ai soli carichi variabili (§4.2.4.2.1 - NTC)

x	Comb.	δ_2	L/250.00	Cs
cm		mm	mm	
90.0	30	-1.71	7.20	4.2

Travata: 24 [1029,1034]: L=180.0 cm, Modello =Appoggiata, Crit.Prog: Acciaio_Flessione, $\delta_c = 0.0$ cm: **Verificato**

Verifica spostamento nello stato finale (§4.2.4.2.1 - NTC)

x	Comb.	δ_{max}	L/200.00	Cs
cm		mm	mm	
90.0	30	-1.42	9.00	6.3

Verifica spostamento elastico dovuto ai soli carichi variabili (§4.2.4.2.1 - NTC)

x	Comb.	δ_2	L/250.00	Cs
cm		mm	mm	
90.0	30	-1.71	7.20	4.2

Travata: 24 [1034,1035]: L=180.0 cm, Modello =Appoggiata, Crit.Prog: Acciaio_Flessione, $\delta_c = 0.0$ cm: **Verificato**

Verifica spostamento nello stato finale (§4.2.4.2.1 - NTC)

x	Comb.	δ_{max}	L/200.00	Cs
cm		mm	mm	
90.0	30	-1.42	9.00	6.3

Verifica spostamento elastico dovuto ai soli carichi variabili (§4.2.4.2.1 - NTC)

x	Comb.	δ_2	L/250.00	Cs
cm		mm	mm	
90.0	30	-1.71	7.20	4.2

Travata: 24 [1035,1057]: L=180.0 cm, Modello =Appoggiata, Crit.Prog: Acciaio_Flessione, $\delta_c = 0.0$ cm: **Verificato**

Verifica spostamento nello stato finale (§4.2.4.2.1 - NTC)

x	Comb.	δ_{max}	L/200.00	Cs
cm		mm	mm	
90.0	30	-1.42	9.00	6.3

Verifica spostamento elastico dovuto ai soli carichi variabili (§4.2.4.2.1 - NTC)

x	Comb.	δ_2	L/250.00	Cs
cm		mm	mm	
90.0	30	-1.71	7.20	4.2

Travata: 24 [1057,1059]: L=180.0 cm, Modello =Appoggiata, Crit.Prog: Acciaio_Flessione, $\delta_c = 0.0$ cm: **Verificato**

Verifica spostamento nello stato finale (§4.2.4.2.1 - NTC)

x	Comb.	δ_{max}	L/200.00	Cs
cm		mm	mm	
90.0	30	-1.42	9.00	6.3

Verifica spostamento elastico dovuto ai soli carichi variabili (§4.2.4.2.1 - NTC)

x	Comb.	δ_2	L/250.00	Cs
cm		mm	mm	
90.0	30	-1.71	7.20	4.2

Travata: 24 [1059,1035]: L=180.0 cm, Modello =Appoggiata, Crit.Prog: Acciaio_Flessione, $\delta_c = 0.0$ cm: **Verificato**

Verifica spostamento nello stato finale (§4.2.4.2.1 - NTC)

x	Comb.	δ_{max}	L/200.00	Cs
cm		mm	mm	
90.0	30	-1.42	9.00	6.3

Verifica spostamento elastico dovuto ai soli carichi variabili (§4.2.4.2.1 - NTC)

x	Comb.	δ_2	L/250.00	Cs
cm		mm	mm	
90.0	30	-1.71	7.20	4.2

Travata: 24 [1035,1061]: L=180.0 cm, Modello =Appoggiata, Crit.Prog: Acciaio_Flessione, $\delta_c = 0.0$ cm: **Verificato**

Verifica spostamento nello stato finale (§4.2.4.2.1 - NTC)

x	Comb.	δ_{max}	L/200.00	Cs
cm		mm	mm	
90.0	30	-1.42	9.00	6.3

Verifica spostamento elastico dovuto ai soli carichi variabili (§4.2.4.2.1 - NTC)

x	Comb.	δ_2	L/250.00	Cs
cm		mm	mm	
90.0	30	-1.71	7.20	4.2

Travata: 24 [1061,1062]: L=180.0 cm, Modello =Appoggiata, Crit.Prog: Acciaio_Flessione, $\delta_c = 0.0$ cm: **Verificato**

Verifica spostamento nello stato finale (§4.2.4.2.1 - NTC)

x	Comb.	δ_{max}	L/200.00	Cs
cm		mm	mm	
90.0	30	-1.42	9.00	6.3

Verifica spostamento elastico dovuto ai soli carichi variabili (§4.2.4.2.1 - NTC)

x	Comb.	δ_2	L/250.00	Cs
cm		mm	mm	
90.0	30	-1.71	7.20	4.2

Travata: 24 [1062,1064]: L=180.0 cm, Modello =Appoggiata, Crit.Prog: Acciaio_Flessione, $\delta_c = 0.0$ cm: **Verificato**

Verifica spostamento nello stato finale (§4.2.4.2.1 - NTC)

x	Comb.	δ_{max}	L/200.00	Cs
cm		mm	mm	
90.0	30	-1.42	9.00	6.3

Verifica spostamento elastico dovuto ai soli carichi variabili (§4.2.4.2.1 - NTC)

x	Comb.	δ_2	L/250.00	Cs
cm		mm	mm	

x	Comb.	δ^2	L/250.00	Cs
90.0	30	-1.71	7.20	4.2

Travata: 24 [1064,1036]: L=180.0 cm, Modello =Appoggiata, Crit.Prog: Acciaio_Flessione, $\delta c = 0.0$ cm: **Verificato**

Verifica spostamento nello stato finale (§4.2.4.2.1 - NTC)

x	Comb.	δ_{max}	L/200.00	Cs
cm		mm	mm	
90.0	30	-1.42	9.00	6.3

Verifica spostamento elastico dovuto ai soli carichi variabili (§4.2.4.2.1 - NTC)

x	Comb.	δ^2	L/250.00	Cs
cm		mm	mm	
90.0	30	-1.71	7.20	4.2

Travata: 24 [1036,1069]: L=180.0 cm, Modello =Appoggiata, Crit.Prog: Acciaio_Flessione, $\delta c = 0.0$ cm: **Verificato**

Verifica spostamento nello stato finale (§4.2.4.2.1 - NTC)

x	Comb.	δ_{max}	L/200.00	Cs
cm		mm	mm	
90.0	30	-1.42	9.00	6.3

Verifica spostamento elastico dovuto ai soli carichi variabili (§4.2.4.2.1 - NTC)

x	Comb.	δ^2	L/250.00	Cs
cm		mm	mm	
90.0	30	-1.71	7.20	4.2

Travata: 24 [1069,1071]: L=180.0 cm, Modello =Appoggiata, Crit.Prog: Acciaio_Flessione, $\delta c = 0.0$ cm: **Verificato**

Verifica spostamento nello stato finale (§4.2.4.2.1 - NTC)

x	Comb.	δ_{max}	L/200.00	Cs
cm		mm	mm	
90.0	30	-1.42	9.00	6.3

Verifica spostamento elastico dovuto ai soli carichi variabili (§4.2.4.2.1 - NTC)

x	Comb.	δ^2	L/250.00	Cs
cm		mm	mm	
90.0	30	-1.71	7.20	4.2

Travata: 24 [1071,1073]: L=180.0 cm, Modello =Appoggiata, Crit.Prog: Acciaio_Flessione, $\delta c = 0.0$ cm: **Verificato**

Verifica spostamento nello stato finale (§4.2.4.2.1 - NTC)

x	Comb.	δ_{max}	L/200.00	Cs
cm		mm	mm	
90.0	30	-1.42	9.00	6.3

Verifica spostamento elastico dovuto ai soli carichi variabili (§4.2.4.2.1 - NTC)

x	Comb.	δ^2	L/250.00	Cs
cm		mm	mm	
90.0	30	-1.71	7.20	4.2

Travata: 24 [1073,1037]: L=177.5 cm, Modello =Appoggiata, Crit.Prog: Acciaio_Flessione, $\delta c = 0.0$ cm: **Verificato**

Verifica spostamento nello stato finale (§4.2.4.2.1 - NTC)

x	Comb.	δ_{max}	L/200.00	Cs
cm		mm	mm	
88.7	30	-1.36	8.87	6.5

Verifica spostamento elastico dovuto ai soli carichi variabili (§4.2.4.2.1 - NTC)

x	Comb.	δ^2	L/250.00	Cs
cm		mm	mm	
88.7	30	-1.63	7.10	4.4

Travata: 25 [1081,1083]: L=180.0 cm, Modello =Appoggiata, Crit.Prog: Acciaio_Flessione, $\delta c = 0.0$ cm: **Verificato**

Verifica spostamento nello stato finale (§4.2.4.2.1 - NTC)

x	Comb.	δ_{max}	L/200.00	Cs
cm		mm	mm	
90.0	30	-1.54	9.00	5.8

Verifica spostamento elastico dovuto ai soli carichi variabili (§4.2.4.2.1 - NTC)

x	Comb.	δ_2	L/250.00	Cs
cm		mm	mm	
90.0	30	-1.86	7.20	3.9

Travata: 25 [1083,1084]: L=180.0 cm, Modello =Appoggiata, Crit.Prog: Acciaio_Flessione, $\delta c = 0.0$ cm: **Verificato**

Verifica spostamento nello stato finale (§4.2.4.2.1 - NTC)

x	Comb.	δ_{max}	L/200.00	Cs
cm		mm	mm	
90.0	30	-1.54	9.00	5.8

Verifica spostamento elastico dovuto ai soli carichi variabili (§4.2.4.2.1 - NTC)

x	Comb.	δ_2	L/250.00	Cs
cm		mm	mm	
90.0	30	-1.86	7.20	3.9

Travata: 25 [1084,1087]: L=180.0 cm, Modello =Appoggiata, Crit.Prog: Acciaio_Flessione, $\delta c = 0.0$ cm: **Verificato**

Verifica spostamento nello stato finale (§4.2.4.2.1 - NTC)

x	Comb.	δ_{max}	L/200.00	Cs
cm		mm	mm	
90.0	30	-1.54	9.00	5.8

Verifica spostamento elastico dovuto ai soli carichi variabili (§4.2.4.2.1 - NTC)

x	Comb.	δ_2	L/250.00	Cs
cm		mm	mm	
90.0	30	-1.86	7.20	3.9

Travata: 25 [1087,1089]: L=180.0 cm, Modello =Appoggiata, Crit.Prog: Acciaio_Flessione, $\delta c = 0.0$ cm: **Verificato**

Verifica spostamento nello stato finale (§4.2.4.2.1 - NTC)

x	Comb.	δ_{max}	L/200.00	Cs
cm		mm	mm	
90.0	30	-1.54	9.00	5.8

Verifica spostamento elastico dovuto ai soli carichi variabili (§4.2.4.2.1 - NTC)

x	Comb.	δ_2	L/250.00	Cs
cm		mm	mm	
90.0	30	-1.86	7.20	3.9

Travata: 25 [1089,1091]: L=180.0 cm, Modello =Appoggiata, Crit.Prog: Acciaio_Flessione, $\delta c = 0.0$ cm: **Verificato**

Verifica spostamento nello stato finale (§4.2.4.2.1 - NTC)

x	Comb.	δ_{max}	L/200.00	Cs
cm		mm	mm	
90.0	30	-1.54	9.00	5.8

Verifica spostamento elastico dovuto ai soli carichi variabili (§4.2.4.2.1 - NTC)

x	Comb.	δ_2	L/250.00	Cs
cm		mm	mm	
90.0	30	-1.86	7.20	3.9

Travata: 25 [1091,1092]: L=180.0 cm, Modello =Appoggiata, Crit.Prog: Acciaio_Flessione, $\delta c = 0.0$ cm: **Verificato**

Verifica spostamento nello stato finale (§4.2.4.2.1 - NTC)

x	Comb.	δ_{max}	L/200.00	Cs
cm		mm	mm	
90.0	30	-1.54	9.00	5.8

Verifica spostamento elastico dovuto ai soli carichi variabili (§4.2.4.2.1 - NTC)

x	Comb.	δ_2	L/250.00	Cs
cm		mm	mm	
90.0	30	-1.86	7.20	3.9

Travata: 25 [1092,1095]: L=180.0 cm, Modello =Appoggiata, Crit.Prog: Acciaio_Flessione, $\delta_c = 0.0$ cm: **Verificato**

Verifica spostamento nello stato finale (§4.2.4.2.1 - NTC)

x	Comb.	δ_{max}	L/200.00	Cs
cm		mm	mm	
90.0	30	-1.54	9.00	5.8

Verifica spostamento elastico dovuto ai soli carichi variabili (§4.2.4.2.1 - NTC)

x	Comb.	δ_2	L/250.00	Cs
cm		mm	mm	
90.0	30	-1.86	7.20	3.9

Travata: 25 [1095,1097]: L=180.0 cm, Modello =Appoggiata, Crit.Prog: Acciaio_Flessione, $\delta_c = 0.0$ cm: **Verificato**

Verifica spostamento nello stato finale (§4.2.4.2.1 - NTC)

x	Comb.	δ_{max}	L/200.00	Cs
cm		mm	mm	
90.0	30	-1.54	9.00	5.8

Verifica spostamento elastico dovuto ai soli carichi variabili (§4.2.4.2.1 - NTC)

x	Comb.	δ_2	L/250.00	Cs
cm		mm	mm	
90.0	30	-1.86	7.20	3.9

Travata: 25 [1097,1098]: L=180.0 cm, Modello =Appoggiata, Crit.Prog: Acciaio_Flessione, $\delta_c = 0.0$ cm: **Verificato**

Verifica spostamento nello stato finale (§4.2.4.2.1 - NTC)

x	Comb.	δ_{max}	L/200.00	Cs
cm		mm	mm	
90.0	30	-1.54	9.00	5.8

Verifica spostamento elastico dovuto ai soli carichi variabili (§4.2.4.2.1 - NTC)

x	Comb.	δ_2	L/250.00	Cs
cm		mm	mm	
90.0	30	-1.86	7.20	3.9

Travata: 25 [1098,1100]: L=180.0 cm, Modello =Appoggiata, Crit.Prog: Acciaio_Flessione, $\delta_c = 0.0$ cm: **Verificato**

Verifica spostamento nello stato finale (§4.2.4.2.1 - NTC)

x	Comb.	δ_{max}	L/200.00	Cs
cm		mm	mm	
90.0	30	-1.54	9.00	5.8

Verifica spostamento elastico dovuto ai soli carichi variabili (§4.2.4.2.1 - NTC)

x	Comb.	δ_2	L/250.00	Cs
cm		mm	mm	
90.0	30	-1.86	7.20	3.9

Travata: 25 [1100,1102]: L=180.0 cm, Modello =Appoggiata, Crit.Prog: Acciaio_Flessione, $\delta_c = 0.0$ cm: **Verificato**

Verifica spostamento nello stato finale (§4.2.4.2.1 - NTC)

x	Comb.	δ_{max}	L/200.00	Cs
cm		mm	mm	
90.0	30	-1.54	9.00	5.8

Verifica spostamento elastico dovuto ai soli carichi variabili (§4.2.4.2.1 - NTC)

x	Comb.	δ_2	L/250.00	Cs
cm		mm	mm	
90.0	30	-1.86	7.20	3.9

Travata: 25 [1102,1104]: L=180.0 cm, Modello =Appoggiata, Crit.Prog: Acciaio_Flessione, $\delta_c = 0.0$ cm: **Verificato**

Verifica spostamento nello stato finale (§4.2.4.2.1 - NTC)

x	Comb.	δ_{max}	L/200.00	Cs
cm		mm	mm	
90.0	30	-1.54	9.00	5.8

Verifica spostamento elastico dovuto ai soli carichi variabili (§4.2.4.2.1 - NTC)

x	Comb.	δ_2	L/250.00	Cs
cm		mm	mm	
90.0	30	-1.86	7.20	3.9

Travata: 25 [1104,1105]: L=180.0 cm, Modello =Appoggiata, Crit.Prog: Acciaio_Flessione, $\delta_c = 0.0$ cm: **Verificato**

Verifica spostamento nello stato finale (§4.2.4.2.1 - NTC)

x	Comb.	δ_{max}	L/200.00	Cs
cm		mm	mm	
90.0	30	-1.54	9.00	5.8

Verifica spostamento elastico dovuto ai soli carichi variabili (§4.2.4.2.1 - NTC)

x	Comb.	δ_2	L/250.00	Cs
cm		mm	mm	
90.0	30	-1.86	7.20	3.9

Travata: 25 [1105,1108]: L=180.0 cm, Modello =Appoggiata, Crit.Prog: Acciaio_Flessione, $\delta_c = 0.0$ cm: **Verificato**

Verifica spostamento nello stato finale (§4.2.4.2.1 - NTC)

x	Comb.	δ_{max}	L/200.00	Cs
cm		mm	mm	
90.0	30	-1.54	9.00	5.8

Verifica spostamento elastico dovuto ai soli carichi variabili (§4.2.4.2.1 - NTC)

x	Comb.	δ_2	L/250.00	Cs
cm		mm	mm	
90.0	30	-1.86	7.20	3.9

Travata: 25 [1108,1109]: L=180.0 cm, Modello =Appoggiata, Crit.Prog: Acciaio_Flessione, $\delta_c = 0.0$ cm: **Verificato**

Verifica spostamento nello stato finale (§4.2.4.2.1 - NTC)

x	Comb.	δ_{max}	L/200.00	Cs
cm		mm	mm	
90.0	30	-1.54	9.00	5.8

Verifica spostamento elastico dovuto ai soli carichi variabili (§4.2.4.2.1 - NTC)

x	Comb.	δ_2	L/250.00	Cs
cm		mm	mm	
90.0	30	-1.86	7.20	3.9

Travata: 25 [1109,1111]: L=180.0 cm, Modello =Appoggiata, Crit.Prog: Acciaio_Flessione, $\delta_c = 0.0$ cm: **Verificato**

Verifica spostamento nello stato finale (§4.2.4.2.1 - NTC)

x	Comb.	δ_{max}	L/200.00	Cs
cm		mm	mm	

x	Comb.	δ_{max}	L/200.00	Cs
90.0	30	-1.54	9.00	5.8

Verifica spostamento elastico dovuto ai soli carichi variabili (§4.2.4.2.1 - NTC)

x	Comb.	δ_2	L/250.00	Cs
cm		mm	mm	
90.0	30	-1.86	7.20	3.9

Travata: 25 [1111,1112]: L=177.5 cm, Modello =Appoggiata, Crit.Prog: Acciaio_Flessione, $\delta_c = 0.0$ cm: **Verificato**

Verifica spostamento nello stato finale (§4.2.4.2.1 - NTC)

x	Comb.	δ_{max}	L/200.00	Cs
cm		mm	mm	
88.7	30	-1.47	8.87	6.0

Verifica spostamento elastico dovuto ai soli carichi variabili (§4.2.4.2.1 - NTC)

x	Comb.	δ_2	L/250.00	Cs
cm		mm	mm	
88.7	30	-1.77	7.10	4.0

Travata: 26 [1080,1039]: L=180.0 cm, Modello =Appoggiata, Crit.Prog: Acciaio_Flessione, $\delta_c = 0.0$ cm: **Verificato**

Verifica spostamento nello stato finale (§4.2.4.2.1 - NTC)

x	Comb.	δ_{max}	L/200.00	Cs
cm		mm	mm	
90.0	32	-1.11	9.00	8.1

Verifica spostamento elastico dovuto ai soli carichi variabili (§4.2.4.2.1 - NTC)

x	Comb.	δ_2	L/250.00	Cs
cm		mm	mm	
90.0	32	-1.43	7.20	5.0

Travata: 26 [1039,1085]: L=180.0 cm, Modello =Appoggiata, Crit.Prog: Acciaio_Flessione, $\delta_c = 0.0$ cm: **Verificato**

Verifica spostamento nello stato finale (§4.2.4.2.1 - NTC)

x	Comb.	δ_{max}	L/200.00	Cs
cm		mm	mm	
90.0	32	-1.11	9.00	8.1

Verifica spostamento elastico dovuto ai soli carichi variabili (§4.2.4.2.1 - NTC)

x	Comb.	δ_2	L/250.00	Cs
cm		mm	mm	
90.0	32	-1.43	7.20	5.0

Travata: 26 [1085,1086]: L=180.0 cm, Modello =Appoggiata, Crit.Prog: Acciaio_Flessione, $\delta_c = 0.0$ cm: **Verificato**

Verifica spostamento nello stato finale (§4.2.4.2.1 - NTC)

x	Comb.	δ_{max}	L/200.00	Cs
cm		mm	mm	
90.0	32	-1.11	9.00	8.1

Verifica spostamento elastico dovuto ai soli carichi variabili (§4.2.4.2.1 - NTC)

x	Comb.	δ_2	L/250.00	Cs
cm		mm	mm	
90.0	32	-1.43	7.20	5.0

Travata: 26 [1086,1088]: L=180.0 cm, Modello =Appoggiata, Crit.Prog: Acciaio_Flessione, $\delta_c = 0.0$ cm: **Verificato**

Verifica spostamento nello stato finale (§4.2.4.2.1 - NTC)

x	Comb.	δ_{max}	L/200.00	Cs
cm		mm	mm	
90.0	32	-1.11	9.00	8.1

Verifica spostamento elastico dovuto ai soli carichi variabili (§4.2.4.2.1 - NTC)

x	Comb.	δ_2	L/250.00	Cs
cm		mm	mm	
90.0	32	-1.43	7.20	5.0

Travata: 26 [1088,1040]: L=180.0 cm, Modello =Appoggiata, Crit.Prog: Acciaio_Flessione, $\delta_c = 0.0$ cm: **Verificato**

Verifica spostamento nello stato finale (§4.2.4.2.1 - NTC)

x	Comb.	δ_{max}	L/200.00	Cs
cm		mm	mm	
90.0	32	-1.11	9.00	8.1

Verifica spostamento elastico dovuto ai soli carichi variabili (§4.2.4.2.1 - NTC)

x	Comb.	δ_2	L/250.00	Cs
cm		mm	mm	
90.0	32	-1.43	7.20	5.0

Travata: 26 [1040,1093]: L=180.0 cm, Modello =Appoggiata, Crit.Prog: Acciaio_Flessione, $\delta_c = 0.0$ cm: **Verificato**

Verifica spostamento nello stato finale (§4.2.4.2.1 - NTC)

x	Comb.	δ_{max}	L/200.00	Cs
cm		mm	mm	
90.0	32	-1.11	9.00	8.1

Verifica spostamento elastico dovuto ai soli carichi variabili (§4.2.4.2.1 - NTC)

x	Comb.	δ_2	L/250.00	Cs
cm		mm	mm	
90.0	32	-1.43	7.20	5.0

Travata: 26 [1093,1094]: L=180.0 cm, Modello =Appoggiata, Crit.Prog: Acciaio_Flessione, $\delta_c = 0.0$ cm: **Verificato**

Verifica spostamento nello stato finale (§4.2.4.2.1 - NTC)

x	Comb.	δ_{max}	L/200.00	Cs
cm		mm	mm	
90.0	32	-1.11	9.00	8.1

Verifica spostamento elastico dovuto ai soli carichi variabili (§4.2.4.2.1 - NTC)

x	Comb.	δ_2	L/250.00	Cs
cm		mm	mm	
90.0	32	-1.43	7.20	5.0

Travata: 26 [1094,1096]: L=180.0 cm, Modello =Appoggiata, Crit.Prog: Acciaio_Flessione, $\delta_c = 0.0$ cm: **Verificato**

Verifica spostamento nello stato finale (§4.2.4.2.1 - NTC)

x	Comb.	δ_{max}	L/200.00	Cs
cm		mm	mm	
90.0	32	-1.11	9.00	8.1

Verifica spostamento elastico dovuto ai soli carichi variabili (§4.2.4.2.1 - NTC)

x	Comb.	δ_2	L/250.00	Cs
cm		mm	mm	
90.0	32	-1.43	7.20	5.0

Travata: 26 [1096,1041]: L=180.0 cm, Modello =Appoggiata, Crit.Prog: Acciaio_Flessione, $\delta_c = 0.0$ cm: **Verificato**

Verifica spostamento nello stato finale (§4.2.4.2.1 - NTC)

x	Comb.	δ_{max}	L/200.00	Cs
cm		mm	mm	
90.0	32	-1.11	9.00	8.1

Verifica spostamento elastico dovuto ai soli carichi variabili (§4.2.4.2.1 - NTC)

x	Comb.	δ_2	L/250.00	Cs
cm		mm	mm	
90.0	32	-1.43	7.20	5.0

Travata: 26 [1041,1133]: L=180.0 cm, Modello =Appoggiata, Crit.Prog: Acciaio_Flessione, $\delta_c = 0.0$ cm: **Verificato**

Verifica spostamento nello stato finale (§4.2.4.2.1 - NTC)

x	Comb.	δ_{max}	L/200.00	Cs
cm		mm	mm	
90.0	32	-1.11	9.00	8.1

Verifica spostamento elastico dovuto ai soli carichi variabili (§4.2.4.2.1 - NTC)

x	Comb.	δ_2	L/250.00	Cs
cm		mm	mm	
90.0	32	-1.43	7.20	5.0

Travata: 26 [1133,1135]: L=180.0 cm, Modello =Appoggiata, Crit.Prog: Acciaio_Flessione, $\delta_c = 0.0$ cm: **Verificato**

Verifica spostamento nello stato finale (§4.2.4.2.1 - NTC)

x	Comb.	δ_{max}	L/200.00	Cs
cm		mm	mm	
90.0	32	-1.11	9.00	8.1

Verifica spostamento elastico dovuto ai soli carichi variabili (§4.2.4.2.1 - NTC)

x	Comb.	δ_2	L/250.00	Cs
cm		mm	mm	
90.0	32	-1.43	7.20	5.0

Travata: 26 [1135,1136]: L=180.0 cm, Modello =Appoggiata, Crit.Prog: Acciaio_Flessione, $\delta_c = 0.0$ cm: **Verificato**

Verifica spostamento nello stato finale (§4.2.4.2.1 - NTC)

x	Comb.	δ_{max}	L/200.00	Cs
cm		mm	mm	
90.0	32	-1.11	9.00	8.1

Verifica spostamento elastico dovuto ai soli carichi variabili (§4.2.4.2.1 - NTC)

x	Comb.	δ_2	L/250.00	Cs
cm		mm	mm	
90.0	32	-1.43	7.20	5.0

Travata: 26 [1136,1042]: L=180.0 cm, Modello =Appoggiata, Crit.Prog: Acciaio_Flessione, $\delta_c = 0.0$ cm: **Verificato**

Verifica spostamento nello stato finale (§4.2.4.2.1 - NTC)

x	Comb.	δ_{max}	L/200.00	Cs
cm		mm	mm	
90.0	32	-1.11	9.00	8.1

Verifica spostamento elastico dovuto ai soli carichi variabili (§4.2.4.2.1 - NTC)

x	Comb.	δ_2	L/250.00	Cs
cm		mm	mm	
90.0	32	-1.43	7.20	5.0

Travata: 26 [1042,1138]: L=180.0 cm, Modello =Appoggiata, Crit.Prog: Acciaio_Flessione, $\delta_c = 0.0$ cm: **Verificato**

Verifica spostamento nello stato finale (§4.2.4.2.1 - NTC)

x	Comb.	δ_{max}	L/200.00	Cs
cm		mm	mm	
90.0	32	-1.11	9.00	8.1

Verifica spostamento elastico dovuto ai soli carichi variabili (§4.2.4.2.1 - NTC)

x	Comb.	δ_2	L/250.00	Cs
cm		mm	mm	

x	Comb.	δ^2	L/250.00	Cs
90.0	32	-1.43	7.20	5.0

Travata: 26 [1138,1139]: L=180.0 cm, Modello =Appoggiata, Crit.Prog: Acciaio_Flessione, $\delta c = 0.0$ cm: **Verificato**

Verifica spostamento nello stato finale (§4.2.4.2.1 - NTC)

x	Comb.	δ_{max}	L/200.00	Cs
cm		mm	mm	
90.0	32	-1.11	9.00	8.1

Verifica spostamento elastico dovuto ai soli carichi variabili (§4.2.4.2.1 - NTC)

x	Comb.	δ^2	L/250.00	Cs
cm		mm	mm	
90.0	32	-1.43	7.20	5.0

Travata: 26 [1139,1140]: L=180.0 cm, Modello =Appoggiata, Crit.Prog: Acciaio_Flessione, $\delta c = 0.0$ cm: **Verificato**

Verifica spostamento nello stato finale (§4.2.4.2.1 - NTC)

x	Comb.	δ_{max}	L/200.00	Cs
cm		mm	mm	
90.0	32	-1.11	9.00	8.1

Verifica spostamento elastico dovuto ai soli carichi variabili (§4.2.4.2.1 - NTC)

x	Comb.	δ^2	L/250.00	Cs
cm		mm	mm	
90.0	32	-1.43	7.20	5.0

Travata: 26 [1140,1043]: L=177.5 cm, Modello =Appoggiata, Crit.Prog: Acciaio_Flessione, $\delta c = 0.0$ cm: **Verificato**

Verifica spostamento nello stato finale (§4.2.4.2.1 - NTC)

x	Comb.	δ_{max}	L/200.00	Cs
cm		mm	mm	
88.7	32	-1.06	8.87	8.3

Verifica spostamento elastico dovuto ai soli carichi variabili (§4.2.4.2.1 - NTC)

x	Comb.	δ^2	L/250.00	Cs
cm		mm	mm	
88.7	32	-1.37	7.10	5.2

Travata: 27 [1118,1119]: L=180.0 cm, Modello =Appoggiata, Crit.Prog: Acciaio_Flessione, $\delta c = 0.0$ cm: **Verificato**

Verifica spostamento nello stato finale (§4.2.4.2.1 - NTC)

x	Comb.	δ_{max}	L/200.00	Cs
cm		mm	mm	
90.0	32	-1.04	9.00	8.7

Verifica spostamento elastico dovuto ai soli carichi variabili (§4.2.4.2.1 - NTC)

x	Comb.	δ^2	L/250.00	Cs
cm		mm	mm	
90.0	32	-1.33	7.20	5.4

Travata: 27 [1119,1121]: L=180.0 cm, Modello =Appoggiata, Crit.Prog: Acciaio_Flessione, $\delta c = 0.0$ cm: **Verificato**

Verifica spostamento nello stato finale (§4.2.4.2.1 - NTC)

x	Comb.	δ_{max}	L/200.00	Cs
cm		mm	mm	
90.0	32	-1.04	9.00	8.7

Verifica spostamento elastico dovuto ai soli carichi variabili (§4.2.4.2.1 - NTC)

x	Comb.	δ^2	L/250.00	Cs
cm		mm	mm	
90.0	32	-1.33	7.20	5.4

Travata: 27 [1121,1123]: L=180.0 cm, Modello =Appoggiata, Crit.Prog: Acciaio_Flessione, $\delta c = 0.0$ cm: **Verificato**

Verifica spostamento nello stato finale (§4.2.4.2.1 - NTC)

x	Comb.	δ_{max}	L/200.00	Cs
cm		mm	mm	
90.0	32	-1.04	9.00	8.7

Verifica spostamento elastico dovuto ai soli carichi variabili (§4.2.4.2.1 - NTC)

x	Comb.	δ_2	L/250.00	Cs
cm		mm	mm	
90.0	32	-1.33	7.20	5.4

Travata: 27 [1123,1125]: L=180.0 cm, Modello =Appoggiata, Crit.Prog: Acciaio_Flessione, $\delta c = 0.0$ cm: **Verificato**

Verifica spostamento nello stato finale (§4.2.4.2.1 - NTC)

x	Comb.	δ_{max}	L/200.00	Cs
cm		mm	mm	
90.0	32	-1.04	9.00	8.7

Verifica spostamento elastico dovuto ai soli carichi variabili (§4.2.4.2.1 - NTC)

x	Comb.	δ_2	L/250.00	Cs
cm		mm	mm	
90.0	32	-1.33	7.20	5.4

Travata: 27 [1125,1126]: L=180.0 cm, Modello =Appoggiata, Crit.Prog: Acciaio_Flessione, $\delta c = 0.0$ cm: **Verificato**

Verifica spostamento nello stato finale (§4.2.4.2.1 - NTC)

x	Comb.	δ_{max}	L/200.00	Cs
cm		mm	mm	
90.0	32	-1.04	9.00	8.7

Verifica spostamento elastico dovuto ai soli carichi variabili (§4.2.4.2.1 - NTC)

x	Comb.	δ_2	L/250.00	Cs
cm		mm	mm	
90.0	32	-1.33	7.20	5.4

Travata: 27 [1126,1145]: L=180.0 cm, Modello =Appoggiata, Crit.Prog: Acciaio_Flessione, $\delta c = 0.0$ cm: **Verificato**

Verifica spostamento nello stato finale (§4.2.4.2.1 - NTC)

x	Comb.	δ_{max}	L/200.00	Cs
cm		mm	mm	
90.0	32	-1.04	9.00	8.7

Verifica spostamento elastico dovuto ai soli carichi variabili (§4.2.4.2.1 - NTC)

x	Comb.	δ_2	L/250.00	Cs
cm		mm	mm	
90.0	32	-1.33	7.20	5.4

Travata: 27 [1145,1146]: L=180.0 cm, Modello =Appoggiata, Crit.Prog: Acciaio_Flessione, $\delta c = 0.0$ cm: **Verificato**

Verifica spostamento nello stato finale (§4.2.4.2.1 - NTC)

x	Comb.	δ_{max}	L/200.00	Cs
cm		mm	mm	
90.0	32	-1.04	9.00	8.7

Verifica spostamento elastico dovuto ai soli carichi variabili (§4.2.4.2.1 - NTC)

x	Comb.	δ_2	L/250.00	Cs
cm		mm	mm	
90.0	32	-1.33	7.20	5.4

Travata: 27 [1146,1147]: L=180.0 cm, Modello =Appoggiata, Crit.Prog: Acciaio_Flessione, $\delta c = 0.0$ cm: **Verificato**

Verifica spostamento nello stato finale (§4.2.4.2.1 - NTC)

x	Comb.	δ_{max}	L/200.00	Cs
cm		mm	mm	
90.0	32	-1.04	9.00	8.7

Verifica spostamento elastico dovuto ai soli carichi variabili (§4.2.4.2.1 - NTC)

x	Comb.	δ_2	L/250.00	Cs
cm		mm	mm	
90.0	32	-1.33	7.20	5.4

Travata: 27 [1147,1148]: L=180.0 cm, Modello =Appoggiata, Crit.Prog: Acciaio_Flessione, $\delta_c = 0.0$ cm: **Verificato**

Verifica spostamento nello stato finale (§4.2.4.2.1 - NTC)

x	Comb.	δ_{max}	L/200.00	Cs
cm		mm	mm	
90.0	32	-1.04	9.00	8.7

Verifica spostamento elastico dovuto ai soli carichi variabili (§4.2.4.2.1 - NTC)

x	Comb.	δ_2	L/250.00	Cs
cm		mm	mm	
90.0	32	-1.33	7.20	5.4

Travata: 27 [1148,1149]: L=180.0 cm, Modello =Appoggiata, Crit.Prog: Acciaio_Flessione, $\delta_c = 0.0$ cm: **Verificato**

Verifica spostamento nello stato finale (§4.2.4.2.1 - NTC)

x	Comb.	δ_{max}	L/200.00	Cs
cm		mm	mm	
90.0	32	-1.04	9.00	8.7

Verifica spostamento elastico dovuto ai soli carichi variabili (§4.2.4.2.1 - NTC)

x	Comb.	δ_2	L/250.00	Cs
cm		mm	mm	
90.0	32	-1.33	7.20	5.4

Travata: 27 [1149,1150]: L=180.0 cm, Modello =Appoggiata, Crit.Prog: Acciaio_Flessione, $\delta_c = 0.0$ cm: **Verificato**

Verifica spostamento nello stato finale (§4.2.4.2.1 - NTC)

x	Comb.	δ_{max}	L/200.00	Cs
cm		mm	mm	
90.0	32	-1.04	9.00	8.7

Verifica spostamento elastico dovuto ai soli carichi variabili (§4.2.4.2.1 - NTC)

x	Comb.	δ_2	L/250.00	Cs
cm		mm	mm	
90.0	32	-1.33	7.20	5.4

Travata: 27 [1150,1151]: L=180.0 cm, Modello =Appoggiata, Crit.Prog: Acciaio_Flessione, $\delta_c = 0.0$ cm: **Verificato**

Verifica spostamento nello stato finale (§4.2.4.2.1 - NTC)

x	Comb.	δ_{max}	L/200.00	Cs
cm		mm	mm	
90.0	32	-1.04	9.00	8.7

Verifica spostamento elastico dovuto ai soli carichi variabili (§4.2.4.2.1 - NTC)

x	Comb.	δ_2	L/250.00	Cs
cm		mm	mm	
90.0	32	-1.33	7.20	5.4

Travata: 27 [1151,1153]: L=180.0 cm, Modello =Appoggiata, Crit.Prog: Acciaio_Flessione, $\delta_c = 0.0$ cm: **Verificato**

Verifica spostamento nello stato finale (§4.2.4.2.1 - NTC)

x	Comb.	δ_{max}	L/200.00	Cs
cm		mm	mm	
90.0	32	-1.04	9.00	8.7

Verifica spostamento elastico dovuto ai soli carichi variabili (§4.2.4.2.1 - NTC)

x	Comb.	δ_2	L/250.00	Cs
cm		mm	mm	
90.0	32	-1.33	7.20	5.4

Travata: 27 [1153,1154]: L=180.0 cm, Modello =Appoggiata, Crit.Prog: Acciaio_Flessione, $\delta_c = 0.0$ cm: **Verificato**

Verifica spostamento nello stato finale (§4.2.4.2.1 - NTC)

x	Comb.	δ_{max}	L/200.00	Cs
cm		mm	mm	
90.0	32	-1.04	9.00	8.7

Verifica spostamento elastico dovuto ai soli carichi variabili (§4.2.4.2.1 - NTC)

x	Comb.	δ_2	L/250.00	Cs
cm		mm	mm	
90.0	32	-1.33	7.20	5.4

Travata: 27 [1154,1156]: L=180.0 cm, Modello =Appoggiata, Crit.Prog: Acciaio_Flessione, $\delta_c = 0.0$ cm: **Verificato**

Verifica spostamento nello stato finale (§4.2.4.2.1 - NTC)

x	Comb.	δ_{max}	L/200.00	Cs
cm		mm	mm	
90.0	32	-1.04	9.00	8.7

Verifica spostamento elastico dovuto ai soli carichi variabili (§4.2.4.2.1 - NTC)

x	Comb.	δ_2	L/250.00	Cs
cm		mm	mm	
90.0	32	-1.33	7.20	5.4

Travata: 27 [1156,1158]: L=180.0 cm, Modello =Appoggiata, Crit.Prog: Acciaio_Flessione, $\delta_c = 0.0$ cm: **Verificato**

Verifica spostamento nello stato finale (§4.2.4.2.1 - NTC)

x	Comb.	δ_{max}	L/200.00	Cs
cm		mm	mm	
90.0	32	-1.04	9.00	8.7

Verifica spostamento elastico dovuto ai soli carichi variabili (§4.2.4.2.1 - NTC)

x	Comb.	δ_2	L/250.00	Cs
cm		mm	mm	
90.0	32	-1.33	7.20	5.4

Travata: 27 [1158,1159]: L=177.5 cm, Modello =Appoggiata, Crit.Prog: Acciaio_Flessione, $\delta_c = 0.0$ cm: **Verificato**

Verifica spostamento nello stato finale (§4.2.4.2.1 - NTC)

x	Comb.	δ_{max}	L/200.00	Cs
cm		mm	mm	
88.7	32	-0.99	8.87	8.9

Verifica spostamento elastico dovuto ai soli carichi variabili (§4.2.4.2.1 - NTC)

x	Comb.	δ_2	L/250.00	Cs
cm		mm	mm	
88.7	32	-1.27	7.10	5.6

Travata: 28 [1045,1166]: L=180.0 cm, Modello =Appoggiata, Crit.Prog: Acciaio_Flessione, $\delta_c = 0.0$ cm: **Verificato**

Verifica spostamento nello stato finale (§4.2.4.2.1 - NTC)

x	Comb.	δ_{max}	L/200.00	Cs
cm		mm	mm	

x	Comb.	δ_{max}	L/200.00	Cs
90.0	32	-1.04	9.00	8.7

Verifica spostamento elastico dovuto ai soli carichi variabili (§4.2.4.2.1 - NTC)

x	Comb.	δ_2	L/250.00	Cs
cm		mm	mm	
90.0	32	-1.33	7.20	5.4

Travata: 28 [1166,1168]: L=180.0 cm, Modello =Appoggiata, Crit.Prog: Acciaio_Flessione, $\delta_c = 0.0$ cm: **Verificato**

Verifica spostamento nello stato finale (§4.2.4.2.1 - NTC)

x	Comb.	δ_{max}	L/200.00	Cs
cm		mm	mm	
90.0	32	-1.04	9.00	8.7

Verifica spostamento elastico dovuto ai soli carichi variabili (§4.2.4.2.1 - NTC)

x	Comb.	δ_2	L/250.00	Cs
cm		mm	mm	
90.0	32	-1.33	7.20	5.4

Travata: 28 [1168,1170]: L=180.0 cm, Modello =Appoggiata, Crit.Prog: Acciaio_Flessione, $\delta_c = 0.0$ cm: **Verificato**

Verifica spostamento nello stato finale (§4.2.4.2.1 - NTC)

x	Comb.	δ_{max}	L/200.00	Cs
cm		mm	mm	
90.0	32	-1.04	9.00	8.7

Verifica spostamento elastico dovuto ai soli carichi variabili (§4.2.4.2.1 - NTC)

x	Comb.	δ_2	L/250.00	Cs
cm		mm	mm	
90.0	32	-1.33	7.20	5.4

Travata: 28 [1170,1172]: L=180.0 cm, Modello =Appoggiata, Crit.Prog: Acciaio_Flessione, $\delta_c = 0.0$ cm: **Verificato**

Verifica spostamento nello stato finale (§4.2.4.2.1 - NTC)

x	Comb.	δ_{max}	L/200.00	Cs
cm		mm	mm	
90.0	32	-1.04	9.00	8.7

Verifica spostamento elastico dovuto ai soli carichi variabili (§4.2.4.2.1 - NTC)

x	Comb.	δ_2	L/250.00	Cs
cm		mm	mm	
90.0	32	-1.33	7.20	5.4

Travata: 28 [1172,1174]: L=180.0 cm, Modello =Appoggiata, Crit.Prog: Acciaio_Flessione, $\delta_c = 0.0$ cm: **Verificato**

Verifica spostamento nello stato finale (§4.2.4.2.1 - NTC)

x	Comb.	δ_{max}	L/200.00	Cs
cm		mm	mm	
90.0	32	-1.04	9.00	8.7

Verifica spostamento elastico dovuto ai soli carichi variabili (§4.2.4.2.1 - NTC)

x	Comb.	δ_2	L/250.00	Cs
cm		mm	mm	
90.0	32	-1.33	7.20	5.4

Travata: 28 [1174,1176]: L=180.0 cm, Modello =Appoggiata, Crit.Prog: Acciaio_Flessione, $\delta_c = 0.0$ cm: **Verificato**

Verifica spostamento nello stato finale (§4.2.4.2.1 - NTC)

x	Comb.	δ_{max}	L/200.00	Cs
cm		mm	mm	
90.0	32	-1.04	9.00	8.7

Verifica spostamento elastico dovuto ai soli carichi variabili (§4.2.4.2.1 - NTC)

x	Comb.	δ_2	L/250.00	Cs
cm		mm	mm	
90.0	32	-1.33	7.20	5.4

Travata: 28 [1176,1178]: L=180.0 cm, Modello =Appoggiata, Crit.Prog: Acciaio_Flessione, $\delta_c = 0.0$ cm: **Verificato**

Verifica spostamento nello stato finale (§4.2.4.2.1 - NTC)

x	Comb.	δ_{max}	L/200.00	Cs
cm		mm	mm	
90.0	32	-1.04	9.00	8.7

Verifica spostamento elastico dovuto ai soli carichi variabili (§4.2.4.2.1 - NTC)

x	Comb.	δ_2	L/250.00	Cs
cm		mm	mm	
90.0	32	-1.33	7.20	5.4

Travata: 28 [1178,1180]: L=180.0 cm, Modello =Appoggiata, Crit.Prog: Acciaio_Flessione, $\delta_c = 0.0$ cm: **Verificato**

Verifica spostamento nello stato finale (§4.2.4.2.1 - NTC)

x	Comb.	δ_{max}	L/200.00	Cs
cm		mm	mm	
90.0	32	-1.04	9.00	8.7

Verifica spostamento elastico dovuto ai soli carichi variabili (§4.2.4.2.1 - NTC)

x	Comb.	δ_2	L/250.00	Cs
cm		mm	mm	
90.0	32	-1.33	7.20	5.4

Travata: 28 [1180,1182]: L=180.0 cm, Modello =Appoggiata, Crit.Prog: Acciaio_Flessione, $\delta_c = 0.0$ cm: **Verificato**

Verifica spostamento nello stato finale (§4.2.4.2.1 - NTC)

x	Comb.	δ_{max}	L/200.00	Cs
cm		mm	mm	
90.0	32	-1.04	9.00	8.7

Verifica spostamento elastico dovuto ai soli carichi variabili (§4.2.4.2.1 - NTC)

x	Comb.	δ_2	L/250.00	Cs
cm		mm	mm	
90.0	32	-1.33	7.20	5.4

Travata: 28 [1182,1184]: L=180.0 cm, Modello =Appoggiata, Crit.Prog: Acciaio_Flessione, $\delta_c = 0.0$ cm: **Verificato**

Verifica spostamento nello stato finale (§4.2.4.2.1 - NTC)

x	Comb.	δ_{max}	L/200.00	Cs
cm		mm	mm	
90.0	32	-1.04	9.00	8.7

Verifica spostamento elastico dovuto ai soli carichi variabili (§4.2.4.2.1 - NTC)

x	Comb.	δ_2	L/250.00	Cs
cm		mm	mm	
90.0	32	-1.33	7.20	5.4

Travata: 28 [1184,1051]: L=180.0 cm, Modello =Appoggiata, Crit.Prog: Acciaio_Flessione, $\delta_c = 0.0$ cm: **Verificato**

Verifica spostamento nello stato finale (§4.2.4.2.1 - NTC)

x	Comb.	δ_{max}	L/200.00	Cs
cm		mm	mm	
90.0	32	-1.04	9.00	8.7

Verifica spostamento elastico dovuto ai soli carichi variabili (§4.2.4.2.1 - NTC)

x	Comb.	δ_2	L/250.00	Cs
cm		mm	mm	
90.0	32	-1.33	7.20	5.4

Travata: 28 [1051,1187]: L=180.0 cm, Modello =Appoggiata, Crit.Prog: Acciaio_Flessione, $\delta_c = 0.0$ cm: **Verificato**

Verifica spostamento nello stato finale (§4.2.4.2.1 - NTC)

x	Comb.	δ_{max}	L/200.00	Cs
cm		mm	mm	
90.0	32	-1.04	9.00	8.7

Verifica spostamento elastico dovuto ai soli carichi variabili (§4.2.4.2.1 - NTC)

x	Comb.	δ_2	L/250.00	Cs
cm		mm	mm	
90.0	32	-1.33	7.20	5.4

Travata: 28 [1187,1052]: L=180.0 cm, Modello =Appoggiata, Crit.Prog: Acciaio_Flessione, $\delta_c = 0.0$ cm: **Verificato**

Verifica spostamento nello stato finale (§4.2.4.2.1 - NTC)

x	Comb.	δ_{max}	L/200.00	Cs
cm		mm	mm	
90.0	32	-1.04	9.00	8.7

Verifica spostamento elastico dovuto ai soli carichi variabili (§4.2.4.2.1 - NTC)

x	Comb.	δ_2	L/250.00	Cs
cm		mm	mm	
90.0	32	-1.33	7.20	5.4

Travata: 28 [1052,1192]: L=180.0 cm, Modello =Appoggiata, Crit.Prog: Acciaio_Flessione, $\delta_c = 0.0$ cm: **Verificato**

Verifica spostamento nello stato finale (§4.2.4.2.1 - NTC)

x	Comb.	δ_{max}	L/200.00	Cs
cm		mm	mm	
90.0	32	-1.04	9.00	8.7

Verifica spostamento elastico dovuto ai soli carichi variabili (§4.2.4.2.1 - NTC)

x	Comb.	δ_2	L/250.00	Cs
cm		mm	mm	
90.0	32	-1.33	7.20	5.4

Travata: 28 [1192,1194]: L=180.0 cm, Modello =Appoggiata, Crit.Prog: Acciaio_Flessione, $\delta_c = 0.0$ cm: **Verificato**

Verifica spostamento nello stato finale (§4.2.4.2.1 - NTC)

x	Comb.	δ_{max}	L/200.00	Cs
cm		mm	mm	
90.0	32	-1.04	9.00	8.7

Verifica spostamento elastico dovuto ai soli carichi variabili (§4.2.4.2.1 - NTC)

x	Comb.	δ_2	L/250.00	Cs
cm		mm	mm	
90.0	32	-1.33	7.20	5.4

Travata: 28 [1194,1196]: L=180.0 cm, Modello =Appoggiata, Crit.Prog: Acciaio_Flessione, $\delta_c = 0.0$ cm: **Verificato**

Verifica spostamento nello stato finale (§4.2.4.2.1 - NTC)

x	Comb.	δ_{max}	L/200.00	Cs
cm		mm	mm	
90.0	32	-1.04	9.00	8.7

Verifica spostamento elastico dovuto ai soli carichi variabili (§4.2.4.2.1 - NTC)

x	Comb.	δ_2	L/250.00	Cs
cm		mm	mm	

x	Comb.	δ^2	L/250.00	Cs
90.0	32	-1.33	7.20	5.4

Travata: 28 [1196,1198]: L=177.5 cm, Modello =Appoggiata, Crit.Prog: Acciaio_Flessione, $\delta c = 0.0$ cm: **Verificato**

Verifica spostamento nello stato finale (§4.2.4.2.1 - NTC)

x	Comb.	δ_{max}	L/200.00	Cs
cm		mm	mm	
88.8	32	-0.99	8.88	8.9

Verifica spostamento elastico dovuto ai soli carichi variabili (§4.2.4.2.1 - NTC)

x	Comb.	δ^2	L/250.00	Cs
cm		mm	mm	
88.8	32	-1.27	7.10	5.6

Travata: 23 [1021,1014]: L=230.0 cm, Modello =Appoggiata, Crit.Prog: Acciaio_Flessione, $\delta c = 0.0$ cm: **Verificato**

Verifica spostamento nello stato finale (§4.2.4.2.1 - NTC)

x	Comb.	δ_{max}	L/200.00	Cs
cm		mm	mm	
115.0	30	-3.32	11.50	3.5

Verifica spostamento elastico dovuto ai soli carichi variabili (§4.2.4.2.1 - NTC)

x	Comb.	δ^2	L/250.00	Cs
cm		mm	mm	
115.0	30	-4.09	9.20	2.2

Travata: 26 [1038,1080]: L=230.0 cm, Modello =Appoggiata, Crit.Prog: Acciaio_Flessione, $\delta c = 0.0$ cm: **Verificato**

Verifica spostamento nello stato finale (§4.2.4.2.1 - NTC)

x	Comb.	δ_{max}	L/200.00	Cs
cm		mm	mm	
115.0	32	-2.51	11.50	4.6

Verifica spostamento elastico dovuto ai soli carichi variabili (§4.2.4.2.1 - NTC)

x	Comb.	δ^2	L/250.00	Cs
cm		mm	mm	
115.0	32	-3.36	9.20	2.7

Travata: 27 [1117,1118]: L=230.0 cm, Modello =Appoggiata, Crit.Prog: Acciaio_Flessione, $\delta c = 0.0$ cm: **Verificato**

Verifica spostamento nello stato finale (§4.2.4.2.1 - NTC)

x	Comb.	δ_{max}	L/200.00	Cs
cm		mm	mm	
115.0	32	-2.31	11.50	5.0

Verifica spostamento elastico dovuto ai soli carichi variabili (§4.2.4.2.1 - NTC)

x	Comb.	δ^2	L/250.00	Cs
cm		mm	mm	
115.0	32	-3.08	9.20	3.0

Travata: 28 [1044,1045]: L=230.0 cm, Modello =Appoggiata, Crit.Prog: Acciaio_Flessione, $\delta c = 0.0$ cm: **Verificato**

Verifica spostamento nello stato finale (§4.2.4.2.1 - NTC)

x	Comb.	δ_{max}	L/200.00	Cs
cm		mm	mm	
115.0	32	-2.31	11.50	5.0

Verifica spostamento elastico dovuto ai soli carichi variabili (§4.2.4.2.1 - NTC)

x	Comb.	δ^2	L/250.00	Cs
cm		mm	mm	
115.0	32	-3.08	9.20	3.0

Travata: 24 [1032,1018]: L=230.0 cm, Modello =Appoggiata, Crit.Prog: Acciaio_Flessione, $\delta c = 0.0$ cm: **Verificato**

Verifica spostamento nello stato finale (§4.2.4.2.1 - NTC)

x	Comb.	δ_{max}	L/200.00	Cs
cm		mm	mm	
115.0	30	-3.33	11.50	3.5

Verifica spostamento elastico dovuto ai soli carichi variabili (§4.2.4.2.1 - NTC)

x	Comb.	δ_2	L/250.00	Cs
cm		mm	mm	
115.0	30	-4.10	9.20	2.2

Travata: 25 [1079,1081]: L=230.0 cm, Modello =Appoggiata, Crit.Prog: Acciaio_Flessione, $\delta c = 0.0$ cm: **Verificato**

Verifica spostamento nello stato finale (§4.2.4.2.1 - NTC)

x	Comb.	δ_{max}	L/200.00	Cs
cm		mm	mm	
115.0	30	-3.64	11.50	3.2

Verifica spostamento elastico dovuto ai soli carichi variabili (§4.2.4.2.1 - NTC)

x	Comb.	δ_2	L/250.00	Cs
cm		mm	mm	
115.0	30	-4.49	9.20	2.0

Travata: 28 [1198,1200]: L=177.5 cm, Modello =Appoggiata, Crit.Prog: Acciaio_Flessione, $\delta c = 0.0$ cm: **Verificato**

Verifica spostamento nello stato finale (§4.2.4.2.1 - NTC)

x	Comb.	δ_{max}	L/200.00	Cs
cm		mm	mm	
88.8	32	-0.99	8.88	8.9

Verifica spostamento elastico dovuto ai soli carichi variabili (§4.2.4.2.1 - NTC)

x	Comb.	δ_2	L/250.00	Cs
cm		mm	mm	
88.8	32	-1.27	7.10	5.6

Travata: 25 [1112,1115]: L=177.5 cm, Modello =Appoggiata, Crit.Prog: Acciaio_Flessione, $\delta c = 0.0$ cm: **Verificato**

Verifica spostamento nello stato finale (§4.2.4.2.1 - NTC)

x	Comb.	δ_{max}	L/200.00	Cs
cm		mm	mm	
88.8	30	-1.47	8.88	6.0

Verifica spostamento elastico dovuto ai soli carichi variabili (§4.2.4.2.1 - NTC)

x	Comb.	δ_2	L/250.00	Cs
cm		mm	mm	
88.8	30	-1.77	7.10	4.0

Travata: 26 [1043,1142]: L=177.5 cm, Modello =Appoggiata, Crit.Prog: Acciaio_Flessione, $\delta c = 0.0$ cm: **Verificato**

Verifica spostamento nello stato finale (§4.2.4.2.1 - NTC)

x	Comb.	δ_{max}	L/200.00	Cs
cm		mm	mm	
88.8	32	-1.06	8.88	8.3

Verifica spostamento elastico dovuto ai soli carichi variabili (§4.2.4.2.1 - NTC)

x	Comb.	δ_2	L/250.00	Cs
cm		mm	mm	
88.8	32	-1.37	7.10	5.2

Travata: 27 [1159,1162]: L=177.5 cm, Modello =Appoggiata, Crit.Prog: Acciaio_Flessione, $\delta c = 0.0$ cm: **Verificato**

Verifica spostamento nello stato finale (§4.2.4.2.1 - NTC)

x	Comb.	δ_{max}	L/200.00	Cs
cm		mm	mm	
88.8	32	-0.99	8.88	8.9

Verifica spostamento elastico dovuto ai soli carichi variabili (§4.2.4.2.1 - NTC)

x	Comb.	δ_2	L/250.00	Cs
cm		mm	mm	
88.8	32	-1.27	7.10	5.6

Travata: 23 [1075,1076]: L=177.5 cm, Modello =Appoggiata, Crit.Prog: Acciaio_Flessione, $\delta_c = 0.0$ cm: **Verificato**

Verifica spostamento nello stato finale (§4.2.4.2.1 - NTC)

x	Comb.	δ_{max}	L/200.00	Cs
cm		mm	mm	
88.8	30	-1.36	8.88	6.5

Verifica spostamento elastico dovuto ai soli carichi variabili (§4.2.4.2.1 - NTC)

x	Comb.	δ_2	L/250.00	Cs
cm		mm	mm	
88.8	30	-1.63	7.10	4.4

Travata: 24 [1037,1077]: L=177.5 cm, Modello =Appoggiata, Crit.Prog: Acciaio_Flessione, $\delta_c = 0.0$ cm: **Verificato**

Verifica spostamento nello stato finale (§4.2.4.2.1 - NTC)

x	Comb.	δ_{max}	L/200.00	Cs
cm		mm	mm	
88.8	30	-1.36	8.88	6.5

Verifica spostamento elastico dovuto ai soli carichi variabili (§4.2.4.2.1 - NTC)

x	Comb.	δ_2	L/250.00	Cs
cm		mm	mm	
88.8	30	-1.63	7.10	4.4

Travata: 29 [1163,1012]: L=1256.0 cm, Modello =Appoggiata, Crit.Prog: Acciaio_Flessione, $\delta_c = 0.0$ cm: **Verificato**

Verifica spostamento nello stato finale (§4.2.4.2.1 - NTC)

x	Comb.	δ_{max}	L/200.00	Cs
cm		mm	mm	
658.0	27	-28.50	62.80	2.2

Verifica spostamento elastico dovuto ai soli carichi variabili (§4.2.4.2.1 - NTC)

x	Comb.	δ_2	L/250.00	Cs
cm		mm	mm	
658.0	27	-18.28	50.24	2.7

Travata: 30 [1050,1199]: L=1256.0 cm, Modello =Appoggiata, Crit.Prog: Acciaio_Flessione, $\delta_c = 0.0$ cm: **Verificato**

Verifica spostamento nello stato finale (§4.2.4.2.1 - NTC)

x	Comb.	δ_{max}	L/200.00	Cs
cm		mm	mm	
628.0	27	-25.70	62.80	2.4

Verifica spostamento elastico dovuto ai soli carichi variabili (§4.2.4.2.1 - NTC)

x	Comb.	δ_2	L/250.00	Cs
cm		mm	mm	
628.0	27	-18.41	50.24	2.7

Verifica spostamenti laterali delle colonne in acciaio secondo NTC 2008Scenario di calcolo: **Set_SLV_SLD****Simbologia:**

Interp.	Interpiano
NS e NI	Nodi giacenti sulla stessa verticale, appartenenti all'impalcato j e i, rispettivamente, dell'interpiano i-j
Nodo	Nodo/i dell'ultimo impalcato
Comb	Combinazione/i di carico Rara/e più gravosa/e
SpostX sup.	Spostamento lungo x del nodo superiore per la combinazione Comb.
SpostY sup.	Spostamento lungo y del nodo superiore per la combinazione Comb.
SpostX inf.	Spostamento lungo x del nodo inferiore per la combinazione Comb.
SpostY inf.	Spostamento lungo y del nodo inferiore per la combinazione Comb.
δ	Spostamento/i orizzontale/i relativo/i di piano
Δ	Spostamento/i orizzontale/i totale/i
L/k	Limite di deformabilità (Tab. 4.2.XIII, §4.2.4.2.2 - NTC 2008)

Verifica spostamenti orizzontali relativi di piano (§4.2.4.2.2 - NTC)

Interp.	NS	NI.	Comb.	SpostX sup.	SpostY sup.	SpostX inf.	SpostY inf.	δ	h/300	Verifica
				mm	mm	mm	mm	mm	mm	
0-1	1011	12	32	-0.20	-2.73	0.00	0.00	2.73	16.73	Si
0-1	1013	14	32	-0.19	-2.74	0.00	0.00	2.75	16.73	Si
0-1	1015	16	32	-0.19	-2.74	0.00	0.00	2.74	16.73	Si
0-1	1017	17	32	-0.18	-2.73	0.00	0.00	2.74	16.73	Si
0-1	1019	20	32	-0.18	-2.78	0.00	0.00	2.79	16.73	Si

Verifica spostamenti orizzontali in sommità (§4.2.4.2.2 - NTC)

Nodo	Comb.	SpostX	SpostY	Δ	H/500	Verifica
		mm	mm	mm	mm	
1011	32	-0.20	-2.73	2.73	10.04	Si
1013	32	-0.19	-2.74	2.75	10.04	Si
1015	32	-0.19	-2.74	2.74	10.04	Si
1017	32	-0.18	-2.73	2.74	10.04	Si
1019	32	-0.18	-2.78	2.79	10.04	Si

Il Progettista